

ESEN-CPS-BK-0000001122-ESE

472897

مجلة جمعية المهندسين المصرية

٢٨ شارع رمسيس - القاهرة ج.م.ع ت ٧٤٠٥٦٩ / ٧٤٠٤٨٨

ردم ١١١٠ - ١٢٥٣

العدد الأول ١٩٩١

المجلد الثلاثون

هيئة تحرير المجلة

تصدر المجلة ربع سنوية .

ترسل النصوص المطلوب موافقة هيئة التحرير على نشرها باسم السيد / رئيس التحرير . وهو غير مسئول عن فقد أو تلف أى نص .

تنشر المجلة المقالات التى تسهم فى رفع مستوى العلوم الهندسية وطرق ممارستها .

تقبل للنشر المقالات بأحدى اللغتين العربية أو الانجليزية على الآلة الكاتبة ومعها ملخص بكل من اللغتين .

المجلة غير مسئولة عن الآراء والمحتويات التى تنشر وهى تعبر عن كاتبها فقط .

تذكر أسماء اصحاب المقالة كاملة باللغتين ومعها القابهم العلمية ووظائفهم .

يراعى الا تتجاوز المقالة ٨ صفحات بالمجلة ، وفى سبيل ذلك يختصر الاشتقاق الرياضى ويستعاض عن الجداول بمنحنيات مرسومة بالحبر الشينى الأسود ، على ان يشغل المنحنى نصف صفحة على الاكثر ولا يشغل صفحة كاملة الا فى حالات استثنائية وسيصغر أى منحنى الى تلك المقاسات .

ويراعى الا يقل ارتفاع الحروف او الأرقام على المنحنيات المنشورة عن ٣ مم بعد التصغير .

يعنى بذكر المراجع المستقى منها المقال وتصنف تبعاً لاسم المؤلف ثم العنوان ثم المجلة أو الكتاب وتاريخه .

اشتراكات المجلة :

يتلقى أعضاء الجمعية نسخهم مجاناً .

الاشتراك السنوى للمهندسين ٢٠ جنيهاً
ولغير الأعضاء :

الاشتراك السنوى لغير المهندسين ٥٠ جنيهاً
الاشتراك السنوى للهيئات ٥٠٠ جنيهاً

وخارج مصر :

للأفراد ٧٥ دولار أمريكى سنوياً .

والهيئات ٥٠٠ دولار أمريكى سنوياً .

وذلك عن الأربع أعداد السنوية ويعامل العدد الواحد بواقع الربع من هذه القيمة .

وتعطى أولوية النشر بالمجلة للسادة الزملاء أعضاء جمعية المهندسين المصرية .

رئيس التحرير

دكتور مهندس / مصطفى الحفناوى

نائب رئيس التحرير

دكتور مهندس / محمد فهمى صقر

سكرتير التحرير

دكتور مهندس / عبد الرازق عبد الحليم

أعضاء

دكتور مهندس / محمد محمد الهاشمى

دكتور مهندس / أحمد خالد علام

مهندس / توفيق أحمد عبد الجواد

دكتور مهندس / حامد حسنين عامر

دكتور مهندس / صلاح السببى

مهندس / عبد الملك العصفورى

دكتور مهندس / على محمد كامل

دكتور مهندس / محمد العدوى ناصف

دكتور مهندس / محمد زكى حواس

دكتور مهندس / محمود أبو زيد

دكتور مهندس / محي الدين سليم

رقم الايداع بدار الكتب ١٩٨٣/٢٩٨

مطابع مؤسسة دار الشعب - للطباعة والنشر

٩٢ شارع قصر العيني - القاهرة ت : ٣٥٥١٨١٠ - ٣٥٥١٨١٨ - ٣٥٤٣٨٠٠

محتويات المدد

التشييد والبناء	التصنيع والانتاج	الخامات الأولية والصناعات الكيميائية
القسم العربى :	القسم العربى :	القسم العربى :
● رثاء المرحوم الدكتور سيد مرتضى أ.د. أحمد شاكر ٤		
● كلمة هيئة تحرير المجلة في رثاء المرحوم الدكتور سيد مرتضى أ.د. مصطفى الحفناوى ٥		
بلديات أ.د. أحمد خالد علام ٦		
● المصلحون ورواد تخطيط المدن أ.د. أحمد خالد علام ٧		
● الفراغات العامة في النسيج الحضري للمدينة الاسلامية القديمة د. محمد محمد سراج د. عبد الحميد البس ١٤	القسم الافرنجى :	القسم الافرنجى :
● تأثير العقيدة والحضارة على أساليب الدفن وشكل المدافن في مصر دكتورة شفق العوضى الوكيل ٢٥	● عن التحكم في منظومة كهربائية عالية الكفاءة من الخلايا الشمسية ومولد الديزل وقياس التردد واختلاف الطور . د. ابراهيم مطاوع د. محسن طه العاجرى ٢٤	● تأثير بعض خامات زيت الشرق الاوسط والماء المالح والصخر على التبلل د. محمد حلمى صبوح د. محمد سعود البلهد ٤٨
● تحليل مقارن بين مترو مصر الجديدة ووسائل النقل الاخرى د. أحمد البدوى طه عبد الحميد ٤	● الادارة المثلى لاحمال الري في نظم القوى الكهربائية بواسطة البرمجة غير الخطية أ.د. معتز زكريا غنيم د. محمد محمد الجزار د. السعيد عبد العزيز عثمان م. عبد الفنى كرم كحله ٢٧	● السريان الغيرمنتظم القاسى للزيت الخام عند انتقاله من خطوط الانتاج الى المنصات البحرية د. عبد الوالى عبد الله عبد الوالى م. على على شامه أ.د. محى السيد السلالى ٥٧
● الادراك البصرى د. سامى صبرى ثاكر ٩	● ستارة مزدوجة ماصة للصوت مصنوعة من مادة محلية د. ايغون اسكندر حنا د. محمد محمد قنديل ٣٣	● الطرق الامنة والاقتصادية لتهوية مناجم اليورانيوم د. محمد سمير عبد العظيم د. محمد ابراهيم حسين ٦٩
● ملاحظات عن تقدير قابلية الانضغاط لبعض ترسيبات النيل الطينية د. سيد على رباع ١٧	● مواد صوتية لتبطين انفاق مترو القاهرة د. رمزى وديع ملك ٤١	● تأثير الحجم الجيبي على انتشار الالمنيوم في الصلب خلال المعالجة الحرارية د. عمر احمد الشحات ٧٣

التشييد والبناء

جمعية المهندسين المدنيين
جمعية المهندسين المعماريين
جمعية مهندسي الري

فى ذمة الله

العالم الاستاذ الدكتور / سيد مرتضى

بسم الله الرحمن الرحيم

((يرفع الله الذين آمنوا منكم والذين اوتوا العلم درجات)) صدق الله العظيم .

يعز علينا أن تفقد مصر والوطن العربى استاذنا وعالمنا من علماء الهندسة الانشائية وهو المرحوم الاستاذ الدكتور سيد على مرتضى (استاذى واستاذ أجيال من أساتذة الهندسة الانشائية والمدنية) وخصوصا فى هذا الوقت الذى نحتاج فيه الى آرائه السديده وعلمه العزيز فى إعادة تعمير ما بعد حرب الخليج .

ولد استاذنا المرحوم الدكتور سيد على مرتضى فى القاهرة فى ١٠ أكتوبر عام ١٩٠٦ وبعد الدراسة الابتدائية والثانوية حصل على دبلوم الهندسة المدنية من مدرسة الهندسة العليا بالجيزة عام ١٩٢٨ . ولتفوقه اختير فى بعثته الى جامعة زيوريخ بسويسرا حيث حصل على البكالوريوس عام ١٩٣٣ وعلى درجة دكتوراه الفلسفة عام ١٩٣٦ .

ولما عاد الى أرض الوطن عمل مهندسا ثم رئيسا للمكتب الفنى للكبارى بمصنعة السكك الحديدية حتى عام ١٩٤٢ حين اختير لتدعيم أعضاء هيئة التدريس بكلية الهندسة جامعة الاسكندرية حيث تدرج فى الوظائف من مدرس الى استاذ المنشآت والكبارى الخرسانية المسلحة ورئيس قسم الهندسة الانشائية من عام ١٩٤٢ العربية . وقد اهتم كذلك بالدراسات العليا السن القانونية بل باشر العمل كاستاذ متفرغ السادة الوزراء وبعض السادة عمداء كليات عام ١٩٩١ . وخلال هذه الفترة الطويلة تفرغ الهندسة بمصر .

المهندسين المدنيين والانشائيين فى مصر والأقطار الى عام ١٩٦٦ . ولم تنتهى مدة خدمته عند بلوغه لمرحلة ما بعد البكالوريوس ومن تلاميذه بعض بالكلية حتى وافاه الأجل المحتوم فى ١٧ فبراير الهندسة والعديد من السادة الأستاذة فى كليات لحراب العلم وتخرج على يديه الآلاف من

أما عن عطائه العلمى فقد قام كمهندس استشارى بتصميم العديد من الكبارى والمنشآت الصناعية الهامة مثل كوبرى ادفينا على النيل والعديد من الكبارى الخرسانية المسلحة والمعدنية تحت خطوط السكك الحديدية وكذلك بعض الورش الصناعية الكبرى بكفر الدوار وشبرا الخيمة . وذلك علاوة على اشتراكه فى وضع أول مواصفات للخرسانة المسلحة بجمهورية مصر العربية وكذلك اشترك فى كثير من اللجان والجمعيات العلمية فهو عضو فى نقابة المهندسين وجمعية المهندسين المصرية وعضو اللجنة الدائمة للهندسة الانشائية والتشييد بمصر وعضو اللجنة الدائمة لاتحاد المهندسين السويسريين وعضو جمعية المهندسين الألمان وعضو الاتحاد الدولى للخرسانة سابقة الاجهاد .

وقد كرمته أكاديمية البحث العلمى والتكنولوجيا بمنحه جائزة الدولة التقديرية فى العلوم عام ١٩٨١ . وكذلك كرمته الدولة بمنحه وسام العلوم والفنون من الطبقة الأولى ووسام الاستحقاق من الطبقة الأولى .

رحم الله الفقيد العزيز واسكنه فسيح جناته فقد كان مثالا يحتذى فى الخلق والبذل والعطاء حتى آخر حياته والهم آله وتلاميذه الصبر والعزاء . وانا لله وانا اليه راجعون .

أ.د. أحمد شاكر

استاذ الانشاءات المتفرغ بكلية الهندسة جامعة
عين شمس ورئيس قسم الهندسة الانشائية
وعميد الكلية الأسبق



المرحوم الأستاذ الدكتور سيد على مرتضى

كلمة هيئة تحرير مجلة جمعية المهندسين المصرية
في تأبين المغفور له
الأستاذ الدكتور المهندس / سيد مرتضى
أستاذ الأجيال

بالأمس القريب احتسبنا عند الله تعالى واستودعنا رحابه أستاذ الاساتذة
ورائدا أول للهندسة الانشائية والخرسانة المسلحة • تتلمذ على يديه عشرات
الآلاف من نوابغ المهندسين وأساتذة الجامعات المصرية والعربية والأجنبية •
نشر بالخارج والداخل العديد من البحوث التي تشهد بأصالته العلمية
وأستاذيته الفذة •

وقد تشعبت أنشطته العلمية واتسعت ليتولى رحمة الله مسؤوليته للكثير من
المؤتمرات والندوات العلمية وذلك بالتحضير لها والاشتراك فيها أستاذا ومهندسا
ومعلما •

ولا يفوتني في هذا المجال أن أذكر فضله في تأسيس وإنشاء نقابة المهندسين
في مصر عام ١٩٤٦ وذلك من خلال نشاطه البارز في جمعية المهندسين المصرية وكذا
الدور الرائد الذي قام به في مجلة جمعية المهندسين المصرية ورعايتها وتولى
رئاسة هيئة تحريرها لسنوات طويلة وحتى عام ١٩٨٣ •

رحمه الله واسكنه فسيح جناته ••

رئيس هيئة التحرير

« دكتور مهندس / مصطفى الحفناوى »

بلديات

أحمد خالد علام

وصلت فوجئت بأن الدور الخامس في مبنى المخالف يعلوه عدد من الادوار ، ويستحيل في هذه الحالة ازالة الدور المذكور .

والتعليق على هذا الخبر

ان مهندس التنظيم الذى حرر محضر المخالفة قد جانبه الصواب في تحرير المحضر ، حيث ذكر أن المخالف جارى بناء الدور الخامس ولذا طلب المهندس في المحضر هدم وازالة هذا الدور - ولكن في مثل هذه الحالات يجب أن يضاف الى عبارة (هدم وازالة الدور الخامس) عبارة تقليدية هي (وما يستجد من أعمال) وبهذا يكون طلب المهندس في المحضر (هدم وازالة الدور الخامس وما يستجد من أعمال) .

في الماضي كانت هناك ادارة بلديات تتبع وزارة الاسكان ، كان من ضمن مهامها التفتيش على أعمال التنظيم بالمجالس البلدية أو مجالس المدن الحالية ، حيث كانت تقوم بالتفتيش على أعمال مهندس التنظيم ، تفتش على رخص تنظيم المباني التى يقوم المهندس بصرفها ، وتعين المباني المرخص ببنائها ، وتطابق المبنى على ما جاء بالرخصة، للتأكد أن تنفيذ المبنى مطابق لها ... ثم تراجع محاضر المخالفات ، تراجع نص المحضر للتأكد من أنه كتب بطريقة قانونية سليمة وتعين المخالفة على الطبيعة للتأكد من أن المخالفة مطابقة للمحضر الذى حرر ضدها ، ثم تتابع ادارة البلديات المخالفة في المحكمة حتى يصدر حكم القاضى بتنفيذ ما طلبه المهندس في محضر المخالفة ، وفي حالة صدور الحكم بالبراءة تطلب الادارة أقوال المهندس أمام القاضى وتراجعها .. وبعد كل هذا تكتب الادارة تقريراً عن أعمال مهندس التنظيم وترفعه الى رئيس المجلس البلدى (رئيس المدينة حالياً) ... هذا ما كانت تسير عليه مصر في الماضي ... !

وهذا الاسلوب وضعه الانجليز أثناء فترة الاحتلال .. وترتب على هذه الدقة ان افرزت البلديات في مصر مدناً جميلة ومباني ذات طرز معمارية بديعة وشوارع تحفها الاشجار وميادين واسعة ... النيا عاصمة الصعيد ... والمنصورة عاصمة الوجه البحرى ... والاسكندرية يأتى اليها أهل أوربا للاسترشاد بتخطيطها عند تخطيط مدنهم. وفي الفترة الاخيرة ألفت وزارة الاسكان هذه الادارة، وأصبح مهندس التنظيم في مدن مصر من أقصاها لأقصاها وحيداً حائراً لا يجد من يرشده أو يوجهه أو يفتش عليه التفتيش الفنى الدقيق الذى يجعله يقف على الطريق المستقيم ، ... تلتفت حوله فلا يجد من يأخذ بيده أو يساعده في تحرير الرخصة أو المحضر ، فيحرر محاضر المخالفة بهدم وازالة الدور الخامس (وينسى عبارة وما يستجد من أعمال) ، وتعالى العمارة وقد يحرق محضر لكل دور ... ! ويصدر الحكم بازالة الدور الخامس ... ويستحيل تنفيذ الحكم وتزداد المخالفات ، وتزداد الحالة سوءاً ... كان الله في عون مصر .

مصلحة الشؤون القروية

بعد ابرام معاهدة ١٩٣٦ م والغاء الامتيازات الاجنبية أنشئت مصلحة الشؤون القروية للنهوض بالقريه المصريه، وقد وضع أول مدير لها محمود باشا شاكى أحمد برنامجاً يتكون من النقاط الآتية :

- ١ - توصيل المياه الصالحة للشرب لجميع القرى .
 - ٢ - ردم جميع البرك والمستنقعات .
 - ٣ - اصلاح دورات مياه المساجد .
 - ٤ - أعمال المجارى فى القرى الصغيرة .
 - ٥ - أعمال المجارى فى المدن والقرى الكبيرة .
 - ٦ - تنظيم القرى وتحسين بيت الفلاح .
- وقدر لاتمام هذه المشروعات التكاليف الآتية بالجنيه المصرى :

توصيل مياه الشرب	١٦ مليون
ردم البرك	٤ "
أعمال المجارى فى القرى الصغيرة	١٢ "
أعمال المجارى فى القرى الكبيرة	٧٥٠ "
اصلاح دورات المياه	٥٠ "
تنظيم القرى	٣١ "

الاجمالى ٧٨١ مليون جنيه

وقدر برنامجاً زمنياً لتنفيذ هذه الاعمال تتراوح مدته بين ١٢ - ٥٥ سنة .

والآن بعد مرور أكثر من نصف قرن على هذا البرنامج نجد أن ما تم تنفيذه منه هو تعميم مياه الشرب بالريك المصرى وقد تم هذا العمل فى الفترة من ١٩٥٤ - ١٩٦٠ م، كما أنشئ بالقريه عدد من الخدمات التعليمية والصحية والثقافية والاجتماعية والتعاونية .

الا أن القريه المصريه طوال هذه الفترة ساءت حالتها وتمعدت مشاكلها حيث أصبح عدد سكانها الآن أكثر من ثلاث مرات مما كانت عليه وقتذاك ، وزحف العمران على الارض الزراعيه كما امتد رأسياً ببناء مساكن من الخرسانه المسلحة والطوب الاحمر غير مصممة تصميماً سليماً ، وضافت شوارعها وامتلأت باكوام السماد والقمامه وارتفع منسوب المياه الجوفيه وأصبحت مشكله الصرف الصحى مشكله المشاكل ، حيث يتكلف مشروع صرف قريه واحده حوالى ٢ مليون جنيه فى المتوسط ، أى تحتاج الى ٤٢٠٠ قريه حوالى ٨٦٠ مليار (بليون) جنيه ... !

هدم وازالة الدور الخامس :

طالعنا الصحف فى الفترة الاخيره بخبر بأن محافظة القاهرة جهزت حملة لتنفيذ حكم صادر من المحكمة ، ينص هذا الحكم على هدم وازالة الدور الخامس فى مبنى حرد له مهندس التنظيم محضر مخالفة ، حيث أن هذا الدور مخالف لاحكام قانون تنظيم المباني ١٠٦ لسنة ١٩٧٦ م . وتحركت الحملة الى موقع المخالفة لتنفيذ الحكم،وعندما

المصلحون ورواد تخطيط المدن

أحمد خالد علام

واحيطت المساحة الكلية بطريق رئيسي وزعت على جانبه الخارجى المصانع والورش ، وأحيط كل هذا بحزام أخضر من الأرض الزراعية تتراوح مساحته بين ١٠٠٠ - ١٥٠٠ فدان .

J.S. Buckingham

ج . س . بكنجهام

The Model Town

المدينة النموذجية

رائد من رواد التخطيط ، مهندس معمارى بريطانى نشر عام ١٨٤٩ م بحثا عن الشرور الدولية والعلاجات الواقعية

National Evils and Practical Remedies

وقام بعمل مخطط لمدينة نموذجية تعداد سكانها عشرة آلاف نسمة ، خططت المساكن الفاخرة المخصصة للطبقة العالية حول مركز المدينة الذى تتجمع فيه المباني العامة ، وفى الاطراف توجد المساكن الخاصة بالطبقة المتوسطة والورش والمخلات ، أما المصانع التى تستعمل البخار فى تشغيلها فخططت مواقعها بعيدا عن المدينة بحوالى نصف ميل ، كما اقترح ان الفيلات بالضواحي فى الأرض الزراعية المحيطة بالمدينة .

Soria Y Matta

سوريا متى

The Linear City

المدينة الشريطية

مهندس مدنى اسباني ، صاحب فكرة توزيع السكان فى المدن الجديدة ، عرفت فكرته بنظرية المدينة الشريطية أو الخطية ، نشرها عام ١٨٨٢ م ، قال فى تقرير نظريته أن فكرة امتداد المدينة حول أطرافها قد أزال الريف بعيدا وأخفى جمال الطبيعة ، ولتلافى الشكل المركزى اقترح المدينة الشريطية التى تلخص فكرتها فى انشاء التجمعات السكنية والمصانع على جانبي طرق المواصلات الرئيسية التى تربط المدن ببعضها ، تمتد هذه التجمعات الى مسافات طويلة على امتداد هذه الطرق التى تتفرع منها شوارع فرعية مسدودة النهايات تبنى حولها المساكن وتطبيقا لهذه النظرية أعد مخطط عام لمدينة ستالينجراد فى روسيا ونفذ بعد الحرب العالمية الثانية .

Ebenezer Howard

أبنزار هوارد

Garden Cities

المدن الحدائقية

صحفى بريطانى قدم عام ١٨٩٨ م فكرة المدن الحدائقية نتيجة لما لسه من قبح المدن الصناعية وازدحامها

رفعت الناس فى كل مجالات الحياة أصواتها ضد القبح والضوضاء ، ضد التلوث والتكدس ، ضد الفوضى وسوء النظام ، لعن شارلز دكنز شيطان المؤسسات الصناعية ، حث باتريك جندز على الرؤيا الشاملة والعمل المتكامل ، طالب بيتر بروتوكين بالتزاوج بين الريف والحضر ، بنى روبرت أوين قرية صناعية نموذجية ، قدم ابنزار هوارد فكرة مدينة حدائقية .. كثير .. كثير رافعوا أصواتهم احتجاجا على الأوضاع الحالية وسلطوا الاضواء على المدينة ومشاكلها ... نادى الكل بصوت عال .

وبذلت جهودا للتخفيف من هذه المشاكل ،

فنال الاسكان بعض الاهتمام ...

ووضعت خطط تنموية لمشروعات البنية الاساسية ..

وشكلت أجهزة تخطيطية فى كثير من المدن ...

وسنت كثير من التشريعات واللوائح المنظمة للعمران .

وفتحت مدارس لتخطيط المدن والاقاليم ...

وعقدت كثير من المؤتمرات والندوات الدولية ...

ولكن كل هذه الجهود لم تستطيع اللحاق بركب التطور السريع والتقدم العلمى والتكنولوجى الهائل ، فتمو المدن وامتداداتها خارج حدودها فى الضواحي فاق الوصف وسيطر على النسيج العمرانى والفكرى والروحى، ولا أحد يمكنه من ثقل الحياة الحضرية الوقوف امام هذا النمو المعقد للمدن والذى يسمى ميجالوبوليس .
Megalopolis

ويتناول هذا البحث نبذة عن أفكار بعض المصلحين

ورواد التخطيط منذ الثورة الصناعية فى القرن الماضى حتى وقتنا هذا .

Robert Owen

روبرت أوين

The Industrial Village

القرية الصناعية

روبرت أوين صاحب مصنع نسيج فى إنجلترا ، لم يعجبه سوء حال العاملين فى مصنع عمل اصلاحات كثيرة لهم فى مجال السكن والاجور والعلاج ، وفى عام ١٨١٦ م قام ببناء قرية صناعية نموذجية لهم يصل حجمها الى ١٢٠٠ نسمة، وجعلها بمختلف المرافق والخدمات تتجمع المساكن حول مساحة مفتوحة كبيرة ، وفى هذه المساحة خططت مواقع الخدمات العامة ، وحول الاسكان حدائق واسعة ،

والتاريخ والاجتماع والاحياء والصناعة والهندسة والثقافة كفريق متعاون ، وقال ان على المخطط ان يعلو بنفسه عالياً فوق نقطة عالية ليرى المدينة ككل رؤية شاملة ، ثم يعلو أكثر وأكثر فيرى المدينة جزء من الاقليم الذى تقع فيه ، ولا يجب أن تخطط المدينة في غيبة هذا الاقليم ، أى تخطيط في اطار تخطيط اقليمى ، ويقسول أبركرومبى ان باتريك جددز رجل الاجتماع ذهب بعيداً في جذور الاشياء للبحث عن المتطلبات الثلاث : المكان والعمل والناس ، أو بمعنى آخر الجغرافيا والاقتصاد والاجتماع والتي ترجمها القانون الانجليزى في الاحوال الصحية المناسبة والراحة والنواحي الجمالية .

بيتر كروبوتكين
Peter Kropotkin
الحقول والمصانع

Fields, Factories and Workshops

نشر كروبوتكين في عام ١٨٩٨ م كتابه عن الحقول والمصانع ، ونادى فيه بتطور حضرى أكثر توزيعاً وذلك في شكل وحدات حضرية صغيرة ، تتوافر فيها المزايا الحضرية والريفية في وقت واحد ، ويقترح تجزئة العمليات الصناعية واسناد هذه العمليات الصغرى الى مصانع متعددة تقام في هذه الوحدات ، وذلك على أساس توفير وسائل نقل سريعة ونقل الطاقة اليها عن طريق شبكات كهربائية مما يترتب عليه رفع مستوى هذه المجتمعات الصغيرة ، ويقول ان الحرف الريفية التي كانت منعزلة ودون مستوى المدينة أصبح في وسعها الحصول على المزايا الكثيرة التي كانت مقصورة على المدينة ، ادرك كروبوتكين هذه الدلالات قبل اختراع السيارة والراديو والتليفزيون والتي أدت الى التساوى في المزايا بين الحاضرة الرئيسية والمجتمعات الصغيرة .

دانيال برنهام
Danial Burnham
المدن الجميلة
The City Beautiful

مهندس معمارى قدم في المعرض
The Colonial Exposition

الذى عقد في شيكاغو عام ١٨٩٣ م الجوانب السلبية للثورة الصناعية وهاجم البيئة الصناعية القبيحة ، وكان شعاره العظيمة والتي اطلق عليها اسم المدينة الجميلة The City Beautiful ، ويقول لا تعمل مخططات صغيرة فليس لها أى سحر يحرك شعور الناس ، وغالباً ما تكون غير واقعية ، تعمل مخططات عظيمة ، ولكن هدفك العلو في الامل والسمو في العمل ، جاعلاً في ذاكرتك أن بمجرد ما تسجل الرسومات الفنية النبيلة والمعقولة فانها لا تموت ابداً ، ولكنها تؤكد نفسها بالنمو الدائم لانها أشياء حيوية تنبض بالحياة ، ترتب على هذا المعرض ان أنشئت مؤسسات التخطيط في أرجاء الولايات المتحدة وخططت المحاور الرئيسية والشوارع الواسعة الحدائق والبلاطات الكبرى ومراكز الحضر ، كما قام برنهام عام ١٩١٩ م بتخطيط مدينة شيكاغو ، وكان يدرس هذا المخطط في مدارس شيكاغو لسنين طويلة .

بالسكان ونموها غير المنتظم ، تتلخص الفكرة في تخطيط مدينة لها كفايتها الذاتية ، تمتلك المدينة ٦ ألف فدان : تشغل المدينة ألف فدان ويحيط بها ٥ آلاف فدان أرضاً زراعية عبارة عن حزام أخضر ، تستوعب المدينة ٣٢ ألف نسمة (منهم ألفين يعملون في الزراعة) ، تؤكد الفكرة على ضرورة اشراف مجلس المدينة على ملكية الارض حتى لا تحدث مضاربات ، وان الحزام الأخضر يمنع العمران من الامتداد ، وان اتساع وامتداد المدينة الحدائقية يكون عن طريق انشاء مدينة حدائقية أخرى مرتبطة بها ومنفصلة عنها .

ريموند يونين
Raymond Unwin
مدن الضواحي
Satellite Towns

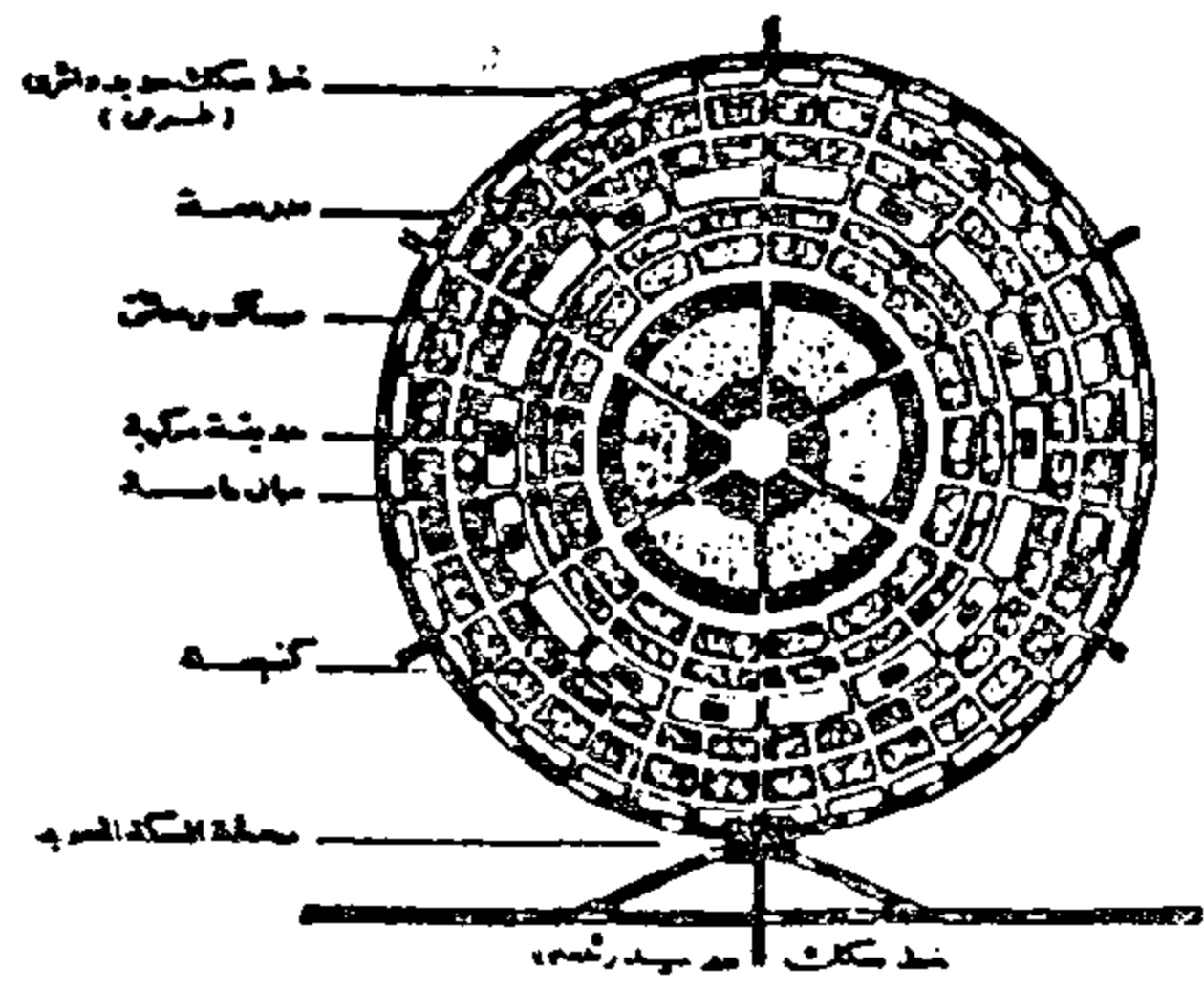
رائد الاسكان في لندن وصاحب العبارة الشهيرة (فرط الزحام لا يعود باى مكسب) صاحب فكرة المدن التوابع في عام ١٩٢٢ م نشر هذه الفكرة ، وهى عبارة عن مدن حدائقية تابعة لمدينة رئيسية يتراوح حجم سكان الضاحية بين ١٢ - ١٨ ألف نسمة ، تكون الضاحية صغيرة بحيث لا تحتاج الى وسائل مواصلات داخلية ، وقد تشمل بعض الصناعات ، ولكن يجب ربطها بالمدينة الام بواسطة شبكة مواصلات سريعة ومريحة ، ويؤكد على ضرورة اشراف الدولة على الارض ، كما يؤكد على أن التخطيط السليم يوفر خدمات أكبر وبكفاءة أعلى وبتكلفة أقل وضرورة الاقتصاد في الشوارع ، طبقت هذه النظرية في انجلترا وغيرها من الدول بعد الحرب العالمية الثانية .

توني جرانيير
Tony Granier
المدينة الصناعية
La Cite Industrielle

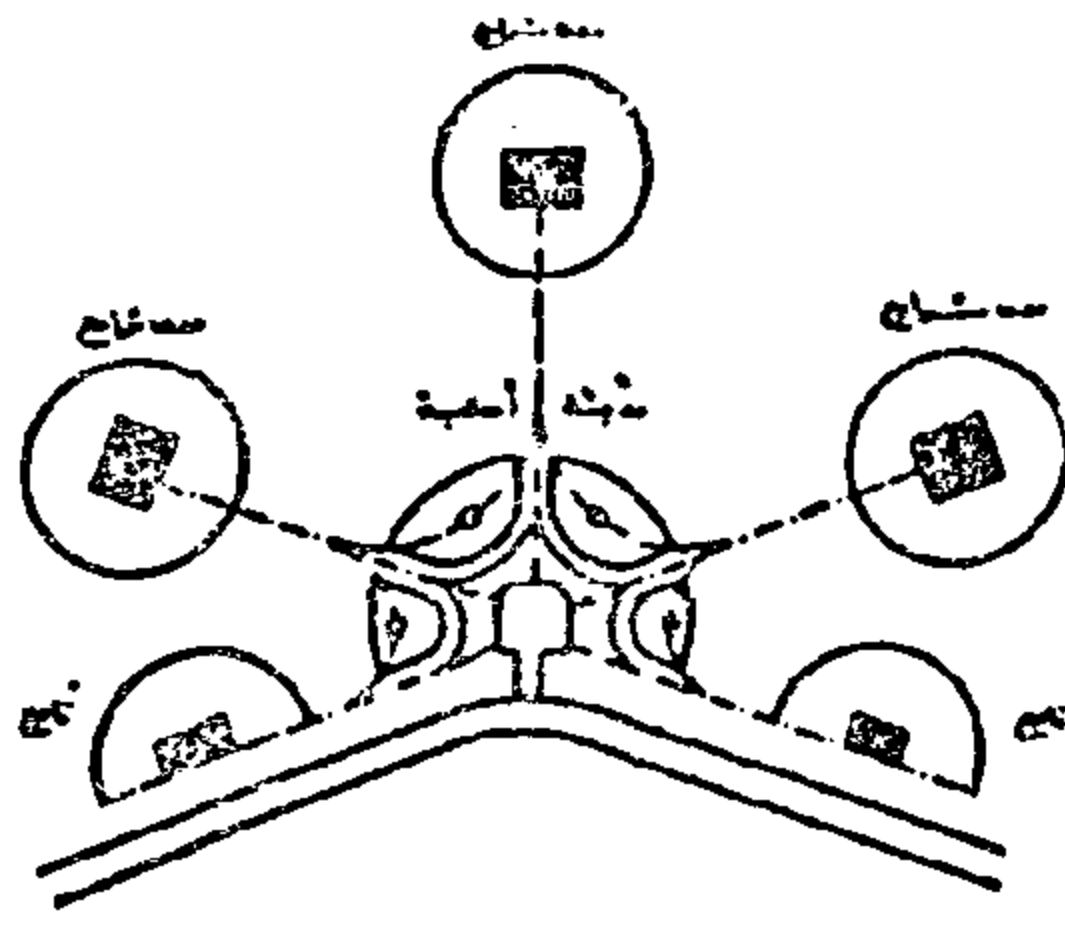
نشر توني جرانيير فكرته عن المدينة الصناعية عام ١٩١٧ م ، التى يقول فيها ان نظرية المدينة الحدائقية لهوارد ونظرية الضواحي لريموند أعتمدنا على صغر حجم المدينة بعمل صيانة وتوازن بين التنمية الحضرية والريف المحيط بالمدينة ، كما استخدمت المدينة الشريطية الريف المجاور لها ليحوى التحضر الموجود على امتداد الطريق ، وحتى تتكامل هذه النظريات الثلاث نشر توني فكرته عن المدينة الصناعية التى خططت على أساس الفصل بين أنشطة الحضر والاسكان وبين المناطق الصناعية ، وبين هذا الفصل بانشاء أحزمة خضراء ، كما تستخدم الطرق البرية الرئيسية والسكك الحديدية للربط بين هذه الاستعمالات .

سير باتريك جددز
Sir Patrick Geddes
المدن في التطور
Cities in Evolution

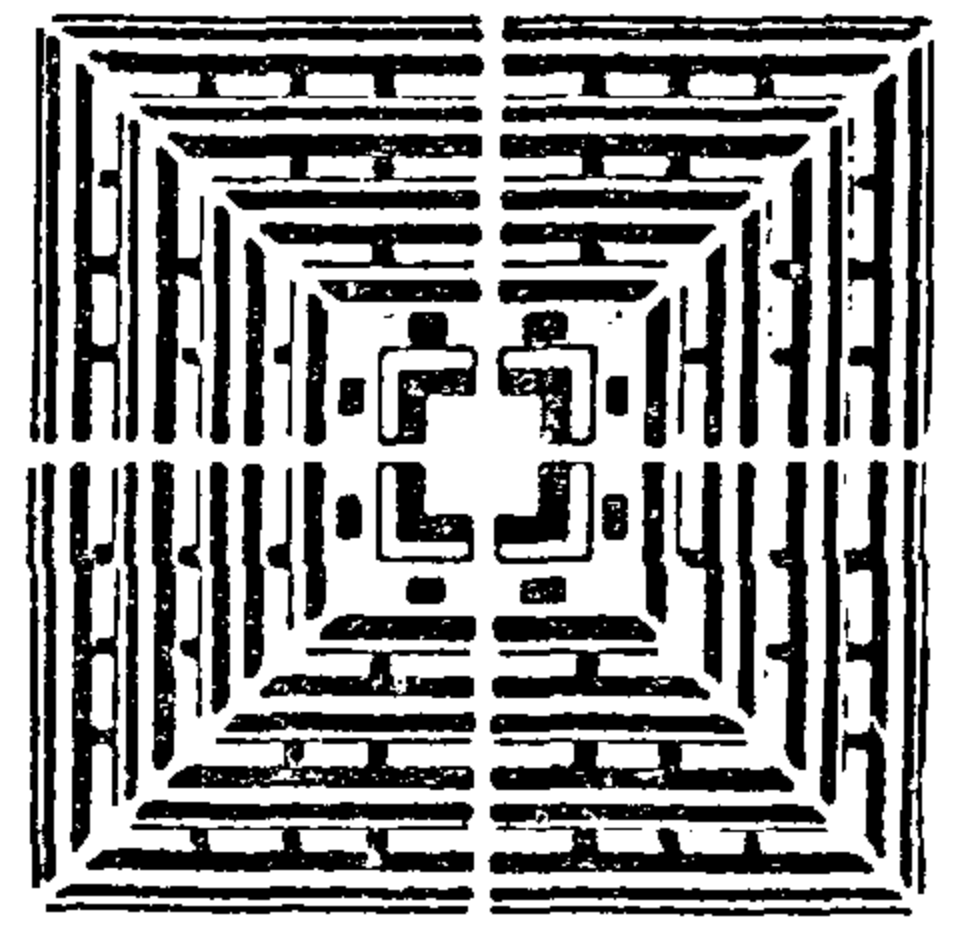
أحد رواد التخطيط وكان محاضراً في علوم الاجتماع والاقتصاد والاحياء في انجلترا وأول من نادى بفكرة التخطيط الاقليمى وان المدينة ذا رؤية شاملة وعمل فريق متعاون ، طالب في كتابه الذى نشره في عام ١٨٩٠ م أن يكون الهدف من التخطيط خلق بيئة سكنية صحية آمنة جميلة ، ولتحقيق ذلك يجب ان يعمل رجال الجغرافيا



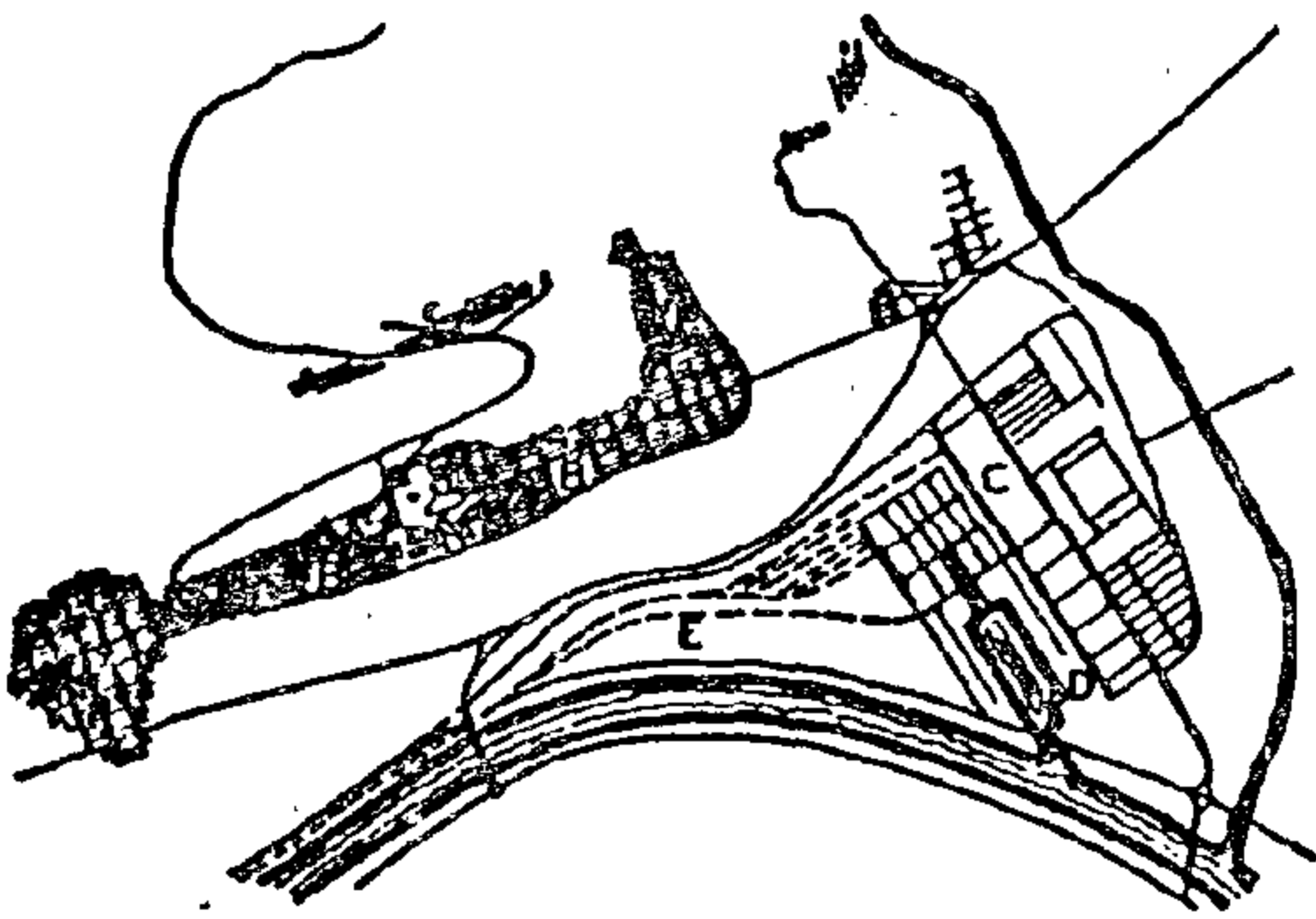
المدينة الحديثة - ابنزهر - واد



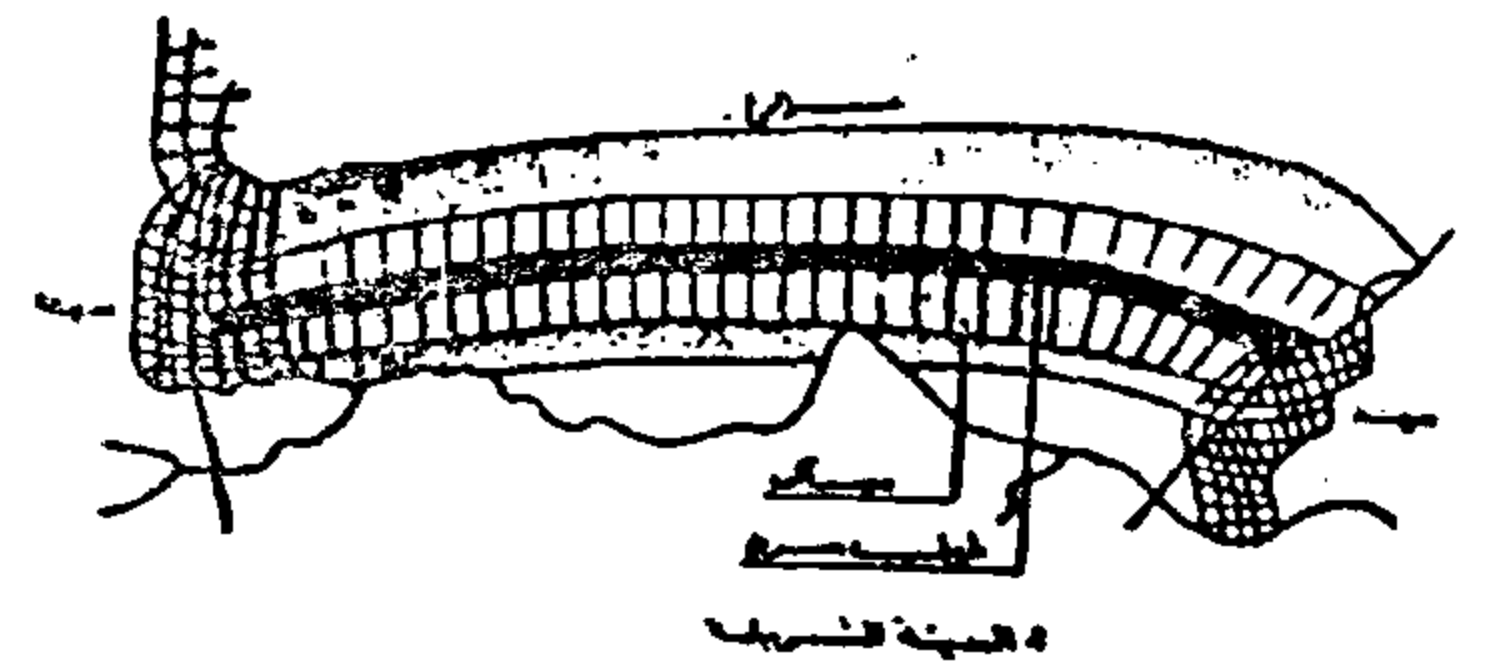
المدن التوابع - ريموند يودسكين



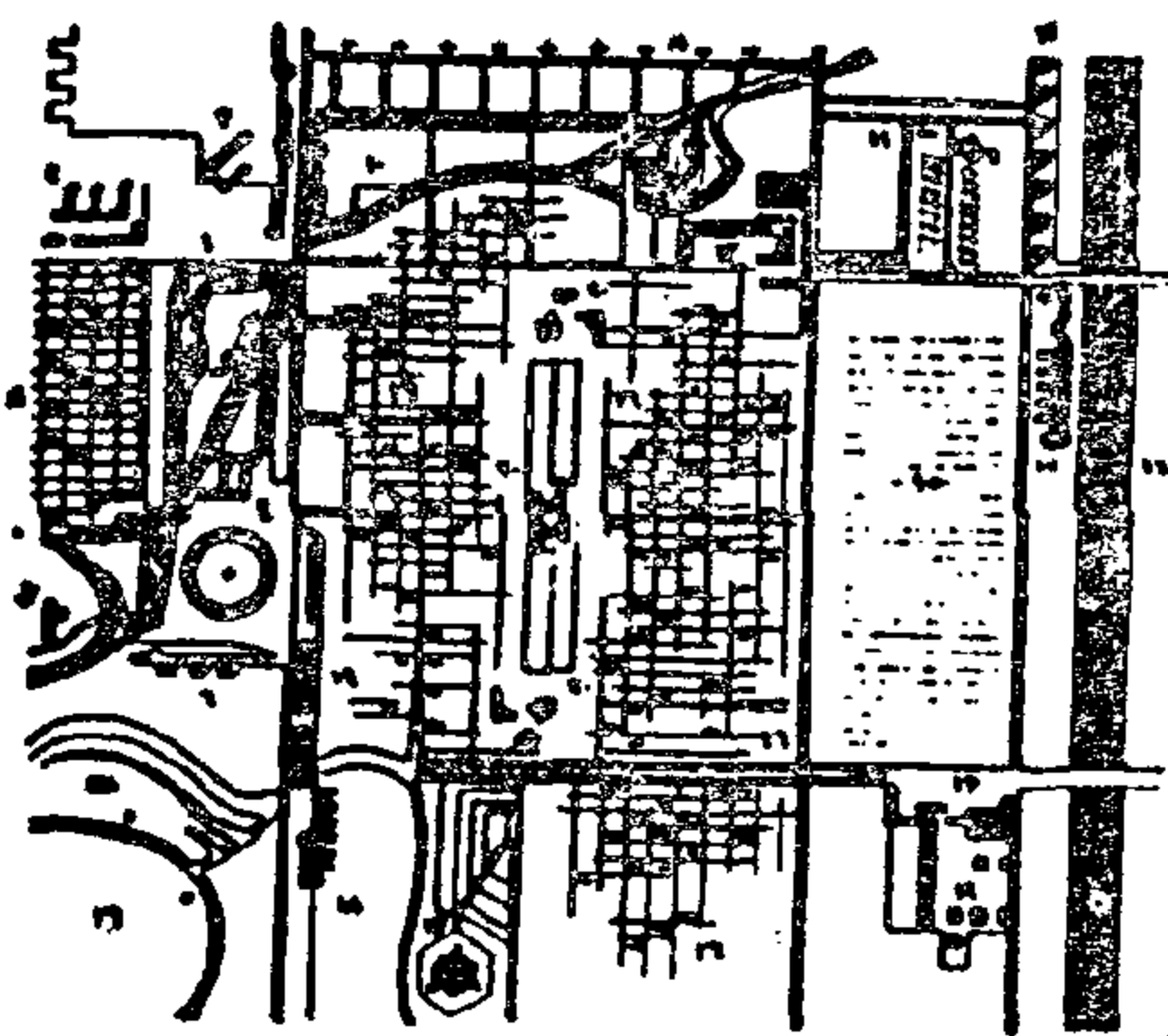
المدينة النموذجية - بكنجهام



المدينة الصناعية - توفجران - قبة

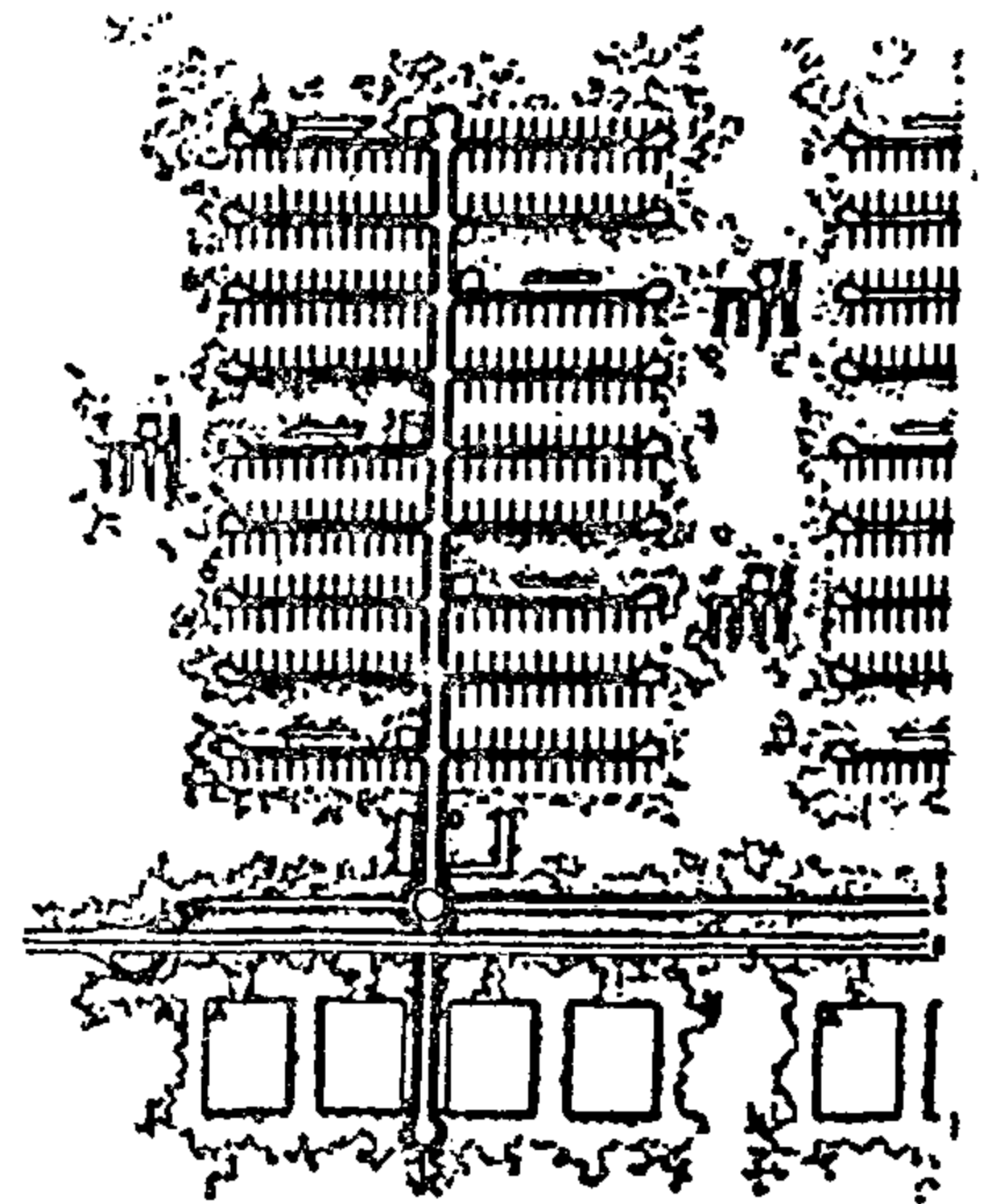


المدينة الشريطية - سوريا - قبة

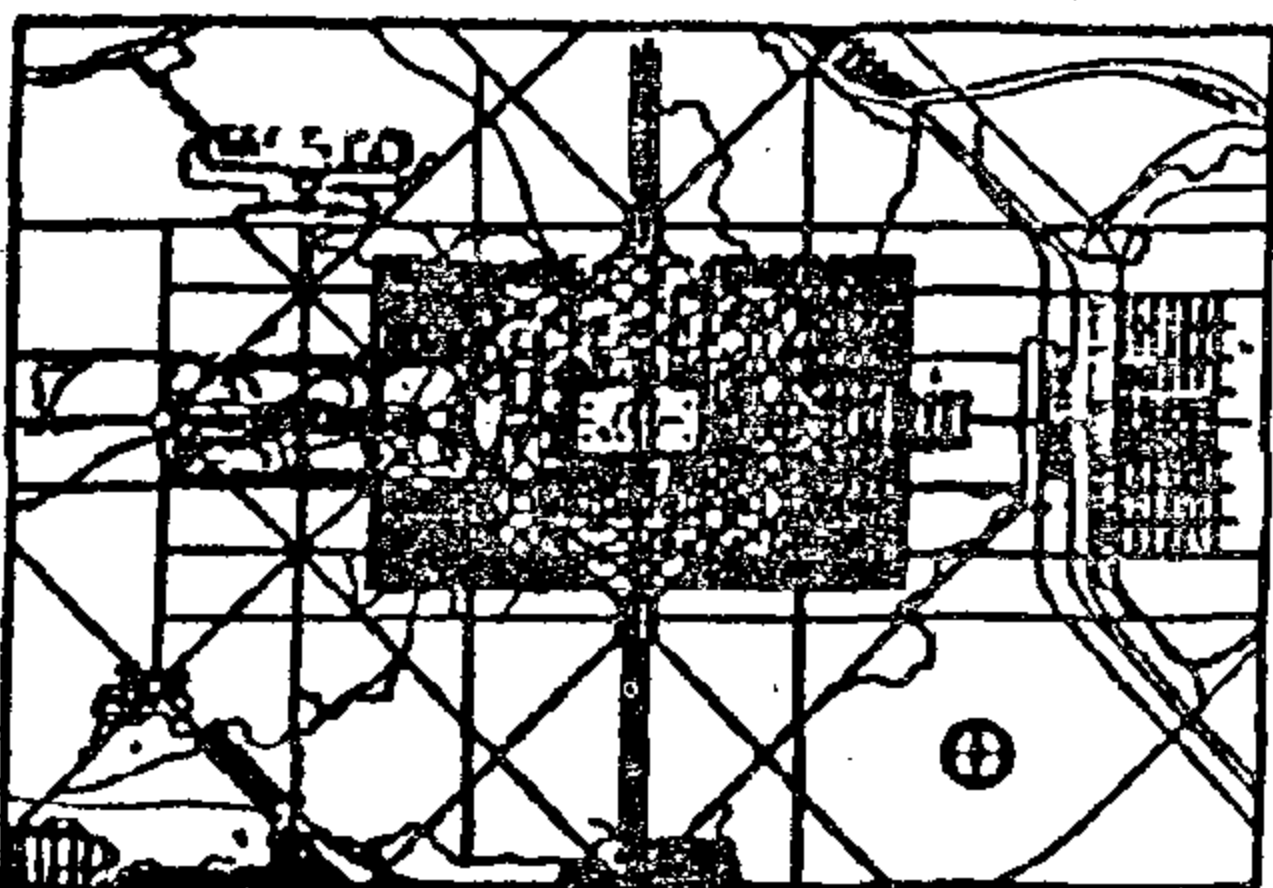


المدينة الواسعة الممتدة - فرانك لويد رايت

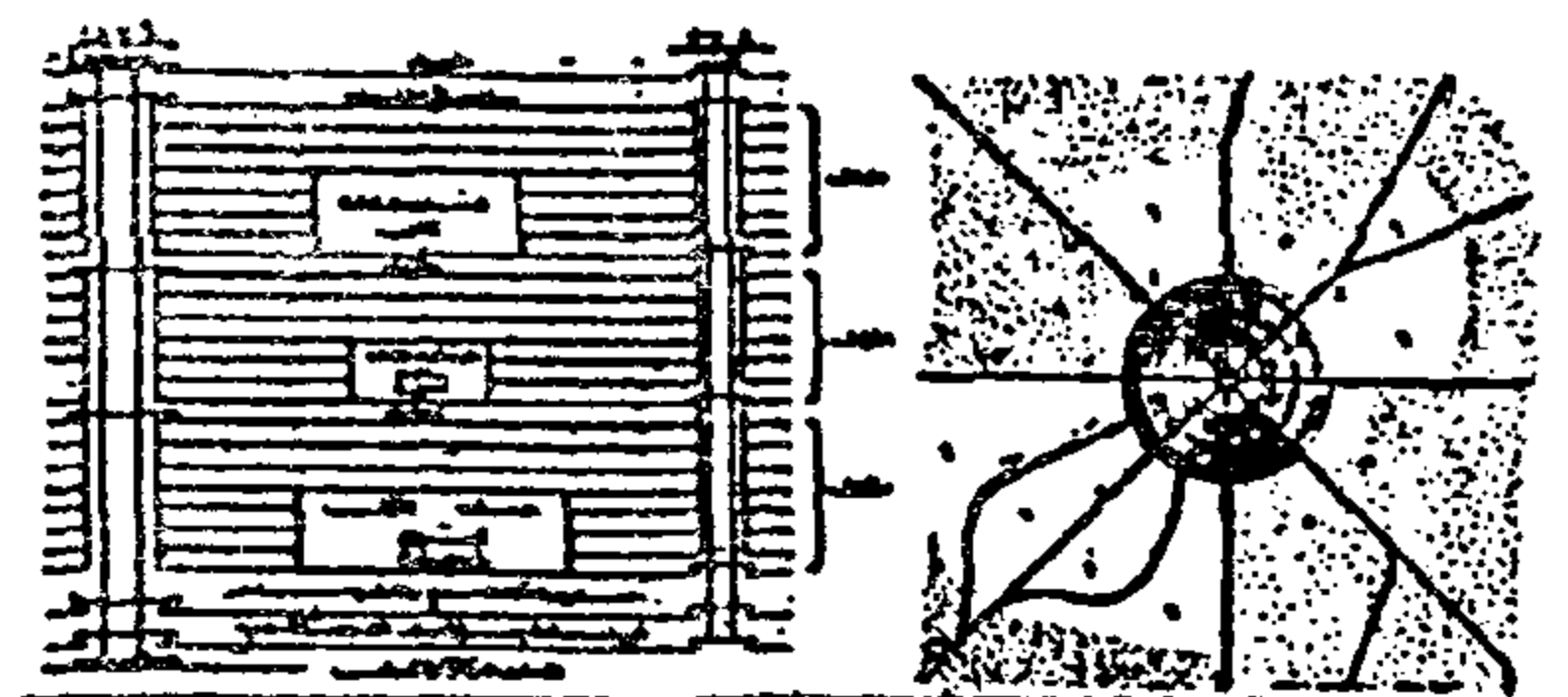
أفكار رواد التخطيط (١)



المدينة ذات التضاعف الهندسي
لودفيج هلبزايمر



مدينة الغد - لوكوربوز - قبة



المدينة عالية التمرکز - الأخوة جود - قبة

أقل للمدينة حيث يمكن ان تتكون من أى عدد من الوحدات حسب الظروف الحلية .

بول وبرسيغال جودمان
المدينة عالية التمرکز

Paul and Percival Goodman

فكرة الاخوة جودمان عبارة عن حل لمركز حضارى معقد ، مستعملين في ذلك وسائل النقل الالى أفقيا ورأسيا ، قاما بتخطيط هذا المركز على أساس أعلا درجات الكفاءة في الاستهلاك والانتاج ، المدينة المقترحة عبارة عن مبنى ضخم يصل قطره الى ميل وبارتفاع ٢٥ طابق ، تشغل المحلات التجارية الادوار الاولى منه يليها الادوار التى تشغلها المصانع يليها الادوار التى تشغلها المكاتب الادارية والمهنية ويخدم هذا المبنى الضخم وسائل مواصلات سريعة أفقيا ورأسيا ، يحيط به مساحات شاسعة من الارض الخضراء التى تتوسطها مباني الخدمات العامة الترفيهية والثقافية والتعليمية ثم يحيط بالجميع المباني السكنية المنتشرة في المزارع .

شتين ورايت

Clarence Stein, Henry Wright

Super Block

البلوك الكبير

ناقش شتين ورايت فكرة الاخذ بالمبن الحداثى عند اعادة بناء المدن الامريكية وفي نفس الوقت قاما بدراسة لبلوك الكبير ، وأدخل نظرية هذا البلوك مع فكرة المدن الحداثى عند تخطيط المدن ، والبلوك عبارة عن قطعة أرض مستطيلة الشكل تحيط بها شوارع رئيسية من الاربع جهات يتراوح طول البلوك بين ١٨٠٠ - ٢٧٠٠ م والعرض حوالى ٦٠ متر يحتوى البلوك على الشوارع الفرعية مسدودة النهايات والمساكن والخدمات العامة الترفيهية والتعليمية والتجارية وغيرها ، في عام ١٩٢٧ م طبقت فكرة هذا البلوك في أحد المشروعات وبعد نجاحها نشرت هذه الدراسة عام ١٩٢٨ م ثم طبقت بعد ذلك في عدد من الضواحي ومنها مدينة رادبرن .

Clarence Perry

كلارنس بررى

The Neighborhood Unit

المجاورة السكنية

كون بررى فكرته عام ١٩٢٩ م بعد احساسه بالازايا الموجودة في بيئة الضاحية التى اقام بها زمنا وهى ضاحية أحسن تخطيطها في لونج أيلاند Long Island بالقرب من نيويورك ، فكرة المجاورة التى اقترحها بررى يحدها من الخارج شوارع رئيسية وبداخل شبكة طرق فرعية توفر الراحة والهدوء ، بها مدرسة تتسع لحوالى ٤٠٠ تلميذ ، يعتمد عليها سكان المجاورة التى يبلغ عددهم حوالى ٥٠٠٠ نسمة على ان يكون موقع المدرسة في المركز الجغرافى للمجاورة وان يكون بالقرب منها حديقة عامة وملعب رياضى وبعض المباني العامة ومجموعة من المحلات التجارية ودور العبادة ومركز اجتماعى ، وتبلغ مساحتها حوالى ١٩٠ فدان والفكرة قائمة على ان يكون شكل المجاورة بحيث لا يسير التلميذ من أبعد مسكن الى المدرسة أكثر من ٨٠٠ متر .

Frank Lloyd Wright

فرانك لويد رايت

Broad Acre City

المدينة الواسعة

في عام ١٩٢٠ م قدم المعمارى فرانك لويد رايت فكرته عن المدينة الواسعة حيث اقترح توزيع الصناعات والمتاجر والمكاتب والمساكن والخدمات والمزارع والحدائق والبساتين على امتداد الطرق الرئيسية ، والمدينة التى اقترحها عبارة عن مساحة ٤ ميل مربع (٢×٢ ميل) تتسع لحوالى ١٤٠٠ نسمة ممتدة على طريق رئيسى ، والمساحة المخصصة مسكن لاسرة واحدة دون اولاد هو فدان ، وتزداد هذه المساحة كلما كبر حجم الاسرة وقد تصل المساحة الى ٨ فدان ، والعمود الفقرى للفكرة هو الطريق العام لهذا يؤكد رايت أن الاسرة ممكن ان تمتلك سيارة او اثنتين او ثلاثة او خمسة حتى يمكنها ان تعيش في مثل هذه المدينة ، والفكرة أن رايت أراد أن ينقل المدينة الى الريف .

Le Corbusier

لو كوربوزييه

The City of Tomorrow

مدينة الغد

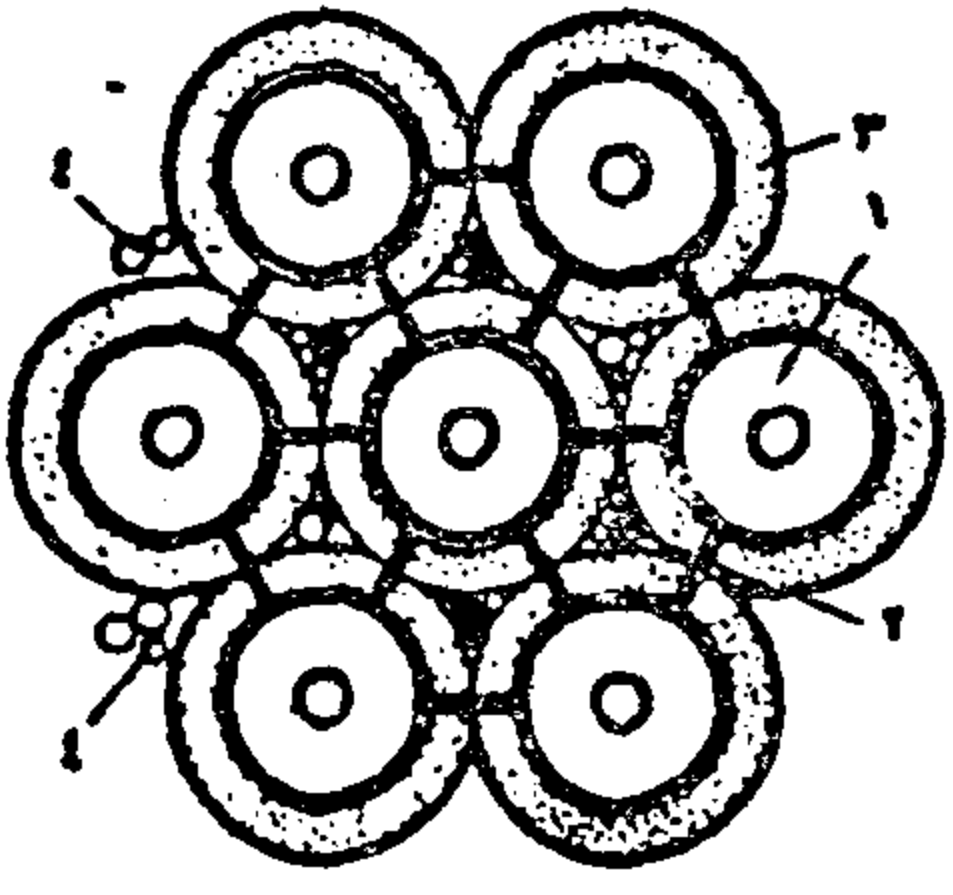
قدم لو كوربوزييه عام ١٩٢٢ م مخططة المقترح لتصميم مدينة عصرية تتسع لثلاثة ملايين نسمة تحتوى على ناطحات سحاب في مركزها يحاط بها فضاء واسع والمدينة عبارة عن حديقة ضخمة ، تتوسط المباني العامة المركز بارتفاع ٦٠ دور بكثافة ١٢٠٠ نسمة / فدان تغطى حوالى ٥٠٪ من المساحة الكلية للمدينة ، وهذا القلب مركز للمواصلات والسكك الحديدية والطائرات ، ثم يوجد حول ناطحات السحاب عمارات سكنية بارتفاع ثمانية طوابق منظمة ومرتبطة في شكل زجراج مع مساحات مفتوحة حولها بكثافة ١٢٠ نسمة / فدان ، وفي الخارج توجد المدن الحداثى للمساكن المفردة - الفيلات - المنتشرة في الحقول ، طبق لو كوربوزييه فكرته عام ١٩٢٥ على قلب مدينة باريس ولكن تطبيق الفكرة لم يحل مشاكل المدينة او يخفف كثافة السكان بها .

Hilber Seimer

لودفيج هيلبرزيمر

التضاعف الهندسى

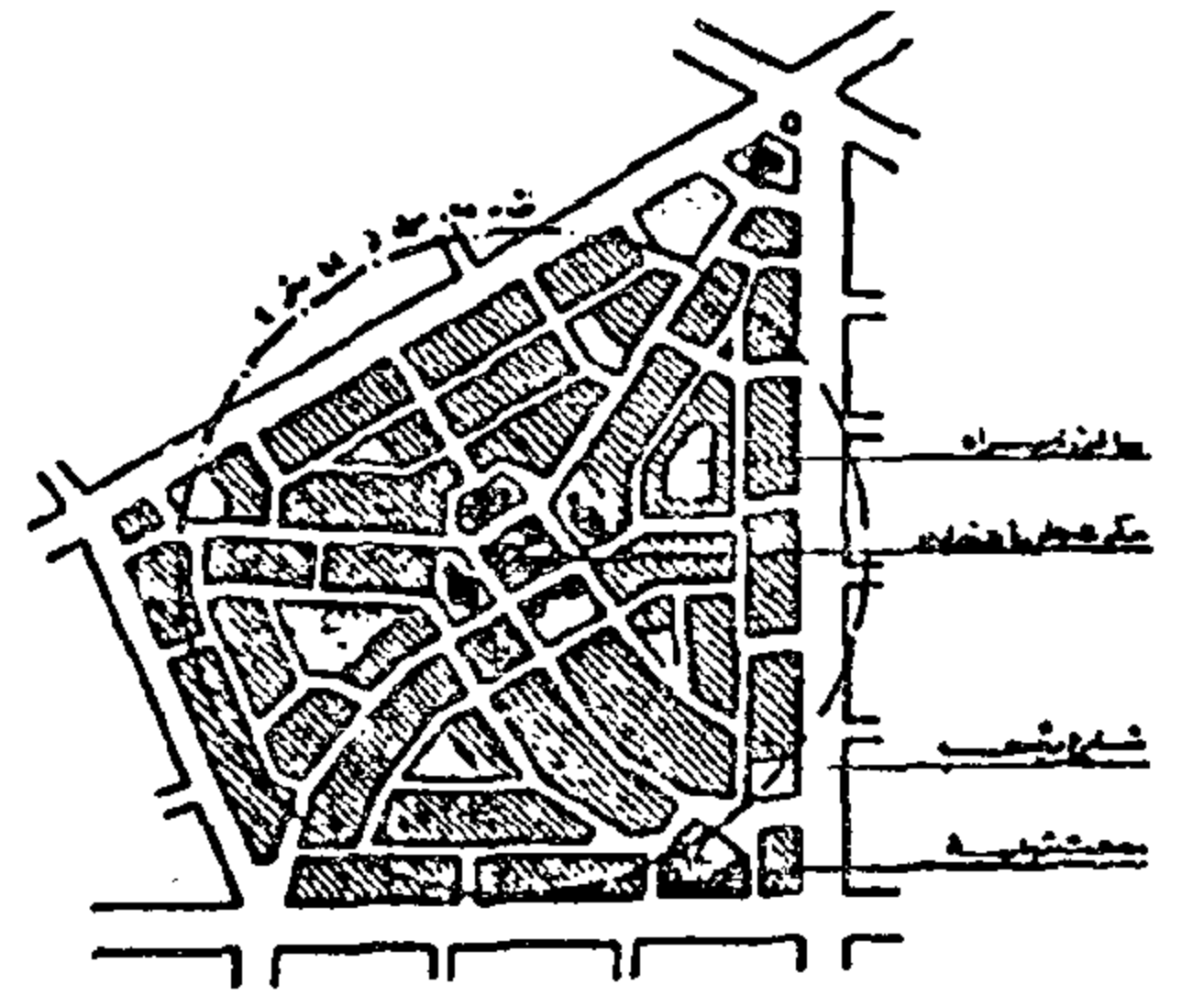
في عام ١٩٢٠ قدم المعمارى هيلبرزيمر فكرته التى يمكن على أساسها - كما يقول - اعادة تخطيط وبناء المدن القديمة ، ويمكن ان يقال أن هذه الفكرة هى تطوير وتحسين لفكرة المدينة الشريطية ، وهى قائمة على أساس التضاعف الهندسى ، والتوسع الافقى بدلا من التوسع الرأسى في المباني ، والانتقال الى خارج المدن والهروب من أسعار الاراضى ، الفكرة عبارة عن وحدة تخطيطية ذات كثافة سكنية منخفضة وذات اكتفاء ذاتى ، محدود الحجم ، يمكن ربطها بأى عدد من الوحدات الاخرى على امتداد طريق رئيسى ، تحتوى الوحدات على الخدمات الضرورية للمجتمع الصغير وكذا مكان للصناعة التى يعمل فيها سكان الوحدة ، تقع المصانع على جانب الطريق الرئيسى وعلى الجانب الآخر توجد المحلات التجارية والمكاتب الادارية والمناطق السكنية والحدائق العامة التى تتوسطها الملاعب والمدارس ، لا توجد مواصلات داخلية كما لا يوجد حجم



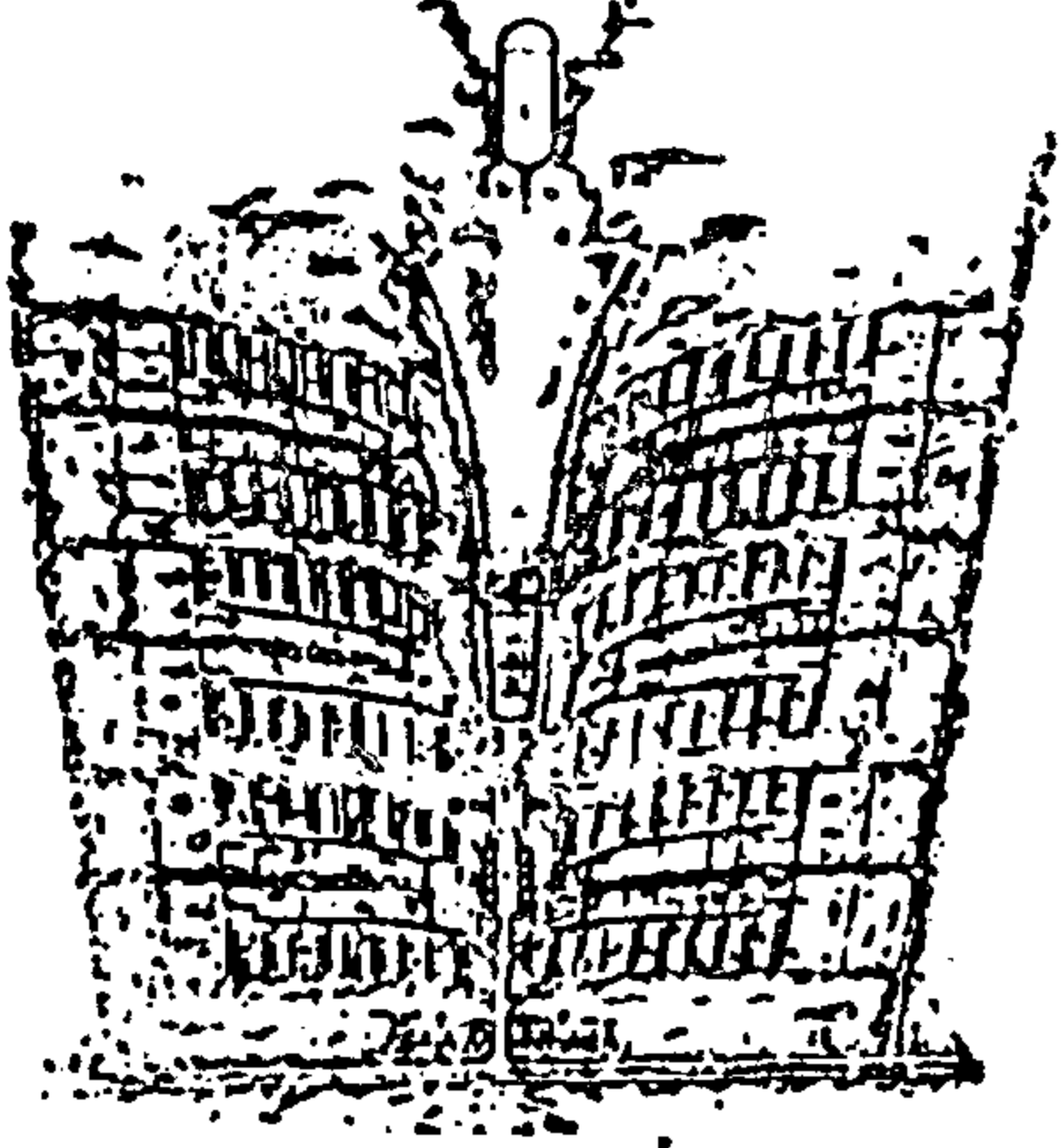
راديو سیتی - مدينة القباب

أفكار رواد التخطيط

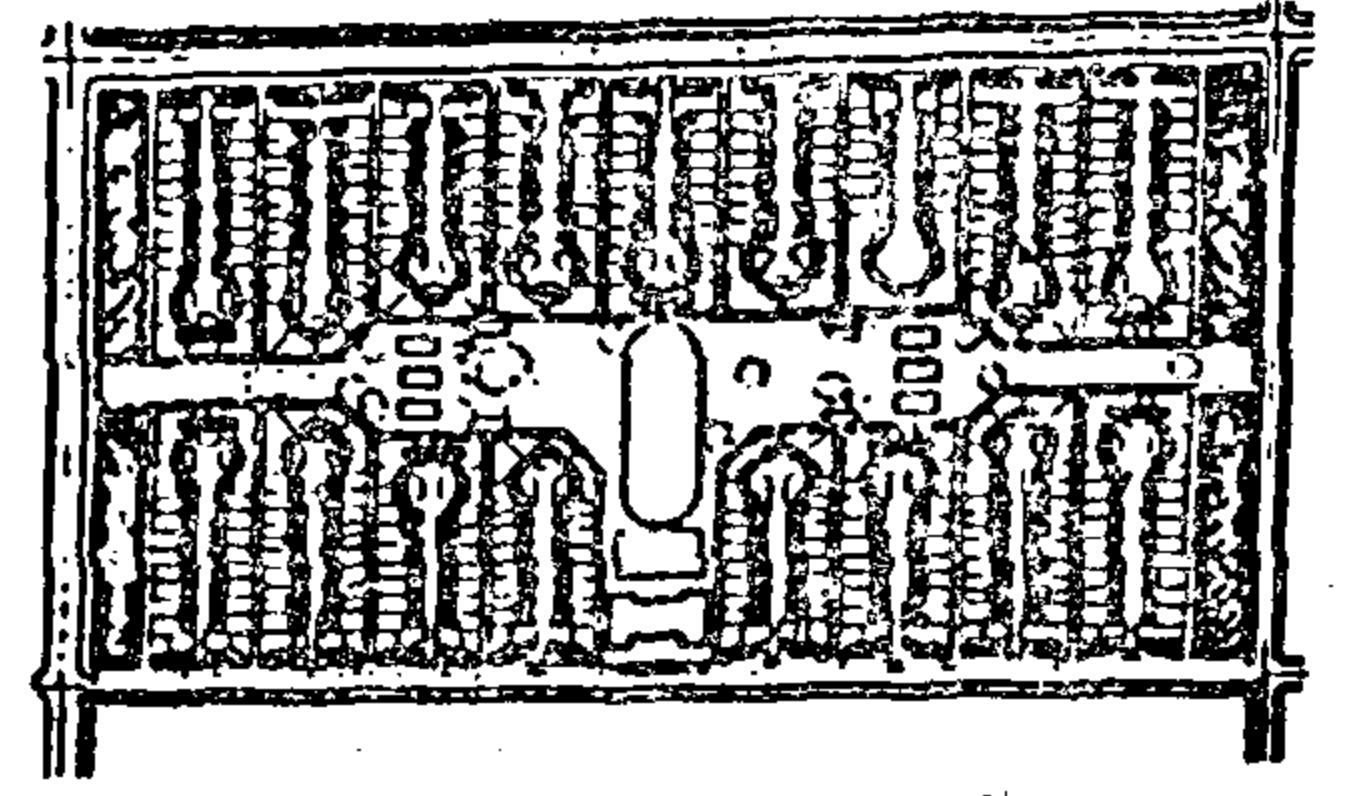
(٢)



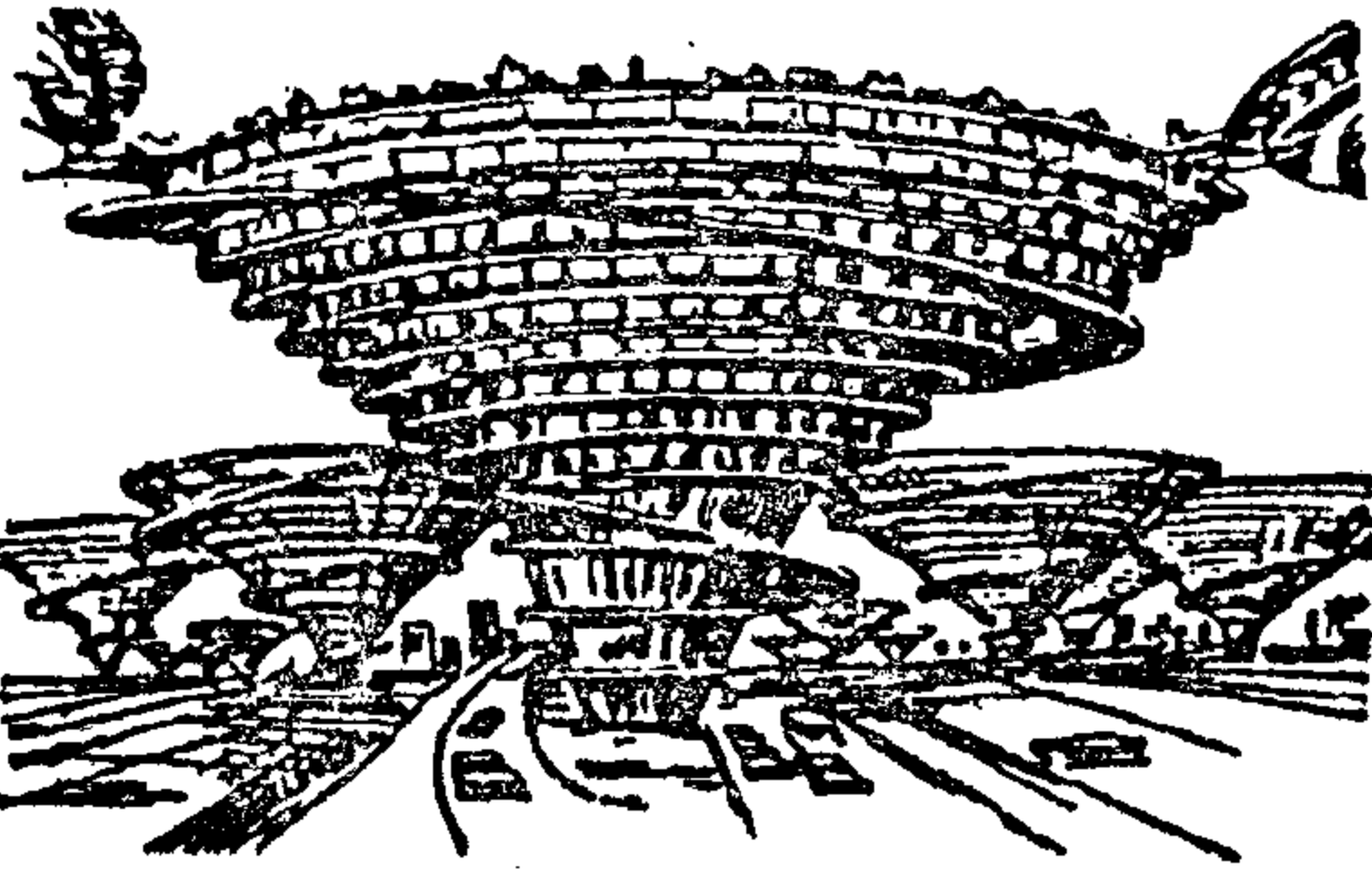
وحدة المجاورة السكنية - كلارنس بيرى



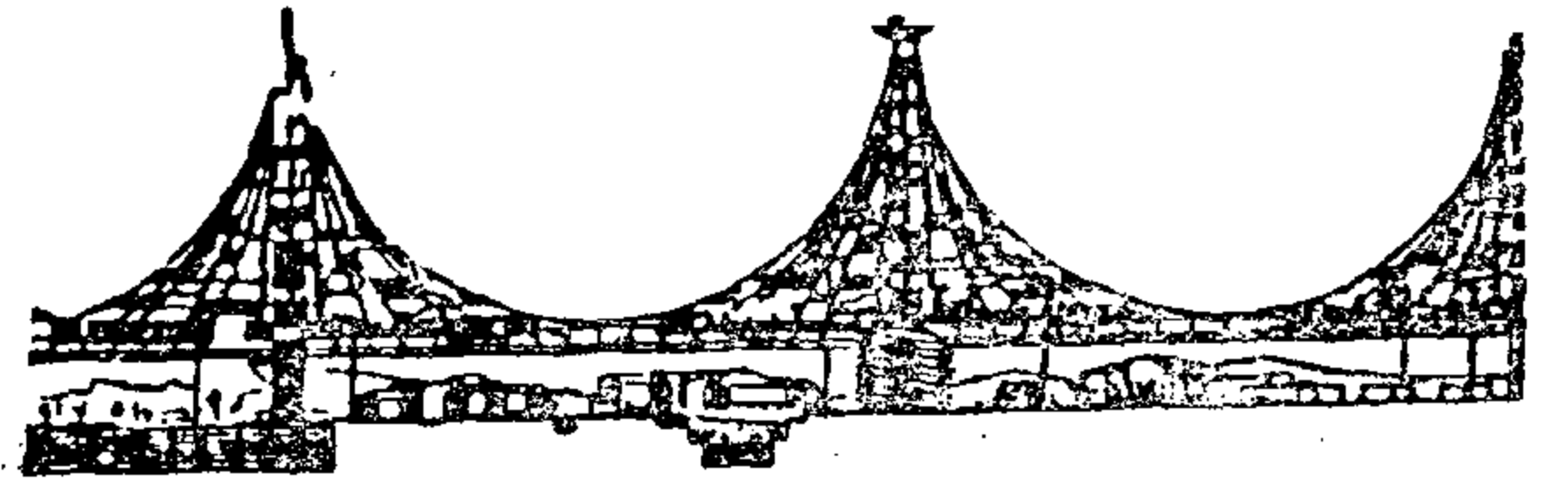
المدينة الاتحادية - ايريك جونسون



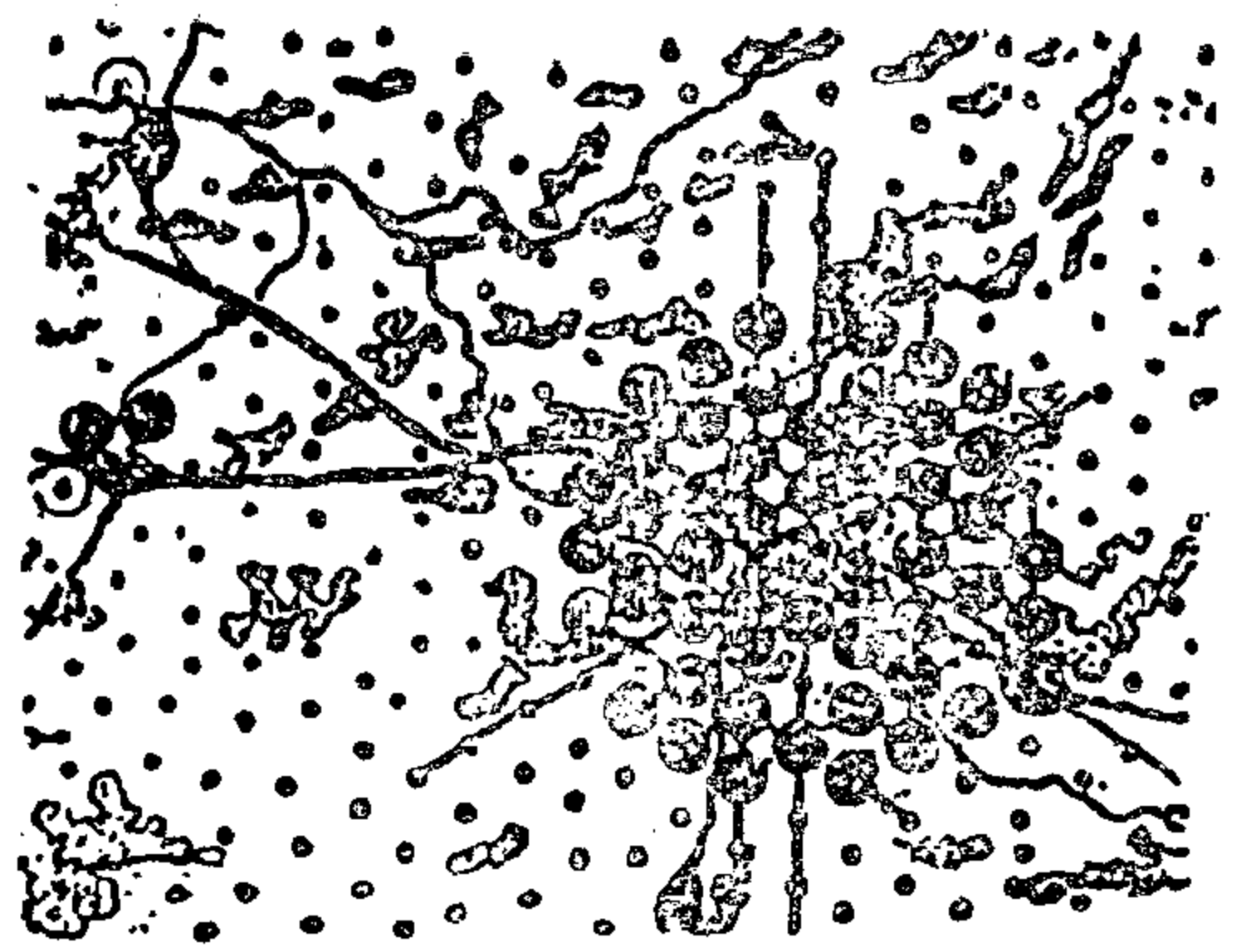
البلوك الكبير - شتين ٨ راديت



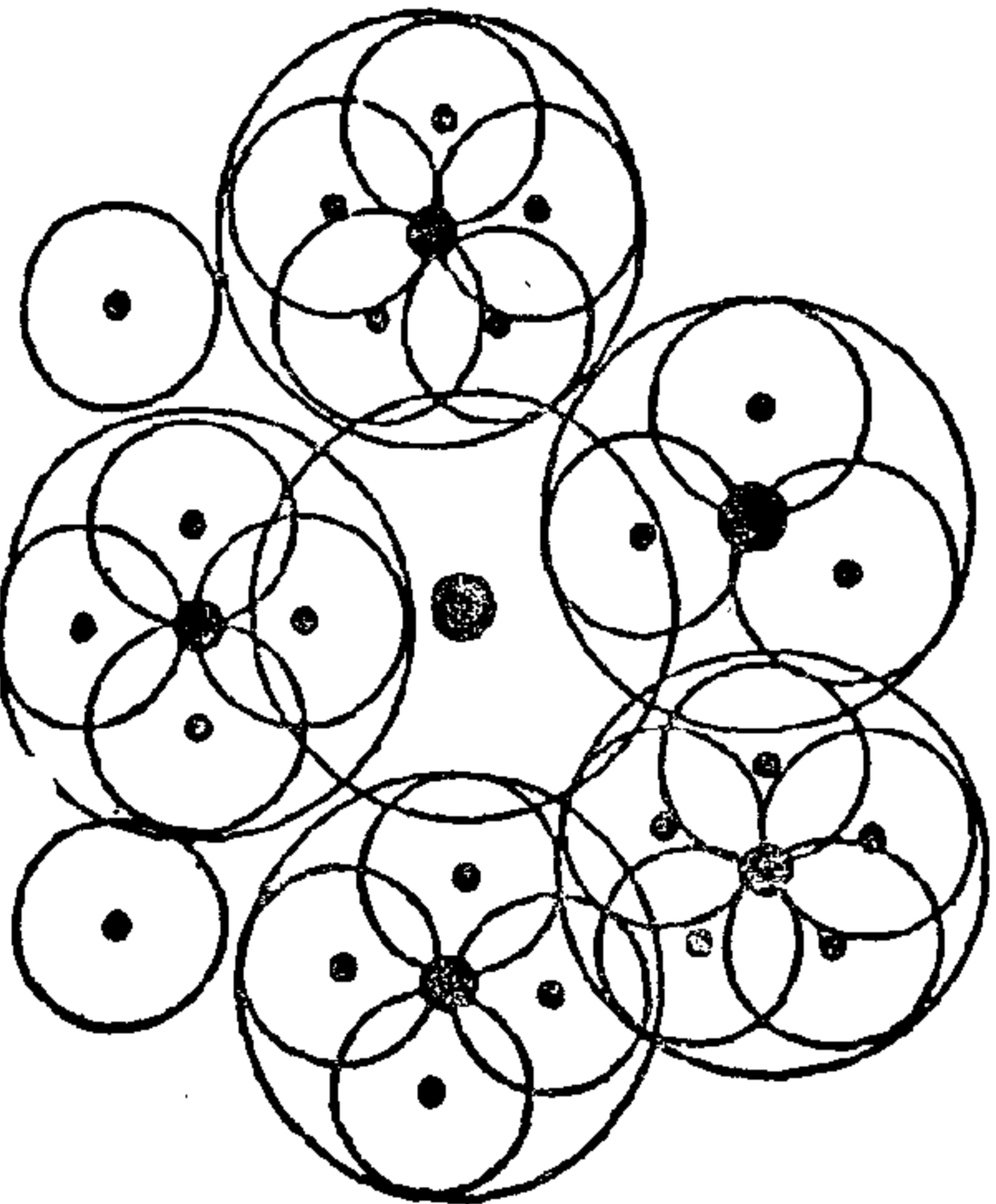
مدينة الأقمار المقلوبة - والتر جونسون



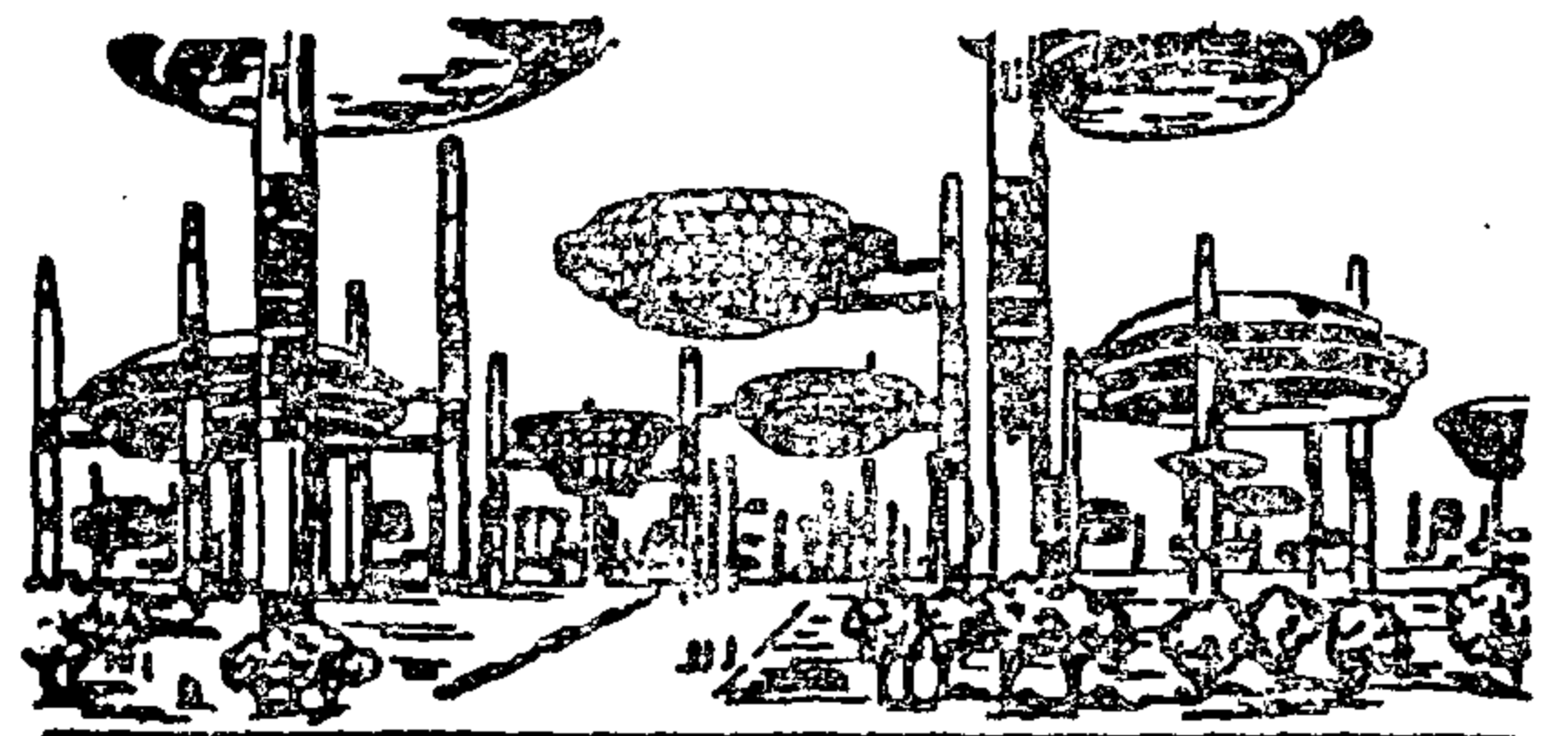
المدينة ذات البج المركزي والشادات الكلية - ميموت



المدينة العضوية - هانز رايج



المدينة ذات الخلايا مختلفة الحجم
جاستون باردنيه



المدينة المعلّقة - بوريسوفسكى

من الخلايا المركزية ، يحيط بكل مركز من هذه المراكز مجموعة من الخلايا السكنية المقلدة وتشبه تلك التي وصفها جلودن ، ولكن اقتصاديات كل مجموعة من الخلايا ترتبط بمركز صغير ، بحيث تكون الخلايا والمركز وحدة كاملة من ١٠٠ ألف نسمة ، ويقال أن هذه النظرية فيها واقعية حيث تواجه الواقع وتتعامل معه .

والتر جوناس مدينة الأقماع (المخاريط) المقلوبة

والتر جوناس مخطط سويسرى اقترح عام ١٩٦٢ م انشاء مدينة على هيئة أقماع (مخاريط) مقلوبة ، يرتكز المخروط على رأسه (أى على طرفه المدبب) على الأرض ويرتفع في الهواء ، والفكرة على أساس الارتفاع بالعمارة السكنية عن الأرض على شكل قمع (مخروط) مقلوب ، وترك الأرض لطرق المرور والأغراض الأخرى ، الوحدات السكنية مرتبة على هيئة شرفات على الجدار الخارجى للقمع ، تتجمع في شكل حلقات تأخذ في الاتساع كلما اتجهنا الى أعلا مع الخط الخارجى للمخروط المقلوب ، ترك المساحة الوسطى للمخروط لإنشاء حديقة تطل عليها جميع المساكن من حولها ، يتكون كل مخروط من ٧٠٠ وحدة سكنية على شكل حدة حصان تستوعب ألفين نسمة ، ارتفاع القمع ١٠٠ متر ، وقطر المحيط العلوى له ٢٠٠ متر ويوجد في القسم السفلى من القمع المؤسسات الصناعية والتجارية .

رأديو سيتى Radio City

مخطط تجريبى وضعه بعض المهندسين لمدينة يعتمد هيكلها على سبع تشكيلات سكنية ، مصممة انشائيا على هيئة قباب (انشاءات مقببة) ، تتسع كل قبة لحوالى ١٥ ألف نسمة ، تسمى رأديو سيتى ، في داخل كل قبة بقسم الفراغ الى دوائر أو حلقات ، ويوجد مع الأحياء السكنية الخدمات العامة والمؤسسات الصناعية ، وهذه القباب المنفصلة يمكن أن تقوم بوظائفها وهي مثبتة على سطح الأرض أو عائمة على صفحة الماء ، تخطط السبع قباب على أرض مساحتها ٢٨ هكتار ، ويبلغ ارتفاع القبة ٢٠٠ متر ، تخصص الحلقتان الأولى والثانية من فراغ القبة للمؤسسات الصناعية ، والثالثة للتجارة والخدمات ، والباقي للوحدات السكنية المرتبة على المحيط الخارجى للقبة وتتسع القبة الواحدة لحوالى عشرة آلاف وحدة سكنية ، ويتم تجميع هذه الوحدات في موقع الإنشاء من أجزاء هيكلية نمطية ، ولجميع الوحدات شرفات متواصلة بارزة من الناحية الخارجية للقبة ، ويخطط حول كل قبة حزام أخضر تبلغ مساحته ٢٢ هكتار ، تقام فيه المؤسسات الثقافية الكبرى .

هانز رايجوف المدينة العضوية

Hans Reichew
The Organic City

قامت في وسط أوروبا (ألمانيا وسويسرا) محاولات نظرية في مجال التصميم العضوى للمدينة ، وتتلخص النظرية في تصميم شبكة تخطيط المدينة على أساس عضوى حيوى ، تسير حياته ونموه وفق نوااميس الطبيعة ، كالدورة الحيوى ، تسير حياته ونموه وفق نوااميس الطبيعة ، كالدورة الحيوية للكائن الحي من حيث ارتباط شبكة الشرايين والأوردة بعضها ببعض وبالقلب الذى ينظم دورتها ويساعد على التكوين العضوى للجسم كله ، وهى نفس النظرية التى وضعت أساس نظرية التخطيط العضوى للمدينة ، تتكون المدينة العضوية من خلايا سكنية سعة كل منها عشرة آلاف نسمة ، أخذت في الاعتبار العلاقة بين شبكتى مرور كل من الانتقال الآلى والمشاة ، وبالوحدات السكنية المباني العامة ، وظهرت الأبحاث الأولى لهذه المدينة على يد هانز رايجوف في ألمانيا عام ١٩٢٥ ثم أبحاث برنولى في سويسرا عام ١٩٢٦ ثم كلاين ، وجروبيوس ، ولويترا وكانت أول مدينة طبقت عليها هذه الفكرة برلين عام ١٩٣٠ م .

أريك جلودن المدينة الاتحادية

Eric Gloeden
The Federative City

نشر أريك جلودن فكرته عن المدينة الاتحادية عام ١٩٢٦ ، والفكرة قائمة على عكس المدن التوابع ، قائمة على أساس الانقسام والتوالد ، وتوجه الفكرة أساسا نحو اللامركزية Decentralization والمدينة ليس لها نواة تجارية رئيسية ، أى ليس لها مركز تنمو من حوله ، تتكون المدينة من خلايا متساوية الأهمية ، كل خلية محددة القطر (٢ كيلو متر) ومخصصة لعدد من السكان لا يتجاوز عشرة آلاف نسمة ، الخلية مقلدة ولها محيط ، ونمو المدينة واتساعها عن طريق خلايا جديدة ، وينتهى نمو كل خلية عند حدودها المقلوبة ، وترتبط الخلايا ببعضها بشبكة مواصلات آلية برية وحديدية ، ويحيط بهذه الخلايا مساحات خضراء

جاستون بارديه المدينة ذات الخلايا المختلفة

Gaston Bardet

اقترح جاستون بارديه عام ١٩٢٩ م مشروعاً يكون بدلا عما كان متبعاً من ترك المدينة تنمو على شكل حلقات بطريقة تشبه نمو جزع الشجرة ، اقترح إعادة تشكيل المدينة عن طريق تأكيد المراكز التى كانت قبل توسيع المدينة مراكز ثانوية أو قرى ، وإنشاء مراكز جديدة حيث يراد ذلك ، تختلف هذه الفكرة عن نظرية جلودن بأن الانقسام والتوالد هنا ينقسم الى درجتين ، أى تتكون المدينة من مركز رئيسى تجارى ، تلتف حوله مجموعة أخرى

ميمون

بوريسوفسكى
المدينة المعلقةBoresoveski
The Suspended City

المدينة الفضائية ذات البرج المركزى والشدات الكبلية

اقترح المهندس الفرنسى ميمون مخططا لقرية سياحية تقع على ساحل صخرى وعرة ، والمخطط عبارة عن هيكل انشائى ذى شدادات كبلية مربوطة بواسطة برجين يحتويان على سلالم احتياطية ، وقد علقت على هذه الشدادات المساكن (فيلات) فيتم الاتصال بينها بواسطة ممرات معلقة ، وقد انعكست فكرة الهيكل الانشائى ذى الشدادات فى المخطط الذى وضعه المهندس ميمون للمدينة الفراغية الفضائية التى اقترحها ذات البرج المركزى والشدادات الكبلية الممدودة ، وجسم المدينة بأجمعه معلق على البرج المركزى ومقسم الى حلقات مستقلة تساعد عند مختلف الزوايا والانحدارات فى الحصول على الاضاءة الشمسية الثابتة فى كل فراغها الداخلى .

اقترح المهندس العمارى السوفيتى بوريسوفسكى فكرة انشاء مدينة معلقة ، تقام على أرض مثل هذه المدينة دعائم مجوفة ، على مسافات كبيرة من بعضها البعض ، يبلغ ارتفاعها عدة مئات من الامتار ، وتنشأ فى داخل هذه الدعائم المجوفة المصاعد الكهربائية وشبكة المواصلات الهندسية ، وتمد بين الدعائم شبكة فراغية من الكابلات المصنوعة من الفولاذ العالى المقاومة ، ويوجد فى داخل هذه الانشاءات بيوت نجمية وبتجميعها مع بعضها البعض تتكون المساكن الفراغية للمدينة بأى شكل يراد ، ويمكن تحويل المسكن النجمى تبعا لتغير فصول السنة ، ويمكن تعليق هذه المساكن فى مستويات مختلفة فوق المدينة القديمة أو الحدائق أو الحقول أو البحيرات .

الفراغات العامة في النسيج الحضري للمدينة الإسلامية القديمة

دكتور مهندس عبد الحميد البس**

دكتور مهندس محمد عبد الله سراج*

رسول الله : تركت فيكم ما ان تمسكتم به لن تضلوا بعدي
أبدا ، كتاب الله وستتقوا .

مقدمة :

والمتبع الى نمط الحياة وأنشطة وفعاليات المجتمع
الإسلامي في المدينة القديمة يجد أنها قد تمت في اطار
مبادئ وأسس الشريعة الإسلامية السمحة .. فالمسكن
في المفهوم الإسلامي هو الخلية الأولى وهو «الفراغ الخاص»
الذي تمارس فيه الأسرة حياتها وأنشطتها في ستر وسكينة
وأمان وهو أيضا له حرمة وخصوصيته التي يدعى اليها
الدين الحنيف . قال تعالى في سورة النحل « والله جعل
لكم من بيوتكم سكنا وجعل لكم من جلود الأنعام بيوتا
تستخفونها يوم ظعنكم ويوم أقامتكم ومن أصوافها وأوبارها
وأشعارها أثانا ومتاعا الى حين » (الآية : ٨٠) ، وقال
تعالى في سورة النور « يا أيها الذين آمنوا لا تدخلوا بيوتا
غير بيوتكم حتى تستأنسوا وتسلموا على أهلها ذلك خير لكم
لعلكم تذكرون » (الآية : ٢٧) بالإضافة الى باقي الآيات
التي تأمر المؤمنين والمؤمنات بفض البصر وتأمر أيضا
المؤمنات بالا يدين زينتهن الا لازواجهن ومن أحل الله لهن
من الأبناء والأبناء وذوي القربى .

كذلك أوضحت الشريعة الإسلامية حق الجار وأمرت
بحسن الجوار من منطلق التكافل والتراحم بين جماعات
المسلمين في المكان الواحد . قال الله تعالى في سورة النساء
« واعبدوا الله ولا تشركوا به شيئا ، وبالوالدين إحسانا
وبذي القربى واليتامى والمساكين والجار ذي القربى والجار
الجنب والصاحب بالجنب وابن السبيل ، وما ملكت
أيمانكم » (الآية : ٣٦) . وقال رسول الله صلى الله عليه
وسلم : « ما زال جبريل يوصيني بالجار حتى ظننت انه
سيورثه » ، وقال أيضا : « خير الأصحاب عند الله تعالى
خيرهم لصاحبه ، وخير الجيران عند الله تعالى خيرهم
لجاره » . وقال كذلك : « من كان يؤمن بالله واليوم الآخر
فلا يؤذ جاره ، ومن كان يؤمن بالله واليوم الآخر فليكرم
ضيفه ، ومن كان يؤمن بالله واليوم الآخر فليقل خيرا أو
ليصمت » .

وقال رسول الله صلى الله عليه وسلم : « ولا تستطيل
عليه في البنيان ، فتحجز عنه الريح الا بآذنه » .

وبالنسبة للطرق والساحات « وهي الفراغ شبه
العام والعام » فقد أظهرت لنا الشريعة الإسلامية أحكاما
كثيرة وضعت القواعد والاسس لاستخدام هذه الأماكن

المظهر التخطيطي العام لاية مدينة هو نتاج تأثير
الخصائص الطبيعية والبيئية للمكان والخصائص الاجتماعية
والاقتصادية للسكان على عملية تخطيط وتوزيع كتل المباني
والفراغات بينها لتؤدي وظائفها بكفاءة وحسب متطلبات هذه
الخصائص .

ولقد كان لتأثير الدين والتقاليد الاجتماعية على نمط
الحياة في المجتمع الإسلامي وكذلك تأثير الظروف الطبيعية
والبيئية انعكاسه على تأكيد المظهر التخطيطي للمدينة
الإسلامية القديمة ، حيث ساعدت البيئة الحارة في معظم
البلاد الإسلامية وكذلك تعاليم الدين الحنيف على توجيه
حياة الإنسان الى الداخل سواء في المسكن أو في الحي أو
في المدينة ككل حتى يتوفر عامل الحماية من العوامل المناخية
وأيضا حيث يتوفر عامل الخصوصية ، الأمر الذي ساعد
على تكتل تشكيلات المباني والتصاقها ببعضها ، وتحديد
لعناصر الفراغات العامة بينها والتي تمثلت في شوارع
وحارات وأحواش وساحات عامة محدودة المساحة .

والبحث المقدم يستعرض في دراسة تحليلية شكل
وتتابع مصفوفة الفراغات العامة في النسيج الحضري للمدينة
الإسلامية بناء على هذه المؤثرات والظروف بهدف الوصول
الى معرفة خصائص هذه الفراغات ووظيفتها والتدرج في
استعمالها لامكانية الاستفادة منها كقيم حضارية أصيلة
في تخطيط وتصميم المدن والمناطق الجديدة في منطقتنا
العربية والإسلامية .

نمط الحياة العامة في المفهوم الإسلامي :

الإسلام هو دين الحق والهداية والرشاد ، وقد بعث
الله محمدا صلى الله عليه وسلم بهذا الدين القويم ليتمم
به مكارم الأخلاق ، وهو رسالة شاملة تهدف الى اصلاح
الفرد والجماعة باتباع المنهج القويم في القرآن والسنة
ومآثر الصحابة والتابعين . وكما جاء الإسلام بأحكام
العبادات في الصلاة والصوم والزكاة والحج ، فقد جاء أيضا
بالتشريعات والقوانين التي تنظم حياة الفرد والمجتمع ولم
يترك صغيرة ولا كبيرة في حياة الناس الا أشار اليها
ووضحها وحددها ووضع لها القواعد والاسس التي يجب
على المجتمع المسلم اتباعها . قال تعالى في صورة الأنعام
« ما فرطنا في الكتاب من شيء .. » (الآية : ٣٨) وقال

(*) أستاذ مشارك بقسم العمارة الإسلامية جامعة أم القرى - مكة المكرمة .

(**) أستاذ مساعد بقسم العمارة الإسلامية جامعة أم القرى - مكة المكرمة .

ويمكن بالمقارنة بين تكوين وتخطيط المدينة الإسلامية القديمة وبين المدينة الاغريقية ، مع الاخذ في الاعتبار الخلفية الايدولوجية التي أثرت على كل منهما ملاحظة التركيب المتباين ونمط التخطيط شديد الاختلاف في كلا النموذجين .

فالافريق (كمجتمع مفتوح) ينظرون الى مدينتهم على أنها الحيز الذي يحوى مجموع المواطنين (السكان) والذي يسرى عليهم جميعا بدون تمييز النظام والتشريع (الدنيوى) الذى وضعوه لها . وهم بذلك يجدون في المدينة المكان الذى يتساوى فيه الجميع في ممارسة الحياة العامة والانشطة الجماعية للجماهير رجالا ونساء على حد سواء ... ولكي تتم هذه الامور فقد تأكد ما يمكن تسميته « بالفراغ العام أو الساحة العامة في المدينة » أو الحيز المكاني العام لممارسة الانشطة السياسية ، والتجارية والدينية والترفيهية .. الخ في صورة المدينة ، وذلك في شكل « الاجورا » كساحة تجمع سياسى وتجارى ، بالإضافة الى الشوارع المتسعة المستقيمة ، منطقة المعبد وتفرد كمبنى قائم بذاته ، المسرح (كمكان لعرض صراعات المجتمع والنقد الحر) ، والاستاد وغيرها من المباني العامة التي تأكدت صورتها في تكوين المدينة ، اما المنطقة السكنية فتظهر استقلاليتها في مناطق تتمركز بينها المباني العامة .

والشكل العام للمدينة يتميز بتكوينه الهندسى الصارم (الشبكة المتعامد ، والمحاوير المستقيمة) والذي تم تخطيط معظم المدن الاوروبية على نفس هذا النسق (أو تطويره) خلال العصور التي تلت الحضارة الاغريقية (شكل ١) .

اما بالنسبة للمدينة الإسلامية القديمة فقد أدى استقرار والتوطن في تجمعات حضرية - بعد حياة الترحال لقبائل البدو - الى وجود مجتمع تمارس فيه الانشطة الدنيوية والواجبات الدينية حسبما تمارس به الشريعة الإسلامية في الكتاب والسنة . وتنقسم الحياة في هذا المجتمع الى قسمين :

« حياة خاصة » تمارس في نطاق الاسرة أو القبيلة ، و « حياة عامة » تتمثل في اقامة الشعائر والواجبات الدينية وفي التعاملات التجارية والانشطة الثقافية والسياسية ... ، ولهذه الاسباب كانت المدينة الإسلامية في تشكيلها العام متجانسة في نسيج متشابه (شكل ٢) .

فنجد المسجد مثلاً ، فبالرغم من كونه المبنى الأكبر مساحة فإنه يتداخل أو يصبح قطعة من نفس النسيج المكون للهيكل العام للمدينة Urban Fabric على العكس من المعبد في المدينة الاغريقية أو الرومانية الذي يتميز بتفرد كمبنى قائم بذاته في فراغ واسع حر من جميع النواحي .

وعدا المسجد وما يحيطه من ملحقات مثل السوق والمدرسة والحمام ، فإنه يندر وجود مباني عامة أخرى في صورة المدينة الإسلامية القديمة ، مما يعنى صعوبة وجود تشكيل موحد لتوزيع الفراغات العامة في المدينة يمكن التعرف عليه .

ونظافتها وصيانتها وحددت أيضاً وظيفتها ، فقد قال الرسول صلى الله عليه وسلم « ... وأماطة الاذى عن الطريق صدقة » ، وقال الخليفة الثانى عمر بن الخطاب رضى الله عنه : « والله لو عثرت بقلعة في العراق لخشيت أن يسألنى الله عنها لما لم تسوى لها الطريق يا عمر » . وقال رسول الله صلى الله عليه وسلم « اياكم والجلوس على الطرقات » فقالوا يا رسول الله : ما لنا بد ، انما هي مجالسنا نتحدث فيها ، فقال فاذا أبيتم الا المجالس فأعطوا الطريق حقها ، قالوا : وما حق الطريق ؟ قال : غنى البصر وكف الاذى ورد السلام وأمر بالمعروف » .

اما المساجد وساحاتها ، وهى مكان اللقاء الروحى والثقافى لجماعة المسلمين ، فقد حظيت بمكانة سامية في الاحكام والتشريعات الإسلامية ، وذلك من منطلق كونها بيوت الله فى الارض وحيث يتم فيها بناء الانسان المسلم على الصلاح والتقوى والتحامه مع الجماعة لتذوب من بينهم الفرقة والشقاق والتعالى ، ويحل محلها الوفاق والتواضع والتسامح والمحبة . وما الامر بصلاة الجماعة للصلوات الخمس والجمع والاعياد الا تحقيقاً لهذه الاهداف ووصولاً لهذه الغايات .

وقد وردت العديد من النصوص القرآنية والاحاديث النبوية الشريفة التي تبين بجلاء مكانة المسجد فى الاسلام ودوره فى بناء كيان المجتمع الاسلامى :

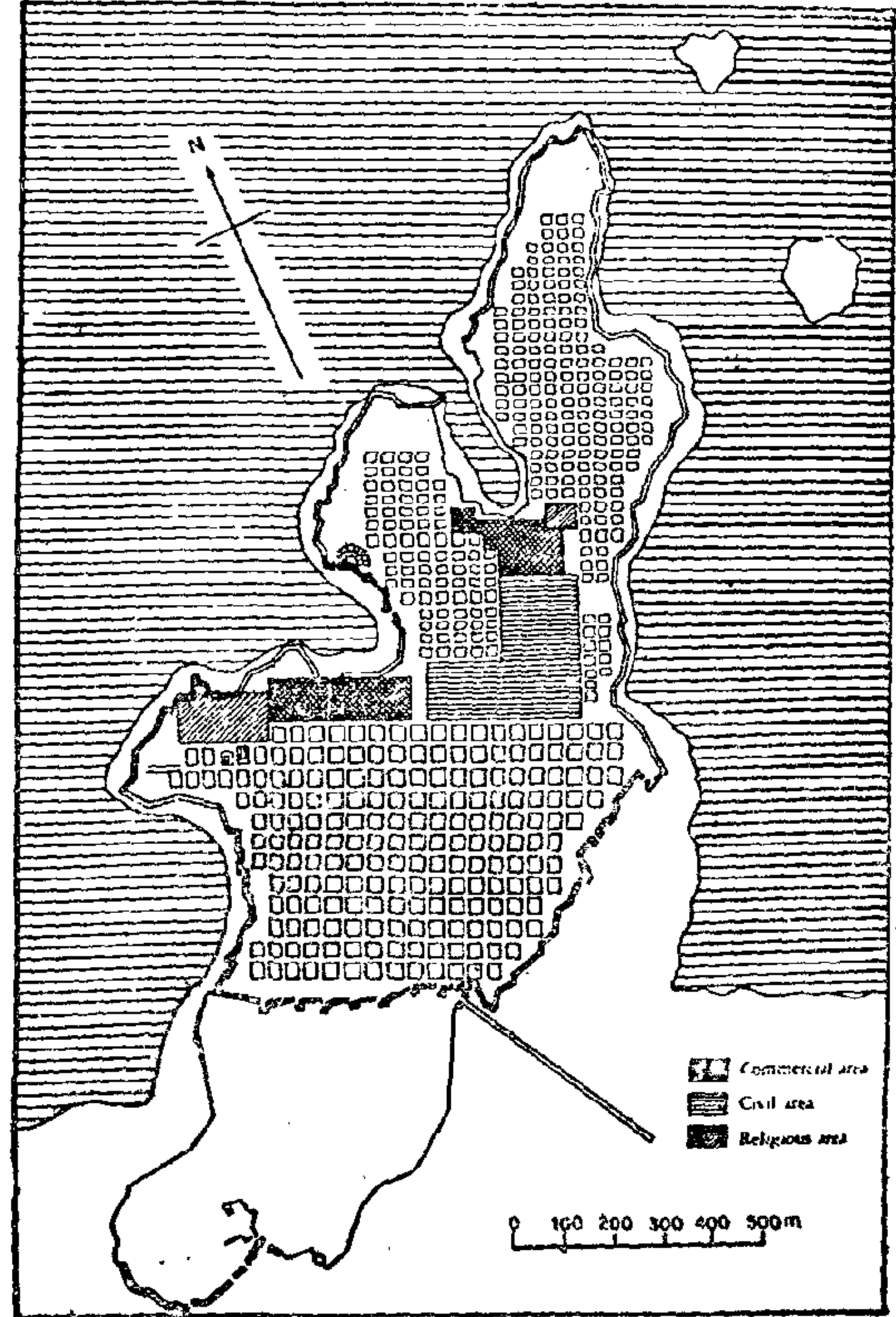
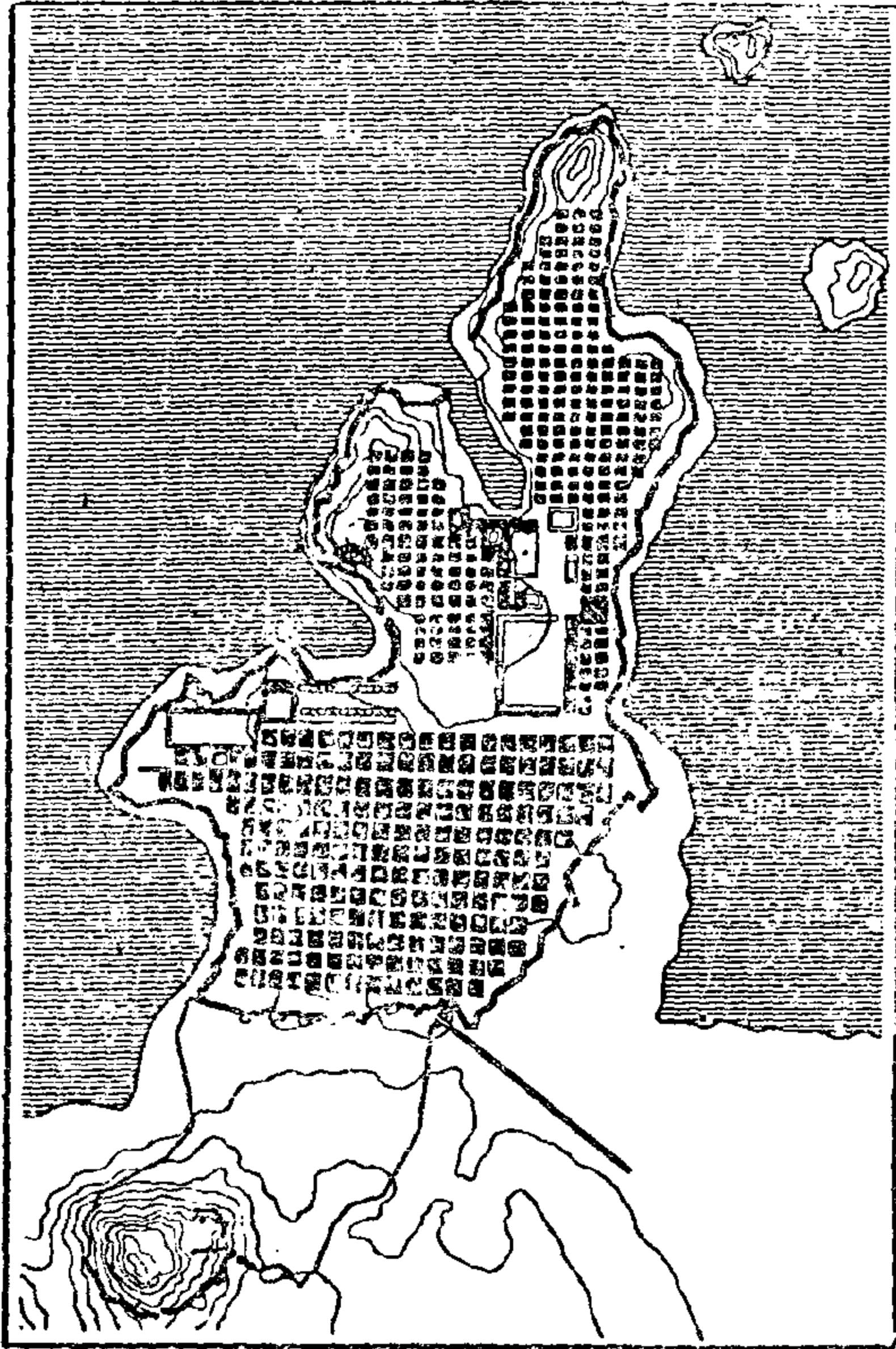
قال تعالى فى سورة الجن « وأن المساجد لله فلا تدعوا مع الله أحدا » (الآية : ١٨) وقال تعالى فى سورة النور « فى بيوت آلن الله أن ترفع ويذكر فيها اسمه يسبح له فيها بالغدو والاصال ... » (الآية : ٣٦) .

وقال رسول الله صلى الله عليه وسلم « تذهب الارضون كلها يوم القيامة الا المساجد ، فانها ينضم بعضها الى بعض » ، وقال أيضاً « صلاة الرجل فى جماعة (أى فى المسجد) تزيد على صلاته فى بيته وصلاته فى السوق خمسا وعشرين درجة .. » .

وبعد هذا العرض الموجز لبعض أحكام الشريعة الإسلامية التي حددت للفرد والجماعة طريقة العيش ونمط الحياة فى فراغاته الخاصة والعامة ، فإنه يمكننا استقراء أن المظهر التخطيطى للمدينة الإسلامية القديمة ما كان الا نتيجة لتفاعل هذه الاحكام الدينية وما نتج عنها من تقاليد اجتماعية بالإضافة الى الظروف الطبيعية والبيئية للمكان وتأثيرهما على صياغة الفراغات العامة والخاصة فى صورة النسيج الحضرى للمدينة .

مفهوم الفراغ العام فى المدينة الإسلامية القديمة :

الفراغ العام هو جميع المساحات أو الاماكن الخارجية المحصورة بين كتل المباني لاي تجمع (مدينة أو قرية) والتي يحق لكافة سكان التجمع أو غيرهم باستخدامها والاستفادة منها لتادية نشاط عام أو مجموعة أنشطة خصص لها هذا الفراغ .



شكل (1) مدينة « هيلتوس » اليونانية القديمة ، أنشئت بواسطة (هيبوداموس) في القرن الخامس قبل الميلاد ، وتظهر فكرة التخطيط الهندسي بتعامد المحاور ، واستعمال البلوكات السكنية بأبعاد 30×52 متر . الرسم على اليمين يمثل عناصر المدينة (تجارية - إدارية - دينية) .

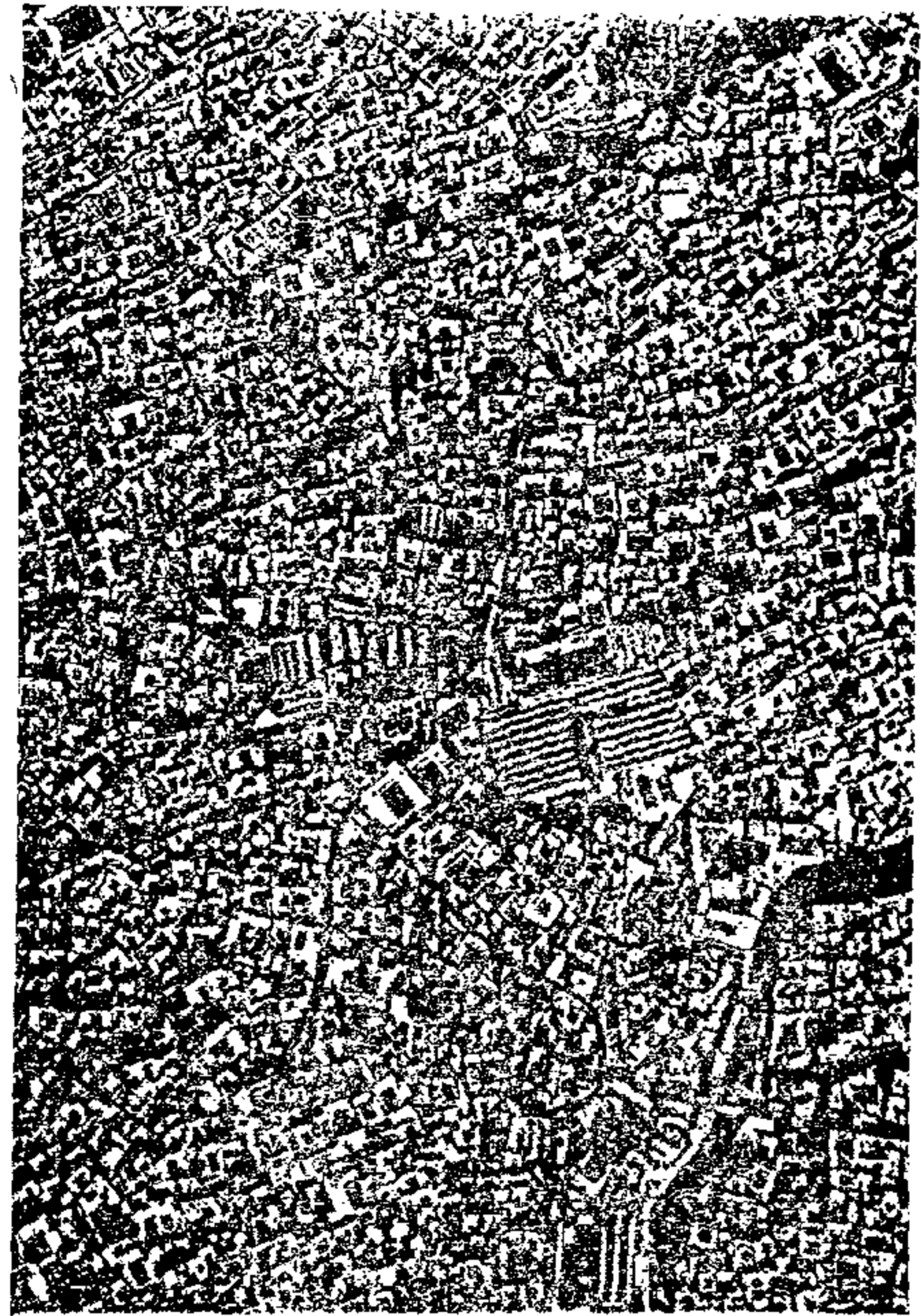
وبالمقارنة بالمدينة الإغريقية القديمة التي وضع أسس تخطيطها مخطوون أمثال هيبوداموس ، اكستوفون ، وأبو قراط . . ، والمعروفة بالمدينة ذات التخطيط الشبكي أو التخطيط الصارم والتي اعتمدت على وحدة تخطيطية هي « (الانزولا) » أو البلوك السكني الحاط بالشوارع من الأربع جهات فيمكننا التعرف بوضوح على مجمل الأماكن العامة واتصال أو تنافس الفراغات المحيطة بها .

ومن خلال المقارنة السابقة نصل إلى أن تشكيل وصياغة الفراغات العامة ووضوحها في صورة المدينة يتم بتأثير قوى من الأيدولوجيات السياسية والاجتماعية والثقافية للمجتمع ، كما في صورة المدينة الإغريقية ، تماماً مثلما يؤثر الدين وأحكامه وتشريعته في تحديداتها أو غيابها من الصورة ، كما في المدينة الإسلامية .

وعلى هذا فإن المتفحص للمدينة الإسلامية القديمة يستطيع الاستدلال على نوعين متميزين من الفراغات :

(أ) الفراغات العامة :

وهي التي تخصص لممارسة الأنشطة الدينية والتجارية والتي ترتبط بالمباني العامة التي تؤدي هذه الوظائف ، حيث استندت الظروف والمؤثرات الدينية والاجتماعية لتواجدها بهذا الشكل ، ويمكن أن تنقسم إلى قسمين :
- الفراغ أو المركز الرئيسي للمدينة ، وهو المسجد الجامع بعناصره المعروفة (الصالة المغطاة ، الصحن أو



شكل (2) مركز مدينة فاس بالمغرب ، مثال للمدينة الإسلامية القديمة متجانسة في تشكيلها العام ، ويبدو مسجد القرويين كأكبر المباني من ناحية الحجم ولكنه متداخل مع النسيج المكون للهيكل العام للمدينة ، ويلاحظ قلة الفراغات العامة في النسيج الحضري للمدينة .

المسجد الجامع وساحاته :

للمسجد في نفوس المسلمين مكانة عالية وسامية ، فهو بيت الله في الأرض وفيه يجتمع المسلمون على التقوى والصلاح . والقرآن والسنة فيهما من الآيات والاحاديث ما يؤكد على تأدية الصلوات الخمس والجمع والاعياد في المسجد ، وهو بهذا يصيغ نمط الحياة اليومية للمسلمين في تجارتهم ولقاءاتهم وجميع أعمالهم .

وقد ظهرت مكانة المسجد الرفيعة في صدر الاسلام ولفترات طويلة لاحقة لكونه أهم مبنى أو البنى العام الوحيد في المدينة الاسلامية ، حيث اختص بتأدية وظائف أخرى بخلاف الصلاة ، تمثلت في مجالات مختلفة مثل المجال السياسي في التشاور ومبايعة الحاكم ، مجالات ادارية في تصريف شئون المجتمع ، كذلك مجالات اجتماعية واقتصادية في عقد الزيجات والمصالحات والاتفاقيات على الصفقات ، وأيضا مجالات التربية الدينية والتعليم للنشء والكبار .

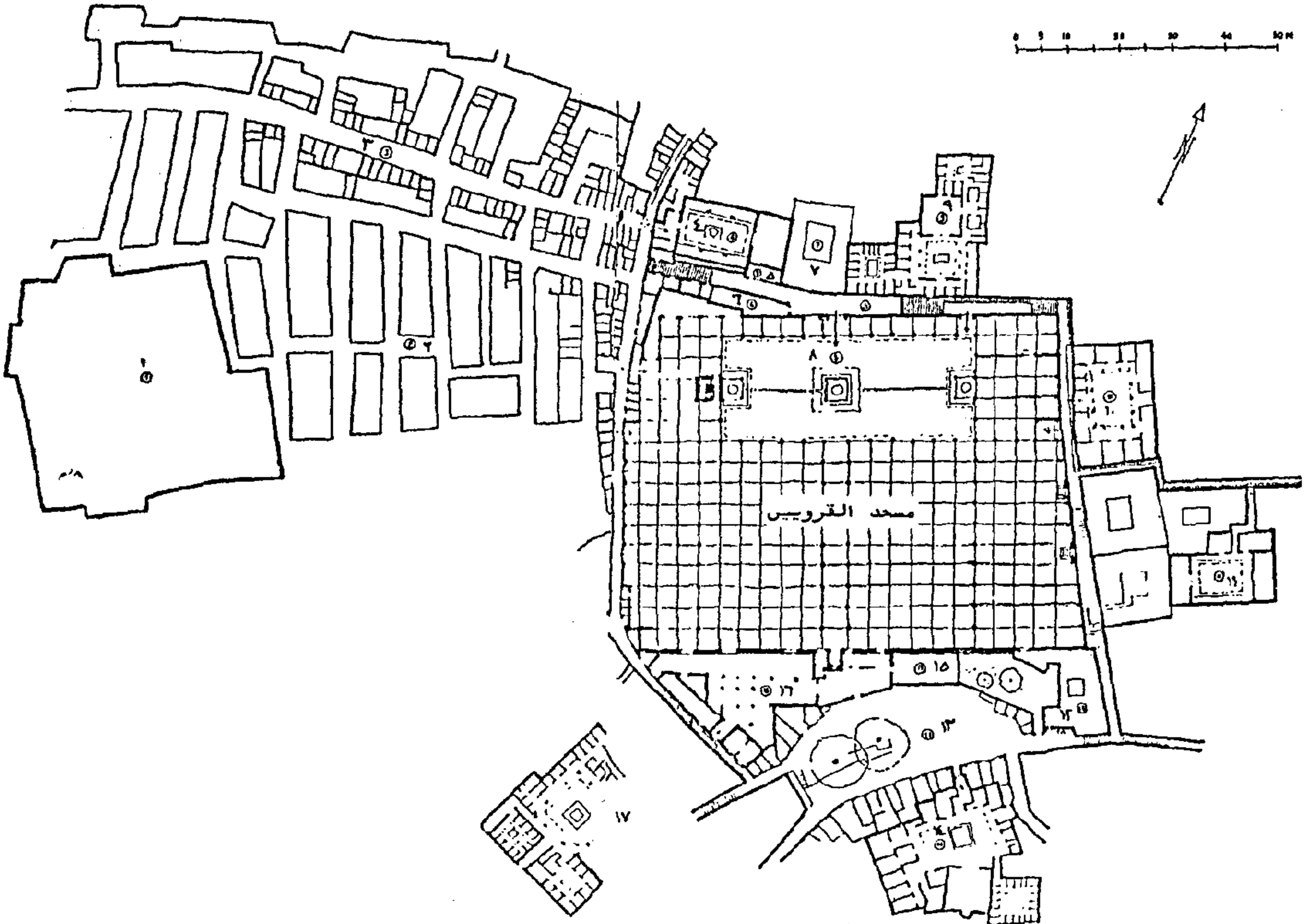
وبذلك اعتبر المركز الروحي أو الديني للمدينة كما اعتبر في نفس الوقت مركز التقاء الحياة العامة لها (شكل ٣) .

الحوش المحاط بالبواكي ، ثم الساحة العامة أمام المسجد ويعتبر المركز الروحي أو الديني والثقافي للمدينة .

ـ الفراغات أو المراكز الفرعية ، وهي ملتحة التحاما عضويا بالمسجد الجامع وتتم فيها مختلف الأنشطة العلمية والثقافية (المدرسة والكتاب) والصحية (الپيمارستان) وأيضا محل الفسيل والوضوء والحمامات العامة ، والتجارية (الوكالة ، المصيفة والفندق) وأيضا الشوارع التجارية (البازار) .

(ب) الفراغات شبه العامة :

وهي المساحات أو الفراغات التي تبقى بين الاراضى التي تستقطع للاستعمال الخاص (السكن) وتقصد بها الشوارع والحارات والاحواش السكنية والتي تندرج فيها درجة الاستعمال من فراغات عامة (الشوارع أو الشرايين الرئيسية) ، ثم فراغات شبه عامة (الحارات السكنية) الى فراغات شبه خاصة (الأزقة والعطفة وحوش البيوت) الى فراغات خاصة (الافنية أو الاحواش الداخلية) . . الفراغات العامة في صورة النسيج الحضري للمدينة الاسلامية القديمة :



شكل (٣) موقع عام للمركز الحضري لمدينة فاس المسجد يسيطر على باقي العناصر المكونة للمركز ولا تقتصر وظيفته على الصلاة فقط وانما يؤدي عدة وظائف اجتماعية وثقافية .

- عناصر المركز الحضري : ١ - مسجد وضريح مولاي ادريس . ٢ - قيسارية (أسواق ومباني يمكن قفلها) . ٣ - الشريان الرئيسي للسوق (غرب - شرق) . ٤ - مدرسة العطارين . ٥ - كتاب (تحفيظ القرآن) . ٦ - مكان وضوء . ٧ - مكان للفسيل والحمام . ٨ - حوش مسجد القرويين . ٩ - المدرسة المصباحية . ١٠ - بيت تاجر كبير . ١١ - بيت قاضي المدينة . ١٢ - مكان النحاسيين . ١٣ - فندق تطوان . ١٤ - مدرسة الزعفران . ١٥ - مكتبة مسجد القرويين . ١٦ - مسجد للصلاة على الموتى . ١٧ - مدرسة الشريعة .

غيره من المساجد المحلية التي كانت ملتزمة التزاما عضويا بمباني الاحياء التي تتكون منها المدينة وهذه ظاهرة يمكن تسجيلها وتوضح ارتباط بناء المسجد الجامع بالحاكم ، والمساجد المحلية بالسكان في هذه الاحياء .

واذا كان المسجد الجامع يمثل المركز الرئيسى في المدينة الاسلامية القديمة فانه يكاد يلتحم به مجموعة من الفراغات أو المراكز الفرعية - كما ذكرنا - والتي تتم فيها مجموعة من الأنشطة « التخصيصية » العامة مثل :

الأنشطة التربوية والتعليمية والثقافية : وتخصص لها ابنية تبدأ من الكتاب الذى يهتم بتربية وتعليم النشء الاسس الاولى للدين الاسلامى الحنيف . ثم « المدرسة » التى يتم فيها الدرس والتحصيل فى فصول وقاعات لتلاميذ المستوى الاعلى بالإضافة الى تخصيص « خلايا » أو غرف صغيرة لاقامة الطلبة الاجانب والمغتربين وهو ما يطلق عليه « النكية » ، أما المرحلة العليا من التعليم والتفقه فى الدين فتتم على يد علماء وشيوخ الاسلام حول أعمدة الصالة الرئيسية للمسجد الجامع ، حيث يتخلق طابى العلم حول الشيخ أو العالم الذى يختار « عامود » محدد من أعمدة الصالة يسمى بأسمه .

الأنشطة الصحية : وهى محل الفسيل والوضوء ، لاستيفاء شرط الطهارة قبل الصلاة وهى ركن هام قصد به النظافة الشخصية ، والتي بالامكان أن تتم أيضا فى الحمامات العامة التى تميزت بها المدينة الاسلامية القديمة . أما الرعاية الصحية والعناية بالمرضى فتتم فيما يسمى بالمستشفى .

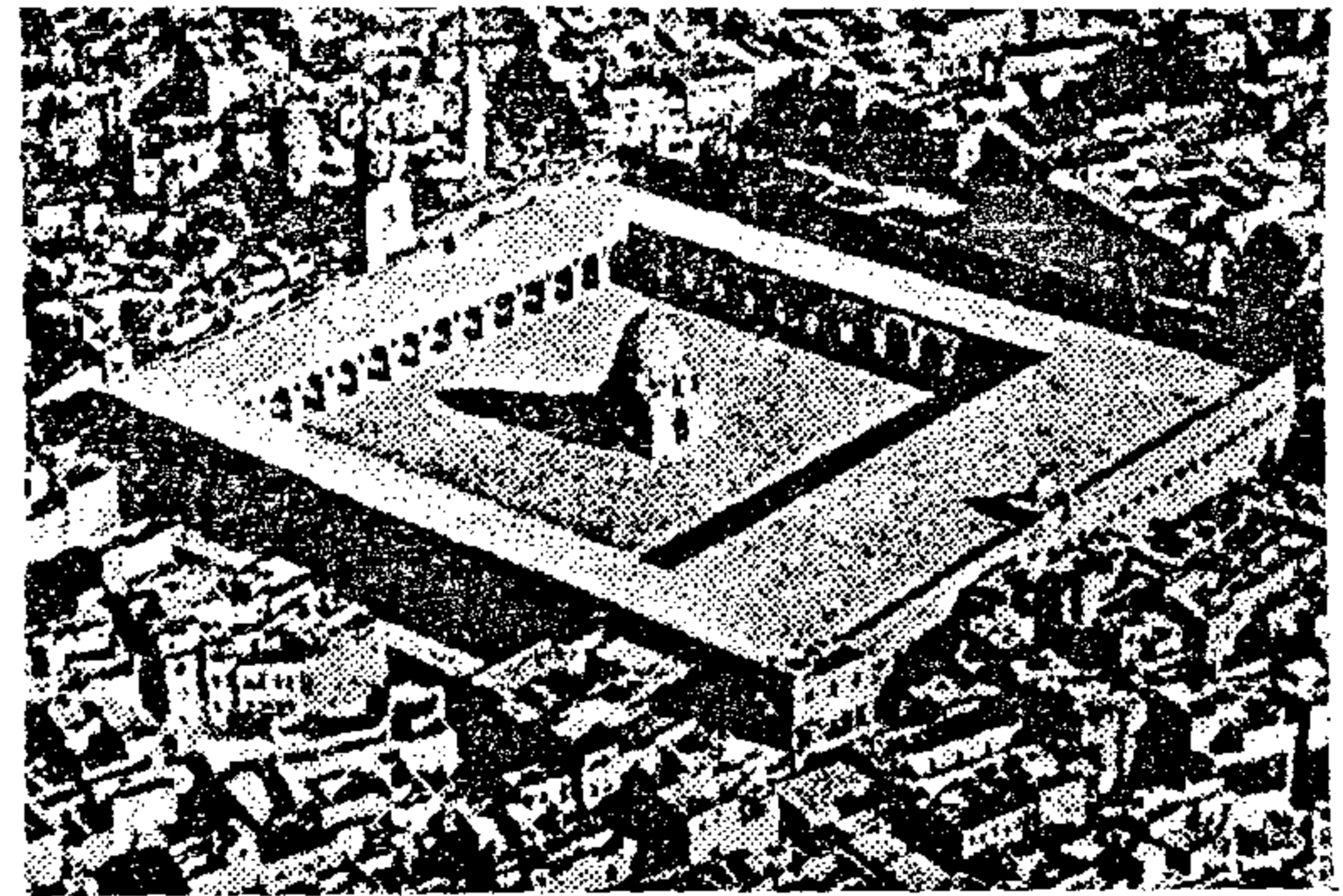
أما الأنشطة التجارية : فتتم فى مكانين متكاملين ، الاول الوكالة والخان التى تتميز بالحوش الداخلى الذى تحيطه غرف ومخازن تخصص للتجار الوافدين وتستعمل بالتالى كمكان للإقامة والراحة وأيضا مكان لتخزين وعرض المنتجات والبضائع (شكل ٥) .

أما الأنشطة التجارية التى تتم فى السوق أو « البازار » فهى من أهم ما يميز المدينة الاسلامية القديمة بعد المسجد الجامع (شكل ٦) .

وهذه الاسواق اختلفت صورتها فى مشرق ومغرب الدولة الاسلامية فبعضها شوارع تجارية مغطاة أو أجزاء منها مغطاة أو مفتوحة ، أو أحيانا مباني مغلقة بأحواش داخلية ، ولكن الملاحظ عموما أنها أقرب الأنشطة العامة الى المسجد الجامع ومساراتها تشع وتشعب انطلاقا منه . وهذا الربط الوظيفى بين النشاط الدينى والتجارى يمكن التعرف عليه فى معظم صور المدن الاسلامية القديمة . والسوق لا تتركز وظيفته فقط فى أعمال البيع والشراء ، ولكنه مكان للقاء العام والمقابلات ، وإذا كانت هذه إحدى الوظائف التى تتم فى المسجد الجامع ، فانها فى السوق تمارس على نطاق واسع وبحرية دنيوية أكبر . حيث تتم فيه لقاءات يتبادل فيها الجديد من الاخبار ، والجلوس والاستضافة امام المحلات والدكاكين ، والترفيه والترويح بواسطة المشدين وضاربى الدفوف الجائلين .

وبتأدية المسجد لهذه الوظائف فى فراغاته الداخلية وفناءه المكشوف نجد أن الساحة العامة التى كانت إحدى السمات المميزة للمدينة الاغريقية والرومانية القديمة كادت أن تتلاشى فى المدينة الاسلامية القديمة .

ومنذ مسجد الرسول صلى الله عليه وسلم الذى بنى فى المدينة المنورة ولحقب طويلة بعد ذلك كان المسجد يعتبر النواة التى يتبلور حولها التكوين الطبعى للمدينة باعتباره مصدر التعاليم الاسلامية وملتقى الحاكم وأولى الامر بجموع المسلمين . وبحكم أهميته تلك نجد انعكاسا لها فى حجم بناءه ، فبالقياس الى مباني المدينة عامة والمباني المحيطة بالمسجد خاصة نجد أنه مثل مثل كبير وأضخم مبنى فى قلب المدينة (شكل ٤) وقد زاد فى ضخامة مبنى المسجد وخاصة المساجد الجامعة والتي لها مكانة خاصة ، اهتمام حكام المسلمين المتعاقبين بأعمال توسعتها وأعمارها ، فظهرت الافنية الداخلية المتعددة وكذلك ظهرت الساحات الخارجية المحيطة بالمسجد .



شكل (٤)

مسجد أحمد بن طولون القاهرة (٨٧٩م)

حيث يبدو المسجد فى المدينة الاسلامية القديمة كنواة يتبلور حولها التكوين الطبعى للمدينة ويظهر التباين فى حجم المسجد وما حوله من مساجد ، بالإضافة الى وجود الفناء الداخلى وبعض الساحات الصغيرة المحيطة بالمسجد

ومع ظهور الشخصية الفردية للحاكم ارتبط المسجد بقصر الحاكم ودواوينه فى تجمع مركزى بوسط المدينة . وبعد ذلك انفصل المسجد عن القصر الحاكم الذى استمر يأخذ مكانه المتوسط فى المدينة ، ولم يعد المسجد الجامع بعد ذلك يمثل مركز الثقل لوسط المدينة كما يتضح من موقع الجامع الأزهر بالنسبة لقصور الفاطميين فى القاهرة المعزية .

ومن الملامح التى ميزت المسجد الجامع فى مراحل تطوره المتقدمة وجود الساحة الكبيرة التى تعدد استعمالها فى أنشطة مختلفة مثل الصلاة فى الجمع والاعياد ، أو تجمع وانطلاق المواكب الدينية فى المناسبات المختلفة ، أو حتى ساحة للبيع والشراء بعد انتهاء الصلاة . كما أن تأثيره الشكلى بالنسبة لواجهاته أو قبابه أو مآذنه قد ميزه عن

ويتبع في أسواق المدن الإسلامية القديمة نظام معروف في تخصيص قطاعات السوق (وتشمل حارة أو حارات) حسب نوع الحرفة أو البضاعة المتداولة ، ويتنوع هذا التخصيص بحسب مدى علاقته بالمسجد الجامع كمركز ديني ثقافي ، فمثلا القطاع أو الحارة التجارية الأقرب الى المسجد تخصص لعرض وبيع الكتب الدينية وورش تجليدها ويلصق هذا القطاع ، سوق السجاجيد والمسابع والسواك والعود (البخور) ، ثم سوق المصنوعات الجلدية وصناعة الخف والصنادل .

أما الحياة التجارية بمعناها الحقيقي فتتركز فيما يسمى « القيسارية » ، وهو مبنى أو مباني يمكن اغلاقها عند الحاجة ، وتشمل محلات لبيع الاقمشة الحريرية والمطرزة ، بالإضافة الى أماكن تخزين وعرض البضائع الأخرى ذات القيمة . ويرجع تخصيص مكان للمنسوجات والاقمشة لما اشتهرت به هذه الصناعة عالميا في فترة ازدهار الحضارة الإسلامية التي تقابل فترة العصور الوسطى في أوروبا .

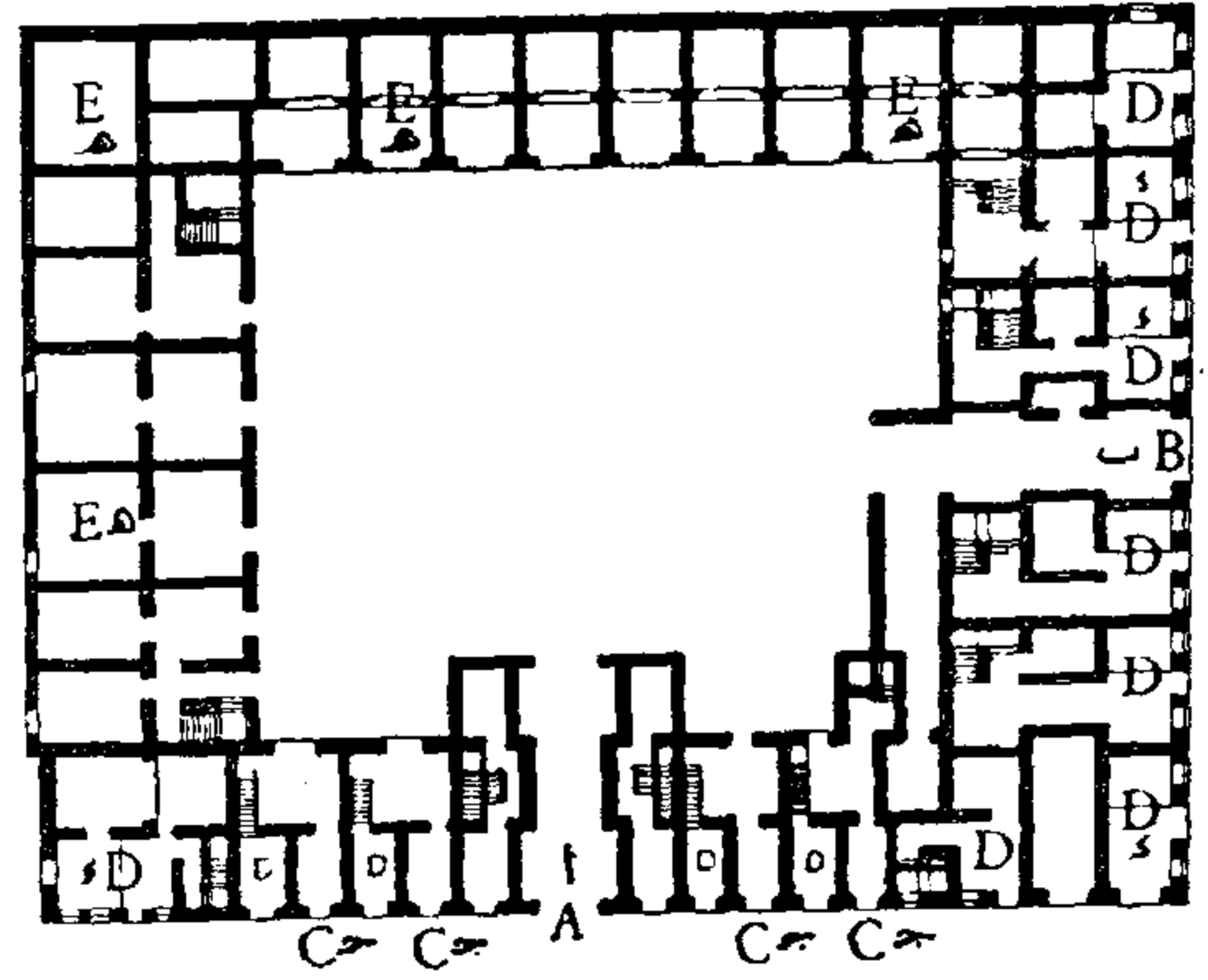
وبالقرب من « القيسارية » يتجمع سوق الحدادين صانعي الآلات الحادة (السكاكين والخناجر والسيوف) وكذلك صانعي الاقفال والترايس ، والنحاسين صانعي المنتجات النحاسية (الأدوات المنزلية مثل الحسل والصواني ..) في مباني خاصة عبارة عن غرف للورش تطل على حوش داخلي ويخصص مكان لعرض منتجاتها يطل على الحارة التجارية وله منها مدخل للبيع والشراء . وفكرة الورش المطلة على أحواش داخلية لم تكن فقط بغرض عزل الصوضاء الناتجة عن أعمال الطرق ، وإنما لتمكن الاستفادة منها كمخازن للمادة الخام والمنتجات المصنعة .

وفي مكان يبعد عن المركز الرئيسي (المسجد الجامع) تتجمع محلات وورش الذهب والفضة (الصاغة) ، ثم تنتهي مصفوفة الحارات (أو الفراغات) التجارية بورش صانعي السروج ومستلزمات الخيالة وراكبي الجمال ، التي تتجمع عند بوابات المدينة بالقرب من عملائها من أفراد القوافل التجارية (ساحة الرباط) .

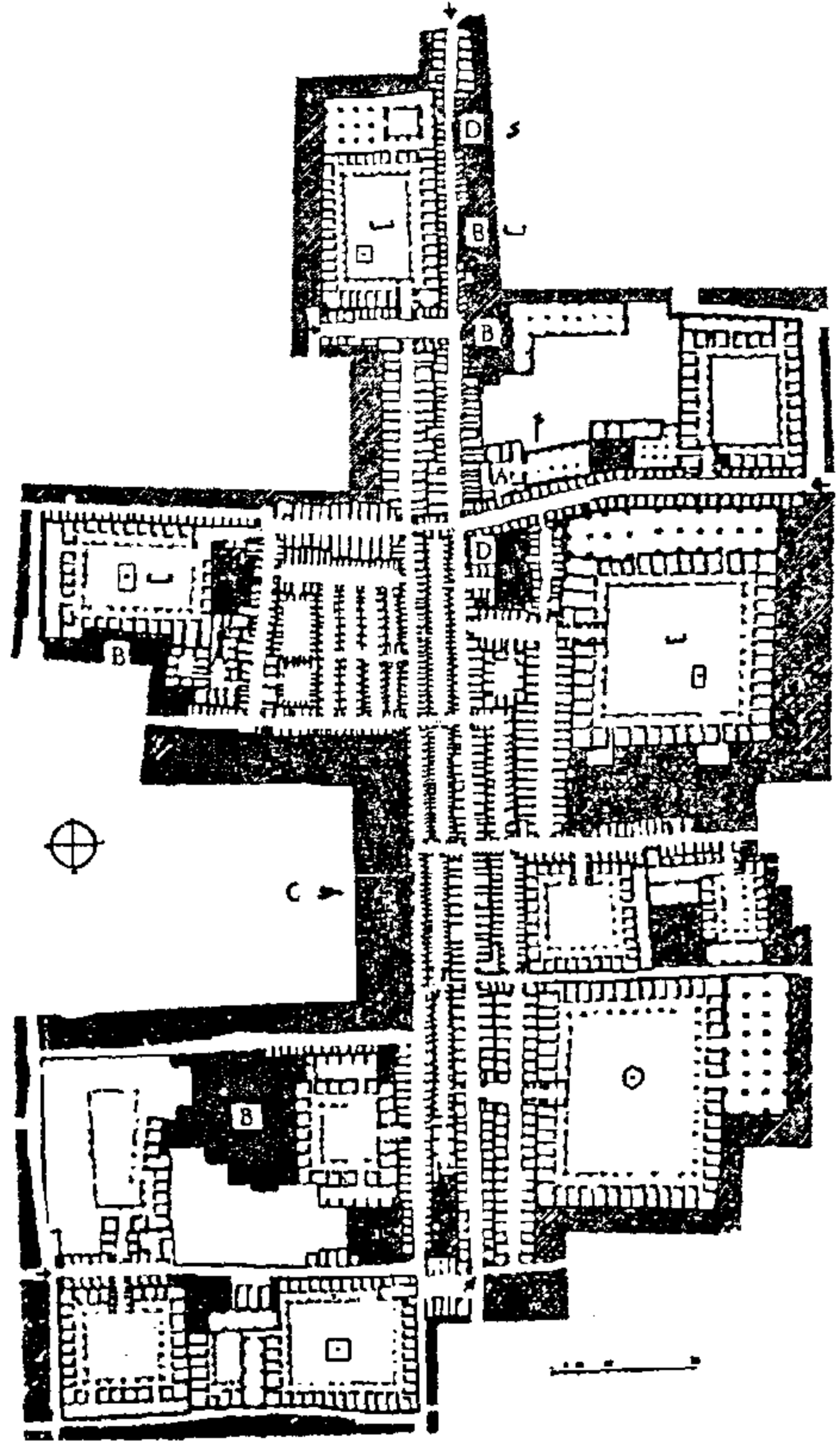
ويتجمع خارج سور المدينة (الساحة أمام البوابة) سوق المنتجات الريفية من المواد الغذائية والخضار والفاكهة وأيضا صانعي السلال « والقفف » والحصير والكليم .

وكذلك تتجمع حرف وصناعات الصباغة والدباغة والوانى الفخارية (الفواخير) في مناطق على الاطراف الخارجية للمدينة حيث أن وجودها داخل المدينة أو بالقرب من مناطق السكن غير مرغوب فيه نظرا لتطلبها مساحات واسعة وأيضا بسبب الروائح الكريهة التي تنتج من هذه الحرف والصناعات .

أما مستلزمات الحياة اليومية من مأكّل ومشرب وغيرها فلا يتم الحصول عليها من خلال السوق المركزي (البازار والشوارع التجارية) للمدينة الإسلامية القديمة ولكن من خلال أسواق فرعية صغيرة تتواجد في الأحياء السكنية المختلفة وهي صورة مصغرة في بناء فراغاتها للسوق



شكل (٥) سواكن ، أحد الموانئ السودانية القديمة على شواطئ البحر الأحمر ، بنيت في فترة حكم الاتراك . والشكل يمثل أحد الخانات القديمة بالمدينة والتي تحتوى على : (أ ، ب) مدخل للمشاة (ج) ممرات صغيرة تؤدي للحوش (د) مداخل للمساكن التي تعلو الخان (٣ أدوار) (هـ) مخازن ومحلات .



شكل (٦) بازار مدينة حلب (سوريا) ، مركز النشاط التجارى بالمدينة القديمة ، وملحق به بعض الخانات (الفنادق) التي يوجد بها مساجد صغيرة للصلاة في الاحواش .
(أ) القيسارية (ب) مدارس (ج) الجامع الكبير (د) المساجد الصغيرة

ومسار الحركة للمشاة ينساب فقط في شريط ضيق بمنتصف الحارة ، بينما تقوم الحنايا على الجانبين وكذلك الفراغات أمام المحلات باحتواء واستقبال تجمعات رواد السوق . ويرجع ضيق الحارات والشوارع التجارية وتكوينها الفراغى (فى البعد الثالث) الى تأثيرها بعدة ظروف مناخية واجتماعية وعوامل الامن ، كما أنها بهذا الشكل تساعد كثيرا على تنشيط الحركة التجارية فى الاسواق الممتدة وهذه ظاهرة عامة فى مدن العالم .

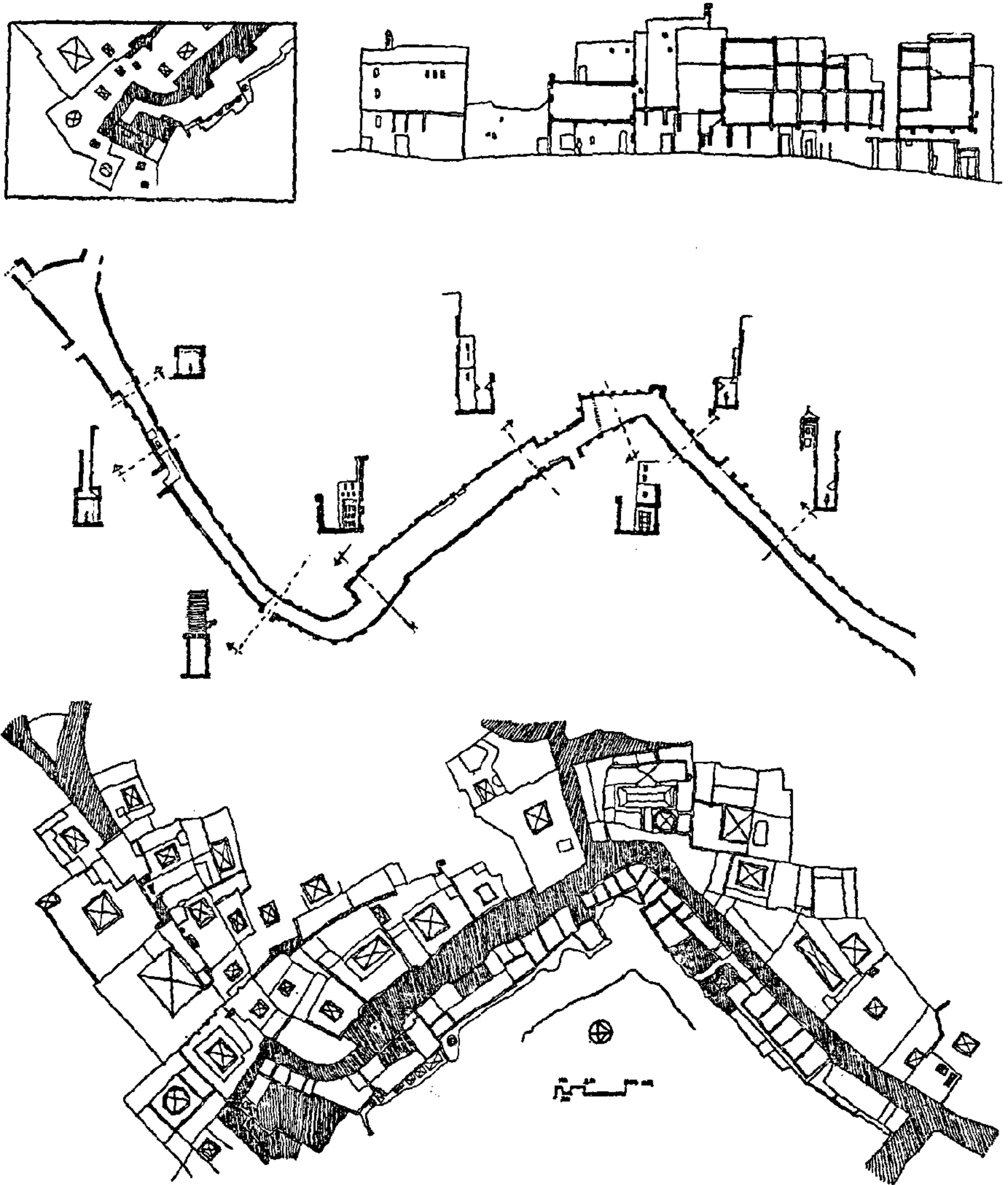
الميادين والساحات العامة :

يمكن للدارس للمدن الاسلامية القديمة أن يميز بين نوعين أساسيين من الميادين والساحات العامة :

الاول : الساحات العامة فى داخل النسيج الحضرى للمدينة .

المركزى ، حيث يرتبط المسجد المحلى للحى مع الحارات التجارية (السوق الصغير) والحمام والمباني الاجتماعية الاخرى فى وحدة واحدة ، والسوق الصغير يختلف عن السوق المركزى فى أن معظم عملائه من العنصر النسائى (الحريم) ، كما يتميز بأن معظم معروضاته هى المواد الغذائية والخضروات والفاكهة بالإضافة الى بعض المستلزمات المنزلية البسيطة ، كما يتم عرض وبيع منتجات الاسر المنتجة (مثل الكليم والطواقي ، والزبد والجبن . الخ)

وتشكل الحارات التجارية فى سوق المدينة الاسلامية يظهر فى الغالب صورة وشكل الفراغات الداخلية وليس الفراغات الخارجية حيث يميز هذه الصورة تتابع التغير فى تغطية الحارة من مغطاه ، الى شبه مغطاه ، الى مفتوحة مما يغير بالتالى فى اتجاه البعد الثالث للحارة وتشكيل الفراغ (شكل ٧) .

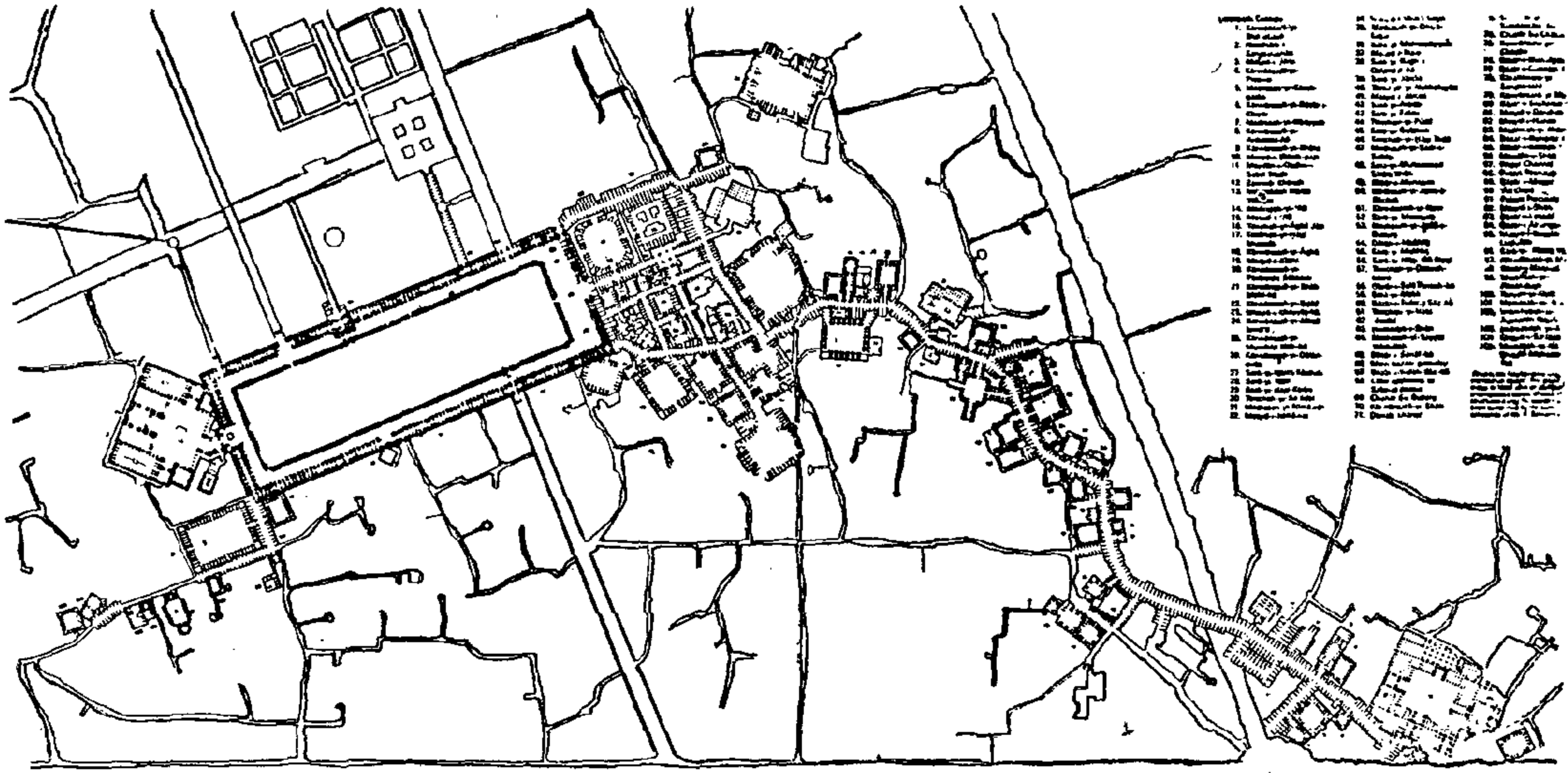


شكل (٧) شارع تجارى بمدينة فاس (المغرب) يلاحظ التغير فى اتجاه البعد الثالث للشارع وتشكيل الفراغ حيث ينساب مسار الحركة فى شريط ضيق . ويؤكد تشكيل الفراغ والتنوع فيه بروز ودخولات المباني وتغطية الشارع فى بعض أجزاءه .

الساسانية الى ما بعد دخول الاسلام (شكل ٨) . ولم تنشأ الساحات العامة في صورة المدينة الاسلامية الا بظهور سيطرة الحاكم والشخصية الفردية له وأحيانا انعزاله أو انفصاله عن رعيته ، كما يظهر ذلك في العديد من الامثلة ابتداء من الساحة الكبيرة التي أقامها أحمد بن طولون في السهل الواقع بين قصره (بمدينة القطائع) وجبل يشكر وذلك لاستعراض الجيوش وألعاب الفروسية ، ثم قاهرة المعز لدين الله الفاطمي في الساحة الكبيرة المعروفة (بين القصرين) ، وأيضا في مدينة المنصور في بغداد (المدينة الدائرية) التي فصل فيها المنصور قصره ومسجده الكبير بأسوار وفراغ كبير عن باقي قطاعات المدينة (شكل ٩) .

الثاني : الساحات العامة خارج النسيج الحضري ، أي خارج أسوارها وأمام بواباتها .

فالنوع الاول عنصر مميز لوسط المدينة وأمام المباني العامة في مدن الحضارات القديمة ، تمارس فيه الأنشطة الجماعية للسكان مثل الأنشطة الدينية أو التجارية أو السياسية أو الاجتماعية كما ذكرنا مسبقا ، أما في المدينة الاسلامية القديمة فلم تظهر هذه الساحات بتميزها الواضح وذلك لقيام الفناء المكشوف داخل المسجد الجامع بأداء معظم هذه الوظائف وخاصة الدينية والسياسية ، وإن اختلف الامر بالنسبة للمدن الفارسية التي استمر فيها وجود مثل هذه الساحات كتأثير من الحضارة



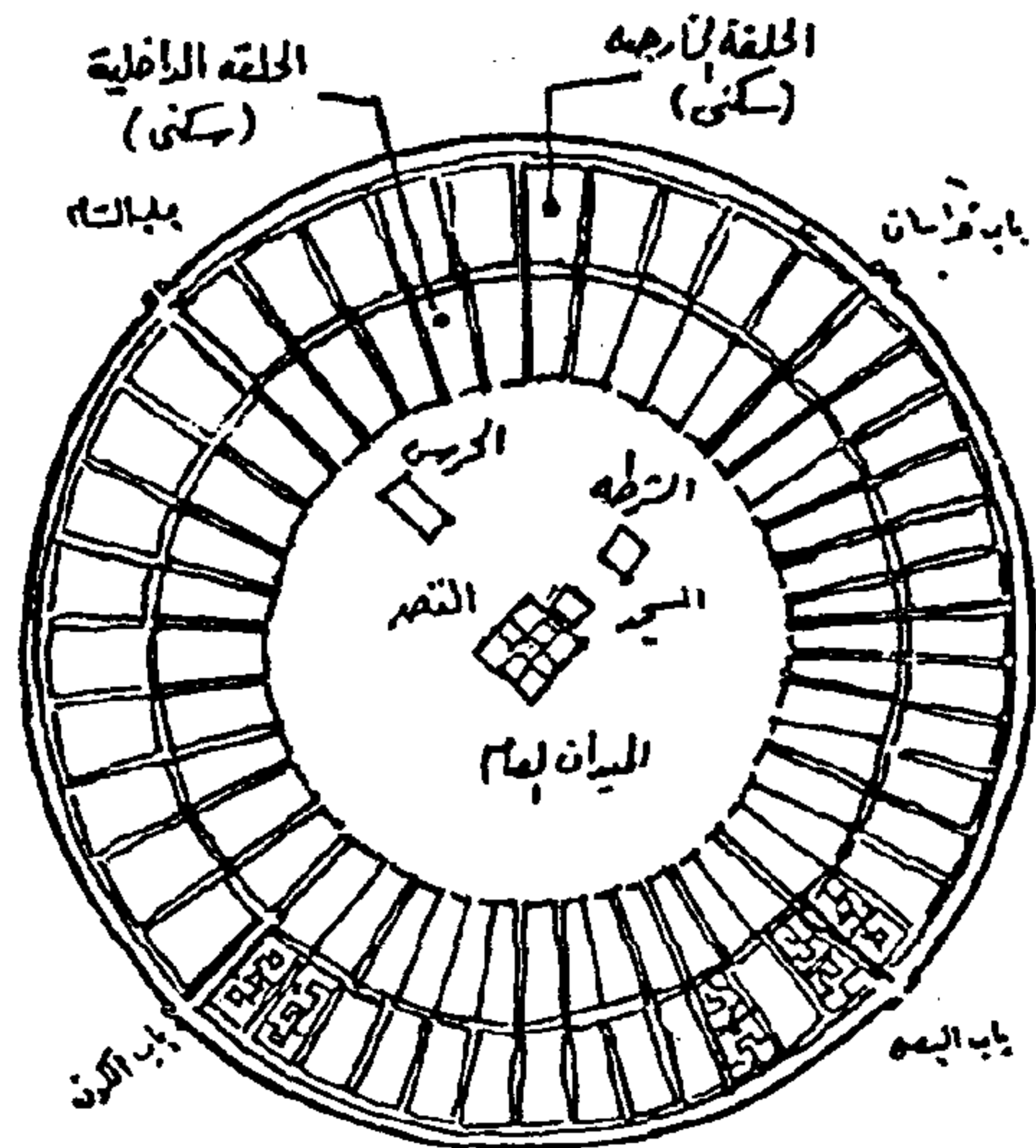
شكل (٨) مدينة اصفهان (إيران) الشكل يوضح سيطرة الميدان في صورة المدينة الإيرانية .

أما الساحات العامة خارج أسوار المدينة فهي من العلامات المميزة للمدينة الاسلامية القديمة ، وهي ساحات خاصة بالقوافل التجارية العابرة ، أو ما يسمى بالرباط ، وفيها يتم راحة الجمال والعناية بها ، وعقد الصفقات التجارية ليتم تحميل دواب الحمل الصغيرة (الحمير والبغال) بالبضائع التي تنتقل بها خلال الحارات الضيقة حتى تصل الى السوق أو البازار .

ومع التطور الحضاري تغير استعمال هذه الساحات لتصبح أماكن للأسواق الاسبوعية التي يقيمها المزارعون من القرى المحيطة بالمدينة ليعرضوا بها منتجاتهم ومحاصيلهم الزراعية (شكل ١٠) .

الفراغات شبه العامة والخاصة :

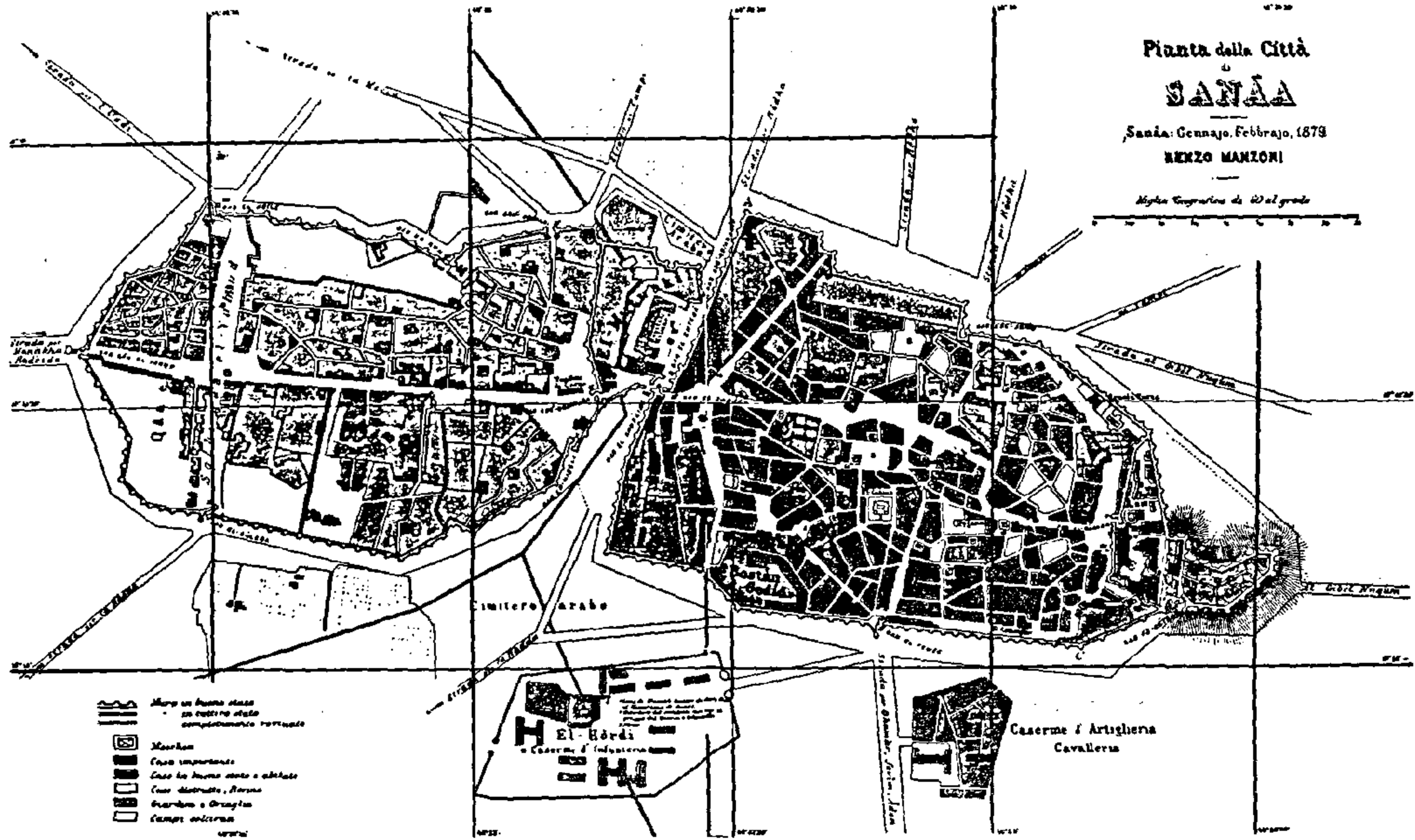
يختلف مفهوم الفرد في مجتمع المدينة الافريقية عن الفرد في مجتمع المدينة الاسلامية القديمة . فالفرد في المدينة الافريقية يعيش « مجتمع المدينة » بماديته وعلاقاته الاجتماعية المعقدة ، الانعزالية الفردية في مسكنه الخاص والتفاعل مع المجتمع في الأنشطة السياسية والتجارية والترفيهية في الفراغات العامة . أما الفرد المسلم فعنده شعور بالانتماء الى الجماعة أو « الامة الاسلامية » ، وهو



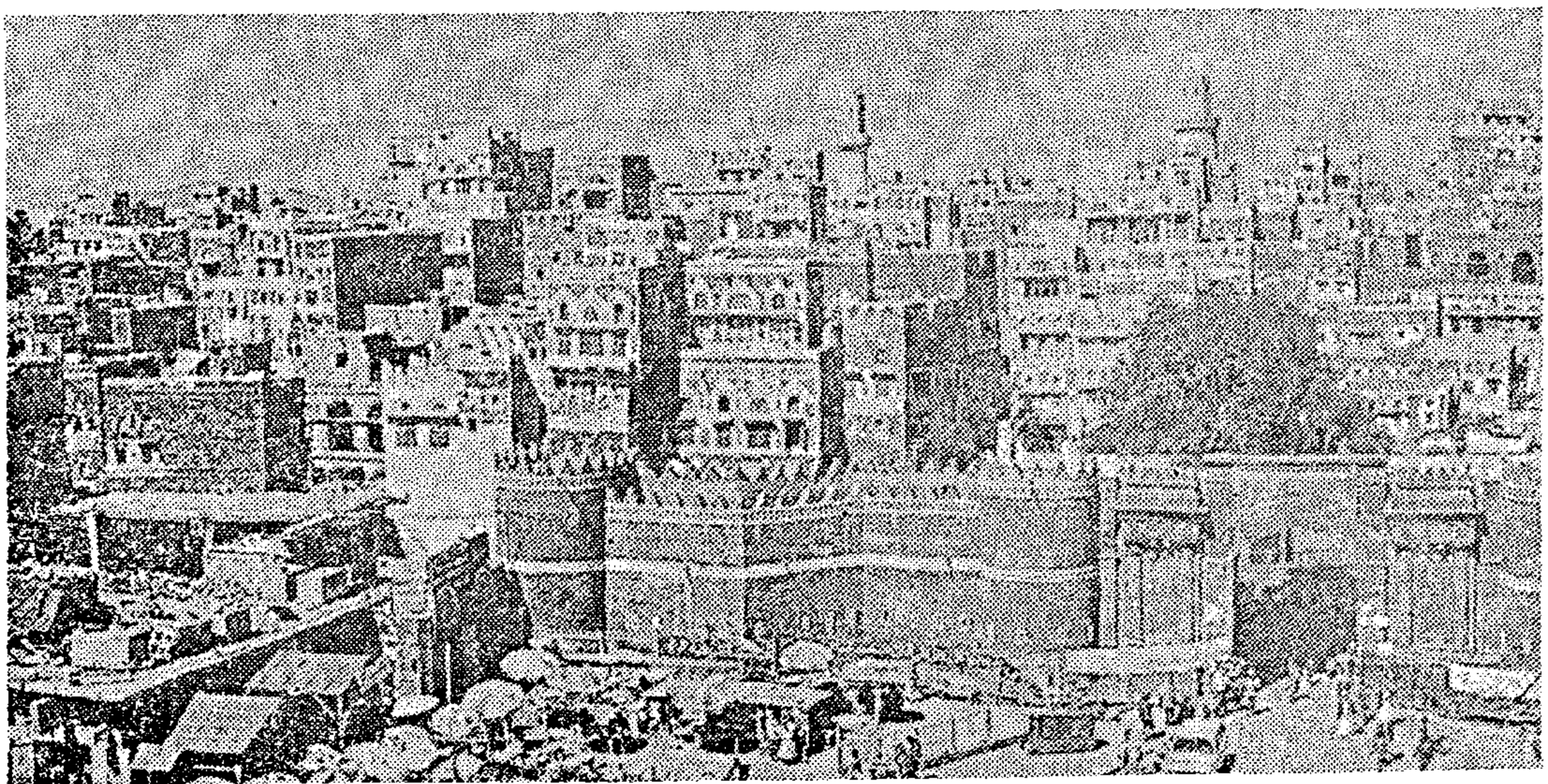
شكل (٩) المدينة الدائرية - مدينة المنصور (بغداد) التخطيط يظهر سيطرة قصر الحاكم وبعده عن المجتمع من طريق الساحة الدائرية التي تفصله عن القطاعات السكنية

من منطلق الشريعة الإسلامية في الكتاب والسنة ، وهذا النموذج من الانتماء أدى الى صياغة « هيكل » للقطاعات السكنية وفراغاتها (شبكة الطرق والاحواش) بطريقة ذات طابع مميز .

انتماء روحى ودينى يبدأ بالتراحم والتعاطف والتكافل مع الاسرة الصغيرة (الاب والام والاولاد) ثم الاسرة الكبيرة (الاخوة والاقارب) ثم القبيلة (الاهل والعشيرة) الى أن تنتهى بأمة محمد صلى الله عليه وسلم ، وهذا كله يتم



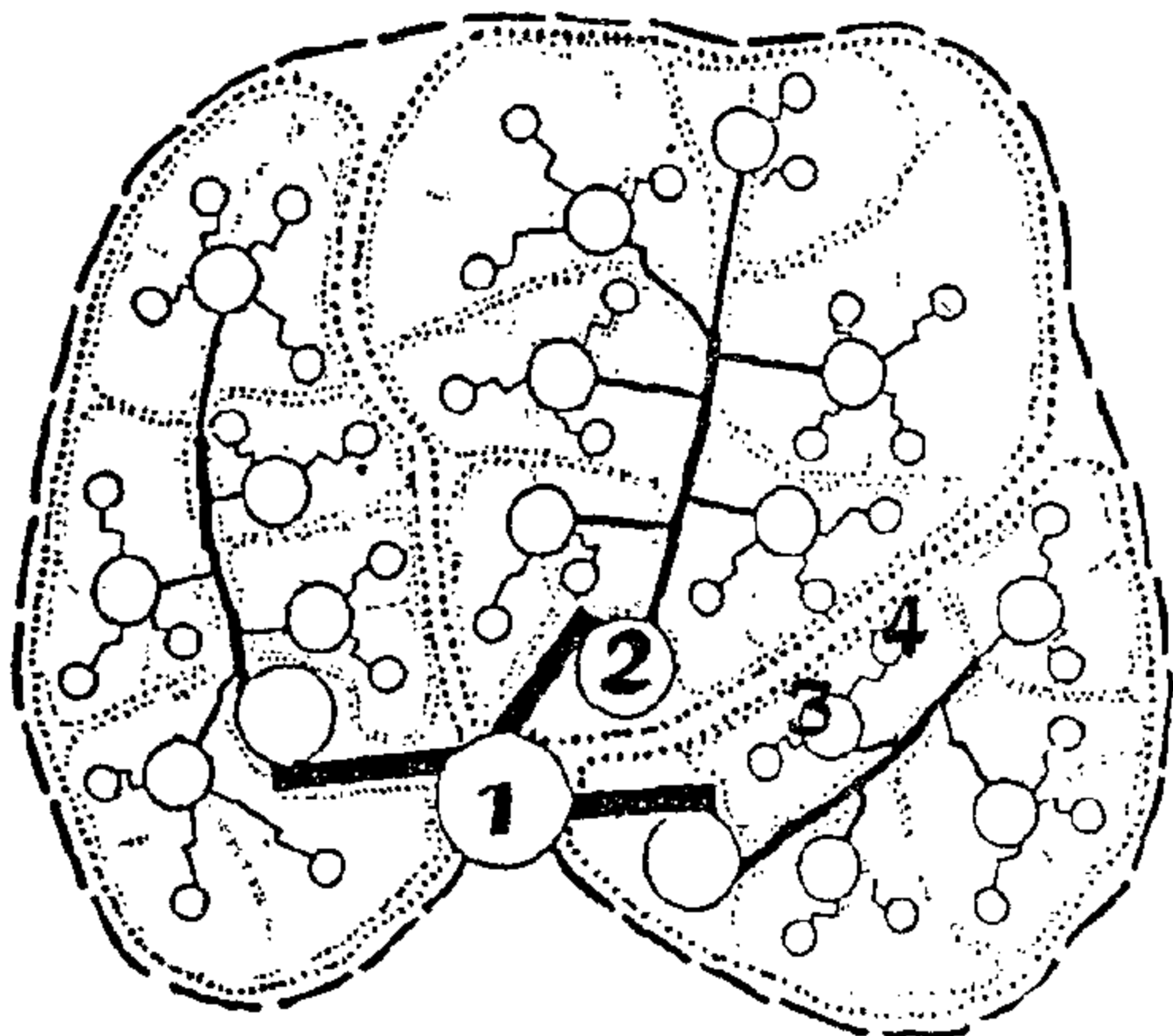
شكل (١٠ - أ) الساحات أمام البوابات والاسوار ، كما تظهر في مدينة صنعاء (اليمن) حيث الاسواق الاسبوعية



شكل (١٠ ب) صورة للمساحة العامة أمام بوابات سور صنعاء القديم وما زالت تستخدم كسوق بنفس استخدامها القديم .

للحارة بوابة تطلق ليلا كما ذكرنا ، وبالأمان أن تكون هذه الحارات (الطولية) في شكل أحواش ، أو أفنية (شبه خاصة) وهو ما يسمى (حوش البيوت) . كما أن هذه الحارات وبحكم وظيفتها تكون في الغالب حارة مقفولة النهاية (زقاق) لتصبح قاصرة على استخدام سكان المنازل التي تخدمها .

(د) ومن الحارات شبه الخاصة أو (حوش البيوت) يتم التخديم مباشرة الى المسكن الذي بالأماكن أن يحتوى على فناء أو حوش داخلي للمسكن وهو ما يمثل الفراغ الخاص في منظومة الفراغات بالمدينة الإسلامية القديمة .



شكل (١٢) مسقط تحليلي لتدرج الفراغات وتسلسلها في المنطقة السكنية بالمدينة الإسلامية القديمة .

المراكز	شرايين الحركة
١ - السوق الرئيسي	— شارع رئيسي
٢ - أسواق الأحياء السكنية	— حارة
٣ - أسواق صغيرة	— زقاق
و أماكن لقاء محدودة	
٤ - الحوش السكني	

المجموعات	درجة الخصوصية
مجموع السكان	عام
سكان المدينة	شبه عام
عائلات كبيرة	شبه خاص
الأسرة الصغيرة	خاص

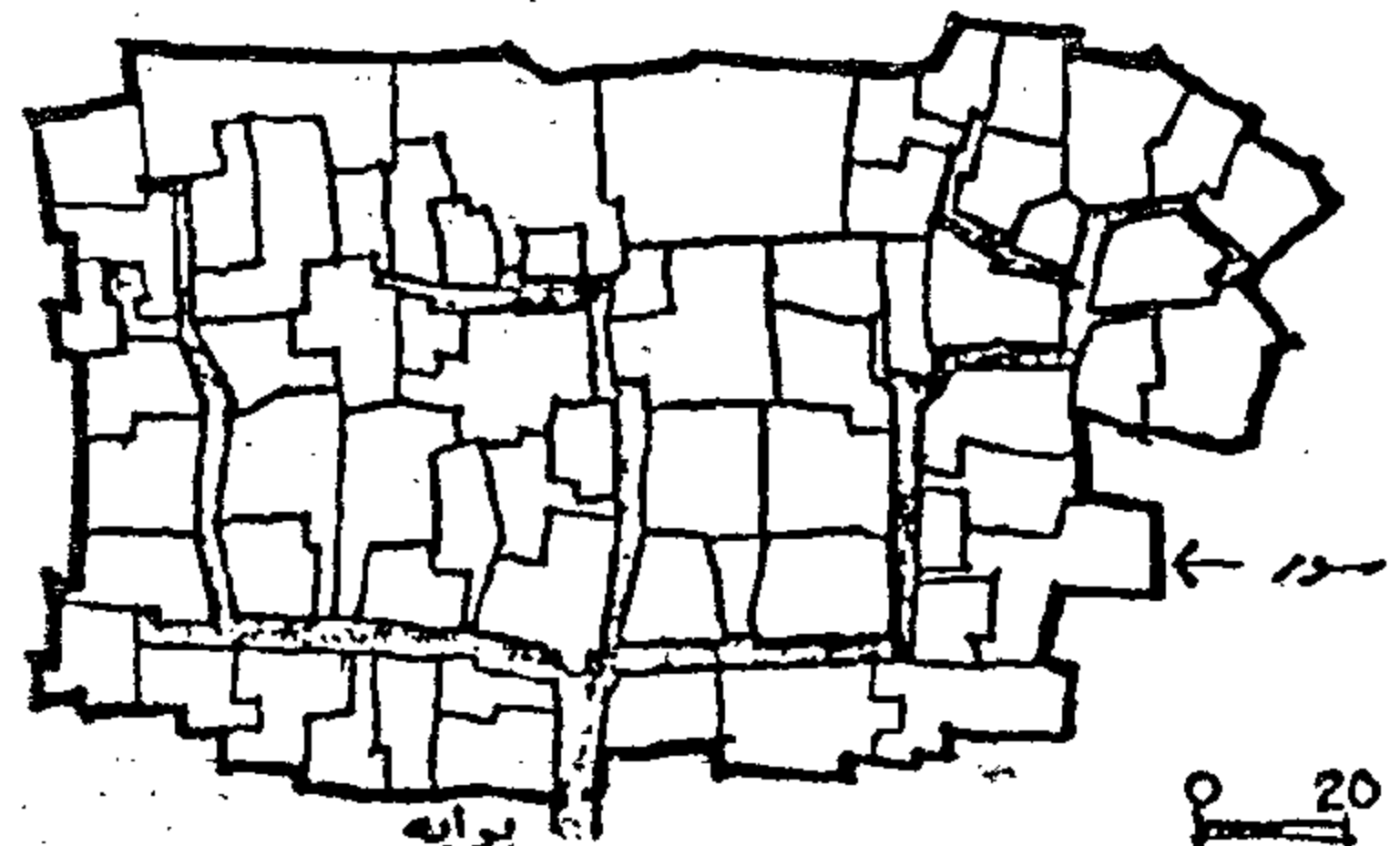
النتائج والتوصيات :

تمت دراسة وتحليل الفراغات العامة وترتيبها في صورة النسيج الحضري للمدينة الإسلامية القديمة ، من خلال تأثير الدين على السلوك الاجتماعي والثقافي للفرد والمجتمع المسلم والمتطلبات الفراغية والمكانية لممارسة هذا السلوك ، وبناء على هذا يمكننا ذكر النتائج والتوصيات التالية :

١ - ان المبدأ الاساسي الذي أمكن استخلاصه من المظهر التخطيطي وشكل وترتيب الفراغات في المدينة

فالأحياء السكنية في المدينة الإسلامية تتكون أساساً من قطاعات ، يتم تحديدها حسب العائلات الكبيرة أو القبائل أو حسب الانتماء الى مذهب من المذاهب الإسلامية (السني ، الشيعي) وخاصة اذا كانت أقلية وسط الغالبية أو في حالة الانتماء الى دين آخر غير الإسلام (المسيحية أو اليهودية) . وأحيانا تحدد القطاعات السكنية حسب المهنة أو الحرفة (الحدادين ، النساجين ، النحاسين ... الخ) .

وأحيانا كان يتم احاطة كل قطاع على حدة بسور وله مدخل واحد (بوابة) بالأماكن غلقها ليلا اذا احتاج الامر ، والسبب في وجود السور والبوابة يرجع الى دواعي الأمان والخصوصية وانغلاق كل تجمع على نفسه تماما مثل الحال في المسكن الإسلامي (شكل ١١) . وبسبب هذا التحديد يصبح البناء داخل نطاق السور كثيف جدا ، حيث لا يوجد مجال للانتشار والتوسع الافقي خارج الكتلة العمرانية للمدينة ، وبصحيح استفلال كل متر مربع فضاء من الامور الملحة ، وهذا يفسر خلو هذه القطاعات السكنية من الفراغات العامة . الا أنه يجب الإشارة الى أن الحي السكني الذي يجمع هذه القطاعات لم يكن يخلو من مركز صغير يتكون من مسجد الحي وسوق صغير (مكشوف أو مغطى) يعرض بضاعته من الاحتياجات اليومية للسكان.



شكل (١١) قطاع سكني تقليدي بمدينة حلب (سوريا) حيث يظهر القطاع محاطا بسور له بوابة يمكن غلقها ليلا أو عند الحاجة .

وبدراسة نظام شبكة الطرق والحارات (الفراغات الطولية) في هذه القطاعات السكنية يمكننا أن نتبع تدرج في ترتيب هذه الفراغات وفي خصوصية استعمالها (شكل ١٢) .

(أ) الشارع الرئيسي (الشارع العام) : وهو فراغ (طولي) عام يمر في الغالب مخترقا المدينة بطولها أو عرضها (من البوابة الى البوابة) .

(ب) وتتفرع من الشارع العام ، حارات شبه عامة ، للتخديم على الأحياء السكنية أو بالأماكن أن تحيط بقطاع من القطاعات السكنية .

(ج) ثم تتفرع من الحارات شبه العامة ، حارات شبه خاصة للتخديم على القطاعات السكنية (المساكن الخاصة بالقبيلة ، أو العائلة الكبيرة ... الخ) وأحيانا تسمى هذه الحارات باسم العائلة ، وبالأماكن أن تكون

مراجع البحث :

(أ) المراجع العربية :

١ - الدكتور مصطفى سعيد الخن وآخرون : نزهة المتقين شرح رياض الصالحين من كلام سيد المرسلين ، للامام الحافظ الفقيه أبى زكريا محيى الدين يحيى النووى (الجزء الاول) مؤسسة الرسالة ، بيروت ، الطبعة السادسة ١٩٨٤ .

٢ - الدكتور عبد الباقي ابراهيم : تأصيل القيم الحضارية في بناء المدينة الإسلامية الماصرة ، مركز الدراسات التخطيطية والعمرانية ، القاهرة ١٩٨٢ .

٣ - الدكتور عبد الباقي ابراهيم : المنظور الاسلامى للنظرية العمرانية ، مركز الدراسات التخطيطية والعمرانية - القاهرة ١٩٨٦ .

٤ - الدكتور صالح لعى مصطفى : الشخصية الإسلامية في التصميم العمرانى للمسكن ذى الفناء « الصحن » بحث مقدم الى ندوة أنقرة للاسكان في المدينة الإسلامية يولييه ١٩٨٤ - مركز الدراسات التخطيطية والعمرانية - القاهرة ١٩٨٦ .

٥ - الدكتور بدر الدين الخولى : المؤثرات المناخية والعمارة العربية ، دار المعارف - القاهرة ١٩٧٧ .

٦ - مجلة « البناء » السعودية ، العدد رقم ٢٨ - أبريل ١٩٨٦ ، الرياض .

٧ - المهندس عبد العزيز عبد الله أبى الخيل : الكتاب والسنة أساس تأويل العمارة الإسلامية (الجزء الاول) ، الرياض ١٩٨٩ .

(ب) المراجع الاجنبية :

1. Michell, G. : Architecture of the Islamic World, its History and social Meaning, and Hudson - London, 1973.
2. The Arab Urban Development Institute : The Arab city, Its Character and Islamic cultural Heritage, Proceeding of a Symposium, Medina, Saudi Arabia, Feb-Mar., 1981.
3. Mostafa, Saleh lamei : Islamic Architectural Heritage in Egypt. Dar El-Nahda Al-Arabiya Beirut, 1984.
4. Bianca, Stefano : Arethitektur und Lebensform im islamischen Stadt wesen Zurich 1975.

الاسلامية القديمة ، هو ايجاد التوازن بين الخصوصية المطلوبة للأسرة والتلاحم المطلوب للمجتمع ككل ، ونتيجة لهذا تم تنظيم الفراغات في تدرج هرمى من الخاص الى العام ، وتختلف مستويات هذا التدرج بحسب مستويات العلاقات الاجتماعية وفي اطار الاحكام والشرائع الدينية .

٢ - ان الامثلة لتدرج هذه الفراغات يمكن تلخيصها كالتالى :

- فى اطار المسكن تبدأ خصوصية الفراغات من خاص جدا (غرف نوم الاسرة) الى شبه خاص (غرف المعيشة والطعام) الى شبه عام (غرف الاستقبال والضيافة) .

- فى اطار التجاور أو التجمع فى قطاع سكنى (حارة أو أكثر) والذي يتميز بشخصية اجتماعية واحد لسكانه (أقارب ، أو انتماء لمذهب ، أو انتماء لدين آخر ، أو حرفة واحدة) نجد أيضا ترتيب فراغات شبه خاصة (بسكان القطاع) فى الازقة والعطفة وحوش البيوت . تتصلل بفراغات شبه عامة (الحارات السكنية الرابطة بين القطاعات) .

- فى اطار التجاور بين مجموعة من القطاعات السكنية نجد الفراغات العامة فى الشوارع وحيل مركز الحى الذى يعتبر صورة مصغرة لمركز المدينة .

- أما الفراغ الرئيسى العام (مركز المدينة) ، فيتمثل فى المسجد الجامع بمناصره المعروفة وساحاته ، ثم ملحقاته الفرعية لممارسة كافة الأنشطة العامة ، التجارية ، الثقافية ، التعليمية ... الخ) .

٣ - ان ترتيب وتنظيم الفراغات بهذه الطريقة ، لم يكن ليتم الا من خلال انعكاس لاحكام الشرع والدين على نمط الحياة الاجتماعية والاقتصادية للمجتمع المسلم وأيضا نظام توافقى للتحكم فى طبيعة وبيئة المكان ، وعلى هذا فان أى دراسة تتم لفهم واستنباط مضمون المظهر التخطيطى الاسلامى يجب أن تتسع لتشمل هذين المحددين .

٤ - ان دراسة وتحليل الفراغات فى صورة النسيج الحضرى للمدينة الإسلامية وما توصلنا اليه فى النتائج والتوصيات السابقة ، انما كان يهدف اعطاء الصورة الاصلية للمؤثرات التى أدت الى ظهور هذا الشكل التقليدى للفراغات وامكانية الاستفادة منها فى ايجاد نوع من التوازن والتوافق بين « ما كان » وبين « ما هو مطلوب » من أجل تأصيل القيم الحضارية فى بناء المجتمعات العمرانية الجديدة .

تأثير العقيدة والحضارة على أساليب الدفن وشكل المدافن في مصر

د. شفيق العوضى الوكيل *

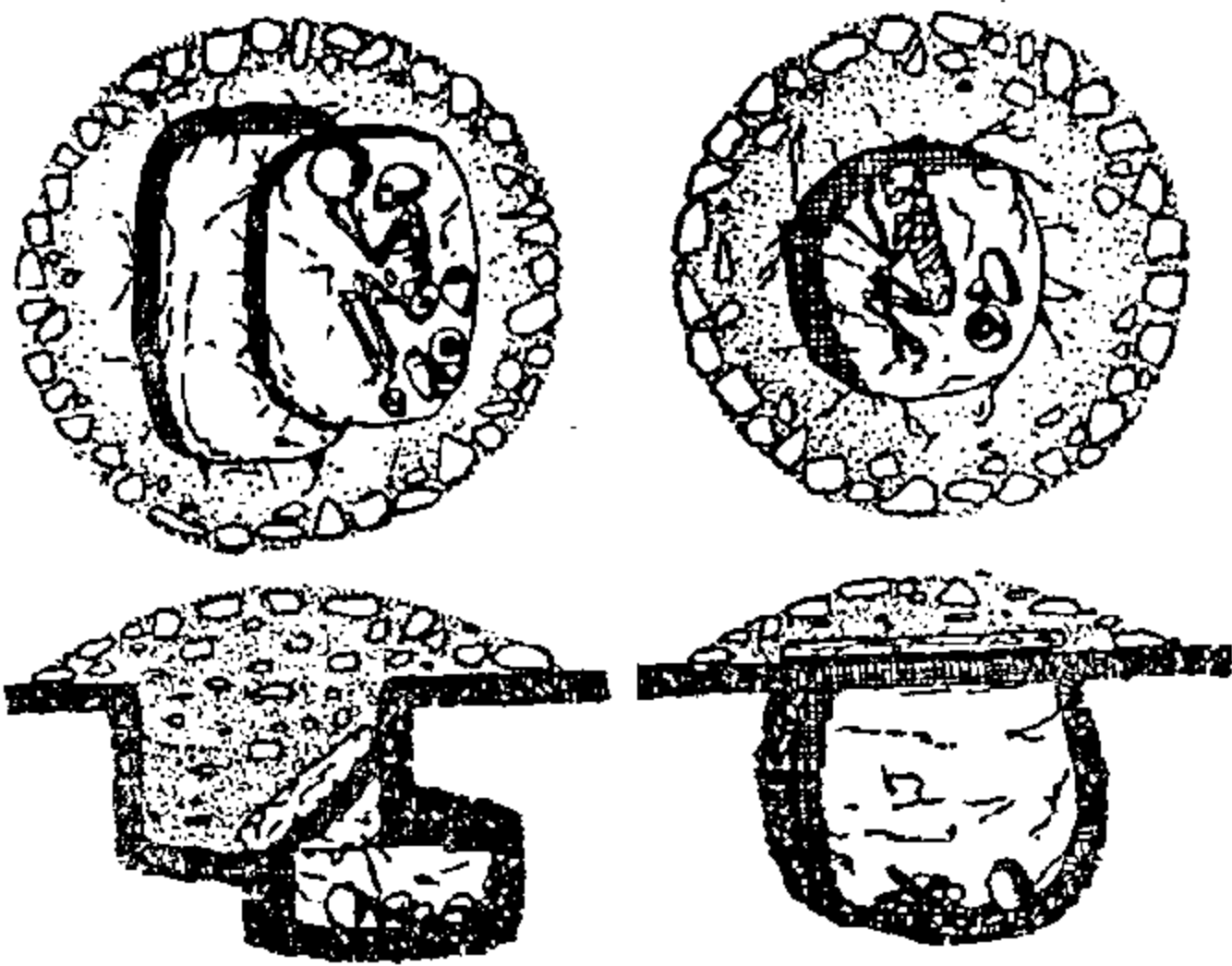
مقدمة :

أنواع المقابر المصرية القديمة :

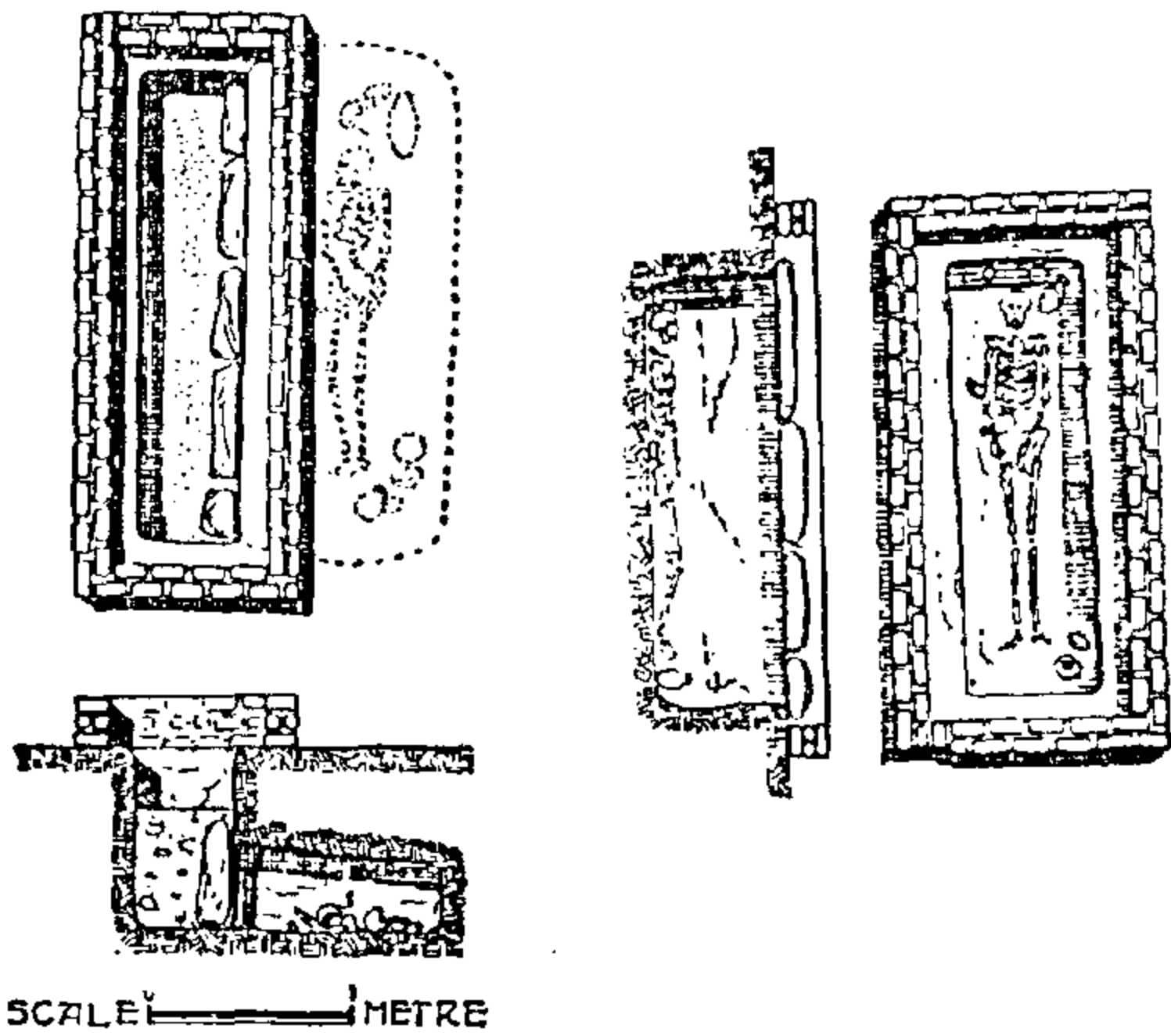
يمكن تقسيم المقابر المصرية القديمة الى خمس مجموعات أساسية هي :

١ - الحفرة ٢ - المصطبة ٣ - الهرم ٤ - المقابر المنحوتة في الصخر ٥ - المقابر الجنائزية البنية .

١ - الحفرة : (شكل ١ ، ٢ ، ٣ ، ٤)



شكل (١) نماذج مختلفة للمقبرة الحفرة الدائرية والبيضاوية من عصر ما قبل الاسرات (النوبة) .



شكل (٢) المقبرة الحفرة بعد أن أخذت الشكل المستطيل والاضلاع المختلفة لغرفة الدفن (النوبة) .

بسم الله الرحمن الرحيم : « كل نفس ذائقة الموت ونبلوكم بالشر والخير فتنة والينا ترجعون » (الانبياء ٥٧) .

ان الرحلة الى القبر تبدأ بالموت وهو نهاية حتمية لكل حي في الدنيا . وعلى الرغم من أن الناس تنسى أو تنسى الموت فانهم على اختلاف عقائدهم يحتفظون له بالهابة التي يحظى بها كل ما هو غامض ، بل ويعبدون العدة لاستقباله كل حسب عقيدته .

وقد أطلقت على أماكن دفن الموتى عدة مسميات منها مدافن وجبانات وترب ومقابر وقرايات وهي مترادفات واحدة لتلك التجمعات الجنائزية التي تشكل إحدى الناطق الوظيفية في المدينة . ومع كون عملية الدفن انعكاسا للعقيدة أو على الأقل تطبيقا للسنة والعرف إلا أن المتغيرات والتيارات العقائدية والسياسية التي مرت بمصر على مدى التاريخ قد تداخلت لتؤثر في الأشكال المختلفة للمقابر وفي عملية الدفن .

ويتناول هذا البحث بالدراسة أسلوب الدفن وشكل المدافن وتخطيط الجبانات ومواقعها في مصر وعلاقة ذلك بالعقائد المختلفة والعادات والتقاليد المتوارثة وذلك عند الفراعنة باعتبارهم سكان مصر القدماء ثم الاقباط والمسلمين وهم سكان مصر الحاليين . أما مقابر اليهود فان قلة عددها في مصر جعل البحث يقتصر على الأنماط الثلاثة الأولى المذكورة .

أولاً - الموت والدفن في الحضارة المصرية القديمة:

عقيدة الموت عند المصريين القدماء :

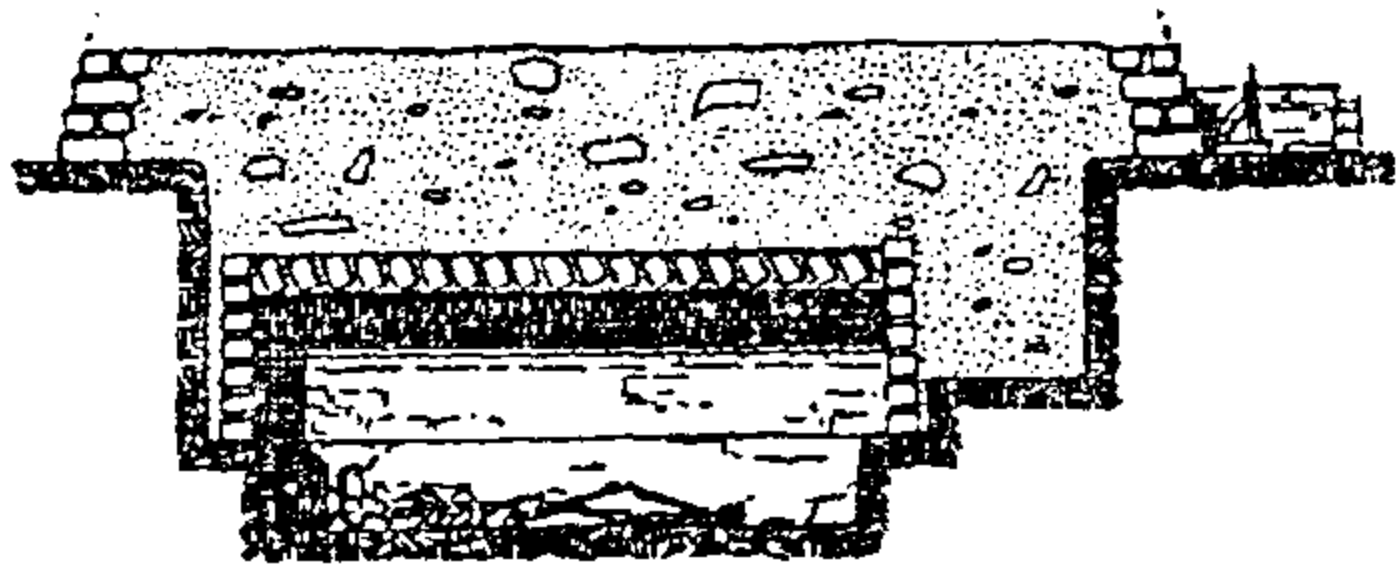
آمن المصريون القدماء باستمرار الحياة بعد الموت في صورة تشبه الحياة على الأرض . ويثبت ذلك أقدم المقابر التي تعود الى ما قبل الألف الثالث قبل الميلاد . وكانت فكرة الحياة بعد الموت تعتمد أساسا على الاحتفاظ بالجثمان في هيئته الأولى حتى تستطيع الروح أن تتقمصه فتتمتع بالاستقرار الأبدى ، مما أدى بالمصريين الى محاولة بناء مقابر يمكن للجسد فيها أن يبقى سليما أبدا الدهر . وقد كانت مراسم الدفن بعد الوفاة بشهرين ونصف (٧٥ يوم) وهو الوقت اللازم لعملية التحنيط .

أحد جدرانها وينخفض مستوى أرضيتها الى عمق ١.٣٠ متر .

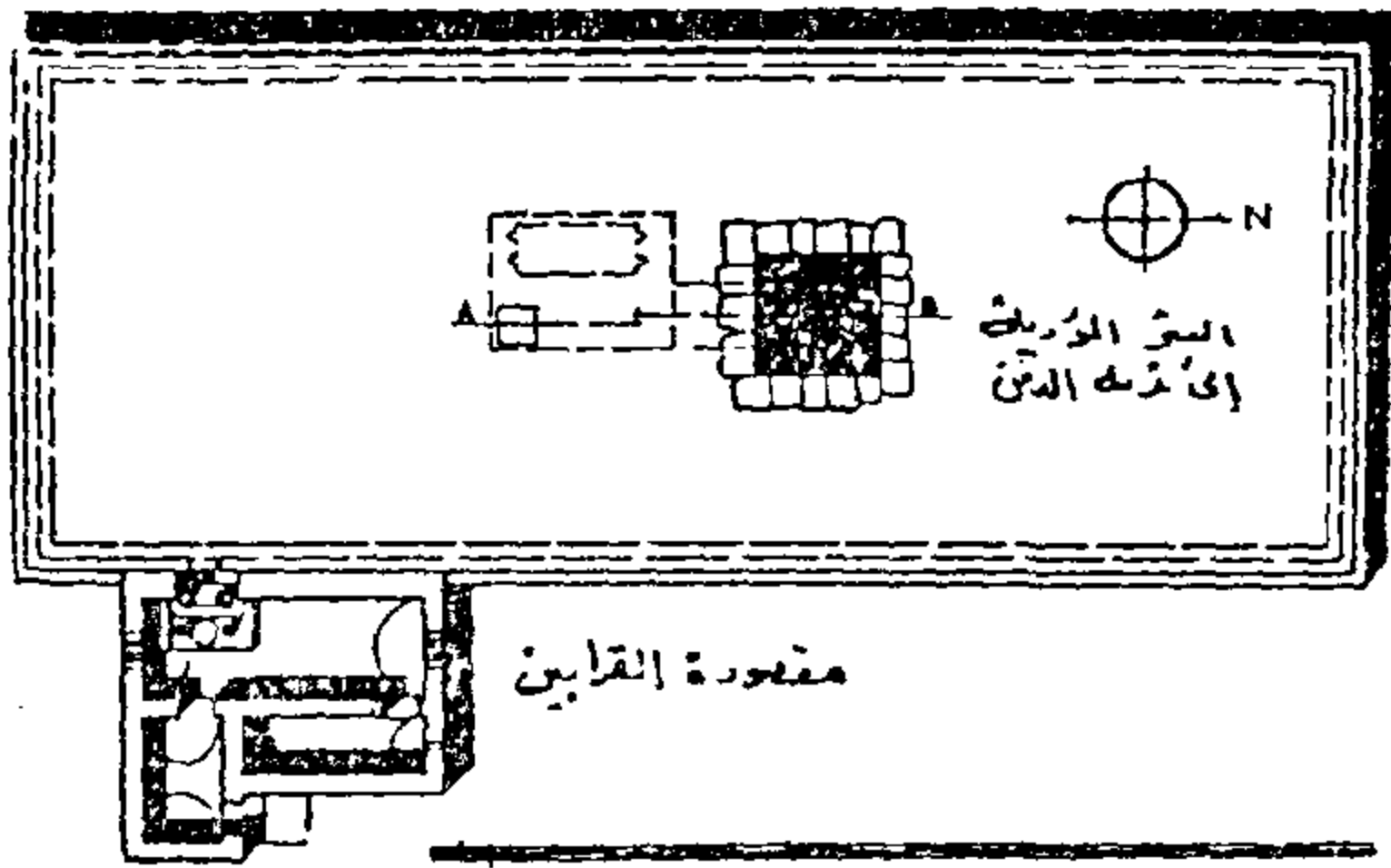
وفي البداية لم تكن المقبرة مسقوفة ، ولم يبدأ في تسقيفها الا في عصر متأخر نسبيا حيث اخذت الحفرة الشكل المستطيل الذي قد يكون نتج عن سهولة تسقيفه عن البيضاوي أو ربما لاستبدال وضع القرفصاء للجثة بالوضع المستقيم الذي يسهل عملية التحنيط التي بدأت مع الاسرة الرابعة ؟

وقد اختلفت الحفر من حيث السقف والتبطين تبعاً للمستوى الاجتماعي للمتوفى ، فصنع السقف من فروع الاشجار المدعمة بالطين والحضير المجذول وطلبت الجدران بالطين أو كسيت بالخشب في المقابر الفقيرة والمتوسطة ، ويطنت الجدران بالحجر أو اللبن وغطيت الحفرة بقبو من نفس المادة كما وضعت الجثة فوق سرير مرفوع من الارض وذلك في المقابر الغنية التي احتوت فيها بعد على غرف متعددة لتخزين الاثاث الجنزى ومتعلقات المتوفى .

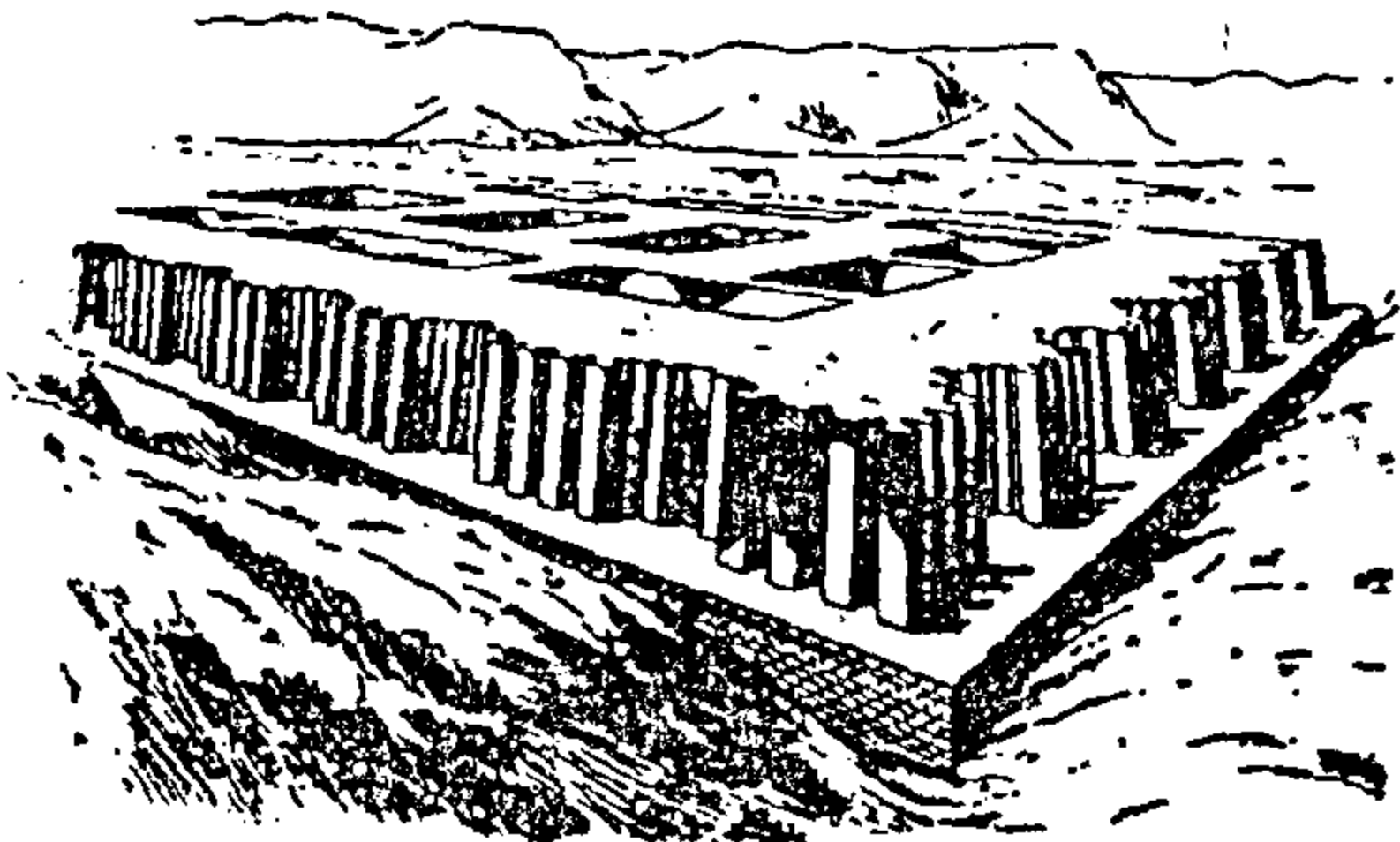
٢ - المصطبة : (شكل ٥ ، ٦ ، ٧ ، ٨)



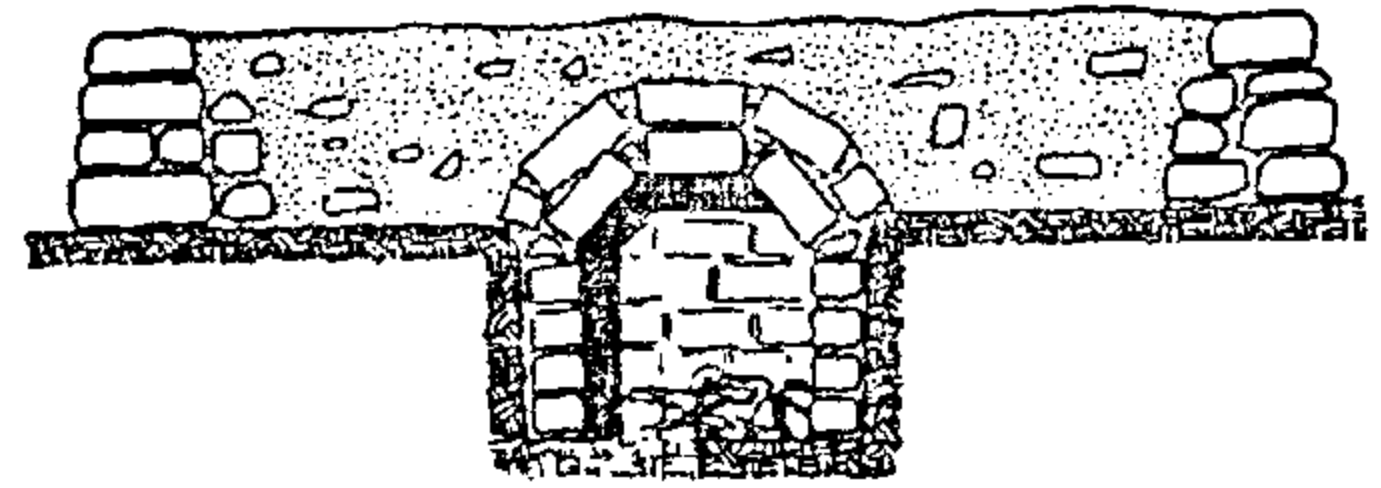
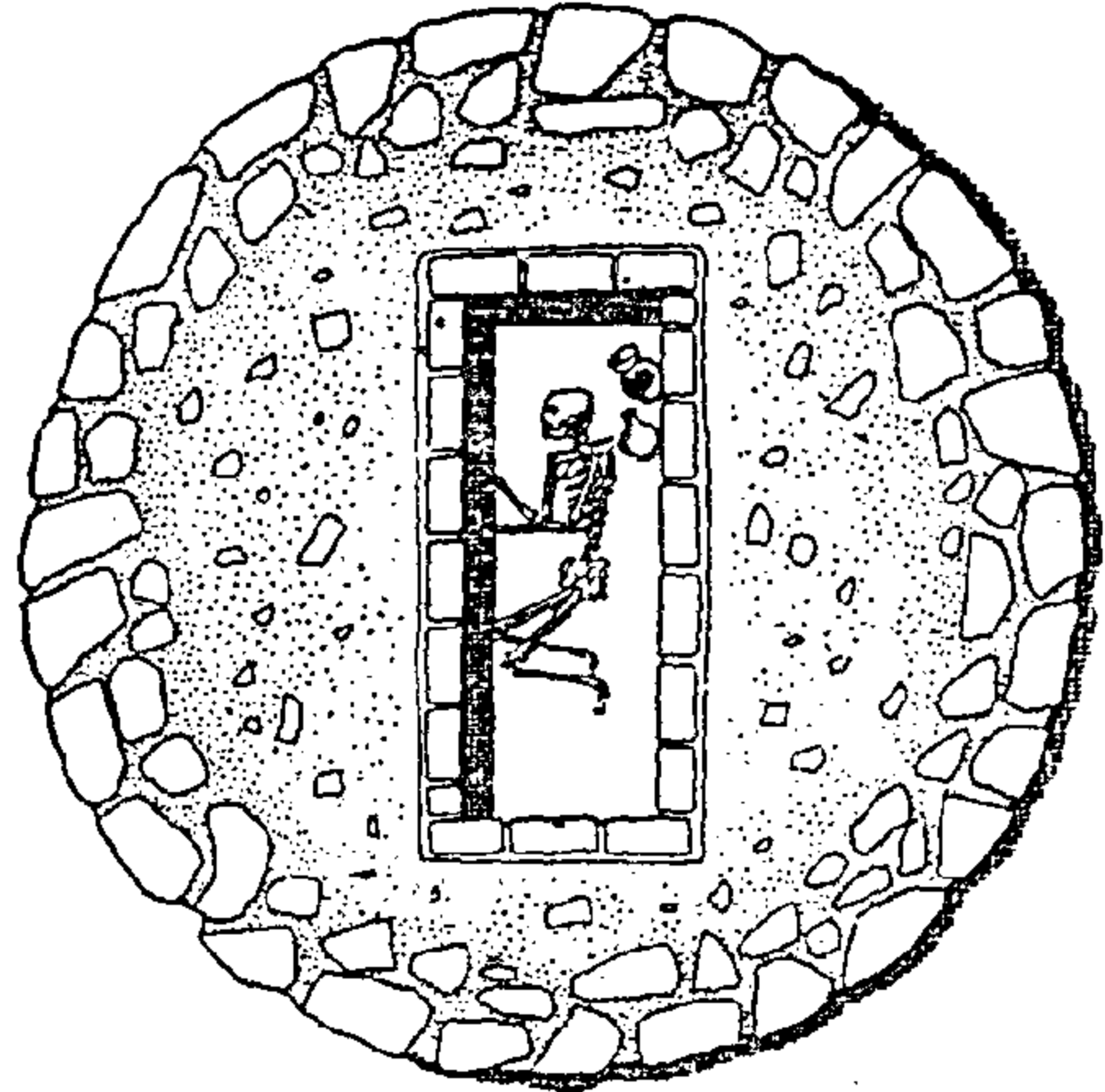
شكل (٥) أبسط أنواع المصاطب (النوبة) .



شكل (٦) طراز مصاطب الجيزة من عهد خوفو .

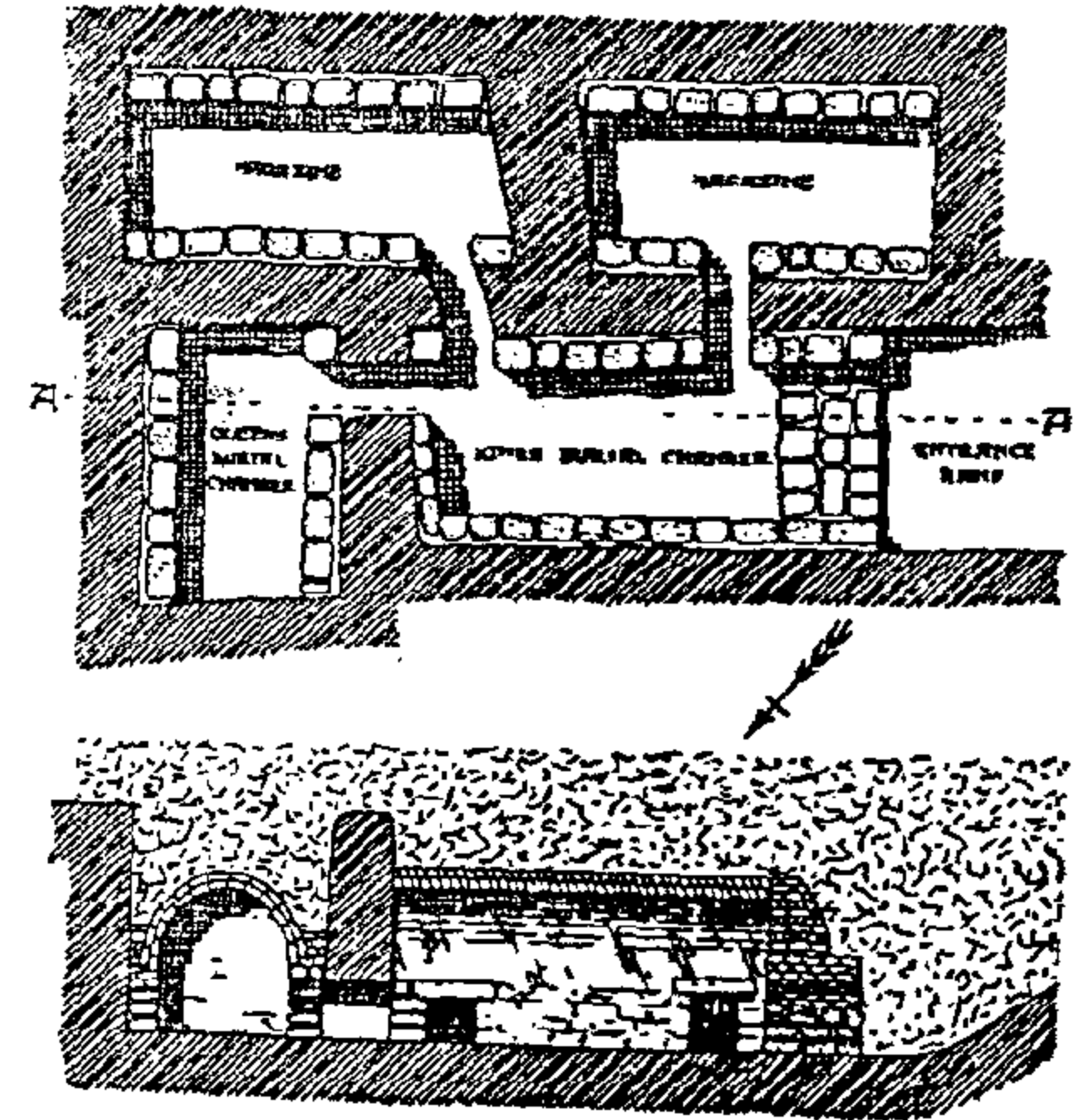


شكل (٧) مصطبة نقادة



شكل (٣) تبطين الجدران الداخلية بالحجر مع

تسقيف حجرة الدفن بقبو حجري (النوبة) .



SCALE 1 2 3 4 METRES

شكل (٤) مقبرة رقم ٨٠ في بلانة بالنوبة - حفرة

متعددة الحجرات من الطوب اللبن .

ينتمي هذا النوع الى ما قبل الاسرات (حوالى

٣٦٠٠) واستمر الافراد العاديون في استخدامه حتى

آخر عصور الحضارة المصرية مع ادخال بعض التعديلات عليه .

ولم تتعد «المقبرة الحفرة» أن تكون حفرة دائرية أو

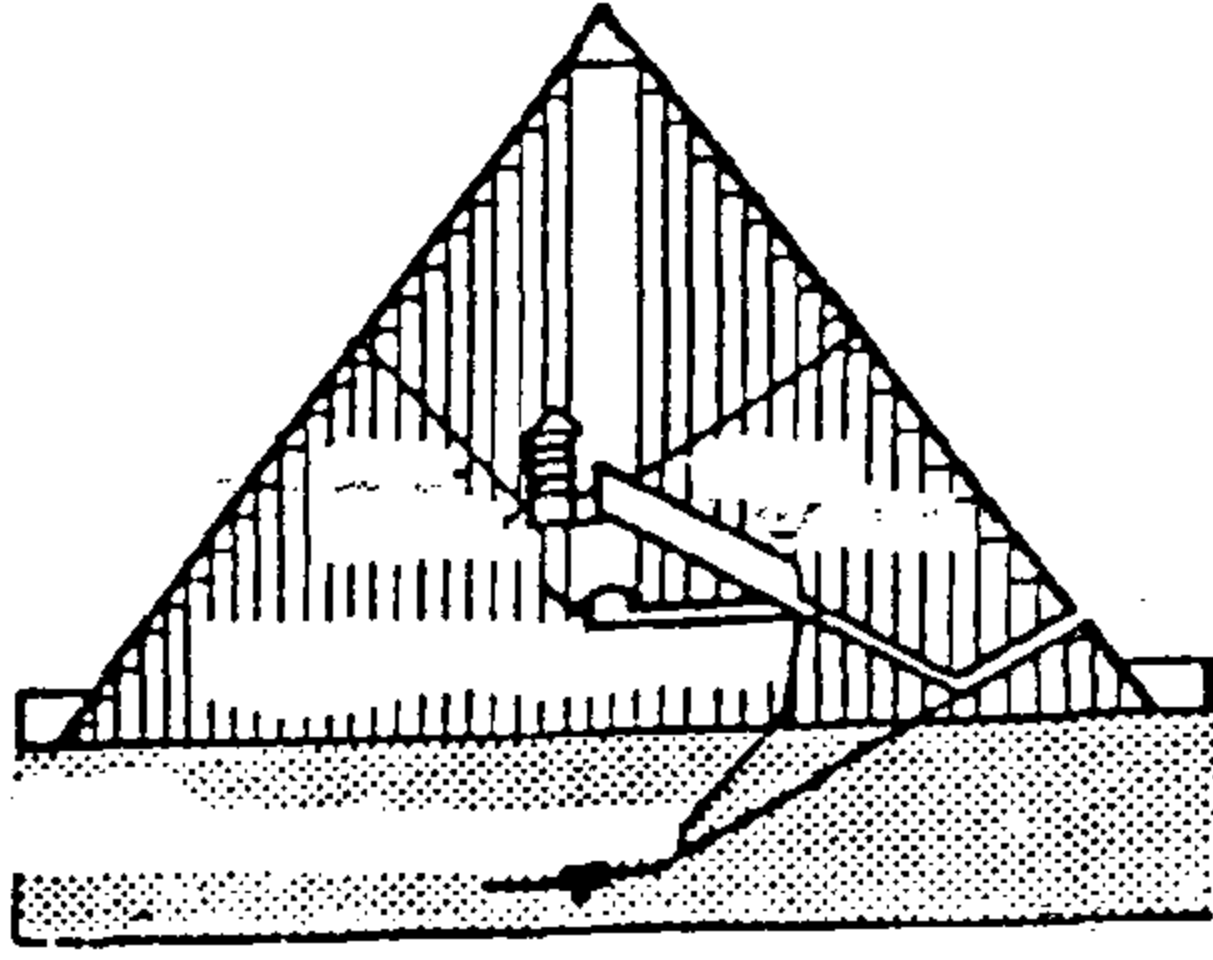
بيضاوية ضحلة بعمق ٨٠ سم يوضع فيها المتوفى في وضع

القرفصاء على جانبه مع بعض الامتعة البسيطة ، وغالبا

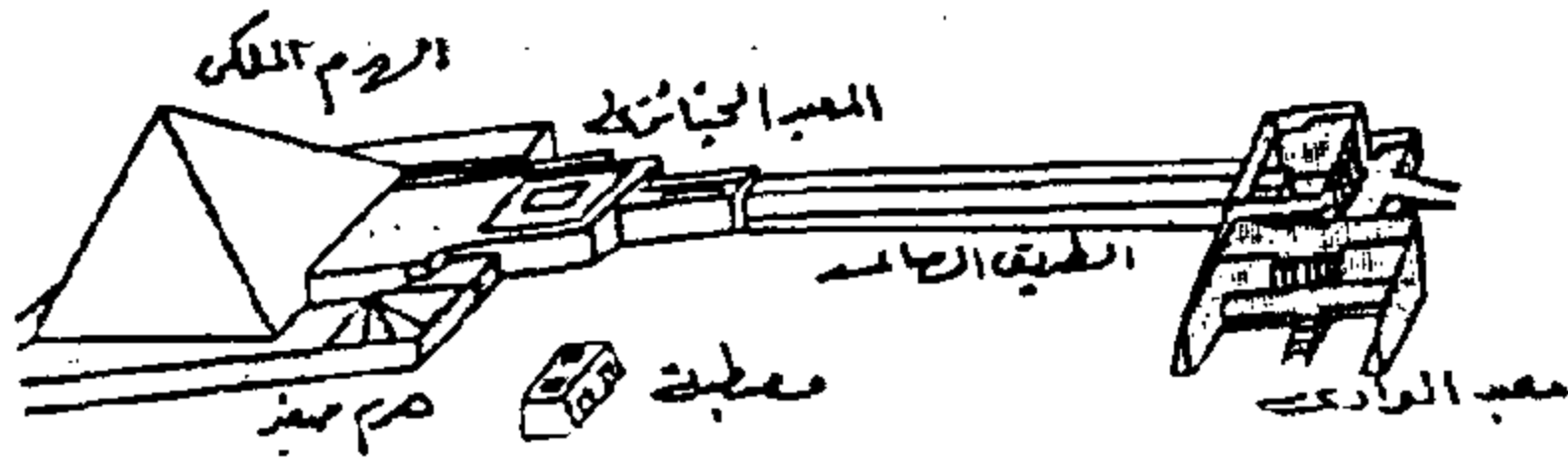
ما كانت الرأس نحو الغرب .

وهناك نوعا آخر من « المقبرة الحفرة » وان كانت غير

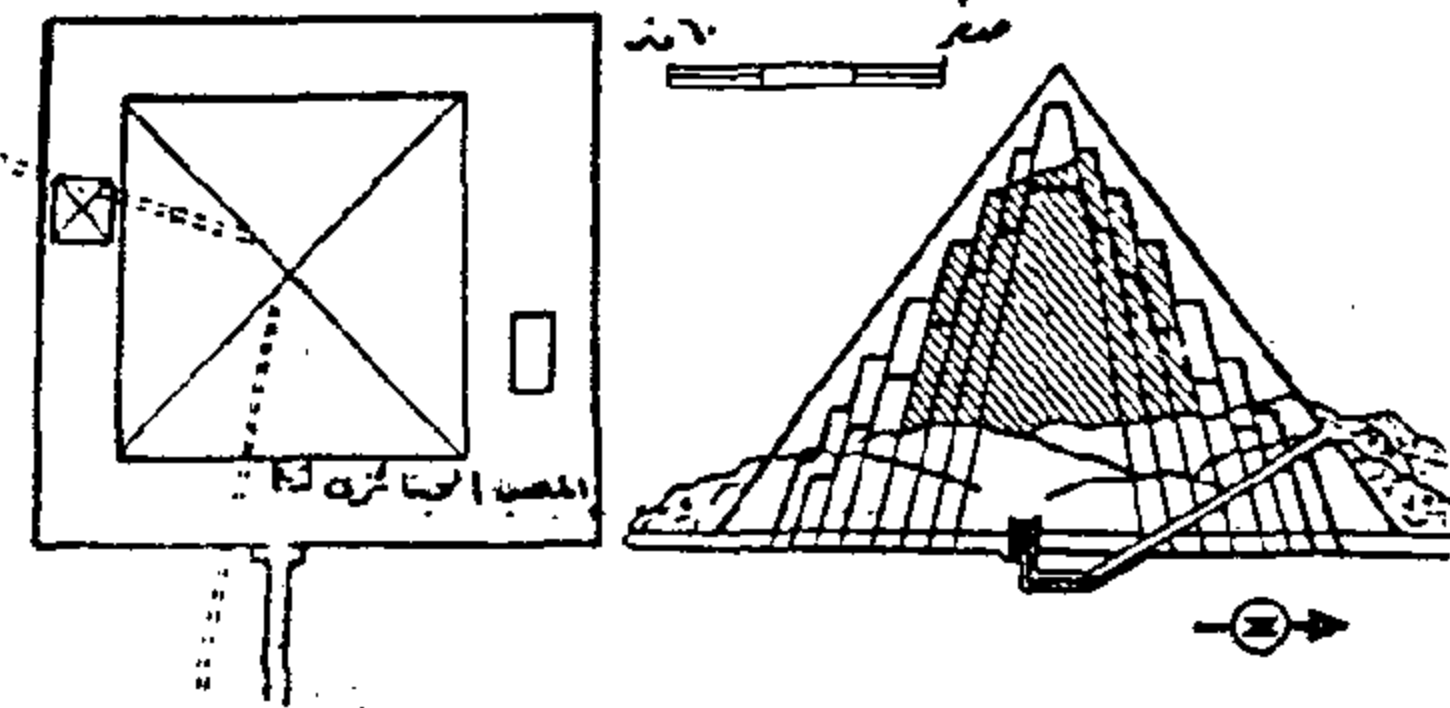
منتشر وهو عبارة عن حفرة بيضاوية بها حجرة جانبية في



شكل (١٠) هرم خوفو .



شكل (١١) المجموعة الهرمية التقليدية .



شكل (١٢) هرم ميدوم .

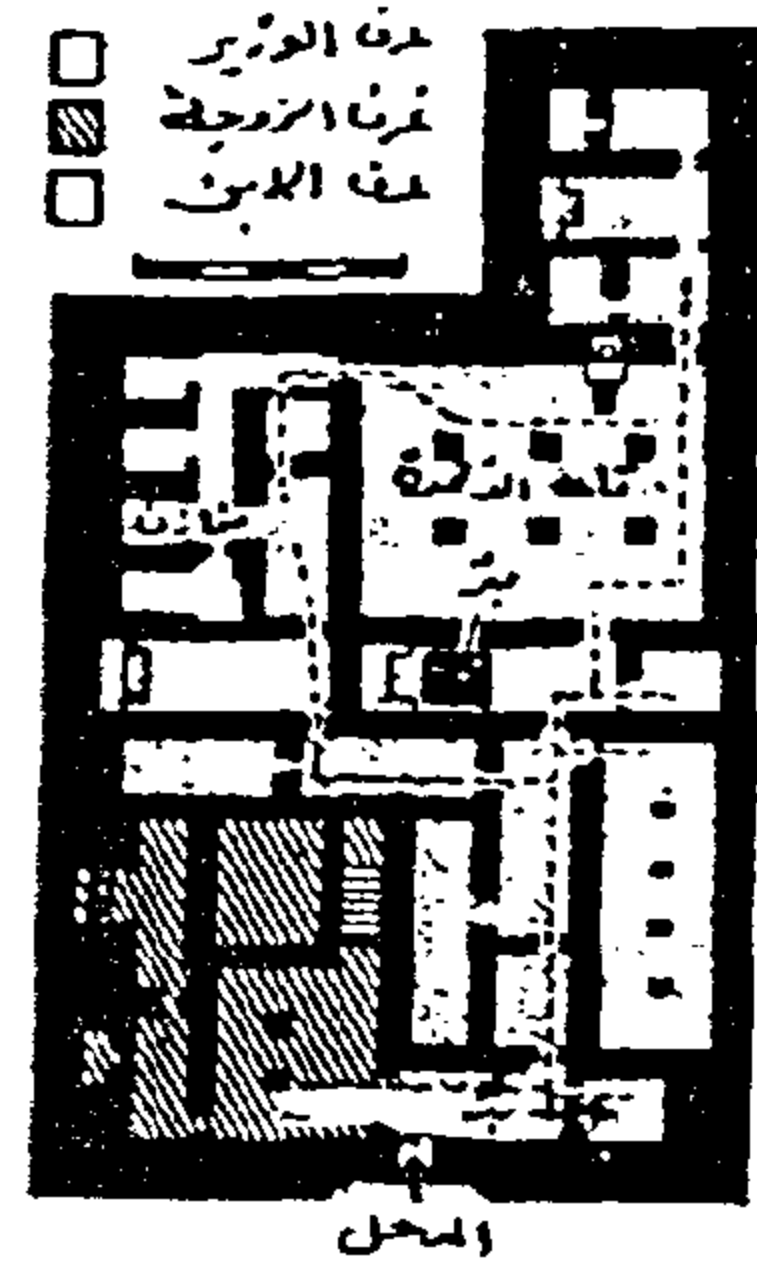


شكل (١٣) مقبرة ذات واجهه يعلوها هرم في دير المدينة

ظل الهرم امتيازاً ملكياً خلال الدولة القديمة كذلك الدولة الوسطى ، ثم اقتبسها الافراد العاديون في الدولة الحديثة .

وأقدم المقابر الهرم هو هرم زوسر في سقارة حيث بدأ بناؤه في بادئ الامر باعتباره مصطبة ثم تحول ليصبح هرمًا . وتحول الهرم المدرج الى هرم صحيح مع بداية الاسرة الرابعة ويتمثل ذلك في هرم ميندوم حيث ملئت المسافات بين المصاطب الثمانية الاصلية بالاحجار ليصبح اول هرم ذو جوانب مستقيمة .

وقد وصلت الاهرامات الى ذروتها في الدقة والحجم في هرم الملك خوفو الذي استعملت الاحجار الجيرية في

شكل (٨) مقبرة لوزير في الاسرة السادسة بسقارة
استغل الجزء العلوى في الغرف المختلفة .

تحتوى المصطبة علاوة على غرف الدفن في باطن الارض على بناء علوى على شكل مستطيل من اللبن او الحجر لا يزيد عن خمسة امتار . وابسط انواع المصاطب هي تحشى بالرمال والاحجار فتغطى آبار الدفن وتبنى مقاصير لقرايين ملاصقة لجدار المصطبة . وقد أدى ارتفاع مستوى المعيشة بعد الوحدة المصرية الى زيادة كمية الاثاث الجنزى مما دعى الى استغلال الجزء العلوى في بناء مخازن ذات طاقة تخزينية ترتبط بشراء صاحب المقبرة . وبحلول الاسرة الثالثة انتقلت المخازن الى باطن الارض في الجزء السفلى وأصبح السطح الخارجى للمصطبة أملساً يعطى فرصة أكبر للنقوش وليس به الا كوتان لتقديم القرايين . ثم أخذ عدد الغرف المحفورة في الجزء الاسفل يتضاءل حتى أصبح من المعتاد في الاسرة الرابعة حفر غرفة واحدة كبيرة في قاع القبر العميقة . وتباينت المصاطب بعد ذلك فكان البناء العلوى اما مصمتاً او مشغولاً بالمخازن التى نقش جدرانها وأصبح الدخول الى المقبرة عن طريق بئر نازلة بعد ان كان بواسطة سلم في شمال المقبرة . هذا بالنسبة للاغنياء . أما الفقراء فلم تزد عن بناية من الطوب غطيت غرف الدفن بها بأقبيبة واتخذت مداخلها هيئة آبار ضحلة .

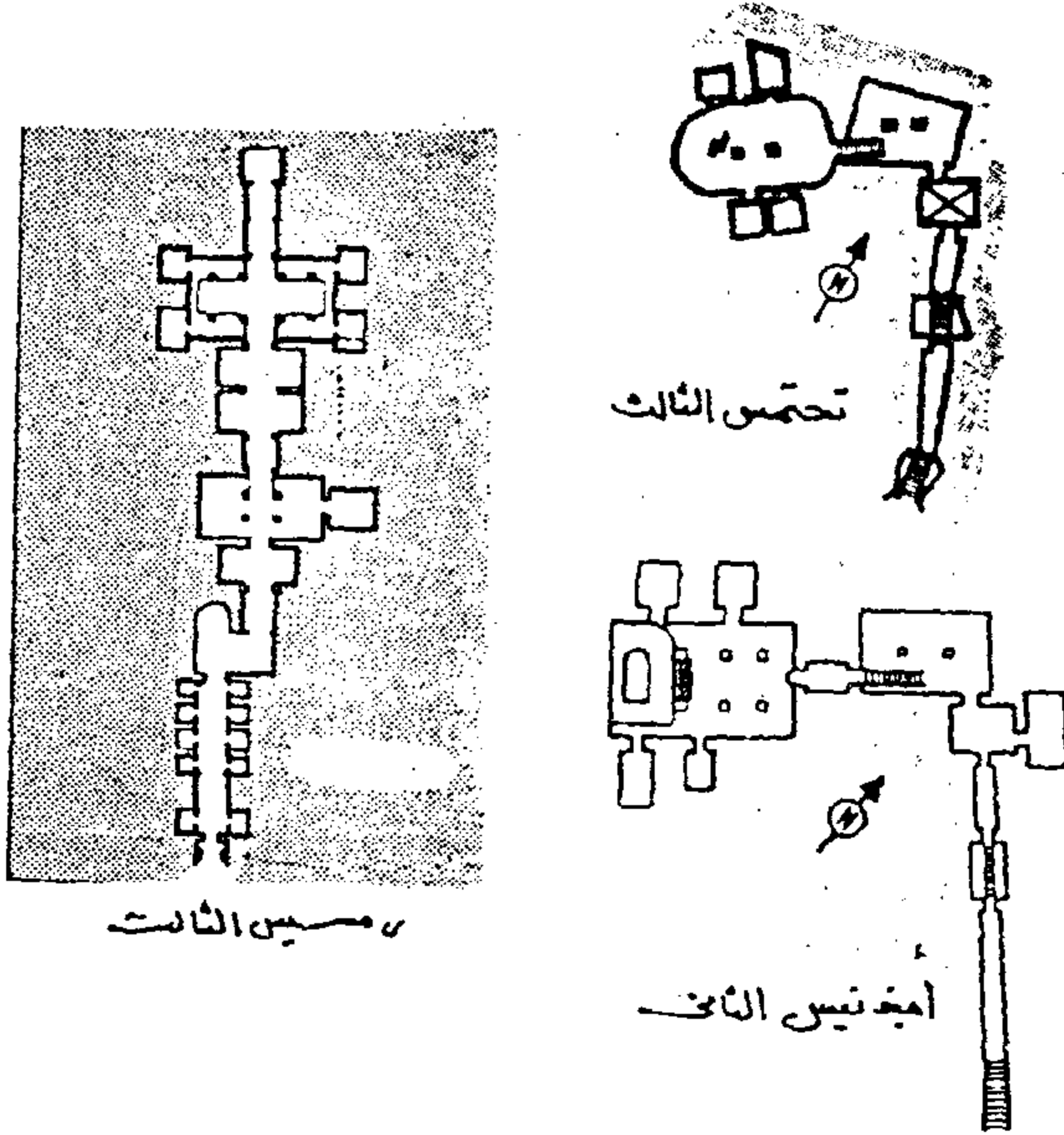
٣ - الهرم : (شكل ٩ ، ١٠ ، ١١ ، ١٢ ، ١٣)



شكل (٩) مراحل بناء هرم سقارة المدرج .

وقد كانت أهرامات الأفراد أصغر في الحجم وتميل زوايا جوانبها أكثر من الأهرام الملكية القديمة ، وكانت تتكون من الطوب المكنى بالملاط وتعلوها أحجار مدببة تمثل قمة الهرم الذي يحمل بعض النقوش . أما غرفة الدفن فهي موجودة داخل الهرم وليست محفورة في داخل الصخر تحت كتله ، ومثال على ذلك أهرامات أبيدوس .

٤ - المقابر المنحوتة في الصخر : (شكل ١٤ ، ١٥)



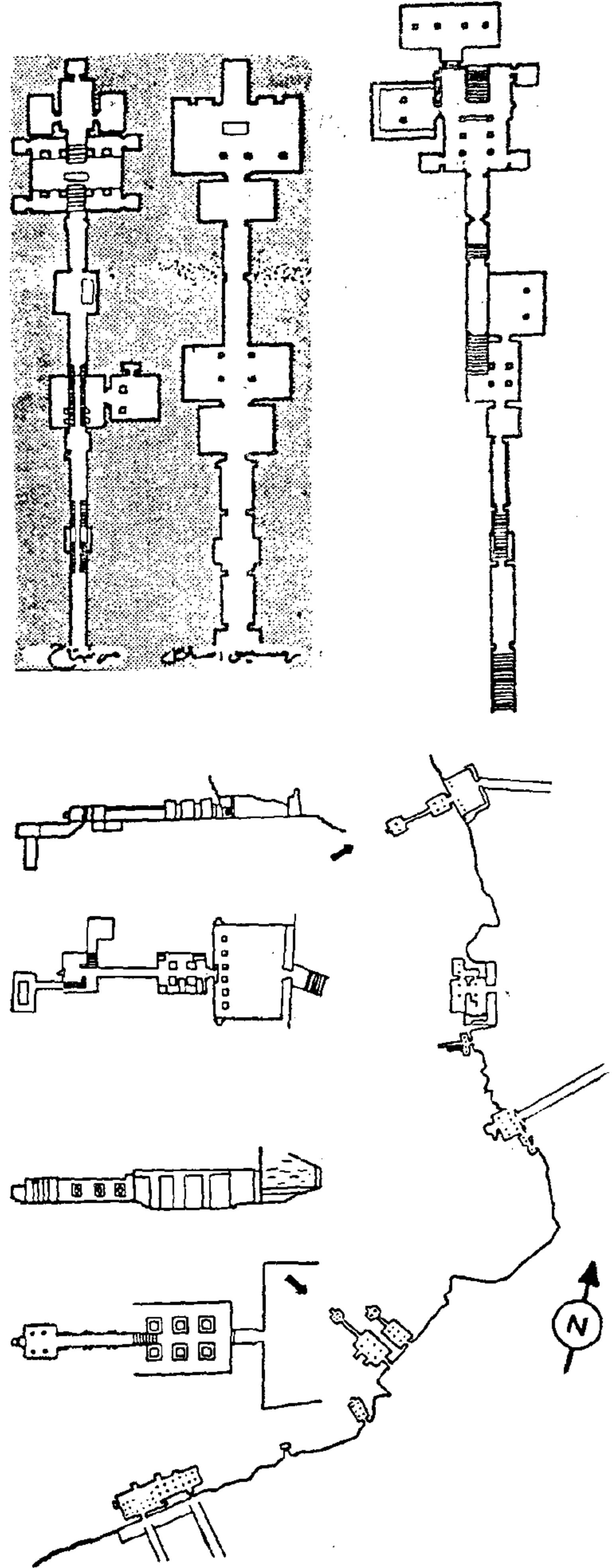
شكل (١٤) الأنماط المختلفة للمقابر المنحوتة في الصخر

بدأت في الدولة الوسطى كرد فعل مناقض للمصاطب والأهرامات السابقة التي كانت واضحة للعيان وسهلة الاقتحام ، منذ نحتت في سريّة ونزلت بالمقصورة مع غرفة الدفن إلى باطن الأرض مع إخفاء مداخلها وتعقيد تصميمها حتى باتت تتكون من دهاليز ضيقة طويلة تسير لمسافات في صخور الجبل وتترك بدايتها دون نقوش بغرض التمويه . وأشهر المقابر المنحوتة التي وصلت إلينا سليمة هي مقبرة الملك توت عنخ آمون ، كذلك « جبل الموتى الصبرين » بواحة سيوة كنموذج لهذا النوع الخاص بعامة الشعب . ومع فشل محاولة إخفاء مواضع المقابر فقد زودت في عصر الأسرة ١٨ بواجهات فخمة يتقدمها في الغالب صف من الأعمدة وبها صالة واسعة ذات أعمدة منحوتة وفي نهايتها مقصورة بها تمثال التوفى .

وقد استعملت بعض هذه المقابر المنحوتة من قبل الأقباط الهاربين من الاضطهاد الروماني كأمكن للتعبيد والصلاة ، مثال على ذلك تلك الموجودة تحت دير إبينايوس قرب منطقة الدير البحري بالصعيد .

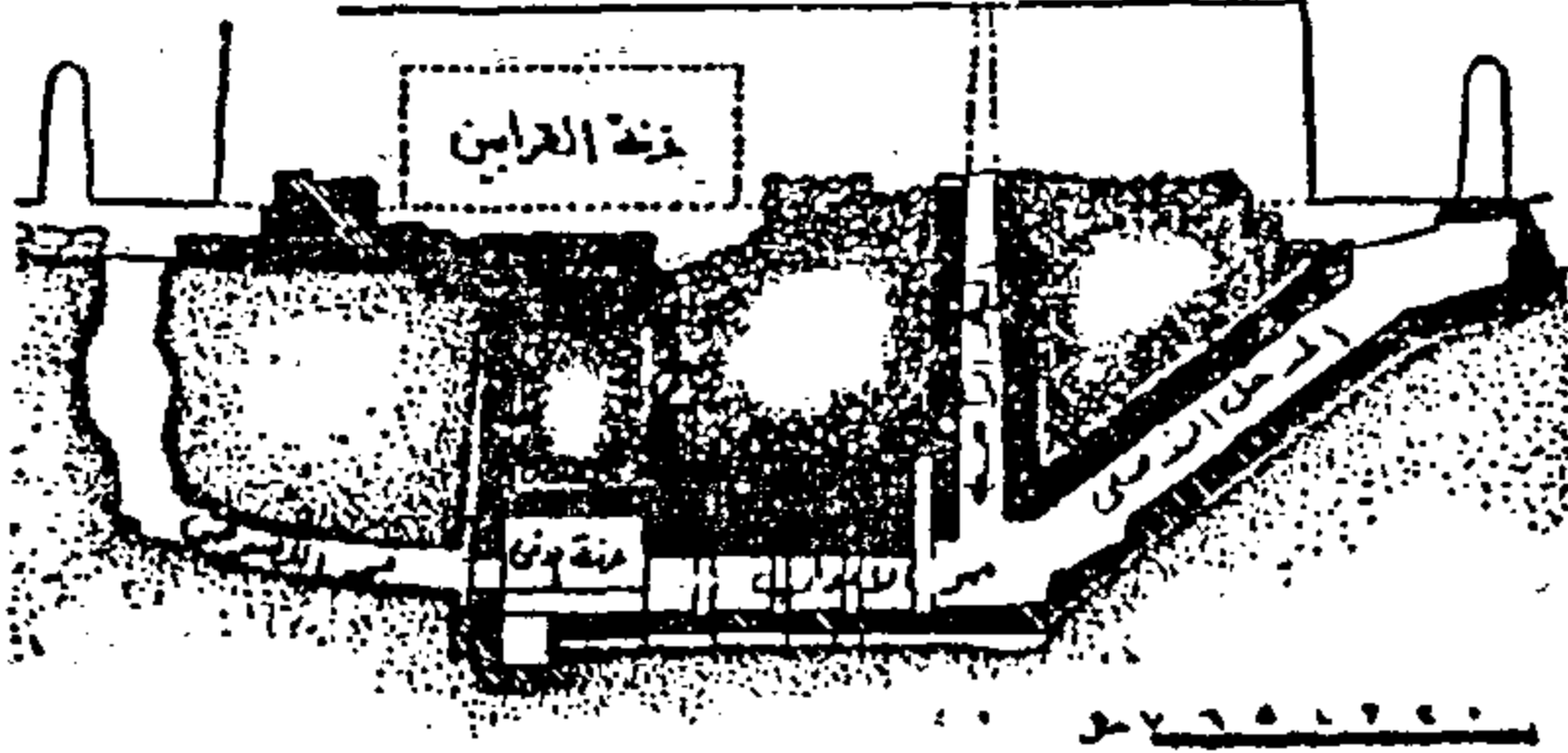
في كسوة أسطحه والجرائيت في الأجزاء السفلية الخارجية وفي غرفة الدفن . وقد اندمجت الطرز المختلفة للأهرامات في طراز واحد أصبح نمطا حتى أواخر الدولة القديمة وفيه ينزل ممر المدخل من مستوى قاعدة الهرم الشمالية حتى ينتهي إلى بئر رأسية تؤدي إلى غرفة الدفن .

وتدهورت أساليب بناء الهرم حيث تألف من حشو غير منتظم يحيط به الكسوة ثم تحولت في الأسرة الثانية عشر إلى بنائه بالطوب اللبن الرخيص مع كسوته بالأحجار .



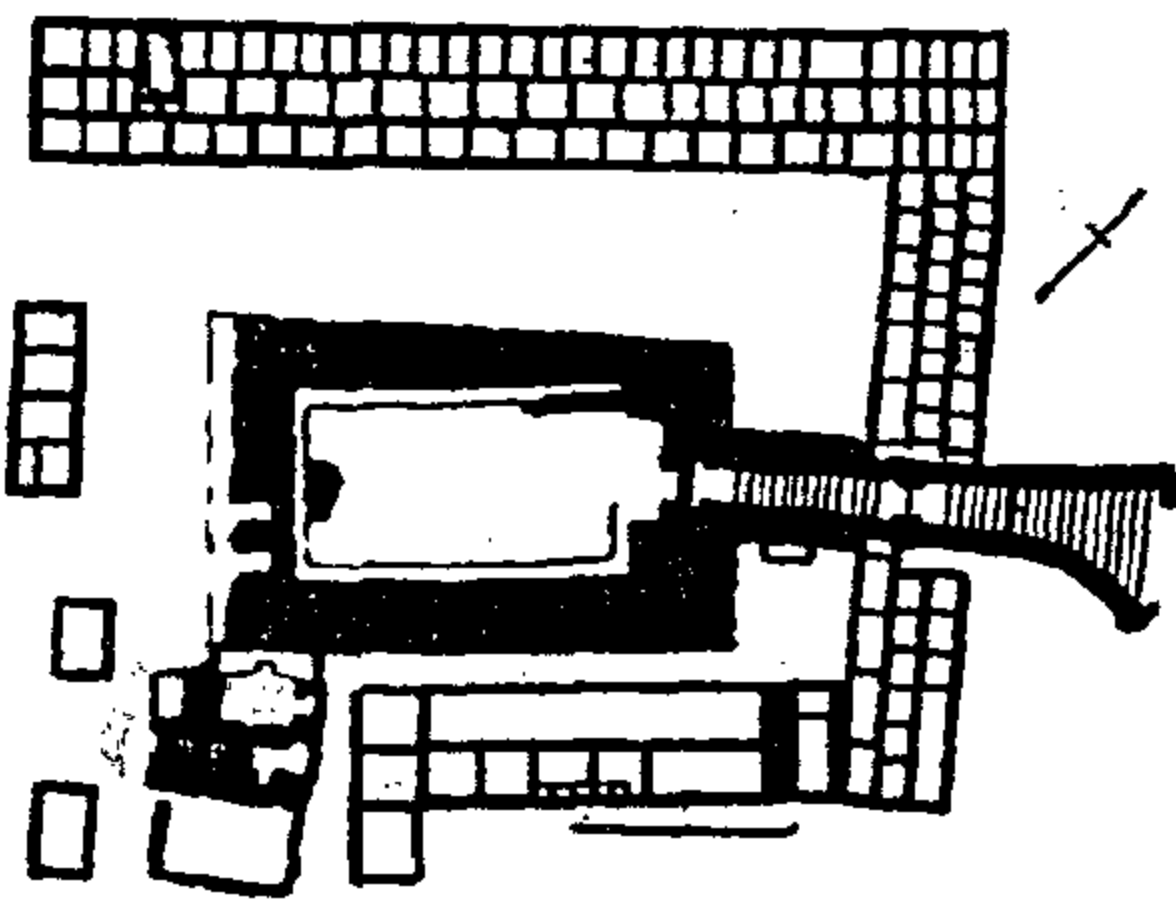
شكل (١٥) أمثلة على المقابر المنحوتة ذات الواجهات الظاهرة بأسوان (ابتداء من الأسرة ١٢) .

باستقبال الروح . وعلى طول الصواعق بين بناء المقابر ولصوصها كانت الغلبة دائما للصوقس ، ساعدهم على ذلك كونهم غالبا من عمال الجبانة العاملين بالدهاليز المتداخلة للمقابر المختلفة في الجبانة .



شكل (١٧) الاحتياطات ضد اللصوص - مقبوة سنورت عنخ في اللشت . وتمثل البئر الرأسية أهم عقبة تواجه اللصوص حيث يزداد تعطلها الى أسفل حتى بداية الممر الافقى أمام الابواب المنزقة وتملأ بالرمل والحصى الذي ينهال على اللص اذا وصل في حفره الى هذه النقطة - وقد نجح اللصوص في سرقتها بحفر نفق من الجنوب .

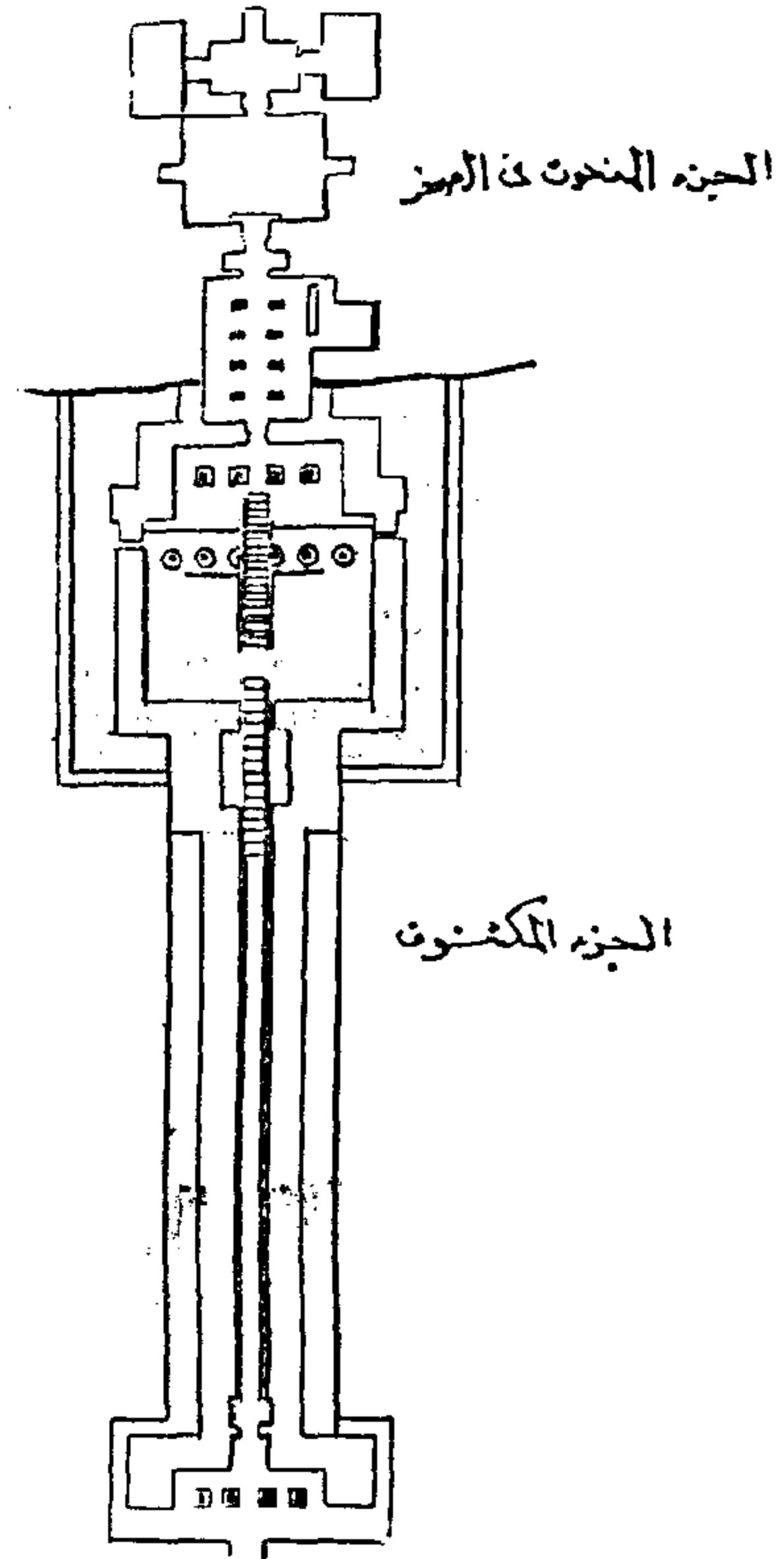
٢ - أدى ايمان المصريين القدماء بأن الحياة في الآخرة هي استمرار لما كانت عليه في الدنيا الى أن المقابر أصبحت تماثل منازل الأحياء . فمنذ عصر الأسرة الثانية احتوى البناء العلوى للمصطبة على غرف مماثلة لمساكن الأحياء حتى أنها اشتملت على دورات للمياه . وصار من المعتاد في العصور التالية خاصة في الدولة الحديثة أن تزرع حديقة أمام المقبرة مثال على ذلك نظام المقبرة المنزل بجبانة تونة الجبل ، بل والاكثر من ذلك أن مقابر الخدم أقيمت حول الأضرحة الملكية وحول قبور كبار الموظفين اعتقادا بأن التمايز مستمر في العالم الآخر . شكل (١٨) .



شكل (١٨) قبر الملك وديمو في أبيدوس تحيط به قبور رجال الحاشية في أخاديد طويلة مسورة ومقسمة الى قبور صغيرة باللبن (الأسرة الاولى) .

٣ - تمسك المصريون بوضع مدخل المقبرة في الشمال ذلك لايمانهم بأن ملكهم سيرحل ليمش وسط النجوم القطبية مما جعلهم يوجهون المدخل نحوها .

٥ - المقاصير الجنزية البنية : (شكل ١٦)



شكل (١٦) نموذج من المقابر البنية - مقبرة واح كا الاول في فاو (الدولة الوسطى) .

ظهرت في الدولة الحديثة وتمتد آخر تطورات المصطبة حيث استبدلت الكتلة الصماء بمجموعة من الفراغات المحورية تتمثل في سلسلة متتابعة من الافنية تفصلها صروح طوبية حتى الوصول الى مكان تقديم القرابين على نحو يماثل قدس الاقداس في المعبد . ويتم النزول الى الجزء السفلى من المقصورة الجنزية عبر آبار محفورة في أفنيئها تؤدي الى غرف الدفن المنقورة في الصخر والتي لا يزيد عددها عن اثنين إلا في مقابر كبار الأثرياء .

وفي عصور متقدمة أقيمت مقابر من هذا النوع في حرم المعابد حتى تكون تحت أعين الكهنة مثلما هو الحال في معبد رمسيس الثالث بمدينة هابو .

تأثير العقيدة والعادات على تخطيط وتصميم المقبرة :

أثرت العقيدة وما يلزمها من عادات على تصميم المقبرة المصرية القديمة ، وتمثل ذلك في عناصر تواجدت بشكل أو بآخر على مدى التاريخ المصرى القديم وهى :

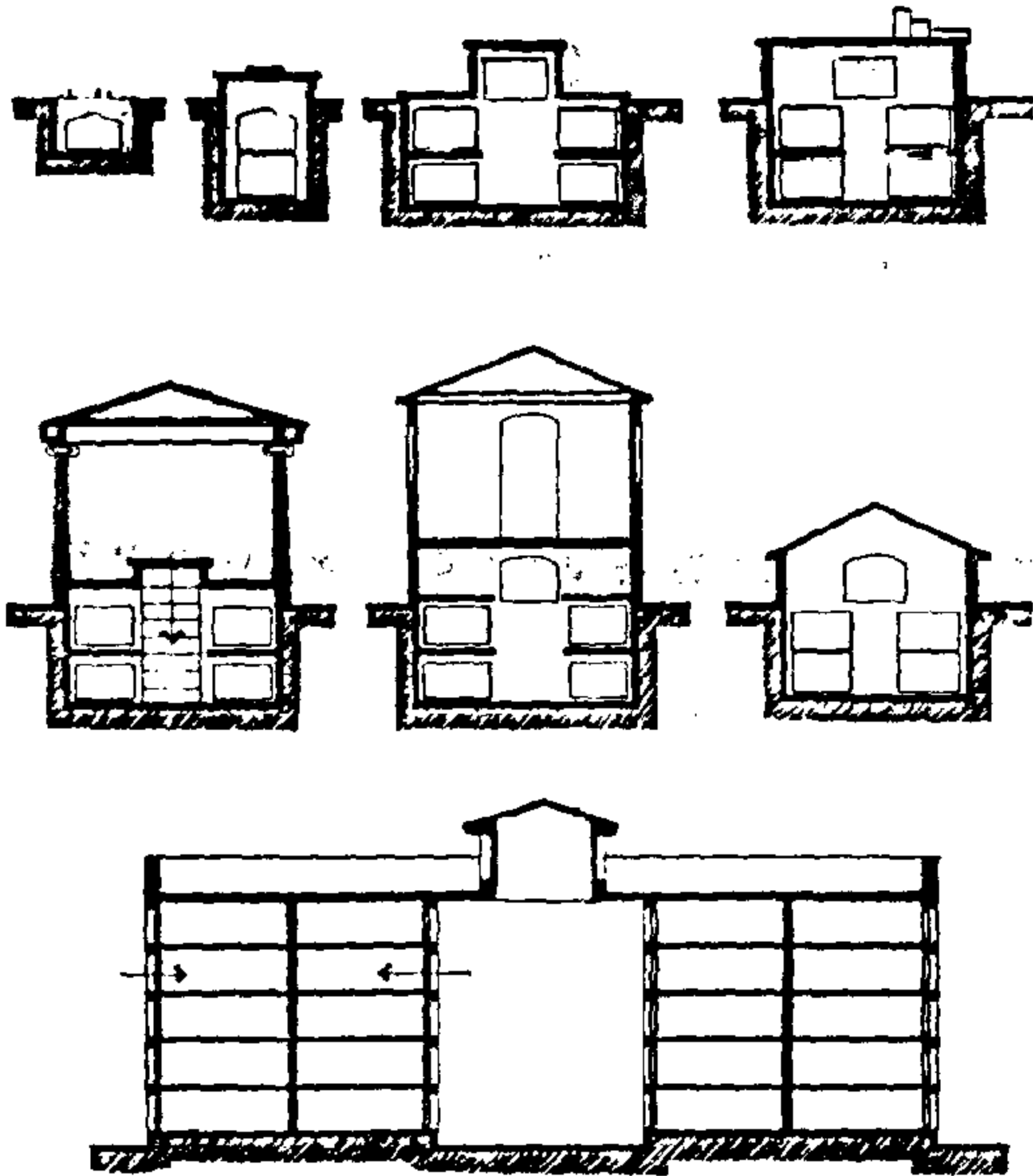
١ - أهم محدد من محددات تصميم المقبرة هو حماية المومياء من اللصوص وتأمين وجود تماثيل الشوابتى شكل (١٧) وهى التى تقوم بوظيفة المومياء في حالة تلفها

التشكيل البصرى لمقابر المصريين الأقباط :

يظن الداخل الى أية جبانة من جبانات المسيحيين بالقاهرة أنه دخل الى مدينة هجرها أهلها . فالمقابر المتراسة في شوارع متعامدة تقطعها أحيانا ساحة أو مبنى كنيسة تشبه المساكن ، إلا أن المقياس هو الذى يدل على هويتها حيث أن عرض الواجهة لا يزيد عن أربعة أمتار .

ورغم التخطيط المتعامد المنتظم لمنطقة المقابر إلا أن التنوع الشديد والتفنن في ابداع تشكيلات مختلفة - ذلك على الرغم من صغر المسطح المتوفر - نتج عنه ثراء بصريا لا يدع فرصة للعين أن تمل من النظر اليه . ويساعد الشجر واللون الأخضر على اضافة نواحي جمالية جديدة للجبانة . تمزج الحياة المتمثلة في حركة الاشجار ولونها وأصوات الطيور التي تسكنها بالموت المتمثل في المدافن الصامتة الساكنة .

تصميم القبرة : (شكل ١٩)



شكل (١٩) أنواع مقابر المسيحيين في مصر (أقباط - كاثوليك) .

تحتوى القبرة على ثلاثة عناصر هي البناء السفلى والمغصمة أو المغصمة والبناء العلوى .

البناء السفلى أو غرفة الدفن هو الأساس في القبرة . وهى تقع تحت الأرض وتختلف مساحتها من مدفن لآخر وأحيانا تكون بعمق دور كامل ويتم النزول اليها بسلم وأحيانا أخرى لا ينخفض منسوب أرضيتها أكثر من ٢٠ سم متر ويرتفع سقفها من ٦٠ سم الى ٨٠ سم . فوق سطح الأرض وفي هذه الحالة لا تكون هناك حاجة لسلم .

وتحتوى غرفة الدفن على أرفف رخامية على الجانبين ويبلغ عرضها حوالى ٢٤٠ سم . وحديثا أصبحت الارففلد خرسانية أو من المازايكو وتحيط بالفرفة من جميع

٤ - أدى الاعتقاد بأهمية الاثاث الجنزى بالنسبة لوجود المرء في العالم الآخر الى تخزين كميات كبيرة منه في المقبرة مما أدى الى التوسع في حجم المقبرة وظهور مخازن كبيرة سواء بنيت في جسم المصطبة فوق سطح الأرض أو نحتت في الصخر على مستوى غرف الدفن .

٥ - أدت الحاجة الى تقديم القرابين للموتى الى ظهور المعبد الجنائزى الذى بنى في البداية ملاصقا لجدار الهرم ثم تحول الى الجانب الشرقى مع ازدياد أهمية عبادة الشمس في الدولة القديمة . وعند تحول مقابر الملك من الشكل الهرمى الى مقابر المنحوتة في الصخر في الدولة الحديثة أدت صعوبة الجمع بين المعبد والمقبرة في نفس المكان الى إقامة المعبد على حافة الأرض الزراعية غرب طيبة .

٦ - كان المصريون القدماء يترددون كثيرا على المقابر اما بدافع الرهبة حيث يقدمون القرابين أو بدافع التقوى . وكانت الزيارات تقل تدريجيا لما في ذلك تكلفة على الأحياء فكانت الاستعاضة عنها بتماثيل منحوتة على الجدران . وقد شملت الجدران . رسومات تمثل الحياة اليومية للمتوفى حيث اعتقد المصريون أنه من الممكن للتشال أو الصورة أن تحل محل جسد الإنسان كمسكن لروحه كذلك أن تحمل عبء القيام بالاعباء التي يكلف بها المتوفى . لذلك فانه من الخطأ الفادح وصف رسوم المقبرة على أنها زخارف حيث اتضح أن الغرض منها عملى وهو تمكين المتوفى من ممارسة مختلف الأنشطة في العالم الآخر .

ثانيا - الموت والدفن عند المصريين المسيحيين :

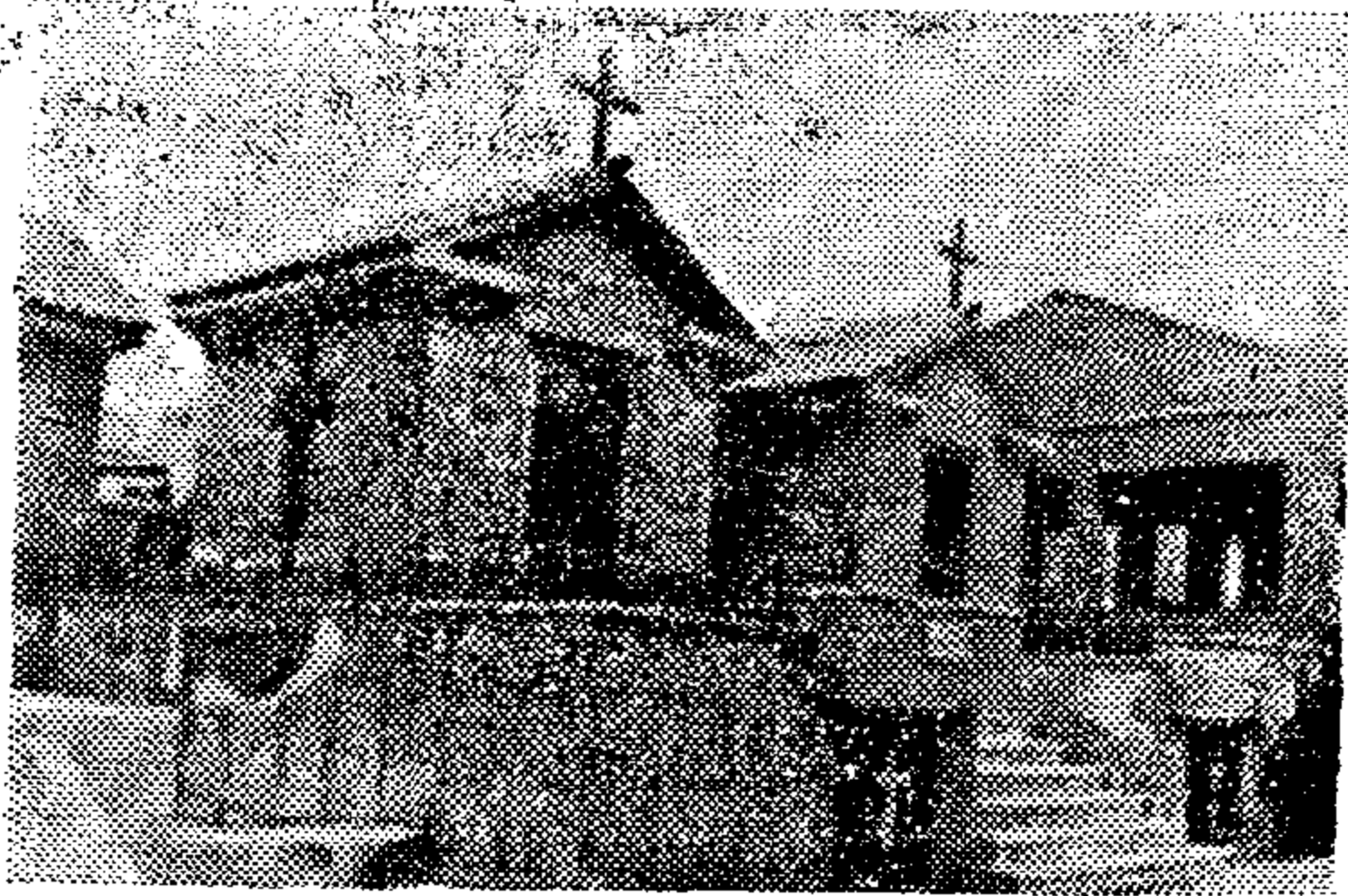
يؤمن المسيحيون بالحياة بعد الموت حيث يرجع « التراب الى الأرض كما كان وترجع الروح الى الله الذى أعطاها » (جا ١٢ : ٧) . ولا يعتقد المصريون الأقباط في حياة القبر بأية صورة من صورها بل يعتقدون أن الارواح تأخذ عربونا من السعادة أو من العذاب في مكان خاص حتى يوم القيامة حيث يتم الحساب الشامل .

ويتم دفن الميت بصندوقه مع انزاله بقدميه أولا الى المقبرة ووضع رأسه في اتجاه الشرق .

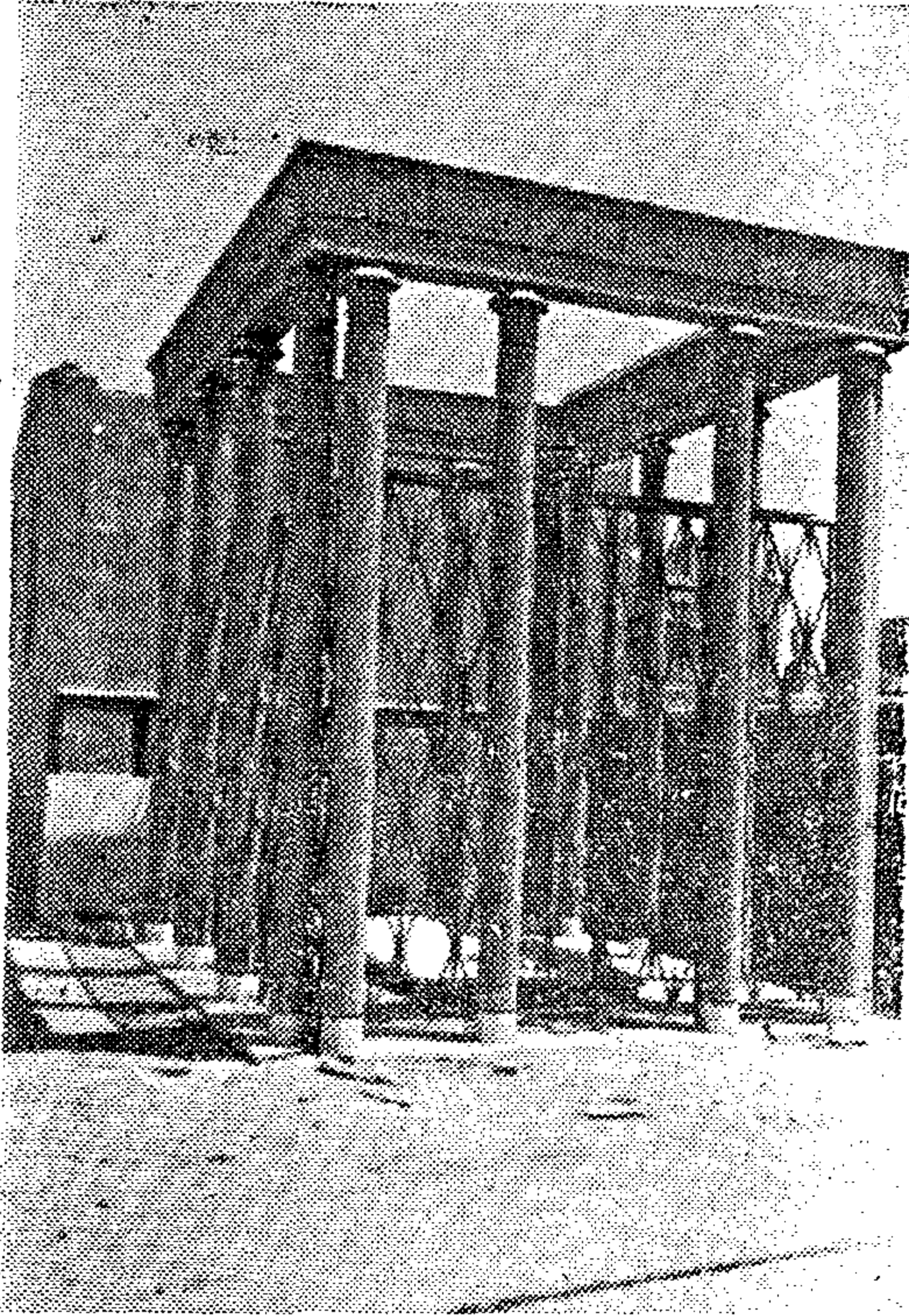
جبانات المصريين المسيحيين بالقاهرة وتخطيطها :

هناك ثلاثة جبانات للمسيحيين في القاهرة : في الجبل الأحمر والملازة ومصر القديمة . وكل جبانة محاطة بسور ولها بوابة يسكن في غرف بجانبها حارس المقابر وأسرته . وتأخذ الجبانات عموما تخطيطا شطرنجيا حيث تتعامد الشوارع البالغ عرضها حوالى ثلاثة أمتار ، وقد أطلق عليها أسماء القديسين وعلى جانبيها تقع المدافن التي أخذت أرقاما تماثل تلك الموجودة في المباني السكنية .

وفي الأصل كانت كل طائفة تختص بجبانة أما الآن فقد أصبح من المعتاد دفن أقباط (وهم المسيحيين المصريين) مع كاثوليك أو أرثوذكس .



شكل (٢١) استخدام الاسقف المختلفة في الغرفة العلوية في مقابر الميسرين م الاقباط .



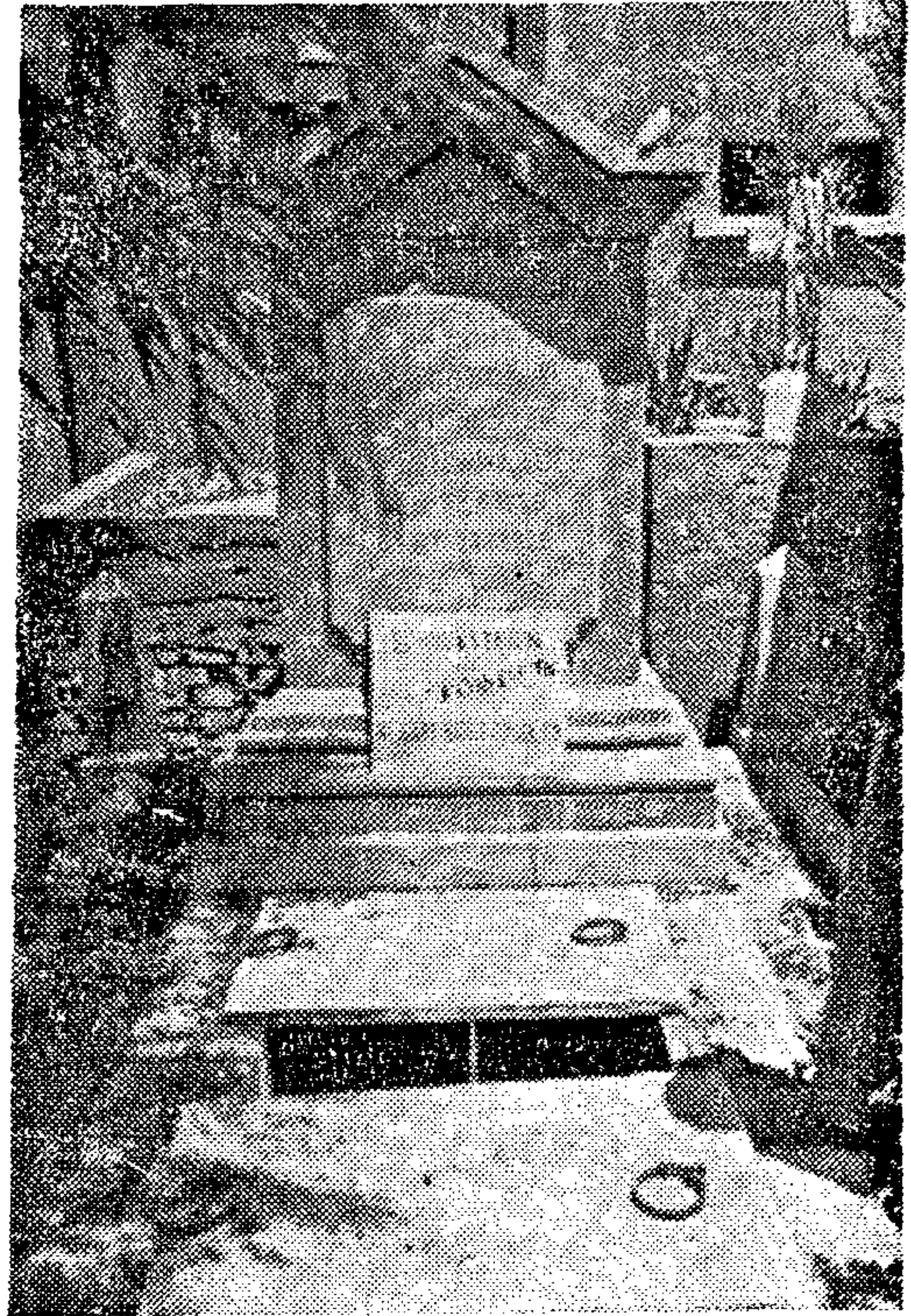
شكل (٢٢) مقابر الاقباط الميسرين في الجبل الاحمر - حيث تحولت الغرفة العلوية الى نصب تذكاري .

ويختلف هذا الجزء بشدة باختلاف المستوى الاجتماعي، ففي مقابر أغنياء الاقباط تستعمل أجمل الطرز والخامات في بناء الغرف ويتم تزيينها بالنقوش كما تأخذ ارتفاعات كبيرة وأحيانا سقف خارجي غير تقليدي مثل القبة أو الهرم . والفروض أن تستخدم هذه الغرف كاستراحات عند زيارة الموتى في المواسم والاعياد إلا أن معظمها ترك خاليا ، مما أدى الى استبدالها في بعض المدافن الحديثة بمجرد نصب مكون من أعمدة وكمرات وكرائيش .

الجوانب وذلك لضيق المكان . وغالبا ما يكون عدد الارفف اثنين على كل جانب يرتفعان بمقدار صندوق عن منسوب الارضية ، وفي المقابر الصغيرة توضع الصناديق فوق بعضها البعض .

ومن الداخل يكون سقف الغرفة مستوى أو مقبى حسب نوع المقبرة ويتم الدخول اليها بواسطة فتحة بارتفاع حوالي ٧٠ سم تغلق بعد الدفن سواء بالبناء أو في أغلب الاحيان بباب حديدي أو رخامي .

أما العضامة فهي بئر مبطنة بالطوب أو الحجر تغطي بلوح رخامي أو خرساني توجد في منتصف أرضية المقبرة ، وهي متخصصة لوضع العظام القديمة التي تفرغ في علب أو أكياس عند امتلاء الارفف بالصناديق . وهناك نوعا آخر من العضامات المشتركة بين عدة مدافن وهي تماثل السابقة إلا أنها أكبر في الحجم وتأخذ موقعا متوسطا بين المدافن (شكل ٢٠) .

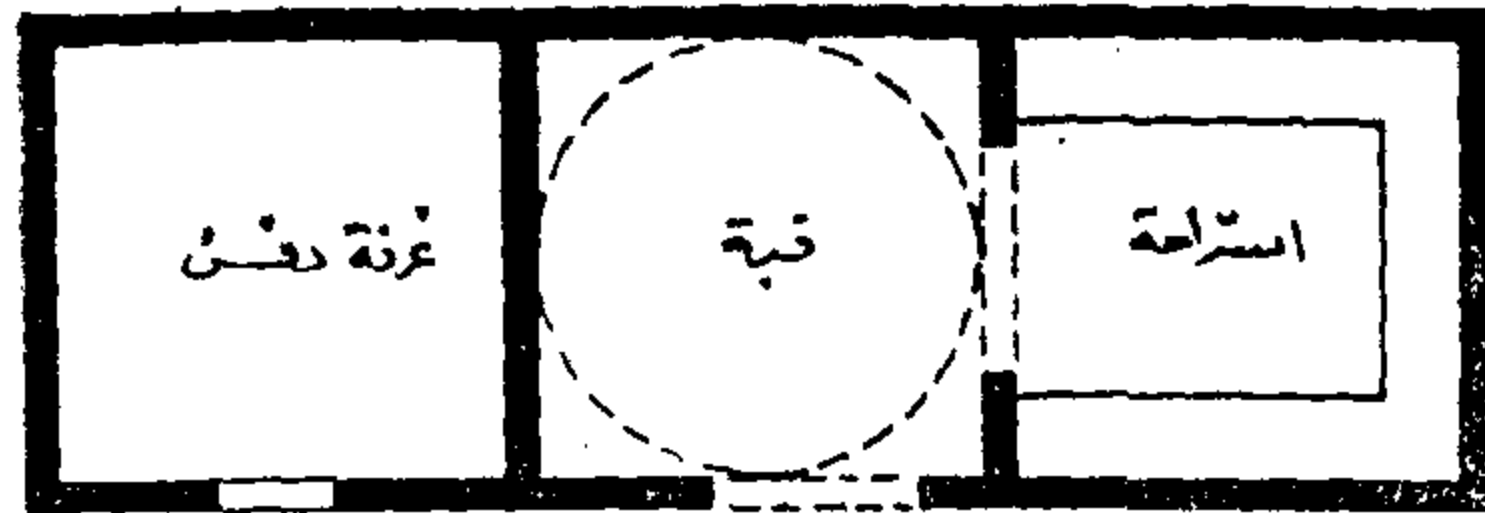


شكل (٢٠) العضمة المربعة - حفرة مغطاة بلوحين من الرخام وتحتوي على علب من الزنك بها عظام الموتى القدامى .

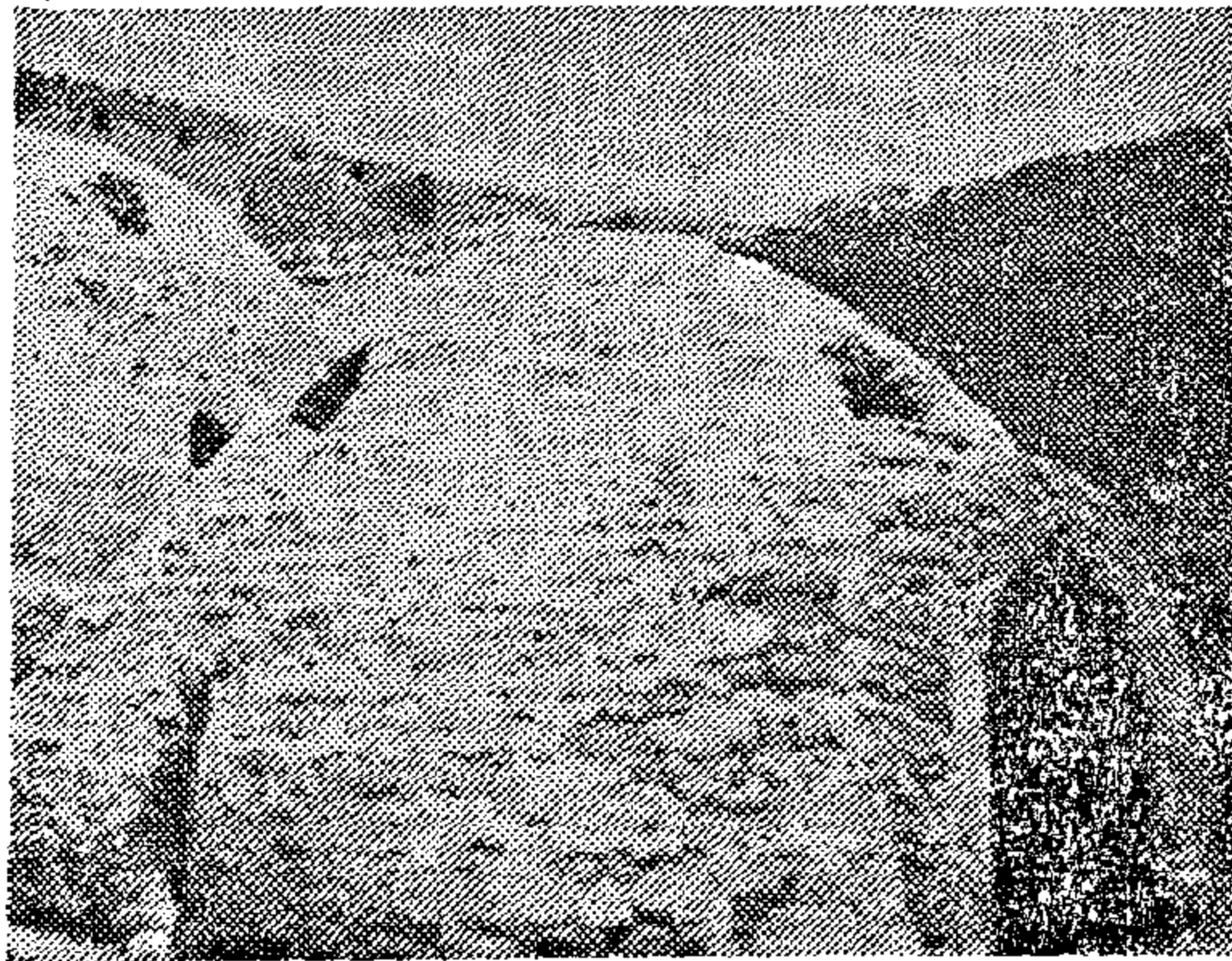
أما الجزء العلوي شكل (٢١ ، ٢٢ ، ٢٣) فهو يعلو غرفة الدفن وهو الذي يظهر بوضوح تأثير الطوائف المختلفة والوضع الاجتماعي ، فهو عند الاقباط غرفة تعلو غرفة الدفن أما الكاثوليك والاروام وأصلهم من الاجانب فهم يكتفون بشاهد حجري أو مصطبة أو نصب مكشوف أعلى المقبرة .

الشكل عن مدافن المسلمين ، كل ما في الامر انها تكون مجموعة منفصلة متجهة الى الشرق بدلا من الجنوب الشرقى وهذا من تأثير العقيدة المسيحية في أهمية الشرق حيث القيامة والحياة .

أما في الصعيد فقد أخذت المدافن نفس الطابع العمارى لمدافن المسلمين حيث استخدمت القبة والقبو ، الا ان أسلوب الدفن هو نفسه المتبع في مقابر الاقباط حيث غرفة الدفن ذات الباب الحديدي التى تحتوى على الصناديق .



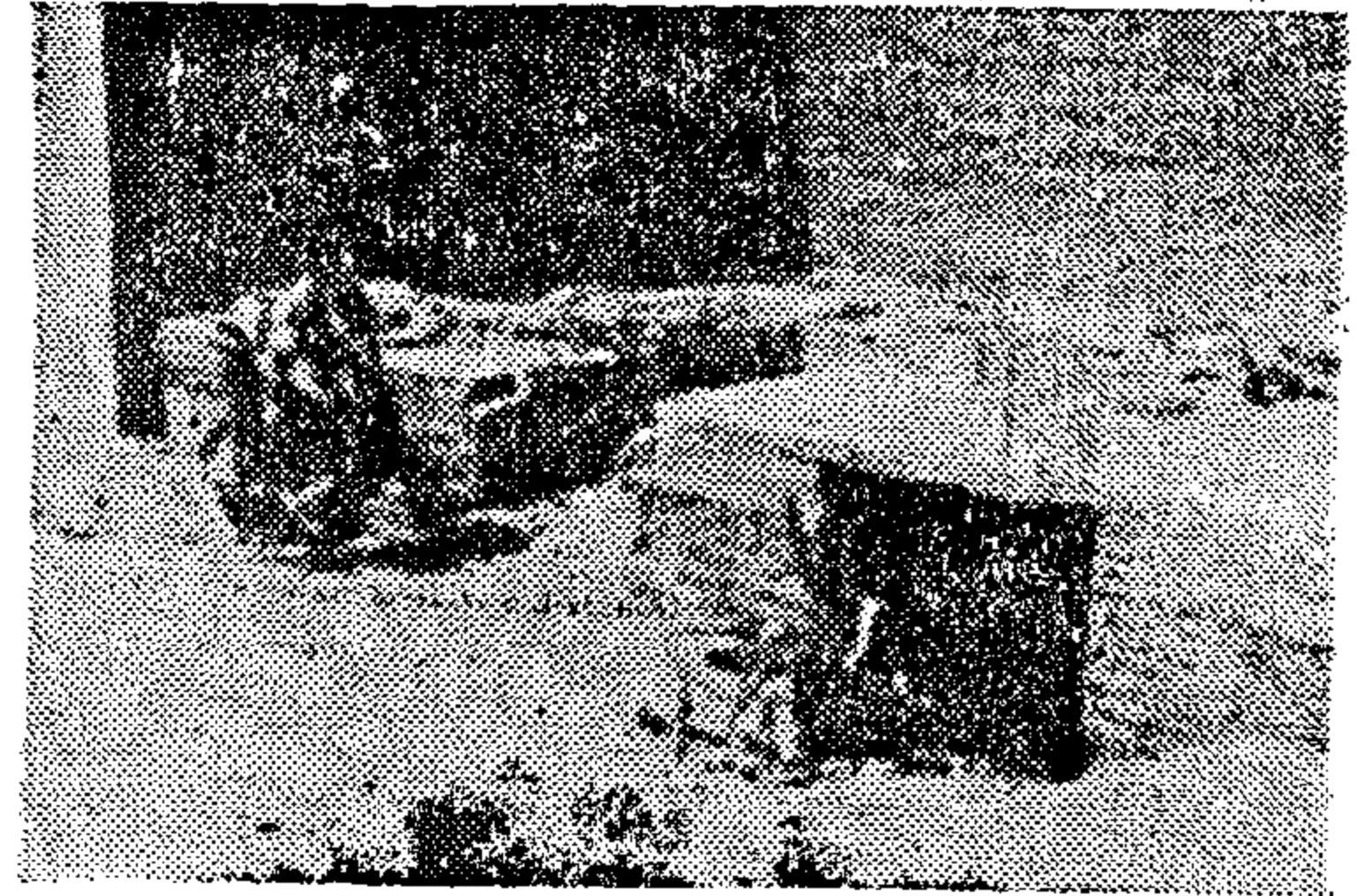
شكل (٢٥) المسقط التقليدى للمدفن ذى القبة بالنيا



شكل (٢٦) مقابر المسيحيين بالنيا المقبرة وفتحات التهوية .



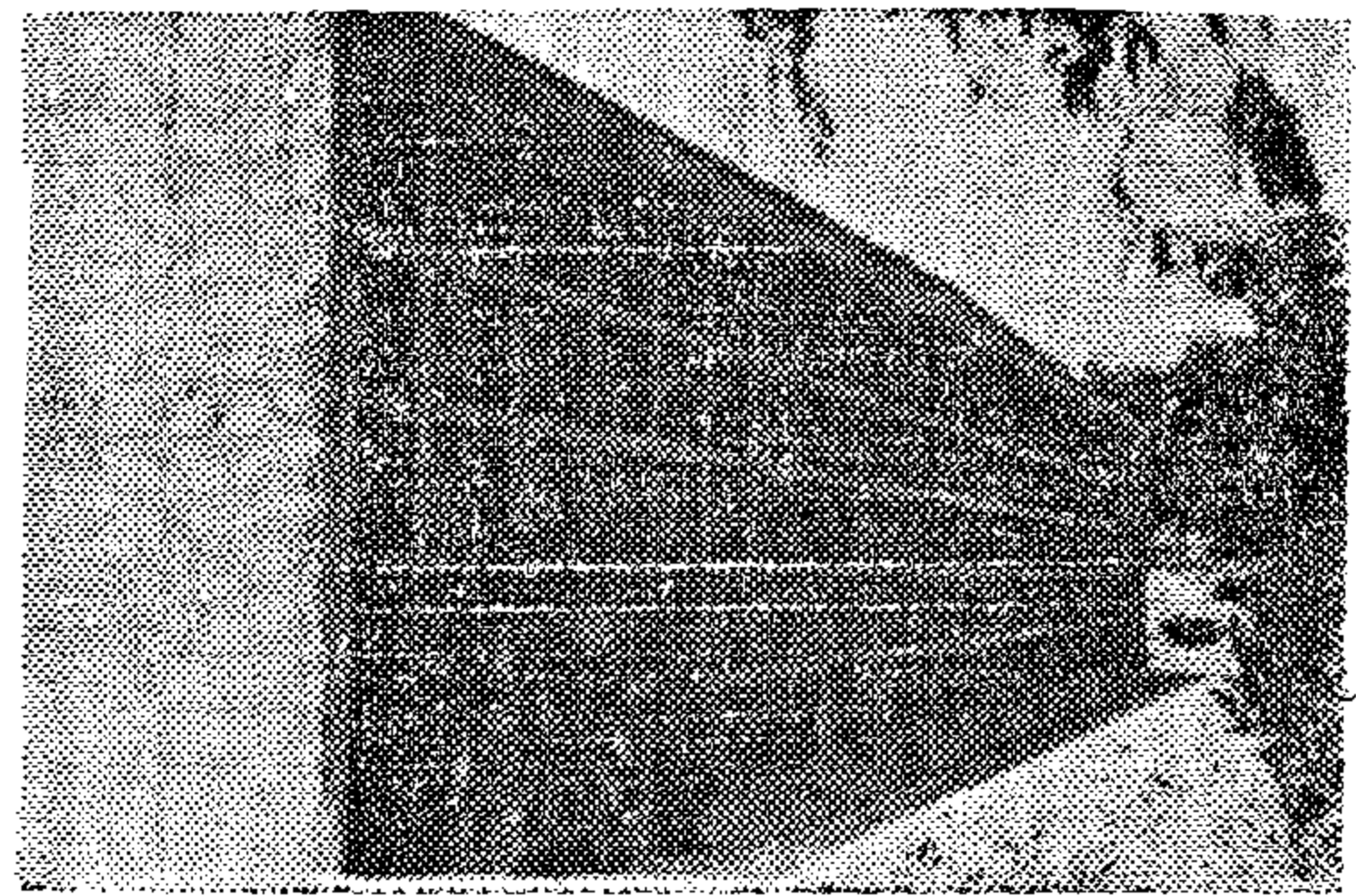
شكل (٢٧) مجموعة من مقابر الاقباط بالنيا - تأخذ تدرج الجبل .



شكل (٢٣) مدافن الفقراء ولا تزيد عن المصطبة الناتجة عن ارتفاع حجرة الدفن .

وتتدرج المقابر فى الضخامة حسب مقدرة كل أسرة حتى تصل فى مقابر الفقراء الى مجرد واجهة منخفضة من الطوب أو الحجر ذات دروة أعلى الدفن توضع عليها الزهور عند زيارة الميت .

حديثا بدأ الاقباط يدفنون فى مقابر مجمعة وهى عبارة عن شبكة خرسانية على شكل عيون تسع العين منها صندوق واحد حيث تبلغ أبعادها حوالى - ٢٢٥ × ٢٦٥ × ٦٠ مم . وهذه العيون تبني فوق سطح الأرض أو تحت سطح الأرض أو الاثنين مجتمعين . وتعلق العين بعد وضع الصندوق بها اما بواسطة بلاطة حجرية يتم سد الفراغ بينها وبين حواف العين بالمونة ، أو ببناء حائط من الطوب على الفتحة ثم تغطيته بغطاء رخامى عليه اسم وصورة المتوفى وآيات من الكتاب المقدس . وهناك عيون الدفن الإطفال ذات أبعاد مناسبة .



شكل (٢٤) مدافن عيون فى جبانة الكاثوليك .

مدافن المصريين الأقباط فى الأقاليم : (شكل ٢٥ ، ٢٦ ، ٢٧)

تختلف مدافن الاقباط فى الأقاليم عنها فى المدن حيث تتأثر كثيرا بشكل مدافن المسلمين هناك أو بالطابع المتوارث فى المنطقة . ففى قرى الدلتا لا تكاد المدافن تختلف فى

تحليل عناصر المقبرة المسيحية والعوامل المؤثرة عليها :

١ - ربما يرجع وضع الجسد بالصندوق في القبر الى التأثير الفرعوني حيث كانت المومياة تدفن في تابوتها في غرفة دفن سفلية ؟

وقد يكون هذا تأثيرا خارجيا ؟ فقد جاءت مقابر الاقباط في النوبة والتي ترجع الى القرنين السادس والسابع الميلادى متشابهة من حيث الفكرة مع مقابر الدولة القديمة ومع الشق واللحد الشرعيين للمسلمين مع الاختلاف في شكل البناء العلوى الذى أدخل في تشكيله شكل الصليب في الابعاد الثلاثة ، كما وجدت جثث محنطة ببعضها وضعت مباشرة في الحفرة دون صندوق ؟

٢ - يرجع الاهتمام بالغرفة العلوية التي تفنن المعماري في ابراز عظمتها وجمالها الى تأثير الحضارة الفرعونية التي اهتمت بشكل خاص بعمارة المقابر .

٣ - ربما كانت العضامة تأثيرا اجنبيا ؟ وليس فرعونيا حيث أن الفراعنة كانوا يحتفظون بالجثة محنطة وكاملة ومن ثم لم يكن هناك داع لجمع العظم بعد ذلك . ويؤيد هذا الاستنتاج وجود هذا العنصر في معظم الجبانات في الغرب ، بل واستخدامه كمعصر في عمارة الكثير من المقابر الحديثة . مثال على ذلك جبانة برجوس بأسبانيا حيث تشكل العضامة الحائط المحيط بالجبانة . مثال آخر في العضمة الجبانة بجزيرة سانت دينيس حيث أخذت العضامة المجعلة صورة هضبة صناعية احتوت على عيون صغيرة متجاورة في حلقات مشتركة في المركز .

٤ - «المدافن العيون» تأثير غربي حيث بدأ استخدامها لدفن الراهبات والرهبان الكاثوليك فكل دير أو طائفة لها مجموعة عيون . وقد طود هذا الاسلوب حديثا في الغرب وفي فرنسا بالذات .

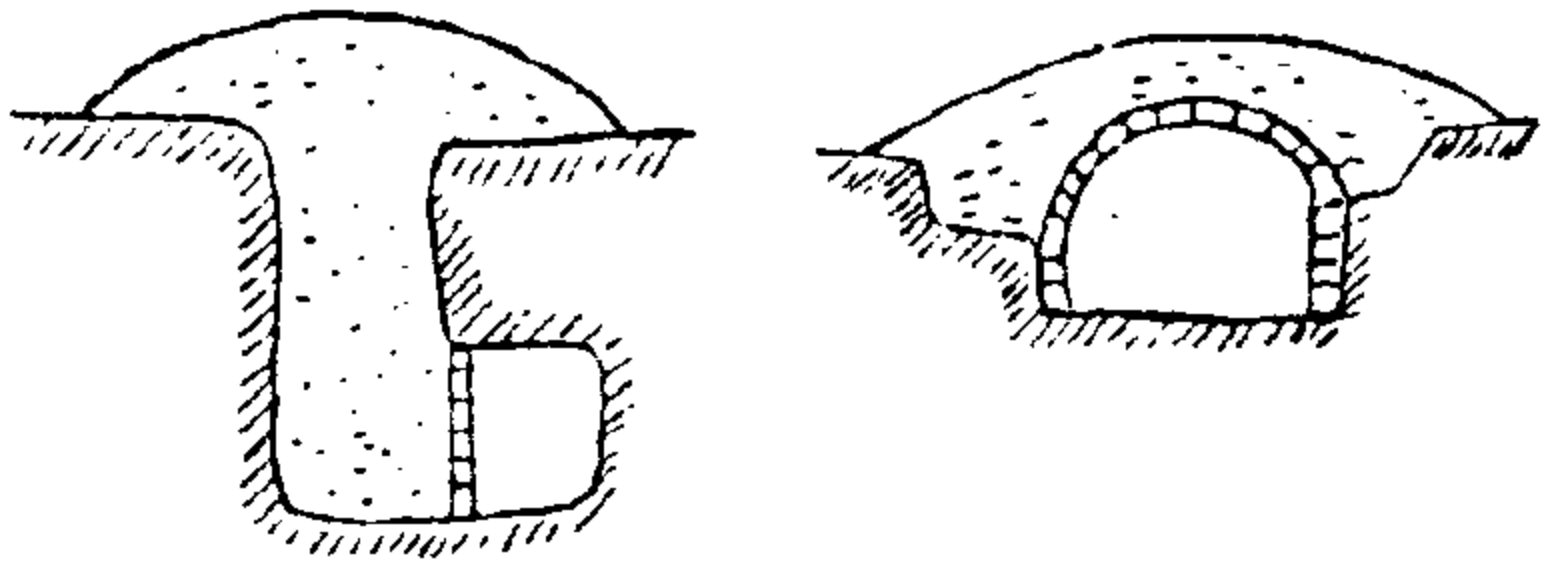
٥ - من التأثير الفرعوني أيضا وجود رسومات ملونة على حوائط المقبرة بالصعيد .

ثالثا - الموت والدفن عند المصريين المسلمين :

الموت عند المصريين المسلمين هو مفارقة النفوس لاجسادها وخروجها منها . ويعتقد المصريون المسلمون أن الروح بعد مفارقتها للبدن بالموت تعود وتدخل القبر معه ويكون الميت بكامل قواه العقلية حتى يستطيع أن يتذكر ويجب عن مساءلة منكر ونكير ، لكن الكيفية التي يتم بها ذلك لا يعلمها الا الله تبارك وتعالى ، فعودة الروح الى البدن هنا ليست لممارسة الحياة المعهودة في الدنيا التي يحتاج معها المرء الى الطعام والشراب واللباس مثلما يعتقد المصريون القدماء .

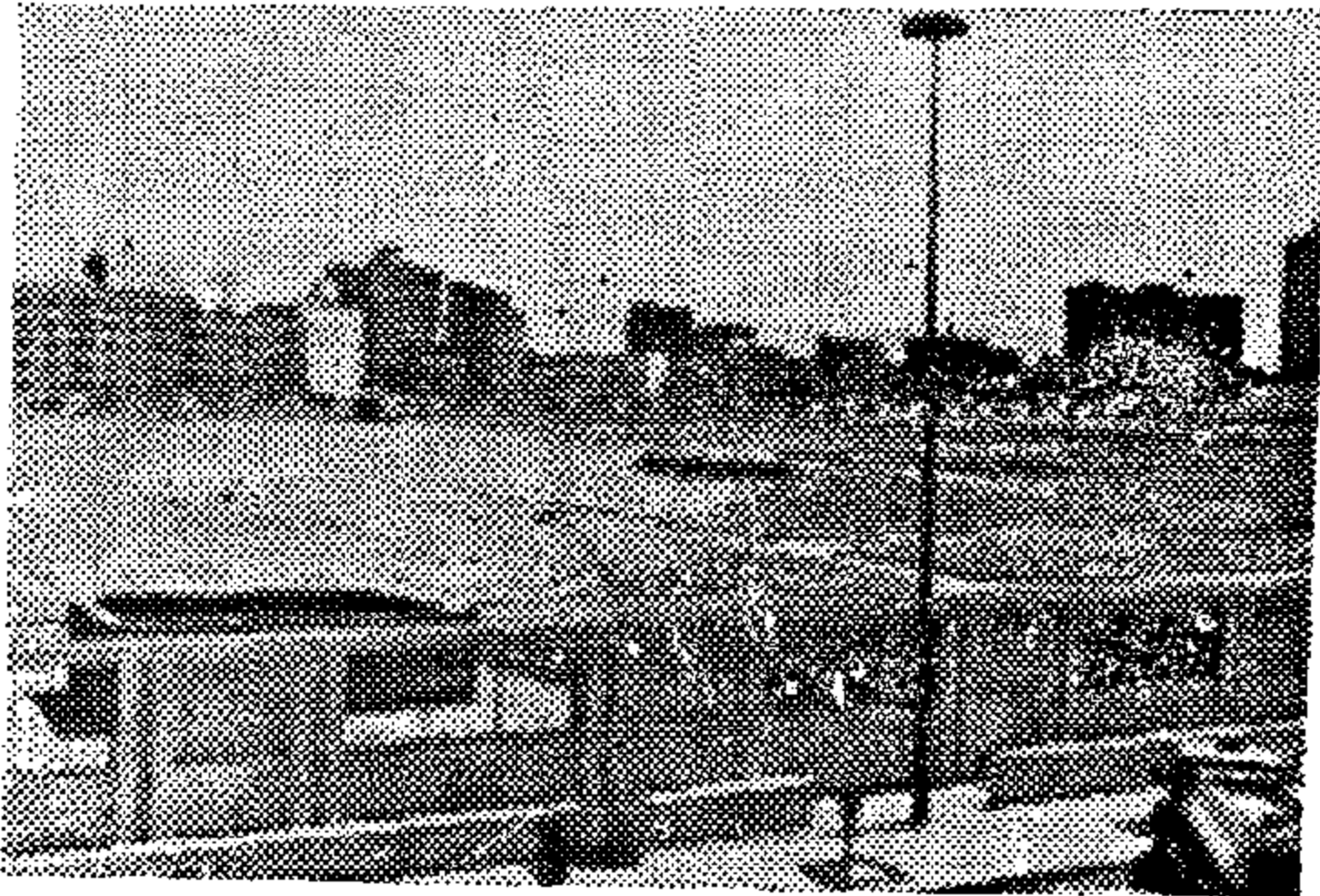
الشكل الشرعى للمقابر : (شكل ٢٨ ، ٢٩)

تشمل المقبرة الشرعية جزئين علوى وسفلى . ويستحب تعميق الجزء السفلى الذى يتم فيه الدفن بقدر قامة ويوضع الميت في شق أو لحده وكلاهما جائز .



الشق اللحد

شكل (٢٨) الشكل الشرعى للمدفن (الشق واللحد)



شكل (٢٩) مدائن البقيع بالمدينة المنورة .

واللحد وهو الشكل الذى دفن به الرسول صلى الله عليه وسلم هو شق في جانب القبر جهة القبلة ينصب عليه اللبن - لكرامة كل ما دخل النار في القبر - فيكون كالبيت المستوف .

أما الشق فهو حفرة في وسط القبر تبنى جوانبها باللبن ويوضع فيها الميت ويسقف عليه بشيء .

وبالنسبة للجزء العلوى فمن السنة أن يرفع عن الارض قدر شبر ويكون اما مسطحا أو مسنما ليعرف انه قبر لكيلا يوطأ أو يجلس عليه . ويحرم رفعه زيادة على ذلك كما يجوز وضع علامة ولا يصح تجصيص القبر أو الكتابة عليه .

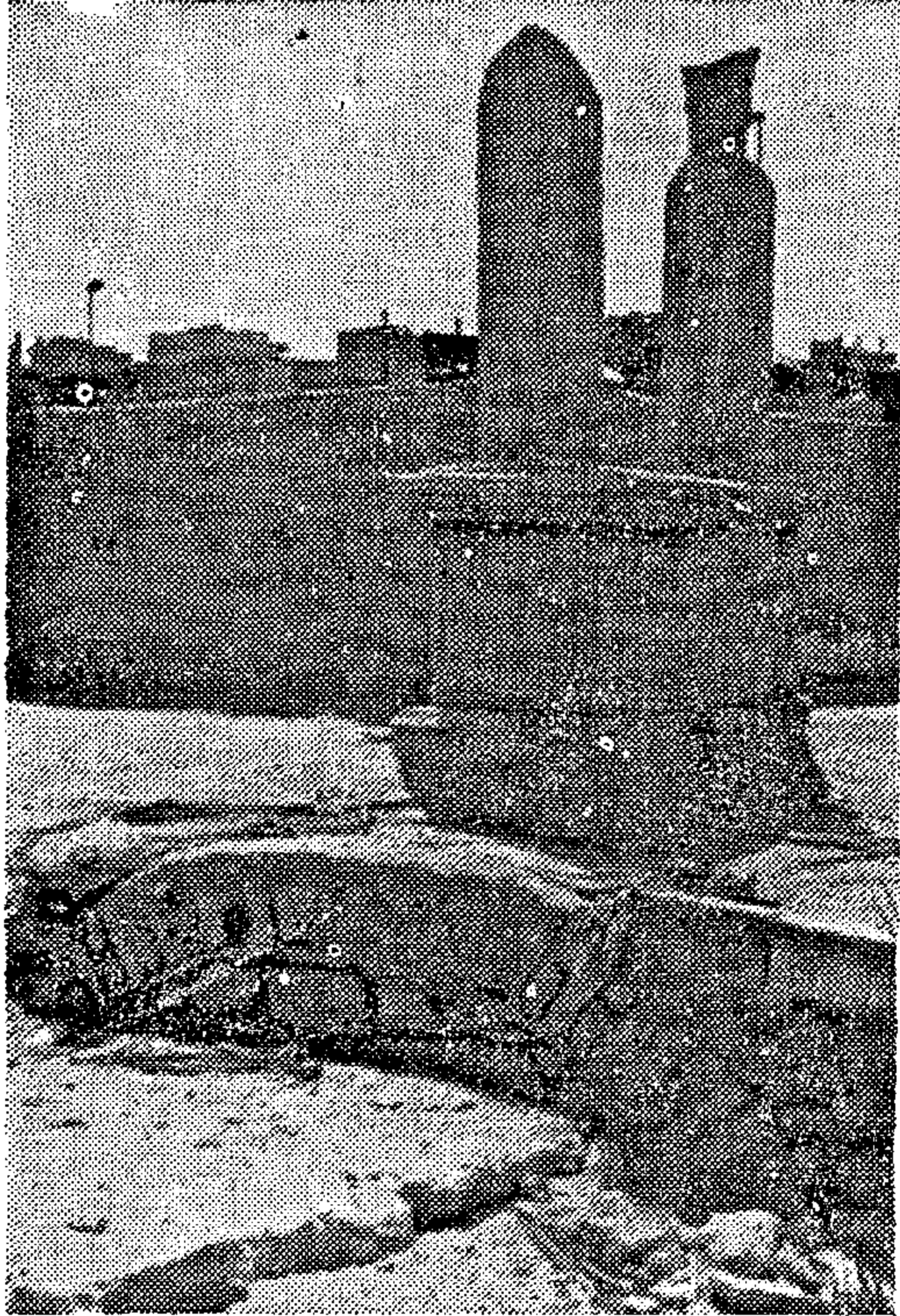
وينبغى هنا الوقوف والمقارنة بين الشكل الشرعى للمقبرة - أى الشق واللحد - وبين المقابر الحفرية في فترة ما قبل الاسرات في عصر الفراعنة . ويقود هذا التشابه العجيب كذلك وجود الاعتقاد في عودة الروح الى القبر بشكل أو بآخر الى التساؤل هل هذا مجرد مصادفة أم أن الله سبحانه وتعالى قد أرسل اليهم أو الى من قبلهم رسلا قاموا بهدايتهم الى الطريق الصحيح ومن ضمن ما تعلموه هو شكل عملية الدفن؟؟ وهؤلاء الرسل لم يذكرهم الله للنبي صلى الله عليه وسلم حيث جاء في القرآن الكريم : « ولقد أرسلنا رسلا من قبلك منهم من قصصنا عليك ومنهم من لم نقصص عليك ... » الى «آخر الآية الكريمة (غافر ٨٧) .

مقابر المصريين المسلمين :

انفردت المقابر في مصر باسم « القرافة » التي أصبحت علما على الجبانات في شتى أنحاء مصر .

مواقع القرافات وتخطيطها :

الغربي وتأخذ شكل عقد ، يسبقه فراغ مربع بحوائط سائدة ومستوف بألواح حجرية - ترفع عند عملية الدفن - تغطي بالتراب . وينخفض منسوب الأرضية بحوالى قامة ويرتفع سقف القبو بمقدار يسمح بتعود الميت متجها نحو القبلة عند محاسبة منكر ونكير له . وغالبا ما يتسع لاربعة جثث أو أكثر ولا يدفن الرجال مع النساء . ولا يزيد الجزء العلوى عن الشاهد الحجرى .



شكل (٣٠) تفصيلة للمدفن ذو الشاهد ويظهر الجزء العلوى عن عقد مدخل غرفة الدفن الموجودة أسفل الشاهد كذلك أطراف البلاطات الحجرية التى تغطى مدخل المدفن - ترب الفقير القاهرة .

٢ - مقابر الأحواش : (شكل ٣١ ، ٣٢ ، ٣٣ ، ٣٤)

يتركز هذا النوع فى القاهرة فى نطاق شرقها وجنوبها على الطرق المحورية . وكل حوش يخص عائلة . وهناك ثلاثة أنواع من مقابر الأحواش :

(١) يحيط بالمكان الذى يعلو غرفة الدفن سور منخفض بباب أو بدون باب . وأحيانا يضع البعض شاهدا أو أكثر ويكتفى البعض الآخر بمصطبة ترتفع حوالى شبر عن الأرض وهو الأقرب إلى الشكل الشرعى للمقبرة، كما أن هناك من يترك الحوش خاليا بعد دمه فتحة الدخول إلى غرفة الدفن .

تبنى المقابر فى المناطق الهامشية للمدينة ، وتنفصل عن المدينة وبالتالي تظل فى حالة عزلة وانفصال تام عن الكتلة السكنية ، وتسور بأسوار خاصة من النواحي المقابلة للصحراء وتواجه المدينة ببوابات أو تظل الواجهة المواجهة للمدينة بلا أى صور أى مفتوحة على المدينة وفى القاهرة استعمل سفح جبل المقطم وامتداده كقرافة منذ الفتح العربى وذلك للاعتقاد القديم بأنه يدفن فيه غراس الجنة علاوة على عوامل أخرى مثل استحالة الامتداد العمرانى شرقا بسبب الجبل علاوة على جفاف المنطقة وابتمادها عن تأثير الرشح الرطوبة .

وتوجد بالعاصمة المصرية ما يقرب من عشرين جبانة للدفن ، تتركز معظمها فى شرق العاصمة القديمة فى شكل نطاق شبه متصل . والحد الشرقى لمنطقة المدافن يتفق مع خط سكة حديد الحاجر إلا أنه توجد امتدادات متقطعة للمقابر شرق الخط الحديدى فى حوض تلال المقطم، تختلف فى عمقها من مكان إلى آخر حسب تقدم أو تقهقر النطاق المرتفعة .

- لما كانت مقابر النطاق الشرقى والجنوبى يحرم المدينة من هذه الجهات ، فقد ظهرت امتدادات عمرانية فيما وراء هذا الحزام مثل مساكن زينهم وعين الصيرة وأبو السعود فى جنوب القاهرة ومدينة نصر ومدينة المقطم فى شرقها مما تطلب اختراق هذا الحزام لربط الكتلة العمرانية القديمة بمناطق الامتداد العمرانية فيما وراء هذا الحزام من المقابر ، فاخترقتها الطرق الطولية والمرضية ، ساعد على ذلك استقامة شوارع المقابر .

وبالنسبة للنسيج الحضرى للجبانات فهو يتنوع ما بين التعمد المخطط والعضوى العشوائى الحر ، وهذان النمطان قد يتجاوران أو يتداخلان فينشأ عن هذا التداخل مع التنوع فى أحجام قطع الاراضى أنماط جديدة من النسيج الحضرى .

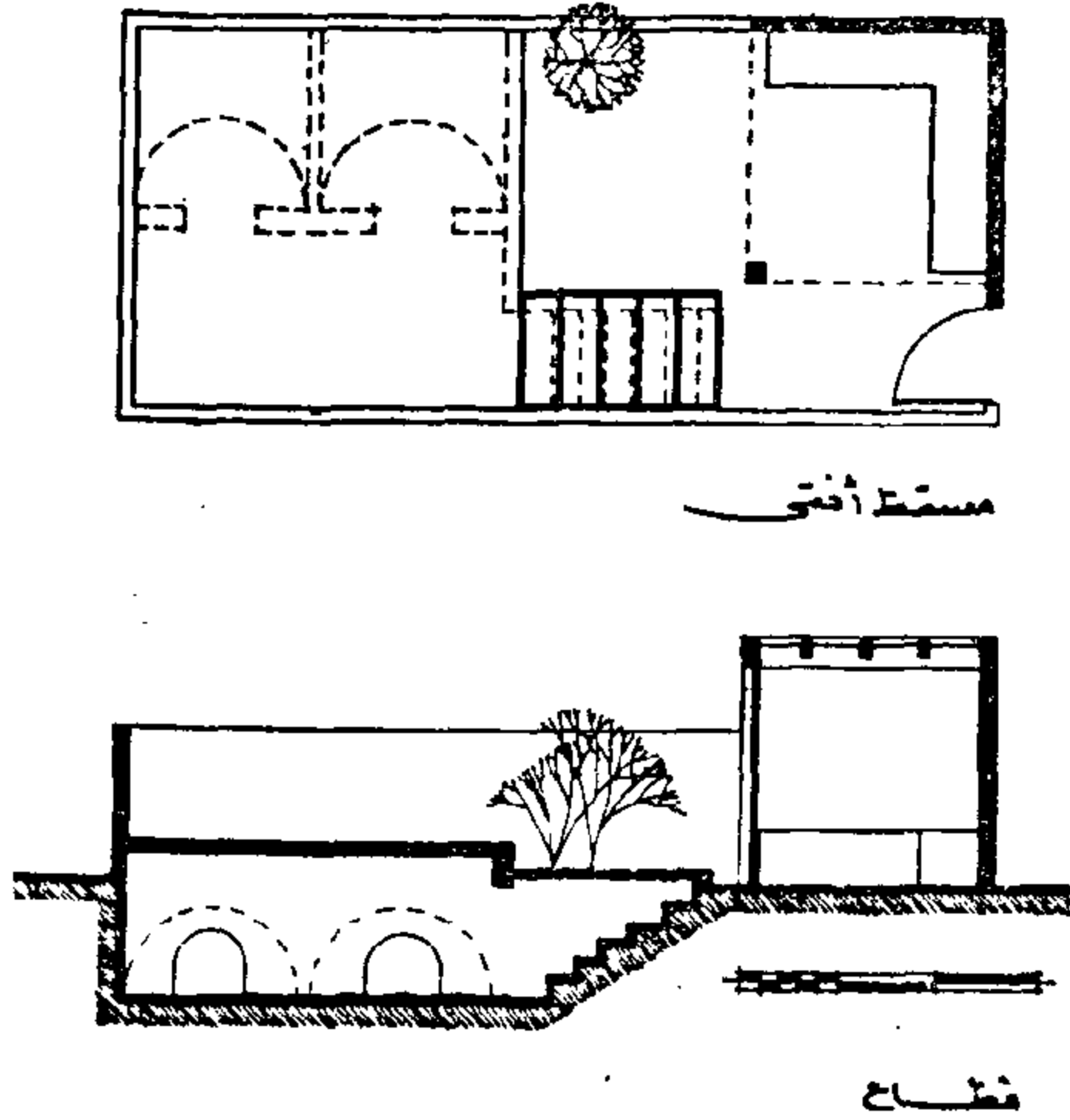
أما فى باقى أقاليم مصر فإن مواقع القرافات تختلف حسب المناطق إلا أن معظمها يلتف حول مقام ولى أو شيخ ويحتل ربوة أو مكان مرتفع خاصة فى الدلتا حيث يرتفع منسوب المياه الجوفية . أما فى الصعيد والواحات فإن الصحراء هى الموقع المثالى للجبانات . وتختلف مسارات الشوارع حسب ظروف كل موقع .

أنواع مقابر المصريين المسلمين :

تنقسم المقابر لتكوينها وعناصرها إلى عدة أنواع هى :

١ - مقابر الشواهد : (شكل ٣٠)

وهى مقابر الطبقة الفقيرة وتنتشر فى المناطق الداخلية بعيدا عن الطرق المحورية . وتتمثل غرفة الدفن فى قبر مستطيل باتجاه القبلة فتحة مدخله من الشمال



شكل (٣٤) التصميم التقليدي لمقابر الاحواش

(ج) يتكون النوع الثالث من جزء مسقوف يحتوى على عدد من الغرف ومطبخ ودورة مياه وجزء سماوى او مظلل يعلو غرفة الدفن ثم مصطبة لجلوس الزائر او المقرء .

وفي هذا النوع يظهر بوضوح تأثير العادات المصرية القديمة حيث اقيمت الغرف العلوية كنظير لمقصورة القرايين ، فقط أصبحت الاطعمة توزع كصدقة للفقراء بدلا من تقديمها كقرايين للآلهة أو لروح الميت . وهذا التغير في المضمون مع بقاء الشكل يدل على صعوبة معو الحضارات القديمة ومحاولة تطويع عناصرها للمعتقدات التي قد تستجد .

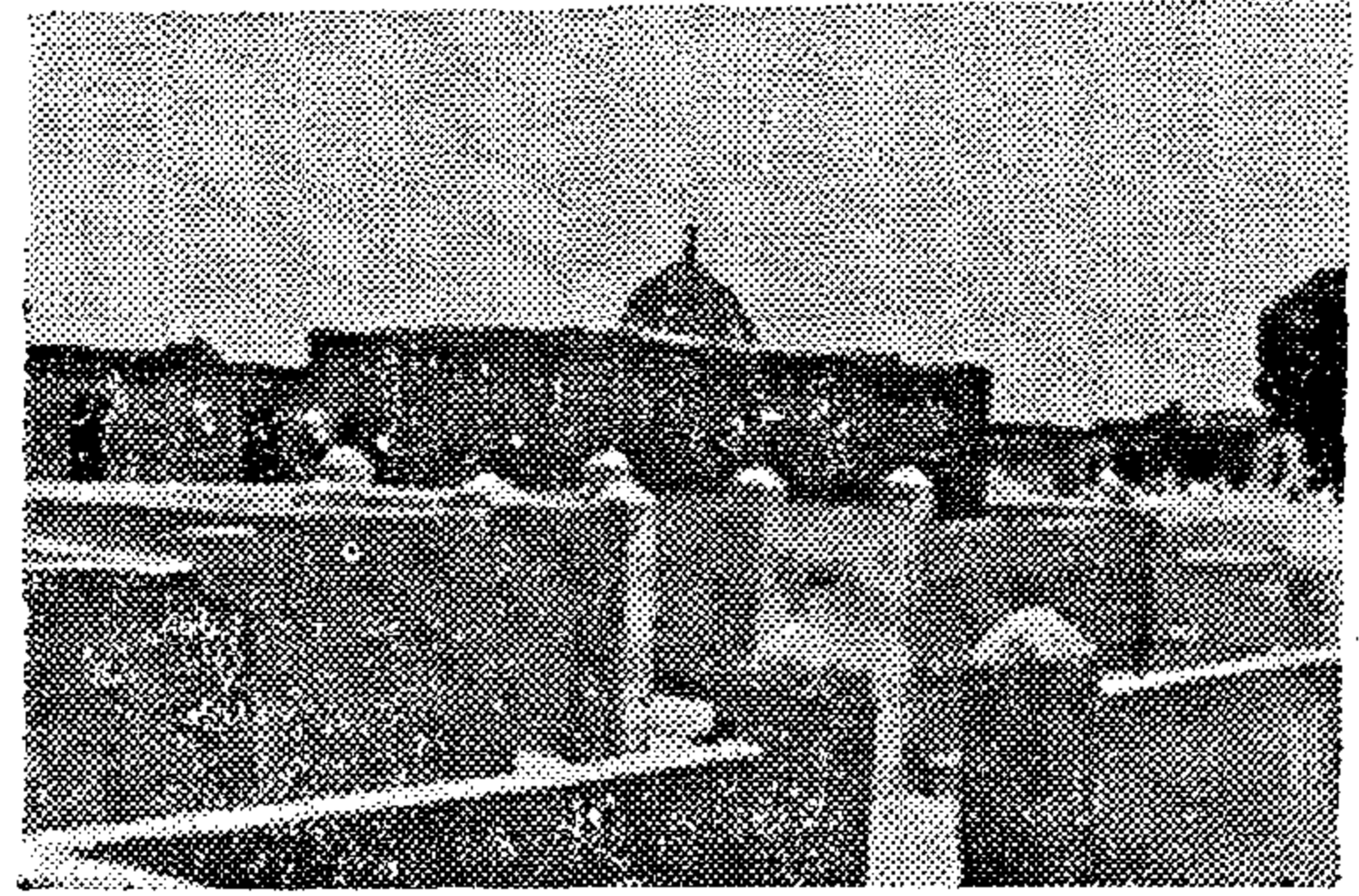
ويتشابه البناء السفلى في الانواع الثلاثة اذ يتكون من قبر كبير مقسم الى غرفتين أو اكثر للرجال والنساء أو من عدة اقبية . ويتم النزول من فتحة في أرضية الحوش بواسطة سلم ذو ميل حاد يصل الى ردهة صغيرة أمام غرف الدفن وهذه الاخيرة يتم الدخول اليها عبر عقد مر الطوب أو الحجر .

٣ - الجبانات غير المقسمة :

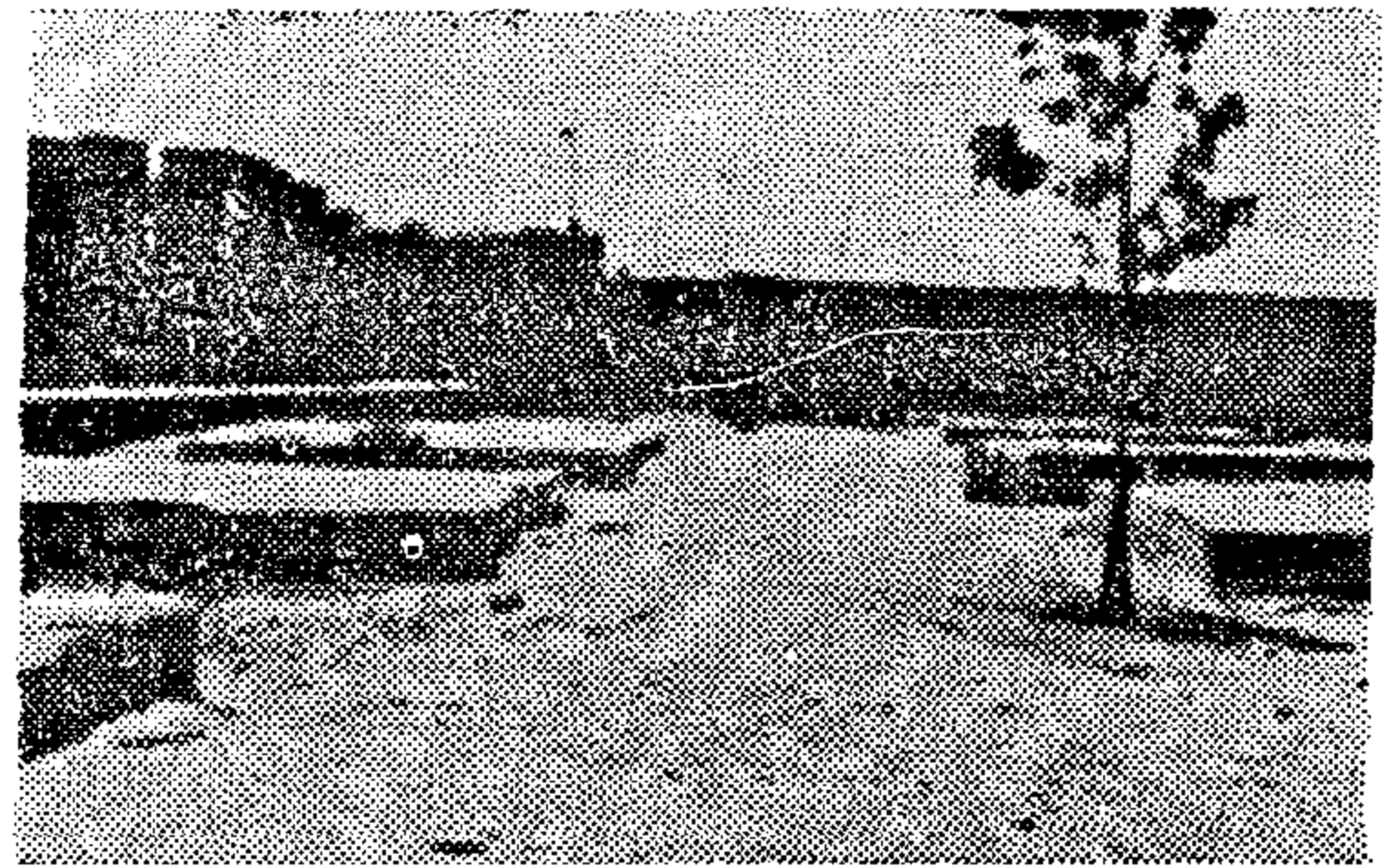
وهى نتيجة للرغبة في استغلال المساحة على الوجه الامثل وفيها تتناثر المقاصير أو تتصل . وفي الفراغات الواقعة بينها توجد الشواهد الحجرية متناثرة ، مثال على ذلك جبانة باب النصر ، وجبانة أسوان التى تحتوى على الاضرحة الفاطمية المشيدة من اللبن والتي استعمل بها عقود مختلفة .

٤ - المقابر المتلاصقة : (شكل ٣٥ ، ٣٦ ، ٣٧)

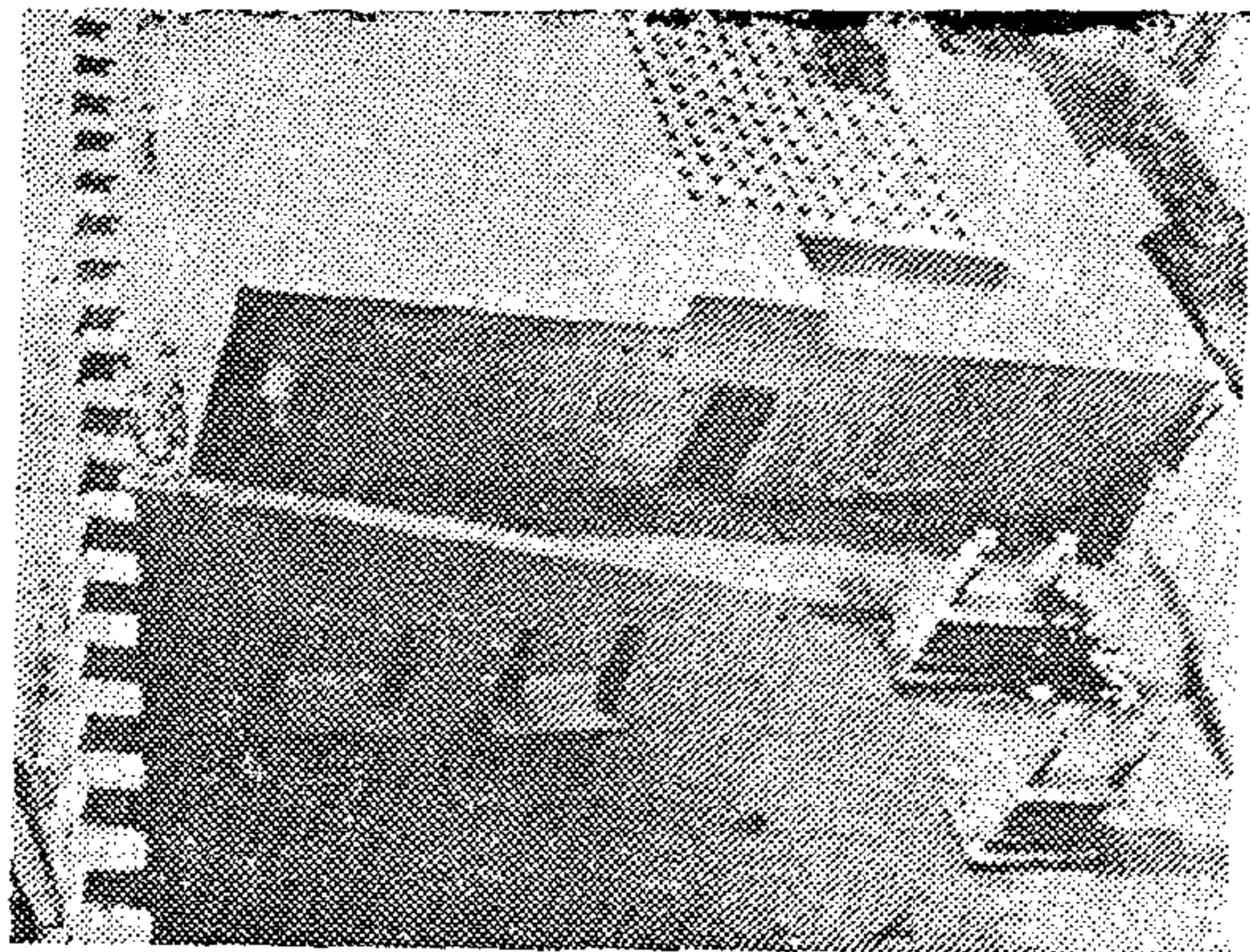
وهى منتشرة في القرى حيث يكون تخصيص المقابر معروف دون اقامة أية أسوار تفصلها . وهى عبارة عن مجموعة من الغرف المتراسة فوق سطح الارض التى ينخفض منسوب أرضيتها بحوالى ٢٠ سم ، ويخصص بعضها للرجال وبعضها للنساء .



شكل (٣١) مداخل الاحواش منخفضة الاسوار - ببوابة أو بدون . ترب الفقير القاهرة



شكل (٣٢) مصاطب تعلو غرف الدفن وهى أقرب الى الدفن الشرعى .



شكل (٣٣) مقابر الاحواش الكبيرة بترب الفقير تظهر الغرف المسقوفة والتي تستخدم كسكن في بعض الاحواش فتظهر المصطبة كذلك الشواهد التى تعلو غرف الدفن وهى فى المكان المكشوف غير المستعمل من قاطنى الدفن .

(ب) أن يكون الحوش مسقوفا وهو فى عناصره لا يزيد عن النوع السابق .

٥ - أنواع أخرى من مقابر المسلمين في مصر :

في مصر العليا والنوبة والواحات يكون الدفن في شق أو لحد يعلوه البناء المسطوح أو المسنم حسب الشرع وغالبا ما يكون من الطوب اللبن . وعند موضع الرأس والاقدام يبين شاهد صغير من اللبن أيضا وبه ثقب لكى يصمد أمام الرياح .

أما في سيناء فان لكل قبيلة مقابر خاصة بها غالبا ما توضع بقرب الماء لاجل غسل الميت قبل دفنه . والمقبرة عبارة عن لحد يوضع بعد ردمه حجر فوق الرأس وحجر فوق الاقدام أو فراش من الحصى فوق القبر كله .

وعلى مدى التاريخ فان وظيفة قراوات المسلمين لم تقتصر على دفن الموتى وانما امتدت لتستوعب وظائف أخرى كثيرة . ويرجع اهتمام المسلمين بالقرافة الى عصر الفاطميين الذين بنوا فيها المساجد والمشاهد والقصور وامتد هذا الاهتمام في عصر الايوبيين ثم المماليك . وعموما فانه اذا كان اهتمام المصريين المسلمين بمقابرهم قد خالف الشرع فان المعمار والزخرفة التي زينت بها المقابر تعتبر من أهم الانجازات المعمارية والحرفية .

الخلاصة :

بملاحظة المقابر في أنحاء مصر سواء للمسلمين أو للاقباط يتضح الآتى :

١ - أن الدفن يتم في غرفة مثل الفراشة وليس في شق أو لحد شرعى .

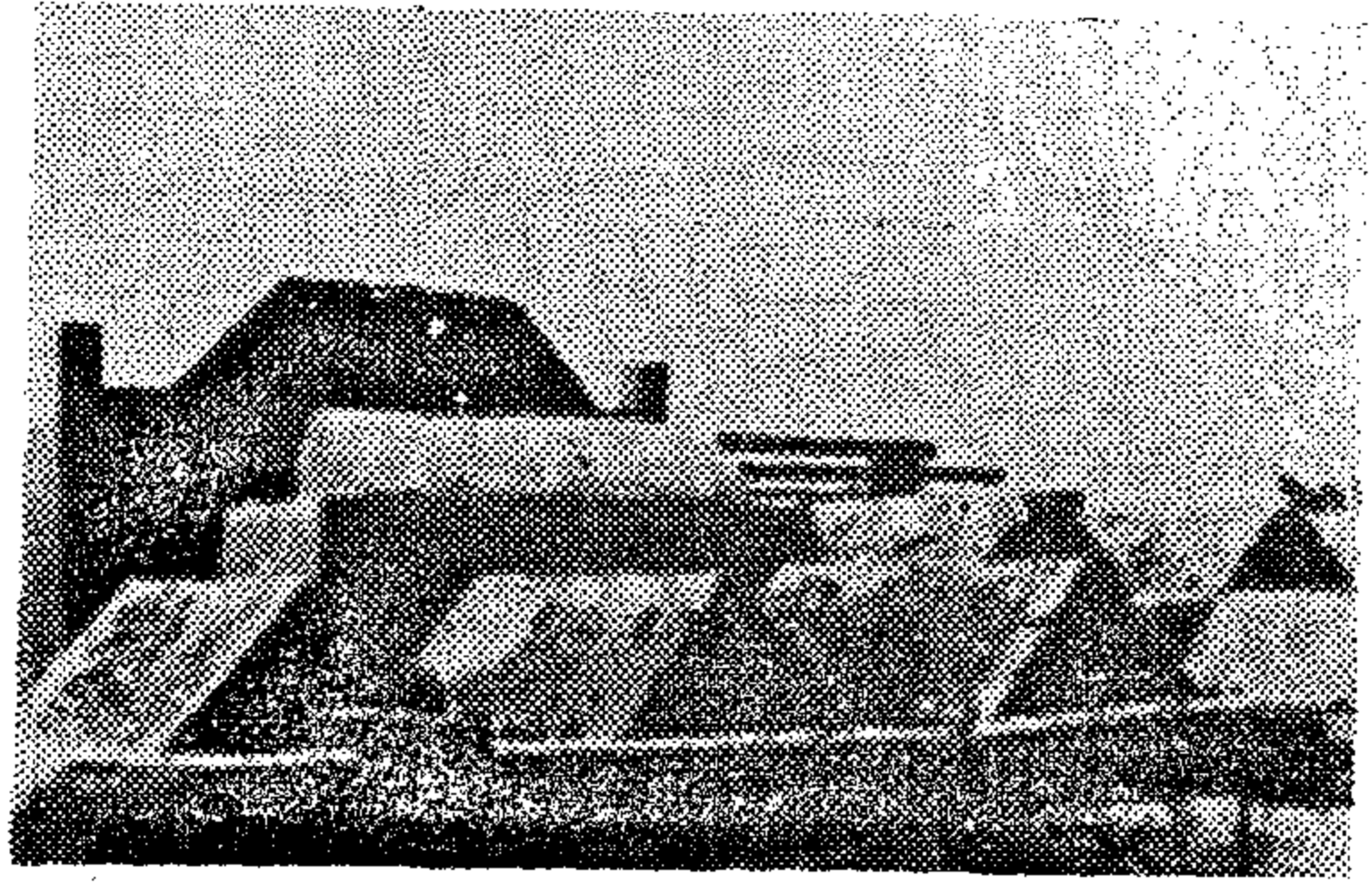
٢ - أن معظم المقابر احتفظت في تكوينها بمظاهر الحياة الدنيوية المصاحبة لعالم الموت وذلك تأثرا بالقدماء حيث اقتصر التغير على التحول من شكل المصطبة أو الهرم أو المقصورة في البناء العلوى الى الوحدة البنائية التي تشبه المنزل .

٣ - مما يدل أيضا على التأثير المصرى القديم الذى كان يهتم بالمقبرة اهتماما يفوق الاهتمام بالمقر الدنيوى للانسان ، الاهتمام بنظافة المقابر وزراعة النباتات والاشجار بها .

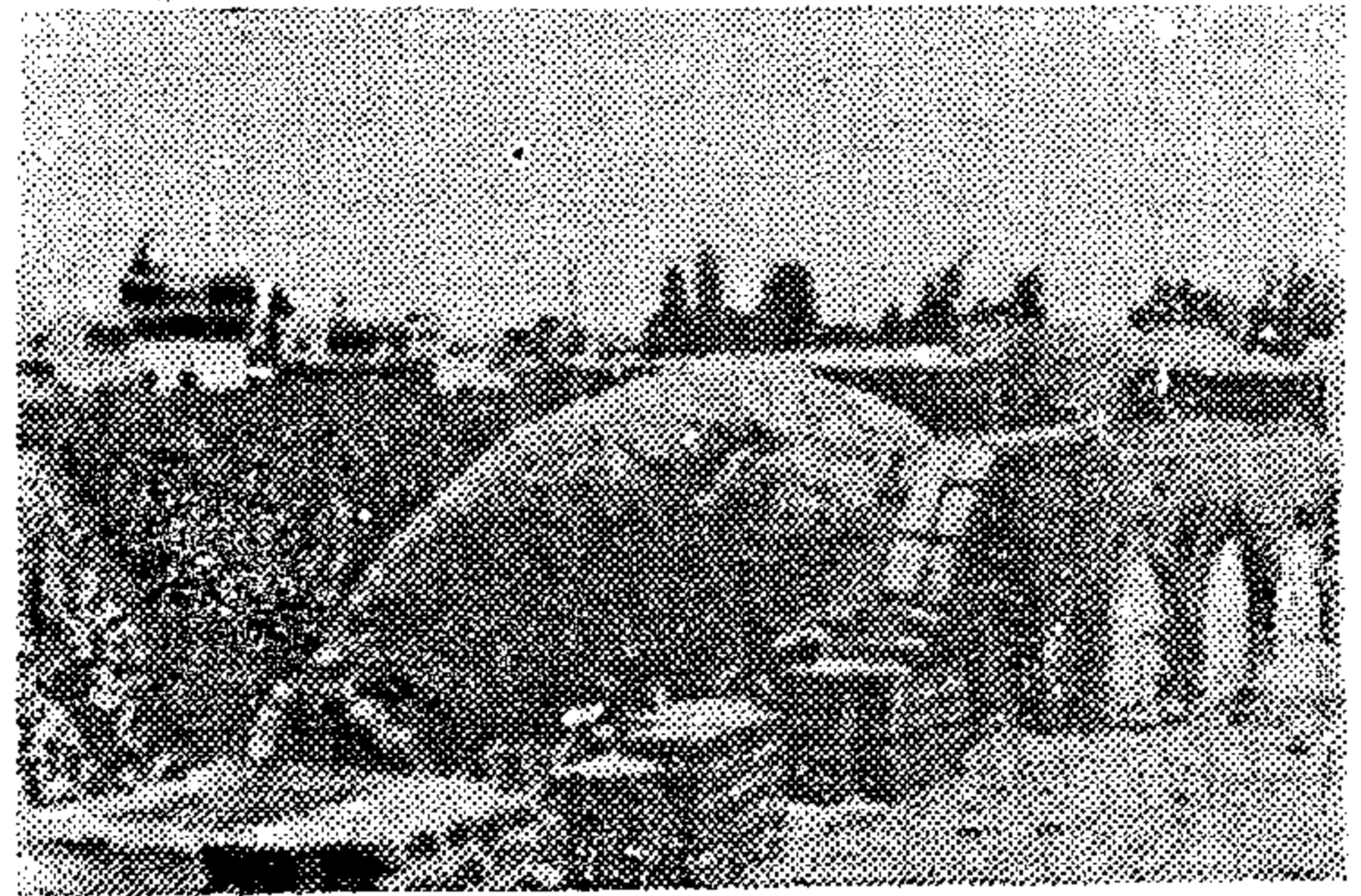
٤ - يدل تغير وظيفة المقابر عند المصريين المعاصرين عنها عند القدماء مع بقاء الشكل على صعوبة محو الحضارات القديمة ومحاولة تطويع عناصرها للمعتقدات التى تستجد .

٥ - وجود التأثير الاجنبى الى جانب المصرى القديم وتمثل ذلك في بعض العناصر في مقابر المسيحيين مثل العظامه والدفن في صندوق .

٦ - تتميز مقابر الاقاليم بشرائها من ناحية التشكيل عن مقابر القاهرة ، وتنفق مقابر الوجه القبلى والصعيد نظيرتها في الوجه البحرى في هذا المجال . وقد يرجع ذلك الى تنوع التضاريس في الوجه القبلى حيث الجبال ، وانيساط الدلتا .



شكل (٣٥) تشكيل في سطح بعض المقابر القديمة بدماحى دقهلية والتي ما تزال تحرف الدفن بها تحت سطح الارض .



شكل (٣٦) الاسلوب التقليدى لبناء المقابر - الجزء الداخلى من المقبرة قبل تغطيته بحوائط رأسية واسطح افقية وقد شيد بالطوب وشدة خشبية وهو الاسلوب المنتشر في المقابر على مستوى الجمهورية وأيضا تسبب في رفض الناس للسكن المغطى بقبة بقرية دماحي بالدقهلية .



شكل (٣٧) تختلف القبة التى تغطى مقابر المسلمين في الشكل عن تلك التى تغطى مدافن المسيحيين بالمتيا وأن كانت أولا وأخيرا قبة . كما يتم الدفن هنا في غرف تحت الارض ينزل اليها من الغرفة الموجودة أسفل القبة أو من حوش ملحق بها .

تحليلها أمر معروف .. يراه الناس في ضوء تجاربهم وخبراتهم في مختلف المناسبات . الا أن ما يراه الناس لا يمكن اعتباره الا ملاحظات عابرة أو مجرد انطباعات وأراء شخصية تفتقر مهما كانت الى العنصر الذى يعطى كل شيء صفة الحقيقة والموضوعية وهو المنهج العلمى للبحث .

أسماء المراجع :

- ١ - القرآن الكريم .
- ٢ - الكتاب المقدس .
- ٣ - الدكتور سيد عويس - الخلود في حياة المصريين المعاصرين - الهيئة المصرية العامة للكتاب ١٩٧٢ .
- ٤ - الدكتور فتحى محمد المصيلحى - تطور العاصمة المصرية والقاهرة الكبرى ١٩٨٨ .
- ٥ - دكتور مهندس أحمد خالد علام : تخطيط المدن - مكتبة الانجلو المصرية .
- ٦ - السيد سابق - فقه السنة الجزء الرابع مكتبة الآداب .
- ٧ - أ . ج سبنسر ، ترجمة أحمد صليحة : المولى وعالمهم في مصر القديمة - الالف كتاب (الثانى) - الهيئة المصرية العامة للكتاب - القاهرة ١٩٨٧ .
- ٨ - وولتر امرى ، ترجمة تحفة مندوسة، مصر وبلاد النوبة - الهيئة المصرية العامة للتأليف والنشر ١٩٧٠ .
- ٩ - زيارات ميدانية للمؤلفة لمناطق المقابر المختلفة للمسلمين والمسيحيين في القاهرة والاقاليم المختلفة .
- ١٠ - مقابلات شخصية مع بعض رجال الدين والقائمين على عملية الدفن .

٧ - تفسر القباب التى تغطى المقابر لكل من المسلمين والمسيحيين في الصعيد رفض الناس استعمال هذا النوع من التغطيات في السكن رغم رخص ثمنه ومميزاته المناخية .

٨ - أدت الخصائص التى يتميز بها النوع الثالث من المدافن الاحواش بداية تصميمها واتساع حجراتها وامكانية الحياة فيها الى استقامة الشوارع واتساعها وتعامدها مما يسهل وصول النقل الالى اليها كذلك اتصال الكثير من الاحواش بشبكة الكهرباء وبعضها بشبكة المياه والمجارى الى جذب الناس من القاهرة والاقاليم لسكنها تحت وطأة المشكلة السكانية رغم تحريم الدين .

وعلى العكس فان تصميم القبرة عند الاقباط حيث الغرفة العلوية صغيرة ولا تحقق المتطلبات المعيشية أو عند الكاثوليك والاروام التى تكتفى بشاهد أدى الى عدم ظهور ظاهرة السكن بها . أدى الى ذلك أيضا احاطتها بسور مرتفع ووجود بوابة وحارس .

٩ - أدى ضيق المساحة المخصصة للجبانات بالنسبة لتعداد السكان في بعض القبرى ، كذلك تملز امتدادها بسبب ما يحيطها من عمران الى لجوء السكان لبناء مدافن بدورين مع تنافى هذا مع السنة التى تستحب استعماق القبو حيث قال الرسول صلى الله عليه وسلم : « اعمقوا الى قدر قامة وبسطة وان زاد فحسن » .

وأخيرا فان هذه الدراسة وان كان جزء كبير منها ميدانى ووصفى الا أنها حاولت الوصول من خلال تحليلها لعناصر المقابر قديما وحديثا الى ترجيح تأثير العقيدة والحضارات المختلفة على شكل المقابر في مصر المعاصرة .

وقد يرى البعض أن ما قدمه البحث سواء من حيث المادة العلمية المتعلقة بالمدافن في مصر أو من حيث نتائج

ACKNOWLEDGEMENT

To M. L. Mashreky, Metallography Lab., CNRDI, for his help.

REFERENCES

1. El-Bassyouni, T. A., El-Shahat, O.A. and Hussein, M. K. Egypt. J. chem., 18, 4» (1975).
2. El-Shahat, O.A.
Second International Conference of Technology for Development, Cairo, May, 1982.
3. El-Shahat, El-Naggar A.A. & El-Bassyouni T. A.
Bulletin of Tabbin Institute for Metallurgical Studies 40 (1981).
4. El-Shahat, C.A. & El-Bassyouni, T.A.
2nd Int. Ain Shams Univ. Conf., PEDD, Dec. 1987.
5. Agnes Griger, Stefanlay, V. & Tiber T., Zeitschrift fur Metallkunde, 1985.

Fig. 1. Its average grain size (5) is about 8 microns. This figure shows major ferrite than pearlite. On heating for one hour at 860°C , the grain size (17 microns) increased twice as shown in Fig. 2. On heating at higher temperatures, namely, at 890°C the grain size has reached 32 & 51 microns as shown in Figures 3 & 4 respectively. As the temperature of heat treatment increases, the Grain size also increases, as shown in Fig. 5, where the average grain size is about 70 microns. The figure 6 represents a very nice metallograph which confirm as the grain sizes became smaller then their grain boundary area increases that leads to more best adhesion according to the previously mentioned ASTM specifications. Figure 6 represents the two adjacent aluminized steels after heat treatment at 860°C (its diffusion layer is continuous grain size). While the diffusion layer of and free prongs in addition to the smaller sample thermally treated at 950°C before aluminizing at the same conditions is rich of prongs and non continuous in addition to this sample has bigger grain size but less adhesion.

According to this research we can conclude that as the grain size became smaller, then their grain boundary area increases that leads to more best diffusion. It is noticable that all the following figures are of (X 100).

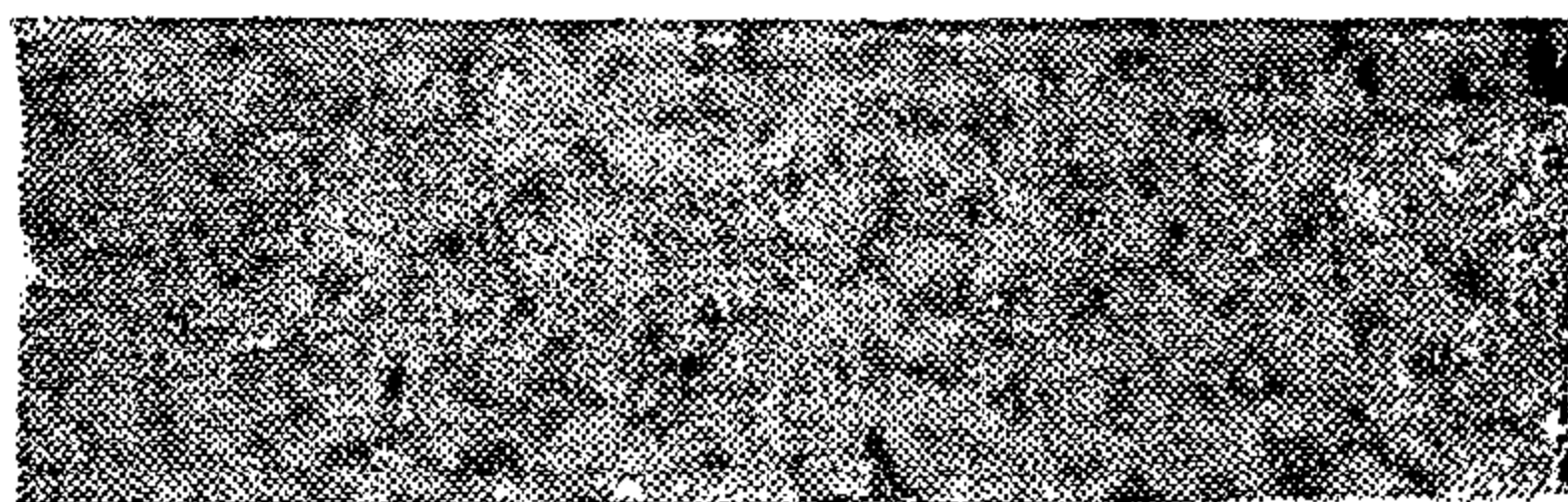


Fig. 1. Non-treated, as received.

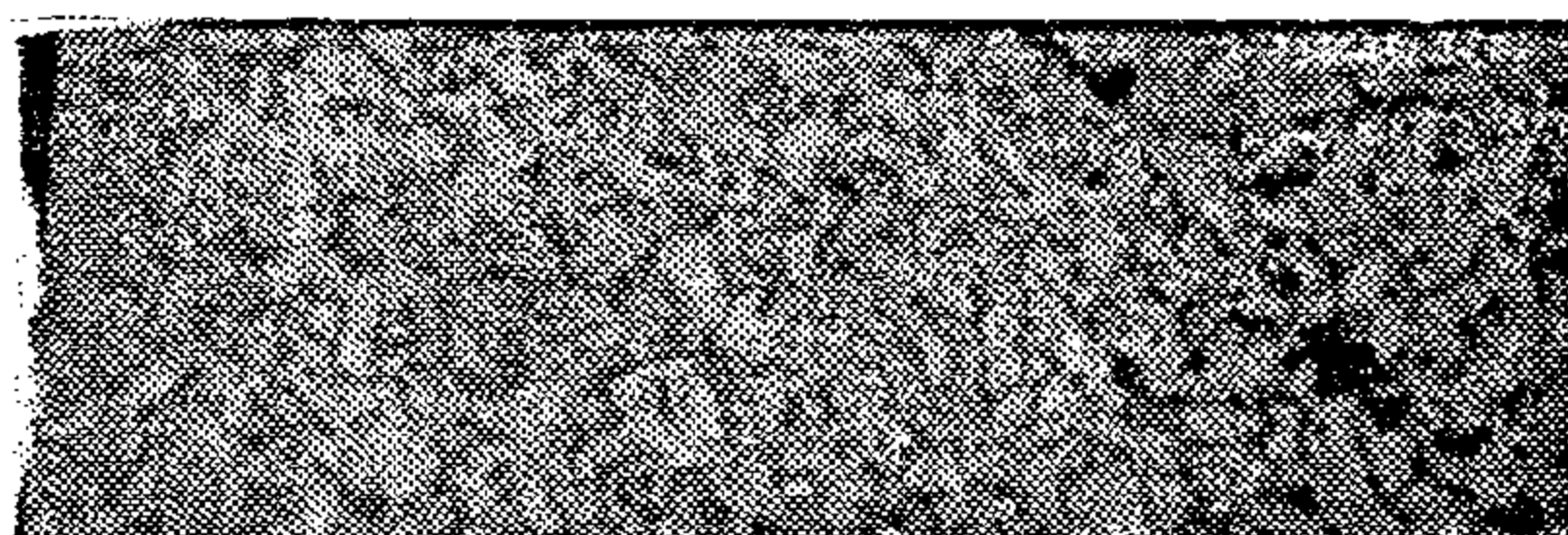


Fig. 2 Treatment at 860°C

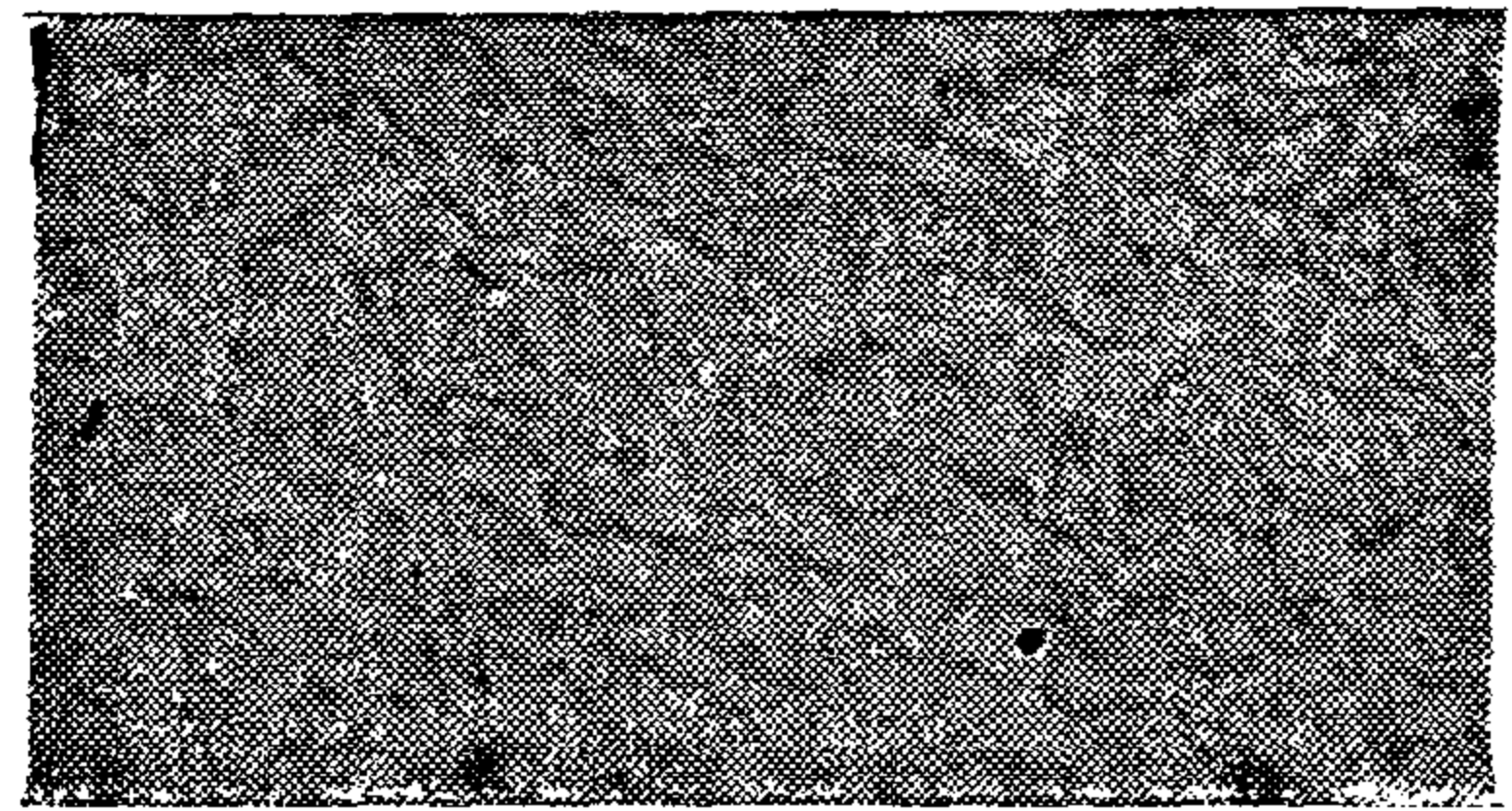


Fig. 3. Heat Treatment at 890°C .

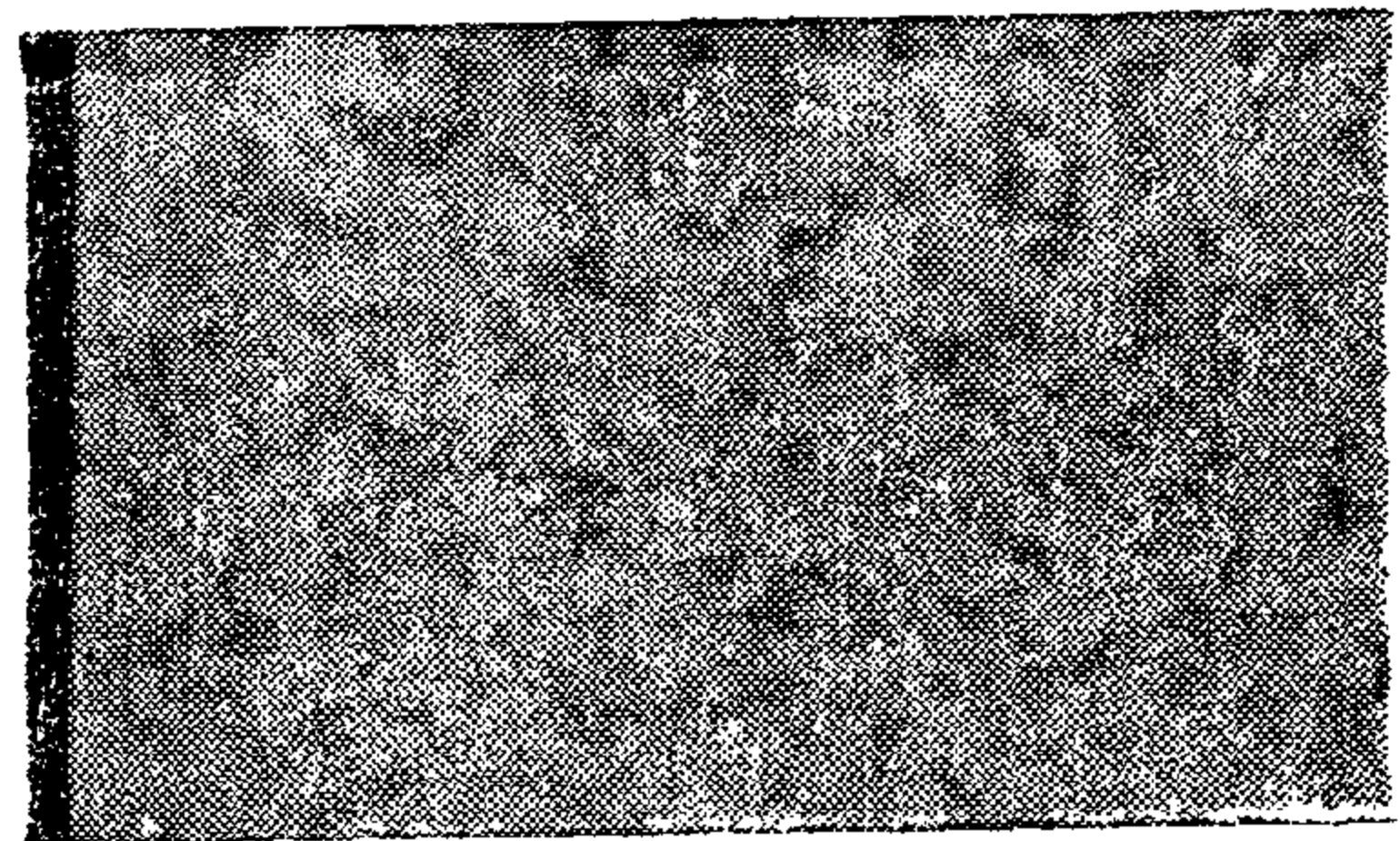


Fig. 4. Heat Treatment at 920°C .

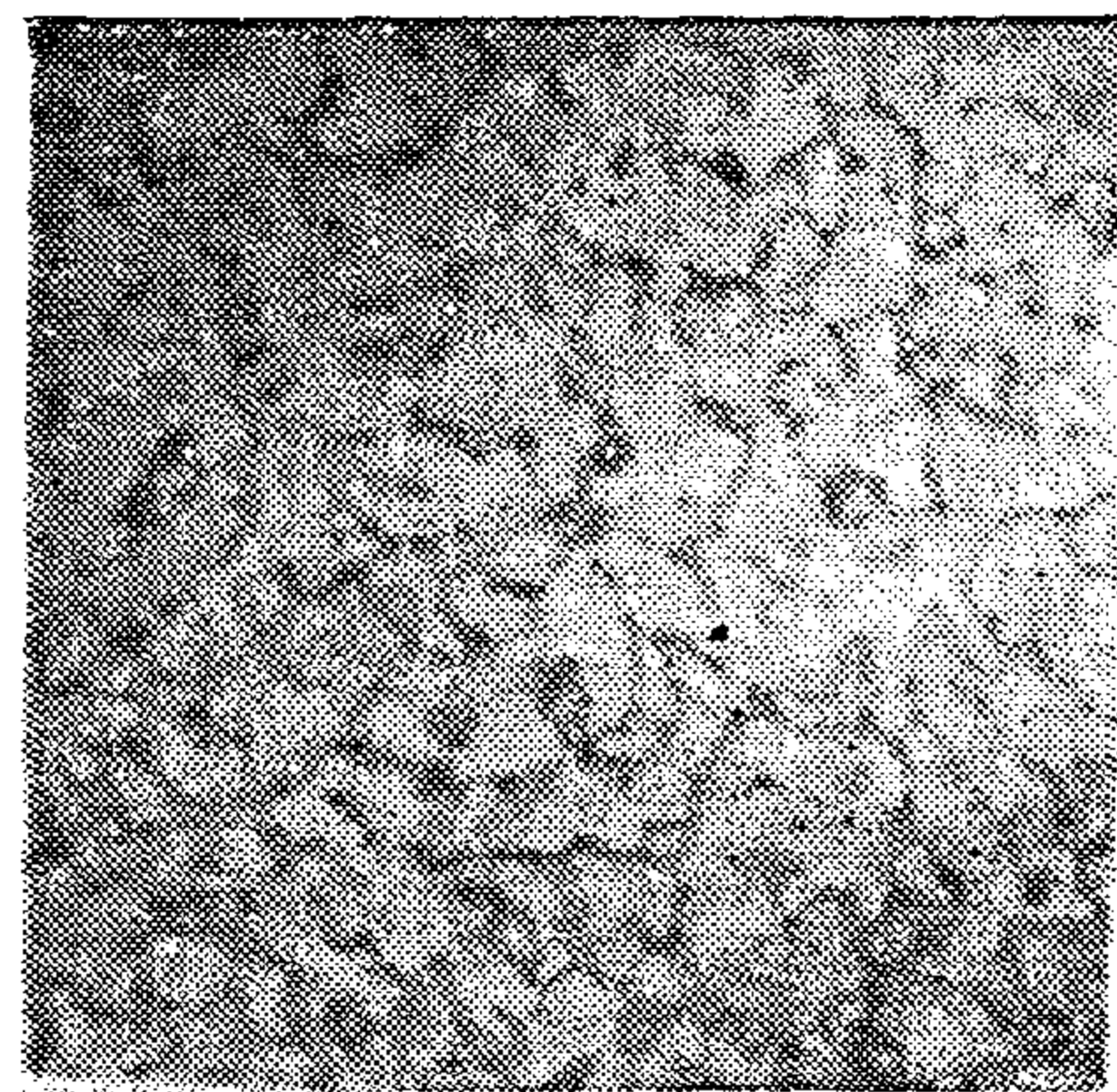
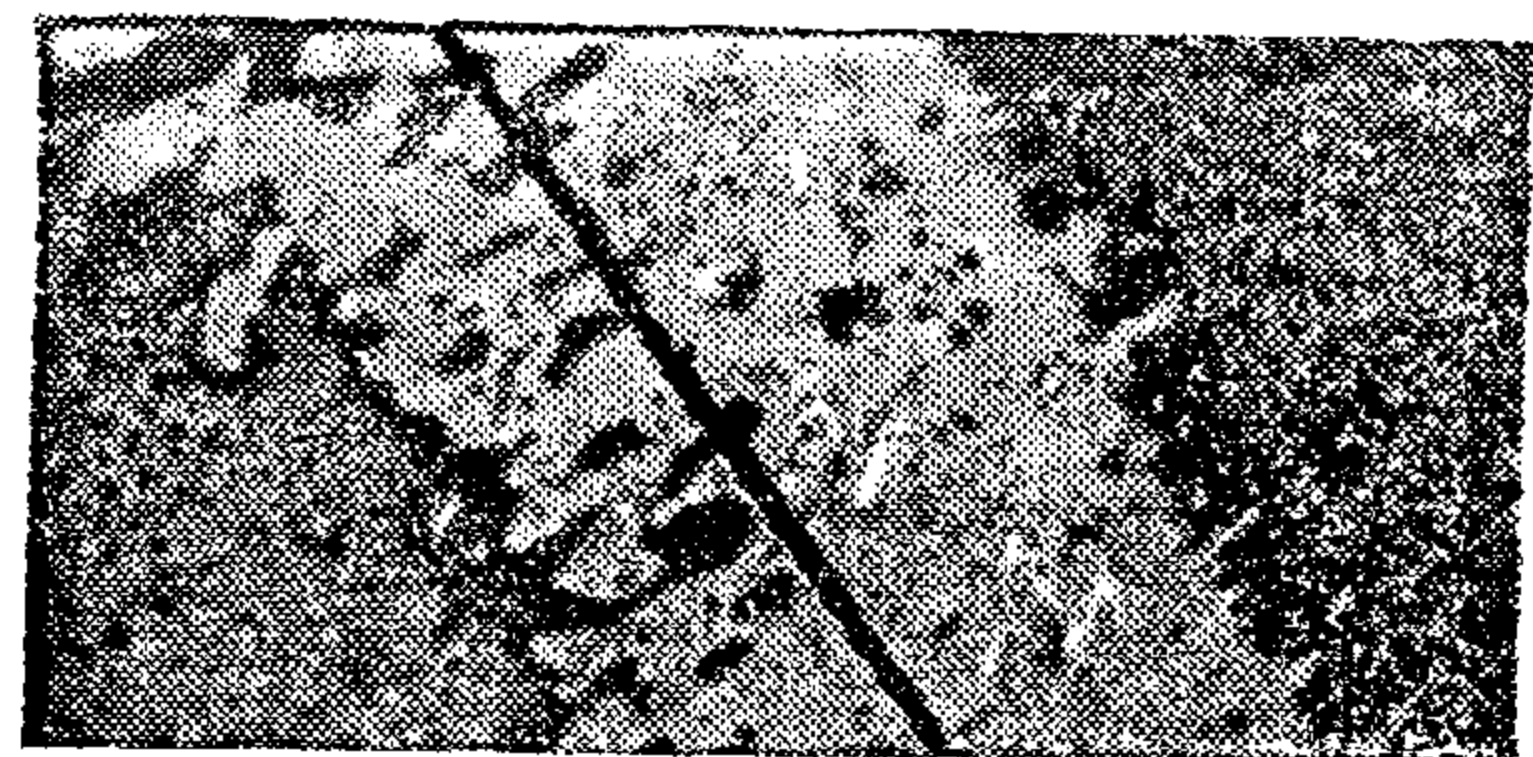


Fig. 5. Heat Treatment at 950°C .



(860°C)

(950°C)

Fig. 6. The diffusion layer thickness for sample treated at 860°C is continuous and greater than that treated at 950°C .

GRAIN SIZE EFFECT ON AL-DIFFUSION INTO STEEL VIA HEAT TREATMENT

Omar A. El-Shahat*

ABSTRACT

Steel was thermally treated in furnace before aluminizing. Specimens were immersed in Al-bath at 800°C for 30 seconds after heat treatment process which was carried out for an hour at 950°C; 920°C, 890°C, and 860°C prior to Aluminizing. A specimen of as-received steel was also aluminized at the same conditions. Metallographic investigations were carried out, which showed that the aluminized specimens that were thermally treated above the austenitizing temperature, possess the best adhesion property. This was attributed to the fact that as the grain sizes became smaller, then their grain boundary area increases that leads to more best diffusion.

KEYWORDS

Diffusion, aluminizing, grain size, heat treatment, adhesion, metallography, intermetallic layer and bending effect.

INTRODUCTION

Among the various methods used for aluminizing such as pack carburizing, spraying, cladding and hot dipping, the latter (1) was applied as it is the most economic for possible future application in continuous processes. El-Shahat, El-Bassyouni and others (2,3) studied some characteristics of aluminized steel heated isothermally at 700°C. They found that aluminium coated steel products are classified according to their intended services.

Recently, they (4) published a study indicating that the intermetallic layer depends on both the composition and relative proportions of the different phases. Agnes Griger et al (5) studied the crystallographic data and chemical compositions of Al-rich Al-Fe intermetallic phases.

EXPERIMENTAL

Low carbon steel of the main following composition was used : 0.12% C, 0.38% Mn, 0.01% P and 0.15 Cr. The dimensions of the samples to be aluminized were 80 x 8 x 2mm. They were heat treated for an hour at 950°C, 920°C, 890°C and 860°C. The specimens were cleaned chemically in diluted HCl. They were then rinsed in water and finally dried. The clean specimens were dipped in a diluted solution of 37% KF. Immediately, they were dipped in the molten Al bath at 800°C for 30 seconds. The grain sizes were investigated metallographically at the following conditions : as received, on heat treatment, upon aluminizing and one on bending according to specifications of ASTM standards, Part 1 (1982). The aluminized steel has many industrial applications as combustion chambers, petroleum pipe lines, house appliances (2-4 ... etc).

RESULTS AND DISCUSSIONS

The Figures 1-5 illustrate the heat treatment effect on the grain sizes in the matrix. They confirm the gradual grain growth by raising the temperature. Non heated sample, as received, is shown in

* Assistant Prof. Heat Lab. CMRDI, El-Tabbin, Cairo, Egypt.

The outlet end of the column must be kept as close as possible to the working face in order to ensure a minimum face velocity. Depending on the discharge velocity, this distance may range from a few meters to twenty meters.

In very long ends or where the ventilation tubing is in poor condition, a booster fan may have to be installed part way along the column. For large ducts, a reducer is often fitted at the end to increase the duct outlet velocity.

SIMPLE EXHAUST SYSTEM

The simple exhaust system, shown in figure 6., is similar to the forcing system except that it discharges the return air on the downstream side of the airway. Air is allowed to find its own way into the end and is drawn into the exhaust column.

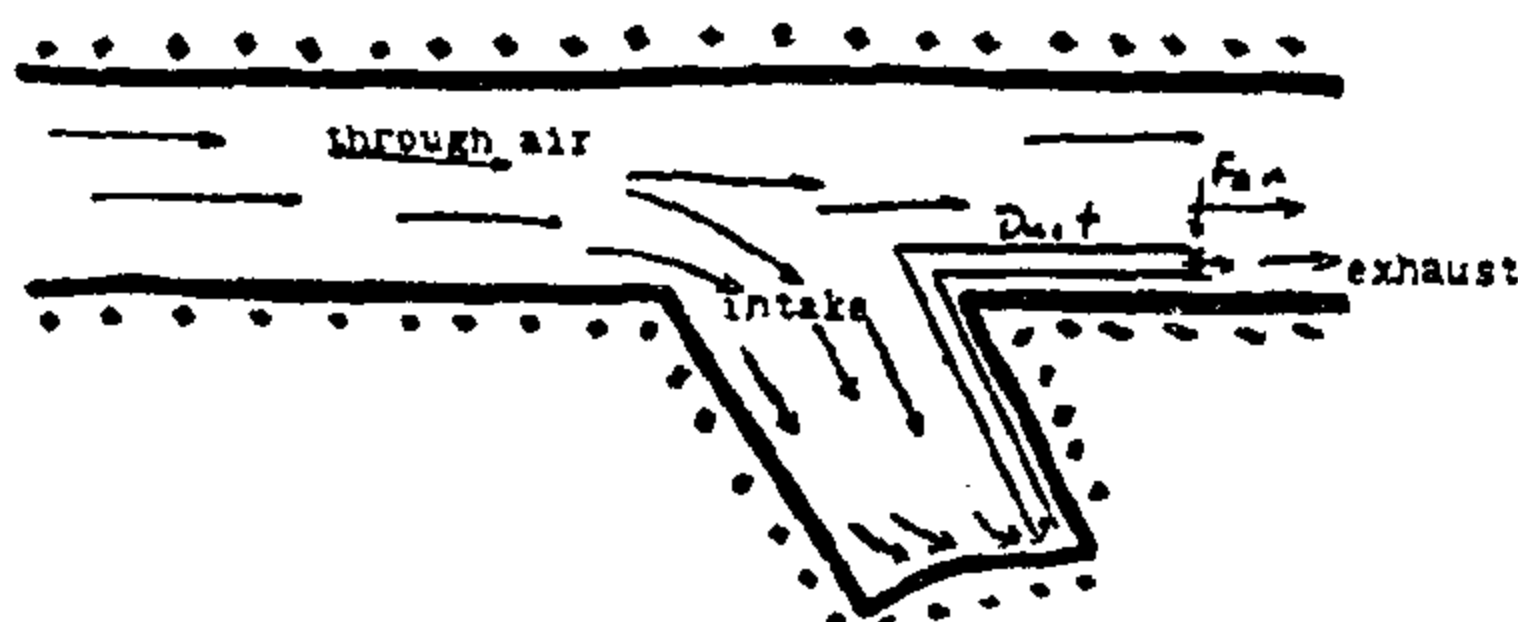


Figure 6 Simple Exhaust System

The main problem with this system is that the fresh air will not reach the face unless the return air column is kept right up to the face. This will probably result in a degree of damage during the blast.

EXHAUST OVERLAP SYSTEM

When an exhaust system must be used, some of its problems can be overcome by using an exhaust overlap system as shown in figure 7. In this system, an auxiliary column and fan is used to boost the air to the face. The exhaust fan forces more air than the auxiliary fan so that the general heading ventilation is with fresh air. This also helps to avoid problems with recirculation. The main disadvantage to this system is its high cost.

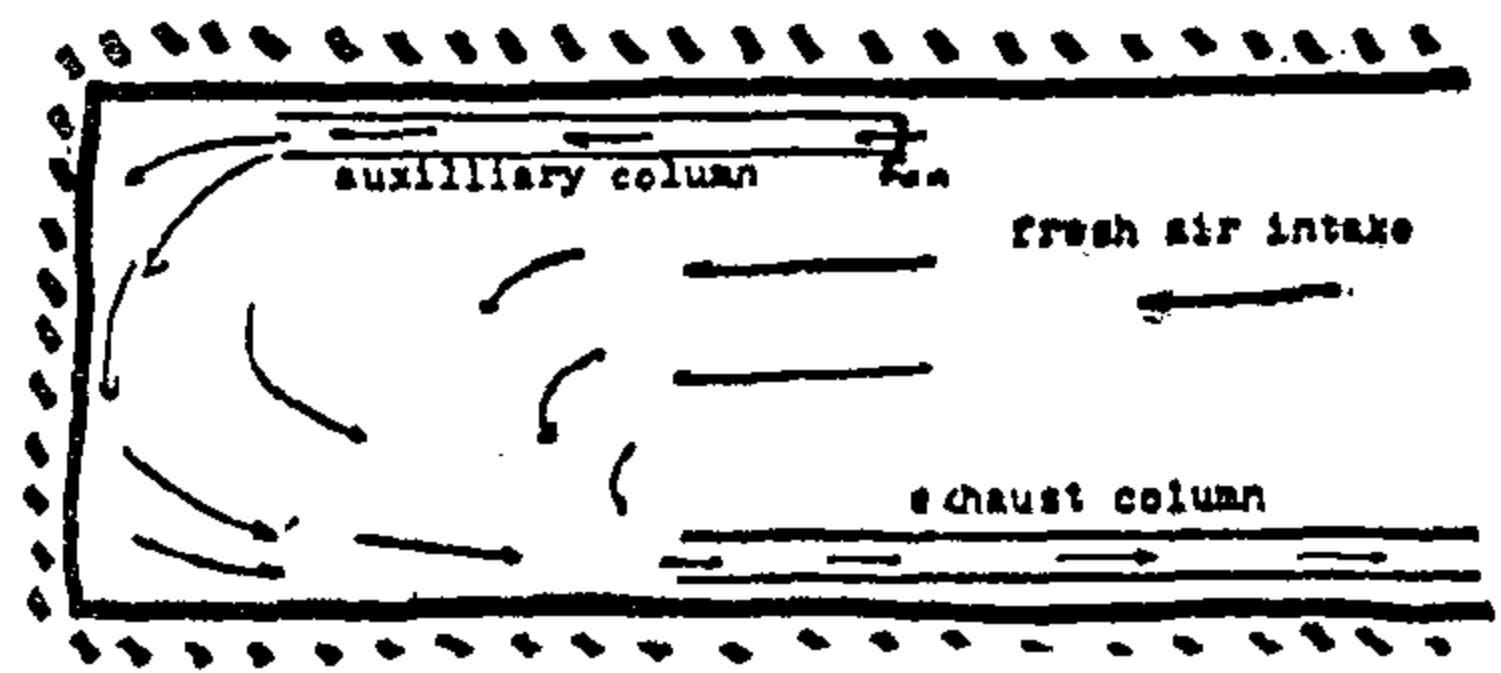


Figure (7) Exhaust Overlap System

TWIN HAULAGE VENTILATION

Whenever we have a situation in which there are two or more parallel airways, there is a simple and effective way in which they may be ventilated. This is shown in figure 8. The main advantages are that large quantities of air may be delivered at low resistances and that all workers may remain in fresh air at all times.

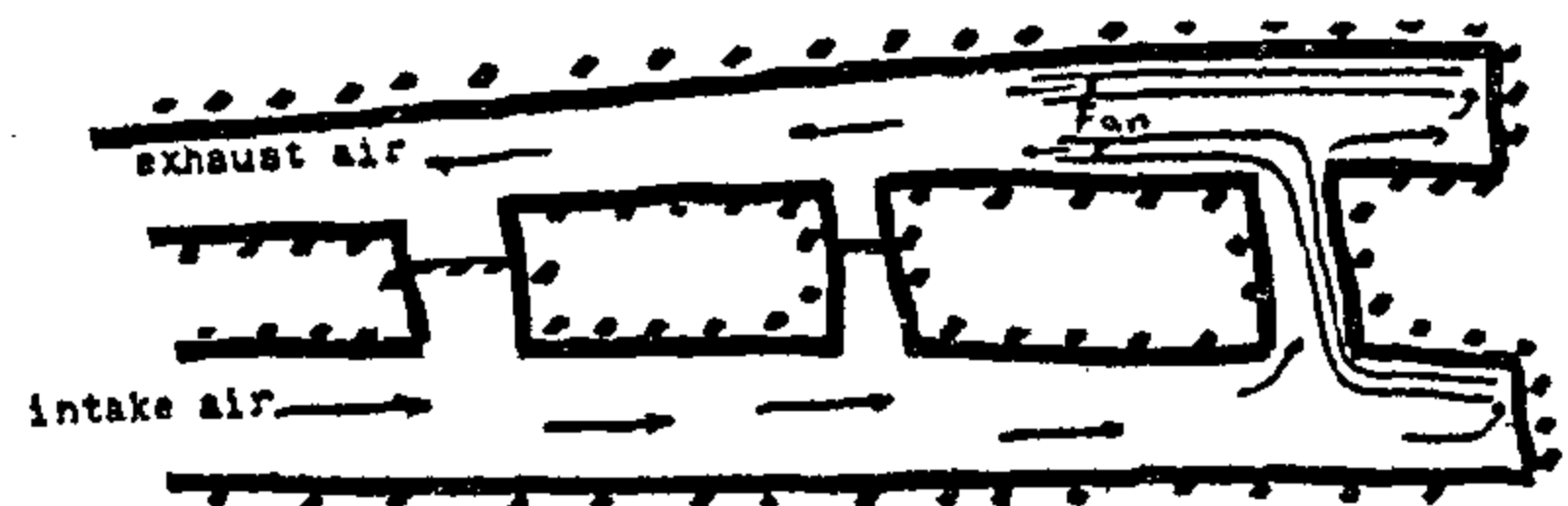


Figure (8) Twin Haulage Ventilation

ACKNOWLEDGMENT

The authors would like to express their deep gratitude to Dension Uranium Mines and Rio Algom Companies in Elliot Lake, Ontario, Canada for their great assistance to perform this work. The authors are also grateful to the International Atomic Energy Agency for granting them a fellowship in Canada from August to December 1989.

REFERENCES

1. Thompkins, R.W., Mine Ventilation, Department of Mining Engineering, Queen's University, Kingston, Ontario Canada (1978).
2. Corkil, D., Ventilation Design : Particular To Mines With Radioactive ores, Canadian Atomic Energy Control Board, Ottawa, Canada, Project; EGY/g/021-IAEA, (1989).

SHAFT AND CONNECTING LEVELS

At some stage in the development of a mine, it will become necessary to divide the airflow between the shaft and a connecting level. There are a variety of ways in which this may be done. In small mines, it is possible that the resistances of the various airways will exactly balance to give the proper airflows. However, this is rarely good design practice. Normally, we require some mechanical device to maintain proper flows. Auxilliary fans and doors are usually used.

THE VENTILATION OF DEVELOPMENT ENDS AND STOPES

The stopes are the most important working places in a mine. It is important that sufficient quantities of good air reach all working stopes in order to provide a reduction in dust and other harmful airborne contaminants.

The amount of air available to ventilate the average stope may be of the order of 5 to 15 m³/s and, of course, wider variation than this occur in some mines. If the whole cross-sectional area of the stope is left open to the ventilating air, the velocity will average only 0.05 to 0.1 m/s and many areas in the stope will not even receive this much air. This is inadequate for proper dilution of dust and gases.

The fundamental problem in stope ventilation is to ensure that as much as possible of the air entering the stope is forced to flow past the places where men are working and as little as possible where no men are working.

FLOW-THROUGH STOPES

The first step in controlling the air distribution in a stope is to close the top and bottom of the stope, leaving openings only near the faces where men may be working. Control may be obtained by building a wall or by hanging brattice cloth. The method is essentially to erect obs-

tructions to the flow of air into unwanted areas as shown in figure 4.

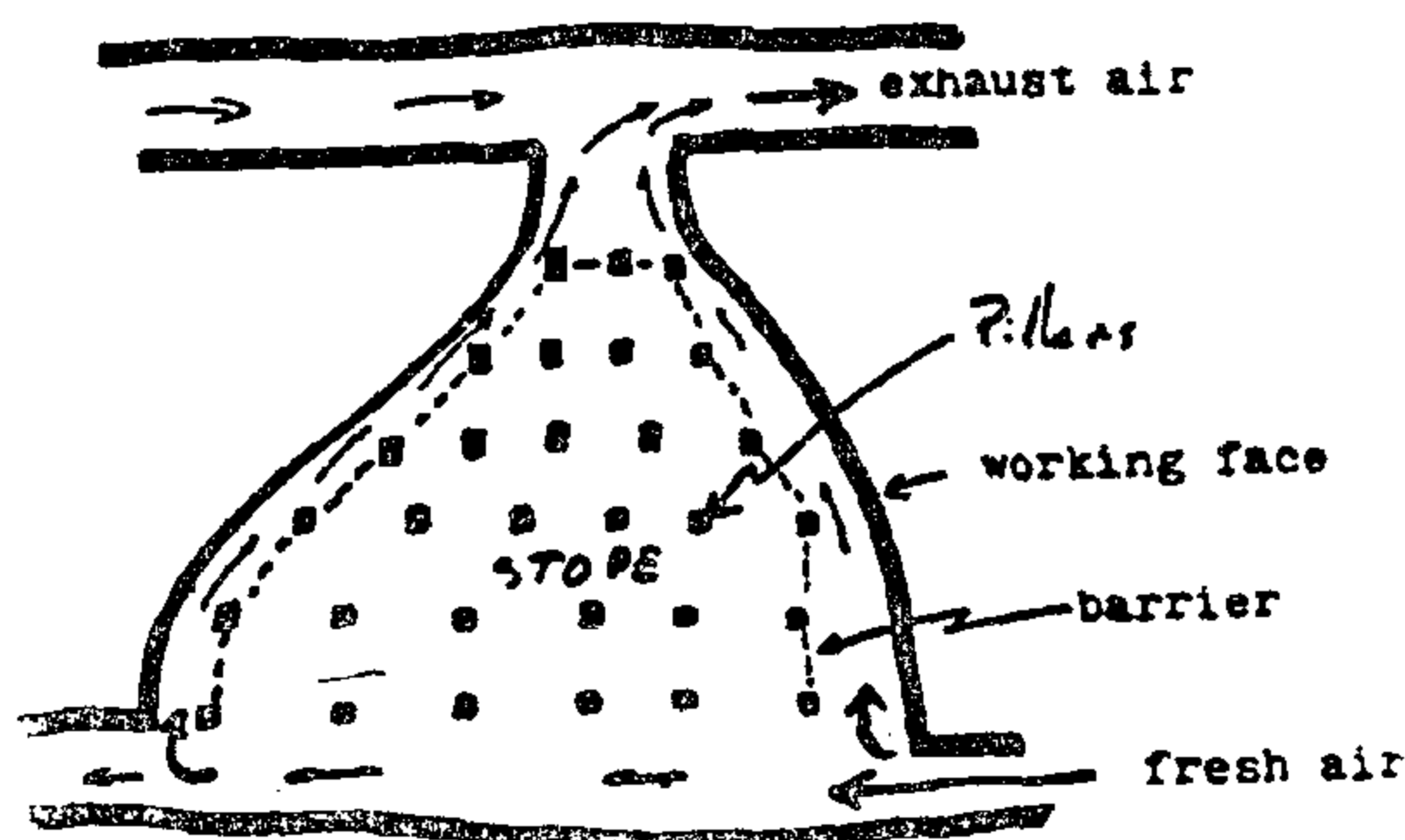


Figure (4) Slope Ventilation

DEAD END HEADINGS

Dead end headings lead off an airway through which air is flowing. Some of this air must be used to flow naturally the development end since it will not flow naturally into such ends.

There are two ways in which air can be sent to the working face in a dead end heading :

1. forcing system;
2. exhaust system.

FORCING SYSTEM

The forcing system, illustrated in figure 5, uses a single ventilation column and a single fan. The intake to the column must extend well into the upstream portion of the fresh air stream, otherwise there is danger of the used air which flows out of the end entering the column and recirculating. The fan should be at the intake end of the column so that it is accessible after the blast or whenever maintenance is required.

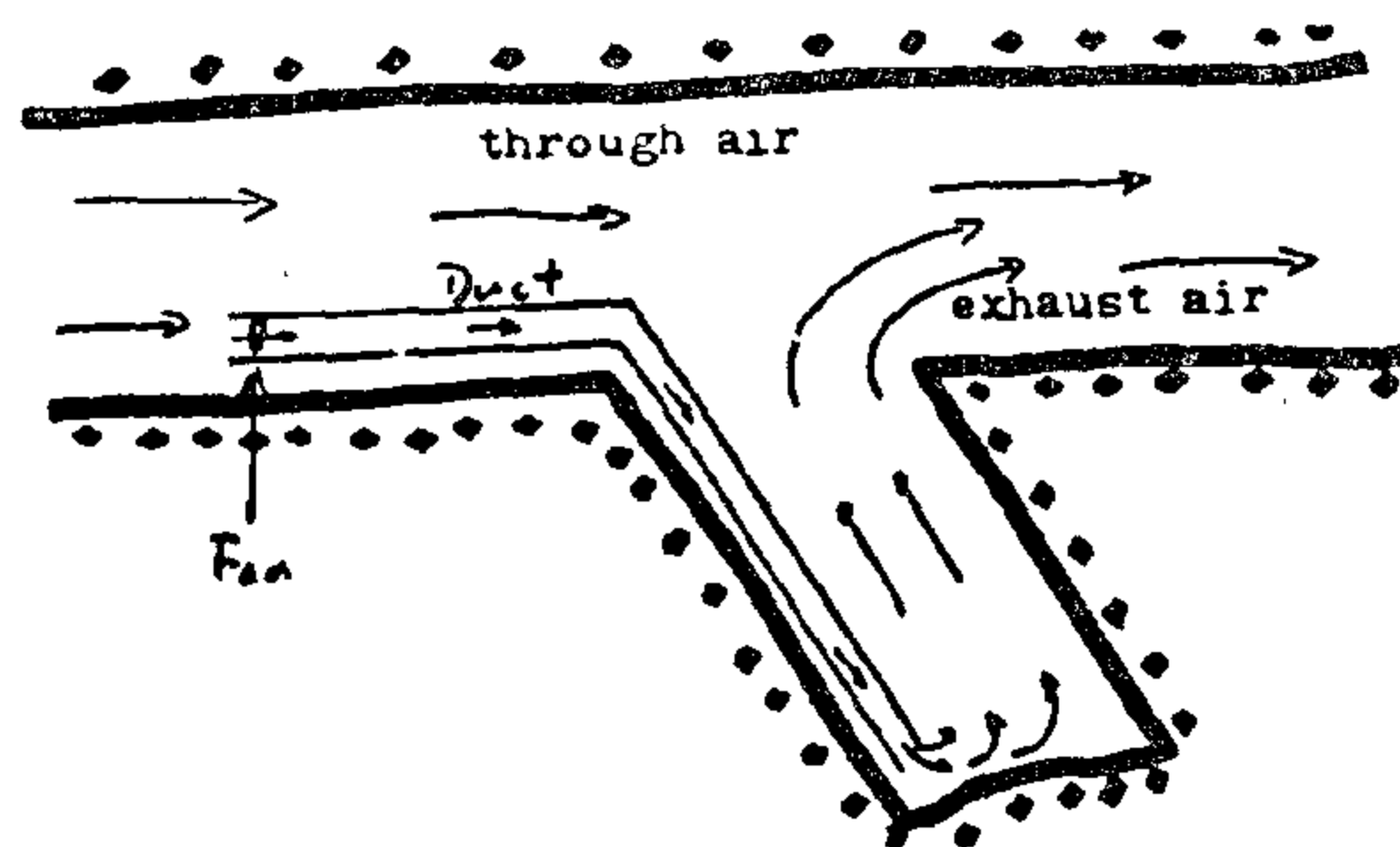


Figure (5) The Forcing System

dust is picked up and carried out in the return air, past the workers. The exhaust air velocity may be fairly low and some dust particles may remain suspended or fall back down the shafts in Figure 1.

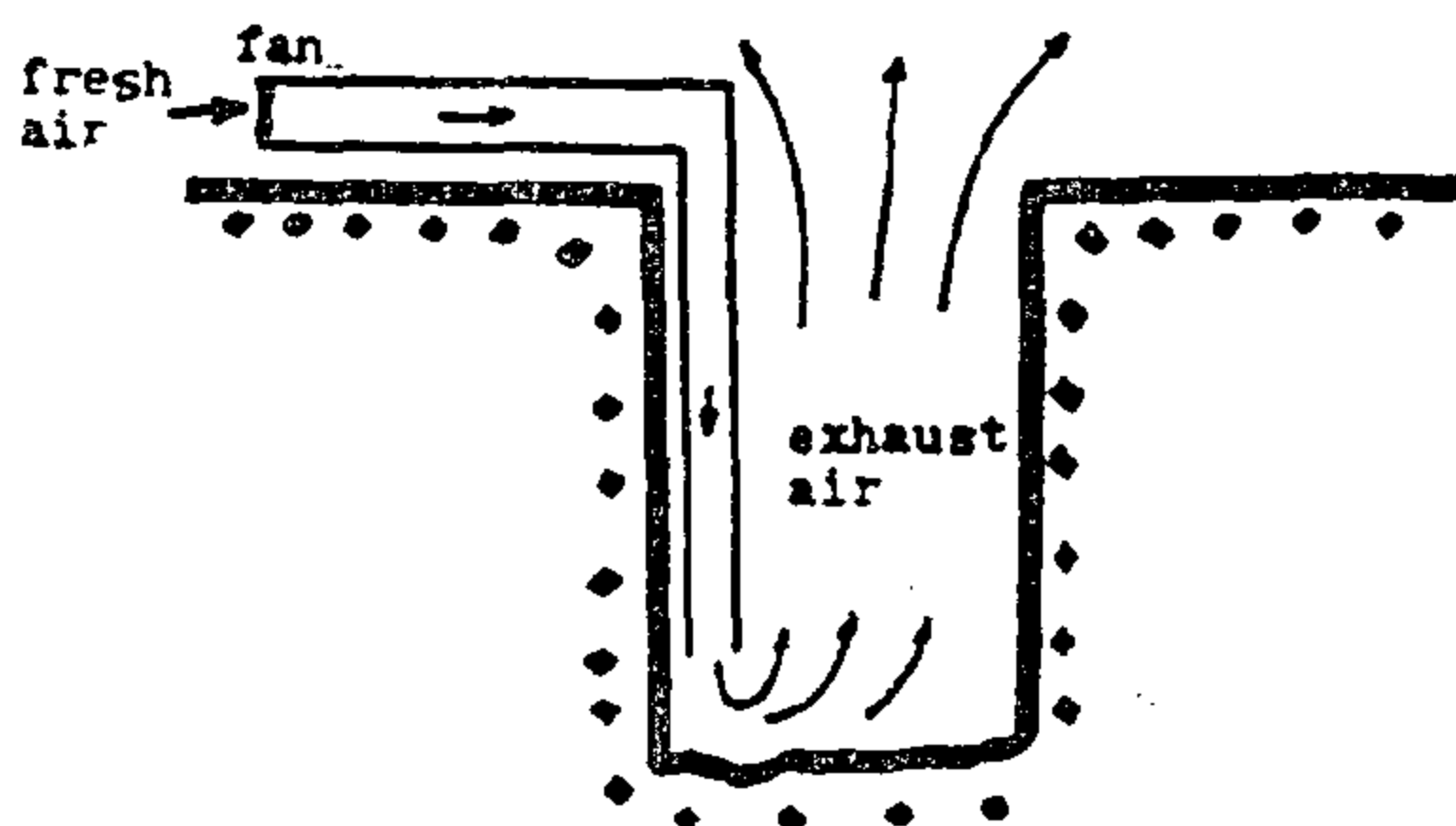


Figure (1) Positive flow system

NEGATIVE FLOW SYSTEM

The fan direction may be reversed to give a negative flow system as shown in figure 2. Air washes down the shaft, past the workers and is exhausted out a column. In order to be effective, the inlet of the column must be kept close to the bottom of the shaft. Furthermore, rigid ducting must be used.

The negative flow system is very good for removing dust gases. The high velocity in the dust ensures that any particles entering the duct will be carried out. However, the negative system is not very efficient at removing the blasting fume plug.

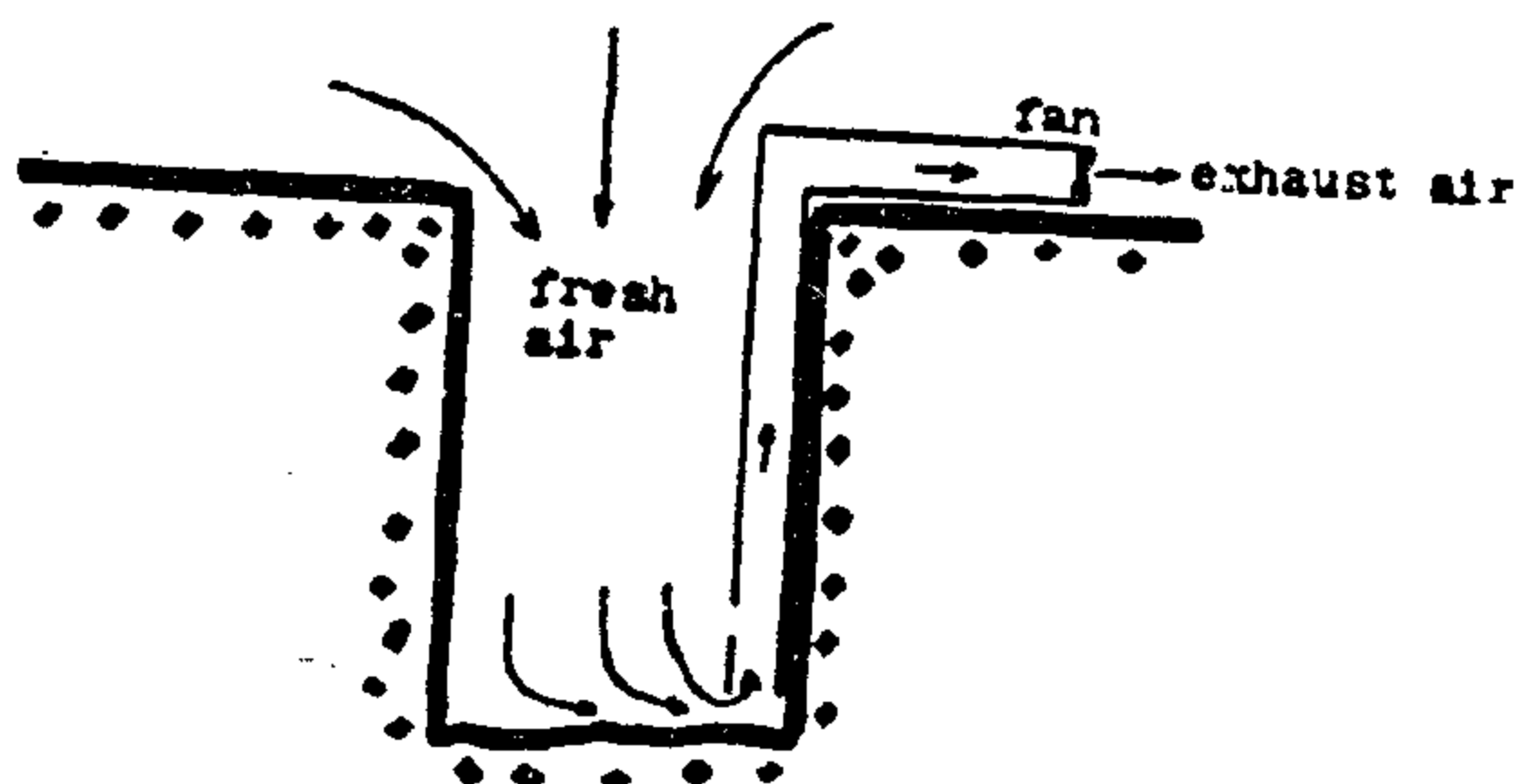


Figure (2) Negative flow system

REVERSING FLOW SYSTEM

One system which combines the advantage of both the positive and negative flow systems is the reversing flow system shown in figure 3. The system uses a sin-

gle fan and either 4 valves or 2 gates. The valves or gates can be set to give either a positive flow (solid lines) or a negative flow (broken lines).

Following a blast, the positive flow can be used to remove blasting fumes. When people are working in the shaft, the negative flow can be used to remove dust and gases.

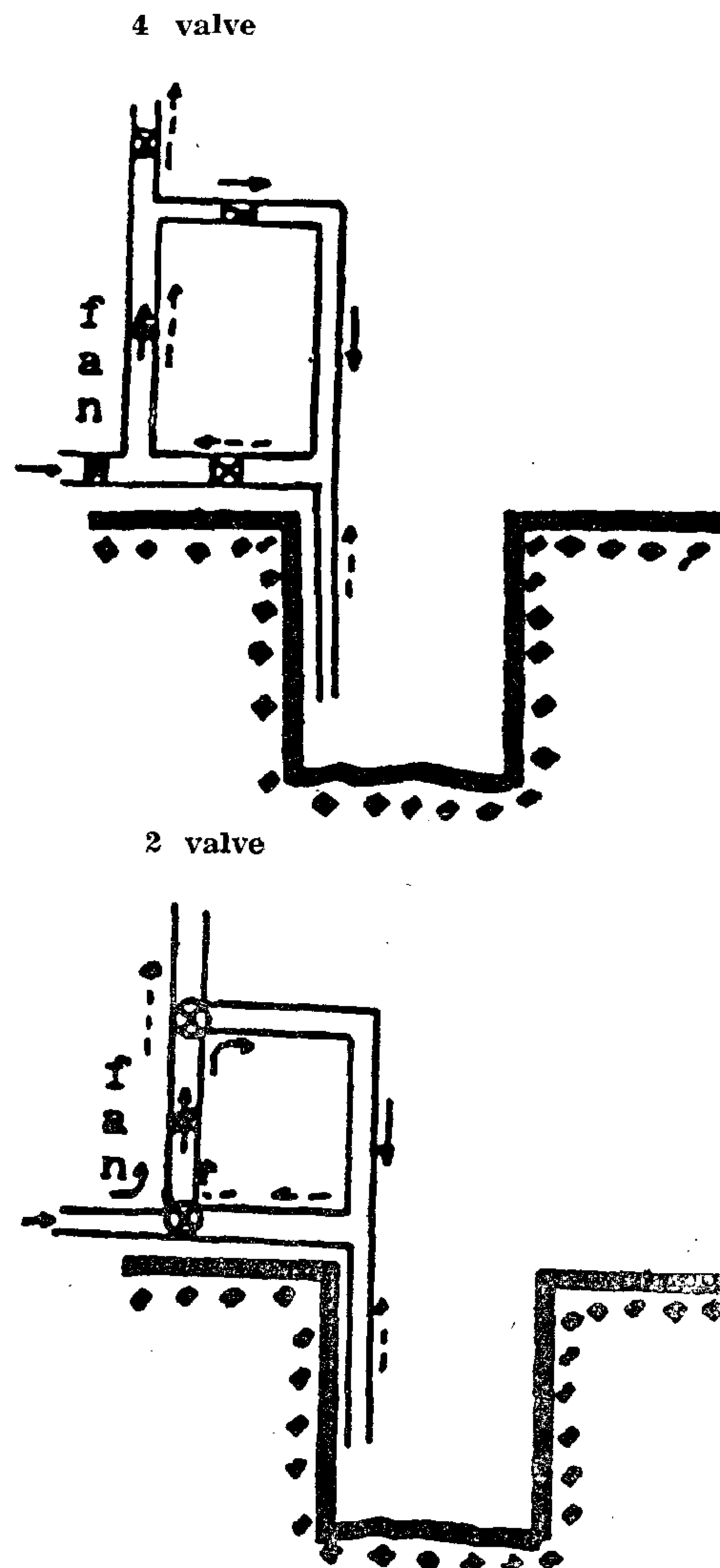


Figure (3) Reversing Flow System

The main disadvantage to this system is that dust may settle in the ducting during negative flow periods. This dust may be blown back into the shaft during positive flow periods. Furthermore, the gates or valves which are required are quite expensive.

SAFETY ASPECTS OF VENTILATION PROCESS IN URANIUM MINES

Dr. Eng. Mohamed Samir Abdel-Azim* Dr. Eng. Mohamed Ibrahim Hussein*

ABSTRACT

The need for safe and economic ventilation system in uranium mines have been discussed in the present work. The inhalation risk of radon daughter in uranium mines can vary dramatically with the effectiveness of the ventilation system. Different ventilation methods have been introduced in this article as a contribution in the safety aspects of economic ventilation process to avoid the inhalation risks of radioactive elements in uranium mines.

INTRODUCTION

Epidemiological evidence of radiation induced lung cancer among uranium miners led to attempts to improve the quality of the working environment in these mines [1] Radiation risks in the uranium mining is resulting from exposure to airborne radioactivity and external radiation. The inhalation risk is of more concern in underground mines than in open pit mines. In mines the airborne radionuclides consist of radon and its short lived daughters and long lived alpha emitters in the form of dust.

Radon daughter concentrations underground vary dramatically with the effectiveness of the ventilation system. Improvements in ventilation are the main reason why worker radiation exposures are much lower today than they were in the past, even though the ore bodies being worked, in a country like Canada, are frequently much richer and more hazardous.

PRINCIPLES OF VENTILATION [2]

Good ventilation of the workplace requires a mixture of engineering practice,

health and safety knowledge and common sense. There are basically only two ways to achieve adequate ventilation. One is to force plenty of air into area and let it go where it will. The other method is to apply a knowledge of the principle of ventilation to better control the ventilation air. This results in a need for less air and larger cost savings. Therefore, an understanding of good ventilation practice can lead to tremendous savings, and can be a major factor in the worker's comfort and health.

VENTILATION METHODS :

In the initial phase of developing a mine, the shaft must be sunk to depth as quickly and efficiently as possible. The usual process consists of a sequence of drilling, blasting, ore removal and lining. From the ventilation standpoint, the important considerations and the goals are :

1. supplying sufficient oxygen for workers,
2. rapid removal of dust during drilling and mucking,
3. removal of blasting fumes.

To achieve these goals safely, certain ventilation systems should be considered in uranium mines.

This system is very efficient at removing the blasting fume "plug". The hot gases will have a tendency to rise naturally, and the fresh air washing in below them will aid their natural motion. However, the system is not particularly suited to protecting workers from dust. The

* Nuclear Regulatory and Safety Center Egyptian Atomic Energy Authority Cairo - Egypt.

GL	: The liquid mass flux rate	(Lbm/sec.ft)
Gm	: The total mass flux rate	(Lbm/sec.ft)
Cv	: Flow coefficient	(Lbm/sec.ft)
Bo	: Oil formation volume factor	(BBL/STB)
Rs	: Dissolved gas	(SCF/STB)

REFERENCES

- Schmidt, Beggs and Brill : "Choking can eliminate severe pipeline slugging" Oil and gas journal, November 1979.
- Schmidt, Beggs and Brill : "Experimental study of severe slugging in two phase flow pipeline-riser pipe system". Society of petroleum engineers journal, October 1980.
- Schmidt, Doty and Dutta : "Severe slugging in off shore line riser-pipe system". Society of petroleum engineers journal, April 1985.
- Pots, Bromilow and Kongijin : severe slug flow in off shore flow line/riser system" SPE production engineering conference, November 1987.
- Brown, K. E., Beggs, H.D., "The technology of artificial lift method" Volume 1. Pennwell Publishing Company, Tulsa, Oklahoma, 1977.
- "Cameron ball valves product catalog"
- Yocum, B.T. : "Off shore riser slug flow avoidance", paper SPE 4312, April 1973.
- Beggs, H.D., and Brill, J.P., "A study of two phase flow in inclined pipes" Trans., AIME, 1973.

6. Riser choking by means of an adjustable choke or a fixed orifice plate at the top of the riser has been most successful to counteract severe slugging. The adjustable choke managed to stabilize the flow line pressure without exerting any excessive back pressure on the wells. This last solution brought about remedies to following additional problems :

- i) Less liquid carry over by the gas effluent leaving the separator.
- ii) No decrease in production from the wells, since any excessive back pressure could be avoided.
- iii) Reliable test data since all instrument were working within acceptable stable measurement ranges.

NOMENCLATURE

θ	: Pipeline angle from horizontal (degree)
D	: Pipeline diameter (ft)
F	: Friction Factor
Hg	: Gas hold up (dimensionless)
HL	: Liquid hold up (dimensionless)
IIss	: Severe slugging group (ft)
L	: Pipeline length (ft)
Zp	: Liquid level in pipeline (ft)
ZR	: Liquid level in riser (ft)
SL	: Slug length (ft)
m	: Mass flow rate (Lbm/sec)
mgp	: Gas mass flow rate in the pipeline (Lb/sec)
Mw	: Molecular weight
NLv	: The no slip Reynolds number
NFR	: Froude No. $v^2 m/gD$ (dimensionless)
Pp	: Pipeline pressure (psi)
P	: Average pipeline pressure (psi)
Psep	: Separator pressure (psi)
Pgp	: Gas pressure in the pipeline (psi)

qg	: The in situ gas flow rate (ft/sec)
qo	: The in situ oil flow rate (ft/sec)
R	: Gas constant (ft ³ psi/mole. deg.)
ρ^g	: Gas density (Lbm/ft ³)
ρ^o	: Oil density (Lbm/ft ³)
Vs2	: Velocity of the pipe line gas-liquid interface
K	: Constant
VFR	: The volume of liquid film in the riser (ft ³)
YFR	: Liquid film thickness in the riser (ft)
VLF	: Velocity of the liquid film in the riser (ft/sec)
VLR	: Velocity of the liquid in the riser (ft/sec)
ZLR	: Liquid level in the riser (ft)
Fb	: Liquid fall back (ft ³)
T	: Average pipe line temperature (F)
Vgp	: Gas volume in pipe line (ft ³)
VFL	: The volume of the liquid film in the pipe (ft ³)
Vm	: The in situ superficial mixture velocity (ft/sec)
Vs	: Average slug velocity (ft/sec)
Vsg	: Superficial gas velocity (ft/sec)
Vsl	: Superficial liquid velocity (ft/sec)
WG/WL	: Gas/liquid mass flow rate
Z	: Gas compressibility factor
ψ	: The liquid hold up pinclination factor
λ_L	: Liquid input in mass units (dimensionless)
Rg	: Gas oil ratio (SCF/STB)
ML	: The mass velocity of the liquid (Lbm/sec.ft)
Mg	: The mass velocity of the gas (Lbm/sec.ft)
Gg	: The gas mass flux rate (Lbm/sec.ft)

C. EFFECT OF GAS TO OIL RATIO (GOR) :

Increasing the gas oil ratio increases the gas superficial velocity and reduces the oil content in the pipeline (λ). Consequently the Froude number increases as shown by fig. 16. With reference to the flow pattern map, any increase in Froude number will move the flow pattern towards the intermittent flow regime, away from the severe slug area.

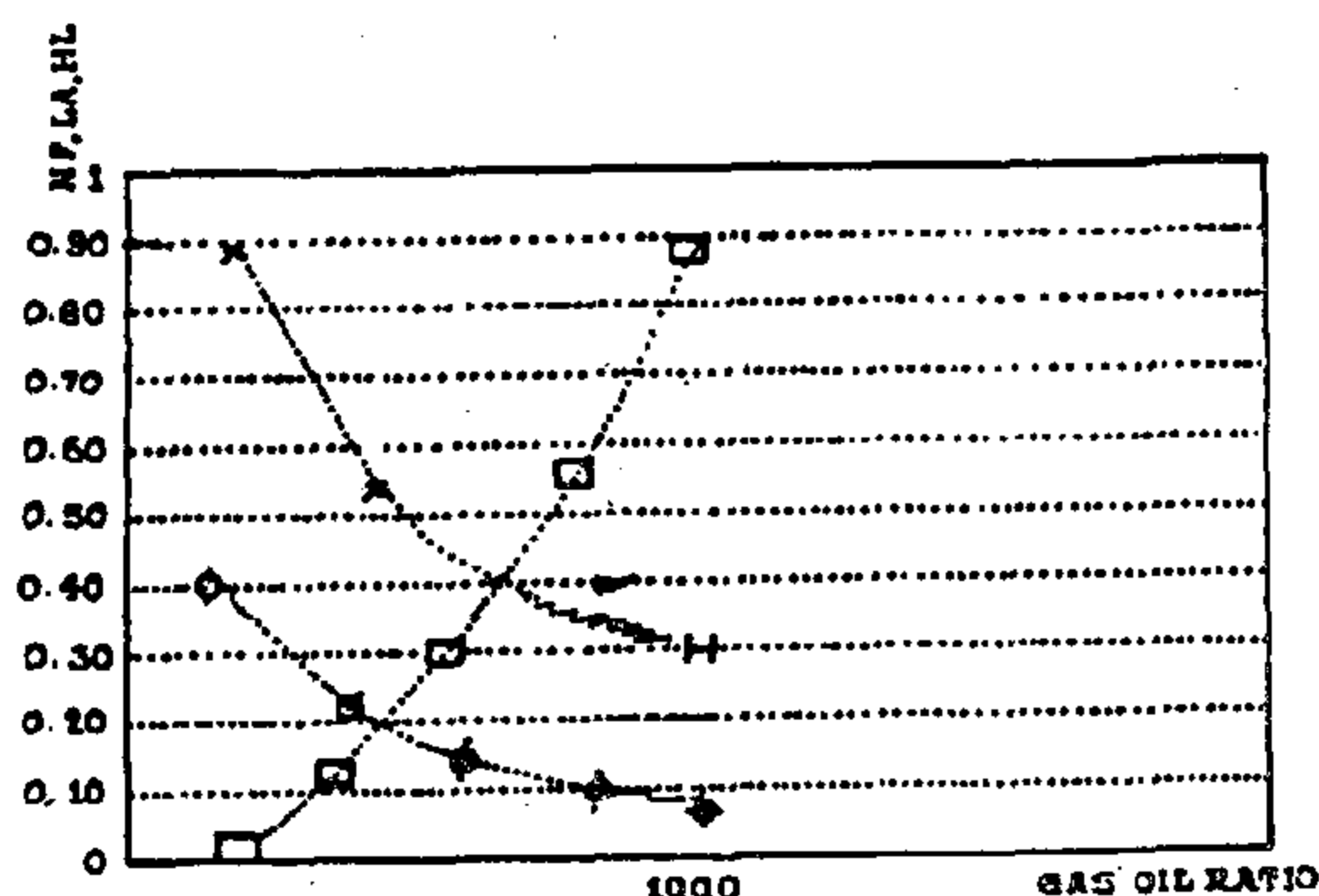


FIG (16) A EFFECT OF GAS OIL RATIO ON SEVERE SLUG FLOW
□ FROUDE NUMBER (NFR)
x LIQUID HOLDUP (HL)
○ LAMBDA (λ)

D. EFFECT OF THE PIPELINE INCLINATION ANGLE (θ)

A minimum liquid hold up is obtained for the horizontal pipeline position. Any increase in the inclination angle of the pipeline increases the liquid hold up. A limit of 10 degrees for (θ) shows a liquid hold up factor very close to unity, indicating that the line is full of liquid (ref. fig. 17). It clearly appears that the flow pattern is greatly affected by the pipeline inclination.

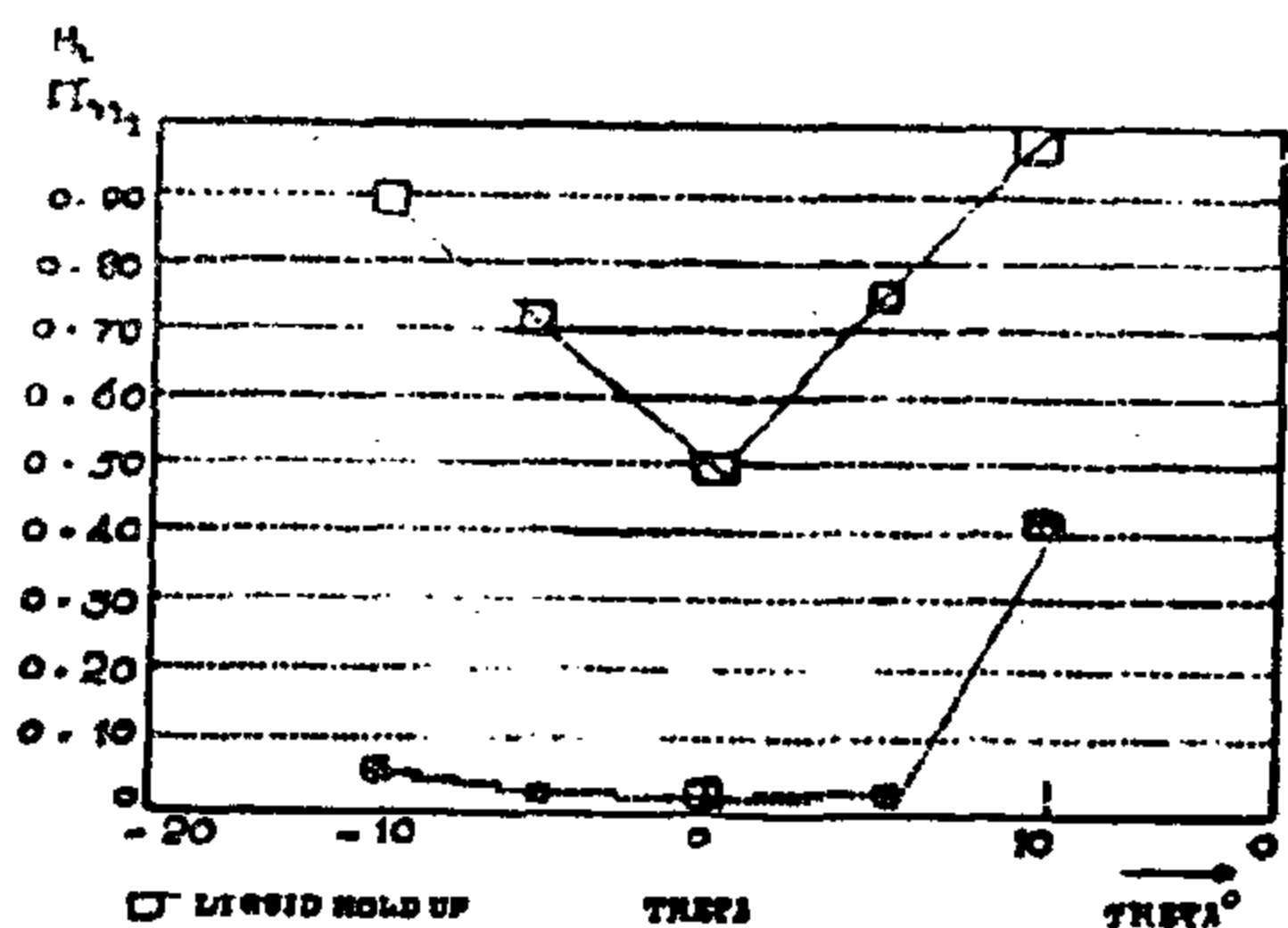


FIG (17) EFFECT OF INCLINATION ANGLE (θ) ON SEVERE SLUG FLOW

The flow pattern is also affected by the sign of the inclination angle. In cases whereby (θ) is negative, the liquid hold up will be at the riser bottom, thereby emphasizing the severe slug phenomenon. On the other hand, for a positive inclination, the liquid hold up moves away from the bottom of the riser thus counteracting the onset of severe slugging.

CONCLUSIONS

From this study, the following conclusions emerge :-

1. Beggs and Brill correlation is the most reliable correlation for determining the flow pattern, liquid hold up, and correct pipeline diameter in the field under study.
2. From the developed pattern map, it appears that severe slugging can be eliminated for the field case when $v_{sl} = 0.75$ ft/sec.
3. Reducing the pipeline size is one of the remedial solutions to the problem of severe slugging. For the actual field case, it is not reasonable to reduce the flow line sizes, as the pipelines are designed for future high rates of production (the problem of severe slugging will be solved also when the flow rates are increased in future).
4. The injection gas requirement for the considered case exceeds by far the available gas quantities. Furthermore compression and transportation of gas requires excessive capital expenditure and, therefore, the option of gas injection was valued as not feasible to alleviate the problem of severe slugging.
5. Increasing the separator pressure results in a decrease in the production rate by 11% and does not solve the severe slugging problem. Therefore, this option was also dropped from the list of alternative solutions capable of eliminating severe slugging flow for the field case under consideration.

Table No. (2)

Effect of oil flow rate on severe slug flow (flow line size 10")

D=10" L=13278 GOR=407 $\gamma = -0.57$											Type of flow
Q _o	N _F	N _V	N _R	II _{ss}	H _L	Inj. Gas	F _B	G _t	P _t	V _{SL}	
1000	0.0155	0.2850	8055	0.0434	0.6874	1.4190	2.67	0.5144	1139	0.1309	S
2000	0.0621	0.5700	16110	0.0134	0.6012	3.6200	1.59	1.0289	704	0.2619	T
3000	0.1397	0.8550	24166	0.0117	0.5440	6.2000	2.04	1.5433	528	0.3929	T
4000	0.2484	1.1400	32221	0.0107	0.5000	9.0700	2.88	2.0578	428	0.5238	T
5000	0.3880	1.4250	40276	0.0099	0.4639	12.1700	3.87	2.5722	365	0.6548	T
6000	0.5588	1.7100	48331	0.0094	0.4312	15.4900	4.93	3.0867	320	0.7857	T
7000	0.7089	1.9950	54752	0.0098	0.4114	18.6157	6.04	3.4448	287	0.9167	T
8000	0.9935	2.2800	64441	0.0085	0.3734	22.76	7.18	4.1155	261	1.0472	T
9000	1.2574	2.5650	72497	0.0085	0.3694	25.76	8.33	4.6299	233	1.1786	I
10000	1.5523	2.8500	80552	0.0084	0.3676	28.71	9.50	5.1444	210	1.3096	I
12000	2.2350	3.4200	96662	0.0084	0.3645	34.62	11.86	6.1733	175	1.5715	I
14000	3.0426	3.9900	112772	0.0084	0.3618	40.56	14.24	7.2022	150	1.8334	I

Effect of oil flow rate on severe slug flow (flow line size 8")

D = 8" L=13278 GOR=407 $\gamma = -0.57$											Type of flow
Q _o	N _F	N _V	N _R	II _{ss}	H _L	Inj. Gas	F _B	G _t	P _t	V _{SL}	
1000	0.0474	0.4453	10069	0.0140	0.6196	1.73	1.70	0.8038	865	0.2046	S
2000	0.1895	0.8906	20138	0.0119	0.5214	4.35	2.13	1.6076	529	0.4092	T
3000	0.4260	1.3359	30207	0.0098	0.4556	7.41	3.55	2.4114	395	0.6139	T
4000	0.7580	1.7813	40276	0.0089	0.4010	10.87	5.20	3.2153	322	0.8185	T
5000	1.1840	2.2266	50345	0.0085	0.3699	14.30	6.96	4.0141	269	1.0231	I
6000	1.7050	2.6719	60414	0.0084	0.3667	17.25	8.77	4.8229	224	1.2277	I
7000	2.3210	3.1172	70483	0.0084	0.3640	20.21	10.60	5.6267	192	1.4323	I
8000	3.0320	3.5625	80552	0.0083	0.3620	23.18	12.45	6.4305	168	1.6370	I
9000	3.8370	4.0078	90621	0.0083	0.3600	26.16	14.32	7.2343	150	1.8416	I
10000	4.7370	4.4532	100690	0.0083	0.3580	24.14	16.19	8.0382	135	2.0462	I
12000	6.8220	5.3438	120828	0.0083	0.3550	35.14	19.95	9.6458	112	2.4554	I
								23.72	96		

Where S = Segregated flow pattern

T = Transition flow pattern

I = Intermittent flow pattern

B. GAS INJECTION :-

Gas injection can be applied at two different locations :

- a-At the bottom of the riser.
- b-At the inflow point to the terminal platform.

The required gas quantity is calculated (for the first location) by equalling the severe slugging group IIss to one. The obtained gas mass flux is then converted to volumetric flow rate. The calculated gas requirement in our field case is 6.40367 MMCUFT/Day. As this additional gas requirement is much higher than the gas availability, gas injection is considered unrealistic.

For the second position, as per Beggs and Brill correlation (5), the calculated gas quantity required to change the flow pattern from transition flow to intermittent flow is 0.2384 MMCUFT/Day. As this additional quantity of gas is not available at the terminal platform location, this solution is also not feasible.

C. RISER CHOKING

Riser choking restricts the flow to the separator at the riser top level. This method was successfully applied to the field case study under consideration (figures 4 and 5).

Severe slugging was completely eliminated through choking whereby pressure stabilized at an average of 177 psig against a previous variable pressure ranging from 164 psig to 190 psig, as indicated by fig. 4. No noticeable change in the oil flow rate was observed. The back pressure exerted on the upstream platform becomes constant as evidenced by fig. 5, while the test separator operates under very stable conditions.

Fig. 13, flow pattern map of the field study case indicates that a back pressure 13 psig due to riser choking, shifts the boundary line 3 substantially to the left.

Also vsg is observed to decrease from 2 ft/sec. to 0.8 ft/sec.

For the field case study, the calculated choke dimension was (using Ball valve choke sizing chart (6)) 144/64" for a flow line of 10" size.

FACTORS AFFECTING SEVERE SLUG FLOW

A) Effect of Oil Flow Rate (Q_o)

Referring to fig. 13 for the field case study flow pattern map, it is observed that when both vsg and vsl increase, the flow pattern changes towards an intermittent flow. Furthermore, vsg and vsl are directly related to the flow rate (Q_o). Field trials on changing the flow rate between terminal platform and satellite platform have clearly supported above statements. Initially, when the flow rate was 4184 BPD, the severe slug cycle time was 40 minutes. As the flow rate increased to 9879 BPD, severe slugging disappeared as indicated by table 2.

B) EFFECT OF PIPELINE LENGTH

The slug cycle time increases with an increase in pipe line length. Longer lines result in longer time to build up the required pressure for the same flow rate, thereby increasing the slug generation time.

The severe slugging group IIss is inversely proportional to the pipeline length. Any increase in pipeline length will thus decrease the severe slugging group, thereby shifting the flow regime towards the severe the slugging area as shown by fig. 15.

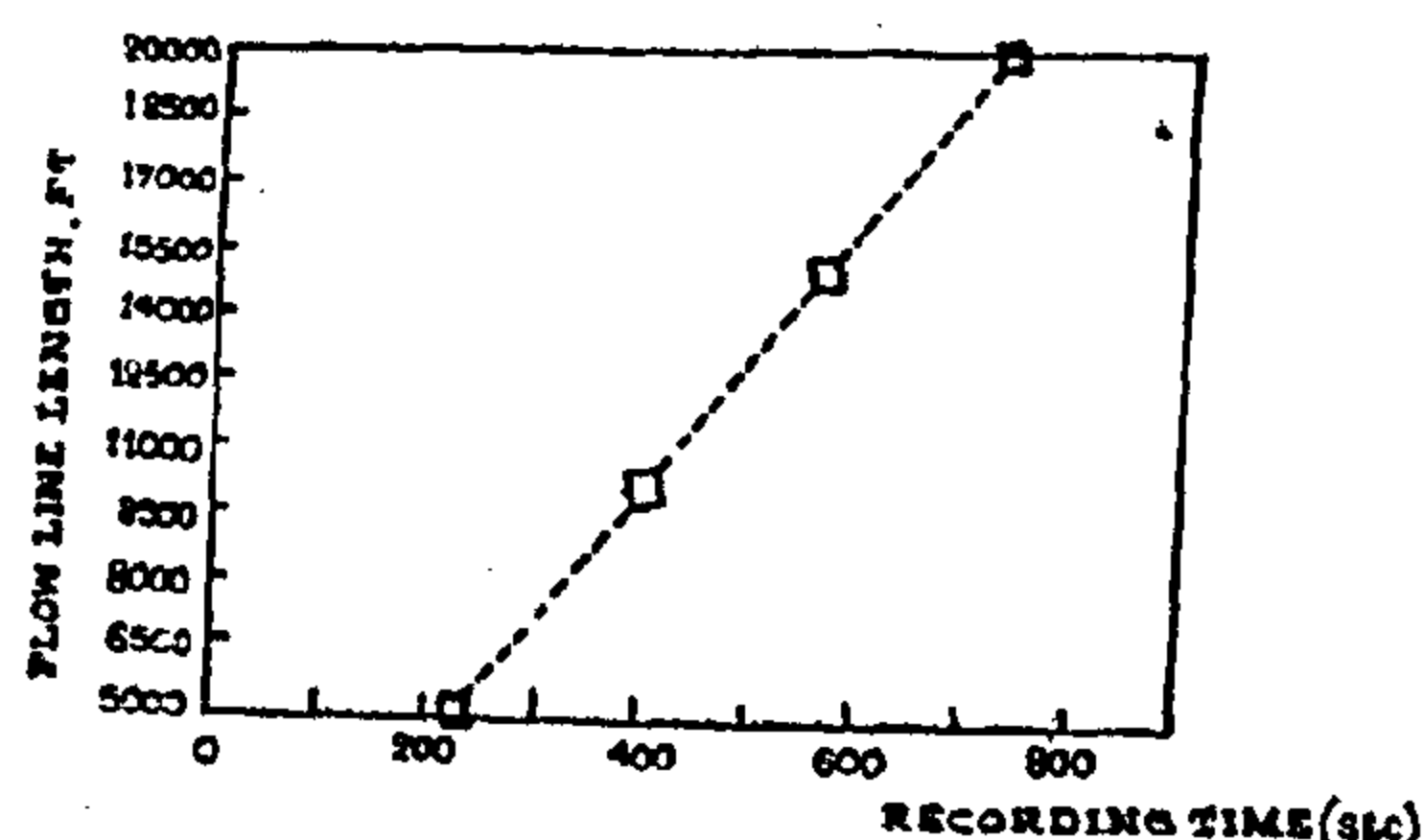
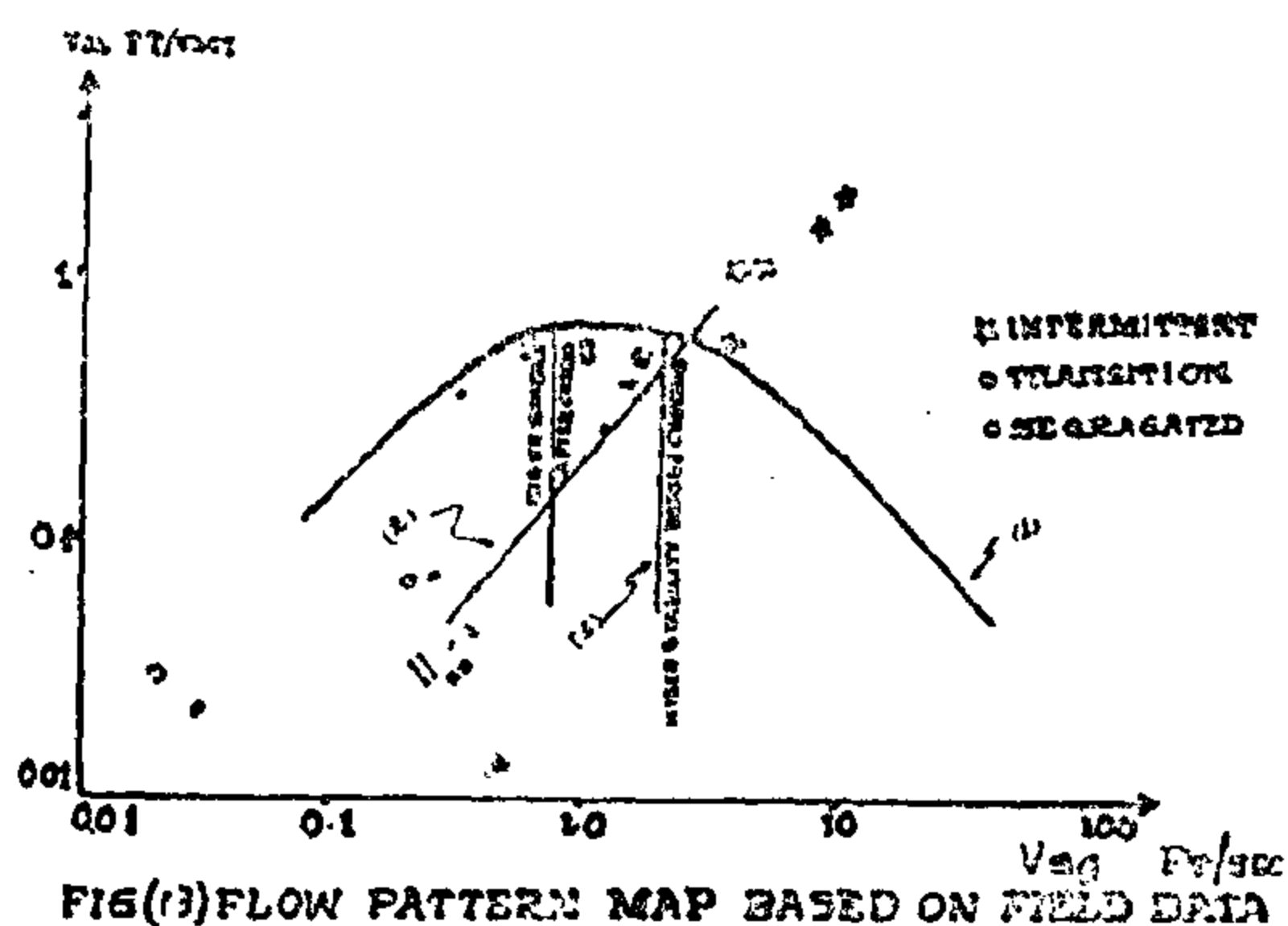


FIG (15) EFFECT OF FLOW LINE LENGTH ON SEVERE SLUG FLOW
WHERE □ = SLUG GENERATION TIME



For severe slugging to occur, flow characteristic should be represented by points lying under line (1) and on the left side of line (2) and line (3).

Based on the flow pattern map of Schmidt, Doty and Dutta (3) boundary line 1 has been drawn representing the flow pattern in the pipeline. Similarly line 2 has been drawn as equivalent to the IIs line according to Pots, Bromilow, and Koninjin (4). Finally, boundary line 3 represents the riser stability line according to Schmidt, Doty and Dutta (3).

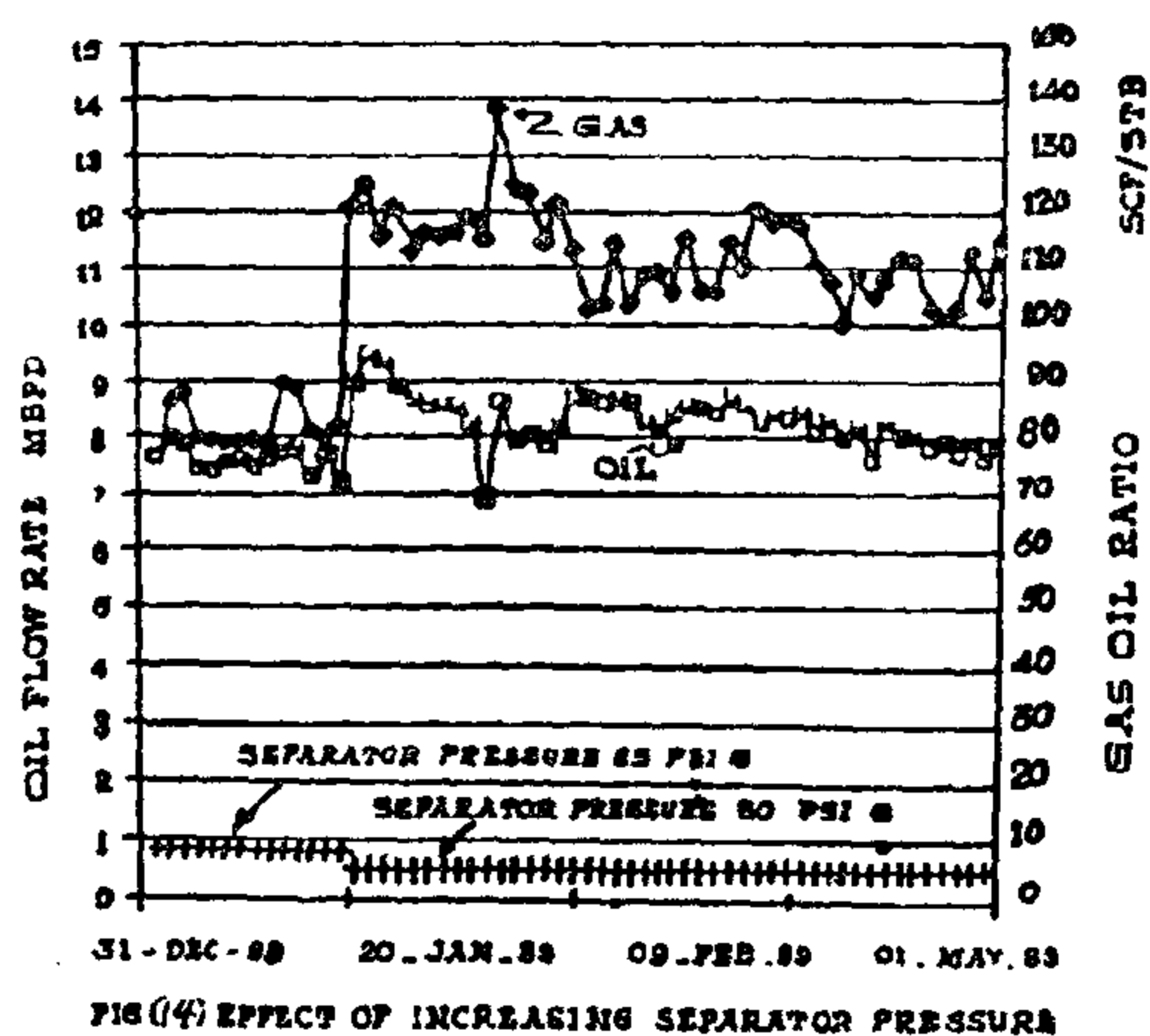
ALLEVIATION OF SEVERE SLUG FLOW

To prevent severe slugging to occur, it is necessary to design either a new riser/pipe system or to change the operating conditions for the existing system. The suitable line size which was determined and found to be 5" instead of the existing 10", using Beggs and Brill method. For the 5" line size flow pattern changes into the intermittent type. Baker method, gives a line size of 7.5" for flow to be intermittent.

Considering that the size of the existing line can not be changed (because of future requirements and for economic reasons), the only option left to alleviate the severe slugging problem is to change the operating conditions of the existing system. Following options were tested and ranked according to their suitability as remedial measures :

A. INCREASING THE SEPARATION PRESSURE

Raising the separator pressure of the satellite platform from 50 psig to 85 psig affected the slug cycle time. At 50 psig it was 40 minutes, while at 85 psig it increased to 45 minutes. This increase in slug cycle time is due to the rise in back pressure which reduces the liquid velocity in the flow line. Furthermore, this back pressure affected well production, the rate of which was 11% less at 85 psig than that at 50 psig. Yacum (7) reported that flow capacity reduction up to 50% have been necessary to minimize slugging on offshore platforms). On the other hand, gas production at 85 psig was 25% less than that at 50 psig. Due to this lower gas production rate the liquid hold up increased with a corresponding increase in the slug cycle time as shown by fig. 14.



From the flow pattern map (fig. 13) it appears that the generation of liquid slugs at the riser bottom depends mainly on the gas and oil mass flow rates. For our field case study, as reported above,, the gas/oil mass flow rate (W_g/W_l) decreases, which fact shifts line number 2 on fig. 13 to the right and,, consequently, increases the extent of the severe slugging domain. This result contradicts findings of Schmidt, Doty and Dutta (3).

the top of the riser, the gas production rate increases to its maximum rate, as the riser pipe system contains only gas. This phase constitutes the gas blow down stage into the separator followed by a sharp drop in pipeline pressure as indicated by fig. 2. Consequently, the oil production rate fluctuated between no flow up to 9394 BPD.

PREPARATION OF A FLOW PATTERN MAP FOR THE FIELD CASE STUDY

The size of the pipelines between various platforms ranges between 6" and 10". About 20 flow test runs were performed on these flow lines and under conditions compiled in table 1. By plotting the data collected during these tests, a flow pattern map was prepared (fig. 13).

Table No. (1)
Severe slugging parameters (flow lines size 6")

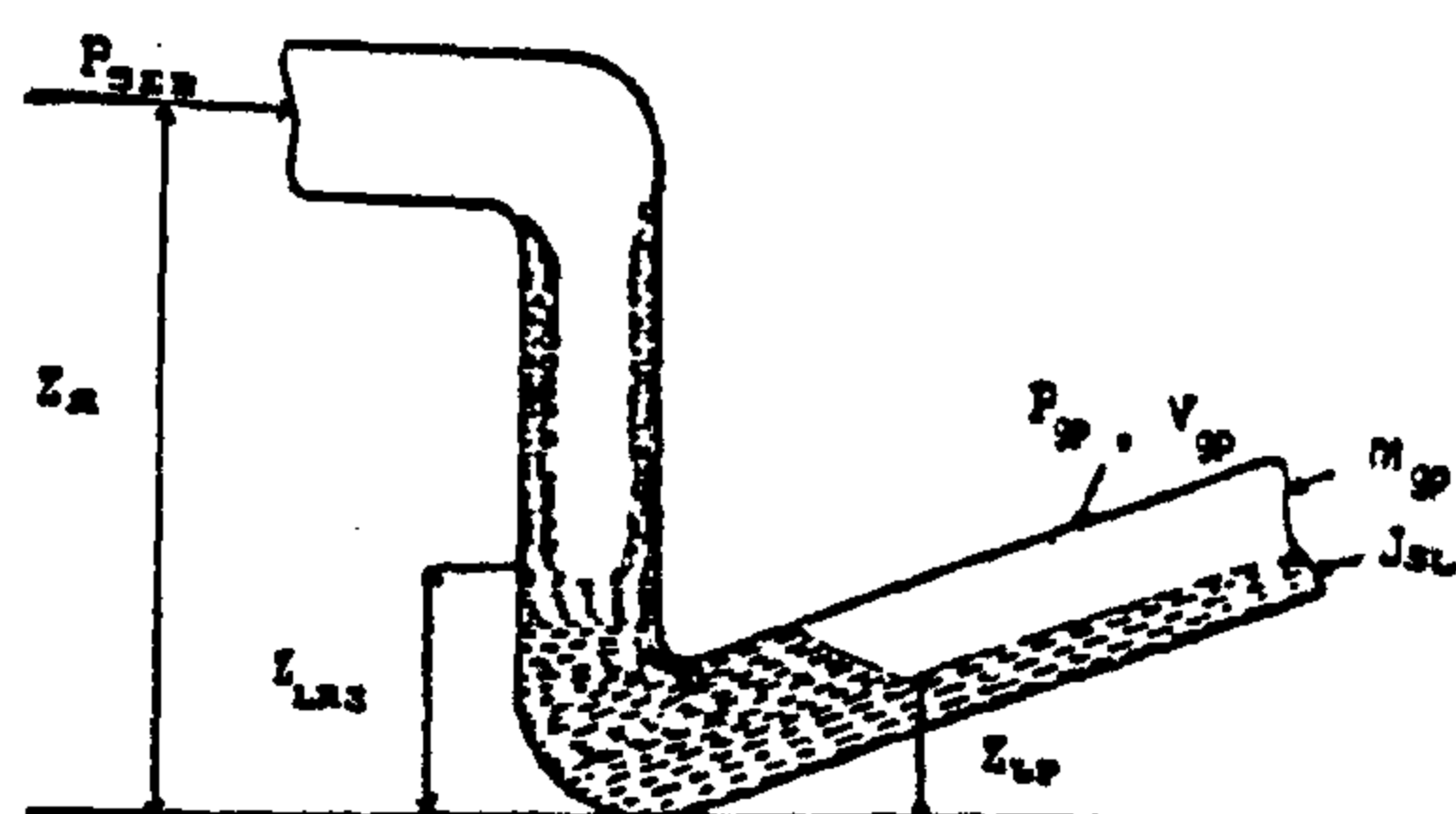
From - To (platform)	Q _o STBPD	Q _g SCFD	L _p FT	L _R FT	angle	Type of flow	H _L Frac.	V _{SL} ft/S	V _{sg} ft/S	V _s ft/S	T _s min	S _L ft	II _{ss}	N _{FR}	
ZS05 - PS64	1854	360	5446	63	0.02	Transition	0.57	0.68	2.20	8.04	0.0	92.33	0.621	0.2900	0.5171
ZN29 - PH40	2400	662	2651	97	-0.07	Intermittent	0.50	0.87	3.74	3.41	0.0	83.84	1.580	0.1900	1.330
ZS62 - PS50	3000	654	7831	64	-0.02	Intermittent	0.50	1.07	4.28	12.59	0.0	133.99	0.423	0.2000	1.746
ZS62 - PS50	5000	1090	7831	64	-0.02	Intermittent	0.46	1.79	7.01	19.59	0.0	145.30	0.394	0.2000	4.8409
ZS62 - PS50	1806	394	7831	64	-0.02	Transition	0.54	0.65	2.53	7.88	2.0	132.79	0.457	0.2000	0.6329
ZS62 - PS50	1100	240	7831	64	-0.02	Transition	0.58	0.39	1.54	5.81	3.33	114.13	0.500	0.2000	0.2334
ZS62 - PS50	440	96	7831	64	-0.02	Segregated	0.66	0.16	0.62	2.36	6.67	95.36	0.615	0.2000	0.0377
ZS62 - PS50	190	41	7831	64	-0.02	Segregated	0.74	0.07	0.27	1.29	17	79.93	0.796	0.2000	0.0071

Severe slugging parameters (flow lines size 8")

From - To (platform)	Q _o STBPD	Q _g SCFD	L _p ft	Z _R ft	angle	Type of flow	H _L Frac.	V _{SL} ft/S	V _{Sg} ft/S	V _s ft/S	T _s min	S _L -ft	II _{ss}	N _{FR}	
ZS08 - PS49	5715	1429	4173	64	-0.07	Intermittent	0.48	1.17	4.91	18.78	0.0	74.99	0.860	0.19	1.7234
ZS08 - PS49	2600	650	4173	64	-0.07	Transition	0.54	0.53	2.73	14.74	5.0	66.28	0.966	0.19	0.3561
ZS08 - PS49	3151	788	4173	64	-0.07	Transition	0.53	0.65	2.72	14.74	5.0	68.38	0.939	0.19	0.5286
ZN24 - PH34	11000	2992	4249	97	-0.01	Intermittent	0.41	2.21	10.83	30.34	0.0	127.37	0.828	0.17	7.9275
PS112- PS65	1770	99	11893	63	-0.01	Transition	0.81	0.36	0.34	0.93	5.67	191.31	0.182	0.52	0.0229
PH09 - PH14	100	8	15217	107	-0.05	Segregated	0.95	0.02	0.03	N.A	13.33	170.6	0.792	0.42	0.0001
PH09 - PH14	615	37	15217	107	0.05	Segregated	0.88	0.13	0.13	0.29	28.33	253.34	0.252	0.13	0.0031
PH09 - PH14	730	44	15217	107	0.05	Segregated	0.83	0.15	0.16	0.38	36.67	350.80	0.172	0.48	0.0045
PH09 - PH14	42	3	15217	107	0.05	Segregated	0.95	0.01	0.12	A.N	270.00	170.65	0.792	0.42	0.0008

Severe slugging parameter (flow line size 10")

ZN22A-PH87	12141	3667	4200	97	0.0	Intermittent	0.43	1.56	7.94	26.44	0.0	108.40	0.956	0.16	3.400
ZN22A-PH87	200	10	4200	97	0.00	Segregated	0.95	0.03	0.02	N.A	70.50	271.51	1.934	0.53	0.0001
PH11 - PH27	3030	1233210	15273	49	-0.05	Transition	0.524	0.19	1.50	N.A	8.7	98.744	0.011	0.203	0.13

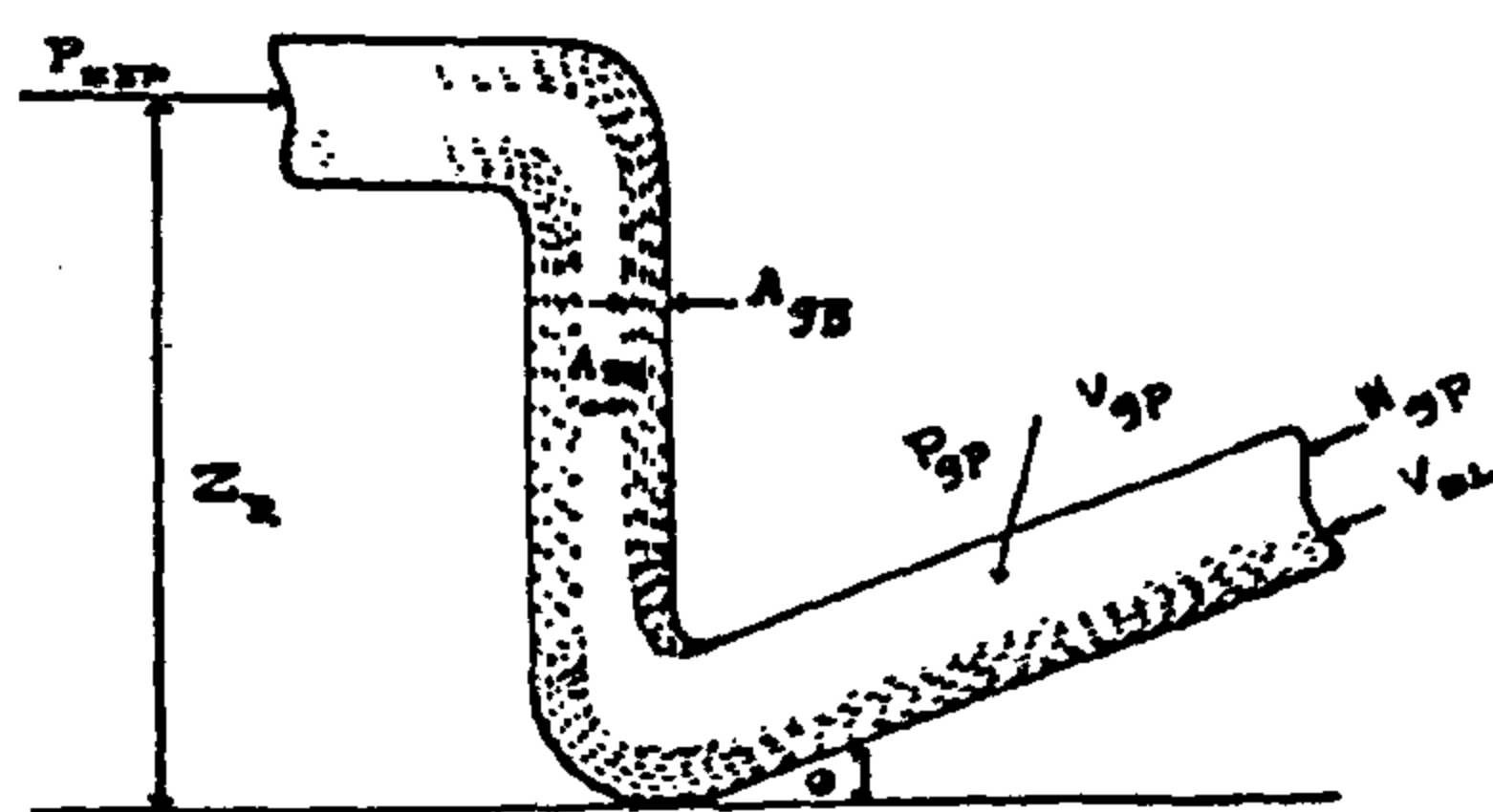


FIG(10) NORMAL SLUG FLOW STAGE (FIELD CASE STUDY)

WHERE: $Z = Z_{LRS} + Z_{LP}$

F. GAS BLOW DOWN STAGE

During the gas blow down stage the flow line pressure dropped down to the test separator pressure (minimum) (ref. fig. 11).

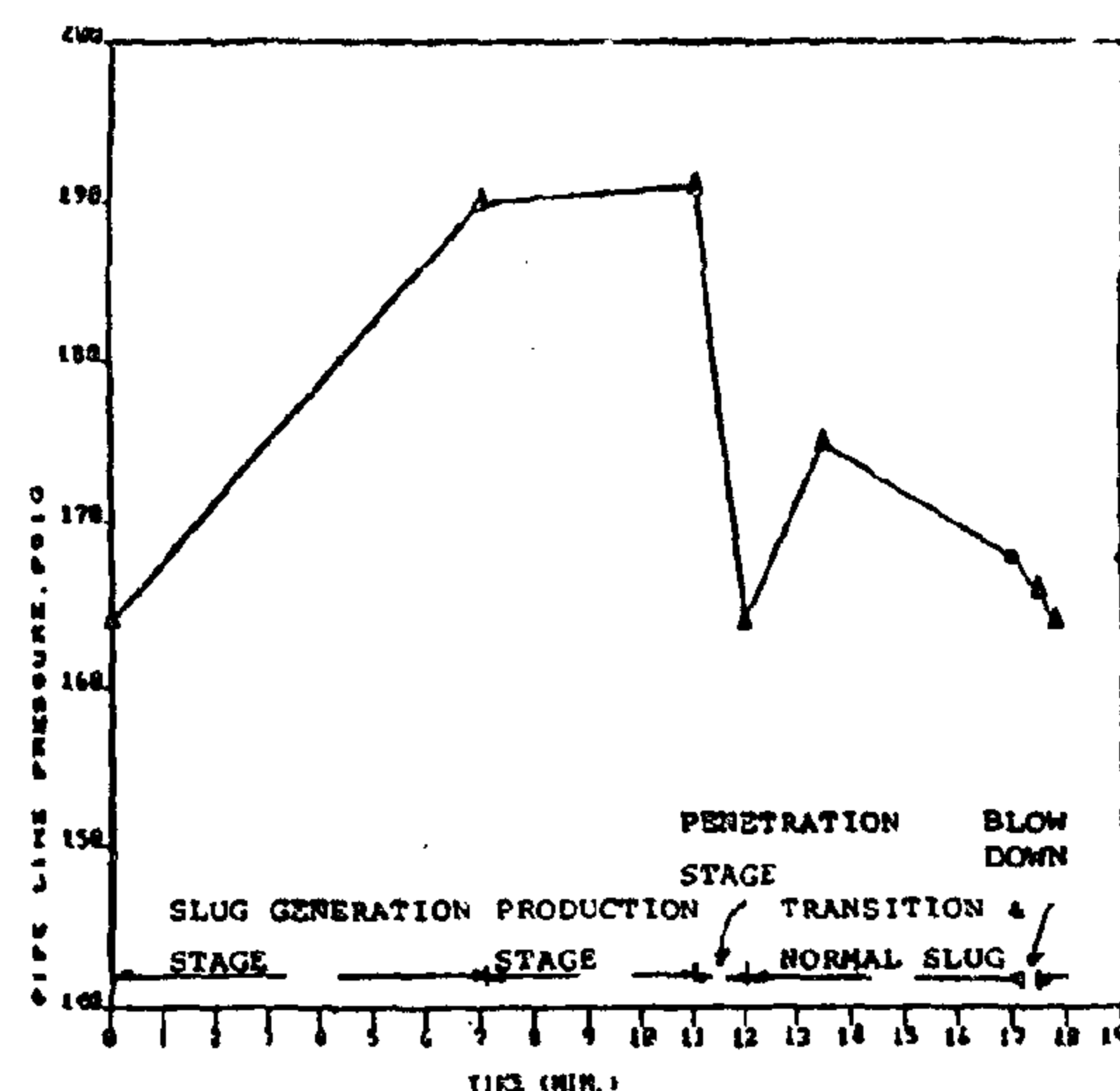
FIG(11) GAS BLOWDOWN STAGE
(FIELD CASE STUDY)

It should be noted that the above described severe slugging cycle does not match Schmidt, Doty and Dutta model (3) but roughly corresponds to the Pots, Bromilow and Konijn approach (4).

PIPELINE PRESSURE FLUCTUATION DURING A SEVERE SLUG CYCLE

When the tail of the slug reaches the separator and the line is in stratified flow, the pressure in the pipeline is at its minimum value. The slug generation then starts and the oil header pressure on the terminal platform increases till the slug reaches the top of the riser end of the slug generation stage); the flow line pressure will then be near to its maximum

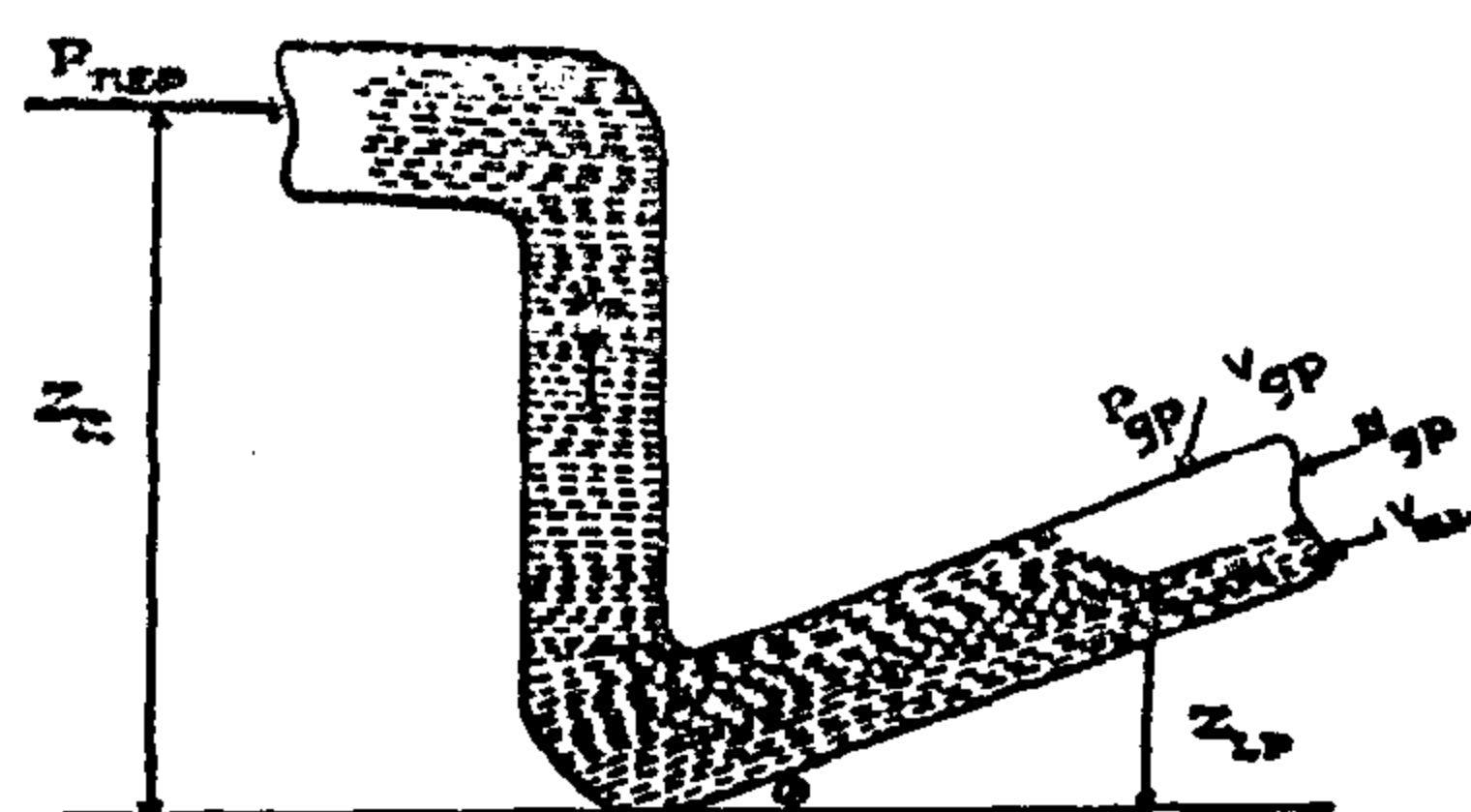
value. As the slug production stage starts, the flow line pressure increases slightly due to the increase in the hydrostatic pressure between the top of the riser and the level in the flow line. During the penetration stage, the pressure decreases rapidly because the inlet gas mass flow rate is lower than the outlet gas mass flow rate. The gas blow down stage takes place thereafter and the pressure decreases down to its minimum value. The pipeline pressure thus fluctuates between 164 psig and 190 psig as indicated by fig. 12.

Fig. (12) Line Pressure Fluctuation During
A Severe Slug Cycle (Field Case Study)

OIL AND GAS PRODUCTION DURING THE SEVERE SLUGGING CYCLE

Oil production starts 7 minutes after the slug generation stage, during which some produced gas penetrates through the oil in the riser. As a result, the riser pipe acts as a gas trap throughout the slug generation process. During oil production (slug production), the gas dissolved in the oil is freed and, gas production increases. During the transition process to severe slug flow, the gas production increases due to the liquid slug slight aeration. Later on, as the tail of the slug reaches

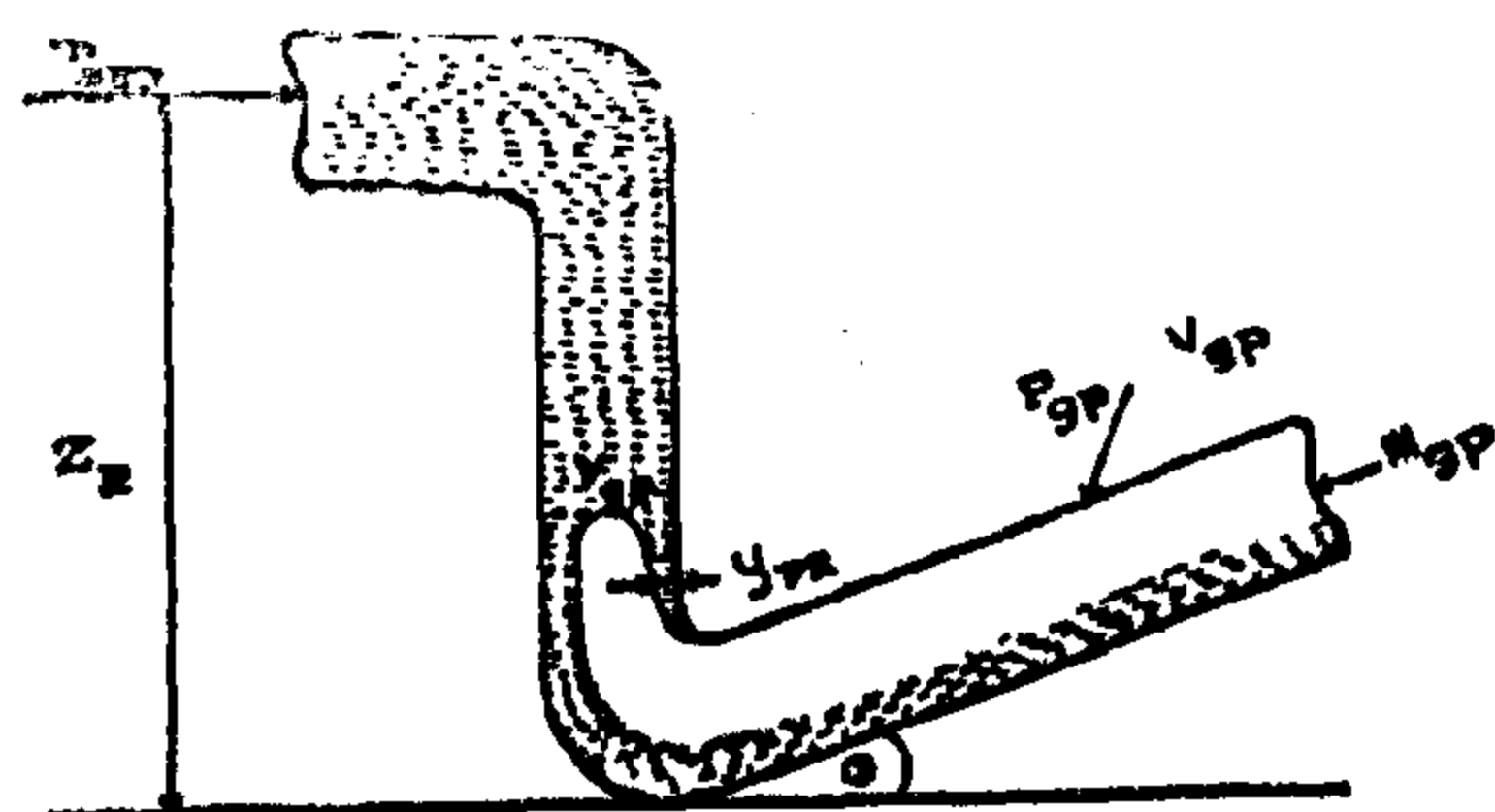
or exceeds the possible hydrostatic pressure rise per unit time in the riser pipe, due to the incoming liquid flow and fallback. The slug production stage is illustrated by fig. 7. Slug production continued over a 4 minutes period and was interrupted by two small liquid fallbacks caused by insufficient liquid and gas flow input needed to compensate gas bubbles expansion in the pipeline. The maximum flow rate during this stage reached 6508 BPD as indicated by fig. 2.



FIG(7) LIQUID PRODUCTION STAGE
(FIELD CASE STUDY)

C. BUBBLE PENETRATION STAGE

After the total pipe line liquid slug has been transferred into the riser, and the pipeline gas starts entering the base of the riser pipe, the bubble penetration stage begins as evidenced by fig. 8.



FIG(8) BUBBLE PENETRATION STAGE
(FIELD CASE STUDY)

The measurements compiled on fig. 2, indicate that the peak liquid production attains three times its average value. Maximum peak liquid production reaches

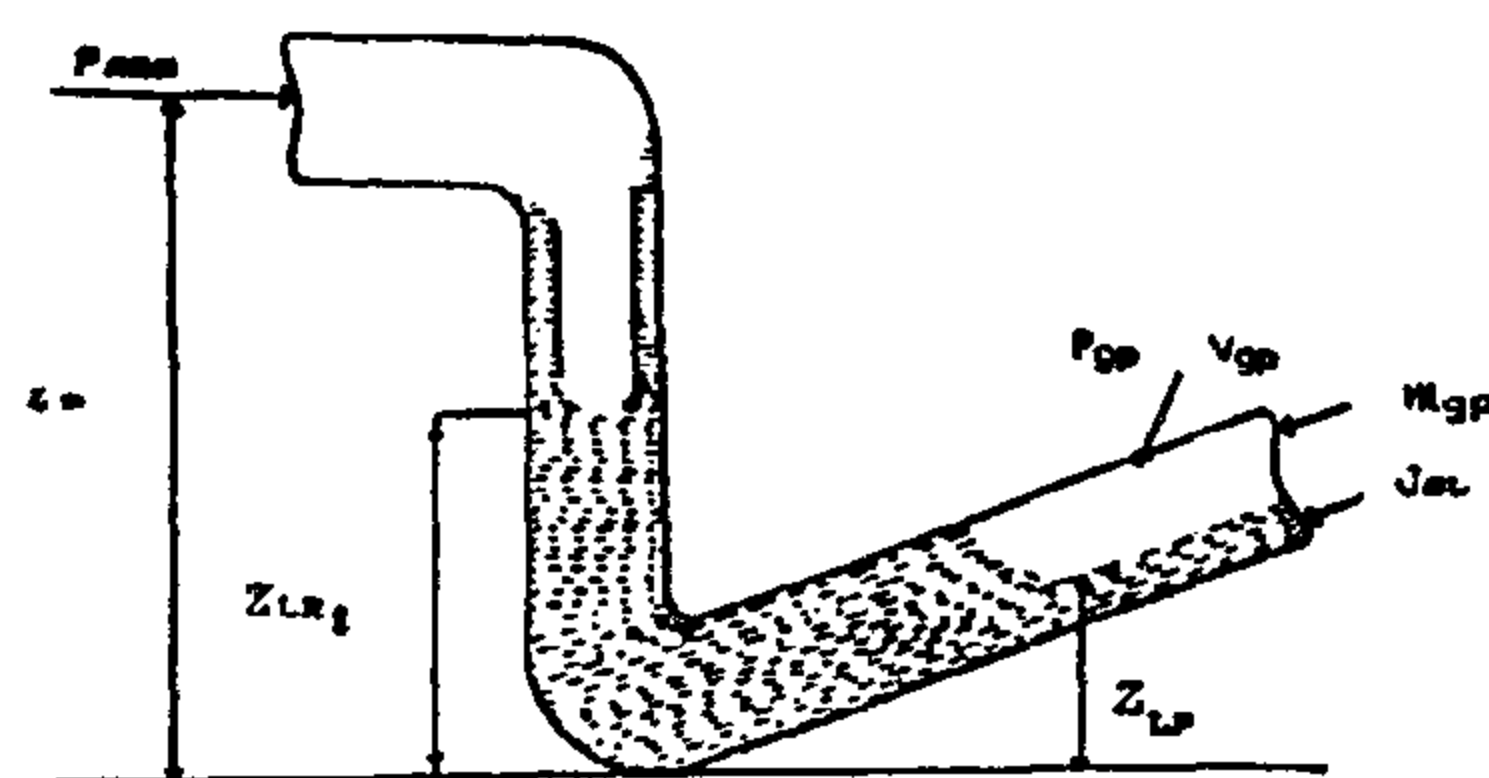
9394 BPD, while the average liquid production is valued at 3030 BPD.

In the field-base case, the bubble penetration stage spreads over a two minutes period.

D. TRANSITION TO SEVERE SLUG FLOW

In the field-base case, the bubble penetration stage was not followed by a transition into severe slug flow because the exerted combined force resulting from the incoming gas and the expanding pipeline gas was unable to blow liquid out of the riser.

The characteristics of this flow pattern are almost the same as those of severe slugging except that the liquid slugs are slightly aerated and do not exceed in length to the riser pipe height, as indicated by fig. 9. The maximum liquid flow rate recorded during this stage was 5095 BPD.



FIG(9) TRANSITION TO SEVERE SLUG FLOW
(FIELD CASE STUDY)
WHERE: $Z_{LP} < Z_R$

E. NORMAL SLUG FLOW STAGE

The transition from severe slug flow, to normal slug flow, lasted two minutes, including around 1.5 minutes for the penetration stage. The liquid slugs were more aerated and their lengths smaller than the slug length during the transition to severe slug stage, as shown in fig. 10. The recorded maximum flow rate during this stage was 2318 BPD. This stage ends when the bubble enters the separator.

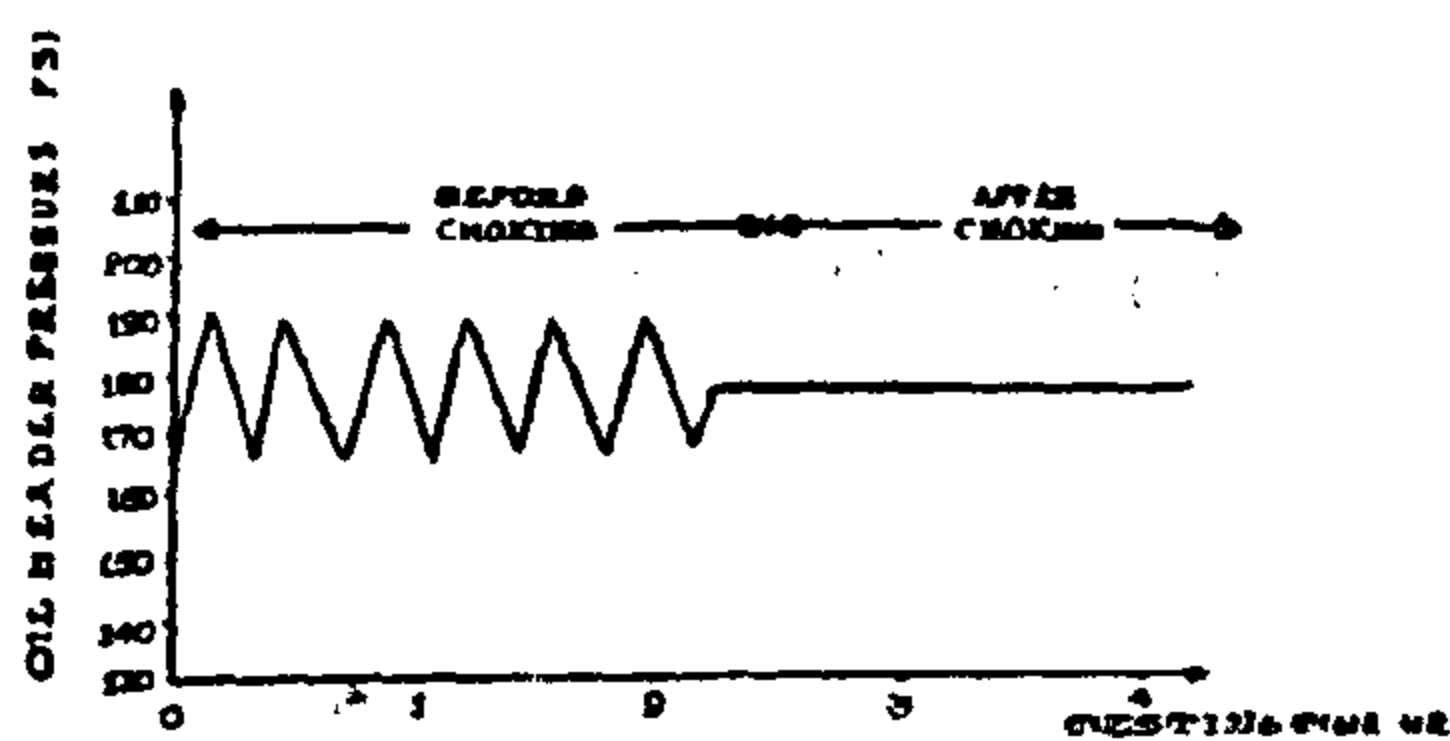


FIG (4) OIL HEADER PRESSURE BEFORE AND AFTER CHOKING

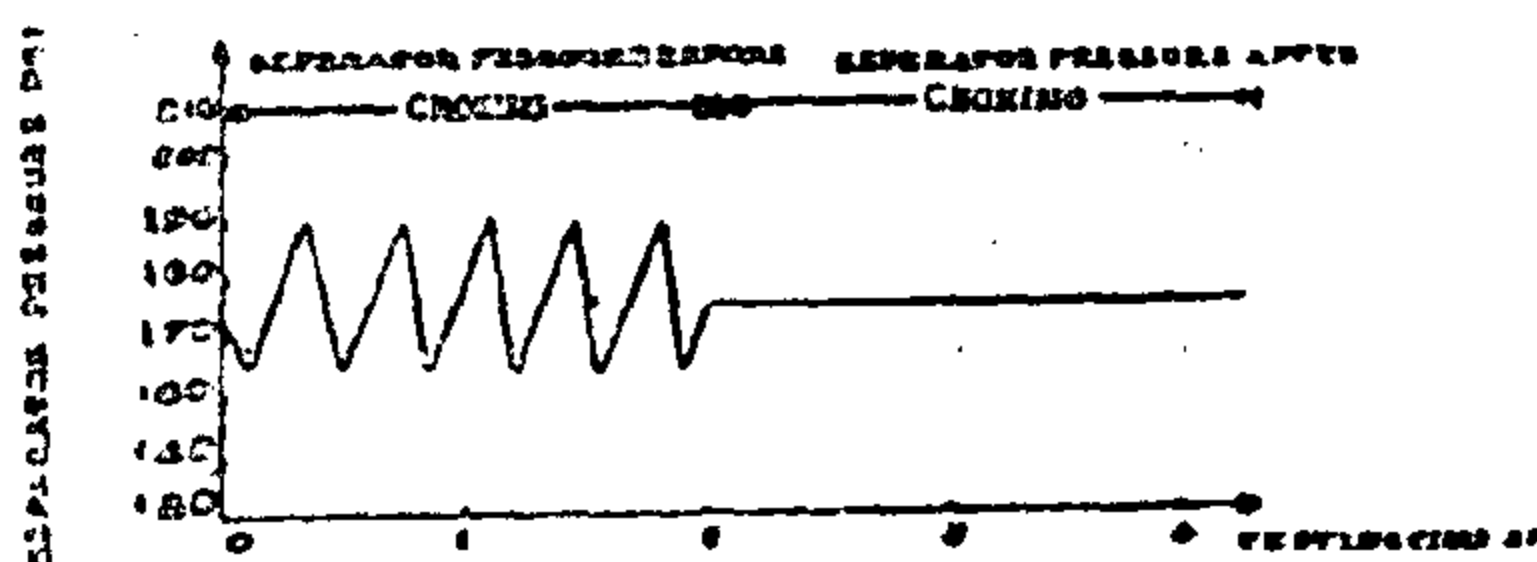


FIG (5) SEPARATOR PRESSURE BEFORE AND AFTER CHOKING

CONDITIONS FOR SEVERE SLUGGING TO OCCUR

The flow pattern in the negatively inclined pipeline must be stratified to fulfill the first condition for severe slugging to occur (2,3).

Baker method was applied to the field data collected during the test. Calculations indicated that the flow pattern belongs to be slug flow regime.

Under these flow conditions, liquid slugs generated in the pipeline flow remained almost unchanged throughout the riser pipe, thus preventing the generation of any liquid slug at the base of the riser. Consequently, Baker method is not recommended as it fails to match the actually observed flow behaviour.

Applying Beggs and Brill method on the field case, calculations indicate that the two phase flow pattern is transitional between a segregated and an intermittent flow pattern. Therefore, the flow regime can be considered as a segregated (stratified) flow, thus fulfilling the first requirement of the severe slug flow regime (2,3,4).

The previous studies showed that severe slugging occurs only if the group IIss

< 0.1 . The calculated. IIss, based on the field data, was found to be 0.00902. Consequently, the second condition for the occurrence of severe slugging is fulfilled.

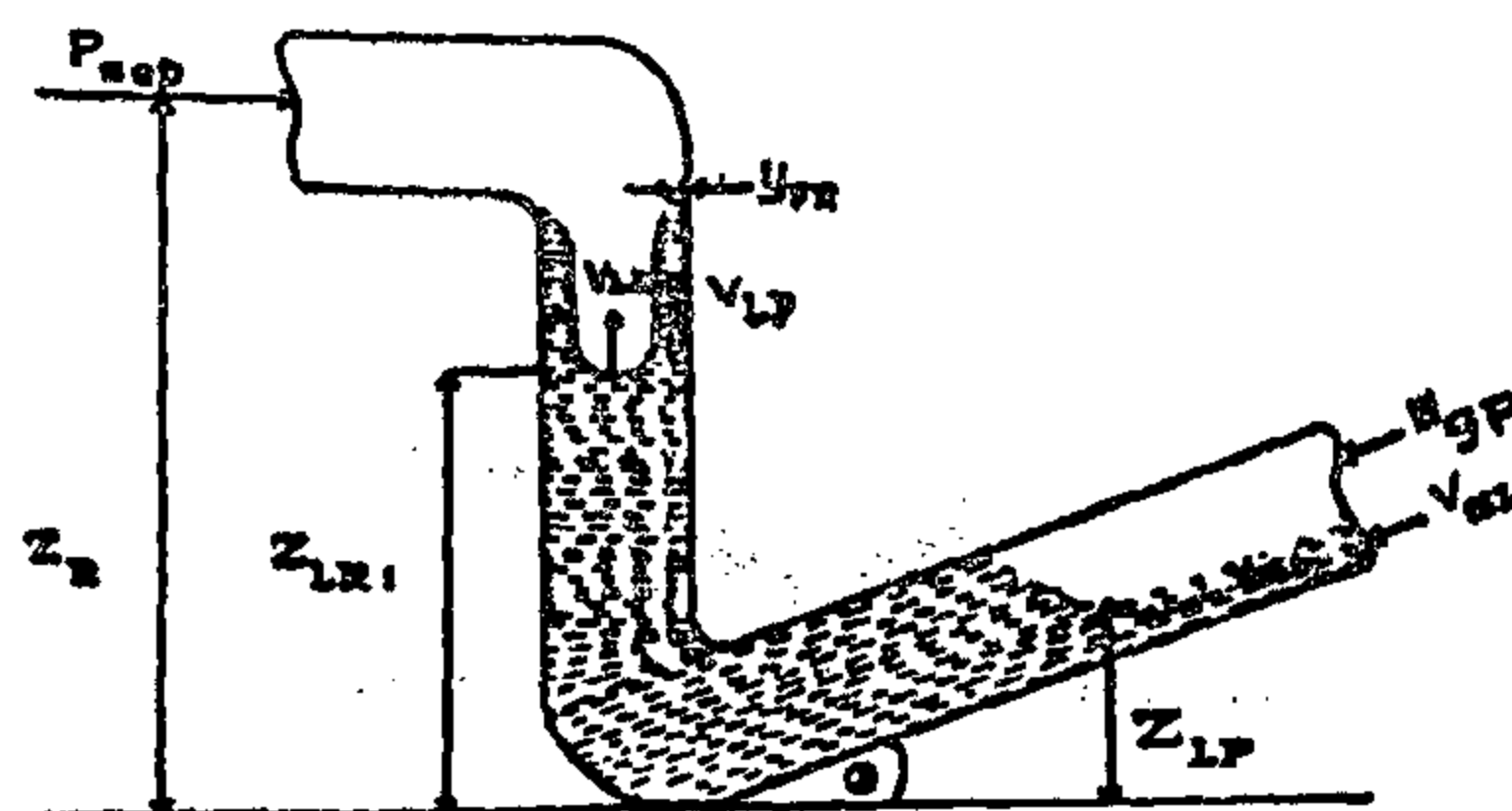
Riser flow instability is a requirement for severe slugging to occur. Fig. 2, which shows the flow rate variation with time, clearly indicates a retardation of riserflow by a factor of 0.25 during a severe slug cycle. Therefore, the riser flow instability, which constitute the third condition for severe slugging to occur, is also fulfilled.

ANALYSIS OF THE SEVERE SLUGGING CYCLE

Figures 2 and 3 show a recording of the simulated offshore field case for a flow line inclination of 0.57. The severe slug cycle, as observed, is described as follows :-

A. SLUG GENERATION STAGE

Once the three previous situations prevail, the riser becomes blocked and a liquid slug starts to build up which can be sensed from the increasing flow line pressure. When the slug front reaches the riser top, the flow line pressure has nearly reached its maximum value. This point marks the end of the slug generation stage and the beginning of the slug production stage as shown by fig. 6. The slug generation time equals to 7 minutes, as indicated by fig.2.

FIG(6) LIQUID SLUG GENERATION STAGE
(FIELD CASE STUDY)

B. SLUG PRODUCTION STAGE

This stage starts when the increase in the pipeline pressure per unit time attains

To predict severe slugging and suggest remedial techniques, 20 tests were carried out and a flow pattern map developed on basis of approaches published by Schmidt, Doty and Dutta (3).

SYSTEM DESCRIPTION

The rate of oil production from one of the oil producing terminal platforms for the field case study is 3030 BBLS/Day. This oil is produced from a dually completed well. The produced oil rate is controlled by an adjustable choke within the christmas tree assembly connected through an oil manifold to the subsea pipeline. After flowing through the subsea truck line, the oil and gas are conveyed to an intermediate platform through a 10" incoming vertical riser. The mixed production from both the intermediate and terminal platforms, finally leaves the platforms and reach a separation facility through a subsea pipeline as illustrated by fig. 1. The terminal platform is not equipped with any testing facility and rates of its oil and gas production are measured using the test separator facility of the intermediate platform.

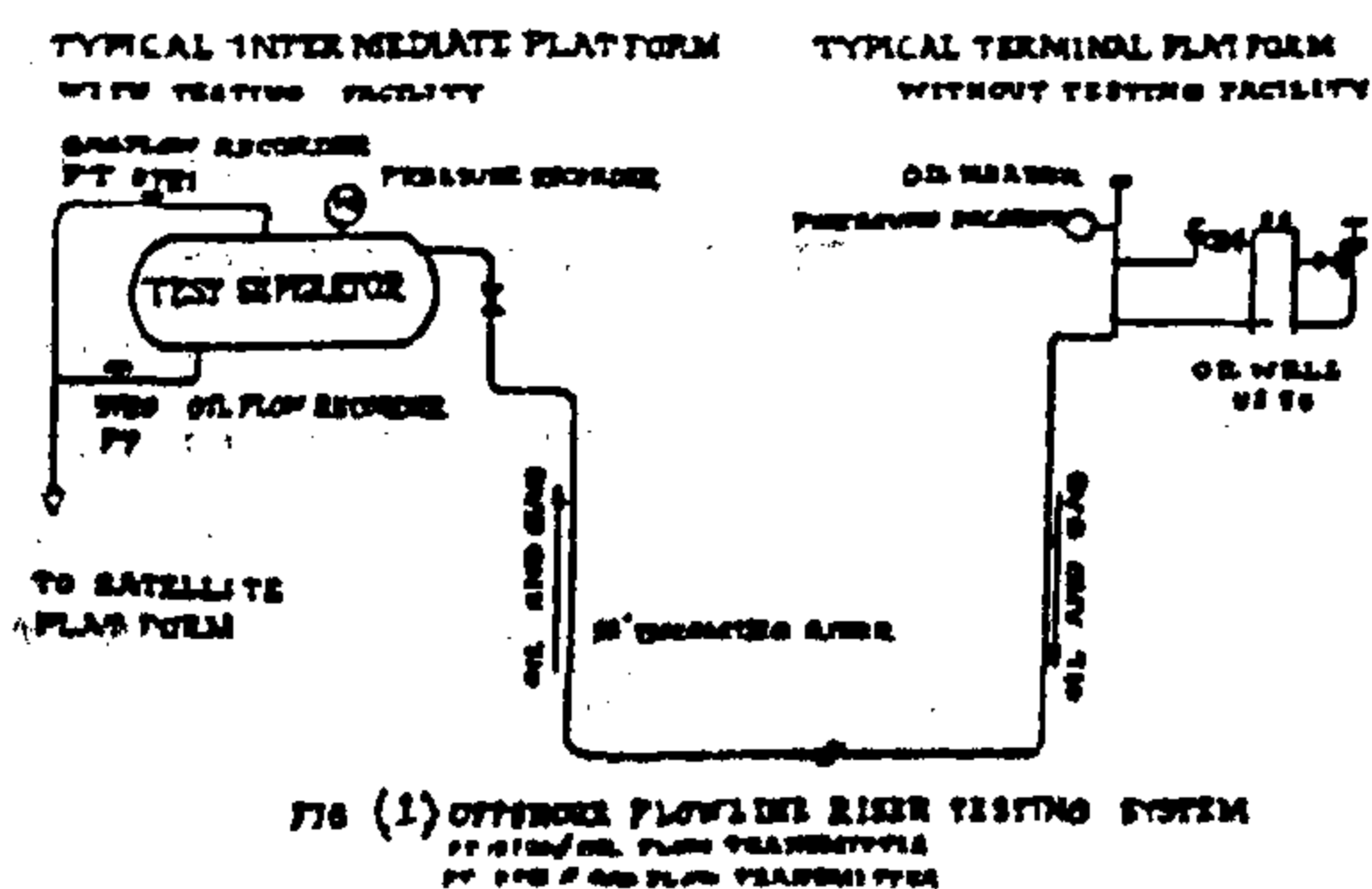


FIG (1) OFFSHORE FLOWLINE RISER TESTING SYSTEM

ADOPTED PROCEDURE FOR THE PREPARATION AND TESTING OF OIL AND GAS PRODUCTION RATES AT THE TERMINAL PLATFORM

After installing pressure and flow recorders on the test separator and its connecting lines, line pressure on the intermediate platform in addition to pressure and flow rates relative to the test separator

were recorded over a one week period. While severe slugging occurred within the liquid feed line.

Measurements were then carried out over an additional one week period while counteracting severe slugging through chocking the inlet liquid stream by means of the inlet valve installed on top of the riser pipe.

FLOW TEST RESULTS AND DISCUSSION

Severe slug flow of the inlet liquid to the test separator has been investigated. Fig. 2 shows a recording of one severe slug cycle and fig. 3 shows the repeatability of the slug cycle characteristics.

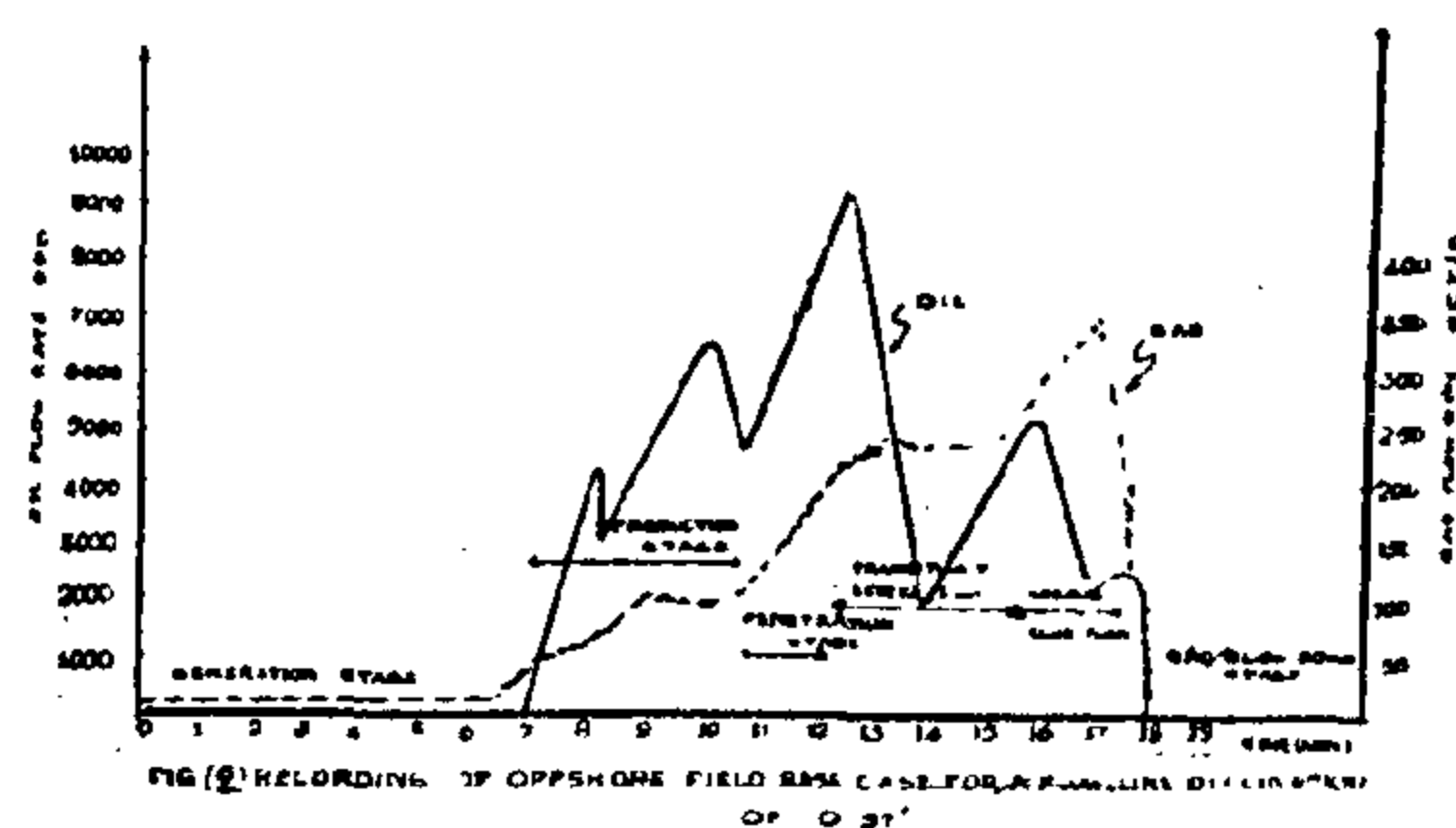


FIG (2) RECORDING OF OFFSHORE FIELD Riser CASE FOR A SEVERE SLUG CYCLE

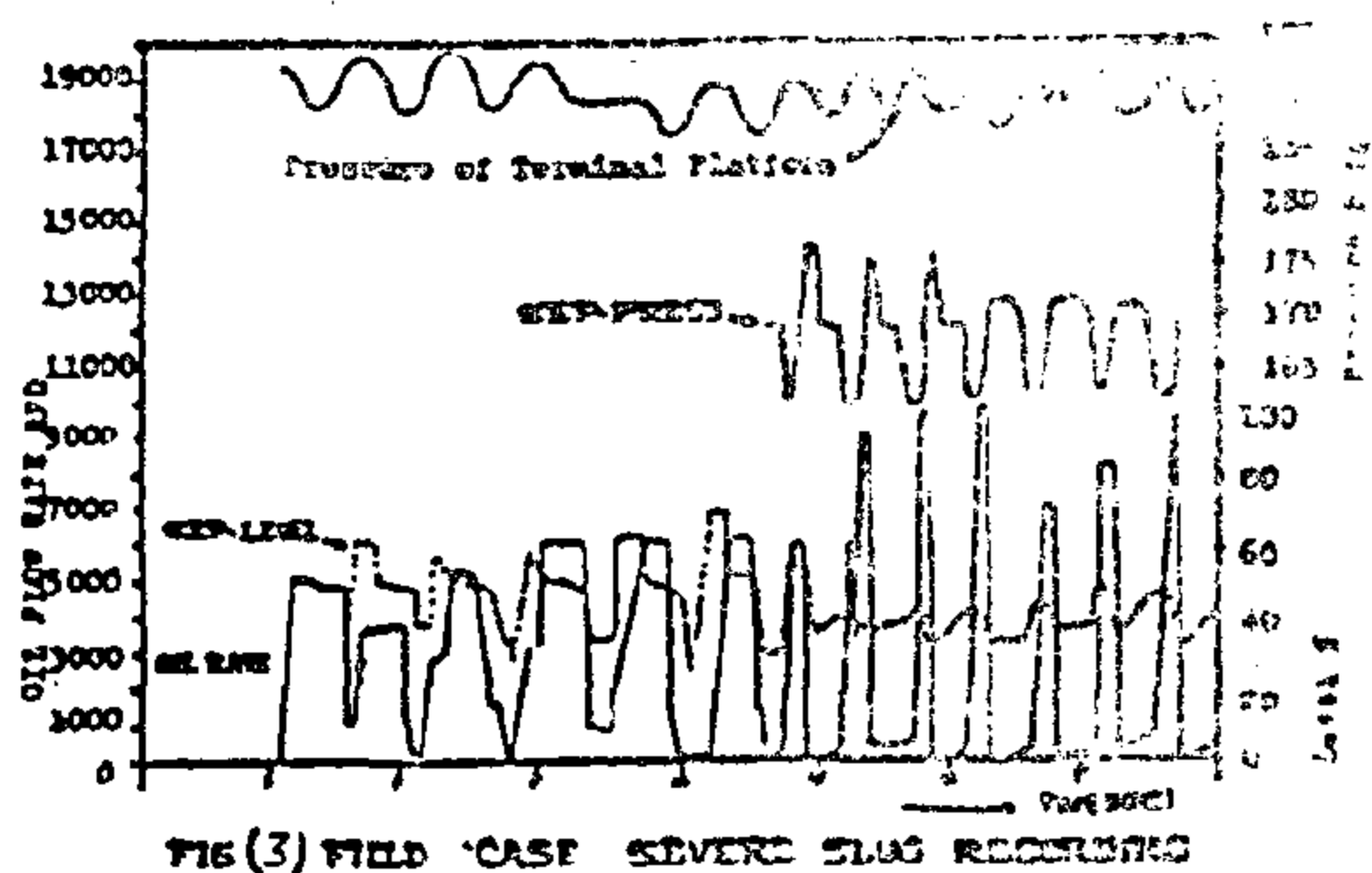


FIG (3) FIELD CASE SEVERE SLUG RECORDING

The liquid flow rate fluctuated between 0-9394 BPD. As a result of reducing the opening of the test separator inlet valve, the flow rate could gradually be stabilized at 3030 BPD while the pressure of the flow line stabilized at 177 psig instead of fluctuating between 164 and 190 psig as shown in fig. 4. The test separator which was exposed to unstable operating conditions got stabilized as shown in fig. 5.

SEVERE SLUGGING IN REAL PIPELINE/RISER-PIPE SYSTEM A CASE STUDY

Abdel Waly A. Abdel Waly, Aly A. Shama, and Mohy E. Sallaly

ABSTRACT

Severe slug flow was studied in an actual offshore pipeline/riser-pipe system where generation of slugs ranged in length from one to several riser pipe heights. Severe slugging occurrence was observed at low gas and liquid flow rates and for negative pipeline inclinations whereby measurements of oil and gas production rates become highly inaccurate and unreliable. Furthermore, production interruption due to shut down of oil handling facilities (such as separators, pumps, etc.) have been expected.

In this study, the basic program model used to predict the two phase flow pressure drop and flow pattern in the pipeline/riser system, is based on the Beggs and Brill correlation. The time build up calculations for slug generation and slug production are based on the study made by Schmidt, Doty and Dutta and Schmidt, Beggs and Brill. Actual field data are utilized to establish a severe slugging flow map for predicting the severe slug flow regime.

The study shows that various remedial techniques are capable of counteracting the severe slugging phenomenon. Injection of gas into the pipeline or riser pipe is proposed as a method for alleviating or reducing the severity of slugging. An increase in separating pressure and/or riserchoking are known to be possible means of decreasing the severe slugging effects.

INTRODUCTION

Two phase flow in pipeline frequency involves the formation of liquid slugs.

Handling of these slugs within a separator system can be extremely difficult if the slug size becomes abnormally long. When a long liquid slug reaches a separator, its liquid accumulates faster than it is discharged. This results in liquid level rise and carry over into the gas stream.

As a consequence of severe slugging, the pressure increases in the flow line and contribute to a back pressure build-up on the production wells reducing their productivity. Furthermore, flow rate measurements become less accurate due to sudden fluctuations in the oil and gas rates.

To cope with the described slugging phenomenon, the separator size must increase to accomodate liquid surges. Furthermore, for the flow measurements to be accurate, instruments with higher ranges have to be used. Hence it is desirable to find and implement a technique that can predict and control liquid slugs, help in properly designing new separation facilities and efficiently utilizing existing installed system instead of being compelled to replacing them.

The present study, concerns afield case-history. The production network for the referenced field consists of terminal, intermediate and satellite platforms. Some of the terminal platforms are not equipped with test separators, production from these platforms is tested at the intermediate platform. Severe slugging has been experienced in the incoming riser to the intermediate platform. Similar severe slugging has also been experienced on satellite platforms.

2. Seifert, W.K. and Howells, W.G., "Interfacially active acids in a California crude oil", *Analytical chemistry*, 41, No. 4 (April 1969), p. 554.
3. Cram, P.J., "Wettability studies with non-hydrocarbon constituents of crude oil", *Petroleum Recovery Research Inst., Research Report PR-17* (Dec. 1972).
5. Donaldson, E.C., "Oil-water-rock wettability measurements", *Preprints, American Chemical Soc. Div. of Petroleum Chemistry*, 26, No. 1 (March 29 - April 3, 1981) p. 110.
6. Denekas, M.O., Mattax, C.C. and Davis, G.T., "Effect of crude oil compositions on rock wettability", *Trans., AIME*, 216 (1959), p. 330.
7. Donaldson, E.C., Chilingrianl, G.V., and Yen, T.F. : "Enhanced oil recovery, I Fundamentals and analysis", Elsevier, Amsterdam (1985).
8. Sayyouh, M.H., Dahab, A.S. and Omar, A.E., "Effect of clay content on wettability of sandstone reservoirs", *Journal of Petroleum Science and Engineering*, Elsevier Science Publications (1989).
9. Anderson, W. G. "Wettability measurement", *Journal of Petroleum Technology*, (Nov., 1986), p. 1246.
10. Anderson, W.G., "The effect of wettability on the electrical properties of porous media", *Journal of Petroleum Technology*, (Dec., 1986), p. 1371.
11. Anderson, W.G., "Effects of wettability on capillary pressure", *J. of Petroleum Technology*, (Oct. 1987).
12. Anderson, W.G., "The effects of wettability on relative permeability", *J. of Petroleum Technology* (Nov. 1987), p. 1453.
13. Anderson, W.G., "The effects of wettability on water-flooding", *J. of Petroleum Technology* (Dec. 1987), p. 1605.
14. Cuiec, L.E., "Restoration of the natural state of core samples", paper SPE 5634, presented at the 50th Annual Fall Meeting of SPE of AIME, Texas (Sept. 28-Oct. 1, 1975).
15. Cuiec, L.E.; Longeron, D. and Pacsirszky, J., "On the necessity of respecting reservoir conditions in laboratory displacement studies", paper SPE 7785, presented at the Middle East Oil Technical Conference of SPE, Bahrain (25-29 March 1979).
16. Cuiec, L., "Rock/crude-oil interactions and wettability An attempt to understand their inter-relation", paper SPE 13211, presented at the 59th Technical Conference of SPE, Texas (Sept. 16-19, 1984).
17. McCoffery, F.G., "Measurement of interfacial tensions and contact angles at high temperature and pressure", *J. Cdn. Pet. Tech.* (July-Sept. 1972).
18. Institute of Petroleum : "Standard methods for testing petroleum and its products", (1948).
19. Trieber, L.E., Archer, D.L. and Owens, W.W. : "A laboratory evaluation of the wettability of fifty oil producing reservoirs", *SPE J.*, (December 1972) pp. 531-540.
20. Somerton, W.W. and Radke, C.J., "Role of clays in the enhanced recovery of petroleum from some California sands", *JPT* (March 1983).
21. Hjelmeland, O.S. and Larrondo, L.E., "Experimental investigation of the effects of temperature, pressure, and crude oil composition on interfacial properties", *SPE J.*, (July 1986), p. 321.

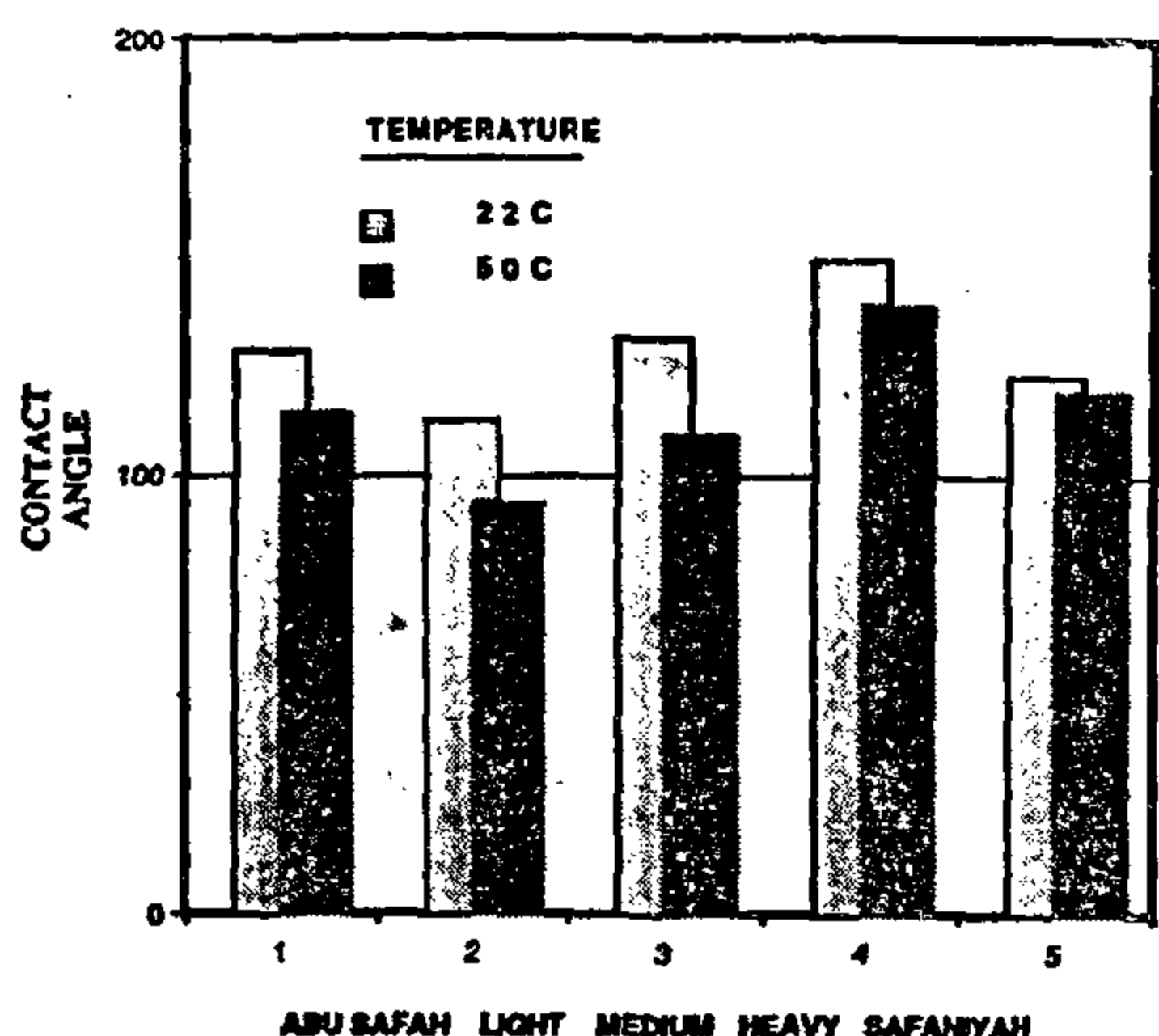


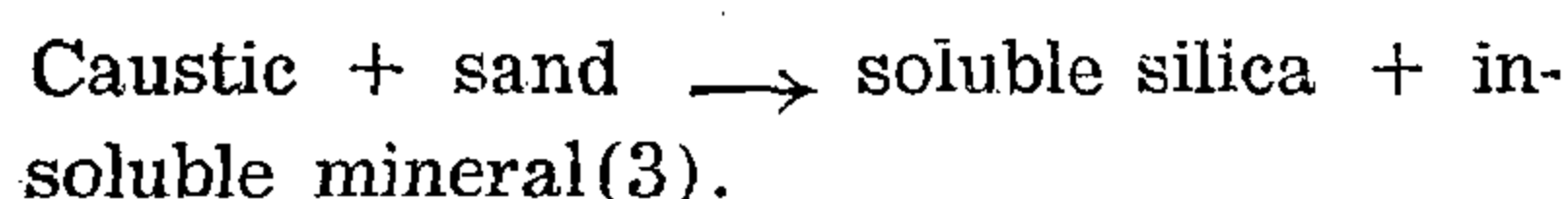
FIGURE (15) EFFECT OF TEMPERATURE ON CONTACT ANGLE FOR DIFFERENT CRUDES USING DISTILLED WATER

As seen from the results obtained from the present investigation, increasing temperature tended to make the core oil-wet for all Saudi crude oils tested when NaCl and NaOH solutions were used as shown in Figures 3 through 10. This effect has not been reported yet in the literature. This may be explained qualitatively by sodium / hydrogen / weak-acid exchange with the reservoir rock as



where, MH is the ionizable surface acid groups.

This equation implies that sodium/hydrogen ion exchange would quantitatively obey a Langmuir isotherm. Likewise Bunge⁽²⁰⁾ demonstrates that the mass-action equilibrium of the above equation can reflect increased hydroxyl uptake at higher temperatures. On the other hand, sand (silica) is reacting with alkaline chemicals, and the reactions could be represented by the following equation :



This reaction involves the formation of soluble silica. The presence of silica ions will tend to retard the chemical reaction. This behavior may be also due

to the wettability altering compounds of the crude will adsorb on the surface at higher temperature.

The effect of pressure was not studied in this work. The previous research, however, showed that the pressure is much less important than temperature⁽²¹⁾.

CONCLUSIONS

Based on the results obtained in this investigation, the following conclusions can be drawn :

1. Contact angle increased with increasing Saudi Crude oil acidity at both 22 and 50°C for all NaOH concentrations used.
2. When the pH was alkaline, the rock surface tended to be oil-wet.
3. Contact angle tends to decrease with increasing pH, up to pH 10; thereafter, it shows an increase with further increase in contact angle at 22°C.
4. For all pH values of the aqueous phase used, increasing the pH increased the contact angle at 50°C for all crude oils.
5. The Saudi crude oil/brine/rock system was found to be more oil-wet at elevated temperature when using NaCl and NaOH solutions.
6. The contact angle was decreased as the temperature was increased from 22° to 50°C when distilled water was used. Adding NaCl and NaOH to distilled water, contact angle increased as the temperature was increased.

REFERENCES

1. Anderson, W.G., "Wettability literature survey - part 1 : Rock/oil/brine interactions and the effects of core handling on wettability", Journal of Petroleum Technology, (October, 1986), p. 1125.

where

$\sigma_{s/o}$ = interfacial tension between solid and oil

$\sigma_{s/w}$ = interfacial tension between solid and water

$\sigma_{o/w}$ = interfacial tension between oil and water

θ = contact angle

The fact that $\sigma_{o/w} \cos \theta$ is not a constant value, but rather a function of pH, means that $(\sigma_{s/o} - \sigma_{s/w})$ is also a function of pH. It is mathematically possible to have changes in oil-water interfacial tension, $\sigma_{o/w}$, and contact angle, θ such that the product $\sigma_{o/w} \cos \theta$ will remain constant. If that is the case, the value of $(\sigma_{s/o} - \sigma_{s/w})$ will remain constant. If the surface effects at the oil/solid interface will not be a function of the pH of the water used, the dependence of $(\sigma_{s/o} - \sigma_{s/w})$ upon pH can then be related to the changes in $\sigma_{s/w}$ only. No solid information is available about the dependence of $\sigma_{s/w}$ upon pH; however, the following analysis is suggested.

Since water is a polar compound (i.e., each of its molecules possesses a net positive charge on one side of the molecule and a net negative charge on the other side), its adhesive forces (due to electrostatic attraction) with the solid surface will be higher, the higher the charge the higher the adhesive force on that surface. Since the negative charge on sand surface increases, and consequently $\sigma_{s/w}$ decreases (i.e. θ decreases from equation 1), with pH, it is expected to have an increase in the absolute value of $(\sigma_{s/o} - \sigma_{s/w})$ up to pH 10 where sand surface attains its maximum negative charge. Over pH 10, compression of the electric double layer occurs and the absolute value of zeta potential decreases. Consequently, $\sigma_{s/w}$ increases (i.e. θ increases from equation 1).

Experiments with quartz show that quartz is strongly water-wet by pure NaCl solutions and become oil-wet where NaOH is added⁽¹⁾. These results confirm the results obtained in this investigation.

Figure 13 also shows that the contact angle was affected by the pH in such a manner that the values of pH higher than 14 resulted in an abrupt increase of the contact angle. This may be due to an increase of reaction rate at higher values of pH.

Results of contact angle measurements with the crude oils at a temperature of 50°C are shown in Figure 12. The contact angle increases with increasing pH for all crude oil used at 50°C.

In this case, the hydroxide ions react with the organic acids in the crude oils producing surface-active agents that lower the interfacial tension and alter the wettability of the rock. At alkaline pH, the alkali adsorbs on the rock and making the surface oil-wet. In addition asphaltenes may deposit on the rock and promote making the rock oil-wet conditions at higher temperature.

Effect of Temperature on Wettability

Anderson⁽¹⁾ in his recent series of review papers reported that changing the temperature tends to make a core more water-wet at higher temperature. This behavior was attributed to the increase in the solubility of wettability-altering compounds by increasing temperature. This confirm the results obtained in the present investigation when using distilled water for all crudes as shown in Figure 15.

because the surfactants in the crude oils are composed of a large number of complex compounds, their chemical structure has not yet been completely elucidated. The compounds are high molecular weight, aromatic compounds with acidic functional group that react and adsorb on rock surface and these alter wettability.

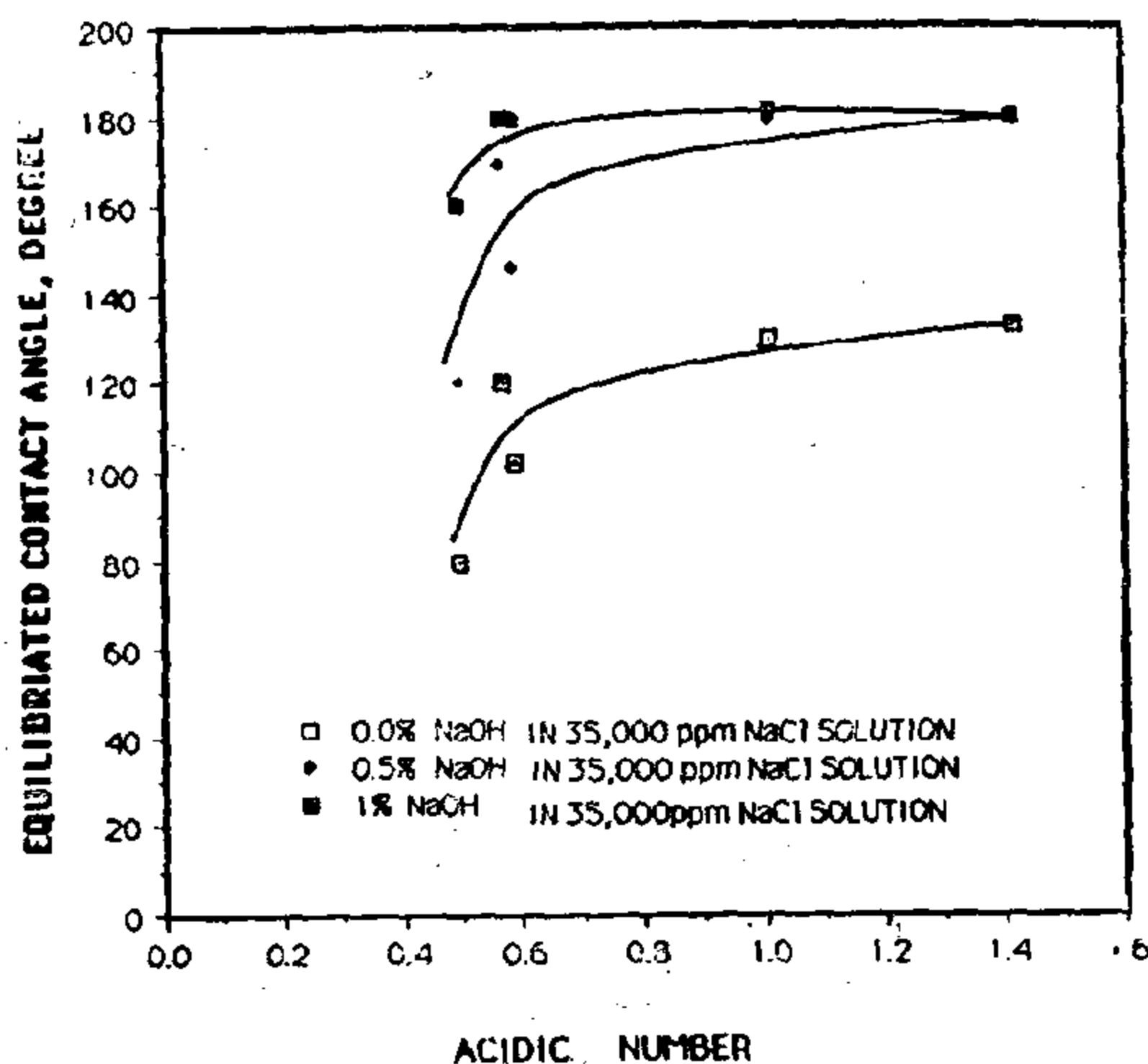


FIGURE 11. EFFECT OF ACIDIC NUMBER ON CONTACT ANGLE USING 0, 5 AND 1% NaOH

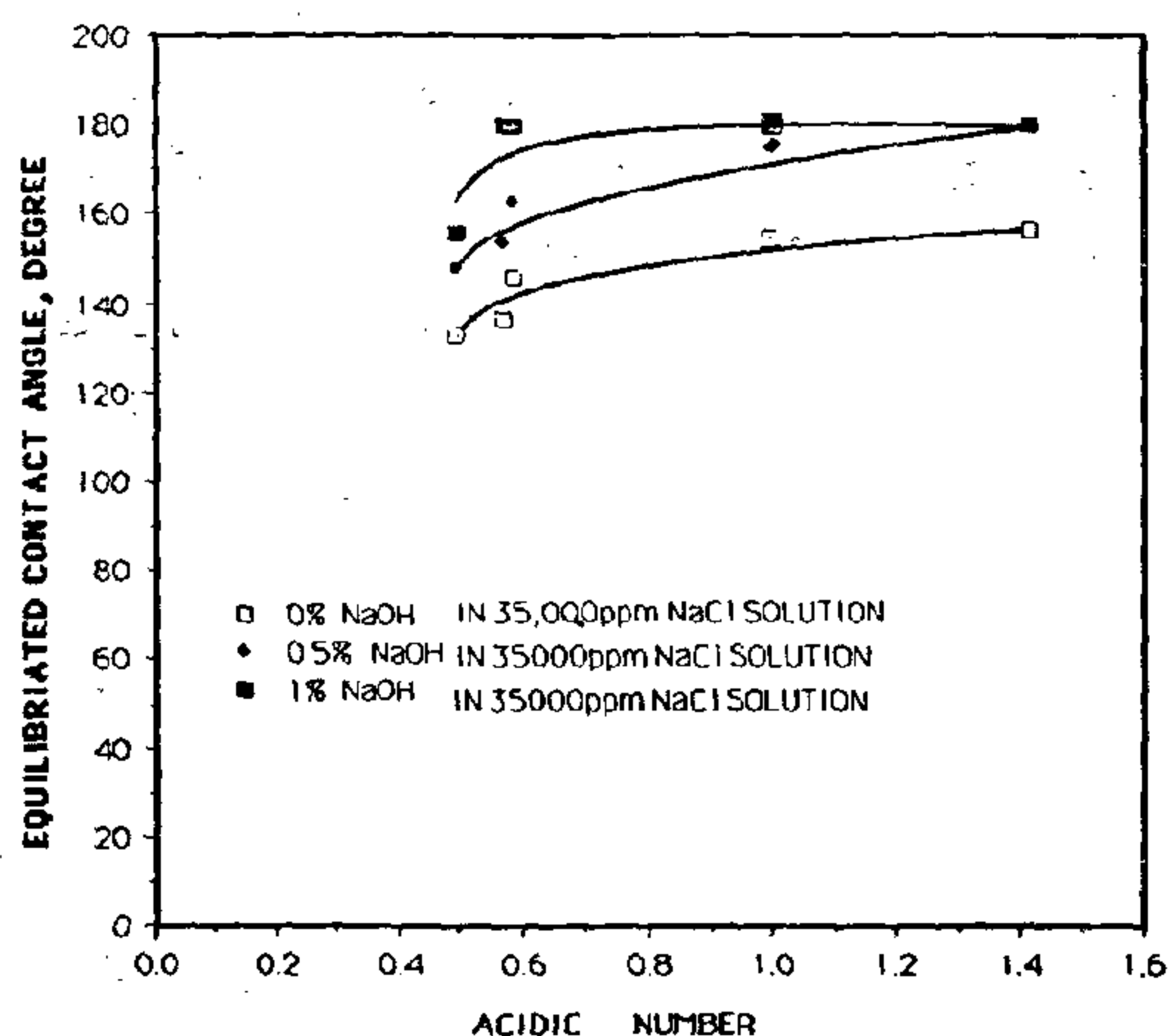


FIGURE 12. EFFECT OF CRUDE ACIDIC NUMBER ON CONTACT ANGLE USING 0, 5 AND 1% NaOH AT 50°C

Effect of pH on Contact Angle

The pH of the aqueous solution is an important factor affecting wettability because it strongly affects the surface charge of the rock and the fluid interfaces. Figure 13 and 14 show the effect of the

effect of the pH on the contact angle measurements at 22 and 50°C respectively.

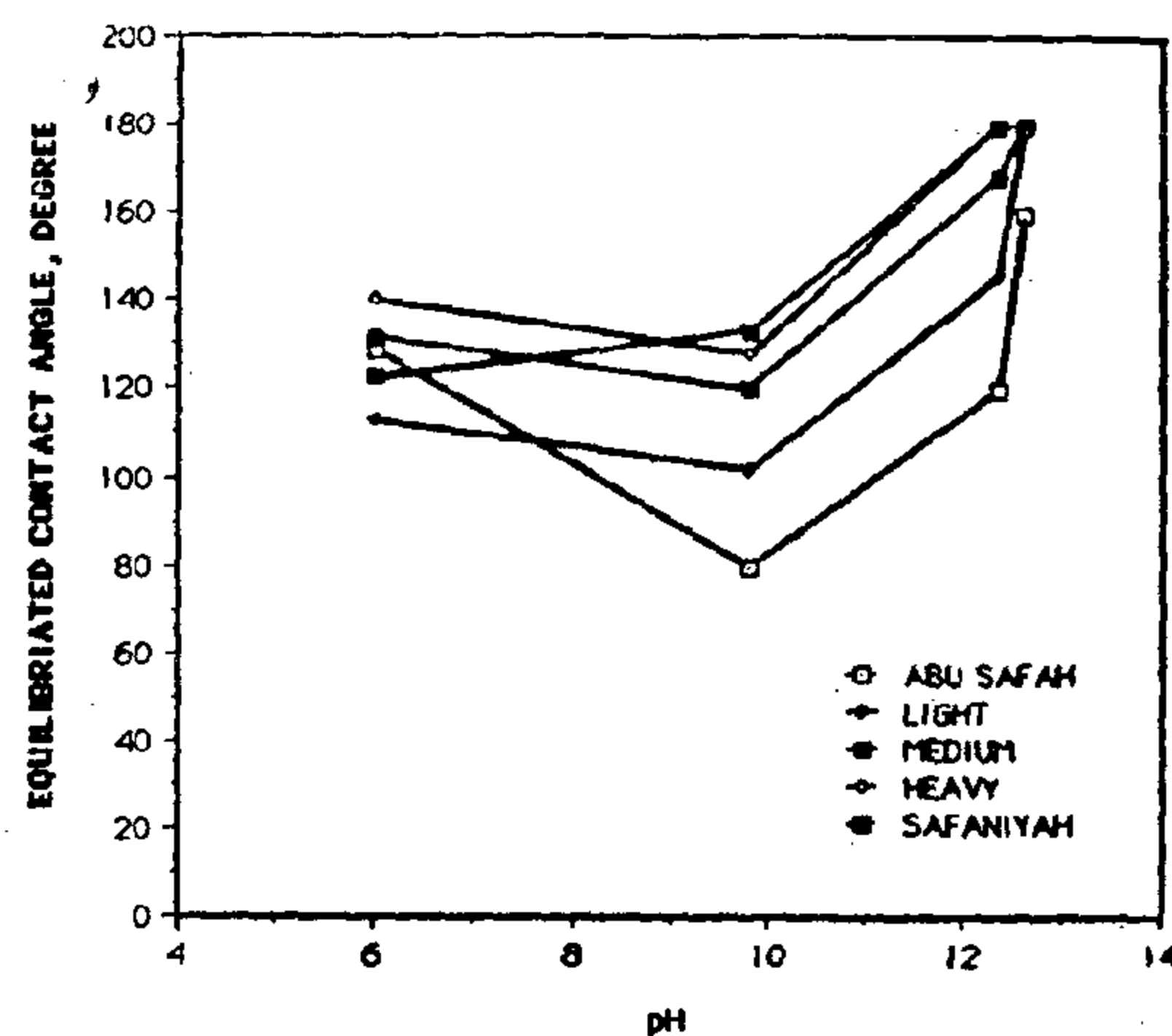


FIGURE 13. EFFECT OF pH ON CONTACT ANGLE AT 22°C

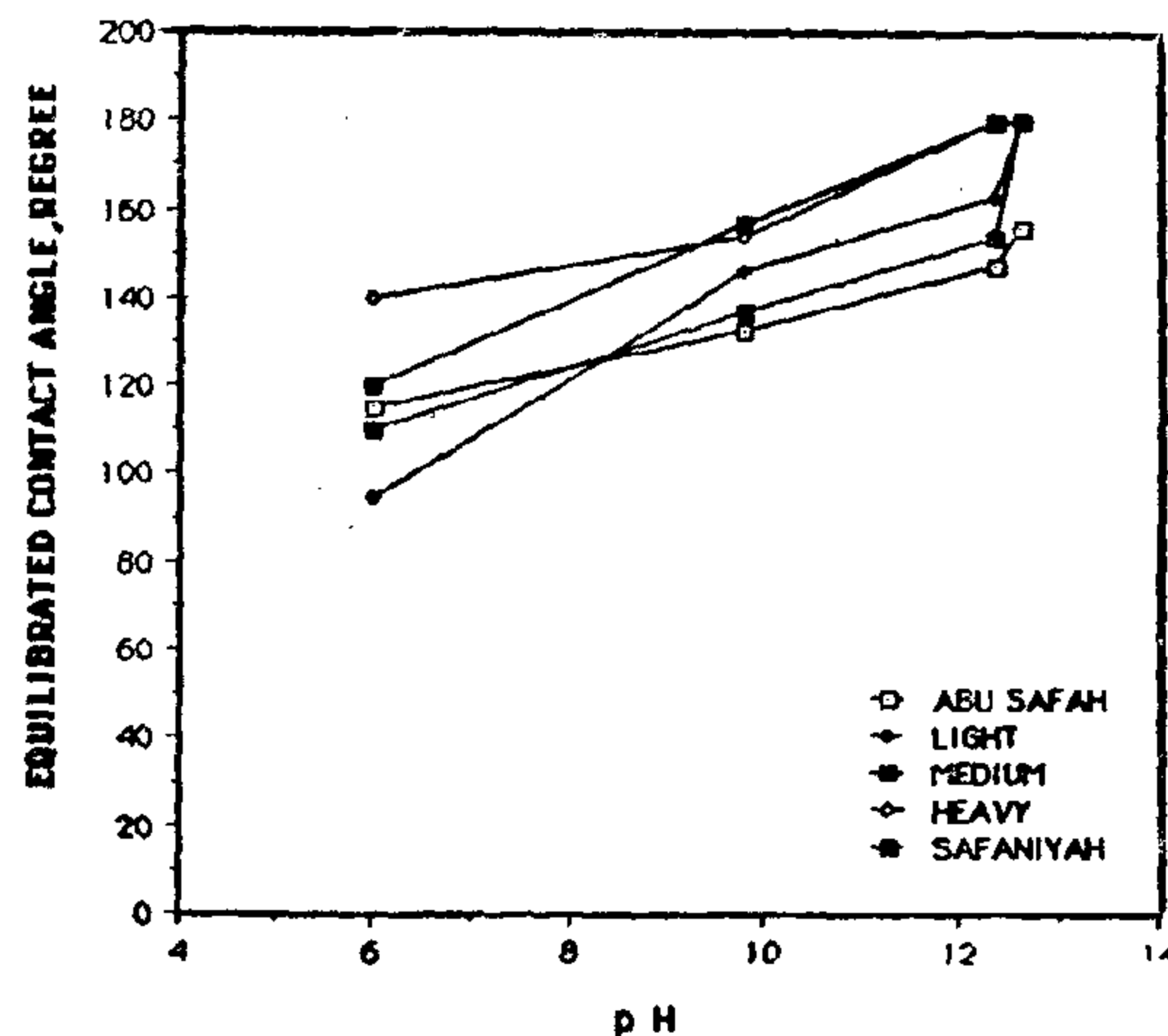


FIGURE 14. EFFECT OF pH ON CONTACT ANGLE AT 50°C

The contact angle decreases with increasing the pH, up to a pH 10, and thereafter it showed an increase with further increase in pH for crude oils used at 22°C (Figure 13).

The surface forces in a solid-water-oil system (Figure 2) are related by the well-known Young's Dupre equation as follows :

$$\sigma_{s/o} - \sigma_{s/w} = \sigma_{o/w} \cos \theta \quad (1)$$

Figures 7 through 10 show the results of contact angle measurements for the crude oils and distilled water, 0, 0.5 and 1% NaOH in 35,000 ppm NaCl at 50°C. The results were almost identical of those obtained at 220°C.

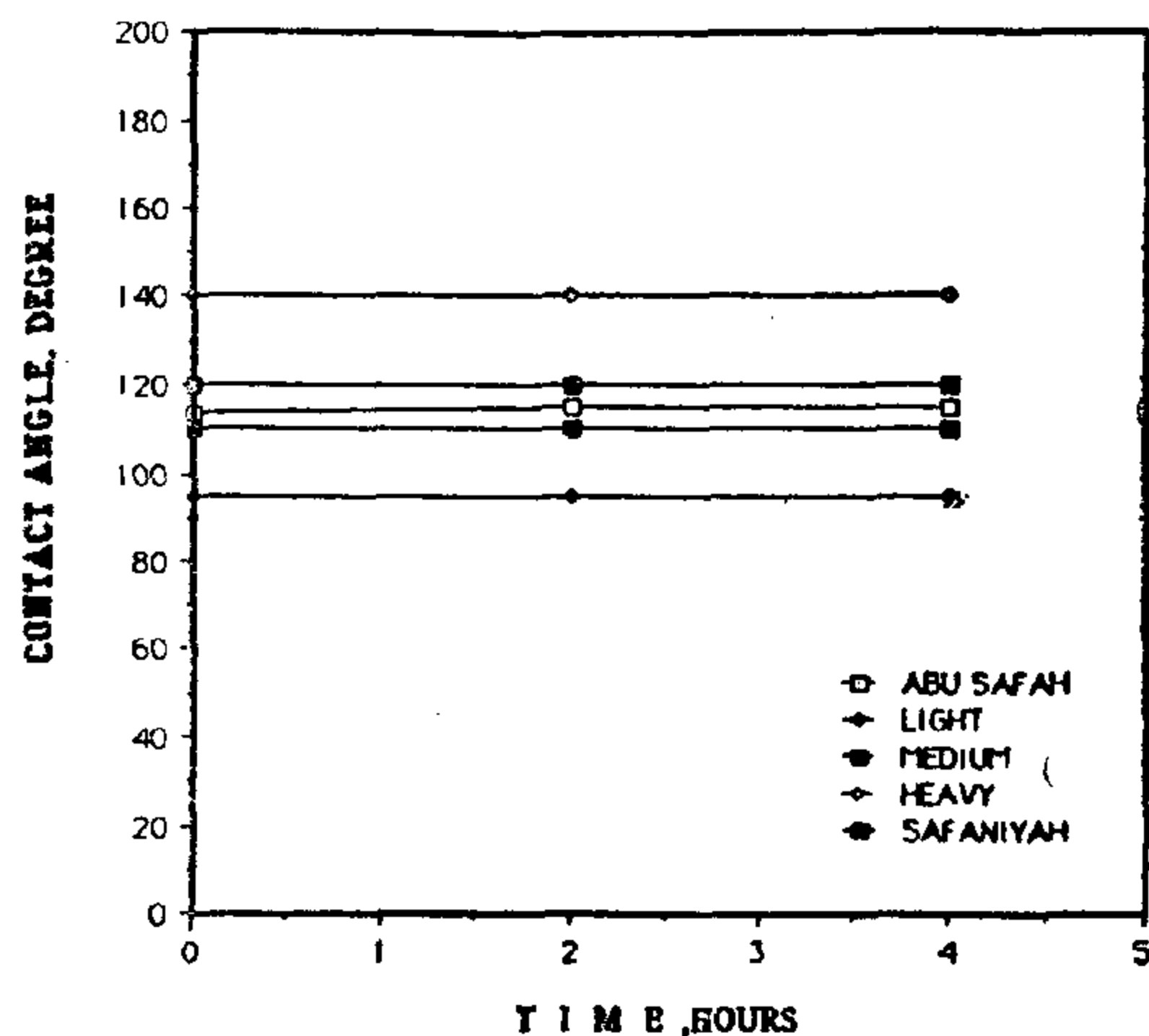


FIGURE 7. CONTACT ANGLE VS. TIME FOR SAUDI CRUDE OILS IN DISTILLED WATER AT 50°C.

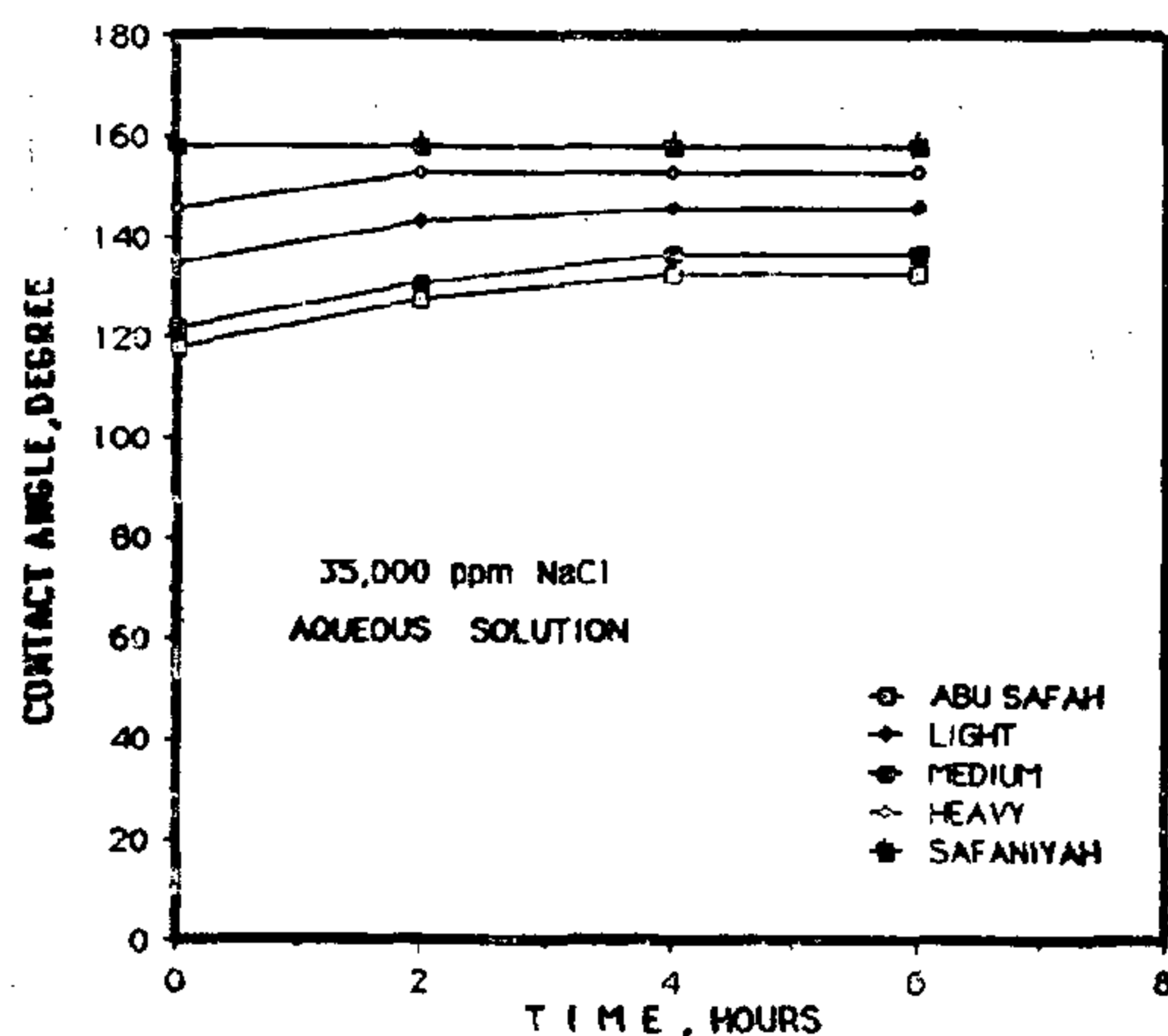


FIGURE 8. CONTACT ANGLE VS. TIME FOR SAUDI CRUDE OILS AT 50°C.

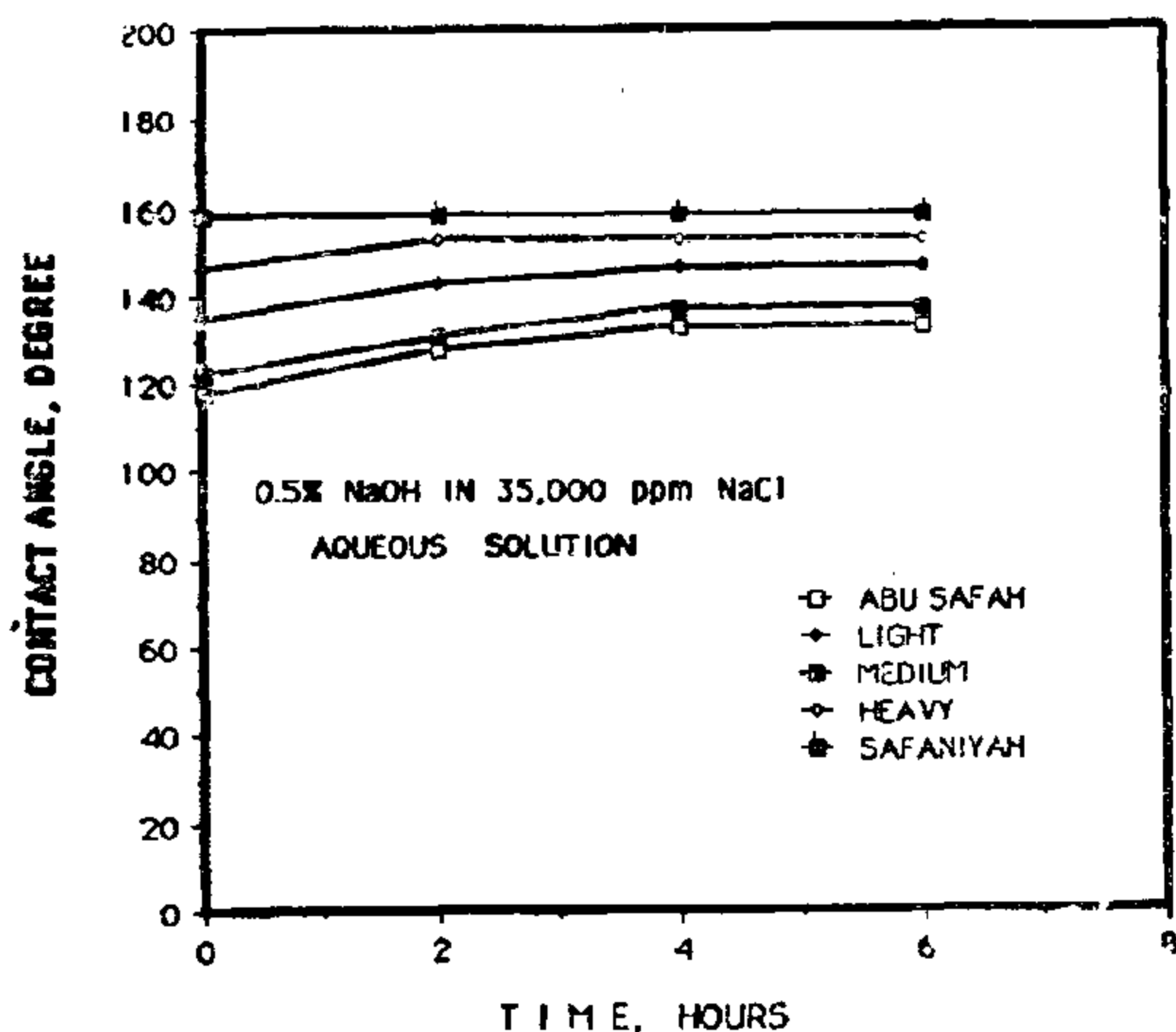


FIGURE 9. CONTACT ANGLE VS. TIME FOR SAUDI CRUDE OILS AT 50°C.

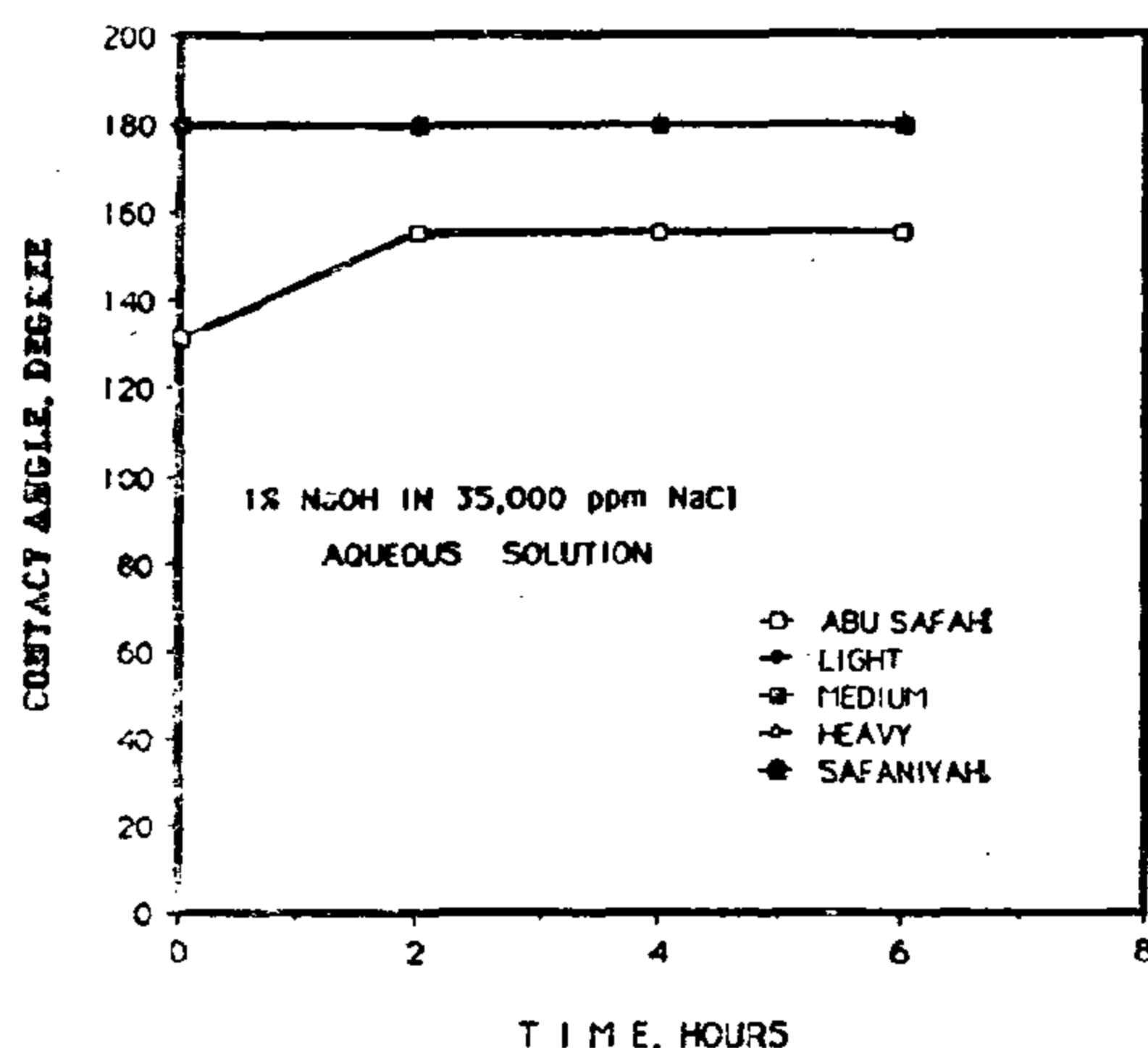


FIGURE 10. CONTACT ANGLE VS. TIME FOR SAUDI CRUDE OILS AT 50°C.

The equilibrium time for contact angle at 50°C was less than required for attainment of equilibrium at 22°C. Equilibrium was attained after only 2 hours. The most important observation was that the contact angles were greater at the higher temperature, when using NaCl and NaOH solutions.

Effect of Crude Oil Acidity on Contact Angle

Figure 11 shows the variation of contact angle with respect to the acid number of the crude oils tested in this investigation. The high acidity crude oil made the core oil wet. A small increase in acid number (from 0.4 to 0.5) caused a sharp increase of the contact angle. Acid numbers greater than 0.6, caused gradual changes of contact angle for all NaOH concentrations (0.0, 0.5 and 1%) as shown in figure 11. The same behavior was observed at the higher temperature, 50°C, as shown in Figure 12. This effect has not yet been reported in the literature.

Although, the natural surface active materials of the crude oil are found in a wide range of petroleum fractions, they are more prevalent in the heavier fractions of crude(1). Figures 11 and 12 indicate that contact angle was affected by the acidity of the crude oils; however,

RESULTS AND DISCUSSION

To investigate the effect of Saudi crude oil/brine/rock interactions on wettability, sandstone samples and five different Saudi crude oils were used for measuring the contact angles of the oil/water interface within rock surface. All measurements were conducted at the same conditions. All aqueous solutions were freshly prepared just before they were used. All contact angle data were the average of at least four drops measurements. The contact angle obtained after equilibrium contact angle obtained after equilibrium was used for discussion of the results.

Figures 3 through 6 represent the results of contact angle measurements for different crude oils (Abu Safah, light, medium, heavy and Safaniyah crudes) using distilled water, 0, 0.5 and 1% NaOH in 35,000 ppm NaCl solution at 22°C. The contact angle attained equilibrium after about 20 hours for all crudes. When Abu Safah crude oil and 35,000 ppm NaCl was used, the rock surface was water-wet, however the rock sample was oil wet when the other crude oils and the same aqueous solution were used as shown in Figure 4. With 0.5% NaOH in 35,000 ppm NaCl, the rock surface was oil-wet for all crude oils tested as shown in Figure 5. Figure 5 also indicates that using Safaniyah and heavy crude oil resulted in contact angles of almost 180

degrees. Figure 6 shows that increasing NaOH concentration to 1% resulted in an increase of the contact angle to almost 180 for all crude oils except Abu Safah.

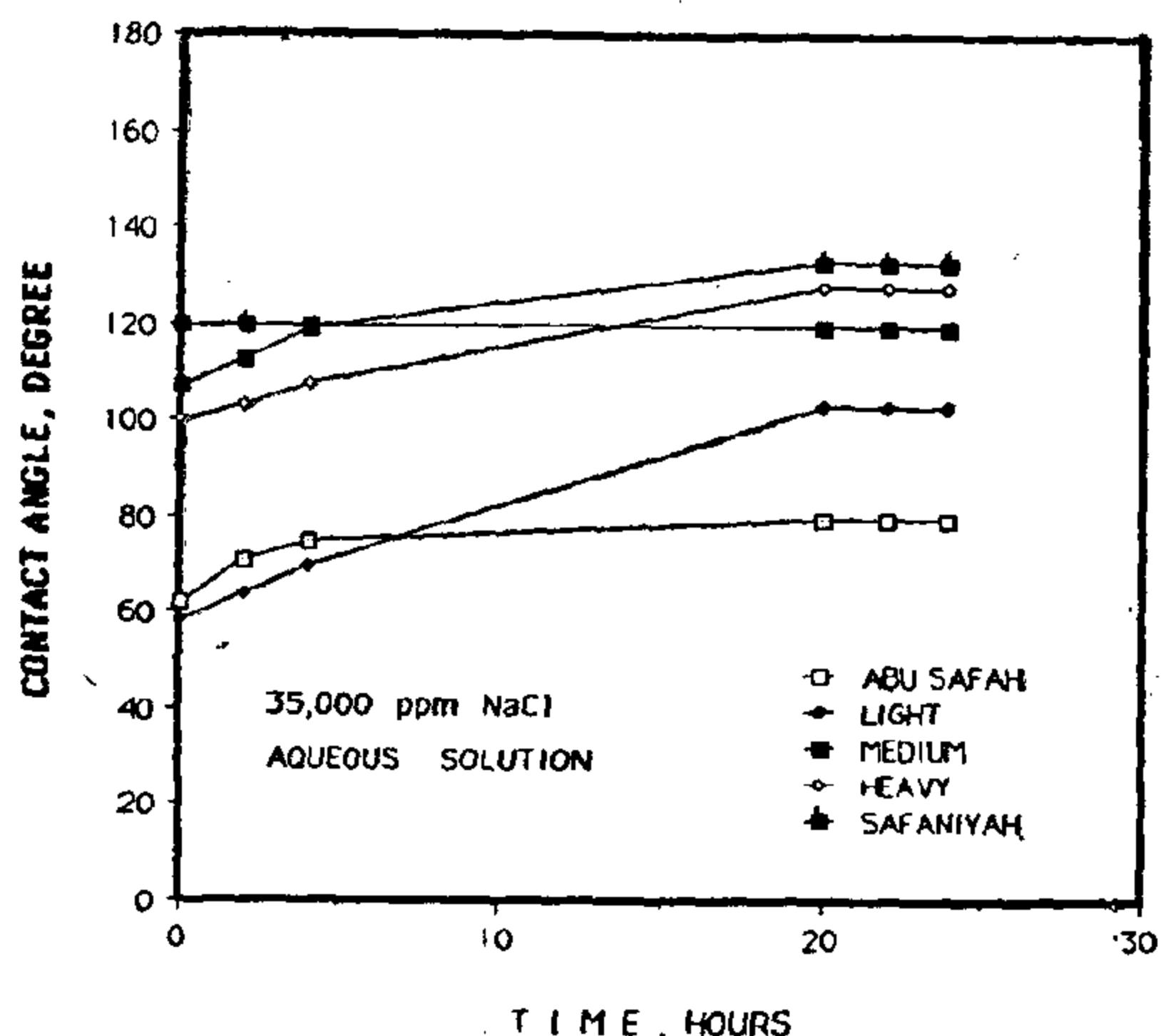


FIGURE 4. CONTACT ANGLE VS. TIME FOR SAUDI CRUDE OILS AT 22 °C.

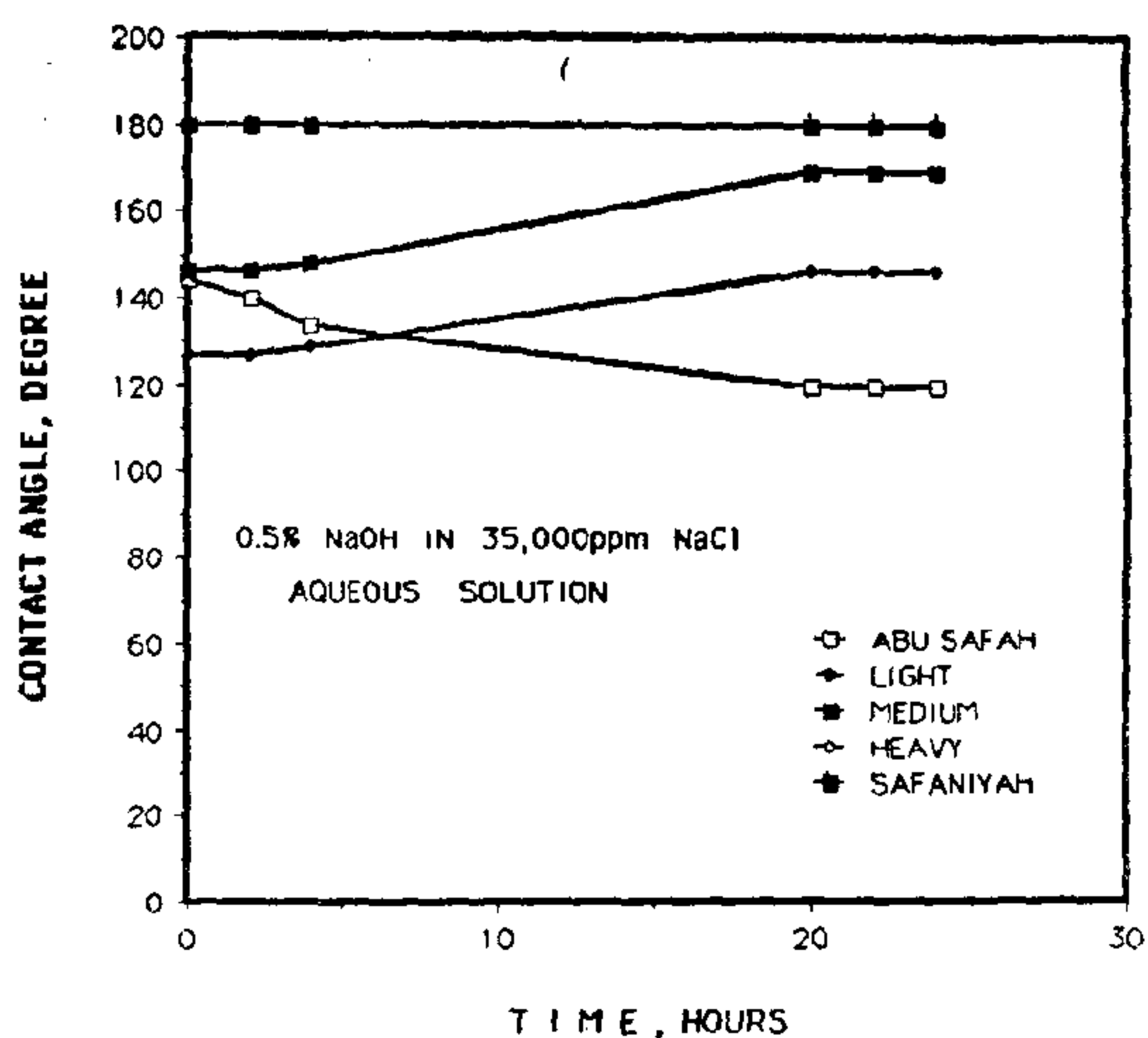


FIGURE 5. CONTACT ANGLE VS. TIME FOR SAUDI CRUDE OILS AT 22 °C.

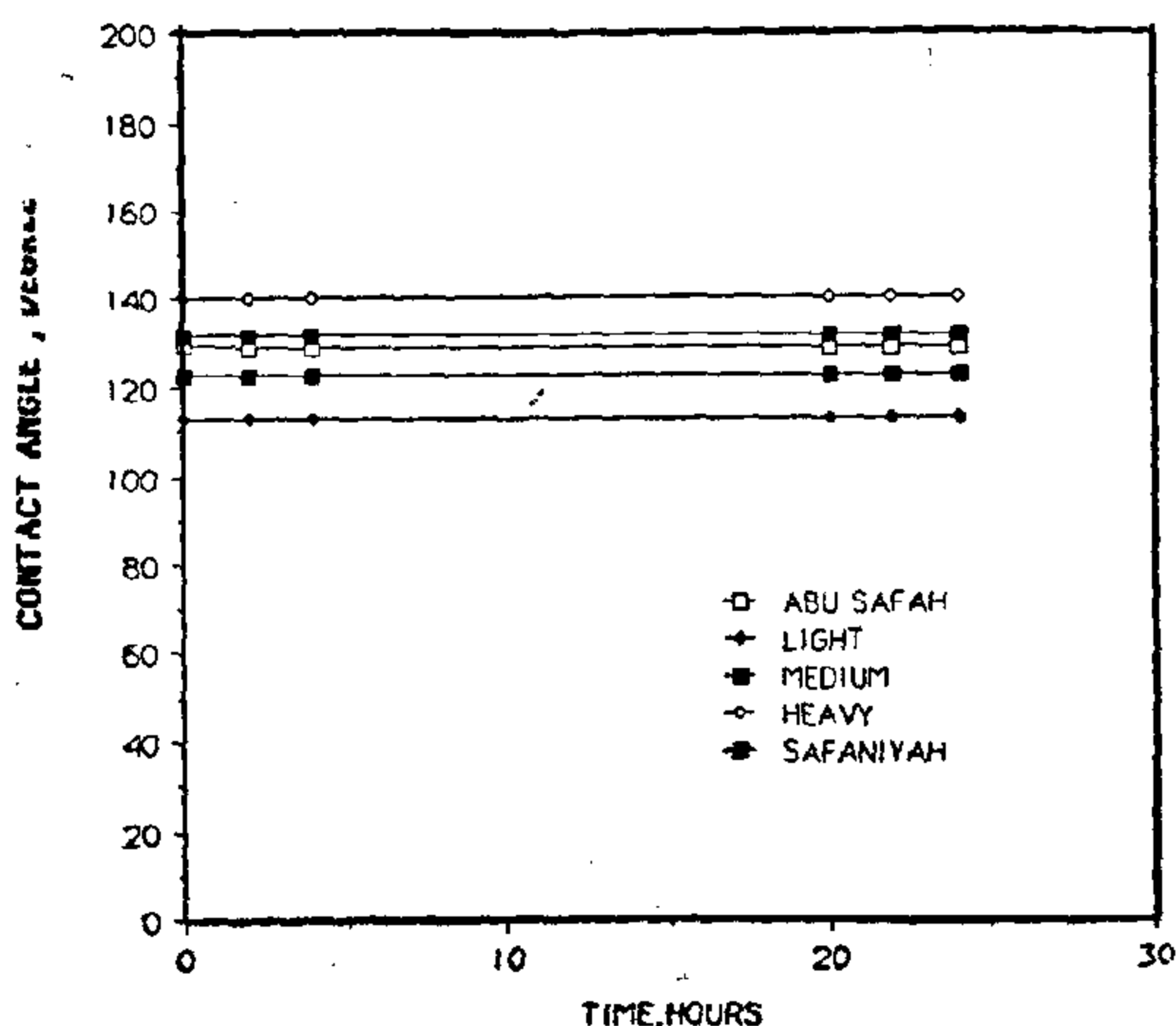


FIGURE 3. CONTACT ANGLE VS. TIME FOR SAUDI CRUDE OILS IN DISTILLED WATER AT 22 °C.

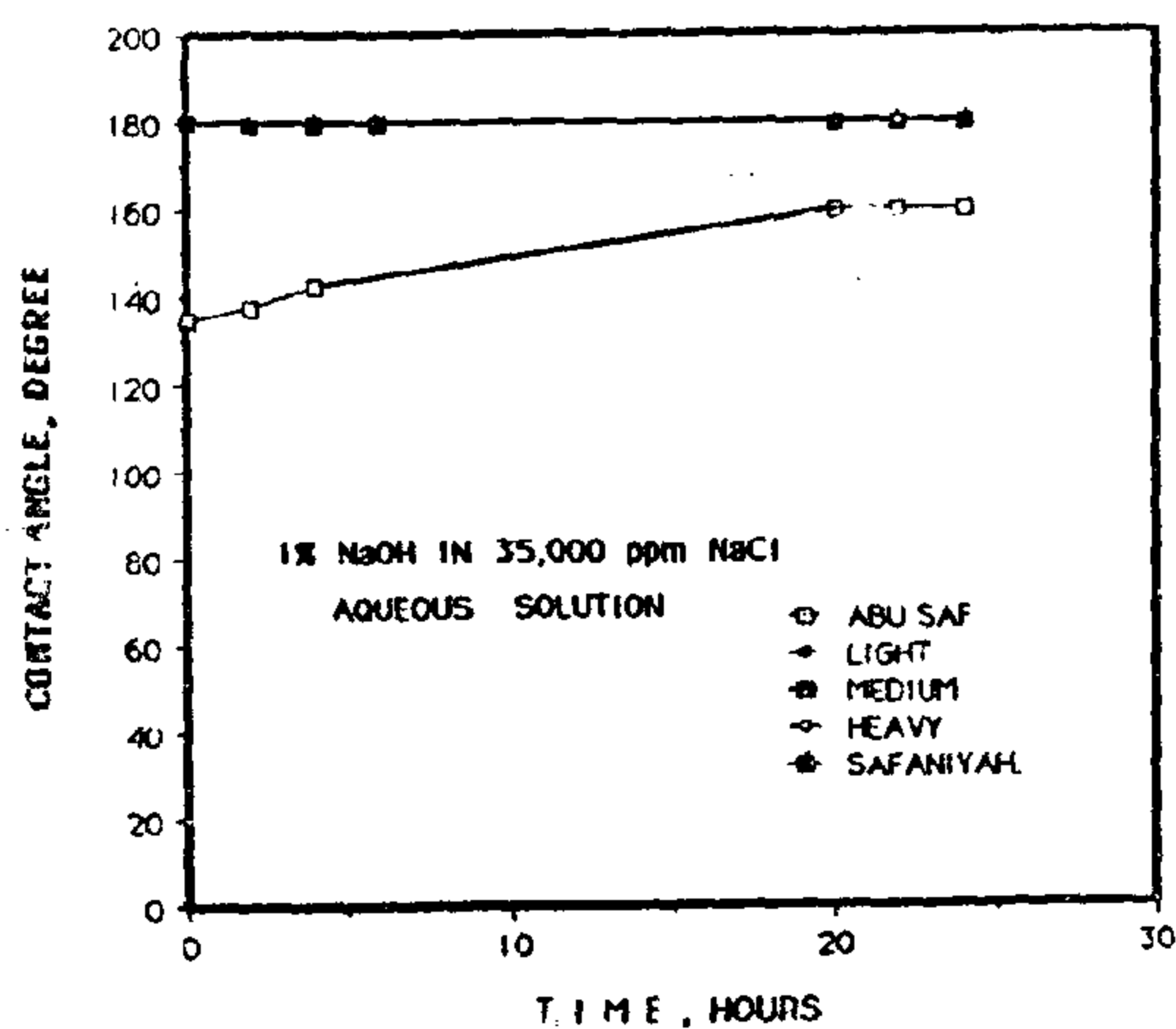


FIGURE 6. CONTACT ANGLE VS. TIME FOR SAUDI CRUDE OILS AT 22 °C.

The surface properties of sandstones may be greatly modified by contact with crude oil under reservoir conditions. The change produced depends on the crude oil and may go all the way to reversing the wettability in the case of a crude oil rich in polar products⁽¹⁴⁾.

The wettability measurements were made using the contact angle method⁽¹⁹⁾ Figure 1 shows a schematic diagram of the apparatus used in measuring contact angle between the crude oil and the aqueous solution. A camera was used to take picture of the oil droplet. The oil droplet was placed on the bottom of a

very smoothed surface of a sandstone sample immersed in the aqueous solution (Figure 2). The equilibrated contact angles were then measured from the photographs. All measurements were carried out at both laboratory temperature of 22°C and at elevated temperature of, 50°C. Each contact angle at any time is measured more than four times exactly under the same experimental conditions, and the average value of these measurements is reported. Different sandstone samples from the same area (having the same composition presented in Table 1) were used for each crude oil.

Table 2 - Physical Properties of Different Crude Oils

Crude oil (from Saudi fields)	Acidic number	Specific gravity	Surface tension (dyne/cm)	API	Flash point temperature (°C)	Pour point (°C)	Cloud point (°C)	Separated volume under vacuum distillation (%)		
								Gas oil	Wax distillate	Bottoms
Heavy	1.0	0.885	30.4	28.200	23	-3	0	8.4	16.6	75.0
Light	0.57	0.850	28.8	34.970	18	-22	-16	15.4	5.6	81.0
Safaniyah	1.4	0.860	28.1	33.030	20	-2	2		8.6	91.4
Abu-Safah	0.5	0.855	28.7	33.970	21	-4	2	7.0	12.6	80.4
Medium	0.6	0.870	27.6	31.143	19	-25	-17	6.0	10.0	84.0

Table 3 : Reservoir Data of Different Crude Oils

Crude oil	Original pressure (PSIG)	Depth (FT)	Tempe- rature (°F)	Saturation pressure (PSIA)	Solution GOR (SCF/STB)	Formation volume factor (RB/STB)	Sulfur weighted avg.	Permea- bility (md)	Rock Porosity (%)	Connate Saturation (fraction)
Abu-Safah	3250	6535	192	305	100	1.0730	2.7	440	24.4	0.136
Light	3627	7300	218	411	150	1.143	1.9	268	19.0	0.14
Medium	3635	7300	218	411	139	1.33	2.0	776	26.0	0.14
Heavy	3624	7300	220	423	150	1.141	2.2	180	21.0	0.20
Safaniyah	2640	5275	160	566	132	1.1	2.9	3800	26.0	0.12

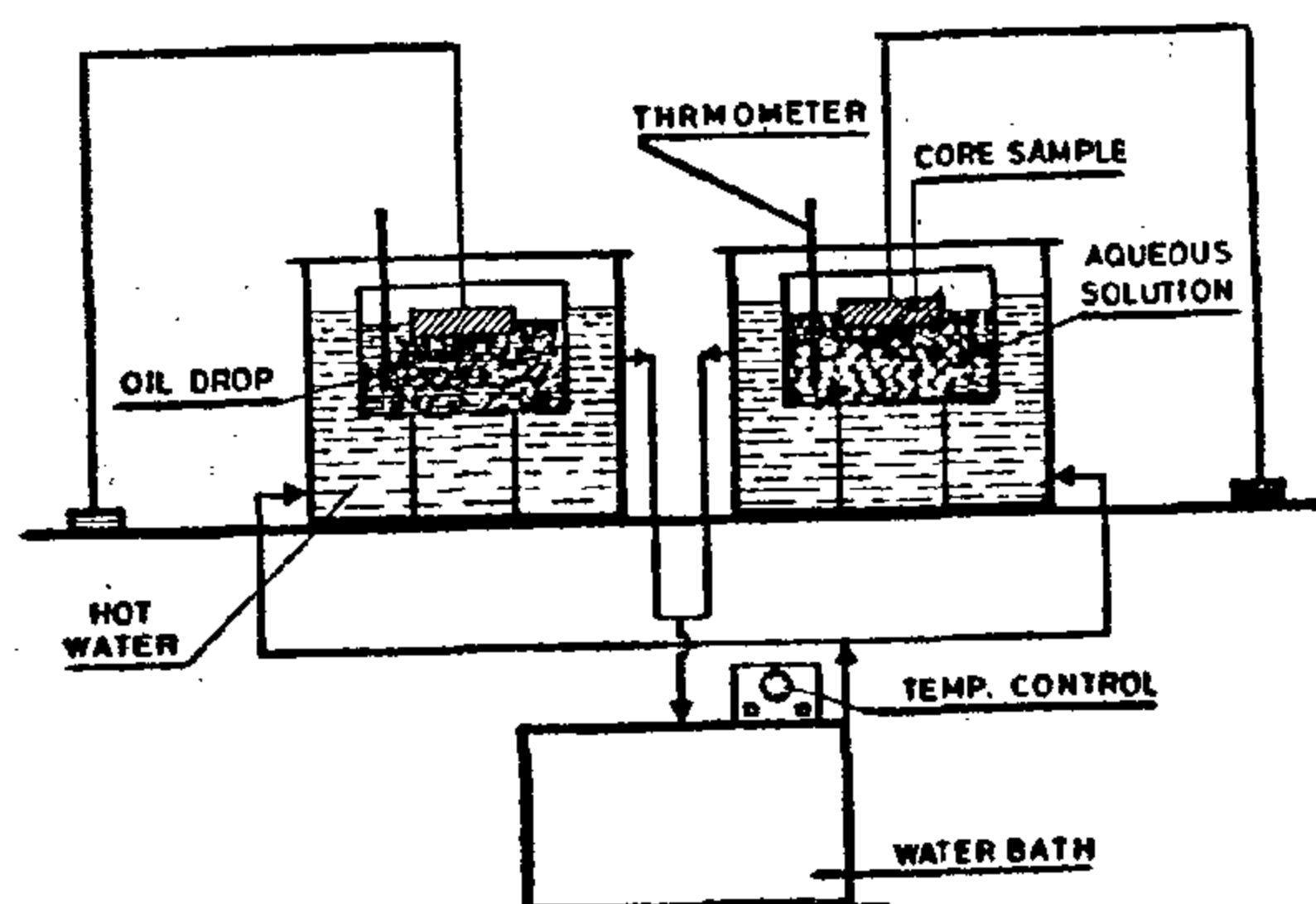


FIGURE 1. Contact Measurement Apparatus

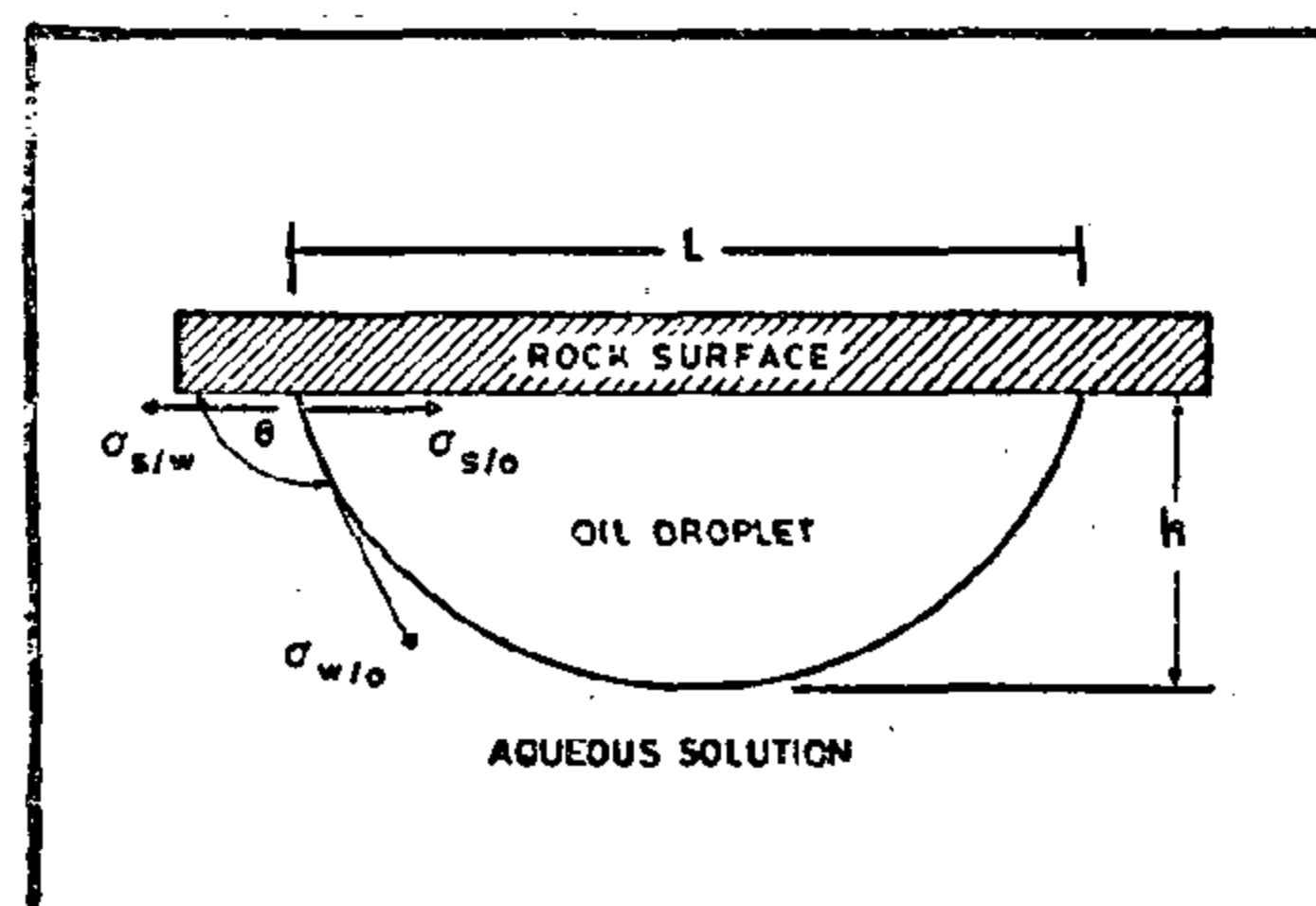


FIGURE 2. Oil Droplet Dimensions

is acidic, they are normally repelled from the silica surface and attracted to the limestone/dolomite surface⁽⁷⁾.

In a previous study carried out by Sayyoun et al⁽⁸⁾ it was found that the contact angle increased with increasing clay content of sandstone when 0 and 35000 ppm NaCl solutions were used. The presence of alkaline in a saline solution made the system preferentially oil wet. The same study also showed that no effect of clay content on contact angle was observed in the presence of polymers. The polymers adsorb and coat the surface of the clays thus neutralizing their effect⁽⁸⁾.

Several papers have recently been published reviewing the effect of wettability on electrical properties, capillary pressure, relative permeability of the porous medium and waterflooding^(9,13).

A procedure for restoring original rock surface properties was described by Cuiec et al⁽¹⁴⁾. Another two papers by the same author presented an attempt to understand the rock/crude oil interactions and wettability and the necessity of respecting reservoir conditions in displacement tests^(15,16). No correlation was found between wettability and various characteristics. But some correlation was found between sulfur content, asphaltenes and wettability.

Mc Coffery⁽¹⁷⁾ measured the water advancing contact angle on quartz n-tetradecane and brine. The contact angle was about 40° at 25°C, but decreased to about 15° as the temperature was raised to 150°C.

The principal objective of this research was to investigate the alteration of wettability of some Saudi sandstone samples using five Saudi crude oils. The effect of alkaline pH and temperature on rock wettability for different crudes were also studied.

EXPERIMENTAL WORK

The sandstone cores were obtained from wells in the Aramco production area in the Eastern part of the Kingdom. The procedures of cleaning reservoir core samples presented by Cuiec^(14,15) were used in this study. The composition of the sandstone cores is shown in Table 1.

Table 1 Mineralogical Composition of Sandstone Cores

Quartz (wt %)	Feldspar (wt %)	Other Minerals (wt %)	Clays* (wt %)
65	3	4	6

* Contain 40% kaolinite, 27% chlorite, 17% illite and 6% montmorillonite

The acid number of different crude oils was determined using an ASTM procedure⁽¹⁸⁾. Solvent mixture and crude oil sample were titrated with potassium hydroxide (KOH). The titrant volumes were plotted against the measured millivolts of the mixture and the upper and lower peaks were determined. The average acid number (mg KOH/gm crude) of the five crude oils were then determined. The general characteristics and properties of the five crude oils are presented in Table 2.

The aqueous solutions were : (1) distilled water, (2) 35,000 ppm NaCl, (3) 0.5% (by weight) NaOH in 35,000 ppm NaCl and (4) 1.0% (by weight) NaOH in 35,000 ppm NaCl.

There are three accredited ways for measuring the wettability of a rock/brine/oil system which are extensively used in the oil industry. These are the Amott method, USBM method and the Contact angle method⁽⁸⁾. While the Amott and USBM methods use actual core samples, the contact angle method best fit for pure fluids and mineral crystals that represent reservoir cores. Where actual cores are used, these could be a wide range of contact angles due to the sharp edges of the grain structure and very long times are needed to reach equilibrium contact angles.

EFFECTS OF SOME MIDDLE EAST CRUDE OILS-BRINE-ROCK INTERACTION ON WETABILITY

Mohamed H. Sayyoub*, Mohamed Al-Blehed*

ABSTRACT

The main objective of this research was to study the alteration of wettability of a Saudi sandstone using five different Saudi crude oils (Safaniyah crude, Abu Safah crude, heavy, medium and light crudes). The acidity of these crude oils was determined and the effect of acidity, alkalinity and temperature on wettability was investigated.

It was found that contact angle increased with increasing Saudi crude acidity at both 22 and 50°C for all NaOH concentrations used. When the pH was alkaline, the rock surface tended to be oil wet. The Saudi crude oil/brine/rock system was found to be more oil-wet at reservoir temperature. Contact angle increased with increasing temperature from 22 to 50°C.

INTRODUCTION

Surface and capillary effects are among the factors that play an important role in the movement of oil, water and gas through an oil reservoir. Surface effects include : (i) phenomena occurring at the boundary between any two phases during adsorption, and a change of rheological and thermodynamic properties of the surface layer (ii) phenomena associated with the formation of polymeric liquid layers possessing anomalous mechanical and thermodynamic properties near the interface between two phases. Capillary effects include all phenomena due to the presence of curved surface boundaries at the interface between two phases.

The wettability of reservoir rock can be altered by the adsorption of polar organic compounds and/or deposition of organic material that was originally in the crude oil. The degree of alteration is found by the interaction of the oil constituents with the mineral surface and the chemical constituents of the brine including pH. The degree of wettability alteration is also determined by temperature and pressure⁽¹⁾.

The surface active components of crude oil are believed to be polar organic compounds that contain mainly nitrogen, sulphur and oxygen (NSO compounds). The oxygen compounds are usually acidic. It was found that the carboxylic acids are interfacially active when the pH is alkaline^(1,2).

Because the surface active components in crude oil are composed of a large number of very complex chemicals, it has not been possible to identify the compounds that alter wettability^(3,6). A laboratory study showed that asphaltenes in some crude oils are responsible for wettability alternation from water-wet to oil-wet⁽¹⁾.

The salinity and pH of brine are very important in determining wettability because they strongly affect the surface charge on the rock and fluid interfaces⁽¹⁾. Silica surface exhibit a partial negative charge because of the strong negativity of the oxygen atoms. Limestone and dolomite surfaces exhibit positive charges due to hydrolysis of the carbonate. Because the major portion of the polar organic compounds in crude is the polar organic compounds in crude oils

* Petroleum Engineering Dept, King Saud University

RAW MATERIALS & CHEMICAL INDUSTRIES

**INST. OF MINING, PETROLEUM &
METALLURGICAL ENGINEERS
INST. OF CHEMICAL ENGINEERS**

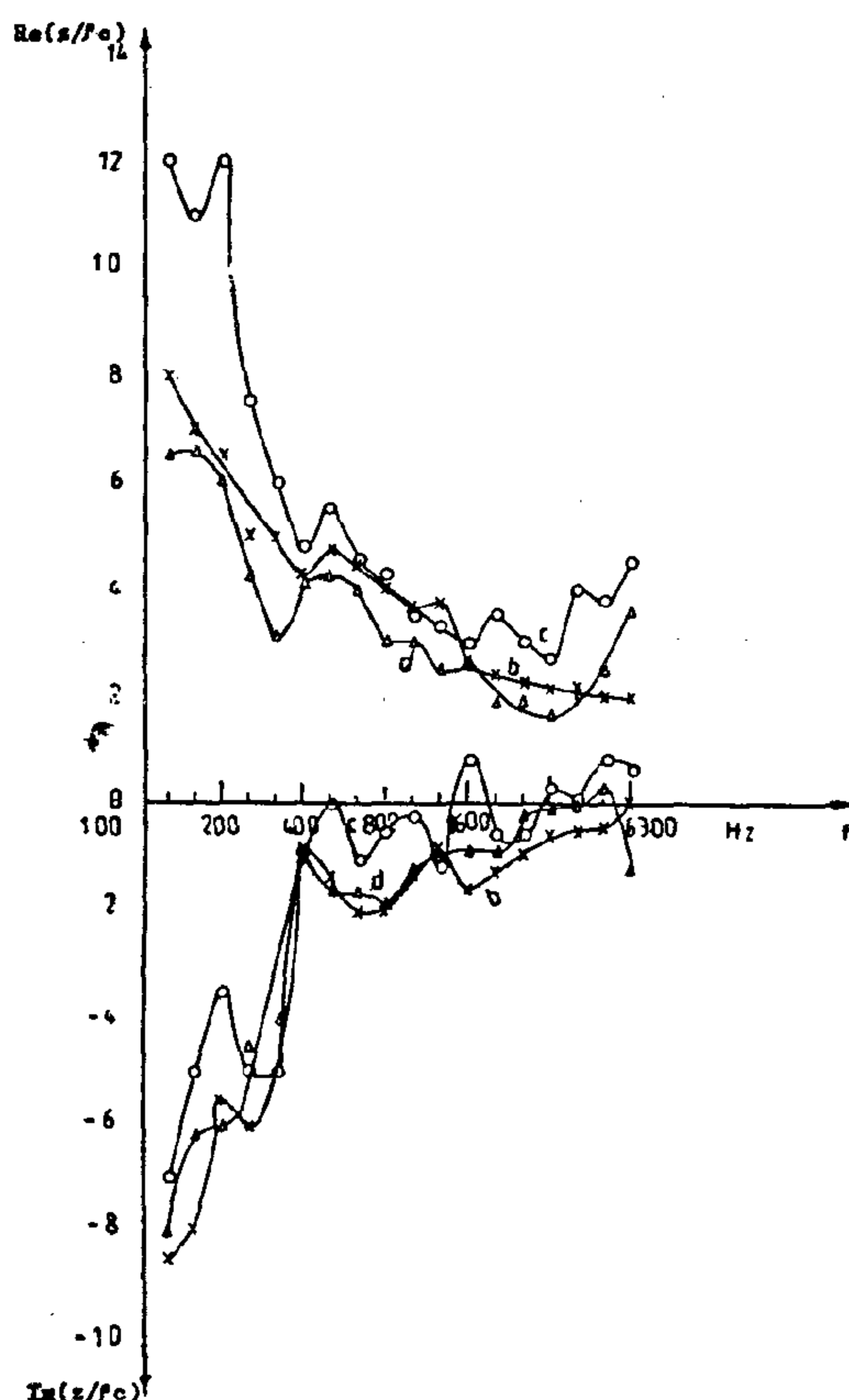


Fig. 7. Change of the resistive and reactive components of impedance with frequency for the sample of Jute for the three cases represented in figure 5.

ACKNOWLEDGEMENT

I am greatly indebted to Prof. Dr. M. Mokhtar, Emeritus Professor of Physics at Cairo University, for his continuous guidance, and valuable suggestions in carrying out this work.

REFERENCES

1. W. Fasold, W. Kraak and W. Schirmer; Taschenbuch Akustik, Teil 1, VEB Verlag Technik Berlin (1984).
2. C. Zwikker and C.W. Kosten; Sound Absorbing Materials, (1949).
3. F. B. Shenoda, R.W. Melik and N. Shukry; Egyptian Cotton and Flax shives as Acoustical Materials, Research and Industry, Indian, vol. 32, (1987).
4. U. Ingard and R. H. Bolt; Absorption Characteristics of Acoustic Material With Perforated Facings; J. Acoust. Soc. Am. vol. 23, No. 5 (1951)
5. D. B. Callaway and J. G. Ramer; The Use of Perforated Facing in Designing Low Frequency Resonant Absorbers, J. Acoust. Soc. Am. vol. 24, No. 3 (1952).
6. Lawrence Anita; Architectural Acoustics, London (1970).
7. R. W. Melik; Physical Parameters Affecting Acoustic Absorption Characteristics of Fibrous Materials; Master of Science (Physics), Faculty of Science, Cairo University (1977).
8. Leo L. Beranek; Noise and Vibration Control, (1971).
9. Per V. Bruel; Sound Insulation and Room Acoustics, London, (1951).
10. R. H. Bolt; On The Design of Perforated Facings For Acoustic Materials, J. Acoust; Soc. Am., vol. 19, (1947).
11. Uno Ingard; Perforated Facing and Sound Absorption, J. Acoust Soc. Am. Vol. 26, 2, (1954).

ment conditions were plotted in fig. 6 (curves b, c and d) which represents the absorption coefficient versus frequency for density 0.2 g/cm^3 and 5 cm thickness. For the sample of Jute Spinning Dust without facing, the absorption curve behaves normally i.e. it has lower values of α at low frequency and increases with frequency curve (b). For the other two cases of covering as indicated in fig. (curves c and d) a considerable difference in the absorption curves (with resonance frequency at 3150 Hz) in higher frequency range was attained. It could be also shown that the case with air space between the absorber and perforated facing possesses higher values of α than the other case i.e. the absorption coefficient increases with increasing the air space (5). As a result of covering in both cases a reduction for the values of α at higher frequencies was attained⁽¹⁰⁾.

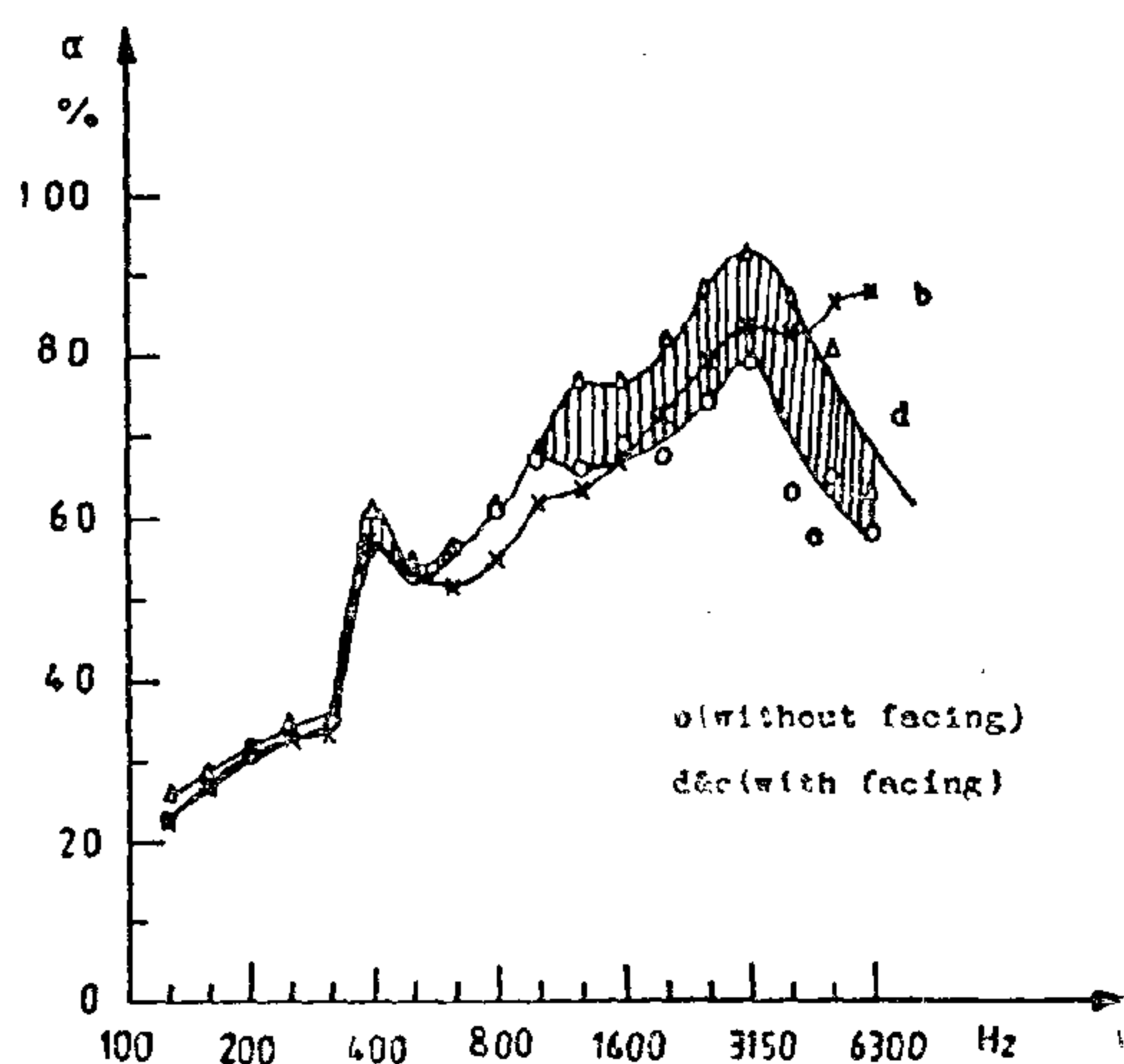


Fig. 6. Relation between absorption coefficient and frequency for jute Spinning Dust for the three above cases

For practical purposes and as denoted by Ingard⁽¹¹⁾ that it is difficult to demonstrate a perforated surface very contact with the absorbing material, an expected leakage is produced, the condition which can be considered between the two conditions : (2 and 3) as mentioned before and hence, the absorption

curve will lay in the shaded region. As a result of measurements one can say that the suitability of our local material for use, with density of 0.2 g/cm^3 and thickness of 5 cm. Acoustic tiles constituted mainly of this sample with these specifications of density and thickness having one face covered with perforated layer of asbestos is fairly economical to construct. The function of asbestos is also essential against fire.

Determination of acoustic impedance for the local material and the effect of perforated facing :

The components of acoustic impedance for the Jute Spinning Dust without covering as well as with the two cases of covering (fig. 5) were determined. For all the above three cases and as mentioned before, the determination of impedance was made for the density of the sample of 0.2 g/cm^3 and 5 cm thickness. The results of calculations were plotted in fig. 7 which indicates that, placing the perforated facing in contact with the sample, the specific acoustic resistance of the uncovered absorber was increased especially in the lower frequency range fig. 7 (curve c). With increasing the air space, the acoustic resistance could be reduced to be lower than that of the uncovered⁽⁵⁾ (curve d). Thus the resistance could be varied to give maximum absorption.

CONCLUSION

Jute Spinning Dust can be used as a good absorber, Measurements indicated the suitability of this local material for use, with density 0.2 g/cm^3 and thickness of 5 m.

Acoustic tiles constituted mainly of this material having one face covered with perforated sheet of asbestos are fairly economical to construct. The advantage of using asbestos is also clear protection against fire

Determination of impedance for the sample C of Rocking :

Using the pseudo stationary wave acoustic interferometer, and with the help of Smith chart the resistive and reactive components of acoustic impedance were determined. Fig. (4) represents the variation of these components with frequency in third octave band for the three densities 0.2, 0.27, and 0.34 g/cm³ and at constant thickness 5 cm. The fig. shows that the resistive component of impedance increases with increasing density of the sample especially at low frequency(5).

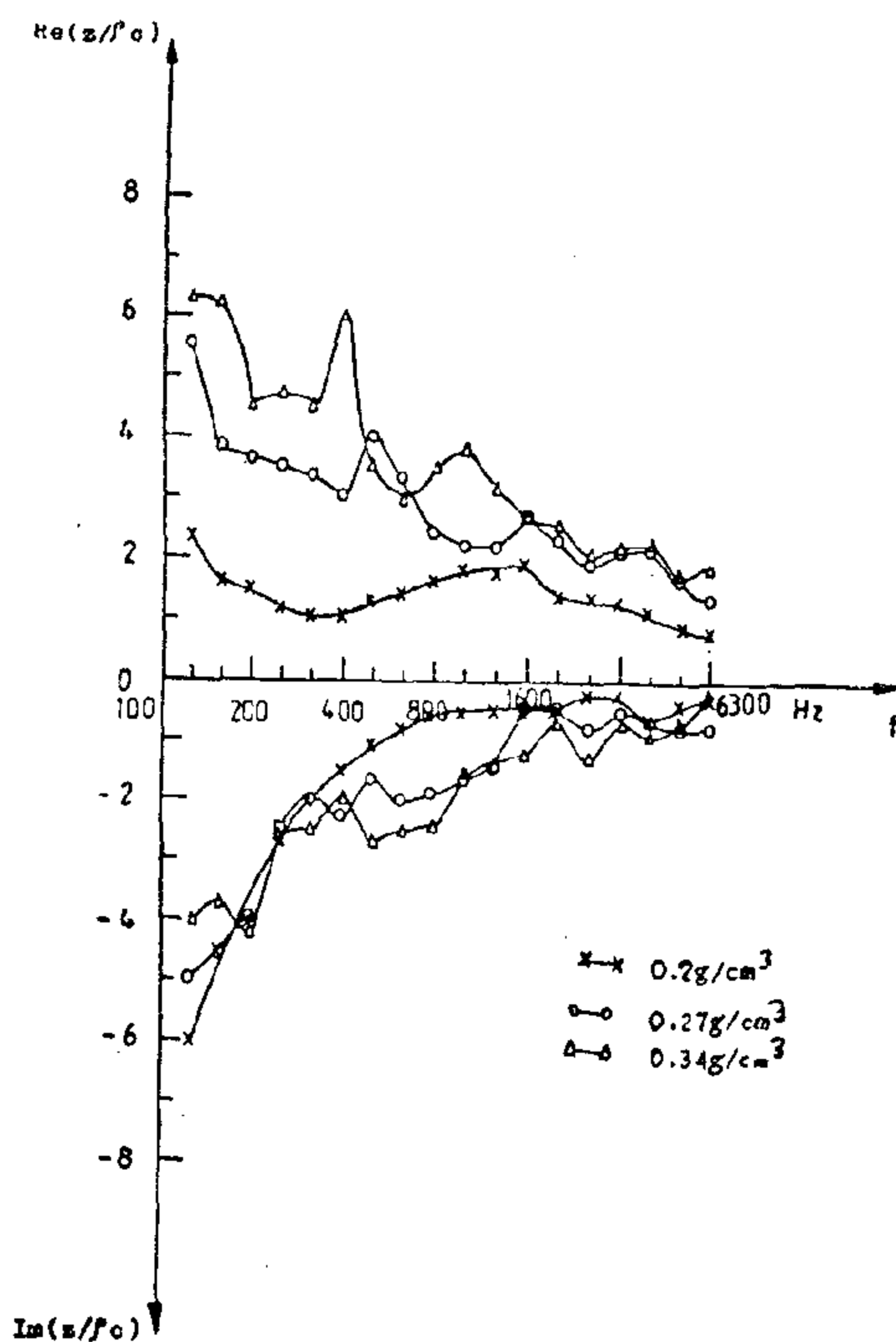


Fig. 4. Change of the resistive and reactive components of impedance with frequency for an important sample C for three densities and constant thickness 5cm.

Measurements of the absorption coefficient for the local material and the effect of perforated facing :

The sample of Jute Spinning Dust was chosen among different samples for measurements in view of its high absorption efficiency and its low price.

As was shown from the measurements of absorption coefficient α for the sample C of Rocking at different densities (fig. 2) that the density 0.2 g/cm³ gives higher values of α therefore measurement for the local material was carried out using the same density for thickness 5 cm and in the frequency range 125 Hz to 6300 Hz. Further study of this local material was made to investigate the effect of perforated facing on the absorption coefficient as well as the resistive and reactive components of acoustic impedance. For this purpose a sheet of 0.1 cm thick of asbestos was used for covering the absorbing material, 47 pores were made in which the diameter of each pore is 0.6 cm, the percentage ratio of area of pores to the total of covering area is about 20. This form of perforated sheet is shown in fig. 5 (a). Measurement of absorption coefficient was carried out under three different conditions :

- 1) when the sample is placed directly in front of the incident sound waves (without facing) as in fig. 5 (b).
- 2) when the perforated facing is placed in contact with the sample itself fig. 5 (c), and
- 3) when the perforated facing is placed with an air space from the surface of the sample nearly equal to the diameter of the pore, fig. 5 (d).

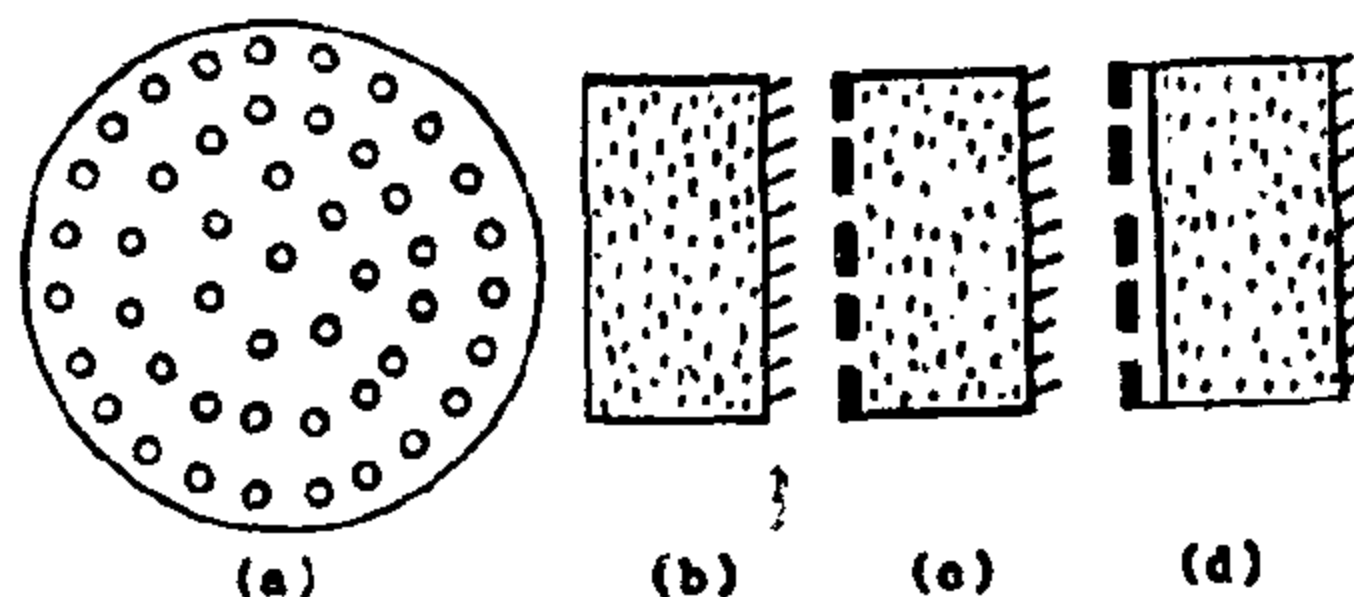


Fig. 5. Photograph for the perforated facing and the position of the sample in three different cases

In all cases a reflecting wall was placed directly behind the sample. The results corresponding to the above three measure-

RESULTS AND DISCUSSION :

Measurements of the absorption coefficient for the imported materials :

The asorption coefficient of three samples (namely, Flocking) have been measured separately for three different densities 0.2, 0.27, and 0.34 g/cm³ and constant thickness 5 cm in the frequency range from 125 Hz to 6300 Hz in third octave band. Fig. (1) represents the relation between the absorption coefficient α and frequency f for the three samples at specified density 0.2 g/cm³ and constant thickness 5 cm. From the fig. One can see that the absorption coefficient varies with the sound frequency^(8,9) and that the three samples have the same characteristics. It is shown also from the measurements that the sample denoted by C possesse slightly higher values of α than the other two samples of Flocking. Fig. (2) represents the relation between α and f for this sample C for the three different densities 0.2, 0.27, and 0.34 g/cm³ and constant thickness 5 cm. It is clear from the fig. that above 315 Hz higher values of α are attained for the density 0.2 g/cm³ than the other two densities, this means practically and economically at the same time the optimum

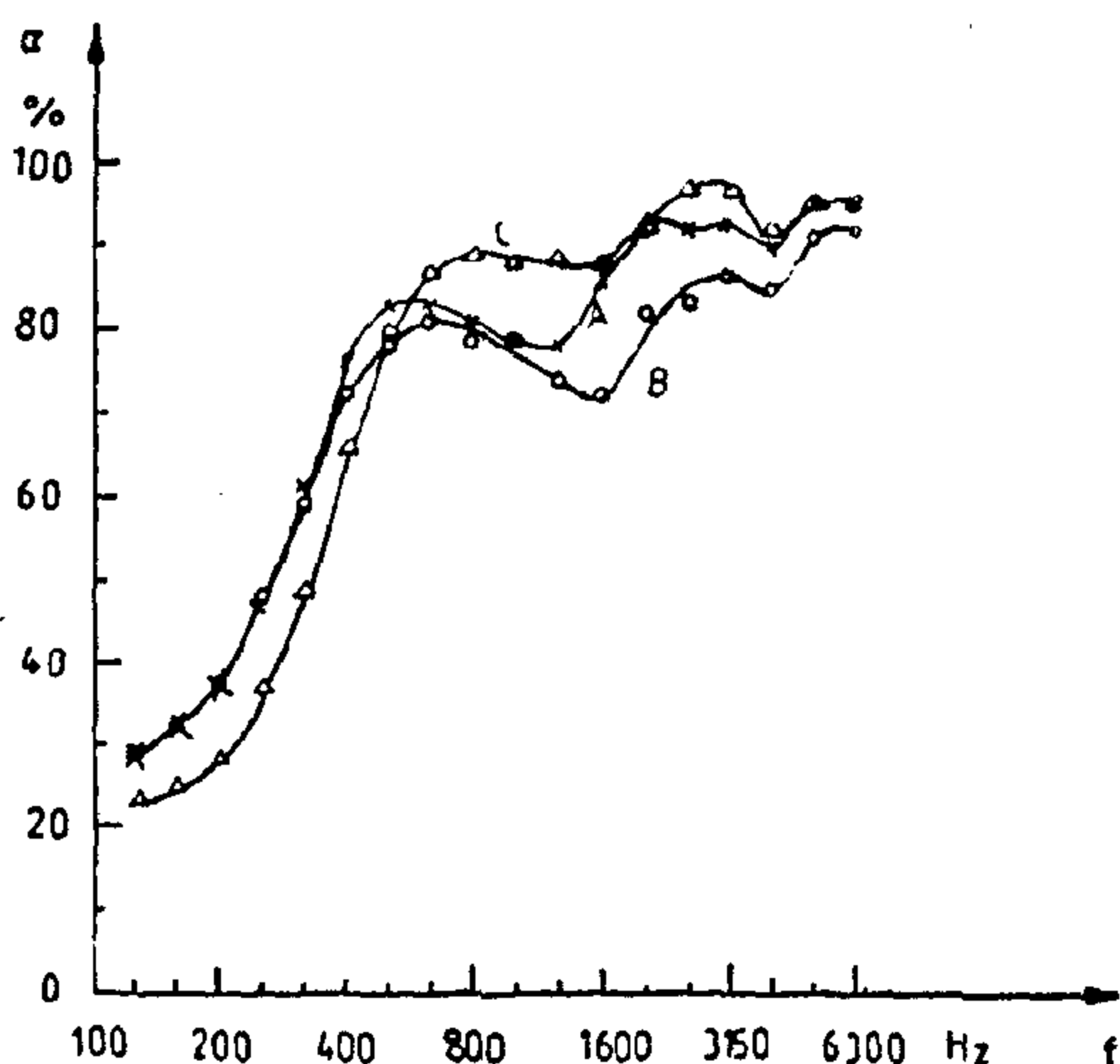


Fig. 1. Relation between absorption coefficient α and frequency f of three samples at specified density 0.2g/cm³ and constant thickness 5cm.

density which can be used in train tunnels in Cairo for 5 cm thickness is 0.2 g/cm³.

The values of absorption coefficient α for the three densities in fig. (2) for the sample C of Rocking were generalized in one curve as plotted in fig. (3). The curve represents the relation between the absorption coefficient α and ρ/λ where

ρ is the density of the sample, and λ is the wavelength corresponding to the measuring frequency. From this fig. the absorption coefficient α can be extrapolated from the figure for any given density and at the same thickness 5cm.

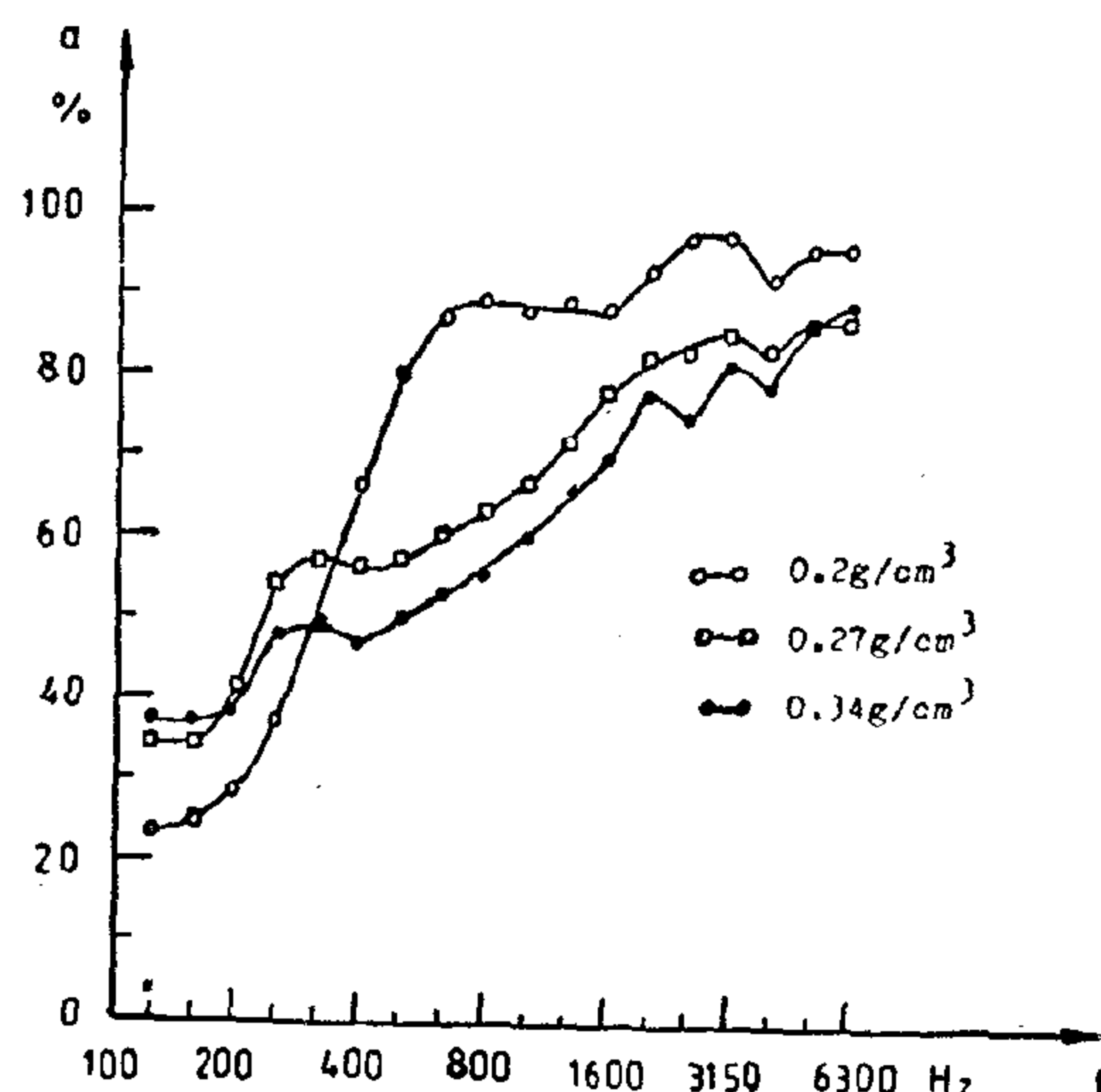


Fig. 2. Relation between α and f for the sample C for different densities and constant thickness 5cm.

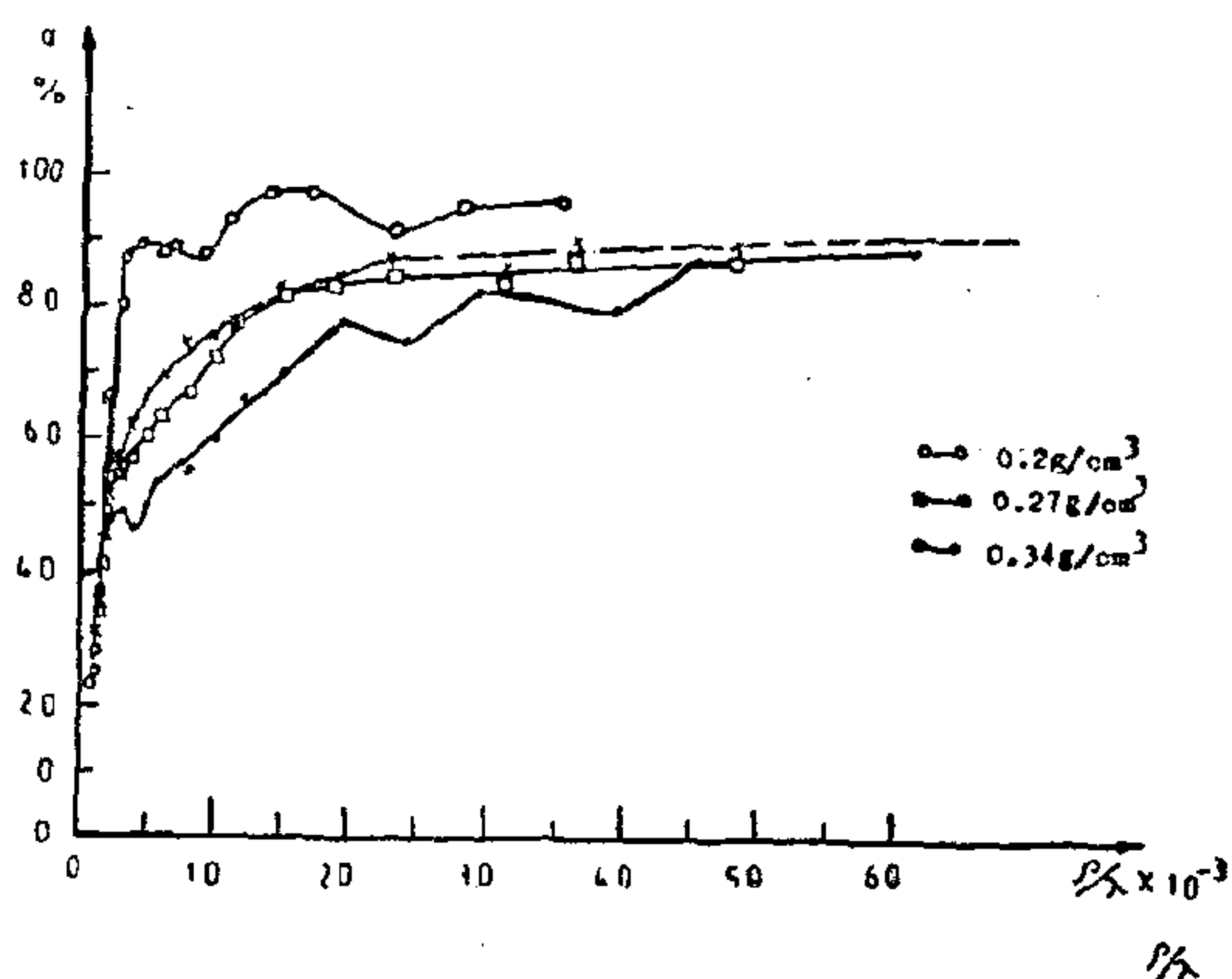


Fig. 3. General curve representing the relation between α and ρ/λ for the three different densities and constant thickness

Practically, it is customary to cover the absorbing material with perforated plaster or cloth, asbestos sheets or wire screen for mechanical protection and cleaning. The function of the perforated facing as denoted by Ingard and Bolt(4) is to provide a mass reactance to the normal impedance of the surface, which introduces a "Helmholtz resonance" into the system. In addition, the perforated facing also causes an increase in the resistive part of impedance. For the investigation of the effect of perforated facings of small percent open area on the specific acoustic resistance of backing materials of appreciable thickness, measurements were made by Callaway and Ramer(5) using the impedance tube. The acoustic resistance increases appreciably with the use of perforated facings having less than five percent open area. The resonant frequency of such an absorber was also given approximately :

$$\lambda_r = C/2\pi \left[\frac{P}{L(t + \delta)} \right]^{1/2}$$

where C = is the velocity of sound, P = open area ratio of perforated, L = thickness of porous material, t = thickness of perforated facing, and δ = the end correction for perforated facing.

Lawrence(6) denoted that the end correction δ is equal to 1.7 R where R is the radius of the hole. He gave a different examples for these types of absorbers.

In this work, samples for materials used for sound damping in some train tunnels abroad (namely, Flocking) have been tested together with a sample locally available (namely, Jute Spinning Dust), with the object of developing an acoustic tile fit for use in lining the train tunnels in Cairo. In addition to the acoustic pro-

perties of the samples, other factors such as heat, dust, fire, low-cost etc. have been duly considered.

The acoustic properties of the imported and local materials, namely, the absorption coefficient, the resistive and reactive components of the impedance have been measured using a pseudo-stationary wave acoustic interferometer, under different conditions of frequency, density etc.

Sample of an acoustic tile was prepared for measurements. It is constitute mainly of the local material having one face covered with perforated layer of asbestos. The effect of perforated surface on the absorption coefficient as well as on the resistive and reactive components of impedance was also studied.

EXPERIMENTAL TECHNIQUE :

The standing wave tube method was used for the measurements in which a loudspeaker is placed at one end, and the sample under test at the other end of an acoustically rigid tube. The assembly consists of Standing Wave Apparatus (B&K type 4002), Beat Frequency Oscillator (B&K type 1022), Heatkit counter (Model IM-4100) connected with the Beat Frequency Oscillator for fine adjustment of frequency readings, and Audio Frequency Spectrometer (B&K type 2112).

MATERIALS

Three samples of materials used in sound damping in some train tunnels abroad (namely, Flocking) have been tested together with a sample locally available (namely, Jute Spinning Dust). This type of Jute was chosen due to its high absorption efficiency, its easy availability, and its low price(7). A perforated sheet of asbestos was also used in covering the local material with the object of developing acoustic tile for use in lining the train tunnels in Cairo. Asbestos is characterised by its great resistance to fire.

ACOUSTIC MATERIALS FOR LINING OF TRAIN TUNNELS IN CAIRO

Ramzy W. Melik*

ABSTRACT

Samples for materials used for sound damping in some train tunnels abroad (namely, Flocking) have been tested together with a sample locally available (namely, Jute Spinning Dust), with the object of developing an acoustic tile fit for use in lining the train tunnels in Cairo. In addition to the acoustic properties of the samples, other factors such as heat, dust, fire, lowcost ect. have been duly considered.

The acoustic properties of the imported and local materials, namely, the absorption coefficient, the resistive and reactive components of the impedance have been measured using a pseudo-stationary wave acoustic interferometer, under different conditions of frequency, density etc.

Samples of the acoustic tile were prepared, constituted mainly of the local acoustic material having one face covered with perforated layer (about 20% open area) of asbestos. Two different air spacings separating the perforated surface from the material were tried. Measurements indicated the suitability of our local material for use, with density 0.2 g/cm^3 and thickness 5 cm. The effect of perforated coverings agreed reasonably with those of other investigators.

INTRODUCTION

Soft, porous and fibrous materials constitute important elements in building acoustics. They are used in noise control problems as well as for reduction of rever-

beration time inside studios. The porous absorbers as those described by Fasold⁽¹⁾, are those having opening pores attached with the surrounding medium through air channels. Materials with closed pores, are not fit for use, since their reflection to the incident sound waves is high. The acoustical behaviour of absorbers can be evaluated by studying the wall impedance reflection factor, the degree of absorption coefficient as well as the damping of sound. The fraction of acoustical energy absorbed by the material depends upon its nature, thickness, density as well as the sound frequency.

Usually, the absorption coefficient of small samples is determined using a tube interferometric method in which a source and sample under test are placed at opposite ends. All interferometers for the measurement of sound absorption and acoustic impedance can only be used up to frequencies of $C_0/1.7D$ ⁽²⁾, where :

C_0 = is the velocity of propagation of sound waves in free air, and

D = the diameter of the tube,

Using the tube method, for studying the effect of heat and mercelization on the absorption coefficient of Egyptian cotton, Shenoda⁽³⁾ used the type of Giza 70 of cotton in the loose form (cellulose I) under different thermal treatments (till 220°C), or as a compressed bulky form (cellulose II) after mercelization. It was shown that the Egyptian cotton can be used as acoustical material in hot places, but the temperature must not exceed 220°C .

* National Institute for Standards Cairo.

CONCLUSION

Monolayer curtain of thin porous cotton 100% are found to be of low sound absorption efficiency. However, on doubling these curtains leaving an air space between the two layers, the absorption characteristics are appreciably improved inspite of showing minima at certain high frequencies. Results show that specific air space has to be determined to give optimum effectiveness. The replacement of one of these two thin porous cotton layers by a thin layer of nonporous cotton/polyester 30/60 is found to be of reduce effect. This constitution, beside being sound absorbing, has advantage of light insulation. Insertion of one of the porous cotton layer in the air space is known to be of damping effect on the free movement of air when the panel vibrate; a fact which coincides with the obtained results. This effect does improve the sound absorption and eliminate to some extent the minima at higher frequencies.

ACKNOWLEDGEMENT

The authors wish to express their gratitude to Prof. Dr. Mokhtar, for his fruitful advice and to Prof. Dr. M. Sabry for his valuable suggestions.

REFERENCES

1. Farrell, W. R. : Noise Control 4 (1958) 32.
2. Beranek, L. L. : Noise Reduction, McGraw-Hill book Company. Inc. New York, Toronto, London, chapt. 15 (1960) 384.
3. Shenoda, F. B., Melik, R.W. and Shukry, N. "Egyptian Cotton and Flax Shives as Acoustical Materials", Research and Industry, vol. 32, 1987, 183-190.
4. Morton, W. E. and Hearle, J.W.S. "Physical Properties of Textile Fibres", Heinmann, London, 1975.
5. Kandil, M.M.E, "Scientific Values for Producing Light - Insulation Curtain Fabrics, Third Scientific Conference, Faculty of applied Arts, University of Helwan, 1988.
6. Kandil, M.M.E, "Study of given the popular raised fabrics more warmth and Drability using the suitable fabric structure". M. Sc., Faculty of Applied Arts, Textile Dpt., University of Helwan.
7. Parkin, P. H. and Humphreys, H.R. "Acoustic Noise and Buildings" Faber and Faber LTD, W.C.1, Chapter 2 (1963).
8. Ibrahim, M.A. and Melik, R.W. "Physical Parameters Affecting Acoustic Absorption Characteristics of Fibrous Materials", Proceeding of the Mathematical and Physical Society of Egypt, No. 46, 1978.
9. Ingarr, K.U. and Maling, G.C. : Noise Control Engineering Physical Principles of Noise Reducton : Energy consideration, Noise Reduction Element, and Sound Absorbing Materials, 2 (1974) 81-91.

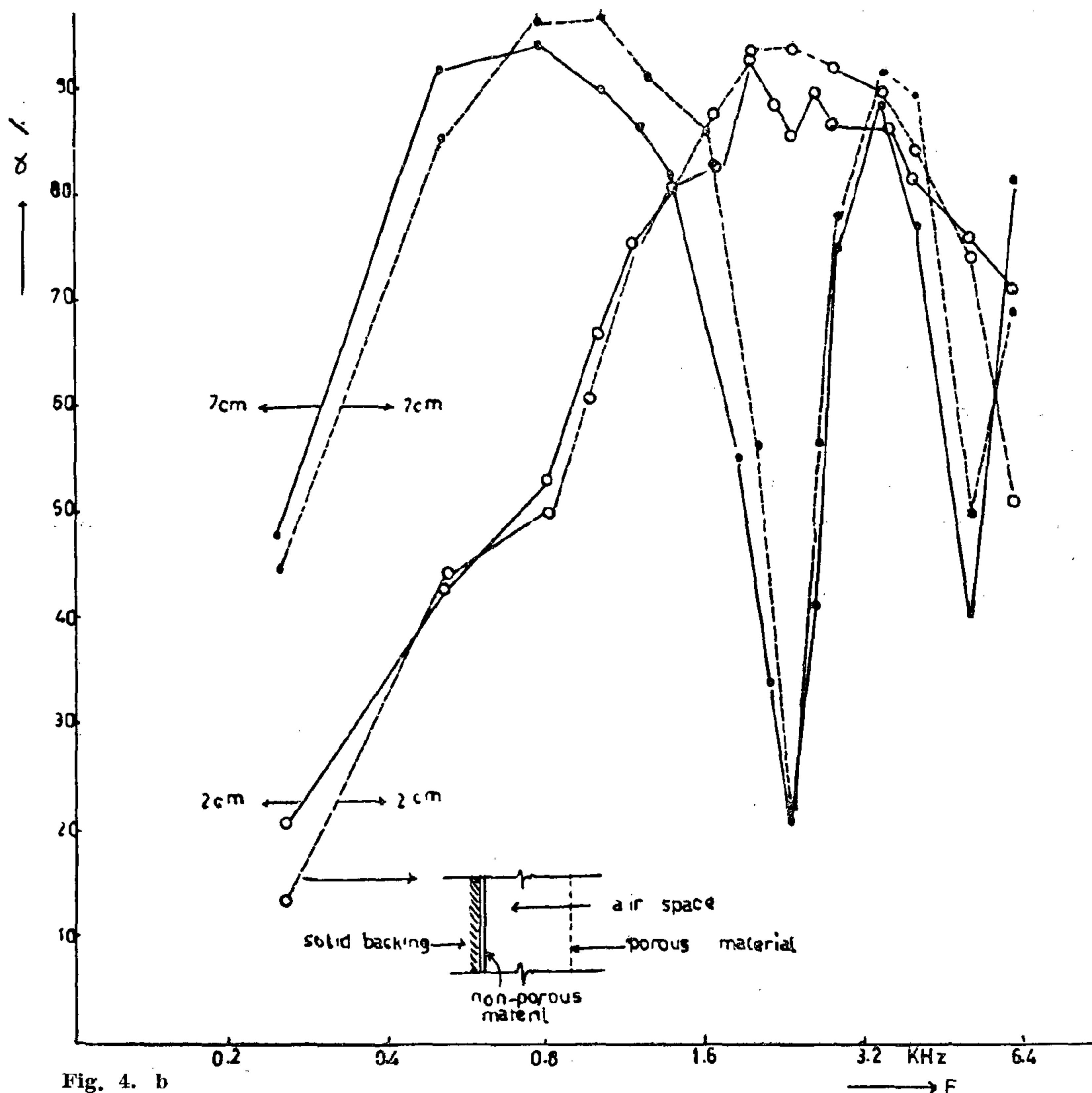
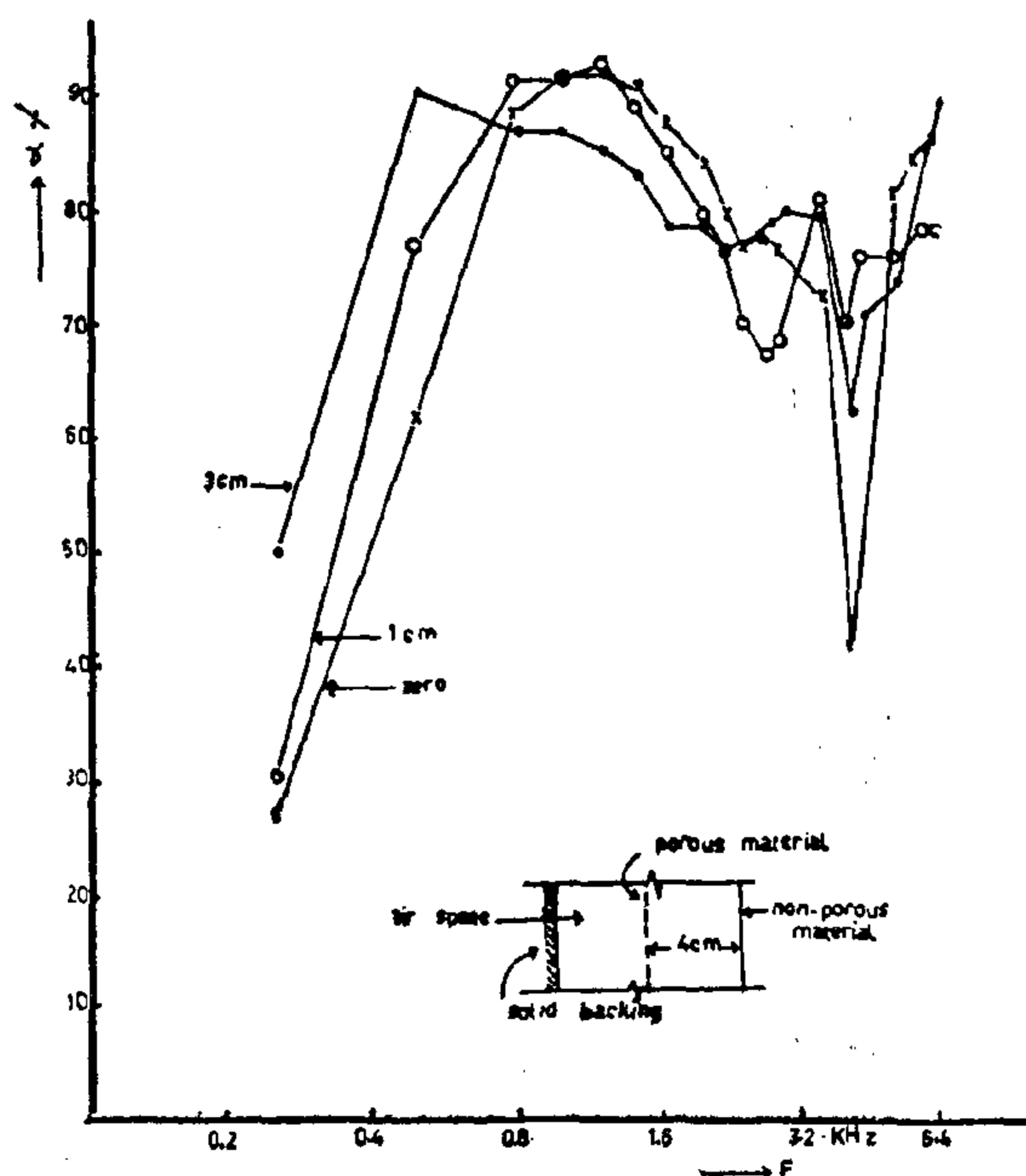


Fig. 4. b

Fig. [4] Variation of " α " with frequency for the Constitute 3.



Generally speaking, mounting of a double layered constitute cotton - cotton/ polyester with 4 cm air space inbetween and away from backing, is of appropriate characteristics for designing a window or wall curtain of high efficiency for sound absorption as well as light insulation.

Fig. [5] Variation of " α " with frequency for the Constant 4.

used frequency range and eliminating minima observed at high frequencies. This could be done by inserting the porous cotton layer in the air cavity enclosed between the cotton/polyester layer and the solid backing to operate as an effective panel absorbent(7).

Constitute (4) : the same double layer as constitute (3) but with fixed air space inbetween, namely 4 cm.

One mode of mounting has been studied where the cotton porous layer is facing the solid backing and away from it by 1 or 3 cm. i.e. the porous layer is inserted

in air cavity. Measurements were done linearly. Results obtained are shown in Fig. (5). On comparing these set of curves with the corresponding are shown in Fig. (4), where the porous layer is mounted directly against the backing, it is clear that :

- (1) The values of α , although noticeably increase at low frequencies, they remain rather similar at medium ones.
- (2) The minima observed at high frequencies are generally diminished irrespective to their position.

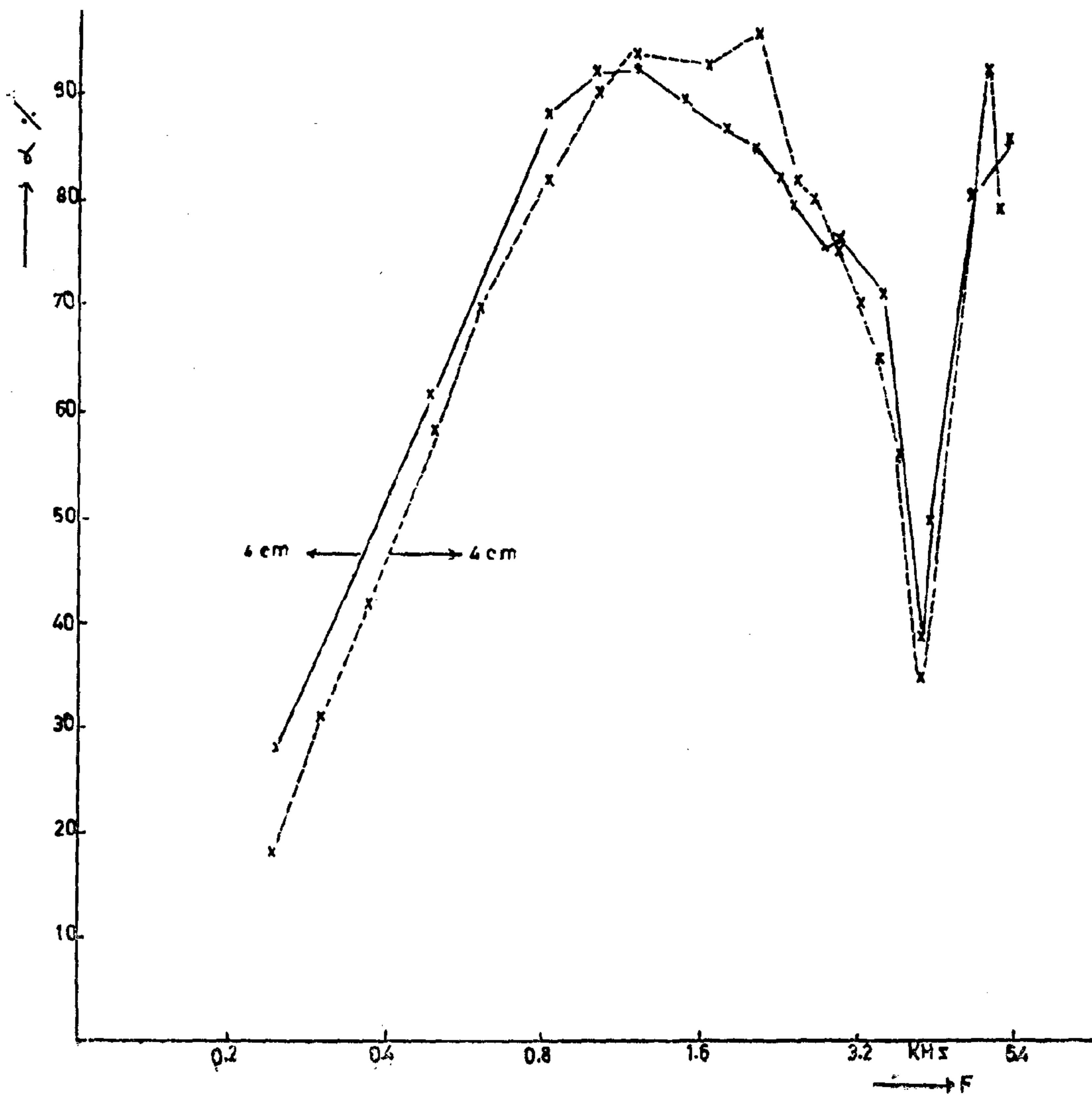


Fig. 4. A

effectiveness could be noticed extending over a broader range of frequencies. This could be probably attributed to a limited damping effect in the free movement of air produced by the second layer that is not perfectly sticking to the backing. Such damping effect is highly magnified on insertion of a porous layer in the air space as can be seen later.

Constitute (3) : a double cotton (sample no. 8) cotton /polyester 35/65 layer with different air space ranging from 2-7 cm inbetween.

Two modes of mounting have been investigated, namely the selected cotton layer mounted directly against the solid backing while cotton/polyester layer mounted at a fixed distance from the backing and vice versa. Figures 4a and 4b show the variation of α with frequency for the two modes of mounting at air space 2 and 7 cm and 4 cm respectively. It is worth

to mention here, that the α value are measured linearly so as to pick up the exact positions or maxima and minima. From these figures one can notice that, the values of α for the two mentioned modes of mounting, for one and the same air space, are quite similar except for a slight shift of maxima towards lower frequencies in case of mounting the non-porous sample (cotton/polyester 35/65) to face the sound wave. It is also evident that 4 cm air space between the two layers is the best distance tested, since it gives some improvement in α values at medium frequencies beside shifting of minima to higher frequencies to lie almost near the frequency range usually used in building acoustic. Therefore, this design (constitute 3) proves, so far, to be of high efficiency as a sound absorbing and light isolating (5). Further studies have been undertaken in the hope of improving the absorption efficiency all over the

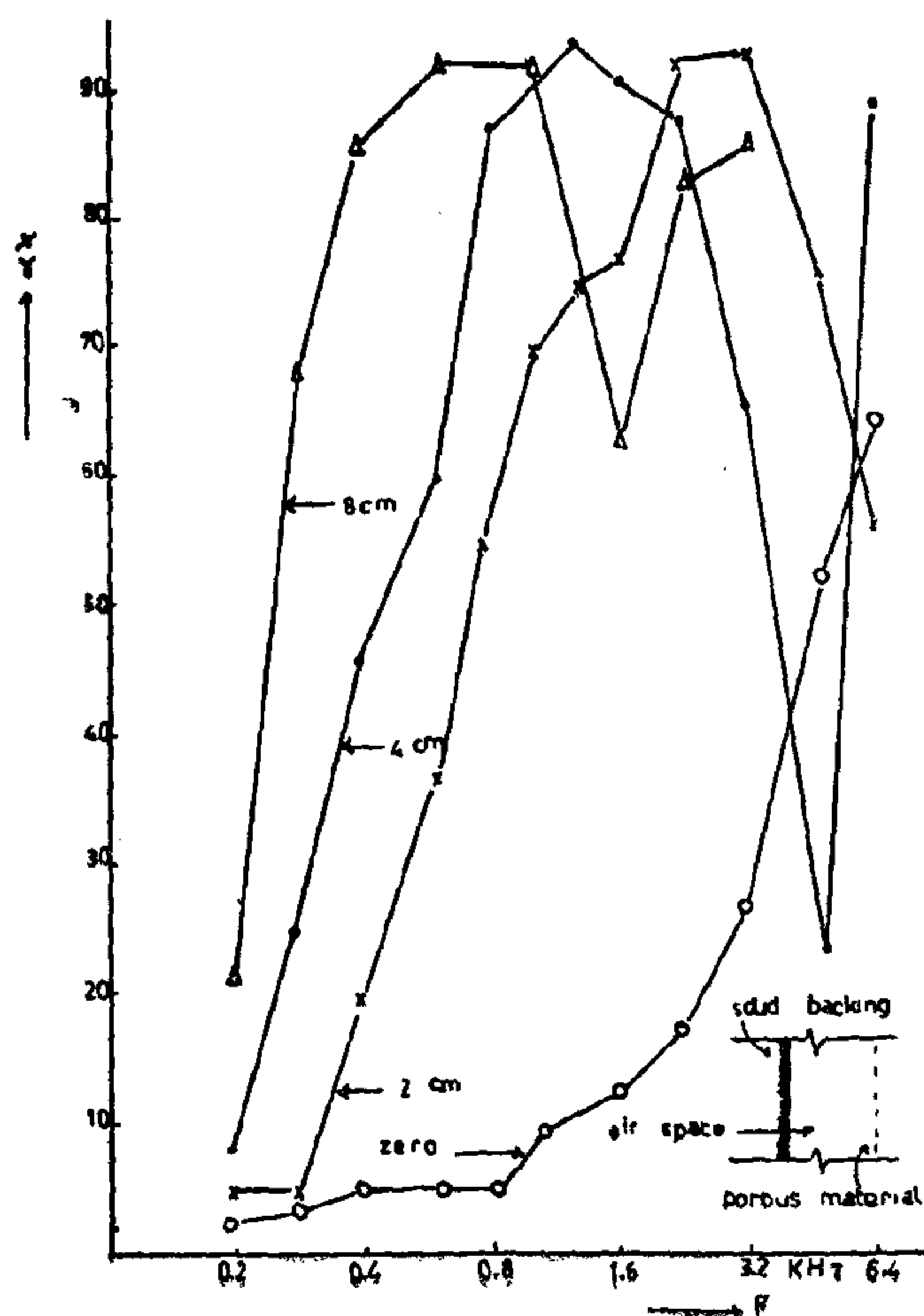


Fig. [2] Variation of " α " with frequency for the Constitute 1,

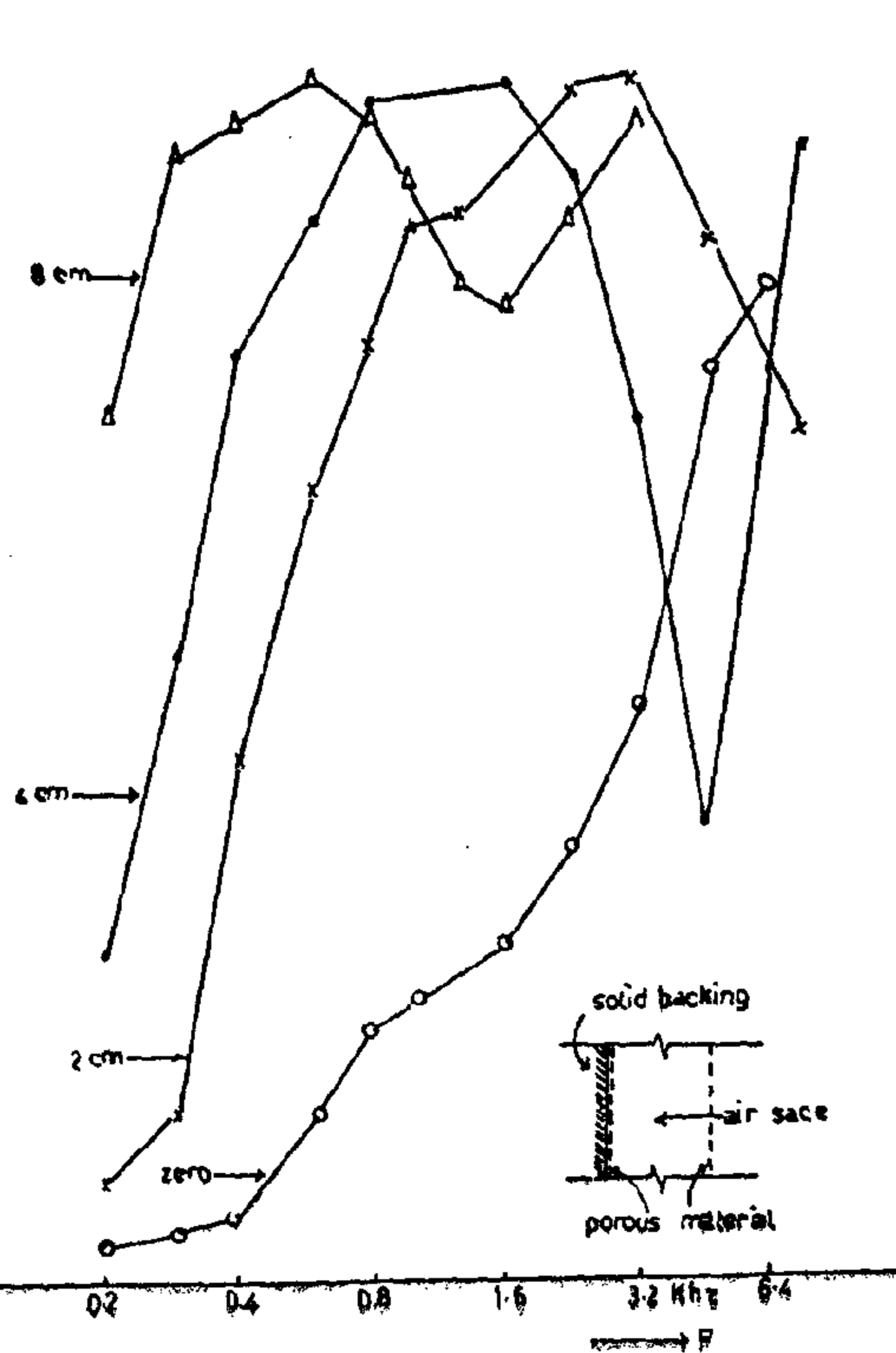


Fig. [8] Variation of " α " with frequency for the the Constitute 2.

Apparatus. The results obtained, shown graphically in Fig. [1], are common to the great majority of proprietary acoustic treatment materials and to many of fortuitous sound absorbers (7). Its main feature is the considerable reduction in effectiveness at low frequencies. Some improvement is obtained by increasing the number of layers. This is in good agreement with the well known relation (7-9), where the sound absorption coefficient increase with increasing the thickness of the absorbing material. Moreover, it is evident from Fig. [1] that the sound absorption coefficient increases with frequency. This also coincides with the well known fact which states that the sound absorption coefficient is generally increased with frequency to reach maximum value for frequency at which the thickness of the measured sample equals or greater than one quarter the wavelength of the incident sound wave. In this case the maximum particle velocity lies at the surface or within the sample.

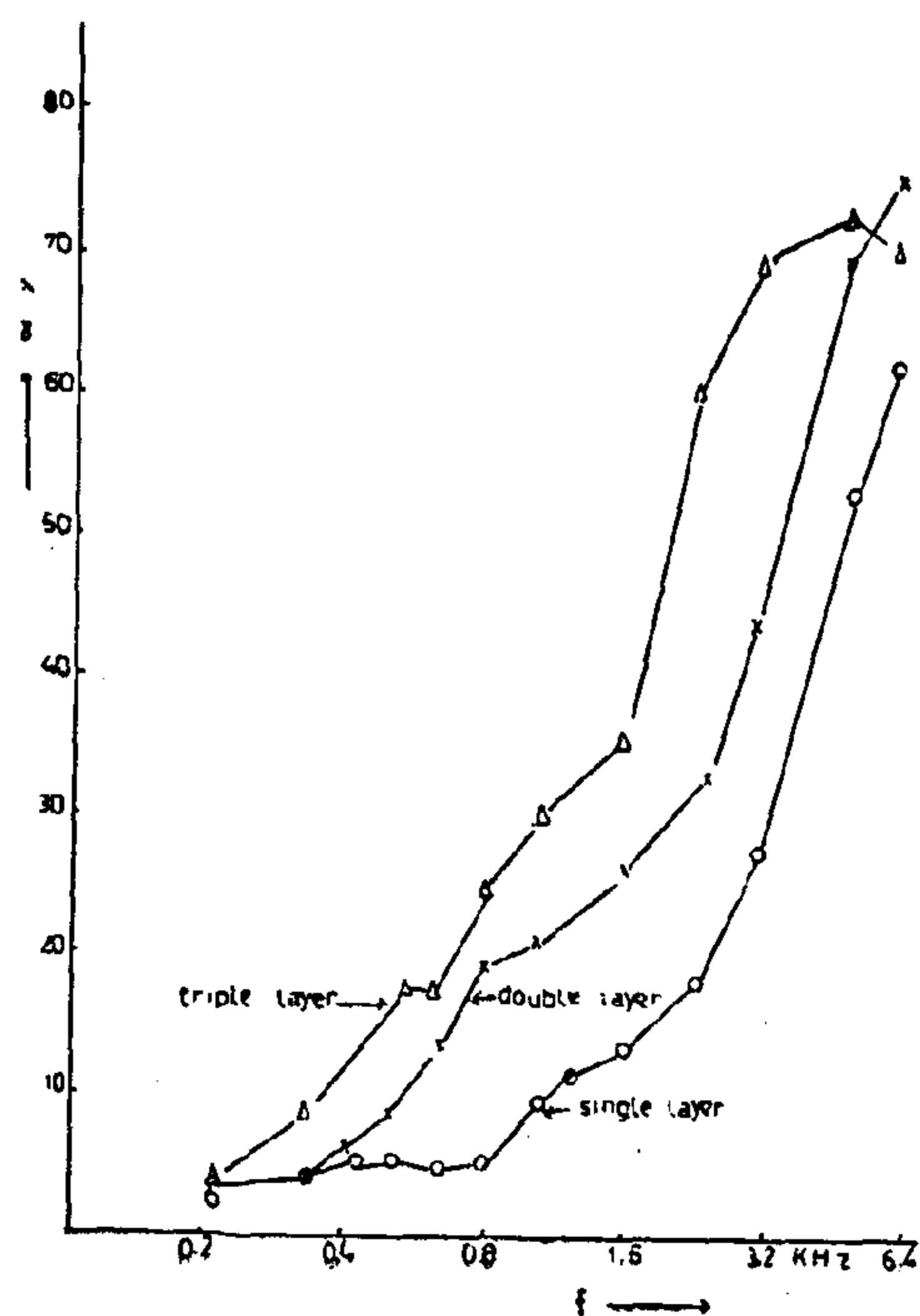


Fig. [1] Variation of " α " with frequency for different no. of layers (sample no. 8 cotton 100%).

Spacing has been attempted as a trial for improving the absorption at low frequencies by different mode of mounting. Five modes of mounting (constitute 1-4) have been investigated using the selected sample no. 8 only (constitute 1 and 2) or together with cotton / polyester 35/65 sample (constitute 3 and 4).

Constithte (1) : a single layer of the selected cotton sample at different distance of air space (d_1) ranging from 2-8 cm away from its solid backing.

From Fig. [2] it is clear that the measured sound absorption coefficient is appreciably affected by the elasticity of the panel maerial as well as by the thickness of the air space in two aspects : a) the increase of " α " at low frequencies; the thicker is the air space, the higher is the absorption coefficient value for one and the same frequency, and b) the existance of one or more minima at high frequencies; the measured resonance frequencies at these minima are found in good agreement with the calculated ones on applying the following relation.

$$F_n = nc/2d$$

where c = sound velocity in air (343 m/s at 20°C), d = thickness of air space in meter and n = an integer number. The observed minima shown in Fig. (2) are due to the propagation of standing waves in air space behind the test panel and to the free movement in the panel itself.

Constitute (2) : double layer of the selected cotton sample no. 8 with different air space ranging from 2-8 cm inbetween.

Fig.(3) shows the variation of " α " with frequency on using a second layer inserted in air space found between the first layer and the backing mounted directly against the solid backing. Although the shape of the curves shown in Fig. (3) are almost similar to those in Fig. (2), yet a slight increase in sound absorption

Table (2) Specification of samples

Sample	Count of Yarns Warp/Wett	Wt. of m ² in Gm before raising	Wt. of m ² in Gm after raising	Thickness of sample in cm	Porosity % after raising
1- Plain weave 1/1	Fabric in both faces from cotton 60 ^s /60 ^s O.E.	492	480	0.352	90.9
2- Mat weave 2/2 In both direction		•	482	0.362	91.1
3- 1/3 Twill		•	485	0.370	91.3
4- 4 end Satin weave		•	485	0.70	91.2
5- Plain weave 1/1	Fabric in both faces from cotton 60 ^s /60 ^s R.S.	492	482	0.382	91.6
6- Mat weave 2/2 In both direction		•	483	0.398	91.9
7- 1/3 Twill		•	488	0.415	92.1
8- 4 end Satin weave		•	488	0.416	92.1

The average drape of sample were measured and presented in Table [3] which shows that drape is greater in twill fabric than he satin. Also crease recovery of these fabrics was measured and was found to be almost the same (Table [4]).

Table (3) Average drape of samples

Kinds of weave structures	Fabriles with O.E. In both faces and 25% stitching	Fabric with R.S. In both faces and 25% stitching
1- Plain weave 1/1	58	88
2- Mat weave 2/2 In both direction	60	81
3- 1/3 Twill	76	78
4- 4 end Satin weave	72	74

Table (4) Crease recovery of Fabric

Kinds of weave structures	Fabriles with O.E. In both faces and 25% stitching	Fabric with R.S. In both faces and 25% stitching
1- Plain weave 1/1	85	88
2- Mat weave 2/2 In both direction	80	81
3- 1/3 Twill	70	78
4- 4 end Satin weave	72	74

So the weave structure in sample no. 8. (cotton 100%), table [2], has been selected because it possesses high porosity and has a reasonable value of drape and crease recovery, to be used as sound absorbing curtain.

MEASUREMENT OF SOUND ABSORPTION

The sound absorption coefficient " α " for the sample texture curtain of single and double layers at normal sound incidence was measured at room temperature as a function of frequency. The test arrangement consisted of Standing Wave Apparatus (type 4002), Beat Frequency Oscillator (type 1022) and Audio Frequency Spectrometer (type 2112). All these measuring equipment are of Bruel and Kjaer. Measurement are undertaken throughout the whole work using the 1/3 octave steps other wise specified.

RESULTS AND DISCUSSION

The sound absorption coefficient " α " was measured as function of frequency for single, double or triple layer of the selected sample no. 8 mounted directly to the solid backing of the Standing Wave

These can be achieved by what is known as weaving construction (practical specification).

The study under report aims to determine the criteria characterizing special type of curtains which is able to absorb sound waves and can be used as sound absorber. In a previous work(5), it was found that cotton/polyester 35/65 layer insulates light by 86%.

RESEARCH ROW MATERIAL

Egyptian cotton (Giza 75) was used in producing samples. It has the following physical properties :

A - Warp : grey sized cotton 60s Tex denoted 4 threads/dent and the reed is of 7 dents/cm, arranged 2 threads O.E. (open ends) for the layers 1 and 4 and 2 threads R.S. (ring spinning) for the layers 2 and 3

A - Weft : grey cotton 60s Tex 28 picks/cm width in the thread 186 cm., grey width of the fabric 183 cm.

METHOD OF PREPARATION THE TEST SAMPLES

The test samples were prepared as follows :

The samples has been carried out on ra-

pier loom type Picanol M.R.G. provided with the two warp beams. The upper beam is for the O.E. warp and the lower one is for the R. S. warp .The drafting system is straight on 16 heald shafts. The drawing-in system is 1 and 4 from O.E. and 2 and 3 from R.S.

The four layers constructions arrange as follows : 1 : 1 : 1 : 1 in both warp weft. The stitching between layers is 1/3 twill. The weaving process is proceeded for the same sample using the layers 1 and 4 from the R.S. and 2 and 3 from O.E., and the stitching between the layers is 1/2 twill.

The raising process has been done on both surfaces of the produced fabric. This process raises about 20% from the threads body which is R.S. system, and 30% from the threads body which is O.S. system(6)
The equation(4)

$$P = 100 (At-W/D)/At$$

was used in order to obtain samples having high porosity (sample no. 8, table 2); where A = area of sample in cm², t = thickness of sample in cm, W = weight of the sample in grams, D = density of fibre in g/cm³, and P = porosity in percent.

Table (1) Weaving Structure Used

Kinds of Weave Structure	Stitching Connection System	Kinds of Weave Structure	Stitching Connecting System
1- Plain weave 1/1	25% stitching between the layers and the raising is from both faces which are O.E	5- Plain weave 1/1	25% stitching
2- Mat weave 2/2		6- Mat weave 2/2	between the layers
In both direction		In both direction	and the raising is
3- 1/3 Twill		7- 1/3 Twill	from both faces
4- 4 end Satin weave		8- 4 end Satin weave	which are R.S.

SOUND ABSORBING DOUBLE CURTAINS FROM LOCAL TEXTILE MATERIALS

Yvonne I. Hanna** and Mohamed M. Kandil*

ABSTRACT

A new sample made of local textile material (cotton 100%) in Misr Spinning and Weaving Company (Mehalla El Kubra) is produced from special weaving structure which possesses porosity to be used as sound absorbing curtain. A double layered curtain was designed to be of high efficiency, not only in sound absorption, but also in light insulation. One layer was made of cotton 100 %, while the other was made of cotton/polyester 35/65. The two layers are separated by an air space, which is varied to obtain a construction of optimum effectiveness.

Using the standing wave apparatus (Bsuel and Kjaer type 4002), the sound absorption coefficient " α " of such samples was measured at normal sound incidence.

The effect of air space, behind and/or between the layers of curtain, on absorption coefficient has been studied to choose the best construction for specified application.

INTRODUCTION

The main purpose of acoustical materials is to reduce sound-pressure level in a room, for noise control (1). In this case, the acousticals are generally applied to wall and ceiling surfaces or suspended freely in the room volume.

Acoustical materials exhibit a wide range of sound absorption over the audible spectrum, depending upon their surface treatment, composition, method of mounting and thickness.

All the common acoustical materials are of porous composition designed to permit the entrance of sound wave into the interior. The mechanism of sound absorption in an acoustical material is the conversion of sound into heat through friction with boundary surfaces. All surface irregularities and contributions from elements such as pores and strands in an acoustical material in contact with air, which is set in motion by the incident sound wave, should be included in the boundary surface. While there is no specified lower limit of percentage of sound absorption which a material must have to be qualified as "acoustical", it is generally assumed to be about 20 percent(2).

Shenoda and et al. (3) found that the egyptian cotton can be used as an acoustical material in different forms. It is an effective, cheap material and possesses high sound absorption coefficient. Also it is easy and healthy to use compared with common commercial acoustical materials.

For production the woven textile cotton material, it was found (4) that the normal and thick threads are of high porosity. The absorption of sound depends on the nature of textile surface such as its porosity and the thickness of textile layer.

** (National Institute For Standards)

* Faculty of Applied Arts, Textile Dept., University of Helwan, Cairo

2. The new technique is tested on a worked example and the results are satisfactory.

3. It is clear that the technique succeeded in reshaping the daily load curve in a better form.

4. A considerable saving in the daily generation cost and also in the total daily system cost are obtained

5. Generalization of the formulation to include other load management tools is also presented.

6. REFERENCES

1. William J. LeBlanc,, "Developments And Implementation of an Agricultural Load Management Project", IEEE Transactions on Power Systems Vol 3, No. 4, November 1988.
2. Clark W. Gellings, and Robert W. Taylor, "Electric Load Curve Synthesis - A Computer Simulation of an Electric Utility Load Shape", IEEE Transactions on Power Apparatus and Systems, Vol. PAS-100, No. 1, January 1981.
3. R.A. Abdoo, G. Lokken,, and R.F. Bischke, "Load Management Implementation : Decisions, Opportunities and Operation", IEEE Transactions on Power Apparatus and Systems, Vol. PAS-101, No. 1 October, 1982.
4. William D. Dapkus, and Thomas R. Bowe, "Planning for New Electric Generation Technologies A Stochastic Dynamic Programming Approach" IEEE Transactions on Power Apparatus and Systems, Vol. PAS-103, No. 6,, June 1984.
5. Melvine D. Nelson, "Load Management From A Power System Operator's Perspective", IEEE Transactions on Power Apparatus and System, Vol. PAS-104, No. 2,, February 1985.
6. M. R. McRae, R.M. Scheer, and B.A. Smith, "Integrating Load Management Programs into Utility Operations and Planning with a Load Reduction Forecasting System", IEEE Transactions on Power Apparatus and Systems, Vol. PAS-104, No. 6, June 1985.
7. Arthor I. Cohen, "An Optimization Method for Load Management Scheduling", IEEE Transactions on Power System, Vol. 3, No. 2, May 1988.
8. "Annual Report of Electric Statistics 1988/1989" Egyptian Electricity Authority, Ministry of Electricity and Energy, Arab Republic of Egypt.

switching-off of some the pumps during the peak load period.

Considering life time of the pump to be 20 years, the interest and depreciation cost per day of the pump 6.178 Dollars.

Table (2) shows the optimum scheduling of load between the three stations in the three intervals of the daily load curve.

Table (2) The optimum scheduling of load between the three stations in the three intervals of the daily load curve

(K)	(L)	First Subinterval	Second Subinterval	Third Subinterval
Thermal plant (1)		220	444.9	242
Thermal plant (2)		141.66	329.08	160
Thermal plant (3)		150	274.94	162.22

The generation cost = 169,605.77 \$/day

Figure (2) shows the daily load curve after load management.

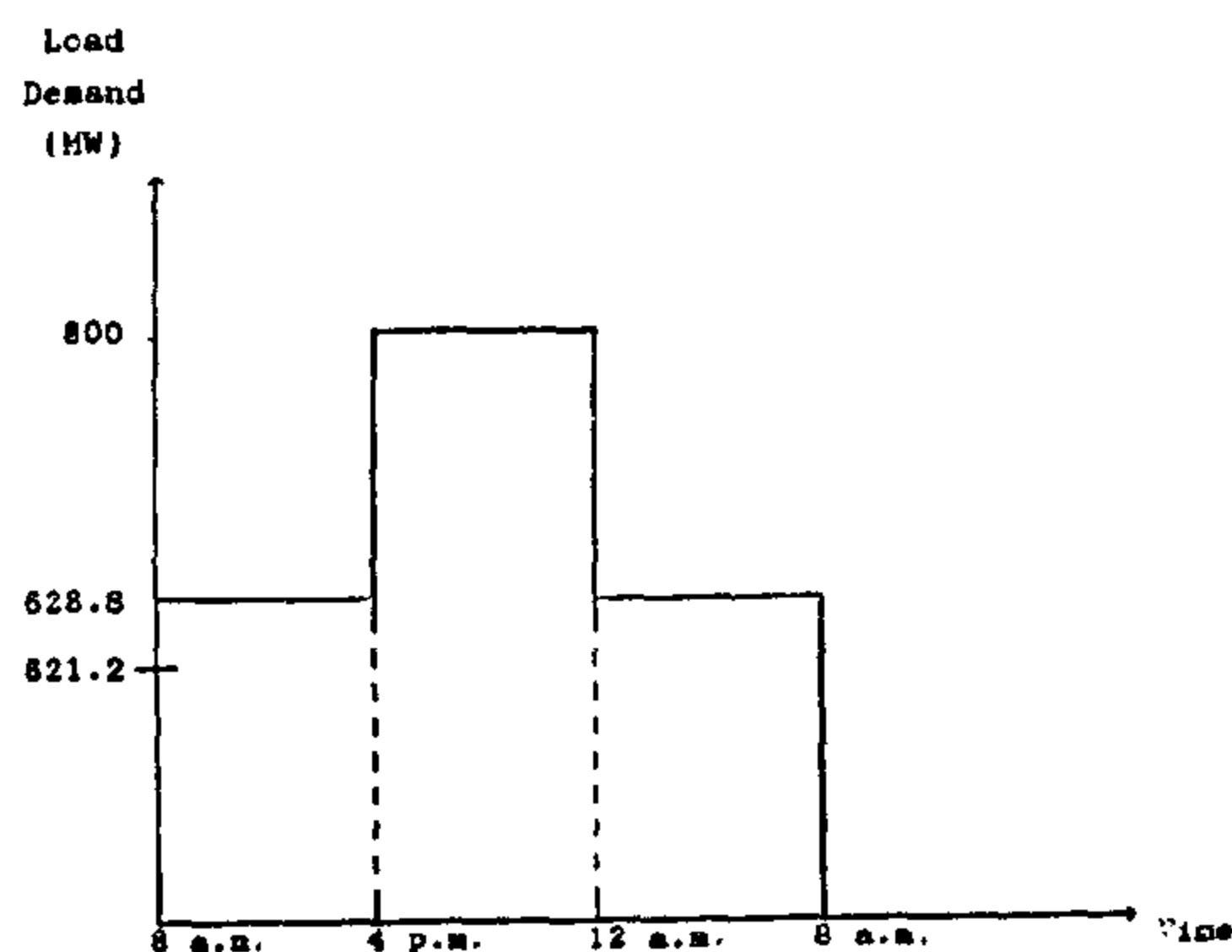


Fig. (2) The Daily Load Curve After Load Management

Applying the load management technique given in this paper on the system the following results are obtained :

- Number of pumps shut down during the peak load period = 1000 pump.
- Number of pumps added to the load in the first interval = 644 pump.
- Number of new pumps added to the load in the third interval = 356 pump.

i.e. Number of pumps that has to be added in the system to serve in load management = 644 pump.

Table (3) shows the optimum scheduling of load between the three stations in the three intervals of the daily load curve

Table (3) The optimum scheduling of load between the three stations in the three intervals of the daily load curve

(K)	(L)	First Subinterval	Second Subinterval	Third Subinterval
Thermal plant (1)		277	354	273.8
Thermal plant (2)		189.16	251.33	186.5
Thermal plant (3)		181.66	224.41	179.88

— The generation cost = 159718.8 Dollars/day

— Saving in the generation cost = 9886.97 Dollars/day

— % Saving in the generation cost = 5.82%

— Daily cost of pumps added in the system to serve in load management (interest and depreciation) = $644 \times 6.178 = 3978.623$ Dollars/day.

— Total daily system cost after applying load management = generation cost + daily cost of pumps added in the system = $159,718.8 + 3,978.632 = 163,697.43$ Dollars/day

— Saving in the daily system cost = 5908.34 Dollars/day.

— % Saving in the system cost = 3.48%

5. CONCLUSIONS

1. The paper presents the detailed formation of the problem of optimum agricultural load management in a power system. The problem is formulated as a mixed integer non-linear optimization problem in its standard form.

Subject to the following constraints,

$$\sum_{K=1}^n P_{KL} - P_{RL} - P_{SL} - \sum_{i=1}^m n_i P_i (\alpha_L^{+ve} - \alpha_L^{-ve}) = 0 \quad (L=1,2,\dots,a),$$

$$\sum_{i=1}^m \sum_{L=1}^a n_i P_i (\alpha_L^{+ve} - \alpha_L^{-ve}) T_L = 0,$$

$$\alpha_{iL}^{-ve} n_i P_i \leq P_{DjL},$$

$$\alpha_{iL}^{+ve} \leq 1 \quad (L=1,2,\dots,a) \\ (i=j=1,2,\dots,m)$$

where

$P_D(J,L)$ represents the megawatt demand of the load of type (j) sharing in the load management process; during the sub-interval (L),

j represents the code number associated with the type of load sharing in the load management process.

Some additional constraints may be also included; according to the types of load management tools used in the system [7].

4. WORKED EXAMPLE

The system consists of three thermal power stations. The daily load curve of the system is shown in figure (1). The fuel costs of the thermal plants can be approximated by the following equations.

$$F(1) = 0.005P^2(1) + 7.5P(1) + 99 \text{ dollars/day}$$

$$F(2) = 0.006P^2(2) + 8P(2) + 85 \text{ dollars/day}$$

$$F(3) = 0.009P^2(3) + 7P(3) + 95 \text{ dollars/day}$$

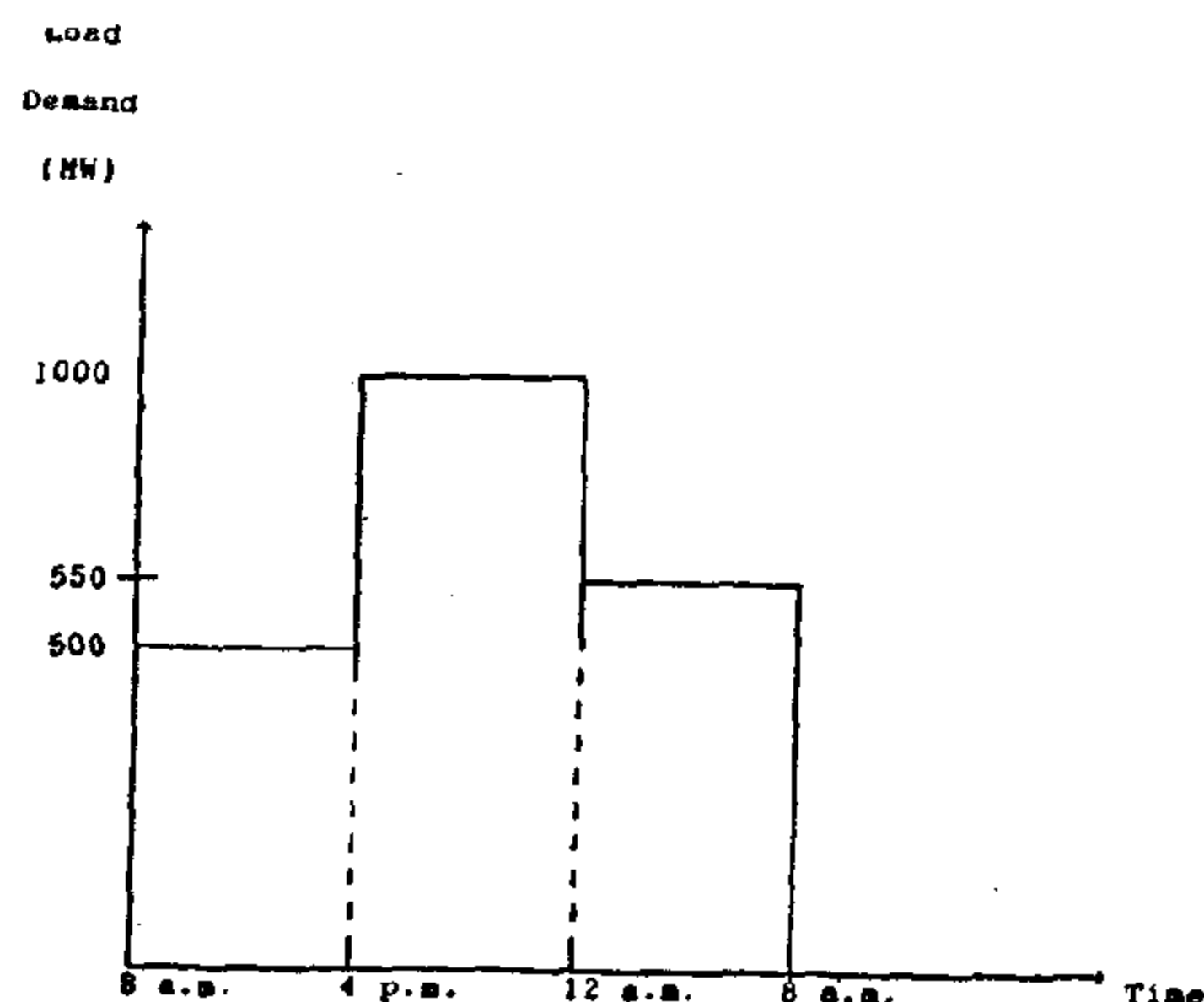


Fig. (1) A Typical Load Curve.

And the loss formula coefficients of the system are given in Table (1)

Table (1) The Loss Formula Coefficients

J	1	2	3
1	0.0001	0.000025	0.000025
2	0.000025	0.000075	0.000025
3	0.000025	0.000025	0.00005

Data of the load

- 20% of the peak load is considered as irrigation loads, working all the day. This amount represents the parallel operation of pumps, each of them has the following data :-

Power = 0.2 MW

Head = 5 meter

Efficiency = 74%

Discharge = 3000 Liter/second

Cost = 45,100 Dollars

This means that a total sum of 1000 pumps is considered to exist in the system; working all the day.

It is required to decrease the demand during the peak load period by installing new pumps in the system to operate during the off-peak periods, enabling the

$n \alpha^{+ve}(L)$ represents the number of the agricultural pumps required to be added to the subinterval (L) as a result of the load management process in the system,

P represents the megawatt capacity of the unit agricultural pump,

$\alpha^{-ve}(L) nP$ represents the load to be canceled from the subinterval (L) as a result of the load management process in the system in megawatts.

Note : $\alpha^{+ve}(L)n$ and $\alpha^{-ve}(L)n$ are integer variables.

Besides a system of inequality constraints of the following form is required :-

$$\alpha_L^{-ve} nP \leq PD_L (L=1,2,\dots,a) \quad (8)$$

$$\alpha_L^{+ve} \leq 1 \quad (L=1,2,\dots,a) \quad (9)$$

where

$PD(L)$ represents the megawatt demand of the load sharing in the load management process; during the subinterval (L)

Expressing the system transmission losses as a function of the loss formula coefficients and the power input to the network from each plant, the equality constraints (4) can be rewritten in the following form :

$$\sum_{K=1}^n P_{KL} - P_{RL} - \sum_{i=1}^n \sum_{j=1}^n P_{iL} B_{ij} P_{jL} - nP(\alpha_L^{+ve} - \alpha_L^{-ve}) = 0 (L=1,2,\dots,a) \quad (10)$$

where

$P(i,L)$ represents the generation of plant (i) during the subinterval (L) in megawatts,

$P(j,L)$ represents the generation of plant (j) during the subinterval (L) in megawatts,

$B(I,J)$ represents self and mutual loss-formula coefficients measured in (1/MW)

The above formulation shows that the problem variables of the problem of optimum agricultural load management in a power system are :

$P(K,L)$

$(K = 1,2,\dots, n), (L = 1,2,\dots, a)$

n

$\alpha^{+ve}(L) (L = 1,2,\dots, a)$

$\alpha^{-ve}(L), (L = 1,2,\dots, a)$

The objective function is a non-linear objective function and the constraints are non-linear constraints. This means that the optimum agricultural load management in a power system is mixed-integer programming optimization problem in its standard form.

3. GENERALIZATION OF THE FORMULATION TO INCLUDE OTHER LOAD MANAGEMENT TOOLS :

The Technique for optimum agricultural load management in power system may be generalized to include other load management tools as follows :

It is required to minimize the objective function z of the form

$$\sum_{L=1}^a \sum_{K=1}^n P_{KL} T_L + \sum_{i=1}^m n_i C_i$$

dollars/day

where

m represents the number of types of load management tools recommended for the system. (it represents also the number of type load sharing in the load management process,

i represents the code number associated with the type of the load management tools.

The power and energy balances must, always, be fulfilled. Thus the problem may be formulated as follows :-

If (n) is number of thermal plants in the system, (a) is the number of subintervals in its daily load curve (as shown in Figure 1).

Then, it is required to minimize the objective function z of the form :-

$$\sum_{L=1}^a \sum_{K=1}^n F_{KL} T_L + nc \text{ dollars/day} \quad (1)$$

where

$F(K,L)$ represents the fuel cost of the plant (K) during the subinterval (L) in dollars per unit time which is a nonlinear function of plant generation ($P(K,L)$),

$T(L)$ represents the time duration of the subinterval (L) in units of time,

n represents the number of the additional agricultural pumps required in the system,

C represents the daily interest and depreciation cost of the additional agricultural pumps required in the system.

Subject to a system of equality constraints to assure the power and energy balances.

These equality constraints will have the forms :-

(i) A system of (a) equality constraints for the power balances in the (a) subintervals :-

$$\sum_{K=1}^n P_{KL} = P_{RL} + P_{SL} + (P_{\text{managed}}^{+ve} - P_{\text{managed}}^{-ve})_L \quad (L=1, 2, \dots, a) \quad (2)$$

or

$$\sum_{K=1}^n P_{KL} - P_{RL} - P_{SL} - (P_{\text{managed}}^{+ve} - P_{\text{managed}}^{-ve})_L \quad (L=1, 2, \dots, a) \quad (3)$$

or

$$\sum_{K=1}^n P_{KL} - P_{RL} - P_{SL} - nP(\alpha_L^{+ve} - \alpha_L^{-ve}) = 0 \quad (L=1, 2, \dots, a) \quad (4)$$

(ii) An equality constraint assuring the energy balance in the system :-

$$\sum_{L=1}^a (P_{\text{managed}}^{+ve} - P_{\text{managed}}^{-ve})_L T_L = 0 \quad (5)$$

or

$$\sum_{L=1}^a (\alpha_L^{+ve} nP - \alpha_L^{-ve} nP) T_L = 0 \quad (6)$$

or

$$\sum_{L=1}^a nP(\alpha_L^{+ve} - \alpha_L^{-ve}) T_L = 0 \quad (7)$$

where

$P(K,L)$ represents the active power generation from plant (K) during the subinterval (L) in megawatts,

$P(R,L)$ represents the load demand during the subinterval (L) in megawatts.

$P(S,L)$ represents the transmission losses during the interval (L) in megawatts,

$P_{+ve}(\text{managed}) (L)$ represents the load to be added to the subinterval (L) as a result of the load management process in the system in megawatts,

$P_{-ve}(\text{managed}) (L)$ represents the load canceled from the subinterval (L) as a result of the load management process in the system in megawatts,

DEVELOPMENT OF A NEW NON-LIN ER PROGRAMMING TECHNIQUE FOR OPTIMUM AGRICULTURAL LOAD MA NAGEMENT IN POWER SYSTEMS

*Moutaz Z. Ghoneim **Mohamed M. El-Gazar **El-Saeid Othman
***Abdel-Ghany Kohla

ABSTRACT

The paper presents a new technique for optimal agricultural load management to reduce the daily cost of energy generation taking into consideration the daily interest and depreciation costs of the requiried agricultural pumps.

A numerical example is presented, in which the irrigation load is managed by installing new pumps in the system. The required energy for the irrigation load at the peak periods is shifted to the off-peak periods to minimize the daily coast of the energy production. The technique is extended in the paper to include other load management tools.

1. INTRODUCTION

As currently understood in the power industry, load management refers to the use of load control measures to reduce peak loads and increase base loads. In a thermally dominated power system it is customary to meet off-peak loads with the generating equipment that operates at lowest incremental cost, resorting to units with higher heat rates (costs) only as load moves into peak ranges. Since peak power is generated at much higher cost than off-peak power-and is therefore "worth" more to the system, it has been possible to reduce overall system costs

by shifting peak load to off-peak periods. This will also improve the system loads factor.

Agricultural irrigation pumps working all the day represent a typical load in many power systems nowadays [1,8]. In such systems, a direct control load management project for agricultural irrigation pumps may be applied. This necessitates the development of mathematical programming techniques for optimum agricultural load management in power systems.

2. FORMUIATION OF THE PROBLEM

Consider a system with a significant agricultural load working all the day. In such a system, a direct control load management project for agricultural irrigation pumps may be applied.

As an optimization problem, the problem may be stated as :-

It is required to reshape the daily load curve of system by trying to distribute some of this load during the peak periods over the off-peak periods by installing new agricultural pumps in the system; taking into consideration that the system generation cost must be minimum and taking also into consideration the cost of introducing these new pumps in the system.

* Prof. of Electrical Power Engineering & Dean of the Faculty of Engineering, Al-Azhar University.

** Assistant Prof. at the Faculty of Engineering, Al-Azhar University

*** Assist. Lect. at the Faculty of Engineering. At-Azhar University.

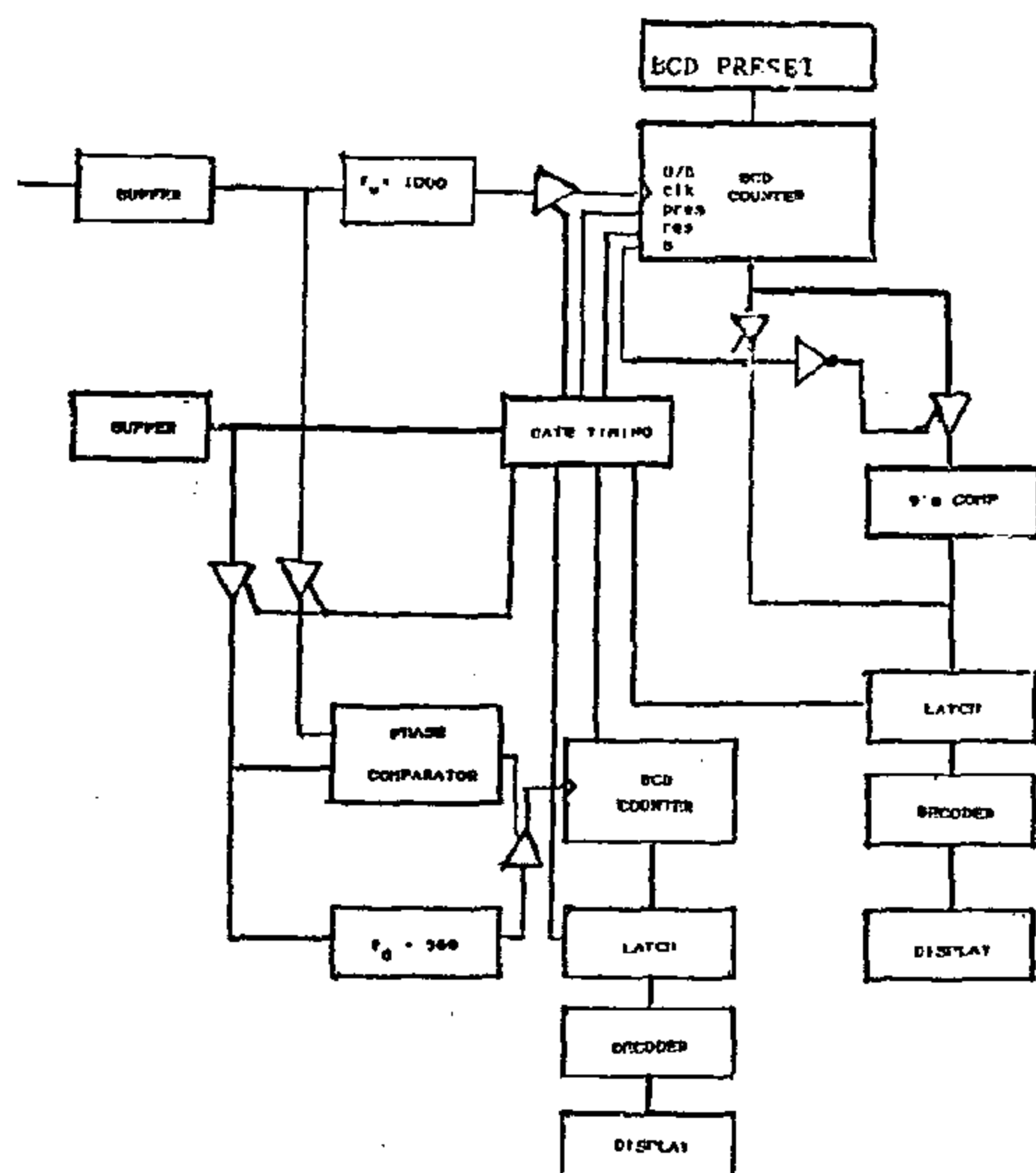


Fig. (1) : The Block Diagram of The Digital Frequency and Phase Difference Meter.

PERFORMANCE AND CONCLUSION

A prototypes of the frequency and phase difference meter,, described here was constructed and tested thoroughly and satisfactory results were obtained using the specially designed LPF. fluctuation of the output frequency of the VCO as a result of fluctuating the input DC voltage was overcome by the special design of the LPF where two cascaded filters are used, the first one with passive

component while the other is an active LPF. The phase lock problem was solved by increasing the filter time constant gradually after phase lock has been indicated.

REFERENCES

- (1) D. Horlick and B. Bertolucci, "A new type of digital frequency multiplier," Proc. IEEE, Vol 63, pp, 1365-1366, 1975.
- (2) B. A. Gimmel, "An improved type of digital frequency multiplier" Proc. IEEE, Vol. 65, p. 815, 1977.
- (3) E. Vasantha and A. P. Shivaprasad, "A new approach to digital frequency synthesis," IEEE Trans. Instrum. Meas., Vol IM-30, no. 2, pp 102-106, June 1981.
- (4) V. Manassewitsch, Frequency Synthesizer Theory and design, New York : Wiley, 1976.
- (5) T. Kasparis, N. C. Voulgaris, and C. C. Halkies, "A method for the precise measurement of the difference between two low frequencies" IEEE Trans. Instrum. Meas, Vol. IM-34,no. 1, pp 95-96, march 1985.

ency different and digital phase difference to be used with a photovoltaic deisel hybrid system for stability purposes. The gate and clock signal is generated from the deisel frequency, which is considered as guiding signal, with 50 Hz nominal frequency. A resolution of three decimal digits can be achieved regarding frequency difference measurement and of two decimal digits regarding phase difference (in radians).

PRINCIPLE OF OPERATION

This paper is devoted completely to the measurement of the frequency difference between a guiding signal and a follower one, and hence the difference is related to the guiding signal which is considered in this case as a local reference. Hence the accuracy of measurement is not absolute or referred to any class of standards, therefore the clock and gating signals are derived from this local reference. Using down presetable counter with a presetable value equal to the local reference frequency and count down the other incoming frequency during the gate time interval. The counter content after the gate signal is the deviation from the local standard. Information about the polarity of the difference can be obtained from the borrow in signal.

To achieve a resolution of n decimal places, the nominal value of the local reference with n decimal places (50.000 for $n = 3$) will be the present value of the presetable counter, and we multiply the PVG incoming by factor 10 (which means that the difference in the frequencies is also multiplied by the same factor) The inherent ± 1 count error results in a resolution of $\pm 10^n$ Hz.

METHOD IMPLEMENTATION

The block diagram of the digital frequency and phase difference meter is described here as shown in Fig. 1. The two input

signal are applied to buffer stage where they are converted to a train of square pulses. The frequency of the PVG pulse train is multiplied by 10 in frequency multiplier which consists of a single phase locked loop (PLL) stage. This comprises in addition to the PLL chip, R-C low pass filter (LPF) and a divide by k counter (k = frequency multiplication factor) Frequency multiplication can be achieved by a number of methods (1)-(4), however this method is the simplest and cheapest, but it results in one disadvantage which can be very serious unless a careful design of the LPF is realized. The phase comparator (PC) output of PLL is not DC but a pulsed signal that has to be averaged, usually simple filter will do and its output is to be fed to the VCO, and the output of which will be fed back to the PC through the counter. This simple filter usually follows the phase comparator stage and its output is a fluctuating DC and hence the VCO output will not be of constant frequency. Increasing the filter time constant reduces this fluctuations but increases the delay and the PLL will not lock because the VCO input, and hence its output, is far behind the phase comparator. This problem has been overcome here by cascading active and passive LPF's each with moderate delay while keeping the phase between the input signal and the fed back one minimum. Good results has been achieved and the output of the VCO became uniform and can be used as a clock signal for measurement and comparison purposes.

Phase measurement is done in a similar way, where the two signals are fed to a phase comparator which simply consists of two latches and a NAND gate. The output of which is the phase difference. This is used to gates the clock to the counter. The clock here is the DPG frequency multiplied by 360 for 1° resolution.

ON THE CONTROL OF AN EFFICIENT PHOTOVOLTAIC/DIESEL INTERCONNECTED SYSTEM. FREQUENCY AND PHASE MEASUREMENTS

MOHSEN T. EL HAGRY* AND IBRAHIM MOTAWIE**

ABSTRACT

The purpose of this paper is to establish a cheap method to be used in measuring frequency and phase differences. The proposed measurement system is intended to be used with a PV/Diesel hybrid system. The proposed method should be a part of the control system that control and coordinate the operation of the system when the PV generation is not sufficient and the shortage will be supplied by the Diesel generator. The frequency and phase difference measurement is referred to the diesel, where controlling the PV inverter to follow the Diesel is much easier. Phase locked loop scheme is used in frequency multiplication and the output of the VCO is used as a clock signal in measuring phase difference. This has been successfully achieved with careful design of the low pass filter used in phase locked loop circuit.

INTRODUCTION

Now with the growing demand and implementation of nonconventional sources of electrical energy such as the solar and wind energy the demand on power conditioning unit is getting growing as well. The power conditioning unit is responsible for modifying the shape of energy generated (voltage magnitude, frequency, harmonic content,). These nonconventional sources together with another energy source are used to supply the end user.

These photovoltaic plants and wind farms cannot stand alone to supply a 24 hours load. They should be supported by some other source of energy and/or storage system. The proposed system through out this work is chosen to be photovoltaic generator (PVG), diesel powered generator (DPG) and a battery storage system.

However, interconnecting a DPG and a PVG will not be successful unless a good match is realized between the two generators. This imposes the requirement to design a system which assures a good matching between the frequencies and phase difference of both DPG and PVG.

There are several precise frequency measurement techniques, such as phase locked loop vernier interpolation, reciprocal counting, and computing counters, which can be used in the measurement of the difference between two low frequencies, but they require complicated circuitry and are expensive. The same applies for measuring phase difference.

A simple method to achieve high resolution is to multiply the two incoming frequencies by a large factor and then use two counters and a subtractor. The same method applies as well for phase measurement however in this case only the diesel frequency will be multiplied by a large factor, and this factor will determine the resolution of phase measurement.

In this paper we describe a simple and cheap method of measuring digital frequency.

* With ERI ** with NIS...

INDUSTRY & PRODUCTION

INST. OF MECHANICAL ENGINEERS
INST. OF ELECTRICAL ENGINEERS

pancy between the predicted values of the compression index and those determined from the consolidation tests. This may be attributed to the fact that the liquid limit of a soil reflects only the clay content and the type of clay minerals. Some other factors which have a great effect on the soil compressibility such as the stress history of the soil, the soil structure and the mode of the soil deposition are not well represented by the liquid limit

2. Prediction of the soil compressibility by using some correlations which depend on some soil properties representing the stress history and soil structure, such as the voids ratio, resulted in better agreement between the predicted and the measured values of the compression index.

3. The natural water content and the dry density reflect many of the factors which affect the soil compressibility such as the clay content, the type of clay minerals, the stress history, the soil structure and the mode of soil deposition. It was found that prediction of the compression index by using these two parameters resulted in much better agreement between the predicted and the measured values. These two parameters are simple and can be easily determined.

4. It is proposed to predict the compression index by using the following relations

$$(a) \quad C_c = a(w_L - 10)$$

$$a = 0.011 - 0.01 \left(\frac{\gamma_d}{w} \right)$$

$$(b) \quad C_c = 0.071 \left(\frac{w}{\gamma_d} \right) + 0.07$$

γ_d is the natural dry density in kN/m^3
 w is the natural water content in %.

However, it should be pointed out that these correlations may be applicable only for the clayey Nile deposits especially those prevailing in the greater Cairo.

REFERENCES

1. Bahr, M.A. (1983) "Shear strength characteristics for some clayey Nile deposits", M. Sc. thesis, Al-Azhar University.
2. Bazaraa, A., Sherif, M. and Mashhour, M. (1986) "some geotechnical properties of Port Said silty clay". Jour. of Egyptian Society for soil mech. and Found. Enging., Vol. 1, pp., 27-34.
3. Gabr, A.W.A. (1975). "Disturbance and macrofabric effects on the measured properties of soft alluvial deposits in central Scotland". Ph. D. Thesis, Univ. of Strathclyde.
4. Gabr, A.W.A. and Hassan, A.R. (1986) "Estimation of field compression index from simple basic soil properties" CERM, Vol. 8, PP. 58-8.
5. Hassan, A.R. (1984). "Effect of fabric on engineering properties of some Egyptian soils". M.Sc. Thesis. Al-Azhar University.
6. Hough, B.K. (1969). "Basic soils engineering" 2nd ed. the Ronald press. Co. New York.
7. Nishida, Y. 1956) "A brief note on compression index of soils" Jour. Soil Mech. and Found. Div. ASCE Vol. 82 No. SM3.
8. Radwan, AM. and Gabr, A.W.A (1987) "Study on the index properties and consolidation parameters of Nile alluvium and Port Said marine deposit" CERM. Vol. 9, No. 3, PP. 41-61.
9. Skempton, A.W. (1944). "Notes on the compressibility of clays" Quart. Jour. Geol. Soc. Vol. 100, PP 119-135
10. Sowers, G. B. and Sowers, G.F. (1970) "Introductory soil mechanics and foundations" 3rd ed. The Macmillan Co. New York.
11. Terzaghi, K and Peck, (1948). "Soil mechanics in engineering practices" John Wiley and Sons, New York.

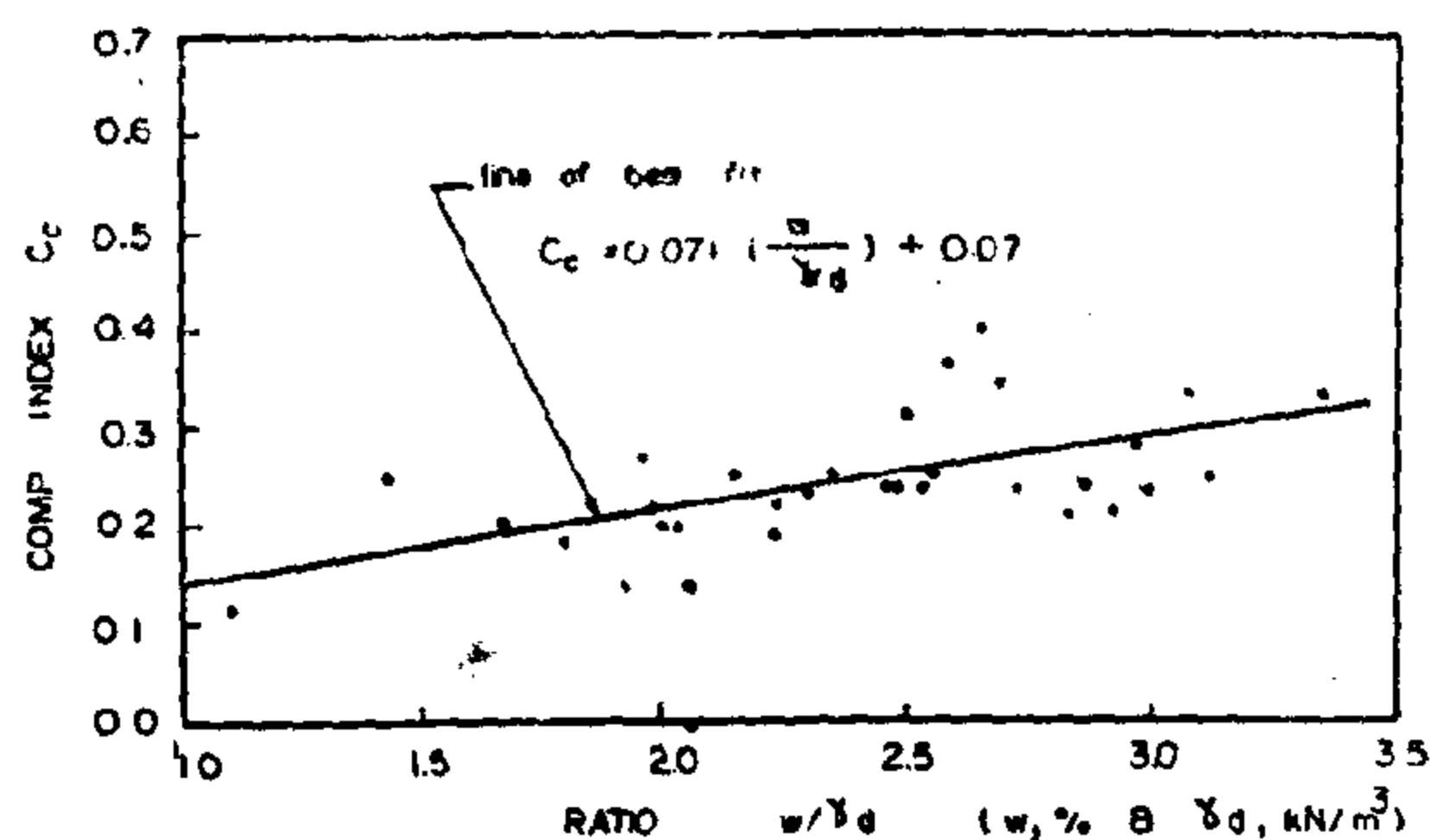


Fig. 7 : Relation between compression index and natural water content and dry density.

This relation can be described by the following equation :

$$C_c = 0.071 \left(\frac{w}{\gamma_d} \right) + 0.07 \quad \text{----- (9)}$$

where :

w is the natural water content in %
 γ_d is the natural dry density in kN/m^3

Fig. 8. shows the deviation of the values of the compression index calculated by using Eq. 9. from the measured values. It can be noticed that by using this equation, about 76% of the predicted values of the compression index lie within $\pm 30\%$ of the measured values and almost all the predicted values lie within the range of $\pm 60\%$.

As shown in Table 1, the equation which correlate the compression index to the liquid limit resulted in great differences

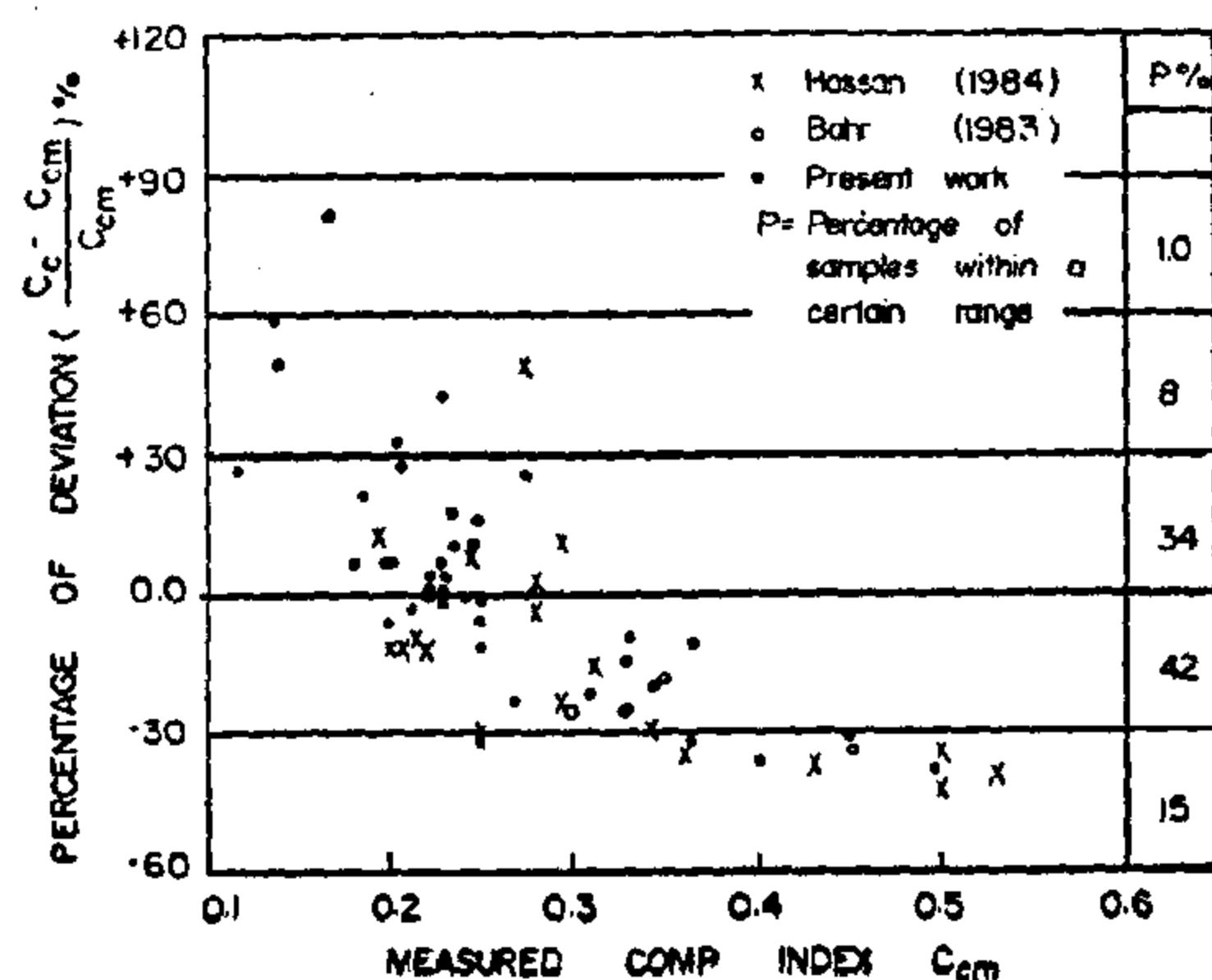


Fig. 8 : Percentage of deviation of values of compression index as calculated from Eq. 9.

Table 1 : Comparison between the different correlations used in prediction of compression index.

R**	P*	
	+ 30%	+ 60%
Eq. 2	19	47
Eq. 3 & 4	42	79
Eq. 5	61	84
Eq. 7	60	80
Eq. 8	57	77
Eq. 9	76	99

P* : Percentage of the samples having compression indices lying within a certain range of deviation to the total number of the tested samples (about 65 samples).

R** : Range of deviation of the calculated values from the measured compression index

between the predicted and measured values of the compression index. These differences were of an order greater than 30% for more than 30% of the total number of the tested samples and of an order greater than 60% for about 50% of this number.

Using some formulae which predict the compression index from voids ratio, water content and dry density produced much better results. The predicted values of the compression index were within the range of $\pm 30\%$ of the measured values for 61%, 60%, 57% and 76% of the total number of the tested samples by using Eq. 5, Eq. 7, Eq. 8. and Eq. 9. respectively

CONCLUDING REMARKS

1. Prediction of the soil compressibility by using only the liquid limit parameter, in most cases, results in a great discre-

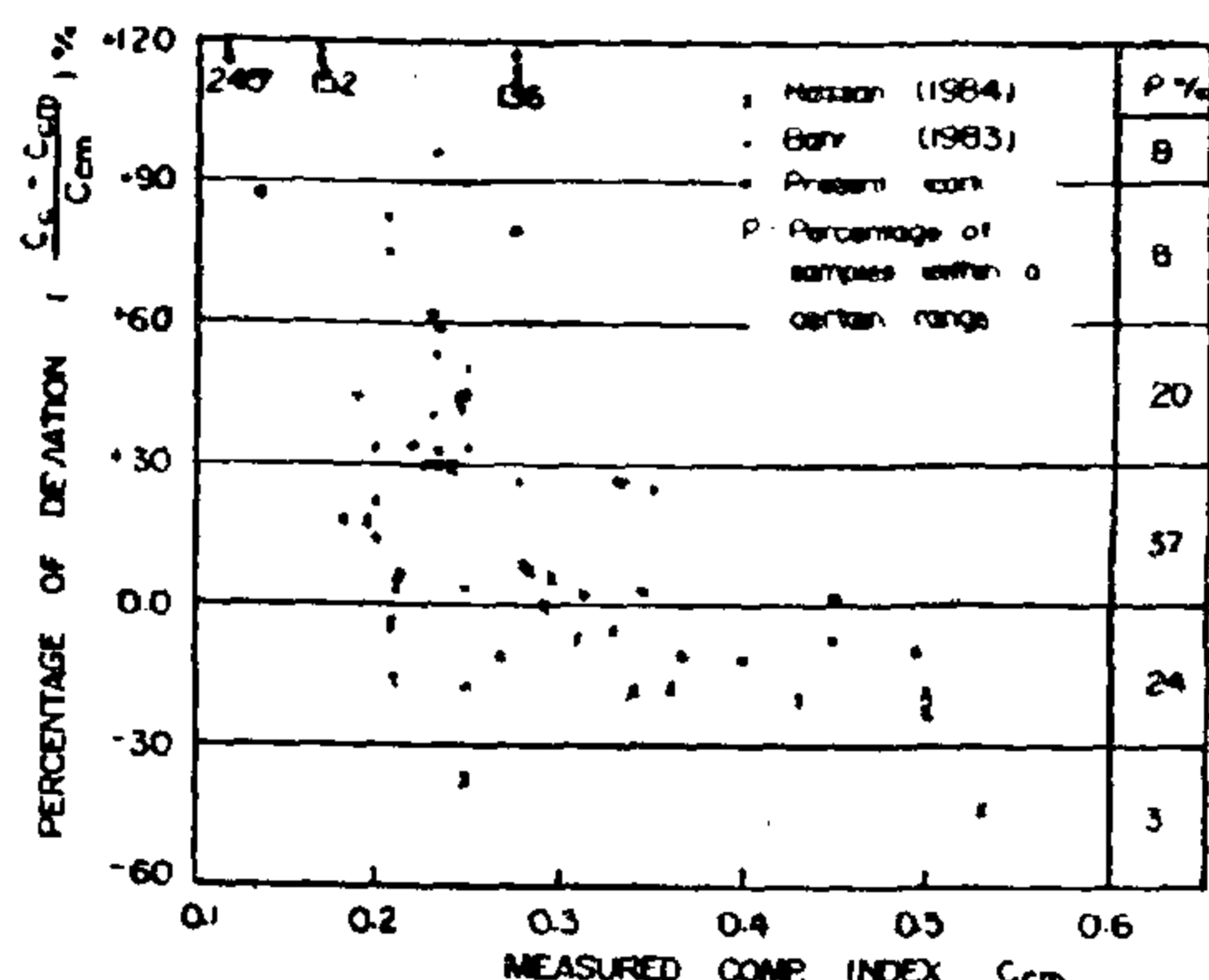


Fig. 4 : Percentage of deviation of values of compression index as calculated from Eq. 5

Bazaraa et al (1986) suggested to predict the compression indices of soils of marine deposit origin from the following equation.

$$C_c = (1 + e_0)(0.006w - 0.04) \text{ ---- (7)}$$

where :

w : is the natural water content in %.

Fig. 5. shows the relation between the measured values of the compression index and percentage of deviation of the values calculated by Bazaraa's eq. It is noticed that this equation gave almost the same results as Nishida's eq.

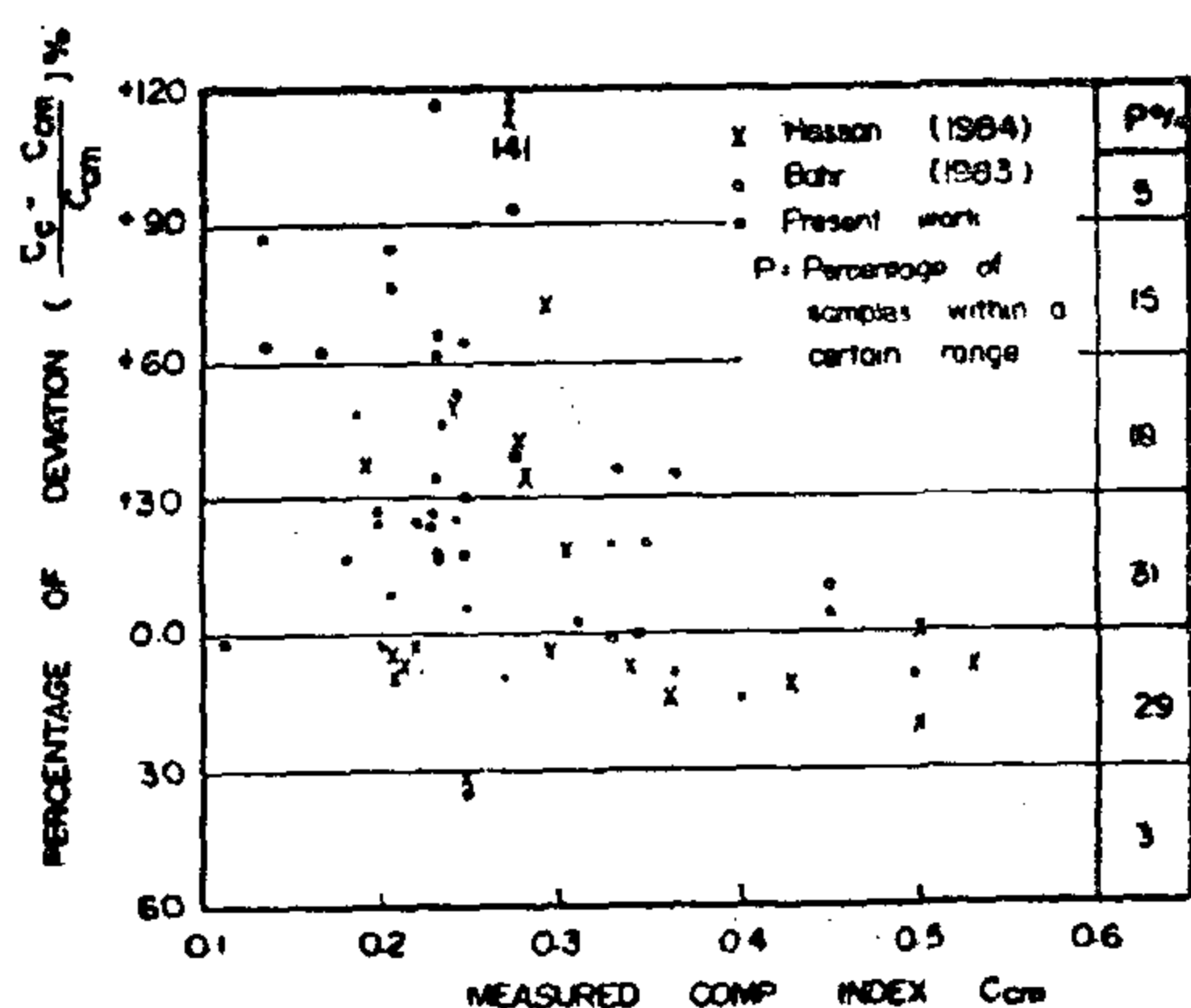


Fig. 5. : Percentage of deviation of values of compression index as calculated from Eq. 7.

Gabr and Hassan (1986) proposed the following relation :

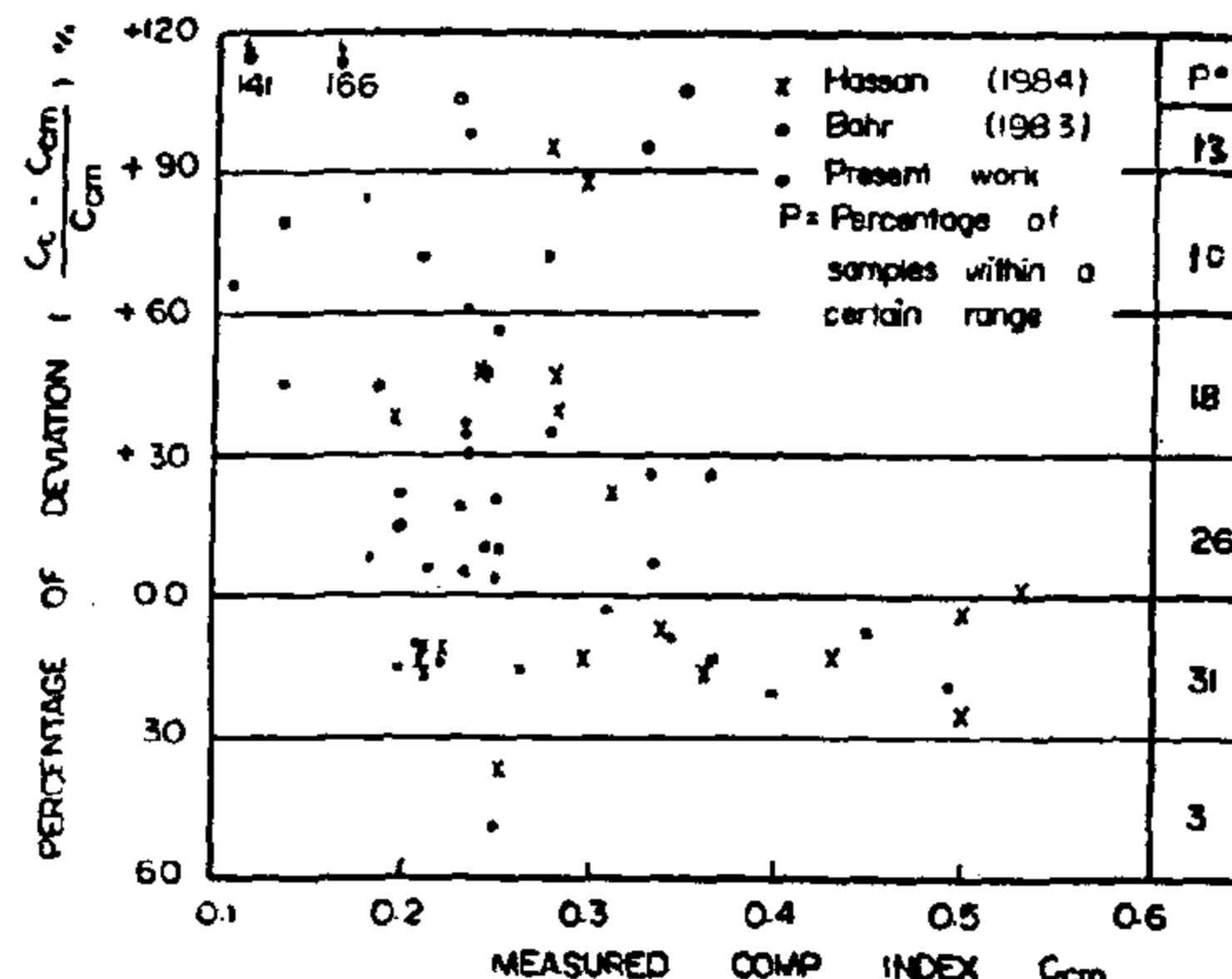


Fig. 6 : Percentage of deviation of values of values of compression index as calculated from Eq. 8.

$$C_c = 0.565(0.026w - 0.35) \text{ ---- (8)}$$

this equation is almost having the same form as that of Nishida (1956) with a slight difference in the factor and by substituting (e_0) with the term ($G_s.w$) and assuming an average value of the specific gravity (G_s) equal to 2.6. Fig. 6 shows that the results obtained from using this equation to predict the compression index do not differ so much from those shown in Fig. 4. obtained from Nishida's equation.

b) Prediction of Compression Index from Dry Density and Natural Water Content.

It was thought that prediction of the soil compressibility may be improved if the soil compression index is correlated to the initial dry density and natural water content. These two terms reflect most of the factors which affect the soil compressibility such as the clay content, the type of clay minerals, the stress history, the soil structure and the mode of soil deposition.

Fig. 7. shows the relation between the compression index as determined from the consolidation tests and the ratio of the water content to the dry density.

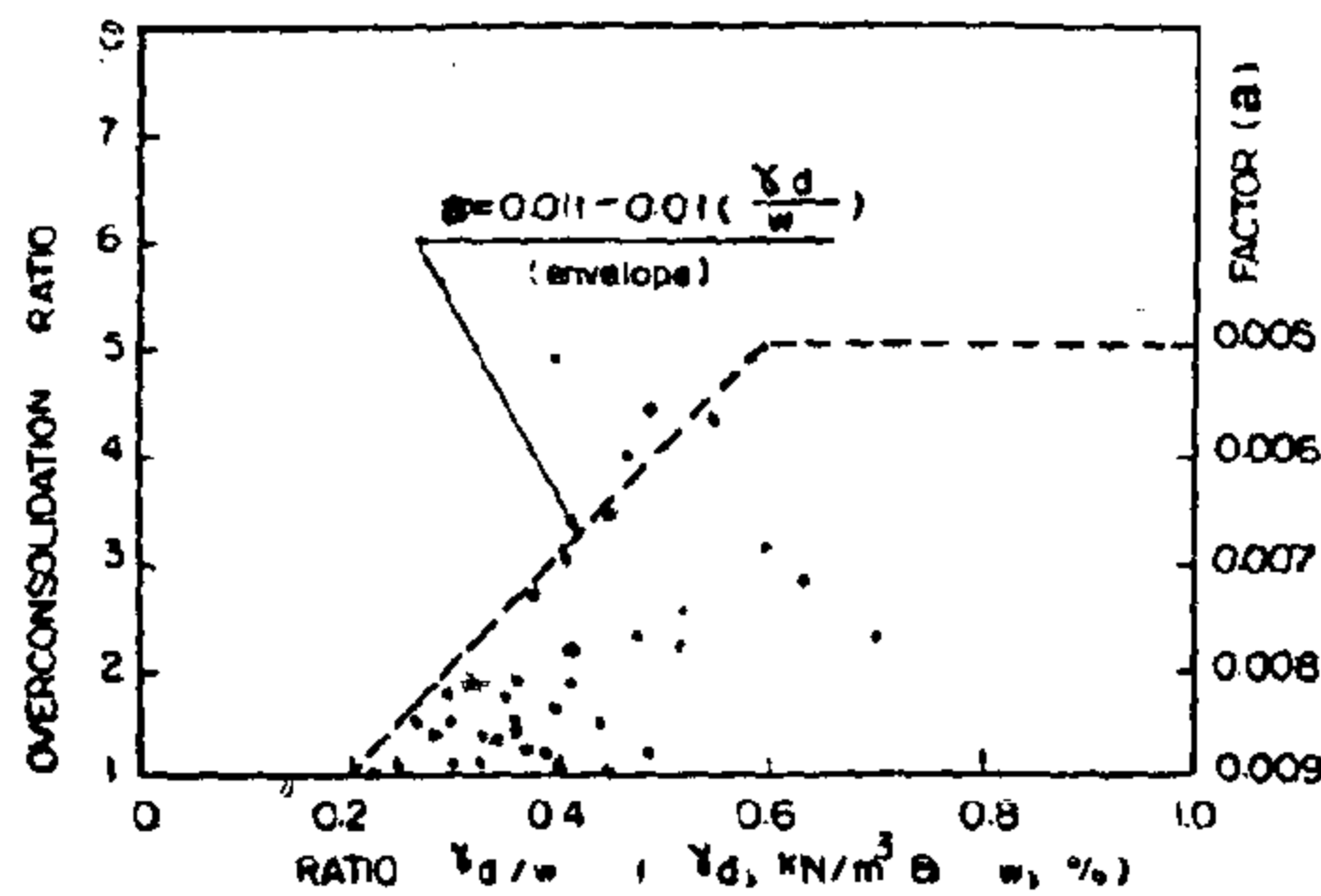


Fig. 2 : Relation between the overconsolidation ratio and dry density and water content.

Since the soil compressibility increases as the ratio of the dry density to the water content decreases (the dry density decreases and the water content increases), it is proposed that the factor (a) in Eq. 3. is to be function of this ratio according to the following relationship:

$$a = 0.011 - 0.01 \left(\frac{\gamma_d}{w} \right) \text{-----(4)}$$

where : γ_d is the dry density in kN/m^3 and w is the natural water content in % with a minimum value of (a) equal to 0.005 and a maximum value of 0.009.

The relation between the measured values of the compression index and those predicted by using Eq. 3. and Eq. 4. is given in Fig. 3. It can be noted that some improvement was achieved compared with the results which were obtained from Eq. 2. and shown in Fig. 1. However, the discrepancy between the predicted and measured values of the compression index is still pronounced.

PREDICTION OF COMPRESSION INDEX FROM SOIL PROPERTIES :

a) Prediction of Compression Index From Voids Ratio And Water Content :

As mentioned above, the liquid limit parameter of a soil does not reflect some of the important factors which affect the soil compressibility such as, stress history, soil structure and mode of deposi-

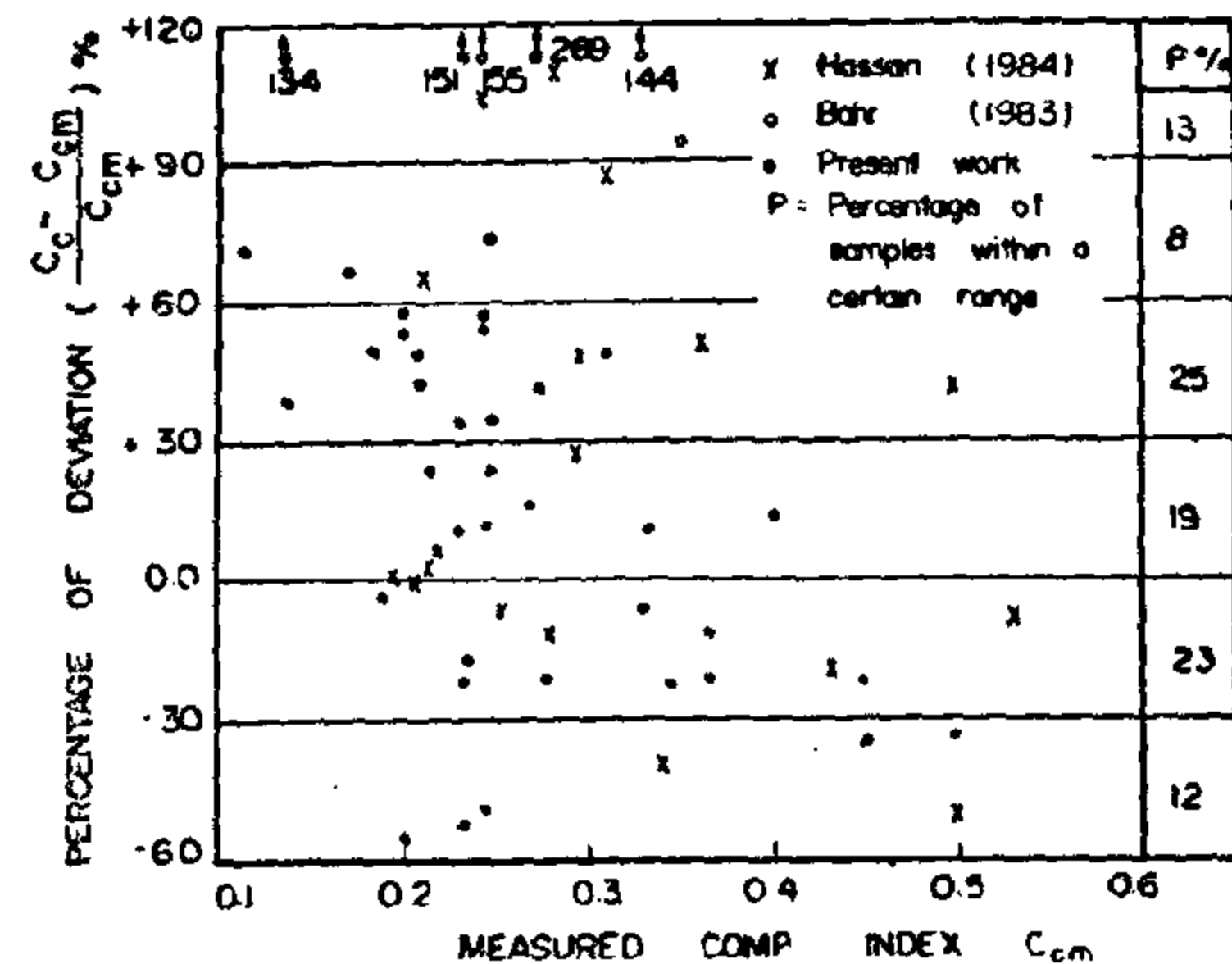


Fig. 3 : Percentage of deviation of values of compression index as calculated from Eq 3 and Eq. 4.

tion. This may be the reason for the great differences between the values of the compression index predicted from the liquid limit relations and those determined from consolidation tests. Therefore, some research workers have tried to correlate the compression index with other properties of the soil which represent such factors.

Nishida (1956) proposed the following equation, which relates the compression index to the initial voids ratio (e_0) :

$$C_c = 0.54(e_0 - 0.35) \text{-----(5)}$$

Hough (1969) proposed to put this equation in the following form :

$$C_c = C(e_0 - d) \text{-----(6)}$$

where :

(c) and (d) are parameters depending on the type of soil. Sowers and Sowers (1970) gave values for (c) and (d) where $c = 0.75$ and $d = 0.2$ for porous rock and $d = 0.8$ for highly micaceous soil.

Fig. 4. shows the deviation of the values calculated by using Nishida's Eq. from the measured values. It can be noticed that about 61% of the results lie within a range of $\pm 30\%$.

carried out for each sample and the compression index was determined from the e-log p curve.

PREDICTION OF COMPRESSION INDEX BY USING LIQUID LIMIT

Skempton (1944) proposed to predict the compression index (C_c) by using liquid limit (w_L) from the following equation for disturbed soils :

$$C_c = 0.007 (w_L - 10) \text{ ----- (1)}$$

Terzaghi and Peck (1948) suggested a revision of Skempton's equation to the following form to be used for undisturbed soils :

$$C_c = 0.009 (w_L - 10) \text{ ----- (2)}$$

This equation can be used for normally consolidated clays of low or moderate sensitivity with a reliability of the order of $\pm 30\%$. As for soils of great sensitivity or high compressibility, the values of the compression index determined from this equation may be several times smaller than the actual values. On the other hand, the compressibility of a preconsolidated soil based on this equation may be four to ten times greater than the actual values.

Bazaraa et al (1986), found that the values of the compression index determined from consolidation tests for soils of marine deposits agree with those predicted from Eq. 2. Radwan and Gabr (1987), found that the relation given in Eq. 2. may take the following form

$$C_c = a (w_L - 10) \text{ ----- (3)}$$

Where :

$a = 0.0061$ for Nile alluvium deposits, and
 $a = 0.0065$ for marine deposits.

Radwan and Gabr attributed the difference between their relation and that given by Bazaraa et al, (1986) for marine deposits to the differences in depths

of the samples tested in both works. Gabr and Hassan (1986) found that the factor (a) in Eq. 3. may vary from 0.0060 to 0.0065 according to the size of the tested sample.

Fig. 1 shows the relation between the values of the compression index as determined from consolidation tests carried out on the soils under investigation and the percentage of deviation of the calculated values as obtained from Eq. 2 by using the liquid limit. From this figure, it can be noticed that about 73% of the calculated values are overestimated by more than 30%, while about 53% of the results are overestimated by more than 60%.

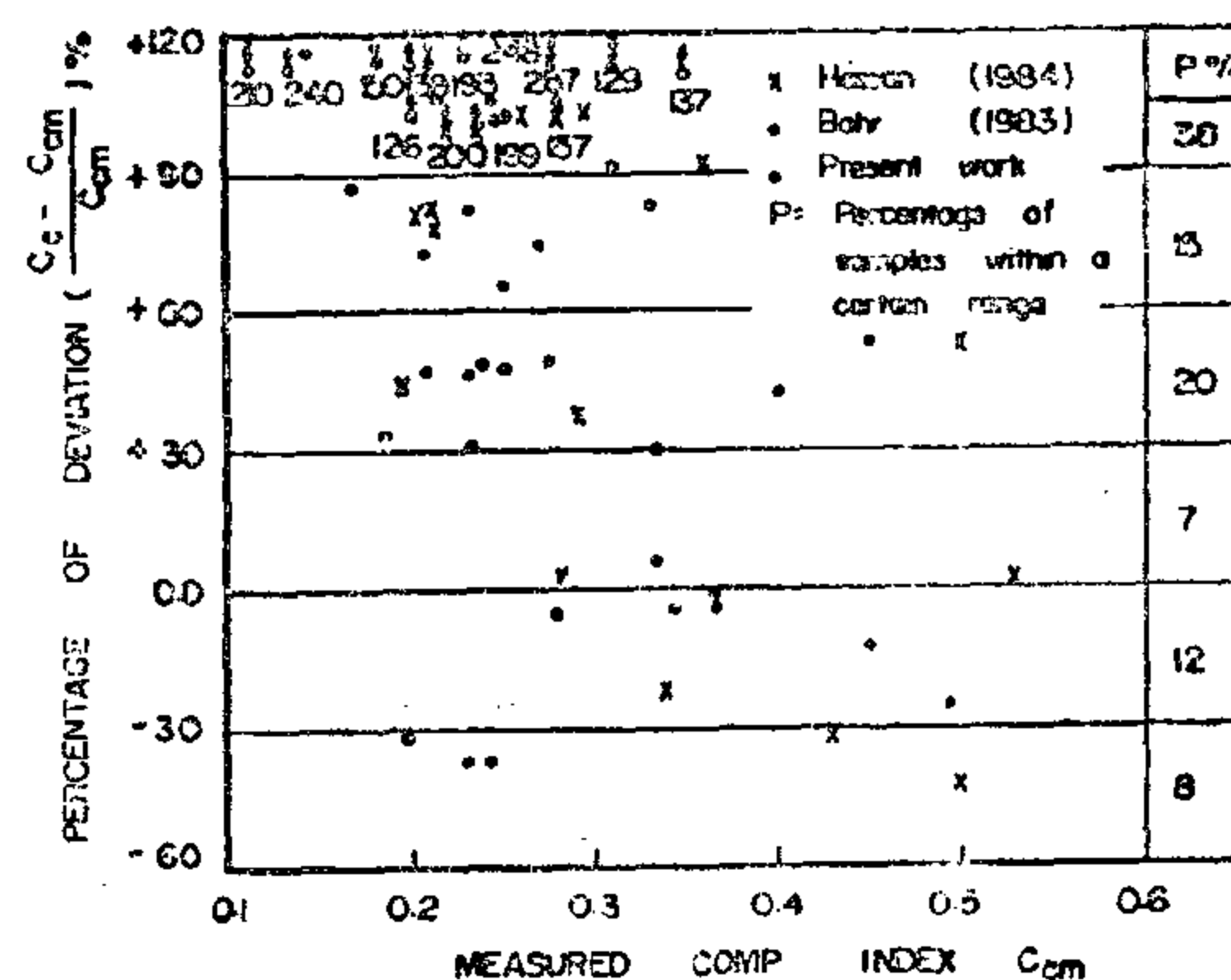


Fig. 1 : ,Percentage of deviation of values of compression index as calculated from Eq. 2.

The great differences between the measured and the predicted values may be attributed to the fact that among the several factors which affect the soil compressibility, the liquid limit reflects only the clay content and the type of the clay minerals. Other factors such as the stress history and the soil structure are not represented by the liquid limit term. The stress history of a soil and the soil structure can be reflected by the overconsolidation ratio.

Fig. 2. shows that the overconsolidation ratio increases, in general, as the ratio of the dry density to the water content increases.

NOTES ON PREDICTION OF COMPRESSIBILITY OF SOME CLAYEY NILE DEPOSITS

El-Sayed Ali Rabbaa*

ABSTRACT

There are several relations which correlate the compression index of soil to its simple properties such as liquid limit, void ratio etc. This paper presents some notes on prediction of compressibility of some clayey Nile deposits, from such correlations. A great number of undisturbed samples taken from Cairo, Tanata and Sammanoud were involved in this study. The index properties of each sample, such as natural water content, dry density, specific gravity, voids ratio and consistency limits, were determined. The compression index was predicted by using these simple properties.

The predicted values of the compression index were compared with those obtained from consolidation tests. The results indicate that the correlations which depend upon liquid limits are mostly overestimating the compression index and consequently the expected settlement. The correlations which take into account the effect of stress history and soil structure as can be represented by voids ratio and natural water content give much better agreement with the measured values. Other relations are proposed in the present work to correlate the compression index of a soil to its natural water content and dry density. The results of the different relations are compared.

INTRODUCTION

It is known that consolidation tests are expensive and time consuming. Therefore,

considerable efforts have been devoted to correlate the compression index to some soil properties which are more easily determined. Among the early formulae which correlate the compression index to the liquid limit was that proposed by Skempton (1944). Since then, several research workers have presented different forms of correlations which link the compression index by the simple soil properties such as voids ratio and natural water content, e.g. Nishida (1956), Hough (1969), Sowers and Sowers (1970), Gabr (1975), Bazaraa et al., (1986), Gabr and Hassan (1986), Radwan and Gabr (1987) and others.

The main objective of the present paper is to apply some of these correlations in predicting the compression indices of some clayey Nile deposits in order to investigate which of these correlations give better agreement with those determined from consolidation tests.

SOILS UNDER INVESTIGATION

The data used in this work were obtained for soils taken from different places in the greater Cairo, Tanta and Sammanoud. These data were collected from research works carried out by Bahr (1983), Hassan (1984) and the present work. The study involved over sixty undisturbed samples. For each sample, the natural water content, the natural unit weight, the dry density, the specific gravity, the voids ratio and the consistency limits were determined. Also, consolidation tests were

* Assistant Prof. Al-Azhar University

(B) ILLUSION OF EXTENT

To name but a few, the most common illusions of extent are : the Delboef's, the Mueller-Lyer's, the Ebbinghaus', and the Ponzo's.

□ THE DELBOEF ILLUSION

Although having similar distal size, the 2 inner circles in (a) & (b) seems unequal. [(4), p. 272]



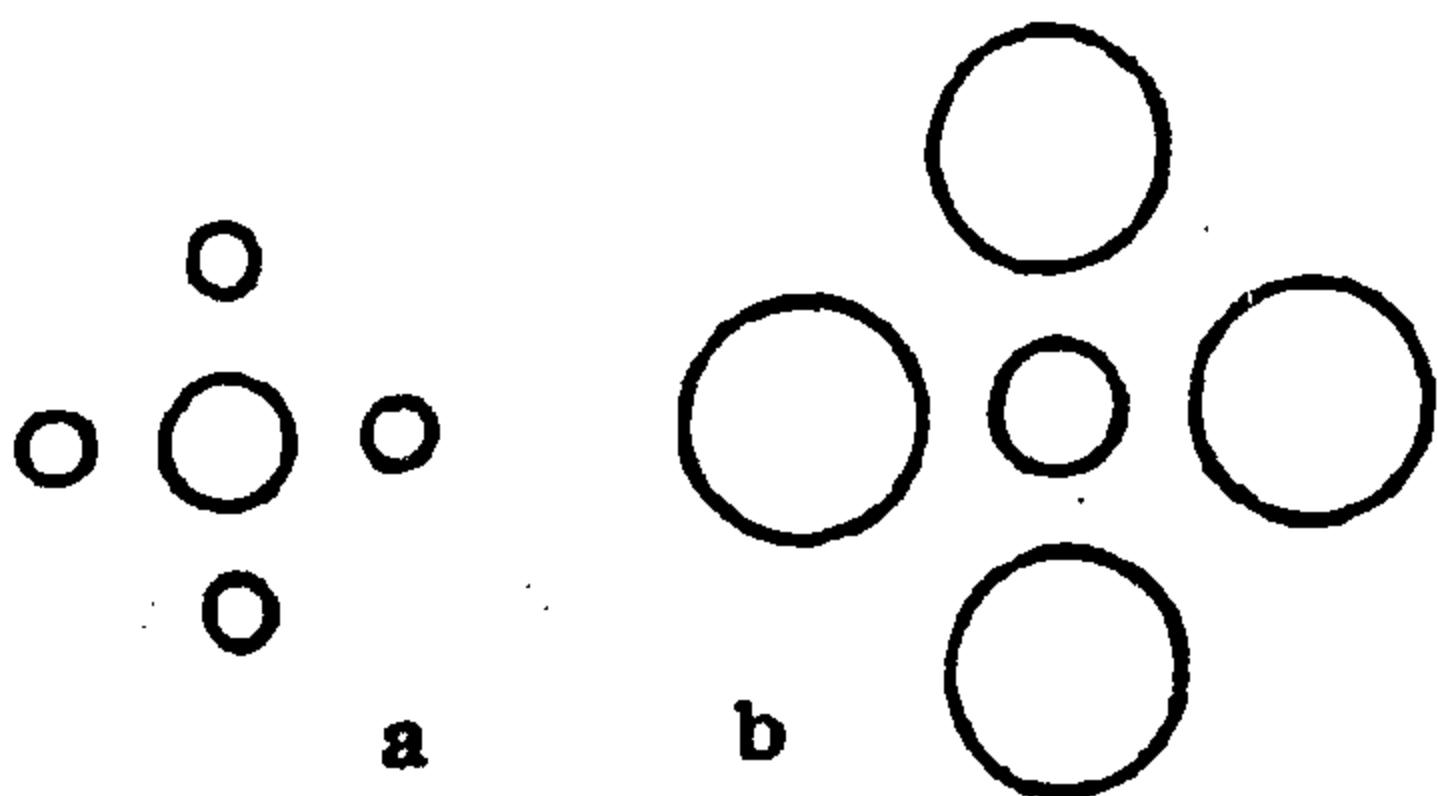
□ THE MUELLER - LYER ILLUSION

Segment (a) seems longer than (b), although both are actually identical. [(3), pp. 339-40]



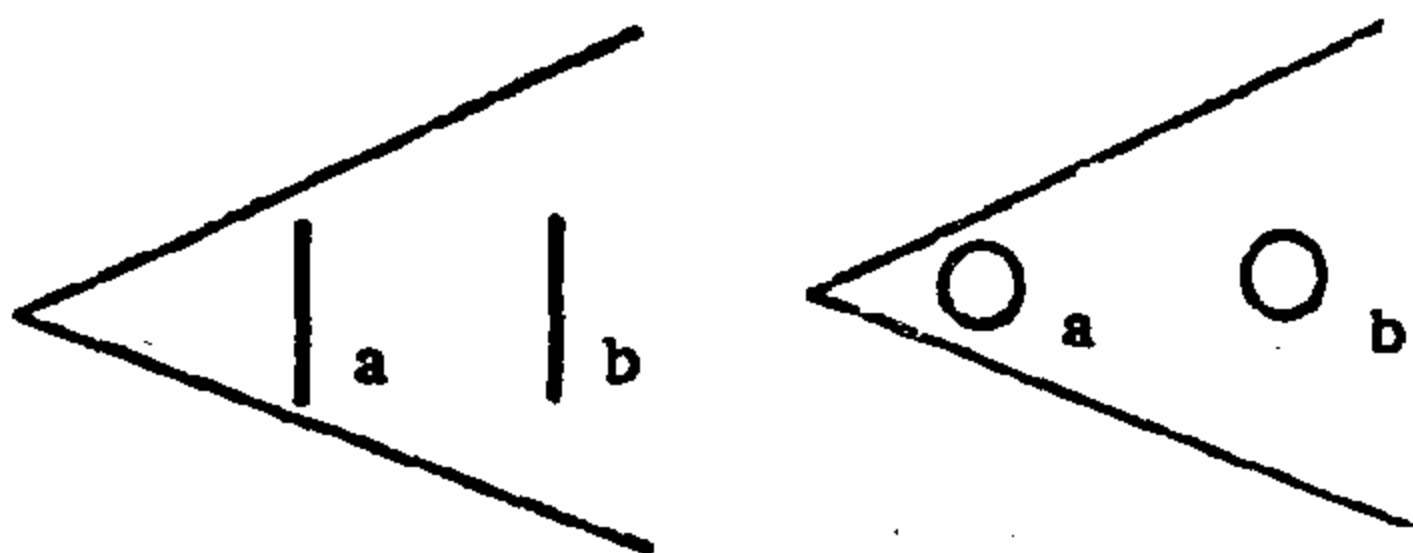
□ THE EBBINGHAUS ILLUSION

The 2 inner circles in figures (a) & (b) seem unequal, in spite of the fact that they are actually identical [(3), p. 339]



□ THE PONZO ILLUSION

Both circle and line (b) appear smaller than (a), in spite of having identical distal size. [(6), p. 77; (4), p. 272]

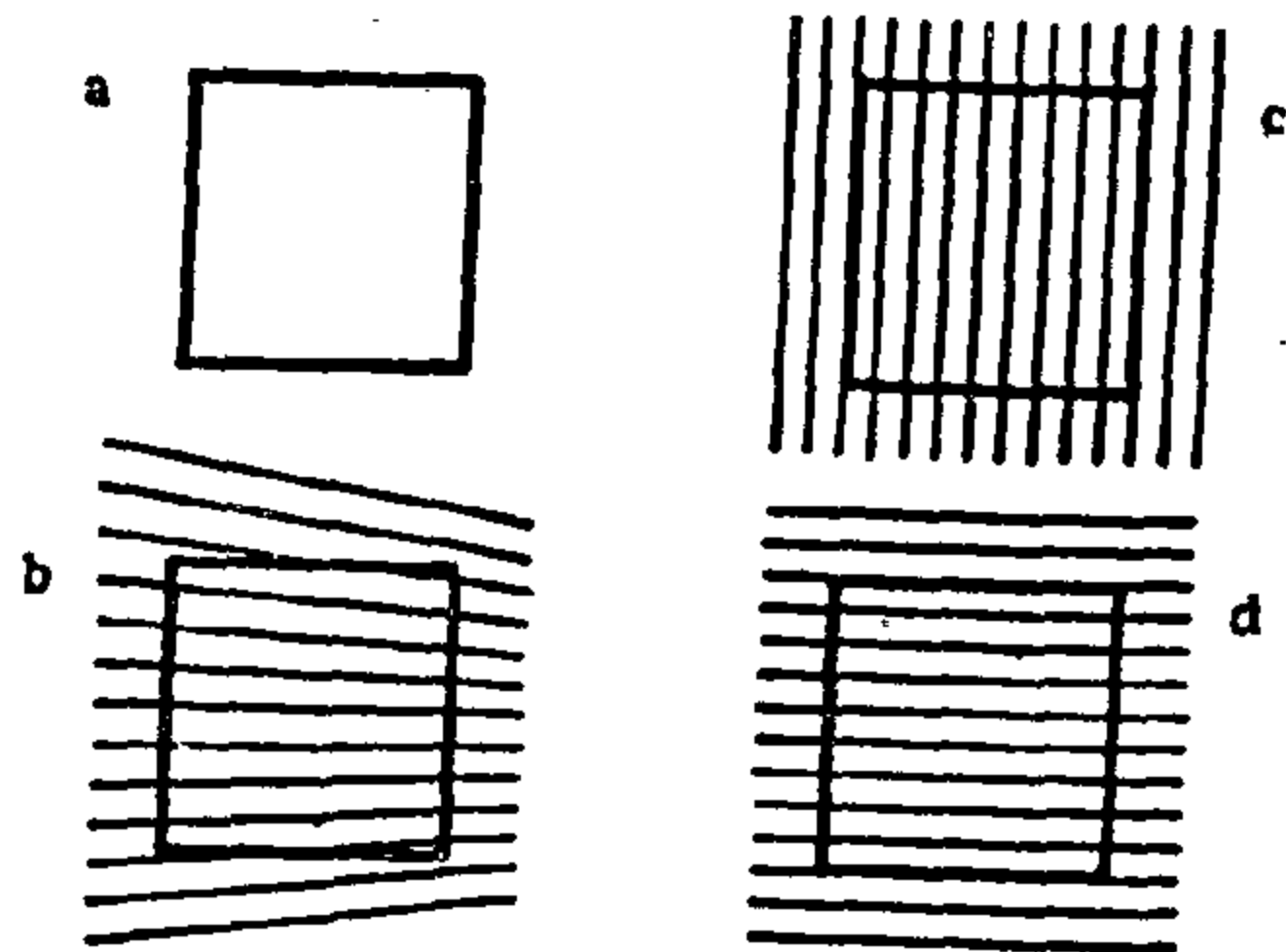


(C) ILLUSION OF SHAPE

The illusion of shape can be caused either by overlapping lines or by changing positions.

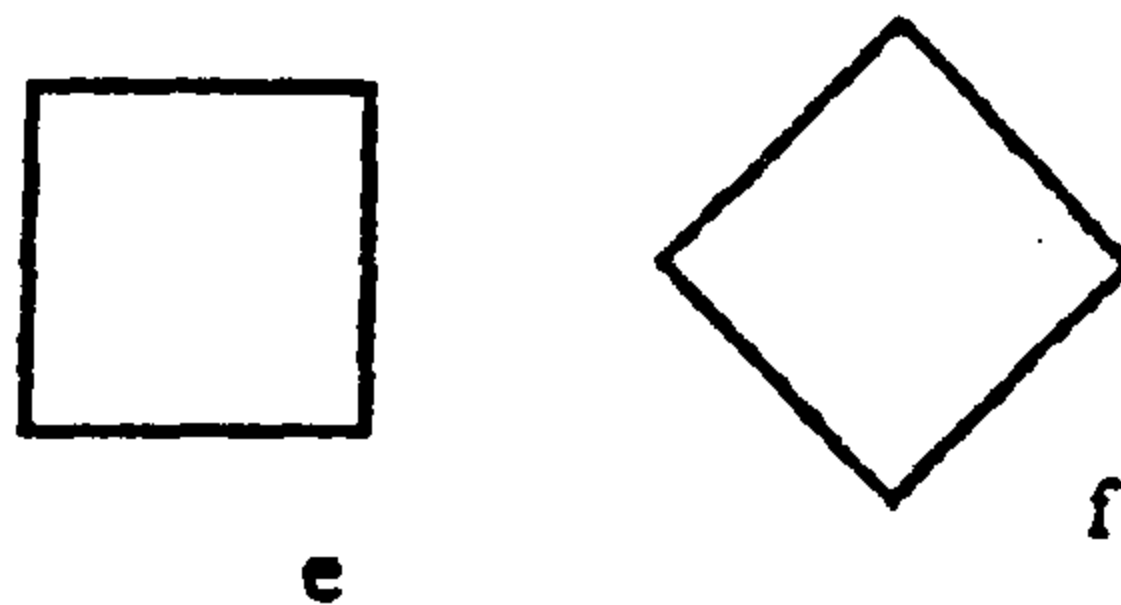
□ EFFECT OF OVERLAPPING LINES

All squares (a) to (d) have actually the same size but they have various proximal size due to the overlapping lines.



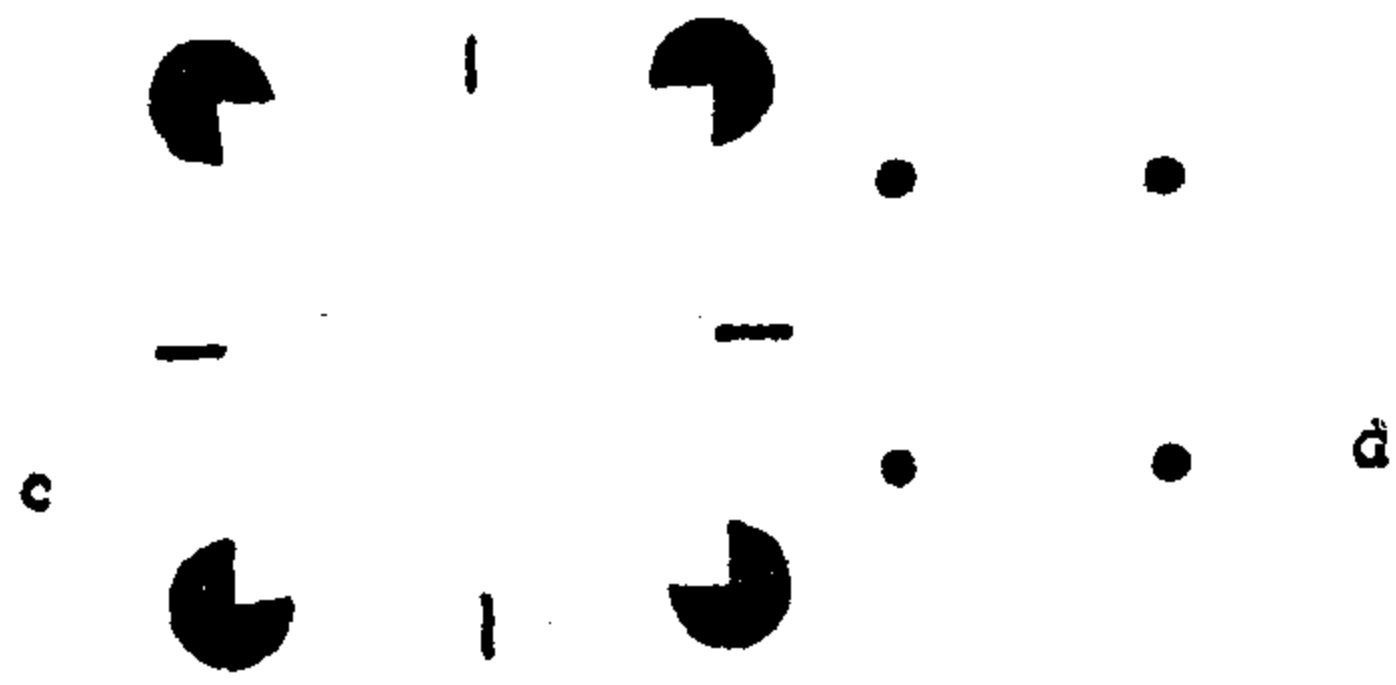
□ EFFECT OF POSITION

Although the distal size of both squares (e) & (f) are identical, square (e) seems larger. This is due to position.



REFERENCES

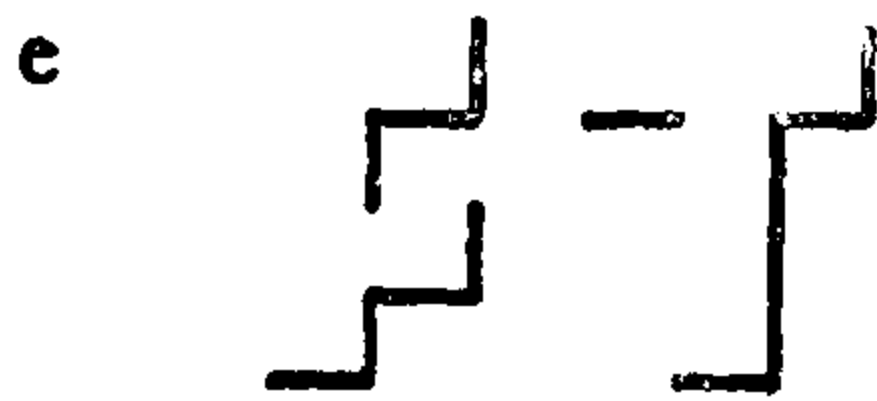
1. Allport F.H. *Theories of Perception & the Concept of Structure*. New York : John Willey & Sons, Inc., 1955.
2. Fletcher, B. *A History of Architecture- On the Comparative Method* N. Y. Charles Scribner's Sons, 1945.
3. Bartley, S. H. *Introduction to Perception*. N. Y. : Harper & Row, 1980.
4. Dember,, W.N. & J.S. Warm. *Psychology of Perception*. 2nd ed. N.Y. Holt Rinehart, & Winston, 1979.
5. Halprin, L. *Cities*. New York : Reinhold Publishing Corporation, 1963.
6. Hochberg, J.E. *Perception*. 2nd ed. Englewood Cliffs, N. J. : Prentice-Hall Inc., 1978.
7. Isaac, A.R.G. *Approach to Architectural Design*. University of Toronto Press, 1971.
8. Lynch, K. *The Image of the City*. Cambridge, Mass. : MIT Press, 1960.
9. Shawky, M. *Design of Urban Spaces*. M. Sc. Thesis. Cairo University, 1970.



In figures (a) to (d), there is no doubt that anyone could clearly see triangles and squares. Their figure formation is made by sharp non-physical contours called subjective contours (or also called cognitive contours). [(4), pp. 238-9]

(B) COMPLETION & FAMILIARITY

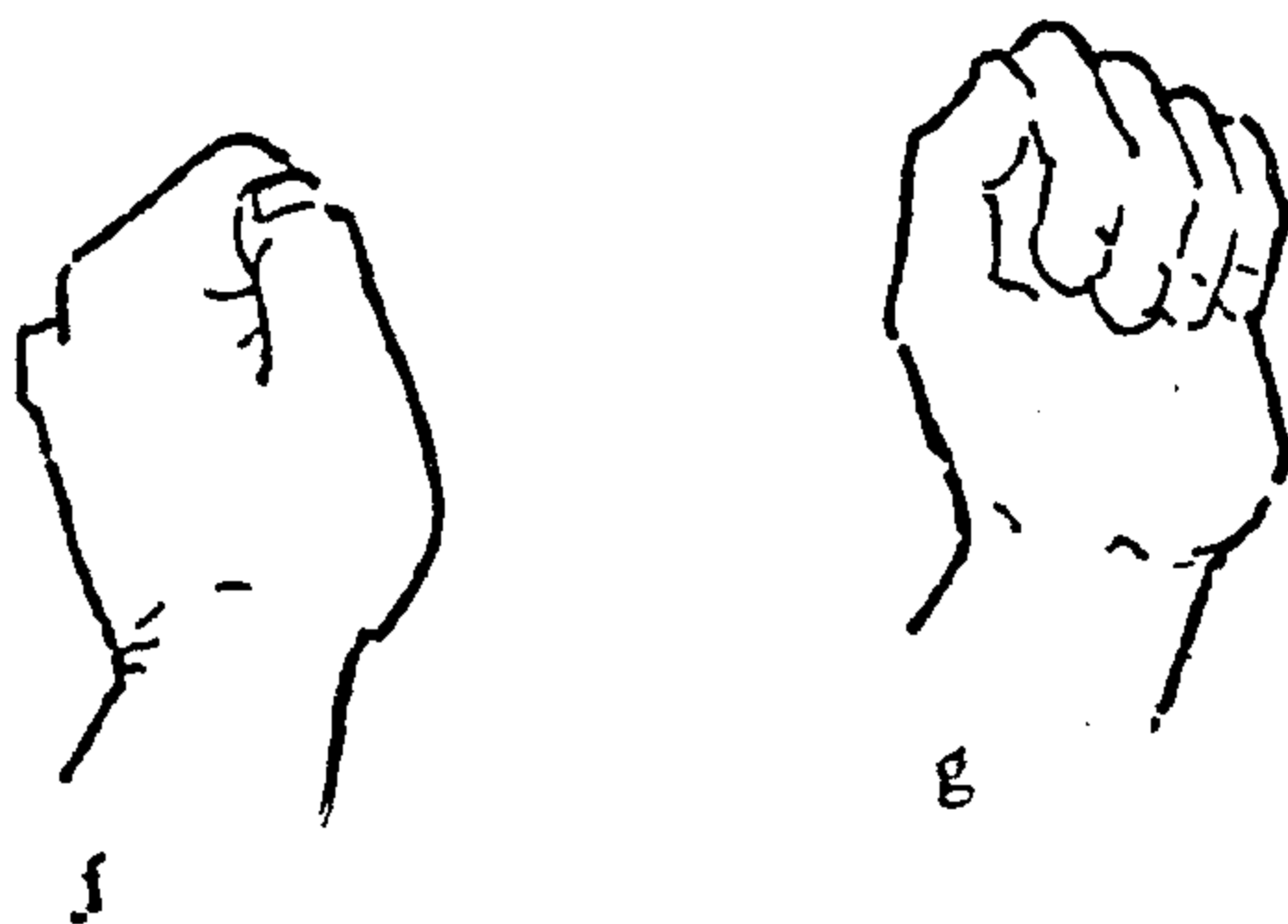
An illiterate can easily perceive figures (a) to (d) but not (e). On the other hand, a young student familiar with the alphabet will recognize in (e) an F and a T.



(C) EXPECTANCY

The completion-expectancy phenomena help the viewer of figure (f) to imagine and recall a memory image (g).

[(6), pp. 193-4]



3. OPTICAL ILLUSIONS

The following illusions are caused by overlapping lines to a figure, by the position of the figure per se, or by the position of figure with respect to the surroundings.

The illusions presented hereafter include :

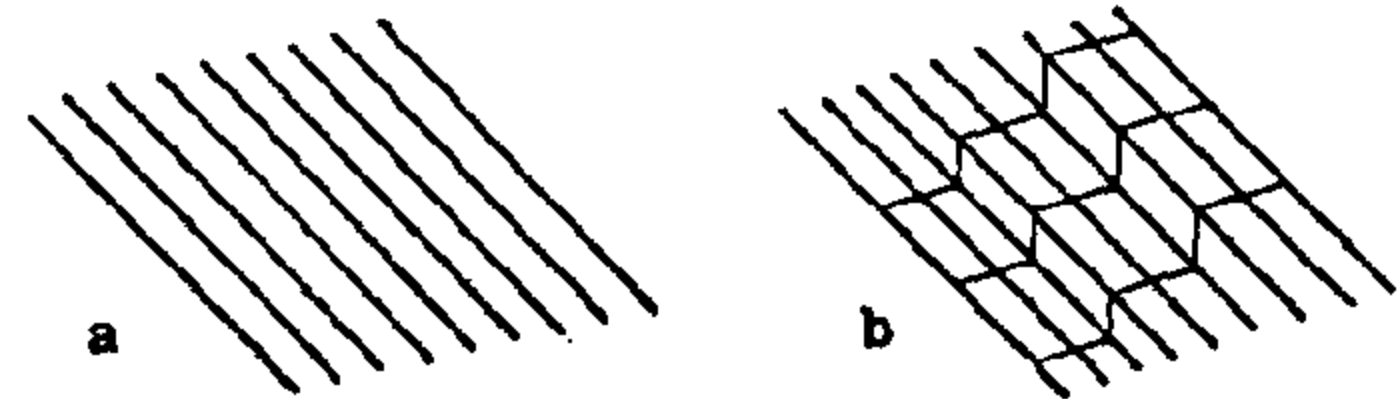
(A) Illusion of Direction,

(B) Illusion of Extent, and

(C) Illusion of Shape.

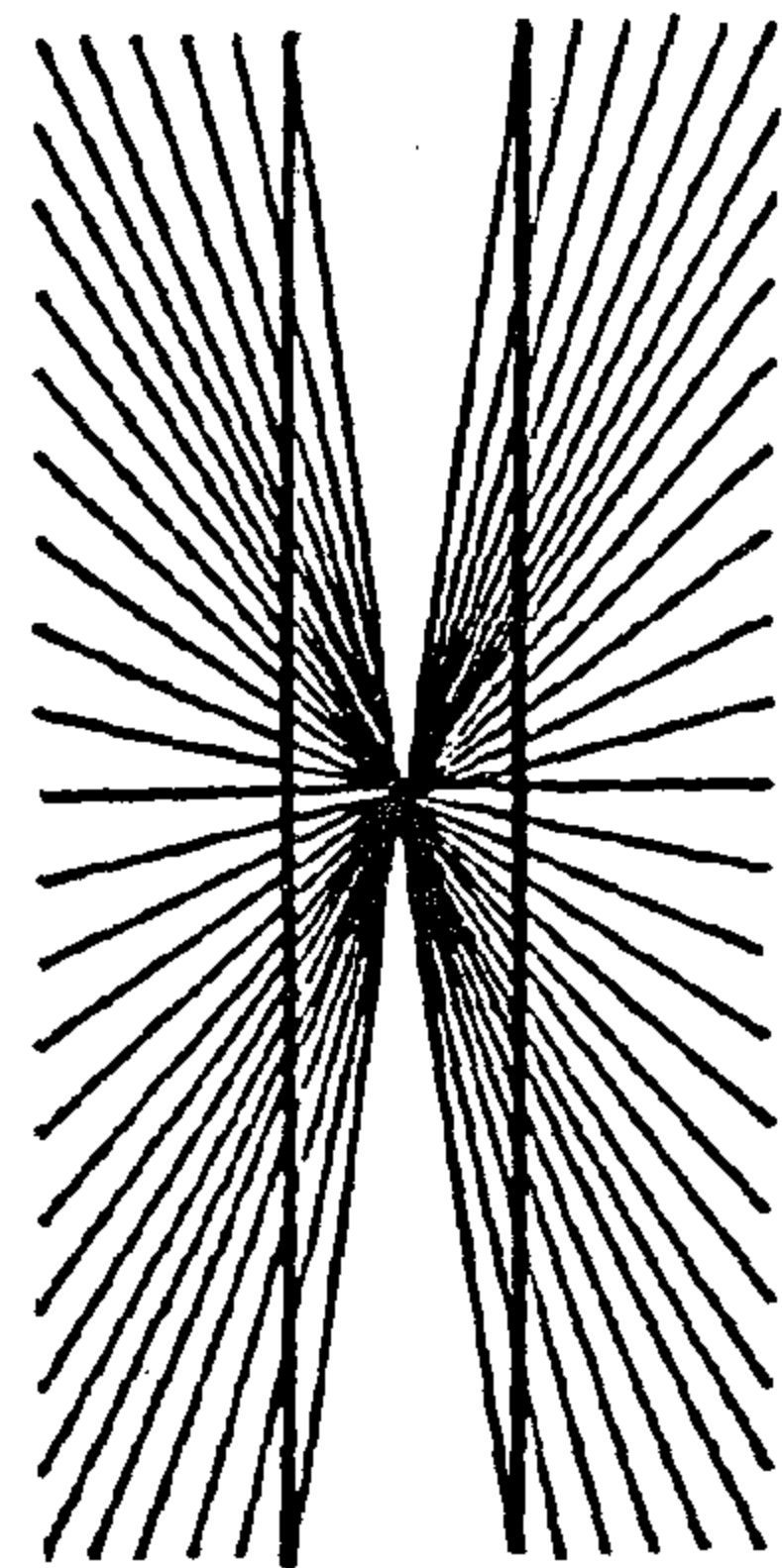
(A) ILLUSION OF DIRECTION

The broken lines added to figure (a) have created a totally different perspective. But still it is not clear whether all these lines are actually in one plane or not.



□ THE HERING ILLUSION

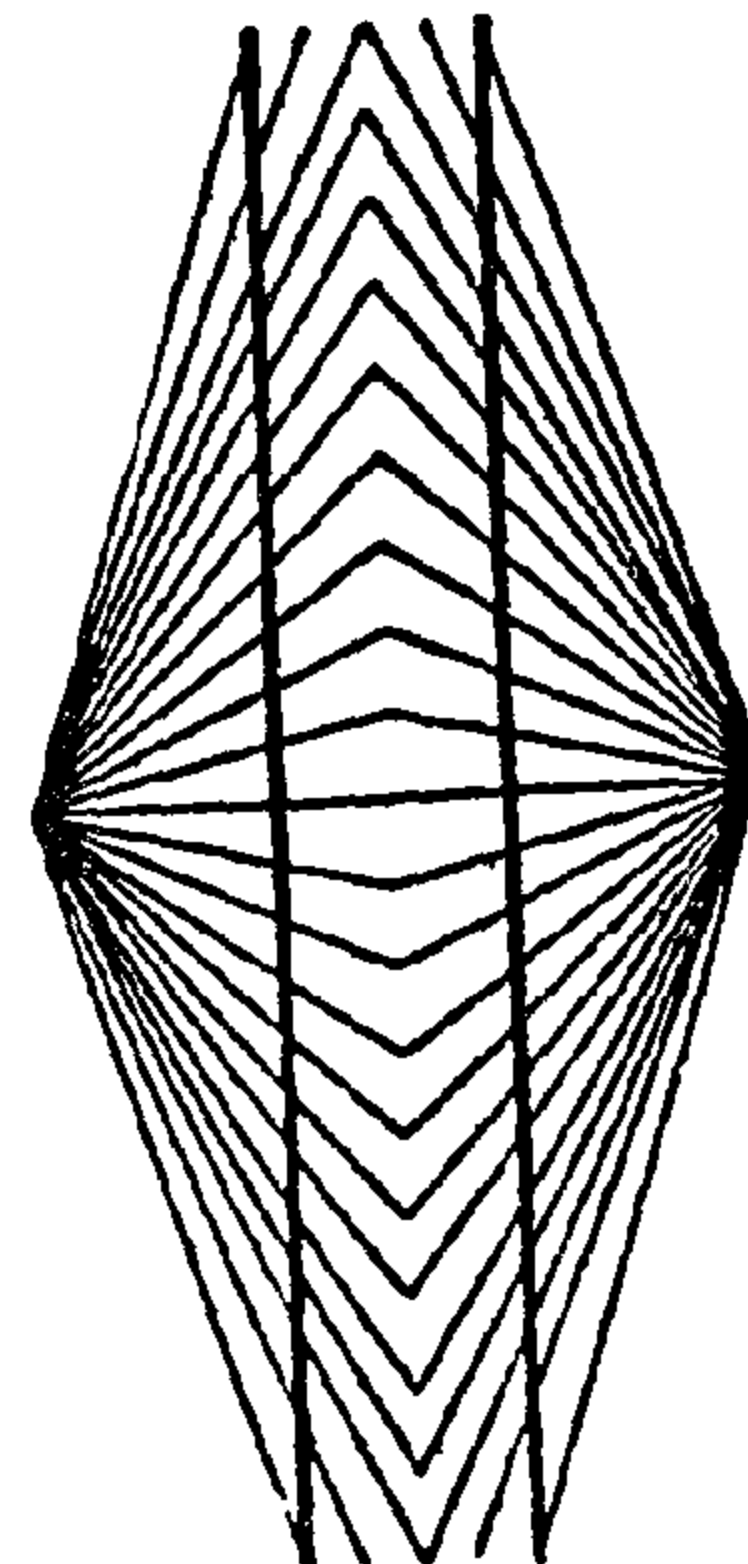
The 2 parallel lines appear to be bowed in opposite directions. [(4), p. 14].



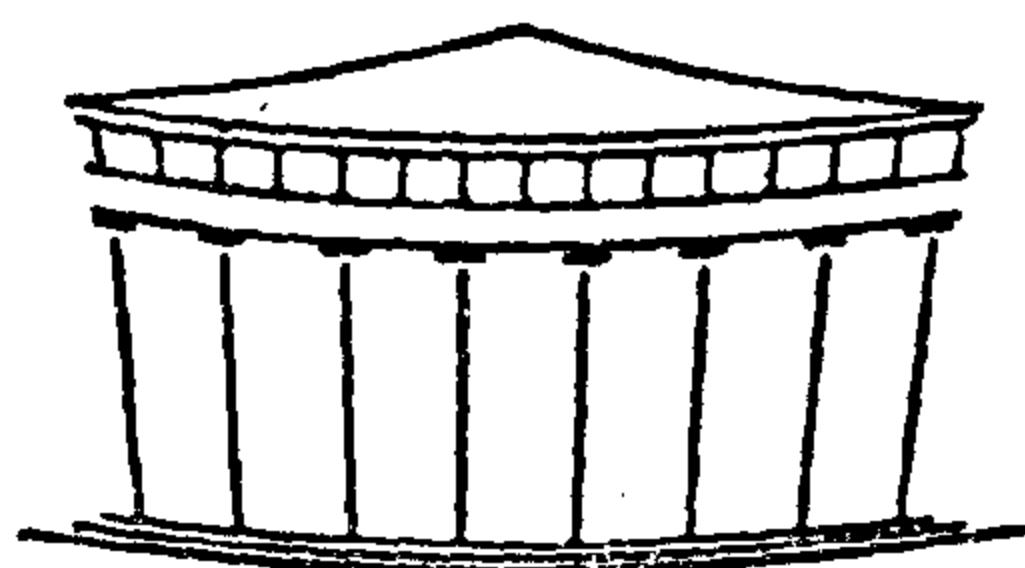
□ THE WUNDT ILLUSION

The 2 parallel lines appear to be stretched from their very ends outwardly.

[(4), pp. 272-3]

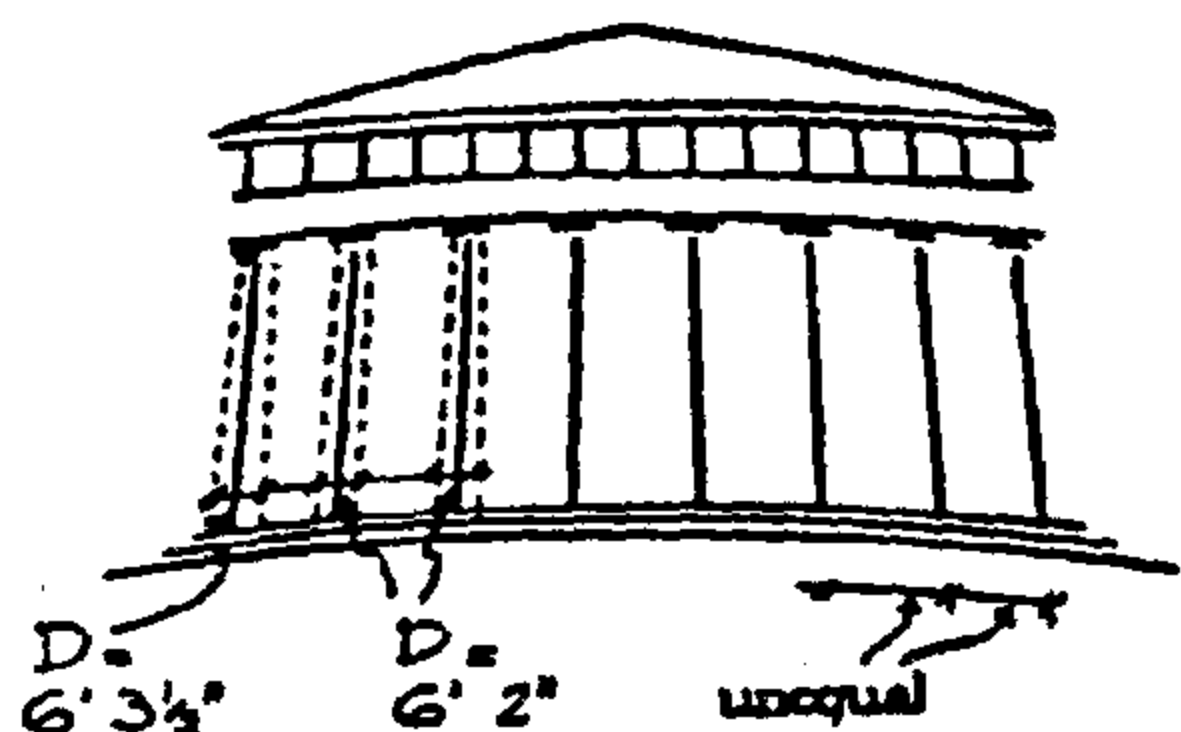


but how it looks like. This is the optical illusion that occurs when the temple is built as in C, i.e., when all horizontal lines are convex, including pediment entablature and stylobate, and all vertical axes are inclined towards the center as well as the entire frontal vertical plane is inclined towards the back-See detailed cross section in East Front.

**B**

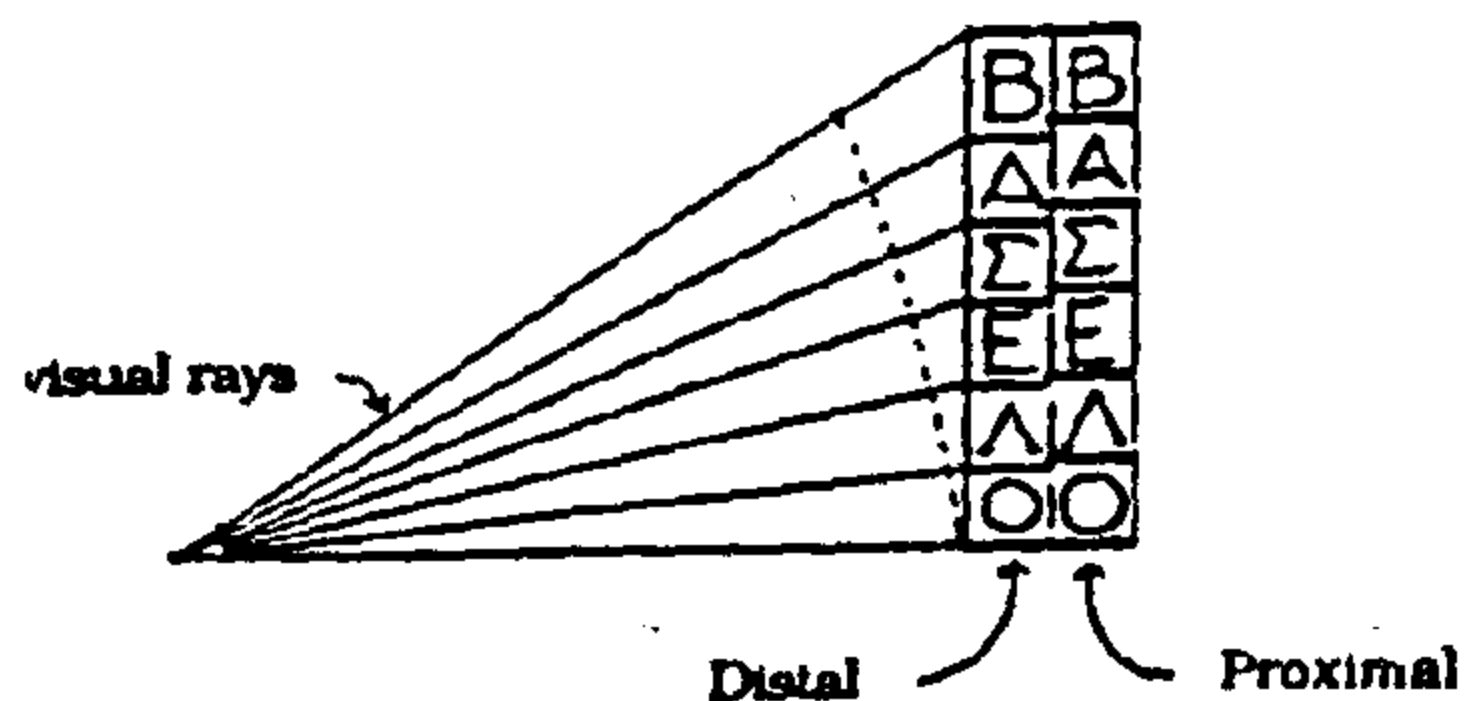
(B) ANOTHER OPTICAL ILLUSION

This would have been the temple front if it was initially built as A without refinements.

**C**

(C) THE ACTUAL CONSTRUCTION

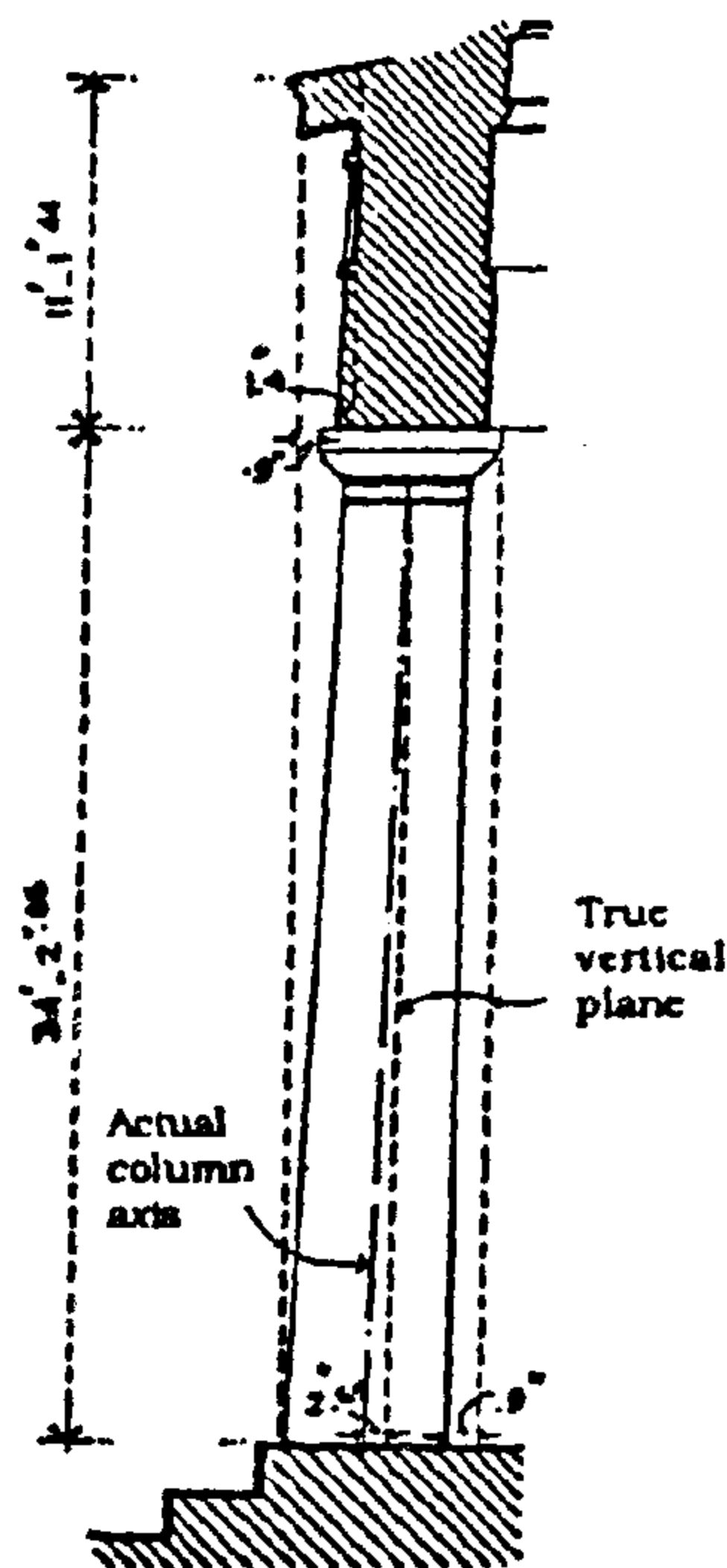
This is how the Parthenon is built. Such refinements were achieved to correct the expected optical illusions. The corner column is built closer to the adjacent columns and stouter than the rest, as it appears thinner and more distant when exposed to open sky and sunny environment.



DETAILED SECTION IN EAST FRONT

All vertical elements of the Parthenon front elevation are built with an inclination towards the naos' walls to correct the visual effect of falling outwardly.

[(2), pp. 75, 85, 101, 134]

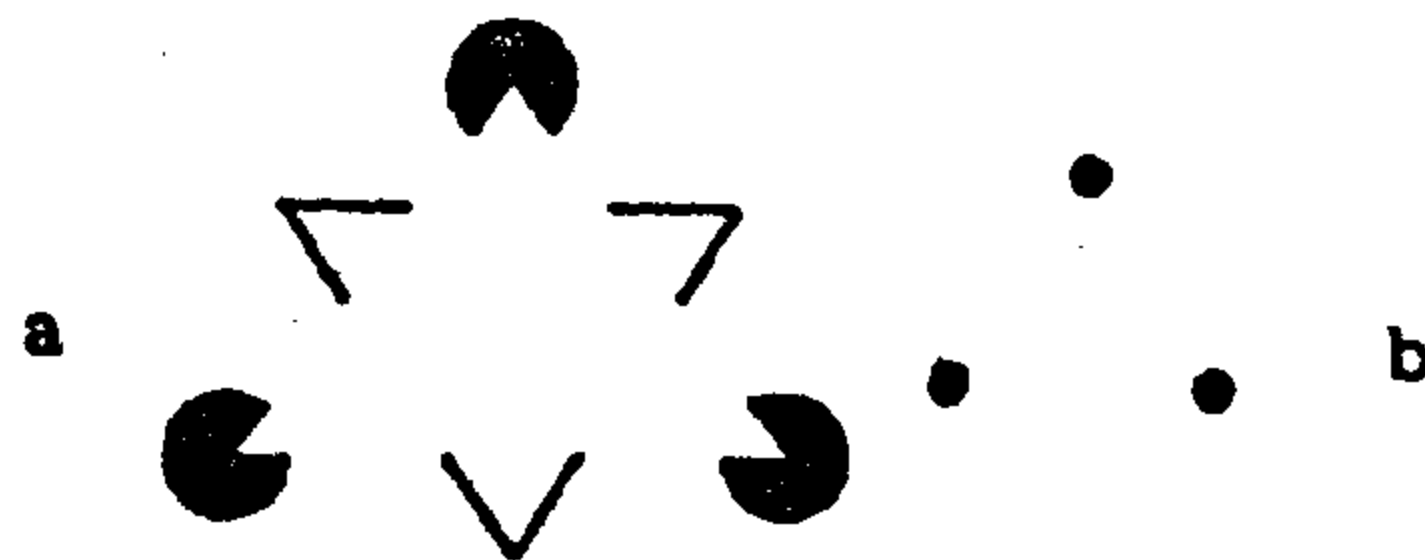


2. PERCEPTUAL CONSTANCY

It is the close relationship between an object as perceived and its actual physical conditions. It is also known as the object constancy or the phenomena constancy.

Generally, it depends on various combined circumstances of stimulation, such as : completion, familiarity, expectancy, and accumulated past experience. [(4), pp. 168-9; (6), pp. 72-3].

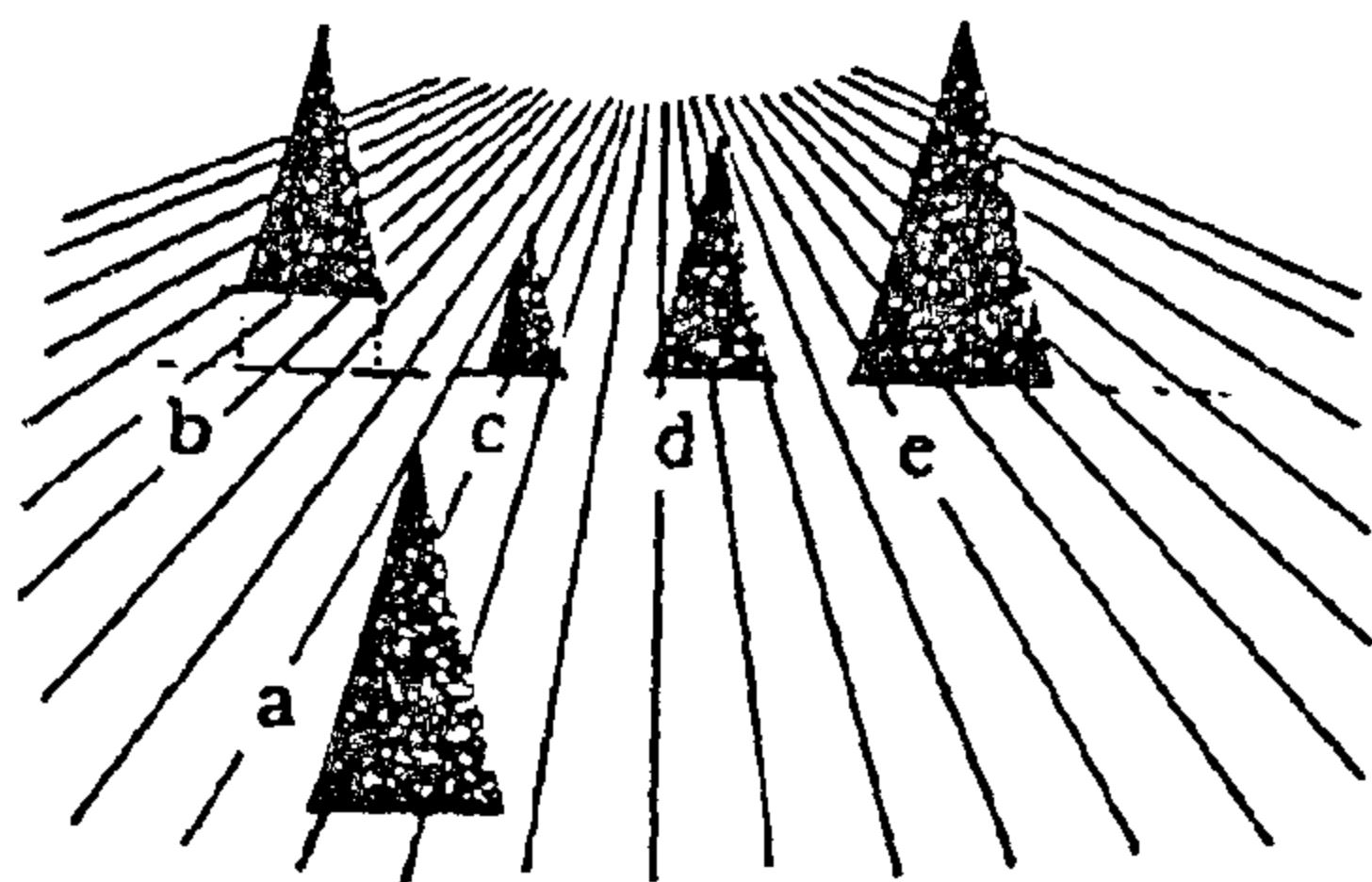
(A) COMPLETION



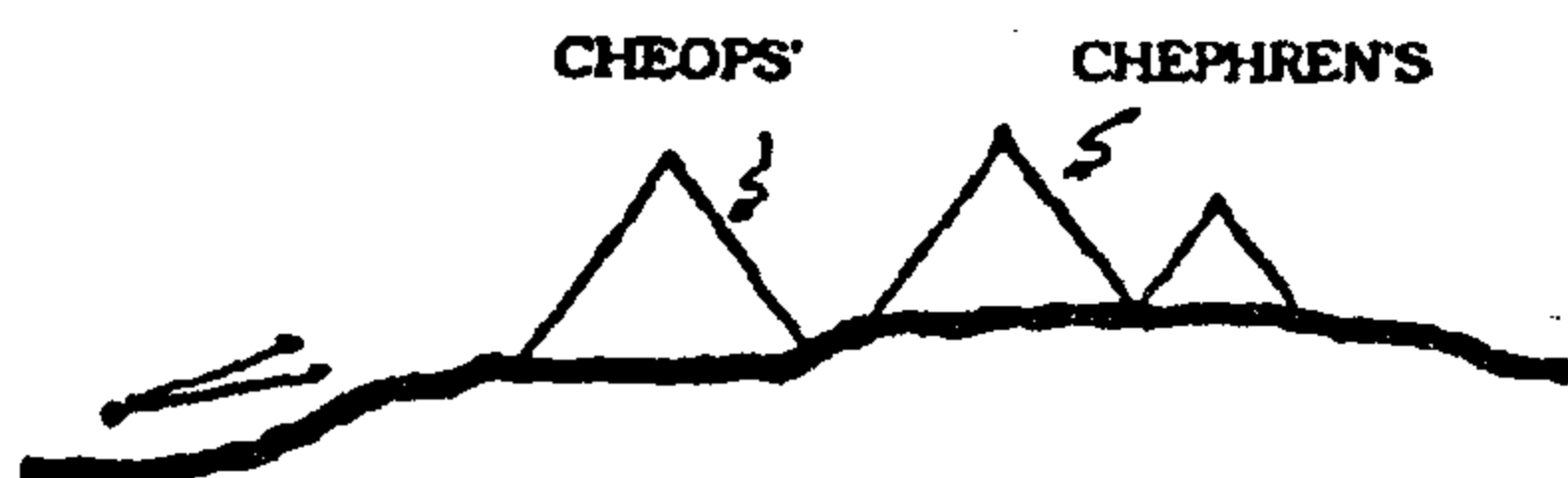
Completion was made in an easy way as the figures illustrate basic shapes such as triangles and squares. Notice that in (a) & (c) the completed forms seem to be opaque and superimposed upon black dots.

□ TEXTURAL SCALE-SIZE-CUE

Although both circles (a) & (b) have identical actual diameters, circle (a) appears larger as it hides more of the textural elements of its surroundings than does circle (b). This was termed, in 1971, as effect of the textural scale-size-cue. [(4), pp. 200-2]:

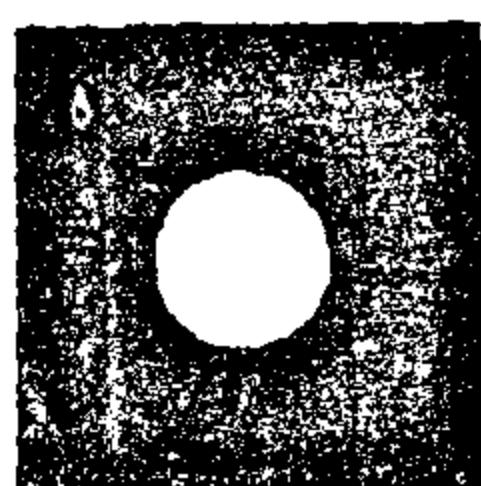


In spite that triangle (a) & (e) have identical distal sizes, yet the only triangle that seems to equal (a) is (d). Moreover, although (b) & (d) have equal actual size, triangle (b) appears bigger as it is more elevated. [(6), pp. 73-5]

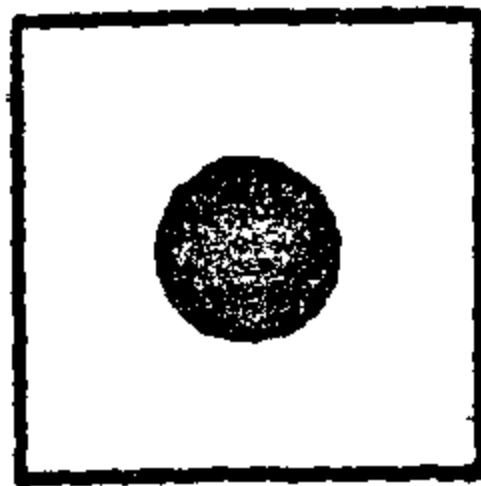


This is why, from peculiar perceptual angles, Chephren's Pyramid (the second largest pyramid of Giza, Egypt), built on a slightly higher site than Cheops' (The largest pyramid), appears taller.

(D-3) THE EFFECT OF LIGHT, BRIGHTNESS, COLOR, SHADE & SHADOWS

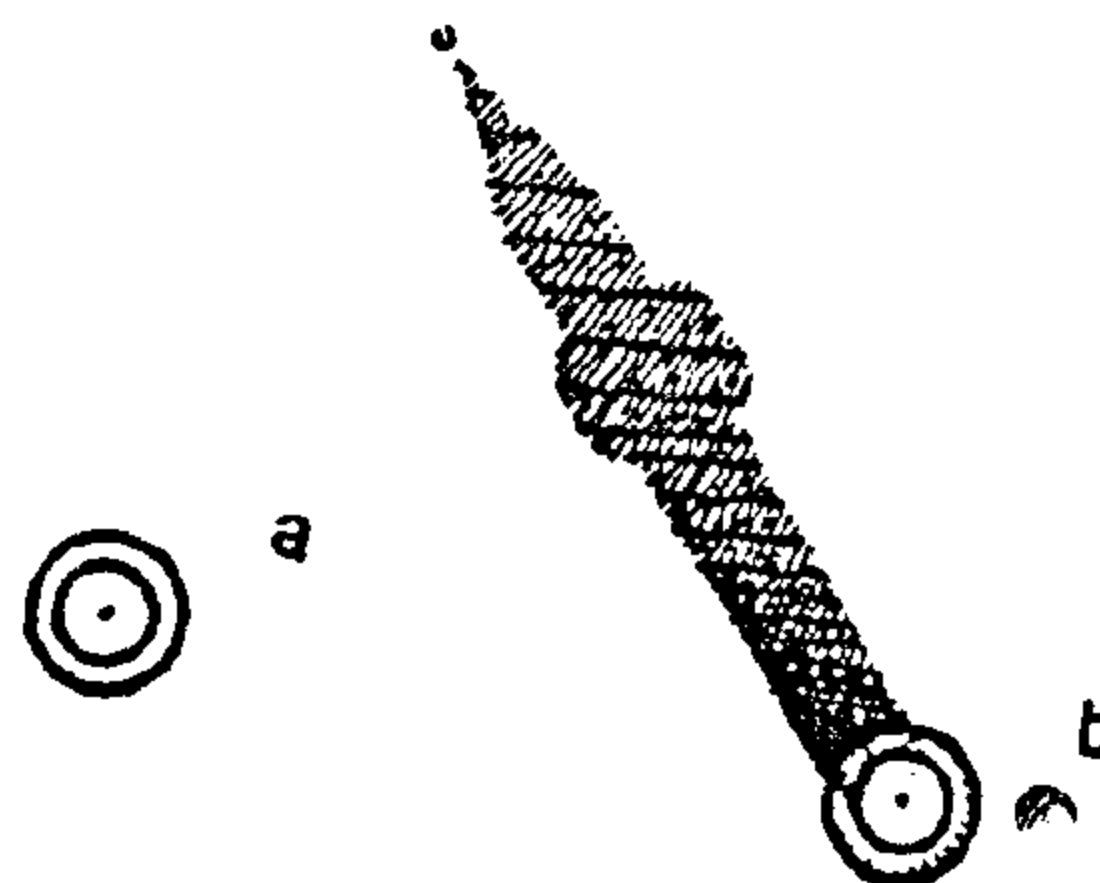


a



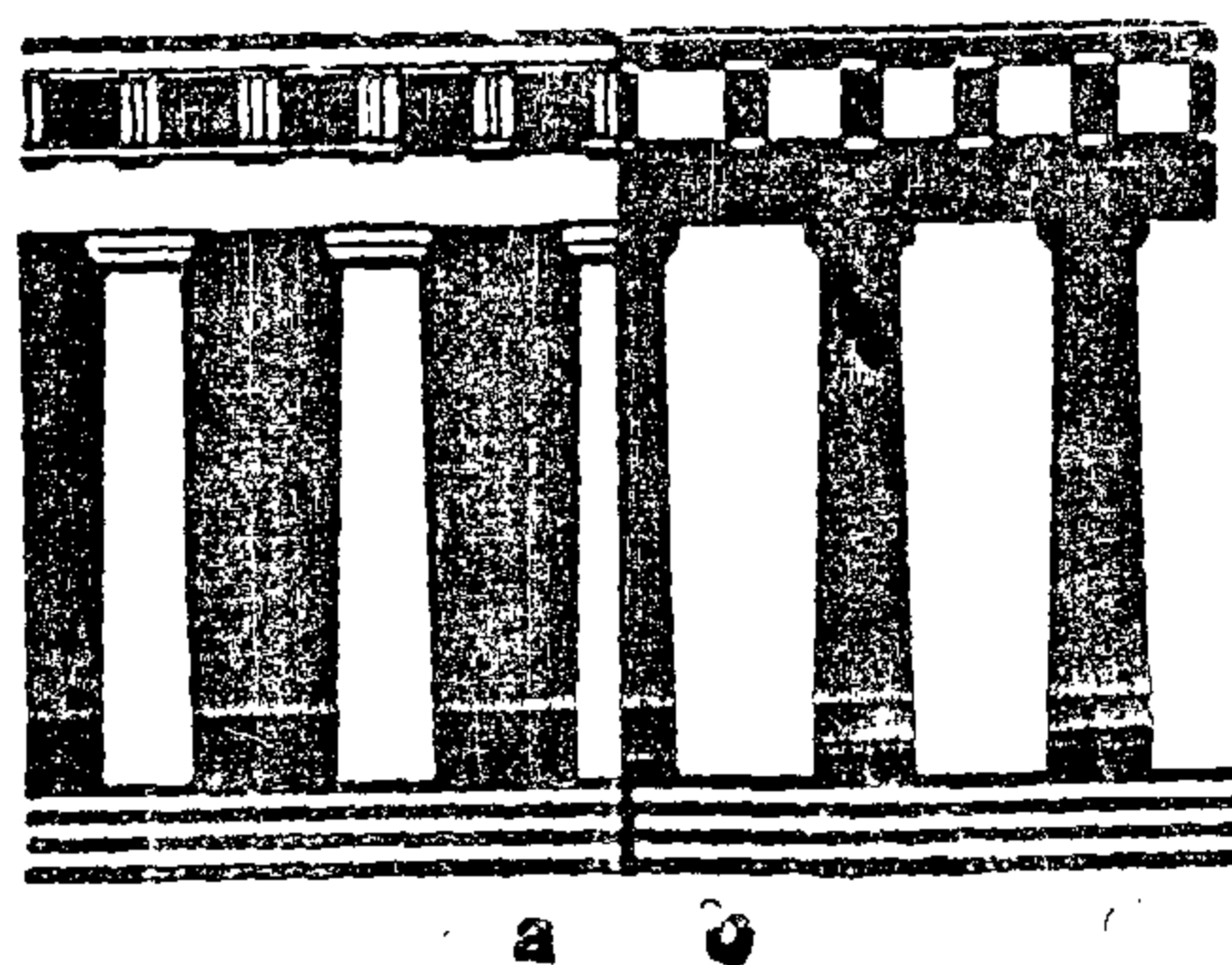
b

The circle in (a) appears larger than in (b) in spite of their equal distal size. This is due to the effect of color, the apparent effect of silhouette on the perceived sizes and proportions. [(7), pp. 31-2].



□ SHADOW

Shadow produces the impression of depth, emphasizes the shape & the 3rd dimension on a 2-dimensional sketch as on a 3-dimensional one. Figure (a) does not express any particular object while (b) illustrates a mass plan of a minaret. [(4), p. 301].



In case of the Greek temples (such as the Parthenon-see next page), as the metopes and the naos walls have been colored with dark colors, as in (a), the columns appear sturdier & shorter and the elements of entablature gaining more importance than in (b), [(2), p.134; (7) pp. 31-2].

THE PARTHENON, ATHENS

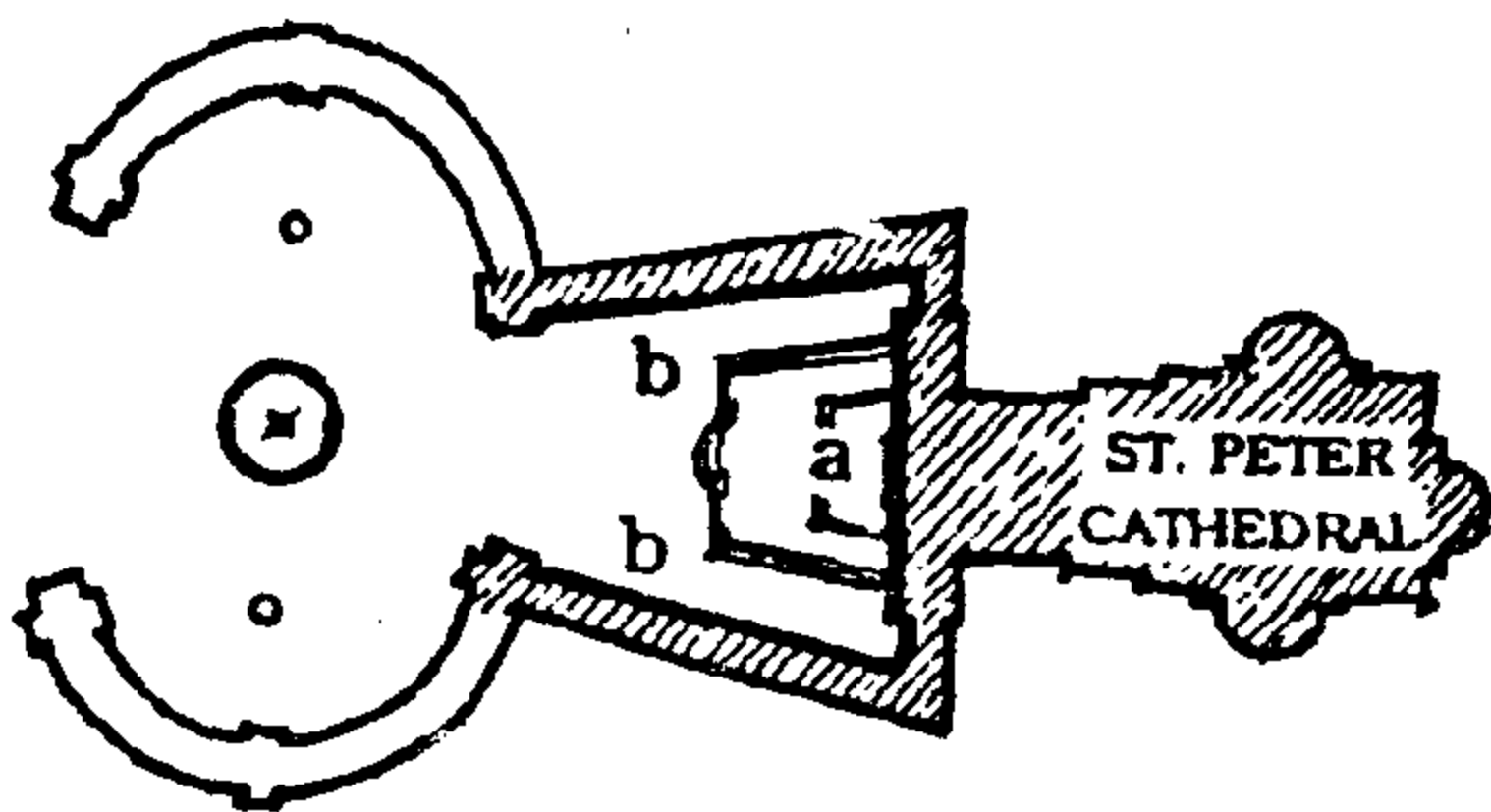
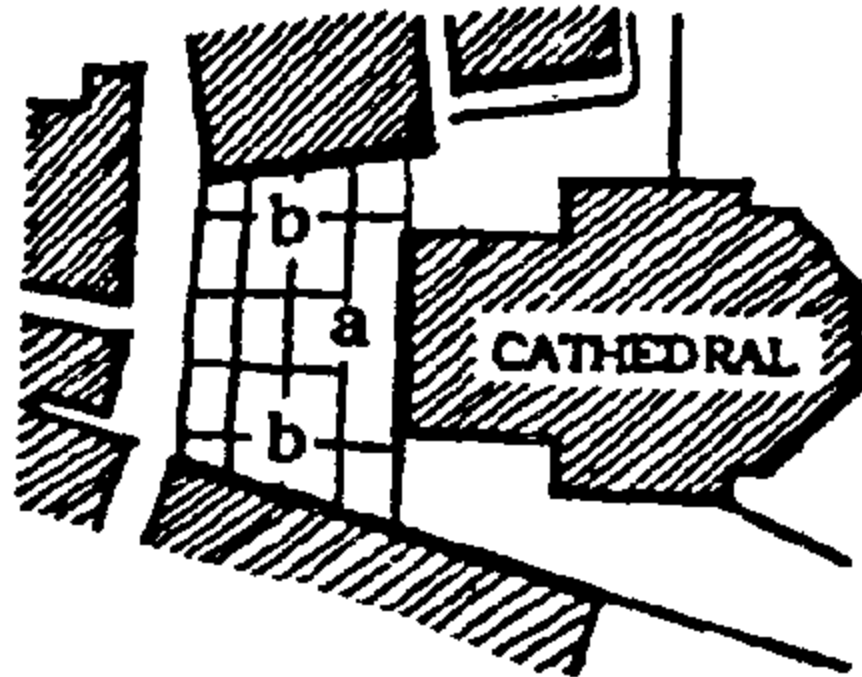
ILLUSTRATING THE EFFECT OF LIGHT, BRIGHTNESS, SHADE & SHADOWS.



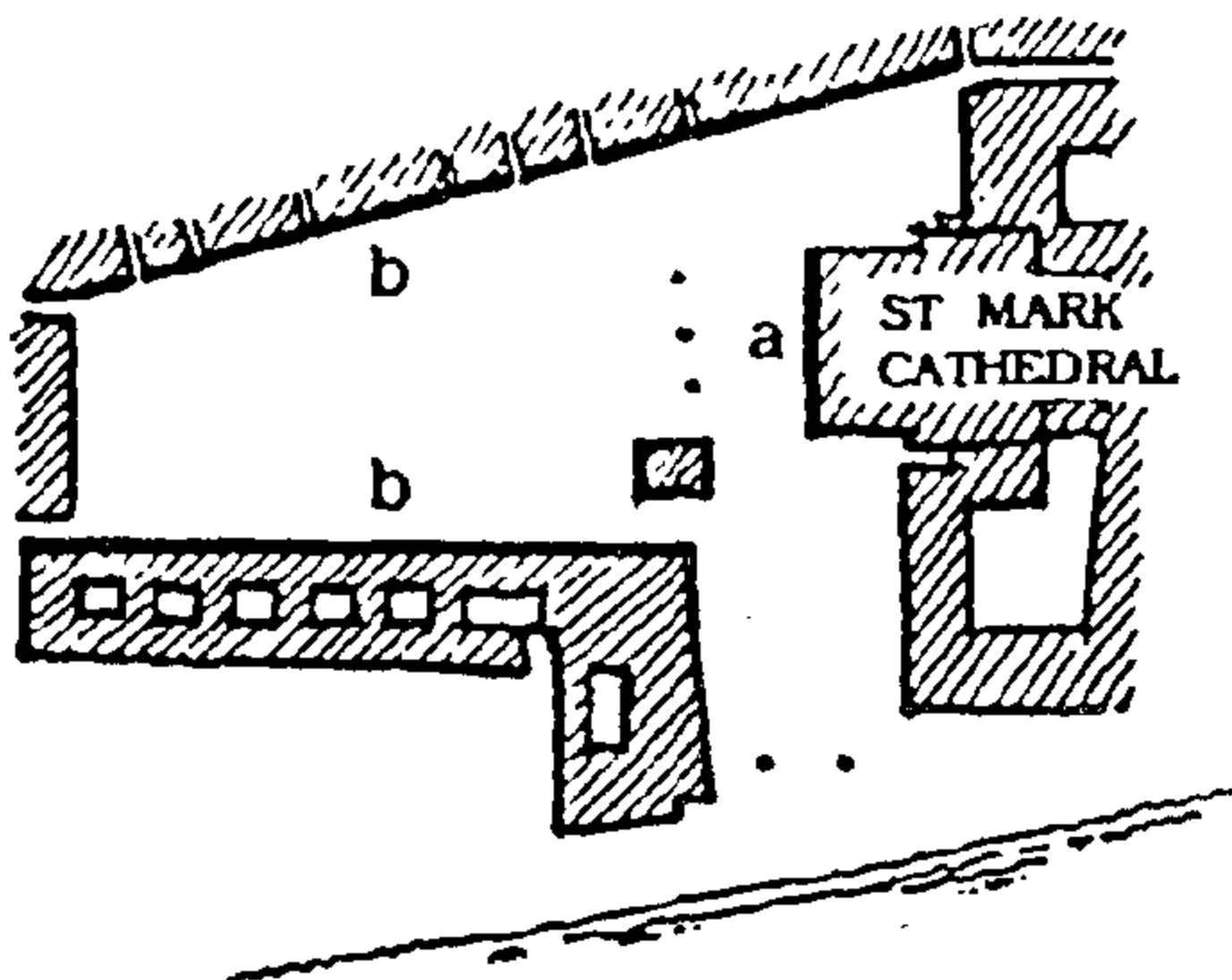
FOUR PIAZZAS

ILLUSTRATING THE EFFECT OF PERSPECTIVE

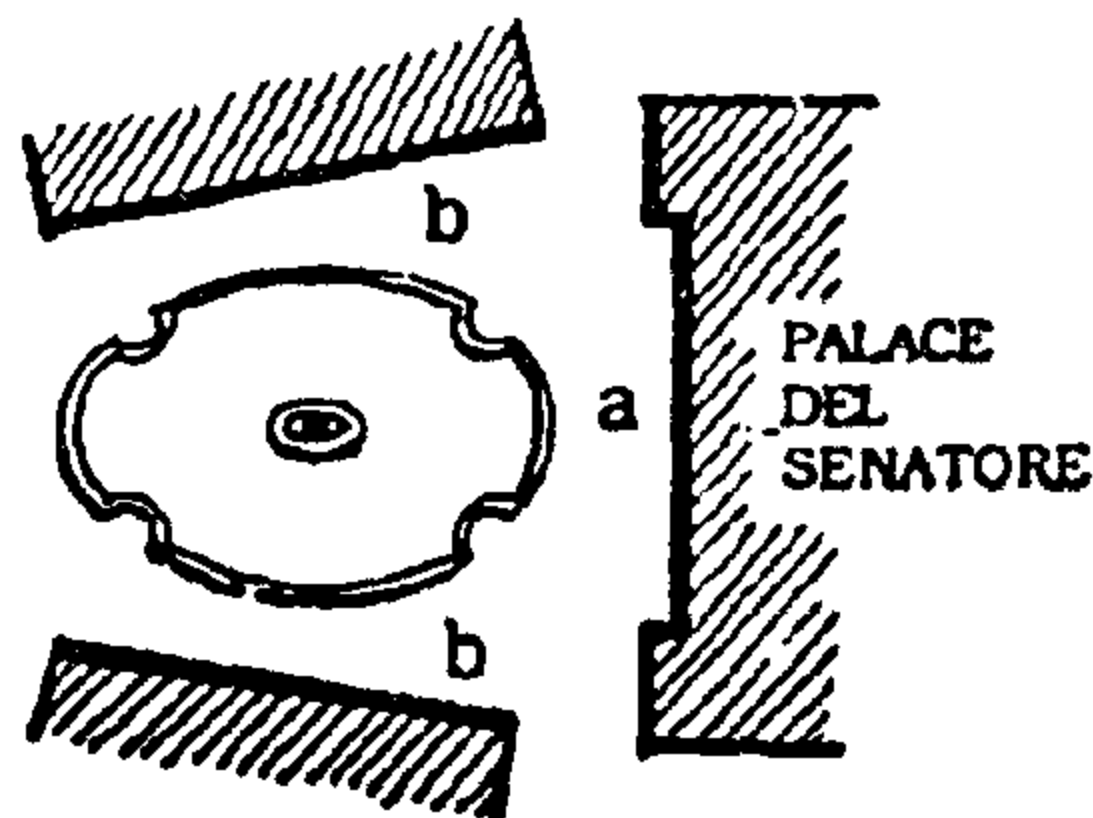
PIAZZA PIO II.
Pienza



PIAZZA ST. PETER.
Rome



PIAZZA ST. MARK.
Venice



PIAZZA DEL CAMPIDOGLIO,
The Capitol. Rome

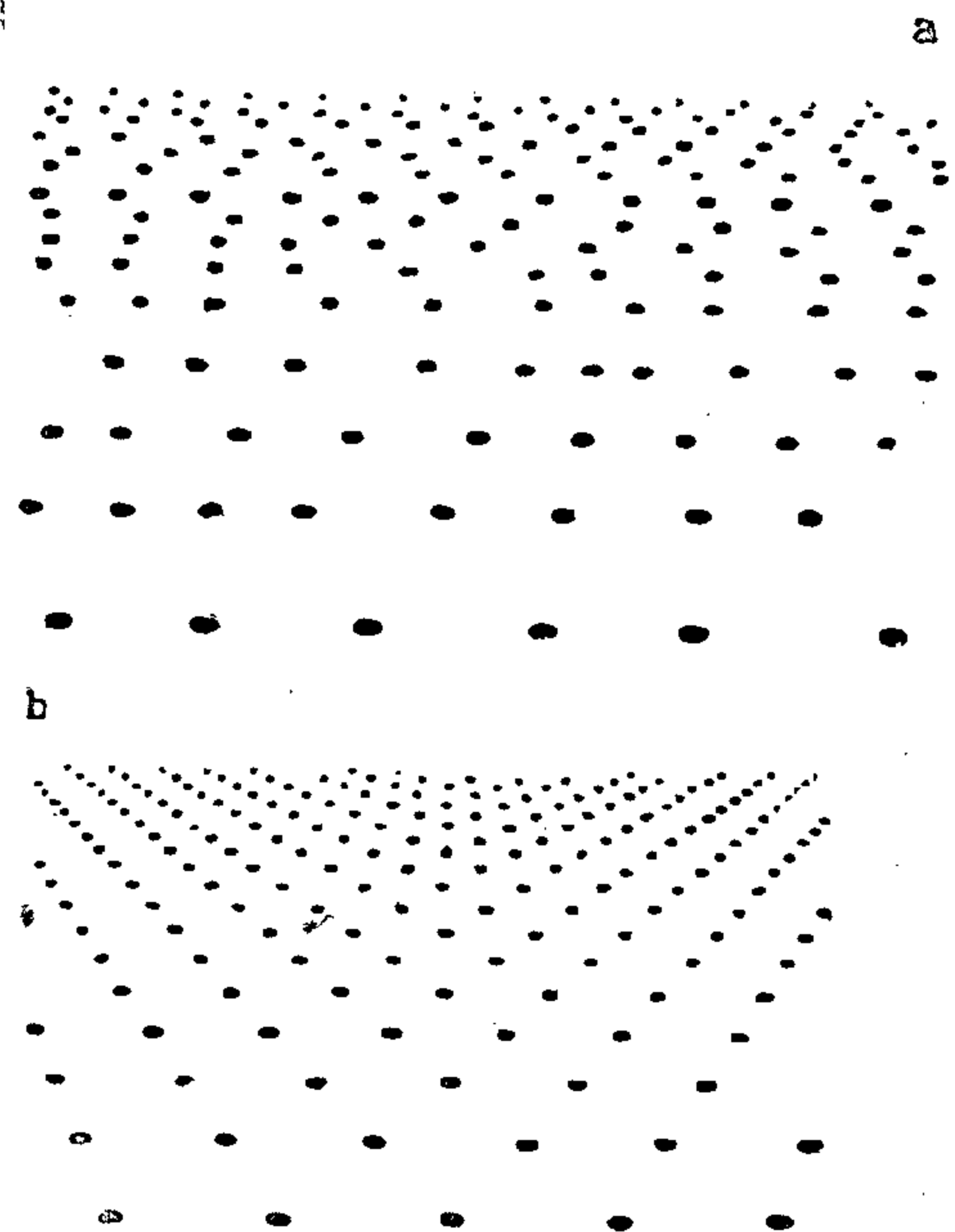
In all the above historical examples, building facades (a), which constitute the

major element, appear more important than walls (b). This is due to the effect associated with the direction of the side walls shaping the piazza.

All 4 Italian piazzas accentuate the effectiveness of alternative A discussed in the previous page.

(D-2) THE FIGURE-GROUND EFFECT

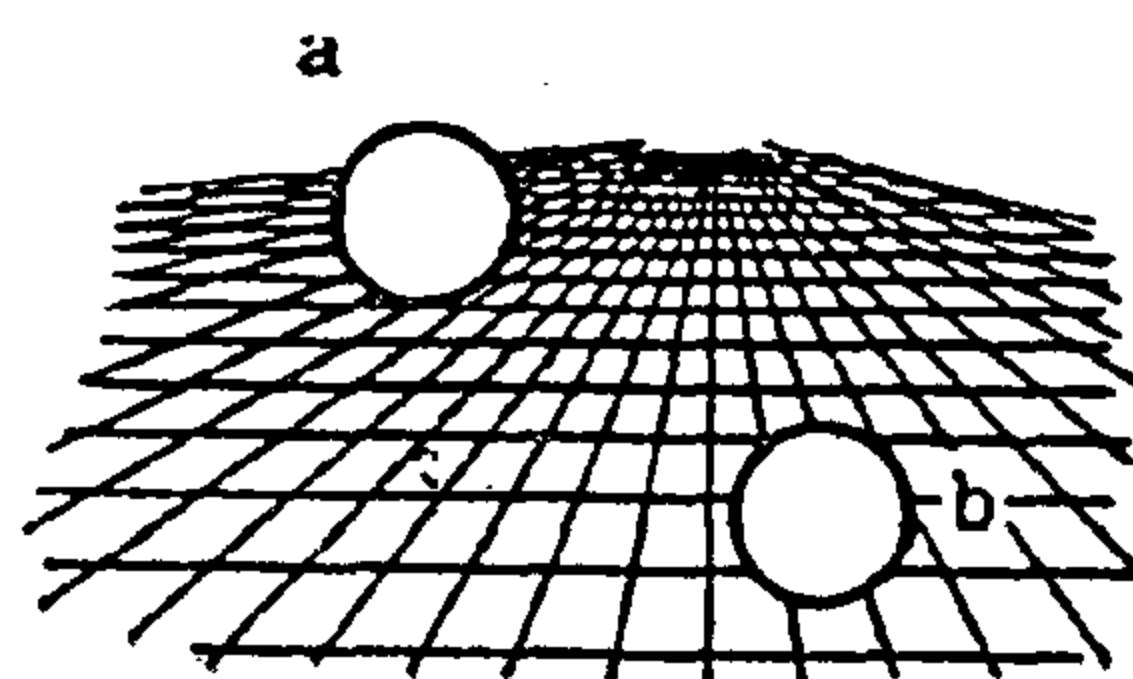
It is the effect of the plane against which is located the perceived object.

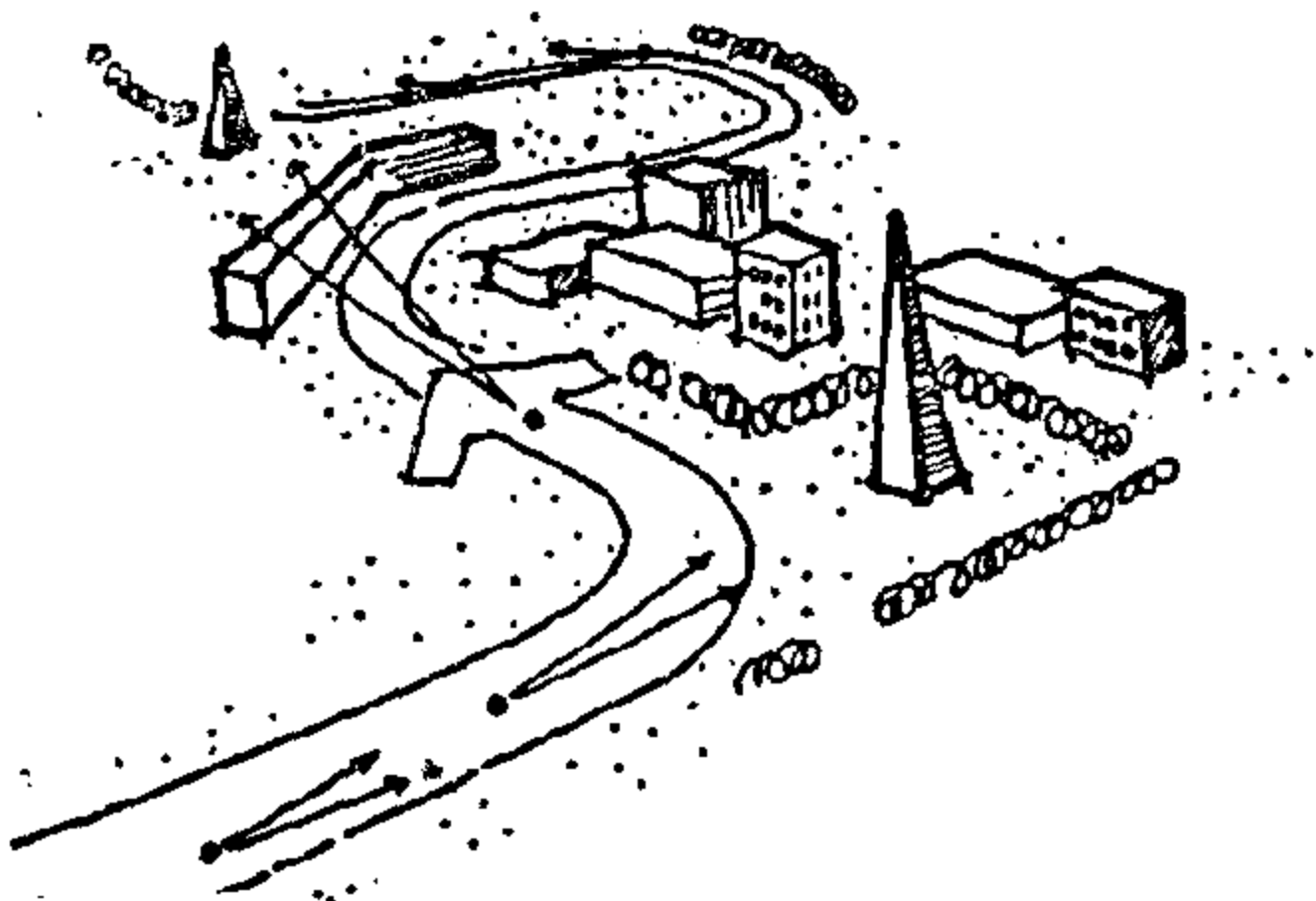


□ TEXTURE-DENSITY GRADIENTS

It is defined as "the number of proximal elements per unit area". A strong depth of field effect is obtained by a gradual organized rate of change of the texture density. It is performed in (b) by both a regularly decreasing dot size and an order that follows the rules of perspective.

[(4), pp. 296-9].





□ DURATION OF EXPOSURE

The longer the duration of exposure, the greater the temporal & spatial legibility



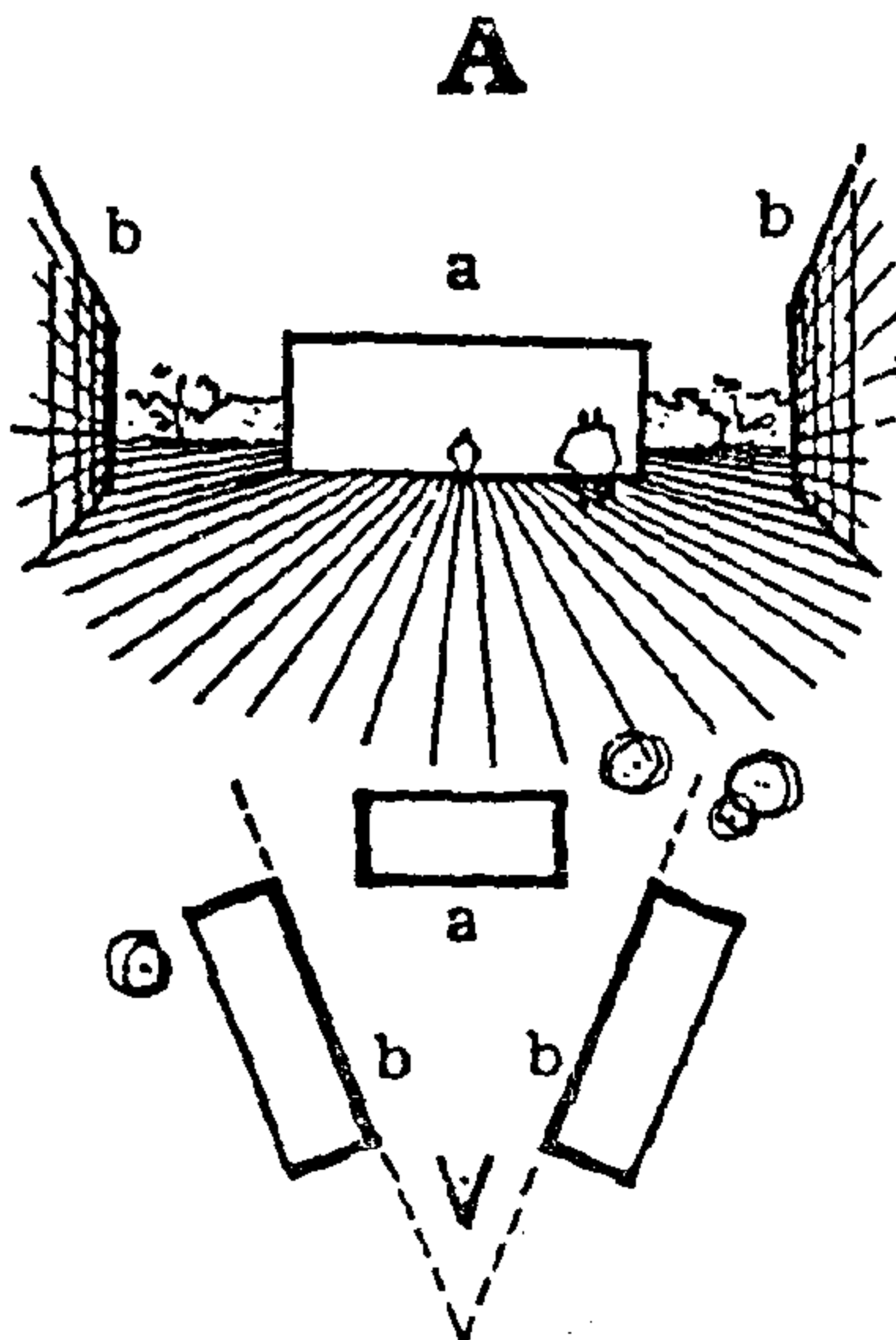
(D) PERCEPTUAL & SPATIAL ORGANIZATION

Three major elements affect the perceptual & spatial organization :

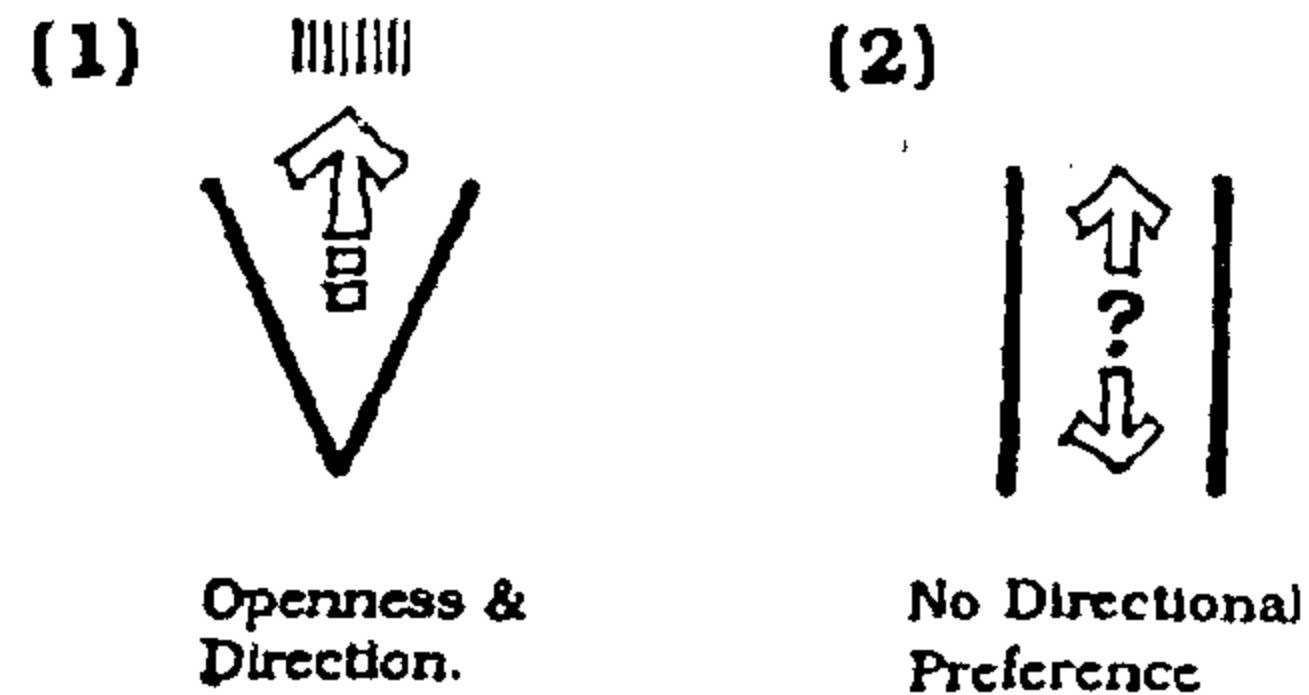
1. Perspective.
2. Figure-Ground, and
3. Color, Light, Shades & Shadows.

(D-1) THE EFFECT OF PERSPECTIVE

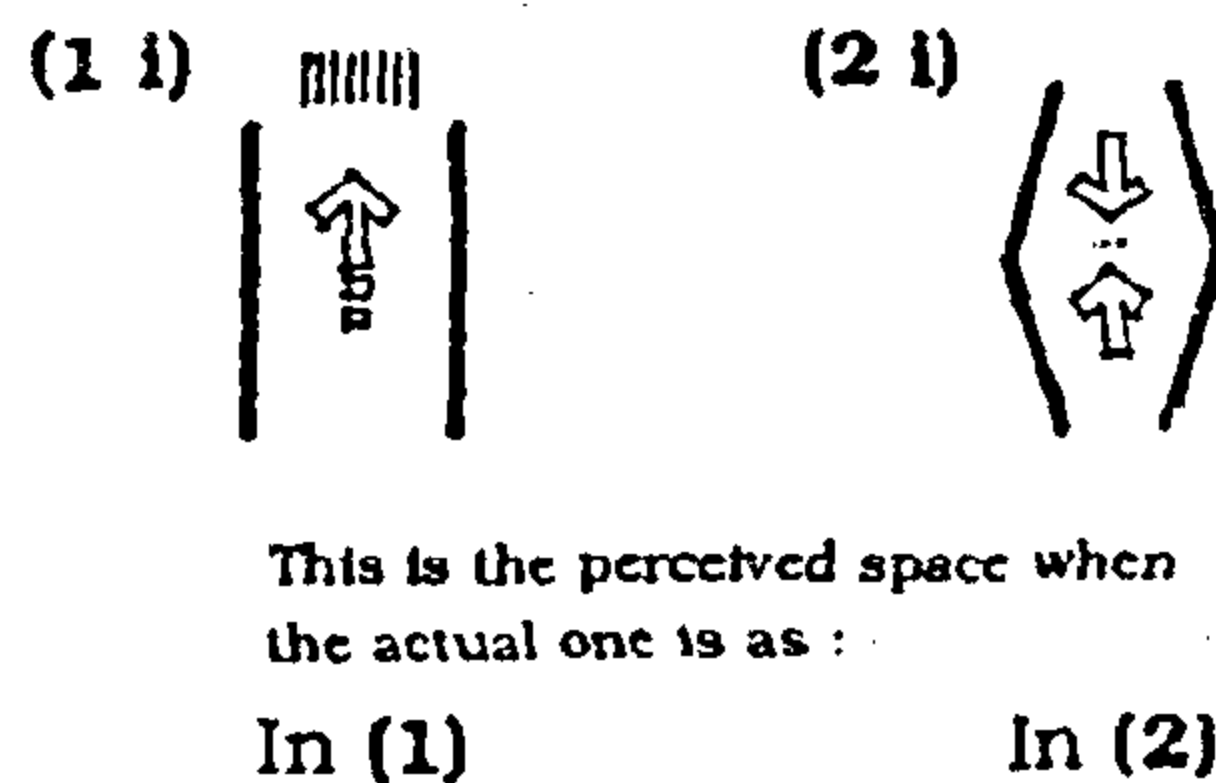
Two alternatives of space organization (A & B) are presented. Alternative A is recommended as demonstrated below and as implied by the four examples illustrated next page.



□ ACTUAL (DISTAL) :



□ PERCEIVED (PROXIMAL) :



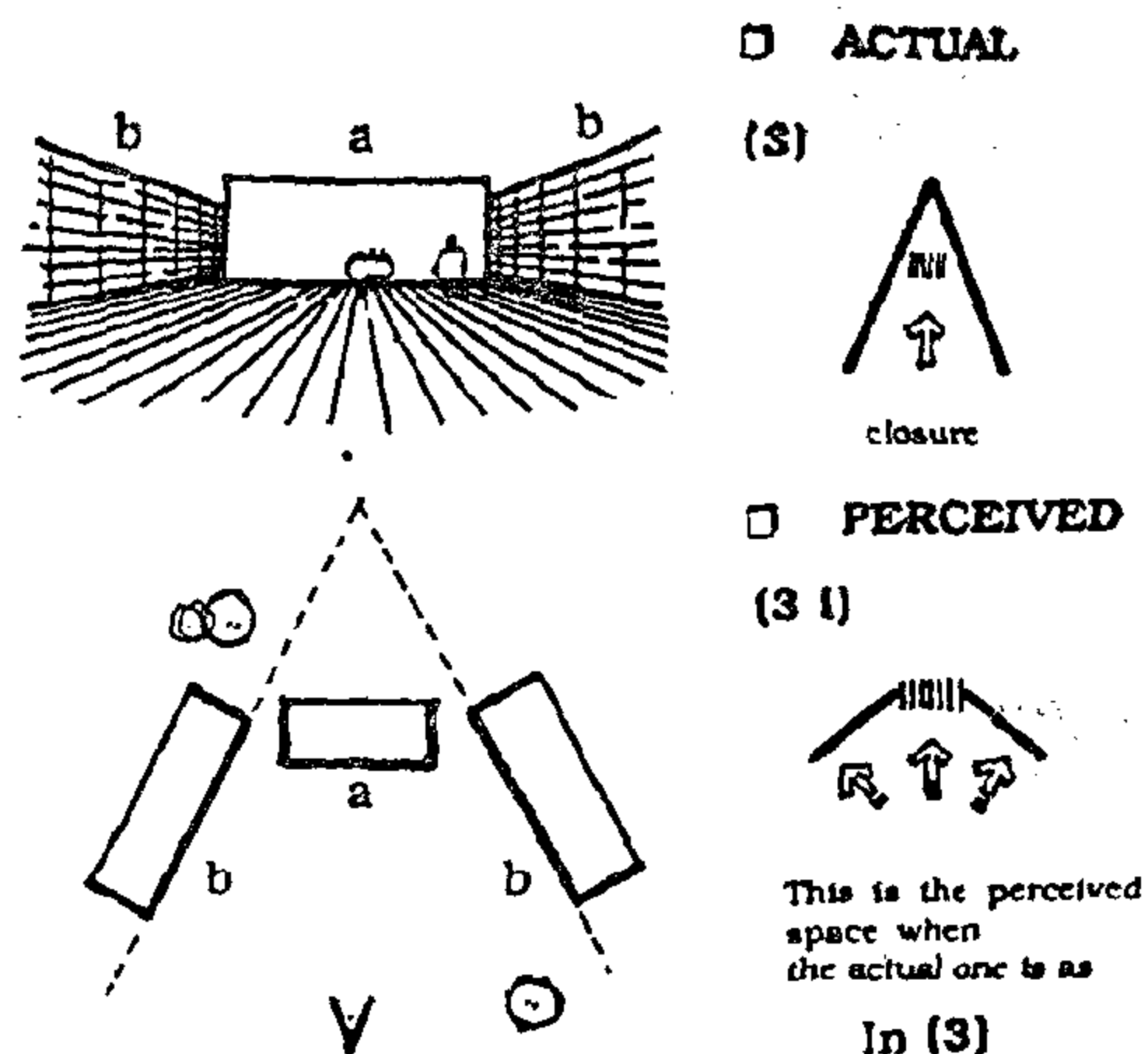
This is the perceived space when the actual one is as :

In (1)

In (2)

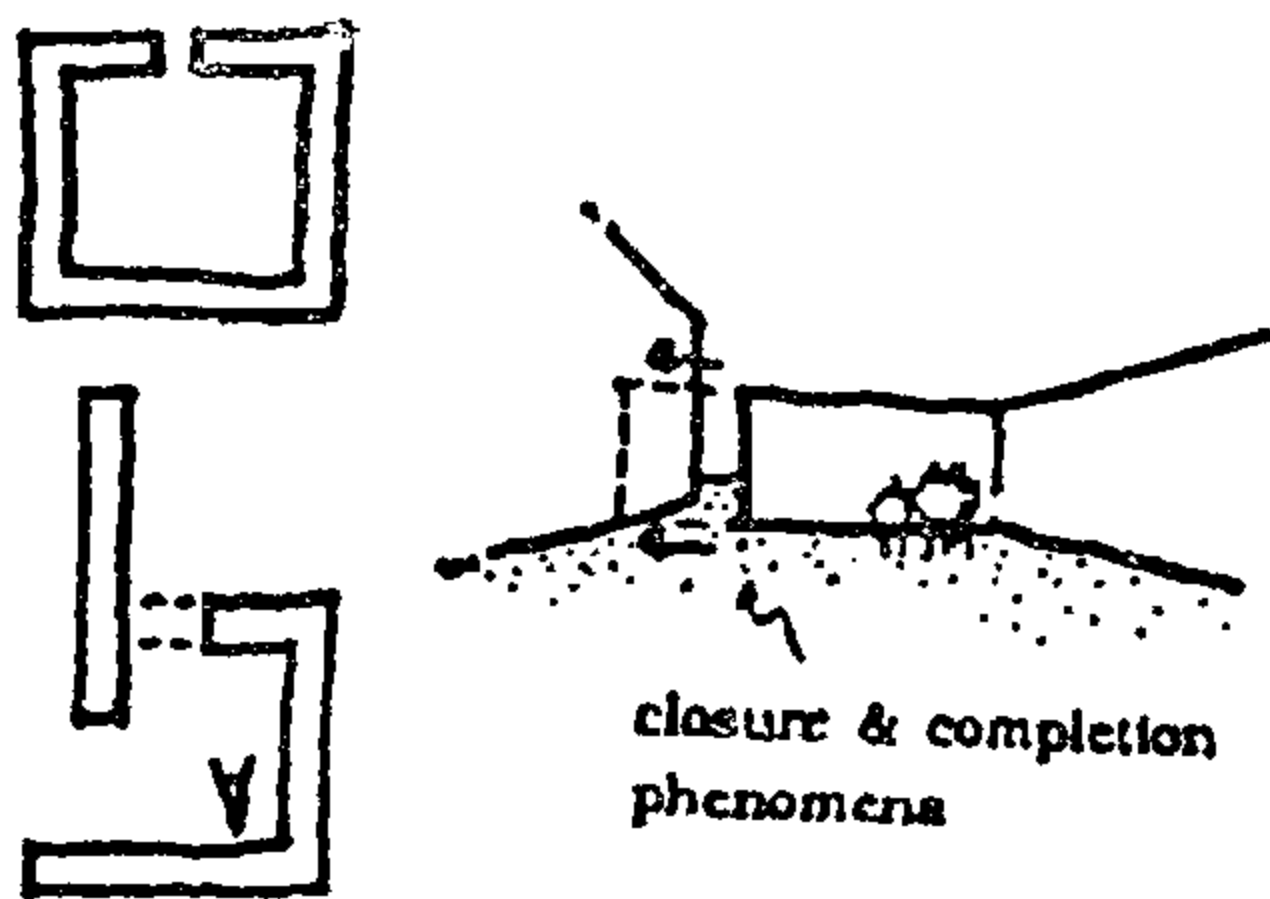
In sketch A, building (a) appears smaller than that in sketch B, the surrounding space wider, and in a word this formation of space accentuates the creation of a grandiose vista & power.

B



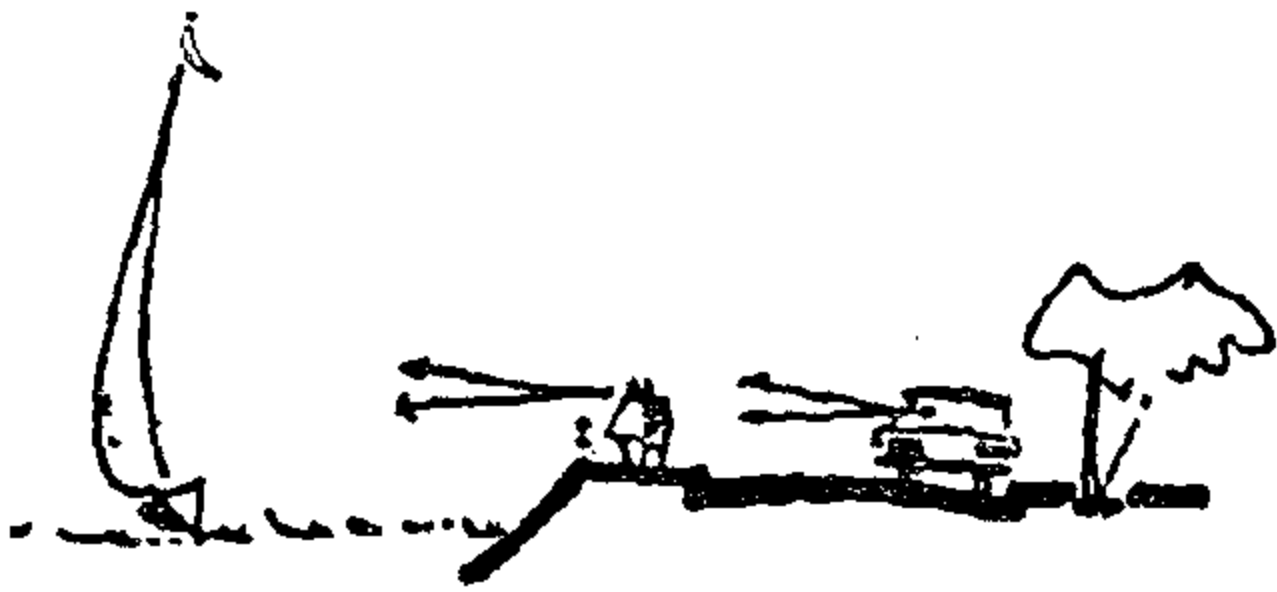
In sketch B, the space seems more crowded & less inviting than in A. The buildings (a) and (b) form a continuous unappealing edge. Notice that building (a) looks here less imported within the space.

□ ENCLOSURE & CLOSURE



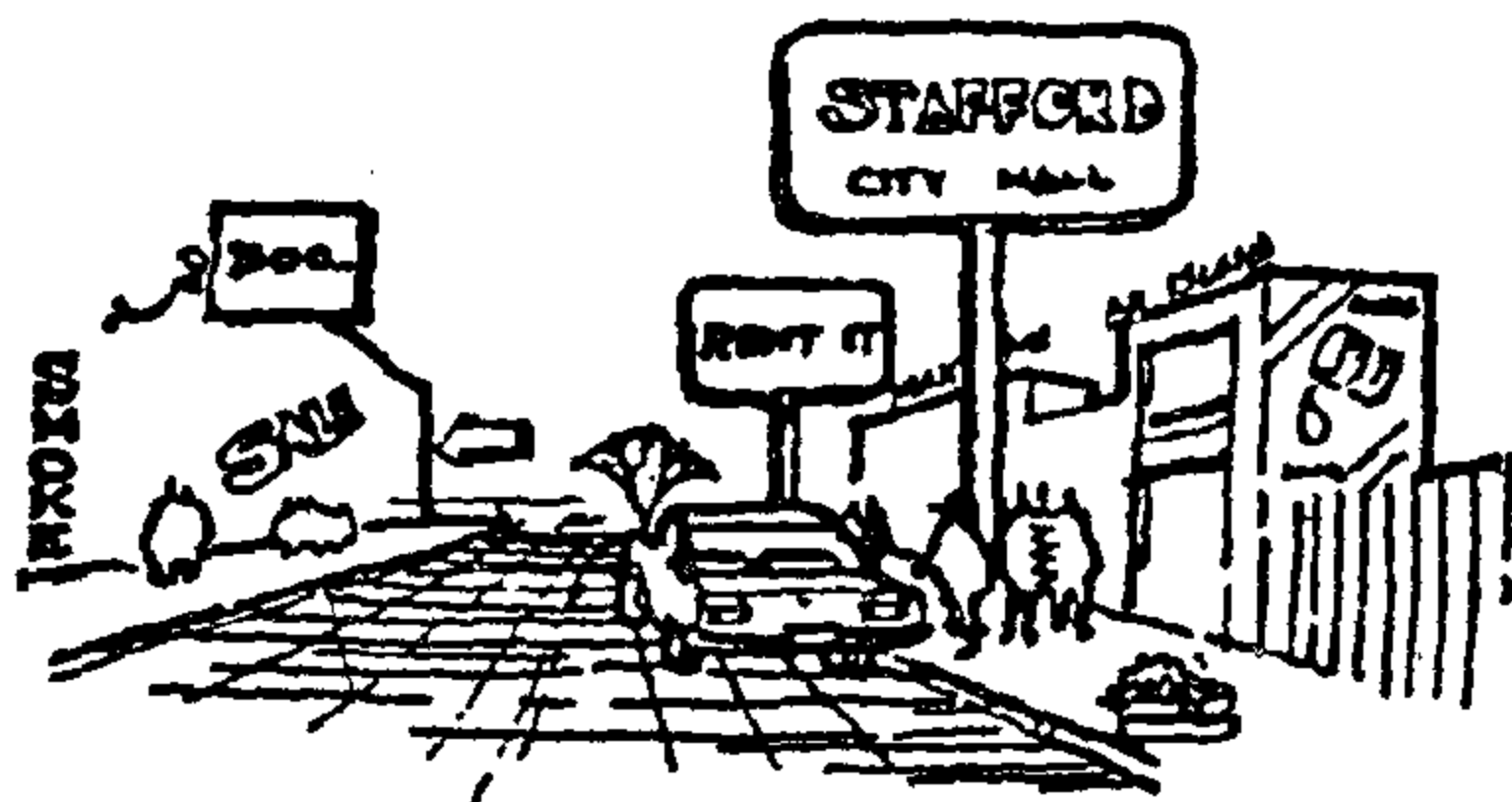
Enclosures are easy to perceive and to remember especially when they are balanced. They are identified by overhead, alongside, and underfoot elements.

□ PROXIMITY & IMMEDIACY



Nearness is a primary step toward accurate perception. It also increases the intensity of exposure.

□ SIGNS & STREET PUBLICITY

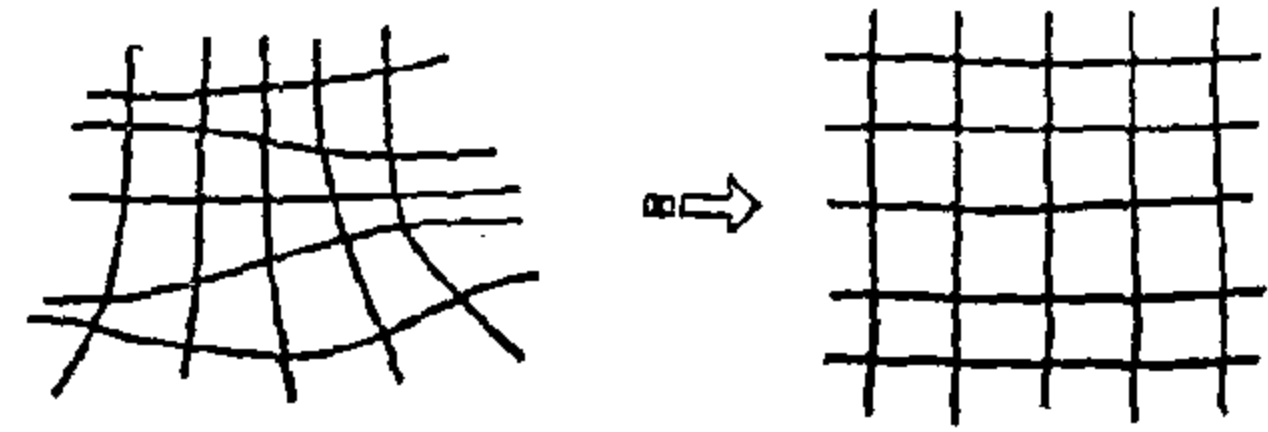


They crystalize the identity and facilitate the imageability of urban scenery.

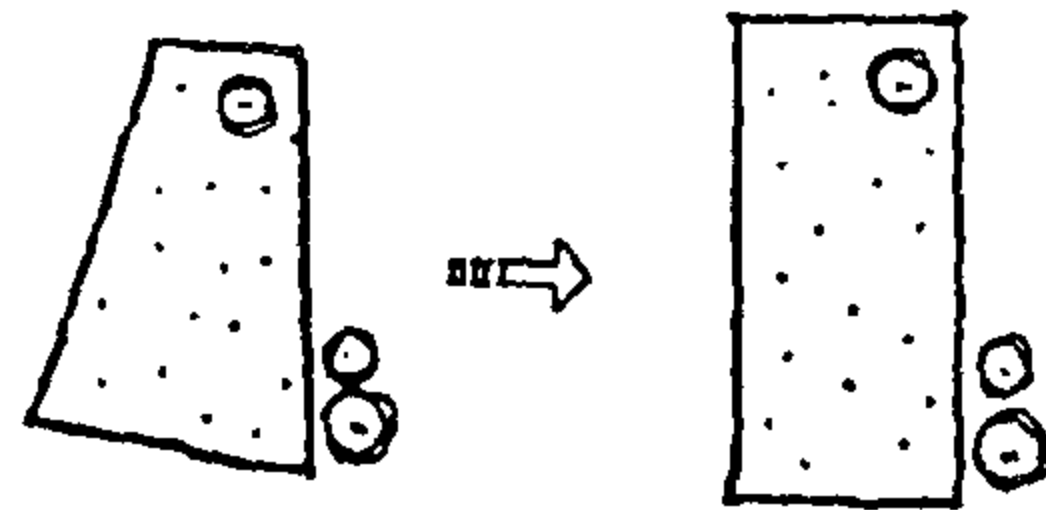
(B) IMAGE DISTORTION

The "traces" of the image are transformed. The assumed (perceived) or "trace-residue" form is generally geometric in shape even when the actual one was not. Images of urban elements are preserved in our memories only in the elements essential features & simplest form.

[(1), pp. 114, 122-5; (9), pp. 55-6].



ACTUAL condition of a street pattern respecting topography & street intersection at right angles. **ASSUMED** (or perceived) condition of the street pattern.



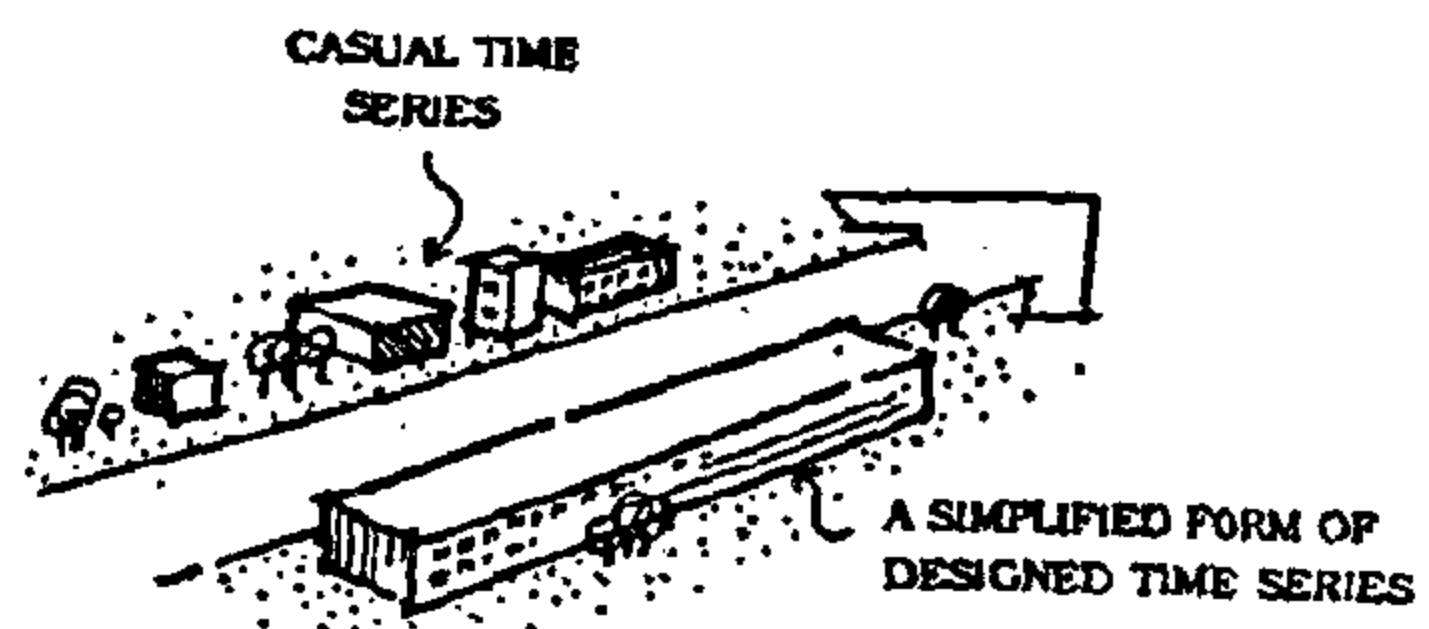
ACTUAL condition of an open space **ASSUMED** (or perceived) condition of the space.

(C) TIME

Time is the 4th dimension. It affects the view from the road of both motorists and pedestrians. Within the urban space there are :

- Casual Time Series : formed by item-by-item linkages
- Designed Time Series : which are methodically structured in time as one entity.

Perception of both time series rely upon the sequence of events, the actual or symbolic duration of exposure, and the intensity of exposure. [(8), pp. 107-8]



□ SEQUENCE OF EVENTS & INTENSITY OF EXPOSURE

Extensity & intensity of exposure are not always affected or achieved similarly. For example, in case of descending a hill when the exposure of a well seen landmark is discontinued at limited location, the intensity of the exposure decreases while the symbolic duration of exposure does not as such. It is meant by the exposure discontinuity a visual obstruction or a selective attention to the surroundings.

PERCEPTION

Dr. SAMI SABRI SHAKER*

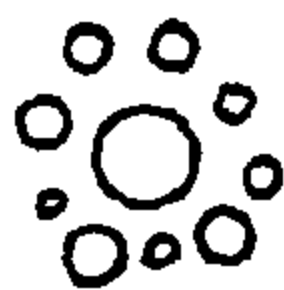
1. QUALITY OF PERCEPTION

QUALITY OF PERCEPTION IS ENHANCED BY SEVERAL DESIGN PRINCIPLES, SUCH AS :

- (A) CLARITY & SELECTIVITY.
- (B) IMAGE DISTORTION.
- (C) TIME, AND
- (D) PERCEPTUAL & SPATIAL ORGANIZATION [(9), pp. 46-66]

(A) CLARITY & SELECTIVITY

The following items are but few qualities that help the eye to easily grasp the urban elements exposed in the environment. More than one quality is needed to enhance a highly perceptible image. [(8), pp. 105-8; (9), p. 47]



□ DOMINANCE

An element is generally dominating over the others either by size or by intensity. [(8), pp. 105-6].



□ SINGULARITY

It implies contrast, uniqueness, & clarity.



□ SIMPLICITY OF FORM

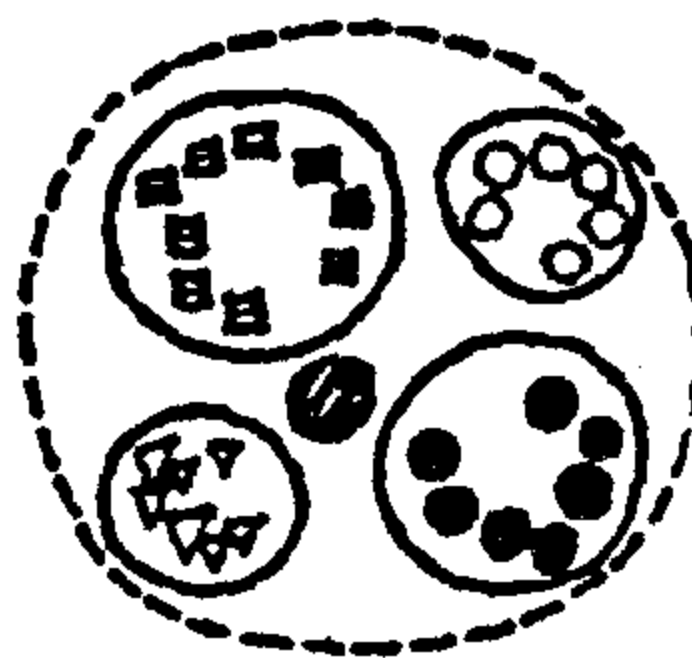
The form is not based on the summation of the parts but on the "whole character". This character transcends the characteristics of the parts. With form simplicity there is a nearly total limitation of the parts. [(1), p. 113; (8) pp. 105-6].

□ SIMILARITY & REPETITION



Redundant elements help in building the scene image.

□ CLARITY OF EDGES AND CLUSTERING



This needs : sharpness of boundaries, clarity of physical relationships, and homogeneous character.

[(8), pp. 103-4, 112; (9), p. 53].

* Regardless of The Type of Observer and His Personal Conditions,

The Phenomenon of Perception Can Be Understood Through The Study of 3 Major Points :

1. The Quality of Perception. 2. The Perceptual Constancy, and 3. The Optical Illusions

users are not allowed to exceed the available seats (i.e. standing is not allowed in minibus).

4. CONCLUSIONS

The following can be concluded from this research :

1. The headways vary from mode to another considerably. The results shows that Heliopolis metro has the longest headway while the minibus comes secondly and buses have the shortest headway.
2. Travel times and speed vary from time to time and from section to another for each mode. For total time (from the begining to the end), the minibus proved to be the most speedy mode compared with the metro and buses in most cases. However, the metro travel time is slightly less than the minibus. The speed of the metro in section (2) appears to be higher than the other modes. This is because the metro is fully segregated in this section.
3. Significant differences are found in users' attributes. For example, the car ownership and income levels vary between the users. It can be concluded that the minibus users have the highest carownership and income levels while metro users rank secondly and the bus users thirdly.
4. Investigating user preference between metro, bus and minibus shows the following :
 - a. For metro users, comfort and speed are perceived as basic elements in selecting this mode. Proximity also is important. However, approximately, 75% of the users consider this service as an expensive mode but the previously mentioned reasons make it favourable to them.
 - b. For bus users, it has been noticed that they have the biggest ratio between other modes who complained from the metro fare. This is logical because of the low income level they have But most of bus users consider the metro as comfortable mode.
 - c. For minibus users, all the users consider the metro as a cheap mode and ab-

out the third consider the metro as uncomfortable mode and about 25% consider it as slow. These are logical if compared with the minibus mode they use which is more expensive than the metro and more comfortable and at the same time is faster.

5. RECOMMENDATIONS

1. The Heliopolis metro should be given more priority than buses and minibuses since it has more occupancy especially at different intersections.
2. Many buses are running in parallel to the metro. Some sort of coordination is needed. For example, it would be useful if some of these buses are used as feeders to the metro and not competitive.
3. The field measurements show that the metro has the longest headway compared with buses and minibuses. This problem should be solved by providing more metro units.

6. FURTHER WORK

This research work forms the basis for developing a suitable mode choice model to be used as a mathematical tool which would facilitate the choice between these modes in cases of reorganization of raising the fare of any mode.

7. REFERENCE

1. Japan International Cooperation Agency, "Greater Cairo Region Transportation Masterplan Study", interim Report, 1988.
2. E.M. WORMALD and E.E. Osuna, "User Views on Levels of Service", Planning and Transport Research and Computation (PTRC), 1982.
3. A.E.T. Abd-El-Mageed "Operational Evaluation of Heliopolis Metro Restoration to Cairo CBD", to be published.
4. El-Hawary, "Elements of Transport Planning", Faculty of Engineering, Cairo University, 1989.
5. D.A. Kruechberg and A.L. Silvers, "Urban Planning Analysis : Methods and Models", copyright by John Wiley & Sons, Inc., 1974.
6. Lotus package.

in minibus and metro than the bus. This is because of the available comfort in these modes.

Table (2) Differences in Users Attributes

Attribute	Item	Heliopolis Metro	Bus	Minibus
Gender	Male	75 %	72 %	74 %
	Female	25 %	28 %	26 %
Purpose	Work	51 %	70 %	63 %
	Education	20 %	16 %	16 %
	Shopping	1 %	1 %	5 %
	Other	28 %	13 %	16 %
Car ownership	With Car	18 %	3 %	37 %
	Without car	72 %	97 %	63 %
Payment method	Ticket	86 %	64 %	100 %
	Seasonal	14 %	36 %	-
Average Monthly Income (L.E.)		211	150	331

For trip purpose, the results show that work trips are higher in buses more than other modes while other trips (such as social trips) made by buses are lower. This is because the employees have to arrive at their work at fixed time which make many of them look for the mode with higher frequency such as buses. Social trips are not required to be made at fixed time such as work trips which make the user chooses the comfortable mode without giving more weight to waiting time.

The table shows that significant differences exist between the users in car ownership and income levels. The results show that the minibus users have the highest car ownership and income while those of the metro ranked as second and the bus users have the lowest car ownership and income levels. This agrees with the fare system on these modes in which minibus fare is 40 piasters and for metro and buses, the fares are 25 and 10 piasters respectively.

For payment method, the low income of those bus users made a great portion of them: (more than metro users) use seasonal tickets to make use of the available reduction while this advantage is not available for minibus users.

3.4.2 User preference between metro bus and minibus

In addition, interesting information were included in the forms to reflect users' point of view regarding Heliopolis metro service. The Heliopolis metro passengers were asked to mention the rea-

sons of using the metro while bus and minibus passengers were asked why they did not use the metro. The results are exhibited in table (3).

Table (3) User Preference between Modes

Reason for using the metro (Metro users)	Metro users %	Reasons of not using the metro	Bus users %	Minibus Users %
Cheap	26	Expensive	36	-
Close to origin	18	Far from origin	28	24
Close to destination	50	Far from destination	8	12
Comfortable	86	Uncomfortable	3	39
Fast	84	Slow	25	26
Others	3	Others	12	12

It appears from the table that the largest number of respondents among metro users gave comfort, speed and closeness to destination as reasons for using the metro. The rates for other reasons are all low.

The main reasons for not using the metro as perceived by bus users are because it is expensive followed by proximity. As seen from the table, 25% of bus passengers perceive that metro is slower than bus.

For minibus users, discomfort, proximity and low speed of the metro are the main reasons for not using the metro.

It can be seen that the reasons for not using the metro differ between bus and minibus users. For example, while 36% of bus users consider the metro as expensive mode, all minibus users perceive it as a cheap mode compared with minibus fare which is approximately 1.6 times as the metro fare. The bus users have the right to consider the metro as expensive based on the low fare of bus and their low incomes (for example the metro fare is 2.5 times as the bus fare.)

Proximity was one reason for not using the metro. The bus and minibus has a great advantage of being close to the users origins or destinations than the metro. The closeness of the buses and minibuses terminals to Cairo Metro Regional Line (CMRL) entrances exits and also to the CBD has a great advantage. Therefore to make the metro more attractive, it should be extended further to Tahrir square.

Discomfort was another reason cited by minibus users for not using the metro. This is because the number of minibus

Table (1) Travel times and speed along different sections by each mode

Period	Mode	Section (1)		Section (2)		Section (3)		Total Travel Time
		T.T	Speed	T.T	Speed	T.T	Speed	
Morning Peak (Outbound)	MH	11.05	13.13	10.10	23.06	19.75	15.19	48.90
	Bus	14	11.22	28	16.5	14.5	20.69	56.50
	Mini	12.5	13.29	24	19.25	11	27.27	47.50
Morning Peak (Inbound)	MH	11.35	12.78	10.58	23.24	19.87	15.10	49.13
	Bus	15	10.5	29.83	15.49	16.3	18.4	61.13
	Mini	13.2	12.58	26.2	17.63	12	25	51.4
Off-Peak (Outbound)	MH	10.48	13.84	15.83	27.28	19.78	15.16	46.09
	Bus	12.5	12.57	22.7	20.35	15	20.00	50.2
	Mini	11.28	14.72	19.29	23.95	11	27.27	41.27
Off-Peak (Inbound)	MH	10.48	13.84	15.65	27.6	20.16	14.88	46.29
	Bus	12.5	12.57	23.3	19.83	17	17.64	52.60
	Mini	12.17	13.65	20.2	22.87	11	27.27	43.37
Afternoon Peak (Outbound)	MH	12.85	11.29	17.37	24.86	22.61	13.27	52.83
	Bus	15.3	10.27	27.5	16.8	20	15	62.60
	Mini	14	11.86	23	20.09	11	27.27	49
Afternoon Peak (Inbound)	MH	12.10	12.80	13.10	23.86	21.4	14.02	51.6
	Bus	14.2	11.06	25.4	17.5	16.4	18.29	57
	Mini	13.3	12.49	25	18.48	12	25	50.3

Note : T.T. is the travel time and all times are in minutes.

3. For the total time by each mode, the minibus has the shortest travel time in most periods along the route while metro ranked as second and the bus has the longest travel time. This is because most of the passengers use the minibus from its origin to its destination and boarding and alighting in intermediate stops are not so much which saves more time. In addition, the manouverability of minibus helps in time shortening than buses.

3. THE INTERVIEW PROCESS

Three interviews were carried out including the metro, buses and minibus. For the metro the interviews were undertaken on stations platforms of section (1). Bus and minibus users interviews were carried out on board.

3.1 interview forms :

The interview forms included questions on the boarding and alighting stations, trip purpose, type of ticket, occupation, family size, carownership, income. Metro users were asked about the reasons of using the metro, while bus and minibus users were asked about the reasons of not using the metro.

3.2. Sample Size :

To determine the sample size for each mode, the total population has been estimated by counting for metro and using the CTA statistics. The size has been

estimated using the following equation (4,5) :

$$e = +z \sqrt{\frac{p(1-p)}{n} \times \frac{N-n}{N}}$$

where

e = the allowed error

p = the true proportion

N = the total population

n = the sample size

Allowing two percentage points of the true proportion with 95% confidence level, the samples are estimated as 829, 846, and 366 interviewees for metro, bus and minibus respectively, However actual sample sizes interviewed are 1964, 2184 and 489 interviewees from metro, bus and minibus passengers which can be considered statistically acceptable.

3.3. Interview Execution

Prior to the survey execution, the interviewers received a complete training which included understanding the form and the way of directing the questions to the interviewees. Then a pilot survey was carried out to avoid any problems that may occur in the actual survey.

All interviews have been carried out on working days specially Mondays and Tuesdays in March and April, 1988. The surveys have been carried out from 7:30 to 10:00 a.m. and from 1:30 to 4:30 p.m.

3.4. Surveys Analysis

After getting the forms filled, the coding of the data started. Then a file containing all the coded data have been created using Lotus package (6) which has the facility of having big files. A great part of data analysis is summerised in table (2).

3.4.1. Differences in Users's Attributes

Table (2) presents the differences among the users of different modes. It appears from the table that the percentages of females using different modes vary. For example female percentage is higher

2. FIELD MEASUREMENTS

It has been realised that the ridership depends to a large extent on the service quality which can be measured by many factors. The most important factors considered in this research are the frequency of the service and travel time (2) of each mode. The following sections discuss the field measurements undertaken.

2.1 Frequency of the service :

Frequency of the service is very important to a great extent. It expresses the waiting time which is of a great value in presenting the service quality. For Example, in Caracas city, a survey showed that waiting time is the most important attribute of the service (2). The headway of the metro was measured by allocating two persons at El-Behiry station (just before Kobri El-Limon station) for both inbound (to Tahrir) and outbound (to Heliopolis) directions to measure the time interval between successive units at peak and off-peak periods and the work has been repeated for several days. The average of these reading shows the following — For all units of all metro lines destined to Abd El-Monem Riad square, the average headways are 7.6 and 9.29 minutes in peak and off-peak periods respectively. The average headways for Nozha line are 25 and 26.5 minutes in peak and off-peak periods respectively.

— For outbound direction, the average headways for all units are 7.8 and 9.7 in peak and off-peak periods. The average headways for Nozha line are 24.5 and 30 minutes in peak and off-peak periods.

These results show that the operator provides greater capacity in peak period than off-peak period to cope with the increasing demand.

In comparison with buses and minibuses, the statistics of CTA show that the operating headways are 5.7 and 11.9 minutes for buses and minibus respectively.

Assuming that the waiting time is half the headway, it can be notice that the average waiting times are 12, 3 and 6 minutes for metro, bus and minibus respectively. This long waiting time for Heliopolis metro should be shortened by allocating more metro units.

2.2 Travel Time Measurements :

In a previous paper written by the author (3), it has been seen that the speeds of the metro vary considerably along three different sections. Section (1) starts from Abd El-Monem Riad square to Ramsis squarae while section (2) follows section (1) to Roxi square. Section (3) follows section (2) to the end of Nozha Line. In this research, travel times have been measured for buses and minibus along these sections.

Six readings have been taken for each mode in the morning peak. The same work has been repeated for the off-peak and the afternoon peak. Bus line number 500 and minibus line number 35 were considered because they run in parallel to the metro. The final destination for these modes is Midan El-Hegaz. For purpose of comparison with the metro, section (3) was considered from Roxi to Midan El-Hegaz. The results of the measurements are presented in Table (1). From the table, the following can be concluded :

1. For each mode, the differences between speeds along each section in peak and off-peak periods exist. In section (2), the metro achieves its highest speed compared with other sections (because it is fully segregated from other traffic in this section) while buses and minibus reach their highest speeds in section (3).
2. Section (1) is suffering from more delays than any other section. This can be noticed from the low speeds for all modes compared with other sections. However, it can be noticed that the metro and minibus speeds are close to each other and at the same time are higher than the bus speed.

COMPARATIVE ANALYSIS OF HELIOPOLIS METRO AND OTHER PUBLIC MODES

Ahmed E. T. Abd-El-Megeed*

ABSTRACT

Heliopolis area is linked with the CBD by many of public transport modes running in parallel to Heliopolis Metro. The purpose of this paper is to make a comparison between these modes including metro, buses and minibus. In this respect, two types of comparisons are mainly made. Firstly, the operating characteristics of each mode was examined. This include measuring the headway of the Heliopolis metro and comparing it with the operating headways of buses and minibuses. Also the travel times along different sections for each mode have been recorded.

The second type of comparison concerns the characteristics and attitudes of each mode users and their variation in appreciation of the metro service. This type of information was obtained by carrying out interviews with each mode users.

The results of the research show that significant differences exist between the operating characteristics of these modes and the users of each mode as well. For example, the headways recorded show that the metro has the longest headway and the minibus comes secondly while buses have the shortest headway. The travel times measurements indicate that minibus has the shortest travel time while metro ranked as second and buses come as last.

Concerning the users, the results show that the minibus users have the highest car ownership and income levels. The metro users rank as second while bus passengers appear to be with the lowest car ownership and income. It has been also concluded that comfort and speed are highly recommended by all users and the

fare appreciation differs in accordance with income level.

1. INTRODUCTION

In developing countries with limited financial resources, public transport is considered as the backbone of mobility. In Cairo, for example, approximately 60% of transportation trips are made by public transport modes (1). In Cairo, public transport is provided by different agencies which include Cairo Transport Authority (CTA), Heliopolis Metro Company and Egyptian National Railways (ENR).

In crowded cities such as Cairo use of High Occupancy Vehicles (HOV) should be encouraged and given all priority. Presently, Cairo realised this fact which appeared clearly in the birth of the Cairo Metro Regional line (CMRL) which run from Helwan in the south to Elmag in the north. The eastern north corridor of the city represented in Heliopolis area is linked with the CBD by many forms of public transport modes. These are Heliopolis metro, buses, minibuses and shared taxis.

The purpose of this paper is to compare between these modes. This comparison is based on field measurements taken for the headway and travel times for each mode. The comparison extends to the users point of view of each mode. This has been performed by carrying out surveys on different modes. The results help in exploring the deficiencies/shortcomings faced by the public to be avoided so that a good service will be introduced. In addition, the analysis of the users of each mode according to car ownership and income has been performed. The following sections discuss the field measurements and surveys in detail.

* Assistant professor, Faculty of Engineering, Cairo University, Giza, Egypt.

BUILDING & CONSTRUCTION

INST. OF CIVIL ENGINEERS

INST. OF ARCHITECTS

INST. OF IRRIGATION ENGINEERS

CONTENTS

GENERAL SECTION:

BUILDING AND CONSTRUCTION	INDUSTRY AND PRODUCTION	RAW MATERIAL and CHEMICAL ENGINEERING
(ARABIC)	(ARABIC)	(ARABIC)
● Municipalities Prof. Dr. AHMED KH. ALLAM 6		
● The New Utopians Prof. Dr. AHMED KH. ALLAM 7		
● Public Spaces In The Urban Fabric of The Old Islamic City. Dr. MOHAMED M. SERAG Dr. ABD ALHAMED AL-BIS 14		
● The Influence of clut and Civilization On The Burial Methods and Tombs In Egypt Dr. SHAFAR EL-WAKIL ... 25		
(ENGLISH)	(ENGLISH)	(ENGLISH)
● Comparative Analysis of Heliopolis Metro and Other Public Modes Dr. AHMED ABD-EL-MEGEED 4	● On The Control of Efficient Photovoltaic/diesel Interconnec- ted System - Frequency and Phase Measurement Dr. MOHSEN T. EL-HAGRY Dr. IBRAHIM MOTAWIE ... 24	● Effects of Some Middle East Crude Oils-Brine-Rock Interactions On Wettability Dr. MOHAMED H. SAYYOUH Dr. MOHAMED AL-BLEHED 48
● Perception Dr. SAMI S. SHAKER ... 9	● Development of A New Non-Linear Programming Tech- nique For Optimum Agricul- tural Load Management In Power Systems Prof. Dr. MOUTAZ GHONEIM Dr. MOHAMED M. EL-GAZAR Dr. EL-SAEID OTHMAN Eng. ABD-ELGHANY KOHLA 27	● Severe Slugging In Real Pipeline/Riser-Pipe System. A. Case-Study Dr. ABDEL WALY A. ABDEL WALY Eng. ALY A. SHAMA Prof. Dr. MOHY EL-SALLALY 57
● Notes On Prediction of Compressibility of Some Clayey Nile Deposits Dr. EL-SAYED ALI RABBAA 17	● Sound Absorbing Double Curtains From Local Textile Materials Dr. YVONNE I. HANNA Dr. MOHAMED M. KANDIL 33	● Safety Aspects of Ventil- ation Process In Uranium Minees Dr. MOHAMED S. ABDEL-AZIM Dr. MOHAMED I. HUSSEIN 69
	● Acoustic Materials For Lining of Train Tunnels In Cairo Dr. RAMZY W. MELIK ... 41	● Grain Size Effect On Al-Diffusion Into Steel Via Heat Treatment Dr. Omar A. EL-SHAHAT 73

JOURNAL OF THE EGYPTIAN SOCIETY OF ENGINEERS

28 Ramsis St. Cairo ARE Tel. 740488

VOL. 30 ISSUE No. 1 1991

ISSN 1110 — 1253

EDITING BOARD

Editor

Dr. M. EL-HEFNAWY

Deputy Chief Editor

Dr. M.F. SAKR

Gen. Secretary

Dr. A.R. ABD-EL-HALIM

Members

Eng. T. ABDEL-GAWAD

Dr. M. ABU-ZEID

Dr. H. AMER

Dr. A. KH. ALLAM

Dr. M. EL-ADAWY NASSEF

Dr. M. M. EL HASHIMY

Eng. A. M. EL-ASFOURY

Dr. S. EL-SOBKY

Dr. A.M. KAMEL

Dr. M. SELEEM

Dr. M. ZAKI HAWAS

- Issued quarterly - Contributors are invited to submit material for editorial consideration addressed to the Editor. The Journal cannot accept responsibility for loss or damage of any material.

INSTRUCTIONS FOR AUTHORS OF ARTICLES

- The Journal publishes articles contributing to the advancement of engineering science and applications.
- Articles may be written in Arabic or English and presented in triplicate with an abstract in both languages.
- Author's names should be given in full, together with their academic titles and professional occupation.
- Articles may not exceed 8 pages. In this respect, mathematical derivation may be abbreviated and tables replaced by curves.
- The Journal does not hold itself responsible for the opinions or the content expressed by the authors.
- Curves to be drawn on tracing paper and to occupy half a page at most. Exceptionally, full page curves or plates are admitted. Curves presented will be scaled down to these sizes. Figures and lettering on curves should not be less than 3 mm even after scaling down.
- References to be given at the end of each article and classified alphabetically according to author's name followed by the name of the journal or book and the date of issue.
- Authors will be presented with two proofs, the first one accompanied by a correction convention chart to ease the work of typing correction
- Subscriptions :
Society members : Free
- Inland Subscriptions :
Non-members 20 L.E
Non-engineers 50 L.E
Organisations 500 L.E
Foreign Persons 75 US
Foreign Organisations 500 US

مجلة جمعية المهندسين المصرية

٢٨ شارع رمسيس - القاهرة ج.م.ع ت ٧٤٠٥٦٩ / ٧٤٠٤٨٨

ردم ١١١٠ - ١٢٥٢

المجلد العشرون العدد الثاني ١٩٩١

تصدر المجلة ربع سنوية .

هيئة تحرير المجلة

ترسل النصوص المطلوب موافقة هيئة التحرير على نشرها باسم السيد / رئيس التحرير . وهو غير مسئول عن فقد أو تلف أى نص .

تنشر المجلة المقالات التى تسهم فى رفع مستوى العلوم الهندسية وطرق ممارستها .

رئيس التحرير

تقبل للنشر المقالات بأحدى اللغتين العربية أو الانجليزية على الآلة الكتابة ومعها ملخص بكل من اللغتين .

دكتور مهندس / مصطفى الحفناوى

المجلة غير مسئولة عن الآراء والمحتويات التى تنشر وهى تعبر عن كاتبها فقط .

نائب رئيس التحرير

تذكر أسماء أصحاب المقالة كاملة باللغتين ومعها ألقابهم العلمية ووظائفهم .

دكتور مهندس / محمد فهم صقر

يراعى ألا تتجاوز المقالة ٨ صفحات بالمجلة ، وفى سبيل ذلك يختصر الاشتقاق الرياضى ويستعاض عن الجداول بمنحنيات مرسومة بالحبر الشينى الأسود ، على أن يشغل المنحنى نصف صفحة على الأكثر ولا يشغل صفحة كاملة إلا فى حالات استثنائية وسيصغر أى منحنى إلى تلك المقاسات .

سكرتير التحرير

دكتور مهندس / عبد الرازق عبد العظيم

ويراعى ألا يقل ارتفاع الحروف أو الأرقام على المنحنيات المنشورة عن ٣ مم بعد التصغير .

يعنى بذكر المراجع المستقى منها المقال وتصنف تبعاً لاسم المؤلف ثم العنوان ثم المجلة أو الكتاب وتاريخه .

اشتراكات المجلة :

اعضاء

يتلقى اعضاء الجمعية نسخهم مجاناً .

الاشتراك السنوى للمهندسين ٢٠ جنيهاً ولغير الاعضاء :

الاشتراك السنوى لغير المهندسين ٥٠ جنيهاً والاشتراك السنوى للهيئات ٥٠٠ جنيهاً وخارج مصر :

دكتور مهندس / محمد محمد الهاشمى

دكتور مهندس / احمد خالد علام

مهندس / توفيق احمد عبد الجواد

دكتور مهندس / حامد حسنين عامر

دكتور مهندس / صلاح السببى

مهندس / عبد الملك العصفورى

دكتور مهندس / على محمد كامل

دكتور مهندس / محمد العدوى ناصف

دكتور مهندس / محمد زكى حواس

دكتور مهندس / محمود ابو زيد

دكتور مهندس / محي الدين سليم

للافراد ٧٥ دولار أمريكى سنوياً . وللهيئات ٥٠٠ دولار أمريكى سنوياً .

وذلك عن الأربع اعداد السنوية ويعامل العدد الواحد بواقع الربع من هذه القيمة .

وتعطى أولوية النشر بالمجلة للسادة الزملاء اعضاء جمعية المهندسين المصرية .

رقم الايداع بدار الكتب ١٩٨٢/٢٩٨

مطابع مؤسسة دار الشعب - للطباعة والنشر

٩٢ شارع قصر العيني - القاهرة ت : ٢٥٥١٨١٠ - ٢٥٥١٨١٨ - ٢٥٤٢٨٠٠

التشييد والبناء	التمنيج والانتاج	الخامات الأولية والصناعات الكيماوية
القسم العربي:	القسم العربي	القسم العربي
* المدن الجديدة في مصر د. أحمد خالد علام ٤	* نحو تعميق مفهوم التمنيج المطبق لقطاع غيسار مستلزمات الإنتاج (تجربة شركة أسمنت بورتلاند بطنشوان) محاسب/ محمد عبد الحميد د. د. عبد السراشق عبد الطييم. ٢٢	القسم الانجليزي: * تحسين خواص الطوب الغفر بالتشبيست د. سعيد السعدوي م. أحمد نبيل ٤٥
* تشييد شكل وحجم الفراغ الداخلي للمجرة على البيئة الداخلية لـ المناطق الحارة. د. سامي سليمان عليو ٦		* تطبيقات عملية للازاحة بالقلوي لخام رأس بدران م. ناصر نسوي د. محمد طلق صيوع د. محمود حسن البتانوني د. محمد عبد الجواد د. عبد الوالي عبد الله ٥١
القسم الانجليزي:	القسم الانجليزي:	
* إمكانية امتداد محافظة المنوفية نحو كهيرها الصهاراوي العربي . د. شريف صبري سعد الدين ١٣		* تطبيقات عملية للازاحة بالقلوي لخام رأس بدران م. ناصر نسوي د. محمد طلق صيوع د. محمود حسن البتانوني د. محمد عبد الجواد د. عبد الوالي عبد الله ٥١
* طريقة مبسطة للتخطيط الديناميكي لعوائق القص المزدوجة. د. عبد الفتاح العقباوي د. أميسن علي ٤	* طريقته جديدة لمعالجة مقياس الجهد ذو التيار المستمر الشاويست. د. عباس عبد الرحمن د. سهيل فخر د. إبراهيم مطاوع ١٨	* أقمى معدلات إنتاج مسموكة بها من الإبر الانقيسة المنتوكة د. عبد العليم هاشم السيد ٥٧
* الفاقد بالتسرب من مجموعة من الترع المتوازية د. أحمد سامي الزاهر د. كمال الدين سليمان ٩	* التحكم في حاس التتبع الشمسي باستخدام الحاسب المتناهي الصفر د. مهن محمد الحاجري د. إبراهيم مطاوع د. محمد بشير صالح ٢٦	* تشييد المحتوي الطفلسي لحقل المرجان على إنتاجية الزيت بواسطة الحقن بالمحاليل القلوية د. عبد الوالي عبد الله ٦٧
* تشييد الإعتاب تحت البوابات على معامل التصرف د. عصام الدين عبد الحفيظ د. محمد النيازق حماد د. طلعت محمد عويس ١٣	* مدخل البرمجة الهدفية لبناء نموذج لتخطيط الإنتاج الهرمي د. محمد حسن رستم د. صلاح أسمايل ٣١	* بعض الخصائص الميتالورجية للصلب بشد الألمنة والمعالجة الحرارية . د. ممر أحمد الشحات ٧٧

التشييد والبناء

جمعية المهندسين المدنيين
جمعية المهندسين المعماريين
جمعية مهندسي الري

المدن الجديدة في مصر

٢ . د . أحمد خالد ملام

رغم الاهتمام الذي أولته الدولة للمدن الجديدة والذي تشمل نسق تعبئة الجهود والاستثمارات الرأسمالية الضخمة إلا أن نتائج التجربة ، وبعد مرور أكثر من عشر سنوات على البدء في انشاء هذه المدن تشير إلى أن الإهداف الموضوعة للمخططات المفتوحة لم تتحقق بسبب العديد من المشاكل ، وتؤكد الأوصاف الراهنة على وجود تفاوت بين الارتفاع الواردة بهذه المخططات والارتفاع الناتجة عن التنفيذ (حتى نهاية ١٩٨٧) وفيما يلي بعض الحقائق :

١- في مجال السكان :

في مدينة ١٠ رمضان يمثل حجم السكان ٧,٣ % من الحجم المستهدف خلال المرحلة الأولى بينما حجم سكان مدينة السادات ٣,٣ % من حجمها المستهدف على حين لم يتجاوز ١ % في مدينة ٦ أكتوبر.

٢- في مجال الوحدات السكنية (الإسكان)

إجمالي الوحدات السكنية المنفذة خلال المرحلة الأولى لنمو هذه المدن لم يبلغ تلك الحجم المستهدف طبقا للمخططات العامة ، حيث تراوحت نسبة التنفيذ بين ٢١,٥ % في مدينة ٦ أكتوبر ، ٢١,٧ % في مدينة ١٠ رمضان .

في مجال العمالة الصناعية

نسبة الإنجاز فيها أعلى من تلك التي

تحققت في القطاعات الأخرى إلا أن حجم العمالة المعلق مسبق نهاية المرحلة الأولى لنمو المدن الجديدة لم يبلغ الأرقام المستهدفة ، حيث بلغت نسبة العمالة الحالية بالمصانع المنتجة ٦٧,٢ % ، ٩٠ % من حجم المستهدف بمدينة ٦ أكتوبر ، ١٠ رمضان على التوالي أما مدينة السادات فقد بلغت هذه النسبة ٢٨,١ % .

البنية الأساسية الرئيسية

بلغت نسبة تنفيذ الأعمال ١٠٠ % في المدن الجديدة المشار إليها حيث يعتبر الإنجاز الوحيد اللافت للنظر .

معدل القول أن الصورة العامة للإنجازات التي تمت خلال السنوات الماضية (حتى نهاية ١٩٨٧) تؤكد :

١- التأخر الملحوظ في نمو المدن الجديدة .

بد النمو المبشر للإسكان ومراكز الخدمات العامة أحد الملامح العامة التي تميزت بها المرحلة الأولى لإنشاء المدن الجديدة خلال العشر سنوات الماضية بصفة عامة حيث انتشرت مشروعات الإسكان - عام وخاص - في عدد من المجاورات السكنية دون أن تكتمل أي منها - بينما تتوزع مباني الخدمات بشكل عشوائي في بعض المجاورات ، لمحرمة تنظيم أساسي تنفذ في مجاوره بينما ينشأ مسجد في مجاوره أخرى وسوق في مجاوره شامه وهكذا .

هـ مشاكل التمويل

أحد الأسباب الرئيسية لبق زخسير
المدن الجديدة لبق مصر راجع إلى
مجز التمويل المطلوب حيث الإقتصاد
على الحكومة كمصدر أساسى ، حيث
أن حجم الاستثمارات المطلوبه لا تستطيع
أن تتحملها القدرات التمويليه



لوقتصاد القومى وذلك لبق نسور
حقيقه هامه تتمثل لبق المعجز
المتزايد للموازنه العامه .
أما المصادر الأخرى لتمويل هذه المدن
من تمويل ذاتى (بيع أرض) أو قروض
ومنح أو تمويل خاص لموافق للفايه ■

تأثير شكل وحجم الفراغ الداخلى للحجرة على البيئه الداخليه في المناطق الحاره

د. سامي سليمان عليوه

دراسة مدى تأثير انخفاض سقف الحجرة على البيئه الداخليه. ان العوامل الاساسيه التي تؤخذ في الاعتبار عند اخذ قرار بانخفاض سقف الحجرة الى الحد الأدنى وهو ٢,٥ م يمكن اجمالها فيما يلي :

- يجب ان يكون هناك مسافه كافيه فوق رأس الإنسان وهو واقف .
- نسب الفراغ الداخلى يجب ان تعطى راحه نفسيه دائمه للمقيمين بداخله .
- الاضاء الطبيعيه يجب ان تكون كافيه وان كانت صناعيه تكون بتكاليف طبيعيه .
- صدق الصوت يجب الا يكون له تأثير .
- انخفاض السقف يجب الا يكون له تأثير سيور على صحة المقيمين بداخل الفراغ الداخلى واتاحة الراحه العامه لهم .
- ان تكون التهويه الطبيعيه مناسبه والراحه الطبيعيه لى فصل الصيف متوفره .

ففي هذا البحث سوف نتناول كل عنصر من هذه العناصر بالتفصيل ودراسة مدى علاقته بارتفاع السقف وانخفاضه الى الحد الأدنى .

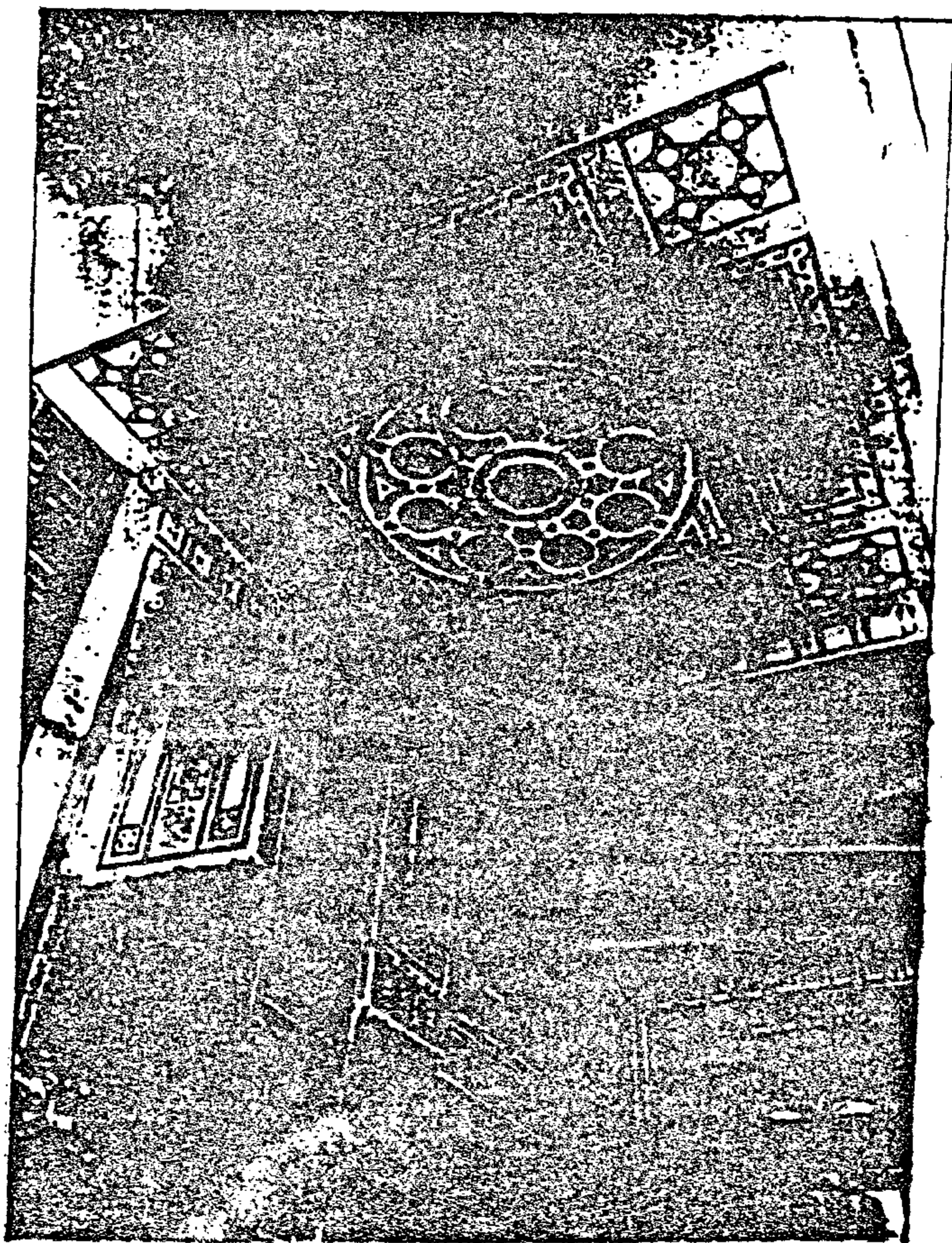
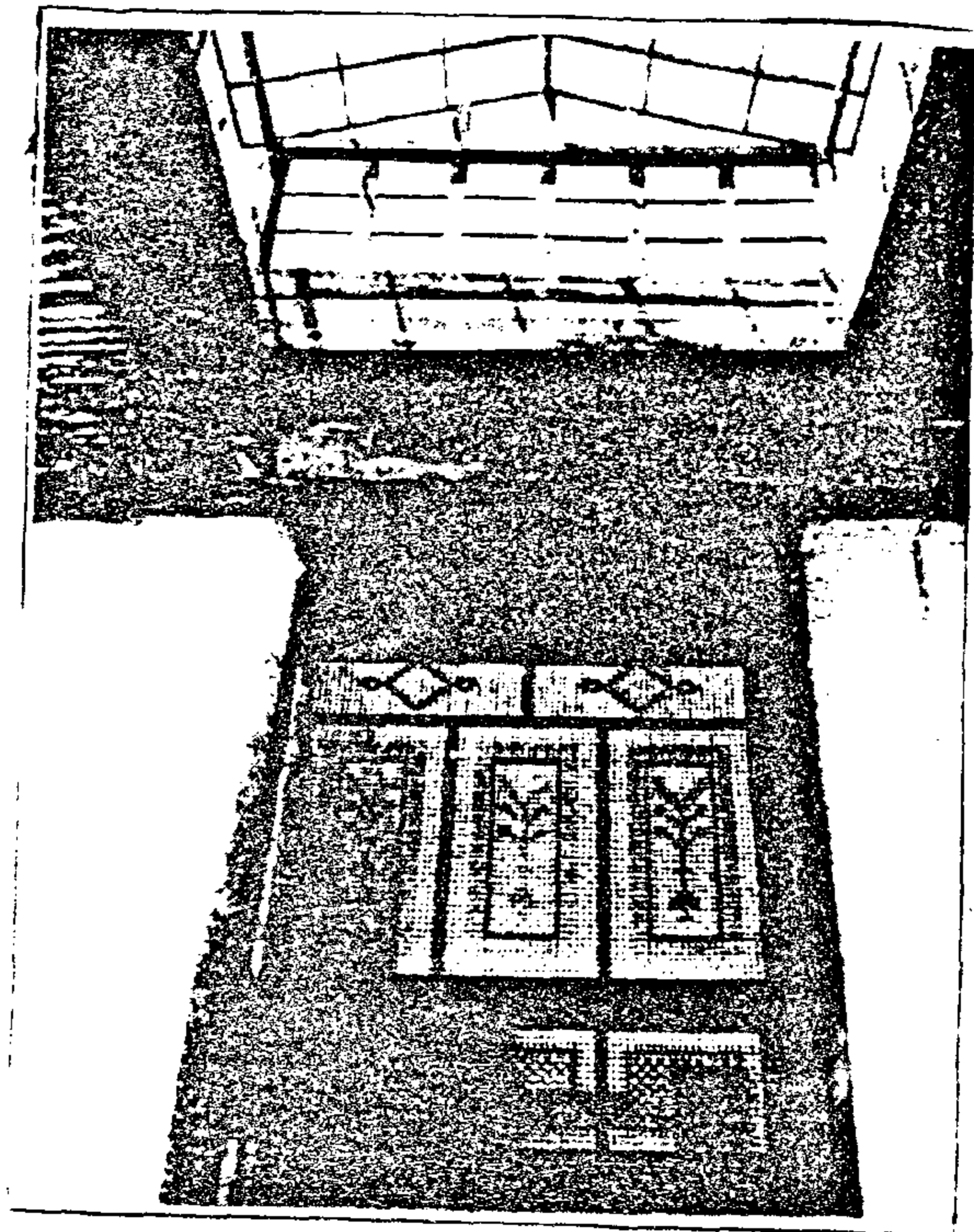
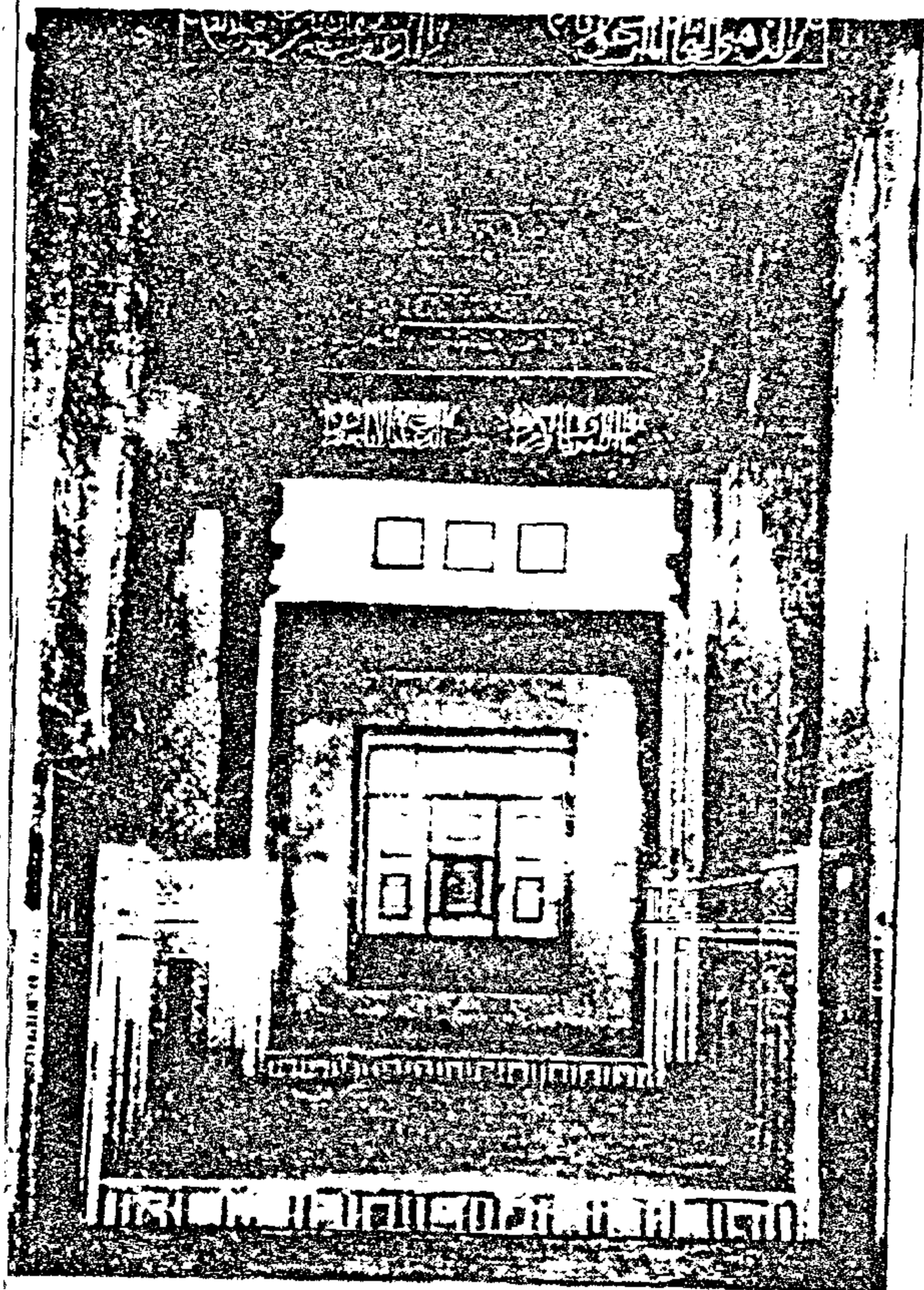
١- المسافه الصافيه بين ارتفاع رأس الإنسان وسقف الحجرة .

المسافه الصافيه بين سطح ارضية الحجرة ومستوى سقفاها يجب الا يقل عن ارتفاع الإنسان وهو واقف، فاذا عرفنا ان معظم الاطوال للناس ١٧٠ سم ونسب بعض الاحوال النادره ١٩٠ سم معني هذا المسافه بين

لى المباني المصريه القديمه وخاصه الاسلاميه نرى ان سقف الحجرة مرتفع وحجم الغرفه عامه كبير. فهل هذا له تأثير مباشر على راحه الإنسان لى البيئه الداخليه للغرفه. حيث اننا نعلم ان انخفاض مستوى سقف الحجرة هذا يعنى انخفاض تكاليف بناء الحوائط والسلاسل والخدمات السخن، بانخفاض سقف الحجرة يعنى مسطح الحوائط المعرضه لاشعه الشمس وبالتالي نقص كمية الحراره النافذه داخل الفراغ الداخلى للحجرة وخاصه لى فصل الصيف .

بمستخدام الوسائل الميكانيكيه للتدفئه او التبريد نجد انه كلما نقص حجم الغرفه وذلك بانخفاض سقف الحجرة كلما أصبحت التكاليف اقل . فنجد مثلاً لى المانيا وفرنسا والدانمارك وهولندا والسويد أصبح ارتفاع السقف ٢,٢٥ م فقط بمعنى الاحتمالات تشير الى ارتفاع السقف يعطى انخفاض لى درجات الحراره للفراغ الداخلى للحجرة لى فصل الصيف، لى حال نهناك مدة تساؤلات منها هل ارتفاع السقف له ميزه هامه لى مباني المناطق الحاره كما لى شكل (١، ٢، ٣) .

هل انخفاض ارتفاع السقف الى الحد الأدنى كما لى الدول المتقدمه له تأثير مباشر مع تلك العوامل التي من أسبابها جعل السقف مرتفع لى المباني القديمه وهل يمكن انخفاض سقف الحجرة الى ارتفاع الحد الأدنى وهو ٢,٥ م. في هذا البحث سوف نتناول



شكل (٣،٢،١)

يبين أن ارتفاع
الحجرات في المباني
التدعيم وخاصة
الإسلامية لا يقل عن
أربعة أمتار

٢ - العامل النفسي

نسب الحجره يجب أن لا يسبب ضيق نفسى للمقيمين داخلها ربما لظنهم وجيزه جدا للتألم على هذا الحجم. كذلك نسب الفراغات يجب أن تناسب حجم الإشغال المصادى وبالطبع الإنسان المصادى الذى يعيش فى حجره ارتفاع سقفا ٢,٠٠ م أو أكثر ونجاحه ينتقل الى حجره ارتفاع سقفا ٢,٥ م يشعر بهذا الارتفاع ولكن سرعان ما ينقد هذا الإحساس وهذا يؤكد كذلك ببعض التجارب مثلا على بعض الضباط أو معظم ساكنى مبانى الجيش التى ارتفاع سقفا لا يزيد عن ٢,٢ م ونفس المقيمين بها يعيشون فى أسقف المبانى التى ارتفاعها ٢,٧ م . وهذا لا يطفى إحساس بالظهور بأنه يعيش تحت سقف منخفض أو يشعر بالضيق بالإنسان الذى ذلك أن مثلا فى إنجلترا، السويد ، بلجيكا ارتفاع أسقف المبانى ٢,٤ م وهذا لم يعطى حتى الآن مشكله سيكولوجيه للمقيمين بداخله .

النتائج التى استنبطت من الدراسة على عينه مكونه من عائلات فى حالة أسكانها فى شاليهات ارتفاع سقفا ٢,٤ م لمدة شهر نجد أنه بعد عمل مقابله لهم لم أجد أحد حدث له أرهاق نفسى بسبب انخفاض مستوى السقف ويوجد كذلك بعض العائلات يعملون أسقف ضاميه وأضائه فيمر مباشرة بالسقف وبهذا يصل الارتفاع الى ٢,٤ م دون أن يسبب لهم أى أرهاق نفسى وعلى أى حال فهناك البعض من الناس مثلا ينزعجون من ارتفاع السقف الصالى أنهم أيضا يمكن أن ينزعجوا من انخفاض السقف المنخفض ولكن هذا بنسب ضئيله جدا .

مستوى سطح الأرض وأى معلقات بالسقف مثل النجد والمراوح وظلاله لا يقل عن ١٩٠ سم فإذا فرضنا أن أقل طول لى دلييات من السقف هو ٢٠ سم أى أن الارتفاع الصالى بين سطح الأرض والسقف لا يقل عن ٢١٠٠ سم. ففى هذه الحالة عند زيادة الارتفاع الى ٢,٥ م تكون المساله الصافيه بين مستوى سطح الأرض وخط السقف. عموما ان هذا الارتفاع كذلك يجب أن يعطى حركه كافيه للإنسان وخاصة عند رفع الأيدي الى أعلى مثلا فى حالة لبس بلونر أو عمل تمارين ريافيه خفيفه. وهو واقف داخل الحجره.

ولكن هذه المساله اختيار أنواع الإضاءة أو أى معلقات بالسقف معدده وعلى أى حال فهناك عدة أنواع مسن للمبات والمراوح المختلفه التى يمكن استخدامها على المنطقه أو الحوائط بدلا من استخدامها بالسقف .

جدول رقم (١) :

متوسط طول الرجال البالغين فى مختلف البلاد .

م	البلد	متوسط الطول سم
١	السويد	١٧٣,٩
٢	كندا	١٧١,٩
٣	إنجلترا	١٧١,٩
٤	هولندا	١٦٩,٢
٥	بلجيكا	١٦٨,٦
٦	مصر	١٦٩,٤

- الإضاءة

١- الإضاءة الصناعية

نجد أنه لا يمكن الاعتقاد بأن الحجرة بارتفاع ٢,٥ م لا يمكن أن تعطى راحته للإضاءة الصناعية وكذلك أنخفاض السقف لم يعد من اختيار نوع الإضاءة. ولكن أنخفاض السقف بالطبع ليس مناسب للإضاءة الغير مباشرة واستخدام الديكور بالإسقف.

- التهوية

انخفاض سقف الحجرة لن يؤثر على تظليل الهواء أو التهوية الداخلية للحصول على الهواء النقي اللازم للصحة مقارنة بنفس كمية الهواء اللازم للصحة الإنسان في حجرة لها سقف مرتفع لأنه يمكن التحكم في عملية التهوية وذلك بالتحكم في فتحات الشبابيك. هناك عاملان هامان للحصول على تغيير الهواء من الداخل إلى الخارج والعكس للحجرة.

أولاً : قوة تحريك الهواء بواسطة ضغط الهواء

ثانياً : بواسطة فرق درجات الحرارة بين حرارة الهواء الخارجى والهواء الداخلى. وطول عمود الهواء بين فتحة دخول الهواء وفتحة خروجه عندما تكون سرعة الهواء بطيئة جداً.

في حالة التهوية الدائمة بالفتحات في الحجرة وخاصة في فصل الشتاء فإن معدل التهوية بواسطة ضغط الهواء

يمكن الحصول عليه دون تأثير بانخفاض السقف عند المقارنة بين حجرتين الأولى سقفا مرتفع والأخرى منخفض والأسطح الخارجيه غير معرضة لأشعة الشمس ففي فصل الصيف نجد أنه في حالة الحجرة ذات الفراغ الكبير أن احتياج معدل تغيير الهواء يمكن أن يكون أقل من معدل تغيير الهواء للحجرة ذات النوع الفراغ الصغير خلال فترة النهار. حيث أن درجات حرارة الهواء خارج الغرفة أعلى من درجات حرارة الهواء الخارجى لهذا أن معدل تغيير الهواء كلما كان أقل كلما كان أفضل. وفي أثناء الليل في الحجرة ذات السقف المرتفع يعني هذا أن سطح الحوائط الداخلية يكون أكبر ويمكن تخزين كمية هواء ببارد أكبر من الحجرة ذات السقف المنخفض. ولكن في حالة مقارنته بين حجرتين ذات أختلاف في ارتفاع السقف ولكن الحوائط معرضة لأشعة الشمس يكون من الأفضل الحجرة ذات السقف المنخفض. حيث أن كمية الحرارة المكتسبة من الحوائط أقل وبالتالي كمية اشعاع الحرارة أقل وكذلك أن انخفاض السقف يعطى حرية حركة الهواء أسفله أسرع من الحجرة ذات السقف المرتفع لأن في حالة السقف المنخفض يكون عتب الشباك قريب من السقف.

تأثير ارتفاع السقف أو انخفاضه على درجة حرارة الطول الداخلى.

من الشائع أن البعض يمتد أن ارتفاع السقف يعطى انخفاض في درجات الحرارة للطول الداخلى للحجرة في فصل الصيف. ففي المباني المتعددة الأدوار نجد أن

جدول رقم (٢). تأثير ارتفاع المجرة على درجات حرارة الفولاذ الداخلي في حالة التهوية أو عدم التهوية بمعدل ١,٦ في الساعة أثناء الليل فقط

درجات حرارة المسطح الداخلي للفرن								حجم الفولاذ الداخلي	حالة التهوية	معدل الحرارة التي تتركز في الفرن
جنوب	شمال	غرب	شرق	سقف	أرضية	جدار	باب			
٢٨,٢	٢٨,٢	٢٨,٢	٢٨,٢	٢٨,٢	٢٨,٢	٢٨,٢	٢٨,٢	٢,٥ × ٤ × ٥	عدم تهوية	٢٨,٢
٢٨,٢	٢٨,٢	٢٨,٢	٢٨,٢	٢٨,٢	٢٨,٢	٢٨,٢	٢٨,٢		تهوية	٢٨,٢
٢٨,٢	٢٨,٢	٢٨,٢	٢٨,٢	٢٨,٢	٢٨,٢	٢٨,٢	٢٨,٢	٥ × ٤ × ٥	عدم تهوية	٢٨,٢
٢٨,٢	٢٨,٢	٢٨,٢	٢٨,٢	٢٨,٢	٢٨,٢	٢٨,٢	٢٨,٢		تهوية	٢٨,٢

درجة حرارة الهواء الخارجي الكبرى ٤٧,٢ والمظري ٢١,٦ الحوائط كلها معرضة للشمس - الخ - ولكن المكس في حالة الشتاء أو استخدام الوسائل الميكانيكية نجد أن انخفاض السقف بدون شك مؤثر تأثيرا مباشرا على تكاليف كمية الكهرباء والمعدات المستخدمة للتدفئة أو التبريد.

الجدول رقم (٣) يبين العلاقة بين حجم الغرفة ودرجة حرارة الفولاذ الداخلي والإسطح الداخلي :

نجد في السقف المرتفع أن الراحته الحرارية أفضل بكثير منها في السقف المنخفض وذلك يرجع إلى التبادل الحراري بين سقف المجرة وجسم الإنسان فنجد أن التبادل الحراري بين السقف ورأس الإنسان تحكمه المسافة بينهما فكما زادت المسافة في حالة السقف المرتفع يكون تأثير الإشعاع الصادر من السقف أقل على رأس الإنسان وهذا يحدث فقط في الإسقف الأخيرة في المباني ذات الأدوار المتكررة أو المباني ذات الدور الواحد .

في الجدول رقم (٣) يبين مدى تأثير كمية الحرارة المشعة من السقف على المقيمين بداخله مع اختلاف ارتفاع السقف.

درجة حرارة السقف الداخلي هي تقريبا نفس درجات حرارة الأسطح الداخلية للحوائط وكذلك للهواء الداخلي للغرفة.

أما أن السقف لم يكن في هذه الحالة مصدر لزيادة أو نقص الحرارة داخل الغرفة. ولكن في حالة المقارنات بين حجرتين الأولى جميع الأسطح معرضة لأشعة الشمس والاختلاف فقط في ارتفاع المجرة ففي هذه الحالة نرى أنه لا يوجد اختلاف ملحوظ في درجات الحرارة للهواء داخل الغرفة ولكن في حالة أن الحجرتان جميع أسطحها غير معرضة لأشعة الشمس فإن درجات الحرارة في الغرفة ذات السقف الأعلى منخفضة عن المجرة التي سقفها منخفض. وذلك لأن الأسطح بالطبع مساحتها أكبر في حالة المجرة ذات السقف المرتفع وهذا يعني أن كمية التبريد للحوائط أثناء الليل أفضل ولكن هذا الفرق بالطبع يلاحظ في حالة أن يكون الفرق ارتفاع السقف من ٢,٥ إلى ٤,٥ م. ولكن عند المقارنة بين انخفاض سقف من ٢,٥ إلى ٢,٨ ستكون فرق درجات الحرارة ضئيلة التي حد ما مقارنة بتكاليف البناء

جدول رقم (٣)

كمية الحرارة المكتسبة B.T.H U./HR بين الإنسان واقف درجة حرارة لابس ٣٧ درجة مئوية وسقف المجرة.

درجة حرارة السقف	ارتفاع السقف م	الفرق بين الارتفاعات
	٢,٥ ٢,٨	
٣٥	٣٣	٣
٤٠	٩٨	٧
٤٠	١٧٧	١١
٥٠	٣٣٦	١٤
٥٥	٣٧٣	١٨

من هذا يتبين انه بالطبع ارتفاع السقف يؤثر على وصول الحرارة المشعة من السقف على مستوى معينة الإنسان كلما ارتفع السقف كلما نقصت كمية الحرارة التي يكتسبها جسم الإنسان من حرارة السقف في حالة معالجة السقف بأي نوع من المعالجات الآتية:

- باستخدام شبابيك تهوية قريبه جدا من السقف لتعريض الهواء الساخن أسفل السقف وهذا يكون سهل في الاسقف المنخفضه حيث أن عتب الشبابك يكون قريب جدا من سطح السقف .

- استخدام العواكس الحراريه فوق الأسطح أو استخدام النباتات أو البرجولات لعملية تقليل اسقف المجرة

- باستخدام الطبقات العازله (استخدام السقف المزدوج).

لهذا سوف يكون أكثر فاعليه في خفض درجات الحرارة داخل الغرفه بدلا من ارتفاع السقف وزيادة تكلفة البناء وخاصة بعد الارتفاع الباهظ في قيمة الأرض.

النتائج:

من هذا البحث يبين النتائج الآتية:

- حجم الغرفه كلما كان أكبر يمكن أن يساعد على خفض درجة حرارة الهواء الداخلي وخاصة إذا كانت حوائط الغرفه غير معرّفه لأشعة الشمس ولكن ليس من الضروري ارتفاع السقف ولكن يمكن زيادة حجم الغرفه بالهدم بين الطولي والعرضي.

- أن ارتفاع السقف بالطبع يؤثر على انخفاض كمية الحرارة المنبعثه منه على المقيمين بداخله ولكن في حالة معالجة السطح بأي طريق لتقليل كمية الحرارة الساقطه عليه. هذا يمكن الاستفناء عن ارتفاع السقف .

- العوامل الأساسية التي تحكم حجم الفراغ الداخلي هو كمية الهواء اللازمه للإنسان والحجم المناسب الذي يسمح بحركة الإنسان بحريه وخاصة وهو واقف والإشاش المناسب لاحتياجات المقيم بداخله .

- الإنسان الذي عاش فترة كبيره في مجره ذات سق مرتفع يشعر بعدم

الراحة الوقتية عند انتقاله لجزره ذات سقف منخفض ولكن مرمم ما يتلائم مع هذا الارتفاع الجديد ولا يفسر بالفرق بين السقف المرتفع والسقف المنخفض.

- في الجزره ذات السقف المنخفض يمكن الحصول على أضرار طبعية أو صناعية كما في الجزره ذات السقف المرتفع ولكن في حالة السقف المنخفض يوجد صعوبة في عدم إمكانية استخدام النجد الفهم أو الحيكور بالسقف وعموما هذا غير مطلوب في المساكن المنخفضة التكاليف أو المباني الإدارية .

- في حالة استخدام الوسائل الميكانيكية للتبريد أو التدفئة للفلز الداخلي للجزره فانه يفضل السقف المنخفض ويعنى هذا انخفاض نسق التكاليف سواء للمباني أو المعدات واستهلاك الكهرباء .

- انخفاض السقف الى الحد ٢,٥ م هذا لإعنى وجود صدق صوت أو أي عيوب صوتية في الجزره أو صعوبة التهويه أو راحة الإنسان داخل الفلز الداخلي .

- من أهم عيوب السقف المنخفض هو سرعة التبادل الحراري بين سقف الجزره والإنسان المقيم أسفلها فكلما زادت المسافة بين رأس الإنسان وسطح السقف كلما كان أفضل ولكن يمكن خفض هذا التأثير باستخدام طمسق الإنشمار المختلفه

التي تعمل على نقص كمية الحرارة الساقطه على السقف الفلوز للجزره .

- يمكن في المباني المنخفضه التكاليف والمباني الإداريه خفض سقذ الجزره الى ٢,٥ م دون تأثير ملحوظ نسق النواحي البيئيه أو راحة الإنسان داخل الفلوز الداخلي ولكن يمكن أن تكون مؤثره في خفض تكاليف الوحده السكنيه أو تكاليف استخدام الوسائل الميكانيكيه لعملية التبريد أو التدفئة للفلز الداخلي للجزره .

المراجع

- 1- National housing and planning commission minimum standards of housing accomodation for non - Europeans pretoria (July 1951).
- 2- Faculty of bulding Review 4.NO. 3, May 1953.
- 3- Creswell, K.A.C. The early muslim houses the houses of Fustat Egypt A.D.EKISTICS, VOL.7, 44 Jan. 1959.
- 4- Grace, John.D. The ornamental Features of Arabic Architecture in Egypt Royal Inst.of British Arch. Transaction 1869-70 .
- 5- Correa Chares "Climate Control" Arch. design, Vol.39, Aug. 1969.
- 6- Douglas H.K. Lec. Physiological Objectives in hot weather housing Washington, 1953.

بحث امكانية امتداد محافظة المنوفية نحو ظهيرها الصحراوي الغربى

د. شريف صبرى سعد الدين

مقدمه :

ويهدف هذا البحث الى ابراز صورة الـ
ضرورة التوجيه للاتق :-

ما زالت الزراعة وستظل هى المجال الرئيسى للتوكيد فى اقليم دلتا نهر النيل حيث يعمل بها الطالبية العظمى من القوى العاملة وبالتالى فان تنمية هذا القطاع من شأنه المحافظة على قدرته فى توفير فرص العمل المنتج . لذلك فالتد كان من الضرورى الحفاظ على الاراضى الزراعية بالحد من الزحف العمرانى عليها والتعدى المستمر لتجريف التربة الزراعية واستصلاح الاراضى المتاحة وفقا للخطة التى تضمها الدولة مع ضرورة التركيز على التوسع الراسى لرفع انتاجية الخدان بالاضافة الى ضرورة مواجهة اختناقات القطاع الزراعى باعتباره القطاع المغذى لبقية الانشطة الاقتصادية . ومن ثم التركيز على مشروعات التصنيع الزراعى ومشروعات الانتاج الحيوانى والشره الداجنه عن طريق اقامة المراكز الخدميه لرفع مستوى دخل سكان الريز هذا بالاضافة الى تنمية الصناعات الريفيه والبيثيه والصناعات الصغيره . ويتأتى ذلك من طريق تدعيم الجهود الإنمائية بالمراكز الريفيه الاساسيه لرفع مستويات المعيشه بريد اقليم الدلتا وتنادى ظهورا و تفاقم ظاهرة الشائيه فى اقتصاد الاقليم حيث يتراخى فى القطاع الريفى عن ملاحظة نمو القطاع الحضرى وما ينعنيه ذلك من تفاوت فى مستويات الدخل والمعيشه بين اجزاء الاقليم الواحد واشتداد تيارات الهجرة من القطاع المتخلف الى القطاع النامى .

- استخدام الاراضى الزراعيه فى اعراف النمو العمرانى وتحديد الحيز العمرانى المقترح للمدن فى اضييق الحدود وفى حالات الضرورة القصوى .

- توجيه التنمية العمرانيه داخل الكتل المبنيه نحو الموره المندمجه وبكشافات عاليه مع الاتجاه نحو التوسع الراسى كلما أمكن ذلك .

- امكانية توسيع القامده الاقتصادية لمحافظة المنوفيه وبالاخص فى محاصيل الخضروات والخواكه والصناعات الغذائية

- تحديد الدور الذى يمكن أن يلعبه اقليم مدينة السادات كظهير صحراوى تنمو لمحافظة المنوفيه .

- امكانية استيعاب الزيادة السكانيه وامتصاصها فى اطار قواعد تخطيطيه واقتصادييه تقرر أن الاشخاص تتبـع وتلتحق بالوظائف وليس العكس وهذا يستلزم توافر القامده الاقتصادية كأحد الشروط اللازمه للنمو السريع بالدعم الذاتى مع التركيز على ضرورة أن يتوافر فى اقليم مدينة السادات نواة الجذب حتى يمكن إعادة تحريك السكان وترغيبهم فى مستقرهم المقترح .

١- تقسيم مصر الى اقاليم تخطيطية وعلاقة ذلك بالظهير المقترح بمحافظات المنوفية .

١-١ قسمت مصر الى ثمانية اقاليم تخطيطية طبقا للقرار الجمهوري الصادر في عام ١٩٧٧ كالآتي :-

- اقليم القاهرة
- اقليم الاسكندرية
- اقليم القنطرة
- اقليم الدلتا
- اقليم مطروح
- اقليم شمال الصعيد
- اقليم أسسوط
- اقليم جنوب الصعيد

وسيركز هذا الجزء على اقليم الدلتا باعتبار اقليم الرئيس الذي يضم محافظة المنوفية هذا مع الأخذ في الاعتبار أن الإقليم يعتبر مستوي تخطيطي فقط (أي ليس إداريا) ولله جهازه الذي يقوم بالأعمال التخطيطية.

٢-١ اقليم الدلتا :

يعتبر اقليم دلتا نهر النيل من أهم اقاليم مصر الانتاجية حيث تتركز فيه الثروة الزراعية ولقد اجتمعت اراء الخبراء العاملين في مجال التخطيط الإقليمي على مبدأ الضم وعدم تقطيع المحافظات - لهذا بمبدأ الوحدات الإدارية الكبرى على أن يكون ذلك كالآتي :-

١- ضم محافظة القليوبية الى

محافظة الشرقية لتصبحا محافظة واحدة لها امتداد صحراوي جهة الشرق وذلك بعد فصل الاطراف الجنوبية من محافظة القليوبية وضمها الى القاهرة كسيرا الخيمة ومسطرد.

٢- ضم محافظة كفر الشيخ الى الغربية في محافظة واحدة لها امتداد في الاتجاه الشمالي .

٣- تعديل محافظة الدقهلية لتمتد نحو بحيرة المنزلة وتطيط جزر منها وبذلك امكانية ضم دمياط اليها .

٤- تعديل حدود محافظة المنوفية لتمتد غربا كامتداد هبصق لها نحو وادي النطرون ومدينة السادات والتحرير وتقطع الجزر الجنوبية من محافظة البحيرة (انظر شكل ١).

ويجدر الإشارة هنا وهي نقطة هذا البحث الى أن الحارة أصبحت ملحة وفورية لخلق مناطق جذب سكانية بالقرب من محافظة المنوفية تساعد على عملية جذب السكان من المحافظة وخارج الكشافة السكانية ورفع نسبة الأرض لكل فرد بالإقليم ومن أصلح المناطق المجاورة والتي يمكن أن تكون نواة للعديد من المشروعات الصناعية والزراعية هو اقليم مدينة السادات. هذا مع ضرورة الأخذ في الاعتبار محاولة خلق أو إيجاد المشروعات ذات المصلحة القريبة للنشاط الطبيعي بمحافظات المنوفية سواء في نشاط الزراعة أو الصناعة. فيجب العمل على إقامة بعض الصناعات التي تعتمد على المنتجات الغذائية والزراعية

التي تقوم المحافظة بإنتاجها هذا مع ضرورة الوصول الى هذا يمكن من ارتفاع المستوى الإنتاجي وجودته بالإضافة الى تنسيق الإنتاج الصناعي والتجاري والزراعي بين المحافظة والمناطق المحيطة بها يعمل كطهير صحراوي لمحافظة المنوفية .

وترجع أهمية ارتباط مدينتي السادات بمحافظة المنوفية هو أن المدينة ترتبط بالمحافظة بالطريق المار عبر كوبري طلال على الرياح الناصري والتي تمثل محور الامتداد الطبيعي واللازم لجذب الكثافات السكانية العالية بالمحافظة (انظر شكل ٢).

٢- إقليم مدينة السادات وعلاقته باستراتيجية التنمية في المنوفية

قبل التحدث عن العلاقة اللازم تواجدها بين محافظة المنوفية ومدينة السادات والتي يجب أن تقوم بدور المنطوق للمفاصل التي تواجه عملية تحديد استراتيجية التنمية يجب تلخيص مجموعة المفاصل التي تواجه عملية التنمية المنتشرة ثم التعرف للوسائل والطرق التي يجب اتباعها لتفليب عليها .

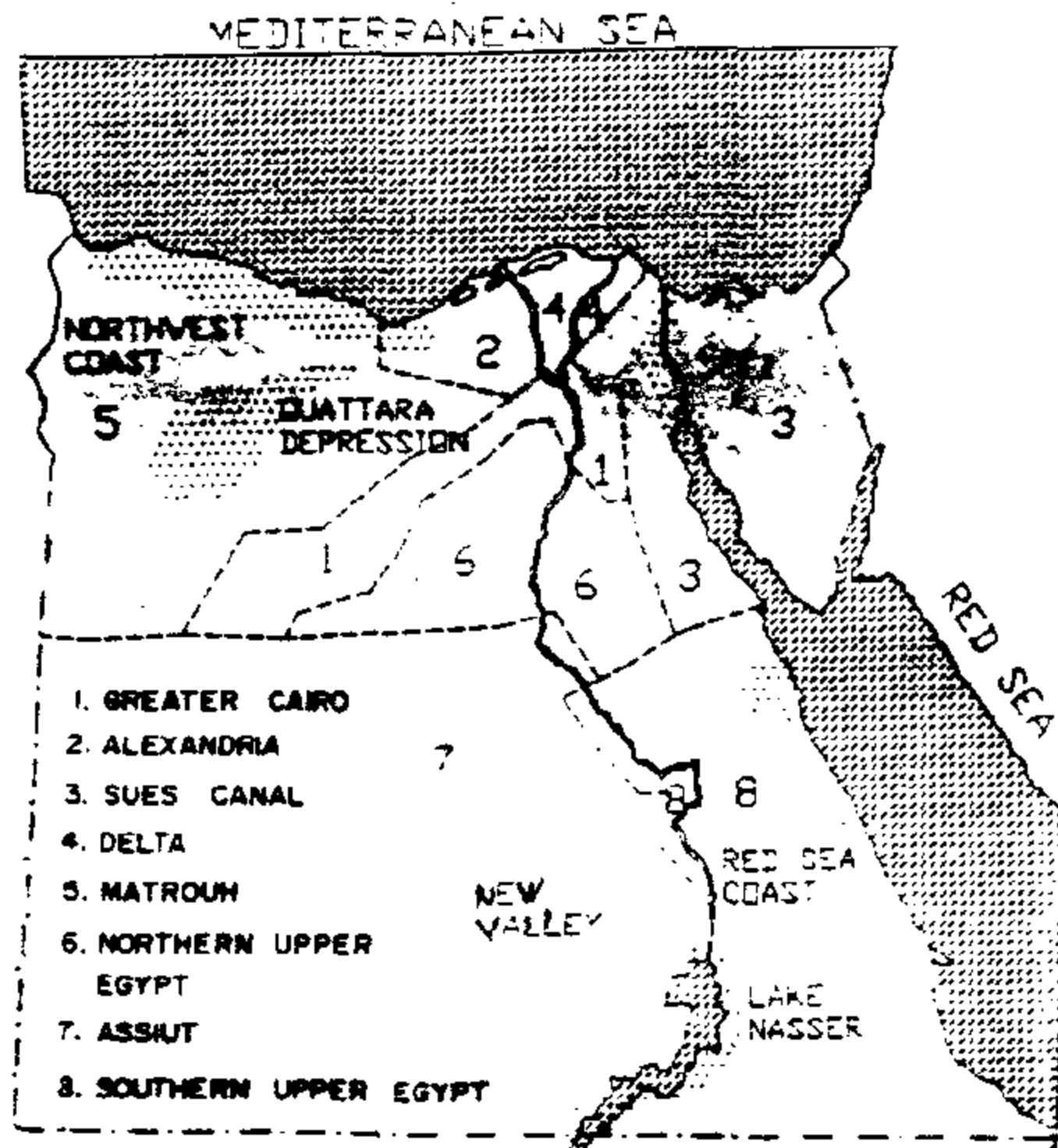
٢-١ تلخيص معدلات النمو السكاني في محافظة المنوفية أدت الى :

- زحف العمران على الأراضي الزراعية خارج كردون المدينة .

- الطلب المتزايد على العمالة غير الزراعية الأمر الذي يؤدي الى تصاعد معدلات الهجرة من الريفي الى المدينة

- النمو العمراني العشوائي والفير محروس داخل وخارج مدن المحافظة .

٢-٢ وما يشاع من حجم المشكلة التمدد على الأراضي الزراعية حيث أنه من المتفق عليه أن ما تتميز به المحافظة هو تواجد قاعدة صناعية قوية ساعدها الموقع المتميز داخل الدلتا من زيادة امكانياتها الاقتصادية ويظهر بالتالي اغراض مستمرة لإنشاء معانع جديدة مما يستدعي لسياسة التحكم في التنمية الصناعية بحيث لا تتم على حساب الزراعة .



شكل (١). تقسيم مصر الى ثمانية اقاليم تخطيطية

٣-٢ النمو السرطاني لمدن المحافظة المختلفة ومشكلات الخدمات والإدارة وغيرها. ولقد اشتملت الأهداف القومية لمصر والمتعلقة بالسياسات العمرانية على أهداف تنطبق على محافظة المنوفية وباقي محافظات الدلتا بوجه عام وأهمها مايلي :-

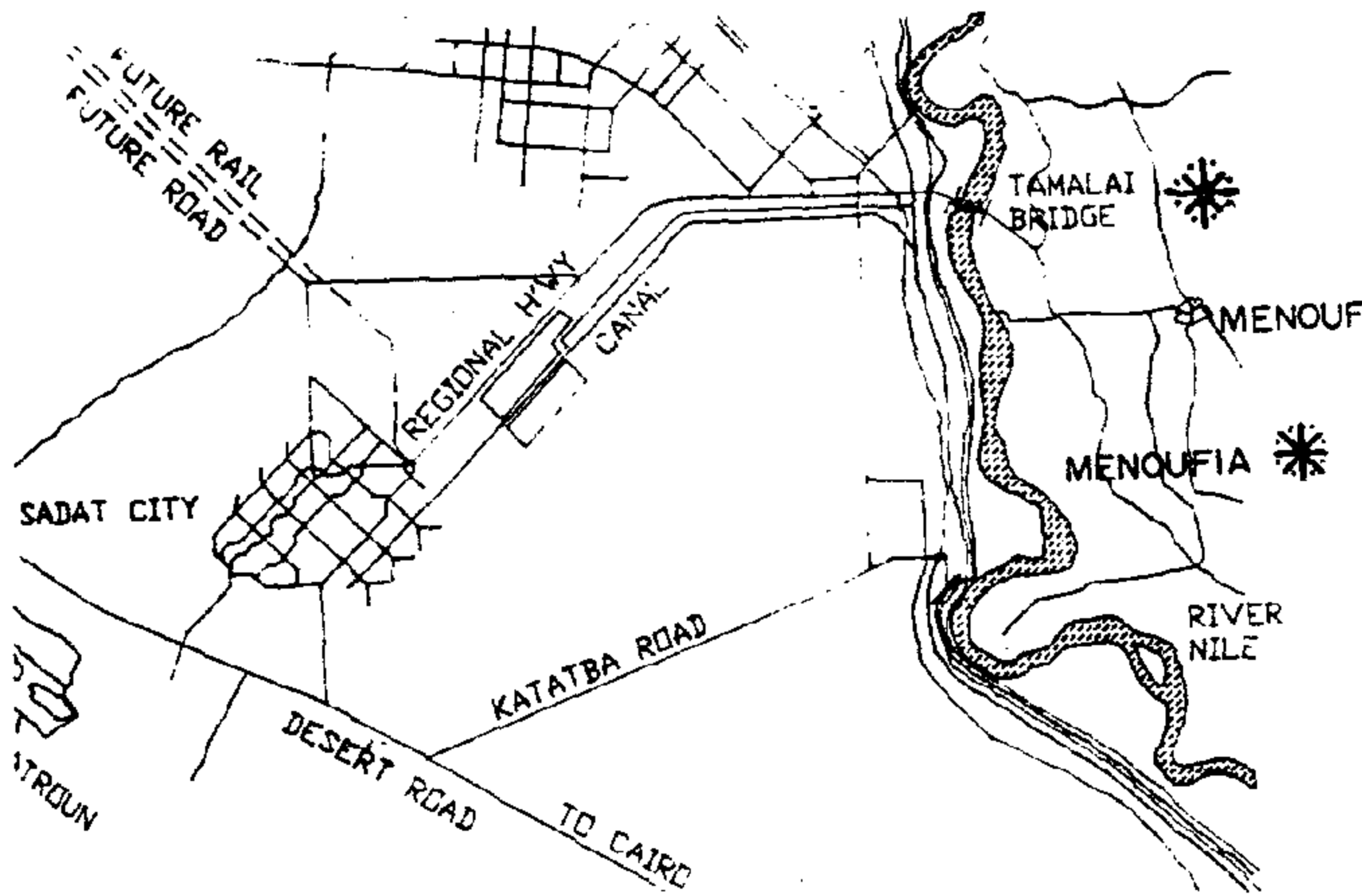
- زيادة معدل النمو الاقتصادي
- زيادة فرص العمالة المنتجة
- زيادة السدح الحقيقي للنرد
- التوزيع المتكافئ للخدمات العامة والإجتماعية
- حماية الأراضي الزراعية من الزحف العمراني عن طريق تحويل التنمية العمرانية إلى الأراضي المحراوية

ولتحقيق هذه الأهداف القومية بالأضافة إلى تحقيق استراتيجيات النمو لمحافظة المنوفية فلقد كان من الضروري الإتجاه إلى تشجيع الهجرة الخارجية وتوفير مواقع للصناعات المقترحة بالمنوفية والتي لا تحتاج بالضرورة لإقامتها على الأراضي الزراعية ومثل هذه الاستراتيجية تحتاج إلى تنسيق وثيق وعلى مستوى المحافظات من حيث الإعلام والترويج وتوفير التسهيلات الإدارية لسكان المنوفية الراغبين في الهجرة ويجب أيضا أن يكون للمجالس القروية ومجالس المدن دورا هاما في نشر المعلومات والمعاونة في الإجراءات الإدارية. وتنحصر امكانيات الهجرة الخارجية بالنسبة لمحافظة المنوفية في إقليم مدينة السادات وسيتم

مناقشة امكانيات الخروج إلى هذا المحور بالتفصيل في الجزء التالي اخصيص في الإمتبار أن دراسة السياسات القومية (NUPS) قد قدرت عند مناقشة تأثير تحول النمو السكاني داخل الدلتا إلى مناطق عديدة على أراضي صحراوية - أنه يمكن توفير حوالي ٣٠٠٠٠ فدان من الأراضي الزراعية في الدلتا حتى عام ٢٠٠٠ إذا أديرت هذه العملية بالكفاءة المطلوبة.

٣- امكانيات استيطان ٢,٥ مليون نسمة خارج محافظة المنوفية

ترتبط استراتيجية التنمية العمرانية المحلية ارتباطا وثيقا بالخطط العريضة لاستراتيجية التنمية العمرانية على المستويات القومية والإقليمية بشقيها الحضري والريفي والتي تهدف في المقام الأول إلى تقليل درجة التركيز البشري في الدلتا من خلال التوسع العمراني بالصحراء والمحافظة على الأراضي الزراعية وعدم التوسع العمراني على



شكل (٢). ارتباط محافظة المنوفية بمدينة السادات عبر كوبر طماي

حسابها إلا للضرورة القصوى وفي أضيق الحدود مع إعادة توجيه الهجرة بعيداً من المدن المكتظة بالسكان من خلال تدمير القاعدتين الاقتصادية والبنية الأساسية لبعض المدن البديلة أو بمعنى آخر وضع استراتيجيه شامله للتنمية المتوازيه لشبائيات العمران (الريف والحضر) حيث يصدر الريف الحقيقي (ذو الكثافه السكانيه العاليه) السكان للمدن لعدم وجود البديل الاخر لهم وهذا مايجعل الهجرة للمدن كنها هجره لاجئين من الريف.

واذا ماتم استثمار مجموعة الحقائق التاليه من محافظة المنوفيه لوجد ان البديل الامثل لتحقيق استراتيجيه التنمية المستهدفه هو الخروج الى مركز الثقل العمراني في الصحراء الغربيه والمتمثل في مدينة السادات كقهر صحرانوي للمحافظة يخرجها من محدوديتها بين فرعي النيل ويسمح لها بالامتداد الزراعي والصناعي وتمثل الحقائق التاليه الوضع الخطير الذي تمانى منه محافظات دلتا نهر النيل وعلى سبيل المثال محافظة المنوفيه.

١-٣ التناقض المستمر في الرقمه الحزومه حيث كانت هذه المساحه في عام ١٩٨٩ حوالي (٣١٤٨٣٩ فدان) بينما كانت حوالي (٣١٧٠٠٣ فدان) في عام ١٩٨٦ أي أن مقدار النقص في خلال الاعوام الاربعه بلغ حوالي (٢١٧٤ فدان) أي أن معدل التناقص بلغ حوالي ٥٤٣,٥ فدان / عام ويعتبر هذا التناقض هو النتيجة الحتميه للاعتداد العشوائي المستمر على الاراضي الزراعيه .

٢-٣ من أهم المشاكل التي تعوق اهدان التنمية الزراعيه هو التفتت المستمر في الملكيات مما يعوق استخدام الميكنه الزراعيه الحديثه هذا بالإضافة الى أن نسبة الاراضي المنقوده بلغ حوالي ١٠ ٪ نتيجة لهذا التفتت .

٣-٣ الانخفاض التحريجي في عدد العمال الزراعيين نتيجة لشبائات الرقععه الزراعيه بالإضافة الى ضعف المالد من الإنتاج الزراعي في كل نموذج التنمية الزراعيه المقترح للمحافظة.

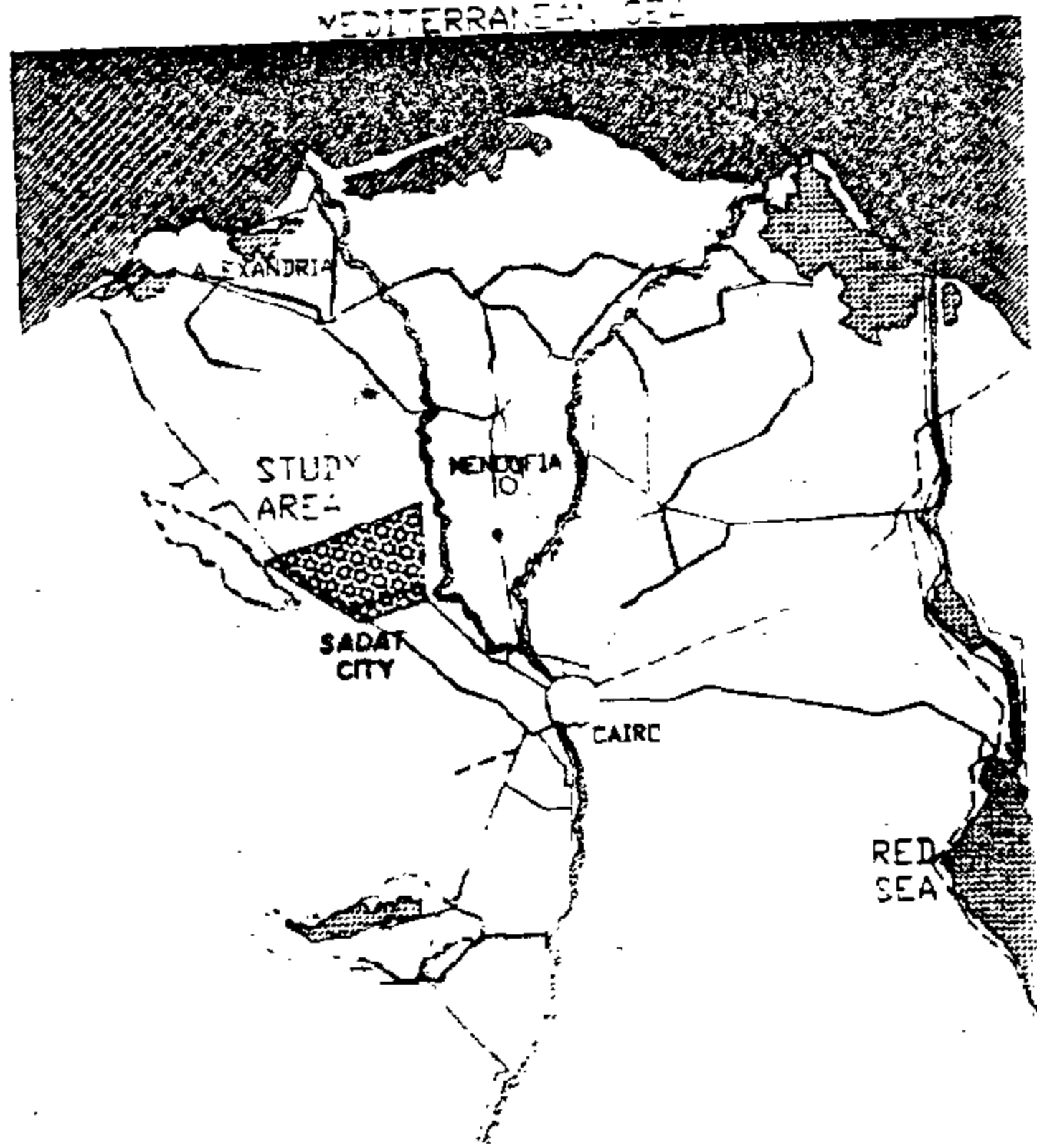
٤-٣ عدم توافر مناطق صناعيه محدده خارج نطاق المدن بالإضافة الى عدم استغلال الإمكانيات المتاحة .

٥-٣ مازالت محافظة المنوفيه في طورها الاول فيما يتعلق بعملية التنمية الصناعيه سواء من حيث الحجم أو عدد المنشآت أو العاملين بها على الرغم من أن مؤشرات الإنتاج الصناعي بها تعطي أعلى إنتاجيه للمستغل من قيمة الإنتاج والقيمه المضافه في السنه .

٦-٣ معدلات الزيادة السكانيه المرتفعه والتي قدرت بعدد من السكان يبلغ حوالي ٢,٥ مليون نسمة من المظلوب تسكينهم في أحد محاور التنمية العرشي والمقترح لها إقليم مدينه السادات.

وسوف نناقش في الجزء التالي الإمكانيات المتاحة بإقليم مدينه السادات لاستيعاب الزيادة المنتظره في السكان .

٤- الإمكانيات المتاحة بتقليم مدينة السادات لاستيعاب النمو السكاني المنتظر في محافظة المنوفية .



شكل (٢)

الحيز العمراني لمدينة السادات

المتاحة للتنمية الريفيه بحوالى ٢٥٩٥٢ فدان في صورة أراضى صالحه للزراعه بالإضافة الى إمكانيات متاحه للمياه الجوفيه المتوافره بخزان المياه الارضى. وقد قدرت هذه الدراسات أيضا إمكانية استيعاب مايقرب من مليون نسمة على هذه المساحة المتاحة للزراعه. أما فيما يتعلق بالمساحة المتاحة للتنمية الحضرية فقد قدرت بحوالى ١٢٢٨٩ فدان بطاقه استيعابية تصل الى حوالى نصف مليون نسمة هذا بالإضافة الى مسطحات الاراضى الأخرى التى يمكن استصلاحها.

٢-٤ الصناعه

القامده الإقتصاديه لمدينة السادات هى الصناعه حيث تقع المناطق الصناعيه على محور خاص بها فى الناحيه الجنوبيه الشرقيه من الكتله العمرانيه للمدينه لتلافى تلوث

ونسع فى الاعتبار عند تخطيط مدينه السادات أن تصبح جزءا أساسيا من الخطه القوميه لإقامه المدن الجديده ولقد كان من المتوقع لها أن تصبح أحد المراكز الحضرية الصناعيه الهامه فى مصر إلا أن تاكل الرقعه الزراعيه فى دلتا النيل أضاف بعضا جديدا للخطه الموضوفه لمدينه السادات من كونها مركزا حضريا صناعيا فقط الى أقلية صناعيا زراعييا. حيث أنه من الضروري أن تهدف تنميه الإقليم الذى سيرتكز على هذه المدينه الى تخفيف حدة تركيز السكان بمحافظه المنوفيه وإعطاء بديل جاد كومتعاض جزر من الزيادة السكانيه فى المناطق الزراعيه المكتظه خاصه بدلتا النيل. وسوف يتعرض هذا الجزء الى مجموعه الإمكانيات المتاحة والتى تعتبر أساسا استيعابيا للنمو المنتظر فى المكان.

٤- يحتل الحيز السكانى العمرانى لإقليم مدينه السادات مربيع طول ضلعه ٢٥,٠٦ كيلومترا وذلك بمساحه تصل الى حوالى ١٥٠,٠٠٠ فدان (انظر شكل ٣). ولقد أكدت الدراسات المبدئيه للإمكانيات المتاحة حول مدينه السادات والداخله فى حيزها العمرانى على إمكانيات متعدده للتنميه الريفيه وكذا التنميه الحضرية حيث قدرت المساحه

البيئية. وتبلغ المساحة المخصصة للصناعة حوالي ٣٤٣٧ فدان قسمت إلى أربعة مناطق صناعية ومنطقتها مخصصة للصناعات الثقيلة ومسكن المقرر أن تتيح فرص للعمل يبلغ عددها حوالي ١٦٥ ألف فرصة عمل (أنظر شكل ٤) وإذا ما تم ربط ذلك بما هو متوقع من نمو لمحافظة المنوفية حتى عام ٢٠١٠ في مجال الصناعة ومناقشة إمكانية استيعاب الأنشطة الصناعية المستهدفة أو حتى جزر منها لتفسيح أنه من الضروري أن توجه النمو الصناعي المستهدف بعيدا عن دلتا نهر النيل مراعاة لوجهات النظر الآتية:

- ١- مدى تأثير التنمية الصناعية المتوقعة على منطقة قلب الدلتا حيث الأراضي الزراعية ذات الخصوبة العالية وماتواجهها من مشاكله في الإمتداد العشوائي عليها بالإضرار إلى الإحمال المتزايدة على مرافق البنية الأساسية المتداعية وخاصة في المحافظات الريانية.

- ٢- ما تحدثه التنمية الصناعية من تغييرات أساسية في نمط الحياة وما يماثل ذلك من متطلبات متعددة تؤدي بالضرورة إلى خلق مشاكل كثيرة ومتعددة كل هذا يدعو إلى ضرورة وضع منهج علمي متطور لتنمية صناعية تراعى كل ما سبق ومتخذه من أقليم معينة السادات متنفسا تنمويا بعيدا عن الأراضي الزراعية.

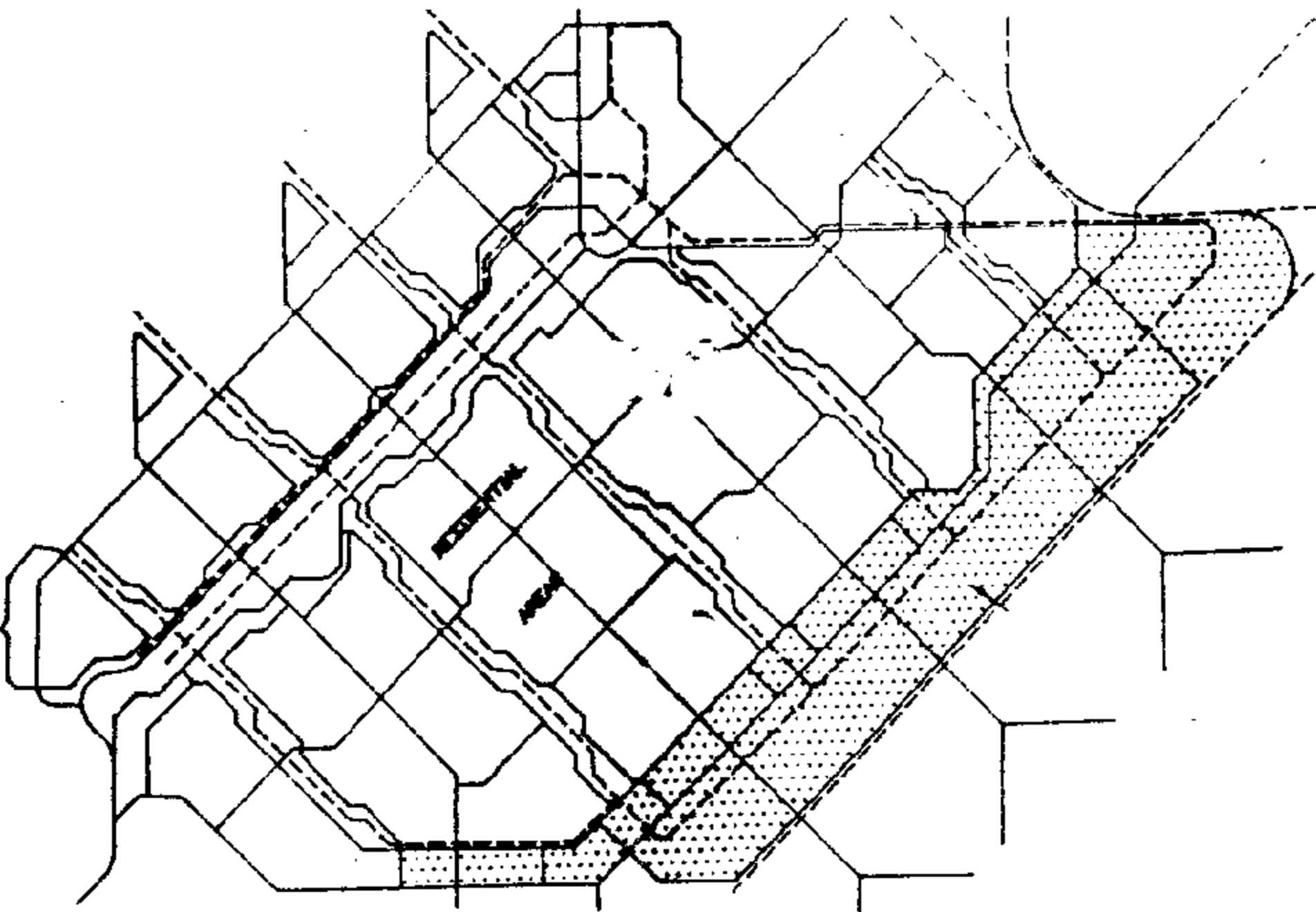
- ٣- أجمعت آراء المتخصصين في مجال الإقتصاد والصناعة أن أهم الصناعات المستقبلية والتي من المقترح أن

تكون أساسا لإنطلاقه صناعية زراعية في محافظة المنوفية والتي من شأن الضرورى أن تكون هي اللبنة الأولى في مدينة السادات باعتبارها ظهيرا تنمويا لمحافظة المنوفية هي:

- تصنيع الإعلان حيث أن المحافظة في حاجة إلى هذا النوع من التصنيع ليعطى إنتاجه تصل إلى حوالي ٢٠٠ ألف طن ومن المنتظر أن تكون الحاجة إلى حوالي ٤ مصانع.

- تصنيع غذائي يتجه فرز وتعبئة وتعليب وتغليف وحفظ لمنتجات الخضروات والفاكهة وسود تحتاج المحافظة إلى حوالي ٦ مصانع.

- تصنيع الألبان بغرض إنتاج لبن معقم ومنتجات الألبان مختلفه وزبادى ومنتجات متنوعة وتحتاج المحافظة إلى ٢ مصانع لمنتجات الألبان.



شكل (٤) . المنطقة الصناعية بمدينة السادات

- تصنيع اللحوم - اللحوم التامة
التجهيز - انتاج مساحيق - انتاج
شعير - دبالة جلود ومن المتوقع
أن تحتاج المحافظة الى حوالي
٤ مصانع.

- تصنيع اللحوم البيليا والبيلش
بالإفانك الى مصنع على
مخلفات الدجاج وقد قدرت احتياجات
المحافظة بحوالي ٥ مصانع .

- بعض الصناعات الغذائية المعتمدة
على بعض الزراعات ومنها البصل
وفول الصويا والشوم والمنتجات
الطبية والمطرية والفول السوداني

- صناعة المنسوجات والتي تعتبر
من أهم الصناعات وأكثرها انتشارا
في محافظة المنوفية حيث يعمل
بها ما يقرب من ٥٦ % من اجمالي
العمال في مجال الصناعات .

٣- قدرت الدراسات الإقليمية ودراسات
المخطط العام لمدينة السادات بـ ١٥
المساحة المتاحة للتنمية الحضرية
خارج حدود مدينة السادات والداخله
في إقليمها تقدر بحوالي ١٢٣٨٩ الف
فدان (٥٢٠٣ هكتار) .
ويستلزم من ذلك أن منطقة التنمية
الحضرية المقترحة لـ ١٥ دراسات
المخطط العام يمكنها ان تستوعب
العديد من الأنشطة بالإفانك الى
أعداد العاملين فيها . ويمكن اجمال
هذه الأنشطة في :-

* الخدمات
* الصناعات التحويلية
* التجارة
* النقل والمواصلات
* العاملين بالتشييد والبناء .. الخ

ولقد قدرت الدراسات السكانية العدد
المتوقع من السكان الحضرين وكذا
العاملين بالصناعة بحوالي ١١٦٣٠٠ الف
نسمه .

على ذلك فمن الممكن تسكين كافة
الصناعات المستقبلية والتي ذكرت
سابقا كنواه لخلق منطقة تصنيع
زراعي يعتمد عليها مجتمع بأكمله
باعتبار أن إقليم مدينة السادات هو
الظهير الصحراوي المجدب لكافة الأنشطة
الواجب خروجها من دلتا نهر النيل .

هـ- التوصيات

- ١- العمل على تقوية نفوذ الجهات المسؤله
بالمنوفية لتنفيذ وتنسيق استراتيجيه
تنميه والمساهمة على المدى الطويل.
- ٢- دراسة الصناعات المقترحة داخل
محافظة المنوفية ومواقعها المختاره
لتحديد أماكن بديله ومدروسه اقتصاديا
من حيث الجدوى خارج الدلتا ونطاق
إقليم مدينة السادات.
- ٣- فرض حظر فوري على استخراج تراخيص
البناء سواء لمشروعات الإسكان أو
الصناعة خارج مدن المحافظة بفرض
تحقيق تنميه استراتيجيه مدروسه.
- ٤- لتحقيق هدف حماية الأراضي الزراعية
يجب فرض حظر دائم على الصناعات

خارج المدن ويمكن استثناء بعض التجمعات من هذا الحظر إذا تعارض ذلك مع إرشادات خطط التنمية المرجحة والحالة المسموح بها لتجاوز هذا الحظر هو إنشاء مشروع متعلق بالزراعة وله ارتباط قوي بالإنتاج الزراعي.

د في الحالات القصوى يمكن السماح بإنشاء بعض الصناعات الصغيرة داخل الكتلة المبنية الحالية من أجل المحافظة على الحد الأدنى للتغيير في استعمالات الأراضي الزراعية.

٦- اختيار الصناعات التي لها ارتباط قوي بالقطاع الزراعي من خلال دراسة اقتصادية واستراتيجية محددة للنمو

٧- عند وضع الاستراتيجيات طويلة المدى ودراساتها لابد من اتخاذ خطوات قصيرة ومتوسطة المدى لتقوية الصناعات الحالية وتحسين مستوى الكفاءات.

٨- بالرغم من وجود إمكانية لزيادة العمالة غير الزراعية فليس التجمعات الريفيه إلا أن المبدأ يجب أن يبقى مرفوضاً من أساسه لأن هذا يشكل خطراً كبيراً على الأراضي الزراعية بالإضافة إلى عدم الاستفادة من الظهير الصحراوي القريب من حدود المنوفية والمتمثل في إقليم مدينة السادات.

٩- تشجيع الهجرة الخارجية العرفية في اتجاه إقليم مدينة السادات وتوفير مواقع بديلة للصناعات المقترحة بالمنوفية والتحصن لا

تحتاج بالضرورة لإقامتها على الأراضي الزراعية ومثل هذه الاستراتيجيه تحتاج إلى تنسيق وثيق على مستوى المحافظة من حيث الإعلام والترويج وتوفير التسهيلات الإدارية لسكان المنوفية الراغبين في الهجرة ومجالس المدن دور هام في نشر المعلومات والمعاونة في الإجراءات الإدارية.

١٠- التنمية العاجلة في المراكز العمرانية الحالية وتوزيع السكان في مناطق قريه من المدن الكبيره على أراضى صحراويه (إقليم مدينة السادات) ذات أكبر احتمال للنجاح بناءً على التجارب العالمية السابقة.

المراجع

- أ.د. أحمد خالد علام "تنمية القريه المصريه والتخطيط الإقليمي".

- إبراهيم مطلق كامل "دراسات اقتصاديه وتمويل"، دراسات التخطيط الإقليمي لمحافظة المنوفيه ١٩٩٠.

* دراسات التخطيط الإقليمي لمحافظة المنوفيه، المكتب الاستشاري صبور ١٩٩٠.

* الهيئه العامه للتخطيط العمراني دراسات تخطيط إقليم مدينة بنها المكتب الهندسي الاستشاري صبور ١٩٨٥.

نحو تعميق مفهوم التصنيع المحلي لقطع غيار مستلزمات الأنتاج (تجربة شركة أسمنت بورتلاند بحلوان)

محاسب / محمد عبد الحميد
رئيس هيئة القطاع العام
لمواد البناء

د.د. عبد الرازق عبد الحليم
أستاذ بكلية الهندسة
جامعة القاهرة

مقدمه

شهدت في المقعد الماضي وحدات عملاقه
لتصنيع الاسمنت للسلولاء بمتطلبات
التشييد والإسكان المتناميه في مصر.
وتستهلك صناعة الاسمنت حسب المعدلات
العالميه كميات كبيره من قطع غيار
مستلزمات الإنتاج مثل الاجسام الطاحنه
والبطانات وفواكيه الكسارات والمراوح
.. الخ وذلك نتيجة عمليات البسري
والاحتكاك طبعه عمليات تصنيع الاسمنت.
وتعتبر صناعة الاسمنت من الصناعات
الاستراتيجيه ذات الصله المباشره
بمتطلبات الجماهير ومن هنا يتحدد
صاحب القرار في التوجه الى التصنيع
المحلي لقطع الغيار خوفا من التوقعات
غير المصوبه التي قد تؤثر على
الإنتاج.

ويمكن تعميق التوجه الى التصنيع
المحلي لقطع الغيار بالوسائل الاتيه:

أولا - اقتناع صاحب القرار (المستهلك)
بتوافر امكانيات التصنيع
المحلي وبالجودى الإقتصادي
والاجتماعيه على مستوى المصنع
والحوله.

ثانيا - اقتناع المتخصصين بجودى
تشكيل بيوت الطبره واقتناع كل
من المستهلك والمنتج بضرورة
الاستعانه بهذه البيوت.

ثالثا - اقتناع المصانع المنتجه بجديده
التصنيع والالتزام بالمواعيد.
وسوف نناقش هذه النقاط الثلاث فيما يلي
بالتفصيل :-

لنفس مجال الاقتناع بتوافر امكانيات
التصنيع المحلى وجوداه الإقتصادي
والاجتماعيه تفيد الزيارات الميدانيه
لمراكز التصنيع والمعارض الصناعيه
في استيعاب المستهلك بتطور امكانيات
التصنيع المحلى. وينظره شامله نجد أن
الدوله لم تبذل أى استثمارات لتحديث
واحتلال وتجديد المصانع . وفى هذا
المجال يمكن الاستفاده من امكانيات
الشركات التاليه :-

- ١- شركات وزارة الصناعه
- ٢- شركات وزارة الإنتاج الحربى
- ٣- شركات الهيئه العربيه للتصنيع
- ٤- هيئة قناة السويس
- ٥- شركات القطاع الخاص

في تصنيع قطع غيار الاجزاء الاتيه :
- المواشير والاجزاء الكهربيه والالكترونيه
بنسبه لاتقل عن ٢٠ % .

- الاجزاء الميكانيكيه بنسبه لاتقل عن
٦٠ % .
- المصبوكات والمطروقات بنسبه لاتقل عن
٩٠ % .

وللاسف فان الاستفادة من امكانيات هذه الشركات محدودة وتعتمد على المحاولات الفردية دون الالتزام بسياسة الدولة في تشجيع التصنيع المطلق والإغنى بيده وصولا الى الاعتماد الكامل عليه.

جدوى التصنيع المطلق

في ضوء المتغيرات الحالية في أسعار صرف العملات الحرة وماواكبها من ارتفاع أسعارها فان التوجه الى تصنيع قطع غيار مستلزومات الإنتاج لـ... الإيجابيات الاقتصادية التالية :

١- ترشيد استهلاك العملة الحرة واعتبار التوفير نوع من التصدير بالعمله الحرة.

٢- أسعار المنتج المطلق على العموم أرخص من المستورد.

٣- توافر المنتج المطلق وبالتالي فان زمن التوريد من زمن إجراءات الاستيراد.

كذلك فمن المعروف أن التصنيع المطلق له إيجابياته الاجتماعية والنفسية التالية :

١- رفع المستوى التقني والفني

٢- رفع الأجور والمستوى الاجتماعي

٣- تشغيل العمالة وتشجيع الاستثمارات بالدخول بثقه في هذا المضمار .

٤- الثقة بالنفس وارساء قواعد الصناعة الوطنية.

ففي مجال اقتناع المتخصصين بجدوى تشكيل بيوت الخبرة نعتقد أن الاستفادة المثلى من امكانيات المصانع ومتطلبات تصنيع قطع الغيار يجب أن تمر من طريق بيوت الخبرة المتخصصة . وللاسف فان الدور الهام المنتظر في التصنيع المطلق عاقبه تجاهل كل من المستهلك والمنتج.

ومن المعروف أن الدور الذي يلعبه بيت الخبرة يتركز في الآتي :-

١- تحديد المواصفات الفنية القياسية لقطعة الغيار المطلوبة.

٢- تحديد ظروف التشغيل والمتغيرات.

٣- تحديد البدائل ومواصفاتها القياسية.

٤- ايجاد التقارب واللغة المشتركة بين المستهلك والمنتج.

٥- دراسة الجدوى الاقتصادية للتصنيع والاستيراد.

أما فيما يختص باقتناع المصانع المنتجة بجدية التصنيع والالتزام بالمواصفات فنحن أن نشوه الى أن الإمكانيات المتاحة في مصانع القطاع العام والخاص تفي بمتطلبات تصنيع قطع الغيار بالجودة المطلوبة. ويعوق اعتماد المستهلك على التصنيع المطلق الأسباب الآتية :-

أ- جدية الالتزام بزمن التنفيذ

ب- جدية الالتزام بالمواصفات المطلوبة.

ج- ضعف إدارة الرقابة والجودة وسوء حالة الأجهزة.

د- عدم جدية برامج التعليم المستمر ورفع كفاءة الفنيين.

هـ- صعوبة اعتماد المنتج على بيوت الخبرة المصرية .

ايماناً من شركة أسمنت بورتلاند
بطلوان بدورها الطليعي الرائد في
التصنيع المطلق لقطع فيار مستلزمات
الإنتاج فقد قامت بالتعاقد مع كلية
الهندسة جامعة القاهرة بتأريخ
١٩٩٠/١/١٣ كبيت خبره في المجالات
التيه -

١- الهندسة الكهربيه لدراسة الاحمال
ومعامل القدره وتحسين الادار .

٢- الهندسة المتكانيكيه لدراسة تنظيم
ورش الصيانه والإنتاج.

٣- هندسة الطلقات لدراسة وتحديد
مواصفات السبائك وقطع الفيسار
المشكله بالسبائك والطرق.

٤- الهندسة الكيمائيه وهندسة المناجم
لرفع انتاجية طواحين الخام ومشاكل
الخامات.

٥- دراسة المشاكل التي تحتاج للتخصصات
السابقه مجتمعه أو بعضها.

وفي خلال العام الاول من التعاقد تم
إنجاز مجموعه من الاعمال الهامه منها:

المجموعه الكهربيه

١- تم دراسة سبل تحسين معامل القدره
في أماكن المصنع المختلفه نتيجة
لدراسة الاحمال الموجوده في خطوط
الإنتاج والتقدير المبدئي لمعامل

ب- بناءاً على البيانات المقدمه من
الشركة والمتضمنه معدلات استهلاك
الطاقه الكهربيه ومعدلات الإنتاج وخطه
التوسعات الجديده فقد تمت دراسه
أدت الى تخفيض القدره التعاقديه
للمصنع من ٨٤ الى ٧٠ ميجانولتامبير
مما حقق وفراً قيمته نصف مليون
جنيه سنوياً.

ج- قامت المجموعه بتصميم جهاز لمنع
احتراق بادف الحركه للمحركات
الحثيه للطواحين أثناء بدو التشغيل

د- ساعدت المجموعه بتبداو الرأى الفني
ووضع المواصفات للمشروعات الكهربيه

هـ- قامت المجموعه بالإشتراك مع مجموعات
أخرى بدراسة تحسين نظام التهويه
الخاص بمحطات الكهرباء بالمصنع .

مجموعه العمليات

١- قامت المجموعه بدراسة طرق رفع
كفاءة طواحين الخام . وتسم رفع
الكماله من ١٣٠ الى ١٦٠ طن/ ساعه.

ب- قدمت المجموعه تقريراً اقتصادي عن
جدوى شراء طاحونه خام جديده .

ج- اشتركت المجموعه في تحديد بدائل
للمواد المنظفه للمواتير والمعدات
الكهربيه حققت وفراً قدره ١٠٠,٠٠٠
جنيه سنوياً.

مجموعة الهندسة الميكانيكية والورش

أ- دراسة أمانة استخدام الحرافيل المستعمله وطرق اصلاحها.

ب- اقتراح بعض التعديلات لى تصميم الحرافيل وتجربة ذلك على الطبيعيه

ج- تخطيط ورش الصيانه ومساحات التوسع بهدف فصلها من ورش انتاج قطع الفيار.

د- تصميم بطاقات للتسلسل التفصيلى وبطاقات عمليات مما يؤدى لزيادة الإنتاج وتنظيمه.

هـ- وضع المواصفات الفنيه لبعض الماكينات المطلوب احلالها .

و- وضع مواصفات أقلام خراطة كربيديه أدق استخدامها لتحسين عمليات التشغيل .

ز- التوصيه بانشاء معمل مركبى للاختبارات .

مجموعة برامج قطع الفيار

أ- متابعة العمل لى دراسة برامج الصيانه والمخازن الخاصه بقطع الفيار.

ب- دراسة موضوع المراج

مجموعة قطع الفيار

أ- قامت المجموعه بوضع مواصفات بعض المناقصات التى طرحتها الشركه خلال هذه الفتره والخاصه بقطع الفيار وبلاطات الطواحين والانران والمبرد ، بكر السيور ، كور الطحن ، الكتاين . وقد تم تصميم السبائك المناسبه وتعديدها كهيئة التصنيع والمعالجات الحراريه المطلوبه وكذا المساهمه لى اختيار انسب العروس لنيا تلق ذلك متابعه التصنيع والقيام بعمليات التفتيش وضمان الجوده واستلام المشغولات من الشركات المصنعه .

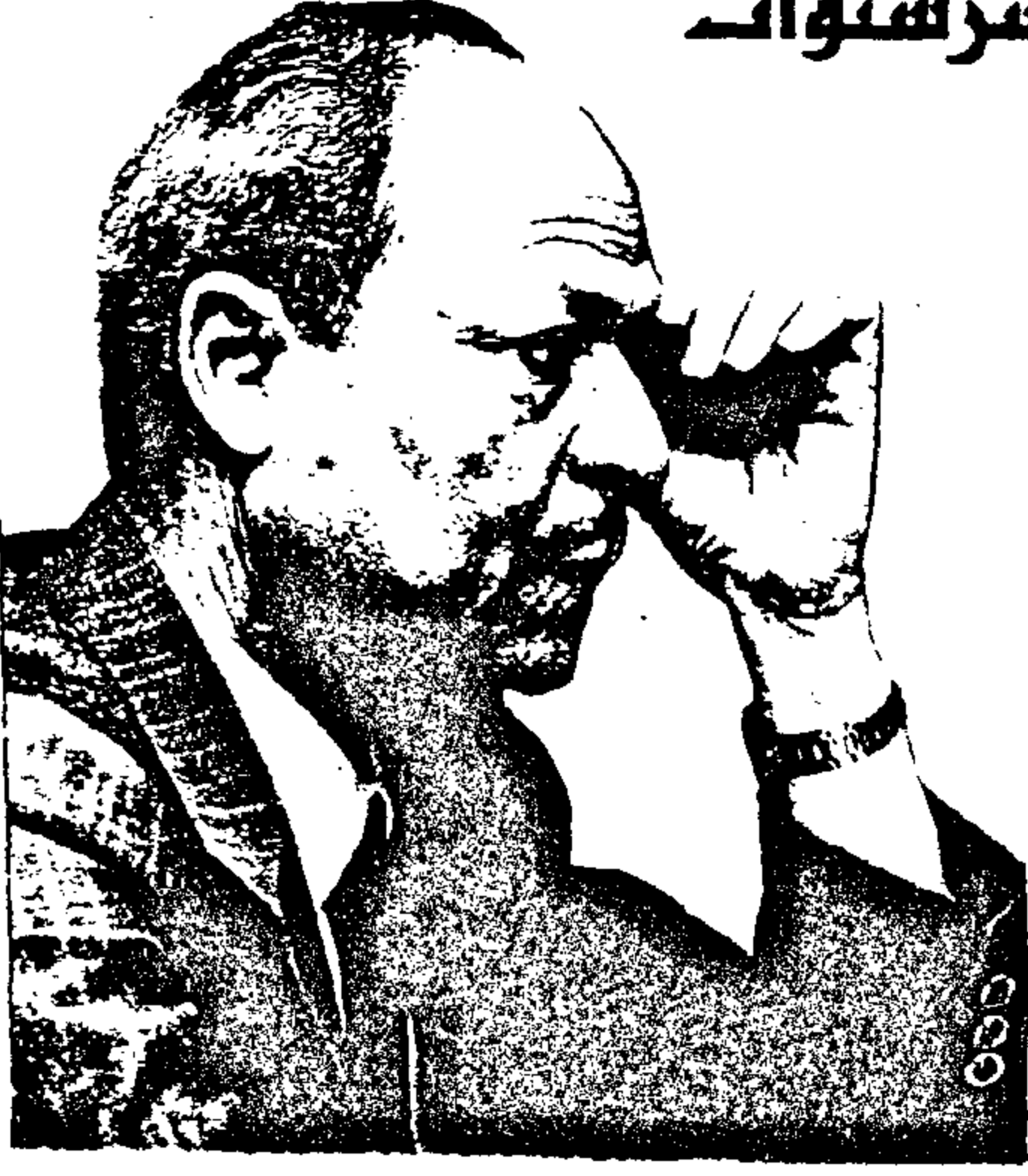
ب- متابعة احتياجات الشركه والتسجيل الكامل للمواصفات الفنيه والرسومات الهندسيه الخاصه بقطع الفيار باستخدام الحاسب الالى .

ج- تهويب قطع الفيار حسب أماكن التشغيل لتشمل الكسارات وطواحين الخام والانران والمبرد وعمل الرسومات التفصيليه ووضع مواصفاتها وجهات التصنيع.

تكاليفات خاصه

أ- دراسة موضوع تكليف المبنى الإدارى بـ إصلاح كساره الحجر الجيرى OGK .
ج- دراسة شروخ طواحين الخام وطرق علاجها
د- دراسة التاكل الحادث لى بعض المراج
هـ- دراسة طرق التغلب على الاثار الضاره الناشئه عن تواجد طبقات من الحجر الجيرى الدولوميتى بالمحجر مع تقييم الوضع الحالى بالمحجر ونظام الاستخراج

سياسة مصر البترولية وانجازاتها خلال عشر سنوات



بقلم
د . م . حمدي على البنبى
وزير البترول والثروة المعدنية

استراتيجية صناعة البترول المصرية:

يستهدف قطاع البترول فى استراتيجيته الموضوعه لتنمية الخطة
الاقتصادية والاجتماعية كمطلب حيوى لاعادة بناء الاقتصاد المصرى تحقيق
الاهداف التالية:

- اولا : ان يغطى انتاج البترول المحلى كافة احتياجات مصر من المنتجات
البترولية فى ضوء الزيادة المضطردة فى الاستهلاك .
- ثانيا : دعم الاحتياطى القابل للاستخراج من البترول والاحتفاظ بقدر كاف
منه فى باطن الارض لمواجهة احتياجات الاجيال القادمة .
- ثالثا : ان يستمر البترول من المصادر الهامة للدخل القومى ومجالا لخلق
فرص عمل جديدة للاف من ابناء الوطن .
- رابعا : ان يستمر البترول من المصادر الرئيسية للنقد الاجنبى الذى
تحتاجه البلاد لاغراض التنمية الشاملة .

هذا هو اطار العمل كما حددته وزارة البترول والثروة المعدنية فماذا كان
حصاد السنوات العشر التى انقضت؟

وانه لمن دواعى سرورى ان اعرض نتاج هذا الحصاد فى هذا الكتيب الذى
يصادف موعد اصداره الاحتفال بالذكرى الثامنة عشر لنصر اكتوبر المجيد.

وعليه فإن السياسة العامة لوزارة البترول تأخذ ثلاثة اتجاهات :

١- إشباع الطلب المحلي على البترول ومنتجاته في الحاضر والمستقبل المنظور وبتكلفة اقتصادية.

٢- تحقيق الأمن القومي.

٣- القيام بالدور والمسئولية الملقاة علي عاتق صناعة البترول في مجال تحقيق التنمية الاقتصادية .

وتحكم هذه الاتجاهات الثلاثة مجموعة من العوامل ، يتعلق بعضها بالأوضاع والظروف والأمكانات البترولية المحلية ، بينما يتعلق البعض الآخر بأوضاع سوق البترول العالمية والعلاقات البترولية الدولية .

ومن أمثله ذلك:

أ- الطاقة الاستيعابية لمصر واحتياجات التنمية الاقتصادية وتعداد السكان (نحو ٥٥ مليون نسمة) ومعدل الزيادة السكانية .

ب - البترول والغاز الطبيعي يشبعان معظم الطلب المحلي علي الطاقة .

ج - كبر حجم معدل الطلب المحلي علي البترول والغاز الطبيعي (نحو ٢٦ مليون طن متري سنويا) وارتفاع معدل النمو السنوي للطلب علي الطاقة .

د - احتياطي مصر الثابت من زيت البترول الخام محدود نسبيا بالمقارنة بالدول العربية البترولية الأخرى .

هـ - المتغيرات في العلاقات البترولية الدولية ، ومدى استقرار سوق البترول العالمية .

و- دور مصر في العلاقات البترولية الدولية

، باعتبارها دولة مرور بترولي ودولة منتجة ومصدرة للبترول، وباعتبار وزنها علي المستوي العربي والأفريقي و الدولي ، وباعتبار تجاربها الرائدة في العلاقات البترولية الدولية وعراق صناعة البترول فيها .

وهذه الظروف والأوضاع تقتضي العمل دائما على اضافة احتياطي جديد الى احتياطي مصر الثابت من البترول ، والعمل على تحقيق اكتشافات جديدة من الغاز الطبيعي ، وعلى الأقل العمل على تعويض الخام الذي يتم انتاجه سنويا من الإحتياطي الثابت ، وبهذا يمكن اطالة عمر احتياطي مصر الثابت من الخام والغاز الطبيعي .

ولأيمكن تحقيق ذلك بدون زيادة نشاط ومساحات عمليات البحث والتنقيب وعقد المزيد من الإتفاقيات مع شركات البترول الأجنبية ذات الإمكانيات المناسبة ، اذ أنه من المعروف أن عمليات البحث والتنقيب والتنميه تنصف بارتفاع درجة المخاطرة وارتفاع التكاليف والإستثمارات المطلوبة كما تتطلب درجة عالية من التكنولوجيا ومعدات وأجهزة متطورة .

ولتحقيق ذلك تعمل سياسة وزارة البترول علي تطوير شروط الإتفاقيات البترولية بما يحقق مصلحة مصر وبما يوفر الحوافز الكافية لجذب الشركات الأجنبية .

وقد أدت هذه السياسة فعلا الى اقدم شركات البترول الاجنبية للعمل في مصر في الوقت الذي لا تبدى فيه نفس الاهتمام بمناطق أخرى

في العالم تتفوق احتمالاتها البترولية على احتمالات مصر البترولية.

وأود أن أشير هنا الى أن هذه السياسة هي سياسة ثابتة تعبر عن سياسة دولة ووزارة وليست سياسة وزير .

وبالنسبة لسياسات الإستثمار، فإن السياسة المعلنة للحكومة هي تشجيع الاستثمار الاجنبي والعمل على جذب العمل في مصر ، واتخاذ الاجراءات الكفيلة بتحقيق هذا الهدف ويشمل ذلك ادخال التعديلات على قوانين الاستثمار لتحقيق هذا الهدف.

ومن المعروف ان قطاع البترول المصرى كان رائدا بين القطاعات الاقتصادية المصرية فى تحقيق سياسة الباب المفتوح والانفتاح الاقتصادى وسياسة وزارة البترول فى مجال الاستثمار تتفق مع سياسة الدولة و هذا المجال.

وبالنسبة للمسائل المتعلقة بالبيئة والتلوث . فمن المعروف أن شركات البترول العاملة فى مصر - بما لديها من امكانيات ضخمة ، وبما تتبعه من أساليب ، وبما تتخذه من اجراءات لحماية البيئة - تسهم مساهمة فعالة فى حماية البيئة ومنع ومكافحة التلوث.

وهناك اقتناع كامل من قبل الحكومة والقيادة السياسية بأن قطاع البترول فى مصر يحقق الحماية المطلوبة للبيئة ، وانه لاتعارض بين زيادة النشاط فى مختلف مراحل الصناعة البترولية ، وخاصة مرحلة البحث والتنقيب والانتاج ، وبين الانشطة الاقتصادية الأخرى وخاصة قطاع السياحة فى مختلف مناطق مصر ، وأن مختلف الأنشطة الاقتصادية يجب

أن تعمل جنبا الى جنب لبلوغ معدلات مناسبة من التنمية الاقتصادية .

ومن المعروف ان البترول يكاد يشكل معظم احتياجات مصر من الطاقة ، فمصر تفتقر الى بدائل الطاقة بخلاف زيت البترول الخام والغاز الطبيعى ، بالاضافة الى كميات صغيرة من الفحم فى شبه جزيرة سيناء . وبالنسبة للكهرباء فان نحو ٨٠ ٪ من اجمالى الكهرباء المولدة فى مصر تعتمد على المحطات التى تستخدم الوقود البترولى والنسبة الباقية من المحطات المائية ، وهى تكاد تكون مستغلة بالكامل . وعليه فان أى زيادة فى استهلاك وانتاج الكهرباء لابد وأن يعتمد على البترول والغاز الطبيعى ، وعلى هذا الاساس يتأكد القول بأن البترول هو القطاع الحاكم فى الاقتصاد المصرى .

وكما سبق ذكره فان سياسة مصر البترولية تعمل على تحقيق الهدف ذى الابعاد الثلاثة السابق ذكرها وهى اشباع الطلب المحلى على البترول فى الحاضر والمستقبل ، وتحقيق الامن القومى ، ودور البترول فى الاقتصاد القومى . وهذه الابعاد الثلاثة مرتبطة مع بعضها ارتباطا وثيقا . فاشباع الطلب، فضلا على كونه يحقق البعد الأول من هذه الابعاد الثلاثة ، فانه أيضا يحقق جانبا من البعد الثالث وهو دور البترول فى الاقتصاد القومى باعتبار أن البترول يدخل كمنتج وسيط فى كل الصناعات والانشطة الاقتصادية ، وبالتالي فهو يسهم فى تكوين وزيادة الدخل القومى . فضلا على أن البعد الثانى وهو الامن القومى لايتحقق الا بتحقيق البعدين الأول والثالث . ويكفى أن نذكر أن قيمة الاستهلاك المحلى من البترول وهو نحو ٢٦ مليون طن فى عام ١٩٩٠ تصل الى نحو ٥ مليار

دولار سنويا فكيف كان يمكن تدبيرها فى الظروف الاقتصادية الحالية . فضلا على ذلك فان البترول يسهم مساهمة فعالة فى تمويل التنمية الاقتصادية لان صادراته قد حققت لمصر الكثير.

ونضيف الى ذلك أن البترول مصدر رئيسى لموارد خزانة الدولة بما يضيفه اليها من رسوم وضرائب ، فضلا على أنه يتيح فرص عمالة كبيرة ، وقد بلغ عدد العاملين فى قطاع البترول نحو ٥٥ ألف عامل.

أستنت مصر ، منذ أواخر السبعينات ، سياسة جديدة وهى زيادة الاعتماد على الغاز الطبيعى كلما أمكن ذلك. وقد شملت هذه السياسة العمل على أحلال الغاز الطبيعى محل المنتجات البترولية فى مختلف المجالات وكلما كان ذلك ممكنا . وقد أدخل الغاز فى القطاعات الاقتصادية المختلفة، فقد تم إدخاله للقطاع المنزلى ، بديلا للبوغاز الذى كانت مصر تتحمل عبئا كبيرا فى سبيل تكملة العجز فيه باستيراده من الخارج، وبفضل هذه السياسة فقد أمكن الآن تحقيق فائض من البوغاز يتم تصديره . وفى القطاع الصناعى يستخدم الآن الغاز الطبيعى فى العديد من الصناعات كصناعة الأسمنت والسماد والحديد والصلب. وقد اتجهت السياسة ايضا الى استخدام الغاز فى محطات توليد الكهرباء والتي كانت قبل ذلك تضغط بشدة على استهلاك السولار والمازوت، وقد تم أحلال الغاز الطبيعى محل هذين المنتجين فى العديد من محطات توليد الكهرباء . ومن المعروف أن أى تنمية اقتصادية فى مختلف المجالات تؤدى الى زيادة الطلب على الكهرباء ، وقد أدت سياسة أحلال الغاز فى

محطات توليد الكهرباء الى امكانية تلبية الطلب المتزايد على الكهرباء دون مزيد من الضغط على استهلاك المنتجات البترولية . ولولا ذلك لما كان يمكن تلبية احتياجات الكهرباء من الوقود البترولى. وقد أدت هذه السياسة الى توفير جانب من البترول يمكن تصديره للخارج والحصول على مزيد من العملة الأجنبية كما ستؤدى الى اطالة عمر احتياطى مصر البترولى. هذا وتجدر هنا الاشارة الى أن استهلاك مصر من الغاز الطبيعى قد قفز من ٢٣ الف طن مئربى عام ١٩٧٥ الى نحو ٨٥ مليون طن مئربى فى عام ١٩٩٠.

ومن المقرر أن يتزايد الاعتماد على الغاز الطبيعى خلال السنوات القادمة . وهذا يؤكد أن مستقبل الطاقة فى مصر هى للغاز الطبيعى . هذا ويصل عمر احتياطى مصر من الغاز الطبيعى الى نحو ٢٠ سنة.

وعادة يغطى التخطيط وتوضع سياسات للمستقبل المنظور وخططنا وسياساتنا تغطى المستقبل المنظور. أننا نعمل جاهدين على ترشيد جانب الانتاج وزيادة الاحتياطى الثابت واطالة عمره . وبالنسبة لجانب الطلب نعمل على اتخاذ الاجراءات الكفيلة بترشيد الاستهلاك. وفى هذا المجال نستخدم كل السياسات والادوات المؤثرة على جانب الطلب. فاولا نعمل على تحقيق الاستخدام الأمثل والحفاظ على الطاقة بقدر الامكان ، وثانيا نعمل على زيادة الوعى الاستهلاكى ، وثالثا نستخدم كل ادوات ووسائل التأثير على جانب الطلب بما فى ذلك السياسات السعرية والضريبية . وقد أثمرت السياسات فى هذا

المجال عن نتائج طيبة، وقد سبق تناول موضوع الاهتمام بالبحث عن الغاز وتنميته واحلاله محل المنتجات البترولية فى الاستهلاك . وقد أدت السياسة المتبعة الى تباطؤ معدلات النمو فى الطلب المحلى على المنتجات البترولية بل ان بعض معدلات النمو بالنسبة لبعض المنتجات قد انقلب الى معدلات للتراجع.

وبالنسبة لجانب العرض فأننا نضع سياسة مناسبة تهدف إلى عدم الضغط على معدلات الانتاج بزيادتها حتى فى الظروف والأحوال التى ترتفع فيها أسعار البترول إلى أرقام قياسية . وكل ذلك بهدف إطالة عمر إحتياطى الزيت الخام . هذا فضلا على مضاعفة إحتياطى الغاز الطبيعى.

وبالرغم من كبر حجم معدلات الاستهلاك فان إحتياطى مصر من الزيت والغاز الطبيعى يصل الآن الى نحو ٦ مليار برميل.

أننا نعمل جاهدين على زيادة عمليات ومساحات البحث والتنقيب . كما نعمل على عقد المزيد من الاتفاقيات البترولية مع شركات البترول العالمية من جنسيات مختلفة بهدف تحقيق المزيد من الاكتشافات. وما زالت هناك مساحات برية ومغمورة من المطلوب اجراء المزيد من عمليات البحث والتنقيب منها. أن عمليات البحث عن البترول هى عمليات ديناميكية تتأثر بالأوضاع السياسية ، كما تتأثر بالتطور العلمى والتكنولوجى والتغير فى الاساليب وفى هذا المجال تجدر الإشارة الى أن إحتياطى مصر من البترول لم يكن يتعدى ١٧٥ مليون برميل فقط فى عام ١٩٥٢ . ولكن وبعد مرور نحو أربعين عاما قفز

فيها الاستهلاك المحلى من ٣ر٥ مليون طن عام ١٩٥٢ الى نحو ٢٦ مليون طن فى عام ١٩٩٠ ، فان الإحتياطى تضاعف مئات المرات.

ولأن مصر دولة عريقة فى صناعة البترول فان لها تجارب رائدة فى العلاقات البترولية الدولية وفى التعاون ومع الدول البترولية الأخرى ، ومنذ الخمسينات قامت مصر بمعاونه عدد من الدول الشقيقة والصديقة فى عمليات بترولية مختلفة فى المراحل البترولية المختلفة. فقد قامت فى الخمسينات بالتعاون مع سوريا فى مجال البحث عن البترول وتنميته وفى اقامه معامل التكرير وكذلك تعاونت مع العراق منذ أواخر الخمسينات . وللخبراء المصريين دور مميز فى مختلف مراحل صناعة البترول فى البلاد العربية كالمملكة العربية السعودية والكويت والجزائر وليبيا. ومن المعروف أن خط أنابيب سوميد مملوك مشاركة لمصر والسعودية والكويت والامارات وقطر.

ومصر هى عضو ولها دور بارز فى كل من منظمة الاقطار العربية المصدرة للبترول وفى الاتحاد الإفريقى للدول المنتجة للبترول (أبا) . ولها دور فى مجال التعاون والتسنيق بين كل المنتجين من داخل أوبك ومن خارجها، ومع المستهلكين، وذلك بهدف تحقيق الاستقرار فى سوق البترول العالمى وتحقيق الاستقرار لأسعار البترول . وآخر هذه الجهود أستضافة مصر للقاء الدول المنتجة المستقلة فى القاهرة فى آخر مايو ١٩٩١ لتحقيق الهدف السابق.

وقد حققت مصر التكامل فى صناعة البترول رأسيا (من البئر وحتى المستهلك)، وأفقيا بتكوين الأجهزة والمشروعات والخبرات

والكوادر فى مجالات عمليات الحفر والتصميمات والشنون الهندسية وتنفيذ واقامة المشروعات واداراتها وفى البحث عن وانتاج وتنمية وتصنيع الغاز الطبيعى ، وكذلك فى مجالات التصنيع المحلى للأجهزة والمعدات فى مختلف المراحل ولمصر دور مؤمل فى كل هذه المجالات وعليه فان الخبرات والكوادر الفنية والتجارب السابقة تجعل مصر فى وضع طيب للتعاون مع الدول المنتجة الأخرى

الملاح الرئيسية لانجازات
قطاع البترول المصرى خلال عشر سنوات

البيرسان	١٩٩١ / ٩٠ - ١٩٨٢ / ٨١
(١) الانتاج الزيت الخام الغازات ومشتقاتها	٤.٨ ٣٧٨ ٥١ ٧٧٢
الاجمالي (مليون طن)	٤٦. ١٥.
(٢) الاستهلاك المحلي المنتجات البترولية الغازات	١٧٩ ٥٩٨ ٤١ ٨٣٥
الاجمالي (مليون طن)	٢٢١ ٤٣٣
(٣) قيمة الاستهلاك بالاسعار العالمية المنتجات البترولية الغازات	١٧ ١.٧ ١ ٦٤٤
الاجمالي (مليار جنيه)	١٨ ٧٥١
(٤) الدخل من الصادرات (مليار دولار)	٢٣ ٨٢٧
(٥) الوفر من العملة الصعبة قيمة الاستهلاك بالاسعار العالمية صافي ميزان المدفوعات	٣٦ .٨٥ ١٧ ..٥
الاجمالي (مليار دولار)	٥٣ .٩.
(٦) ما آل للفرانسه العامه للدولة (مليار جنيه)	٢٥ ٧٤٧

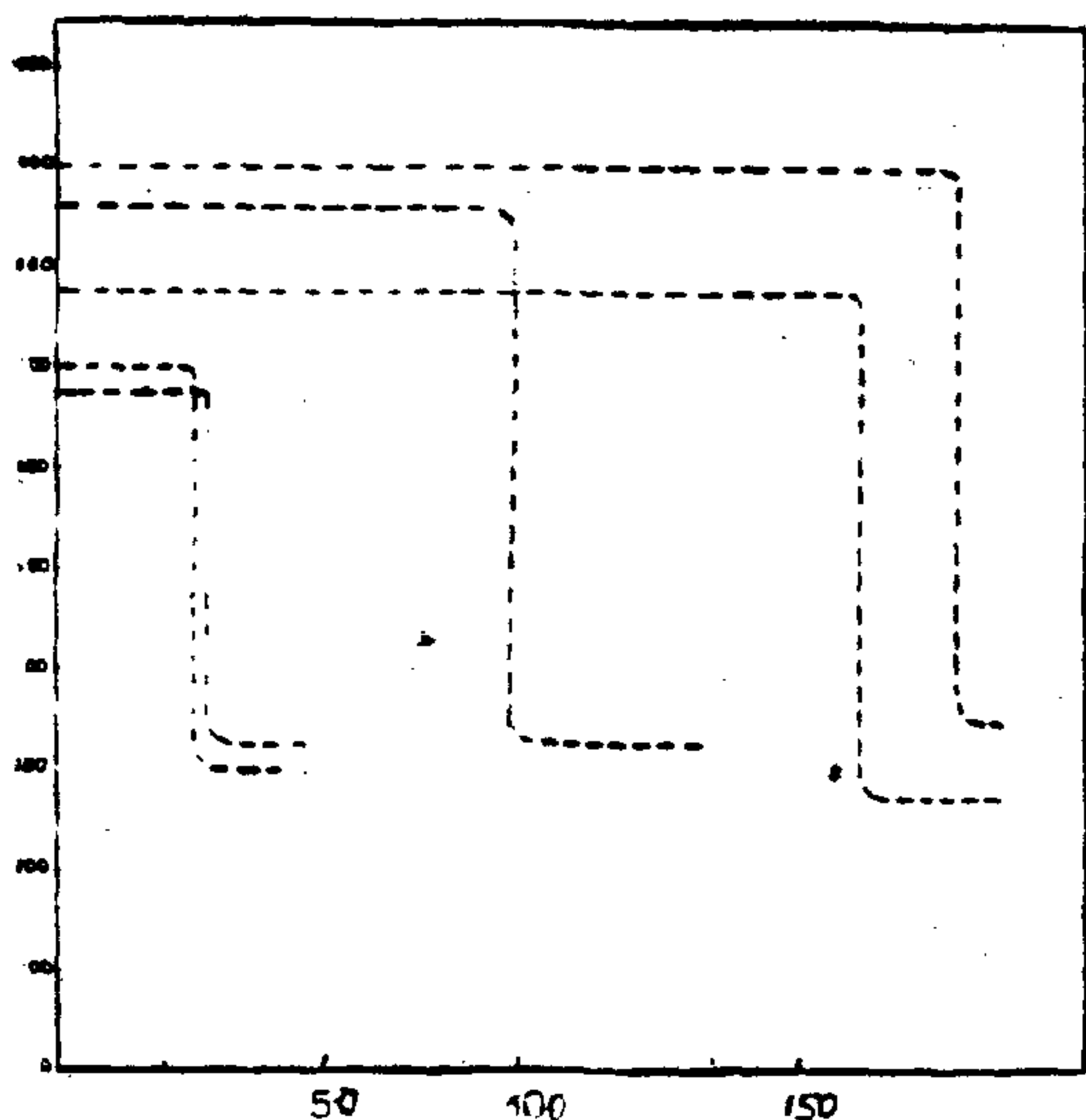


Figure (3). The microhardness of the diffused layer as a function of heating time with the thickness

followed by uniform intermetallic layer on dipping at 750 °C for 150 sec. Figure (5), shows the disappearance of Al-free layer on heating at the same temperature for 20 minutes where excess of Al penetrated through the steel matrix as shown on



Figure (4). After dipping time 150 sec. at 750 °C. (X 150)

comparing both figures (4 & 5).

Referring to figure (4) it is clear that the diffused layer is more uniform and free from the prongs. This may be attributed to the following. Aluminium reduces the solubility of carbon in both liquid and solid, hence, during the formation of transition layer, carbon is thrown out of its solution with iron [4,5] as a result of which the diffusion front is preceded by carbon enriched zone.

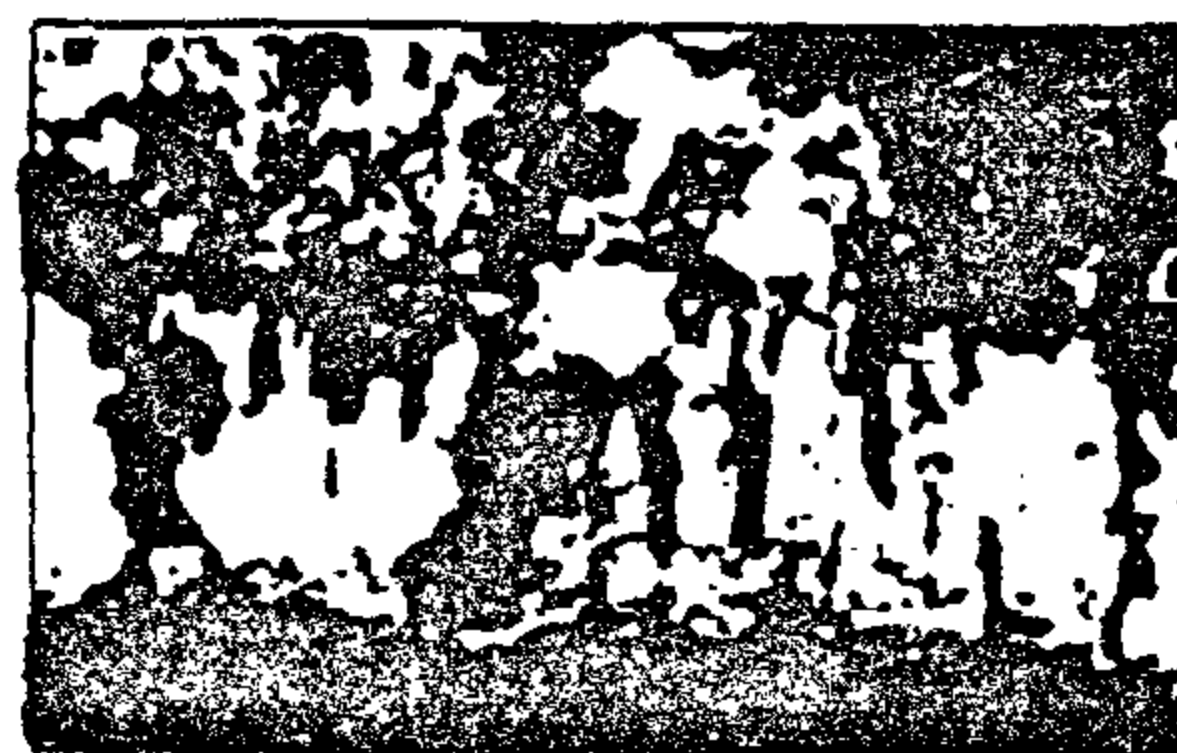


Figure (5) After heat treatment at 750 °C for 20 min. (x 150)

ACKNOWLEDGMENT

Is made for Dr Sayed Farag, CMRD1, for his kind help.

REFERENCES

- 1- Holmes, D.R. and Rahmel, A., "Materials and Coatings".App. Science publication Ltd. London. 1980.
- 2- El-Shahat, O.A., El-Bassyouni, T.A. and El-Boragy, M. "Strength and Fracture of Materials" J.Japan,13,(34-43), 1978.
- 3- Proceeding of ICOMAT Conference, Sendai, Japan, 259, 1986.
- 4- Draper, C.R. "Light Metals", 10, 1974.
- 5- Max Hansen, "Construction of Binary Alloys", Mc Graw-Hill Company Inc. 1958.

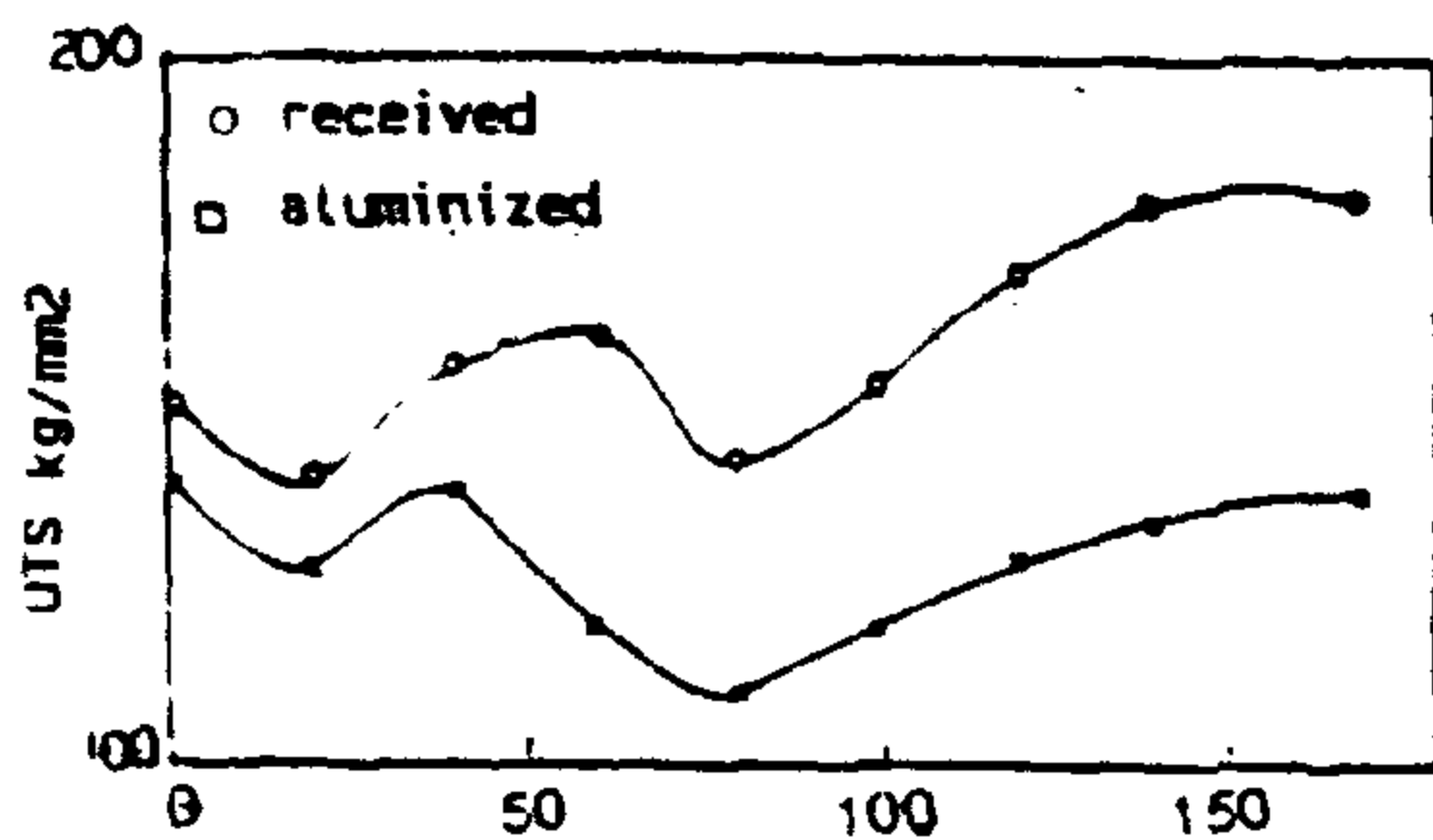


Figure (1). Heating time (min.)

The UTS of the aluminized specimen without heat treatment showed a light decrease (7.6.1) than the corresponding non-aluminized one due to the annealing effect results from hot dipping and the formation of the brittle diffused layer on the surface. In the range of heating (0-20 min.), the UTS decreases with increase in ductility, Figure (2).

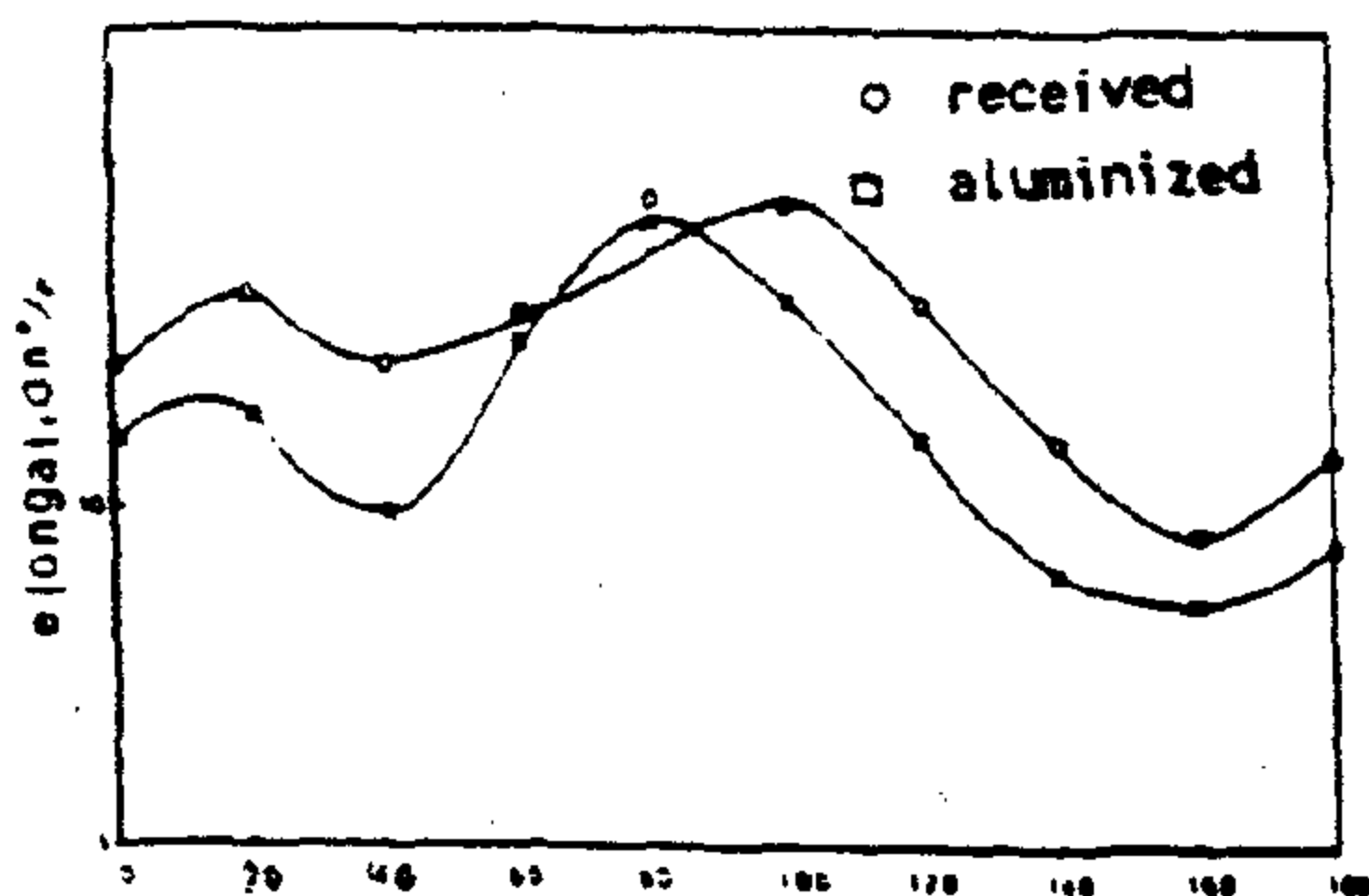


Figure (2). Heating time (min.)

The curve showed a slight increase in UTS with decreasing of the ductility till 40 min. and then began to decrease in the strength up to 80 min. heating, followed by increasing rapidly till it levels off at 120 min. The ductility curve shown in figure (2) assessed some consistency with the UTS curve. The variation in the strength with time for the non aluminized steel may be interpreted as follows. There are more than one mechanism that contributes together in the controlling the variation of the strength with heating time. The decrease in the strength in the first stage (0 - 20 min.) could be revealed to the annealing effect which leads to decrease the crystal imperfections, and results in decreasing UTS combined with increase in ductility. At the second stage, the decrease in strength in the range (20 - 60 min) may be attributed to dissolving of the under size precipitants [3,4], which has been composed during tempering. The average of the precipitant sizes which were over the critical size at this

temperature, becomes under size ones. This dissolving of these mentioned precipitants will cause a solid solution strengthening which may be responsible on these increase in UTS combined with a decrease in ductility in this range. The decrease in the strength in the range (60 - 80 min) may be explained as a result of the following. As the under size precipitant dissolved in the form of solid solution, the internal energy of the lattice will increase. This leads to the composition of a new precipitants having sizes more than the critical size at 750°C [3,4]. Probably some of the old precipitants acts as a nuclei. The decrease in the number of precipitants due to coagulation, in addition to their distribution, will result in facilitating the dislocation motion, these may be responsible on that registered decrease in strength during this range. The following increase in strength is probably due to the increase in the number of precipitants till it reaches an equilibrium state where the curve levels off at 120 min. Figure (1) shows a similarity in behavior for both aluminized and as received steel. The drop in UTS is more pronounced after 120 minutes holding time, where the drop is approximately stops with time. This may be due to the effect of increasing the thickness of the brittle intermetallic layer, where it levels off after 120 min. The aluminized steel curve shows to reach a local minimum after 70 min. while the non one reaches after 80 min. This may be due to the following. During aluminizing of steel, some constituents (e.g. C, Cr) are driven out of the surface zone and built up at the boundary with the basis metal [4,5]. This will contribute in increasing the imperfection of the lattice leading to a high diffusion mobility of atoms that facilitates the coagulation of precipitants. This will result in the short time duration. The results showing the microhardness of the diffused layer as a function of heating times, with the thickness at different times of heating are given in figure (3).

The microhardness of the diffused layer ranges from 675 - 900 kg/mm², while microhardness steel base ranges from 250 - 350 kg/mm². This illustrate that the microhardness of the diffusion layer is approximately three times of the steel basis. The variation of microhardness of the diffused layer can be attributed to the formation of different Fe-Al compounds during heating and seems to depend on these phases and their proportions. Figure (4), illustrate mainly a thin outer free Al-layer

SOME METALLURGICAL PROPERTIES OF FERRITIC STEEL ON ITS ALUMINIZING & HEAT TREATMENT

Dr. O. A. EL-SHAHAT .

ABSTRACT

The study is devoted to illustrate the thermochemical effect on some properties of both aluminized and non-aluminized steel at 700°C. The ultimate tensile strength, of the specimen, non thermally treated, showed a light decrease (7.6%) than the other corresponding. The elongation measurements interpreted the variation of the ductility and the strength in addition to its leveling off. The heat treatment processes realized the UTS recovery. The microhardness of the diffusion layer is triple that of the ferritic steel base.

INTRODUCTION

Diffusion coating is characterized by the coating interacts with the substrata. Common process that fall into this category are aluminizing, chromizing, boronizing & siliconizing [1]. These thermochemical treatment methods are designed to achieve optimal physical and chemical properties in base metal alloys or surface alloying without the need for the expensive additions of alloying elements to the bulk metal. In such cases the service ability of the treated surface is more important than the decorative effects. Hot-dipped aluminum coatings on steel are widely used, when surface hardening is required, due to the ready alloying that occurs between iron and aluminium forming intermetallic layer. The effect of carbon and some other elements on the intermetallic layer thickness has been studied by El-Shahat and others [2,3]. According to Draper [4], it was established that in reaction of aluminium with iron, the resulting diffusion layer is on the iron side when the basis has the BCC α -Fe lattice, but it has straight boundaries when the reaction is between aluminium and iron in the form of FCC γ -Fe or on the alloy containing such iron. The aluminized steel is applicable for house hold appliances, hot air tubes and oil heaters [1-4] etc.

EXPERIMENTAL

The main sample's chemical composition consists of 0.02% C, 0.12% Mn and 0.11% V. Before dipping the steel specimens in the aluminium bath, scales which

might be present on the surface of the specimen were removed. It was then degreased by rubbing with Cao powder, pickled in 1:1 HCL. to ensure free scale surfaces. The specimen was then rinsed in water and finally dried. It was then immersed in 26% aqueous KF solution as a flux. This provides a surface active agent enabling molten metal to wet the substrata and acts as a chemical reduction for oxide formation. Immediately, after removing the specimen from the flux, it was dipped in the aluminium bath at 750°C for 150 seconds. Some aluminized specimens in the tensile form, were subjected to heat treatment for different intervals at 750°C. Metallographic investigations were carried out using a microscope of E.P. type 11 (Carlzeiss, Jena). Universal tensile testing machine of Ammer type was also used. Microhardness determination of the intermetallic layer was carried out using microhardness tester of shimadzu type-M.

RESULTS AND DISCUSSIONS

The curves showing the variation of UTS with heating time at 750°C for both aluminized and as received steel are given in Figure (1).

These curves illustrate the effect of heat treatment at 750°C for different holding times on the strength of both aluminized and as received specimens, which were exposed to the same conditions clearly the variation in the mechanical strength will be only due to effect of aluminizing.

- 3- Raimodi, P., Gallapher, B.J., Ehrlich, R., Messmer, J.K., and Bennett, G.S. "Alkaline Waterflooding Design and Implementation of a Field Pilot", J. Pet.Tech., Oct. 1977, pp. 1359-1368.
- 4- Jennings, H.Y. Jr, Jonson, C.E.Jr, and McAuliffe, C.D. "A Caustic Water Flooding Process For Heavy Oils", J. Pet. Tech., Dec. 1974, PP. 1344-1352.
- 5- Grime R.F., "Clay mineralogy", McGraw-Hill Book Company Inc., New York, 1953.
- 6- Thomas C. Campbell "The role of alkaline chemical in the recovery of low-gravity crude oils", SPE, Nov. 1982, pp. 2510-16.
- 7- Anderson K. H., and Heck, E.T., "Effect of properties of flood water on rate of input and oil production, secondary recovery of oil in the United States", American Petroleum Inst., New York, 1950.
- 8- Cook, C. E., Jr. Williams, R.E., and Kolodzie, P.A. "Oil recovery by alkaline water flooding",

J. Pet.Tech. Dec. 1974, pp. 1365-1374.

- 9- Wagner, O. R. and Leach, R. O. "Improving oil displacement by wettability adjustment", Trans AIME, 1959, pp. 216, 6572.
- 10- Somerton, W. H. and Radke, C. J. "Role of clays in the enhanced recovery of petroleum from some California sands", Paper SPE, March 1983
- 11- Clementz, D. M. "Clay stabilization in sandstones through adsorption of petroleum heavy ends", JPT, Sept. 1977, pp. 1061 - 1066.
- 12- Reed, M. G. "Retention of crude oil bases by clay containing sandstones", Clays and clay minerals, 1968, PP. 16, 173 - 178.

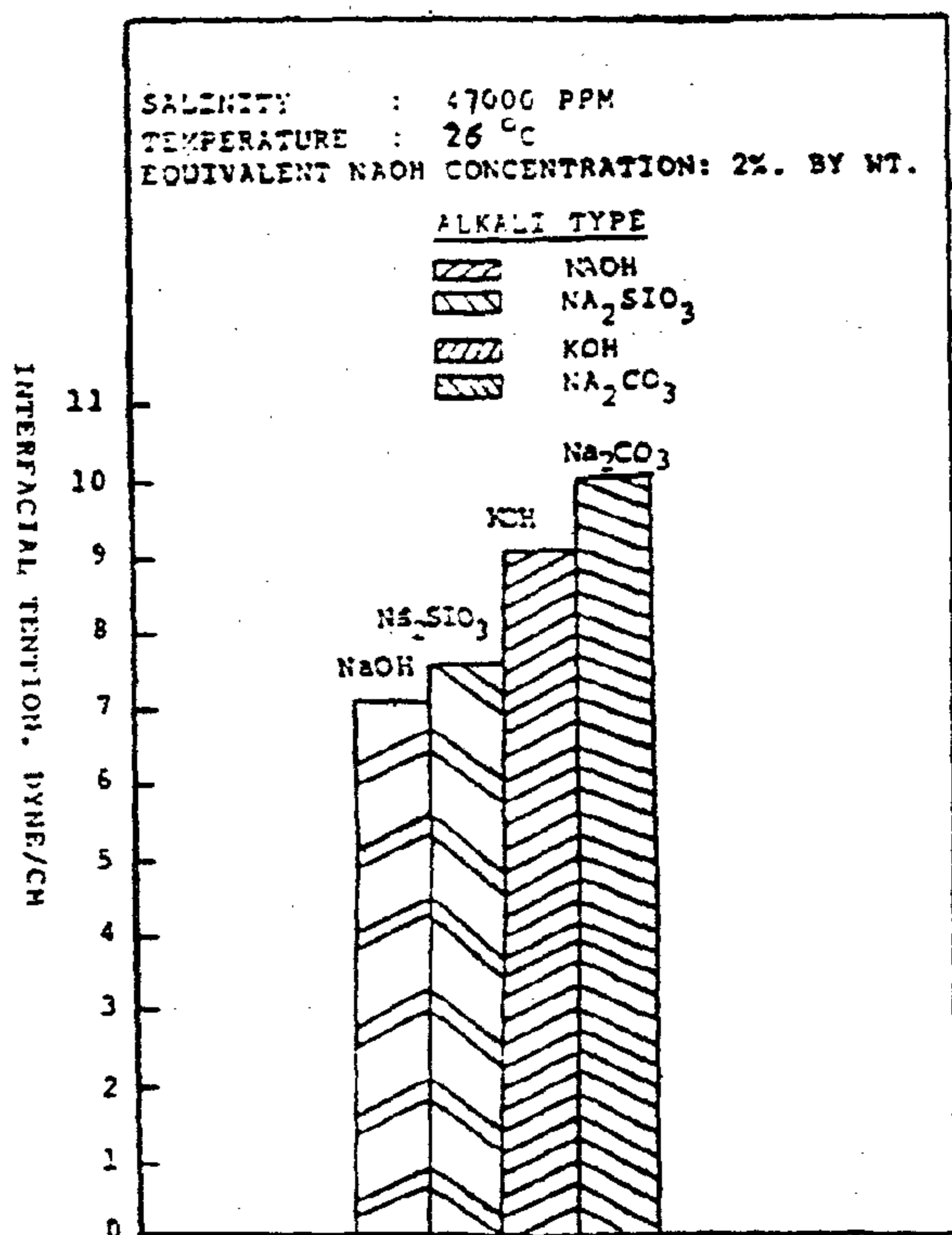


FIG.(15) EFFECT OF ALKALI TYPE ON INTERFACIAL TENSION

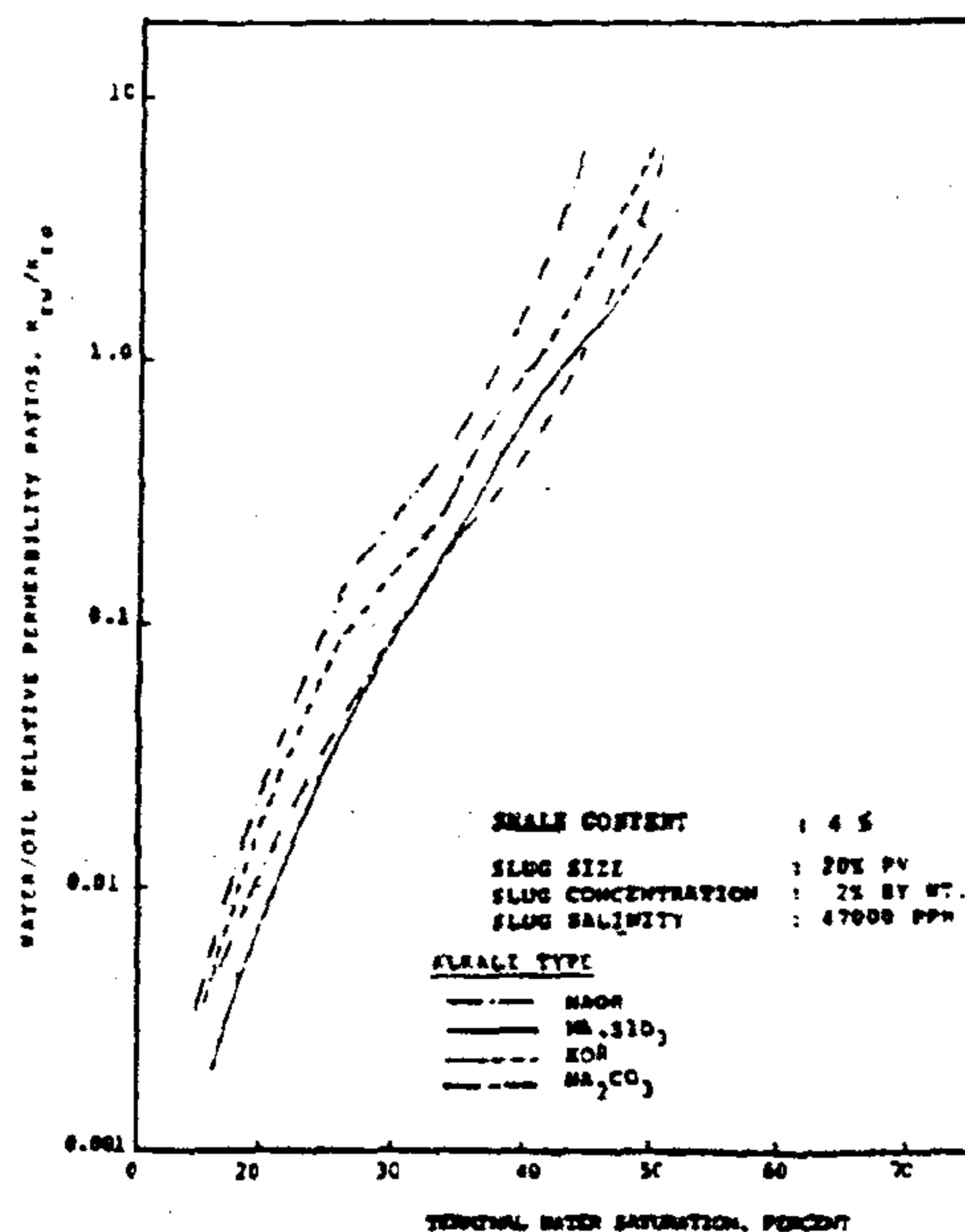


FIG.(16) EFFECT OF ALKALI TYPE ON WATER-OIL RELATIVE PERMEABILITY RATIOS.

- 3- Contact angle is affected by alkaline NaOH concentration. At sea water salinity of 47,000 PPM and 26°C temperature, the contact angle increases with an increase in NaOH concentration up to a maximum value of 6%. Further increase in NaOH concentration results in a decrease in the contact angles.
- 4- At formation water salinity of 148,000 PPM and 26°C temperature, the contact angle increases with increasing shale content up to a maximum value of 4% shale content.

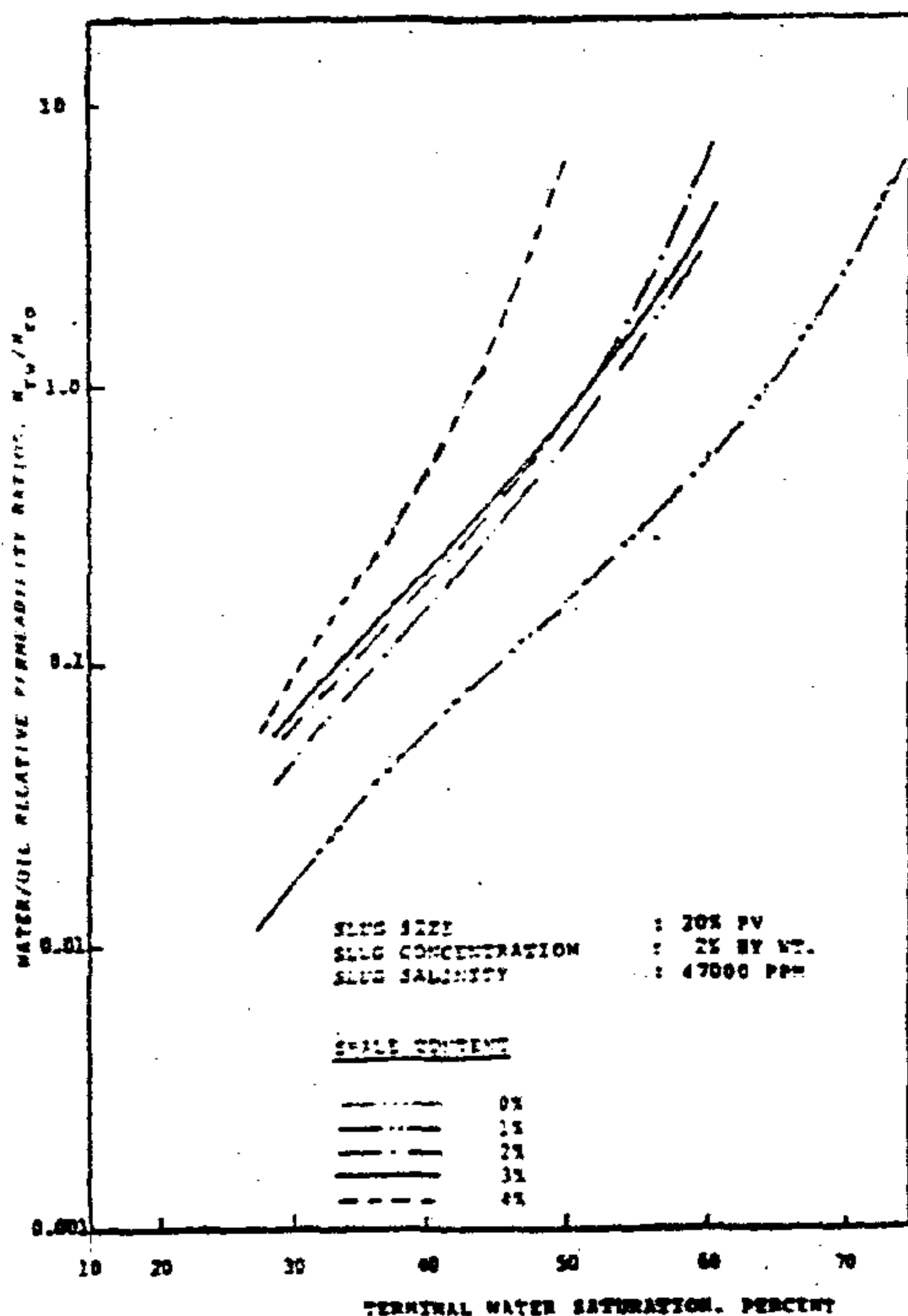


FIG. (13) EFFECT OF SHALE CONTENT ON WATER-OIL RELATIVE PERMEABILITY RATIOS

- 5- With alkaline solution (NaOH) of concentration 2% by weight in sea water salinity and 26°C temperature, the contact angle increases with increasing of shale content.
- 6- At zero shale content, oil recovery increases with increasing (NaOH) slug concentration until it reaches a maximum at 2% by weight NaOH. On the other hand, an excessive increase in NaOH concentration results in lower oil recovery.
- 7- At 2% by weight NaOH slug concentration and zero shale content oil recovery increases with increasing NaOH slug size until it reaches a maximum at 20% PV after which further increase in slug size results in decreasing oil recovery.
- 8- At 2% by weight NaOH and 20% PV slug size, oil recovery decreases with increasing shale content until it reaches the least value at the actual

shale content of Kareem formation (4% by weight).

- 9- Absolute permeability decreases abruptly with 1% shale content, however, a little change in permeability with further increase in shale content above 1% is obtained.
- 10- Relative permeability ratios are directly affected by shale content. The K_{rw}/K_{ro} decreases with increasing shale content.
- 11- Sodium hydroxide and sodium silicate produced significant higher recovery than potassium hydroxide and sodium carbonate at the same conditions of temperature, shale content, slug size, and at equal equivalent weight percentage of NaOH.

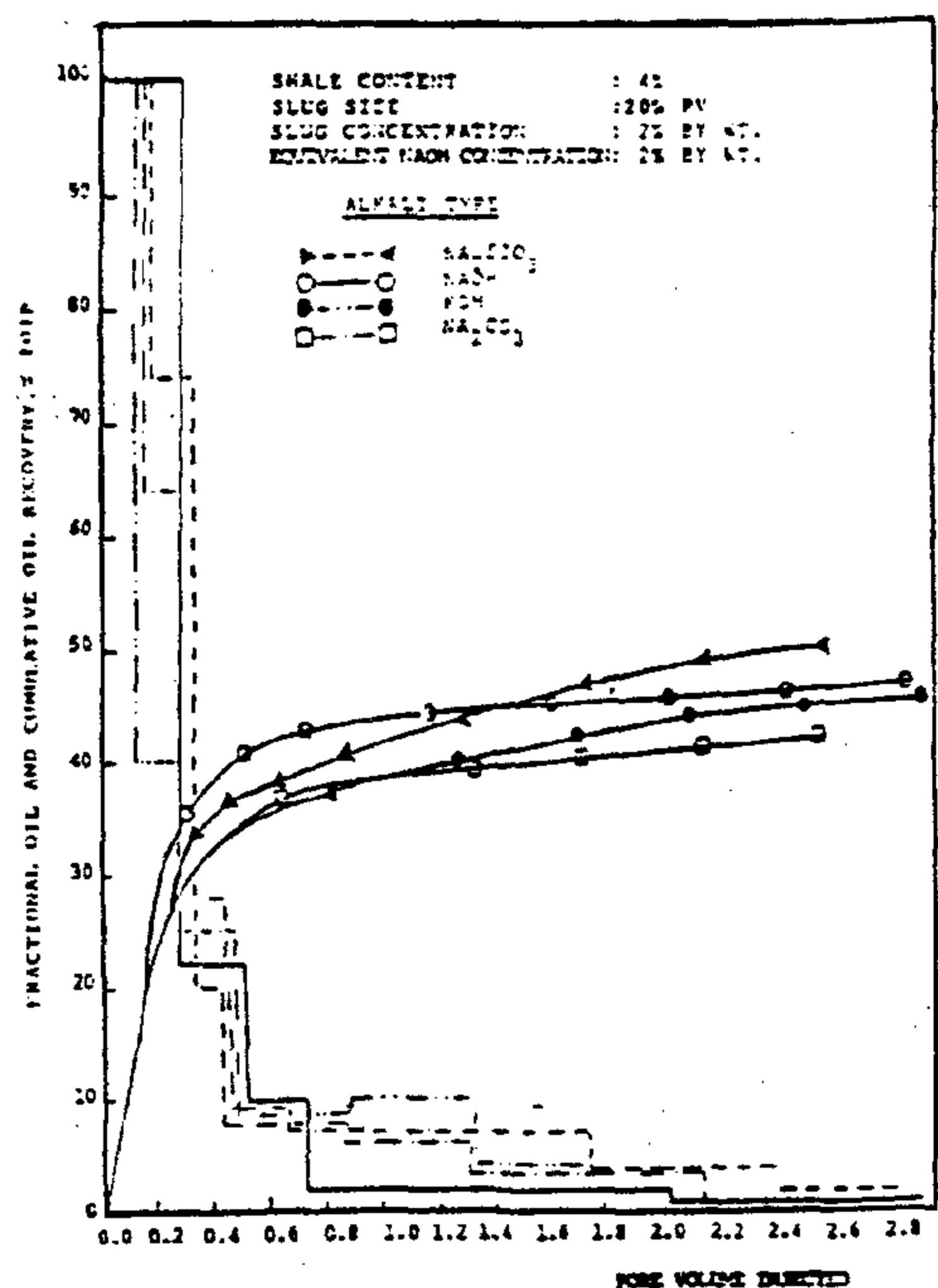


FIG. (14) EFFECT OF ALKALI TYPE ON OIL RECOVERY BY ALKALINE WATER FLOOD

REFERENCES

- 1- Institute of Petroleum: "Standard Methods For Testing Petroleum and Its Products", 1948.
- 2- Ehrlich, R. and Wygal, R.J. "Interrelation of Crude Oil and Rock Properties with The Recovery of Oil by Caustic Water Flooding". Paper SPE 5830, Presented at Society of Petroleum, Tulsa, Oklahoma, March 22-24, 1976.

Figure (14) shows the cumulative oil recovery and production histories for these alkaline water floods. It is observed that sodium hydroxide and

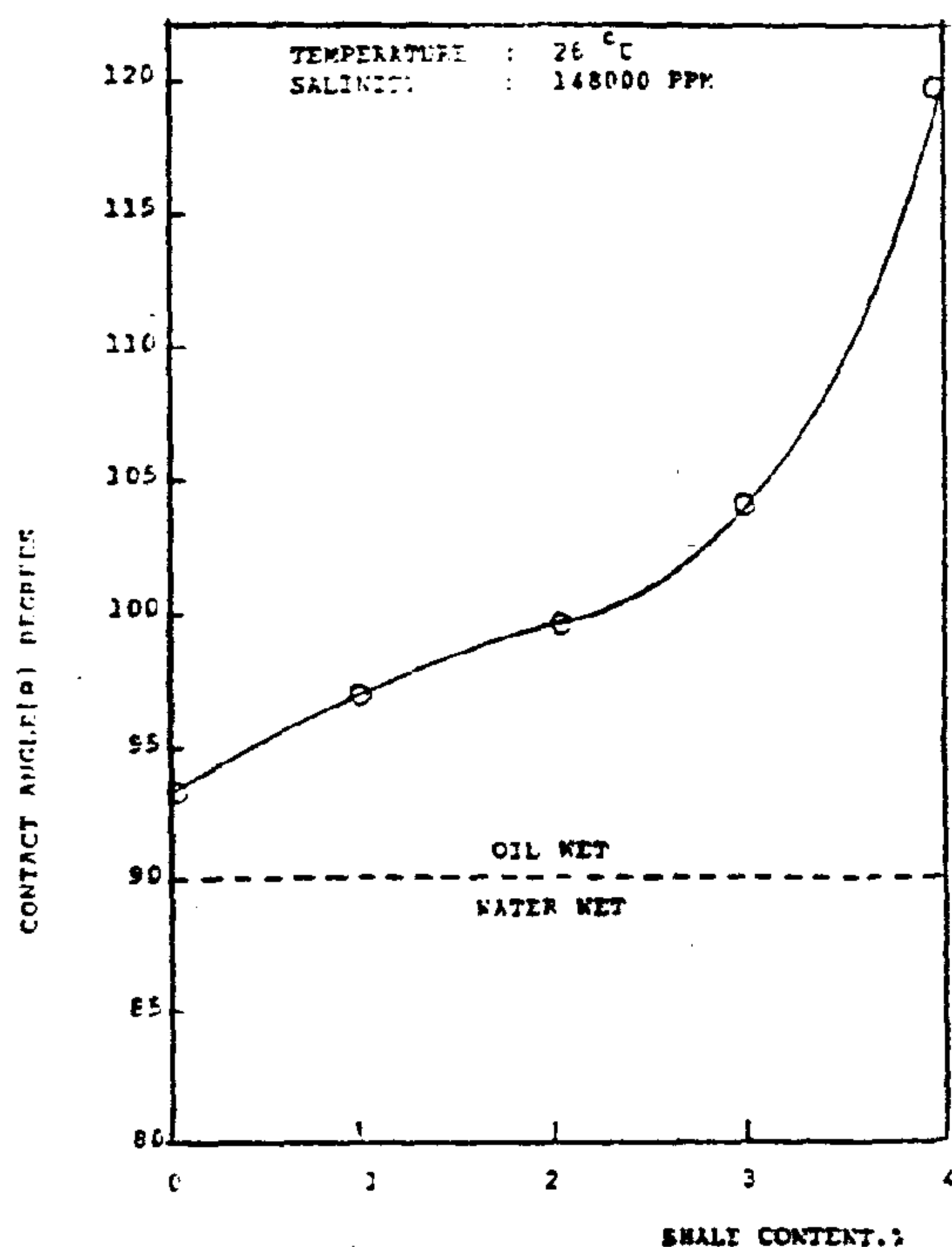


FIG. (11) EFFECT OF SHALE CONTENT ON THE CONTACT ANGLE THE OIL MAKES WITH THE ROCK UNDER THE PRESENCE OF FORMATION WATER.

sodium silicate produced significant higher recovery than did the potassium hydroxide and sodium carbonate. Sodium hydroxide gave higher recovery in the early stages of flood, as compared with sodium silicate. Less oil recovery was obtained in the case of using Na_2CO_3 .

Oil recovery was directly related to the highest PH values which were obtained with (NaOH) solution (PH 12) and Na_2SiO_3 (PH 11.2) while with KOH solution the PH was 10.25 and with Na_2CO_3 the PH was 9.8. These differences in PH values may explain the decrease in oil recovery in the case of using Na_2CO_3 and KOH solutions.

A comparison between the interfacial tension between Kareem crude oil and sodium hydroxide, sodium silicate, potassium hydroxide, and sodium carbonate solutions at equivalent NaOH concentrations of 2% by weight are presented in figure (15). The sodium hydroxide shows the greatest reduction in interfacial tension as compared to other hydroxides. This figure shows a

clear dependence of oil recovery on interfacial tension with highest oil recovery obtained at the lowest value of interfacial tension. Maximum oil recovery was obtained at NaOH and Na_2SiO_3 , while minimum oil recovery was obtained at Na_2CO_3 which corresponding to having the highest interfacial tension value.

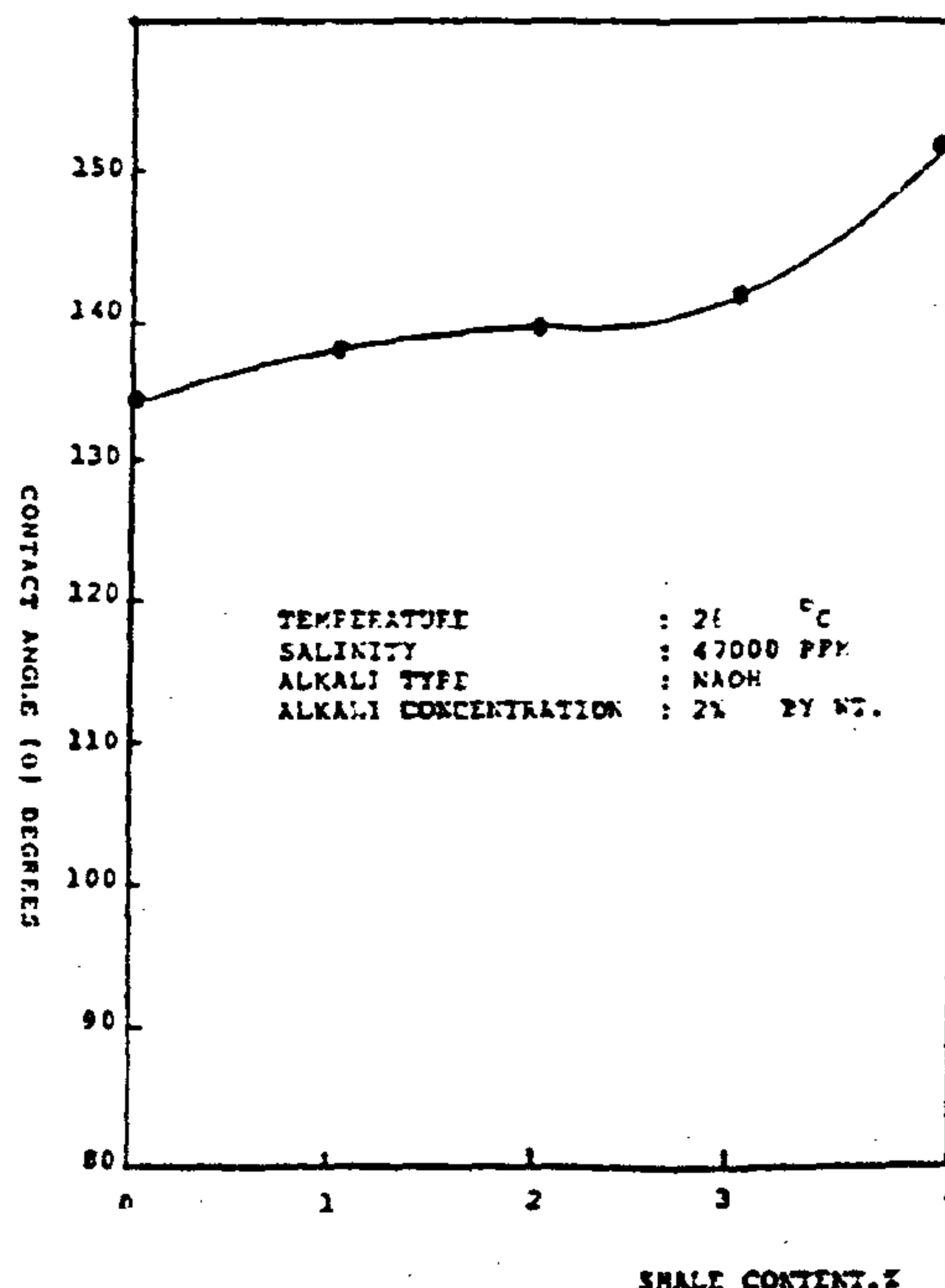


FIG. (12) EFFECT OF SODIUM HYDROXIDE ON CONTACT ANGLE AS FUNCTION OF SHALE CONTENT

Figure (16) shows the relative permeability ratio K_{rw}/K_{ro} versus water saturation for NaOH, Na_2SiO_3 , KOH and Na_2CO_3 solutions at the same equivalent weight - percentages of NaOH, 20% PV slug size and 4% shale content at a temperature of 26°C. This figure indicates that the use of sodium hydroxide slug and sodium silicate are more effective in displacing crude oil than KOH or Na_2CO_3 .

CONCLUSIONS

Based on the results of the present investigation, the following conclusions can be drawn:

- 1- Kareem crude oil is highly acidic.
- 2- Interfacial tension between Kareem crude oil and alkaline NaOH solutions of sea water salinity at 26°C temperature decreases with increasing NaOH concentration to 3% by weight after which no change in interfacial tension was noticed.

Figure (12) shows the effect of NaOH of concentration 2% by weight in 47,000 PPM NaCl solution on the contact as a function of shale content. It is clear from this figure that all the

crude/brine/rock system [8,9]. Several researchers have studied the adsorption of asphaltenes onto clays, and found that adsorption can make the clays more oil-wet [10-12].

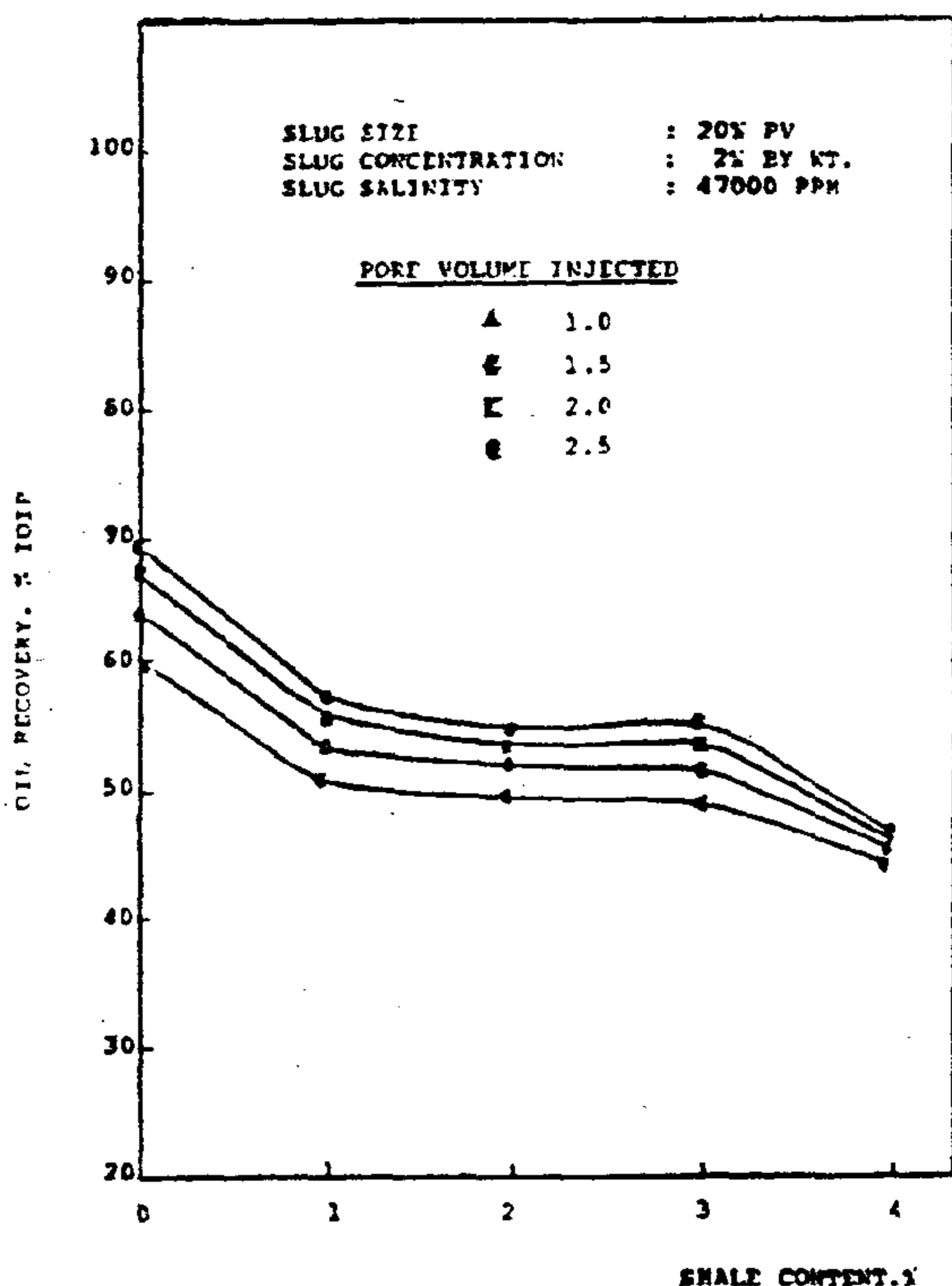


FIG. (9) EFFECT OF SHALE CONTENT ON OIL RECOVERY AT DIFFERENT PORE VOLUMES OF INJECTED DISPLACEMENT WATER

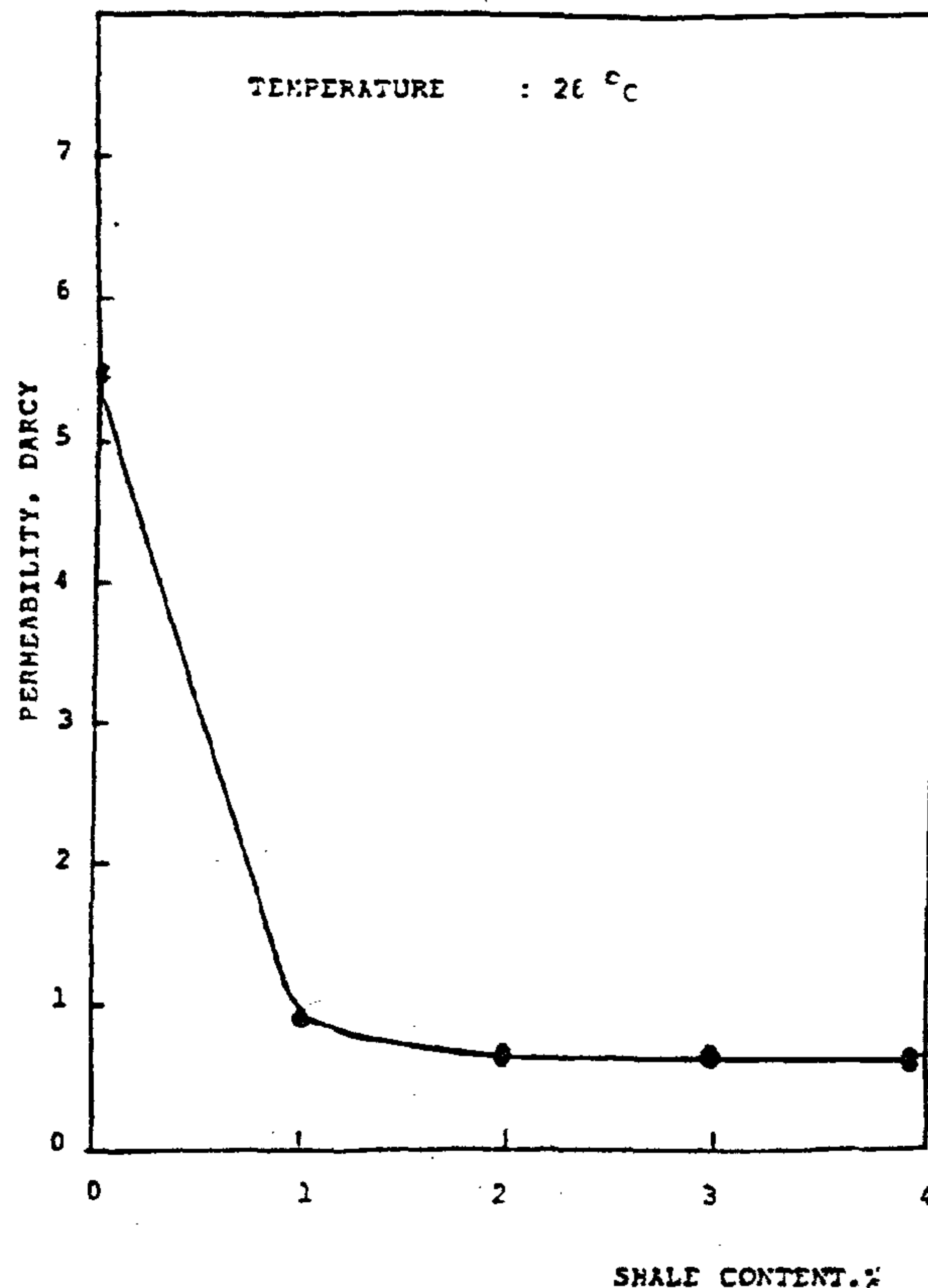


FIG. (10) EFFECT OF SHALE CONTENT ON ABSOLUTE PERMEABILITY

cores are oil-wet. The contact angle increases gradually from 136 at 0.0% shale content to 156 at 4% shale content. A comparison between figures (11) and (12), shows that the salinity and PH of the brine are very important factors in the determination of wettability. The smaller contact angle at low shale content results in the highest oil recovery. Minimum oil recovery was obtained at the maximum contact angle for the sample having 4% by weight shale content.

The effect of shale content on water-oil relative permeability as a function of water saturation, is shown in figure (13), where the curves represent the water-oil relative permeability ratios (K_{rw}/K_{ro}). The slopes of K_{rw}/K_{ro} curves increase with increasing of the shale content, the sharpest increase in K_{rw}/K_{ro} occurring with 4% shale content, thus leading to a lower oil recovery.

EFFECT OF ALKALI TYPE

In order to compare between the effects of sodium hydroxide (NaOH), sodium silicate (Na_2SiO_3), potassium hydroxide (KOH), and sodium carbonate (Na_2CO_3) alkali solutions on oil recovery and displacement efficiency, four floods were carried out at the same conditions of temperature, shale content, slug size of 20% PV, and the same concentration equivalent weight-percentages of NaOH.

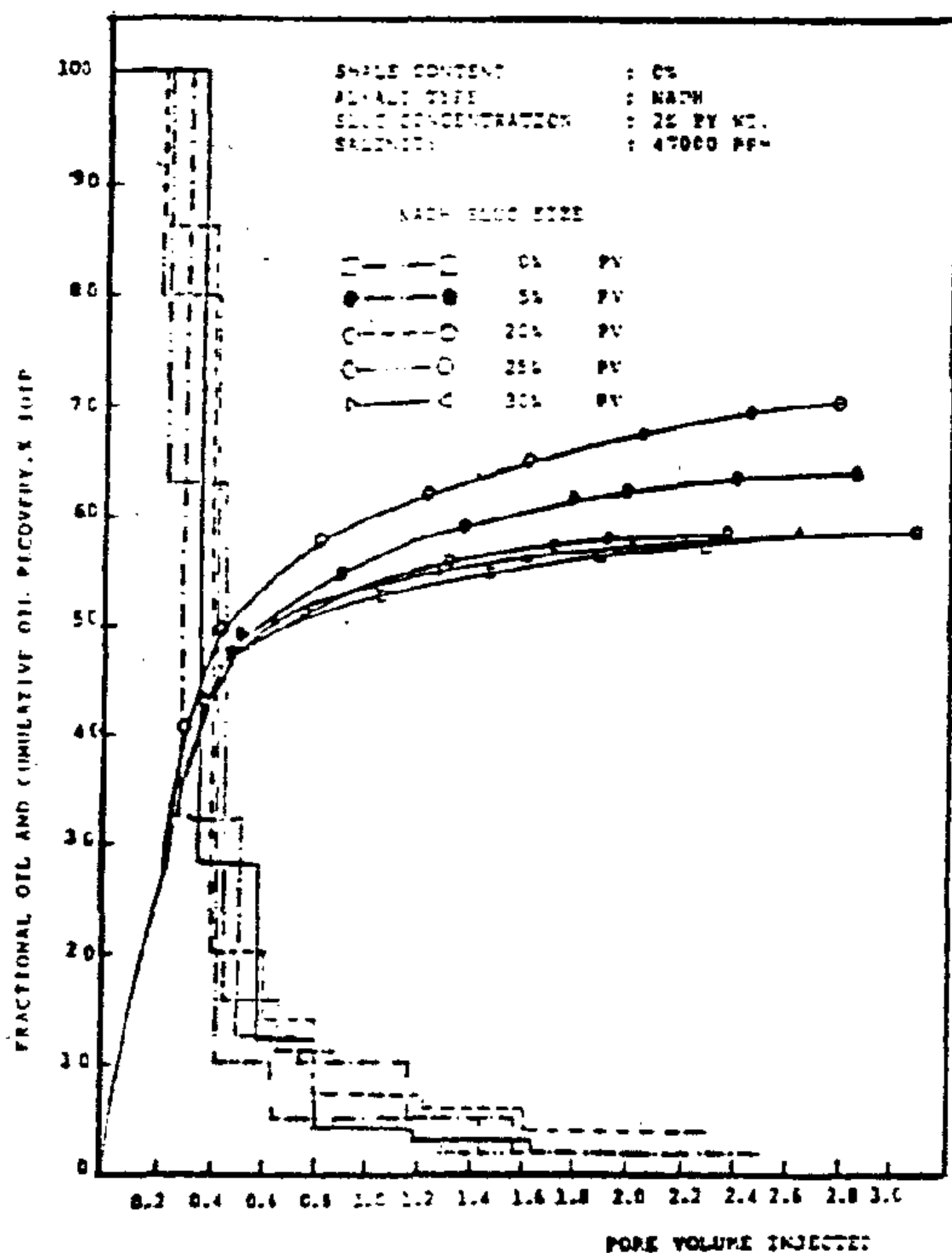


FIG. (7) EFFECT OF ALKALINE SLUG SIZE ON OIL RECOVERY BY ALKALINE WATER FLOOD

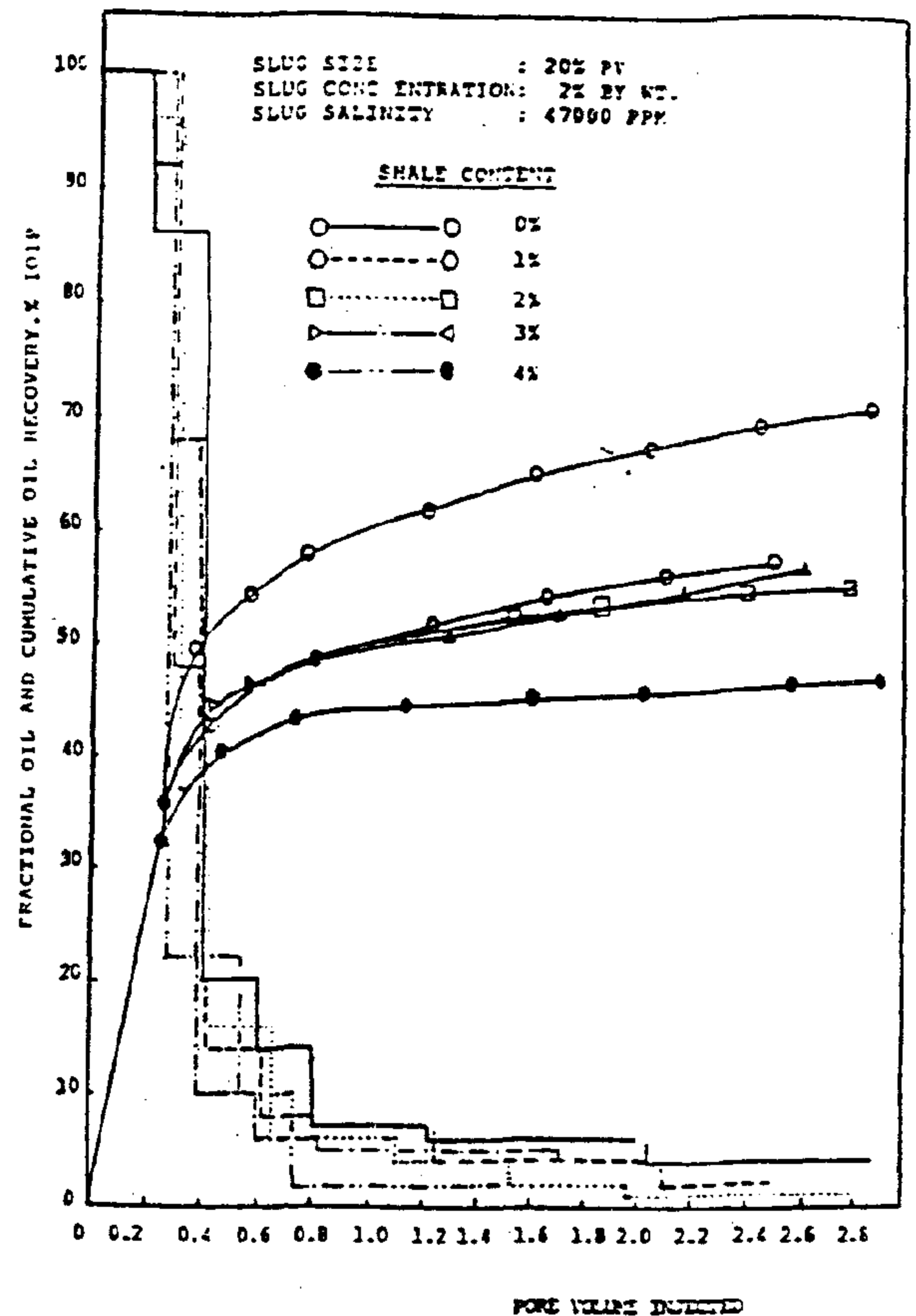


FIG. (8) EFFECT OF SHALE CONTENT ON OIL RECOVERY BY ALKALINE WATER FLOOD

injected. At shale content value above 1% the hydration of the shale reduced the pore sizes, thus trapping more oil. Figure (10) shows the effect of shale content on the absolute permeability (K_{ab}) at 26°C., the absolute permeability (K_{ab}) at 0.0% shale content is equal to 5.5 darcy, and it decreased sharply to 0.8 darcy at 1% shale content. Little change in K_{ab} was observed when the shale content was changed from 2% to 4% by weight. Generally alkali / rock reaction is probably the most important, yet least quantified, aspect of alkaline flooding because of the complex rock mineralogy found in most petroleum reservoirs. The number of possible reaction with alkalis is large. Reservoir rock reaction is believed to be by far the largest contributor to alkali consumption. Some early studies on caustic consumption were published by Ehrlich and Wygal [2] for different types of minerals, and they found high consumption rates for most clays.

A change in the composition of the water containing the clays will result in an exchange of ions between the water and the clay to establish a new equilibrium. Thus permeability and other petrophysical properties are directly influenced by the clay content. When neutral brines are replaced

by a strong caustic solution, the hydrogen ions in the clay will exchange with the sodium ions in the solution, thus lowering the NaOH concentration [3]. Another ion exchange reaction, which can result from the dominance of sodium ions in an alkaline slug is the exchange of sodium ions for calcium and magnesium ions in the clay. Thus the reaction of calcium on the clays also consumes the alkaline water. The commonest exchange ions in clay minerals are the cations Ca^{++} , Mg^{++} , H^+ , K^+ and Na^+ [3-6].

The shale content and its effect on cumulative oil recovery are further investigated by studying the effects of shale content on wettability. Figure (11) shows the effect of shale content on the contact angle the oil makes with the rock in the presence of formation water. As shown in this figure, all the cores are oil-wet with the minimum contact angle obtained at 0.0% shale content. The contact angle increases with increasing the shale content up to 4% (actual shale content of Kareem formation).

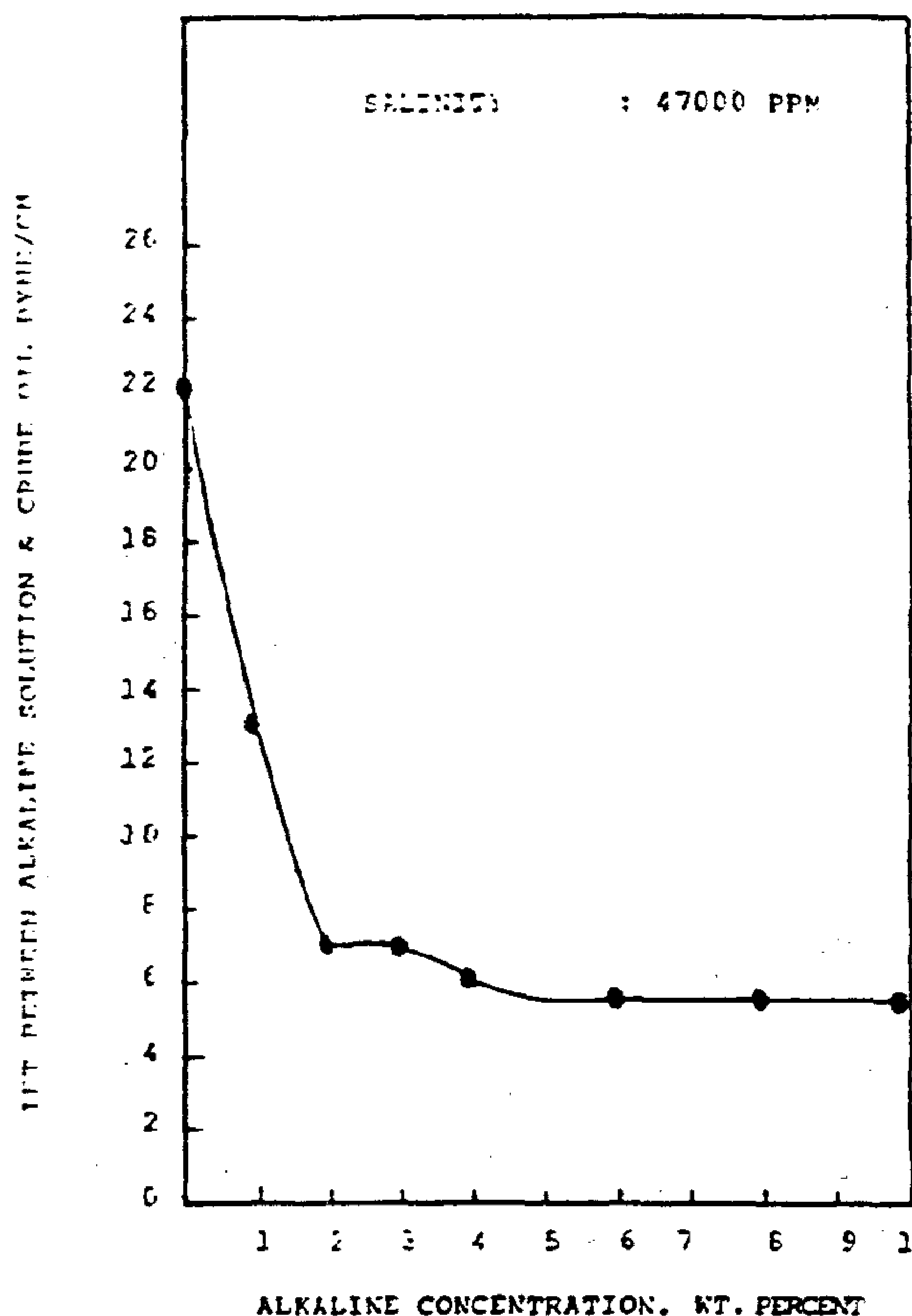


FIG.(5) INTERFACIAL TENSION BETWEEN KAREEM CRUDE OIL AND ALKALINE SOLUTION VERSUS ALKALINE CONCENTRATION

emulsion formed will result in blocking the flow of water through the large pores and lowering its mobility, or in the entrainment of the emulsion into the alkaline flow to be produced. This behavior is responsible for the increase in oil recovery.

Results of contact angle measurements are shown in figure (6) using different NaOH concentrations of 47,000 ppm salinity at zero shale content. As shown in this figure all the cores are oil-wet and the oil wetness increase with the increase in alkali concentration. The contact angle increases with increasing NaOH concentration up to maximum value of 177 at 6% NaOH concentration after the contact angle decreases with further increase in NaOH concentration. Figure (7) shows the production histories for the 0, 5, 20, 25, and 30% pore volumes alkaline slug size displacement at zero shale content. This figure shows the behavior of the oil water bank for varying alkaline slug sizes when using a 2% by weight NaOH concentration. According to the data presented in figure (7), oil recovery increases with increasing slug size up to 20% PV, then it decreases with further increasing in slug size.

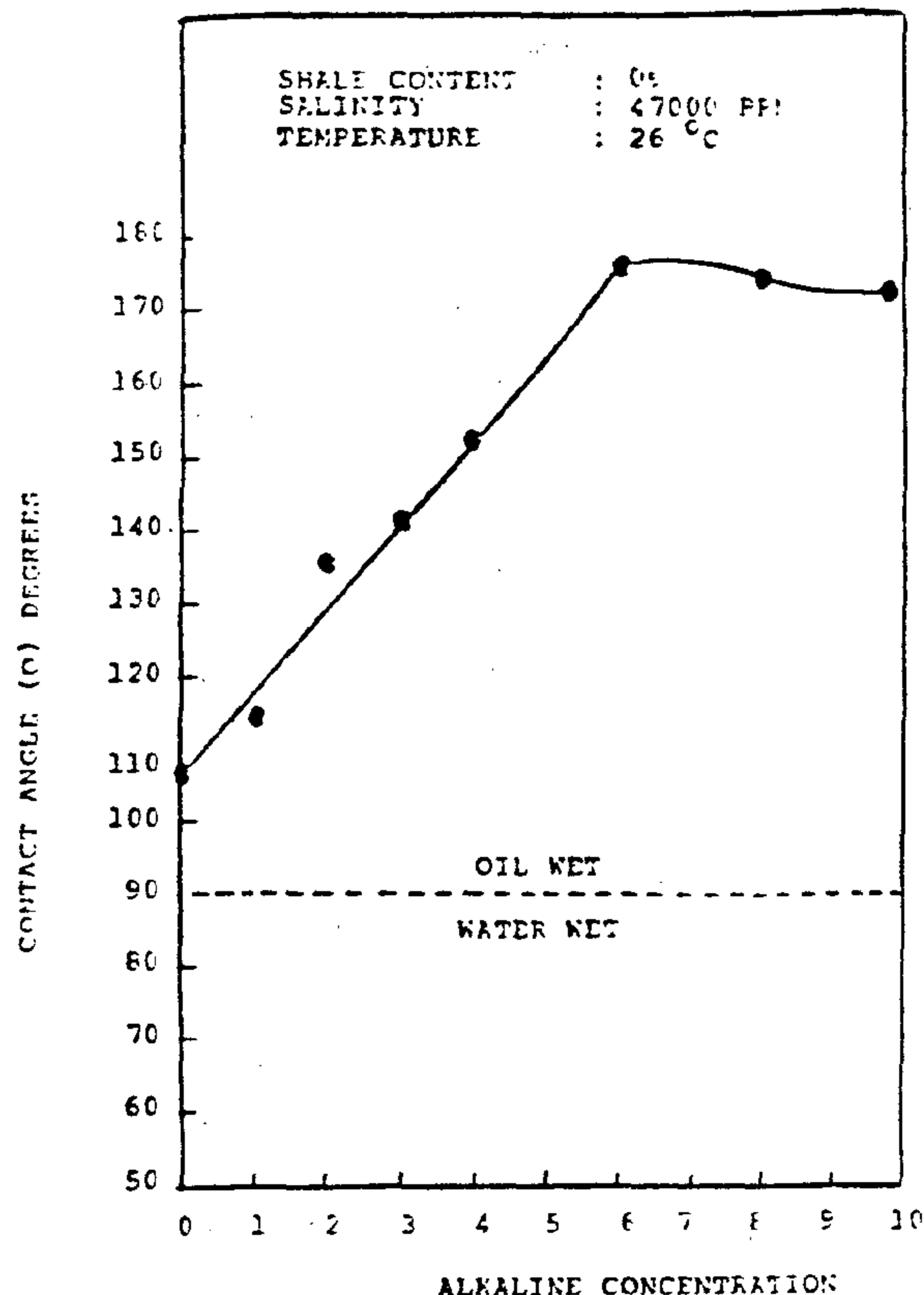


FIG.(6) CONTACT ANGLE VERSUS ALKALINE CONCENTRATION FOR ROCK SAMPLES FREE FROM SHALE

EFFECT OF SHALE CONTENT ON OIL RECOVERED BY ALKALINE SOLUTIONS.

Alkaline solution of 2% by weight NaOH concentration and 20% PV slug size, driven by sea water was used to flood sand cores of different shale content. Figure (8) shows the effect of shale content on production histories and cumulative oil recovery. It was observed that increasing shale content decreases the oil recovery until it reaches a minimum at shale content 4% by weight. For example, for zero shale content oil recovery was 64% of the initial oil in-place at 1.5 pore volumes injected whereas for 1% shale content, the recovery was 53%, and for 4% shale content, the recovery was reduced to 45% at the same pore volume injected. Figure (9) shows the effect of shale content on oil recovery at different pore volumes of injected displacement water. The maximum value of oil recovery was obtained at zero shale content. Further increase in shale content resulted in a decrease of oil recovery at different pore volumes

Table 5 Summary of Displacement Floods.

Run no	Absolute Permeability Darcy	Shale Content (Percent)	Porosity (Percent)	Initial Oil Saturation Fraction	Alkali Type	Alkali Conc. Wt %	Recovery at 1.5 PV Injected % IOIP	Slug Size % PV
1	5.721	0.0	0.382	0.790	-	0.0	55.0	0.0
2	5.630	0.0	0.382	0.760	Na OH	1.0	57.0	20.0
3	5.500	0.0	0.390	0.770	Na OH	2.0	64.5	20.0
4	5.720	0.0	0.382	0.770	Na OH	3.0	58.2	20.0
5	5.710	0.0	0.382	0.770	Na OH	4.0	58.0	20.0
6	5.700	0.0	0.382	0.770	Na OH	6.0	56.5	20.0
7	5.790	0.0	0.382	0.770	Na OH	2.0	60.5	5.0
8	5.780	0.0	0.382	0.830	Na OH	2.0	56.0	25.0
9	5.620	0.0	0.382	0.840	Na OH	2.0	55.5	30.0
10	0.800	1.0	0.370	0.830	Na OH	2.0	53.0	20.0
11	0.650	2.0	0.360	0.840	Na OH	2.0	52.1	20.0
12	0.630	3.0	0.366	0.840	Na OH	2.0	51.6	20.0
13	0.600	4.0	0.368	0.870	Na OH	2.0	50.7	20.0
14	0.650	4.0	0.360	0.890	Na ₂ SiO ₃	2.0	45.4	20.0
15	0.622	4.0	0.360	0.902	Na ₂ CO ₃	2.0	40.5	20.0
16	0.658	4.0	0.370	0.872	Na OH	2.0	41.2	20.0

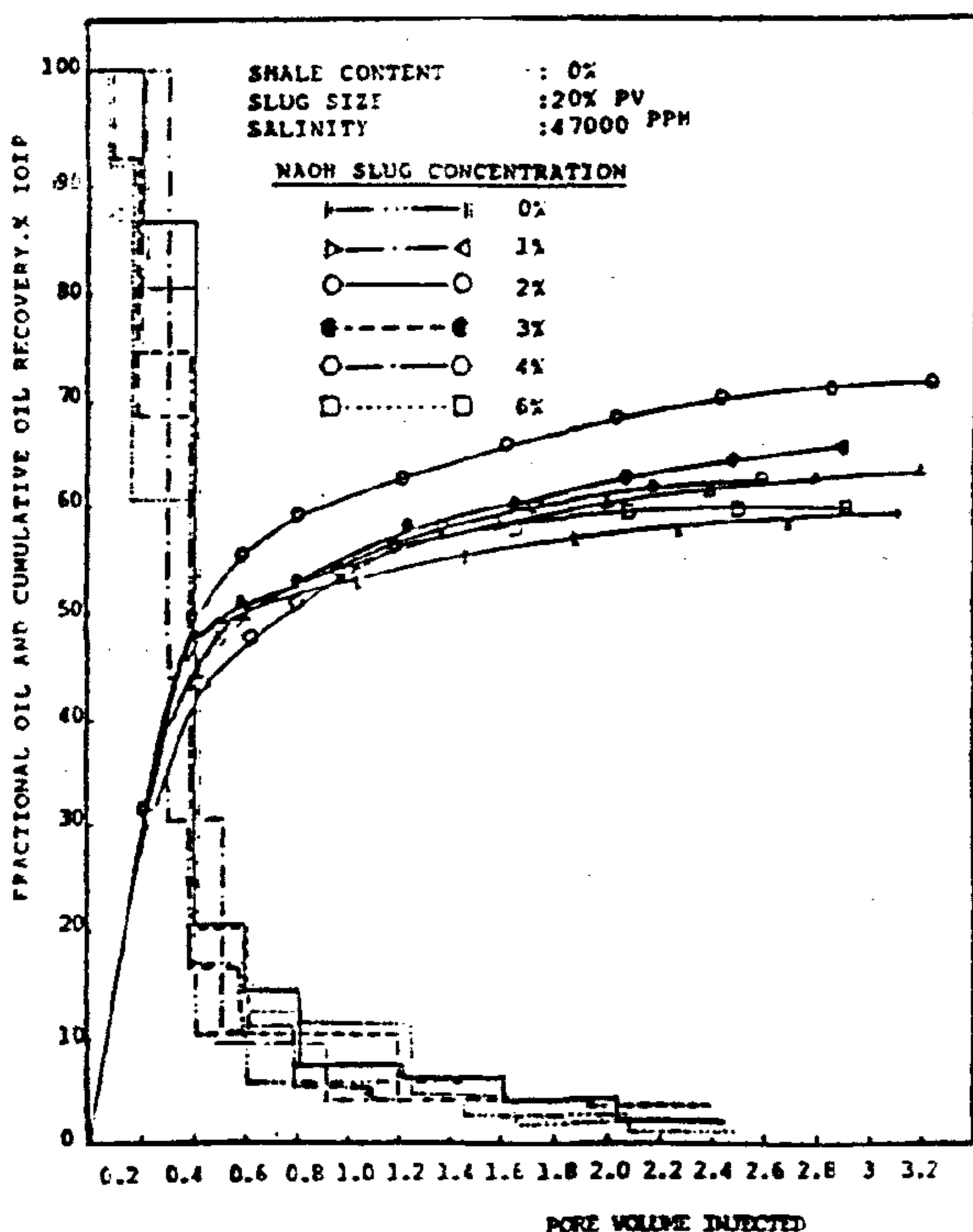


FIG. (3) EFFECT OF NAOH SLUG CONCENTRATION ON OIL RECOVERY BY ALKALINE WATER FLOOD.

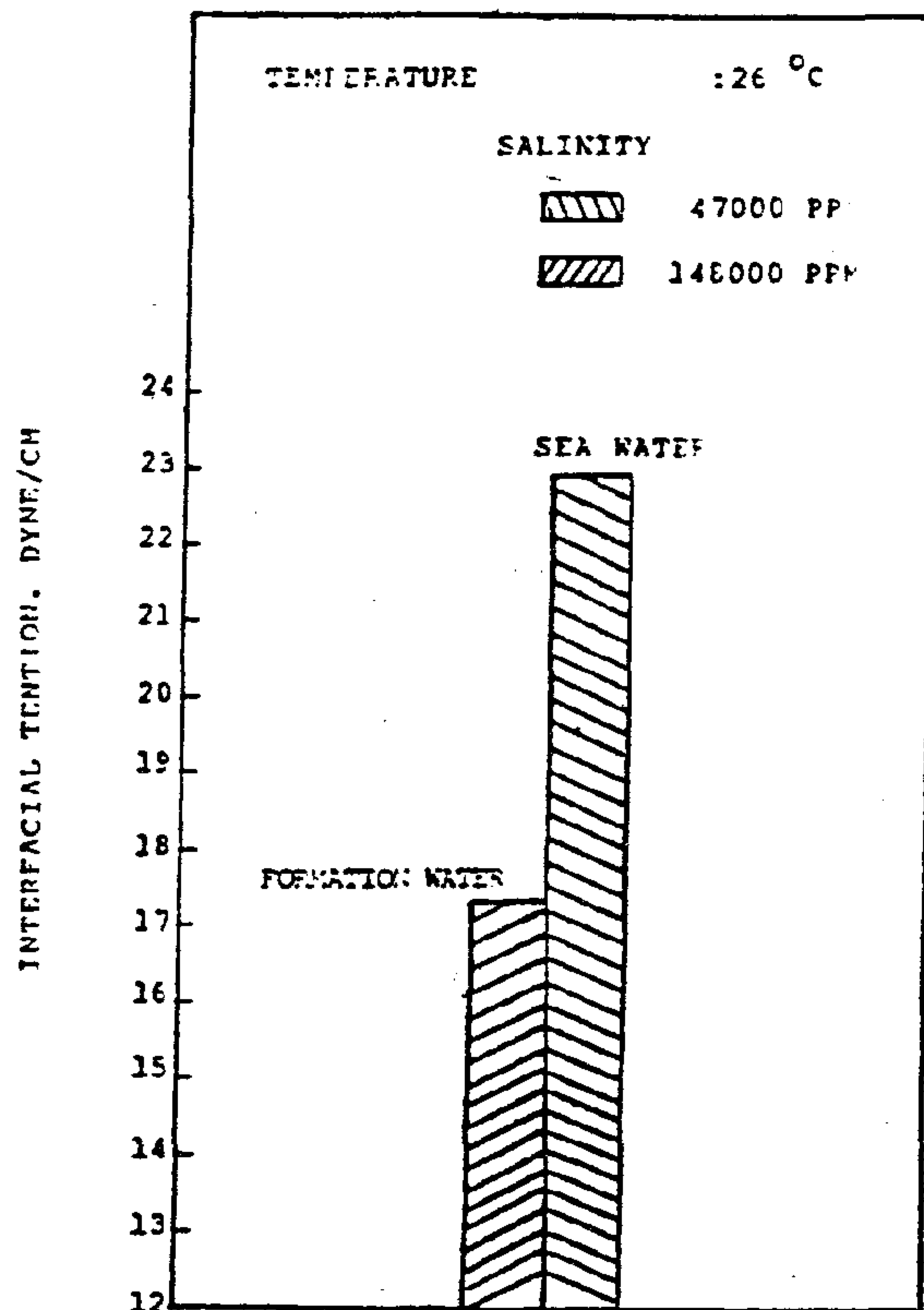


FIG.(4) INTERFACIAL TENSION BETWEEN KAREEM CRUDE OIL AND SEA WATER AND FORMATION WATER.

concentration at 26°C temperature. According to the data presented in figure (5), an increase in NaOH concentration decreases the interfacial tension until it reaches the least interfacial tension value at about 2% by weight NaOH concentration. Low interfacial tension is caused by soaps which are formed as a result of the reaction of alkali with organic acids in the crude oil.

From figure (3) it is reasonable to assume that the dominant recovery mechanism is related to in-situ emulsification. The reaction between organic acids present in Kareem crude oil and alkaline water produces soaps. These soaps reduce the interfacial tension and enhance the emulsification. The

Table 3 Analysis of Formation Water

Constituent		Concentration ,ppm
Sodium	Na ⁺	28,336
Calcium	Ca ⁺⁺	18,036
Magnesium	Mg ⁺⁺	3,040
Chloride	Cl ⁻	83,425
Sulfate	So ₄ ⁻⁻	770
Bicarbonate	Hco ₃ ⁻	976
TDS		147,399

Table 4 Grain Size Analysis
of Kareem Formation

Mesh Diameter (mm)	Wt. of the sand Retained on the Sieve, gm	Wt. % of the sand retained	Cumulative Wt. %
2.00	0.9	2.49	2.49
1.00	5.0	13.55	16.29
0.60	7.1	19.61	35.29
0.425	5.4	18.9	54.55
0.250	8.3	22.95	77.5
0.125	6.4	18.41	95.91
<0.125	3.1	4.09	100.0

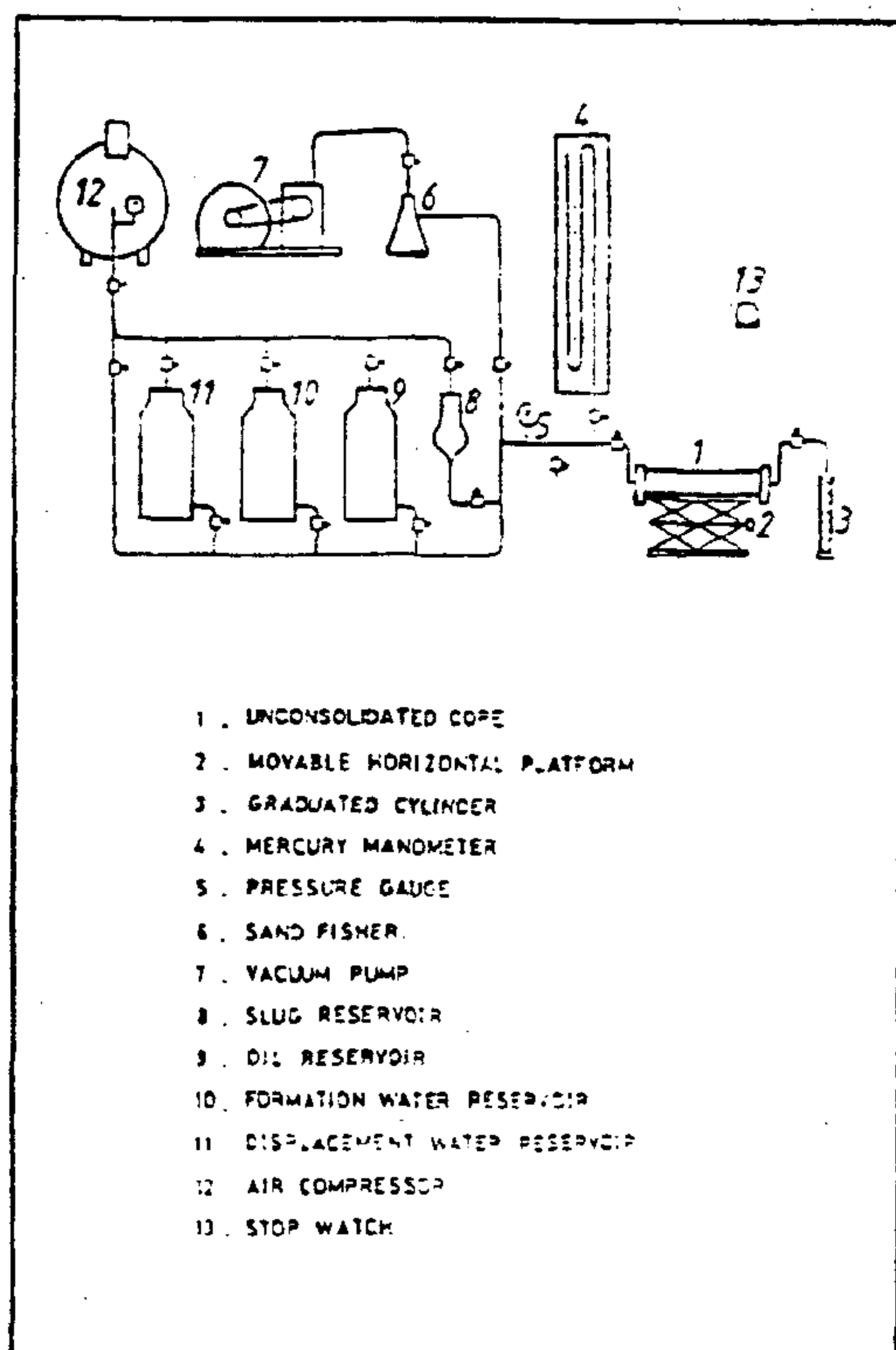


FIG.2 SCHEMATIC DIAGRAM OF THE DISPLACEMENT APPARATUS

were used for oil, formation water, displacement water and alkaline slug, and an air compressor was used to provide the necessary pressure to inject any of the different liquids into the model. When the model was completely evacuated, the formation water was allowed to saturate the model. From the volume of the water used for saturation process, the effective porosity of the core was calculated. In all sets of the displacement experiments, the effective porosity of the sand packs was in the range of 35%. Absolute permeability was obtained by circulating formation water through the sand pack and measuring the flow rate of water at a given

pressure drop across the model. The model was then saturated with oil by continuous injection of oil until the water cut in the effluent was less than 1%. At this moment the initial saturation conditions of the reservoir were supposed to be achieved, and an alkaline slug was injected into the sand pack followed by continuous injection of sea water for about four volumes. The liquids produced were collected continuously, and the amounts of oil and water in the samples were determined.

RESULTS AND DISCUSSION

Displacement of Kareem crude oil by alkaline solution was performed first using sand packs of zero shale content. The optimum alkaline slug size and concentration were detected and used in flooding sandpacks of different shale contents. Table (5) represents a summary of these displacement floods. Figure (3) shows the cumulative oil recovery and oil fraction in produced samples versus pore volumes of displacement water injected using 20% PV slug size of different NaOH concentrations at zero shale content. It is clear that at the early stages of alkaline water flooding, oil recovery increases with increasing NaOH concentration until it reaches a maximum at 2% by weight NaOH concentration. Alkaline concentration higher than 2% NaOH results in lower oil recovery. Figure (4) shows the interfacial tension between Kareem crude oil and water at two different salinity levels, namely 47,000 ppm and 148,000 ppm (slug salinity and formation water salinity respectively). It is clear that the interfacial tension decreases with increasing salinity. Figure (5) shows the interfacial tension between Kareem crude oil and NaOH solution of salinity 47,000 ppm. versus NaOH

EXPERIMENTAL WORK

1- FLUID PROPERTIES

The acidity of Kareem crude oil was determined using the institute of petroleum (IP) procedures Nos.1 and 182 [1]. The organic acidity was found to be about 2.7 mg/KOH/g per sample of crude. The density and viscosity of the fluid used in this study are given in table (1). A complete analysis of the sea water (injected water) is given in table (2), and formation water analysis is given in table (3). The total dissolved solids in the formation water was found to be about 147,000 ppm.

A genco du Nouy tensiometer was used to determine the interfacial tension between oil and water and between oil and alkaline solution under a temperature of about 26°C.

For the measurement of wettability, sand samples with different shale content were prepared. Constant concentration of a cement is used in consolidating all the prepared samples, and hence it will have the same effect on the wettability measurements. The contact angles that the oil droplet makes with the prepared sand cores in the presence of brine and alkaline solutions were measured. The oil droplet was put in contact with the downward surface of sand samples under the surface of the formation water or alkaline solution in a glass container. The oil droplet was photographed at periodic time intervals (0.5 - 1 hr.) to investigate the change of the contact angle with time until equilibrium was reached. Equilibrium time for the contact angle measurements at 26°C was about 8 hr. By using a slide projection, the dimensions of the droplet were measured, and the contact angle was calculated.

2- DISPLACEMENT EXPERIMENTS

The apparatus used in the displacement experiments is represented schematically in figure (2). The model used was a cylindrical tube of dimensions 4 cm. diameter and 50 cm. length, and it had an injector and producer on the two ends. Screens were fixed at the two ends of the tube to prevent sand movement. The cylindrical tube was packed with a sand mixture of variable shale content. The mechanical analysis for the used sand mixture are presented in table (4). A vacuum pump was used to evacuate the model and connections before the start of every experiment. Four stainless-steel tanks

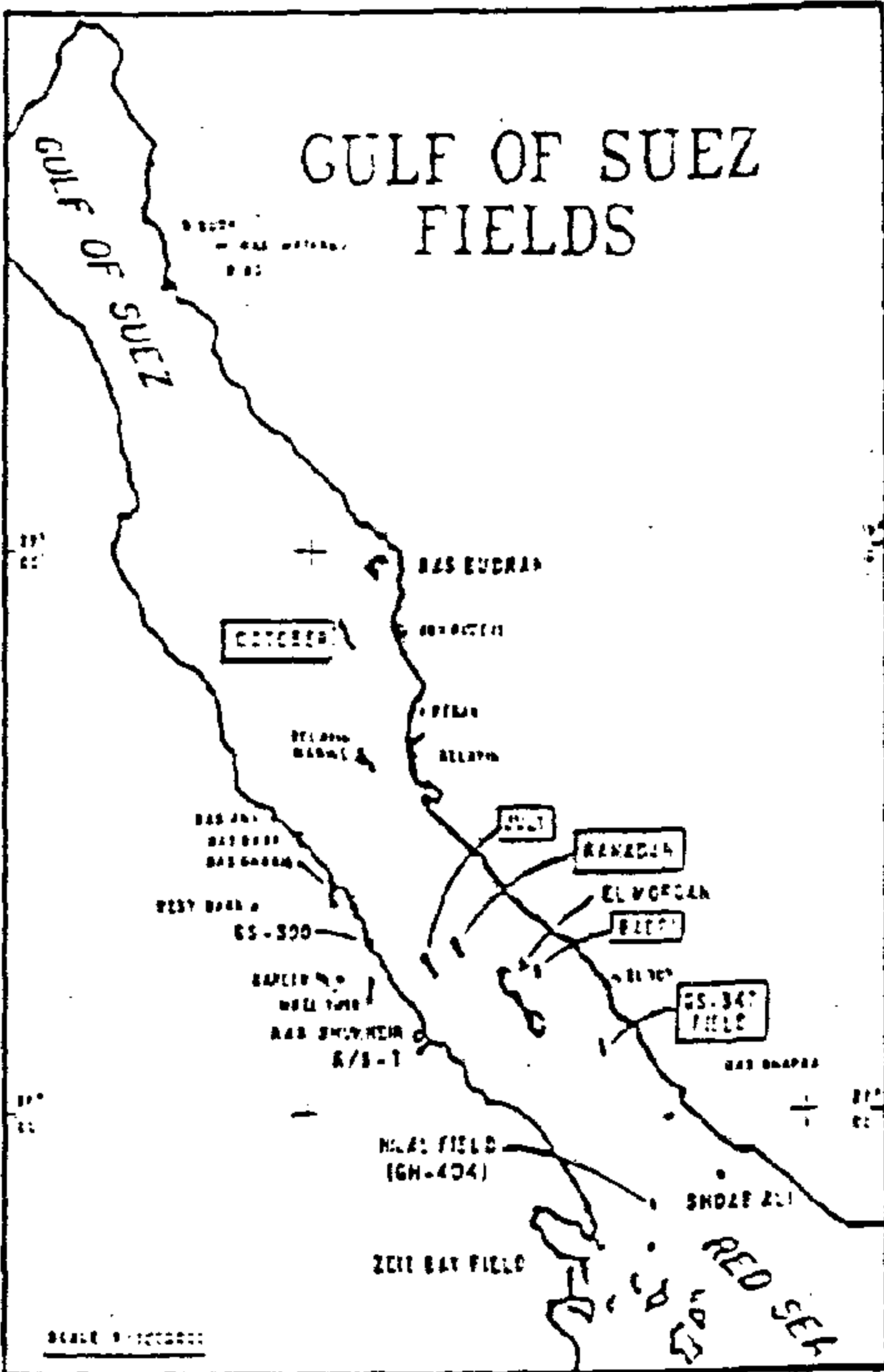


FIG.1-LOCATION MAP OF THE GULF OF SUEZ FIELDS

Table 1: Density and Viscosity of Liquids

Liquid	Density	Viscosity	Temperature
Distilled water	1.000	1.000	26
Sea water, 47,000 PPM	1.045	1.090	26
Formation water, 148,000	1.079	1.239	26
Kareem crude oil	0.882	24.7	26

Table (2) Analysis of sea water

Constituant		Concentration ,ppm
Sodium	Na ⁺	13,662
Calcium	Ca ⁺⁺	701
Magnesium	Mg ⁺⁺	1,216
Chloride	Cl ⁻	23,412
Sulfate	So ₄ ⁻⁻	3,164
Bicarbonate	Hco ₃ ⁻⁻	122
TDS		47,500

EFFECT OF SHALE CONTENT OF KAREEM FORMATION IN EL-MORGAN OIL FIELD ON OIL RECOVERY BY ALKALINE WATERFLOODING

Dr. A. A. ABDEL-WALY *

ABSTRACT

Shale content is a major factor in the overall recovery efficiency within a reservoir due to the large surface area and the highly reactive ionic characteristics of the clay particles.

In this work the efforts were devoted to study the effect of shale content on the enhanced oil recovery of Kareem crude oil by alkaline solution. Kaolinite is the most abundant clay within the mudstone of Kareem formation and has been used as clay dispersion into the laboratory prepared sandpacks. The acidity, interfacial tension and contact angle of Kareem crude oil were investigated.

The present study is concerned with the effect of alkaline slug concentration, slug size, varying shale content and alkaline type on oil recovery. It was found out that Kareem crude oil is highly acidic (2.7 mg koh/g). The interfacial tension between crude oil and sea water decreases with increasing alkaline concentration until it reaches a minimum at 6% by wt. NaOH concentration, after which no change in interfacial tension was observed with further increase in alkaline concentration. It was found also that Sodium hydroxide showed a greater reduction in interfacial tension than the other hydroxides. Contact angle measurements indicated oil-wetting condition which increased by increase in the shale content. At 2% by weight NaOH and 20 % pv slug size, oil recovery decreased with increasing of shale content, until it reached the least value at the actual shale content of Kareem formation which is 4% by weight. It was also found out that sodium hydroxide and sodium silicate produced significant higher recoveries than did potassium hydroxide and sodium carbonate at the same conditions of temperature, shale content, slug size, and at equal equivalent weight percentage of NaOH.

INTRODUCTION

Alkaline oil recovery has been attributed to oil /alkaline interaction called "emulsification" and to alkali/rock interaction called "wettability alteration". Each mechanism requires somewhat different initial conditions with respect to reservoir oil, rock, and injected water properties, and each process is designed to improve oil recovery in a somewhat different manner.

Shale content is a major factor in the overall recovery efficiency within a reservoir due to the large surface area and highly reactive ionic characteristics of the clay particles. The presence of a comparatively small percentage of clay by weight will have very little effect in reducing the porosity, but, it may have a great effect on the reduction of permeability.

El-Morgan oil field was discovered in February, 1965, and put on production in April, 1967. The field center is located at about 15 km. north of El-Tor city, 40 km. south east of Ras-Gharib and 20 km. from Ras-Shukheir (figure 1). El-Morgan oil field produces oil from two reservoir rocks of miocene age. The upper reservoir is the belayim formation, and the lower one is the major Kareem formation. The two reservoirs are mainly composed of sands interbedded with shales. Kaolinite is the most abundant clay within Kareem formation.

Therefore, it is important to investigate recovery behavior of alkaline flooding at varying percentages of shale content. The experimental work in this study was carried out in order to achieve this objective.

$$Q_h = \frac{141.203 k_o (P_f - P_w)}{\mu_o \beta_o (\ln(2/L(a + \sqrt{a^2 + (L/2)^2}))} + \frac{141.203 k_o (P_f - P_w)}{\mu_o \beta_o ((h/L)(\ln(h/2r_w)))} \dots\dots\dots (9)$$

$$\sigma_r = \frac{1}{2}(\sigma_x + \sigma_y)(1 - k^2) + \frac{1}{2}(\sigma_x + \sigma_y)(1 + 3k^4 - 4k^2) \cos 2\theta + \tau_{xy}(1 + 3k^4 - 4k^2) \sin 2\theta + k^2 P_w \dots\dots\dots (A1)$$

$$\sigma_\theta = \frac{1}{2}(\sigma_x + \sigma_y)(1 + k^2) - \frac{1}{2}(\sigma_x + \sigma_y)(1 + 3k^4) \cos 2\theta + \tau_{xy}(1 + 3k^4) \sin 2\theta - k^2 P_w \dots\dots\dots (A2)$$

$$\sigma_z = \sigma_{zz} - 2\mu(\sigma_x + \sigma_y)k^2 \cos 2\theta - 4\mu\tau_{xy}k^2 \sin 2\theta \dots\dots\dots (A3)$$

$$\tau_{r\theta} = \frac{1}{2}(\sigma_x - \sigma_y) \sin 2\theta + \tau_{xy} \cos 2\theta (1 - 3k^4 + 2k^2) \dots\dots\dots (A4)$$

$$\tau_{rz} = (\tau_{xy} \cos \theta + \tau_{yz} \sin \theta)(1 - k^2) \dots\dots (A5)$$

$$\tau_{\theta z} = (-\tau_{xz} \sin \theta + \tau_{yz} \cos \theta)(1 + k^2) \dots\dots (A6)$$

$$\sigma_x' = (\sigma_x \cos^2 \phi + \sigma_y \sin^2 \phi) \cos^2 \alpha + \sigma_z \sin^2 \alpha \dots\dots\dots (A7)$$

$$\sigma_y' = \sigma_x \sin^2 \phi + \sigma_y \cos^2 \phi \dots\dots\dots (A8)$$

$$\sigma_z' = (\sigma_x \cos^2 \phi + \sigma_y \sin^2 \phi) \sin^2 \alpha + \sigma_z \cos^2 \alpha \dots\dots\dots (A9)$$

$$\tau_{xy}' = \frac{1}{2}(\sigma_y - \sigma_x) \sin(2\phi) \cos^2 \alpha \dots\dots\dots (A10)$$

$$\tau_{yz}' = \frac{1}{2}(\sigma_y - \sigma_x) \sin(2\phi) \cos \alpha \dots\dots\dots (A11)$$

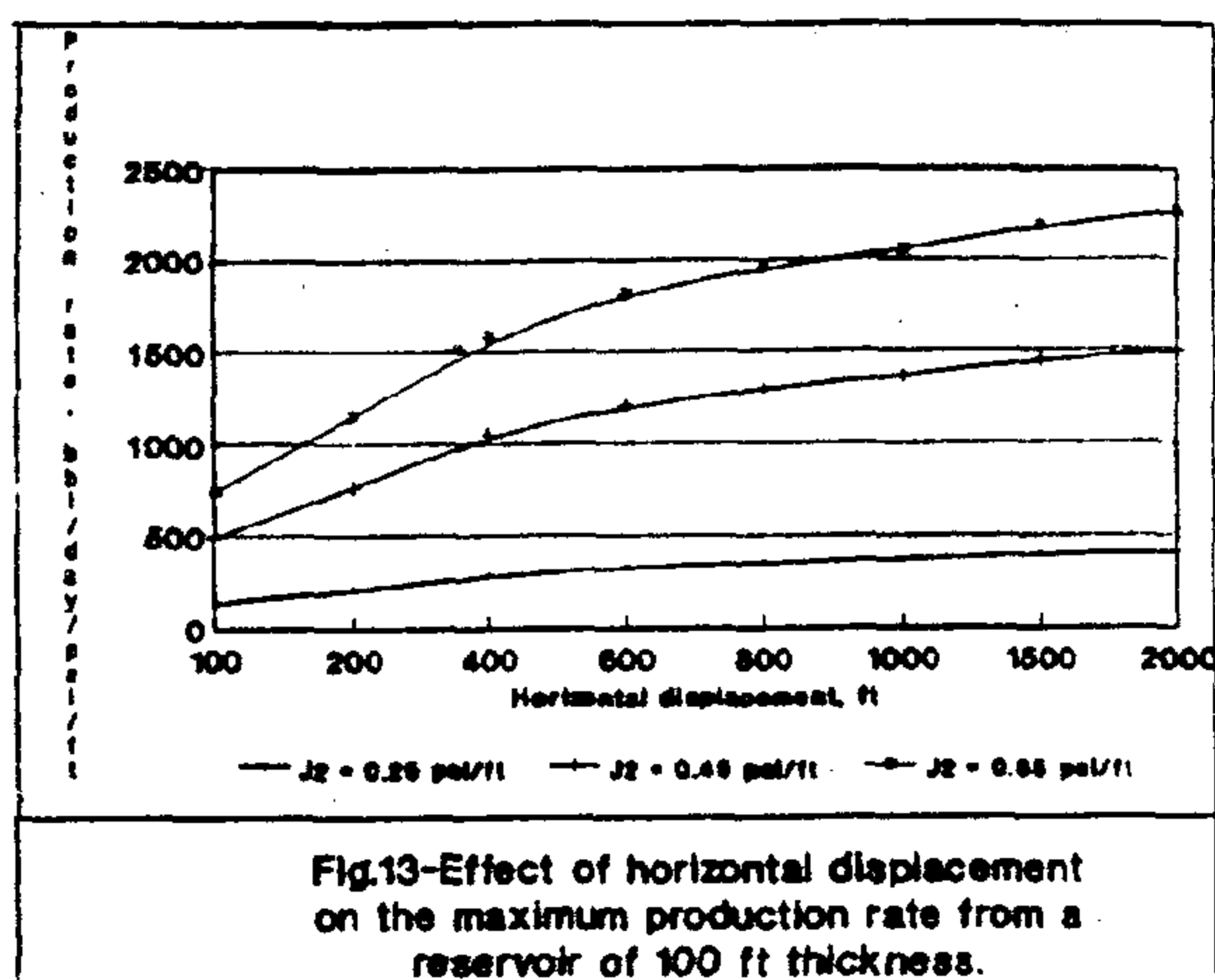
$$\tau_{xz}' = \frac{1}{2}(\sigma_x \cos^2 \phi + \sigma_y \sin^2 \phi - \sigma_z) \sin^2 \alpha \dots\dots (A12)$$

$$\sigma_z = 1.0 \text{ psi/ft}$$

$$\sigma_y = \sigma_x = \mu/(1 - \mu) \sigma_z$$

$$\phi = \text{zero}$$

$$\alpha = 90^\circ$$



NOMENCLATURES

k_o	= reservoir permeability.
β_o	= formation volume factor.
μ_o	= fluid viscosity.
a	= constant.
k	= ratio of well radius to any other radius from well center.
L	= horizontal displacement.
r_w	= well radius.
h	= reservoir thickness.
r_{eh}	= hydraulic drainage radius of the ellipse.
Q_1	= production rate in a horizontal plan.
Q_2	= production rate in a vertical plan.
Q_h	= production rate from a horizontal well.
P_f	= formation pressure = reservoir pressure.
P_w	= bottom hole pressure.
J_2	= second deviatoric stress = deviatoric shear stress.
J_1	= first deviatoric stress.
$\sigma_{1,2,3}$	= principle stresses.
σ_x	= in-situ stress in x direction.
σ_y	= in-situ stress in y direction.
σ_z	= in-situ stress in z direction.
τ_{xy}	= in-situ shear stress in x and y plan.
σ_r	= principle radial stress.
σ_θ	= principle tangential stress.
σ_z	= principle axial stress.
$\tau_{r\theta}$	= shear stress in radial and tangential plan.
τ_{rz}	= shear stress in radial and axial plan.
$\tau_{\theta z}$	= shear stress in tangential and axial plan.
μ	= Poisson's ratio of the reservoir rock.
α	= rotation angle around x axis.
ϕ	= rotation angle around z axis.

Appendix

Stresses around a horizontal wellbore

The stresses around a vertical wellbore (σ_r , σ_θ , and σ_z) are given in the following equations as a function of in-situ stresses (σ_x , σ_y , and σ_z), the radial distance away from the wellbore, and the radial angle (θ). These equations assume that the model is linearly elastic and isotropic, and the solution is based on plane strain conditions.

$$Q_1 = \frac{2 \pi k_o (P_f - P_w)}{\mu_o \beta_o \ln(2/L(a + \sqrt{a^2 + (L/2)^2}))} \dots\dots(1)$$

Where a is expressed as:

$$a = (L/2) \left(\sqrt{1 + 1/(0.5L/r_{eh})^4} \right)^{1/2} \dots(2)$$

$$Q_2 = \frac{2 \pi k_o (P_f - P_w)}{\mu_o \beta_o (h/L) (\ln(h/2r_w))} \dots\dots(3)$$

$$Q_h = Q_1 + Q_2$$

$$Q_h = \frac{2 \pi k_o (P_f - P_w)}{\mu_o \beta_o (\ln(2/L(a + \sqrt{a^2 + (L/2)^2})))} + \frac{2 \pi k_o (P_f - P_w)}{\mu_o \beta_o ((h/L) (\ln(h/2r_w)))} \dots\dots(4)$$

$$(J_2)^{1/2} = \sqrt{1/6(\sigma_1 - \sigma_2)^2(\sigma_2 - \sigma_3)^2(\sigma_3 - \sigma_1)^2} \dots(5)$$

$$J_1 - P_f = 1/3(\sigma_1 + \sigma_2 + \sigma_3) - P_f \dots\dots(6)$$

$$\sigma_z = \text{overburden stress} = 1.0 \text{ psi/ft} \dots\dots(7)$$

$$\sigma_x = \sigma_y = \text{horizontal stress} = (\mu/(1-\mu)) \sigma_z = 1/3 \text{ psi/ft} \dots\dots(8)$$

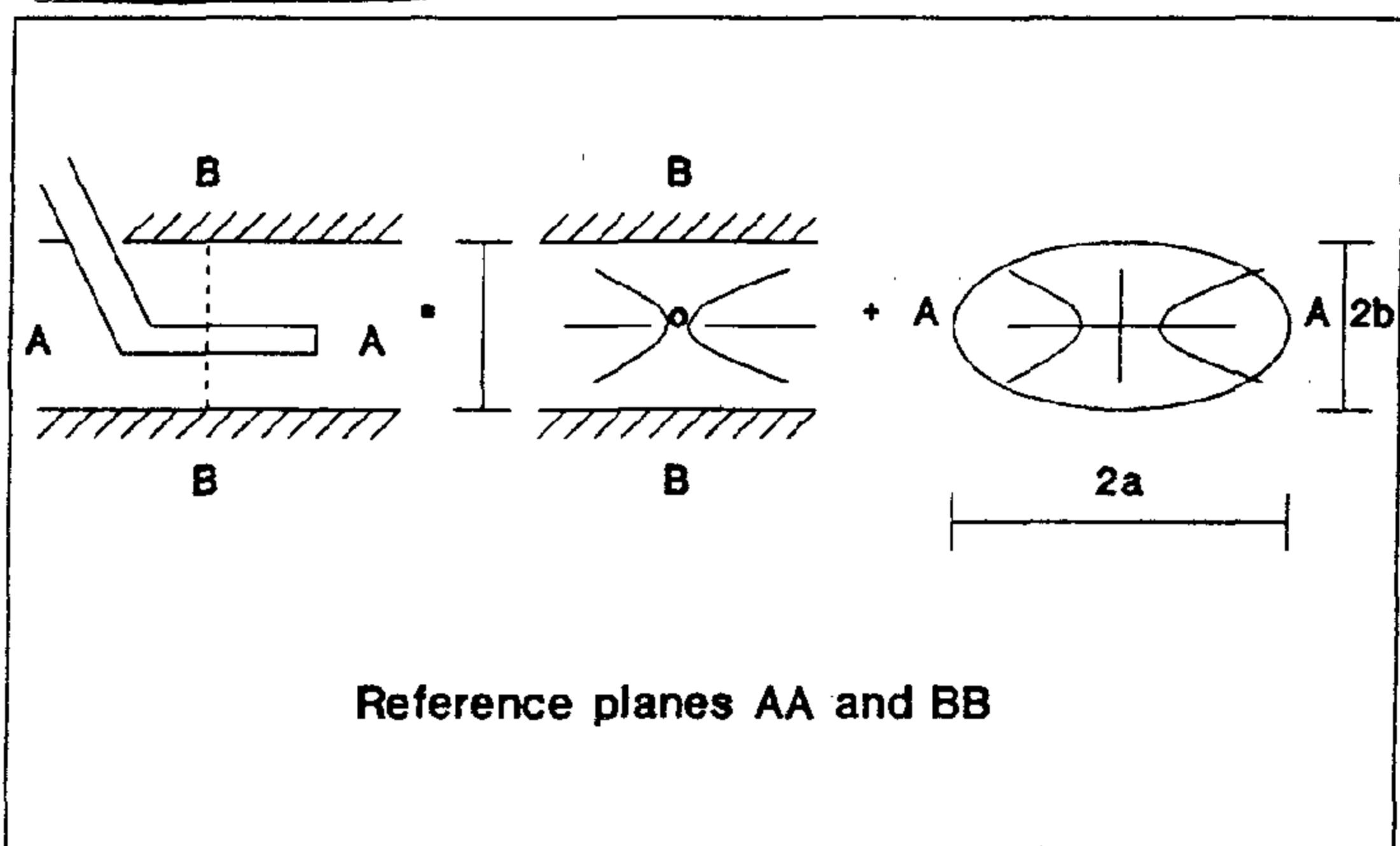
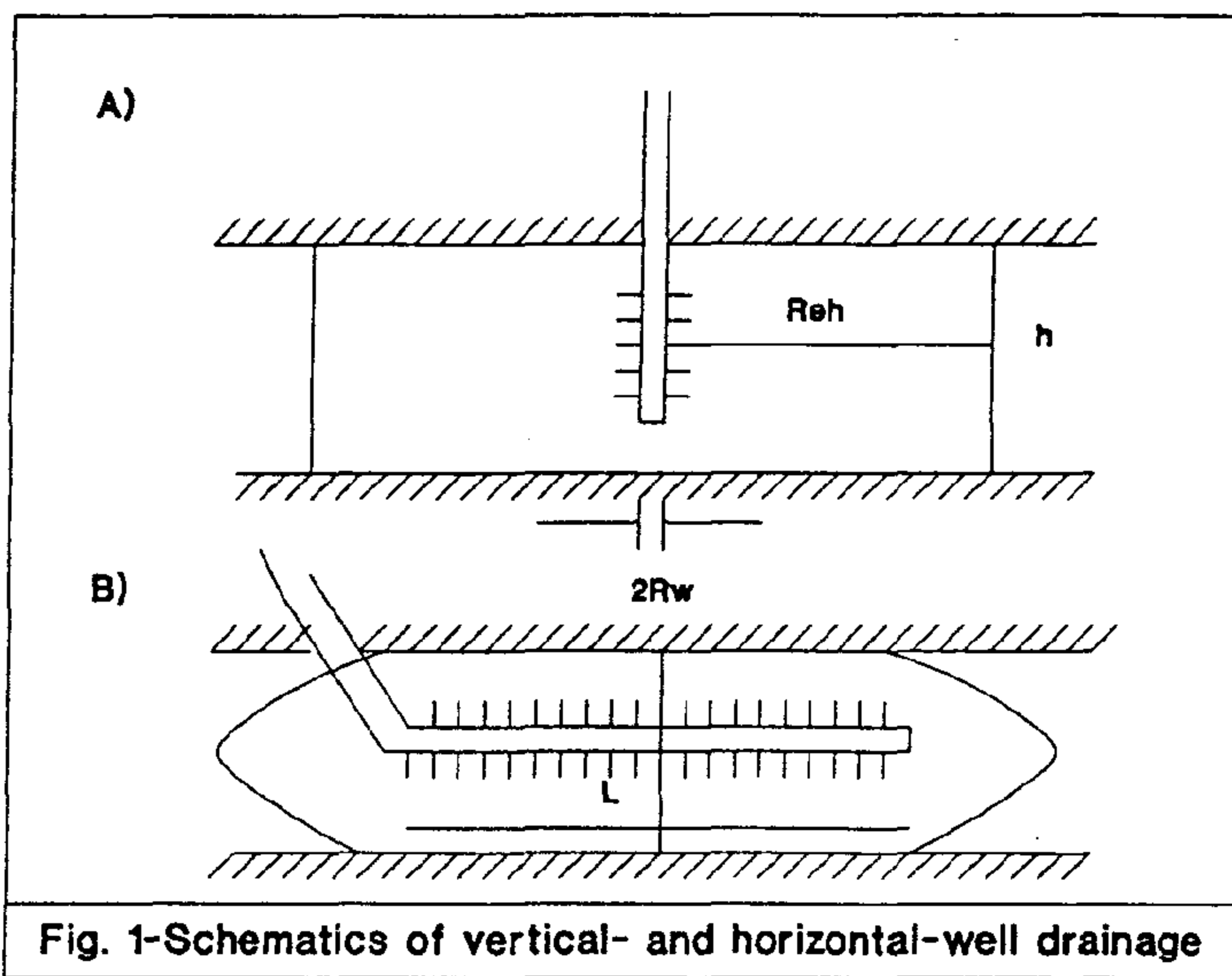
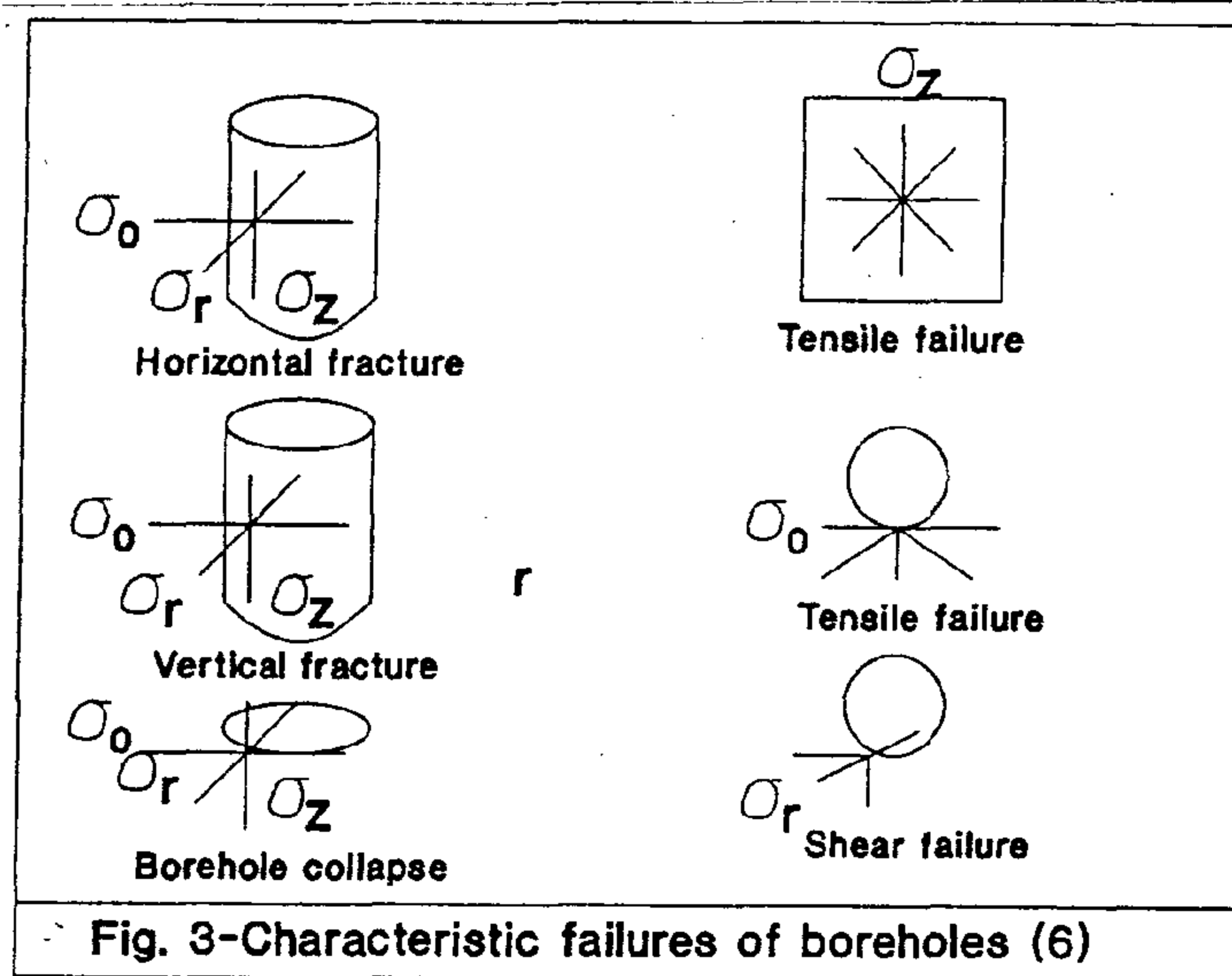


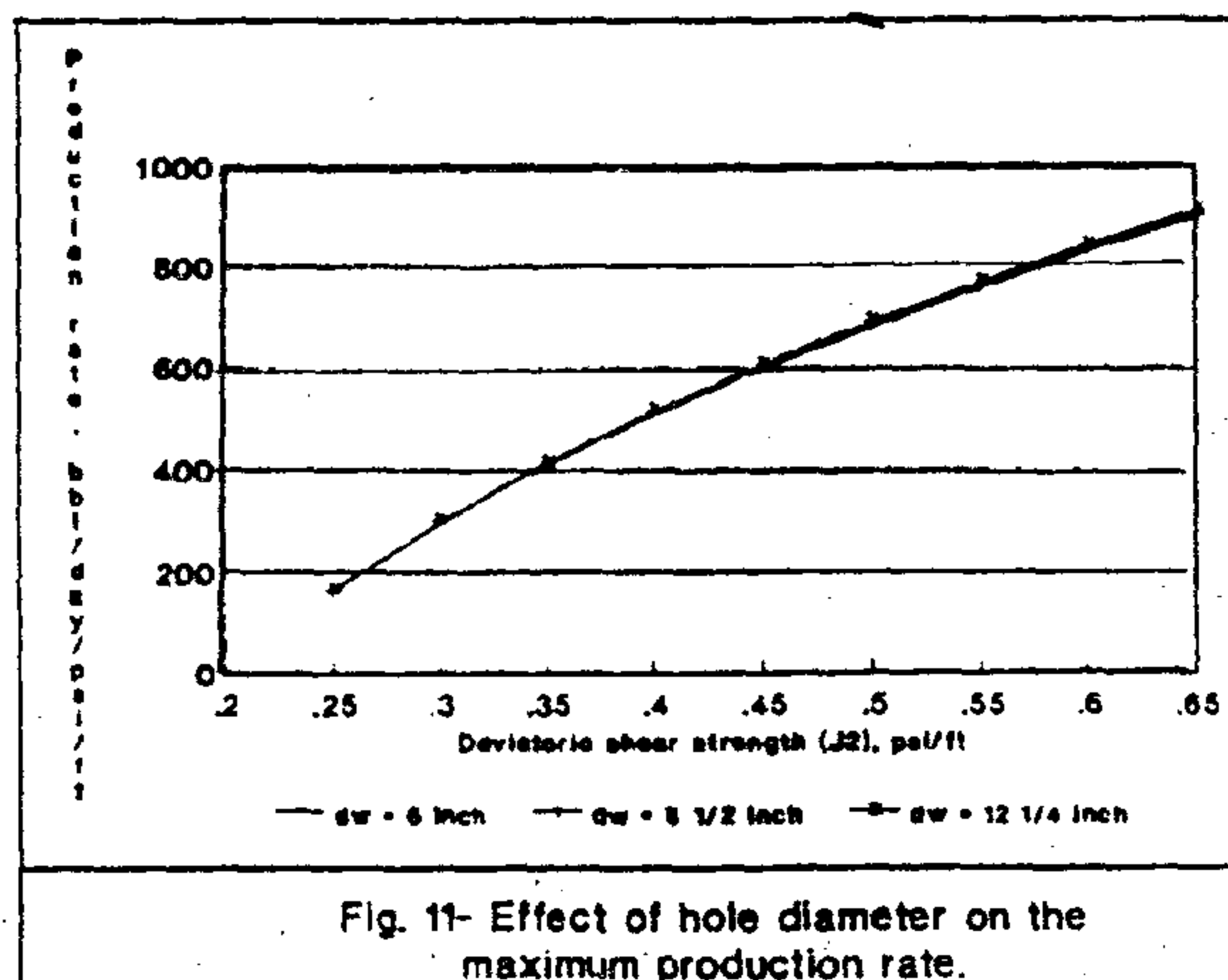
Fig.2-Division of 3D horizontal-well problem into 2D (1)



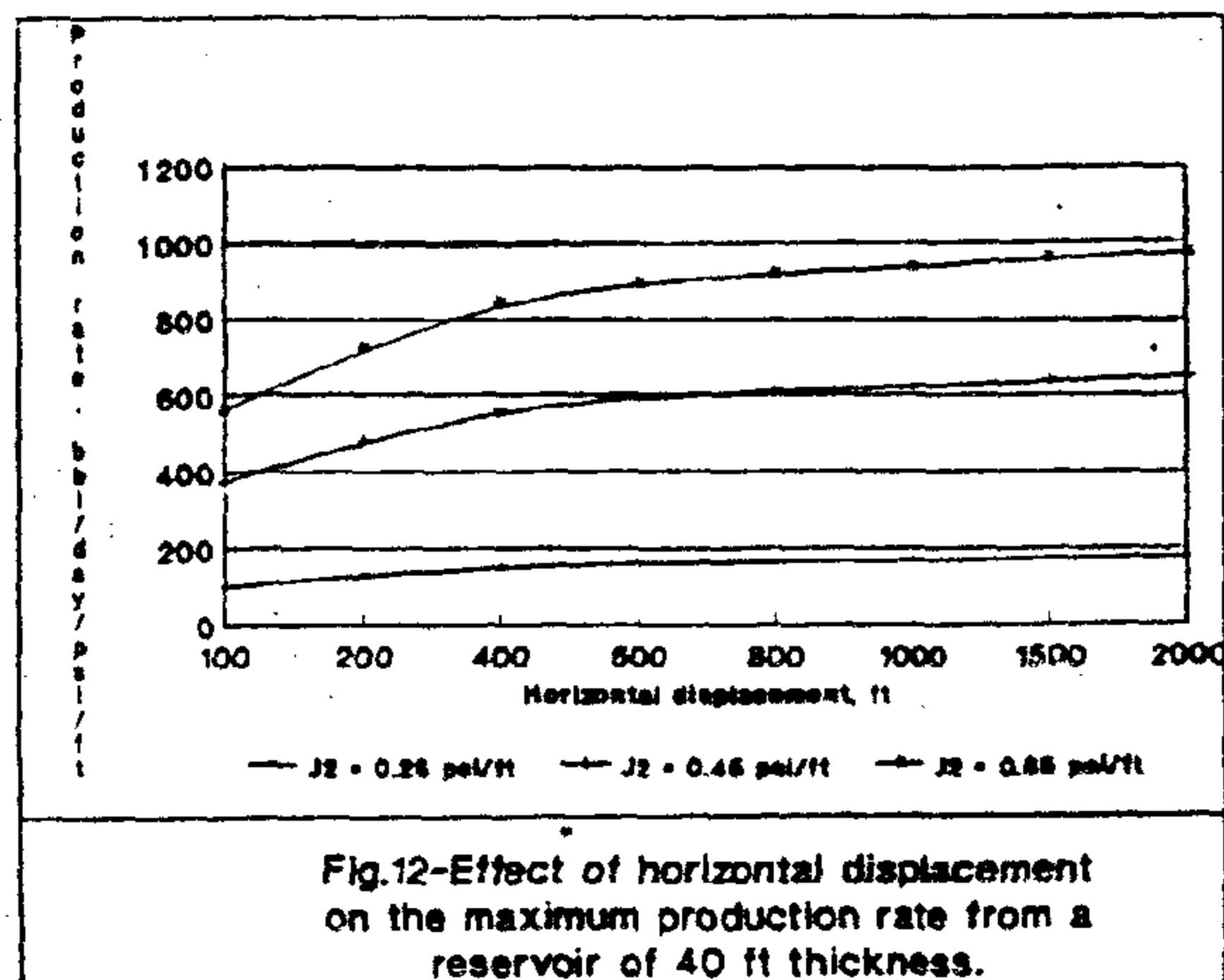
IV- CONCLUSIONS

From the previous analysis and the results obtained, the following conclusions are recommended:

1. The stresses around the horizontal wellbore depend on the overburden pressure as well as the depth of the well and varies from maximum value at the bore hole radius to the value of the in-situ stresses at infinity. They also changes along the perimeter of the well from zero at radial angle equals zero° and 180° to the maximum at 90° and 270°.
2. The bore hole stability depends on the deviatoric shear strength of the rock (J_2) and the pressure draw down applied on the wellbore as well as the formation pressure.
3. Production rate from open hole horizontal well is limited by the pressure drawdown and the deviatoric shear strength of the rock. Virgin reservoirs allow high production rates without sand problems. But depleted reservoirs, depending on the type of the rocks, shall require slotted liners or perforated casing.
4. Open hole horizontal wells can produce oil without sand problems for a certain period of time depending on the pressure decline curves of the reservoir.
5. Before choosing the completion technique, a rock core should be cut and tested in the laboratory under the reservoir conditions to determine the value of the deviatoric shear strength under bore hole condition.



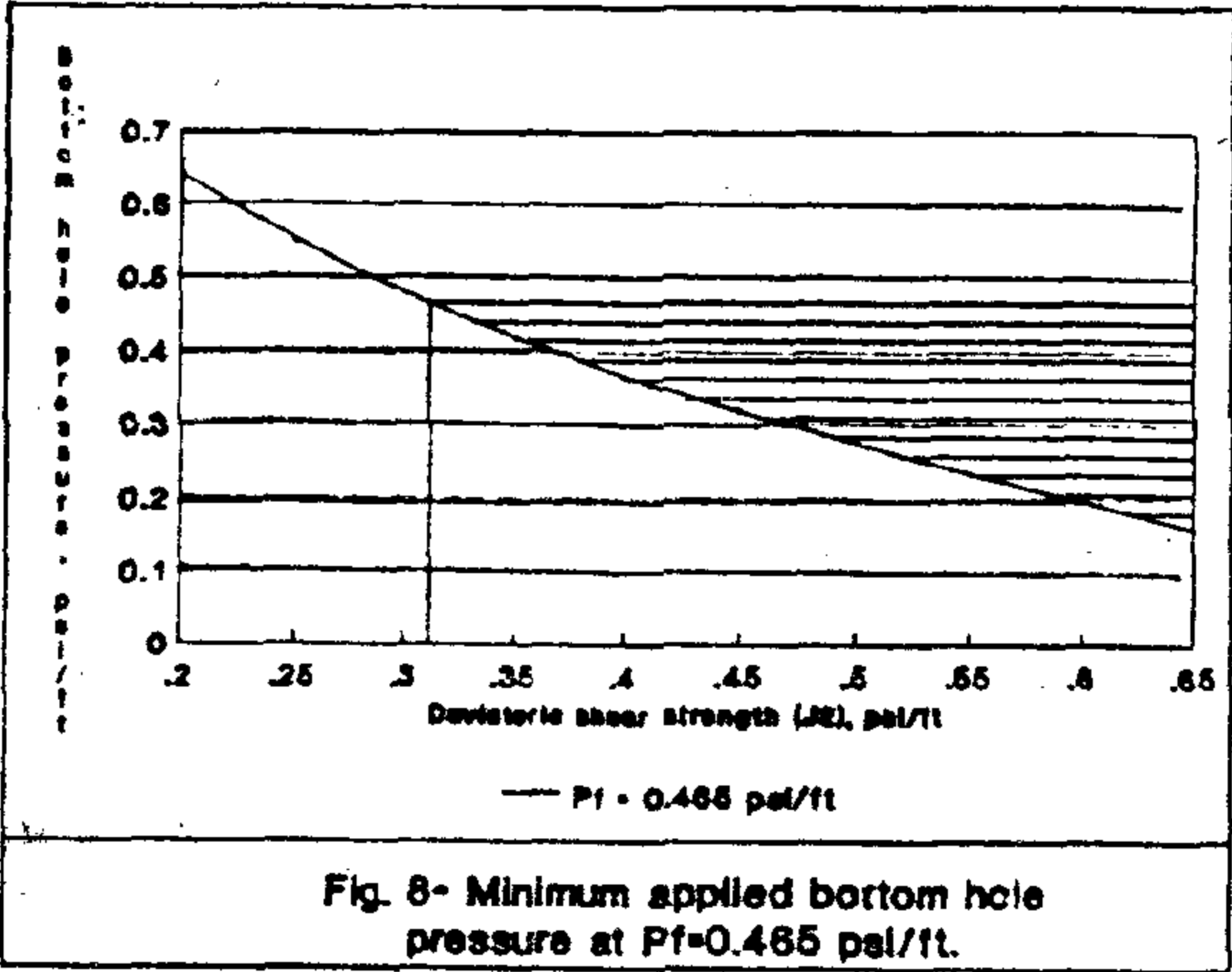
6. The use of pumping technique is limited for oil production from open hole horizontal wells.
7. The hole diameter does not affect the production rate from a horizontal well and should be selected on the basis of hole stability and drilling difficulties. Moreover, horizontal displacement above 600 ft has little effect on the production rate.



REFERENCES

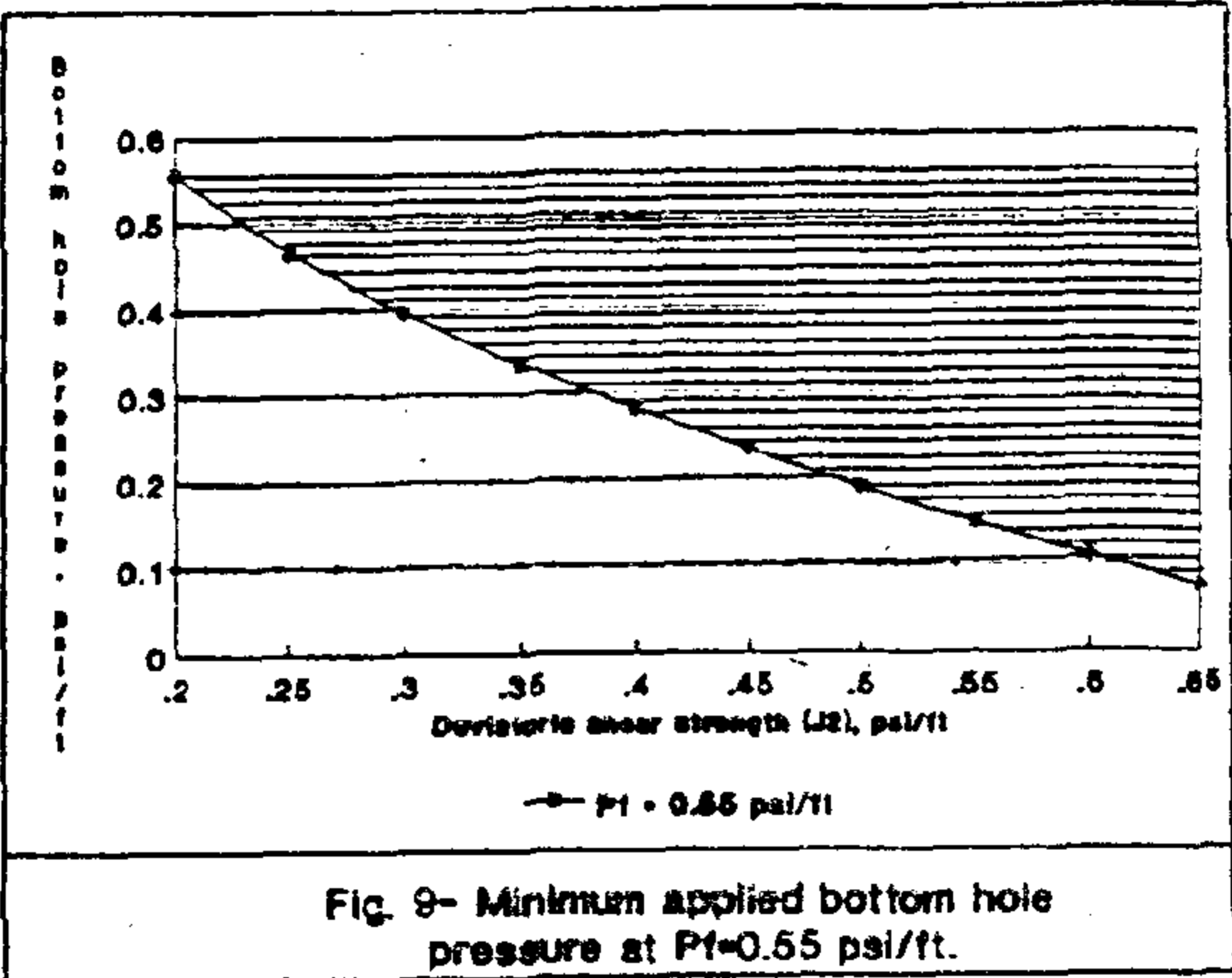
1. Joshi, S.D.: "Augmentation of Well Productivity With Slant and Horizontal Wells," JPT, June 1988, pp 729-739.
2. Borisov, Ju.P.: "Oil Production Using Horizontal and Multiple Deviation Wells," Nerda, Moscow (1964), Translated by J. Strauss, S.D. Joshi (ED), Phillips Petroleum Co., The R&D Library Translation, Bartlesville, OK (1984).
3. Bradley, W.B.: "Mathematical Concept-Stress Cloud Can Predict Borehole Failure," Oil and Gas Journal, Feb. 19, 1979, pp 92-102.
4. Jaeger, J.C. and Cook, N.G.W.: "Fundamentals of Rock Mechanics," Chapman and Hall Ltd, 1969, and Science Paperbacks, 1971, Great Britain.
5. Hottman, C.E.; Smith, J.H. and Prucell, W.R.: "Relationship Among Earth Stresses, Pore Pressure, and Drilling Problems Offshore Gulf of Alaska," JPT, Nov. 1979, pp 1477-1484.
6. Aadnoy, B.S. and Chenevert, M.E: "Stability of Highly Inclined Boreholes," SPE Drilling Engineering, Dec. 1987, pp 364-374.

that has a deviatoric shear strength above 0.2 psi/ft. The production rate from those type of wells increases by increasing the rock strength. When the formation pressure decreases, the production decreases and reaches zero at a deviatoric shear strength higher than 0.2 psi/ft. For example, the production rate from a virgin reservoir of 0.4 psi/ft rock strength is 450 bbl/day/psi/ft while that from a normal reservoir having the same characteristics is 150 bbl/day/psi/ft. In comparison to the depleted reservoir, oil can not be produced from open hole completed well. This change in production rate is attributed to the allowable pressure drawn down the reduction of the in-situ stresses due to formation pressure.

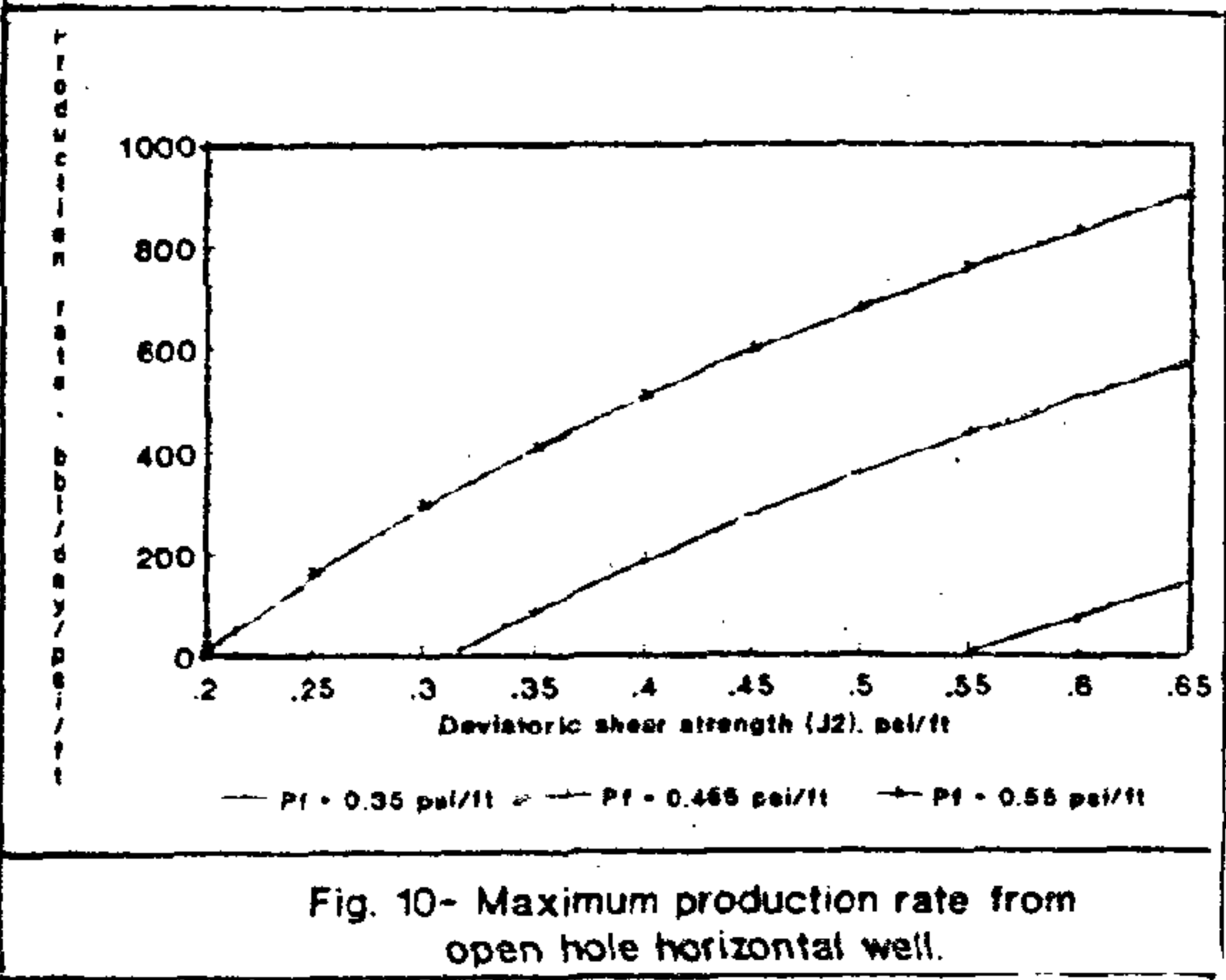


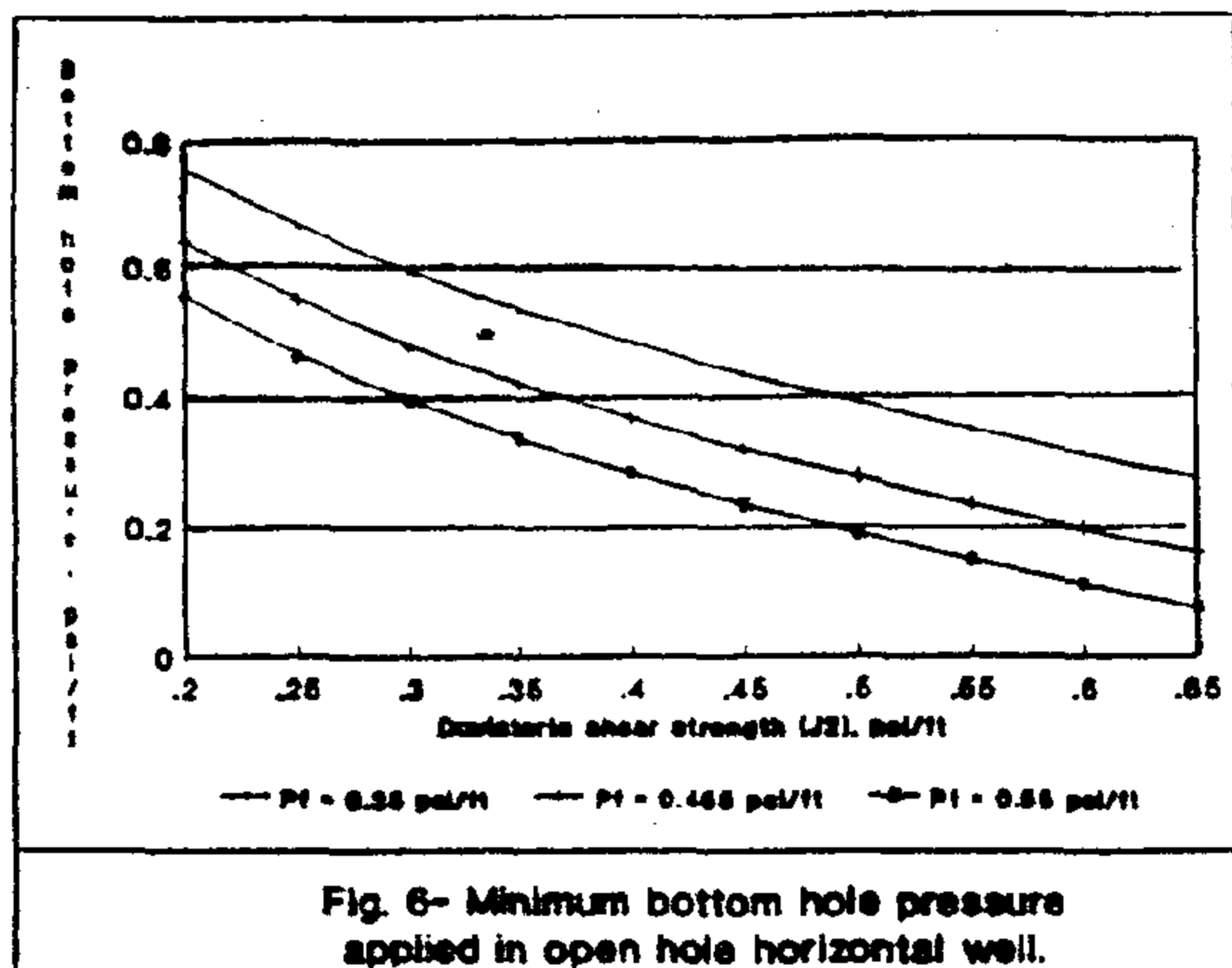
During the life of the well, the formation pressure drops continuously in the absence of pressure maintenance program: gas or water injection. This means that the stresses around the wellbore changes with time and a hole failure as well as sand production can happen after a certain period of time after production begins. Therefore, an open hole completion technique in a horizontal well have to be changed to a slotted liner or cased hole techniques after a certain period of time to enhance oil production. This period depends on the production rate and the pressure decline curve of the reservoir. This of course limits the use pumping technique for oil production from open hole horizontal well.

From the parameters that can also affect the production rate are the hole diameter and the horizontal displacement. The effect of these two parameters is illustrated in Figures 11-13. Figure 11 shows the effect of hole diameter on the



production rate. Three hole sizes are selected for the calculation: 6 inch hole, 8 1/2 inch hole and 12 1/4 inch hole. The results bring out that the hole diameter has no significant effect on the production rate. Therefore, the selection of hole size depends on hole stability and drilling difficulties. The effect of the horizontal displacement is plotted in Figures 11 and 12 for thin (40 ft formation thickness) and thick reservoir (100 ft formation thickness). These figures display that the horizontal displacement affect the production rate till a certain horizontal displacement. For both types of reservoirs, a horizontal displacement of 600 ft is very effective. The increase in the horizontal displacement above this value slightly increases the production rate from thick, high strength reservoir and has no significant effect on that production rate from thin, low strength reservoir. This means that the horizontal displacement should be selected careful to avoid cost increase without increase in production rate.





stress of the rock (J_2) and the formation pressure. The values of the formation pressure are selected for virgin reservoir ($P_f=0.55$ psi/ft), normal reservoir ($P_f=0.465$ psi/ft), and depleted reservoir ($P_f=0.35$ psi/ft). From the figure, it is clear that the bottom hole pressure decreases by increasing either the deviatoric shear stress or the formation pressure. This means that the hard rock allows pressure drawdown greater than the medium or soft one. The formation pressure resists the applied in-situ stresses and increase the rock resistance.

From Figure (6), one finds out that, in most of the cases, the bottom hole pressure is greater than the formation pressure, especially at low values of deviatoric shear stress. This means that the fluid will flow from the wellbore to the formation. To have a real pressure drawdown, a horizontal line is drawn at the value of the corresponding formation pressure, Fig. 7 to 9. The horizontal line and the curve determine the boundary of a real pressure drawdown. From this figure and the boundaries of the area, it can be concluded that a horizontal well drilled in a formation having 0.315 psi/ft deviatoric shear stress and 0.465 psi/ft formation pressure can be completed as open hole. For a depleted reservoir, for example the formation pressure equals 0.35 psi/ft, the well can not be completed as open hole because applying any pressure drawdown will cause borehole collapse.

The maximum Production Rate

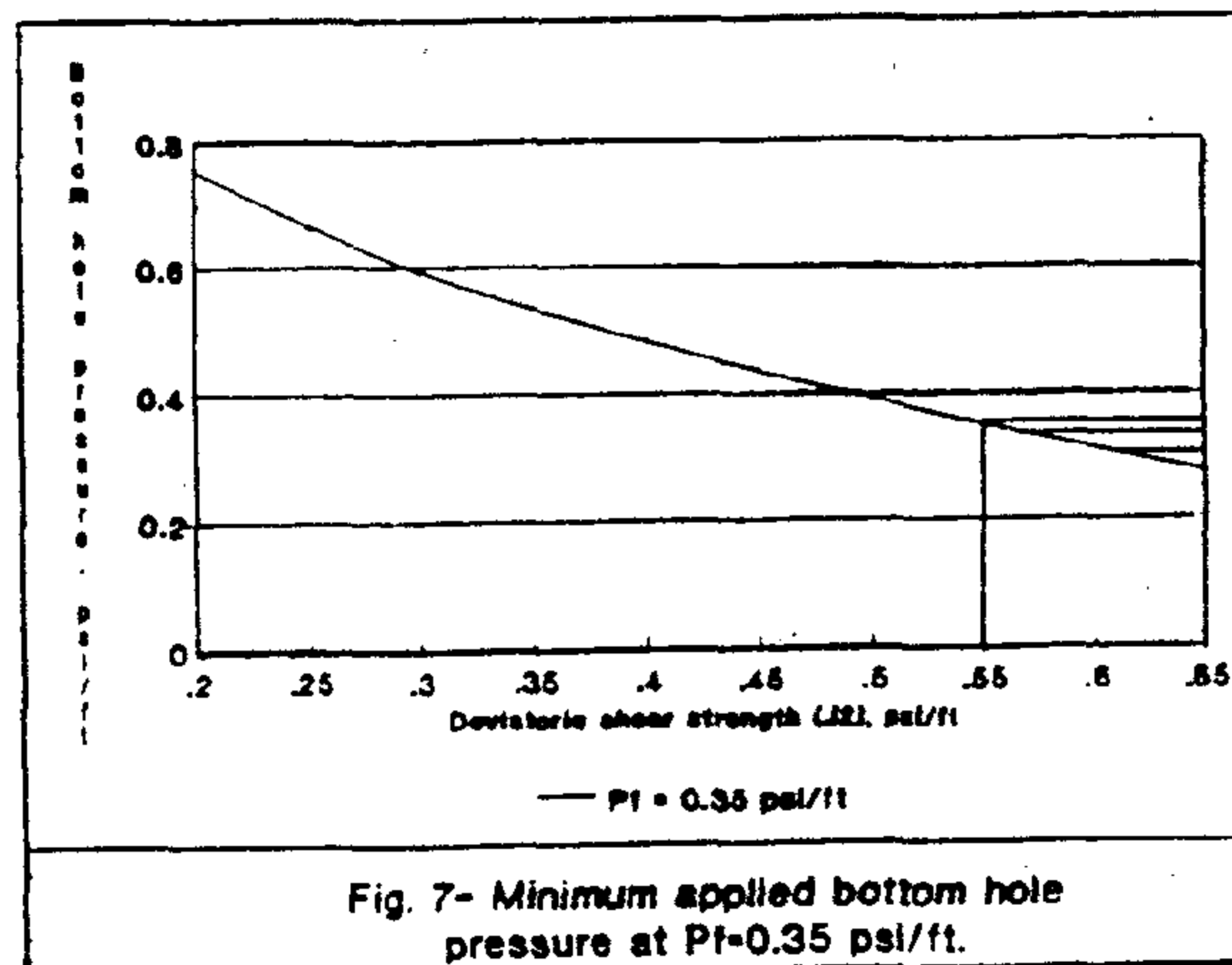
The maximum production rate from open hole horizontal well depends on the pressure drawdown and consequently on bore hole stability. Using equation (3) and applying oil field units, the production rate can be expressed as follows:

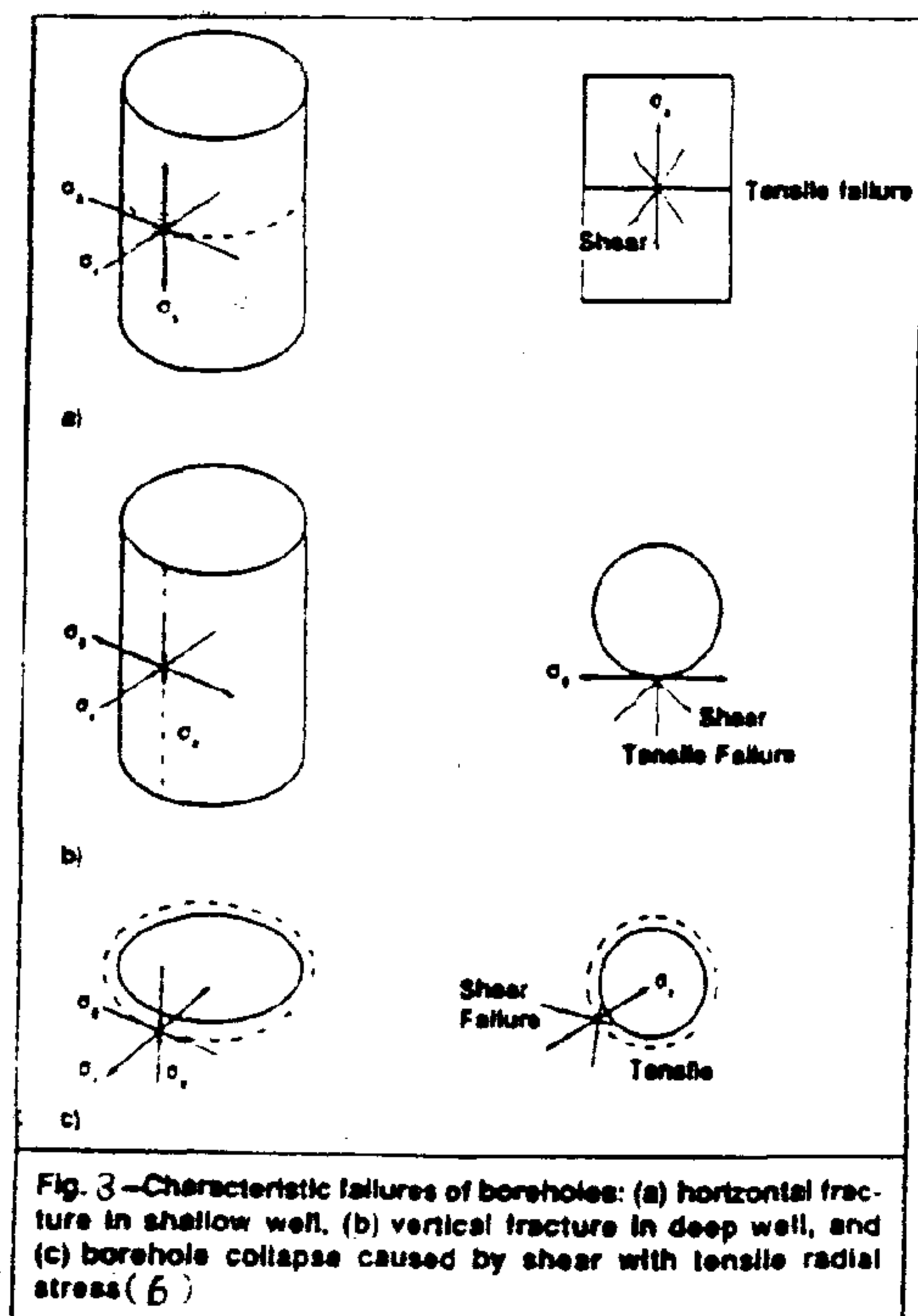
$$q_h = \frac{141.203 k_o (P_f - P_w)}{\mu_o \beta_o (\ln(2/L(a + \sqrt{a^2 + (L/2)^2}))} + \frac{141.203 k_o (P_f - P_w)}{\mu_o \beta_o ((h/L)(\ln(h/2r_w)))} \quad (9)$$

According to the previous analysis, the pressure drawdown affects the bore hole stability and depends mainly on the rock properties. By using the results obtained in Fig. (6), the maximum production rate, equation (9), is calculated as a function of the deviatoric shear strength of the rock and the formation pressure. The results are plotted in Fig.(10) where the maximum production rate from open hole horizontal well having 600 feet horizontal displacement and 6 inch hole diameter is calculated. The reservoir and fluid properties are assumed as follows:

Reservoir thickness = 40 feet
 Reservoir permeability = 20 md
 Viscosity of reservoir fluid = 10 cp
 Formation volume factor = 1.05 bbl/STB

The calculations cover three types of reservoirs: virgin reservoir having a formation pressure gradient of 0.55 psi/ft; normal reservoir where the formation pressure gradient is 0.465 psi/ft, and depleted reservoir having a formation pressure gradient of 0.35 psi/ft. From Figs. (10-12), it is clear that oil can be produced from an open hole horizontal well drilled in the virgin reservoir

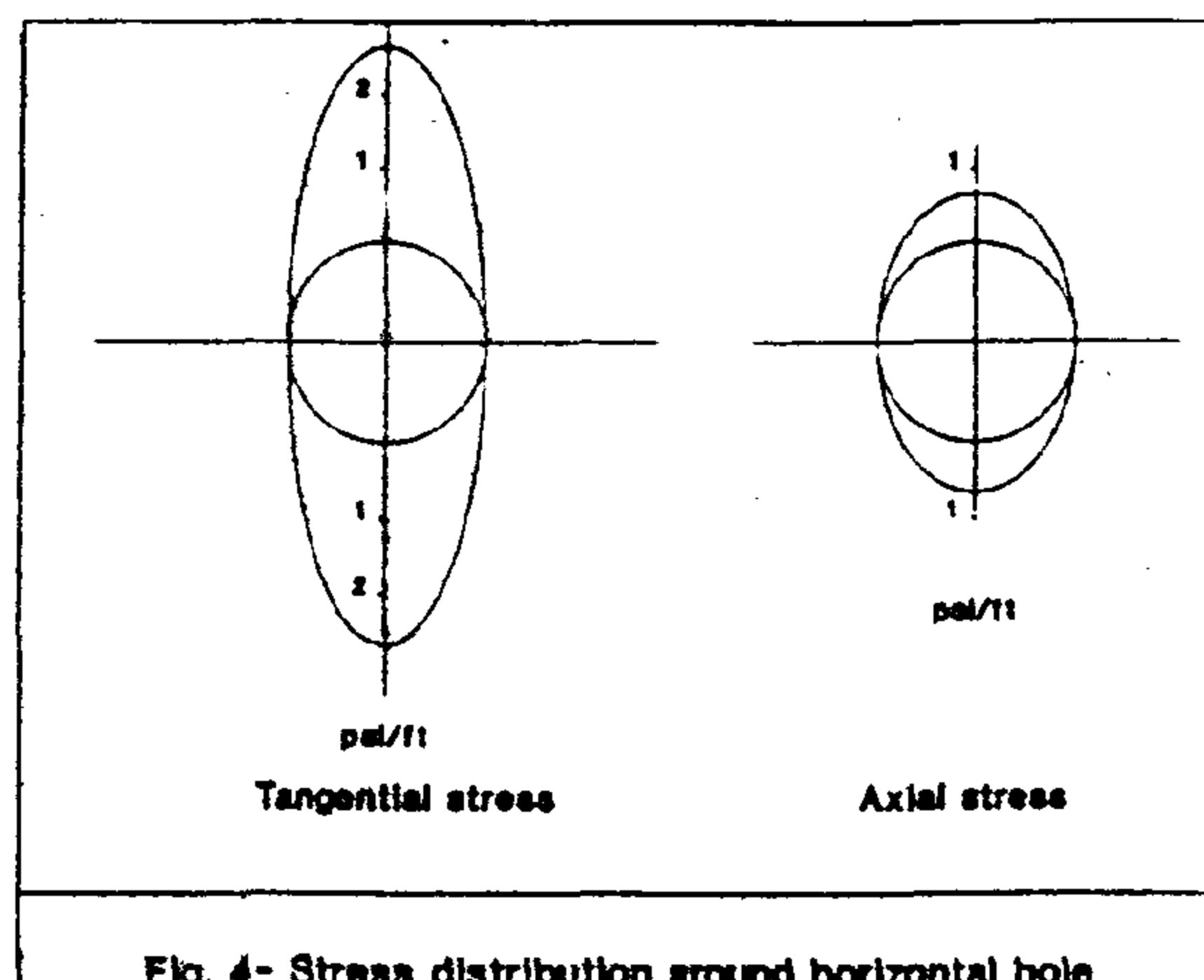




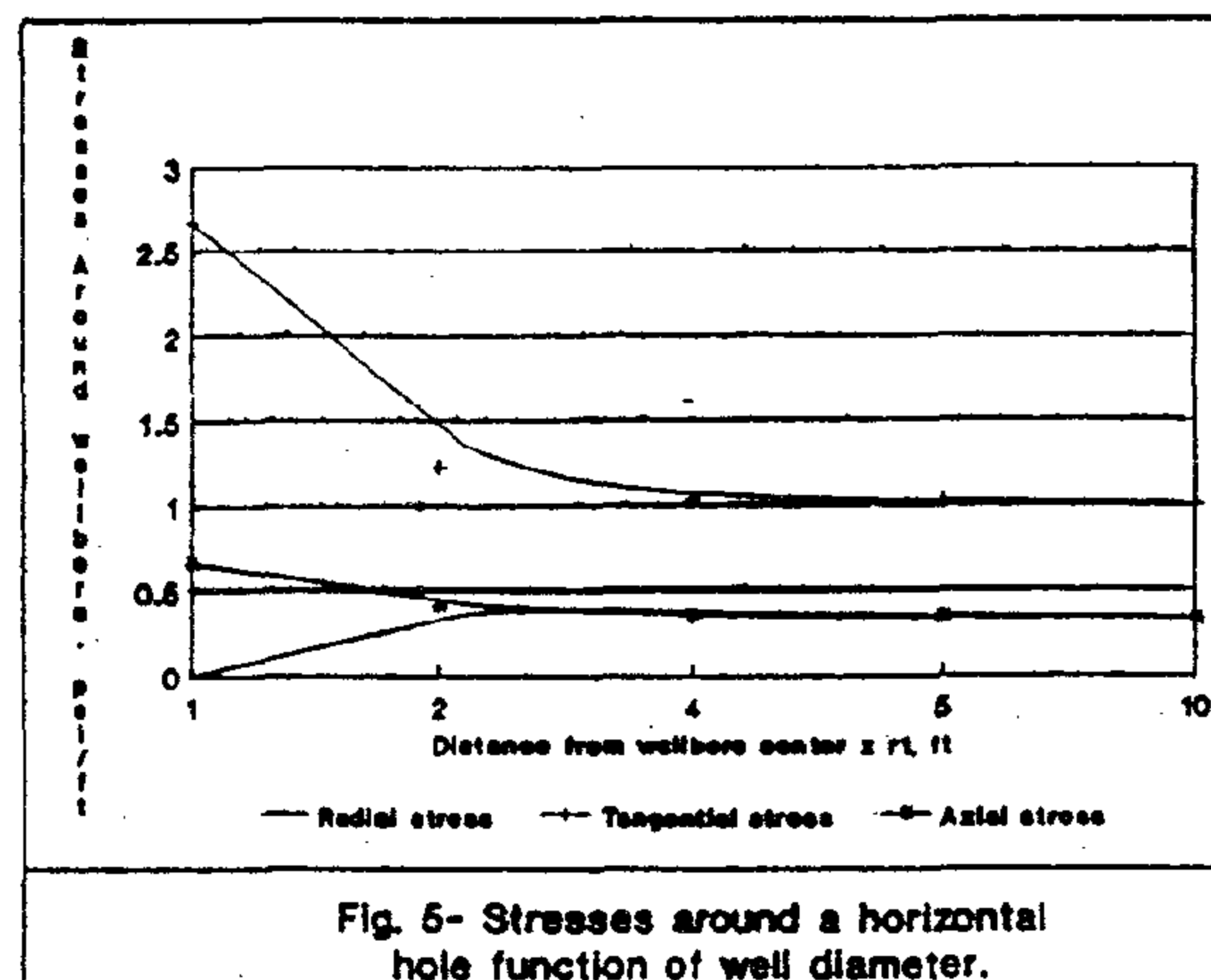
development of the expressions of the stress tensors is given in the appendix.

The results of these analysis are shown in Figures (4-8). The stresses at the wall of the hole as a function of the radial angle (θ) are plotted in Figure (4). The values of both the tangential stress and axial stress are plotted, assuming the bottom hole pressure is zero. The plot shows that tangential stress is the major induced principle stress and changes between zero, at radial angle (θ) equals zero or 180° , and 2.7 psi/ft, at θ is 90° or 270° . The axial stress lies between 0.045 psi/ft and 0.7 psi/ft at the same radial angles. This distribution displays that the maximum stresses are concentrated at a line parallel to the axis of the well at radial angle 90° and 270° which means the top and bottom of the well. These lines present the points at which the failure starts.

The analysis is also devoted to the stress distribution away from the wellbore. Figure (5) presents the principle stresses (tangential, radial and axial stresses) as a function of borehole radius. The tangential stress decreases drastically at a distance equal one borehole radius and slightly at a distance greater than this value. As the radius increases, the tangential stress tends to be close to 1.0 psi/ft which is the value of the in-situ overburden stress. The axial stress follows the same phenomenon and decreases from 0.667 psi/ft



to 0.3333 psi/ft, a value equals to the value of the in-situ horizontal stress. Contrary to the tangential and axial stresses, the radial stress increases from zero to 0.333 psi/ft which also is the same value of in-situ horizontal stress. The curve shows that the major change in stresses results after drilling a hole occurs in a cylinder of one borehole radius around the well. The thickness of the cylinder increases by increasing the well radius. This means that increasing the well radius help increase the extension of the high stress cylinder which tend to cause borehole failure.



Borehole Stability or Failure

The stability of the borehole will depend on the borehole collapse which in turn is due to pressure drawdown and formed as a result of shear failure. By applying Von Mises Criterion, Equation (4), and using the expressions of the principle stresses, equations A1 to A6 in the appendix, the bottom hole pressure applied at the point of failure can be calculated. Figure 6 demonstrates the bottom hole pressure as a function of the deviatoric shear

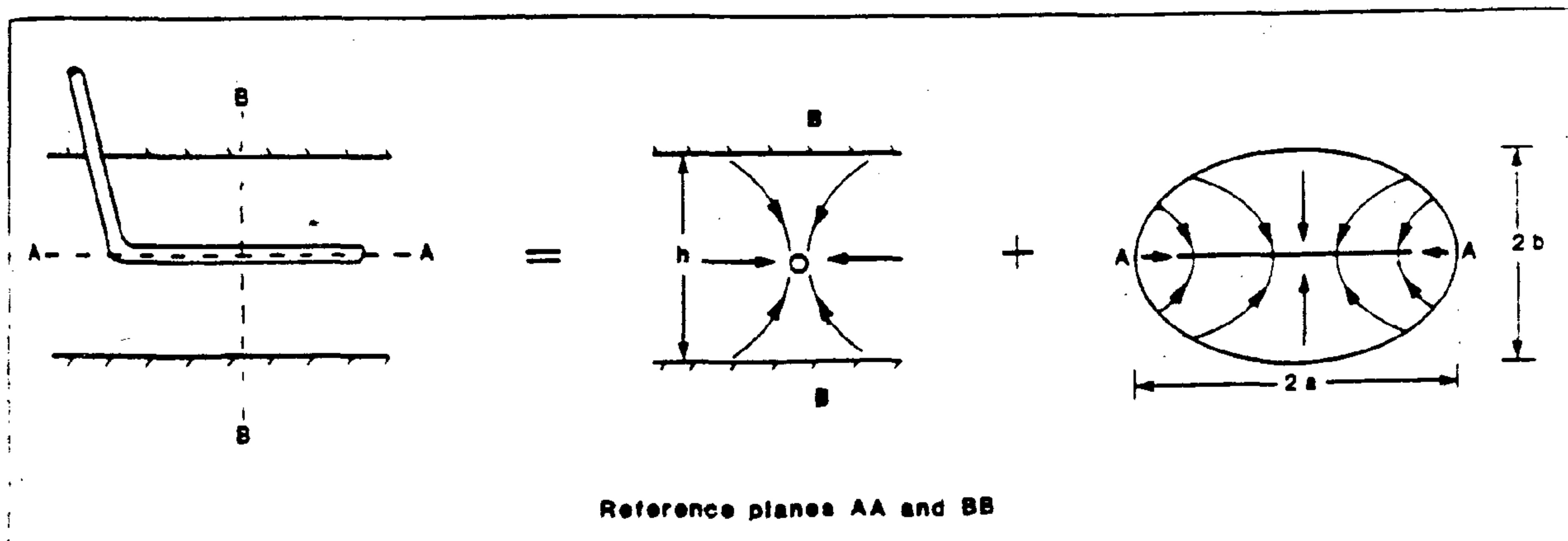


Fig. 2—Division of 3D horizontal-well problem into two 2D problems. (1)

strong enough, the borehole will fail. The failure depends on the type of stresses and the rock characteristics and, as was mentioned before, can be classified as borehole fracturing and borehole collapse. The main mechanism of borehole fracturing is tensile failure. For borehole collapse, the failure may be caused partly by tensile, but will be caused mainly by shear stress effects. Aadnoy [6] illustrated this idea as in Figure (3). The borehole collapse is shown in Figure (3c) which is a typical pressure drawdown problem. In this case, both the axial and radial stresses are compressive, while the tangential stress goes tensile. The presence of the compressive stresses results in a tension failure around the circumference of the wellbore. The tensile radial stress aids the shear stresses in releasing pieces of rock from the wellbore. If the wellbore pressure is lower than the formation pressure, the flow of formation fluid into the wellbore will wash the released pieces from the wall to the wellbore resulting in solid production with formation fluid.

According to the theory of elasticity, many shear failure theories have been proposed throughout the years. Bradley (3) discussed these theories and stated that the shear failure of the wellbore is influenced by the principle stresses initiated around the wall of well. This failure can be expressed by Von Mises Yield Criteria which is given as:

$$(J_2)^{1/2} = \sqrt{1/6(\sigma_1 - \sigma_2)^2 + (\sigma_2 - \sigma_3)^2 + (\sigma_3 - \sigma_1)^2} \dots (5)$$

$$J_1 - P_f = 1/3(\sigma_1 + \sigma_2 + \sigma_3) - P_f \dots (6)$$

Equation (5) represents the second deviatoric stress invariant, which can be plotted against the normal (first) effective stress invariant, equation 6. The plot gives a typical envelope failure of the rock under consideration, from which the second deviatoric stress invariant of the rock at the specified borehole conditions can be determined.

For the analysis used in this work, the value of the deviatoric stress invariant is assumed and the principle stresses σ_1 , σ_2 and σ_3 are calculated as function of the borehole pressure and the formation pressure, as was shown in the appendix. By substituting the value of the principle stresses, equations A1 to A6 in the appendix, the value of the bottom hole pressure that causes borehole collapse is calculated as a function of the second deviatoric stress invariant of the rock (J_2).

III- RESULTS AND DISCUSSIONS

As previously mentioned, borehole collapse is the main problem of pressure drawdown and results in shear failure. Taking the value of overburden stress equals to 1.0 psi/ft and the Poisson's ratio of the rock is 0.25, the in-situ stresses can be calculated as follows:

$$\begin{aligned} \sigma_z &= \text{overburden stress} \\ &= 1.0 \text{ psi/ft} \dots (7) \end{aligned}$$

$$\begin{aligned} \sigma_x = \sigma_y &= \text{horizontal stress} \\ &= (\mu/(1-\mu)) \sigma_z \\ &= 1/3 \text{ psi/ft} \dots (8) \end{aligned}$$

By transferring the cartesian coordinates to polar coordinates and rotating the axis the horizontal plan, the induced stress can be calculated. The

11- MATHEMATICAL CONSIDERATIONS

Productivity of a horizontal well was discussed first by Borisov (2) in 1964 who reported only a theoretical equation to calculate a steady-state oil production from a horizontal well. The most recent work on horizontal well productivity was done by Joshi [1]. This paper introduced a model for horizontal well converted from 3-dimensions to 2-dimensions, Figs (1 and 2). This model shows that the production from a horizontal well follows an ellipsoid drainage mechanism. The mechanism of flow can be divided into (1) oil flow into a horizontal well in a horizontal plan and (2) oil flow into a horizontal well in a vertical plan. According to the published analysis, the production rate in a horizontal plan for isotropic formation is:

$$Q_1 = \frac{2 \pi k_o (P_f - P_w)}{\mu_o \beta_o \ln(2/L(a + \sqrt{a^2 + (L/2)^2}))} \dots\dots\dots(1)$$

Where a is expressed as:

$$a = (L/2) \left(\frac{1}{2} + \left(\frac{1}{(0.5L/r_{eh})^4} \right) \right)^{1/2} \dots\dots\dots(2)$$

And the production rate in the vertical plan can be expressed by:

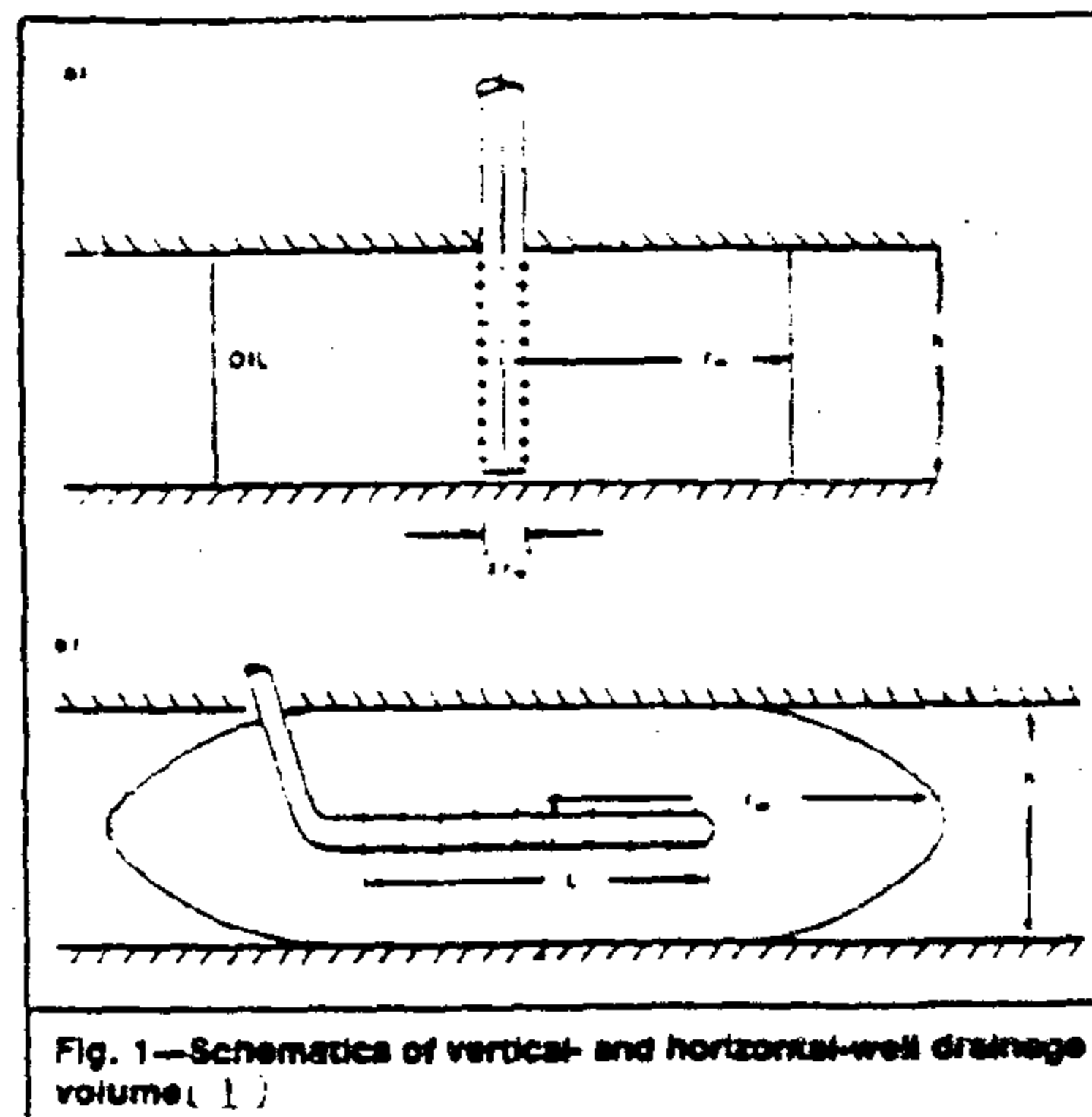
$$Q_2 = \frac{2 \pi k_o (P_f - P_w)}{\mu_o \beta_o (h/L) (\ln(h/2r_w))} \dots\dots\dots(3)$$

As a result of combining the previous equations, the production rate from a horizontal well is given by:

$$Q_h = Q_1 + Q_2$$

$$Q_h = \frac{2 \pi k_o (P_f - P_w)}{\mu_o \beta_o (\ln(2/L(a + \sqrt{a^2 + (L/2)^2})) + \frac{2 \pi k_o (P_f - P_w)}{\mu_o \beta_o ((h/L) (\ln(h/2r_w)))} \dots\dots\dots(4)$$

This equation shows that the main factor of oil production after the well has been drilled is the pressure drawdown (δP). The value of (δP) actually depends on the stability of the wellbore (specially in openhole wells).



Formation or Wellbore Stability

Generally, two main types of wellbore stability problems occur: fracturing of the wellbore at a high borehole pressure and borehole collapse at low pressure. Fracturing of the wellbore can happen during drilling using high mud weight or can be initiated as in the case of well stimulation. The wellbore collapse results from applying low pressure in the wells. This can occur during production operation from openhole completed well or during perforating using TCP gun with underbalance technique [2]. Fig. (3) shows the mechanism of borehole failure resulting from these two instability problems.

The formations are classed in terms of in-situ stresses as either normally or tectonically stressed. In normally stressed area, the maximum in-situ stresses (σ_z) is vertical and is equal to the overburden stress. The other two principle stresses (σ_x and σ_y), located in a horizontal plan are equal or nearly equal (Appendix). For well-compacted and -cemented formations, the overburden stress varies with depth, with a gradient equals approximately to 1.0 psi/ft. The other two principle stresses depend on the Poisson's ratio of the rock and the value of the overburden stress.

According to the theory of elasticity [3 and 4], when the well is drilled, a new state of stress will be initiated around the wellbore. This state produces an increase in the stresses around the hole (stress concentration). If the rock is not

MAXIMUM ALLOWABLE PRODUCTION RATES FROM OPEN HOLE HORIZONTAL WELLS

Dr. ABDEL-ALIM HASHEM EL-SAYED

ABSTRACT

The completion technology for horizontal wells presents numerous design possibilities. The simplest and least expensive method is completing the well as open hole or using slotted liners. The majority of producing horizontal wells are being completed as open hole; this technique offers large flow areas, much more than when cemented and perforated casing is used. But hole stability and pressure drawdown may cause hole collapse and sand production which will restrict the production rate. The problem then is to determine the maximum allowable production rates from horizontal wells completed as open hole.

This paper discusses the stress distribution around a horizontal borehole function of the amount of pressure drawdown and the overburden loads, and the stability of this hole under these stresses. It also assesses the production rate at which sand grains may be produced with the fluid. The paper presents an equation to calculate the maximum production rates from open hole completed horizontal wells without sand problems or hole collapse. The equation includes the effect of well depth and the length of the horizontal displacement. Also, it can be used to calculate the effective borehole diameter of the horizontal well that minimizes sand production.

1- INTRODUCTION

Horizontal wells are being widely applied throughout the oil and gas industry to enhance project economics and develop reservoirs that would otherwise not be commercial. Well productivity can be increased with horizontal wells and many fields have been developed for this reason. Recently, horizontal wells have been applied in high productivity reservoirs for the purpose of reducing gas and/or water coning, thereby improving drainage efficiency and ultimate recovery. According to the analysis presented in Ref. [1], horizontal well productivities in a 100-ft-thick reservoir are two to six times greater than unstimulated vertical well productivities. This productivity actually depends on the completion technique used in the specified horizontal well and the pressure drawdown applied on the formation.

The completion technology for horizontal wells presents numerous design possibilities. The simplest and the least expensive method is completing the well as open hole or using slotted liners. The majority of producing wells are being

completed as open hole; this technique offers large flow areas, such more than when cemented and perforated liner or casing is used. But hole stability and pressure drawdown may cause hole collapse and sand production which will restrict the production rate. The problem then is to determine the maximum allowable production rates from horizontal wells completed as open hole without sand production which actually depends on the pressure drawdown applied on the formation.

To estimate the maximum allowable production rate as well as the pressure drawdown, it is necessary to (1) formulate the mechanism of formation stability or wellbore collapse, [2] estimate formation strength, and [3] apply the formation strength and formation stability mechanism consideration on wellbore performance. The paper hereafter proposes a linear elastic and isotropic model for the stresses around the horizontal wellbore and discusses these three arguments necessary to estimate the maximum allowable production rate without sand production.

REFERENCES

- 1- Jennings, H. Y. Jr., Johnson, C.E., Jr., and Mc Auliffe, C. D. "A caustic water flooding process for heavy oils" ,JPT, December 1974, pp. 1344 -1352.
- 2- Coole, C. E., Jr., Williams, R. E., and Kolodzie, P. A. " Oil recovery by alkaline water flooding", JPT., December 1974, pp. 1365 - 1374.
- 3- Ehrlich, R. and Wygal, R. J., Jr. "Interrelation of crude oil by caustic water flooding", paper SPE No. 5830, presented at JPE, AIME Symposium on Improved oil recovery, Tulsa, Oklahoma, March 22 - 24, 1976.
- 4- Mayer, E. H. , Berg, R. L., Carmichael, J. D. and Weinbrandt, R. M. "Alkaline injection for enhanced oil recovery, a status report", JPT, January 1983, pp. 209 - 221.
- 5- Wagner, O. R. and Leach, R. O. "Improving oil displacement by wettability adjustment", Trans. AIME, 1959, pp. 216, 26 - 72.
- 6- Johnson, C. E., Jr. "Status of caustic emulsion methods", JPT, January 1976, pp. 85 - 92.
- 7- Chang, M. J. and Wasan, D. T., "Emulsion characteristics associated with an alkaline water flooding process", paper SPE. 0001, presented at the 1980 Inter. oil field and geothermal chemistry symposium, Stamfors, C.A.
- 8- Poettman, F. M., "Microemulsion flooding", secondary and tertiary oil recovery processes, Interstat oil compact commission Oklahoma City. Oklahoma, 1974.
- 9- El-Batanoney, M. H. et al. "Screening guides for enhanced oil recovery methods under Egyptian reservoir conditions", JL. Egyptian society of engineers, Vol. 26, No. 1, 1987, pp. 60 - 66.
- 10-Taber, J. "Technical screening guides for the enhanced recovery of oil", SPE paper 12069, presented at the 5 th. Annual Tech. Conf. and Exb. in San Francisco, CA., Oct. 5 - 8, 1983.
- 11-Dabbous, M.K., "Enhancement of recovery from petroleum reservoir", Eighth production Seminar, Cairo-Egypt, March 26 - 28, 1985.
- 12-Van Pollen, K. H. and Associates, "Fundamentals of enhanced oil recovery", Penn well Books, 1981.
- 13-Parts, M., "Thermal recovery", Monograph series, SPE, Dallas 1982, pp. 7,14, 161.
- 14-Cooper, R. J. "The effect of temperature on caustic displacement of crude oil", Paper SPE 3685 presented at the SPE AIME 41 annual, California Regional meeting, Los Angeles, Nov. 4-5, 1971.
- 15-M.EL-Awady Dokla, "Effect of formation heterogeneity and temperature on alkaline water flooding performance", Riyadh University, SPE March 1981.

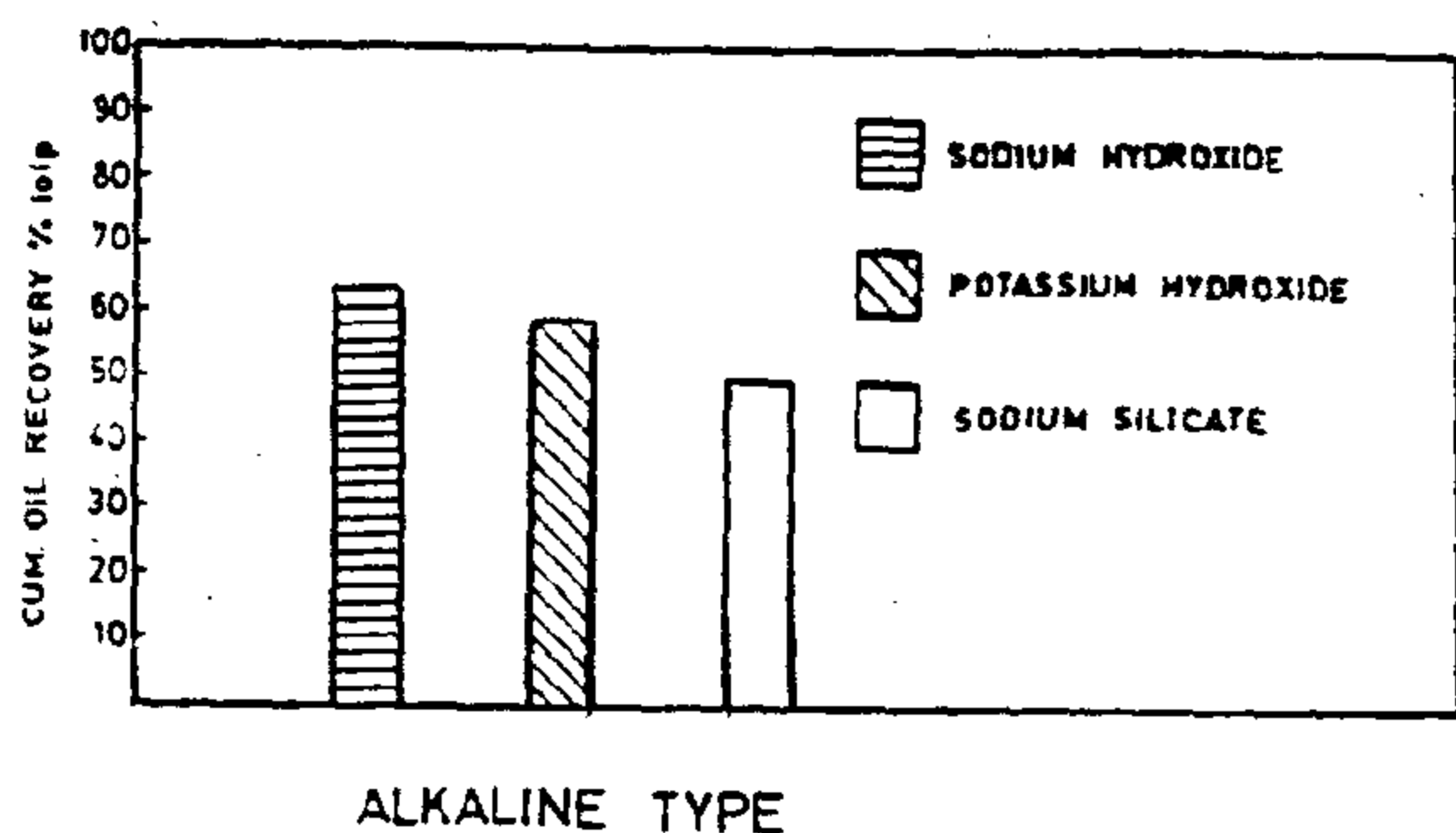


Figure (5). The effect of caustic type on recoverable oil.

caustic material. The slug size was 10 percent of pore volume. The temperature was 40°C. for all runs of this series. The results of this series are presented in figure (6). This figure indicates that generally, concentration of alkali increases the recovery. This increase is, however, insignificant for concentrations above 1 %, by weight.

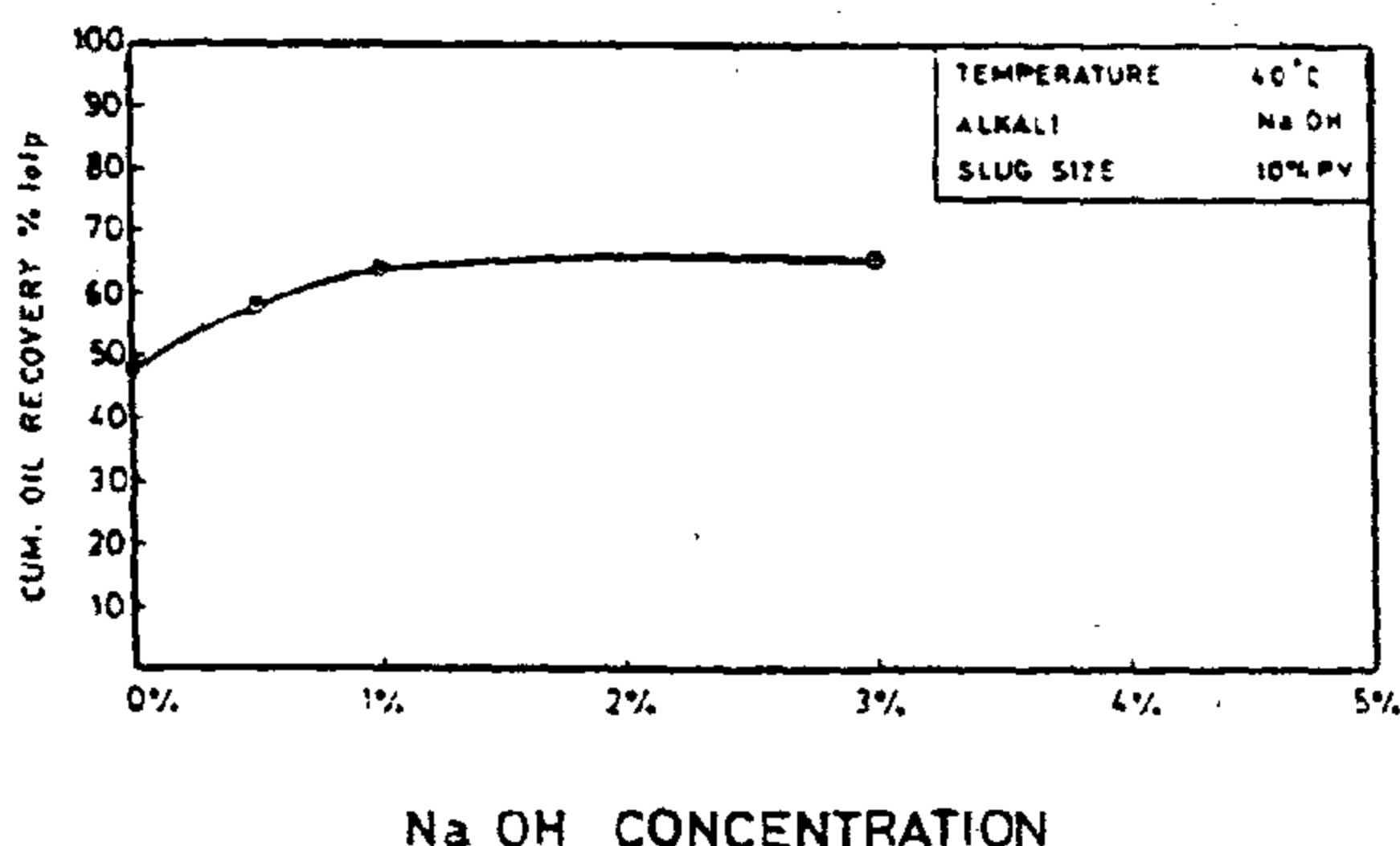


Figure (6). The effect of alkali concentration on oil recovery

e- EFFECT OF USING POLYMER BUFFER

Three runs were conducted at Ras Budran reservoir temperature of 95°C. using 1% by weight sodium Hydroxide concentration ,10 percent pore volume size slug.

Another polymer slug having a size of 25 percent of pore volume and a concentration of 250 ppm pusher 500 in 1 % NaCl brine injected ahead of the caustic solution slug in the first experiment, injected as two polymer slugs with

the caustic slug inbetween in the second, mixed with the Alkaline slug in the third experiment.

The results of these experiments are presented in figure (7). It is clear that the use of polymer slug in addition to the caustic one leads to no improvement in recovery above that obtained with alkali flooding alone. This may be attributed to polymer degradation at the high temperature of the experiments.

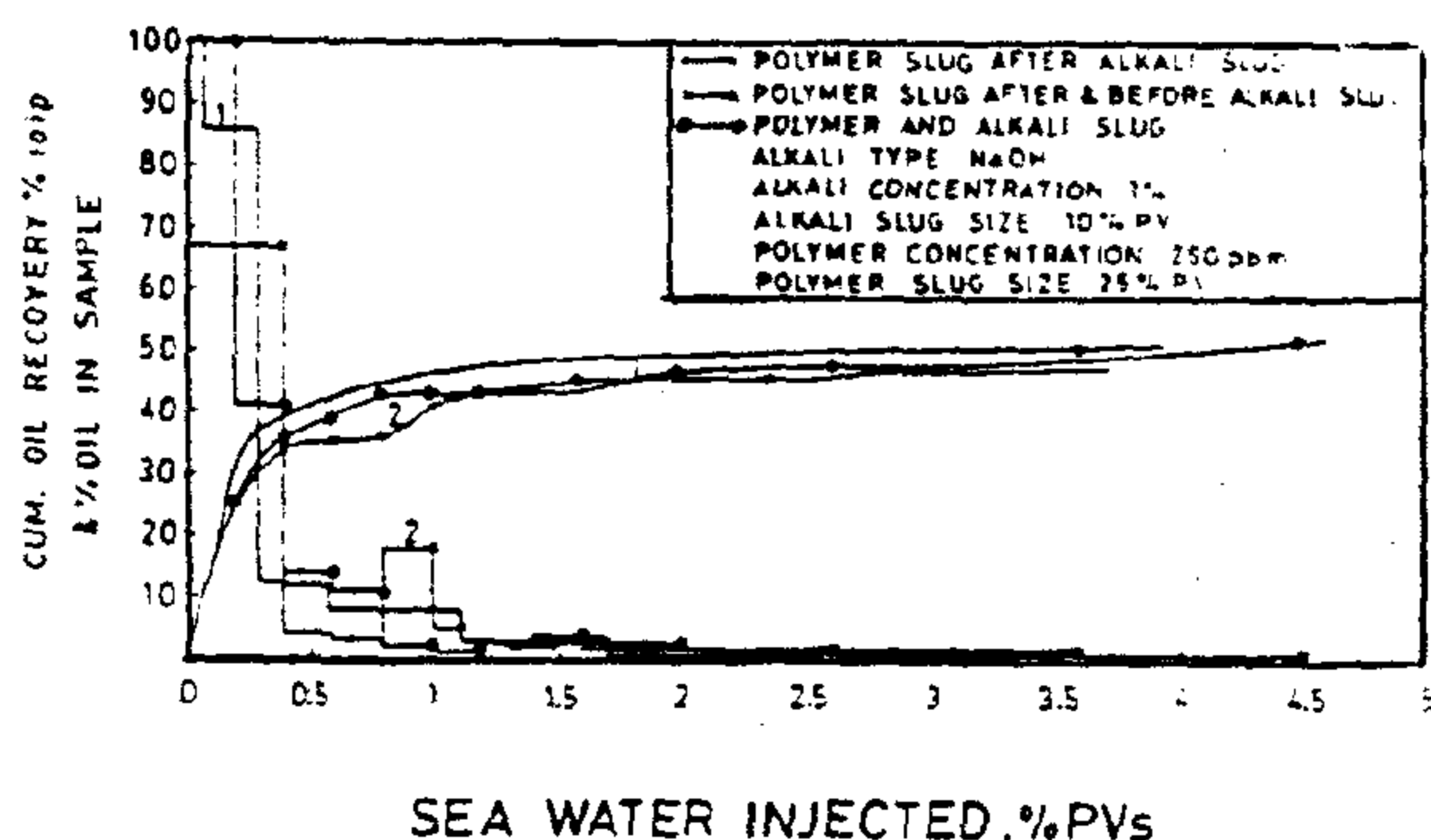


Figure (7). The effect of using polymer buffer on oil recovery

CONCLUSIONS

Linear displacement runs on Ras Budran reservoir model resulted in the following conclusions:

- 1- Alkaline flooding at optimum conditions increases the recovery factor to 69 percent compared to 43.8 percent in case of conventional water flood.
- 2- In all the runs conducted in this work, emulsification of the flowing phases was the predominant regime.
- 3- NaOH is the most efficient alkali to be used in the reservoir under study.
- 4- Optimum conditions for caustic flooding have been determined as:

Type of Alkali	: NaOH
Slug concentration	: 1 % by weight
Slug size	: 10 percent P.V.
Temperature	: 55°C.
- 5- Using polymer solution as a buffer in caustic flooding did not affect in the recovery.

- i - The interfacial tension between the caustic solution and oil increases with temperature. The increase is very limited in the range of temperature investigated, interfacial tension measurements are shown in table (2).
- ii- As temperature increases the oil viscosity decreases, this by itself leads to increased recovery by virtue of increasing the oil mobility.
- iii-The increase in temperature can lead to emulsion instability and hence, a reduction of recovery.
- iv- Figure (4) presents the PH values for the caustic solution at different temperatures. The increase in the temperature causes a reduction of PH value. As discussed by EL-Awadi [15], higher recovery is attained at higher PH values until the PH reaches a maximum above which the increase in PH number leads to negative effect on recovery.
- v - As established by Cook et al [2], at higher temperature, alkali consumption increases. This leads to less effective alkali and hence, lower recovery. It appears that for the range 20 - 55 °C. the positive effect of viscosity reduction and PH value exceeds the negative effect of interfacial tension and alkaline consumption leading to increased recovery. Above 55°C. the negative effect of emulsion instability increase in interfacial tension and Alkaline consumption leads to a reduction in recovery.

Table (2). Oil-Alkali interfacial tension temperature relationship for 1% NaOH concentration
 $= 0.521 d' \cdot \Delta p / (\text{period})^2$

Temp °C.	Width d	Period sec-1	Water den.	Oil den.	Interf.Ten. (dynes/cm)
40	13.13	18.7	1.1	0.90	1.23
55	12.72	18.7	1.1	0.88	1.58
65	11.89	18.7	1.1	0.89	1.48
80	16.82	16.4	1.0	0.90	1.92

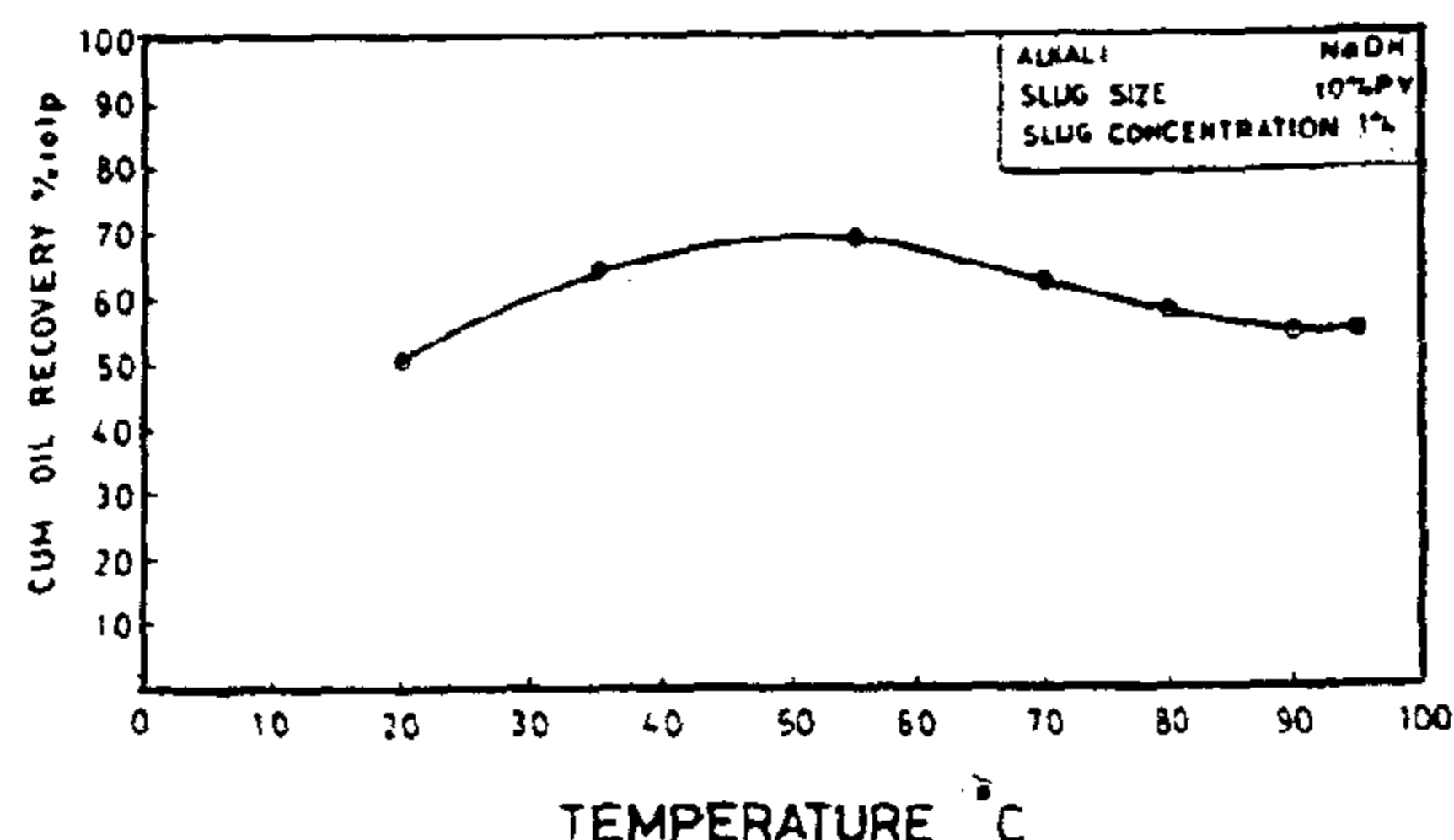


Figure (3). The effect of the displacing fluid temperature on the effectiveness of linear caustic flooding

c-EFFECT OF CAUSTIC TYPE

A series of runs were conducted at 40°C. using different alkali for each run. The alkali used were sodium Hydroxide, sodium silicate and potassium Hydroxide. For all the runs of this series a slug size of 10 percent pore volume and 1 % by weight concentration was used. Results of this series are presented in figure (5). The figure clearly show that sodium Hydroxide is the most effective type of Alkali.

d- EFFECT OF ALKALI CONCENTRATION (IN THE SLUG)

A number of runs were designed to determine the effect of Alkali concentration on oil recovery. In all these runs sodium Hydroxide was used as a

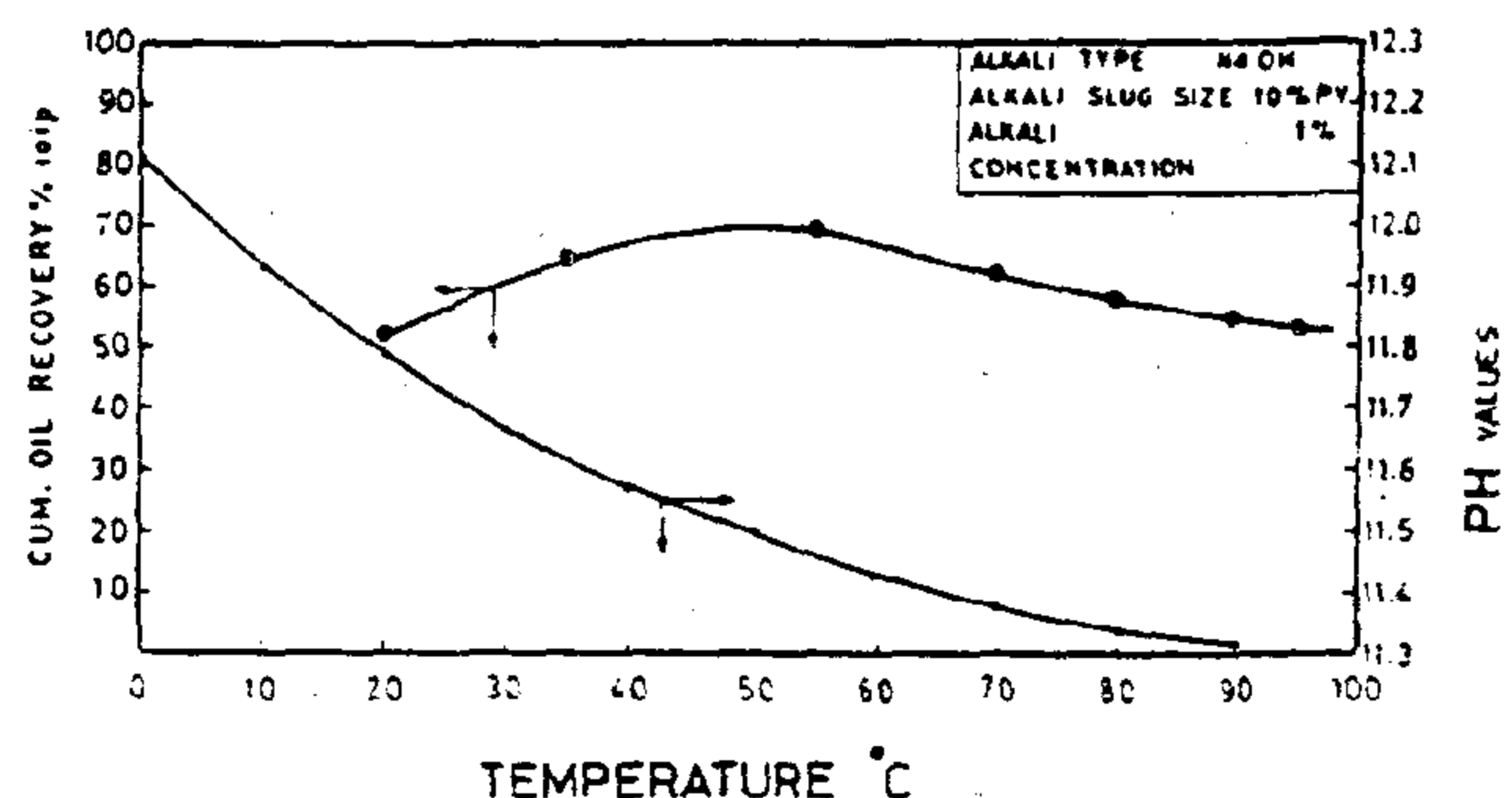


Figure (4). The PH values for the caustic solution at different temperatures.

Run No.	Type of Flood	Temp °C	Alkaline Slug size % PV	Alkaline Concentration	Polymer Slug size	Polymer Concentration	Porosity	Absolute Permeability	Initial Saturation	Oil recovery %
1	Conventional Water Flood	35	-	-	-	-	35.3	3.2	88	43.86
2	Alkaline Water (NaOH)	35	5	1	-	-	31.6	3.3	87.58	58.57
3	" " "	35	10	1	-	-	36	3.45	89.8	63.5
5	" " "	35	20	1	-	-	33.9	3.4	85	65.5
6	" " "	35	20	1	-	-	36	3.51	88.8	65.12
7	" " "	35	10	3	-	-	36	3.1	95	64.4
8	" " "	35	10	0.5	-	-	36	3.4	94	57.2
9	" " (Sodium Silicate)	35	10	2	-	-	36	3.96	92	49.6
10	" " (Potassium Hydroxide)	35	10	1	-	-	36	3.48	86	59
11	" " (Sodium Hydroxide)	20	10	1	-	-	36	3.4	88	50.4
12	" " "	90	10	1	-	-	36	3.4	82	55
13	" " "	70	10	1	-	-	36	3.4	84	62
14	" " "	95	10	1	-	-	36	3.4	78	54.2
15	" " "	55	10	1	-	-	36	3.4	78	69
16	" Slug Followed by Polymer Buffer	90	10	1	25	250 PPM	36	3.5	78.4	51.6
17	" Slug Between Two Polymer Buffer	90	10	1	25	250 PPM	36	3.4	80	46
18	Slug of alkali + Polymer mixture	90	10	1	25	250 PPM	36	3.4	88	56
19	Alkaline Water (NaOH) Slug	80	10	1	-	-	36	3.45	80	58

RESULTS AND DISCUSSIONS

The effect of several parameters on the displacement efficiency has been investigated. The parameters studied are slug size, temperature, caustic type, alkaline concentration and the effect of polymer buffer. A summary of caustic solution displacement runs conducted in this study is presented in table (1).

a- EFFECT OF SLUG SIZE

A series of runs were conducted to determine the effect of slug size on the recoverable oil and hence, specify the optimum slug size. In this series the caustic slug was (one) percent by weight of sodium Hydroxide in Ras Budran formation water. The slug was driven by brine (35000 ppm salinity). In all runs of this series the temperatures of the porous material and the displacing fluid were held constant at 40 °C. The slug sizes were 5, 10, 15, 20 and 30 percent of the pore volume. The results of this series are presented in figure (2).

It is clear that increased slug size leads to increased recovery. The increase in oil recovery with slug size is attributed to the higher amount

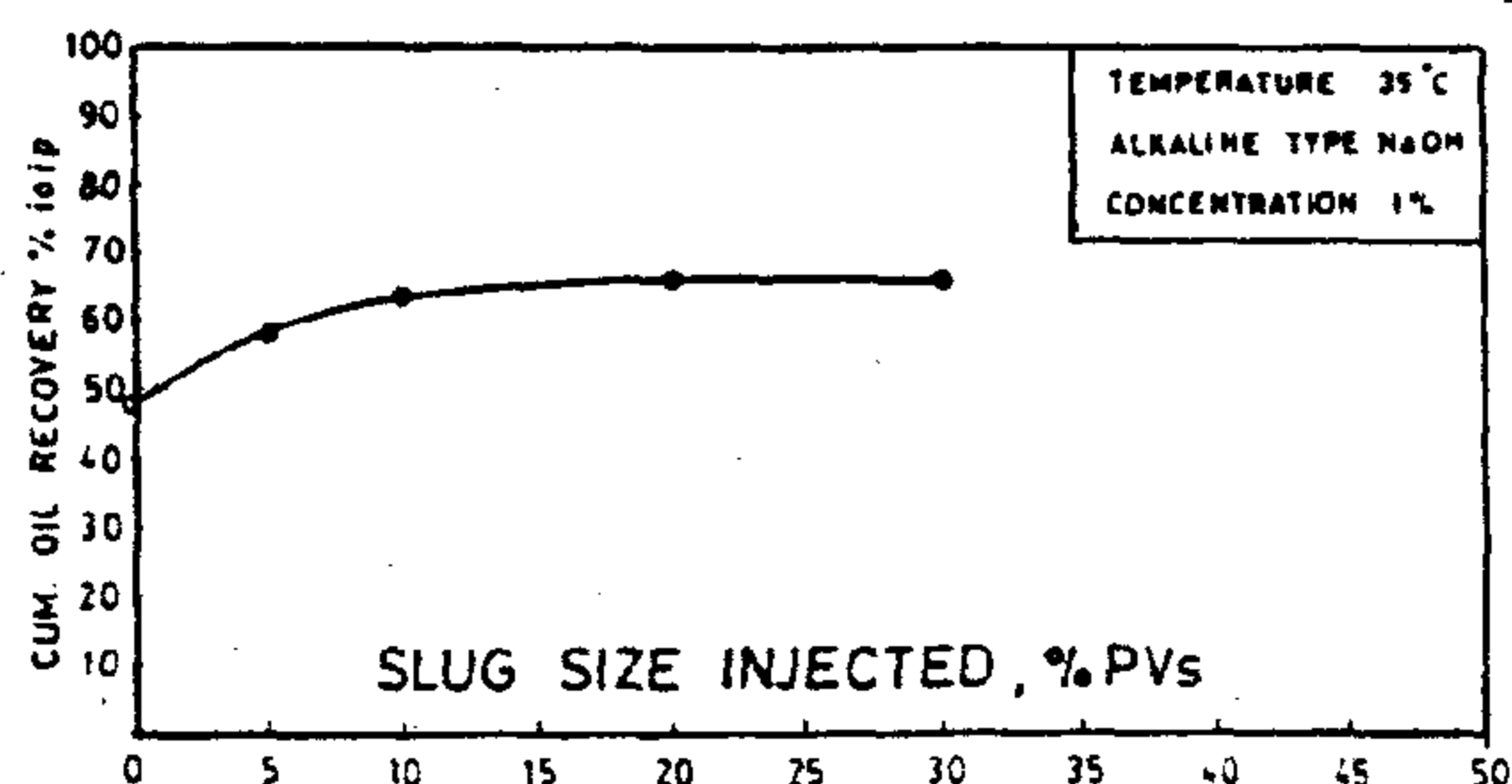


Figure (2). The effect of slug size on recoverable

of effective alkali and hence, more surfactant material in the larger slug size. In addition larger slug allows longer time for the caustic water to contact and affect the oil water-rock system at any section of the porous body, leading to better efficiency of the flood. Moreover, as the slug moves forward in the porous material, it disperses and effective length decreases. Increasing the slug size overcomes the negative effect of dispersion particularly at the outlet end of the porous pack.

b- EFFECT OF TEMPERATURE

A series of runs are conducted to determine the effect of the displacing fluid temperature on the effectiveness of linear caustic flooding. In this series the recoveries by a slug of sodium Hydroxide in formation water at 1 % by weight concentration, 10 % slug size were investigated at 20, 40, 55, 70, 80 and 95 °C.

Results of this series are presented in figure (3). It is clear that oil recovery increases with temperature and reaches a maximum of 69 percent at 55°C. Above this value the increase in temperature caused a reduction in recovery. It is worth mentioning that Cooper [14] also noted an optimum temperature for caustic flooding. The temperature has several effects on the rock fluid system used in this series.

conditions on oil recovery. The parameters investigated are slug size, concentration, caustic type and temperature. A series of runs were designed to study the effect of each parameter. In each series all parameters were kept constant at predetermined values while the parameter under study was changed from one to the other. An additional series was also designed to study the effect of an additional buffer of polymer solution injected in addition to the caustic slug.

APPARATUS USED

Figure (1) presents a sketch of the apparatus used in the displacement runs. The main parts of the apparatus are the porous column, the heating system and pressure unit. The porous body used was a cylindrical sand pack. The mechanical properties of the sand used resembled those of Ras Budran reservoir rock.

MATERIALS USED IN THE STUDY

- 1- 35000 PPM NaCl, sea water equivalent, brine.
- 2- Caustic solution made of either sodium Hydroxide, sodium silicate or potassium hydroxide in sea water equivalent brine at predetermined concentrations.

- 3- Polymer solution buffer of 250 ppm, concentration was prepared from pusher 500 and 1 % NaCl brine.
- 4- 62,000 ppm NaCl, Ras Budran formation water equivalent, brine.
- 5- Ras Budran Crude oil.

A steel cylinder 4.2 cm. inside diameter and 50 cm. long. Loose sand having the same grain size distribution as that of Ras Budran reservoir was used to pack the cylindrical model.

PREPARATION FOR A DISPLACEMENT RUN.

Preparation of a displacement run consisted of

- i- Packing the steel cylindrical model with sand. The amount of sand needed was about 1200 gs. The grain size distribution of the sand used was similar to that of Ras Budran porous material. To achieve similarity with Ras Budran reservoir, the pack was hammered until its permeability approaches that of the reservoir under study.
- ii- Saturating the porous body. This was achieved by evacuating the porous pack to the lowest practical pressure (3 hrs. was considered to be enough evacuating period). Evacuation was followed by introducing Ras Budran synthetic water in the model at a very low rate. To insure 100 percent water saturation, two pore volumes of the formation water were circulated in the porous sand. Following this the formation water was displaced with Ras Budran crude until the connate water saturation is reached.

EXPERIMENTAL PROCEDURE:

In a displacing run the heating system is adjusting to a certain temperature. After allowing for the temperature to stabilize, the alkaline slug with or without polymer buffer followed by synthetic sea water are injected in the porous cylinder. During each run cumulative water are measured and recorded as a function of time. The experiment is terminated after two pore volumes of sea water were injected.

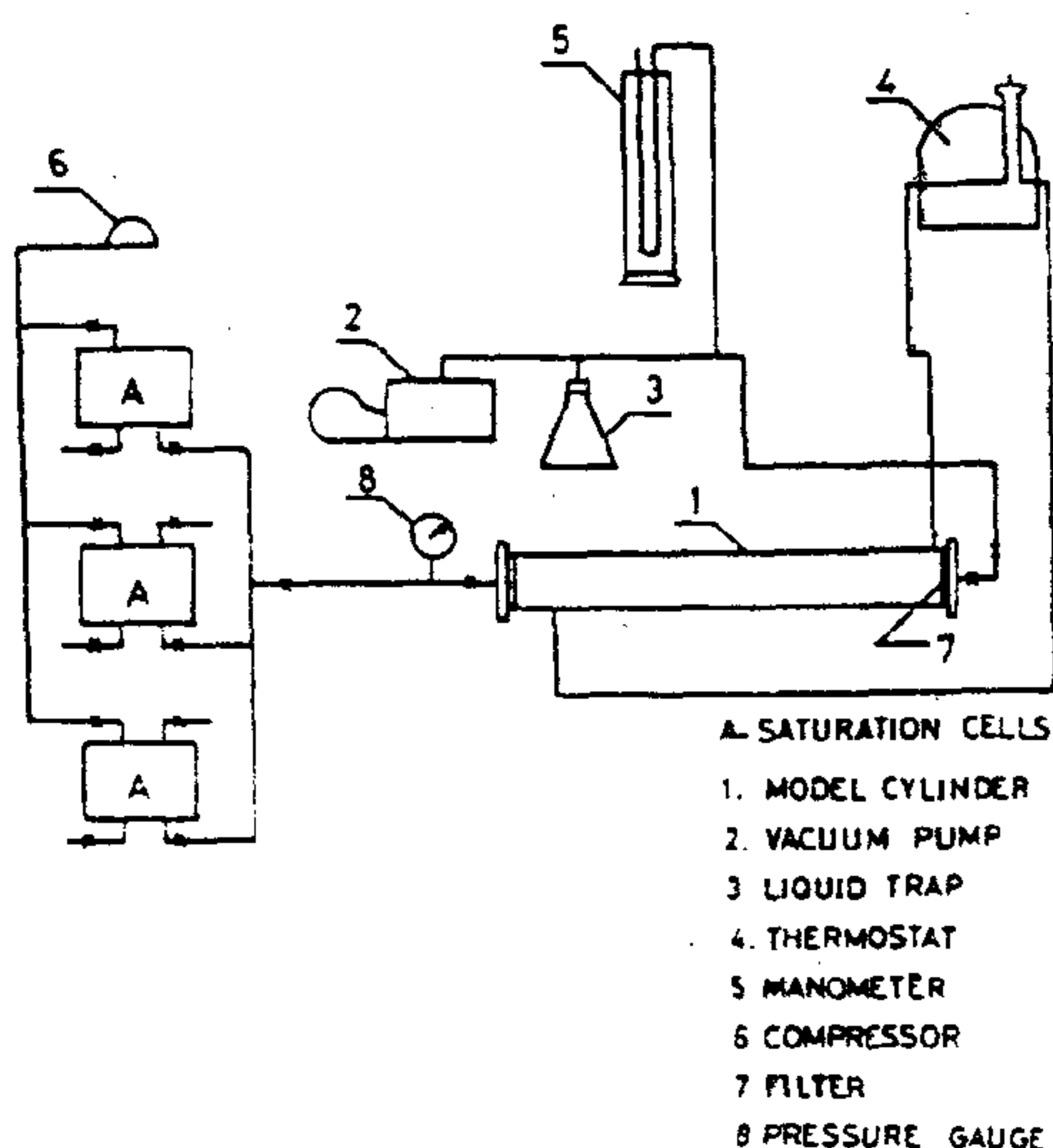


FIG 1 SCHEMATIC REPRESENTATION OF EXPERIMENTAL APPARATUS

LABORATORY APPLICATION OF ALKALINE FLOODING ON RAS BUDRAN CRUDE

NASSER A. FAWZY **

MAHMOUD H. EL-BATANONEY

MOHAMED H. SAYYOUH ***

MOHAMED A. EL-GAWAD

ABDEL-WALY A. ABDEL-WALY ***

ABSTRACT

Linear displacement runs of crude oil (Ras Budran Field, operated by SUCO) by alkaline water flooding is performed. The results indicate appreciable increase in the recovery factor. The effect of several parameters on the displacement efficiency were investigated. The parameters studied are, slug size, alkaline concentration, alkali type and water temperature. It was found that increasing slug size has a favourable effect on oil recovery. The recovery factor increased with alkali concentration until the concentration reached a value of about (one) percent by weight NaOH. Above this value no significant increase was observed. The type of alkali used affected the displacement efficiency. Best results were obtained when sodium hydroxide was used. Oil recovery of alkaline flooding was effected by temperature. Maximum recovery was observed at 550 °C. Increasing temperature above this value resulted in lower efficiency.

In addition to above mentioned parameters, the effect of using polymer solution as a buffer was investigated. No improvement in the recovery was observed in this case.

INTRODUCTION

One of the the well studied EOR techniques is that of alkaline flooding [1-4]. Caustic flooding is the process of injecting alkaline solution into the oil reservoir ahead of the water flood to increase recoverable oil. The caustic solution combines with organic acids of the crude to form surfactant solutions (soaps). Therefore, the mechanism leading to the effectiveness of oil displacement in this type of flooding is the same as that of surfactant flooding, namely the reduction of oil-water interfacial tension which may lead to solubilization and/or emulsification of oil and water.

The main advantage of caustic flooding over surfactant flooding is the relatively lower cost of alkalines compared to surfactant materials.

Several investigators (1,2,5-8) indicated that in situ emulsification of oil and water was the predominant result of interfacial tension reduction. Emulsification, can not only reduce the capillary forces but it also leads to lower

mobility of the displacing phase and consequently, better displacement efficiency.

One of the methods to increase national oil reserves in Egypt is the application of EOR methods. El-Batanoney et al [9] studied the reservoir properties of several Egyptian oil fields and concluded that Alkaline flooding is one of the most feasible and effective EOR methods for Ras Budran, Nubia sand reservoir. Their work, however, is based on published quantitative screening criteria [10-13] for the choice of the promising tertiary recovery method. In this work, caustic flooding of linear reservoir model of the Ras Budran, Nubia sand reservoir has been conducted to determine the additional recovery expected from this reservoir if alkaline flooding was applied.

EXPERIMENTAL WORK

Several linear displacement runs were conducted to study the effect of different water flooding

* AL AZHAR UNIVERSITY, FACULTY OF ENGINEERING

** EPRI EGYPTIAN PETROLEUM RESEARCH INSTITUTE

***CAIRO UNIVERSITY, FACULTY OF ENGINEERING

IV- REFERENCES

- 1- MC Henry, P.G. "Adobe bricks in New-Mexico"; New Mexico Bureau of Mines and Mineral Resources, Circular 188, 1983, 83 PP.
- 2- H. Helal, S. Eladawy, "Stabilization of adobe bricks using economic local materials"; First Regional Symposium of Material Science in Arab States, 25-31 Dec. 1987. Alex. ARE; Vol. 5, PP. 15 - 25.
- 3- S. el adawy, Ahmad Nabil, H.F. Imam and H. Helal; "Stabilization of Kafr Homaïd shale / clay for adobe brick - making using simple additives" Under print, 1991.
- 4- GOHBPR "Evaluation of Kafr-Homaïd Shale / Clay deposit at the proposed quarry site for Misr - Iran Building Materials Company for Building Brick Industry"; April 1981, 76 PP.
- 5- R.E.GRIM "Applied Clay Mineralogy"; MC Graw Hill Book Comp., Inc., New York, Toronto, London (1962).
- 6- O.A. Hegab, M.A. Serry, M.M. EL-Banna "Effect of composition of some Egyptian clays on their ceramic properties"; Interceram., No. 6, 1984, PP. 31 - 33.
- 7- F.H. Norton "Elements of ceramics, 2 nd Ed.", Addison Wesley Publishing Company, Inc., Reading, Mass., USA (1974).

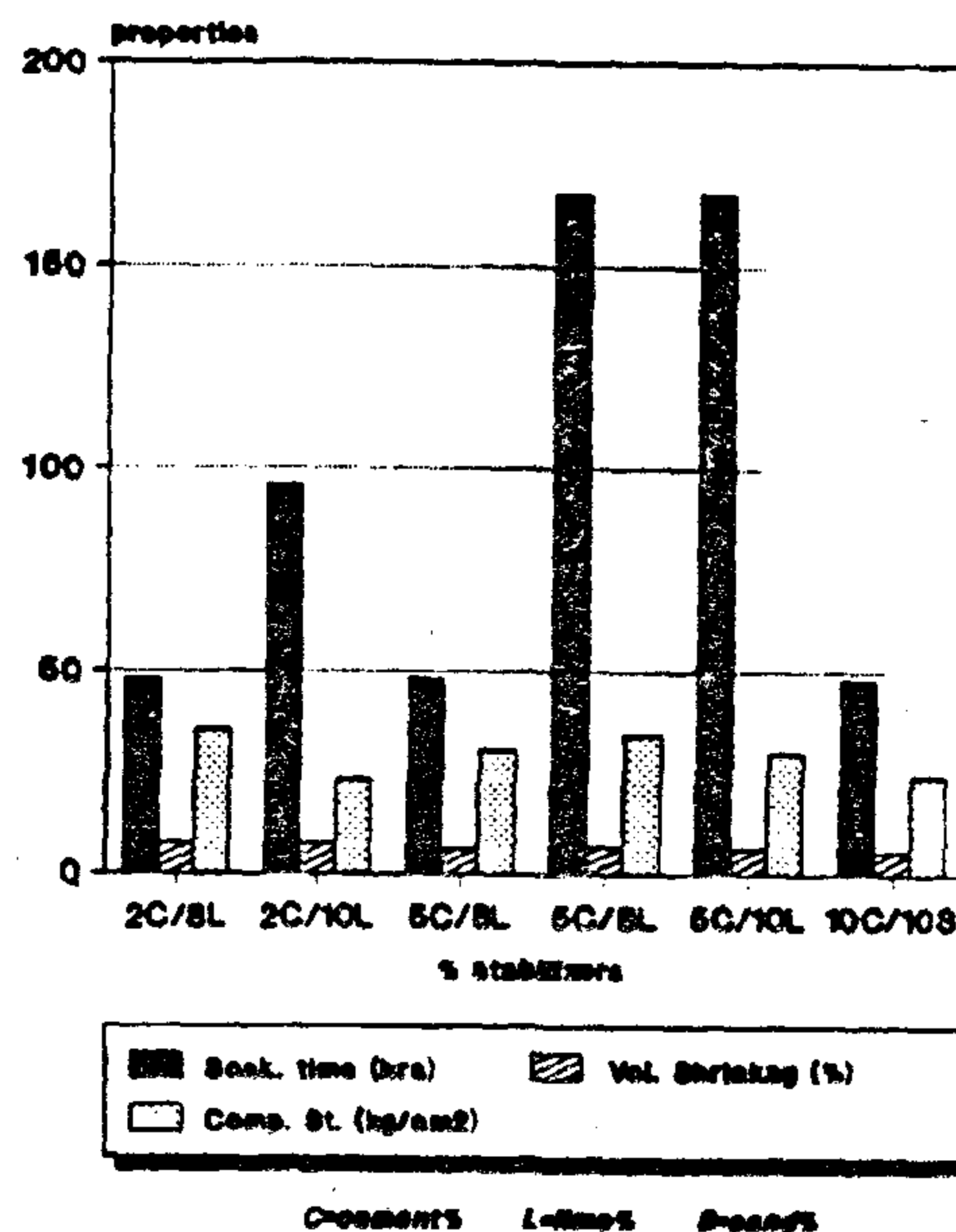


Figure (4). The final results

Table (1). The effect of stabilizer mixtures on the adobe characteristics and their statistical analysis

CHARACTERISTICS	FIRST SERIES (SAND & CEMENT) (Figure 1)	SECOND SERIES (SAND & LIME) (Figure 2)	THIRD SERIES (LIME & CEMENT) (Figure 3)
STRENGTH (CS)	Increases with the increase of cement and decrease of sand according :- $CS = 22.446 - 0.387S + 0.584C$	Increases with the increase of lime and increase of sand up to (12.5) %. More sand has no effect. Best results were obtained with lower sand and higher lime (10%). The following equation describes the relation $\text{Log } CS = 0.0759S + 0.1405L$	Increases with the increases of cement and lime. Best results were obtained with 5 % cement and lime over (7.5 %). The following equation describes the relation :- $CS = 3.672C + 0.380L + 272.444/CL$
VOLUMETRIC SHRINKAGE (SH)	Sand, within the experimental limits) has no effect. It decreases with the increase of cement according to :- $SH = 22.273 + 0.028CL - 1.953C$	Increases with the increase of sand and decreases with the increase of lime according to the following equation. $SH = 1.297S + 0.855L$	Decreases with the increase of cement and lime according to $1/SH = 0.007C + 0.995L + 6.492/CL$
SOAKING TIME (ST)	Increases with the increase of cement. Sand has little effect on soaking time. Best results were obtained with cement and sand contents 7%. The following equation describes the relation :- $ST = 0.139S - 0.006L$	Increases sharply with the increase of lime. Sand has no effect. Best results were obtained with lime over 7%. The following equation describes the relation:- $ST = 0.028S + 9.555L$	Cement has a great effect on the soaking time. Lime, on the other hand, has moderate effect. Best results were obtained with (5 %) cement and 7.5 % lime. The following equation describes the relation $ST = 11.939C + 14.365L - 5342.7/CL$

* S=sand C= cement L= lime CL= clay

TABLE (2). STATISTICAL TREATMENTS OF THE RESULTS

EQU. No.	CORRELATION COEFFICIENTS				STANDARD ERRORS			
	C	L	CL	S	C	L	CL	S
1	0.7928			-0.7137	0.0835			0.9885
2	0.7405		-0.9720		0.2753		0.1966	
3		0.2693		0.7045	0.0025			0.0407
4		0.2247		0.2913		0.0304		0.0173
5		-0.8149		0.7915		0.4649		0.2648
6		0.8277		-0.3295		1.8801		1.0708
7	0.8959	0.5303	0.8053		0.8047	0.4031	272.44	
8	0.7274	0.8600	0.9535		0.0022	0.0011	0.7370	
9	0.5795	0.8320	0.9042		8.0775	4.0460	2734.8	

theoretical values of pure montmorillonite (28.3 %) and Kaolinite (39.5 %) [5]. Due to its considerable amounts of Fe_2O_3 and other impurity oxides, this clay can be considered as low grade clays [6]. According to Norton [7], these clays are suitable for the manufacture of heavy clay products, building bricks and ceramic tiles. [3,4] evaluate the main physical characteristics of the investigated clay. The used technique is also summarized by [3].

III-RESULTS AND DISCUSSIONS

The combined effect of three series of stabilizer mixtures on the adobe properties (compressive strength, shrinkage and durability) were critically examined. Table (1,2) summarized this effect besides the statistical analysis of the relations.

- 1- Due to its low alumina content and the presence of considerable amounts of Fe_2O_3 and other fluxing oxides, this deposit can be considered as low grade clay. It become highly plastic when mixed with water and exhibit, consequently, excessive shrinkage and strength when dried. It most more suitable for the manufacture of heavy clay products, building bricks and ceramic tiles.
- 2- This deposit can be classified as poor soil for stabilization. The using of double stabilizer mixtures improves its bad qualities using lesser amounts of additives.
- 3- Figure (4) summarizes the obtained results. From this figure it can easily concludes that the best results are obtained using mixtures of 2% cement and 8% lime, 5% cement and 8% lime, 5% cement and 6% lime, 5% cement and 10% lime, 10% cement and 10% sand, 2% cement and 10% lime respectively.

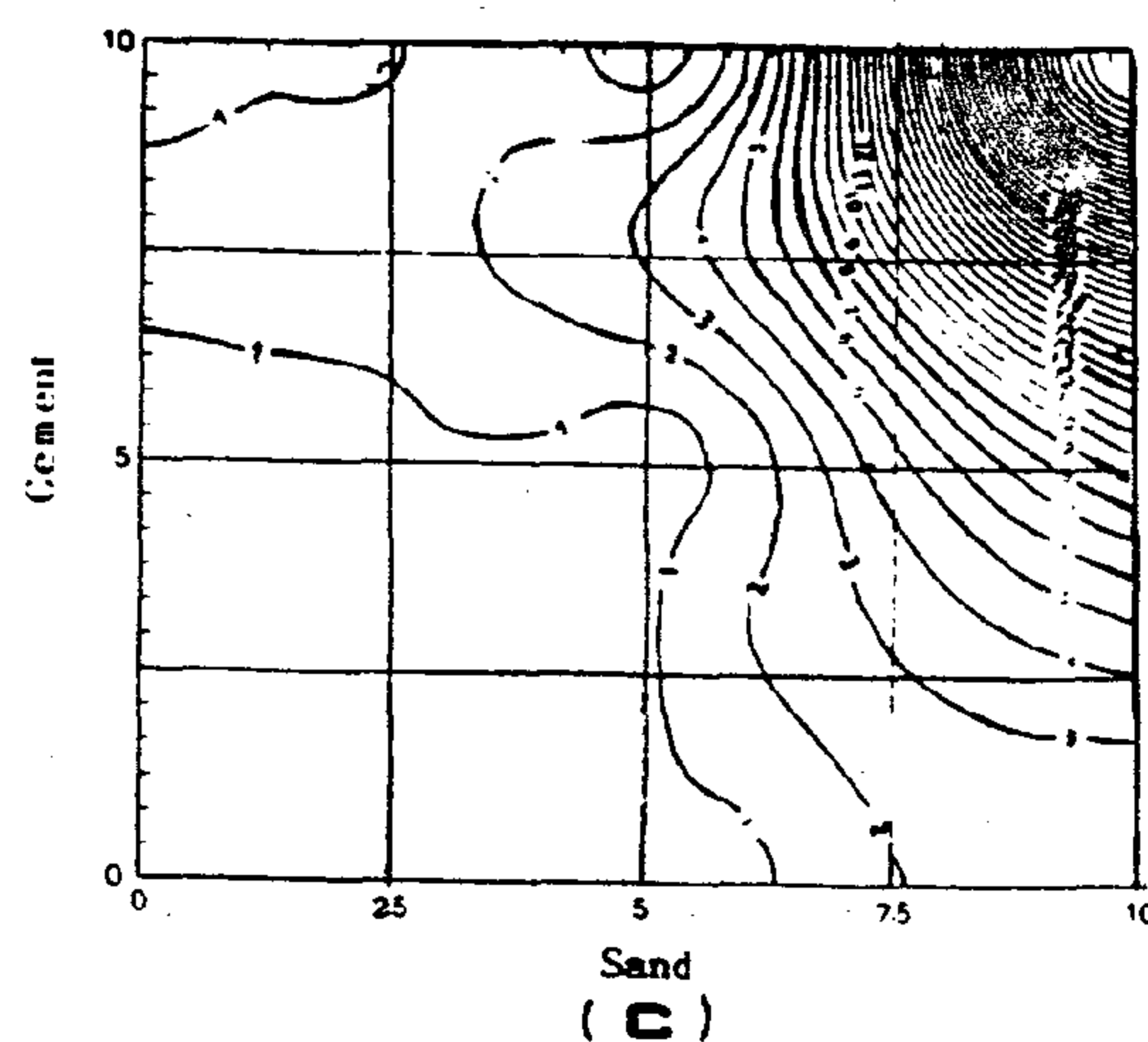
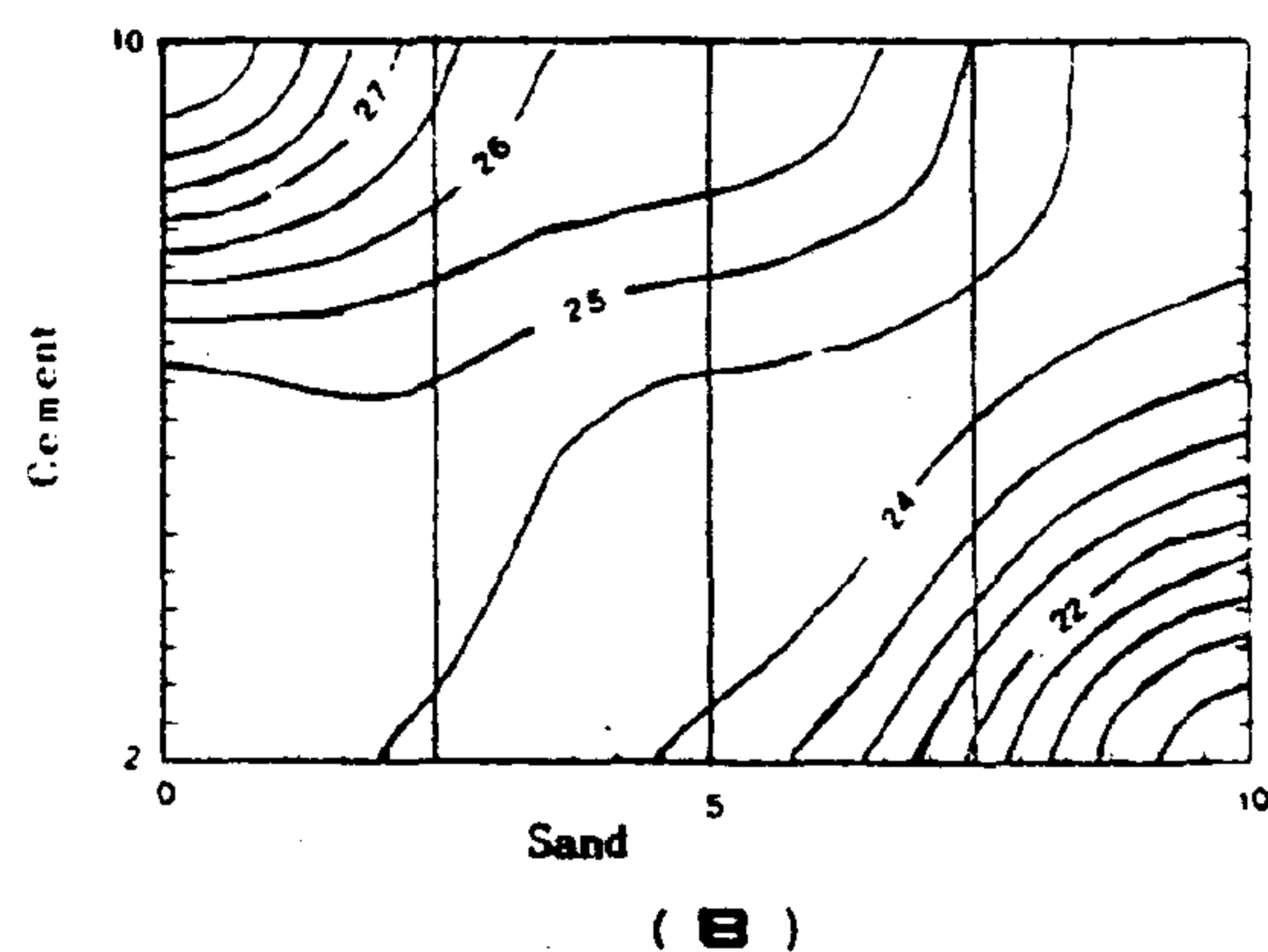
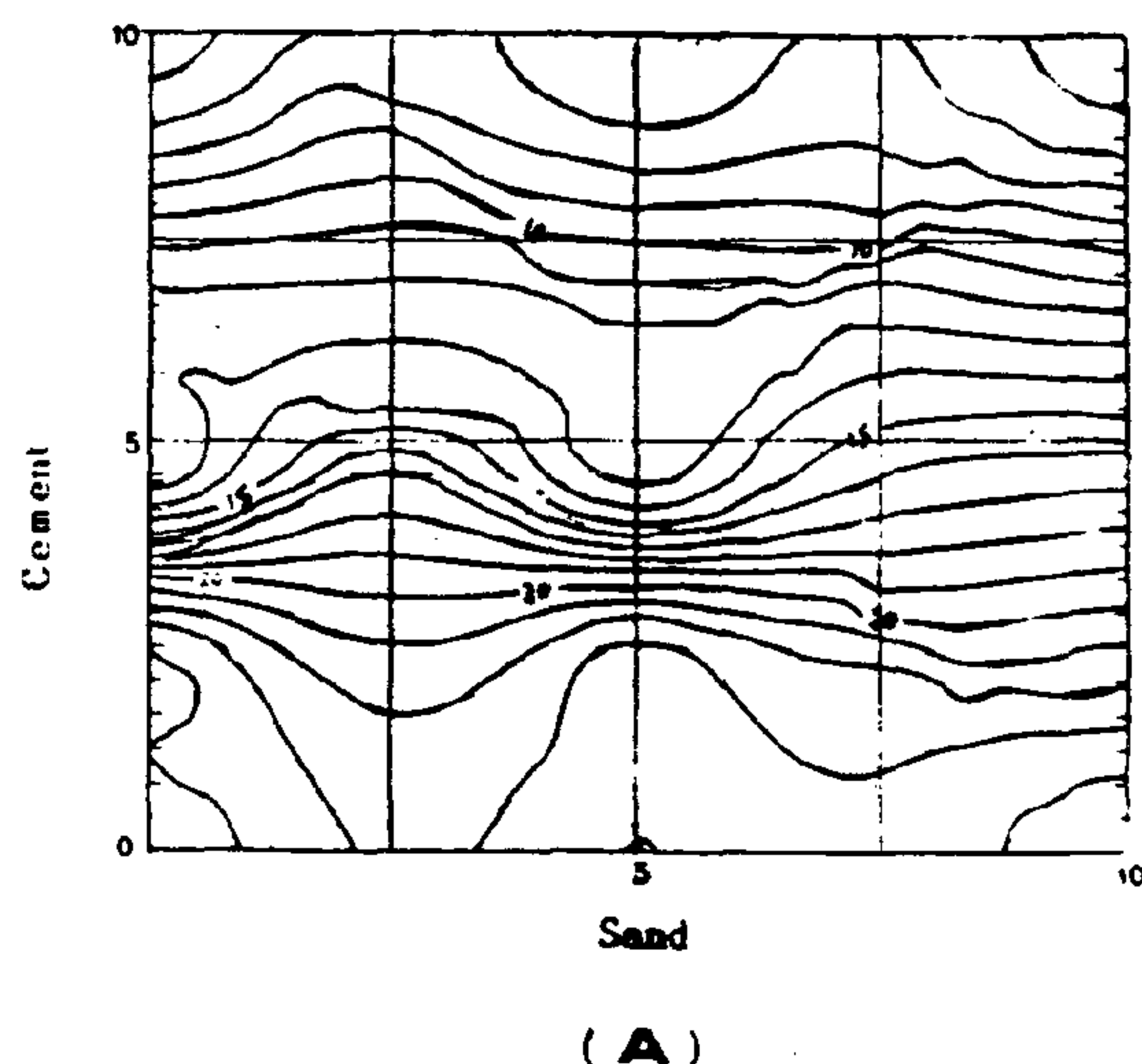


Figure (1)

IMPROVEMENT OF ADOBE CHARACTERISTICS BY STABILIZATION

SAID EL ADAWY * & AHMAD NABIL **

ABSTRACT

Stabilization of Kafr Homaïd clay deposit for adobe brick making, using simple additives improved its engineering characteristics. Unfortunately, this consumed greater amounts of stabilizers (cement, lime and gypsum) which leads to uneconomical results.

In the present work, a mixture of stabilizers were used. The effect of these mixtures on the adobe properties were determined. Good economical and technical results were obtained as compared with the effect of using single stabilizer.

1- INTRODUCTION

Stabilization of adobe bricks, generally improves its poor qualities [1,2]. Attempts were carried out to stabilize Kafr - Homaïd clay deposit using single additives [3]. Unfortunately, these trials consumes great amounts of stabilizers and hence, gives uneconomical results.

In the present work, a mixture of stabilizers were used. The mathematical relations that correlate between their quantities and the resulted adobe characteristics were developed. The effect of the mineralogical and chemical composition of clay and their particle size distribution on the adobe properties were discussed. Economical results were obtained as compared with that obtained using single stabilizers.

1.1 - MATERIAL CHARACTERISTICS

1. MINERALOGICAL COMPOSITION

The x - ray powder technique was used with the bulk samples [3,4]. Quartz associated with Kaolinite and mixed layer

structure of Illite and Montmorillonite with lesser amounts of Feldspar are the main minerals identified in the deposit.

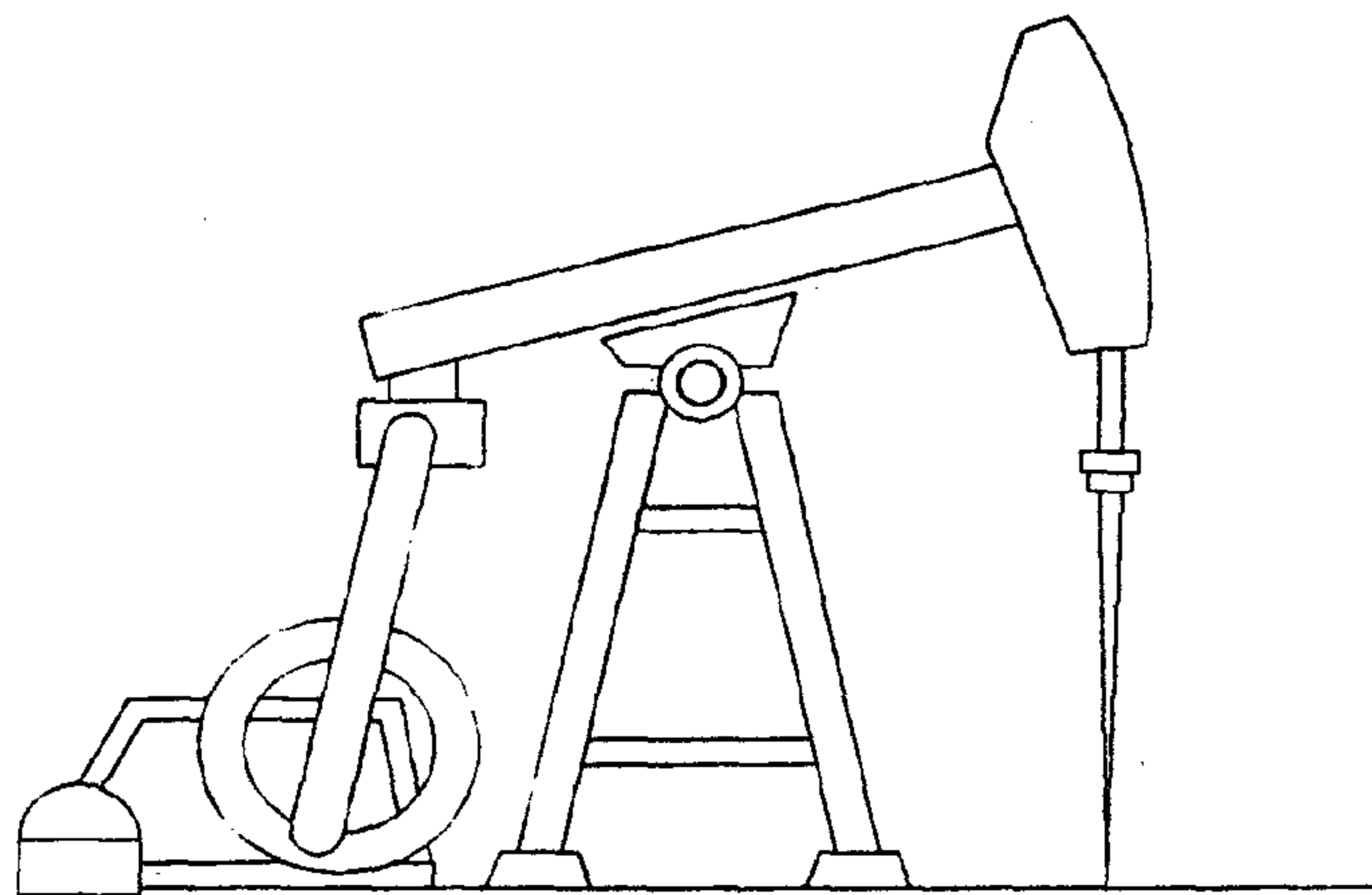
After the removal of carbonates, organic matter and free iron from the samples, the clay minerals (all less than 2 μ m in size) were separated, concentrated and mounted on glass slides.

The differential thermal analysis (DTA) was also adopted for clay mineral identification. The intensity of the endothermic peak at about 130°C, which is characteristic for montmorillonite indicates that it is the prominent clay mineral in the deposit. This confirms the results obtained by the x - ray analysis.

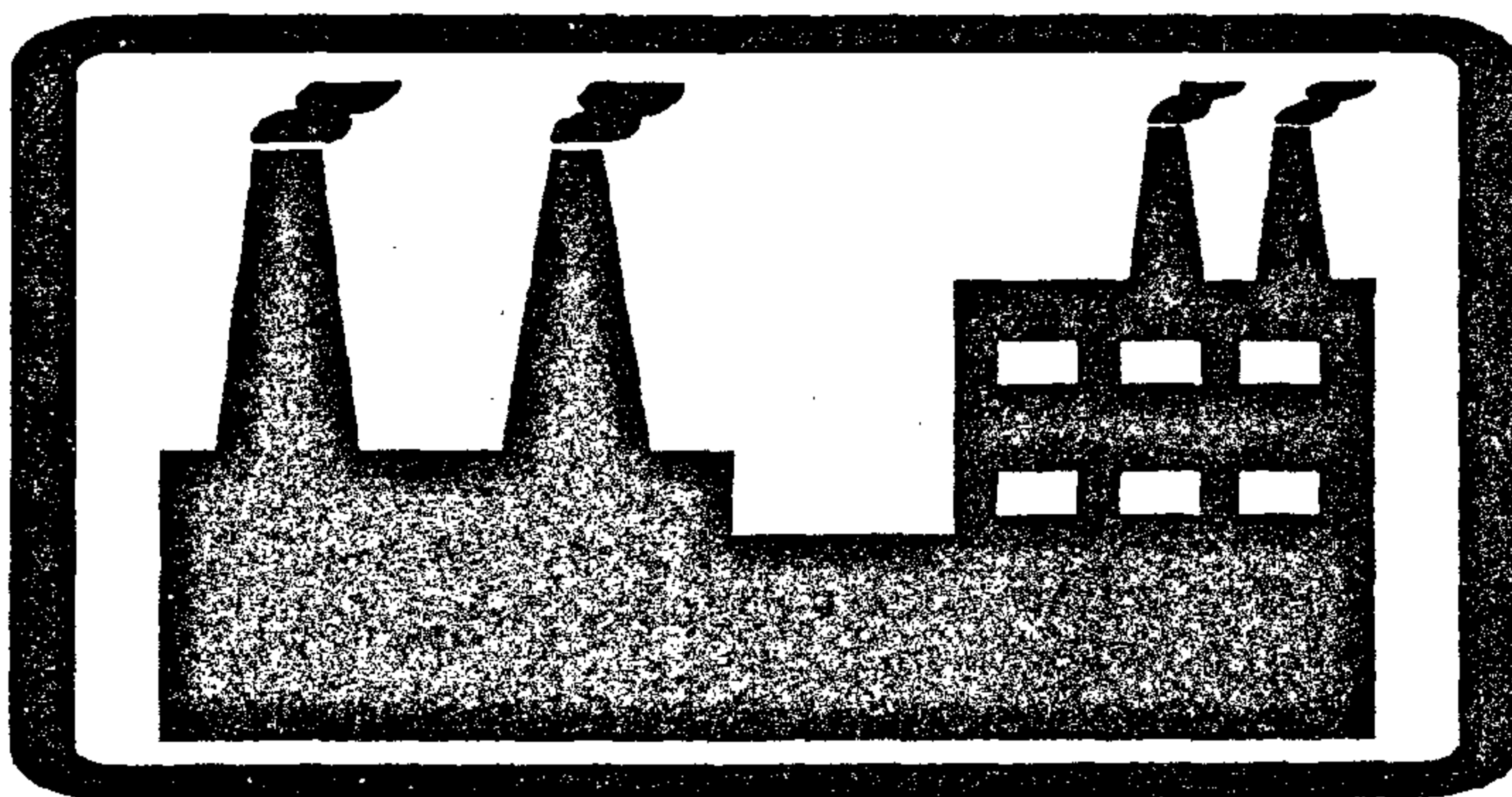
2. CHEMICAL AND PHYSICAL CHARACTERISTICS

The chemical composition of the investigated clay is estimated through the quantitative determination of their constituting oxides and water soluble salts. The obtained results are summarized by [3,4]. The alumina (Al₂O₃) content of the investigated clay was lower than the

INST. OF MIN., PET. & MET. ENG



RAW MATERIALS & CHEMICAL
INDUSTRIES



INST. OF CHEMICAL ENGINEERS

The effectiveness of the proposed hierarchical planning approach described above is evaluated according to the sum of the deviational variables associated with the three goals I, II, and III and also according to the number of setups required by all the families in all types during one year.

Finally, this work will be applied on a practical problem in future. All computational results will be published in coming paper.

REFERENCES

- 1- Bitran, G.R., Haas, E.A. and Hax, A.C. "Hierarchical Production Planning : A Single Stage System". Operations Research, Vol. 29, No. 4, pp. 717-743 (July-August 1981).
- 2- Bitran, G.R., and Hax, A.C., "On the Design of Hierarchical Production Planning Systems", Decision Science 8, PP. 28-55 (1975).
- 2- Bitran, G.R., and Hax, A.C., "On the Design of Hierarchical Production Planning Systems", Decision Science 8, PP. 28-55 (1975).
- 3- Dempster, M.A.H., Jansen, L., Lageweg, B.J., Lenstra, J.K. and Rinnooy Kan, A.H.S., "Analysis Evaluation of Hierarchical Planning Systems". Operations Research, Vol. 29, NO.4, PP. 707-716 (July-August, 1981).
- 4- Dzielinski, B.P. and Gomory, R.E., "Optimal Programming of Lot Sizes, Inventory and Labour Allocations", Management Science, Vol. 11, NO 9, PP. 874-890 (July 1965).
- 5- Elsayed, E.A. et al "Analysis and Control of Production Systems", Prentice-Hall Inc (1985).
- 6- Gonzalez, J.J., and Reeves, G.R., "Master Production Scheduling: a Multiple-Objective Linear Programming Approach", International Journal of Production Research, Vol. 21, NO. 4, PP. 553-562, (1983).
- 7- Graves, S.C., "Using Lagrangian Techniques to Solve Hierarchical Production Planning Problems", Management Science, Vol. 28, NO.3, PP. 260-275 (March 1982).
- 8- Hax, A.C., "Production and Inventory Management", Prentice-Hall, Inc., Englewood Cliffs, New Jersey, 1984.
- 9- Hax, A.C., and Meal, H.C., "Hierarchical Integration of Production Planning and Scheduling" in studies in Management Science, Vol.1, Logistics, M.A.Geisler (ed), North Holland-American Elsevier, New York, (1985).

Since the hierarchical planning system would implement the results of the family disaggregation model only for the first period of the scheduling horizon, it is necessary to adjust the first period decisions so as to make the sum of the production quantities of all the families in a type equal to the production quantity of this type in the immediate period. The required adjustment is made according to the following decision rules:

Decision Rule 1:

No more than one family is to be chosen (whenever it is possible) for making the necessary adjustment for the sum of the production of all the families in a type in the first period.

Decision Rule 2:

$d^+P_{ij}^*$ is added to production of the family with the greatest production figure in the first period such that no overstock will occur for this family as a result of the adjustment made.

Decision Rule 3:

$d^+P_{ij}^*$ is subtracted from production of the family when its overstock is violated in the first period, or from production of the family with the greatest production figure for satisfying demands for some periods in future. In the case, of all families being produced to only satisfy first period demands, $d^+P_{ij}^*$ is subtracted from production of the family with the greatest production figure for this period.

SUMMARY

The proposed approach for hierarchical production planning assumes that for planning purposes production items may be aggregated into families, and families aggregated into types. Aggregate plan for types is generated for each time period in the planning horizon, by means of a convenient linear goal programming model. The planning horizon of this model is six periods. For each type, the corresponding production quantities in the first three periods are disaggregated among all the families in that type

to obtain families production schedule over the next three periods. The families schedule is generated by means of a goal programming formulation for the family disaggregation subproblem. The results of the family disaggregation model only for the first period of the scheduling horizon are implemented after adjusting the total production quantitative of all the families in a given type. This adjustment is made by means of three decision rules, to assure the equality between the type production and the sum of the production quantity for its family in the immediate period. At the end of every time period, new information becomes available, that is used to update the aggregate planning model for types, and consequently the family disaggregation model, and the proposed hierarchical planning process is repeated. This means that, for obtaining a production schedule for one year (i.e. 12 months) the proposed planning process is repeated twelve times.

Although we have adopted two goal programming models for carrying out the hierarchical planning process, it is apparent that the four goals of these two models together, can be generally considered as the hierarchical planning system's goals. Since goal I of the family disaggregation model is permanently attained in the first period that would be implemented (as a result of the application of the decision rules, to the result of this model, for the immediate period), one can exclude this goal from the set of the effective hierarchical planning system's goals. This set includes the following goals :-

- I- To produce all types in quantities equal to their corresponding demand in each time period.
- II- To control inventory levels for all types in the last period in the year to realise the corresponding planned levels.
- III- To control inventory levels for all families in each time period so as to realise that no overstock will occur for any family at any time period.

Deviation variables to be minimized are $d^-p_{it}^*$, $d^+p_{it}^*$, $t=1,2,3$.

ii - The second goal seeks to minimize the over-achievement of the goal level for the overstock of each family belonging to a type, at each time period. These constraints take the following form:-

$$\sum_{r=1}^4 l_{jrt} \theta_{jr} + d^-os_{jt} - d^+os_{jt} = OS_{jt} \quad (16)$$

(for $j \in J(i)$; $t=1,2,3$)

Where,

OS_{jt} = goal level for the overstock of family j in period t $j \in J(i)$, $t=1,2,3$

d^-os_{jt} = under-achievement of the goal level of the overstock of family j in period t .

d^+os_{jt} = over-achievement of the goal level of the overstock of family j in period t .

Deviation variables to be minimized are d^+os_{jt}

d) Regular Constraints

The regular constraints of the model take the following form:-

(i) ASSIGNMENT RESTRICTIONS:

Total fractional production of each family j must be added to unity, i.e.

$$\sum_{r=1}^4 \theta_{jr} = 1 \quad (17)$$

(for every j , $j \in J(i)$)

(ii) The integrality restrictions for the θ_{jr} 's

$$\theta_{jr} = 1 \text{ or } 0 \quad (18)$$

(For $j \in J(i)$; $r=1,2,3,4$)

(iii) NON-Negativity Constraints

$$\theta_{jr}, d^-p_{it}^*, d^+p_{it}^*, d^-os_{jt}, d^+os_{jt} \geq 0 \quad (19)$$

(for $j \in J(i)$; $r=1,2,3,4$; $t=1,2,3$)

It can be noticed that constraints (17) and (18) imply that each family be produced according to a single schedule.

e) Objective Function

The two goals of the disaggregation model are of the same priority level., that is the proposed model is a weighted linear, zero-one goal programming. The objective function is formulated as a scalar valued function of the deviation variables to be minimized that associated with each goal. This function for this goal programming is as follow:-

$$\text{Min } Z = \sum_{t=1}^3 WP_{it}^* (d^-p_{it}^* + d^+p_{it}^*) + \sum_{j \in J(i)} \sum_{t=1}^3 Wos_{jt} (d^-os_{jt}) \quad (20)$$

order (for $j \in J(i)$, $t=1,2,3$).

This linear, zero-one goal programming can be solved using linear, zero-one programming methods, or by relaxing the integrality restrictions of the zero-one variables and using continuous variable, if the problem is of the large size problem or by generating the possible effective combinations for the solutions of the zero-one variables, if the problem is of the small size problem. MO. 2 1991 (25)

DECISION RULES

As we discussed above, the family disaggregation model may in result a families production schedule that does not achieve goal 1 which relates to the co-ordination of the production schedule of the families in a type with the production schedule of that type. The attainment of this goal is necessary for assuring consistency between the aggregate production planning model and the family disaggregation model. The disagreement between the two models happend whenever the solution of the disaggregation model includes positive values either for $d^-p_{it}^*$ or for $d^+p_{it}^*$ at any time period t , $t= 1,2,3$ that is when the total amount to be allocated among all the families belonging to type i and any time period will either be below or above the desired goal level which is the amount to be produced of type i in the corresponding period, and has been determined by the aggregate planning model.

goal level for the overstock of each family in a given type, at each time period.

These goals for the goal programming model corresponds to the production scheduler's goals (1) and (3). Production scheduler's goal (2) relates to the minimization of the number of setups to be made for a given schedule, and is not explicitly considered.

The goal programming model includes five sets of elements:

a)- Input parameters

q_{jrt} = quantity to be produced of family j by means of production schedule r in period t ; $j \in J(i)$; $r=1,2,3,4$; $t=1,2,3$.

The four production schedules for each family j are calculated outside the model as shown in the following table:-

Schedule r for family j	Time periods t		
	$t=1$	$t=2$	$t=3$
$r=1$	$q_{j11}=D_{j1}^+ + D_{j2}^+ + D_{j3}^+$	$q_{j12}=0$	$q_{j13}=0$
$r=2$	$q_{j21}=D_{j1}^+ + D_{j2}^+$	$q_{j22}=0$	$q_{j23}=D_{j3}^+$
$r=3$	$q_{j31}=D_{j1}^+$	$q_{j32}=D_{j2}^+ + D_{j3}^+$	$q_{j33}=0$
$r=4$	$q_{j41}=D_{j1}^+$	$q_{j42}=D_{j2}^+$	$q_{j43}=D_{j3}^+$

Where D_{jit} is the net demand requirement for family j in period t , $j \in J(i)$, $t=1,2,3$; D_{jt}^+ is given by:

$$D_{jt}^+ = \begin{cases} \max(0, \sum_{T=1}^t D_{jT} - I_{j0}), & t=1,2,3 \text{ if } D_{j,t-1} = 0 \\ D_{jt} & \text{otherwise} \end{cases} \quad (13)$$

D_{jt} represent the demand forecast for family j in period t , and

I_{j0} is its corresponding initial inventory.

P_{it}^* the goal level for the sum of the production of all the families belonging to type i , $t=1,2,3$; P_{it}^* have been determined by the

aggregate planning model for product types.

I_{jrt} closing inventory in period t for family j produced according to production schedule r , $r=1,2,3,4$, & $V_{j,t}$, I_{jrt} 's are calculated outside the model as follows:-

$$I_{jrt} = I_{j0} + \sum_{T=1}^t (Q_{jr} - D_{jT}) \quad (14)$$

OS_{it} goal level of overstock for family j in period t ,

$$j \in J(i), t=1,2,3$$

$J(i)$ =set of indices of all families belonging to type i

b)- Decision Variables

The decision variables are the θ_{jr} 's, $j \in J(i)$; $r=1,2,3,4$ where,

1 if family j is produced according to production schedule r

θ_{jr}
0 Otherwise

c)- Goal Constraints

The first goal seeks to minimize the over-achievement and the under-achievement of the goal level for the sum of production quantities of all families belonging to a type, at each time period.

These constraints take the following form:-

$$\sum_{j \in J(i)} \sum_{r=1}^4 q_{jrt} \theta_{jr} + d^- P_{it}^* - d^+ P_{it}^* = P_{it}^* \quad (15)$$

(for $t=1,2,3$)

Where,

$d^- P_{it}^*$ = under-achievement of the goal level of the sum of the production quantities of all the families belonging to product type i in period t ; $t=1,2,3$.

$d^+ P_{it}^*$ = over-achievement of the goal level of the sum of the production quantities of all the families belonging to product type i in period t ; $t=1,2,3$.

in the next three periods.

The third goal reflects the desire to produce families in the correct quantities such that storage requirements for each family in each time period not to be violated. This goal is implemented by setting an overstock limit for each family in each time period, then scheduling families production such that inventory above overstock limit for each family in each period is minimized.

2- Procedure Development

The family production scheduling procedure to be presented assumes the existence of demand schedules for each family over a scheduling horizon of three periods. In formulating the production schedules of the families belonging to a product type, the scheduler considers the set of possible production sequences for each family such that the net demand requirements in each time period are met. Manne [14] suggested that it is enough to consider the dominant production sequence (or schedules) for each family, that is the production at any given period is either zero or the sum of consecutive demand for some number of periods into the future. When dealing with a time horizon of T periods, the total number of dominant production schedules to be considered are 2^{T-1} .

Thus for a scheduling horizon of 3 periods the total number of dominant production schedules for any family j is $2^{3-1} = 4$ and these schedules can be constructed as follows :-

$$q_{jt} = 0 \text{ or } q_{jt} = \sum_{e=1}^r D_{je}^* \quad (12)$$

$$, t = 1, 2, 3;$$

$$e \leq 1, r \leq 3$$

where,

D_{je}^* = the net demand requirements of family j in period e

q_{jt} = production of family j in period t

We mean by net demand in a given period, that demand which cannot be satisfied from initial

inventory in this period. If the initial inventory of a family is not zero, subtract it from the demand requirements in the first period to obtain the net demand for that period. If the initial inventory exceeds the first-period demand, continue with the adjustment process until all the inventory is used up.

In general, if D_{jt} is the forecast demand for family j in period t , I_{j0} is its corresponding initial inventory, the net demand D_{jt}^* of family j for period t is given by:-

$$D_{jt}^* = \begin{cases} \max(0, \sum_{T=1}^t D_{jT} - I_{j0}), i=1,2,3 \text{ if } D_{j,t-1}=0 \\ D_{jt} \text{ otherwise} \end{cases} \quad (13)$$

It is clear that, in using the policies defined in (13) for formulating the production schedules of families, may positively influence the attainment of the production scheduler's goal (2) but can violate goal (1) as previously defined. Goal (1) is attained only if $\sum_{j \in J(i)} q_{jt} = P_{it}^*$ for all $t, t=1,2,3$; where $J(i)$ is the set of families belonging to type i , P_{it}^* is the production of type i in period t determined by the aggregate plan, and q_{jt} is the production of family j in period t . This means that for each time period it is required to produce families such that the type production equals the sum of the production quantities for its families.

The cases where there exists unit deviations of $\sum_{j \in J(i)} q_{jt}$ from P_{it}^* for all t , that is when either the case of $\sum_{j \in J(i)} q_{jt} < P_{it}^*$ are met, Goal (1) is not attained and the resulting GP output needs to be adjusted. Since the disaggregation procedure would be implemented on a periodic basis, the adjustment is made only for the first period decisions (if it is required) to realize that goal (1) is attained in the immediate period. The adjustment is based upon the application of a set of decision rules.

3- Model Structure The goal programming model for the family disaggregation subproblem includes only two goals. These goals are as follows:-

- 1)- Minimization of the over-achievement and the underachievement of the goal level for the sum of the productions of the families in a given type, at each time period.
- 2)- Minimization of the over-achievement of the

d_{it}^- , $i=1, \dots, N$; $t=1, \dots, T$ associated with the set of constraints of goal 1.

V_{it} = Scalar weighting factors assigned to the positive deviational variables d_{it}^+ , $i=1, \dots, T$ associated with the set of constraints of goal 1.

U_{iT}^* = Scalar weighting factors assigned to the negative deviational variables d_{iT}^{*-} , $i=1, \dots, N$ associated with the set of constraints of goal 2.

V_{iT}^* = Scalar weighting factors assigned to the positive deviational variables d_{iT}^{*+} , $i=1, \dots, N$ associated with the set of constraints of goal 2.

The constraints sets of (5) - (10) are linear, and the objective function (11) is a linear function; the formulation can be solved using linear programming methods.

The model is considered a simple planning of aggregate production. It considers only one constrained production resource and it incorporates only a single option for varying the resource level.

The given goal programming model structure has been developed as a decision making aid for the management of a production firm in allocating the available resource to product types in an effective manner. It allows the management of the firm to view the effects of changes in magnitudes of demands of product types according to different cases assumed to the forecast errors, production resource levels or desired inventory levels. More just producing a single aggregate plan, it produces a set of significantly different aggregate plans by changing the weighting factors associated with each goal involved in the objective function, which reflects the uncertainty typically related to the establishing of the management's goals and their weights.

THE FAMILY DISAGGREGATION MODEL

In the following we propose a simple linear goal programming format for modelling the family disaggregation subproblem in which families

belonging to each corresponding type can be scheduled over the next three periods. We think that the horizon of three periods length is desirable for providing a disaggregation scheme that takes into consideration the advantage of minimizing the total number of setups over a suitable number of periods in future, moreover, the demand estimates for families for three later periods are easy to implement. The proposed multifamily, triple-period, scheduling problem would be implemented on a periodic basis. That is our disaggregation procedure requires forming a rolling horizon by solving a finite horizon triple-period problem and implementing only the first period decisions. One period later than triple-period problem is updated as better demand forecasts for families, and the corresponding aggregate planning decisions for types become available, and the procedure is repeated.

1- Scheduler's Goals

In scheduling families production in the next three periods, three goals are considered as follows:-

- 1- Co-ordinating production schedules of families belonging to a product type with production schedule that type.
- 2- Using production facility efficiently.
- 3- Controlling families inventory levels to ensure that no overstocks will occur.

These will be called the scheduler's goals.

The first goal reflects the desire to schedule families production such that the consistency between the aggregate production plan for types and the family disaggregation process would be assured. This goal is implemented by setting the amount determined by the aggregate plan for a type as a level for the sum of the production of the families in this type for each period in the scheduling horizon of three periods, then scheduling families production such that these levels are met.

The second goal reflects the desire to schedule production of families in a production type while minimizing the setup costs. This goal is implemented by setting as a goal the minimization of the total setup time of the families on a type

time period, just to satisfy demand in the period of production. This means that the amount of production not directly used to satisfy demand during the period of production needs to be zero. Given that this amount for type i in period t equal $(P_{it} - D_{it})$, then it is needed to let $P_{it} - D_{it} = 0$. But from the inventory balance relations we can show that $P_{it} - D_{it} = 0$ implies that $I_{it} - I_{i,t-1} = 0$. Therefore, the set of constraints associated with the first goal takes the following form:-

$$I_{i,t} - I_{i,t-1} + d_{it}^- - d_{it}^+ = 0 \quad (5)$$

(for $i=1, \dots, N; t=1, \dots, T$)

where

d_{it}^- = the underachievement of the amount of production not directly used to satisfy demand (or the excess of demand over production level) for product type i in period t .

d_{it}^+ = the over achievement of the amount of production not directly used to satisfy demand (or the excess of production level over demand) for product type i in period t .

Deviation variables to be minimized are d_{it}^-, d_{it}^+ .

(ii)- The second goal seeks to minimize the underachievement and the over achievement of the desired ending inventory level for all product types at the last period of the planning horizon. These constraints take the following form :-

$$I_{iT} + d_{iT}^{*-} - d_{iT}^{*+} = I_{iT}^* \quad (6)$$

where,

d_{iT}^{*-} = the underachievement of the desired inventory (or inventory below desired level) for product type i in the last period T .

d_{iT}^{*+} = the over achievement of the desired inventory (or inventory above desired level) for product type i in the last period T .

Deviation variables to be minimized are d_{iT}^-, d_{iT}^{*+} .

d)- Regular Constraints

(i) - Production-Inventory Balance Constraints

$$P_{it}^r + P_{it}^o + I_{i,t-1} - I_{it} = D_{it} \quad (7)$$

(ii) - Regular Production Capacity Constraints

To assure the regular production time in each period is fully used

$$\sum_{i=1}^N m_i P_{it}^r = (rm)_t \quad (\text{for } t=1, \dots, T) \quad (8)$$

(iii) - Limitation of Overtime Operation

To set upper limit for the total overtime available in each period

$$\sum_{i=1}^N m_i P_{it}^o \leq (om)_t \quad (9)$$

(iv) - Non-Negativity Constraints

$$P_{it}^r, P_{it}^o, I_{it}, d_{it}^-, d_{it}^+, d_{iT}^{*-}, d_{iT}^{*+} \geq 0 \quad (10)$$

(for $i=1, \dots, N; t=1, \dots, T$).

It can be noticed that constraints (5-7) and (5-10) imply that no back ordering is allowed.

e) Objective Function

The two goals of the model are of the same priority level, that is the proposed model is a weighted linear goal programming. The objective function is formulated as a scalar valued function of the deviational variables associated with the two goals. This function of this goal programming is as follows:-

$$\text{Min } Z = \sum_{i=1}^N \sum_{t=1}^T (U_{it} d_{it}^- + V_{it} d_{it}^+ + U_{iT}^* d_{iT}^{*-} + V_{iT}^* d_{iT}^{*+})$$

with $[U_{it}, V_{it}, U_{iT}^*, V_{iT}^*]$ of similar order (11)

where,

U_{it} = scalar weighting factors assigned to the negative deviational variables

the management's view of controlling the inventory levels of all product types while providing a reasonable level of safety stocks for each product in each period. This goal is implemented in practice by setting a level of inventory for each product type, then scheduling production such that these levels are met. Normally this level is calculated on the basis of maintaining enough inventory to satisfy average demand for certain number of periods. Consequently, the magnitudes of the desired ending inventory level for each product, to be controlled, will depend upon what management considered reasonable stockout protection, the quality of demand forecasts and the level of customer service to be provided.

2- Model Structure

The above discussion indicates that the goal programming model for aggregate planning of product types includes only two goals. These goals are as follows :-

- 1- Minimization of the over achievement and the under achievement of the amount of production not directly used to satisfy demand during the period of production for each product type, at each time period.
- 2- Minimization of the over achievement and the underachievement of the desired ending inventory level for each product type at the last period of the planning horizon.

These goals for the goal programming model are similar to the management's goal 3 and 4, and be formulated as the goal constraints of the model. The management's goals 1 and 2 related to the elimination of the under utilization of normal production capacity, and the limitation of overtime operation, respectively, are included in the set of the physical limitations of the production system and take the form of regular constraints.

The goal programming includes five basic sets of elements:-

a)- Decision Variables

Let P_{it} be the number of units to be produced

of product type i during time period t (where $i=1, \dots, N; t=1, \dots, T$),

$$P_{it} = P^r_{it} + P^o_{it}$$

Then the decision variables are:-

P^r_{it} = number of units to be produced of type i in regular time hours in period t .
(where $i=1, \dots, N; t=1, \dots, T$)

P^o_{it} = number of units to be produced of type i in overtime hours in period t .
(where $i=1, \dots, N; t=1, \dots, T$)

I_{it} = Closing inventory of product type i at the end of period t (where $i=1, \dots, N; t=1, \dots, T$).

b)- Parameters

D_{it} = Forecast demand for product type i in period t .

m_i = Production time (hours) required per unit of product type i .

$(rm)_t$ = Total regular production time available in period t (i.e. normal production capacity in hours).

$(om)_t$ = Total overtime hours available in period t .

I_{i0} = initial inventory level for product type i .

T = Time horizon, in periods.

N = Total number of product types.

I^*_{iT} = The desired closing inventory level for product type i in the last period T .

c)- Goal Constraints

The goal constraints of the model are as follows:-

- (i) The first goal seeks to minimize the over achievement and the underachievement of the amount of production not directly used to satisfy demand during the period of production for each product type, at each time period.

To achieve this goal exactly it is needed to schedule production for all types, in each

process, the production planning and scheduling problem is broken into a hierarchy of subproblems. Two subproblems are considered and based on the levels of product aggregation. In any planning period, the two subproblems are solved sequentially, with the solution of subproblem from the upper hierarchy imposing constraints on the lower hierarchy subproblem and the system only, implements decisions for the immediate period. The first subproblem is the aggregate planning subproblem which allocates production capacity among product types over the planning horizon of types (normally one year divided into twelve months). The second subproblem is the family disaggregation subproblem which allocates the production for each product type among the families belonging to that type by disaggregating the results of the aggregate planning model for some periods defined by the length of the scheduling horizon of families. Each planning subproblem in the hierarchical system has its own characteristics, including length of planning horizon, level of details of the required information, and management's goals.

Given the above twelve characteristics, the problem of the hierarchical production planning in a single-stage production system is to determine the production quantity for each product (i.e. item) in each time period so that the management's goals associated with each subproblem in the hierarchical planning system are met.

THE AGGREGATE PLANNING MODEL FOR PRODUCT TYPES

1- Management Goals

There are several objectives under which the management of the firm wishes to consider the aggregate production plan for product types over the multiperiod planning horizon. These include the following :-

- 1- Avoiding any under utilization of normal production capacity in each time period (no layoffs of production workers).
- 2- Limitation of the overtime operation to the desired level at each time period.

3- Satisfaction of demand requirements for all product types by production in each time period.

4- Realization of the desired ending inventory levels at the last period in the planning horizon for all product types.

The first goal reflects the desire firm to ensure regular time in fully used before overtime is employed. Moreover, the elimination of any under utilization of normal production capacity provides job security to the firm employees by considering fixed work force level.

The second goal illustrates that although the stable employment level with occasional overtime is a better practice than the unstable employment with no overtime, the management feels that overtime more than certain limits in each time period should be avoided. Overtime worked more than its upper limit is not desired because of the declining productivity caused by fatigue.

The management considers that goal 1 and goal 2 must be exactly achieved. Therefore, the two goals are formulated as regular rigid constraints. The normal production capacity constraints are expressed in the form of strict equations to justify that it is better to use all the available resource than to waste part of it. The overtime operation constraints are expressed in the form of inequalities of stipulate that the maximum capacity levels on the availability of production facility during overtime working hours should not be exceeded.

The third goal, to satisfy demand requirement for all product types in each time period by production in the same period reflects the desire of the firm to schedule production such that the demands are met, and the inventory holding costs, the handling costs and the transportation costs are minimized. This goal is practically implemented by minimizing the difference between the beginning and ending inventory levels for each product type in each time period.

The fourth goal, the realization of the desired ending inventory level for all product types at the last period of the planning horizon reflects

with

$$Z_k = f_k(d^-, d^+)$$

Where:

x_j : the j^{th} decision variable

Z_k : a vector valued function and denoted as the achievement function; a row vector measure of the attainment of the objectives or constraints at each priority level.

$f_k(d^-, d^+)$ is a scalar valued function (linear function) of the deviation variables associated with objectives or goal constraints at priority level k .

K is the total number of priority levels in the model.

g_i^* is the desired level for the i^{th} objectives or goal constraints.

$\sum_{j=1}^n g_{ij}x_j$ is a linear function that measures the actual attainment of the i^{th} objective or goal constraints.

d_i^-, d_i^+ are respectively the positive and negative deviation variables associated with goal constraints i or in other definition, the under-achievement and the over-achievement of the i^{th} objective or goal constraint, $\sum_{j=1}^n g_{ij}x_j$ from its desired level g_i^* .

THE RELEVANT CHARACTERISTICS OF THE HPP PROBLEM

It is a suitable time to focus on the production planning and scheduling problem in a single stage batch processing environment in the Hierarchical framework. The relevant characteristics of such problems are :-

- a- The production-inventory system is concerned with multi-products.
- b- There is only one facility to process all the products.
- c- Only one product can be made at any given time.
- d- For each product, the production rate is deterministic.
- e- The demand data for each product is not rigid, because demand forecasts for periods farther

into the future are likely to be of poorer quality. Hence, the demand data is continually revised as the demand forecasts become less uncertain.

- f- The quantity produced in each production run for a given product is variable.
- g- Back orders are not allowed, in other words, it is assumed that the sales lost in one period (i.e. the unfilled demand) cannot be recovered in the next period.
- h- For our study we assume that there are two levels recognize in the product structure (as identified by Hax and Meal [9]):

Product type: is a collection of items that have the similar seasonal demand pattern and the same unit cost, direct costs (excluding labour), holding costs per unit period, and production rate as defined by the number of units that can be produced per unit time.

Family: is a set of items within a type, such that the items share a common setup.

- i- The setup costs to be considered are those major setup costs associated with each family, assuming that the minor setup costs associated with items within each family is zero. This means that the setup cost depends only on the family being made. That is whenever a machine is prepared to produce an item of a family, all other items in the same family also be produced with minor change in setup. Seeking for simplicity, these minor changes in setups are neglected in this work.

- j- It is assumed that the setup times for all families are zero. This means that the capacity feasibility constraint will not include the setup times.

- k- It is assumed that there is no lead time. It should be noted that the problem can be easily generalized to the situations where lead times are non zero, by solving the problem with zero lead time and transforming the resulting solution into a feasible plan by adjusting the time of production by the amount of lead time.

- e- For coping with uncertainty of demand forecasts made at different points in time and reducing the complexity of the solution

the subproblems are solved sequentially, with the solutions of subproblems from the upper hierarchy imposing constraints on the lower hierarchy subproblems. Again the system only implements the decisions for the immediate period.

The hierarchical approach has potentially three advantages over the monolithic approach. The first advantage is that it is computationally simpler than a monolithic approach which must solve a large mixed-integer programming problem. The second advantage is that the hierarchical approach may require less detailed demand data, in that it needs only aggregate product demand data over the planning horizon (for the aggregate planning subproblem), with detailed product demand over a much shorter scheduling horizon (for the scheduling subproblem). The monolithic approach usually requires detailed demand data for all the planning horizon. The third advantage of the hierarchical approach is that it increases the interaction between the planning system and the decision-makers at each hierarchical level, and improves the co-ordination of objectives throughout the organization.

Several goal programming models have been reported in the literature for solving the production planning and scheduling problem. Lee [13], Lawrence and Burbridge [12], addressed the use of GP to solve planning problem at the aggregate level in terms of defining the production levels of different products, that require processing in a specified planning horizon. This previous research work in GP planning models did not attack the scheduling function of the problem in terms of determining how the available production resources should be allocated to each item in order to provide the best attainment of management goals for a given scheduling horizon. Gonzalez and Reeves [6] suggested a GP for developing a master production schedule for a batch production system. They formulate the production planning and scheduling problem as a large linear, zero-one goal program. Their model based upon the idea of considering the different potential production sequences as a parameter which must be defined outside the model and designed so that production plus available inventory in each period will be sufficient to

satisfy known demand for each product in each period. They use the proof of Manne [14] about considering only such schedules that at given time periods produce either zero or the sum of consecutive demands for some number of periods in the future and that the number of production schedules limited to a maximum of 2^{T-1} for every product, where T is the specified planning horizon to be covered by the schedule (in their illustrative examples they consider a planning horizon consisting of six periods). Once a particular schedule is defined, its characteristics in terms of costs, inventory levels, resource requirement, etc are computed and used as input parameter to the GP model. Their model is a large-linear zero-one goal program, which is quite difficult to solve for realistically-sized problems. This is because they fail to recognize the levels of product aggregation and hence cannot exploit implementation and computational opportunities suggested by these product aggregates. They consider three goals in their GP, minimizing total economic cost, minimizing the cumulative level of inventory and minimizing the over and/or under - utilization of the desired level of limited resources. They include the setup time in the goal constraint of minimizing the total economic cost. They solve their model by relaxing the integrality restriction and using continuous decision variables (instead of zero-one variables) then be rounded to give a feasible solution.

Generally, the Linear Goal Programming Problem is in the following specific form

$$\text{Minimize: } Z = (Z_1, Z_2, \dots, Z_k, \dots, Z_k) \quad (1)$$

Such that:

$$\sum_{j=1}^n a_{ij}x_j + d_i^- - d_i^+ = g_i^*, \quad i=1, \dots, q \quad (2)$$

(Goal constraints)

$$\sum_{j=1}^n a_{ij}x_j \leq b_i, \quad i=1, \dots, m \quad (3)$$

(Regular Constraints)

and

$$x_j, d_i^-, d_i^+ \geq 0, \quad j=1, \dots, n; \quad i=1, \dots, q \quad (4)$$

(non-negativity constraints)

USING MULTIPLE OBJECTIVE TECHNIQUES TO MODEL HIERARCHICAL PRODUCTION PLANNING PROBLEMS (PART 1: THEORETICAL STUDY)

* Dr. MOHAMED H. RASMY ** ENG. SALAH ISMAIL

ABSTRACT

This paper proposes a new approach for solving the production planning and scheduling problem "Goal programming Approach to Hierarchical Production Planning". This approach combines the attractive feature of both goal programming as a powerful tool for multi-objective analysis and the hierarchical system as an effective framework for decision making in a single-stage batch processing environment.

The proposed procedure assumes that there are two levels of the product aggregation in the production structure from the Hax and Meal framework [9]. Production items may be aggregated into families and families aggregated into types. Type is a collection of items that have the same demand pattern, the same unit costs, direct costs (excluding labour costs), holding costs per unit per period, and the production time required per unit. A family is a set of items within a type such that the items share a common setup. This form of aggregation may result in partitioning the production planning and scheduling problem into two subproblems in a hierarchy. The two subproblems are the aggregate production planning subproblem and the family disaggregation subproblem. The aggregate production planning subproblem the highest level of planning in the hierarchical system, is concerned with the effective allocation of production resources amongst product types to satisfy demand over a specified planning horizon. Typical decisions to be made at this level are the determination of production and inventory levels for each product type and regular and overtime workforce levels in each time period. The family disaggregation subproblem, the second level of planning, is concerned with the disaggregation of aggregate production plan for each type into production schedules for families belonging to that type over a short scheduling horizon. Typical decisions to be made at this level are the determination of production and inventory levels for each family within a type in each time period in the scheduling horizon.

The application of these models will be introduced in a separate paper in near future.

INTRODUCTION

Various methods for solving the single stage production planning and scheduling problem, have been reported in the literature. These methods range from simulation to search procedures, heuristic rules, and explicit mathematical solution. The mathematical programming methods can be classified into two distinct approaches:

The first approach termed a Monolithic approach, formulates the problem as a large mixed -integer linear programming problem (e.g. Manne [14], Zielinski and Gomory [4], Lasdon and Terjung [11]). Typically the mathematical program is

solved approximately each planning period with only the immediate periods decision being implemented. The most common solution procedure (e.g. [14], [4], [1]) has been shown to be equivalent to using a Lagrangean relaxation to solve the dual to the mixed-integer program. The dual solution is then rounded to obtain a good feasible solution.

The second approach is a Hierarchical approach which partitions a production planning and scheduling problem a hierarchy of subproblems (e.g. Hax and Meal [9]). In any planning period,

- 2- The sensor structure is very small, with light weight, and its protection against wind should be inexpensive, however putting it on the ground should be just enough where at higher wind speeds the tracking should be deactivated and the pannels should be positioned horizontally.
- 3- It awakes immediately at sunrise unlike the zomework tracker, where the illumination limit sensor will start up the system according to illumination level rather than the thermal effects of the sun which is used to be cold in the morning.

REFERENCES

- 1- C.F. GAY, J.W. YERKES, and J.H. WILSON "Performance advantages of two-axis tracking for flat-plate photovoltaic energy system", Sixteenth IEEE photovoltaic specialists conference proceedings, 1982, pp. 1368-1376
- 2- RADAL, J., and LIEBERMAN, M. "Passive tracker for photovoltaics" Presented at the 1984 annual meeting of the American Solar-Energy Society, Anaheim, California, June 5-9, 1984.
- 3- JOHN F. SCHAEFER and MICHAEL A. LIEBERMAN "Evaluation of energy performance of a single-axis tracking photovoltaic arrays", Seventeenth IEEE photovoltaic specialists conference proceedings, 1984, pp. 860-864.
- 4- R. E. L. TOLBERT and J. C. ARNETT "Design, installation and performance of ARCO solar photovoltaic power plants", Seventeenth IEEE photovoltaic specialists conference proceedings, 1984, pp. 1149-1152.

illumination limit sensor is used to power up the system. The microcomputer should scan the sensor output every one minute and corrects the sensor's position if necessary by sending two types of commands, namely Read Command and Steppermotor Command.

Read Command

The microcomputer sends on port B of the PIA(PB0-PB2) the read command signal which selects the addressed solar cell or position sensor or threshold sensor according to program. This is done using the analog switch multiplexer. The output of the analog will be sent to the A/D converter which will be sent to the microcomputer through port A of the PIA (PA0-PA7). The cells are sequentially scanned, once the microcomputer reads all the solar cells output it will be able to make a decision and send the steppermotors commands to move one step. This process is repeated until the outputs of the four cells are equal.

STEPPER MOTOR COMMAND

Each steppermotor driver has two input signals, the first one to specify the direction of rotation, while the other is for the clock.

The system operation is as follows:

- 1- When the illumination limit sensor powers up the system, the automatic reset circuit will reset all PIA register to zero, and will reset program counter to 0000 as well to start initializing the system.
- 2- Load DDRA with 00 to act as an input port, and load DDRB with FF to act as an output port.
- 3- The microcomputer send commands through PIA to read P1-P2 and C(1)-C(4) and start routine MAXC to find out the cell with maximum output, that will be the cell with maximum exposure.
- 4- The sensor structure should rotate around its axial axis until cell 1, the reference cell, replaces the one with maximum exposure, as an initial position correction. Hence if C(1) is the one with maximum exposure, then no initial movement is needed, but if any other cell C(1) is the one with maximum exposure then an axial

rotation is needed. The direction of rotation and the number of steps needed are determined by P1. If C(1) location read J on P1 and the highly exposed sensor is C(I), then the CW movement needed is $(I-1)*5000$ steps but if $J+(I-1)*5000$ greater than 20,000, then the initial movement should be ACW and equal to $(4-I+1)*5000$ steps.

- 5- Axial position is corrected step by step, where in every step the following procedure is adopted:
 - i - Read C(2), C(4), and P1
 - ii - Let $X = C(2) - C(4)$,
 - iii- If $X=0$, then axial correction is done and the command goes to diagonal correction,
 - iv - If X is greater than 0, then move two steps CW, and the command goes to 1,
 - v - If X is smaller than 0, then move two steps ACW, and the command goes to 1.
- 6- Diagonal position is corrected step by step, where in every step the following procedures is adopted:
 - i - Read C(1), C(3), and P2
 - ii - Let $Y = C(1) - C(3)$
 - iii- If $Y = 0$, then diagonal correction is done and the command goes to record,
 - iv - If Y is greater than 0, then move two steps ACW, and the command goes to 1.
 - v - If Y is less than 0, then move two steps CW, and the command goes to 1.
- 7- Record of P1 and P2 is taken for the correction of the position of real panels, or concentrators. Pause for one minute and go to step (5) for axial position correction.

We can conclude that among these trackers the proposed one in this paper can be considered the cheapest and the most reliable one for the following reasons:

- 1- It can be operated in any place using the same program reside in it, hence it does not need to have the computed sun position stored in its memory. The computed sun position is unique to each location in the world. It does not need a very accurate clock like that one which is needed in heliostat tracking.

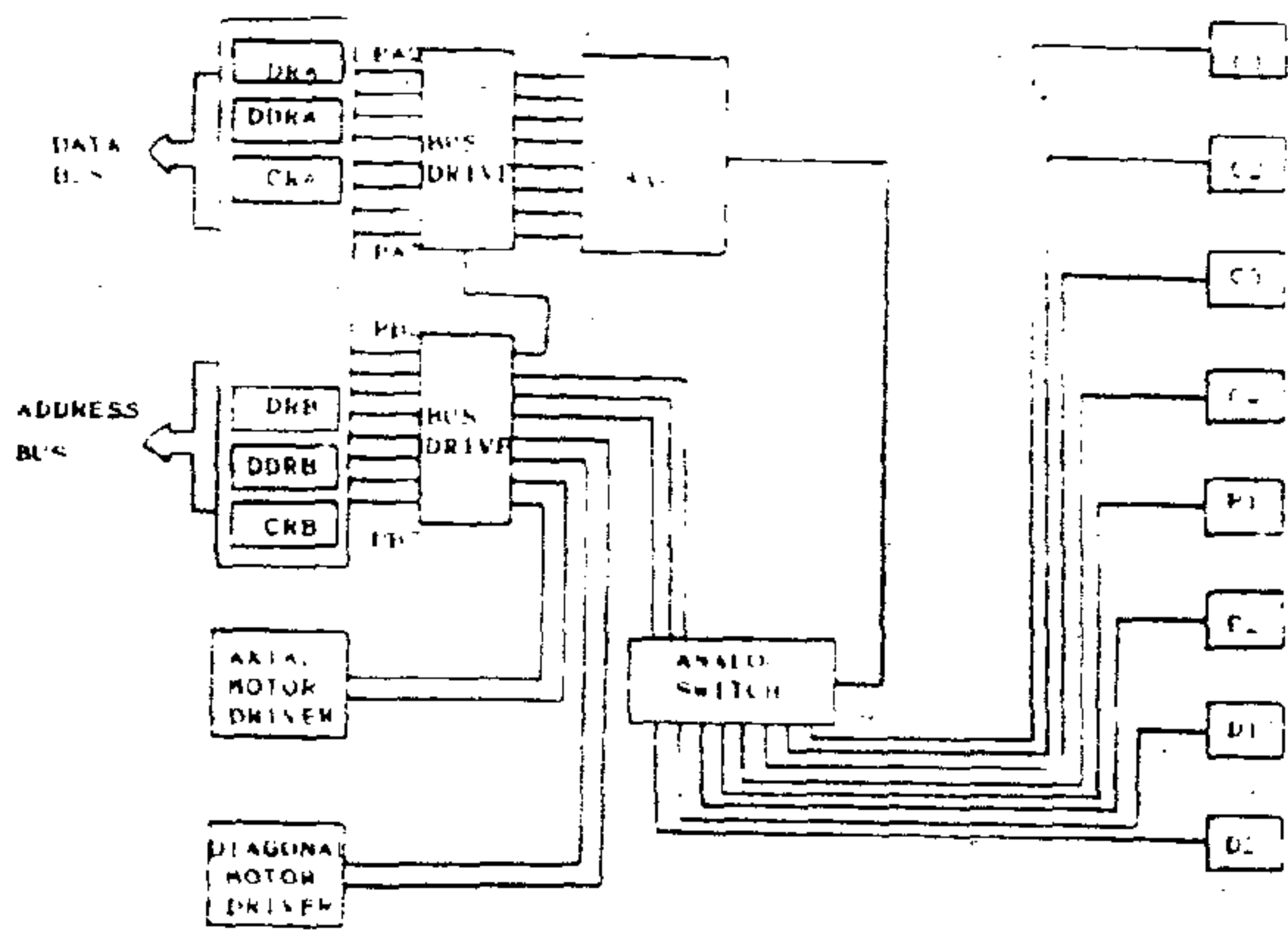


figure (20). Interface Board

steppermotors. The PIA registers are treated as a set of memory locations by the 6802 system. It reads and writes these registers as it would in any memory location. The lines connecting the PIA to the 6802 I/O bus are shown on the left side of figure (20). The connection between the PIA and the sensor system is shown in the right side of figure (20). These are two groups of eight bidirectional data lines (PA0-PA7 and PB0-PB7) and two control lines (CA1 and CA2, or CB1 and CB2) for each side. PA0-PA7 connected to the 8-bit A/D converter, PB0-PB2 connected to an analog switch multiplexer, PB3-PB4 connected to the axial stepper motor drive circuit, PB3 determines the direction of rotation while PB4 for the stepper motor driver clock, PB5-PB6 connected to diagonal stepper motor drive circuit, PB5 determines the direction of rotation while PB6 for the stepper motor driver clock, PB7 controls the flow of data on port A.

THE MICROCOMPUTER BOARD

It consists of the main microcomputer board of the type MEK6802D5. This main board consists of an MC6802 microprocessor, D5BUG firmware in an MC68A316E ROM, six 7-segment multiplexed display, a 25 key scanned key pad, 300 K.B. standard cassette interface, and on board power supply. The board is provided with uncommitted user peripheral interface adaptor which is used to interface the external circuit boards to the microcomputer board. The

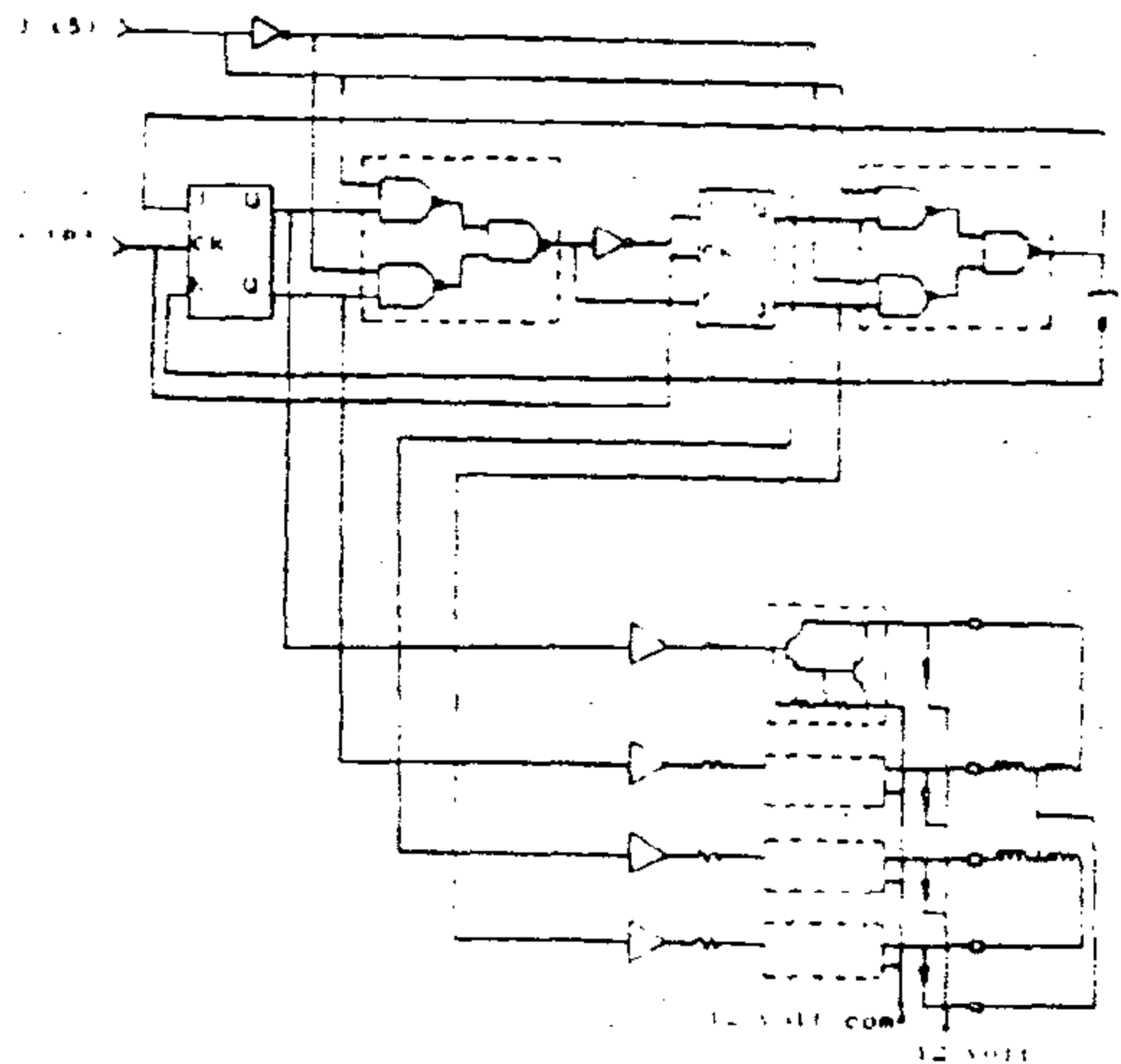


Figure (3). Steppermotor driving board

system monitor residing in the factory programmed ROM contains the operating system firmware program which controls the system peripheral interface adaptor interfaces the key board and display to the microprocessor. Moreover it interfaces the cassette interface circuitry and trace the instruction timer to the microprocessor.

ILLUMINATION LIMIT SENSOR

The sensor consists of four pyramidal shape photoresistor sensors to control the illumination level at which the system is powered up to start or to shut down the system. The four photo resistors are connected in parallel across the gate circuit of the switching power device (triac). When the resistance of any of the four photoresistors decreases to a certain level due to sufficient illumination the triac will be switched on and the solar tracking sensor will be powered up, and when the resistance of the sensor assembly increases beyond a certain limit, the gate current of the triac will drop and hence, the system will be de-energized.

SYSTEM OPERATION

As mentioned earlier this tracking system should improve the efficiency of the system, therefore its consumption should be minimized. Hence the

SYSTEM DESCRIPTION

The system comprises four main parts, namely, (1) The sensor structure, (2) The interface circuit, (3) The microcomputer system, and (4) The illumination limit sensor.

THE SENSOR STRUCTURE *

It is composed mainly of the transducer and the mechanical mounting, Fig. 1, which can be summarized as follow (1) The transducer consists of four p-n junction solar cells each of area of one square centimeter mounted on a single plate divided into four rooms by two perpendicularly intersected walls. The cells are positioned regularly in rooms number 1, 2, 3, and 4 around the point of intersection of the walls. Each of the four p-n junction solar cells is shunted by a one ohm standard resistor. The height of the separating walls is 5 cm. which corresponds to the complete shadowed area at deviation from normal incidence by 11.3° . Using an 8 bit A/D converter this will correspond to an error not exceeding 0.044° . Cell number 1 occupying room number 1 will be considered as the reference cell. The two axes tracking is designed so that the sensor can follow the sun. The first axis is the line of intersection of the two perpendicular walls for the axial motion while the second axis is the diagonal connecting rooms 2 and 4, for the diagonal motion. The stepper motors are used for both axial and diagonal motions, each with 200 steps per revolution corresponding to 1.8° per step. Additional speed reduction gears reduces the speed by a factor of 100 will reduce the step size to 0.018° . The axial motor will need 20,000 steps to rotate the sensor one complete revolution, while the diagonal motor will need only 5000 steps for one quarter revolution. Two ten turns potentiometers P1 and P2 are coupled to the motors axes through a speed reduction gear to reduce speed by factor 10 to be used as position sensors. P1 for axial motion and P2 for diagonal motion. P1 will measure 0.0 when cell number 1 is in the North-eastern quarter, while cell number 4 is in the North-western, and will be full scale (20,000) when cell 1 is in the North-west quarter. P2 will measure 00 in horizontal and 5000 when it is vertical. Two microswitches are installed for both

axial and diagonal motion to limit the range of motion of the system on both axes within the allowed range.

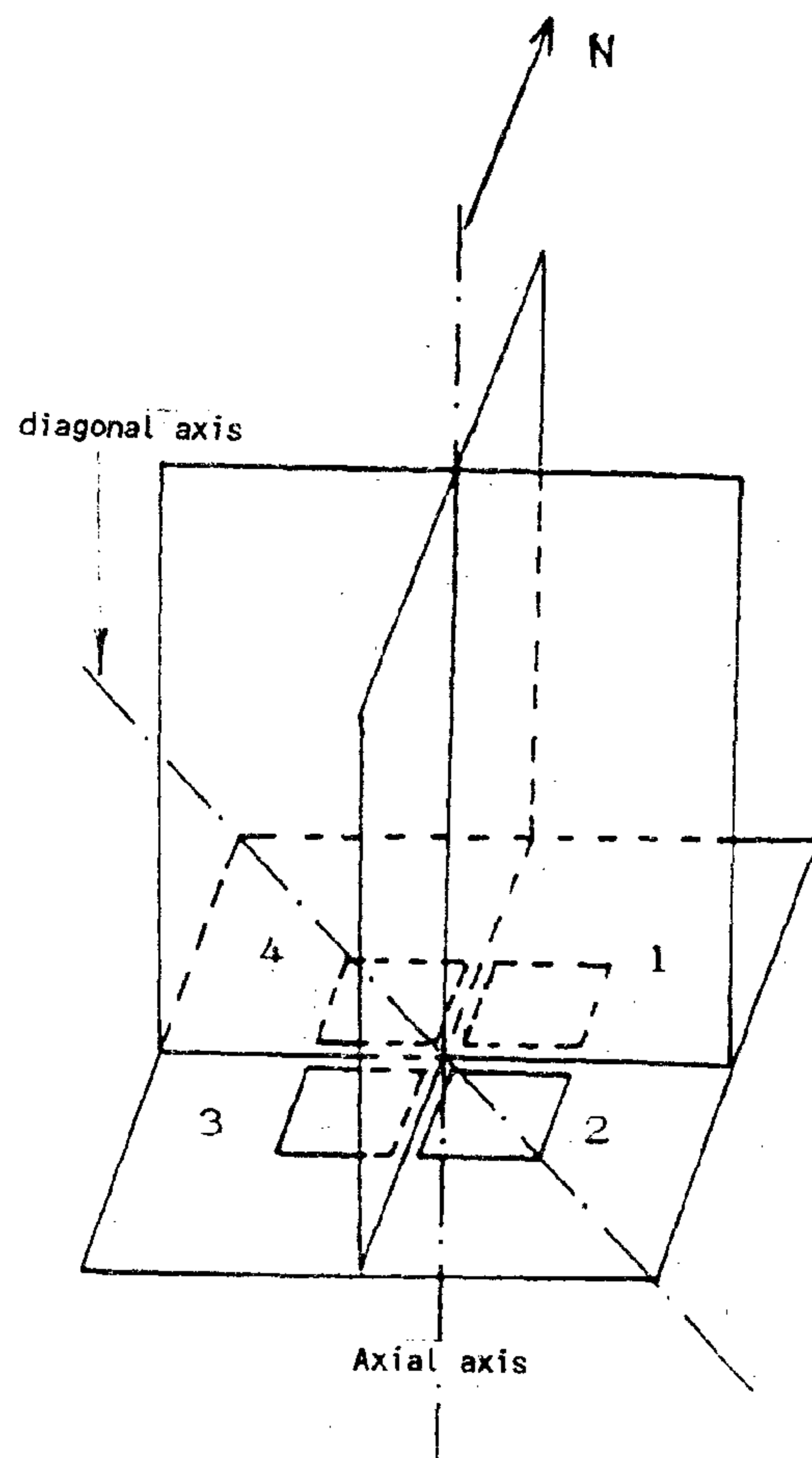


Figure (1). Solar transducer

INTERFACING

The object of the interface circuit is to enable the microcomputer to communicate with the external sensor and to perform input/output function between the bidirectional internal bus of the microcomputer and the lines associated with the external devices. The peripheral interface adaptor, PIA, Figure (2), a 40 pin IC is used to control the parallel data transfer between the microcomputer and the external system. The external system comprises the four square centimeters photovoltaic cells, position sensors, illumination limit threshold, and the two

MICROCOMPUTER CONTROL SOLAR TRACKING SENSOR

M.T. EL-HAGRY M.B. SALEH I.M. MOTAWIE

ABSTRACT

The shadowing effect on the photovoltaic cells is used in this work to develop a cheap and accurate sun follower. The sensor assembly of this sun follower is composed of four photovoltaic cells located adjacent to the four corners of two perpendicular intersected walls. This assembly is driven in the axial and diagonal direction to track the sun using two stepper motors. The microcomputer is used to drive the stepper motors so that there will be no shadowed part on any of these cells.

INTRODUCTION

The efficiency of the solar cell depends on the amount of the effective radiation that reaches the solar cell junction. This radiation must pass through a number of different layers before it reaches the solar cell junction. These layers are: (i) air, (ii) substrata of the solar panel, (iii) antireflection coating, and (iv) surface of the solar cell. Each layer has its refractive index and transmission coefficient. The fractional power loss due to reflection and absorption in each layer should be minimized to improve the solar system performance. The fractional absorbed power may be controlled by the choice of the materials of the aforementioned layers. Whereas the variation of the fractional reflected power may be controlled by changing the angle of incidence of sun radiation. Different methods have been used in sun-tracking. Perfect tracking would increase the collected energy by more than 40 % over the fixed along the local meridian [1]. One method (Zomework corporation freon-operated tracker) is depending on the gas expansion phenomenon, where tracking is affected through differential heating by the sun of five pounds of freon R-22 refrigerant in two interconnected cylinders [2]. Two minor totally anticipated phenomena was observed [3]: high wind can impede the sun-following, and the tracker do not awaken immediately at sunrise each day. Moreover this tracker is a single axis one. Other method which are extensively used for thermal implementation of solar energy, or for concentrator with the PV are used with flat panels [4], namely the heliostat-type tracking structure. A microcomputer-based control system drives the

tracker in accordance with an algorithm which is synchronized with a very accurate clock. Since the tracker and control system has been designed for the accurate tracking required for heliostat operation, they should have more than adequate accuracy for solar tracking with flat plate PV modules.

In this work a solar directional sensor is designed to determine the direction of the solar radiation. It comprises two main parts, namely the sensor structure, and the control unit. The sensor structure is composed of four p-n junction solar cells of square form of one squared centimeter area positioned symmetrically around the corners of two perpendicular walls of certain height. Each cell gives 130 mv output in a cloudless day with sun overhead. At any time during the day the output of these cells are measured and compared resulting in two error signals that would actuate two stepper motors. One motor is axial and the other is diagonal. The correction is continued until the output of the four cells are equal. This indicates that the direction of the solar sensor is facing the sun radiation. The control unit consists of the stepper motors driving board, solar cell measuring circuit board, the analogue to digital converter board and the main microcomputer board of the type MEK6802D5. The main feature of the system is the low power consumption. This is performed by using illumination limit sensor as a power switch which controls powering the system when illumination level is enough, and switch off power during shadowing, cloudy days or during night when the two axes tracking is useless.

Thus,

$$E = E_s (I''/I') (K''/K') ((D_1 + C_1 + D_2 + C_2 + \dots) / D_s (1 + C_s)) \quad (7-A)$$

Always in precise potentiometers the current is controlled by more than one dial, beside, mainly, a continuously variable control which makes $D_s = E_s$, so we have

$$E = (K''I''/K'I') ((D_1 + C_1 + D_2 + C_2 + \dots) / (1 + C_s)) \quad (8-A)$$

Also the dimensions of K' and K'' are chosen such as the dial readings indicate volts directly. Then it is possible to change the ratio $I''K''/I'K'$ to be a multiple of ten to some negative power, which produces the potentiometer range

$$\text{Let } I''K''/I'K' = F(1 + C_f) \quad \dots \quad (9-A)$$

Where:

F - the range multiplying factor for the measuring dial readings (1, 0.1, 0.01, ...).

C_f - is a small proportional correction to the range dial.

Due to the design of compensated potentiometer C_f is a constant of the instrument and it is represented by only one value at any range of the instrument.

Hence, the e.m.f. measured at balance by the potentiometer at the E.M.F. terminals is given by,

$$E = F(1 + C_f)(D_1 + C_1 + D_2 + C_2 + \dots) / (1 + C_s) \quad \dots \quad (10-A)$$

Neglecting squares and products of small quantities then,

$$E = F(1 + C_f - C_s)(D_1 + D_2 + D_3 + \dots + C_1 + C_2 + C_3 + \dots) \quad \dots \quad (11-A)$$

However, from equations (6-A) and (9-A) we have the correction C_s interdependent with the correction C_f , so it is convenient to assume that one of them is zero and that the other one has the value which may be attributed to the sum of the two. The most useful way is to assume that C_f , at the range factor $F=1.0$, equals to zero i. e. $C_{f1.0} = 0$, and hence C_s will have a value for each setting of the standard cell dials D_s . Consequently it is only necessary to determine C_f for each other range except (X1.0).

Furthermore, even when the potentiometer current is correctly adjusted and all dials are at zero, there may be small emf at the E.M.F. terminals. This residual e.m.f. constants of stable and transient components, which may originate in several places in the potentiometer. Therefore, it is difficult to establish the zero corrections $C_1^0, C_2^0, C_3^0 \dots$ of first, second and third dials... etc. separately. It is more convenient to assume that these zero positions are zero; and to introduce a compensating terms e_0^f to include all components of the residual e.m.f. in the specified range [8].

Thus the e.m.f. at the E.M.F. terminals of the potentiometer can finally, be expressed as;

$$E = F(1 + C_f - C_s)(D_1 + D_2 + D_3 + \dots + C_1 + C_2 + C_3 + \dots) + e_0^f \quad (12-A)$$

Generally, in highly accurate potentiometers, the battery and standard cell are always independent of the potentiometer, so for the purpose of calibrating a potentiometer, it is only necessary to calibrate its resistors. We can select a resistor or group of resistors and assume that this one is without error. Then proceed to determine the ratio of all other resistors to this selected one.

7- N.R. Bell, "Verification of the Performance of Measuring Instruments", Science, Education & Management Division Part 1, 3rd Vacation School on LF & D.C. Electrical Measurement Practice, 1974.

8- R.J. Smith, "Calibrations of a potentiometer", Unpublished Notes, N.R.C., Canada, 1966.

9- Abul H. Abdel Rahman, "A High Accuracy Measuring System For Maintaining The National Standard of Voltage". Ph. D. Thesis, 1987.

APPENDIX A

THEORETICAL CONSIDERATION

In general, the circuit diagram of the precise constant current d.c. potentiometer can be simply considered as shown in figure (2) after Smith [8], where B is a dry battery, R_S & R_E are uniform variable resistors in the standard cell and measuring circuit respectively.

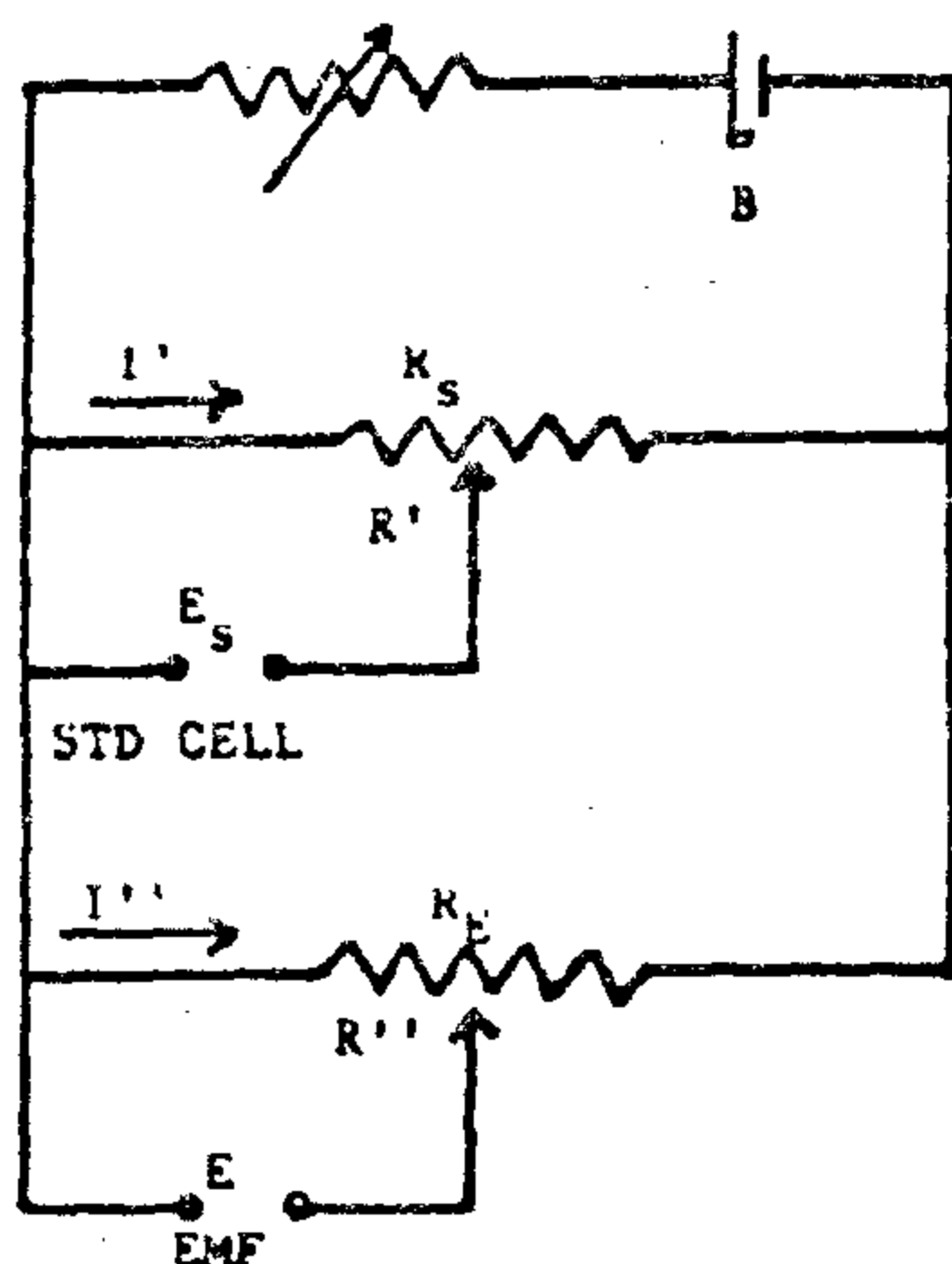


Figure (2). Simplified circuit of constant current d.c. potentiometer

The current from the battery causes differences of potential E_S between the standard cell terminals, and E between the E.M.F. terminals. E_S and E are proportional to the tapped off resistances R' and R'' , and to the currents I' and I'' flowing through them.

A standard cell of known emf is connected to the standard cell terminals. When R' is adjusted until the emf E_S is balanced against the battery voltage, we have

$$E_S = R' I' \dots (1-A)$$

Then without changing the current, the unknown emf is connected to the E.M.F. terminals, and another balance is obtained by adjusting R'' , then

$$E = R'' I'' \dots (2-A)$$

Hence

$$E/E_S = R'' I'' / R' I' \dots (3-A)$$

or

$$E = E_S R'' I'' / R' I' \dots (4-A)$$

Which is the fundamental equation for the measured emf by a potentiometer [8].

If the supply current is maintained constant and the resistances R_E and R_S are calibrated to read the respective voltage drops, then R'' is approximately proportional to the readings on the measuring dials, which corresponds to the switch settings [8], hence,

$$R'' = K'' (D_1 + C_1 + D_2 + C_2 + D_3 + C_3 + \dots) \dots (5-A)$$

Where,

D_1, D_2, \dots etc. the nominal readings of the first, second ... etc. dials.

C_1, C_2, \dots etc. the corrections for these dials at settings D_1, D_2, \dots etc.

K'' is a constant.

Similarly, the resistance R' is approximately proportional to the reading on the standard cell dial, i.e.

$$R' = K' D_S (1 + C_S) \dots (6-A)$$

Where:

D_S - the nominal reading of the standard cell dial.

C_S - the correction in proportional parts for standard cell dial at setting D_S .

K' - constant.

The results obtained from the computer showed that the linearly corrections to the main dials did not exceed 2×10^{-5} of the reading, while the zero error was 0.8 micro volt on the 1.0 range, and less than 0.1 micro volt on the 0.1 range.

5- CONCLUSION

It has been shown theoretically and experimentally that the proposed method for calibrating the main dials of d.c. potentiometers is not only feasible but it can drastically reduce the work done and the time associated with other traditional calibration methods.

While in other methods it was needed, for each potentiometer, to develop a suitable calibration procedure depending on its construction, and to perform the linearly corrections by more than one form of testing procedure, using at least two reference sources, the suggested method is unitary for all types of potentiometers, with only one test procedure, and needs one measuring instrument without any reference source.

It was confirmed, from our method, that obtaining the agreement between the dials is only sufficient to obtain the total linear corrections without the need to compare the dials steps with a reference resistance.

It is obvious that comparing each step of a dial with the total of the next lower dial is exactly the same as comparing these steps with an equal external resistance. This means that the procedure of comparison with a nominally equal resistance is no more than a duplication of the work, besides, it introduces additional sources of errors in the measurements.

On the other hand, as all potentiometers are essentially voltage measuring networks, the output voltage is always a combination of the voltages appearing on the dials. Thus, it is preferable from the calibration point of view, to determine the terminal voltages relative to the various dial settings rather than measuring the dial resistances.

The certainly of measurements was greatly increased by the use of the D.V.M. It also substantially reduced the time elapsed in calibration, while enabled automatic data processing.

moreover, an important advantage of our method was that calibration included the effect of all lead resistances and reproducible contact resistances in the potentiometer.

6- ACKNOWLEDGEMENTS

The authors wish to express their gratitude to prof. Dr. I.H. Saad, Chief of the Electrical Division, N.I.S. for his guidance and valuable advice. Thanks are also due to Eng. A. Sallam, Electrical Division, N.I.S. for the help he offered.

REFERENCE

- 1- R.Ohlon., "Some Notes Concerning Calibration of Potentiometers.", National Institute for Standards, Cairo, Egypt, 1967.
- 2- F.C. Widdis, "D.C. Measuring NETWORKS", Science Education & Management Division, Part 1, 3 rd vacation school on LF & D.C. Electrical Measurement Practice, 1974.
- 3- P.M. Olifford, "Principles of Self Checking". Science Education & Management Division, Part 1, 3 rd Vacation School on LF & D.C. Electrical Measurement Practice, 1974.
- 4- J. J. Hill, T.A. Deacon, "Calibration of Precise D.C. Potentiometer by an A.C. Method", Proc. IEE Vol. 155, No. 6, June 1968.
- 5- Operating Instruction Guidelines Insts. "Microvolt Potentiometer type 9174", March 1964.
- 6- T.J. Witt, D. Reymann, "New Equipment and procedures for the Maintenance and Comparison of Standards of Electromotive Force at the BIPM", Report BIPM. 82/5, 1982.

Subtracting the two equations, while subtracting equal nominal volts for the D,S, we get;

$$Z_N^N = (V_N / S_N) + C_N^{Vn} - C_N^{Sn-1} \dots (21)$$

Where:

Z_N^N is the difference in volts between the two readings.

The general expression becomes;

$$Z_N^L = C_N^L - C_N^{(L-1)} + V_N/S_N \dots (22)$$

Hence,

$$C_N^L - C_N^{(L-1)} = Z_N^L - V_N/S_N \dots (23)$$

From equation (23) the value of the correction C_N^L can be determined for each step of dial N, taking into consideration that $C_N^0 = 0$.

3.4- EVALUATION OF THE ZERO CORRECTION e_0^f

The correction e_0^f can be determined by measuring the e.m.f. at the E.M.F. terminals of the potentiometer when all main dials are at zero position. The measurement is accomplished for each position of the range switch by using a D.V.M. of very small offset error.

The potentiometer under test is first to be standardized and connected to the D.V.M. The galvanometer terminals must be short circuited by short copper wire. However, precautions have to be made by using screened copper leads and thermal insulation in order to reduce any external thermal e.m.f.'s.

The measurement equation will then be:

$$0 = F(1+C_f)(D_1^0 + D_2^0 + \dots + D_N^0 + C_1^0 + C_2^0 + \dots + C_N^0) + e_0^f + Z_0^f - \delta \dots (24)$$

Where:

Z_0^f is the measured e.m.f. at zero dials settings, at position F of the range switch.

Substituting nominal values for D,s, while remembering that all C^0 's are equal to zero, we have,

$$e_0^f = -Z_0^f + \delta \dots (25)$$

4- EXPERIMENT AND RESULTS

For potentiometers having decade-steps dials, our method of calibration is quite simple and straight forward. However, to clarify that it is suitable for any type of potentiometers, we have chosen for our experiment an unusual type of potentiometers*. This instrument has two ranges and five measuring dials. The voltage coverage is from 1.1V to 10 micro volt on the 1.0 range. Only the first and last dials have 10 steps, while the other three dials contain only 9 steps each. In this case we modify equation (6) to be written as

$$D_1^1 + D_2^0 + D_3^0 + \dots + C_1^1 + C_2^0 + C_3^0 + \dots + e_0^f - \delta = D_1^0 + D_2^2 + D_3^0 + \dots + C_1^0 + C_2^2 + C_3^0 + \dots + e_0^f - \delta + K_1^1 \dots (26)$$

Where:

K_1^1 is the voltage difference between the two readings.

To satisfy the normal conditions, imagine an extra step of dial II, nominally equal to V_2/S_2 and has no error. Then equation (26) will be:

$$D_1^1 + D_2^0 + D_3^0 + \dots + C_1^1 + C_2^0 + C_3^0 + \dots + e_0^f - \delta = D_1^0 + D_2^2 + D_3^0 + \dots + C_1^0 + C_2^2 + C_3^0 + \dots + e_0^f - \delta + (K_1^1 - V_2/S_2) \dots (27)$$

Hence,

$$Z_1^1 = K_1^1 - V_2/S_2 \dots (28)$$

Substituting in equation (14);

$$C_1^t = \Sigma_1^t (K_1^t - V_2/S_2) - (t/s_1) \Sigma_1^{S1} (K_1^t - V_2/S_2) = \Sigma_1^t K_1^t - (t/s_1) \Sigma_1^{S1} K_1^t \dots (29)$$

Which is the same equation investigated before. Hence the same procedure can be used without the need to any modification.

The D.V.M. used in the measurements is the H.P. Model 3456 A. It provides a resolution of 0.1 micro volt and a steady state input resistance $> 10^{10}$ ohms at the usable range. The D.V.M. was connected to the HP 9836 micro computer where the measurement data were directly processed.

$$D_1^2 + D_2^0 + D_3^0 + \dots + C_1^2 + C_2^0 + C_3^0 + \dots + e_{0-\delta}^f$$

$$= D_1^1 + D_2^{V2} + D_3^0 + \dots + C_1^1 + C_2^{V2} + C_3^0 + \dots + e_{0-\delta}^f + Z_1^2 \quad (8)$$

then

$$C_1^2 = C_1^1 + C_2^{V2} + Z_1^2 \quad (9)$$

Substituting the value of C_1^1 from equation (7)

$$C_1^2 = 2 C_2^{V2} + Z_1^1 + Z_1^2 \quad (10)$$

By continuing in this manner, the equation will be in the general form for the t^{th} step of dial 1.

$$C_1^t = t C_2^{V2} + \Sigma_1^t Z_1^t \quad (11)$$

Accordingly:

$$C_1^{V1} = S_1 C_2^{V2} + \Sigma_1^{S1} Z_1^t \quad (12)$$

Assume $C_1^{V1} = 0$

Hence,

$$C_2^{V2} = - \Sigma_1^{S1} Z_1^t / S_1 \quad (13)$$

Substituting in equation (11);

$$C_1^t = \Sigma_1^t Z_1^t - (t/S_1) \Sigma_1^{S1} Z_1^t \quad (14)$$

Which is the correction to any position of dial I independent of other dials.

3.2- EVALUATION OF THE CORRECTIONS TO THE READINGS OF THE FOLLOWING DIALS UP TO THE DIAL (N-1).

With the first dial at its full scale value, each step of dial II is compared with its equivalent from dial III, using exactly the same procedure as for dial I. Then we get,

$$C_2^{V2} = S_2 C_3^{V3} \Sigma_2^{S2} Z_2^u \quad (15)$$

But from equation (13), substitute for C_2^{V2} ,

$$C_3^{V3} = 1/S_2 (\Sigma_2^{S2} Z_2^u + 1/S_1 \Sigma_1^{S1} Z_1^t) \dots \dots (16)$$

Hence;

$$C_2^u = \Sigma_1^u Z_2^u - U/S_2 (\Sigma_1^{S2} Z_2^u + 1/S_1 \Sigma_1^{S1} Z_1^t) \quad (17)$$

Which is the correction to any position of dial II.

The above procedure is repeated to determine the linearity corrections to the dia III, IV, ... (N-1), from which we get the general equation

$$C_{N-1}^Y = \Sigma_1^Y Z_{N-1}^Y - (Y/S_{N-1}) [\Sigma_1^{SN-1} Z_{N-1}^Y + 1/S_{N-2} \Sigma_1^{SN-2} Z_{N-2}^X + (1/S_{N-2} S_{N-3}) \Sigma_1^{SN-3} Z_{N-3}^Y + \dots + (1/(S_{N-2} S_{N-3} \dots S_2)) \Sigma_1^{S2} Z_2^u + (1/(S_{N-2} S_{N-3} \dots S_1)) \Sigma_1^{S1} Z_1^t] \quad (18)$$

From this general equation, we can deduce the corrections to any dial by putting $N = 2, 3, 4, \dots (N-1)$.

It is now clear that the expression of the overall linearity correction investigated from the agreement between the dials only, is exactly the same one given by the traditional calibration methods.

3-3. EVALUATION OF THE CORRECTIONS TO THE READINGS OF THE LAST DIAL.

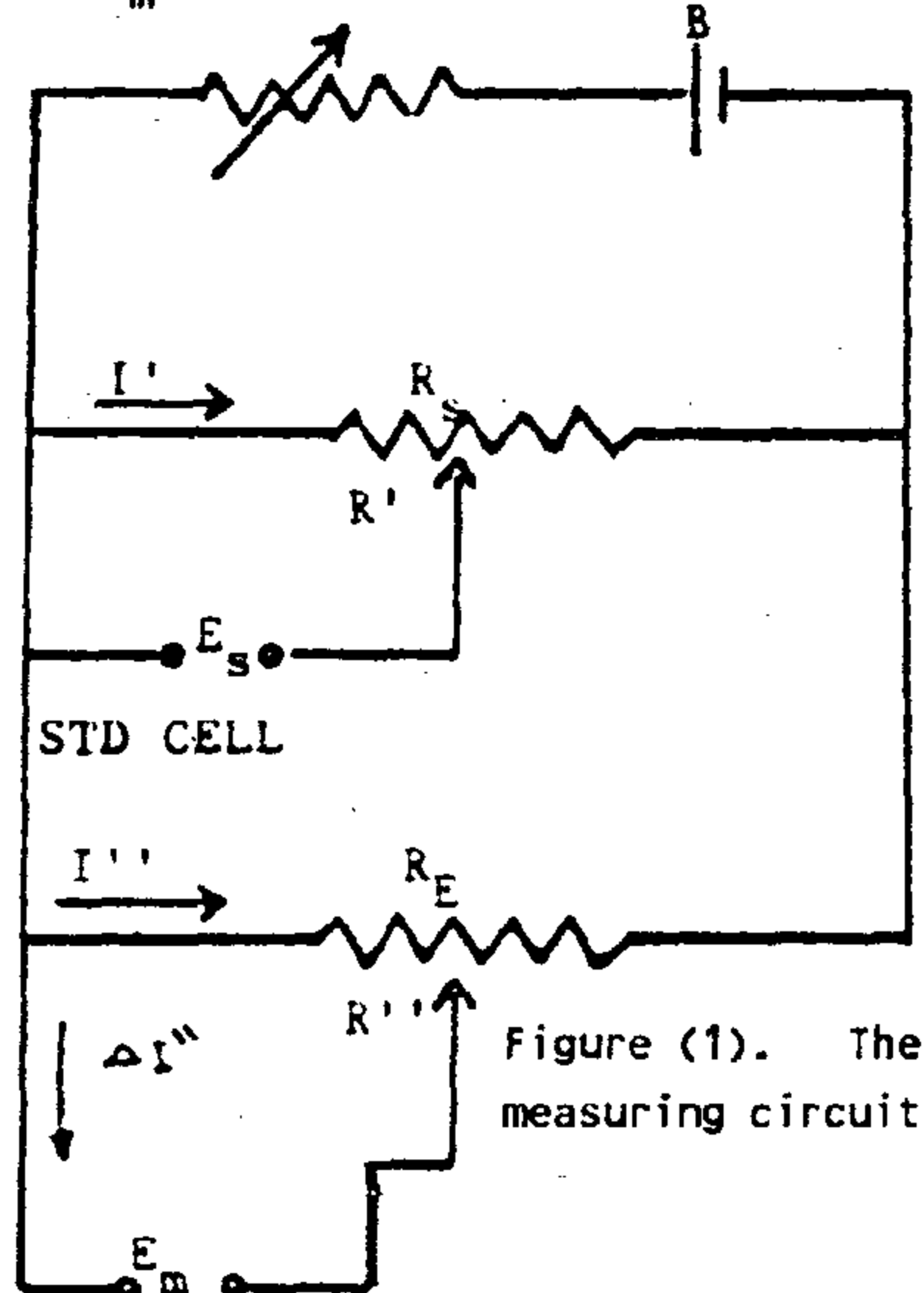
There is no lower dial to be used as a reference for the last dial. The equality of the steps of this dial can be determined in terms of the D.V.M. readings by setting the first dial to full scale and all other dials except the last one to zero. Then last dial is set to full scale, and decreased by one step until the whole steps are covered.

The first two readings of the D.V.M. are then given by:

$$E_N^1 = D_1^{V1} + D_2^0 + \dots + D_{N-1}^0 + D_N^{Vn} + C_1^{V1} + C_2^0 + \dots + C_{N-1}^0 + C_N^{Vn} + e_{0-\delta}^f \dots \dots (19)$$

$$E_N^2 = D_1^{V1} + D_2^0 + \dots + D_{N-1}^0 + D_N^{Sn-1} + C_1^{V1} + C_2^0 + \dots + C_{N-1}^0 + C_N^{Sn-1} + e_{0-\delta}^f \dots \dots (20)$$

However, in this case an exact null balance cannot be achieved and a small current must flow. It is necessary to take into account the effect of this current on the measured voltage. The measuring circuit is shown in figure (1), where; R_i is the input resistance of the D.V.M. and $R_i \Delta I'' = E_m$ is the measured voltage. then;



$$E_m = E_s (I'' - \Delta I'') R''/I' R' \quad \dots \quad (1)$$

But using equation (4-A), we have:

$$E_m = E(1 - \Delta I''/I'') \dots \quad (2)$$

or,

$$E_m = E(1 - R''/R_i) \dots \quad (3)$$

To achieve an accuracy of few parts in a million of the reading, the error term; R''/R in equation (3) must be less than 1 part in 10^7 . This condition is satisfied for most potentiometers and D.V.M.'s. Consequently, within this uncertainty, it is quite reasonable to assume that $E_m = E$, and to use the equations mentioned in the theoretical considerations (Appendix A).

In general, let us consider a potentiometer with N dials, having number of steps $S_1, S_2, \dots, S_{N-1}, S_N$, and full scale values $V_1, V_2, \dots, V_{N-1}, V_N$ of the first, second, ..., N^{th} dial respectively. Let $D_1^t, D_2^u, \dots, D_{N-1}^y, D_N^L$ represent the readings of the $t^{th}, u^{th}, \dots, y^{th}, 1^{th}$ steps of the dials, and $C_1^t, C_2^u, \dots, C_{N-1}^y, C_N^L$ represent the corrections to be applied to these readings.

With the normal current in the main dials of the test potentiometer, the measurements are accomplished by reading the output voltages from two different but nominally equal settings of the dials. Then, the corrections to the readings of each dial shall be evaluated as follow:

3.1- EVALUATION OF THE CORRECTIONS C_1 TO THE READINGS OF DIAL (1).

With the potentiometer on the 1.0 range, the dial I is set to the first step, and all other dials to zero. Then, dial I is set to zero, dial II to the nominally equivalent voltage (generally, the full scale value), and all other dials to zero. The two readings, E'_1 and E''_1 , on the D.V.M. are recorded. Using equation (12-A) we get;

$$E'_1 = (1 + C_s)(D_1^1 + D_2^0 + D_3^0 + \dots + C_1^1 + C_2^0 + C_3^0 + \dots) + e_0^f - \delta \quad (4)$$

$$E''_1 = (1 + C_s)(D_1^0 + D_2^{V_2} + D_3^0 + \dots + C_1^0 + C_2^{V_2} + C_3^0 + \dots) + e_0^f - \delta + Z_1^1 \quad (5)$$

Where δ is the offset error of the D.V.M., and Z_1^1 is the voltage difference between the two readings.

Since the procedure is independent of the standard cell circuit, C_s does not apply. Also as the current of the potentiometer has assumed to remain constant during the short period for both readings, E'_1 will nominally equal to E''_1 and we have,

$$D_1^1 + D_2^0 + D_3^0 + \dots + C_1^1 + C_2^0 + C_3^0 + \dots + e_0^f - \delta = D_1^0 + D_2^{V_2} + D_3^0 + \dots + C_1^0 + C_2^{V_2} + C_3^0 + \dots + e_0^f - \delta + Z_1^1 \quad (6)$$

Equating the nominal values of D, S while remembering that all C, S are equal to zero, then

$$C_1^1 = C_2^{V_2} + Z_1^1 \dots \quad (7)$$

In the same manner, the equation for the second step of the first dial will be:

Furthermore, some publications [1,5,7] considered the above check as the linearly error within the dial, they tried to add another term; "the transfer error", or "the agreement between the dials", to obtain the overall linearly corrections for the dials.

The measurements of the agreement between the dials are accomplished by balancing the output voltage obtained from the potentiometer for each pair of the same nominal settings, getting from two successive dials. The difference in output voltages will represent the required correction.

The overall linearly correction for a dial will then be a combination of :

- a- The individual linearly correction within the dial.
- b- The agreement of the total steps of the dial,
- c- The average correction of the next higher dial.

3- PROPOSED CALIBRATION METHOD

It is clear from the theoretical consideration (APPENDIX A) that, for calibrating a potentiometer, the important consideration is the ratio between the various resistances rather than their absolute values. A potentiometer can be highly accurate even if all its resistors depart from their nominal values by quite large amounts, provided that the errors are all of the same sign and of the same relative magnitude.

Consequently, for calibrating the main dials of a potentiometer, the major interest must be given to if the values of the individual resistors of the dials are matched in agreement to each other, and to know the correction figures for the mismatching.

Because the dials of the potentiometer are independent, it is possible to determine the correction to one or a group of resistors for one dial in terms of an equivalent nominal setting of

the lower dial. In the absence of thermal and contact emf's and assuming that the various sections of the potentiometer's dials carry the same current, the voltage ratios will be identical to the resistance ratios.

Thus, the evaluation of the corrections to the readings of the main dials can be made by balancing the output obtained from the potentiometer for each pair of the same nominal settings by another potentiometer [9]. However, the accuracy of this method depends on the relative stability of the two line currents during the time between two successive measurements. To meet the accuracy requirements of the best class of potentiometer (few parts in a million of the reading) [3]; the relative instability of the two independent sources must be no worse than one part in 10^7 over a period of few minutes. This requirement is not easily realized. Also, the sensitivity requirement of the galvanometer used to achieve balance is so severe, such that the smallest voltage increment of the test potentiometer can be detected in the presence of a circuit resistance consisting of the two potentiometers [9]. Moreover, the external potentiometer must have a resolution better than that of the test potentiometer by at least two lower dials. This is very difficult to be attained specially when calibrating micro-volt potentiometers.

To overcome these difficulties a digital voltmeter (D.V.M.) with very high input resistance, and adequate resolution has preferably replaced the external potentiometer and galvanometer. In fact, this increases the certainty of individual measurement, simplifies the evaluation of the test results, reduces the time required to calibrate the potentiometer and facilitates automatic data processing. More important it enables the calibration to be done with the potentiometer at the same conditions of its normal use.

A NEW METHOD FOR CALIBRATION OF D.C. POTENTIOMETERS

ABLA H. ABDEL RAHMAN SOHEIR FAKHRY IBRAHIM MOTAWIE

ABSTRACT

A highly advantageous method for calibrating the main dials of any D.C. potentiometer of the constant current type, is fully described. The method does not depend on the potentiometer's construction. A simplified procedure for evaluating the linearly correction to any dial setting is deduced. The great reduction in the work done compared with other traditional calibration methods is proved. The measurements are made using a D.V.M. which offer many other advantages.

1- INTRODUCTION

Many years ago, and up till now, the potentiometer is occupying a very important place in the scheme of electrical measurements. It is a device for comparing voltages, based on the use of the e.m.f. of a standard cell as a reference, this offers a very accurate and highly precise foundation for the measurement. Moreover, the measuring circuit of the potentiometer is a resistive network which is capable of a high degree of stability.

While there are many types of d.c. potentiometers, the constant current ones are those intended for high accuracy measurements. However, the accuracy assigned to the measured voltages depends on the ability to calibrate the dials of the potentiometer.

Despite their different constructional characteristics, potentiometers have some common features, they have rheostats for adjusting the auxiliary current against the reference level of the standard cell, they are supplied by switches to indicate the standard cell value and generally, a range switch is also included. As these switches are common to all potentiometers, unitary methods are recommended for their calibrations [1-3], the remaining part of calibration, perhaps the most important, concerns linearly measurements of the main dials of the potentiometer. Many trials have been devoted to this purpose [1-6].

In this paper we will demonstrate that while most of the traditional calibration methods require at least two forms of testing procedures, and more than one current source, our method does not depend on the potentiometer's construction, also it needs only less than half the work done in other methods.

2- TRADITIONAL CALIBRATION METHODS

Almost of the workers in the field of calibration decided that it was not possible to state a unitary method for calibrating the main dials of various designs of potentiometers. It was necessary to take the construction of the instrument into account, and to adapt the method to be used to the design [1-3].

The measuring dials of the potentiometers were calibrated by comparing the resistors of the dials with a highly stable equivalent resistor, either directly in a bridge arrangement, where it was possible [1], or by comparing the voltage drops on them by different methods [1,4-6]. Hence, the linearly correction (LC) to the K^{th} step in a dial having n steps was given by [4]

$$(LC)_K = \sum_{x=1}^K (\delta r_x - 1/n \sum_{1}^n \delta r_x)$$

Where:

δ_r is the difference between each resistor and its nominal value.

INDUSTRY & PRODUCTION

**INST. OF MECHANICAL ENGINEERS
INST. OF ELECTRICAL ENGINEERS**

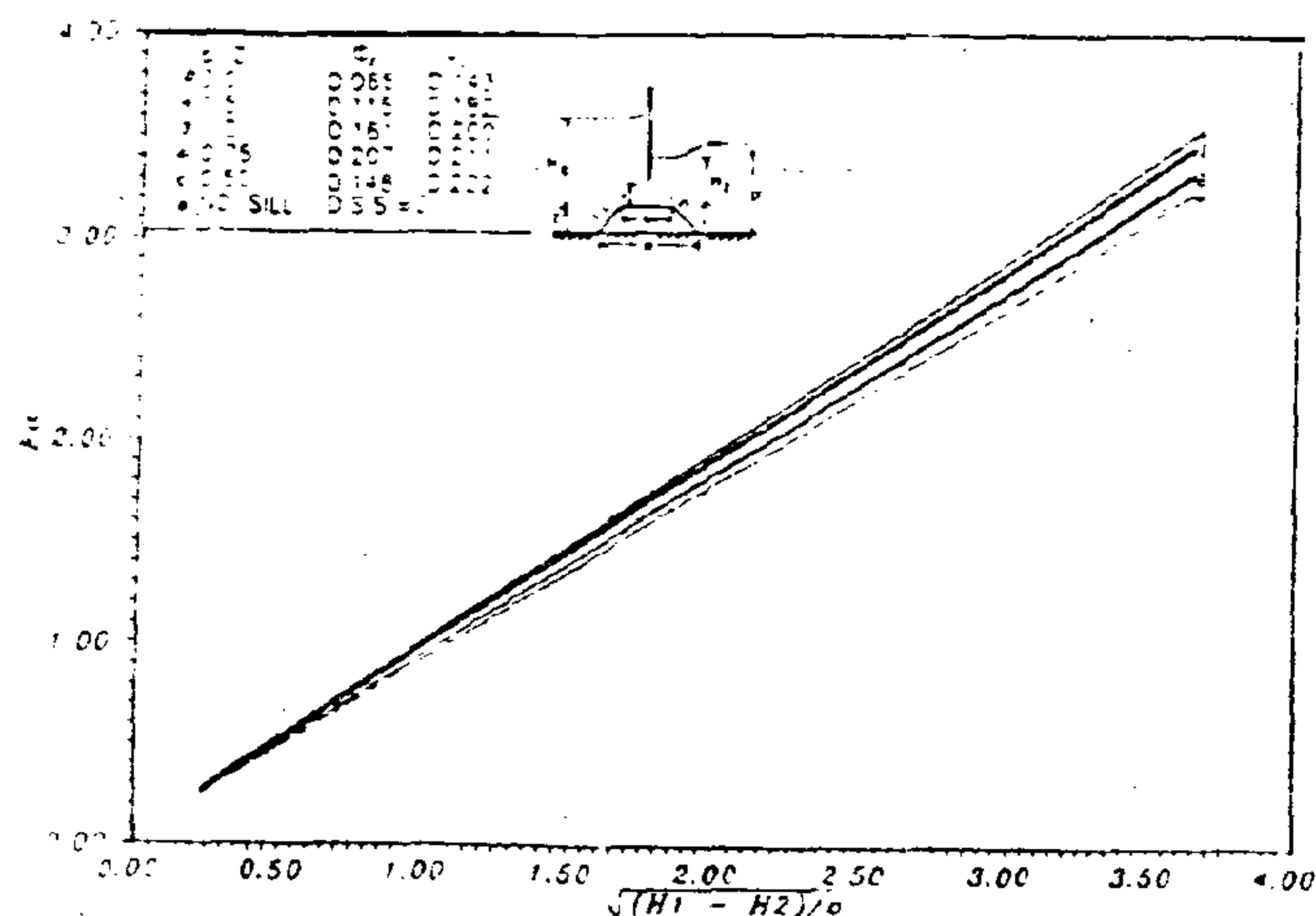


FIG. (5) VARIATION OF C_d WITH $\sqrt{(H_1 - H_2)/a}$

decreases by increasing the sill factor, ϕa , from 0.066 to 0.207, due to the decrease in flow separation. The figures can be used as design charts to predict the discharge passing under silled gate by knowing $\sqrt{H/a}$ for any sill shape provided that the sill factor is ranged from 0.066 to 0.207.

CONCLUSIONS

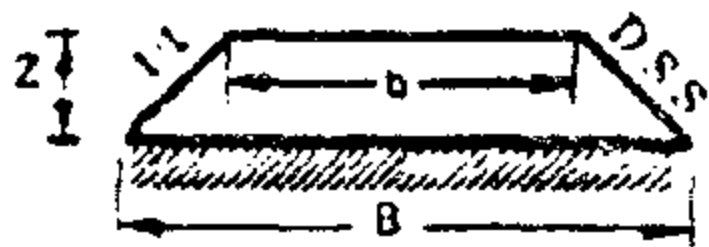
The discharge coefficient increases by constructing a sill under the sluice gate. The discharge coefficient increases by increasing the sill factor ϕa . The rate of change in C_d is high for subcritical flow and low for supercritical flow under gate. A design chart is produced to obtain the discharge intensity by knowing the gate opening and the differential head values. At constant sill slopes and various heights, the effect of ψa on C_d is negligible.

REFERENCES

- 1- Anwar, H.O.; "Discharge coefficient for control Gates", J.of water power, April, 1964, pp.152-159.
- 2- Benjamin, I. B., "On the flow in channels when rigid obstacles are placed in the stream", J. of fluid mechanics, Vol.1, 1955, pp. 227-248.
- 3- El-Saiad, Atef.; "Study of submerged flow characteristics under silled sluice Gates", M.Sc Thesis, Faculty of Engineering, Ain Shams University, Cairo, Egypt, 1990.

- 4- El-Saiad, Atef A.; Abdel-Hafiz, Essam; Owais, Talaat M. and Hammad, M. El-Niazi; "Characteristics of submerged flow under sluice gate with sill", Scientific Bulletin, Faculty of Engineering, Ain Shams University, Cairo, Egypt, 1990 (to be published).
- 5- Henry, H. R., "Discussion of diffusion of submerged jets", Transactions ASCE, Vol. 115, 1950, pp. 687-697.
- 6- Rajaratnam, N. and Subramanya, K.; "Flow immediately below submerged sluice gate", J. of Hyd. Div., Proc. of ASCE, Vol. 93, No. Hy4, July 1967.
- 7- Salama, M.; "Flow below sluice gate with sill", J. of Egyptian Society of Engineering, Vol. 26, No.4, 1987, pp. 31-36.
- 8- Talaat, Ali M.; "Note on rating sluice gates", Scientific Bulletin, Faculty of Engineering, Ain Shams University, No.22, Vol. 1, 1988, pp. 92-109.
- 9- U.S. Army Engineer water ways Experiment Station, "Hydraulic design criteria for tainter gate in open channels", Sheet 320-4 to 320-8, May 1960.

Table (1)
Main Parameters of Tested Models

Model No.	b cm	Z cm	U.S.S.	D.S.S.	ψ	ϕ	Shape
1	3	1			0.143	0.066	
2	3	2	1:1	3:1	0.182	0.115	
3	3	3			0.200	0.161	
4	3	4			0.211	0.207	
5	1.5	3			0.222	0.143	

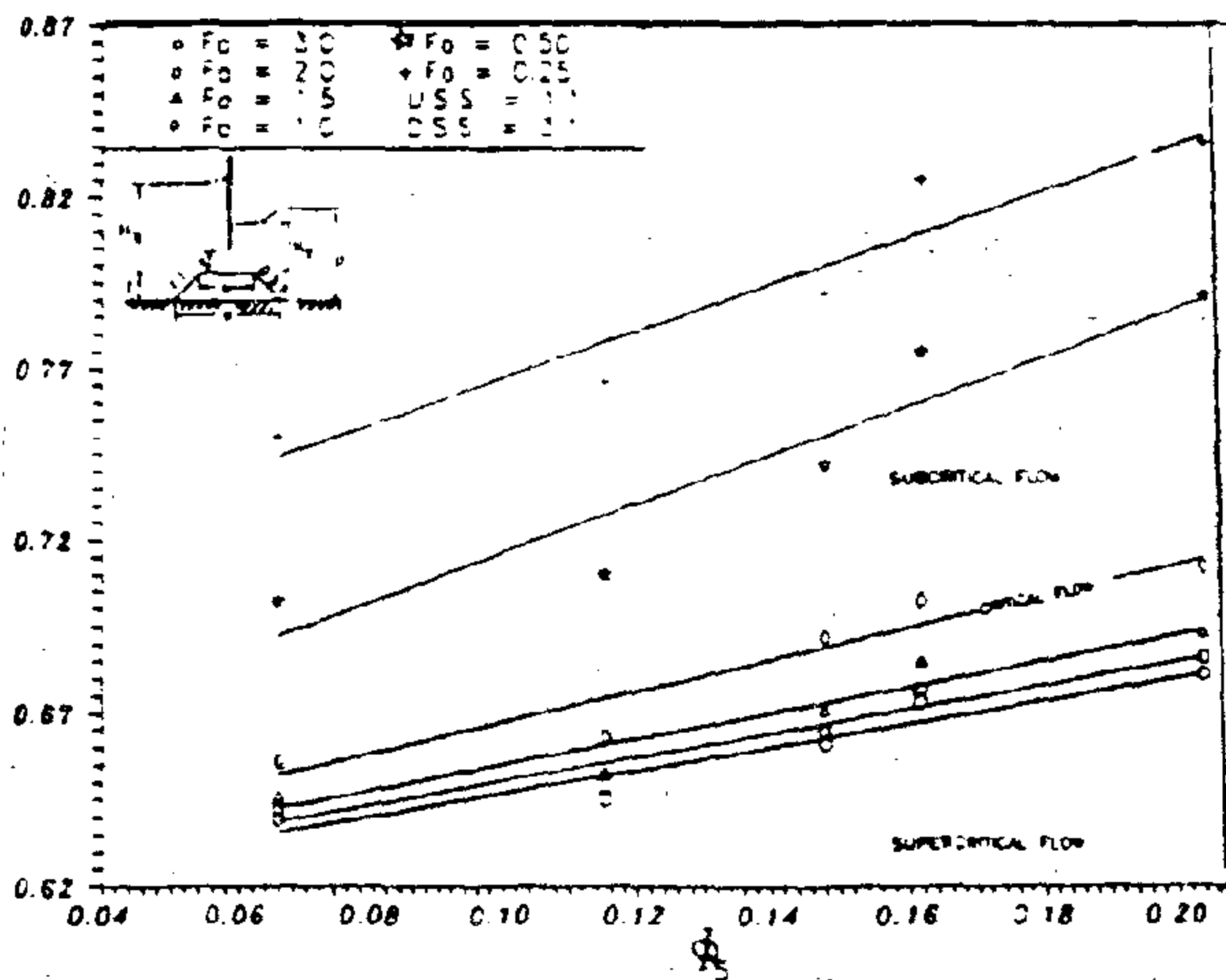


FIG. (3) VARIATION OF C_d WITH SILL FACTOR (ϕ_s)

The relation between the submergence ratio, Y_t/a , and the discharge coefficient for both no sill and silled gate cases was plotted as shown in figure (4). This figure indicates that the discharge coefficient decreases by increasing the submergence ratio. The rate of change in C_d is high for $Y_t/a < 3.5$ and negligible for $Y_t/a \geq 3.5$. At constant value of Y_t/a the discharge coefficient increases by increasing the sill factor, ϕ_a .

Figure (5) shows the relation between the Froude number under gate F_a and the relative differential head \sqrt{H}/a , for no sill case and all tested models. These relations are straight lines nearly passing through the origin when extended and are expressed by the relation,

$$F_a = \alpha + \beta \sqrt{H}/a \quad (4)$$

In which α , β are two constants, their values were estimated by least squares technique as given in table (2).

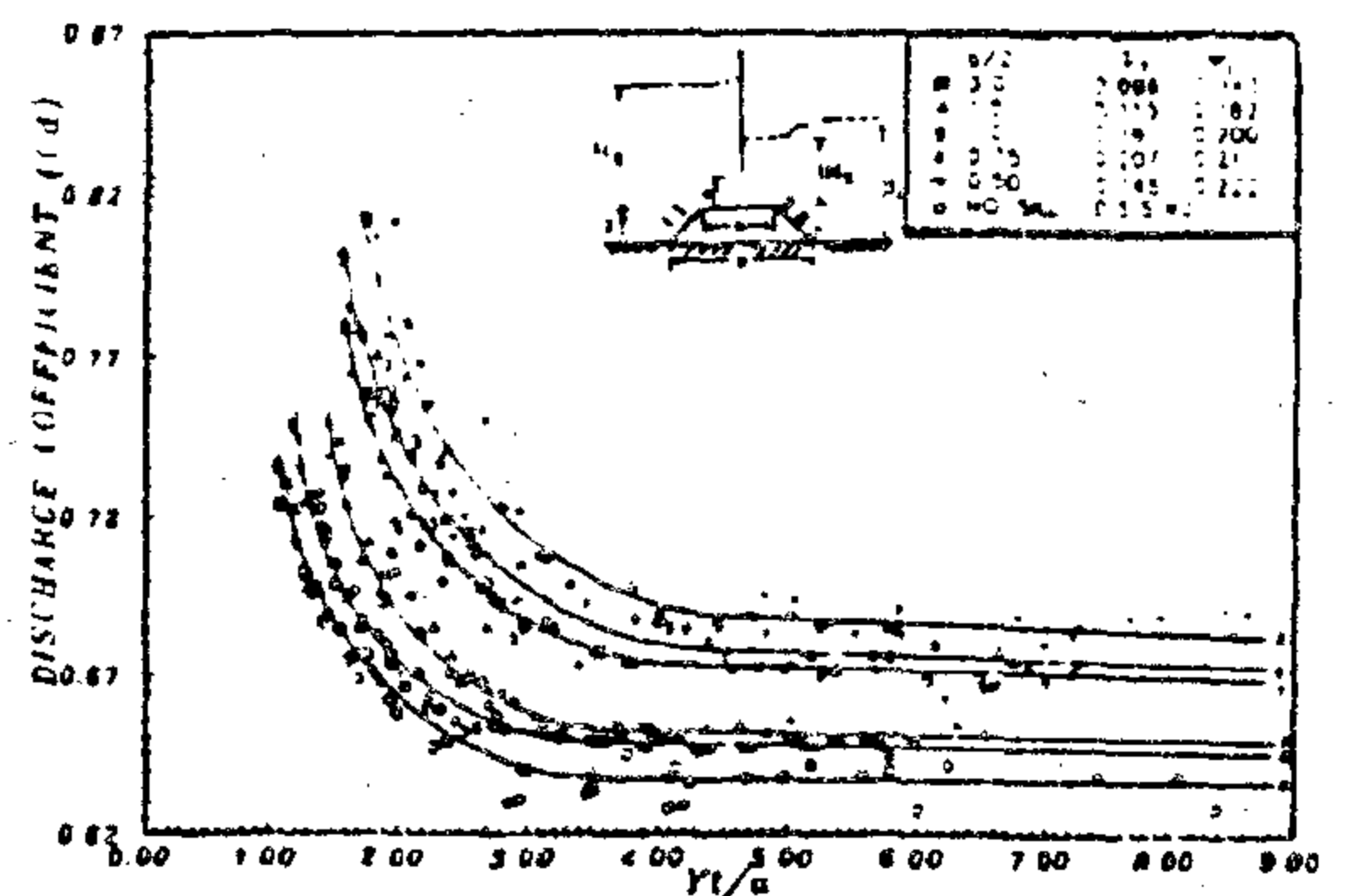


FIG. (4) VARIATION OF C_d WITH Y_t/a

Table (2). Values of constants α , β in Eq. (4)

Model No.	b/Z	α	β
No sill case		0.0339	0.8785
1	3.00	0.0422	0.8985
2	1.50	0.0346	0.9056
3	1.00	0.0549	0.9344
4	0.75	0.0310	0.9449
5	0.50	0.0425	0.9329

The relation between F_a and \sqrt{H}/a was proved theoretically by A. Talaat [8] where,

$$F_a \approx 0.863 \sqrt{H}/a \quad (5)$$

By comparing the experimental values of this study by those obtained by A. Talaat [8], it is noticed that the experimental values for no sill case are in good agreement with the theoretical ones and the deviation between them is negligible ($\leq 2\%$). At constant F_a , the relative differential head, \sqrt{H}/a

Where:

- F_a : Froude number under gate
- Y_t : tail water depth
- ΔH : differential head = $(H_1 - H_2)$
- A_a : Cross sectional area of sill
- γ_a : hindrance factor = Z/B
- ϕ_a : sill factor = A_s/LP_s
- L : length of sill
- P_a : wetted perimenter of sill
- b : top width of sill
- Z : height of sill

EXPERIMENTAL SETUP

The experiments were conducted to get the effect of sill under gate on the discharge coefficient. The experiments were conducted in a recirculating flume. The flume is 10 cm. wide, 20 cm. deep and 250 cm. long. It has an aluminum bed and plexiglass sides. The sluice gate is an aluminum plate, 0.5 cm. thick, with a sharp lower edge. The flow enters flume from a constant head tank, and the tail water was controlled by means of another sluice gate located at the downstream end of the flume. In every experiment, a certain gate opening is set and a certain discharge is passed through the flume by means of a valve in the feeding pipe. The tail gate is controlled until the sluice gate over sill is submerged Figure (1b). After the flow reaches the steady state, the water depth upstream the gate is measured by using a fixed point gauge. The downstream and the tail water depths are measured by using the measuring carriage. The discharge is measured by using a 90° V-notch located at the end of a stilling chamber. Five models of sills which made of plastic are tested in this work. These

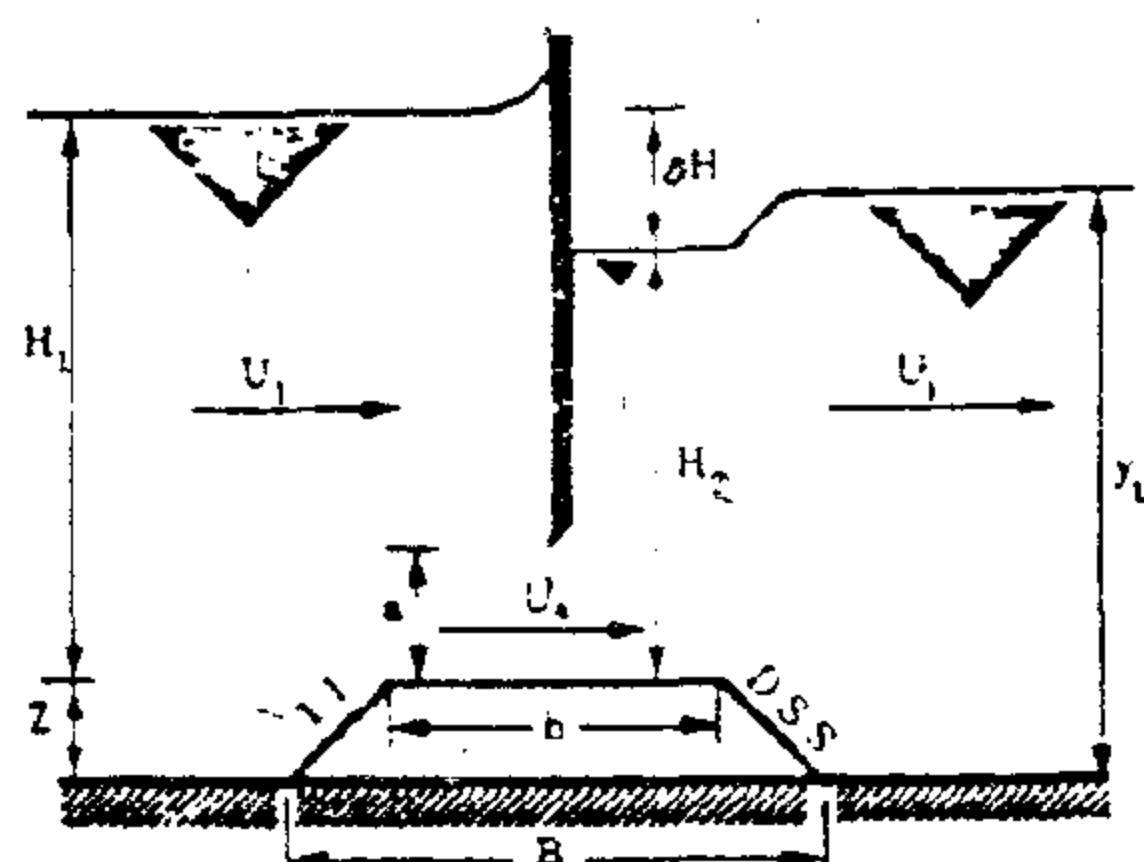


Fig (1b) Submerged flow under silled sluice gate.

models have different heights viz (1, 1.5, 2, 3 and 4 cm.) and constant upstream slope of 1:1 and a downstream slope of 3:1, Table (1). Each model is tested under five different gate openings, each gate opening has ten different discharges. Six series of experiments were conducted with a total of 300 runs for both silled and non-silled cases.

EXPERIMENTAL RESULTS AND ANALYSIS

The relation between the discharge coefficient, C_d , and the relative gate opening, a/H_1 , is pointed in figure (2). This figure indicates that the discharge coefficient increases as the ratio a/H_1 increases. Also the discharge coefficient increases by increasing the sill factor, ϕ_a , for constant upstream and downstream slopes of sill. This increase in the discharge coefficient may be ascribed to the decrease in the differential head $\Delta H = (H_1 - H_2)$ by increasing the sill factor ϕ_a , where,

$$C_d = q/a \sqrt{2g\Delta H} \quad (3)$$

Equation (3) means that $C_d \propto 1/\sqrt{\Delta H}$, for constant values of "q" and "a".

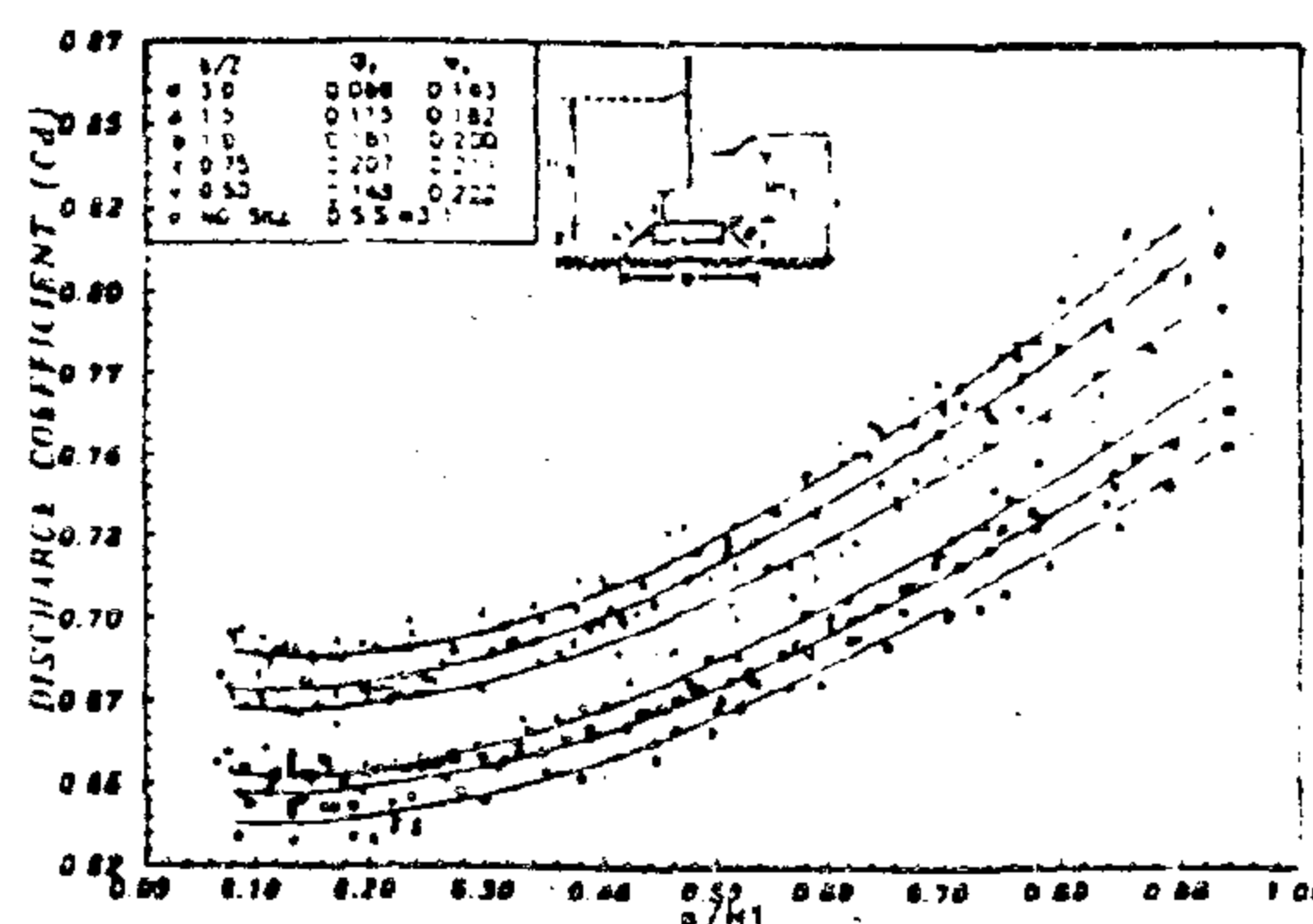


FIG. (2) VARIATION OF C_d WITH a/H_1

Figure (3) shows the relation between C_d and sill factor, ϕ_a , at constant values of Froude number under gate. This relation indicates that the charge coefficient increases by increasing the sill factor, ϕ_a , at constant values of Froude number. For the same ϕ_a , the discharge coefficient increases by increasing the Froude number under gate. The rate of charge in C_d value is high for subcritical flow, $OF_a < 1.0$, and lower for supercritical flow, $OF_a > 1.0$.

EFFECT OF SILL UNDER GATE ON THE DISCHARGE COEFFICIENT

ATEF EL SAIAD • ESSAM ABDEL HAFIZ •• EL NIAZI HAMMAD •••

ABSTRACT

An experimental investigation of the effect of sill height on the discharge coefficient of submerged flow under sluice gate is conducted. The dimensional analysis is used to derive the main factors that affect the flow under silled sluice gates. The variation in the discharge coefficient due to the presence of sill under gate is investigated and compared with no sill case.

INTRODUCTION

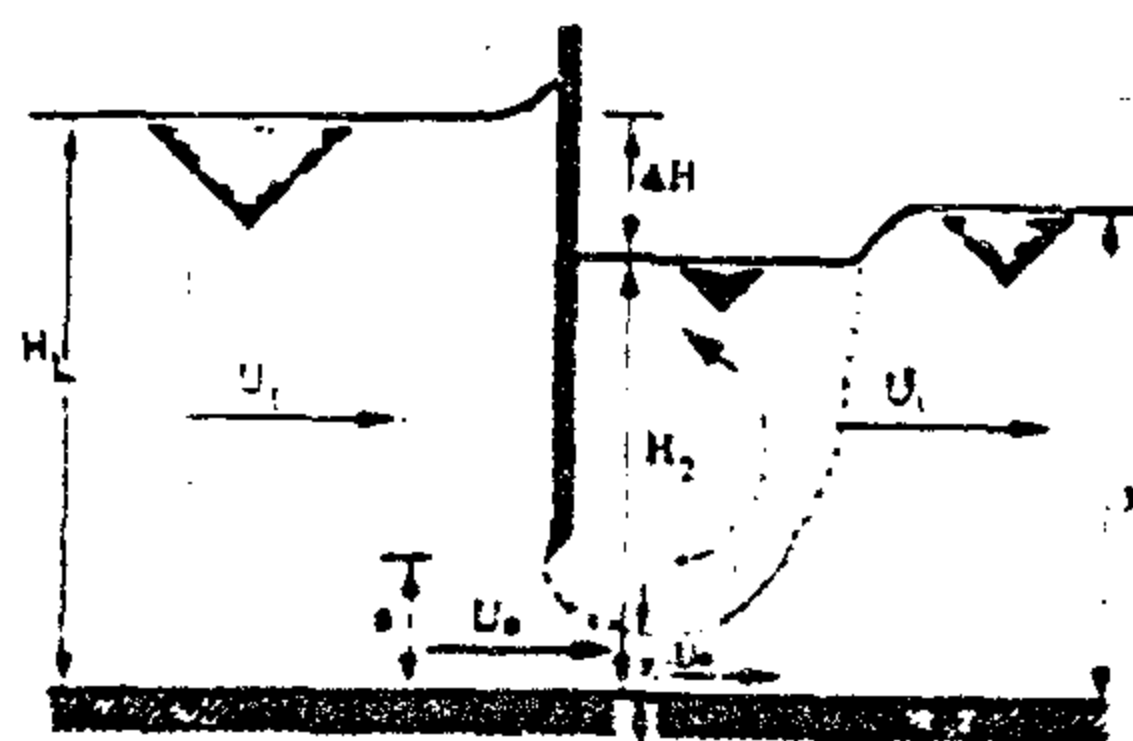
A sill can be constructed under sluice gates for economical reasons, in order to decrease their heights, consequently their weights and the required lifting force. The use of sills under gates represents an obstruction to the water flow which affects the water levels. This leads to a change in the discharge coefficient. Many investigations [1,2,5,6,8] have been made to study the discharge coefficient under sluice gates on a flat bed, Figure (1.a). Some investigations [3,4,7] have been made to study the effect of under gate sills, with different downstream slopes and constant heights on the discharge coefficient.

In 1989, El-Saiad et al tested five models of sills which have upstream slope of 1:1, downstream of 1:1, 3:1, 5:1, 7:1 and 9:1, width of sill crest of 3 cm. and sill height of 2 cm. El-Saiad found that the discharge coefficient, C_d , increases by increasing the downstream slope from 1:1 to 9:1 by about 7 % more than that of flat bed case. In this study the effect of constructing a sill with different heights and constant slopes on the discharge coefficient under a sluice gate has been investigated.

THEORETICAL APPROACH

The discharge coefficient was obtained from submerged orifice equation as,

$$C_d = q / a \sqrt{2g (H_1 - H_2)} \quad \dots (1)$$



Fig(1.a) Submerged flow under sluice gate

Where:

- C_d - The discharge coefficient
- q - The discharge intensity
- a - The gate opening
- H_1 - Upstream water depth
- H_2 - Downstream water depth
- g - Gravitational acceleration

The dimensional analysis is employed to drive an expression for the discharge coefficient of silled gates. The functional relationship for C_d may be written as,

$$C_d = f(Fa, a/H_1, Yt/a, b/Z, \sqrt{H/a}, H_1/Z, Aa/LPa, Z/B, ORN) \quad (2.a)$$

As the fluid viscosity has a negligible effect on the flowing water, the effect of Reynold's number, ORN , can be neglected. A more convenient form of Eq. (2.a) can be obtained by put $Z/B = \gamma a$ and $Aa/LPa = \phi a$, thus,

$$C_d = f(Fa, a/H_1, Yt/a, b/Z, \sqrt{H/a}, H_1/Z, \phi a, \gamma a) \quad (2.b)$$

* ZAGAZIG UNIVERSITY, FACULTY OF ENGINEERING

** SUEZ CANAL UNIVERSITY, FACULTY OF ENGINEERING AND TECHNOLOGY.

*** AIN SHAMS UNIVERSITY, FACULTY OF ENGINEERING

SEEPAGE FROM PARALLEL CHANNELS $\alpha = 0.03$

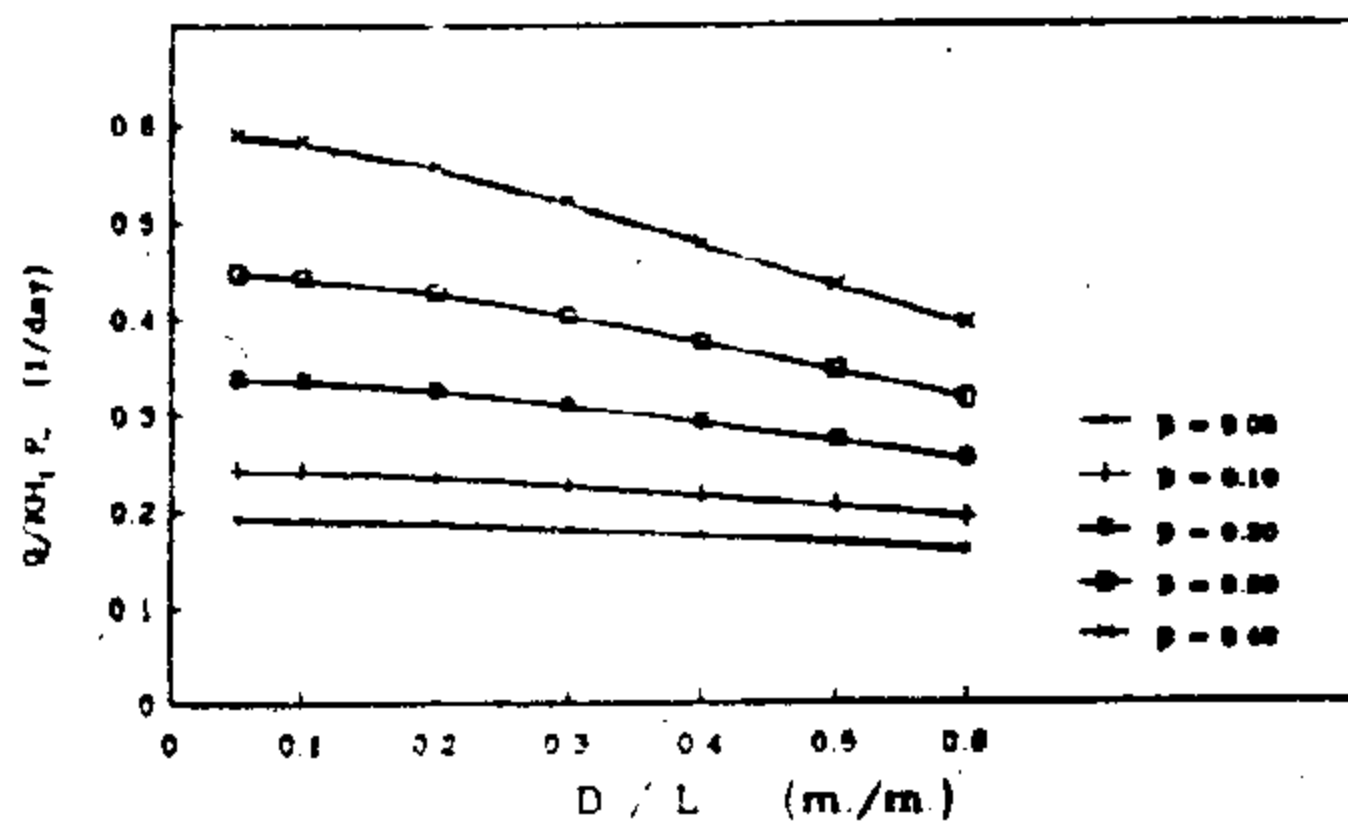


Figure (5)

NUMERICAL EXAMPLE

It is required to determine the seepage losses from an irrigation channel of water depth $d = 1.55$ m, bed width $b_1 = 3.0$ m, water breadth $b = 6.1$ m, into a clay soil of thickness $D = 30.48$ m and hydraulic conductivity $K = 0.3048$ m/day if the water surface is 0.9144 m higher than the piezometric surface of the lower permeable aquifer. The spacing between the system of the parallel channels is 304.8 m, and the distance between the water surface and the ground surface is equal to zero.

SOLUTION

$$\alpha = H/D = 0.00$$

$$\beta = d/D = 0.05$$

$$P_w = b_1 + 2d \sqrt{t^2 + 1}$$

$$= 7.384 \text{ m}$$

$$D/L = 0.1$$

Applying Eq. (12), one can get,

$$Q = 0.345 \text{ cu.m./day/m}$$

The above computed value is greater than the value obtained by Hathoot ($Q = 0.241$ cu.m./day/m) for the same data. According to the same data, Hammad obtained a value of $Q = 0.263$ cu.m./day/m.

The discrepancies between the results of the present approach and the previous studies can be attributed to the approximation that have been employed by Hathoot in his derivation and to the approximation in the canals shape by Hammad.

SUMMARY AND CONCLUSIONS:

A simple formula for the calculation of the seepage losses discharge from a system of similar equidistance irrigation channels is presented. The

channels are excavated in a semipervious clay layer underlain by a permeable layer of sand and gravel. The piezometric surface is considered to exist within the clay layer. Several assumptions that have been employed in the previous studies are eliminated.

For practical purposes, graphs are provided to ease the evaluation of the seepage losses discharge per unit canal length from a simple channel within the system. Comparison between the results of the authors approach and the previous treatments is given. Although, the results are not close but differences may be owing to the approximation involved in the previous approaches.

REFERENCES

- 1- El Nimr, A., "Seepage from parallel trapezoidal channels", Journal of the Engineering Mechanics Division, Proc, ASCE, Aug., 1963.
- 2- Hammad, H.Y., "Seepage losses from parallel canal systems", Journal of the Engineering Mechanics Division, Proc, ASCE, Aug., 1960.
- 3- Hathoot H. M., "Seepage from parallel open channels", The bulletin of the faculty of Engineering, Alexandria University, Egypt, 1977
- 4- Hathoot H. M., "New formula for determining discharge and spacing of subsurface drains", The bulletin of the faculty of Engineering, Alexandria University, Egypt, 1978.
- 5- Hathoot H. M., "Seepage losses from wide open channels", The bulletin of the faculty of Engineering, Alexandria University, Egypt, 1980
- 6- Hathoot H. M., "Simplified evaluation of seepage losses from channels", The bulletin of the faculty of Engineering, Alexandria University, Egypt, 1981.
- 7- Kankatti S. et al., "Studies on seepage from canals with partial lining", Journal of the hydraulic Division, HY12, 1973.
- 8- M. E. Harr, "Ground water and seepage", McGraw-Hill Book Company, Inc. 1962.
- 9- Murray R. Spiegel, "Mathematical handbook of formulas and tables", McGraw-Hill Book Company, Inc. 1968.

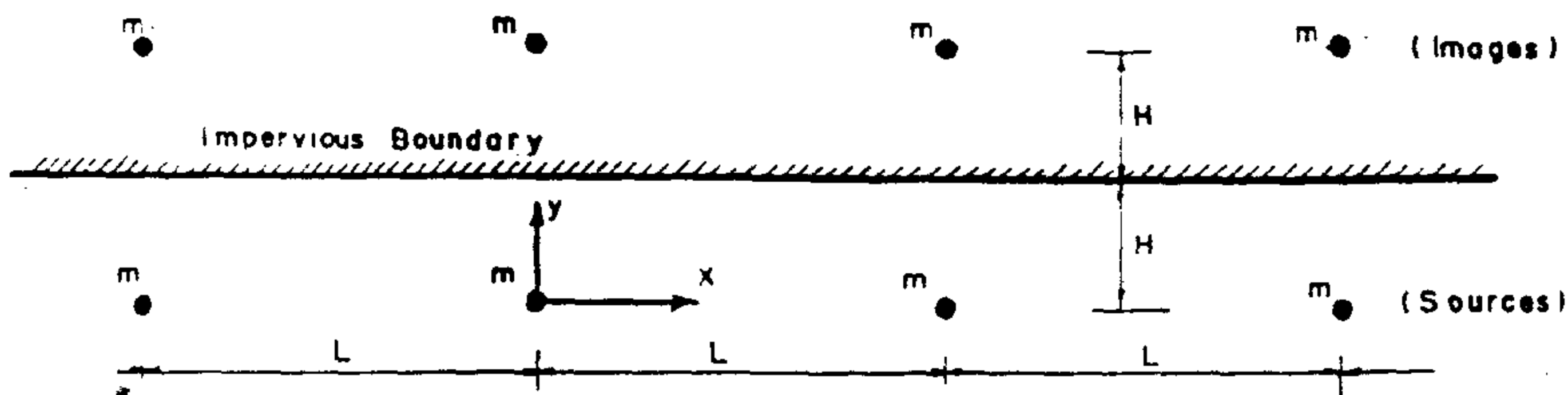


Figure (2) The System of Sources and Images.

Solving Eqn. (9) for m , one can obtain;

$$m = \frac{K(D - H - h_o)}{\ln \left\{ \frac{\sinh \pi(D-H)/L \cdot \sinh \pi(D+H)/L}{\sinh \pi d/L \cdot \sinh \pi(d+2H)/L} \right\}} \quad (10)$$

Thus the seepage discharge from one channel per unit length is obtained by;

$$Q = m p_w \quad (11)$$

in which p_w is wetted perimeter of the channel. Define $\alpha = H/D$, $\beta = d/D$ and substituting in Eqs. (10) and (11), yields;

$$Q = \frac{K(D - H - h_o) p_w}{\ln \left\{ \frac{\sinh(1-\alpha)\pi D/L \cdot \sinh(1+\alpha)\pi D/L}{\sinh \beta \pi D/L \cdot \sinh(\beta + 2\alpha)\pi D/L} \right\}} \quad (12)$$

As it has been driven, the present solution of the problem is different from the solution given by Hathoot 1977 due to his approximation in the derivation of the problem. In case of D/L is very small, $\sinh x$ approximately equals x . Introducing this approximation in Eqn. (12) and simplifying, one can obtain;

$$Q = \frac{K(D - H - h_o) p_w}{\ln \left\{ \frac{(1-\alpha)(1+\alpha)}{\beta(\beta + 2\alpha)} \right\}} \quad (13)$$

GRAPHICAL REPRESENTATION

For practical reasons, a graphical presentation of Eqn. (12) is provided. This dimensionless graph covers wide range of the ratios D/L , d/D , and H/D

as shown in figures (3, 4 and 5). To use this graphs, one starts with the channel characters to determine the ratios D/L , d/D , and H/D . Then the ratio Q/Kp_wH is obtained from the graphs, where H is equal to $(D-H-h_o)$. Thus the seepage discharge per unit length of any single channel within the system could be calculated.

The graph shows that the seepage losses decreases with the increase of the ratio D/L or with the decrease of the ratio d/D . For small values of d/D , the seepage losses decreases slightly with the increase of the ratio D/L and the relation is almost linearly. Also, it can be noticed that the seepage losses increases with the increase of the ratio D/L .

SEEPAGE FROM PARALLEL CHANNELS
 $\alpha = 0.01$

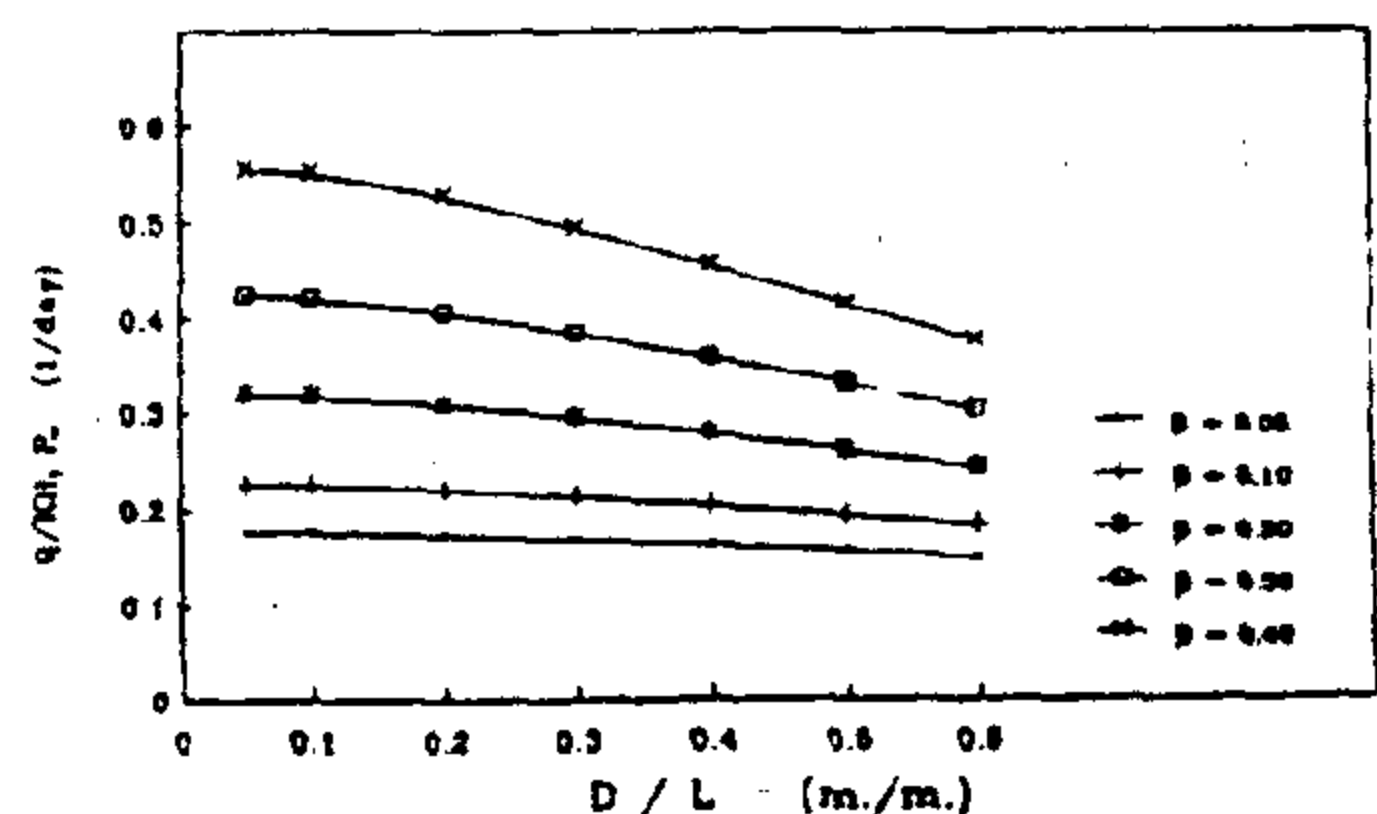


Figure (3)

$\alpha = 0.02$

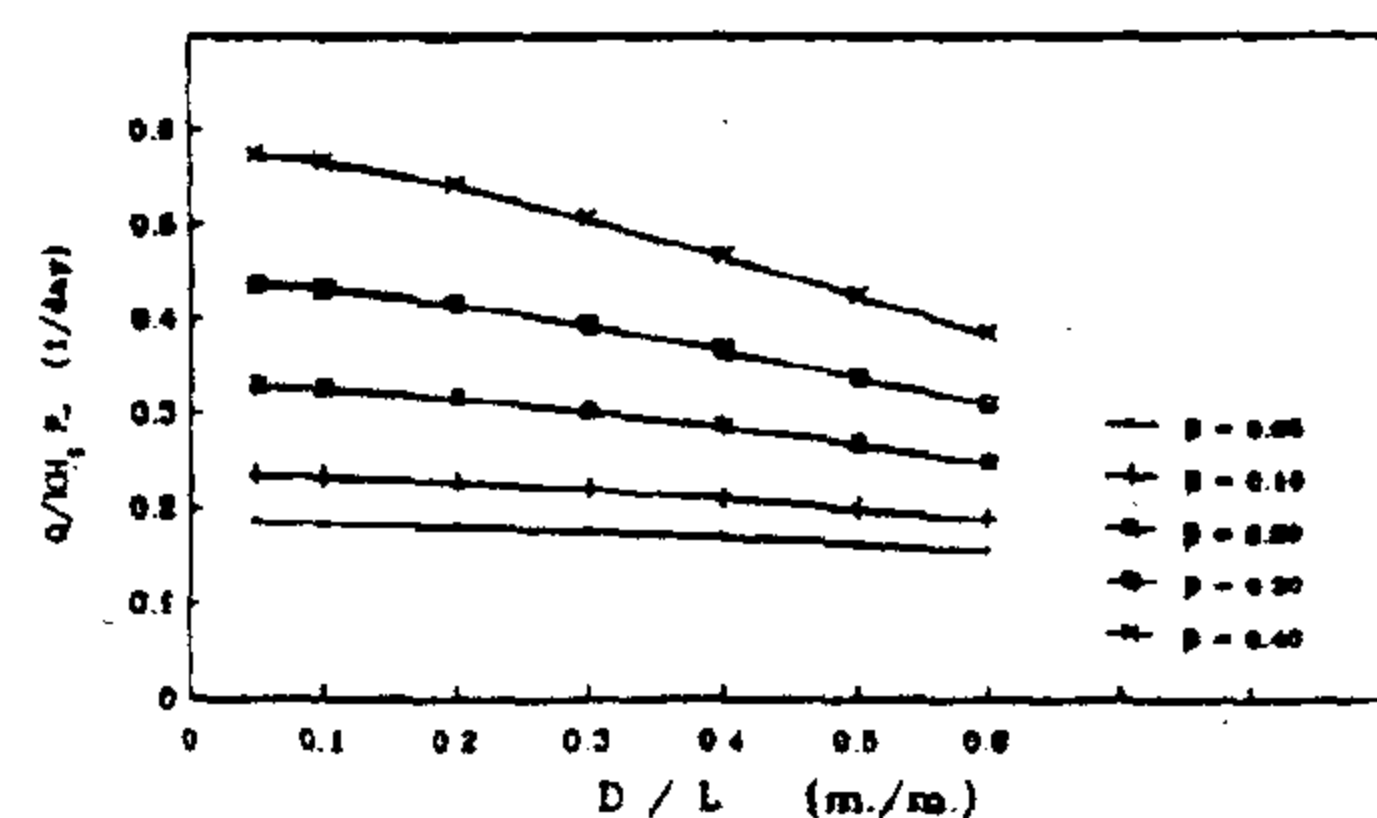


Figure (4)

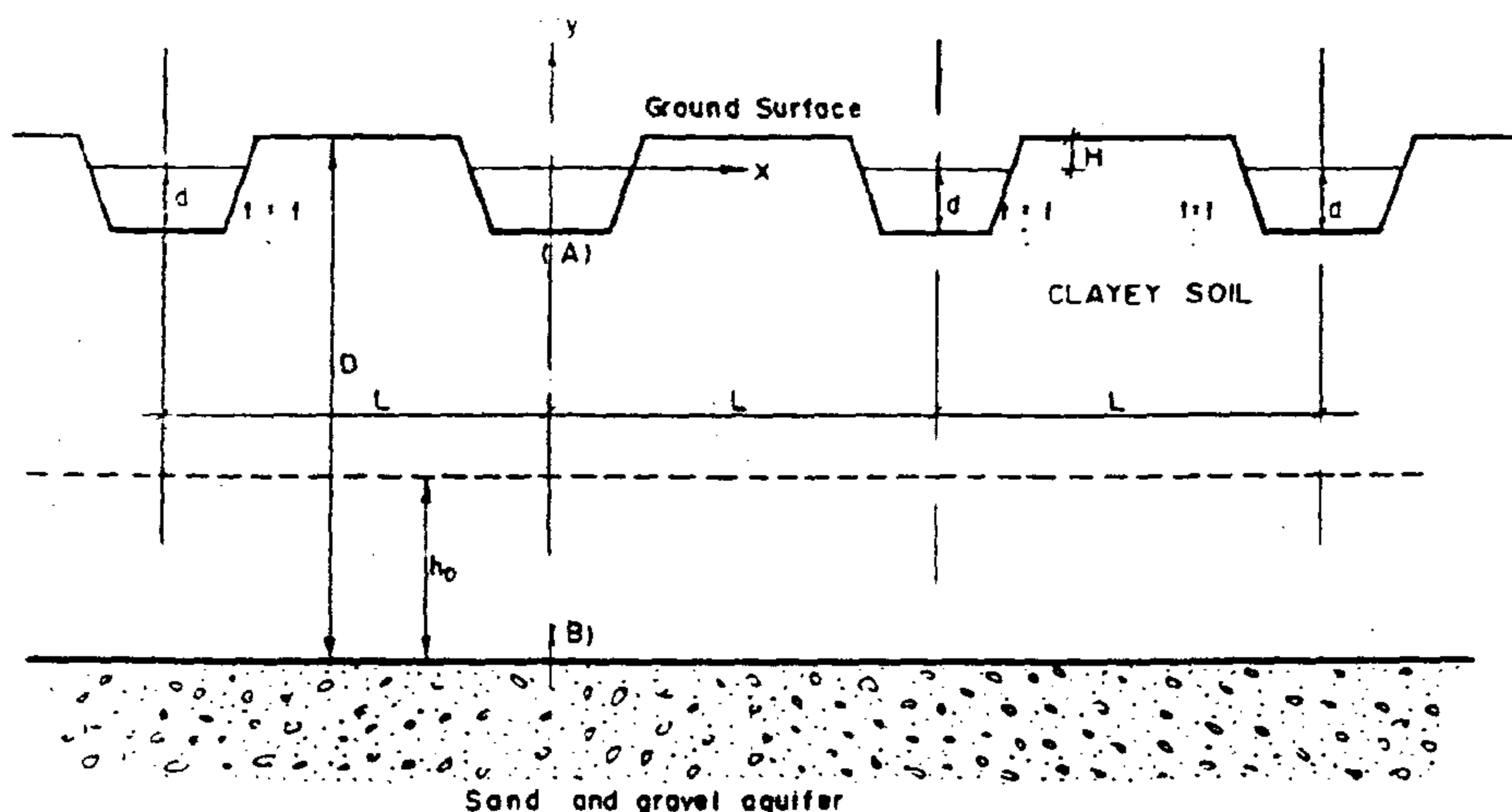


Figure (1) A System of Equidistance Parallel Channels.

$$\sinh^2 \pi(y-2H)/L \} + C \quad (5)$$

On the other hand, the complex potential of the image sources of the above system is :

$$W_2 = -m \ln \sin \pi (z-2iH) + C_2 \quad (2)$$

where :-

H = The vertical distance between the water surface and the ground surface, C₂ = A real constant

Thus, the complex potential of the entire system can be obtained from equations (1) and (2) as follows;

$$W = -m \{ \ln \sin \pi z/L + \ln \sin \pi (z-2iH)/L \} + C \quad (3)$$

in which C is a real constant (C₁+C₂).

Substituting $z = x+iy$ and $W = \phi + i\psi$ in equation (3), where ϕ is the equipotential function and ψ is the stream function, this yields;

$$\phi + i\psi = -m \left\{ \ln \left[\sin \pi x/L \cdot \cosh \pi y/L \cdot \sinh \pi y/L + \ln \left[\sin \pi x/L \cdot \cosh \pi (y-2iH)/L + \cos \pi x/L \cdot \sinh \pi (y-2iH)/L \right] \right\} + C \quad (4)$$

Equating real and imaginary parts on both sides of equation (4), one can obtain;

$$\phi = -m/2 \left\{ \ln \left(\sin^2 \pi x/L \cosh^2 \pi y/L + \cos^2 \pi x/L \cdot \sinh^2 \pi y/L \right) + \ln \left(\sin^2 \pi x/L \cosh^2 \pi (y-2H)/L + \cos^2 \pi x/L \cdot \sinh^2 \pi (y-2H)/L \right) \right\} \quad (9)$$

and

$$\psi = -m \left\{ \tan^{-1} \left(\cot \pi x/L + \tanh \pi y/L \right) + \tan^{-1} \left(\cot \pi x/L + \tanh \pi (y-2H)/L \right) \right\} \quad (6)$$

BOUNDARY CONDITIONS & DISCHARGE FORMULA:

The equipotential function, ϕ , may be put in the form:

$$\phi = K (P / \rho g + y) \quad (7)$$

Where:

K = The soil hydraulic conductivity which is assumed to be uniform P = The pressure ρ = The density of water, and g = The acceleration due to gravity.

Applying Eqs. (5) and (7) to point A (0,-d), Figure (1), yields:

$$C = -m/2 \left\{ \ln \sinh^2 \pi d/L + \ln \sinh^2 \pi (d+2H)/L \right\} \quad (8)$$

At point B (0,H-D), Figure (1), the piezometric head $P/\rho g$ is equal to the head h_0 in the aquifer. Applying this condition to eqs. (5) and (7) and rearranging yields;

$$K (D-H-h_0) = m/2 \left\{ \ln \sinh^2 \pi (D-H)/L + \ln \sinh^2 \pi (D+H)/L - \ln \sinh^2 \pi d/L - \ln \sinh^2 \pi (d+2H)/L \right\} \quad (9)$$

SEEPAGE LOSSES FROM A SYSTEM OF PARALLEL CHANNELS

KAMAL EL DEEN M.SOLIMAN & AHMED S. EL ZAHER

ABSTRACT

This paper provides simple approach to evaluate seepage losses discharge from a system of similar equally spaced channels. The analysis is based on a hydrodynamical treatment of the problem using complex potential method. The channels are excavated in a clay layer of low permeability underlain by a pervious layer of sand and gravel. The piezometric surface lies within the clay layer.

Graphical presentation of the obtained formula is provided to facilitate the evaluation of seepage discharge. Numerical example is given to illustrate the use of the graphical solution presented in this paper. Comparison between the results of the present study and the previous works is also given.

INTRODUCTION

Seepage losses are of great concern to the irrigation engineers to accurately estimate the canals discharge. Many investigators proposed several methods to calculate the seepage discharge per unit canal length. The problem addressed hereafter is the seepage discharge from a system of parallel trapezoidal channels into a layer of semipervious soil underlain by a permeable sand and gravel layer. The piezometric surface lies within the clay layer, which is considered to be homogeneous and isotropic.

Hammad 1960, presented a solution of that problem based on two steps of conformal mapping considering an approximate canal profile. In this treatment, Hammad assumed that the pressure of the piezometric surface is zero and that the piezometric surface is very near the canal water surface. El-Nimr, 1963 gave an exact solution for the same system considering the sand and gravel aquifer acting as a drain. Hathoot 1977, presented a solution of this problem on hydrodynamically basis and provided graphical solution to ease the evaluation of the seepage discharge. However, in this analysis, he did not include a constant in his complex potential equation before substituting with the limits in order to get a meaningful formula. Without such constant, the limits would give a relation between the channel dimensions which may not be true all the times.

In this paper, the problem is solved hydrodynamically and a graphical representation is provided to facilitate the calculation of the seepage discharge from a system of similar equidistance parallel channels excavated in a low permeability clay soil underlain by a pervious sand and gravel layer such that the peizometric surface lies within the clay layer.

MATHEMATICAL MODEL

The system of parallel channels as shown in figure (1) can be represented by a system of equidistance sources. Because of no flow will penetrate the ground surface, it may be looked at as an impervious substratum, and hence the entire system can be considered as a system of sources and their system of images as shown in figure (2). From textbooks on hydrodynamics, the complex potential of the system of sources can be given by;

$$W1 = -m \ln \sin \pi z / L + C1 \quad (1)$$

Where :-

- z = The complex coordinate ($z=x+iy$)
- L = The spacing between the system of channeld
- m = The strergh of each source
- $i = \sqrt{-1}$, and
- $C1$ = a real constant.

- 4- Giyyarath V. and Giri Javallabhan "Analysis of shear wall with openings", Journal of the Structural Div., ASCE, Oct.1969, PP. 2039 - 2103.
- 5- Schwaighofer, J. and Microys H.F. "Analysis of shear walls using standard computer programs", ACI Journal, Proceedings, Vol.66, NO. 12, Dec.1969, PP. 1005 - 1007.
- 6- Stafford Smith B., "Modified beam method for analyzing symmetrical interconnected shear walls", ACI Journal, Dec. 1970.
- 7- Fertis, D.G., "Dynamics and vibration of structures", John Wiley & Sons, New York, London, Sydney, Toronto, 1973.

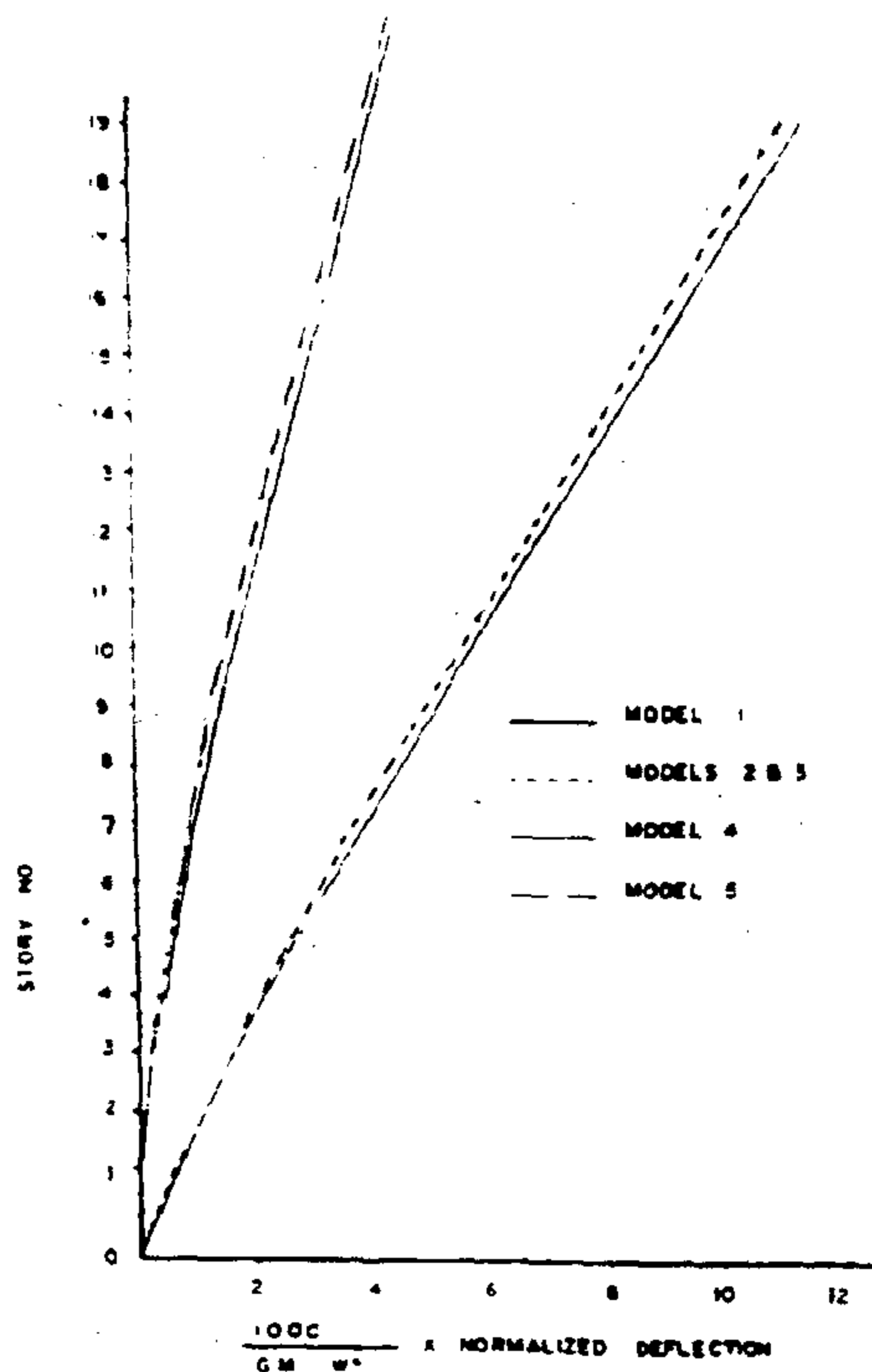


FIG. (4)
COMPARISON BETWEEN THE RESPONSES OF DIFFERENT
MODELS (19-STORY COUPLED SHEAR WALL)

Table (1) Frequencies and
Generalized masses

Model	w (rad./sec)	GM
1	1.00	34.13
2	1.017	34.01
3	1.016	34.00
4	1.788	31.86
5	1.846	31.69
6	1.674	8.550
7	1.708	8.540
8	4.618	8.400
9	4.785	8.390

CONCLUSION

- 1- The paper presented a simplified method for evaluating the fundamental frequency and mode shape implemented using traditional linear

static programs. This will be very helpful for practicing engineers.

- 2- The analysis proved that the right corporation of the foundations of the coupled shear walls is of great importance and may not be neglected; since it affected the dynamic characteristics by more than 600%.

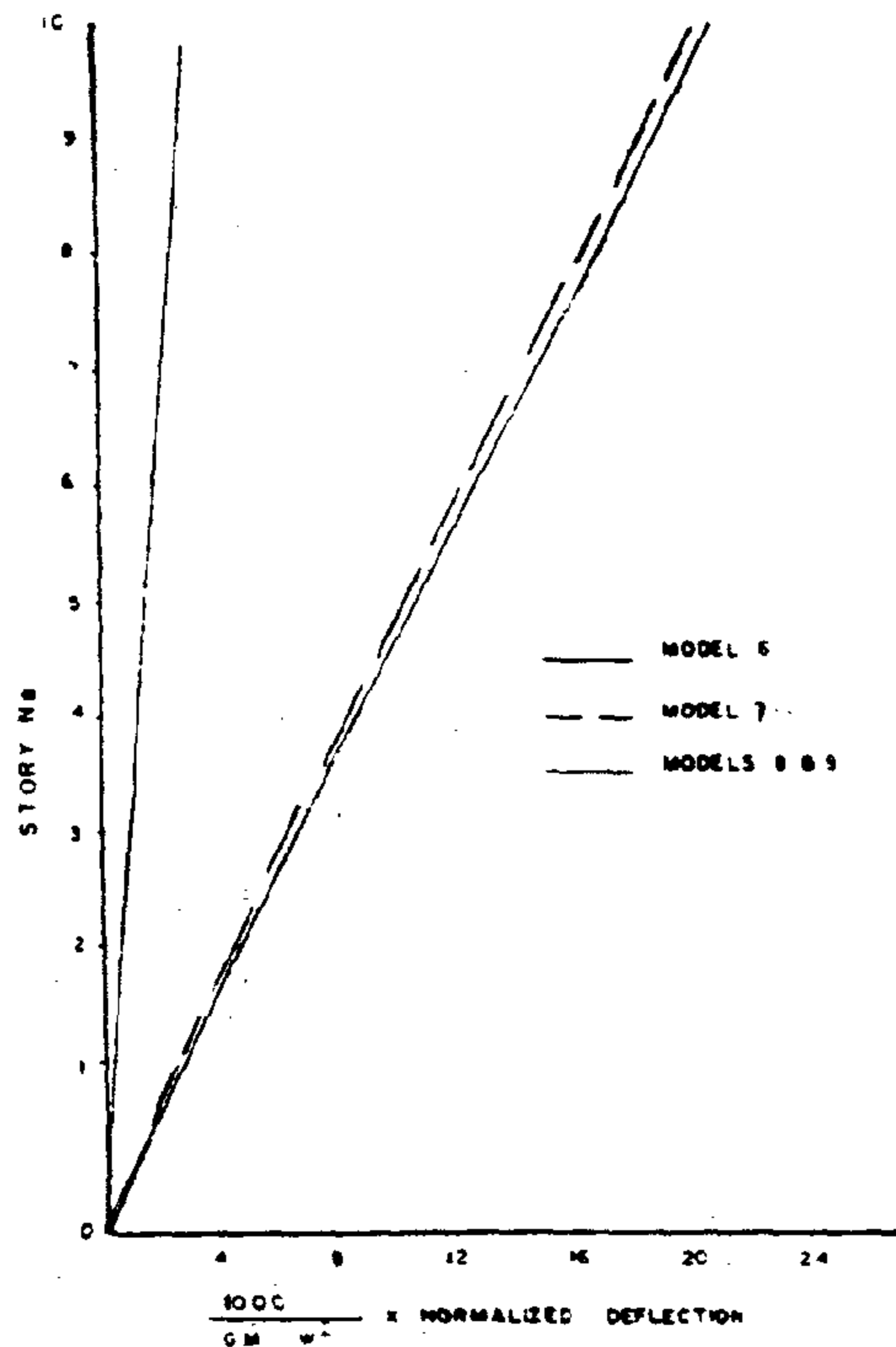


FIG. (5)
COMPARISON BETWEEN THE RESPONSES OF DIFFERENT
MODELS (10-STORY COUPLED SHEAR WALL)

REFERENCES

- 1- Coull A. and Ravi D., "Analysis of pierced shear walls", Journal of Structural Div. ASCE, January 1968, PP. 71-82.
- 2- Macleod, I. A., "New rectangular element for shear wall analysis", Journal of structural Div. ASCE, March 1969, PP. 399 - 409.
- 3- Krishna, M. A., "New rectangular finite element for shear wall analysis", Discussion, Journal of the Structural Div. ASCE, Sept. 1969, pp. 2000 - 2001.

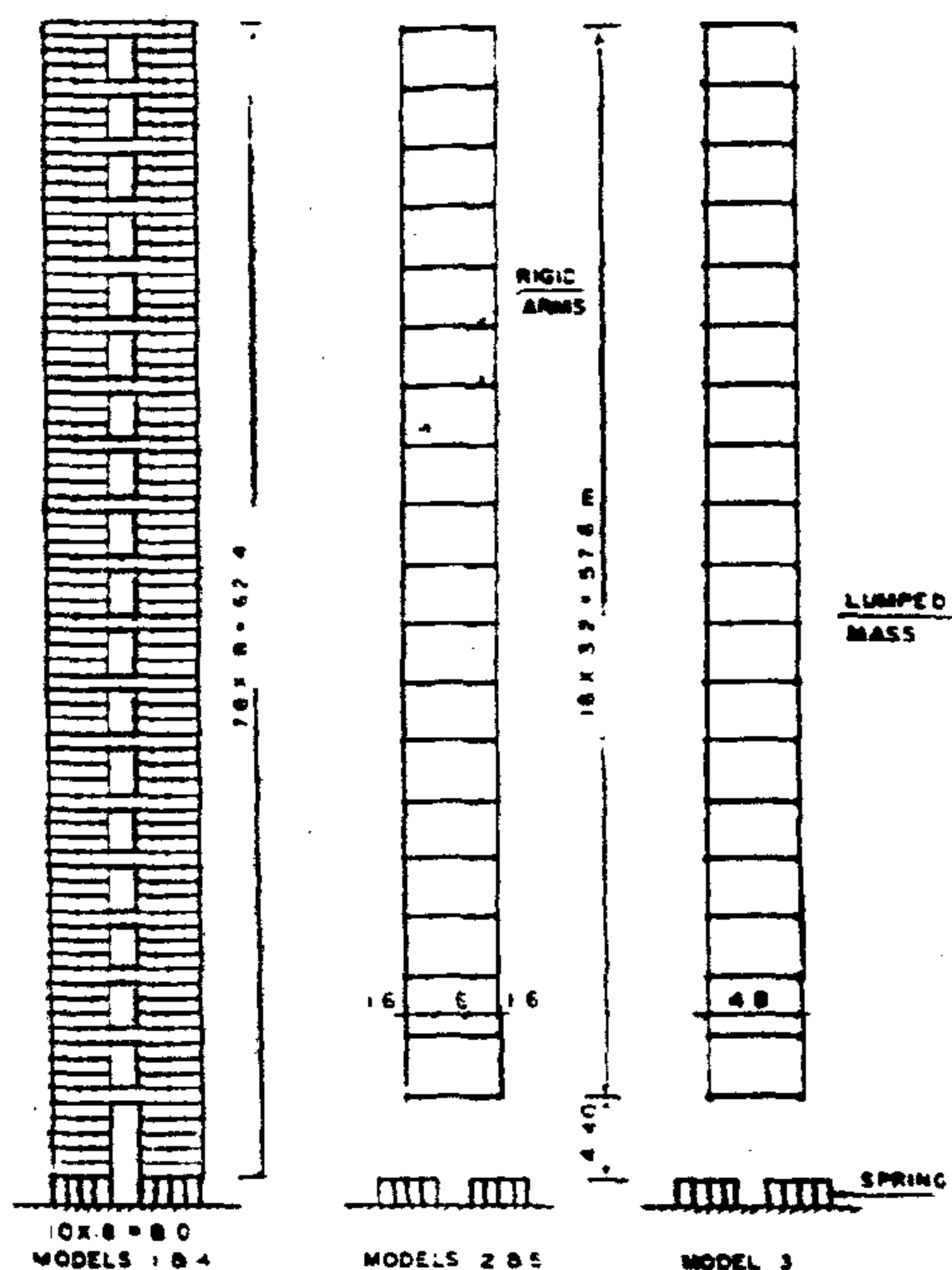


FIG. (2) MODELS FOR 19- STORY STRUCTURE

The masses of the 19-story structure are as follows:

m_1 = mass at first floor = 24.822 t.sec²/m
 m_i = mass at repeated floor = 18.655 t.sec²/m
 m_n = mass of the last floor = 12.43 t.sec²/m

The masses of the 10-story structure are 3/4 the above values. The spring stiffness for models No.1,2 and 3, $K=10000$ t/m. and of models NO.6 and 7, $K=5000$ t/m. Models No. 4,5,8 and 9 are fixed at base.

RESULTS

Each of the described models was analyzed by the explained method using three cycles of loading. Then the normalized mode shape vector was calculated and the generalized mass GM was calculated for every model. Where:

$$GM = \sum m_i \cdot V_i^2 \quad (5)$$

V_i = the i th element of the fundamental mode shape of the model.

The response of any model due to load $F(T)$ is given by the equation [7]:

$$Y = 1/GM.W^2 \int_0^t F(T) \sin W(t-T) dT \quad (6)$$

For equal forces for different models the responses are proportional to the value $1/GM.W^2$. Figure (4) gives the relation between the values $(100/GM.W^2) \times$ normalized deflections for the models 1-5 while Figure (5) shows the same comparison for models 6-9. The fundamental frequencies are given in table (1).

The comparison declares that the dynamic analysis through equivalent frame method is in excellent agreement with the finite element analysis. The modified beam method is also in excellent agreement but it can be used only for symmetrical shear walls.

Big differences are obtained between both mode shape and frequency of fixed base model and the elastically supported model of the same structure as figure (4) and figure (5) show.

Table (1) shows also the big effect of soil corporation on the fundamental frequency.

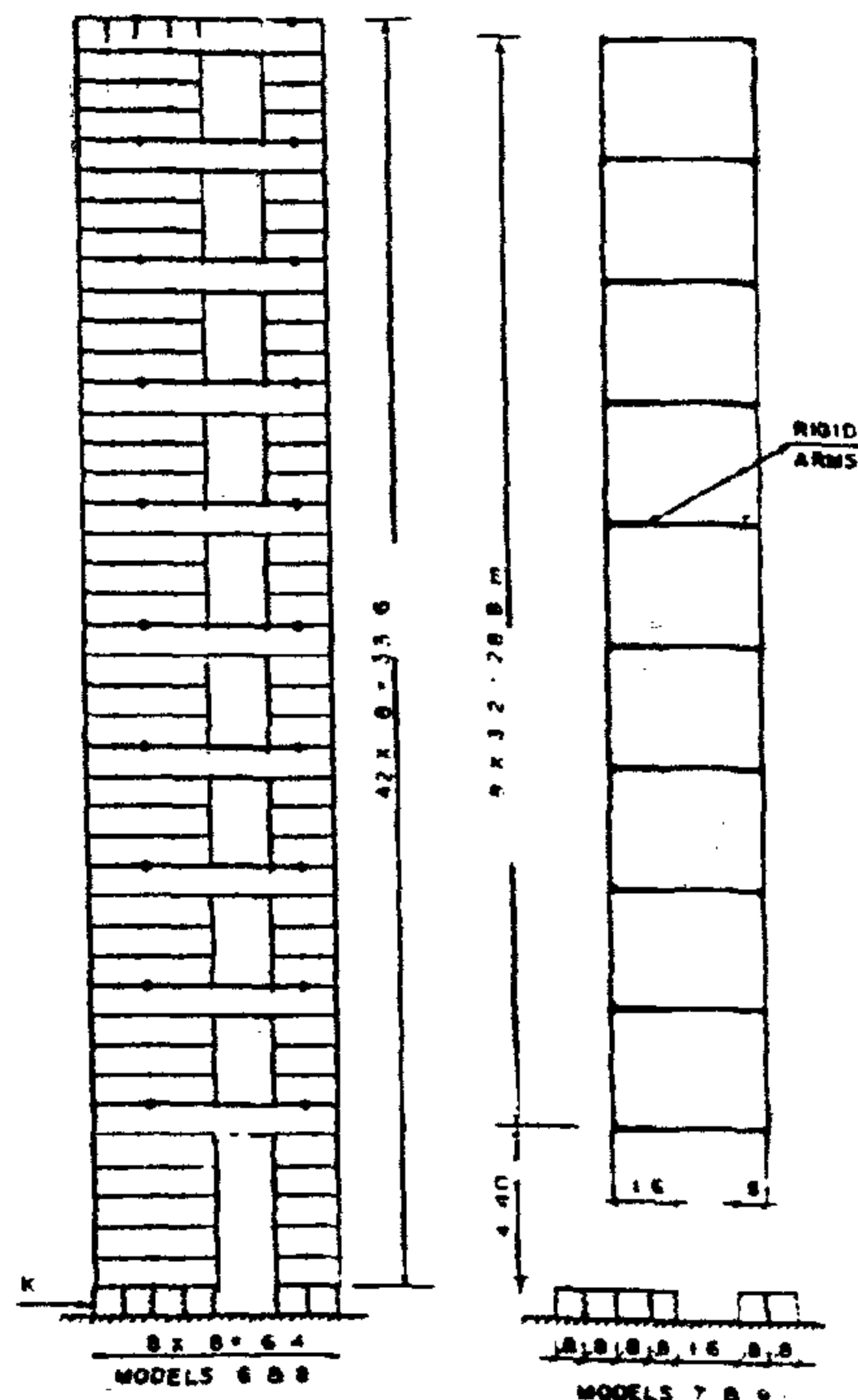


FIG. (3) MODELS FOR 10- STORY STRUCTURE

Where $\{MV\} = [M] \{V\}$

Equation (2) is similar to the equation:

$$\{Deformations\} = [Flexibility] \{Forces\} \quad (3)$$

That is to say; if we applied a load vector MV , the resulting deformed shape would be the fundamental mode shape divided by w^2 . This means that the fundamental mode shape can be obtained by an iteration procedure by applying static loads equal to the masses of the structure (lumped at the floor levels) multiplied by an assumed shape vector. The resulting mode shape would be more accurate than the assumed vector.

Using the new shape vector pre-multiplied by the mass matrix as a new load vector, the resulting mode shape would be better and so on. The accuracy can be checked by comparing every two successive normalized mode shapes. If the differences are within a certain accepted value, the last resulting vector can be considered as the correct fundamental mode shape. Dividing any element of the previous vector of the mode shape on the corresponding value of the last mode shape vector, the value w^2 is obtained, which is the square of the frequency of the fundamental mode shape of vibration.

The above procedure is applied easily on the traditional programs of static analysis using more than one run, or by adding few statements to the list of this program to repeat the loading on the structure according to the resulting previous response. The DO Loop is reasonable for this task with IF statement for checking the level of accuracy.

CHECKING THE CONVERGENCE OF THE ANALYSIS

In order to test the convergence of the explained method of analysis, a chimney shown in figure (1) is analyzed both the above method and the exact mathematical solution.

The mathematical solution for vibrating cantilever beam with uniform mass and cross-section is [7]:

$$Y = (\cosh Px - \cos Px) - \frac{\cosh PL + \cos PL}{\sin PL} (\sinh Px - \sin Px) \quad (4)$$

where the smallest value of $P = 1.88 / L$

$$P^4 = (1.88 / L)^4 = mw^2 / EI$$

The fundamental frequency $w = 3.53 / L^2 \sqrt{EI / m}$

$$w = 0.898 \text{ rad. / Sec.}$$

Using the explained method of analysis on the chimney only three cycles of loading were enough to obtain the frequency $w = .91 \text{ rad. / Sec.}$ and very close values of the mode shape to that obtained from equation (3). The method is proved to be rapidly convergent.

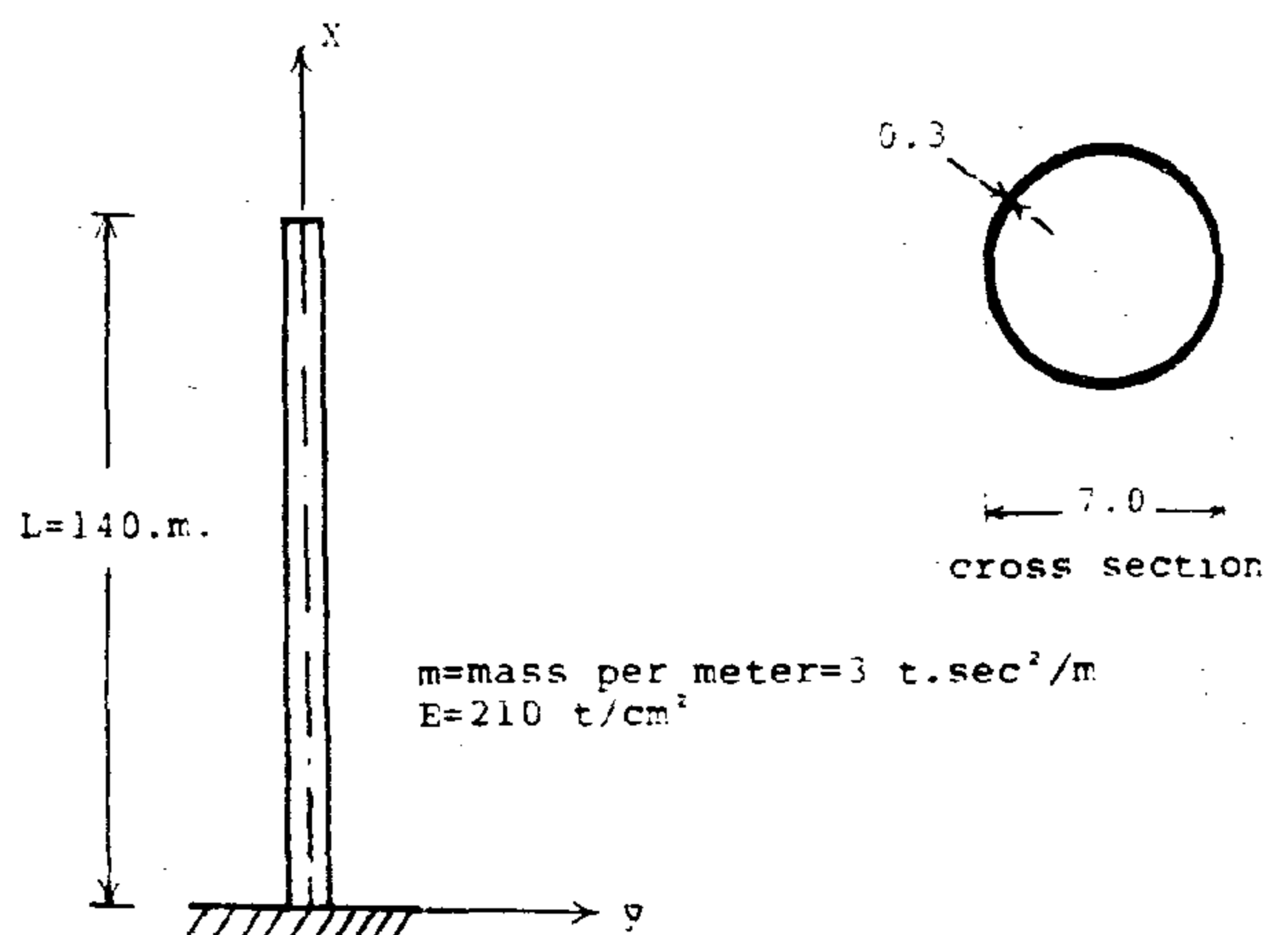


Fig.(1): Dimensions of the chimney

DESCRIPTION OF MODELS

Five models for a 19-story symmetrical coupled shear structure were analyzed as explained above to obtain the fundamental mode shape and the corresponding frequency. A square plane stress finite elements were used in model NO.1 which is considered as a reference of comparison to the simplified models NO. 2 and NO. 3. Figure (2) shows these models.

By the same way, figure (3) shows the models for a 10-story non symmetrical coupled shear wall. The tested walls of reinforced concrete with the following properties.

Wall thickness = 0.30 m.

E = Modulus of elasticity = 210 t/cm²

P = Poisson's ratio = 0.15

SIMPLIFIED DYNAMIC ANALYSIS OF COUPLED SHEAR WALLS

ABDEL FATTAH EL AKABAWI* & AMIN S. ALY**

ABSTRACT

The main object of this paper is to suggest a simple method for evaluating the dynamic characteristics of coupled shear walls; with and without soil structure interaction.

The method uses traditional programs for linear static analysis of structures; and compares different models for incorporating coupled shear walls in the analysis.

The applications of the method for the determination of the fundamental frequency and the corresponding mode shape for some coupled shear walls prove that the suggested method is rather simple, general and efficient. The method may be recommended for use by practicing engineers.

The comparison of results to the almost exact finite element results shows that the soil structure interaction may not be neglected.

INTRODUCTION

Shear walls are usually used in high rise buildings to resist lateral forces due to wind and earthquakes. The formal behavior of shear walls is explored using the finite element method [2,4]. However this method usually requires the use of high number of degrees of freedom. Many writers have suggested several models for the static analysis of this type of structures [5,6].

In this paper, the dynamic characteristics of shear walls, which are mainly the fundamental frequency and the corresponding mode shape, are obtained using two simplified models. The results are compared with the finite element results to check the validity of the suggested method.

The advantages of this research paper are appreciated since the analysis hinges on using linear static analysis programs to accomplish the dynamic characteristics of the shear walls.

METHOD OF ANALYSIS

The free vibration of the structure can be represented by the following matrix equation.

$$\{V\} = \omega^2 [F] [M] \{V\} \quad (1)$$

Where:

V = the vector of the mode shape of vibration of the structure.

ω = frequency of vibration.

$[F] = ([K_{aa}] - [K_{ab}] [K_{bb}]^{-1})$

$[K]$ = Stiffness matrix of the structure

$$[K] = \begin{bmatrix} K_{aa} & K_{ab} \\ K_{ba} & K_{bb} \end{bmatrix}$$
$$[M] = \begin{bmatrix} m_1 & & 0 \\ & m_2 & \\ 0 & & m_n \end{bmatrix} \quad \text{matrix of the lumped masses}$$

Equation (1) may be written as

$$\{V\} / \omega^2 [F] \{MV\} \quad (2)$$

* CAIRO UNIVERSITY, FACULTY OF ENGINEERING

** AIN SHAMS UNIVERSITY, FACULTY OF ENGINEERING

BUILDING & CONSTRUCTION

**INST. OF CIVIL ENGINEERS
INST. OF ARCHITECTS
INST. OF IRRIGATION ENGINEERS**

TABLE OF CONTENTS

GENERAL SECTION LOCAL MANUFACTURING OF SPARE PARTS IN HELWAN PORTLAND CEMENT COMPANY 22

BUILDING & CONSTRUCTION	INDUSTRY & PRODUCTION	RAW MATERIALS & CHEMICAL ENGINEERING
(ARABIC)	(ARABIC)	(ARABIC)
• NEW CITIES IN EGYPT 4 Prof. Dr. AHMED K. ALLAM	-----	-----
• INFLUENCE OF VOLUME AND SHAPE OF THE ROOM ON THE INTERNAL ENVIRONMENT SPACE IN ARIDE ZONE . Dr. SAMI S.ELAMR		(ENGLISH)
• THE EXTENSION POSSIBILITIES OF MONOFIA GOVERNORATE TOWARDS THE WESTERN DESERT. Dr. SHERIF S. SAADEL DIN 13		• IMPROVEMENT OF ADOBE CHARACTERISTICS BY STABILIZATION Dr. SAID EL ADWY ENG. AHMAD NABIL 45
(ENGLISH)	(ENGLISH)	• LABORATORY APPLICATION OF ALKALINE FLOODING ON RAS BUDRAN CRUDE. Dr. NASSER FMZY Dr. MAHMOUD EL BATANONEY Dr. MOHAMED H. SAYYOUH Dr. MOHAMED A. EL-GHADD 51 Dr. ABDEL WALEY A.ABDEL-WALEY
• SIMPLIFIED DYNAMIC ANALYSIS OF COUPLED SHEAR WALLS. Dr. ABDEL FATTAH A.ELAKABWI Dr. AMIN ALI 4	• A NEW METHOD FOR CALIBRATION OF D.C. POTENTIOMETERS. Dr. ABLA H.ABDEL RAHMAN Dr. SOHEIR FAKHRY Dr. IBRAHIM MOTWIE 18	• MAXIMUM ALLOWABLE PRODUCTION RATES FROM OPEN HOLE HORIZONTAL WELLS. 57 Dr. ABDEL ALIM HASHEMEL SAYED
• SEEPAGE LOSSES FROM A SYSTEM OF PARALLEL CHANNELS. Dr. AHMAD S.EL-ZAHER Dr. KAMAL E.MILAD 9	• MICRO COMPUTER CONTROLLED SOLAR TRACKING SENSOR Dr. MOHSIN M.T.EL-HAGRY Dr. IBRAHIM M. MOTWIE Dr. MOHAMED B. SALEH 26	• EFFECT OF SHALE CONTENT OF KAREEM FORMATION IN EL-MORGAN OIL FIELD ON OIL RECOVERY BY ALKALINE WATERFLOODING Dr. ABDEL WALEY, A.A. 67
• EFFECT OF SILL UNDER GATE ON THE DISCHARGE COEFFICIENT. Dr. ATEF EL-SAIAD Dr. ESSAM ABDEL HAFIZ Dr. MOHAMED EL NIAZI HAMMAD Dr. TALAAT OWIS 13	• USING MULTIPLE OBJECTIVE TECHNIQUES TO MODEL HIERARCHICAL PRODUCTION PLANNING PROBLEMS (PART I THEORETICAL STUDY) Dr. MOHAMED H. RASMY ENG. SALAH ISMAIL 31	• SOME METALLURGICAL PROPERTIES OF FERRITIC STEEL ON ITS ALUMINIZING & HEAT TREATMENT Dr. OMAR EL SHAHAT 77

JOURNAL OF THE EGYPTIAN SOCIETY OF ENGINEERS

28 Ramsis St. Cairo ARE Tel. 740488

VOL. 30 ISSUE NO. 2 1991

ISSN 1110 — 1253

EDITING BOARD

Editor

Dr. M. EL-HEFNAWY

Deputy Chief Editor

Dr. M.F. SAKR

Gen. Secretary

Dr. A.R. ABD-EL-HALIM

Members

Eng. T. ABDEL-GAWAD

Dr. M. ABU-ZEID

Dr. H. AMER

Dr. A. KH. ALLAM

Dr. M. EL-ADAWY NASSEF

Dr. M. M. EL HASHIMY

Eng. A. M. EL-ASFOURY

Dr. S. EL-SOBKY

Dr. A.M. KAMEL

Dr. M. SELEEM

Dr. M. ZAKI HAWAS

- Issued quarterly . Contributors are invited to submit material for editorial consideration addressed to the Editor. The Journal cannot accept responsibility for loss or damage of any material.

INSTRUCTIONS FOR AUTHORS OF ARTICLES

- The Journal publishes articles contributing to the advancement of engineering science and applications.
- Articles may be written in Arabic or English and presented in triplicate with an abstract in both languages.
- Author's names should be given in full, together with their academic titles and professional occupation.
- Articles may not exceed 8 pages. In this respect, mathematical derivation may be abbreviated and tables replaced by curves.
- The Journal does not hold itself responsible for the opinions or the content expressed by the authors.
- Curves to be drawn on tracing paper and to occupy half a page at most. Exceptionally, full page curves or plates are admitted. Curves presented will be scaled down to these sizes. Figures and lettering on curves should not be less than 3 mm even after scaling down.
- References to be given at the end of each article and classified alphabetically according to author's name followed by the name of the journal or book and the date of issue.
- Authors will be presented with two proofs, the first one accompanied by a correction convention chart to ease the work of typing correction
- Subscriptions :
 - Society members : Free
- Inland Subscriptions :
 - Non-members 20 L.E
 - Non-engineers 50 L.E
 - Organisations 500 L.E
- Foreign Persons 75 US
- Foreign Organisations 500 US

مجلة جمعية المهندسين المصرية

٢٨ شارع رمسيس - القاهرة ج . م . ع . ق : ٥٧٤٠٤٨٨

رصد ١١١٠ - ١٢٥٣

المجلد الثلاثون - العدد الثالث ١٩٩١

- تصدر المجلة ربع سنوية .
- ترسل النصوص المطلوب موافقة هيئة التحرير على نشرها باسم السيد/ رئيس التحرير . وهو غير مسئول عن فقد أو تلف أى نص .
- تنشر المجلة المقالات التى تسهم فى رفع مستوى العلوم الهندسية وطرق ممارستها .
- تقبل للنشر المقالات باحدى اللغتين العربية أو الإنجليزية على الآلة الكاتبة ومعها ملخص بكل من اللغتين .
- المجلة غير مسئولة عن الآراء والمحتويات التى تنشر وهى تعبر عن كاتبها فقط .
- تذكر أسماء أصحاب المقالة كاملة باللغتين ومعها ألقابهم العلمية ووظائفهم .
- يراعى ألا تتجاوز المقالة ٨ صفحات بالمجلة ، وفى سبيل ذلك يختصر الاشتقاق الرياضى ويستعاض عن الجداول بمنحنيات مرسومة بالحبر الشينى الأسود ، على أن يشغل المنحنى نصف صفحة على الأكثر ولا يشغل صفحة كاملة إلا فى حالات استثنائية وسيصغر أى منحنى إلى تلك المقاسات .
- يراعى ألا يقل ارتفاع الحروف أو الأرقام على المنحنيات المنشورة عن ٣ مم بعد التصغير .
- يعنى بذكر المراجع المستقى منها المقال وتصنف تبعاً لاسم المؤلف ثم العنوان ثم المجلة أو الكتاب وتاريخه .

اشتراكات المجلة :

* داخل القاهرة :

٢٠ جنيهاً	الاشتراك السنوى للمهندسين
٥٠ جنيهاً	الاشتراك السنوى لغير المهندسين
٥٠٠ جنيهاً	الاشتراك السنوى للهيئات

* وخارج القاهرة :

للأفراد ٧٥ دولار أمريكى سنوياً .
والهيئات ٥٠٠ دولار أمريكى سنوياً .
وذلك عن الأربع أعداد السنوية ويعامل العدد الواحد بواقع الربع من هذه القيمة
وتعطى أولوية النشر بالمجلة للسادة الزملاء أعضاء جمعية المهندسين المصرية .

هيئة تحرير المجلة

رئيس التحرير

دكتور مهندس/ مصطفى الحفناوى

نائب رئيس التحرير

دكتور مهندس/ محمد فهم صقر

أمين الصندوق وسكرتير التحرير

دكتور مهندس/ عبدالرازق عبدالحليم

أعضاء

دكتور مهندس/ أحمد خالد علام
دكتور مهندس/ توفيق عبدالجواد
دكتور مهندس/ حامد حسنين عامر
دكتور مهندس/ صلاح السبكي
مهندس/ عبدالملك العصفورى
دكتور مهندس/ على محمد كامل
دكتور مهندس/ محمد العدوى ناصف
دكتور مهندس/ محمد زكى حواس
دكتور مهندس/ محمد محمد الهاشمى
دكتور مهندس/ محمود أبو زيد
دكتور مهندس/ محى الدين سليم

المحتويات

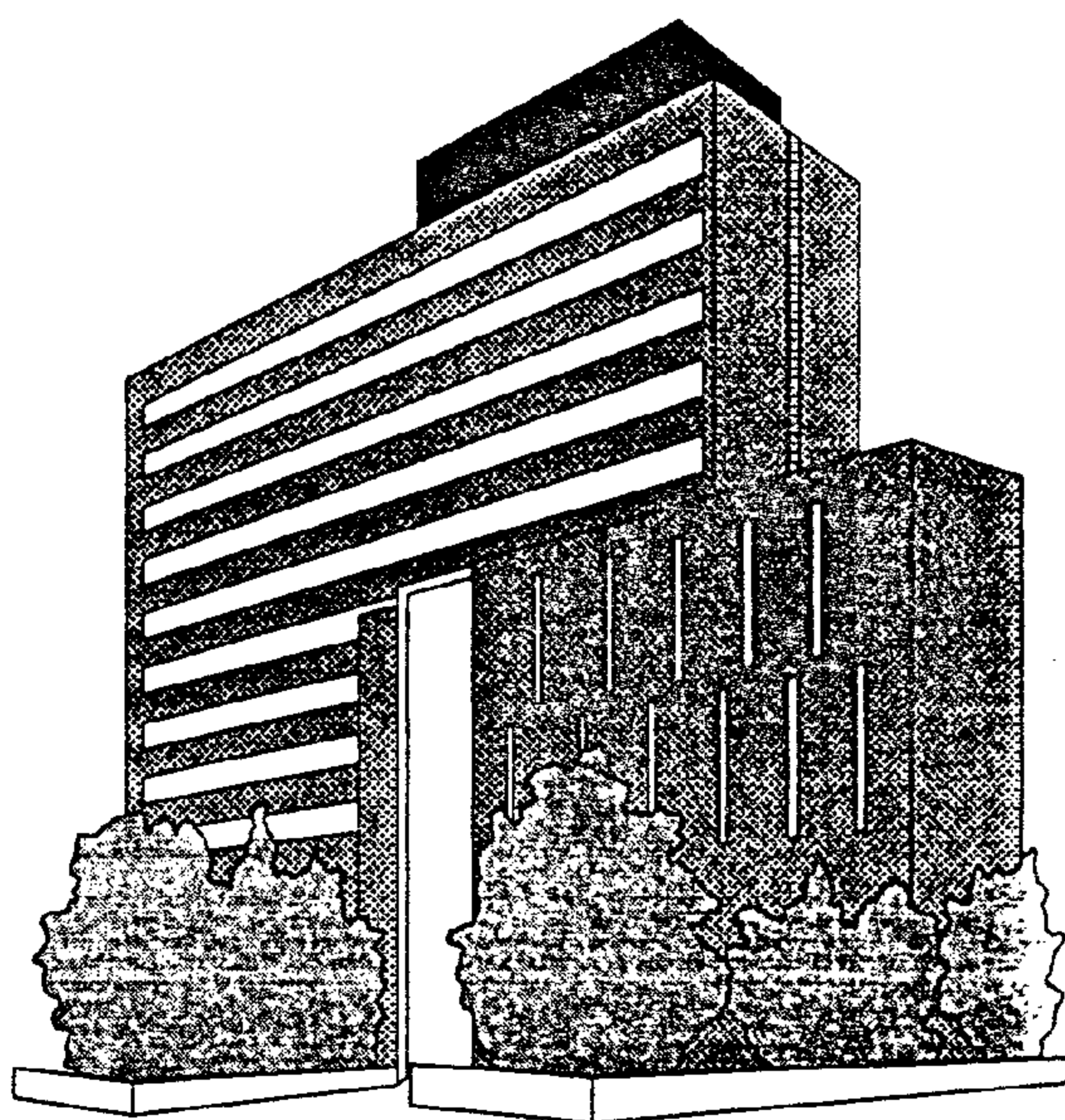
القسم العربى

- ٤ القاهرة الكبرى (أ.د. أحمد خالد علام)
- ١٠ النظافة العامة (أ.د. أحمد خالد علام)
- ١٦ دراسة تحليلية للظروف المناخية في منطقة رأس نصراني بشرم الشيخ (د. شفيق العوضى الوكيل)
- ٣٠ التجمعات العمرانية الجديدة حول القاهرة الكبرى بين التخطيط والواقع (د. شريف صبرى سعد الدين)
- ٤٤ تخطيط المناطق التهالكه والارض الفضاء بالمدن المصريه فى اطار المخططات العامه (دمصطفى الدينارى)
- ٦١ حقيقة انسحاب بعض شركات البترول الاجنبيه العلمله فى مصر (دمصطفى شعراوى)

القسم الافرنجى

- ٦٤ تحسين اداء الرشع اللاهوائى ذو التدفق العلوى بأستعمال الوسط البلاستيكي (دعزت عبد الشافى - د. محمد كمل)
- ٦٩ تطبيقات نوزج الارتداد التعدد على بيانات حركة حوادث الطرق فى الرياض بالسلكه العربيه السعوديه (عبد الرحمن الزهراني - عبد البارى بنير)
- ٧٣ التحليل الجيومورفولوجى وتصرفات الاحواض السابكه لمنطقه اربد (د.اسماعيل الحمرى - م. عدنان القواسه)
- ٨٢ ادارة وتخطيط وتقييم الميانه بالحاسب الالى (دمحمد السيد نصر)
- ٨٨ مدخل البرمجه الهدفه لبناء نوزج لتخطيط الانتاج الهرمى - الجزء الثانى دراسه تطبيقيه (دمحمد حسن رضى - م. صلاح اسماعيل)
- ٩٨ نظام تحكم بالميكروبروسسور لاستخدامه فى مضخات المياه الغذاء بولادات الجهد الضوئى (دمايه علوى - دعزیزه ذكى)
- ١٠٣ دراسة التثيل الجديد لآلة الجهد والمقاومه والاتجاهات الجديده فى القياسات الكهربيه (دشندى الشال)
- ١٠٩ تأثير الكحوليات الدهنيه على الخواص الميكانيكيه لطلاءات البولى يوريتان (دامانى محمد حسن - د.احمد مجدى مطلوع - د. منى على يوسف)
- ١١٢ الموقف الحالى والنظرة المستقبليه لانتاج واستهلاك الطاقه فى مصر (دمهشام الدين - د. سعيد عبد الوهاب - د.عبد الخالق)
- ١٢٥ تقنيه جديده لتحسين خواص الحقن للطبقات الطينيه (دمحمد البتانونى - د. ناصر فوزى - د. سامح مكارى)

التشييد والبناء



جمعية المهندسين المقيمين
جمعية المهندسين المعماريين
جمعية مهندسي السوي

القاهرة الكبرى

أ.د. أحمد خالد عسليم

القاهرة واشتراطات بنائية أخرى
لواجهه التابعة لمحافظة
الجيزة، نهر النيل يجب ان يكون
اداة ربط لهذه الكتلة
العمرائية الحضرية لا اداة فعل
كما هو حادث الان.

أولاً- التحولات الحضرية فى إطار التخطيط الاقليمى العمرانى

جهاز التخطيط العمرانى؛
مشكلة الاسكان فى القاهرة الكبرى
مشكلة حادة ومعقدة، والتحدى
لهذه المشكلة لا يعتبر تحقيقا
لاهم مطالب الحياة فحسب ولكن
ضرورة لتجنب العاصمة ظهور
وانتشار المناطق العشوائية
المتخلقة والمتدهورة عمرانيا
وتخطيطيا، لهذا يجب الانتهاء من
المخططات العامة والتفصيلية
للقاهرة الكبرى. وسرعة تنمية
اراضى التوسعات الجديدة
لتعويض العجز وملاحقة تزايد
الطلب، مما يقتضى معه سرعة
انشاء جهاز للتخطيط العمرانى
للقاهرة الكبرى، وقد كان هذا
الجهاز موجودا وقاشما ادى رسالة
ممتازة فى الفترة بين ٦٤-١٩٧٣ م،
ثم الفى وانضم الى وزارة
الاسكان، فى الوقت الذى صدر فيه
قرار جمهورى بتقسيم مصر الى
اقاليم تخطيطية، ونص هذا
القرار على تشكيل جهاز تخطيطى
لكل اقليم.

نظام البلديات؛ البلدية فى
مصر لها تاريخ طويل حافل وجميل،
قدم لنا شوارع نظيفة كانت تغسل
لبناء، تزيينها الاشجار والممزة
الاشباح الجميلة
الزخرفة... وميسادين جميلة
تزيينها التماثيل - وحدائق
ومتنزهات تتوسطها اكشاك
الموسيقى، التى كانت تصدح فيها
الموسيقى العربية والافرنجية
يومي الجمعة والاحد من كل
اسبوع، نظام قدم لنا المنيا
عروس الصعيد والمنصورة عروس
الدلتا، والاسكندرية عروس
البحر المتوسط، التى كانت ياتى
اليها الاوربيون للاسترشاد
بتخطيطها عند تخطيط مدنهم،
كانت القاهرة راقعة الجمال فى
قل البلدية، وفجأة الفى نظام
البلديات وحل محطة نظام آخر،
فشاخت القاهرة وهرمت وترهلت،
ان الاوان لعودة البلدية مرة
اخرى حتى يعود للقاهرة شبابها

القاهرة لها فى قلوبنا
مكانة... ذات سمعة فريدة. تتميز
بمجموعة اشيرة، تحكى تاريخها
خلال الف عام واكثر...
تعمس تطور العمران الاسلامى
وكائنها موسوعة معمارية، تعف
طراز كل عصر واسلوب كل زمن فى
فن البناء والزخرفة، ولاشك ان
ضخامة العاصمة وشكلها الحضارى
والاجتماعى والاقتصادى له تاثير
على كل عمليات التنمية،
...ويقضى الامر وضع نظام ادارى
خاص بها متفق مع ضخامتها
وخصائصها، ويحقق وحدة الادارة
والتنسيق لجميع الاجهزة والهيئات
التى تعمل فى المجال المحلى
وكذا الهيئات التى تدار باسلوب
مركزي حتى يمكن حل مشاكلها
المتراكمة، وقد كان للقاهرة فى
الماضى قانون خاص بها حتى عام
١٩٦٠ م، وهى الان فى اشد الحاجة
الى قانون يركز على الاختصاصات
الحضرية التى تتميز بها
العاصمة فى مجال الثقافة واهياء
التراث وتنشيط السياحة والحفاظ
على الطابع الحضرى وتلوث البيئة
والمساحات الخضراء وتحديد
الاحياء..

والكتلة الحضرية للقاهرة
الكبرى تضم محافظة القاهرة
ومدينتى الجيزة وشبرا الخيمة،
وهذه الكتلة لها مشاكل فريدة
فى نوعها حيث تمتد خدمات
ومرافق العاصمة الى المدن
المجاورة، وتحتاج هذه الكتلة
العمرائية الى مستوى ادارى له
شخصية اعتبارية اعلى من مستوى
محافظة القاهرة يضم هذه
الوحدات الادارية الثلاث القاهرة
ومدينتى الجيزة وشبرا الخيمة،
وذلك للتنسيق والاتفاق على
السياسات والاستراتيجيات الخاصة
بتخطيط المرافق والخدمات
والتشريعات المنظمة للعمران،
فليس من المعقول او المقبول
ان تكون هناك اشتراطات بنائية
لواجهه النيل التابعة لمحافظة

وحيويتها ونخارتها، ولا سيما وان الدولة تفكر الان في بيع القطاع العام الموجود بالمحليات لتعود الادارة المحلية الى رسالتها الاصلية منذ فجر الحضارة وهي تأدية الخدمات.

ارض مصر: ارض الحضر بالقاهرة اصبح لها قيمة، تباع وتشتري من اجل الربح، اتجهت المضاربات والاستثمارات اليها لانها تحقق عائدا سريعا ومضمونا، وبهذا تحولت الى واه ادخارى، ارض مدينة المهندسين كانت ارضا زراعية تباع وتشتري بالفدان، ثم تحولت الى منطقة فيلات سكنية بيع المتر المربع في ذاك الوقت بحوالى ثلاثة جنيهات، ثم تحولت الى منطقة شقق مفروشة فزاد سعرها، ثم تحولت الى منطقة عمارات عالية فارتفع سعر الارض اكثر واكثر، ثم تحولت الى منطقة مكاتب مهنية فارتفع السعر الالف من الدولارات، فكلما زادت الكثافة المكانية والبنائية زاد الدخل، وكلما زاد الدخل زادت القيمة الرأسمالية للارض، وتجرى المضاربة بسرعة فائقة ووضعت ارض الحضر داخل حلقة مفرغة، وخرجت او هربت من هذه الحلقة المفرغة لندى وغيرها من المدن الانجليزية - لان مساحات كبيرة من هذه المدن كانت من الممتلكات العامة فكانت المدينة تؤجر هذه الارض للسكان لمدد طويلة حوالى مائة عام يقيمون عليها مساكن، ثم تؤول الارض بعد هذه المدة الى البلدية مرة ثانية، فتزيل ما عليها من مباني وتعيد تخطيطها وتأجيرها كحق انتفاع لمدة اخرى، وتدخل الارض فى دورة جديدة من دورات العمران، ويسمى هذا النظام بالمكسر او Leashold، وهو نظام تطبقه اجلتيرا فى مدنها القائمة والجديدة منذ اكثر من قرنين، شبت نجاحه - وتحقق الهدف منه، وهو منع المضاربة على ارض الحضر - وتخليص ايجارات المساكن، حبذا لو اخذت مصر بهذا الاسلوب وتبدأ به فى المجتمعات الجديدة، وهو منع بيع ارض الحضر وتأجيرها لمدد طويلة.

رخصة اشغال المبنى: اسلوب يطبق فى غالبية دول العالم، وهو وسيلة لمنع مخالفات المبنى والمد من حوادث الحريق وانتهارات المبنى، تعنى رخصة اشغال المبنى ان لا يشغل المبنى الجديد الا بعد الحصول على رخصة من البلدية بان المبنى مطابقا لرخصة البناء، وان الاجهزة الصحية والكهربائية ووسائل مكافحة الحريق قد نفذت طبقا لترخيص وحسب الاموال الفنية والمواصفات الهندسية، بعد التاكيد من كل هذا يعطى الترخيص باشغال المبنى، وهنا يحق للمالك تاجير مساكن المبنى، لو كان هذا الاسلوب مطبقا فى مصر لتجنببت الدولة الكثير من مشاكل الاسكان وحوادث الانهيارات والحريق.

هدم وازلة الدور الخامس: طالعتنا الصحف منذ فترة بخبر بان محافظة القاهرة جهزت حملة لتنفيذ حكم صادر من المحكمة ينص على هدم وازلة الدور الخامس فى مبنى حرر له مهندس التنظيم محضر المخالفة، وتحركت الحملة الى موقع المخالفة لتنفيذ الحكم، ولما وصلت فوجئت بان الدور الخامس المطلوب ازالته يملؤه عدد من الادوار - يستحيل معه الازاله، والتعليق على هذا الخبر ان مهندس التنظيم الذى حرر المخالفة قد جازية الصواب فى تحرير المحضر.... . ورجم الله شيوخنا المهندسين الذين علمونا كيف نكتب رخصة البناء ونحرر محضر المخالفة وكيف تكون العبارات الالفاظ دقيقة حتى يكون كل شيء واضحا ومحددا امام القاضى الذى يحكم بالازاله. وزارة الاسكان فى الماضى كانت مسئولة عن رعاية مهندس التنظيم فى مدن مصر، تعلمهم وتوجههم وتدريبهم وتفتش عليهم وتعطيهم الفتوى، وتجب على استئمتهم، الا ان هذه الدارة الفيت بسبب الحكم المحلى، واصبح مهندس التنظيم وحيدا حائرا لا يجد من يأخذ بيده ويرشده.... مهندس التنظيم فى العالم كله هو مفتاح العمران اذا صلح صلح العمران.... اشراف وزارة الاسكان على مهندسى

التنظيم ضرورة، فالحكم المحلي
شئ ورعاية مهندس التنظيم شئ
آخر.

مناطق الامتداد العمرانية غير
المخططة: تحيط بالقاهرة وتكاد
تخنقها، وهي عبارة عن مناطق
اسكان حديث ولكنها متدهورة تعوى
كل انواع التلطف من اول يوم.
مساكن لا تتواءم فيها مقومات
الصحة العامة والامن والامانة
والسلام، مناطق ترتفع فيها نسبة
الامراض عن بقية مناطق القاهرة
الاخرى وعلى راسها امراض القلب
والصدر وشلل الاطفال....
بالاضافة الى الامراض الاجتماعية
كالتشرد والتسول والاحداث
والانحرافات، يجب وقف هذه
القاهرة... القاهرة اقامة
المباني غير القانونية التي

انتشرت بشكل وبائى فى هذه
المناطق، وذلك بالوقوف وقفة
هازمة وحاسمة لتطبيق التشريعات
الممنظمة للعمران وعلى راسها
قانونى تنظيم المباني وتقسيم
الاراضى والغرب بشدة على كل من
يخالفها، حتى لا يكون مسعانا
الابدى والازلى هو الجرى خلف
المشاكل الناتجة عن انتهاك
المكافئين للعلاج صعب...
وتكالف التحسين باهظة...
وتحقيق حد ادنى من الاشتراطات
الصحية يكاد يكون شبه مستحيل.

واخيرا:

يجب ان توفق الندوة فى دراسة
هذه المشاكل وغيرها من المشاكل
الاخرى... حتى تخرج بحلول واقعية
تزيل عن جبين مصر مسحة الكآبة
والمزن، وتعود اليها البسمة
والرفاهية

ثانيا- مشكلة النقل والبرور بالقاهرة الكبرى

اصبحت مشكلة النقل و البرور داخل المدن و بيئتها و بين ضواحيها او بيئتها و بين غيرها من المدن و القرى اكثر تعقيدا، واصبحت الشغل الشاغل لاولى الامر، و بلغت هذه المشكلة حدا جعل منها موضوعا لدراسة مستفنية و مادة تخصص.

و القضية اولا قضية تخطيط تحتاج الى نظرة مستقبلية بعيدة ودراسة و بحث، و لعننا نشاهد اليوم اثر هذا التخطيط السليم في المدن الكبرى التي سبقت الوقت و مهدت الطرق الفسيحة، فلم تواجه مشاكل غيرها من المدن التي اكتظت شوارعها و حاراتها فلجات الى قطع اشجارها و الغاء الاربيز من جوانبها لتتسع طرقها الى حين.

والتخطيط السليم يعد العدة للمستقبل القريب و البعيد على حد سواء حتى لا يفاجأ المسئولون بمشاكل النقل و البرور م هي تتراكم مع الوقت، و لا تجد للحل الصحيح سهلا.

* الندوة الثانية التي عقدت بجمعية المهندسين يومى ١٦، ١٧ سبتمبر ١٩٩١

ولقد شهد هذا العمر مولد وسائل نقل متعددة مثل خطوط الترام و المترو و مترو الانفاق و المونوريل و المكك الحديدية و السيارة و الطائرة، و لقد اثرت حركة النقل على تخطيط المدن ونموها:

فزادت مساحتها و تنوعت استعمالات الارض فيها، و امتد هذا التأثير الى زيادة اعداد السيارات و الى انخفاض الشعور بالامان و زيادة الضوضاء و تلوث البيئة، كما ادت وسائل النقل الى تلغيم اسعار الارض داخل الحضر، فبعد ان كانت القيمة تتحدد على

اساس صفات جمالية او بيئية او قانونية، أصبحت قيمة الارض تتحدد على امكانية الوصول اليها بأكبر عدد ممكن من وسائل النقل في اقل زمن متاح، وادت ايضا زيادة وسائل النقل الى ظهور مشاكل بيئية عمرانية جديدة مثل مشاكل البرور في مناطق العمل المركزية ومشاكل الانتقال بين الممكن و الممنوع و مناطق التعليم.

و اذا انتقلنا من العموم الى القاهرة الكبرى نجد ان العوامل الطبيعية و التاريخية السائدة في الموقع ساعدت على النمو العشوائى الذى يمكن تحديد اثره على النقل بالاقليم على النحو التالى:

١- يبلغ معدل استهلاك الارض السنوى في الأنشطة المختلفة من اسكان وصناعة وخدمات حوالى ٤,٢ ٪ اى ١٢٠٠ هكتار (٣٠ الف فدان / السنة)

٢- اقليم القاهرة الكبرى الداخل في نطاقه ست مدن (قليوب و القناطر و الخانكة و البدرشين و الحوامدية و اوسيم) يبلغ تعدادها حوالى ثلث مليون و عدد من القرى يبلغ تعدادها اكثر من مليون، تتركز جميعها على الارض الزراعية و تمتد عليها دون اى رابط او ضابط.

٣- وسط مدينة القاهرة المتمثل في مثلث التحرير / رمسيس / المعتبة لم يعد يحتفظ بحدوده السابقة بل امتدد داخل المناطق السكنية المجاورة : في الدقى و المهندسين و الزمالك و جاردن سيتي و المنيل و الفجالة و شبرا. وغيرها وذلك نتيجة احلال الأنشطة التجارية و المهنية محل الاستعمالات السكنية.

٤- الهيكل العمرانى الرئيسى للاقليم يشمل مناطق غير

متحفرة نتيجة تحويلها من قرى الى اجزاء من المدينة مثل بولاق الدكرور و الوراق والعمرائية و المطرية وعين شمس والواويع العمراء وعزبة النفل والمرج.... كما يوجد داخل الكتلة العمرانية استعمالات لم تعد تناسب مواقعها مثل مستشفى الامراض العقلية و الحميات بالعباسية وكذا مواقع بعض الثون و الاسواق.

٥- توزيع مناطق الصناعة في حلوان (في أقصى الجنوب) وابوزعبل و مسطرد و شبرا الخيميه (في أقصى الشمال) ادى الى زيادة طول رحلات العمل الى المناطق الصناعية، بالإضافة الى توطين بعض المصانع الخفيفة و الورش في منطقة وسط المدينة، والمنطقة المحيطة بها.

٦- الطرق في الكتلة العمرانية تعاني نقصا شديدا ليس فقط في الممرات بل في التدرج الهرمي ومدى ملاقتها باستعمالات الارض الملاصقة لها - فالقاهرة تفتقر بشدة الى الطرق الرئيسية الشريانية الطويلة والعرضية وترتب على عدم وجود مخطط رسمي للمدينة انعدام ظهور مراكز عمل فرعية مخططة فامتدت الأنشطة داخل المناطق السكنية، كما ان شبكة الطرق المخططة للمناطق السكنية عجزت عن حمل احمال المرور عندما تحولت هذه المناطق الى مناطق عمل وتجارة، وقد جذب مركز المدينة حوالي ٤٠% من اجمالي رحلات الاقليم بينما لا يزيد المعدل عن ٢٠% في المدن الأمريكية المشابهة.

٧- أدت زيادة السكان مع ضعف النمو العمراني الى تضاعف الكثافة المكانية وبالتالي زيادة عدد الرحلات اليومية على شبكة الطرق المحدودة لتفاقت مشاكل المرور، أكثر

من نصف المناطق السكنية في القاهرة بها كثافة عالية ضعف الكثافة المسموح بها، و اذا اعيد تخطيط هذه المناطق على اساس الكثافة المسموح بها سترتب على ذلك نقل حوالي ١,٥ مليون نسمة يحتاجون الى مناطق جديدة واراض جديدة للتوطن.

٨- تمثل الهجرة من الريك الى الحضر تقريرا بها نصف الزيادة السنوية في اعداد السكان ويجب العمل على وقف الهجرة بخلق مراكز جذب في انحاء الجمهورية لجذب المهاجرين اليها - وفي جميع الاحوال يجب الا يحصل سكان القاهرة على نصيب من الانفاق الحكومي يفوق سكان الاقاليم الاخرى.

٩- يعيش ٨٥% من سكان اقليم القاهرة الكبرى داخل الكتلة العمرانية الرئيسية والباقي في المدن الست الصغيرة والقرى، ويجب خفض معدلات تردد هؤلاء السكان للعمل أو للتعليم على الكتلة الرئيسية.

١٠- يمثل السكان في سن التعليم الالزامي الاساسي حوالي ٢٠% من اجمالي السكان، وهذا الحجم يمكن ان يستبعد من رحلات الاقليم الفعالة في حالة الاهتمام بتوزيع المدارس الالزامية داخل نطاق مسافة السير على اقدام القبول.

١١- يمثل الافراد العاملون الذين يقومون برحلات العمل حوالي ٣٥% من اجمالي السكان وفي حالة شبكات هذه النسبة حتى عام ٢٠٠٠ م فيصل عددهم الى حوالي ٦,٥ مليون أي ان رحلات العمل متضاعف تقريبا خلال العشر سنوات القادمة.

١٢- يعتبر مركز العمالة في القاهرة الكبرى احد الاسباب الرئيسية لزيادة مشاكل النقل

المنتاح حاليا (خارج حد الشارع) حوالي ١٠ عشرة اى المنتوفر من اماكن الانتظار يمثل حوالي ١٥٪ من المطلوب.

واخيرا تلك هي بعض المشاكل التي تعاني منها القاهرة، وانى واشق من ان اساتذة النقل والمرور وتخطيط المدن والاقاليم بالجامعات وزملاءنا ممثلى وزارة النقل والمواصلات والاسكان والداخلية وذوى التخصص من رجال الهيئات والشركات التي تشترك معنا في هذه الندوة، سيدلون بآرائهم المدعمة ببحوثهم ودراساتهم وخبرتهم في هذه المشكلة - واقترح سبل حلها حتى نخرج في النهاية بتوصيات عملية وموضوعية نرفعها للجهات التنفيذية لتأخذ سبلها الى التحقيق .

والمرور بها - ولا يرجع ذلك الى زيادة عدد العاملين فقط بل الى طبيعة توزيعهم فحوالى ثلث القوى العاملة تعمل بالصناعة و هؤلاء العمال موزعون على المناطق الصناعية فى حلوان وشبرا الخيمة ومنطقة وسط المدينة، و ان حوالى نصف العمالة تعمل فى القطاع العام واغلبها تعمل فى المباني الحكومية وشركات القطاع العام المتمركزة فى وسط المدينة .

١٣- تعتبر رحلات العمل هي الرحلات الرئيسية بالاقليم حيث تمثل ٥١٪ من رحلات الاقليم تليها رحلات التعليم وتمثل ١٤٪ ثم رحلات الشراء وتمثل ٨٪ والافراض وتمثل ٢٧٪ من اجمالي الرحلات وتشمل رحلات التزاور وقضاء المصالح الشخصية والترفيه .

١٤- يعتبر النقل العام فى القاهرة الكبرى اكبر وسائل النقل المستعملة فى الاقليم حيث يمثل ٦٠٪ من اجمالي الرحلات، اما رحلات المشاة سيرا على الاقدام فتتمثل ٢٧٪ ثم رحلات السيارات الخاصة والتاكسي و تمثل ١٣٪، وقد يرجع ارتفاع رحلات المشاة بالاقليم الى ارتفاع الكثافة حول منطقة وسط المدينة والتي تعتبر اكبر مناطق تركيز العمل فى الاقليم حيث تضم فى دائرة نصف قطرها ٤ كم حوالى ثلث سكان الاقليم .

١٥- بالنسبة لاماكن انتظار السيارات فى منطقة وسط المدينة فتقدر الاحتياجات فى بعض المدن الاوربية والامريكية بحوالى ١٠٪ من اجمالي السيارات المرخص بها فى المدينة و بتطبيق هذه القاعدة على القاهرة التي يصل عدد السيارات بها حوالى ٦٠٠ الف سيارة طبقا لتعداد ١٩٨٦ م نجد انها تحتاج الى حوالى ٦٠ الف مكان، بينما

النظافة العامة

أ.د. أحمد خالد علم

تطبيقها .

وغالبها ما تتعرض الدولة لانتشار امراض الصيف الوافده مما يستلزم اتخاذ اجراءات عاجلة لمواجهة الموقف بما يكفل السيطرة الكاملة على هذه الامراض وغيرها من الامراض المعدية والامراض المتوطنة ومنع تواجدها وسرعة مكافحتها واتخاذ الاجراءات اللازمة في مجال توفير وسائل مكافحة الذباب ونقل القمامة والتخلص منها ودورات المياه والكسح ومنع تلوث مصادر المياه والمجارى المائية وغيرها .

وفيما يلي بيان المشاكل العاجلة و اقتراحات حلها :

اولا : المياه :

المياه من الضرورات الحيوية للانسان وهي وشيكة الملة بالنظافة العامة والشخصية وارتفاع المستوى الصحى مما يستلزم توفير المياه النقيه للشرب والاستعمالات المنزلية العادية وغيرها وضرورة المحافظة على عدم تلوثها منعا لانتشار الامراض المعدية والمتوطنة .

ويقتضى ذلك :

(١) نمو عمليات مد الشبكات واستكمال تدعيم بعض المحطات والبده في عمليات الاحلال والتجديد للشبكات بالمحطات .

(٢) زيادة مجموعات الحنفيلت العامة بالاحياء الشعبية بالمدين والقرى والعزب مع قيام الجهات المسئولة عنها بميانتها، على أن تتولى الأجهزة الشعبية بعد ذلك مسئولية رقابتها وصيانتها وتوعية الجماهير بضرورة الحفاظ عليها من المرققة والمبث .

(٣) وضع خطة لتوفير المياه الصالحة للشرب لجميع السكان في المدين والقرى والعزب تتولى وضعها وزارة الاسكان

النظافة هي مقبىاس التقدم الاجتماعى والحضرى للشعوب، وهي وشيكة الملة بالصحة العامة - فان انتشار الاوبئة والامراض المعدية والامراض المتوطنة ملازم لانخفاض مستوى النظافة العامة والشخصية والبيئية للشعوب والمجتمعات، وهي قضيه صحيه واجتماعية وسياسيه يلزم تصافير جميع القوى والاجهزة الشعبية والتنفيذية لبذل كافة الجهود لحلها .

ولقد اتاحت سهولة المواصلات بين الدول وبعضها سرعة انتشار الاوبئة والامراض الوافده في جميع المجتمعات، الا انه يمكن مكافحتها وحصرها في اضييق الحدود في البلاد المتقدمه ويتعذر ذلك في البلاد النامية مما يؤدى الى استيطانها بتلك البلاد .

وان ما ينفق على النظافة العامة من اموال يعود على الدولة بفوائد عديدة سواء في قطاع الصحة ومكافحة الامراض وتقليل المنصرف عليها أو في قطاع الانتاج وزيادته، أو في قطاع التنمية العامة وزيادة العائد منها.... الخ .

ومن اهم العوامل المؤثرة على مستوى النظافة العامة ما يلى :

- (١) الوعي الجماهيرى ومدى مساهمته في الاقلال من مسبباتها .
- (٢) النظافة الشخصية .
- (٣) القمامة و الطريقة المتبعة في جمعها والتخلص منها .
- (٤) المخلفات السائلة وكيفية معالجتها وطريقة صرفها .
- (٥) الموارد المائية وسلامتها وعدم تلوثها وتوفرها في جميع الظروف .
- (٦) القوانين و التشريعات الموضوعية و ملائمتها لمكافحة الامراض و مدى فاعليتها و الجدوية في

والموافق مع الأخذ في الاعتبار مقترحات المحافظات و رغبات الأجهزة السياسية والشعبية .

ثانيا : المجارى و صرف المخلفات السائلة :

ان المخلفات السائلة الادميه مصدر غنى بمسببات المرض ويلزم التخلص منها بالطرق الصحية ويساعد على تلوث المجارى السائلة نتيجة صرف تلك المخلفات فيها دون معالجة على نقل الامراض المعدية و المتوطنة ونشرها على نطاق واسع .

ومن المشاكل الهامة وجود كثير من الاحياء والمدن دون مجارى عامه وتصرف مخلفاتها السائلة في خزانات تحليل لا يجرى كسحها في الوقت المناسب ويؤدي ذلك الى تلوثها في الشوارع - بالإضافة الى ان المدن التي بها مجارى يكثر بها الطلح في اجزاء كثيرة منها وخصوصا المناطق الشعبية نتيجة لعدم صيانة شبكات المجارى او قصور وسائل الرفع او ضعف وقدم الشبكات وقصورها عن استيعاب التصرفات الحالية .

ومن المشاكل الاجتماعية والصحية الملته للنظر عادة التبرز في الشوارع والاراضي الفضاء ويرجع ذلك لعدم وجود دورات مياه ببعض المنازل في الاحياء الشعبية وقلة دورات المياه العامة في الشوارع او سوء صيانة القاسم منها او الفاشها واستعمالها في اغراض اخرى .

الحلول :

(١) اتخاذ الاجراءات السريعة لمنع طلع المجارى بالمدن وفي سبيل ذلك يلزم تدبير وسائل الكسح الآلية الصغيرة اللازمة لكسح الخزانات في المناطق او المدن المحرومة من المجارى وذلك على اساس

ضرورة توفير عدد مناسب من سيارات الكسح لكل مجلس مدينة .

(٢) اتخاذ الاجراءات السريعة لعلاج مشكلة انجار مواسير المجارى و انسدادها مع مدها للمناطق المحرومة .

(٣) الى ان يتم مد شبكات المجارى للمناطق المحرومة في المدن التي بها شبكات مجارى، تتخذ الاجراءات اللازمة لضخ سواحل الكسح التي يتم كسحها من المنازل والابار من المجارى العامة بطريقة صحيحة تمنع تواجد مباءات جديدة .

(٤) في المدن التي لا يوجد بها مجارى موسمية - يلزم التخلص من ناتج الكسح في مقالب مناسبة وبطرق صحيحة حسب طبيعة المنطقة وعدم القاشها بأي حال في المجارى السائلة .

(٥) صيانة و اصلاح دورات المياه العامة ودورات مياه المساجد والمدارس و ايجاد وسيلة صرف صحي بها ومنع صرفها الى المجارى السائلة .

(٦) الاستعانة بدورات المياه الملحقة بالمساجد وتشغيلها باستمرار وتعيين خفراء لها وفي حالة عدم كفايتها او توفرها يتم انشاء دورات مياه في المناطق المزدحمة بالسكان والمناطق المحرومة من دورات مياه وحمامات وكذلك في مناطق التجمعات العمالية ومراسي المراكب و مصانع الطوب .

(٧) وضع خطة لتعميم المجارى في جميع مدن المحافظات حيث ان ما تم تنفيذه حتى الآن لا يتعدى ٣٠ مدينة فقط بخلاف ٩ مدن تم تنفيذ مشروعات لخفض مياه الرشح بها .

(٨) زيادة كفاءة تشغيل وصيانة عمليات تنقية مياه المجارى لتستوعب جميع تصرف المجارى بالمدن بصفة عامة .

(٩) قيام الهيئة العامة للصرف الصحي بتقديم دراسة متكاملة عن الوسائل السريعة لمعالجة

التصريف الصالى لعمليات تخفيض مياه الرشح.
(١٠) البدء فى تغطية مصارف المجارى ومصارف الري الملوثة بمياه المجارى داخل المدن وخارجها عند مرورها امام القرى والمدن.

شالشا : منع تلوث المجارى المائيه و حمايه مآخذ مياه الشرب :

لوحظ أن المجارى المائيه العامه (النيل وفروعه والترع والمصارف والبحيرات وشواطئ البحار) تتعرض للتلوث بالمخلفات العضويه الاخرى من عمليات المجارى ودورات المياه والعاشمات والقاء مواد الكسح بها ومرفى المخلفات الصناعيه دون معالجه وكذلك وجود الممليات على جوانب النيل والترع وخاصة قرب مآخذ عمليات مياه الشرب وانتشار الامراض المعديه الوبائيه.

ويلزم اتخاذ الاجراءات التاليه :

(١) قيام وزارة الصناعه بالزام المصانع بمعالجه مخلفاتها السائله بحيث تصبح مطابقه للمعايير المنصوص عليها بقانون المخلفات السائله رقم ٩٣ لسنة ١٩٦٢ قبل صرفها الى المجارى المائيه.

(٢) حمايه مآخذ عمليات المياه بقيام الجهات المسئولة عن انشائها باقامه اسوار حديدية او مبانى على مسافة ٥٠٠ متر فوق التيار، ٢٠٠ متر تحت التيار على الاقل لمنع وصول اى تلوث لهذه المآخذ وتتكلف ١٥٠ ألف جنيه.

(٣) منع رسو السفن او العاشمات او وجود المعديات بالقرب من مآخذ المياه فى الحدود السابقه.

(٤) قيام الاجهزة المحليه بالتشديد فى تنفيذ ما جاء بالقوانين من حيث :-

١ - منع القاء مواد الكسح فى النيل والترع

والمصارف تطبيقا لقانون النظافه العامه.

ب - منع صرف دورات مياه المساجد والمنازل الى المجارى المائيه تطبيقا للقانون.

ج - منع فحار السيول او اى مواسير صرف الى النيل وفروعه و خاصه داخل المدن وقرب مآخذ عمليات المياه.

رابعا : القمامه :

يتم جمع القمامه من المنازل والشوارع بالاسلوب اليدوى بواسطه متعهدين او عمال النظافه بالمحليات - كما يتم نقلها بآدوات وعربات متخلفه لا تكفى لتغطيه الاحتياجات الضرورية الواجب توافرها بالاضافه الى ان الطريقه المتبعه فى تحميها وتفريغها غير صحيه وتساعد على انتشار الوبائيه.

كما يتم التخلص من القمامه فى اماكن تجمع (مقلب) داخل المدن او بالقرب من التجمعات السكانيه وبطريقه غير صحيه مما يجعلها ايضا مراكز لتولد الذباب والحشرات وناقلات المرض.

للمعمل على الاقلال من خطرهما يلزم الاتى :

(١) البدء من الآن فى ميكنة وسائل نقل القمامه والاستئناء التدريجى من وسائل النقل بواسطه الحيوانات وضرورة توفير عدد مناسب من سيارات نقل قمامه، وعربات رش، وسيارات نقل اتربه لكل مجلس مدينه بخلاف المهمات الاخرى المكمله.

(٢) توفير العماله اللازمه لاستكمال النقص الخالى فى عمال النظافه و المهنيين بالاضافه الى العماله اللازمه للمهمات والسيارات الجديده المطلوبه.

(٣) تدريب الملاحظين والمشرفين على اعمال النظافه وخاصه

فيهما يتعلق بالنواحي المرتبطة بالصحة العامة على ان تتولى وزارة الصحة تنفيذ برامج التدريب.

(٤) تنفيذ ما تقضى به القوانين الخاصة بالنظافة والمجارى والمياه والتنظيم من ازالة المخلفات الضارة او اصلاحها على نفقة المخالف وتحصيل التكاليف بعد ذلك من المخالفين بالطريق الادارى - ويقتضى ذلك تسهيل الاجراءات المالية والحسابية التى تتيح تنفيذها بمعرفة الوحدات المحلية والهيئات المسئولة - ويمكن استغلال حصيله صندوق النظافة فى ذلك فى حدود ما تسمح به المبالغ.

(٥) نقل المقالب الموجودة داخل المدن او بالقرب من التجمعات السكانية الى مواقع صحية خارجها على ان يراعى عند التخلص من القمامة ان تتم بأسلوب الردم الصحى و الذى يتسلفخص فى تفريغ القمامة على هيئة بلوكات منتظمة تغطى يوميا بطبقات من التراب و تدك و تعالج يوميا بالمبيدات القاتلة للحشرات و الذباب - حيث ان طريقة الحرق و ان كانت هى الطريقة المثالية من الناحية الصحية الا انها تحتاج الى افران باهظة التكاليف وتحتاج الى تشغيل قوى دقيق.

(٦) انشاء افران حريق صغيرة بالسليخانات لحرق اللحوم المعدومه والمخلفات الاخرى التى لا يتم التخلص فيها بالبيع او بالنقل، والعناية بنظافة السليخانات وتعمل الدراسات اللازمة للاستفادة بمخلفات تلك المجازر (الدم - الروث - العوافر - وخلافه).

(٧) نقل الزرائب والاسطبلات والصناعات ذات المخلفات العضوية كالمدايح ومصانع تجفيف الدم الى الاماكن البعيدة عن الكتل السكنية والاستعداد العمرانى مع

مراعاة الاشتراطات الصحية لاقسامتها فى اماكنها الجديدة .

(٨) وضع خطة لاستغلال البرك داخل وخارج الكتل السكنية وذلك بمعرفة الهيئة العامة لاستصلاح الاراضى و ردمها .

خامسا : مقاومة الذباب :

يسنتشر الذباب بالمدن والقرى نتيجة انعدام النظافة سواء التخلص من القمامة والمخلفات الاخرى - وعند الوصول الى المستوى المطلوب للنظافة العامة والتخلص الصحى من المخلفات وتحسين البيئة عموما - فان هذه المشكلة سوف تتضاءل الى حد كبير، والى ان يتم ذلك يلزم اللجوء الى الحلول المؤقتة التالية :

- (١) حصر وازالة اماكن تواجد الذباب وتجمعات القمامة بمعرفة الاجهزة المختصة .
- (٢) تدبير المبيدات اللازمة لمقاومة الذباب واجهزة الرش اللازمة .
- (٣) مداومة مكافحة بؤر تواجد الذباب بالجهات المختلفة على مستوى الجمهورية .
- (٤) دراسة تخفيض اسعار المبيدات الحشرية والمبيدات المنزلية خصوصا ما يتعلق بالعبوات لارتفاع ثمنها وذلك باعادة النظر فى تصميمها بما يتيح اعادة ملئها واستعمالها .

سادسا : النظافة الشخصية :

ان النظافة الشخصية من اهم العوامل الوقائية للانسان من الامراض بصفة عامة والمعدية منها بصفة خاصة .

ولا تقتصر النظافة الشخصية على نظافة الفرد فى منزله فقط ولكن تشمل نظافته فى البيئات المختلفة مثل المدارس والمصانع وكذلك التجمعات مثل عمال التراجيل وعمال الصيد والنقل النهري وان من اهم اسباب انتشار

الأمراض المعدية هي تنقلات
الأفراد من جهة إلى أخرى.

ولهذا يلزم بذلك عنائه خاصة
لرفع الوعي الثقافى بين
الجماهير بمفئة عامة وتوفير
وسائل النظافة ووضع برامج
التربية والاعلام اللازمة لغرس
عادات النظافة لدى الجمهور
عامة والنشء خاصة.

ويستلزم ذلك الآتى :

(أ) قيام المجالس المحلية فورا
بتشغيل ومراقبة تشغيل
الحمامات الشعبية والمفاصل
الموجودة وخاصة التى سبق
تحويلها لأغراض أخرى مع
توفير كافة مستلزماتها وعمل
الميانة اللازمة لها
وتطويرها بالطرق
الميكانيكية الحديثة.

(ب) قيام وزارة الصناعة بالعمل
على تخفيض أسعار الصابون
الشعبى تشجيعا للنظافة.

(ج) وسائل التربية و الاعلام :

١ - وضع البرامج الدراسية
والترتيبات اللازمة
لنشر وغرس التربية
والوعي الثقافى بين
التلاميذ وأسرهم.

٢ - اهتمام الشرفين على
المدرسة بالنظافة
الشخصية للتلاميذ
ونظافة المدرسة
ومرافقها وكذلك نظافة
الطعام والشراب.

٣ - تقوم وزارة الثقافة
بالاشتراك مع الهيئات
السياسية بوضع خطة
للإعلام عن نشر الوعي
النظافى وأهميته فى
الوقاية من الأمراض و
تقوم بها جميع أجهزة
الإعلام من إذاعة
وتلفزيون وصحافة مع
الاستعانة كذلك بأجهزة
الإعلام فى وزارات الصحة
والتربية والتعليم
والشباب والشئون

الاجتماعية وغيرها.

٤ - اشتراك القيادات
المختلفة من شعبية
ومنظمات شباب وطلبة
الجامعات والمدارس
ورجال الدين فى
تنظيمات تقوم بتنفيذ
الخطة وألحاحا بالنشر
الوعي الثقافى والصحى
بين المواطنين.

(د) العناية ببعض التجمعات
الخاصة :

١ - عمال التراخيل :
إيجاد المساكن الصحية
اللازمة لعمال التراخيل
فى أماكن العمل مزودة
بالمياه الصالحة للشرب
و وسائل الصرف الصحى و
توفير أسباب النظافة
لهم والعناية بتقديم
الغذية لهم و ذلك
لحمايتهم من الأمراض
المعدية طبقا لما جاء
بالقرار الوزارى
المصدر من وزير الصحة
بشأن الاحتياطات الصحية
لعمال التراخيل
والتزام الوزارات
المختلفة بتنفيذ ما
يخصها لامكان احكام
الرقابة على هؤلاء
العمال حتى لا يكونوا
فريسة للأمراض وأداة
لسرعة انتشارها.

٢ - عمال المصانع :
وهم يشكلون عددا
كبيرا من العمال
وخصوصا بعد ازدياد
التصنيع بالبلاد مما
يستوجب ضرورة الاهتمام
بهم من الناحية
الصحية علاجيا وقائيا
وتوفير أسباب النظافة
لهم ويستلزم ذلك
العناية والدقة فى
تفسير التشريعات
القائمة مثل قوانين
التأمينات الاجتماعية
واجبات العمل التى

اتخاذ الاجراءات القانونية
قليلا .

شاملا : اجراءات تنظيمية :

- (١) اعتبار ممثلى الوزارات
المختصين فى المحافظات
ورؤساء مجالس المدن والقرى
كل فيما يخصه مسئولا امام
المحافظ عن النظافة .
- (٢) تقوم التنظيمات السياسية
بدورها ومسئولياتها فى
توعية الجماهير وصيانة
المشروعات القائمة والجديدة
وخاصة حنفيات ودورات المياه
وحماية الموارد المائية من
تلوثها بواسطة الاستعمالات
اليومية للجماهير .
- (٣) تخصيص جهاز متفرغ يضم بعض
التخصصات الصحية والهندسية
فى كل مجلس مدينة او حي
لاعمال النظافة يكون مسئولا
عن تنفيذ قانون النظافة رقم
٣٨ لسنة ١٩٦٧ وتتمطى له
سلطات ادارية تمكنه من حل
المشاكل على وجه السرعة
ورفع مستوى الاداء ومحاسبة
المشرفين والقاشمين على
النظافة .
- (٤) تعديل القانون رقم ٣٨ لسنة
١٩٦٧ بشأن النظافة العامة
بما يكفل حظر وضع الطيور
والحيوانات فى الميادين
والطرق والشوارع والممرات
وغيرها عموميه كانت او
خصوصية وكذلك فى مداخل
ومناور وشرفات المساكن
والمباني الاخرى .

تشمل الرعاية الصحية
وتوفير اسباب النظافة
والتشويه وتدابير
المياه الصالحة للشرب
ووسائل الصرف الصحى
بأماكن العمل .

٣ - عمال النقل النهري
والصيادين :

وهم بطبيعة عملهم
وتنقلهم من جهة الى
اخرى يشكلون عنصرا
هاما من عناصر تلوث
المياه بالفضلات
الادمية سواء اثناء
رحلاتهم او فى أماكن
رسو السفن والمراكب
وسفن الصيد لعدم
توافر المراحيض بهذه
السفن او لوجود
مراحيض بها تصرف الى
المياه مباشرة .

ويقتضى ذلك ايجاد تشريع
يلزم اصحاب هذه السفن بتدبير
مراحيض بها بطريقة يمكن معها
تصريف محتوياتها فى أماكن بعيدة
عن مجارى المياه . وكذلك انشاء
دورات مياه بأماكن رسو السفن
على النيل او فروعه او فى
الموانئ النهرية الخاصة
بالشحن والتفريغ لمنع تبرزهم
على جسر النيل او مياهه .

سابعا : نظافة المباني :

- (١) ضرورة العناية بنظافة
المباني الحكومية والعامة
وتحديد المسئول من نظافتها
لمحاسبته عن القصور فى
العناية و بالنظافة مع
ضرورة توفير وسائل النظافة
اللازمة .
- (٢) تخصيص اعتمادات لاجراء
الصيانة اللازمة للاعمال
الصحية بالمساكن الاقتصادية
والمتوسطة .
- (٣) تخويل السلطات المحلية حق
اصلاح التوصيلات الصحية
الخاصة بالصرف الخارجى على
نقطة المالك فى حالة اهمال
اصلاح التالف منها وذلك بعد

دراسة تحليلية للظروف المناخية في منطقة رأس نصراني بشرم الشيخ د.م. شفيق العوضي الوكيل

مقدمة :

وان لم يكن صحراويا. ولتسهيل عملية احساس المصمم بالمناخ العام للمنطقة فقد تمت مقارنته بالخريطة المناخية للقاهرة وهي موطنه الذي يعرفه جيدا وقد تبين الاتي :-

١-١ بالنسبة لدرجات الحرارة :

- متوسط النهايات الصغرى اعلى قليلا في منطقة الدراسة عنها في القاهرة ويبدل ذلك على جو ادفا في الشتاء عن القاهرة .

- متوسط النهايات العظمى في الاشهر الحارة متقاربة مع مثيلاتها في القاهرة اما في الاشهر الباردة فهي اعلى، مما يدل على ميل معتدل وشتاء ادفا منه في القاهرة .

- المدى الحراري للمنطقة - وهو الفرق بين النهاية العظمى والصغرى - لا يزيد في المنطقة عن ١٠ درجات مئوية على عكس القاهرة التي قد يصل فيها الى ١٨ درجة مئوية . وعموما فان منحني الحرارة يرتفع من طرفيه في المنطقة بمقدار حوالي ٥ درجات مئوية عنها في القاهرة كما يقل انحناءه مما يدل على مناخ أكثر استقرارا ادفا في الشتاء وليس احر في الصيف .

٢-١ الرطوبة النسبية :

الرطوبة النسبية في المنطقة اعلى منها في القاهرة حيث تبلغ في اقصى ارتفاع لها حوالي ٥٨% بينما لا تتعدى ٤٢% في القاهرة كما لا تقل عن ٢٢% في المنطقة وتصل الى ١٨% في القاهرة .

٣-١ الامطار :

وهي قليلة ولا تكاد تذكر على

ان التحليل الدقيق للظروف والمؤشرات المناخية للموقع عملية أساسية يجب ان تسبق العمل المعماري، فبالإضافة الى الوصول الى الراحة الحرارية التي هي من اهم الاهداف التي يرمى اليها المصمم فان دراسة توجيه العناصر المختلفة ومعالجتها واختيار مواد واساليب الانشاء تفتح افقا جديدة متطورة في مجال التشكيل الحضري والمعماري. لذلك فقد اهتم البحث بتحليل المعدلات والبيانات المناخية المتوفرة للمناخ الكلي الذي يشمل اقليم خليج العقبة وقطاع شرم الشيخ بالإضافة الى المعدلات والبيانات الاحصائية للمناخ الجزئي لمنطقة الدراسة والذي اعتمد فيها على محطة ارصاد رأس نصراني وكذا البيانات المناخية الأساسية لمنطقة رأس نصراني من محطة الارصاد الجوية خلال الخمس سنوات الاخيرة وهي كالتالي :-

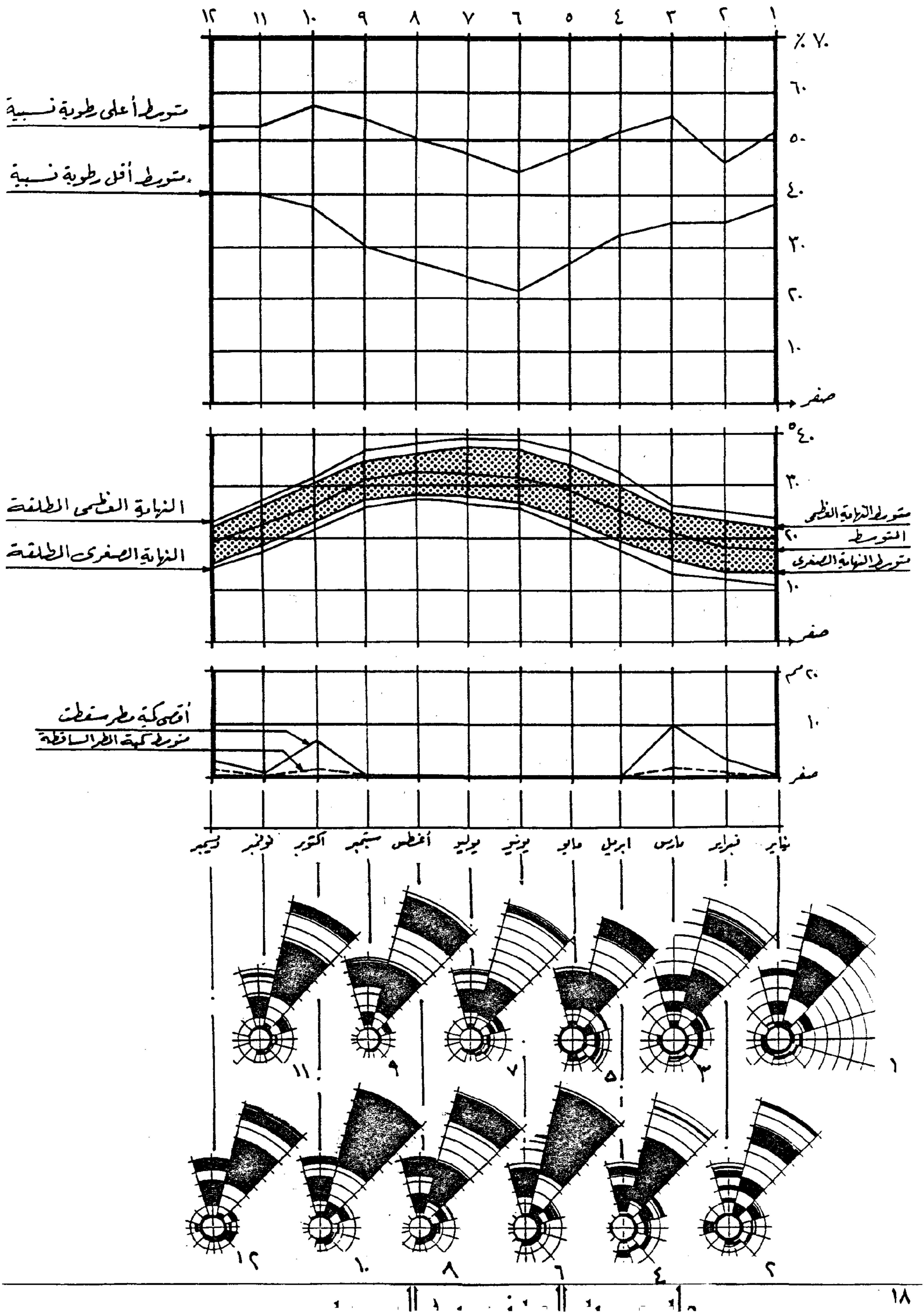
- * متوسطات درجات الحرارة العظمى والصغرى لدرجة حرارة الهواء .
- * متوسط اعلى واقل رطوبه نسبية والمتوسط السنوي لها بالمنطقة .
- * مجموع كمية المطر .
- * الرياح واتجاهاتها وسرعاتها .

اما عن حالة السماء والاشعاع الشمسي فلم تتوافر بياناته للمنطقة لذا فقد اخذ في الاعتبار حالة السماء في الطور وهي اقرب محطة ارصاد .

١- عرض وتحليل البيانات المناخية :

بمعمل الخريطة المناخية المبينة في شكل (٢) تبين ان المنطقة ذات مناخ حار جاف

شكل (٢): الخريطة المناخية لمنطقة رأس نصراني



السرعة الاعلى و التى تتراوح من ١١-١٦ ، ١٧ - ٢٠ كم/ساعة وهى مازالت فى حيز النسيم الخفيف والنسيم المنعش فى مقياس بورفور على مدار العام مع ازدياد فى نسبة الريح الاسرع صيفا. ولا تقترب سرعة الرياح من الشدة الا بنسبة ٨% من شهر يونيو واقل من ٥% فى ابريل وابتداء من ديسمبر وحتى مارس تهب رياح معتدلة من الغرب. والخلاصة ان الرياح فى جملتها معتدلة بل مرغوبة فى تحسين المناخ صيفا حيث تؤدي سرعتها الى الاقلال من الاحساس بالحرارة صيفا ويؤدي بطنها شتاء الى عدم ازدياد الاحساس بالبرودة شكل رقم (٤) وميزتها ان اتجاه هبوبها لا يتعارض مع اتجاه المنظر View وهو الشمال والشرق بحيث يتفق التوجيه المناسب للتهوية مع التوجيه المناسب للمنظر مع التوجيه الذى لا يحتاج الى حماية من الشمس.

وعلى مستوى الموقع فان الانحدار الى جهة الغرب لا يعوق حركة الرياح بل يساعد على تشتيتها وانتشارها بالموقع حيث يواجه الانحدار الرياح القادمة من الشرق و الشمال الشرقى بل ويمنع الارتفاع اى رياح غير مرغوب فيها القادمة من الجنوب او الجنوب الغربى.

٢ - تقييم مناخ المنطقة بالنسبة للظروف المناخية المريحة للانسان :
استخدم فى هذه الدراسة مقياسين من مقاييس الراحة وذلك بفرض اعطاء صورة واضحة لمناخ المنطقة وموقعه بالنسبة للراحة :-

١-٢ المقياس الاول :
هو مقياس ايفانز شكل (٥) وهو يوضح حدود الراحة الحرارية بالنسبة للرطوبة النسبية تحت ثلاثة ظروف

مدار السنة حيث يمتد موسم الجفاف التام من شهر ابريل وحتى نهاية شهر سبتمبر، ويتراوح مجموع كمية المطر ٠,٢ مم ليصل الى اقصى شهر مارس وهو ٢,١٢ مم وهو بذلك اقل كثيرا من القاهرة التى يمكن ان يصل فيها مجموع الامطار من ٥ الى ٦ مم فى الاشهر الممطرة.

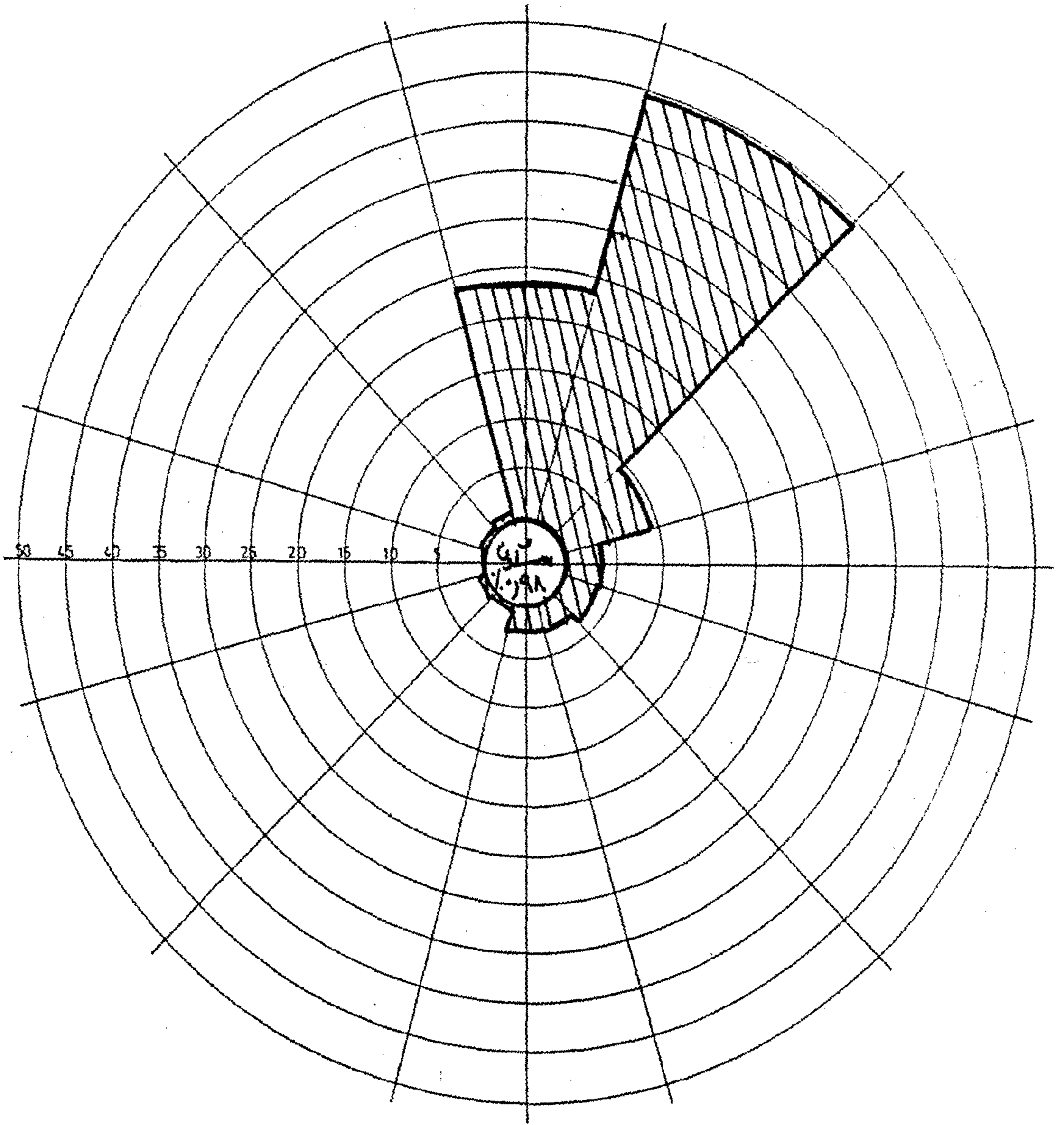
٤-١ سطوع الشمس :

كما سبق لم يمكن توفير معدلات سطوع الشمس للمنطقة واخذت بدلا منها معدلات منطقة الطور الخاصة بحالة السماء اى كمية السحب الموجودة بها وهى التى تؤثر فى مدة سطوع الشمس.

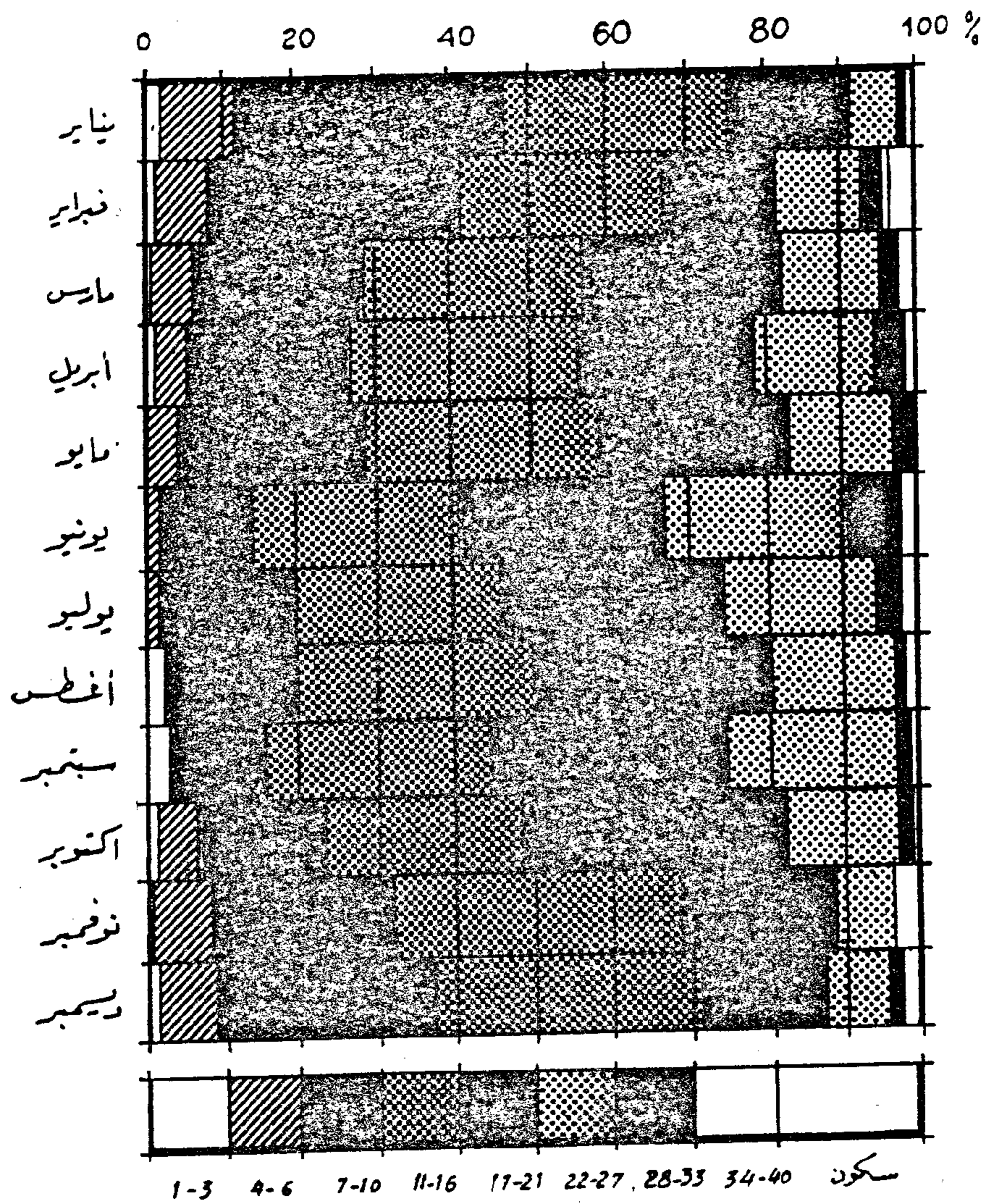
وقد دلت البيانات على ان متوسط السماء المغطاة بالسحب يبلغ ٨% على مدار العام وبنسبة سطوع حوالى ٨٥% حيث يبلغ ١٢,٨% فى اشهر الشتاء و ٠,١% فى اشهر الصيف ويعبر طول مدة السطوع و صفاء السماء عن ارتفاع الطاقة الحرارية التى يمكن استغلالها فى التصميم.

٥-١ الرياح : شكل (٣)

تدل ورده الرياح السنوية على ان اتجاه الرياح السائد هو شمال شمال شرق يليه الشمال يليه شرق شمال الشرق وذلك على مدار العام مع ظهور بعض الرياح فى اوقات متفرقة من اتجاه الشرق وحتى الجنوب حيث تقل وتكاد تنعدم فى بقية الاتجاهات، كما يبلغ متوسط منطقة السكون ٩٨% ومن الملاحظ ارتفاع نسبة السكون، وكذلك الرياح التى تقل سرعتها عن ٦ كم/ساعة، كذلك من ٧ - ١٠ كم/ساعة وتعتبر من النسيم الخفيف والنسيم المنعش تبعا لمقياس بورفور فى اشهر الشتاء وتتقارب نسبة الرياح ذات



شكل رقم (٣)
وردة الرياح السنوية للهبة



شكل (٤) توزيع تردد ومجموع الرياح وسرعاتها على أشهر السنة

مقارنه درجات الحرارة مع حدود الراحة تبعاً لمرصوبه النسبيه
رأس نصراني (جداول ايضا)

الشهر	يناير	فبراير	مارس	أبريل	مايو	يونيو	يوليو	أغسطس	سبتمبر	أكتوبر	نوفمبر	ديسمبر
متوسط درجة الحرارة المظم	٢٥,٢	٢٣,٠٦	٢٥,٦٨	٢٣,٢٢	٢٤,٣٦	٢٦,٣٦	٢٨,٠٨	٢٧,٨٨	٢٦,١٤	٢٤,٧٦	٢٣,٨٢	٢٣,٢
متوسط درجة الحرارة الصغرى	١٣,٣٤	١٣,٥٤	١٦,١	١٩,٩٨	٢٣,٨	٢٦,١٢	٢٧,٤٨	٢٧,٩٤	٢٦,٤٢	٢٤,٦٢	١٨,٤٦	١٥,٠٤
التوسط الشهري لأقصى رطوبة نسبية	٥٩,٧	٤٦,٣	٥٥	٥٢	٤٨,٢	٤٤,٧	٤٨	٥٠,٧	٥٥	٥٧,٣	٥٣,٣	٥٣,٣
المتوسط الشهري لأدنى رطوبة نسبية	٢٨	٣٤,٧	٣٥	٣٢,٢	٢٧,٢	٢٦,٧	٢٤,٣	٢٧,٧	٣٠,٦٧	٢٨,٣	٤١	٤٠,٧
الحدس الحرارة	٨,٨٦	٩,٥٢	٩,٥٨	١٠,٢٤	١٠,٥٦	١١,٢٤	١١,٢٤	١٠,٤٦	٩,٧٢	٨,١٤	٨,٢٦	٨,١٦

المتوسط الشهري الأعلى والأدنى للرطوبة النسبية

الشهر	يناير	فبراير	مارس	أبريل	مايو	يونيو	يوليو	أغسطس	سبتمبر	أكتوبر	نوفمبر	ديسمبر
مقياس الرامة ١	٣٠,٥	٣٠,٥	٢٩,٥	٢٩,٥	٢٦,٥	٢٦,٥	٢٦,٥	٢٦,٥	٢٦,٥	٢٩,٥	٣٠,٥	٣٠,٥
	٢٨,٥	٢٨,٥	٢٧,٥	٢٧,٥	٢٨,٥	٢٨,٥	٢٨,٥	٢٨,٥	٢٨,٥	٢٧,٥	٢٨,٥	٢٨,٥
مقياس الرامة ب	٢٨,٥	٢٨,٥	٢٧,٥	٢٧,٥	٢٦,٥	٢٦,٥	٢٦,٥	٢٦,٥	٢٦,٥	٢٧,٥	٢٨,٥	٢٨,٥
	٢٦,٥	٢٦,٥	٢٦,٥	٢٦,٥	٢٦,٥	٢٦,٥	٢٦,٥	٢٦,٥	٢٦,٥	٢٦,٥	٢٦,٥	٢٦,٥
مقياس الرامة ح	٢٦,٥	٢٦,٥	٢٦,٥	٢٦,٥	٢٦,٥	٢٦,٥	٢٦,٥	٢٦,٥	٢٦,٥	٢٦,٥	٢٦,٥	٢٦,٥
	١٨	١٨	١٨	١٨	١٨	١٨	١٨	١٨	١٨	١٨	١٨	١٨

حدود الراحة سفاراً تبعاً للرطوبة النسبية

الشهر	يناير	فبراير	مارس	أبريل	مايو	يونيو	يوليو	أغسطس	سبتمبر	أكتوبر	نوفمبر	ديسمبر
مقياس الرامة ١	٢٩	٢٩	٢٨,٥	٢٨,٥	٢٩,٥	٢٩,٥	٢٩,٥	٢٩	٢٩	٢٨,٥	٢٩	٢٩
	٢٦,٥	٢٦,٥	٢٦	٢٦	٢٦,٥	٢٦,٥	٢٦,٥	٢٦,٥	٢٦,٥	٢٦	٢٦,٥	٢٦,٥
مقياس الرامة ب	٢٦,٥	٢٦,٥	٢٦	٢٦	٢٦,٥	٢٦,٥	٢٦,٥	٢٦,٥	٢٦,٥	٢٦	٢٦,٥	٢٦,٥
	٢٠	٢٠	٢٠	٢٠	٢٠	٢٠	٢٠	٢٠	٢٠	٢٠	٢٠	٢٠
مقياس الرامة ح	٢٠	٢٠	٢٠	٢٠	٢٠	٢٠	٢٠	٢٠	٢٠	٢٠	٢٠	٢٠
	١٦	١٦	١٦	١٦	١٦	١٦	١٦	١٦	١٦	١٦	١٦	١٦

حدود الراحة ليلاً تبعاً للرطوبة النسبية

الشهر	يناير	فبراير	مارس	أبريل	مايو	يونيو	يوليو	أغسطس	سبتمبر	أكتوبر	نوفمبر	ديسمبر
مقياس ١	ب	ب	ب	م	ب	ب	ب	ب	ب	م	ب	ب
ب	ب	م	م	ب	ب	ب	ب	ب	ب	ب	ب	ب
ب	م	ب	ب	ب	ب	ب	ب	ب	ب	ب	ب	ب
مقياس ٢	ب	ب	ب	ب	ب	ب	ب	ب	ب	ب	ب	ب
ب	ب	ب	ب	ب	ب	ب	ب	ب	ب	ب	ب	ب
ب	ب	ب	ب	ب	ب	ب	ب	ب	ب	ب	ب	ب

حالات الراحة:

- مقياس (١): يوضع المراقب للراحة مع حركة هواء بسرعة ١ م/ث وملايين صبغية مفضية .
مقياس (ب): يوضع المراقب مع ملايين صبغية أو بطانية واحدة مارة ، وإجمال حركة الهواء التي لا تزيد عن ١ م/ث .
مقياس (ب): يوضع المراقب مع عدد للراحة عند ارتداء ملابس عادية أو ثقيلة أو غطاء ثقيل ليل .
ب : بارد . ح : حار . م : مريح .

شكل رقم (٥)

مختلفة من الملابس والالطية
ليلا و نهارا ويتفح من قراثة
جدول حالات الراحة الناتج
مايلي :-
ا - نهارا :

يمكن معالجة البرودة في
شهر يناير بارتداء
ملابس غير خفيفة
(مقباس ح) وفي شهرى
فبراير ومارس كذلك
نوفمبر وديسمبر بارتداء
ملابس عادية (مقباس ب)
مع عدم خلق تيارات
هواء. أما الحرارة
الموجودة من شهر مايو
وحتى شهر سبتمبر فيجب
معالجتها بالتصميم، ومن
الممكن معالجتها دون
الجوء للطرق
الميكانيكية الاصطناعية
نظرا لعدم ارتفاع درجات
الحرارة عن حد الراحة
ارتفاعا كبيرا.

ب - ليلا :

يمكن معالجة البرودة
الطبيعية في اشهر مارس
وابريل ومايو كذلك
اكتوبر ونوفمبر بارتداء
ملابس اثنى تتدرج مع
المقباس (ب او ح).
أما البرودة في شهر
يناير وفبراير كذلك في
شهر ديسمبر فيجب التدخل
بالتصميم لمعالجتها.
وهي ايضا لن تحتاج
لتدخل اصطناعي حيث لا
تقل عن الحد الأدنى
للراحة في مقباس (ح)
الا بفرق بسيط و بهذا
تكون نسبة الفترة
الباردة التي تحتاج
لتدفئة الى الفترة
الحارة التي تحتاج
لتبريد هي ٣:٥ وهي نسبة
تستوجب الاهتمام بدراسة
التدفئة ليلا في الشتاء
وعدم التركيز على
التبريد فقط.

٢-٢ المقباس الثاني :

أما المقباس الذي استعمل

في عملية التقييم والتشخيص
لكان خريطة الراحة لولجاي
وهي تحدد المعالجات
المطلوبة لرفع حدود منطقة
الراحة حتى تحتوى على
المناسخ المطلوب تعديله.
ومنها تبين الاتى :-

- ان الاشهر التي تقع فوق
حدود منطقة الراحة او
تحتها يمكن معالجتها
بالوسائل الطبيعية نهارا.
- يحتاج شهر ابريل لهواء
متحرك سرعته ٥,٥ متر/ثانية وهو متوفر
طبيعا في الموقع (راجع
دراسة الهواء).
- يقع شهرى مايو واكتوبر
ضمن النطاق الذى يمكن
تعديله باضافة رطوبة ا
جم/كم، كذلك يمكن تعديل
مناسخ شهر يونيو باضافة ا
جم/كم رطوبة، ويمكن ذلك
بطرق كثيرة سوف يأتى
ذكرها لاحقا.

- أما الاشهر يوليو
واغسطس وسبتمبر فيمكن
تخفيض درجات الحرارة
بها حتى تدخل ضمن
النطاق الممكن تعديله
باضافة رطوبة او رياح -
والذى لا تملو كثيرا - عن
طريق التظليل وتلافى
الاشعاعات المنعكسة من
الوسط المحيط حيث تقل
درجة الحرارة الشاملة في
الهواء المظلل بمقدار
يصل الى ٥ او ٦ درجات
مئوية عن غير المظلل.
- أما اشهر الشتاء فهي لا
تحتاج لاي تدخل حيث تقع
بأكملها او تكاد تقع
داخل منطقة الراحة
الاصلية.

أما ليلا :

فأنه من شهر يناير حتى شهر
مايو ثم شهرى نوفمبر
وديسمبر يحتاج الامر الى
اضافة حرارة لرفع الحد
الأدنى لمنطقة الراحة.
وبالنظر الى طول فترة

السطوح فان الطاقة الشمسية التي يمكن تخزينها نهارا لاعادة استخدامها لئلا تكون كافية لرفع درجة الحرارة الى الحد المطلوب. وبالنسبة لاشهر الصيف فلا يحتاج الامر لمعالجة حيث تقع كلها داخل منطقة الراحة الأصلية .

من التحليل السابق يظهر أن المنطقة بمعالجتها مناخيا يمكن أن تصبح مريحة على مدار السنة مما ينتج عنه امكانية استمرار الموسم السياحي صيفا وشتاء، ويؤثر هذا على التقييم حيث قد تدخل في عناصر المشروع بعض الأنشطة السياحية التي تملح على مدار السنة .

٣ - توصيات خاصة بالتخطيط والتصميم بالمنطقة :

١-٣ توصيات عامة :

١-١-٣ التهوية الطبيعية والرياح :

من مميزات الموقع عدم تعارض الرياح المرفوعة مع المنظر المطلوب حيث انها من اتجاه البحر وقد تبين من الدراسة السابقة الحاجة للتهوية الطبيعية في تحسين مناخ بعض الاشهر. لذلك كان من المفروض وضع المباني بحيث لا تخلق مناطق سكون كبيرة وفي نفس الوقت لا تخلق تيارات هواء شديدة غير مرغوبة وتحقق المباني المرفوعة بطريقة staggered انتظاما اكبر في حركة الهواء وتقليل من مناطق السكون كما أن التدرج في الفراغات يخلق سحباً للهواء من الفراغ الأكبر شكل (٦). وفي حالة الرغبة في وضع المباني متلاصقة يكون الاهتمام بالفلاحة بين الأبنية المظلمة والأبنية السماوية والتي

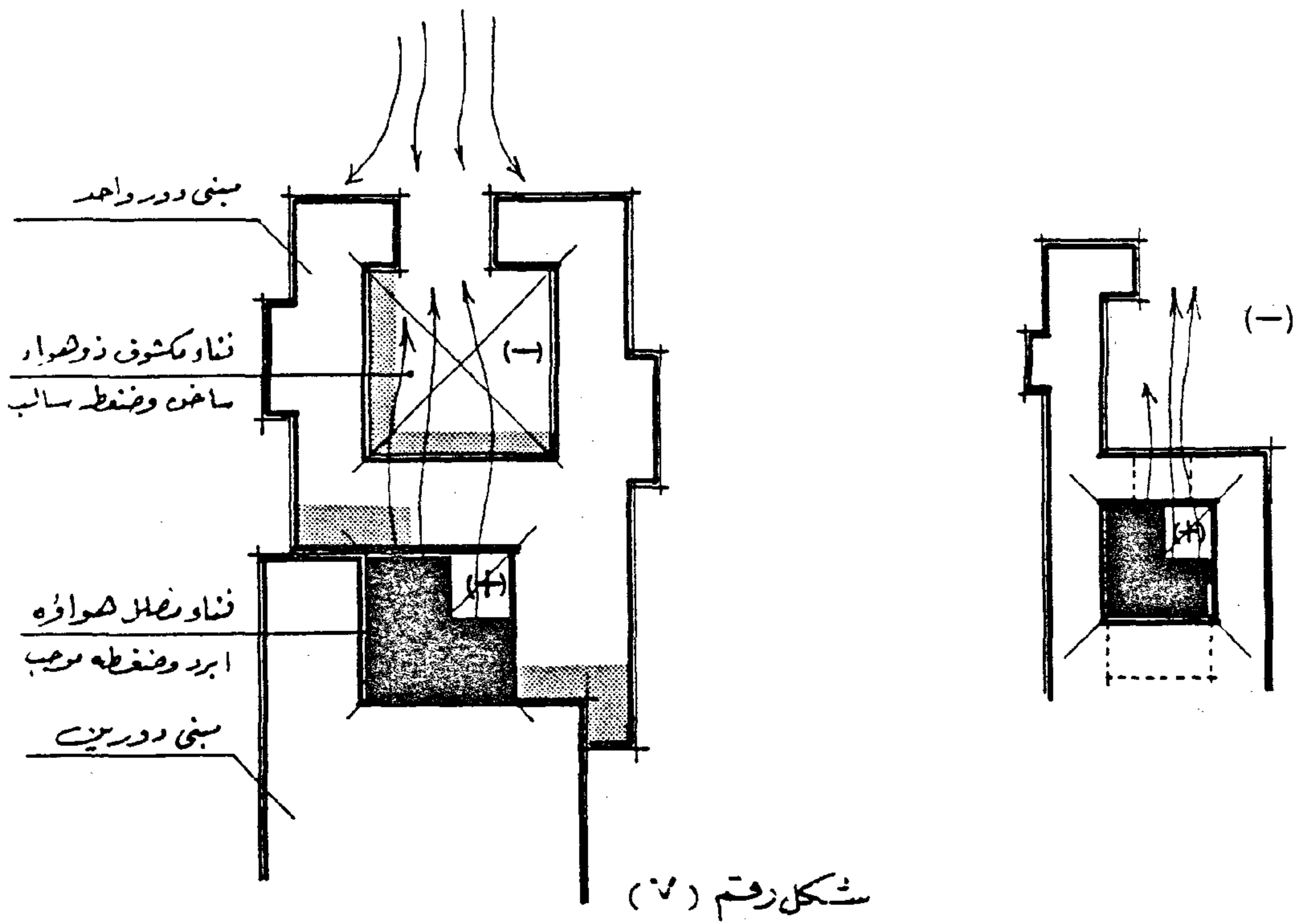
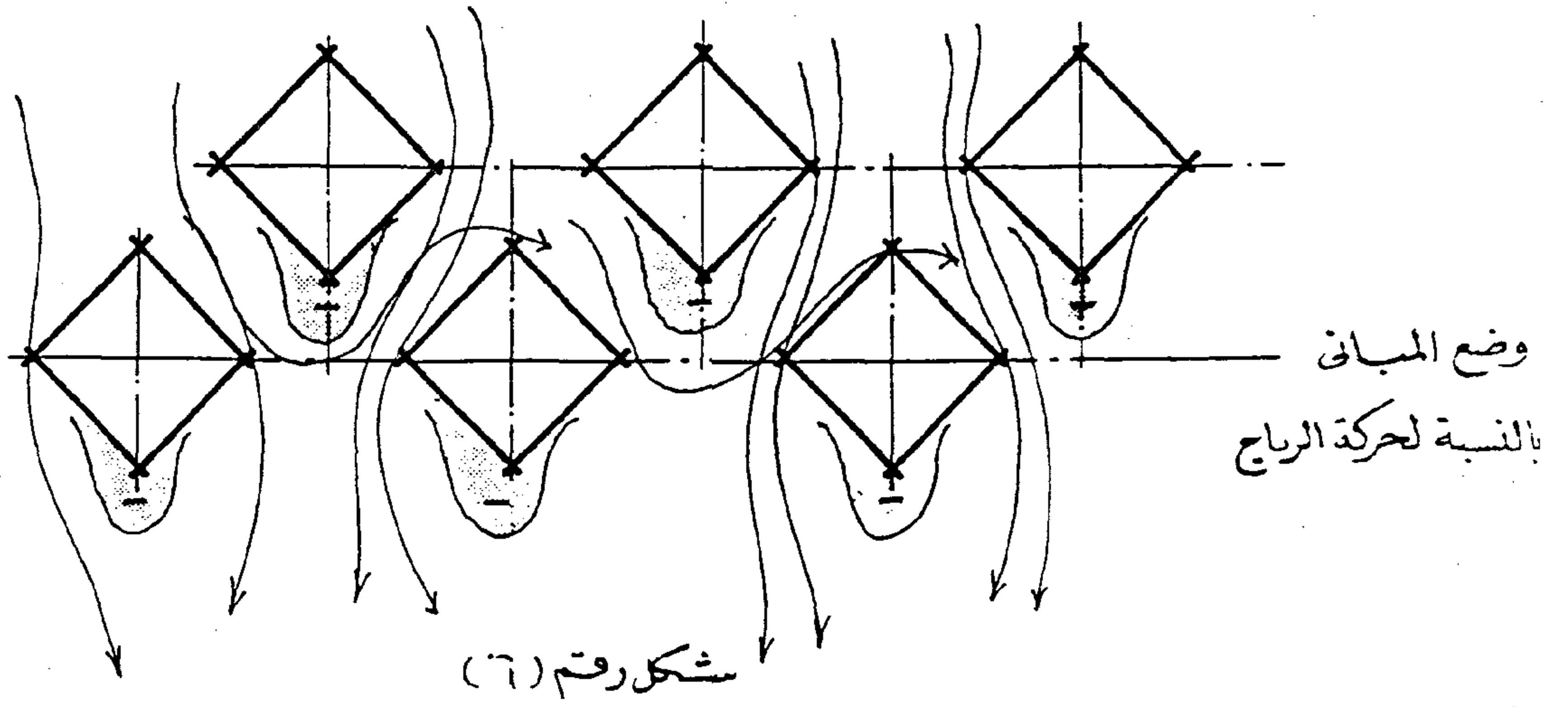
تساعد على خلق حركة الهواء في الاتجاه المطلوب حتى وان عكس اتجاه الرياح شكل (٧) كذلك يجب الاهتمام بمكان الأشجار بالموقع وعلاقتها بفتحات المباني حيث يمكن بواسطتها التحكم في اتجاه وسرعة الرياح. وعلى مستوى المباني فان دراسة علاقة الفتحات ببعضها البعض هو الذي يؤدي للوصول الى تهوية ناجحة .

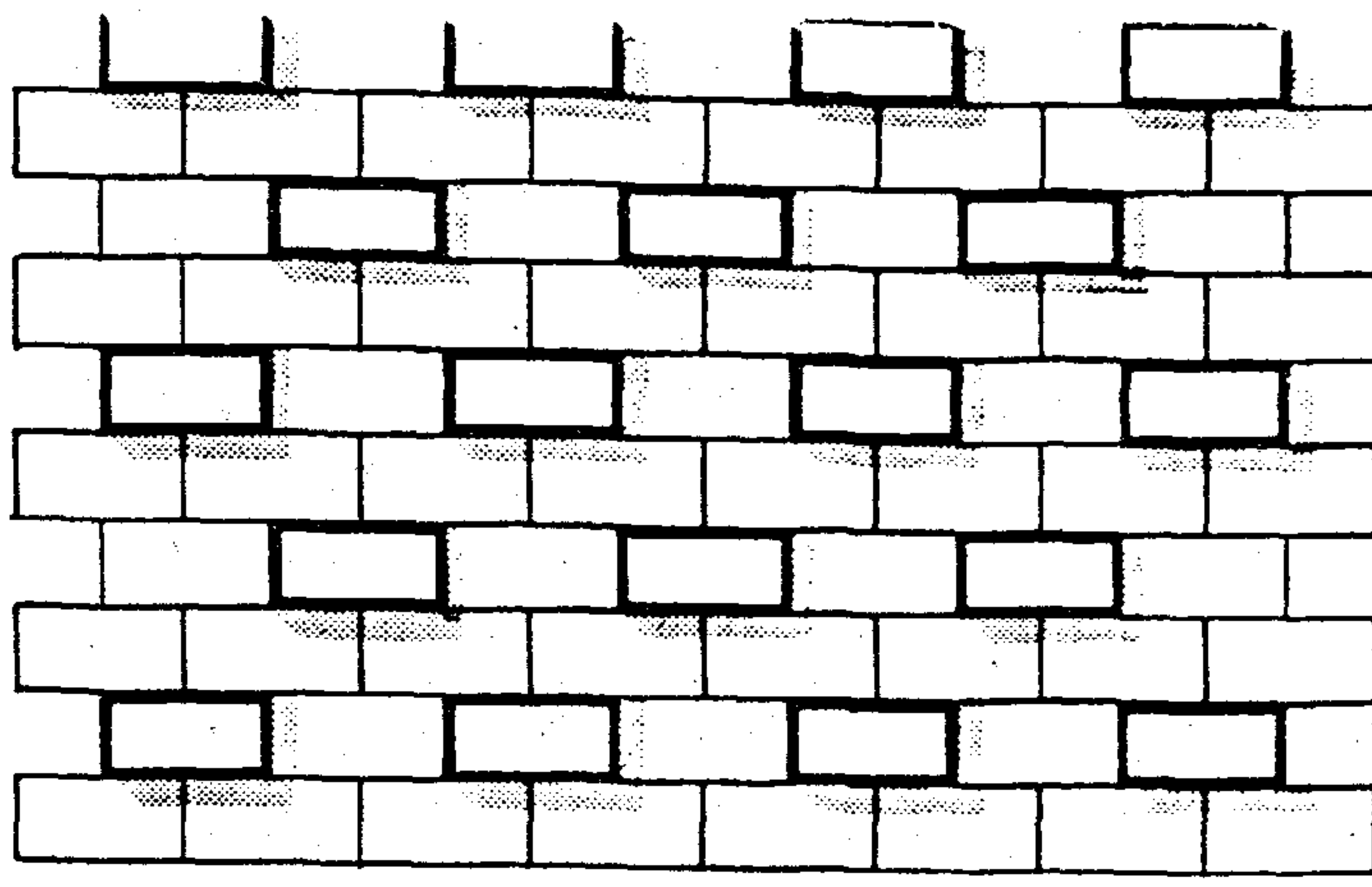
٢-١-٣ الرطوبة النسبية :

بعض اشهر السنة تحتاج لرطوبة لتحسين مناخها ومن احسن عناصر ترطيب الجو هي الزراعة والمناطق الخضراء الموجودة في مسار الرياح المائدة. وفي موقعنا هذا يمكن أن يكون هذا صعب نظرا لقلّة الماء العذب وعدم امكانية الزراعة بالصورة الكافية، كذلك يمكن اللجوء الى عمل النافورات من ماء البحر او الشلالات الصناعية التي تنشر رذاذ الماء فتربط الهواء .

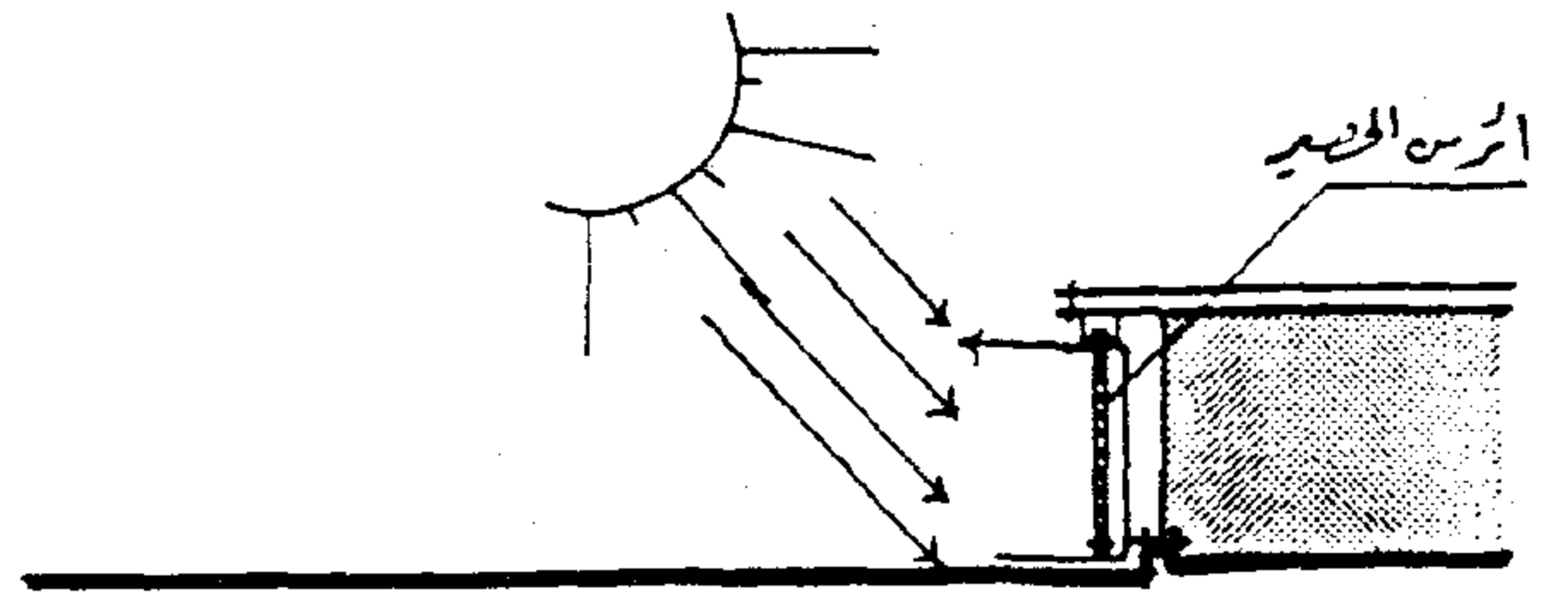
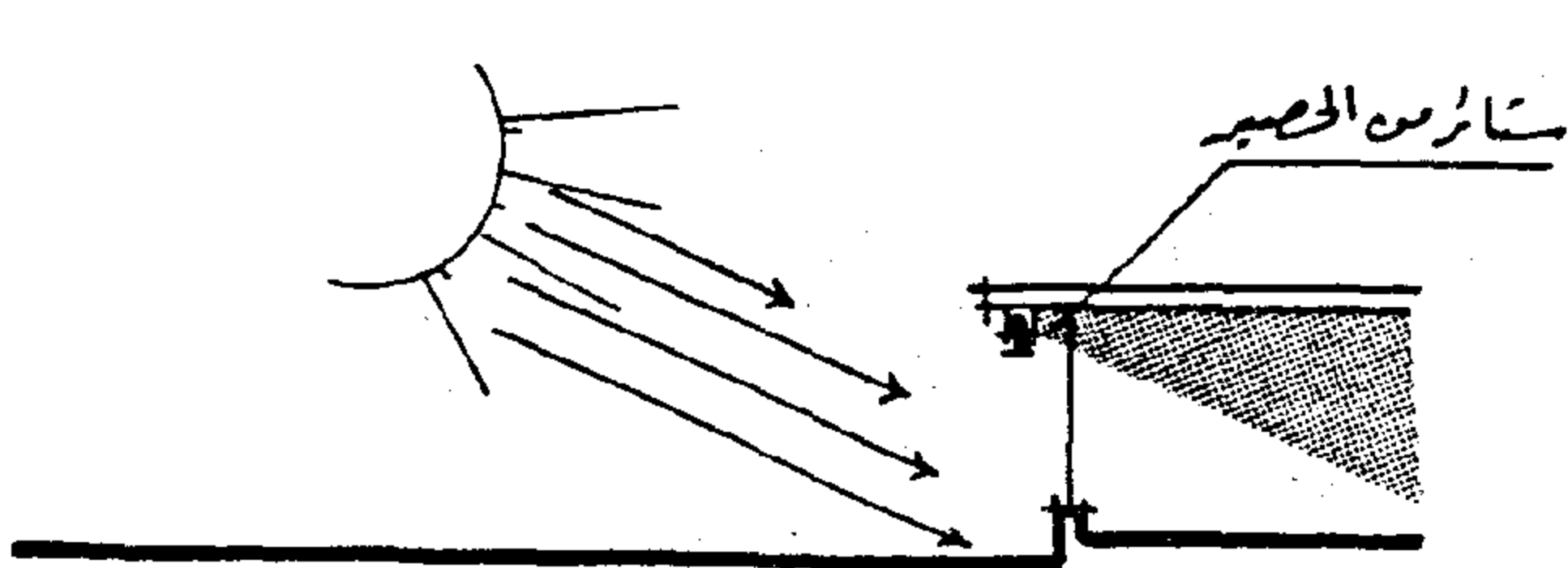
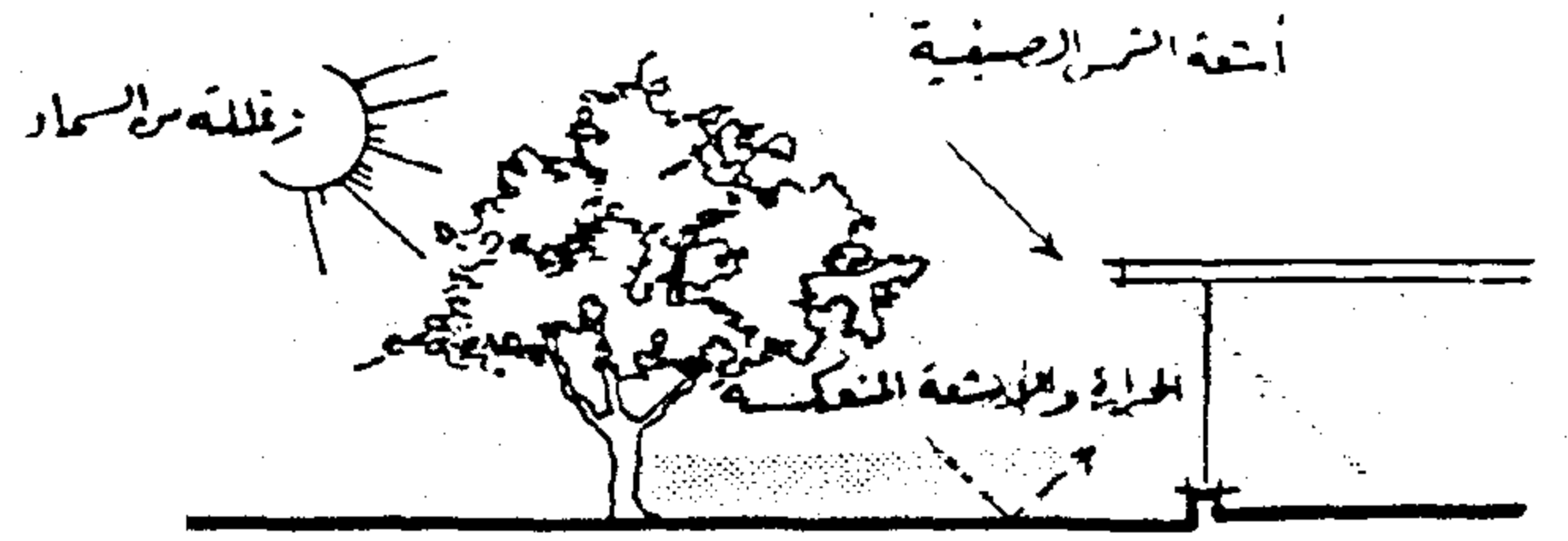
٣-١-٣ الحرارة :

أهم ما يخفض درجة حرارة الهواء هو التقليل لذلك فانه من المطلوب أكبر كمية ممكنة من الظل، ويكون ذلك اما بالتخطيط المتضام أو كثرة البروزات والكسرات في بيروفيل المباني مما يعطي كمية أكبر من الظلال (في حالة المباني المنفردة) أو بالاشنئين مجتمعين، كذلك بمحاولة وضع المحاور الطولي للمباني عمودي على اتجاه الشمال. وعند الامكان يمكن التقليل بواسطة الأشجار، ويمكن معالجة ملمس الواجهة باستعمال بيضاخ خشن (طرشة مثلاً) أو البروز بنسبة من طوب الواجهات بطرق زخرفية شكل رقم (٨) وذلك لما تسقطه البروزات





شكل رقم (أ)



شتاء

شكل رقم (ب)

صيفا

من ظل قد يصل الى تغطية نصف مسطح الواجهة كما يمكن استعمال كاسرات شمس تماما مثل التي تستعمل في الفتحات. وإذا سمح التصميم بالتشكيل في سطح المبنى فان ذلك افضل حيث يؤدي ذلك الى الاكثار من الظل وبالتالي خفض درجة الحرارة بالداخل.

٣-١-٤ البرودة :

الحل التقليدي لمعالجة البرودة في ليل الشتاء هو استخدام مواد بناء ذات مقاومة حرارة عالية بحيث تمتص الحرارة ببطء من اشعة الشمس الساقطة نهارا لتبدا في اشعاعها ليلا داخل الفراغ لتدفئته. ويمكن لحائط سمك ٤٠ سم من الحجر الطبيعي في اتجاه الجنوب الغربي أو الغربي أن يبدا في الاشعاع في الداخل بعد ١٠,٥ ساعة تصل الى ١٥,٥ ساعة في حالة أن يزيد السمك الى ٦٠ سم. وتصبح هذه المعالجة عيبا في التصميم عيضا حيث يتلقى الفراغ الداخلي ليلا حرارة غير مرغوب فيها تجعله حارا. والعلاج هو منع الحرارة عن هذا الحائط عيضا بتظليله، وذلك اما باستخدام اشجار تسقط أوراقها في الشتاء فتسمح لاشعة الشمس بالنفاذ خلالها والمقووط على الحوائط ثم تنمو في الصيف لتعطى الظل المطلوب، واما باستخدام سائر للحائط مثل الحصيرة يدلى امامه عيضا مع ترك فراغ مهوى يبرد الحائط ويرفع هذا السائر شتاء شكل (٩).

٣-٢-١ الرياح : (شكل ١٠)

من مميزات موقع المشروع عدم تعارض اتجاه الرياح المرغوبه مع المنظر المطلوب حيث أنها تهب من

اتجاه البحر وقد تبين من الدراسة السابقة الحاجة الى التهوية الطبيعية في تحسين مناخ بعض الاشهر لذلك كان من الضروري مراعاة تهوية الشوارع والممرات كذلك وضع المباني بحيث لا تخلق مناطق مكون كبحرة أو تيارات هواء شديدة غير مرغوبه. فمع كل بديل من بدائل الفكر التصميمي يجب أن تدرس حركة الرياح المناسبة التي توفر التهوية المطلوبة. انظر الجدول

٣-٢-٢ الرطوبة النسبية :

تحتاج بعض أشهر السنة لرطوبة وذلك لتحسين المناخ وتعتبر الزراعة والمناطق الخضراء الموجودة في مسار الرياح السائدة من افضل عناصر ترطيب الجو، كذلك يمكن اللجوء الى الشلالات الصناعية من ماء البحر والتي تنشر رذاذا يترطب الهواء.

٣-٢-٣ التظليل (الحماية من الشمس) :

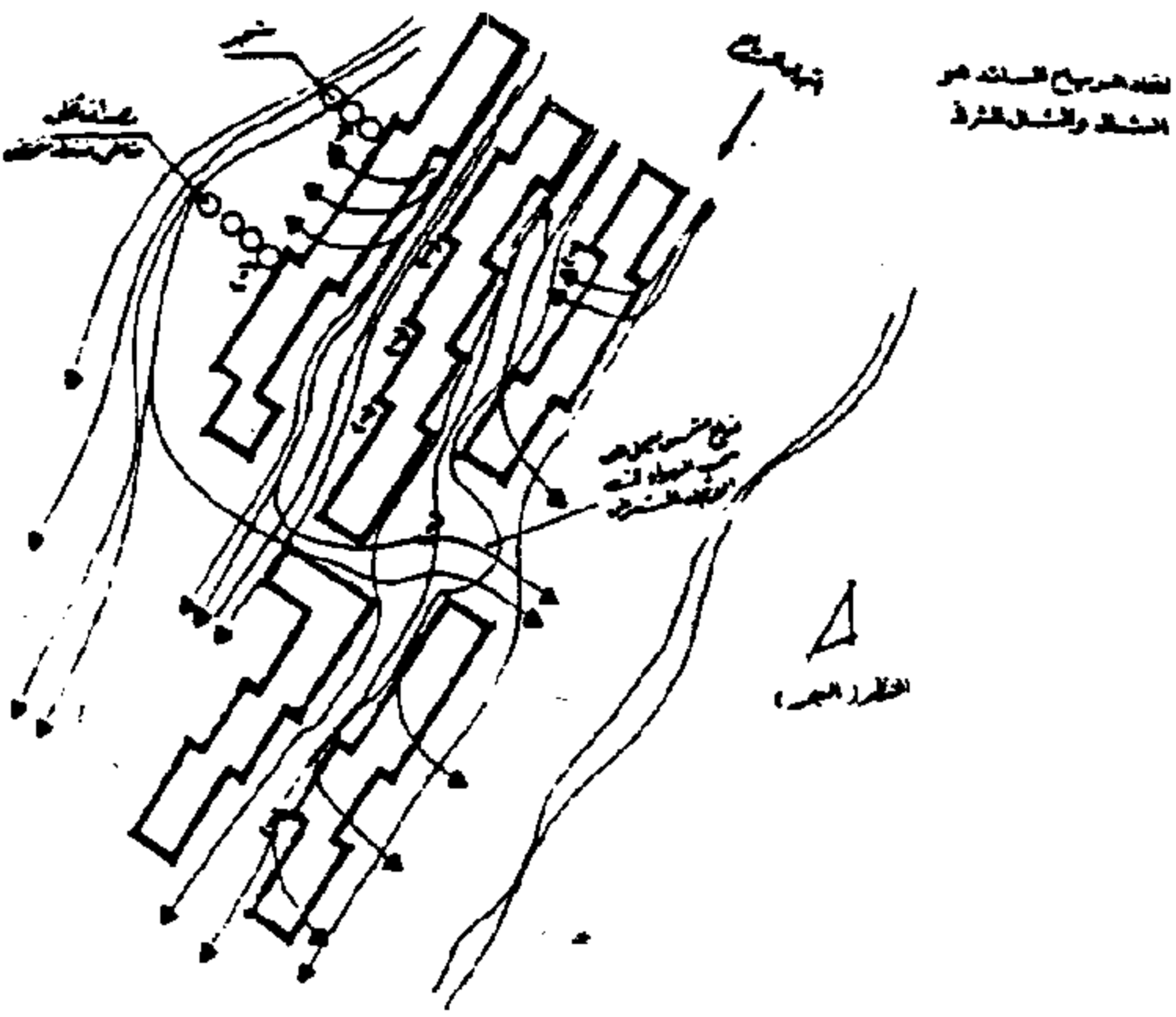
أهم ما يخفض درجة حرارة الهواء هو التظليل، لذلك فانه يكون من المطلوب أكبر كمية ممكنة من الظل ويكون ذلك اما بالتخطيط المتضام أو كثرة البروزات والكسرات في بروفيل المباني أو بواسطة الأشجار. الا أن هذا ليس معناه الاستغناء عن الشمس المطلوبة للتدفئة في الشتاء. وعلى ذلك يكون البعد الأمثل بين المباني أكبر من عرض ظل للمبنى في الشتاء وهو حوالي ٠,٩ من ارتفاع المبنى ويجب أن يكون توزيع الارتفاعات والممرات المظلية متوافقا مع دراسة حركة الرياح حيث يقوم الظل هنا بوظيفة

١ - البديل الأول :

أن تكون مآثر الماني والشوارع الرئيسية موازية لاتجاه الرياح السائدة وفي هذه الحالة لا تكون تهوية الشوارع مشكلة إلا أن سائر الرياح يكون موازياً للمنى وترساة للواجهة مما لا يحقق التهوية المطلوبة داخل المبنى . لذلك فإنه يستحسن تكبير خط الماني في الاتجاه العمودي على الرياح أو استخدام مسدات وذلك لإيجاد بعض مناطق الضغط السالب التي تعمل على تحريك الهواء في الاتجاه العمودي مما يحقق تهوية مآثر للماني .

ويراى إيجاد فراغات مكشوفة ذات أبعاد كافية تقطع استمرار الشوارع وتعمل -بفرض الضغط- على جذب المزيد من الرياح السائدة للحفاظ على سرعتها في الشارع .

نقطة رقم (١٠)



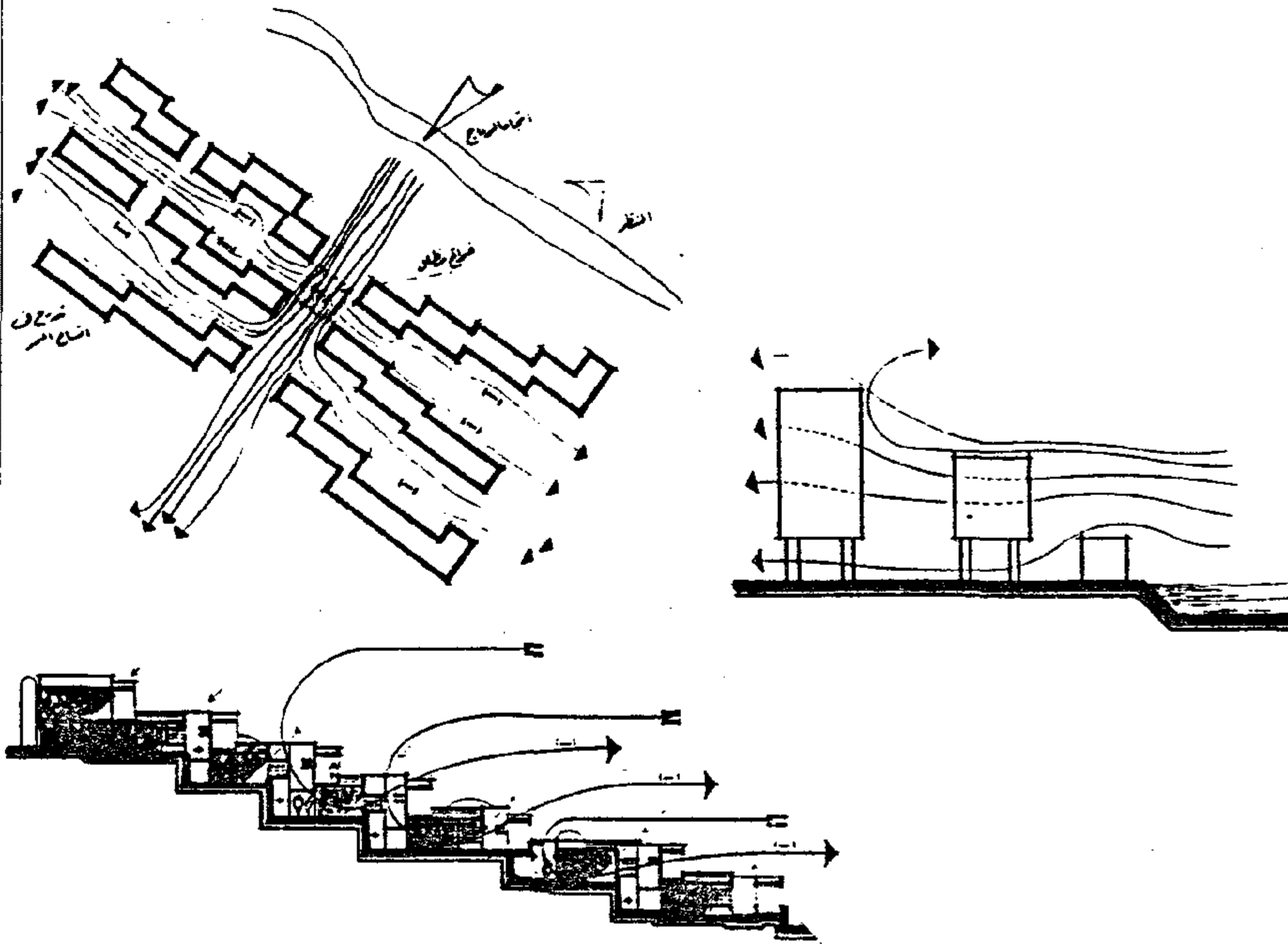
٢ - البديل الثاني :

أن يواجة المحور الطولي للماني اتجاه الرياح وفي هذه الحالة يراى الآتى :

١- توجه الممرات الرئيسية موازية للرياح لضمان تهويتها مع تطليلها في مناطق تقاطعها مع الممرات في الاتجاه الآخر بغرض رفع الضغط الذي يؤدي بدوره إلى دفع الرياح في تلك الممرات التي تغطيها فراغات مشبة ذات ضغط منخفض وذلك على الرغم من عدم وجودها في اتجاه الرياح السائدة ، أو تسدج اتجاه الممرات العمودية على اتجاه الرياح لسحب الهواء حيث أن الهواء يتحرك في اتجاه الفراغات الواسعة .

٢- وضع الماني الأعلى في الخلف مع رفع المبنى على أعمدة إذا لزم الأمر ذلك حتى تكون أمتى استعادة مسن الرياح ، ويوجد تدرج الموقع في ذلك .

٣- في حالة التخطيط الضيق على موقع متدرج يمكن اللجوء إلى إيجاد فراغات صغيرة مظلة تعمل بسبب فرق الضغط على سحب الهواء لداخل الوحدات في اتجاه الضاد .



الاستفادة بتدرج التضاريس في تهوية الوحدات سكنية مستطيلة مستفيدة لاتجاه الرياح

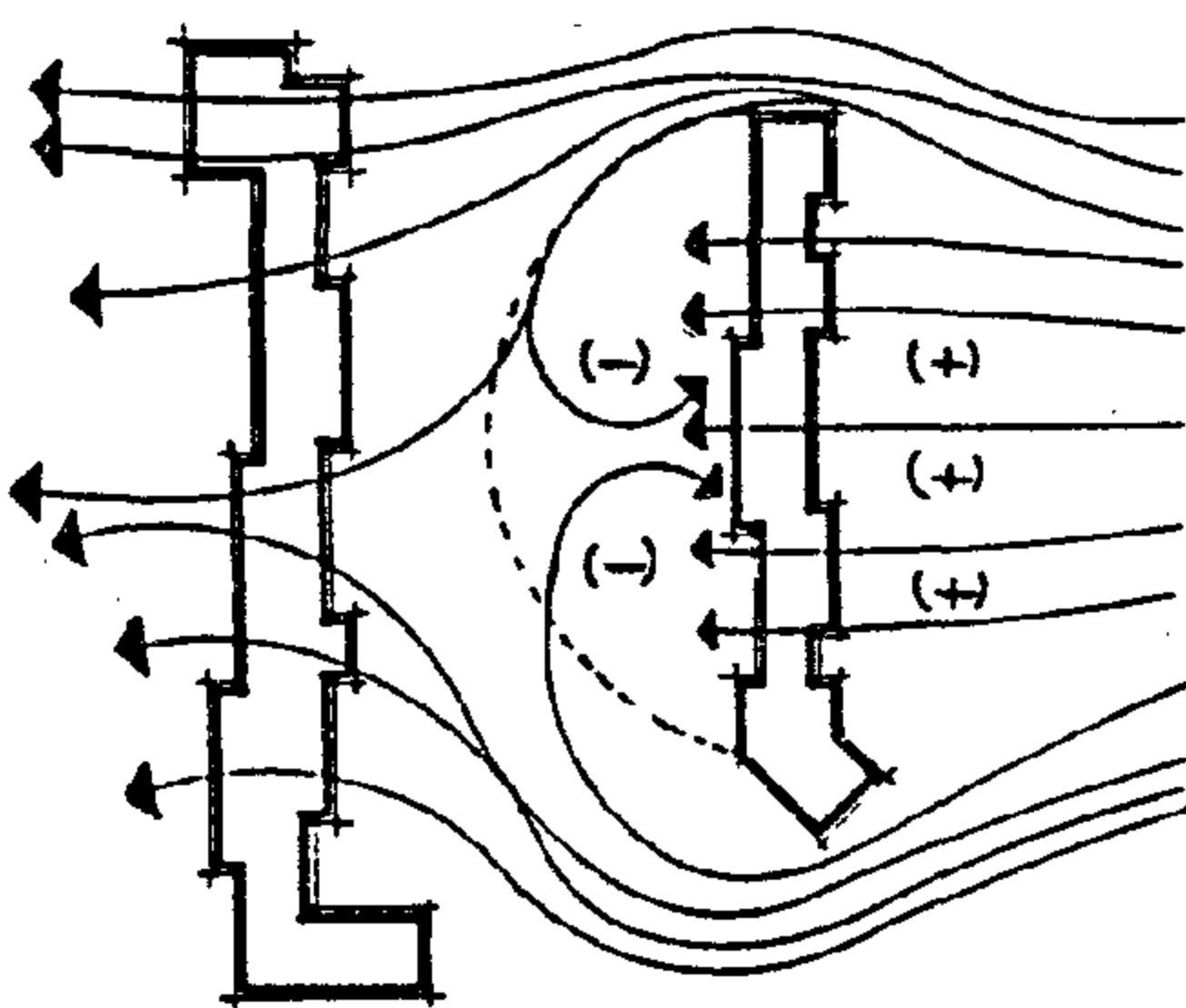
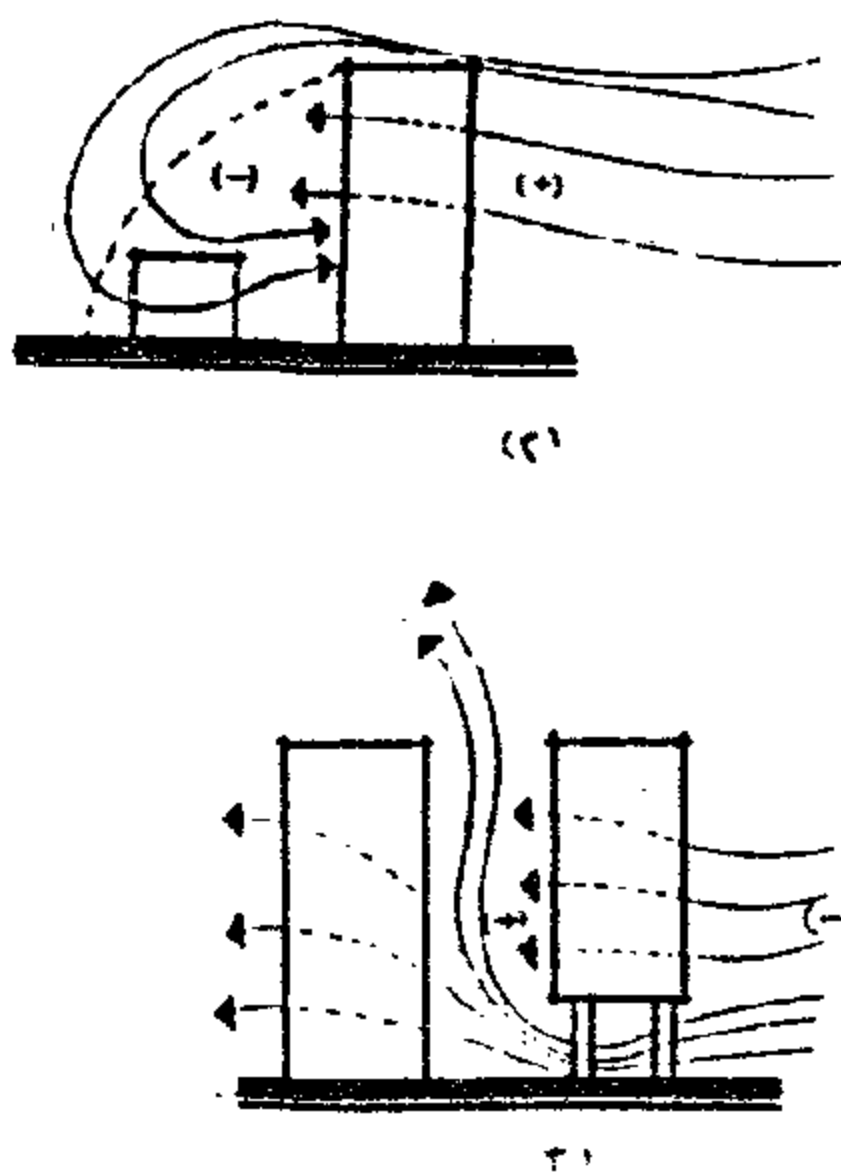
٣ - البديل الثالث :

في حالة الماني المتراصة العالية ذات المحور العمودي على اتجاه الرياح يراى ما يلي :-

١- ترك مسافة كافية بعد منطقة الضغط السالب تمكن الرياح من تهوية المبنى الخلفى .

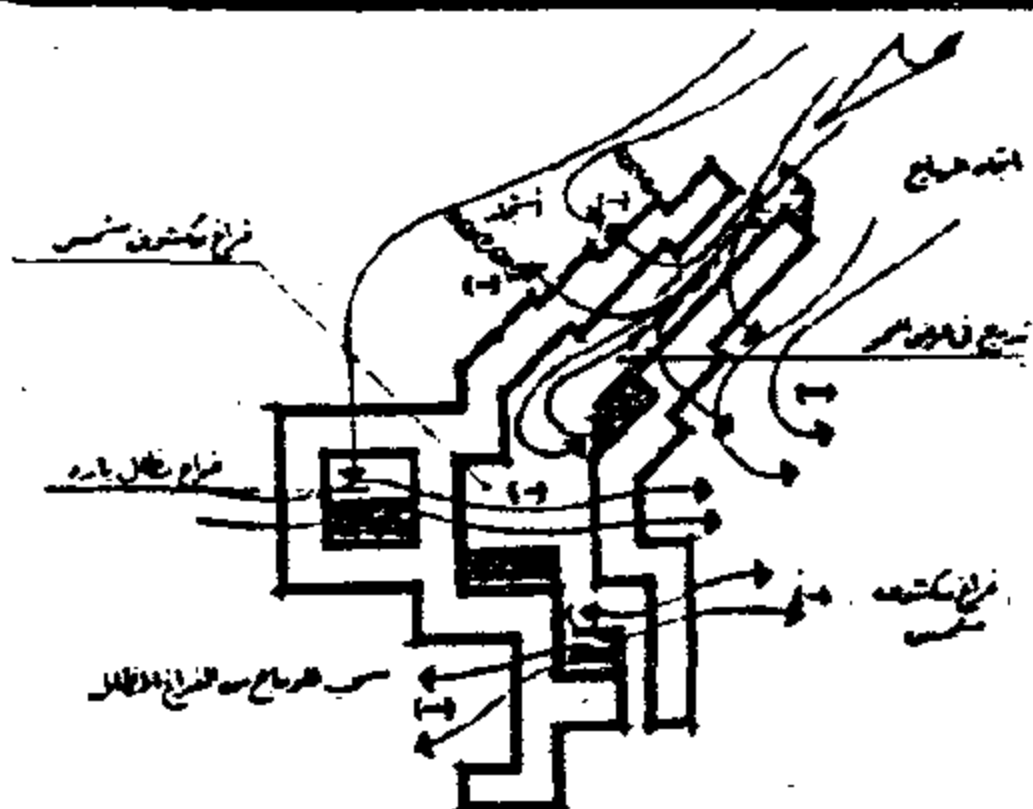
٢- وضع الماني الأعلى مواجها لاتجاه الرياح وتهوية المبنى الخلفى بواسطة فسق الضغط في الاتجاه الضاد .

٣- رفع الصف الامامى من الماني على أعمدة يعمل على دفع الهواء المطلوب ذو الضغط المرتفع في المساحة المحصورة بين الماني إلى أعلى (مدخنة) مما يخلق تياراً من الهواء الصاعد يساعد في تهوية الصف الخلفى من الماني .

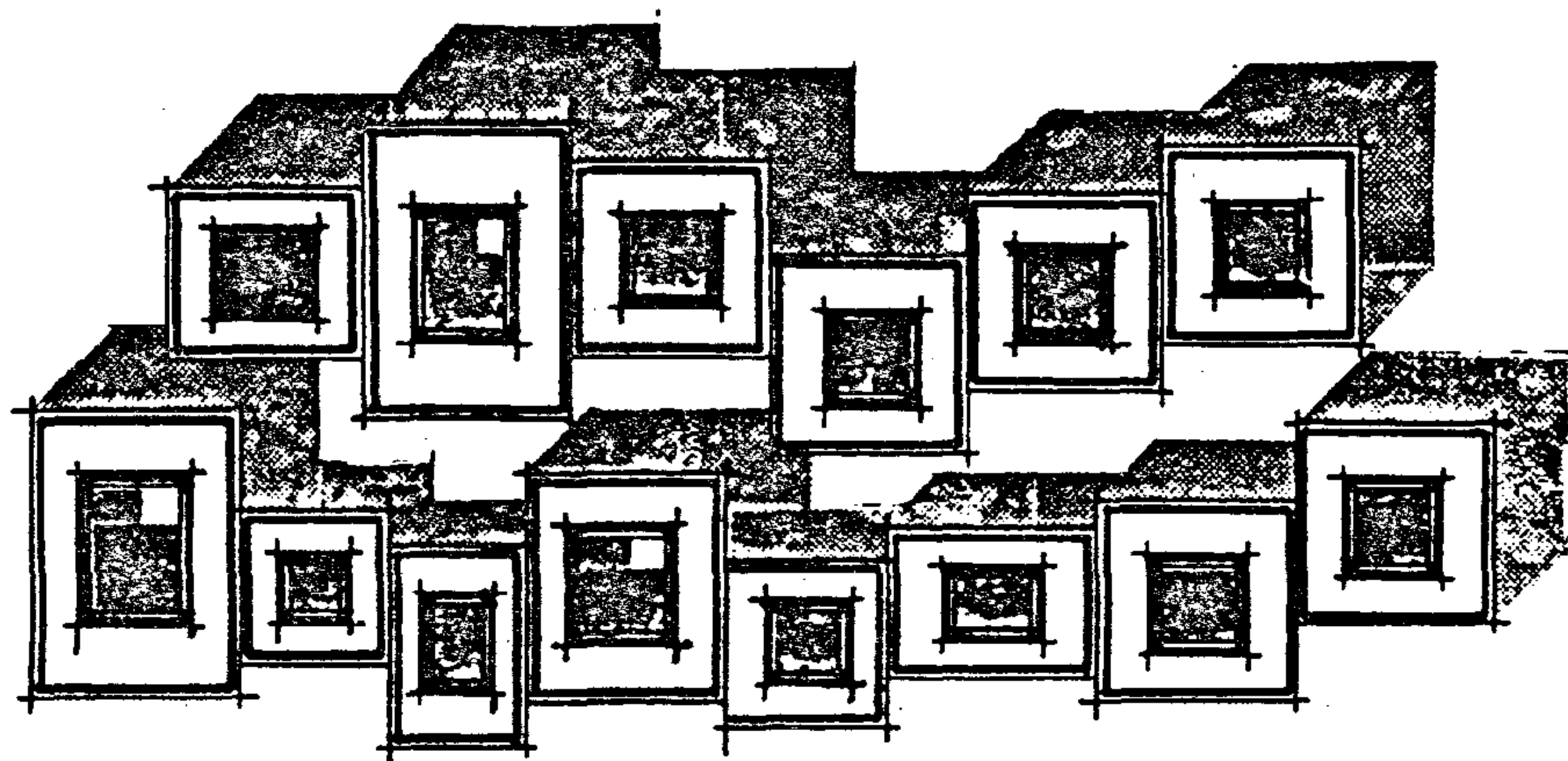
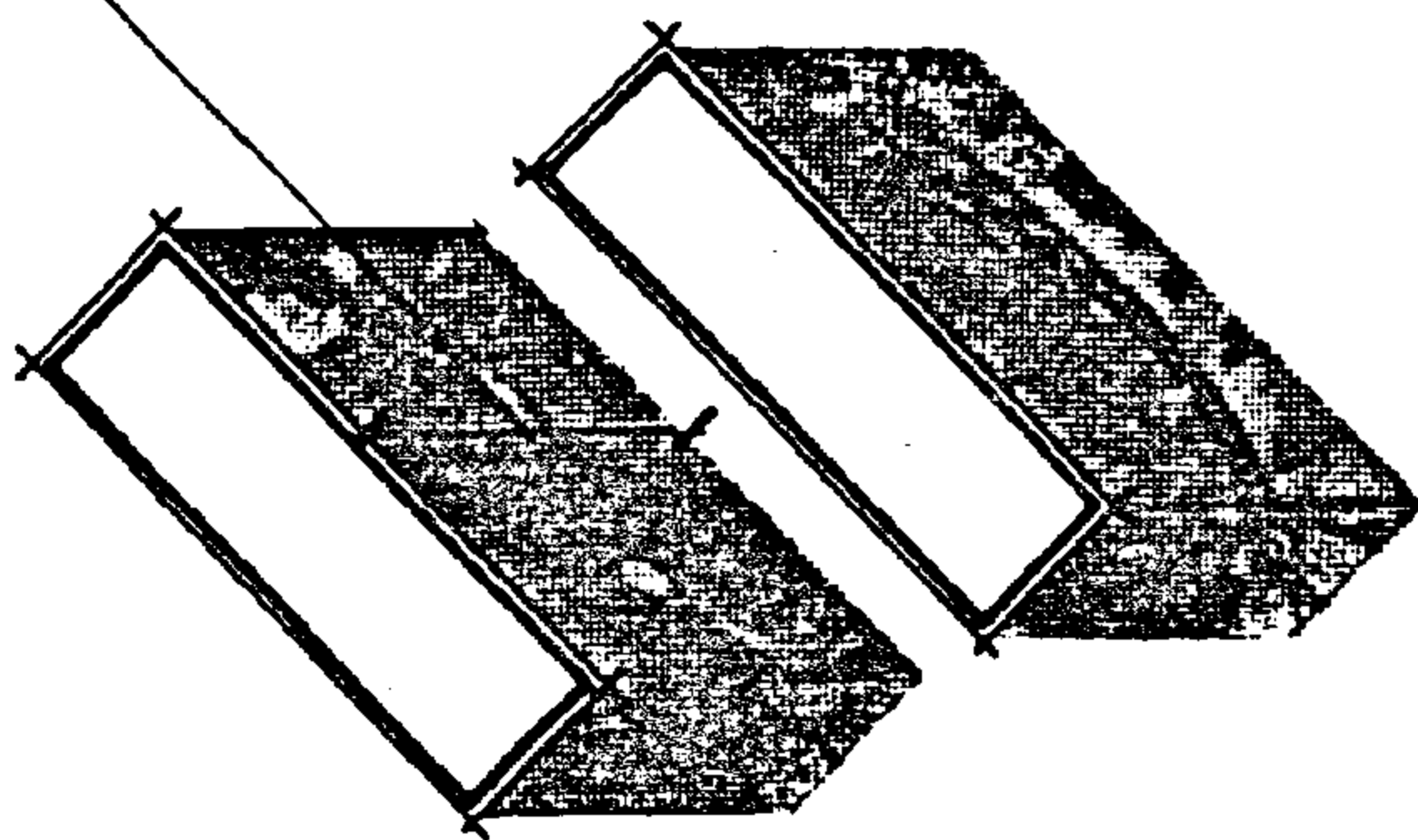


٤ - البديل الرابع :

أن يكون المسقط مضيئ حر ، عندئذ يجب دراسة كل جزء على حدة مع مراعاة وضع الكتل والشوارع بحيث تحقق التهوية الكافئة للموقع وذلك باتساع بعض أو كل الاساليب السابق ذكرها في النقاط الثلاث السابقة .



أعرض ظل للمسبب في الشتاء (٩.٠ ع)



التخطيط المتضام يعطي كمية أكبر من الظلال
شكل رقم (١١)

التجمعات العمرانية الجديدة حول القاهرة الكبرى بين التخطيط والواقع

د.م. شريف صبري سعد الدين

سكان الحضر في اقليم القاهرة الكبرى من ١٣,٠٠٠ مليون نسمة سنة ١٩٩٠ الى ١٦,٥ مليون نسمة في سنة ٢٠٠٠ ذلك ان اى قصور في تلبية احتياجات الامتداد الحضرى سوف يعنى نموا حضريا على حساب الاراضى الزراعية. وسوف يتعرض البحث لمجموعة المحاولات التى بذلت لتحقيق اللامركزية العمرانية والتى اقترحت احدها اقامة عشرة تجمعات عمرانية جديدة حول القاهرة الكبرى. ثم يتعرض بحث الوضع الحالى لهذه التجمعات العمرانية.

١- اهداف تخطيط وتنمية اقليم القاهرة الكبرى :-

حدد مخطط اقليم القاهرة الكبرى هدفين اجتماعيين رئيسيين يجب ان يحققهما تخطيط الاقليم فى ضوء ما افرضته السياسة القومية للتنمية الحضرية وهما :-
- التنمية الاقتصادية
- تحسين البيئة المعيشية
كما حدد ١٢ هدفا يساهم كل منها فى تحقيق احد الهدفين الرئيسيين او كليهما وهذه الاهداف هي :-
١- حماية الاراضى الزراعية والحفاظ عليها ... وفى

هذا المجال قامت الدولة بفرض العديد من الاجراءات القانونية للحد من البناء على الاراضى الزراعية بالإضافة الى ما اوصى به المخطط العام من ضرورة الاتجاه الى الصحراء كمنفذ للنمو العمرانى المنتظر.

٢- اعادة النظر فى اختيار مواقع الاستعمال الصناعية وتوطينها فى مناطق بعيدة عن المدينة واستخدامها كقاعدة اقتصادية تجذب السكان بعيدا عن الكتلة العمرانية.

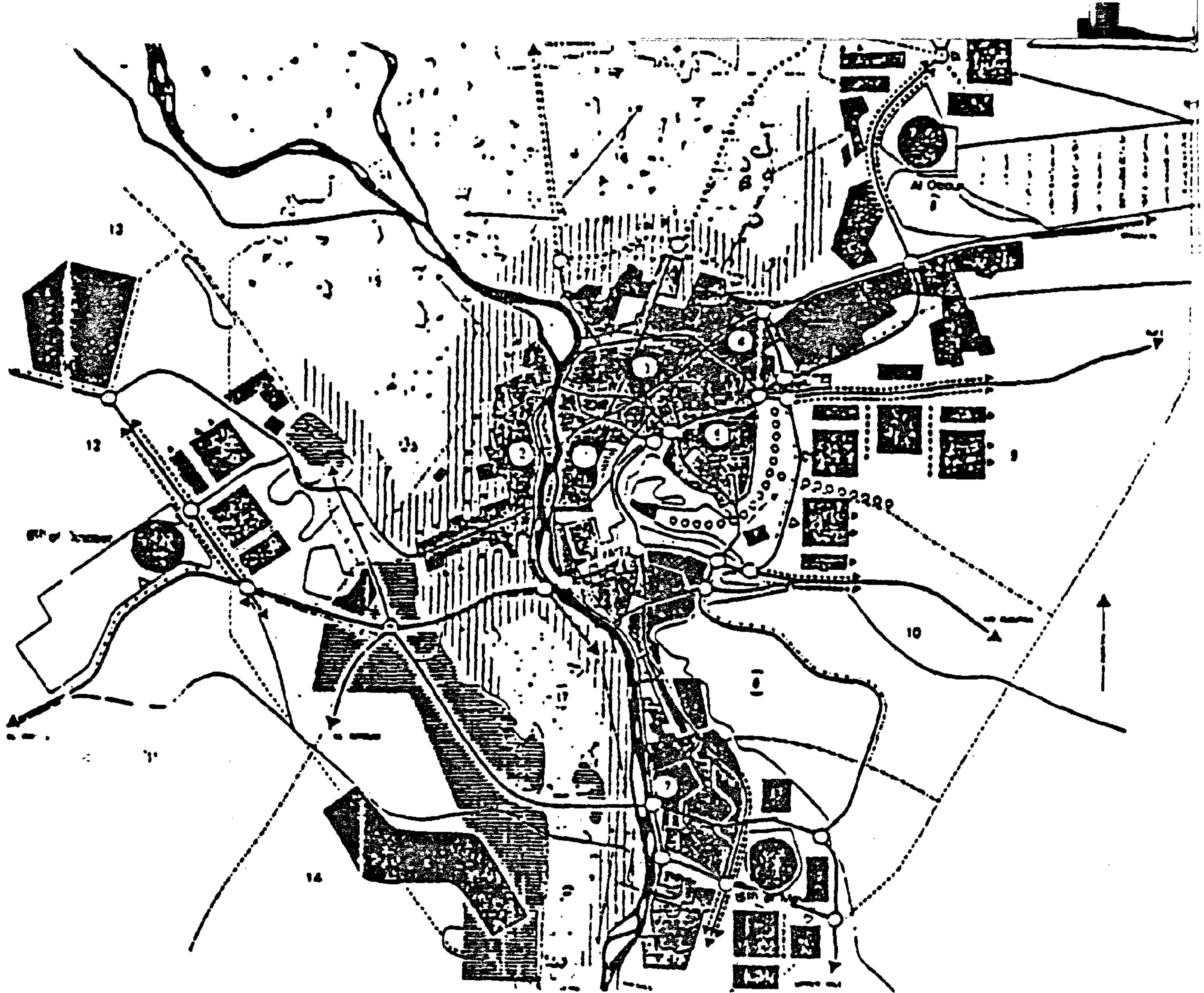
٣- العمل على تشجيع استعمال وسائل النقل الجماعية وهذا يوجه النظر الى ضرورة ان

مقدمة

وضعت حدود القاهرة الكبرى فى عام ١٩٦٦ وعدلت تعديلا طفيفا فى عام ١٩٧٥ ويضم اقليم القاهرة الكبرى محافظة القاهرة واجزاء من محافظات الجيزة والقليوبية (شكل رقم ١) ولقد كانت مدينة القاهرة التى تقع عند تلال المقطم فوق الاراضى الصحراوية هى القطب الاساسى للنمو وبمرور الوقت امتدت فوق الاراضى الزراعية فى محافظة القاهرة (على الضفة الشرقية للنيل) وفى محافظة الجيزة (على الضفة الغربية) ثم اخيرا فى محافظة القليوبية (على الضفة الشرقية) وهذه هى اكثر اشكال النمو الحضرى وضوحا فى الفترة الاخيرة . ومن المتفق عليه ان ما يواجهه متخذى القرار فى اقليم القاهرة فى الوقت الحاضر هو ما يتعلق بالسكان وتوزيعهم المكانى واضعين فى اعتبارهم مجموعة البيانات الاحصائية التالية :-

* يزداد عدد سكان اقليم القاهرة الكبرى بنحو ٣٥٠ الف نسمة سنويا وهو ما يعادل حجم مدينة من كبرى مدن المحافظات المصرية او حجم مدينة جديدة مقترحة .
* تساهم الزيادة الطبيعية (الفرق بين المواليد والوفيات فى اقليم القاهرة الكبرى) بنحو ٢٥٠ الف نسمة من جملة الزيادة السنوية فى سكان الاقليم بينما يساهم صافى الهجرة الى الاقليم من بقية انحاء البلاد بنحو ١٠٠ الف نسمة .

* يتركز اكثر من ٤٠ ٪ من سكان الحضر فى مصر فى اقليم القاهرة الكبرى. ويبدو انه من الصعب مستقبلا تجنب نمو



المحدود والموانع :

- حدود إقليم القاهرة الكبرى .
- حدود القطاع المتباينة .
- 5 رتم : لاطئ .
- == حدود منطقة سكنية حديثة .
- == حدود زراعية بمحيطها المائلة على .
- == أراض زراعية مستصلحة .
- == ميله أكثر من ١٥ ٪ .
- == سبيل مائي طبيعي .
- == مقابر .
- == مناطق تاريخية وأثرية .

البنية الأساسية :

- طريق مفرقة .
- == طريق أفقي سريع .
- == طريق ذو مدخل واحد .
- == تقاطع .
- مدخل المخطط المرشحة .
- مركز مديرية .
- محطة مكنة مياه .

شكل ١ إقليم القاهرة الكبرى

يراعى في تخطيط التجمعات العمرانية الجديدة اعتماد سكانها بقدر الامكان على الانشطة الاقتصادية المتواجده بها.

٤-١ توجيه الدراسات والابحاث التي ترمى الى ضرورة الاستخدام الامثل والاقصى لمرافق البنية الاساسية المالية وصيانتها والمحافظة عليها. ٥-١ حماية التراث المعماري والتاريخي واعتباره هدفا قوميا مع مراعاة ضرورة صيانة هذا التراث وحمايته.

٦-١ تطبيق نظرية اللامركزية لوضع حد للامتداد المتلاحم للكتلة العمرانية لاقليم القاهرة الكبرى وتوجيه النمو في اتجاه التجمعات العمرانية الجديدة.

٧-١ عدم السماح بالمزيد من التجمعات العشوائية والقضاء عليها تدريجيا عن طريق توفير مناطق الاسكان لذوى الدخل المتوسط والمحدود.

٨-١ تقييم أداء وكفاءة الخدمات العامة والعمل على رفع مستواها بتنظيم الهيكل العمرانى.

٩-١ مدد مناطق الامتداد العمرانى بشبكات البنية الاساسية وتوفير الاساسيات المالية اللازمة لذلك مع ضرورة التوسع للوصول الى معدلات اقل في الاستهلاك.

١٠-١ تحديد البرامج الزمنية اللازمة لتحديد الاحياء السكنية القديمه وصيانتها.

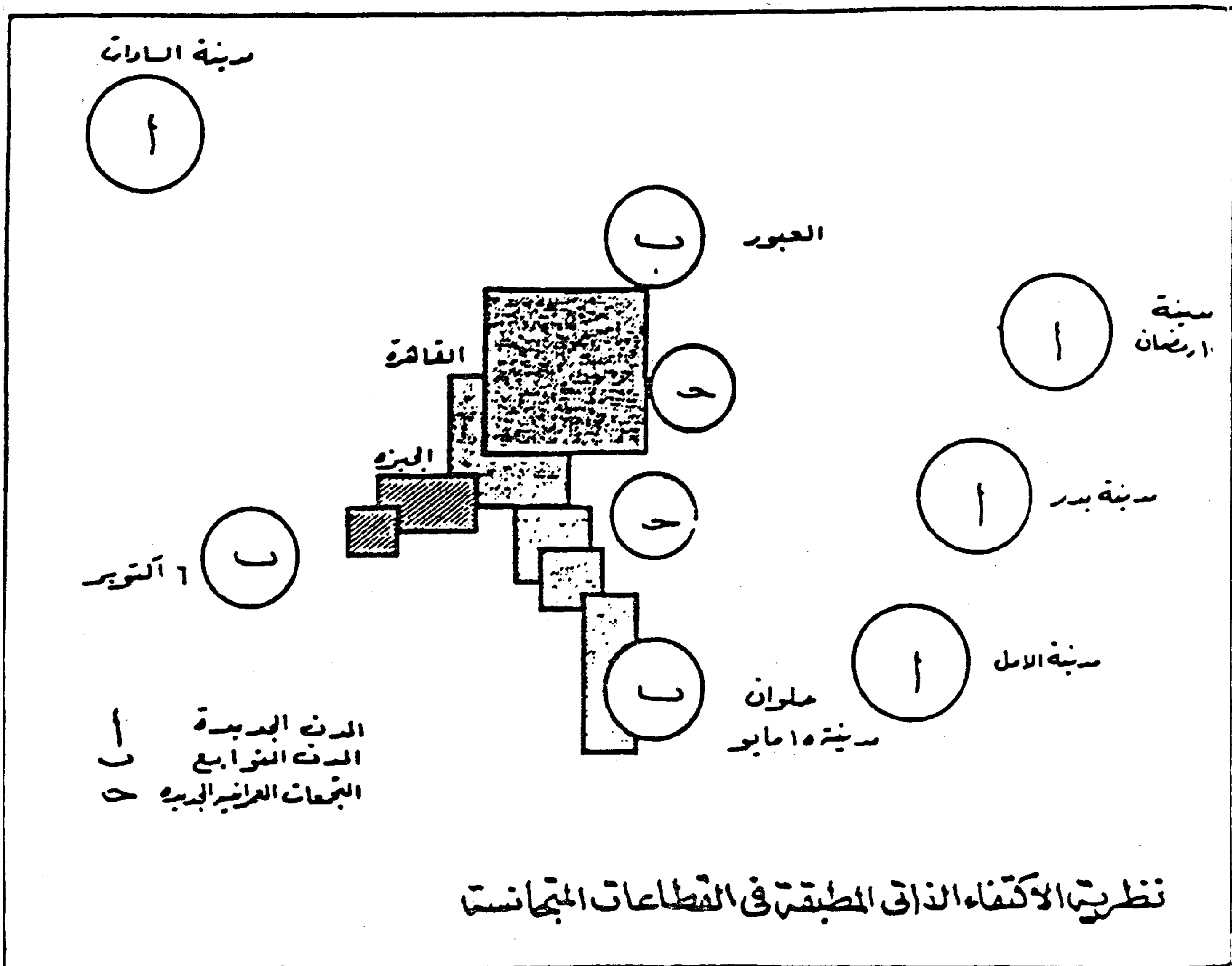
١١-١ من القانونين والضوابط وبرامج التوجيه المستمره التي تهدف الى حماية نهر النيل من التلوث مع ضرورة التوسع فى اقامة محطات معالجة مياه الصرف الصحي ورفع كفاءتها.

١٢-١ العمل على التحكم فى

مصادر تلوث الهواء سواء من ناتج المصانع او النفايات من غازات السيارات. وتحقيقا لهذه الاهداف فليقد اتجهت الافكار الخاصة بتخطيط اقليم القاهرة الكبرى الى وضع اربعة اسم للتوزيعات السكانية موضع الاعتبار وهما :- القطاعات المتجانسة. المستوطنات الجديدة. محاور التنمية. الاقليم العمرانى. وهذا ما سيتم ايجازه فى الاجزاء القادمة.

٢- التجمعات العمرانية حول القاهرة الكبرى كبديل للتجمعات العشوائية. تعتمد الاستراتيجية العامة للتعمير على اقامة قطاب جذب للنمو والتخفيف عن الكتلة العمرانية للقاهرة مع مراعاة ان يكون لهذه الاقطاب قواعدا الاقتصادية المستقرة ونموها المستقل عن العاصمة. ولقد وضعت مجموعة من الاسس للتوزيعات السكانية موضع الاعتبار وهى :-

١-٢ القطاعات المتجانسة. تعتمد هذه الفكرة على تنظيم الحيز العمرانى وتحديد القطاعات المتجانسة بالكتلة العمرانية والتي حققت قدرا من الاكتفاء الذاتى وتدعيم هذا الاكتفاء بدعم الاتجاه الطبيعى نحو ايجاد تخصص جغرافى للأنشطة حيث يتوفر فى كل قطاع فرص العمل اللازمة لساكنيه مع ملاحظة ان لكل قطاع طابعه الخاص ونشاطه المتميز به وبذلك يصبح هناك قطاع للإدارة وآخر للتجارة وآخر للصناعات الخفيفة وهكذا والشكل رقم (٢) يبين فكرة الاكتفاء الذاتى لمختلف التجمعات التى يتكون منها الاقليم الحضرى للقاهرة الكبرى كما يوضح الشكل



نظريتي الاكتفاء الذاتي المطبقة في القطاعات المتجانسة

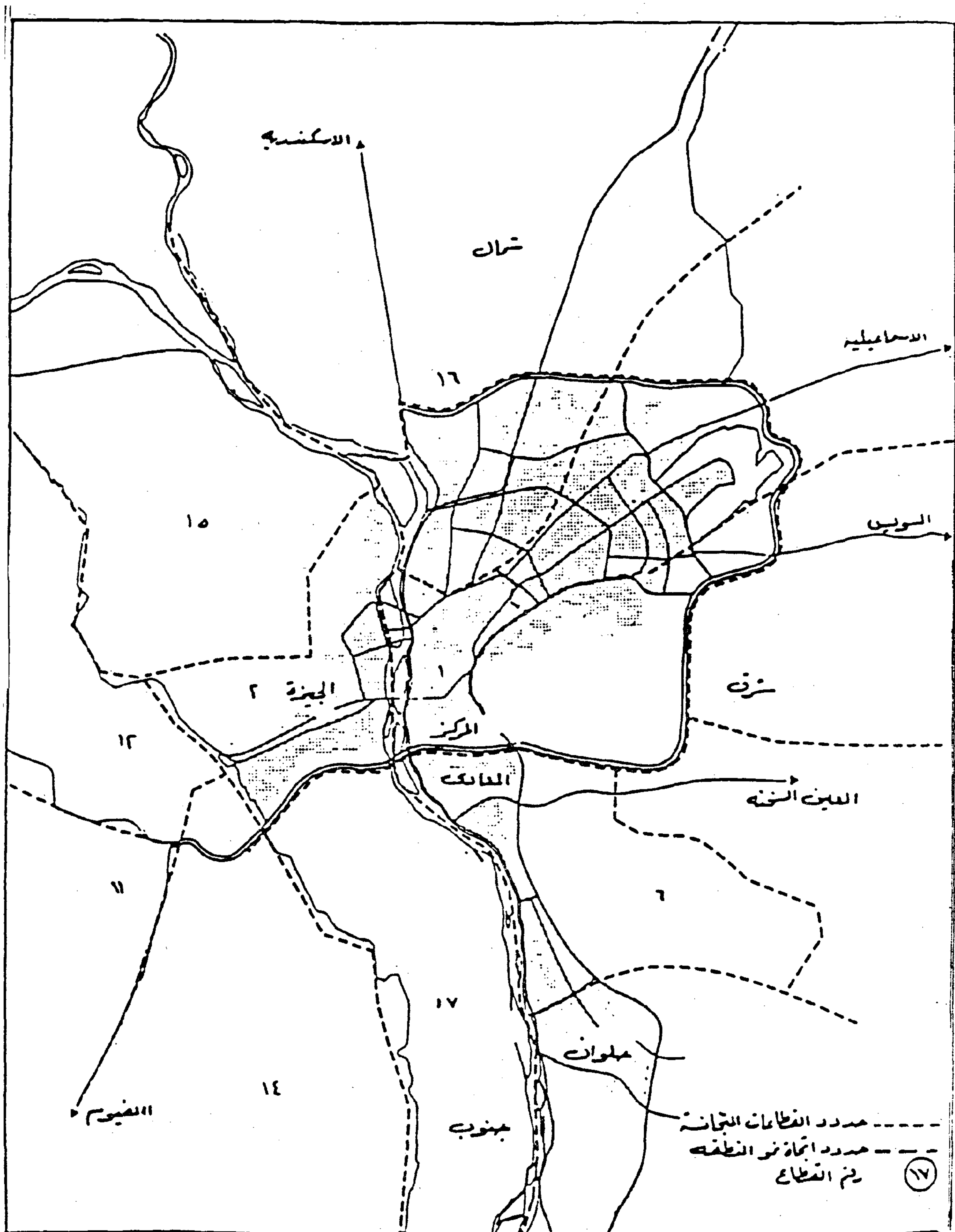
رقم (٣) تقسيم اقليم القاهرة الكبرى الى سبعة عشر قطاعا متجانسا. المستوطنات الجديدة. في محاولة لوقف النمو المستمر للأسكان العشوائى سواء فى دلتا نهر النيل أو على اطراف الكتلة العمرانية ينبغي استنباط اشكال اخرى للتجمعات، هذه التجمعات تسمى بالمستوطنات الجديدة ولتتميزها عن المدن الجديدة والقائمة والمدن التوابيع لأن هذه المستوطنات يلزم أن :-

- * تكون منفصلة عن الكتلة العمرانية القائمة.
- * أن تكون مواصفاتها الانشائية وتكاليها مماثلة تقريبا لمناطق الاسكان العشوائى فى المناطق الريفية.
- * أن تعتمد فى تنميتها على تمويل القطاع الخاص دون الاستعانة بموارد القطاع العام حتى لا تتوضع فى منافسة مع برامج المدن الجديدة.
- * أن تكون قريبة من قاعدة كبيرة للعمالة فى البداية لضمان توفير طاقة استيعاب كبيرة على المدى القصير والمتوسط.
- * ألا يتعدى عدد سكانها ربع المليون نسمة وهذا يضعها فى مستوى مدينة من مدن المحافظات الكبيرة ويضمن لها مستوى جيد من الاكتفاء الذاتى من حيث العمالة والخدمات على المدى البعيد.

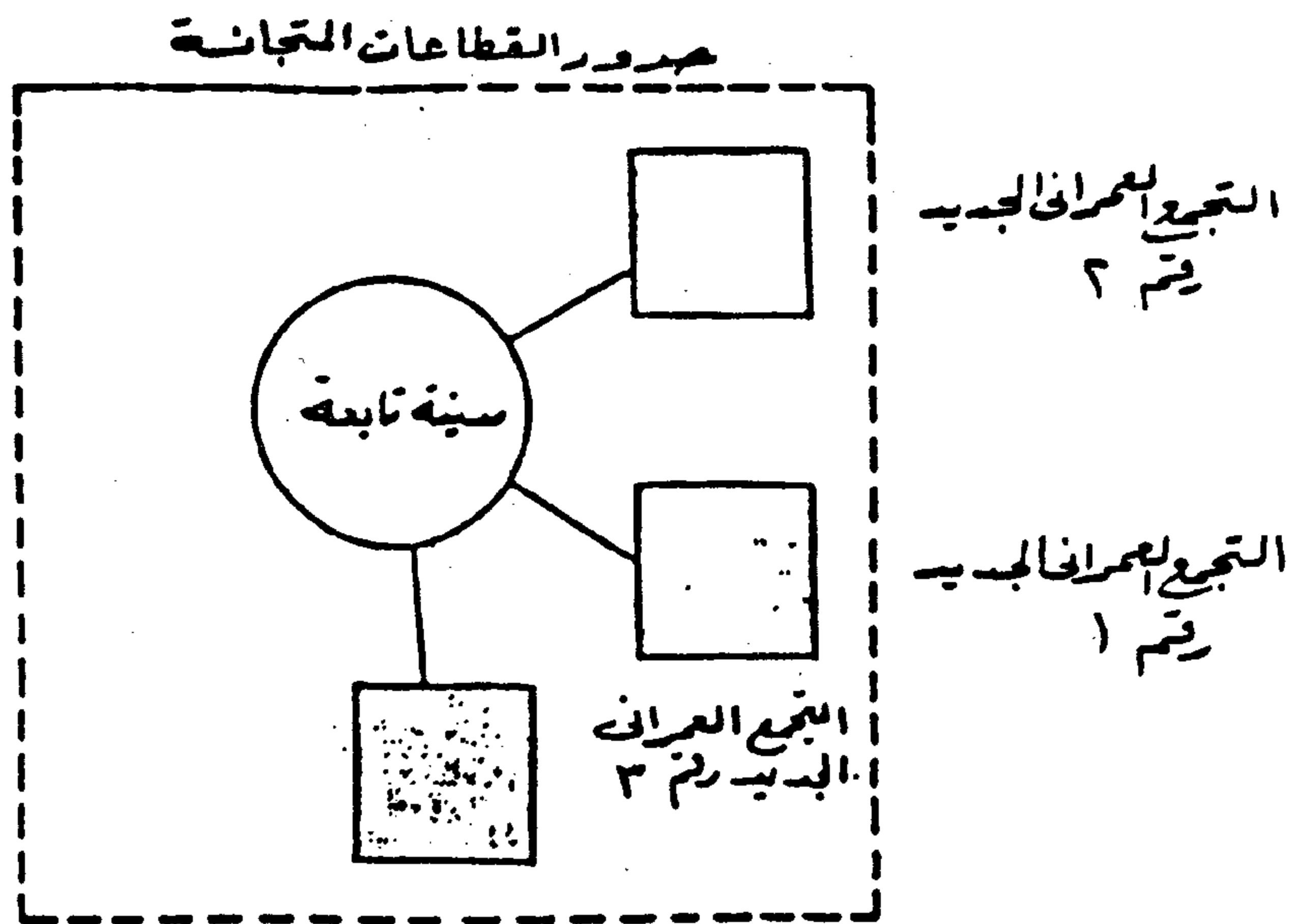
٣-٢ محاور التنمية العمرانية. من أهم العوائق التى تواجه محاور التنمية المتجهة الى الكتلة العمرانية للقاهرة الكبرى هى مجموعة العوائق الطبيعية على المستوى الاقليمى. وتربط هذه المحاور الكتلة العمرانية للقاهرة الكبرى بالاقليم الاقتصادى الأخرى

بالجمهورية، ومن الملاحظ أن معظمها يتوسطه مدينة جديدة حيث تعمل هذه المدن على ايجاد نشاطات هامة على طول هذه المحاور من حيث النقل ومواد البناء الأمر الذى يسدع انشاء مستوطنات جديدة تتكامل مع هذه المحاور (شكل ١٤، ٥). وقد صممت مواقع التجمعات السكنية الجديدة بشكل عام بحيث تحسن ظروف محاور التنمية وبشكل خاص لتحصين ظروف المحور الشرقى الغربى لاقليم القاهرة الكبرى وضبط التطور على المحور الشمالى الجنوبى التى يتباعد النهر (شكل ٦). التجمعات السكنية الجديدة.

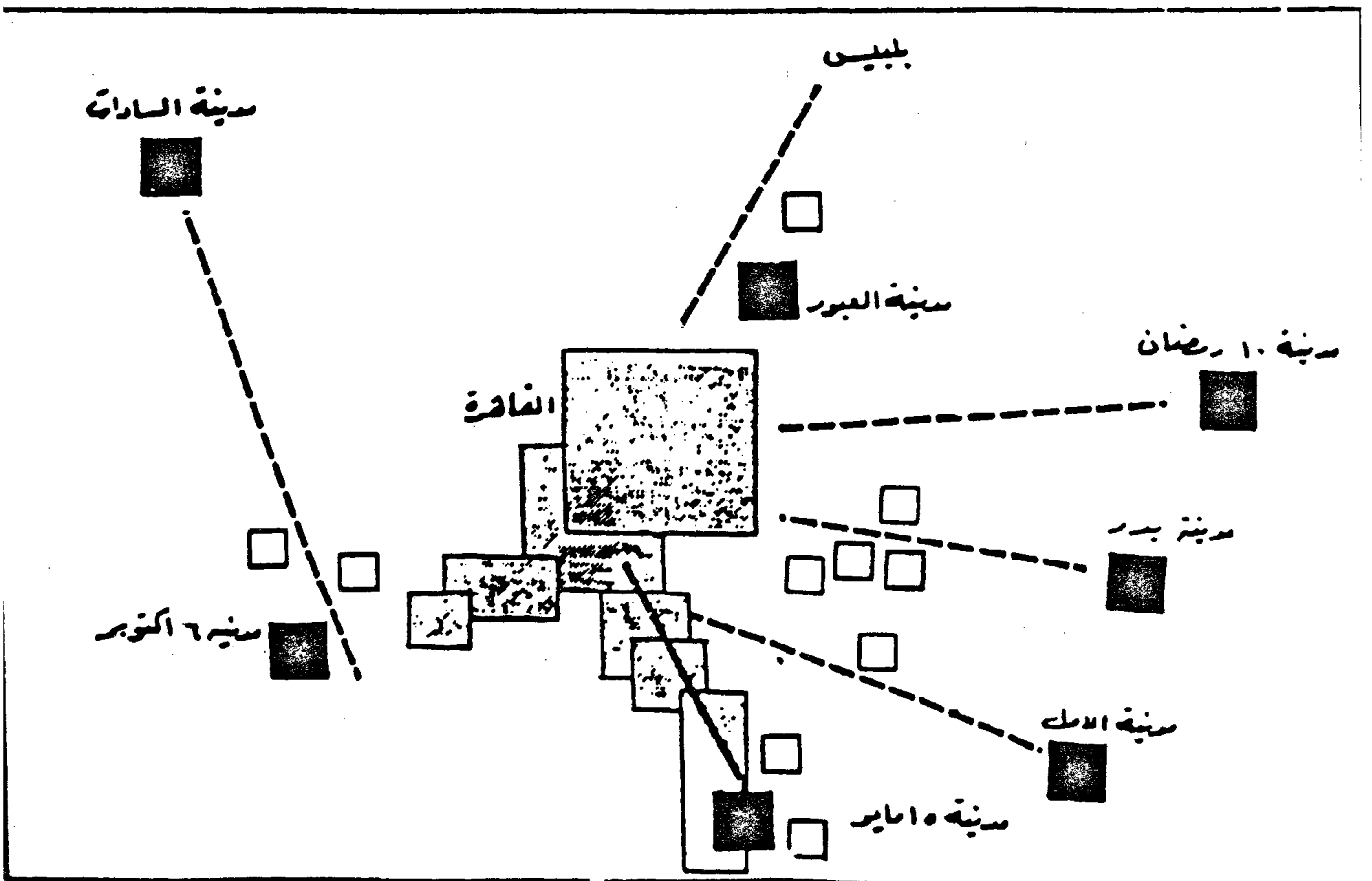
٤-٢ ان ما يشهده اقليم القاهرة الكبرى من نمو عمرانى سريع لهواكب النمو الاقتصادى والتطور الاجتماعى الذى يتزايد وقعة بموره تسابق الزمن وملاحقه لخطورة الابعاد والاثار السلبية طويلة المدى والتى يمكن أن تقترب على النمو العشوائى وفى اطار العديد من الدراسات تم اعداد المخطط الهيكلى لاقليم لعام ٢٠٠٠ فى يناير ١٩٨٣ على اساس المخطط الاستراتيجى لتنمية الاقليم المعتمد فى يونيو ١٩٨٣ بعد اختيار المراتب الانسب بين البدائل التى اقترحت للتنمية الحضرية والذى يوصى بضرورة الحد من امتداد الكتلة العمرانية القائمة باقامة عشرة تجمعات عمرانية جديدة فى الصحراء على خمسة محاور رئيسية للتنمية كبديل للزحف العمرانى على الاراضى الزراعية وحفاظا عليها. كثرة قومية يجب حمايتها. ولقد اوصت استراتيجىة التنمية لاقليم بتوطين ما



شكل ٢ حدود القطاعات المتجانة



شكل ٤ المدن التابعة كنقطة ارتكاز للتجمعات العمرانية الجديدة



شكل ٥ ممرات التنمية والتجمعات العمرانية الجديدة

يقرب من ١,٩ مليون نسمة
فى التجمعات العشرة
الجديدة فى الاراضى
المحراوية بحيث تستوعب كل
منها حوالى ٢٥٠.٠٠٠ نسمة
مع اعتبار أن الاتجاه نحو
المحراء سيكون هو العلاج
الذى يؤدى الى تغيير
الاتجاهات الحالية وذلك عن
طريق :

- * تقديم اراضى للتعمير فى
المحراء يقوم القطاع
الخاص بتعميرها بما
يتناسب مع الموارد
المتتالية للسكان من ذوى
الدخل المنخفض والمتوسط.
- * تنفيذ مراحل البنية
الاساسية بحيث تتمشى مع
الاستثمارات العامة لهذا
الغرض مع الاستثمار
الخاص فى قطاع البناء.
- * تشديد اجراءات مراقبة
التصرف فى الاراضى ووضع
اشتراطات البناء من اجل
الوصول الى العدد
المستهدف من السكان ومنع
المضاربة على الاراضى.
- * دراسة اقتراح دور الدولة
على تقديم التمويل اللازم
لبداء المشروعات.
- * استغلال المناطق فيما حول
الكتلة العمرانية للقاهرة
الكبرى بتخطيطها من اجل
انشاء تجمعات عمرانية
متجانسة وتوازن اجتماعى
واقتصادى بين فئات هذه
المجتمعات مع اقامة مواقع
للعمل وتنظيم التعمير
حول محاور النمو.
- ٣- محددات تخطيط التجمعات
الجديدة. مما لا شك فيه أن
التجمعات العمرانية
الجديدة ستكون مجتمعات
مكتفيه ذاتيا مثل المدن
الجديدة ولكنها ستقام على
اطراف التجمع السكانى
للقاهرة الكبرى لكى يسهل
ذلك من عملية نقل
ديناميكيات التطوير
الراهنه من الكتلة
العمرانية الحالية الى
مكانها الجديد و تتشابه

- المحددات العامة للتجمعات
الجديدة المقترحة مع
المدن الجديدة فى :-
- * سيكون لكل منها قاعدة
اقتصادية خاصة للحد من
الحاجة الى الانتقال خارج
المجتمع.
- * تستوعب كل منها الفئات
الاجتماعية المختلفة التى
تعتمد على بعضها البعض.
- * ستوفر فيها مستوى متمثل
من الخدمات والمرافق
العامة.
- اما المحددات الخاصة
بالتجمعات الجديدة والتى
تختلف عن المدن الجديدة
فهى كالتالى :-
- * سوف تعتمد التجمعات
الجديدة فى تطويرها على
الاستثمار الخاص. لذلك
لقد كان من الضرورى أن
تكون قريبة من الكتلة
العمرانية للقاهرة الكبرى
ومناطق العمل بغرض جذب
الاستثمارات الخاصة بعيدا
عن العمران المتكدس
للقاهرة الكبرى.
- * التأكيد على مبدأ الاكتفاء
الذاتى. وسوف يستعرض
الجزء التالى لمجموعة
الاسس التى روعيت عند
تخطيط التجمعات السكنية.
- ١-٣ اسس تخطيط التجمعات
السكنية الجديدة. يشكل
تحديد اسس تخطيط
التجمعات السكنية العنصر
الاساسى فى مشروعات
التجمعات العمرانية
الجديدة حيث أن هذه
المشروعات يجب أن تعتمد
اساسا على القوى
الاقتصادية الطبيعية
القائمة فعلا.
- ١-١-٣ عدد السكان. حدد
العدد المستهدف من
السكان لكل تجمع من
التجمعات السكنية
بحوالى من ٢٥٠,٠٠٠
الى ٣٠٠,٠٠٠ نسمة
مما يجعلها فى مصاف
المدن الرئيسية فى
الاقليم على أن تكون

لها قدر مناسب من الاستقلال الاقتصادي. ٣-١-٣ النواحيات السكانية المستهدفة. تم تحديد فئتين رئيسيتين لسكنى التجمعات الجديدة ١- الاسر ذات الدخل المنخفض الى المتوسط وتمثل حوالى ٧٠ ٪ من السكان . ٢- والاسر ذات الدخل المتوسط الى المرتفع وتمثل حوالى ٣٠ ٪ من السكان. ويجب ان نوجه النظر الى ان هذه النسب يمكن ان تتغير مستقبلا طبقا لموقع كل تجمع من التجمعات الجديدة حسب الحالة الاقتصادية العامة لمناطق القاهرة الكبرى المختلفة. ويجب الا يدعى ذلك للقلق حيث انه من الممكن تصويب هذا المسار فى المراحل اللاحقة لتنمية المجتمع بعد تفهيم امكانيات الاقليم. وتضم الفئة الاولى السكان بالاسكان العشوائى فى المناطق الريفية و كذا المستثمرين و هذه الفئة يمكن تسكينها فى مناطق مرتفعة الكثافة السكانية حيث ان قلة استخداماتها لوسائل الحركة الالية يساعد على عمل مشروعات تقسيم اراضى كثيفة ولقد لوحظ ان لهذه الفئة القدرة على توفير السيولة المالية المناسبة واساليب البناء الملائمة نسبيا. اما الفئة الثانية فهي

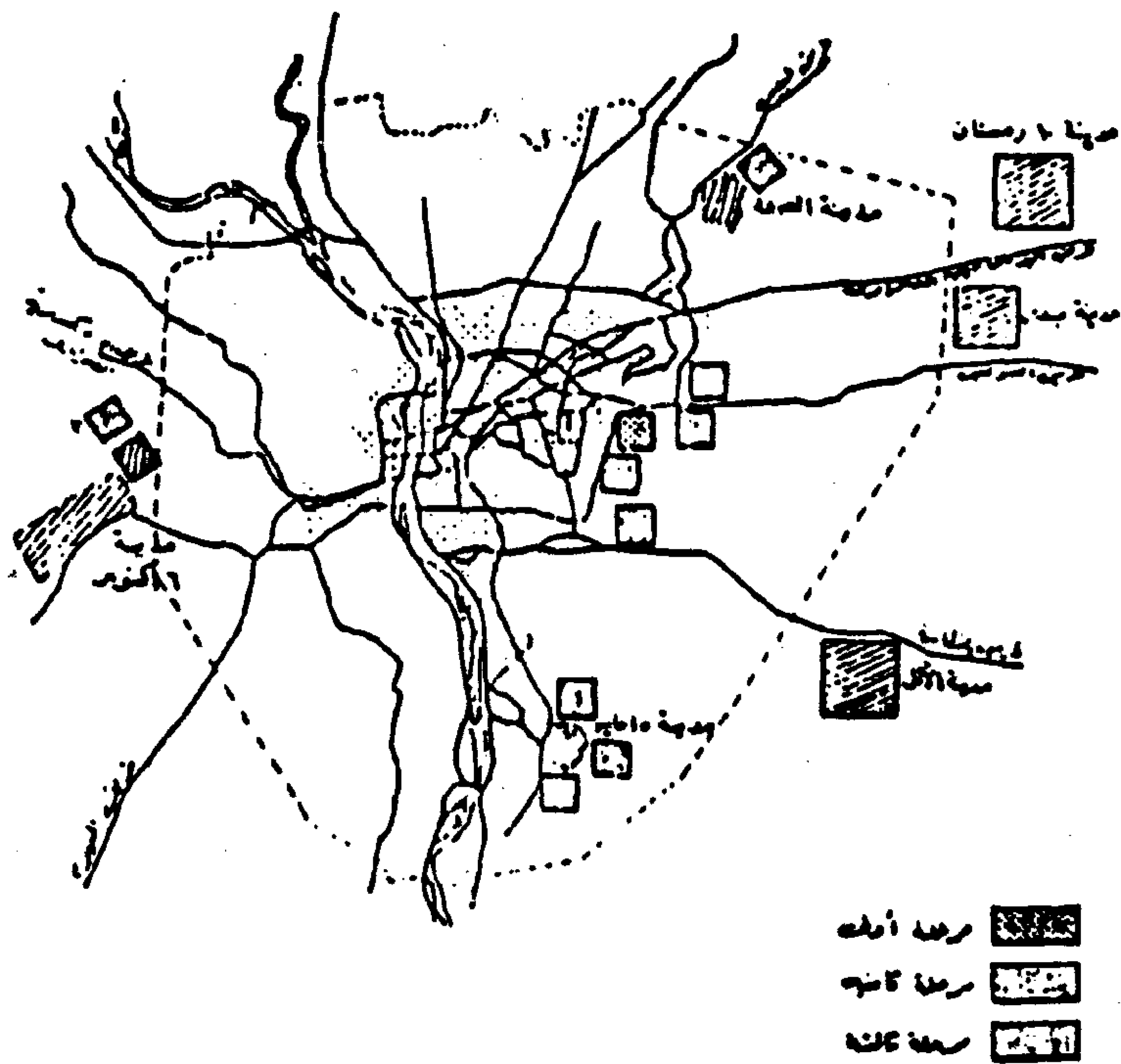
تعنى بالاستثمار اما من اجل الحصول على ريع لورى او كنوع من التأمين و تعتبر هذه الفئة هي العميل لشركات الاسكان والتعمير وللجتمعات التعاونية للاسكان. ٤- الوضع الحالى للتجمعات السكنية الجديدة. سبق ان حدد البرنامج التنفيذى للتجمعات السكنية العشرة فتره زمنيه تقدر بحوالى ١٥ سنة تمتد من سنة ١٩٨٤ وحتى سنة ٢٠٠٠ تتم خلالها الانتهاء من بناء هذه التجمعات ثم وضع برنامج اكثرت تفصيلا قسم التجمعات السكنية الى ثلاثة مجموعات على اساس مراحل تنفيذية مرغوب الوصول اليها وهي :

* تجمعات تنفذ على المدى القصير فى الفترة من سنة ١٩٨٤ وحتى سنة ١٩٨٦ وهي التجمعات ارقام (٧١١).

* تجمعات تنفذ على المدى المتوسط فى الفترة من سنة ١٩٨٦ وحتى سنة ١٩٩١ وهي التجمعات ارقام (٥١٣١٢)، (٨١١٨ب).

* تجمعات تنفذ على المدى الطويل فى الفترة من سنة ١٩٩١ وحتى سنة ٢٠٠٠ و هي التجمعات ارقام (١٠١٩١٦١٤) انظر شكل (٧). غير ان برنامج تنفيذ هذه التجمعات قد تعرض للكثير من التغيرات والعقبات والمشاكل سواء من النواحي السياسية او الاقتصادية او الادارية واستقر الراى على ان برنامج تنفيذ هذه التجمعات سوف تخضع لظروف كل تجمع على حده وبالتالي يرتبط بتاريخ البداية الحقيقية لتنفيذ التجمع على الطبيعة. واصبح الوضع الحالى للتجمعات كما يلى:

١-٤ تجمعات تم الفاؤها نتيجة لعدم موافقة القوات



البرنامج الزمني المقترح للتجمعات العمرانية الجديدة

المجموع	التجمعات		
	مدينة النخلة	مدينة النخلة	مدينة النخلة
			*
		*	
		*	
	*		
		*	
	*		
			*
		*	
	*		
	*		
١٠	٤	٤	٢

شكل ٧ المراحل الزمنية لتنفيذ التجمعات العمرانية الجديدة

المسلحة اما لوقوعها في مجال يتنافى واشتراطات الدفاع الجوي او لتدبير مواقع بديلة للمعسكرات التي تفتح في بعض مواقع هذه التجمعات. وقد صادف ذلك التجمعات ارقام (٤١٢).

٢-٤ تجمعات تم تحديد شروط ارتفاعات المباني بها وتحديد امكان هذه الارتفاعات وذلك بناء على طلب الدفاع الجوي وقد صادف ذلك قطاع من التجمع رقم (٩).

٣-٤ تداخل بعض التجمعات مع مناطق استغلال بعض الشركات مثل تداخل التجمع رقم (٨ب) مع المنطقة المخصصة لشركة الاسمنت والذي ادى الى ضم التجمع (١٨) الى (٨ب) تحت مسمى واحد وهو التجمع رقم (٨). وينطبق ذلك ايضا على التجمع رقم (٩) والذي تداخل اجزاء منه مع منطقة استغلال مشروعات التنمية الزراعية.

٤-٤ ظهور تجمعات جديدة مثل تجمع (٧) الواقع على طريق الفيوم الواحات. وكذا تجمع الشروق الممتد في جزء من المنطقة ما بين طريق مصر - الاسماعيلية وطريق مصر - السويس والذي يعتبر بديلا للتجمع رقم (٣) الذي تم الغاؤه.

٥-٤ ضم التجمع (١٦) الى التجمع (٦ب) ليصبح تجمع واحد تحت اسم تجمع الشيخ زايد.

٦-٤ نقل موقع التجمع رقم (٣) والذي كان يقع بين التجمع رقم (١) والتجمع رقم (٥) الى منطقة اخرى اسفل التجمع رقم (٥) وملا على طريق المعادى - العين السخنة وذلك بناء على توجيه من القوات المسلحة.

٧-٤ وقوع جزء من التجمع رقم (٣) في منطقة الغابة المستحجرة (طريق المعادى - العين السخنة) والتي

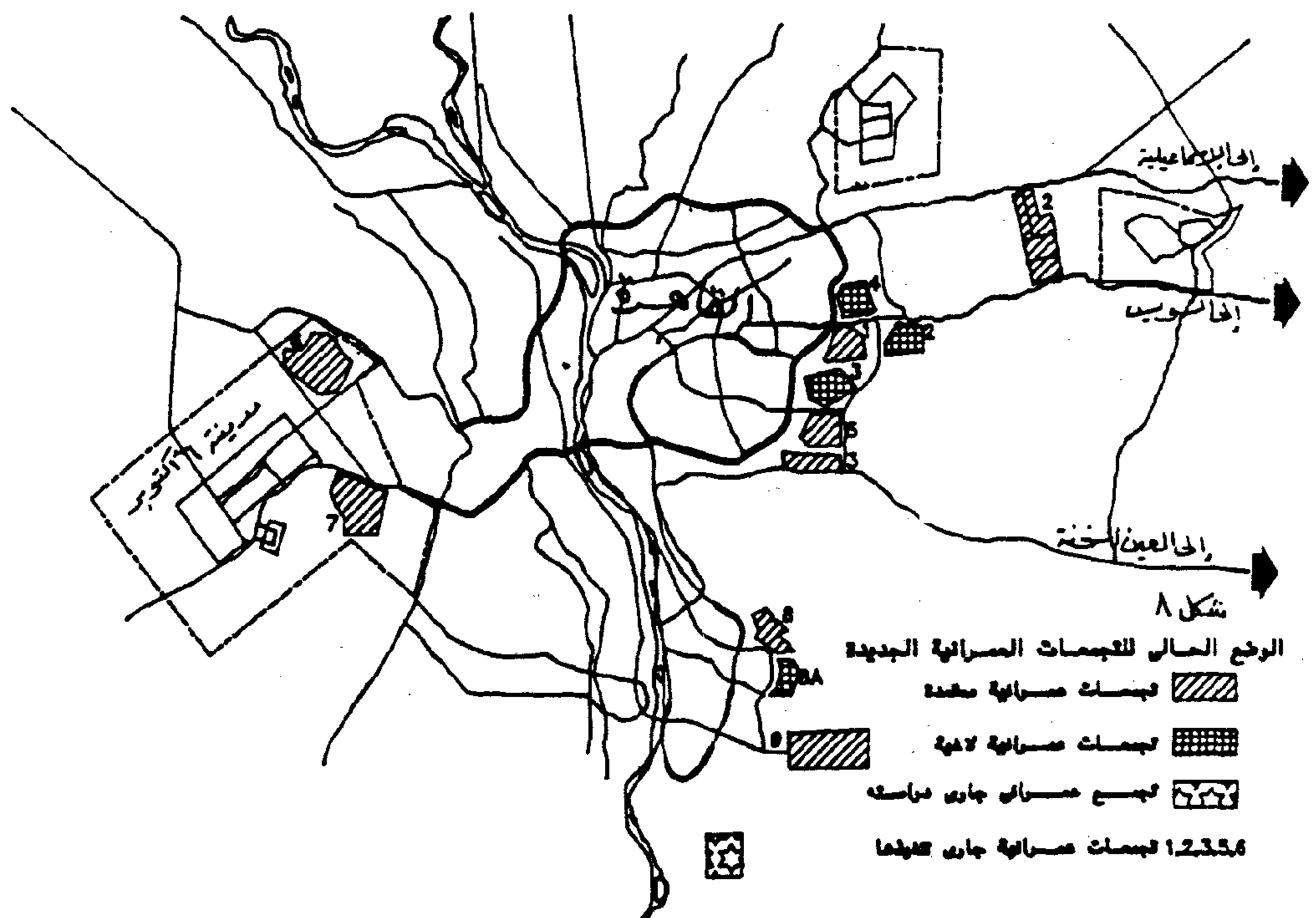
تعتبر احدى مناطق المحميات الطبيعية التي يجب الحفاظ عليها.

٨-٤ اختيار جنوب غرب التجمع رقم (٩) كموقع لتجمع جديد جارى اجراء الدراسات التحضيرية له تمهيدا لتخطيطه.

٩-٤ امتصاص التجمع رقم (١٠) داخل الحدود الادارية لمدينة العبور الجديدة وبالتالي اصبح التجمع كأحد احياء المدينة.

١٠-٤ وقوع تجمع الشيخ زايد والتجمع رقم (٧) داخل الحدود الادارية لمدينة ٦ اكتوبر و هذا يعنى ان تعداد السكان داخل حدود مدينة ٦ اكتوبر سيصل الى حوالى ١,٦ مليون نسمة أى ما يعادل حجم مدينه مكتظة بالسكان او بحجم محافظة من محافظات مصر. ومن الطبيعى ان ذلك سيعنى بالضرورة اعتماد هذين التجمعين على مدينة ٦ اكتوبر سواء فى المرافق او فى الخدمات وهو الذى لم يكن مخططا له من قبل عند اختيار موقع مدينة ٦ اكتوبر او مدى كفاية خدماتها التى كانت لاستيعاب عدد من السكان يصل الى حوالى مليون نسمة. حيث اضيف لها الاتجاه لتحديد مناطق الامتداد السكنى لمدينة ٦ اكتوبر مستقبلا بغرض استيعاب عدد من السكان يصل الى ٣٠٠ الف نسمة وبذلك سيصل التعداد الكلى للمدينة الى حوالى مليون وخمسين الف نسمة. ومن الملاحظ ايضا اختيار مواقع هذه التجمعات قد تم بجوار المنطقة السياحية والقريبة للمدينة. (انظر الشكل ٨).

١١-٤ يجرى العمل حاليا فى تنفيذ التجمعات ارقام (٥، ٣، ١١) بالإضافة الى تجمع الشروق وجزء من تجمع



للمستثمرى المدن الجديدة .
٦-٥ ضرورة التنسيق بين سياسة بيع الاراضى و الوحدات السكنية داخل الكتلة العمرانية لمدينة القاهرة وسياسة بيع اراضى التقسيم فى التجمعات الجديدة .

٧-٥ توجيه مشروعات اسكان الشباب وحالات الزواج الحديث الى التجمعات الجديدة مع منح التسهيلات اللازمة والاخذ بسياسة الاعتماد على النفس فى بناء المسكن الصغير .

٨-٥ التنسيق بين سياسات الوزارات المختلفة سواء فى مجال الاسكان او المناحة او الزراعة بما يحقق قوة التوجه لتنفيذ سياسة انشاء التجمعات السكنية الجديدة .

٩-٥ اعطاء الوقت الكافى لدراسات البنية الاساسية وامكانيات امداد هذه التجمعات بالمياه والكهرباء منعا لحدوث المشاكل التى تظهر عند البدا فى البناء والتنفيذ .

١٠-٥ تحديد العلاقة بين اختيار مواقع التجمعات المقترحة والحدود الادارية للمدن الجديدة لتحقيق المبدأ الاساسى وهو الاكتفاء الذاتى سواء للتجمعات العمرانية او المدن الجديدة .

المراجع

- ١- وزارة الاسكان والتعمير والمجتمعات الجديدة - الهيئة العامة للتخطيط العمرانى .
- ٢- التخطيط الهيكلى لاقليم القاهرة الكبرى "تخطيط التنظيمية الحضرية حتى عام ٢٠٠٠ - الهيئة العامة للتخطيط العمرانى .
- ٣- العرض الفنى للتجمعات السكنية الجديدة - الهيئة العامة للتخطيط العمرانى ١٩٨٦ .
- ٤- المكتب الهندسى الاستشارى

مبور .

الشيخ زايد .

١٢-٤ تواجه التجمعات الجارى تنفيذها حاليا العديد من المشاكل ولاسيما المتعلقة بالبنية الاساسية والامداد بالماء والكهرباء .

١٣-٤ اشرت الاوضاع الاقتصادية الاخيرة ولاسيما أزمة الخليج على برنامج تنفيذ التجمعات السكنية و امدادها بخدمات البنية الاساسية يضاف الى ذلك ان تأخر التنفيذ سيعنى بالضرورة نكبات اضافية نتيجة لتغير الاسعار وارتفاعها وبالتالى على سعر بيع الاراضى مستقبلا للمنتفعين .

٥ - النتائج : مما سبق ذكره يمكن استخلاص مجموعة النتائج التالية :

١-٥ هناك العديد من العقبات والصعاب التى يجب وضع البرامج المحددة لحلها والتغلب عليها والذى لم يتأتى الا بتنسيق الجهود بين الجهات المختلفة والمتداخلة فى اختيار مواقع التجمعات .

٢-٥ امتصاص بعض المدن الجديدة للتجمعات السكنية مثل مدينة العبور ومدينة ٦ اكتوبر مستقبلا مما يؤثر على التشكيل العمرانى لهذه المدن بالاضافة الى تحميل خدماتها بعبء هذه التجمعات لحين اعتمادها على نفسها .

٣-٥ اعادة النظر فى البرامج التنفيذية للتجمعات العمرانية الجديدة مما يحقق سرعة التنفيذ للتجمعات التى بدأ العمل فيها بالفعل .

٤-٥ توفير عنصرى البنية الاساسية والقاعدة الاقتصادية قبل البدا فى مشروعات تقسيم الاراضى و بيعها .

٥-٥ وضع الحوافز للمستثمرين على غرار الاعفاءات والامتيازات التى تمنح

تخطيط المناطق المتهالكة والارض الفضاء بالمدين المصريه فى اطار المنططات العامه

د. مصطفى الحينارى

مقدمة :

مصر (٥٧,٣ %) مما يعوق التوسع العمرانى الافقى الا على حساب الرقعة الزراعيه كما فى مدن محافظات القليوبيه والمنوفيه والغربيه والدقهليه والفيوم، فى مقابل ٣٨ مدينه تمثل ٢٠,٢ % من عدد المدن تقع فى المناطق الهامشيه المتاخمه لوادى النيل والدلتا وعلى بعد اقل من ٥ كم من حدود الصحراء (١) وتنتشر فى محافظات الشرقيه والبحيره والجيزه وبني سويف والمنيا وسوهاج واسيوط وقنا واسوان، وهناك ٤١ مدينه تمثل النسيه الباقية من المدن تقع فى النطاق الصحراوى وعلى سواحل البحر الاحمر والبحر المتوسط والبحيرات وتنتشر فى محافظات سيناء ومطروح والوادى الجديد والبحر الاحمر حيث تتوافر المقومات الاقتصادية والمساحات الكافيه لمتطلبات التنميّه.

ويضم حضر مصر ١٩١ مدينه، يسكنها مجتمعه ٢١,١٧ مليون نسمة عام ١٩٨٦ موزعه على ٤ مدن بالمحافظات الحضرية وتضم ٤٥,٨ % من سكان الحضر والباقي بالدلتا والوادى والحدود، يسكن الدلتا ما يمثل ٢٧,٧ % من سكان الحضر وتضم ٩١ مدينه منها ٩ مدن عواصم و ٤ مدن جديده يسكنها حوالى ١٢,٢ الف نسمة فقط، ويعيش فى الوجه القبلى حوالى ٢٥,٤ % من سكان الحضر فى ٦٩ مدينه منها ٨ مدن وعواصم ومدينه جديده يسكنها اقل من الف نسمة، وتضم محافظات الحدود ٢٧ مدينه تحتوى على ١,٥ % من سكان الحضر وهى نسيه ضئيله تكاد لا تؤثر فى توزيع السكان رغم تعمير عدد من المدن الجديده فى النطاق الصحراوى بآقاليم القاهرة والاسكندرية والدلتا والقناة.

وتشير البيانات الى التناقص المستمر لفئة المدن الاقل من ٢٠ الف نسمة، حيث قل عددها من ٧٥ مدينه عام ١٩٦٠ الى ٥٦ مدينه فقط عام ١٩٨٦ مع استمرار تزايد اعداد المدن بالفئات الاكبر، حيث زادت المدن ذات الحجم بين ٢٠ - ٥٠ الف نسمة من ٥٥ مدينه عام ١٩٦٠ الى ٨٠ مدينه عام ١٩٨٦، وشهدت المدن ٥٠ - ١٠٠ الف نسمة

تعالى معظم المدن المصريه من التزايد المستمر بشكل طردى فى اعداد السكان نتيجة للزيادة الطبيعيه وضم بعض المناطق الريفيه الى المناطق الحضرية القريبه منها، وهجرة السكان من الريف الى الحضر بسبب تمتع المدن وخاصة الكبرى منها بمميزات اقتصاديه واجتماعيه متعدده، مما ترتب عليه تضخم المدن القاشمه وعجزها على مسايرة واستيعاب الزيادات السكانيه وبما كان له الاثر فى ظهور كثير من المشكلات البيئيه والاقتصاديه والاجتماعيه.

ولمواجهة هذه المشاكل تظهر ضرورة وضع السياسات بهدف تنمية وتطويع المدن وتخفيف الضغط عليها والتحكم فى حركة النوس العمرانى والسيطرة عليها، وذلك من خلال نظرة شاملة للاقليم الذى تقع فيه المدينه وفى اطار السياسه العامه للدولة.

والبحث يبين الاوضاع الراهنه للمدن المصريه ومشاكلها الرئيسيه، وامكانيه التوسعات العمرانيه داخل حدود الحيز القاشم وتقدير حجم السكان الذى يمكن ان تتحملة المدينه المصريه بعد اعاده تخطيطها وتنميتها محليا، ويهدف البحث الى تحديد المناطق المتدهوره والاراضى الفضاء الغير صالحه للزراع بالمدين القاشمه فى الدلتا والوادى، والتي يمكن ان تواجه الاحتياجات الضروريه من الاراضى اللازمه للتوسع العمرانى وتزيد من طاقه الاستيعابيه للتجمعات العمرانيه القاشمه دون المماس بالاراضى الزراعيه.

الاوضاع الراهنه للمدن المصريه :

تقع معظم المدن المصريه بوادى النيل والدلتا على المجارى الماشيه، واتخذت مواقعها وسط الاراضى الزراعيه على طرق المواصلات الهامه كالمسك المديديه والطرق الرئيسيه الاقليميه، حيث يحيط النطاق الزراعى بما يزيد عن نصف مدن

ارتفاعها ملحوظا في اعدادها من ٨ مدن الى ٣١ مدينته خلال تلك الفترة، كما زادت المدن الاكبر من ١٠٠ الف نسمة من ١٤ مدينه عام ١٩٦٠ الى ٢٤ مدينه عام ١٩٨٦. ويشير هذا التضخم السريع في حجم التجمعات القاسمه واختلال الاحجام وتوزيعها وفقا للتغير المتوقع في استمرارية النمط الحالي لتوزيع التجمعات على المساحه المعمورة، فضلا عن ما يخلقه امتداد هذه التجمعات من نقص في الاراضى الزراعيه ذات الانتاجيه العاليه.

لقد امتدت المدن المصريه دون توجيه او تخطيط، حيث قامت مناطق سكنيه كامله غير لائقه خارج الكيله العمرانيه نتيجة الزيادة في عدد السكان، وانتشرت هذه المناطق الى جانبي الطرق الرئيسيه المارة او جانب خطوط السكك الحديدية، كما اندمجت القرى المجاورى للكتله السكنيه داخل عمران المدينه، والتي شكلت في نسيجها وشبكة طرقها اختلاف عما يجاورها، وبما يمثل عبئا جديدا على خدمات المدينه والضغط على مرافقها وازدياد المناطق السيئه واستهلاك مساحات من الاراضى الزراعيه تلبية للطلب المتزايد على السكن، حيث يقوم الاهالى بجهود فرديه ببناء مساكنهم اعتمادا على انفسهم على الاراضى الزراعيه في الغالب دون اشراف او رقابه او القيد بقوانين تقسيم الاراضى وتنظيم المباني، وغالبا ما تفتقر هذه المناطق الى شبكات المرافق العامة من مياه وكهرباء وصرف صحى وايضا الخدمات العامة مثل المدارس والمستشفيات، كما تزيد بها درجة التلوث البيئى.

كنتيجة لانتشار الامتدادات العشوائيه بالمدن والمصاحبه لتزايد السكان وتركزهم بالمدن، نجد ان ٥,١ ٪ من مباني عوام المحافظات و ١٣,٤ ٪ من مباني مدن المراكز غير متعله بالشبكة العموميه للمياه، وان ٢,٥ ٪ من مباني عوام المحافظات و ٧,٤ ٪ من مباني المدن الاخرى غير متعله بالشبكة الرئيسيه للكهرباء، كما تنعدم شبكة الصرف الصحى في معظم

مدن المراكز ويتم فيها التخلص من المخلفات عن طريق الابار وخزانات التحليل، وتصل نسبة ما تسقطيه الشبكة الى ١ ٪ من المباني في مدينه اسوان و ٢ ٪ في اسبوط و ٢٦ ٪ في الفيوم بينما تسبلغ في السويس ٣٤ ٪ وشبين الكوم ٦٠ ٪ من مبانيها بما لايفى باحتياجات التصرفات للمكان.

ويصل المتوسط العام لما يستقطعه امتداد المدينه في مصر الى ١١,٨ فدان / سنه (٢)، بما يشير الى ان ما يتطلبه امتداد التجمعات العمرانيه الحضريه لاستيعاب الزيادة السكانيه المتوقعة مساحه ارض تقدر بحوالى ٦٠ الف فدان حتى عام ٢٠١٠، ومعظم هذه الاراضى تستقطع من المناطق الزراعيه المحيطة بالمدن ذات الانتاجيه العاليه مما يؤثر سلبا على الانتاج.

تطور السكان والكشافات:

تشير البيانات الى ان اعداد سكان الحضر قد زاد عددهم من ٩,٨٦ مليون نسمة عام ١٩٦٠ الى ٢١,١٧ مليون نسمة عام ١٩٨٦ بما يزيد عن الضعف خلال تلك الفترة، كما ارتفعت نسبتهم خلالها من ٣٧,٩ ٪ الى ٤٣,٩ ٪ من اجمالى سكان مصر، ويغزو معدل النمو السكاني بالحضر معدلات النمو على مستوي مصر، فبينما ارتفع المعدل الى ٤,٢ ٪ عام ١٩٦٠ وانخفض تدريجيا الى ٣,٢ ٪ عام ١٩٨٦ بلغ معدل النمو في مصر ٢,٥ ٪ و ٢,٨ ٪ على الترتيب مما يشير الى استمرار الاتجاه نحو سكنى المدن، ومن المتوقع ان يصل عدد سكان الحضر الى ٣٧ مليون نسمة عام ٢٠١٠ اذا استمرت الزيادة السكانيه بنفس المعدلها في النمو (٣).

ولقد ادى النمو السكاني المتسارع الى ارتفاع الكثافه السكانيه بالمدن، فقد بلغت في المحله الكبرى ١٨٧ فرد / فدان والحوامديه ٢١٣ فرد / فدان والمنيهسا ١٨١ فرد / فدان، وبمازدياد الكشافات في المدن تزداد طرديا المشكلات الاقتصادية والاجتماعيه والبيئيه، وبصفة

البيئته وسوء الحالة الصحية وانتشار الماديات السبئية والتقاليد الضارة .

- تلوث السطح والهواء والمياه بالإضافة الى الضوضاء بسعدد من الملوثات من أهمها النفايات العلبية وانفجار شبكات المجارى والمياه المجهد وتزايد انتشار الصناعات المختلفة، الى جانب ملوثات الهواء كالفبار والدخان من الانشطة الصناعية والغازات والدخان من عوادم وسائل المواصلات، وما يترتب على ذلك من نواتج بيئية سلبية تساهم فى تدهور البيئة السكنية والبيئية العامة المحيطة .

- ضعف النظام الادارى، وتعدد الاجهزة الادارية على المستوى المحلى، مما يصعب معه تنسيق انشطتها وتوجيهها لخدمة اهداف خطة تنمية محلية متكاملة .

امكانية التوسعات العمرانية داخل حدود الحيز القائم :

يتضح مما سبق ان هناك مشاكل متعددة ومتشابكة ويحتاج الامر بالضرورة الى العمل على حلها، ويرى البحث حتمية اجراء الدراسات الميدانية اللازمة لتخطيط المساحة العمرانية للمدن القائمة لتحديد امكانيات التوسعات العمرانية داخل حدودها لتوفير متطلبات التوسع العمرانى المخطط وبما يحقق زيادة سعتها المحتملة دون اللجوء الى زيادة حيز العمران على حساب الارض الزراعية .

ولصعوبة دراسة جميع المدن المصرية فى هذا البحث، اختيرت عينة الدراسة من نماذج للمدن بلغت ٦٥ مدينة بما يزيد عن ثلث مدن مصر تمثل الاحجام المختلفة شملت محافظات الدلتا والوادي، حيث تم دراسة الاستخدام العام والاستخدامات الفرعية للاراضى وحالة البيئة السكنية ومستوياتها والارض الفضاء داخل النسيج الحضرى بهدف تحديد المساحات المتاحة من الاراضى التى يمكن ان تستوعب حاجة المدن

عامه ادى النمو السكانى المتزايد فى المدن الى مشاكل من أهمها :

- الامتداد العمرانى المفترد على الاراضى الزراعية، حيث فقدت مصر حوالى ٥٧٠ الف فدان من الاراضى الزراعية مرتفعة الخصوبة، وبما يمثل ٣٨,٢ ٪ من الاراضى التى تم استصلاحها خلال الفترة حتى عام ١٩٨٤ .

- انخفاض معدلات الخدمات العامة والضغط على المرافق المختلفة واجهادها نتيجة زيادتها عنطاقه الاستيعابية بسبب تزايد الضغط السكانى، مما ترتب عليه عدم قدرتها على مساهمة التوسع العمرانى .

- نقص الاسكان وتزايد عدد المبائى المتهالك لتقدمها والقصور فى صيانتها لعدم وجود تشريعات تنظم اعمال الصيانة والمحافظة على مستوى الاسكان، وظهور بعض المشاكل المرتبطة بهذا المجال مثل ارتفاع اسعار الاراضى وارتفاع تكاليف البناء وارتفاع اجارات المساكن بما لا يتناسب مع دخول الغالبية من فئات المجتمع .

- ازدياد الكثافة السكانية وما يتبعها من ازدياد المشكلات الاقتصادية والاجتماعية نتيجة لما يترتب عليها من احتياجات استهلاكية ومشاكل صحية بيئية .

- تضخم حجم المدن لتركز الانشطة الاقتصادية، وانعكاس ذلك على تداخل وتضارب استعمالات الاراضى بها وتأثير ذلك السلبى على حركة النقل والمواصلات داخل المدن وعلى المرافق العامة والانتاج .

- زيادة الامتدادات العشوائية خارج حدود المدن والتى تتم خروجاً على اى قواعد تشريعية او تخطيطية، وانتشار المناطق المتخلفة وما يصاحبها من الافتقار الى مرافق الخدمات الاساسية ومن تكدر سكانى شديد فيها وارتفاع الكثافات على الارض، وتدهور فى مستوى

استعمالات الاراضي:

يتبين من الشكل العام للمدن المصرية انها عبارة عن كتلة غير منتظمة في تكوينها العام وفراغاتها الموجودة، وليس لها اي طابع تاريخي او اجتماعي، كما نجد التعارض التام بين البنية السكنية وغيرها من الاستخدامات الاخرى بصورة تخل بالمظهر العام للمدينة، علاوة على قلة الاماكن المفتوحة وتكدس المباني وضيق شوارعها وتسمرجها واختلاف مناسيبها احيانا وتعدد استعمالاتها، الى جانب اختراق خطوط السكك الحديدية وطرق المواصلات الرئيسية لمعظمها.

ويلعب طريق دابر الناحية دورا كبيرا في تحديد شكل العديد من المدن، حيث يحيط بالكتلة القديمة للمدينة ثم تنتشر عليه الامتدادات في مراحلها الاولى قبل اتجاهها لمحاور الجذب العمراني والغير خاضعة لاي سند تخطيطي والمتمثلة في مشروعات مد المرافق وتقسيم الاراضي وتوطين المصانع الى جانب الطرق الاقليمية والريسية والكبارى ومحطات السكك الحديدية والمجارى المائية ومشروعات الري، حيث يقوم الاهالي ببناء المساكن التي غالبا ما تكون غير مستوفاه للمواصفات الصحية وغير مطابقة لقوانين المبانى من حيث الارتفاعات والفتحات او توفير المرافق العامة الى جانب سوء توزيع استعمالات الاراضي واختفاء بعض الاستعمالات العامة.

كما يتبين من دراسات بعض مدن مصر الاختلافات الواضحة من مدينة الى اخرى في الارتفاع بالارض، حيث تراوحت نسبة مساحة الرقعة السكنية ما بين ٣٠ - ٦٥% من المساحة العمرانية للمدينة، فقد بلغت في كفر الدوار ٣٧% وفي الفيوم ٣٥% اما بنى سويف ٣٥,٣% وفي قنا ٥٤%، اما الخدمات فتصل نسبتها في كفر الدوار ٦% والفيوم ١٥% وبنى سويف ١٦,٩% وفي قنا ١٠%.

بينما بلغت نسبة الطرق ٢١% في كفر الدوار وفي الفيوم ١٦% وبنى سويف ٢٣% وفي قنا ٢٠% في حين سجلت المساحة ٢٨% في كفر الدوار و٩% في الفيوم و٦% في بنى سويف، ٤% في قنا. وتمثلت الاراضي الفضاء داخل المدينة او خارجها في النسبة الباقية بكل منها.

حالة المباني وامكانية استغلال الارض.

في اطار تصنيف حالة البنية السكنية لمدن العينة تتضح المستويات الرئيسية الاتية:

- منطقتى الغالبية العظمى لمبانيها متهالكه وبيئتها متدهلة، وهى المساحة التى يحدث فى الغالبية العظمى من مبانيها خلل فى خواص المبنى الطبيعية ونقص فى الاشتراطات الصحية والاجهزة ونقص فى اعمال الصيانة والاثار الجانبية الاخرى المقلقة للراحة والخطره على الصحة، والمساحات التى تتداخل فيها الاسطعمالات مع بعضها ولا تتفق، وتتراوح مساحتها بالمدن اقل من ٢٠ الف نسمة بين ١٨ - ٢٠٠ فدان، وتراوحت بين ٥٠ - ٣٨٨ فدان للفئة بين ٢٠ - ٥٠ الف نسمة، مقابل ٥٩ - ٣٣٣ فدان للمدن ٥٠ - ١٠٠ الف نسمة، بينما تراوحت بين ١٣٨ - ٩٧٣ فدان للمدن ١٠٠ - ٢٠٠ الف نسمة، وبين ٢٧٧ - ٨٦٩ فدان للمدن ٢٠٠ الف فأكثر.

وقد بلغ المتوسط العام لهذه المساحات ٢١٠ فدان تمثل ٣٩,٧% من المساحة العمرانية للمدن، حيث بلغت المساحة المتوسطة فى المدن اقل من ٢٠ الف نسمة ٧٨ فدان بما يمثل ٣٩% من مساحتها العمرانية، وبلغت ١٣٩ فدان مثلت ٤٤,٢% فى المدن ٢٠ - ٥٠ الف نسمة، كما بلغت ١٨٢,٧ فدان بنسبة ٤٠,١% فى المدن ٥٠ - ١٠٠ الف نسمة، مقابل ٤٠٥,٨ فدان مثلت ٣٦,٤% لفئة المدن ١٠٠ - ٢٠٠ الف نسمة، ٥٩٧,٨ فدان بما يمثل ٣٥,٤% فى المدن ٢٠٠ الف نسمة فأكثر، وهذه المساحات

تتطلب الازالة واعادة تخطيطها وتعميرها، نتيجة لما حدث فيها من انهيار حضري لدرجه لا يصلح معها اى عمليات ترميميه او اصلاحيه، وفي هذه المساحات توجد حرية التصرف في تعديل استعمالات الاراضى وحرية تامة في التخطيط.

- مناطق حالة مبانيتها وبيئتها العمامة متوسطه وتضم بعض المساحات ذات التخلف البسيط ولم تصل بعد الى الدرجه التى يحكم فيها على المنطقه بالازالة الكامله، وتمثلت هذه المساحه بالمدين اقل من ٢٠ الف نسمة بين ١٧ - ١٠٦ فدان، وتراوحت بين ٢١-١٨٦ فدان لفئة المدين بين ٢٠-٥٠ الف نسمة، بينما تراوحت بين ٣٩-٢١٢ فدان فى المدين ٥٠-١٠٠ الف نسمة مقابيل ١٦٢-٣٨٨ فدان للمدين ١٠٠-٢٠٠ الف نسمة وبين ٢٢٣-٥٤٧ فدان للمدين ٢٠٠ الف نسمة فأكثر.

وبصفة عامة سجل المتوسط العام لهذه المساحات بالمدين ١٣٦ فدان تمثل ٢٤,٧ % من الكتله العمرانيه للمدينه، وقد بلغت المساحه المتوسطه للمدين اقل من ٢٠ الف نسمة ٥٥,٤ فدان بنسبة ٢٧,٦ % كما بلغت ٧٤,٥ فدان مثلت ٢٣,٧ % من المساحه العمرانيه فى المدين ٢٠ - ٥٠ الف نسمة، وبلغت ١٠٣,٦ فدان بما يمثل ٢٢,٧ % من المساحه فى المدين ٥٠ - ١٠٠ الف نسمة، ٢٩٠,٦ فدان بما يمثل ٢٦ % فى المدين ١٠٠ - ٢٠٠ الف نسمة والى ٤٥٨,٦ فدان بما يمثل ٢٧,١ % من المساحه العمرانيه فى المدين ٢٠٠ الف نسمة فأكثر.

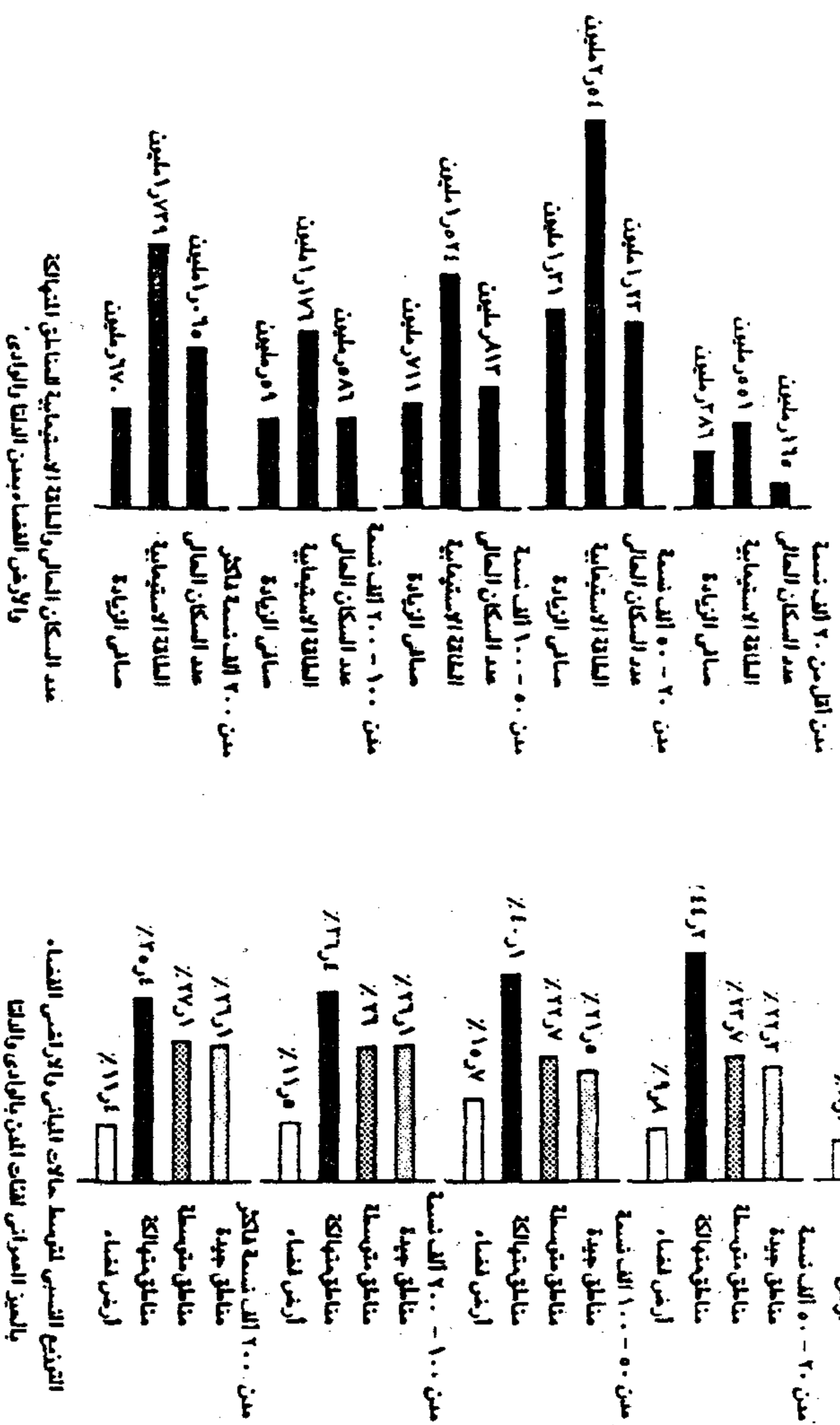
وهذه المساحات تحتاج بعض مبانيتها الى اصلاح والترميم ونسبة منها تحتاج الازالة (المباني المخلفه فقط) وتغييرات طفيله فى استعمال الارض بما يحقق افضل استخدام عمرانى، بالإضافة الى تغيير وتعديل الكثافات من خلال تخطيط هذه المساحات الصغيره التى تكون فيها المباني دون المستوى.

- مساحات حالة مبانيتها جيدة وصحية وبيئتها العامة سليمة، يبلغ متوسطها العام فى مدين العينه ١٣١ فدان بما يمثل ٢٤,٧ % من مساحه الكتله العمرانيه للمدينه، ويتباين المتوسط العام لهذه المناطق بالمدين حسب فئاتها المكانية، حيث تتراوح مساحه هذه المناطق فى الفئة اقل من ٢٠ الف نسمة بين ١٨ - ١٢٤ فدان بمتوسط عام يبلغ ٥٠,٢ فدان يمثل ٢٥,١ % من مساحه الهيكل العمرانى للمدينه، كما تتمثل فى المدين ٢٠ - ٥٠ الف نسمة بين ٢٠ - ١٣٩ فدان بمتوسط عام يبلغ ٧٠,٢ فدان بنسبة ٢٢,٣ % من مساحه المدينه، وتراوحت بين ٤٠ - ١٥٦ فدان لفئة المدين ٥٠ - ١٠٠ الف نسمة بمتوسط عام يبلغ ٩٨ فدان وبما يمثل ٢١,٥ % من المساحه العمرانيه، مقابل ٢٠٢ - ٦٥٠ فدان للفئة ١٠٠ الف نسمة فأكثر ويصل المتوسط العام الى ٢٩١ فدان للمدين ١٠٠ - ٢٠٠ الف نسمة والى ٤٤٠,٦ فدان فى المدين ٢٠٠ الف نسمة فأكثر، وبما يمثل ٢٦,١ % من مساحه الحيز العمرانى للمدينه فى كل منها.

وهي المساحه التى يجب الحفاظ عليها من تدهور مستوياتها ومن أن يتسرب اليها التخلف وتصبح مناطق متخلفه تعاني الكثير من مشاكل العمران، والتي تنتج عن القصور فى صيانة المباني او تخطيط المباني والبناء فى احوال وهداش المساكن، وهدم المسكن المقام على قطعة الارض وتقسيمها واقامة العمارات متعددة الطوابق مما يترتب عنه تزايد الكثافات المكانية وتشويهها فى الضبط على المرافق والخدمات فتصبح مناطق متخلفه.

الارض الخضراء:

تتراوح مساحه المناطق الخضراء داخل النسيج العمرانى بالمدين اقل من ٢٠ الف نسمة بين ٧ - ٢٤ فدان، وفى الفئة ٢٠ - ٥٠ الف نسمة بين ٣ - ١٧٧ فدان من



شكل رقم (٢)

شكل رقم (١)

فأكثر بمتوسط عام بلغ ٧٩٠,٤ فدان مشئت ٤٦,٨ ٪ من مساحة المدينة من هذه الفئة .

وفي ضوء مساحات المناطق المختلفة والأراضي الفضاء، وطبقاً لما حدده قائلون التخطيط العمراني من أن الكثافة السكانية العامة لا تزيد عن ١٥٠ نسمة / فدان للتجمعات المحاطة بالأراضي الزراعية وبما يعطى كثافة سكنية صافية في حدود ٢٠٠ نسمة / فدان بما يتفق ومتطلبات الفرد، حيث أن توزيع وتعدد الكثافات بدقة لابد وأن يرتبط بالمخططات التفصيلية للمناطق السكنية وبناء على تحديد لنماذج الأسكان وطبيعتها وطرق تجميعها، وعليه يتضح النتائج التالية بالنسبة لمدن الدلتا والوادي:

- المدن أقل من ٢٠ ألف نسمة يسبغ فيها المتوسط العام للقدرة الاستيعابية للمناطق المختلفة والأراضي الفضاء حوالي ١٩ ألف نسمة بينما يبلغ المتوسط العام لعدد سكان المناطق المتهاككة حالياً حوالي ٥,٧ ألف نسمة بالمدينة، بما يحقق امكانية استيعابها لحوالي ١٣,٣ ألف نسمة، وبما يحقق امكانية استيعاب هذه الفئة من المدن لحوالي ٣٩ مليون نسمة زيادة على سعتها الحالية .

- فئة المدن بين ٢٠-٥٠ ألف نسمة، يقدر المتوسط العام لسعة هذه المناطق في المدينة حوالي ٣٣,٩ ألف نسمة مقابل ١٦,٤ ألف نسمة وهو عدد السكان الحالي بالمناطق المختلفة فيها، بما يحقق زياده استيعابها لحوالي ١٧,٥ ألف نسمة في المتوسط وبما يحقق امكانية استيعاب هذه الفئة من المدن حوالي ١,٣١ مليون نسمة زيادة عن سعتها الحالية .

- فئة المدن بين ٥٠-١٠٠ ألف نسمة تقدر فيها سعة هذه المناطق في المدينة بحوالي ٥٠,٨ ألف نسمة مقابل ٢٧,١ ألف نسمة يكتون المناطق المختلفة حالياً، بما يحقق امكانية

المساحة العمرانية للمدينة، وتراوحت بين ١٠ - ١٧١ فدان في المدن ٥٠ - ١٠٠ ألف نسمة، وبين ٢٩ - ٢٥٠ فدان في الفئة ١٠٠ - ٢٠٠ ألف نسمة وبين ٤٤ - ٤٠٢ فدان في الفئة ٢٠٠ ألف نسمة فأكثر .

وبسطة عامة يبلغ المتوسط العام لمساحات الأراضي الفضاء والمدن بالمدينة ٦٣,٩ فدان بما يمثل ١٢ ٪ من مسطح الكتلة العمرانية، وسجلت المساحة المتوسطة في المدن أقل من ٢٠ ألف نسمة ١٦,٧ فدان بنسبة ٨,٣ ٪ من مساحة العمران بالمدينة في هذه المجموعة، وبلغت ٣٠,٨ فدان بالمدينة ٢٠ - ٥٠ ألف نسمة تمثل ٩,٨ ٪ من المدينة، وفي الفئة الحجمية ٥٠ - ١٠٠ ألف نسمة بلغ المتوسط العام ٧١,٣ فدان مثلت نسبة ١٥,٧ ٪ من المدينة، في مقابل ١٢٨,٦ فدان في المدينة ١٠٠ - ٢٠٠ ألف نسمة بما يمثل ١١,٥ ٪ ، ١٩٢,٦ فدان مثلت ١١,٤ ٪ من مسطح الكتلة العمرانية في فئة المدن ٢٠٠ ألف نسمة فأكثر .

الطاقة الاستيعابية للمناطق المتهاككة والأراضي الفضاء:

يشير ما تقدم الى ان الأراضي المتهاككة والأراضي الفضاء بالمدينة تمثل امكانيات التوسعات العمرانية داخل حدود الحيز العمراني القائم بالمدينة، وقد تراوحت هذه المساحات في المدن أقل من ٢٠ ألف نسمة بين ٢٦ - ٢١٠ فدان بمتوسط عام ٩٤,٨ فدان بما يمثل ٤٧,٣ ٪ من مساحة الهيكل العمراني للمدينة في هذه الفئة، وفي المدن ٢٠ - ٥٠ ألف نسمة تراوحت المساحة ما بين ٦٩ - ٣٧٣ فدان بمتوسط عام بلغ ١٦٩,٨ فدان وبما يمثل ٥٤ ٪ من مساحة عمران المدينة، وبين ١٢٤ - ٤٥١ فدان للمدن من ٥٠ - ١٠٠ ألف نسمة بمتوسط عام بلغ ٢٥٤ فدان تمثل ٥٥,٨ ٪ من عمران المدينة، وبين ١٦٧ - ١٧٥ فدان في المدن ١٠٠ - ٢٠٠ ألف نسمة بمتوسط عام بلغ ٥٣٤,٤ فدان تمثل ٤٧,٩ ٪ من مساحة المدينة، بينما تراوحت بين ٣٢١ - ١١٦٧ فدان في المدن ٢٠٠ ألف نسمة

زيادة استيعاب المدينة في المتوسط بحوالى ٢٣,٧ ألف نسمة، وربما يحقق امكانية استيعاب هذه المجموعة لحوالى ٥٩ مليون نسمة من الزيادة السكانية.

- في المدن اكثر من ٢٠٠ ألف نسمة فأكثر تقدر السعة المحتملة للمناطق المتهاكة والاراضى الفضاء في المدينة بحوالى ١٥٨ ألف نسمة مقابل سكانها الحاليين والذي يقدر بحوالى ٩٦,٨ ألف نسمة، بما يمثل زيادة سعتها بحوالى ٦١,٣ ألف نسمة، وبما يحقق استيعاب حوالى ٦٧ مليون نسمة في هذه الفئة من المدن زيادة عن سعتها الحالية.

وبصفة عامة يتضح ان اجمالى الطاقة الاستيعابية للمناطق المتخلفة والاراضى الفضاء يقدر بحوالى ٧,٥٣ مليون نسمة في حين يقدر عدد السكان الحالي في هذه المناطق بالمدين القائمة بحوالى ٣,٨٦ مليون نسمة، بما يحقق امكانية استيعابها لحوالى ٣,٦٧ مليون نسمة من الزيادة السكانية المتوقعة وبما يمثل ٣١ % من السعة الحالية للمدن في الدلتا والوادي، و ٣٣ % من الزيادة السكانية المتوقعة في هذه المدن حتى عام ٢٠١٠.

وبالنسبة لباقي المناطق في المدينة وفي ضو مساحات الاحياء المتوسطة التي لا تحتاج الى ازالة كاملة وتحتاج الى تحسين وارتقاء، ومن خلال تخطيط المساحات المتخلفة فيها، وتعديل الكثافات، تقدر الزيادة في استيعاب المدن اقل من ٢٠ ألف نسمة بحوالى ١٦ % مليون نسمة وفي المدن ٢٠-٥٠ ألف نسمة بحوالى مليون نسمة، والمدن ٥٠-١٠٠ ألف نسمة بحوالى ١٤ مليون نسمة، بينما تبلغ الزيادة في استيعاب المدن من ١٠٠-٢٠٠ ألف نسمة بحوالى ١٩ مليون نسمة وفي فئة المدن ٢٠٠ ألف نسمة فأكثر ٢١ مليون نسمة، وبما يشير الى ان هذه المناطق في مدن الدلتا والوادي تقدر امكانية زيادة سعتها بحوالى ١,١ مليون نسمة.

وعليه تقدر امكانية استيعاب المناطق المتخلفة والمتهاكة والاراضى الفضاء الى جانب المناطق المتوسطة في المدن القائمة بالدلتا والوادي بحوالى ٤,٧٧ مليون نسمة من الزيادة السكانية المتوقعة، بما يمثل ٤٠,٢ % من السعة الحالية للمدن في الدلتا والوادي و ٤٢,٧ % من الزيادة السكانية المتوقعة في هذه المدن حتى عام ٢٠١٠ والمقدرة بحوالى ١١,٢ مليون نسمة، بما يحقق فائض سكاني تقدر جملة بحوالى ٦,٣٩ مليون نسمة عن القدرة الاستيعابية للهياكل العمرانية القائمة في الدلتا والوادي، وهو ما يلزم توجيهه الى مناطق التنمية الجديدة خارج الوادي.

ومن جهة اخرى طبقا لمساحة الاراضى الواقعة داخل كوردونات وعلى ضو المتوسط العام للكثافة الاجمالية لفئات المدن، وفي حدود اللائحة التنفيذية لقانون التخطيط العمراني، نجد ان اجمالى الطاقة الاستيعابية لمجموعة المدن الاقل من ٢٠ ألف نسمة تبلغ ٢,٣٤ مليون نسمة، كما تبلغ في فئة المدن من ٢٠-٥٠ ألف نسمة حوالى ٨,٩٧ مليون نسمة، وفي فئة المدن التالية ٥٠-١٠٠ ألف نسمة تبلغ حوالى ٥,٨٩ مليون نسمة، بينما تستوعب المدن ١٠٠-٢٠٠ ألف نسمة حوالى ٤,١١ مليون نسمة، والمدن ٢٠٠ ألف نسمة فأكثر تبلغ طاقتها الاستيعابية ٥,٨٤ مليون نسمة باستثناء مدينتي القاهرة والاسكندرية.

وبصفة عامة يتضح ان اجمالى الطاقة الاستيعابية لكوردونات المدن تصل حوالى ٢٧,١٥ مليون نسمة وبما يشير الى ان مدن الدلتا والوادي يمكن ان تستوعب عددا اضافيا من السكان قدرة ١٥,٤٨ مليون نسمة طبقا للطاقة الاستيعابية لكوردونات المدن، وهو اتجاه يساعد على تضخم المدن وازدياد مساحة الحيز العمراني لتتجهض على حساب الاراضى الزراعية المحيطة داخل كوردونات المدن، وما ينتج عنه من خسارة

الاسلوب المقترح لتطوير المدينة المصرية :

من المهم الاسراع فى اعداد المخططات العامة للمدن المصرية من خلال نظرة شاملة لاقاليهما وفى اطار السياسة القومية، بهدف تنظيم وتنسيق العلاقة بين استعمالات الاراضى المختلفة وتعيين البيئة المحلية وتحديد امكانيات التوسعات العمرانية داخل حدود المساحة العمرانية القائمة لتوفير مسطح الاراضى الذى يتناسب مع التوسع العمرانى المخطط، بما يحقق زيادة استيعابها ويساعد على امتصاص نسبة من الزيادة المكانية دون المساس بالاراضى الزراعية .

ويتم فى اطار المخطط العام للمدينة الاتى :

- ازالة المناطق القديمة المتخلفة والمتدهالكة حيث الغالبية العظمى من مبانيها قديمة وايلة للسقوط او غير صحية او غير صالحة للسكنى وببعضها فقيرة ومتخلفة واعادة تخطيطها وتجديدها فى اطار التخطيط العام للمدينة، ويلزم هذا وضع السياسات والبرامج التخطيطية التى تشمل التثريعات النظمية للعمران، والدراسة التفصيلية للمناطق المتخلفة، وبرامج اعادة توطين سكان هذه المناطق الى مناطق اخرى ببناء على المخطط العام للمدينة وفى اطار الخطة الاقليمية، الى جانب توفير برنامج مالى شامل وتشكيل وتنظيم الجهاز الادارى المسئول عن التنفيذ، وبالإضافة الى برامج المشاركة الشعبية ومساهمة المواطنين.

- تحسين ورفع المستوى العمرانى للمناطق ذات التخلف البسيط والتى لم تصل بعد الى الدرجة التى يسمح فيها بالازالة الكاملة والتى يتركز معظمها فى المناطق العشوائية، حيث تكون الزالة لبعض المباني دون المستوى واصلاح وترميم المباني، وتوفير شبكات المرافق العامة وتعديل

على المستوى القومى نتيجة فقدان هذه الاراضى، علما بان قانون التخطيط العمرانى قد منع من انشاء اية مباني او منشآت على اراضى زراعية او اتخاذ اية اجراءات فى شأن تقسيم الاراضى باستثناء الاراضى الواقعة داخل كورددونات المدن والمعتمدة فى الامر الذى ساعد على زيادة مساحة عمران المدن باسلوب عشوائى على الاراضى الزراعية كما زاد من تداخل الاستخدامات الريفية فى المناطق الحضرية، وما يصحبه من تكديس سكاني يتطلب الامداد بمرافق وخدمات اجتماعية .

الاستراتيجية المقترحة لتطوير المدن المصرية :

يستفح مما سبق ان هناك كثير من المشاكل فى ظل تزايد الضغط السكانى على المدن، الامر الذى يتطلب اعادة التوزيع السكانى بما يحقق نمط التوطن السكانى الذى يخدم التنمية بناء على مخطط عام لكل مدينة بما يتوافق مع السياسة القومية وفى اطار التخطيط الاقليمى الذى تقع فيه المدينة، بما يخلف من مشكلة الضغط السكانى والطلب المتزايد على الاراضى الزراعية ولا سيما فى الفترة القادمة .

وتتمثل ملامح استراتيجية التنمية المقترحة فى النقاط التالية :

- تنمية وتطوير الهياكل العمرانية الحالية للتجمعات العمرانية، بما يحقق افضل استخدام عمرانى، بهدف زيادة سعتها المحتملة واستيعابها لنسبة من نموها العمرانى دون اللجوء الى زيادة حيز العمران على حساب الاراضى الزراعية .

- توجيه الزيادات المكانية عن القدرة الاستيعابية للهياكل العمرانية الى مناطق التنمية الجديدة خارج الوادى، على ان يتم ذلك من خلال السياسة الاقليمية فى اطار السياسة العامة للخطة القومية .

البيئية من التلوث والسيطرة على مصادرها.

- تطور شبكة المرافق المتاحة ورفع كفاءة استخدامها وتحسين متوسط نصيب الفرد منها.

- تطوير شبكة الطرق العالية من حيث امتداداتها وعروضها ونسواحيها الانشائية من رصك وقدرة تحمل وسعة.

- تقوية القاعدة الاقتصادية والنشاطات وخلق فرص عمالة لكل انواع التنمية الصناعية مع توفير مساحات كافية في مساكن مناسبة لمتطلبات الصناعة وسكن العمال.

الخلاصة والتوصيات:

يتفخ من البحث مشاكل المدن والتي تنحصر في الامتداد العمراني المفرط على الاراضى الزراعية وسوء حالة المرافق والخدمات نتيجة تزايد الضغط السكاني وارتفاع الكثافات المكانية.

وقد أوضح البحث ان المناطق المتخلقة والاراضى الفضاء بالمدينى فى الدلتا والوادي تمثلى امكانيات التوسعات العمرانية داخل حدود الحيز العمرانى بالمدينى والتي تتيح الاراضى اللازمة للتوسع العمرانى فى اطار خطة استعمالات الاراضى ببناء على المخطط العام للمدينة، وقدرت مساحتها حوالى ٣٧,٧ الف فدان ويقدر استيعابها بحوالى ٧,٥٣ مليون نسمة فى حين يقدر عدد سكانها الحالى بحوالى ٣,٦٨ مليون نسمة، بما يحقق امكانية استيعابها بحوالى ٣,٦٧ مليون نسمة بما يمثل ٣٣ ٪ من الزيادة السكانية المتوقعة بالمدينى القاسية بالدلتا والوادي، بالاضافة الى امكانية استيعاب الاحياء المتوسطة فى هذه المدن لحوالى ١,١ مليون نسمة زيادة عن سعتها الحالية.

وعليه اصبح من الضرورى اعادة وتخطيط وتنمية المدن المصرية فى اطار التخطيط الاقليمى الذى تقع

الكثافات من خلال تخطيط المساحات المتخلقة والتي تضم المباني المخلقة وتغيير استعمال الارض بما يحقق افضل استخدام عمرانى وتحسين معدلات الاستفادة من مشروعات الخدمات العامة وحماية البيئة بما يحقق توازن طبيعيا فى نمو مختلف عناصر الاستخدام، وذلك من خلال تطبيق قوانين المباني والسكان ولوائح تخطيط المناطق واشتراطات تقسيم الاراضى الفضاء وغيرها من التشريعات الاخرى، وتقديم المساعدات المالية والفنية الى ملاك المساكن لاصلاح وترميم مساكنهم، وانشاء جمعيات من الاهالى لاصلاح وتحسين المساكن وتعليم وتشجيع المواطنين على تحسين مساكنهم ورفع مستوى معيشتهم.

- حماية الاراضى التى حالة مبانيتها وبيئتها العامة سليمة من تدهور مستواها او ان يتسرب اليها التلوث، وذلك من خلال الجديدة فى تنفيذ الاشتراطات التخطيطية وتطبيق التشريعات العمرانية التى تحمى هذه المناطق مثل تطبيق قوانين المباني والسكان وتقسيم الاراضى واشغال المساكن.

- تخطيط المناطق الفضاء لافراض التنمية العمرانية والاجتماعية والاقتصادية فى اطار خطة استعمالات اراضى المدينة والذى يحدد مسبقا نوع استعمال الارض.

- تغيير وتعديل الكثافات السكانية بما يحقق توازنها بين مناطق المدينة من خلال تخطيط الاراضى الفضاء والمناطق المتهاكلة وتنظيم استخدامات الارض، وترشيد الكثافة البنائية، وزيادة كثافة المناطق التى تتميز بانخفاض الكثافة باستخدام افضل لارض عن طريق التنمية الراسية.

- التركيز على الخدمات الاساسية وتدعيمها وتطويرها لمقابلة الزيادة السكانية، وتحسين معدلات الاستفادة من الخدمات العامة ورفع كفاءتها وحماية

عمليات التنمية الاقتصادية والاجتماعية والعمرائية، وتتركز في مناطق شمال الدلتا وشرق الدلتا والوادي ومنطقة قناة السويس وسيناء والبحر الاحمر والواحات والوادي الجديد مما سيساعد على امتصاص الزيادة السكانية المتوقعة.

فيها المدينة وبما يتوافق مع الخطة القومية، مع مراعاة النقاط التالية:

- اجراء الدراسات الميدانية اللازمة لتخطيط المدن القائمة من خلال وقفيتها وامكانياتها وموقعها واهميتها في الاطار العام للاقليم الذي تقع فيه، وتحضير مخططات عامة للمدن يتم في اطارها ازالة وتعمير المناطق المتخلفة وتحسين والارتقاء بالاحياء المتوسطة والحفاظ على المناطق المليمية في ظل السياسة الاقليمية وفي اطار السياسة العامة للخطة القومية.

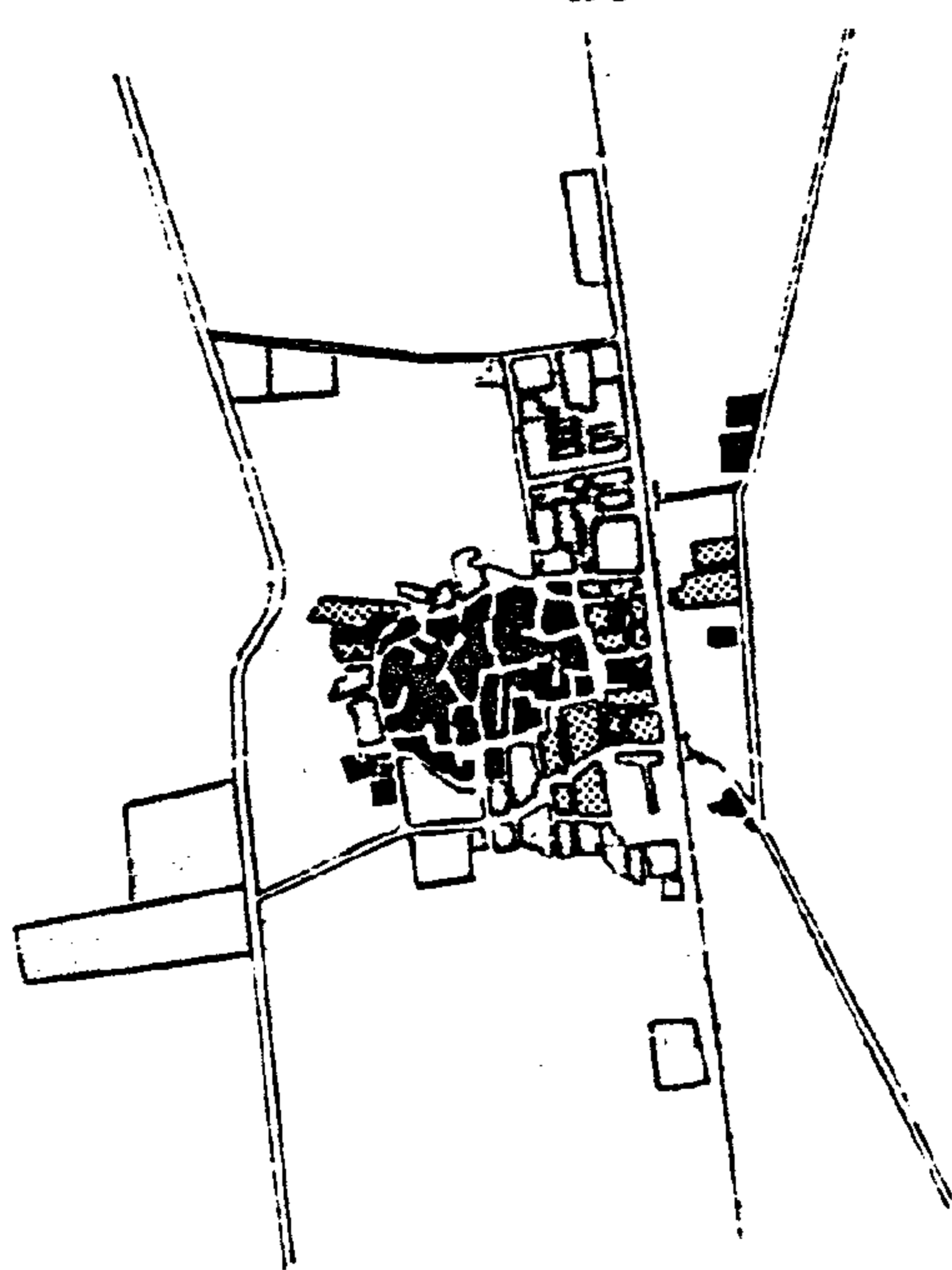
- منح السلطات المحلية اللازمة لحل مشاكل الارض وتنظيم استعمالاتها، وتدعيم السلطات بالمخصصات المالية والكوادر الفنية اللازمة لادارة التنمية العمرانية على مستوى الوحدات المحلية والمشاركة في تخطيط وتنفيذ المخططات العمرانية لمجتمعاتهم.

- تنفيذ التشريعات لحماية الاراضي الزراعية اللازمة للتوسع العمراني المخطط في اطار خطة استعمالات الاراضي ومتابعة الالتزام بالتشريعات المنظمة لل عمران وتحديثها حتى يمكن تطبيقها لتصبح النمو الغير مخطط للمدن القائمة.

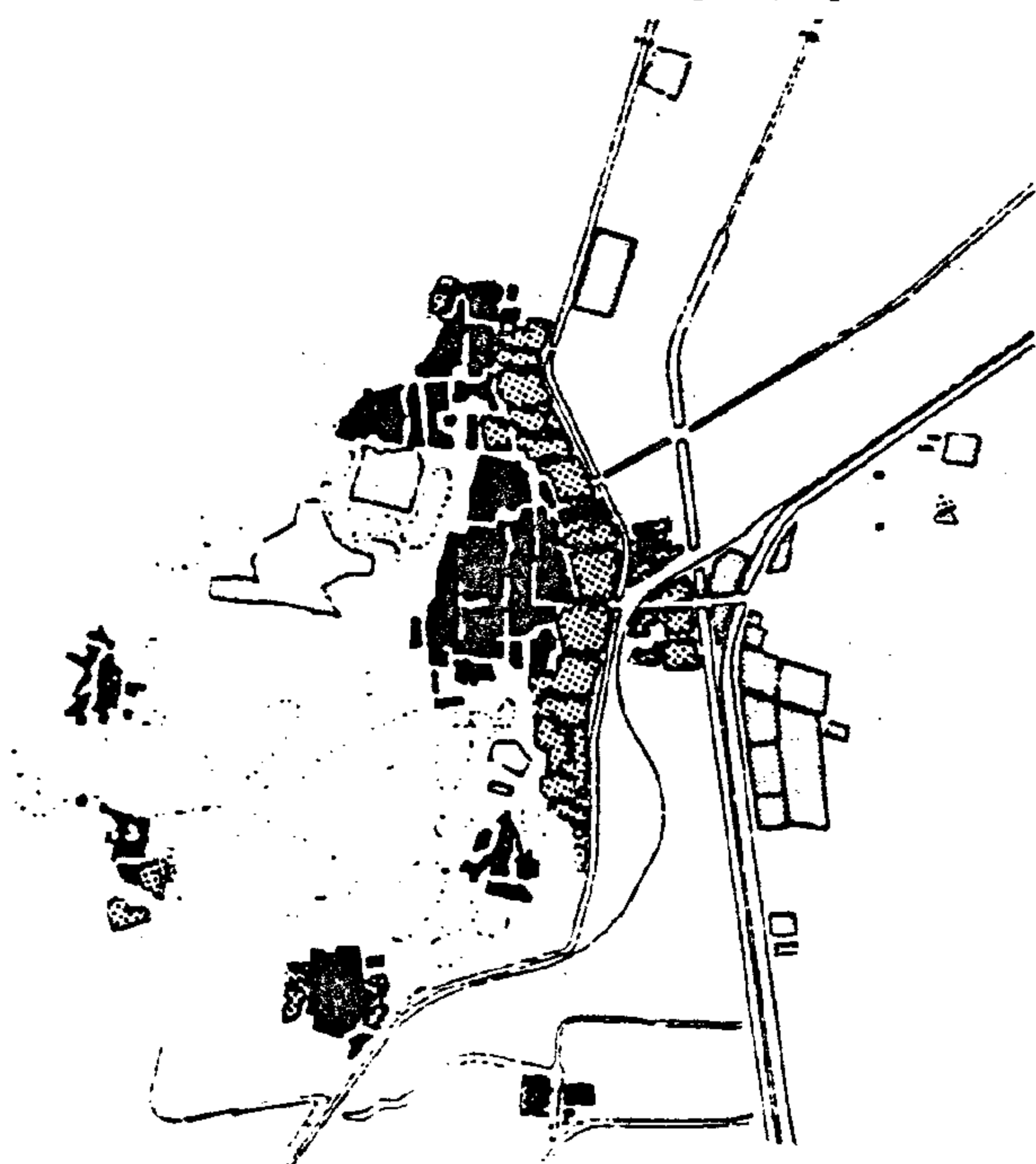
- التركيز على تنمية المدن الهامشية التي تقع في نطاق صحراوي او قريية منه، بما يتيح الامتداد للتوسع العمراني المخطط من خلال تخطيط المدينة واقليمها، مما يساعد على جزء من فائض السكان والانشطة خارج الدلتا والوادي ويخفف من العبء السكاني على تجمعاتها، وخاصة في محافظات الشرقية والبحيرة ومدن محافظات الوجه القبلي في بنى سويف والمنيا واسيوط وسوهاج وقنا واسوان.

- الاهتمام بتنمية المدن الصحراوية والماهلية والبالغ عددها ١١ مدينة وتوفر فيها المقومات الاساسية لاحداث

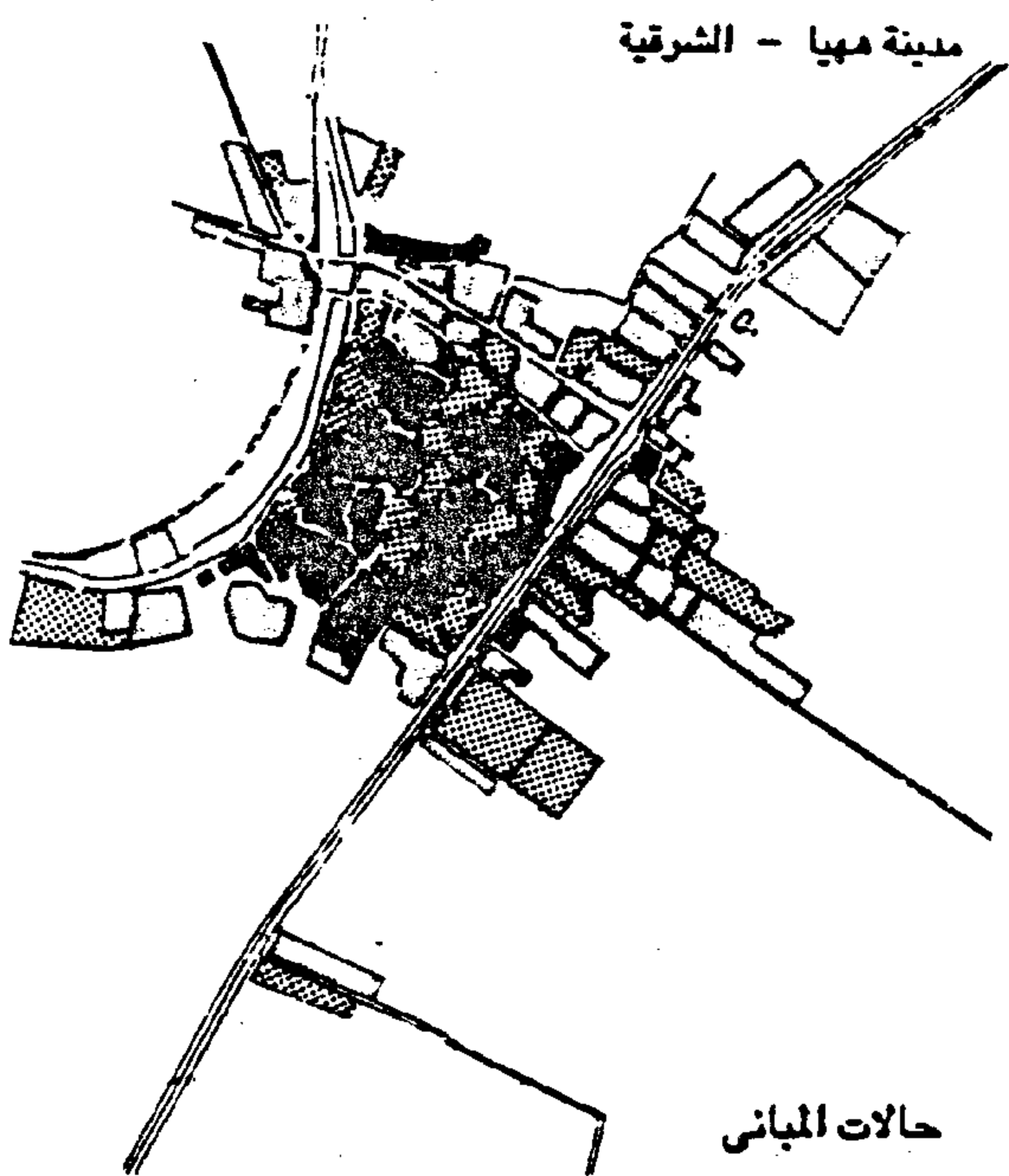
مدينة قها - القليوبية



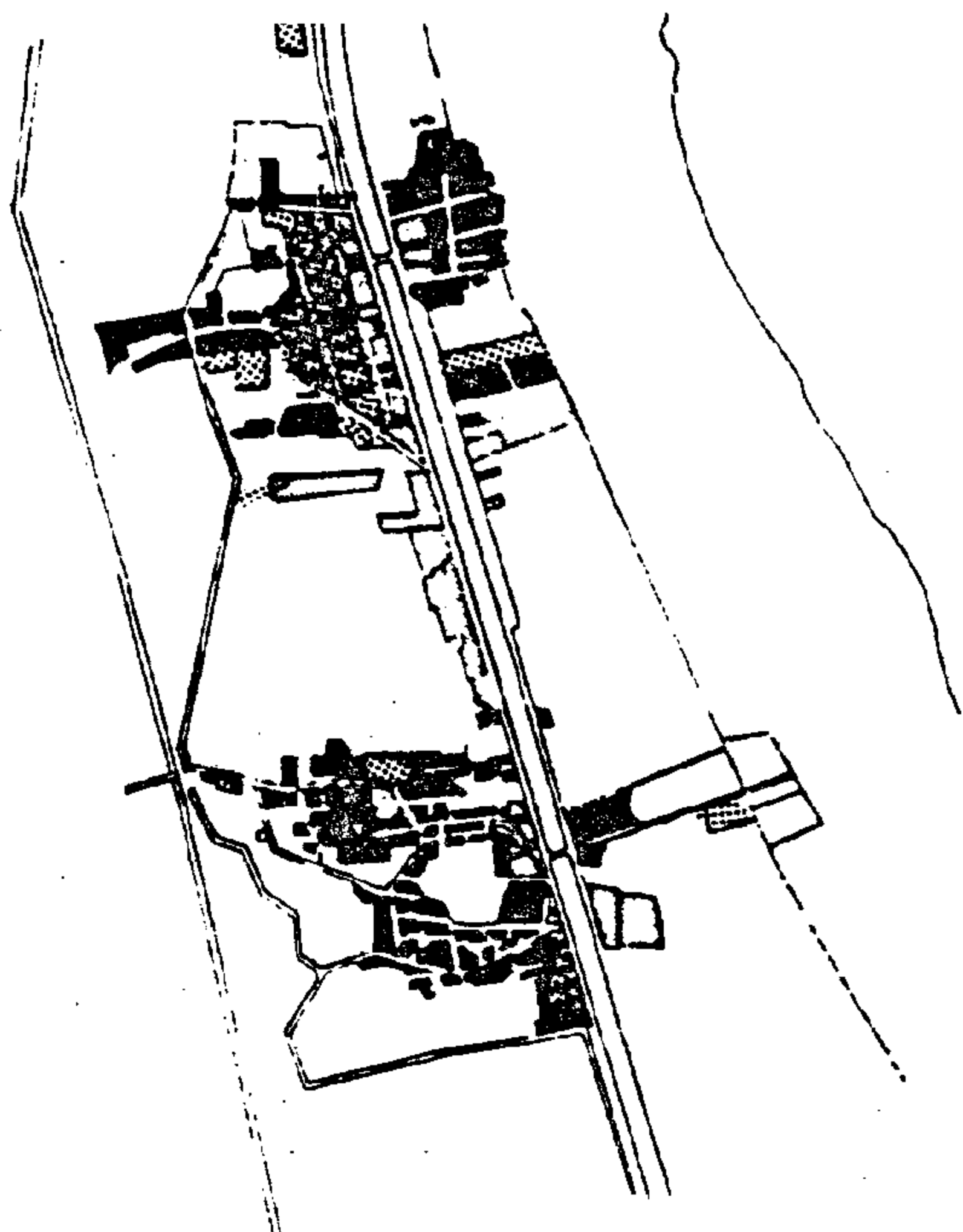
مدينة أهناسيا - بنى سويف



مدينة مهيأ - الشرقية



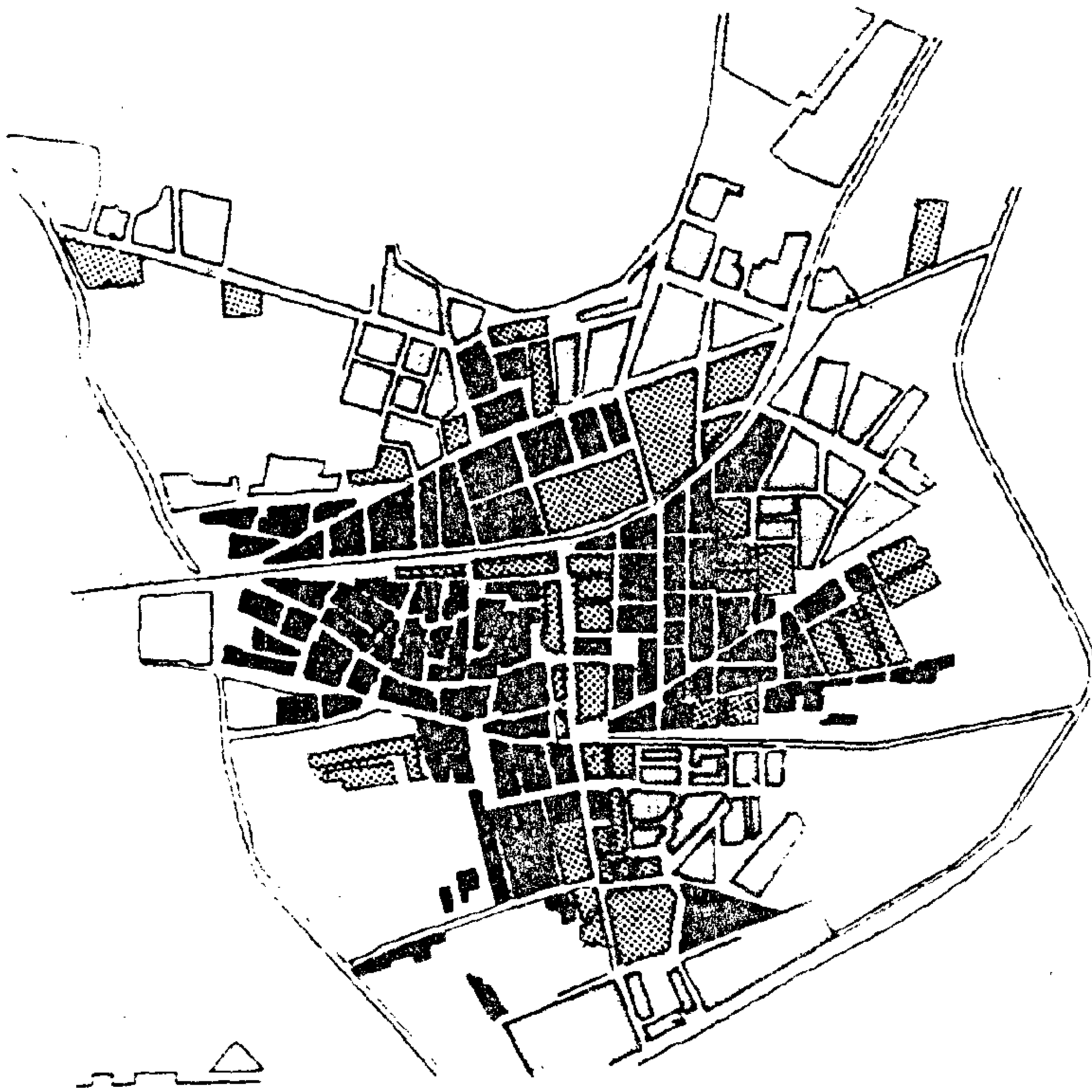
مدينة معالوط - المنيا



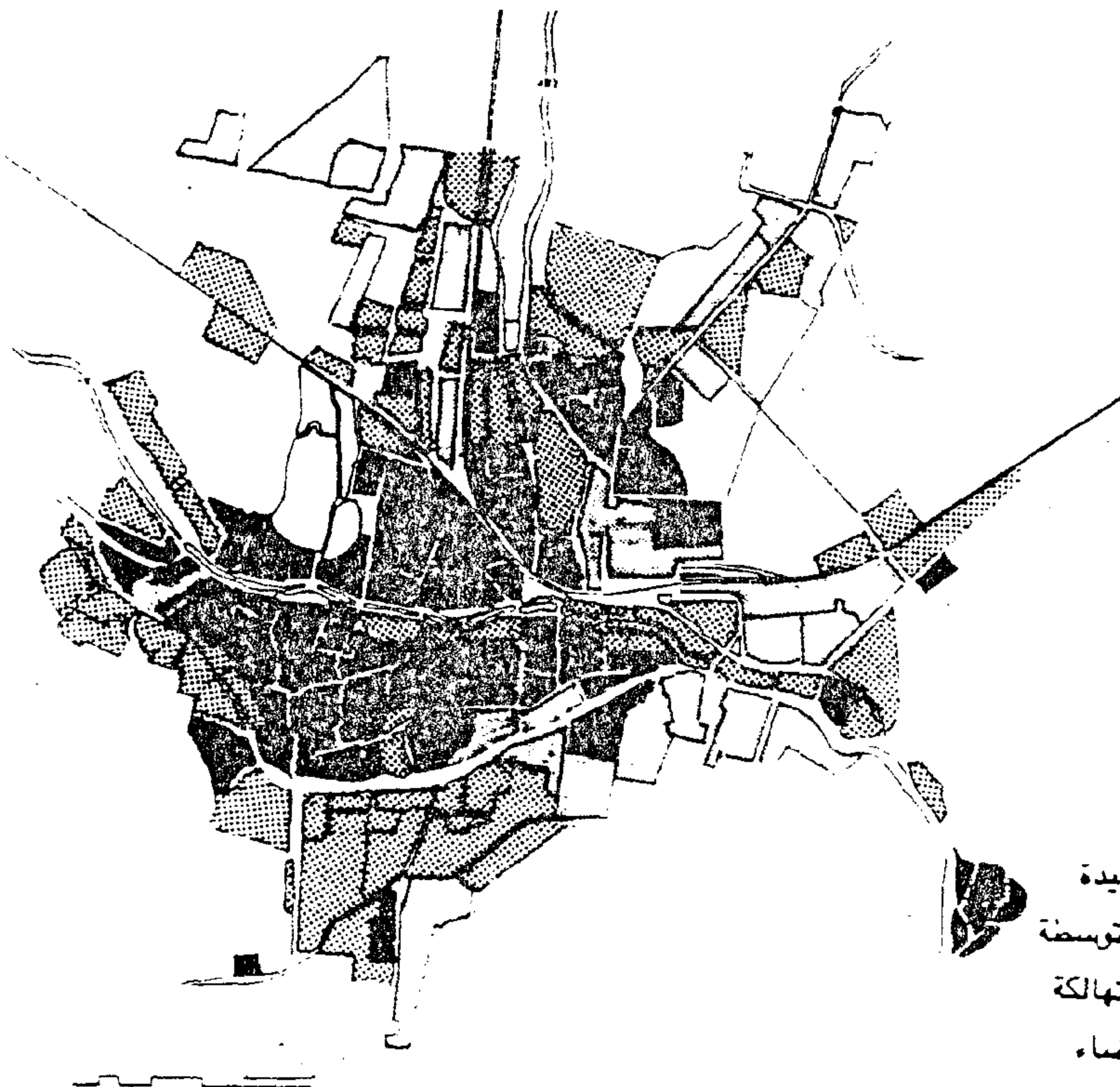
حالات المباني

- مناطق جيدة
- مناطق متوسطة
- مناطق متهاكة
- أرض فضاء

مدينة بنى سويف



مدينة الفيوم



حالات المباني

- مناطق جيدة
- مناطق متوسطة
- مناطق متهاكة
- أرض فضاء

حالات المباني والأراضي الغطاء بالغيز المراني والمناطق التهاكة والغطاء بالبن المصرية (١)

تة البحر	المدينة	الغيز المراني										مساحة الكورين (دنان)	عدد السكان الحالي (النسبة)	الكثافة العامة بالغيز المراني لور/دنان	مسطح المناطق التهاكة بالأرض الغطاء (دنان)	الماتة الاستيعابية للمناطق التهاكة والغطاء (النسبة)	عدد السكان الحالي للمناطق التهاكة (النسبة)	مدى الزيادة من النسبة الحالية (النسبة)							
		أرض لغطاء		مناطق التهاكة		المكتلة المبنية		مناطق جيدة		إجمالي المساحة															
		دنان	٪	دنان	٪	دنان	٪	دنان	٪	دنان	٪														
٢٠ من أقل	قها - القليوبية	١٢٤	٪	٤١	٪	١٦٦	٪	٦٥	٪	٢٥٥	٪	١٠٠	١٨٥	٧٢٥	٩٠	١٨	١٧٢	١٢٣							
	قطور - الغربية	٢٦	٪	٤٠	٪	٣٣٣	٪	٤٧	٪	١٢٠	٪	١٠٠	٣٨٣	١٣٧	٥٤	١٠٠	١٧٥	١٥٣							
	اجا - الدقهلية	٢٣	٪	٩٦	٪	٢٩١	٪	٢٠٠	٪	٢٤٣	٪	١٠٠	٨٣٨	٤٠٦	٢١٠	٤٢	١٧٢	١٥١							
	الحسينة - الشرقية	٥٤	٪	١٥٨	٪	٢١	٪	١٦٠	٪	٢٤٢	٪	١٠٠	٧٩٦	٥٢	١٨٢	٢٦٤	١٩٢	١٦٨							
	كفر صقر - الشرقية	٧٥	٪	٩٩	٪	٢٥	٪	٧٥	٪	٢٨٣	٪	١٠٠	٥٦٢	٦٨٢	١٠٩	٢١٨	١٧٢	١٦٧							
	مطويس - كفر الشيخ	٢٩	٪	٢٢	٪	٢٠٨	٪	٢٤	٪	١٠٤	٪	١٠٠	٢٥٠	١٨٧	٤٢	٨٦	١٩٥	١٩١							
	كفر سعد - دسوط	٧٥	٪	٢٨	٪	٢٧٣	٪	١٨	٪	١٢٩	٪	١٠٠	٦٦٧	١٢٤	٢٦	٥٢	١٩٨	١٩١							
	ساقطة - سوهاج	١٨	٪	١٨٩	٪	١٧٩	٪	٥٥	٪	٩٥	٪	١٠٠	٤٨٩	١٤٦	٦٠	١٢	٢٠٢	٢							
	أبو طشت - قنا	١٨	٪	٢٦	٪	٢١١	٪	٥٩	٪	١٢٢	٪	١٠٠	١٨١	٦٧	٧٩	١٥٨	٢٠١	١١٩							
	المتوسط العام	٥٠٢	٪	٢٥٤	٪	٢٧٦	٪	٧٨١	٪	٢٠٠	٪	١٠٠	٨١٠	٩٩٦	٩٤	١٩	١٧٢	١٢٣							
	الشهداء - المنوفية	٤١	٪	٢٢	٪	١٧٨	٪	٨٩	٪	١٨٠	٪	١٠٠	٩٢٦	٣٤٧	١٠٧	٢١٤	١٧٢	١٢٣							
	تلا - المنوفية	٧١	٪	٧٢	٪	٣٣٤	٪	١٤٣	٪	٢٠٨	٪	١٠٠	١٥٠٧	١٢٥	١٦٥	٢٣	١٧٢	١٥١							
٢٠ ٥٠ ألف	قويسنا - المنوفية	٦٥	٪	٤٣	٪	١٥٤	٪	١٦٢	٪	٢٨٠	٪	١٠٠	١٥٤٤	١٠٨٩	١٧٢	٢٤٤	١٧٢	١٦٨							
	سرس الببان - المنوفية	٦٠	٪	٥١	٪	٢٠٢	٪	١٢٨	٪	٢٥٢	٪	١٠٠	١٠٢٢	١٤٢	١٤٢	٢٨٤	١٩٨	٨٦							
	السنطة - الغربية	٢٠	٪	٤١	٪	٢٩٢	٪	٥٠	٪	١٤٠	٪	١٠٠	٦٠٠	١٥٢	٧٩	١٥٨	١٧٢	٨٦							
	بسين - الغربية	٥١	٪	٥٧	٪	٢٥٢	٪	١٠١	٪	٢٢٦	٪	١٠٠	٤٥٠	١٧٥	١١٨	٢٢٦	١٧٢	١٠٩							
	سنود - الغربية	٧٠	٪	٨٤	٪	٢١٨	٪	٧٠	٪	٢٦٤	٪	١٠٠	١٩٢٨	١٥٨	١١٠	٢٢	١١١	١٠٩							
	أبو حماد - الشرقية	٦٢	٪	٤٢	٪	١٦٢	٪	١٠٤	٪	٢٦٠	٪	١٠٠	٦٨٩	٩٢١	١٥٦	٢١٢	٩٧	٢١٥							
	ليوب نجم - الشرقية	٥٤	٪	٧٩	٪	٢٥٥	٪	١٢٦	٪	٢٠٩	٪	١٠٠	٢٢٤٠	١٠٤	١٧٦	٢٥٢	١٢١	٢٢١							
	فاقوس - الشرقية	١٢٠	٪	١٧٦	٪	٢٥٩	٪	١٩٦	٪	٢٧٩	٪	١٠٠	٩٨٨	٧١٦	٢٧٢	٧٤٦	١٤	٦٠٦							
	منيا القمح - الشرقية	١٢٩	٪	٩٦	٪	١٦٦	٪	٣٣٨	٪	٥٧٧	٪	١٠٠	٨٢١	٧٩٥	٢٥٢	٧٠٤	٢٦٩	٤٢٥							
	مهيما - الشرقية	١٢٠	٪	٢١	٪	٨٦	٪	٨٩	٪	٢٥٢	٪	١٠٠	٨٥٧	١١٥	١٠٢	٢٠٤	١٠٢	١٠٩							
	الإبراهيمية - الشرقية	٢٠	٪	٢٤	٪	٢١٢	٪	٦٦	٪	١١٢	٪	١٠٠	٦١٥	٢١٦	٦٩	١٢٨	١٤٢	١٠٩							
	بيلا - كفر الشيخ	١٢٩	٪	١٨٢	٪	٣٢٣	٪	٢٢٥	٪	٥٦٢	٪	١٠٠	٩٥٢	٨٥	٢٤٢	٤٨٤	١٩١	٢٩٢							
	قطين - كفر الشيخ	١٠٢	٪	٢٣	٪	١١٢	٪	١٤٢	٪	٢١٥	٪	١٠٠	١٣٦٠	٨٢٤	١٥٩	٢١٨	١٩٧	٢٠٩							

تم اختيار المدن من مجموع البحث حسب فئات الحجم المرفقة وأعداد الجداول بمعرفة الباحث

[illegible]

تم اختيار المدن موزع البحث حسب ثلث الحجم الرضعة واعداد الجداول بمرولة الباحث

حالات المباني والأراضي الغضاء بالغين المراني والمناطق الاستيعابية للمناطق الغضاء بالمدينه المصريه (ج)

رقم التجميع	المدينة	الحيز العمراني												مساحة الكودين (دونان)	عدد السكان الحالي (النسبة)	الكثافة العامة بالمخيم الممراني لورد/دونان	مسطح المناطق المتهاكة والأرض الغطاء (دونان)	المناطق الاستيعابية للمناطق المتهاكة والغطاء (النسبة)	عدد السكان الحالي للمناطق المتهاكة (النسبة)	مقابل الزيادة من المساحة الحالية (النسبة)
		أرض لغطاء			مناطق متهاكة			مناطق متوسطة			مناطق جيدة									
		إجمالي المساحة		نسبة	نسبة		نسبة	نسبة		نسبة	نسبة		نسبة							
		%	دونان		%	دونان		%	دونان		%	دونان								
١٠٠٠	ناهر - بني سويلف	١٠٠	٧٨٥	١٦	٤٦	٤٢٠	١٢٠	١٦٦	٤٨	٢٥	٧١	١٢٢	١٢٢	٩٢٣	٥٤٠	١٩١	١٦٦	٢٣٢	٢٢٠	١٠٠
٥٠٠	سمالوط - الدنيا	١٠٠	٦٢٢	١٩	١١٨	٥٣٥	٢٣٣	١٩٥	١٢١	٨	٥٠	١٢٢	١٢٢	٩٨١	٦٢٤	١٠٠	٤٥١	٩٠٢	٢٣٤	١٠٠
١٢٢	مناقة - الدنيا	١٠٠	٣٣١	٢٠	٦٦	٢٤٢	٨٠	١٩	٦٣	٣٦	١٢٢	١٢٢	١٢٢	٦٦٩	٥٠٨	١٥٣	١٤٦	٢٩٢	١٢٢	١٠٠
١٣٩	اخميم - سوماج	١٠٠	٥٢٣	١٧	٨٩	٤١	٢٥٦	٧٤	٢٩	٢٦	١٣٩	١٣٩	١٣٩	٧٢٣	٧٠٦	١٣٥	٣٤٥	٢٤٠	٢٤٠	١٠٠
١٢٢	جرجا - سوماج	١٠٠	٥٩٥	٢٤	١٤٣	٢٧٧	٢٢٤	١٦١	٩٦	٢٢	١٢٢	١٢٢	١٢٢	٩٢٥	٧٠٩	١١٩	٣٦٧	٧٢٣	٢٢٠	١٠٠
٩٨	الترسطة العام	١٠٠	٤٥٥	١٥٥	٧١	٤٠	١٨٢	٢٢٧	١٠٢	٢١	٩٨	٩٨	٩٨	١٣٠	٦٦٨	١٥٥	٢٥٤	٢٧١	٢٢٠	١٠٠
٢٠٢	شبين الكوم - المنوفية	١٠٠	٩٦٧	٥	٤٧	٤٥٧	٤٤٢	٢٨٥	٧٧٦	٢٠٨	٢٠٢	٢٠٢	٢٠٢	١٥٧٠	١٣٢	١٢٩	٤٨٩	٥٧١	٤٠٠	١٠٠
٢٤١	كفر الشيخ - كفر الشيخ	١٠٠	٧١٨	٤	٢٩	١٩٢	١٢٨	٤٢٢	٣١٠	٢٢	٢٤١	٢٤١	٢٤١	٢٠١٣	١٠٢	١٤٣	١٦٧	٢٣٤	١٢٠	١٠٠
٢٢٥	كفر الدوار - البحيرة	١٠٠	١٧٠	١١	٢٠	٥٧٢	٩٧٣	١٧٦	٣٠٠	١٢	٢٢٥	٢٢٥	٢٢٥	٨٥٤	١٩٥	١١٤	١١٧٥	٢٣٥	١١١	١٠٠
٤٤٣	منهور - البحيرة	١٠٠	١٢٠	٨	٩٦	٢٣١	٢٧٨	٣٢٢	٣٨٨	٣٦	٤٤٣	٤٤٣	٤٤٣	١٤٢٠	١٩٠	١٥٨	٣٧٤	٧٤٠	٤٤	١٠٠
٢٨٠	بني سويلف - بني سويلف	١٠٠	١٢٥	٢٠	٢٥٠	٢٣٦	٤٢٠	٢٤	٣٠٠	٢٢	٢٨٠	٢٨٠	٢٨٠	٢٣٨١	١٥١	١٢١	٦٧٠	١٢٤	٥١	١٠٠
٢١٠	الدنيا - الدنيا	١٠٠	٩٨٩	١٢	١٢٩	٢٦٨	٣٦٤	٢٩	٢٨٦	٢١	٢١٠	٢١٠	٢١٠	١٩٦٩	١٧٩	١٨١	٤٩٣	٩٨٦	٦٥	١٠٠
٤٩٦	سوماج - سوماج	١٠٠	١٤٠	١٢	١٩٥	٢٩٢	٤١١	٢١٥	٣٠٣	٢٥	٤٩٦	٤٩٦	٤٩٦	٩٢٨	١٢٢	٩٤	٦٠	١٢١	٢٨	١٠٠
٢٣٠	قنا - قنا	١٠٠	٦٩٣	١١	٨١	٢١٧	٢٢٠	٢٢٤	١٦٢	٢٣	٢٣٠	٢٣٠	٢٣٠	٦٦٢٢	١١٩	١٧٢	٢٠١	٦٠	٢٨	١٠٠
٢٩٠	الترسطة العام	١٠٠	١١١٦	١١	١٢٨	٢٦٤	٤٠٥	٢٦	٢١٠	٢١	٢٩٠	٢٩٠	٢٩٠	٦٦٨٠	١٥٠	١٢٩	٥٢٤	١٠٦	٥٢	١٠٠
٤٥٦	المحلة الكبرى - الغربية	١٠٠	١٩٢٠	٥	٩٦	٤٢٨	٨٢١	٢٨٥	٥٤٧	٢٢	٤٥٦	٤٥٦	٤٥٦	٤٥٨١	٣٥٨	١٨٦	٩١٧	١٨٣	١٥٢	١٠٠
٢٠٠	المنصورة - الدقهلية	١٠٠	١٢٢٠	٢	٤٤	٢٢٧	٢٧٧	٤٢٢	٥١٦	٢١	٢٨٢	٢٨٢	٢٨٢	٥٩٠٥	٢١٦	٢٦٠	٢٢١	٦٤	٧٢	١٠٠
٢٣٩	الزقازيق - الشرقية	١٠٠	١٦٠٠	٧	١٢٣	٢٧٩	٦٠٦	٢٣٢	٥٣٢	٢١	٢٣٩	٢٣٩	٢٣٩	١٨٧٨	٢٤٥	١٥٣	٧٢٩	١٤٥	٩٢	١٠٠
٢٧٥	الفيوم - الفيوم	١٠٠	١٤١٦	٣٨	٤٠	٢٩٤	٤١٦	١٥٧	٢٢٢	٢٦	٢٧٥	٢٧٥	٢٧٥	٢٠٤٥	٢١٢	١٥٠	٨١٨	١٦٢	١٠١	١٠٠
٦٥٠	اسيوط - اسيوط	١٠٠	٢٢٩٢	١٣	٢٩٨	٢٧٩	٨٦٩	٢٠	٤٧٥	٢٨	٦٥٠	٦٥٠	٦٥٠	٢٢٨١	٢٧٢	١١٩	١١٦٧	٢٢٣	١٠٢	١٠٠
٤٤٠	الترسطة العام	١٠٠	١٦٩٠	١١	١٩٢	٢٥٤	٩٧٨	٢٧	٤٥٨	٢٦	٤٤٠	٤٤٠	٤٤٠	٢٥٢٨	٢٨١	١٧٢	٧٩٠	١٥٨	٦١	١٠٠

تم اختيار المدن موضوع البحث حسب طاقات الحجم الموضحة وأعداد الجداول بمعرفة الباحث

المراجع

- الجهاز المركزي للتعبئة العامة والاحصاء
النتائج الاولى لتعداد ١٩٨٦ - المدن
القاهرة ١٩٨٨
- الجهاز المركزي للتعبئة العامة والاحصاء
التعداد العام للسكان والاسكان والمنشآت
١٩٨٦ النتائج الاولى - القاهرة ٧ ١٩٨
- معهد التخطيط الاقليمي العمراني -
جامعة القاهرة - كاديبة البحث العلمي
والتكنولوجيا - الملامح لعريضة للمدن
المصرية عام ٢٠٠٠ - ٨٥ - ١٩٨٧
- وزارة اسكان والتعمير - دراسة
السياسة القومية للتنمية الحضرية - القاهرة
١٩٨٢
- أ.د. أحمد خالد علام - تخطيط المدن -
القاهرة ١٩٨٢
- قسم التخطيط - كلية الهندسة جامعة الأزهر
دراسات وأبحاث عن المدن المصرية
- هيئة التخطيط العمراني - المخططات العامة
لمدن شبين الكوم - كفر الدوار - طنطا - الأقصر
- لجنة الدراسات السكانية والاجتماعية
والتخطيط العمراني - جمعية التخطيط - مجلة
جمعية المهندسين المصريين العدد الرابع ١٩٧٩
- عابد محمود جاد - الملامح العريضة للمدن
المصرية حتى عام ٢٠٠٠ واحتلالات توسعها على
الأراضي الصحراوية المجاورة . رسالة ماجستير
قسم التخطيط كلية الهندسة - جامعة الأزهر ١٩٩٠

حقيقة إنسحاب بعض شركات البترول الأجنبية العامة في مصر

ب.م.د. مصطفى شعراوي

رئيس هيئة البترول

أذاعت إحدى وكالات الأنباء العالمية في القاهرة خبراً فحواه أن بعض شركات البترول العالمية تصفى حساباتها في مصر . وأن هناك شركات أخرى سوف تحذو حذوها والخبر على هذه الصورة ، وإن كان غير صحيح ، إلا أن الخطورة تكمن في أن وكالات أنباء عالمية أخرى ، وبعض الصحافة البترولية وغير البترولية في العالم قد تناقلت الخبر وذكرته على أنه حقيقة واقعة . ولهذا فإنه من المناسب أن تناول هذا الخبر بالتحليل والتعليق . ويكفي أن نذكر في هذا المجال بعض الحقائق الآتية :

الشركة لا يتعدى ثلث الثلث ، أي التسع ، بما يمثل

كميات قليلة من إحتياطي الزيت الخام الموجود في مناطق شركة سوكو .

* الأمر لا يشكل أى خطورة ، ولا يعبر عن أكثر من أن الشركة البائعة تعيد حسابات مصالحها على مستوى أنحاء العالم . ونظراً لأن الشركة البائعة تمتلك مصالح

بترولية ضخمة في أنحاء متعددة من العالم فهي توازن

بين هذه المناطق ، وتعيد ترتيب أوضاعها بما يتمشى

مع إحتياجاتها البترولية في مختلف مناطق العالم ، ومع

* إن المسألة لا تعدو عملية إعادة ترتيب للبيت من الداخل ، وذلك يعد أمراً متكرراً وعادياً

بالنسبة لشركات البترول الدولية في كل مناطق العالم ، وليس في مصر فحسب ، وهو إجراء قديم قدم صناعة البترول العالمية نفسها .

* باعت شركة بريتش بتروليم البريطانية نصيبها

في شركة السويس للزيت (سوكو) وحصة هذه

مصلحتها وأنصبتها في أسواق البترول العالمية .
* في حين أن الشركة التي إشتريت نصيب بريتش بتروليم وهي ريبسول الأسبانية ، والتي سبق أن إشتريت حصة كونوكو الأمريكية في شركة خالدة للبترول في صحراء مصر الغربية ، أقدمت على عملية الشراء ، وذلك لحاجتها إلى تأمين إمدادات بترولية منتظمة في المستقبل . وهذه العملية أيضاً لا تعدو أن تكون عملية إعادة ترتيب مصلحتها وفقاً لإحتياجاتها البترولية.

* في الوقت الذي تباع فيه بعض الشركات الأجنبية نصيبها في مناطق معينة في مصر فأنها تحرص أشد الحرص على الإبقاء على أنصبتها في مناطق أخرى في مصر، وهذا يؤكد ان العملية هي عملية إعادة ترتيب للشركة على المستوى العالمى، بما في ذلك مصر .

* في الوقت الذي تقدم فيه شركة ما على بيع نصيبها في منطقة محددة في مصر ، نجد شركات عالمية متعددة أخرى تسعى للعمل في مصر .

والجدير بالذكر أنه في الوقت الحالى يجرى التفاوض فعلاً مع مجموعة من الشركات العالمية التى تسعى للعمل في مصر ، وقد تم حديثاً توقيع عدد من الاتفاقيات الجديدة مع شركات بترول عالمية أخرى .

التساؤل الآن . لماذا تقدم شركة كشركة ريبسول على شراء حصة بترولية في مصر والعمل فيها ما لم يكن العمل في مصر مطمئن للشركات العالمية .

* أن سياسة مصر البترولية مبنية على وجود بدائل وعلى مرونة كافية في التخطيط والتنفيذ ، وفى الوقت الذى نسعى فيه الى التعاون مع الشركات العالمية للاستفادة من امكانياتها الضخمة وخاصة بالنسبة للإستثمارات والتكنولوجيا والأجهزة والمعدات ، فإن مصر في ذات الوقت تعتمد إعتماًداً ذا درجة مناسبة على شركاتها الوطنية ، فمصر تمتلك عدداً من الشركات الوطنية التى يمكنها تأمين عمليات البحث والتنقيب عن البترول وتنميته في مصر . الشركة العامة للبترول في مجال الإنتاج ، وشركة الحفر المصرية ، والحفر الوطنية في مجال التنقيب، وشركة إنبي في مجال الشؤون الهندسية والتصاميم والتكنولوجيا والدراسات ، وشركة بتروجت في مجال الإنشاءات، وشركة القاهرة لتكرير البترول وغيرها في مجال التصنيع المحلى للأجهزة والمعدات، وفى مجال الصيانة والإصلاح.

ويمكن توفير الإستثمارات اللازمة لذلك عن طريق التمويل من البنوك المصرية الوطنية وشركات التأمين ، فضلاً على ما تدره صناعة البترول من دخل كبير يمكن أن يغطى نفقاتها وتوفر فائضاً لإستخدامه في مجالات أخرى .

Analysis of the results:

It is quite clear that the consideration of the cost of capacitor banks reduces the differences between the net savings obtained from the modified technique and the 2nd technique [2]; reaching a better net saving for the modified technique when the assumed life time of the capacitor banks reaches twenty years .

Conclusions:

Therefore, it seems quite logic from the engineering point of view to recommend this modified technique for the engineers designing and operating distribution feeders.

References :

- [1] Y.G.Bae" Analytical Method of Capacitor Allocation on distribution primary feeders" IEEE Trans .
on power Appar. and SYS. ,Vol. PAS-97 ,No. 4 July/August 1978 .
- [2] S.H.Lee et.al." Optimum Placement of fixed and switched capacitors on primary distribution feeders" IEEE Trans. on power Appar. and SYS.
Vol.PAS-100,No.1,January 1981.
- [3] J.J. Grainger et.al."Optimum Sizes and Locations of shunt Capacitors for Reduction of losses on distribution feeders" IEEE Trans .
on power Appar. and SYS.,
Vol.PAS-10,No.3 PP.1105-1118,
March 1981 .

	Bank No. and type	Distance from source (K.m.)	Bank sizes (Kvar)	Annual net savings (L.E.)
Optimum results due to placement of fixed and switched cap. banks . (second technique)	1 switched	16.27	319	4910
	2 fixed	6.32	615	
	3 fixed	4.02	990	
Results due to placement of fixed permanent capacitors for wide range of load variations (modified version of the first technique)	1	12.93	535	2912
	2	9.79	535	
	3	8.70	535	
Difference in the net savings				1998.-

table (5)

Effect on the net savings when considering capacitor banks cost in the modified version of the first technique assuming capacitor banks life time = 10 years.

	Bank No. and type	Distance from source (K.m.)	Bank sizes (Kvar)	Annual net savings (L.E.)
Optimum results due to placement of fixed and switched capacitors . (second technique)	1 switched	16.27	319	5316.8
	2 fixed	6.32	615	
	3 fixed	4.02	990	
Results due to placement of fixed permanent capacitors for wide range of load variations (modified version of the first technique).	1	12.93	708	5093.7
	2	9.79	708	
	3	8.70	708	
Difference in the net savings				223.1

table (6)

Effect on the net savings when considering capacitor banks cost in the modified version of the first technique assuming capacitor banks life time = 15 years .

operating primary Distribution feeders.

It is Worthy to mention that this recommendation also takes into consideration the following points of view :

a - The specified capacitor banks are permanent and do not change with the change of the daily load curve on the feeder .

b - In spite of the fact that at the specified banks are located at arbitrary points on the feeder, this condition can not be considered as a major drawback as the locations are permanent locations and will not change with load variations .

Consequently, it seems very beneficial to try to suggest any improvements in this technique .

A Modified Version of the technique given by Y.G. Bae

One of the main improvements can be suggested to technique given by Y.G.Bae[1], is the introduction of the effect of the cost of capacitor banks in the technique, this can be done as follows:

i) The locations of the required capacitor banks are defined according to the procedure given in the first technique .

ii) The amount of the required capacitor banks are defined by maximizing the annual net savings as follows :
Annual net savings = annual savings due to power loss reduction + annual savings due to energy loss reduction - annual cost of capacitor banks

i.e. $S = LP \cdot k_p + LE \cdot k_e - k_c$
 $Q_c \text{ total} \dots \dots \dots L \cdot E$

increment of $Q=3Kvar$ and the net savings are computed .

The process is to be terminated when the power energy savings are less than the cost of the incremental capacitor bank Q .

Applying this modified technique on the same feeder, the results shown in tables (5), (6), and (7) are obtained for different assumed life times of capacitor banks

Incremental capacitor Banks
Are Added To the Feeder at an

	Bank No. and type	Distance from source (K.m.)	Bank sizes (Kvar)	Annual net savings (L.E.)
Optimum results due to placement of fixed and switched capacitor banks. (second technique)	1 switched	16.27	319	5316.8
	2 fixed	6.32	615	
	3 fixed	4.02	990	
Results due to placement of fixed permenant capacitors for wide range of load variations . (first technique)	1	12.93	1196	3604
	2	9.79	1196	
	3	8.70	1196	
Difference in the net savings				1712.8

Table (3)

Comparison between the net savings obtained from the two techniques assuming capacitor banks life time = 15 years.

	Bank No. and type	Distance from source (k.m.)	Bank sizes (Kvar)	Annual net savings (L.E.)
Optimum results due to placement of fixed and switched capacitor banks (second technique)	1 switched	16.27	319	5497.6
	2 fixed	6.32	615	
	3 fixed	4.02	990	
Results due to placement of fixed permenant cap. for wide range of load variations. (first technique)	1	12.93	1196	5685.-
	2	9.79	1196	
	3	8.70	1196	
Difference in the net savings				-187.4

table (4)

Comparison between the net savings obtained from the two techniques assuming capacitor banks life time = 20 years.

Table (1) gives the corresponding results :

Sec. No. (k)	Sec.length (p.u.) (Lui)	Norm. sec. length for eq. u. f.	Distance from source (p.u.) (hi)	Norm. equiv. uniform reactive loads (p.u.)
1	0.1430	0.0073	0.0073	0.1099
2	0.2861	0.0146	0.0219	0.0812
3	0.8656	0.0442	0.0661	0.1065
4	0.8100	0.0413	0.1074	0.4369
5	2.3000	0.1174	0.2248	0.1433
6	1.0500	0.0536	0.2784	0.0262
7	2.3837	0.1216	0.4000	0.0143
8	5.5618	0.2838	0.6838	0.0339
9	6.1974	0.3162	1.0000	0.0478
	19.5976	1.0000		1.0000

table (1)

Applying the two techniques on the normalized feeder and assuming :

the cost of capacitor banks equals..... 35.0 L.E per Kvar,
Kp equals 120 L.E.per Kw. ,
Ke equals0.015 L.E.per Kwh.,
Lf equals0.45 and
T equals 8760 hours .

The results shown in tables (2) , (3) and (4) are obtained for different assumed life times of capacitor banks .

	Bank No. and type	Distance from source (K.m.)	Banks sizes (Kvar)	Annual net savings (L.E.)
Optimum results due to placement of fixed and switched capacitor banks . (second technique)	1 switched	16.27	319	4910.-
	2 fixed	6.32	615	
	3 fixed	4.02	990	
Results due to placement of fixed permanent capacitors for wide range of load variations (first technique	1	12.93	1196	-593.-
	2	9.79	1196	
	3	8.7	1196	
Difference in the net savings				5503.-

Table (2)

Comparison between the net savings obtained from the two techniques assuming capacitor banks life time = 10 years.

optimum Locations (subproblem c).

If the sizes of available fixed and /or switched capacitor Banks are known and if the switched durations t_s of switched capacitor prespecified, their optimum locations on the feeder, h_1, h_2, \dots, h_n , can be determined as follows provided the type of each capacitor is specified, i.e. the sequence is predetermined.

for all $i, i = 1, 2, \dots, n$, the optimum location of the i (th) capacitor bank, h_i (optimum) can be read off from the figure of the reactive feeder current function $F(X)$ such that h_i (optimum) satisfies the equation:

$$F(h_i) = \frac{1}{I_s(K_p + K_e t_s)} \left[K_p \left(\frac{I_{ci}}{2} + \sum_{k=1}^{i-1} I_{ck} \right) + K_e \left(T \left(\frac{I_{ci}}{2} + \sum_{\substack{k=1 \\ k \in M}}^{i-1} I_{ck} \right) + T_s \sum_{\substack{k=1 \\ k \in N}}^{i-1} I_{ck} \right) \right]$$

If $i \in M \dots \dots \dots (23)$

And,

$$F(h_i) = \frac{(K_p + K_e T_s)}{I_s(K_p + K_e T_s L_f)} \left(\frac{I_{ci}}{2} + \sum_{K=1}^{I-1} I_{ck} \right)$$

If $i \in N \dots \dots \dots (24)$

Worked Example :

Considering a Physical Existing 11 Kv. Feeder Of Nine Sections Each Of Length L_i in K.M.

The Feeder Parameters Are As Follows :

L_i .63, .88, 1.7, .81, 2.3, 1.05
1.5, 3.5, And 3.9 k.m.

The Connected Reactive Loads Located At The End Of Each Section Are Of the Following Values :

Q_i 460, 340, 446, 1840, 600, 110
.60, 130 And 200 Kvar.

The Resistances Of Connecting Cables For Each Section Are As The Resistances Of Connecting cables For Each Section Are As Follows :

R_i .1957, .2803, .439, .8622,
.8622, .8622, 1.37, 1.37
1.37 ohm/k.m.

The Total Length Of The Above Feeder Is 16.27 k.m To Apply The Techniques Given Before, The Physical Feeder Has To Be Transformed To An Equivalent Uniformly Loaded Feeder Of One Per unit Length .

Analysis of the Results:

i - As The assumed Life Time Of The Capacitor banks Increases, The Difference Between The net Savings Obtained From The Two Techniques Decreases; reaching A better Net Savings for The Technique given by Y.G.Bae[1] when The assumed Life Time Of the Capacitor Banks reaches twenty years.

ii-Referring to table(3), corresponding to the case of Capacitor banks life time =15years which is a practical logic assumption The difference in the net savings amounts to L.E. 1712.8 per year which does not compensate from the author's point of view the cost of the control system required for the second technique. Especially when taking into consideration that the life time of such a control system will be relatively short and it will require continuous exhausting maintenance.

Therefore, It seems quite logic from the engineering point of view to recommend the first technique for the engineers designing and

$$I_s(T_s) = \frac{\sum_{i \in N} \left[h_i I_{ci} \left(\frac{I_{ci}}{2} + \sum_{k=1}^{i-1} I_{ck} \right) \right] + \sum_{j \in M} h_j I_{cj} \left(\sum_{k=1}^{j-1} I_{ck} \right)}{\sum_{i \in N} I_{ci} \int_0^{h_i} F(x) dx} \quad (22)$$

And T_s is determined to satisfy it.

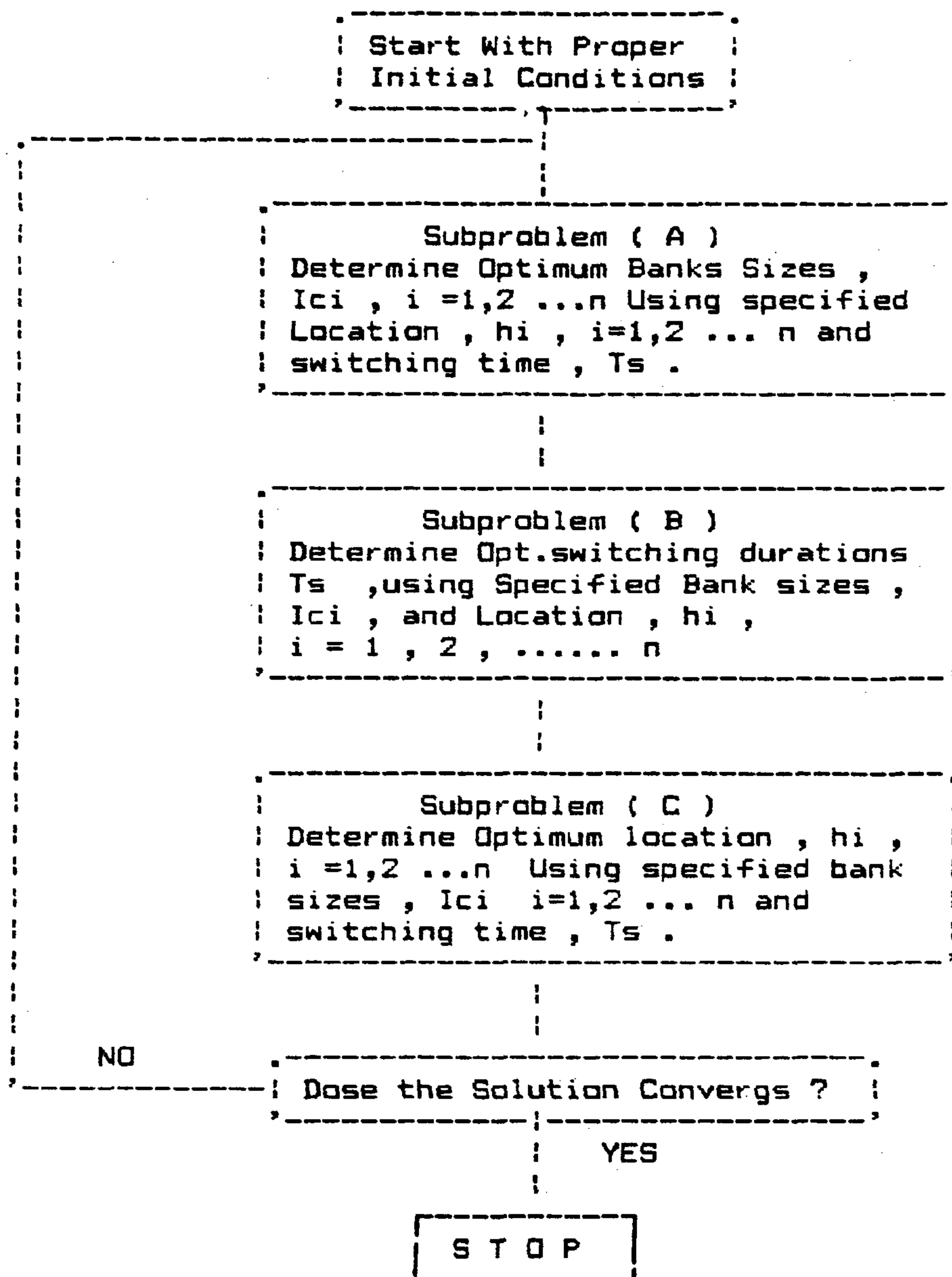


Figure (2)

Kcf : a constant to convert fixed capacitors rating to money .
 Kcs : a constant to convert switched capacitors banks ratings to money.

The solution approach to the optimization problem was chosen to provide clarity of overall statement and to offer flexibility in choosing the design problem of interest .

Accordingly , figure (2) shows a simple computer - based iterative procedure which is structured around three subproblems :

Optimum bank sizes (subproblem A) :

If The Locations of the fixed and switched banks are known and if the switching time of the switched banks is predetermined for optimality of capacitor size, it is required that for all i .

$$\frac{ds}{dIci} = kp \frac{dLp}{dIci} + ke \frac{dLE}{dIci} - kci = 0$$

Where,

$$Kci = Kcf \text{ (if } i \in M \text{)}$$

$$= kcs \text{ (if } i \in N \text{)}$$

We get the following set of linear algebraic equations written in a matrix form.

$$[H] [Ic] = [D] \text{(16)}$$

Where Ic =[Ic1,Ic2,.....Icn]

It is the n- dimensional column vector required to be determined and the n x n matrix[H] and the n- dimensional column vector D are given as follows:

For i > j

$$H_{ij} = h_i(kp+keTs) \text{ if both } i \& j \in M$$

$$H_{ij} = h_i(kp+keTs) \text{ otherwise. (17)}$$

and for i < j,

$$H_{ij} = h_j(kp+keTs) \text{ if both } i \& j \in M$$

$$H_{ij} = h_j(kp+keTs) \text{ otherwise. (18)}$$

$$D_k = (kp+keTs) \int_0^{hk} I_s F(x) dx$$

$$= \frac{kcf}{2r} \text{ (if } k \in M \text{)(19)}$$

$$D_k = (kp+keTs) \int_0^{hk} I_s F(x) dx = \frac{kcs}{2r} \text{ (if } k \in N \text{)}$$

Optimum switching durations (Subproblem B) :

Consider that fixed and /Or switched capacitor banks are already located on a feeder and only the switching duration "Ts" of the switched banks is to be determined.

Using equations (10) & (13) & noting that only LE contains terms involving Ts, the necessary condition is now given by :

$$\frac{dS}{dT_s} \Big|_{Ts=Ts} = ke \frac{dLE}{dT_s} \Big|_{Ts=Ts} = 0 \text{ (20)}$$

for Ts = Ts

for all i , i =1,.....n

we have ,

$$\frac{dLE_i}{dT_s} = \left(\frac{2r}{Ici} \int_0^{hi} I_s(Ts) F(x) dx \right)$$

$$- \sum_{k=1}^{i-1} Ick \Big) dX - rh_i Ici$$

$$\text{if } i \in N \text{ \& } \frac{dLE_i}{dT_s} = \left(-2r h_i Ici \sum_{k=1}^{i-1} Ick \text{ if } i \in M \right. \\ \left. K \in N \text{(21)} \right)$$

observing that $LE = \sum_{i=1}^n LE_i$

& substituting equation (21) into equation (20) we get the following equation which applies to a certain load duration curve :

$$\text{Capacitors } 1, 2, \dots, (i-1) \\ = 2r I_{ci} \int_0^{h_i} [I_s F(x) - \sum_{k=1}^{i-1} I_{ck}]^2 dx - r h_i I_{ci}^2 \dots (10)$$

Then,

LP : Total Power Loss Reduction

$$\text{ion} = \sum_{i=1}^n L_{pi} \\ = 3 \left\{ \int_0^1 [I_s F(x)]^2 r dx - \left(\int_0^{h_n} [I_s F(x) - \sum_{j=1}^n I_{cj}]^2 r dx + \sum_{i=1}^{n-1} \int_{h_{i+1}}^{h_i} [I_s F(x) - \sum_{j=1}^i I_{cj}]^2 r dx + \int_{h_1}^1 [I_s F(x)]^2 r dx \right) \right\} \dots (11)$$

And, LE_i : Energy Loss Reduction Affected By Capacitor i In Addition To That Of Capacitors 1, 2, \dots, (i-1) .

$$= \int_0^{T_s} \left\{ 2r I_{ci} \int_0^{h_i} \{ I_s(t) F(x) - \sum_{k=1}^{i-1} I_{ck} \}^2 dx - r h_i I_{ci}^2 \right\} dt.$$

If $i \in N \dots (12)$

$$\text{Or} = \int_0^{T_s} \left\{ 2r I_{ci} \int_0^{h_i} \{ I_s(t) F(x) - \sum_{k=1}^{i-1} I_{ck} \}^2 dx - r h_i I_{ci}^2 \right\} dt$$

$$+ \int_{T_s}^T \left\{ 2r I_{ci} \int_0^{h_i} \{ I_s(t) F(x) - \sum_{k=1}^{i-1} I_{ck} \}^2 dx - r h_i I_{ci}^2 \right\} dt$$

$K \in M$

If $i \in M \dots (13)$

Then,

LE : Total Energy Loss Reduction

$$\text{tion} = \sum_{i=1}^n LE_i \\ = 3 \int_0^{T_s} \left[\int_0^1 \{ I_s(t) F(x) \}^2 r dx - \left(\int_0^{h_n} \{ I_s(t) F(x) - \sum_{j=1}^n I_{cj} \}^2 r dx \right) \right] dt$$

$$+ \sum_{i=1}^{n-1} \int_{h_{i+1}}^{h_i} \{ I_s(t) F(x) - \sum_{j=1}^i I_{cj} \}^2 r dx + \int_{h_1}^1 \{ I_s(t) F(x) \}^2 r dx \} dt \\ + 3 \int_{T_s}^T \left[\int_0^1 \{ I_s(t) F(x) \}^2 r dx - \left(\int_0^{h_n} \{ I_s(t) F(x) - \sum_{j=1}^n I_{cj} \}^2 r dx \right) \right] dt \\ + \sum_{i=1}^{n-1} \int_{h_{i+1}}^{h_i} \{ I_s(t) F(x) - \sum_{j=1}^i I_{cj} \}^2 r dx + \int_{h_1}^1 \{ I_s(t) F(x) \}^2 r dx \} dt \dots (14)$$

the annual net savings function, to be maximized, is then given by :

$$S = K_p L_p + K_e L_e - K_{cf} \sum_{i=1}^n I_{ci} - K_{cs} \sum_{j=1}^n I_{cj} \dots (15)$$

Where, K_p And K_e Are The Respective Constants To Convert Power Loss Saving And Energy Loss Savings To Money And,

$F(x)$: normalized Feeder Reactive Current Function

$I_s(t)$: Time Varying Current At The Substation .

I_s : Peak Reactive Current injected Into The Feeder At The Substation End .

X : Distance Measured along the normalized Equivalent Uniform Feeder From The Same End .

T_s : The Time Duration over Which Switched Banks are in .

tion Level A_1 , These Locations May Be Expressed By The Following Equation :

$$h_i = 1 - \frac{(2i - 1) c_1}{2n} = \frac{(2i - 1) A_1}{2n} \dots (5)$$

Where; $i = 1, 2, 3, \dots, n$ And, $A_1 = n C_1 = \text{Constant}$ And $0 < A_1 < 1$

Consequently, The Loss Reduction May Be Expressed By Substituting h_i Obtained From Equation (5) Into Equation ... (1)

$$LS = 3A \left[1 - A + \frac{A_1(4n-1)(2A-A_1)}{12n} \right] \dots (6)$$

The Difference Between The Optimum Loss Reduction (Where All Capacitor Banks Are Relocated Optimally At Every New Compensation Level) And Loss Reduction (Under Fixed Bank Locations) Should Be Minimized In Order To find The Best Possible Fixed Locations For A Wide Range Of Load Levels The Difference $(F) = \int_0^1$ [Optimum Loss Reduction Where Capacitors Are Relocated For The Whole Load Range- Loss Reduction Under Fixed Locations i.e. For A Certain Load] dA

$$F = \int_0^1 \left[\frac{4n-1}{2} \left(\frac{1}{4} - \frac{2A_1}{3} + \frac{A_1}{2} \right) \right] dA$$

To Minimize The Above Difference ,The Following Condition Should Be Satisfied

$$\frac{dF}{dA_1} = -\frac{2}{3} + A_1 = 0$$

$$A_1 = \frac{2}{3} \dots (7)$$

Therefore, The Optimum Capacitor Banks Locations For The Whole Load Range Are :

$$h_i = 1 - \frac{(2i - 1) A_1}{2n} = \frac{3n - (2i - 1)}{3n} \dots (8)$$

Substituting Equation (7) Into Equation (6) The

$$LS = 3A \left[1 - A + \frac{(4n-1)(3A-1)}{27n} \right] \dots (9)$$

Problem Formulation And Solution Algorithm Of The Second Technique :

The Following Notation Is Used . As Shown In Figure (1), (n) Fixed And/or Switched Capacitor Banks Are Consecutively numbered From The End Of The Feeder Toward The Source.

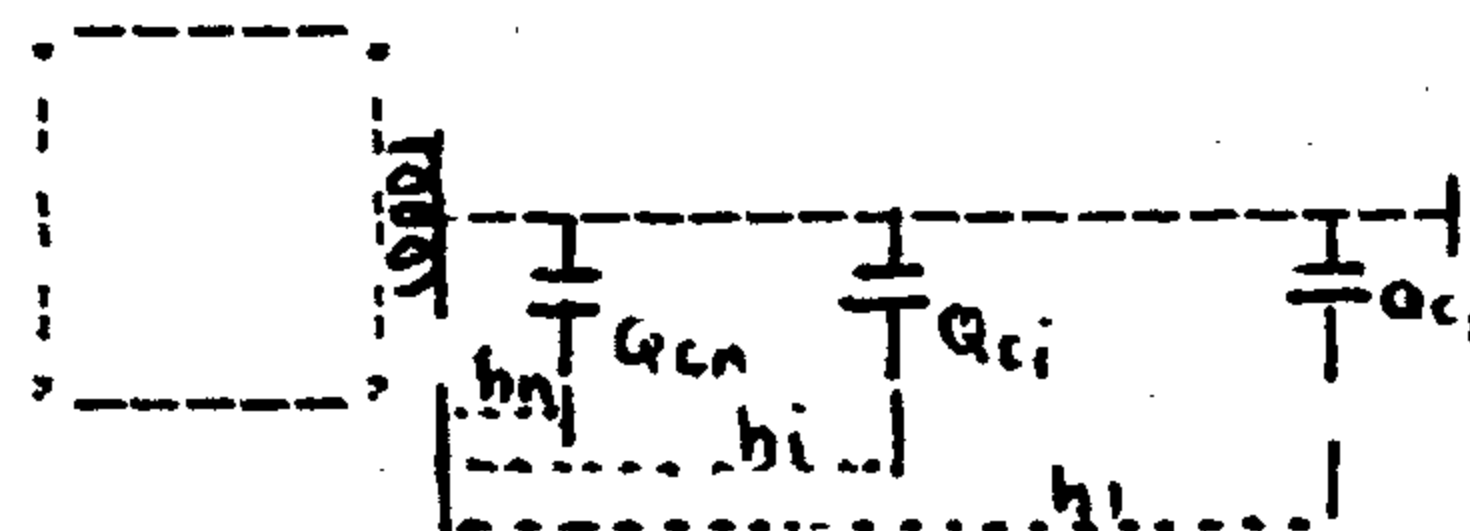


Figure (1)

The Locations Are Measured From The Source And Are Represented By h_i ($i=1, 2, \dots, n$)

Therefore, In The Following Analysis, Q_{ci} Will In General Represent The Per Unit Reactive Of The i (th) Capacitor Bank, The Type Of Each Capacitor Which Is Not Specified In Figure (1) Will Be Represented By Using The Following Set Notation .

Let M And N Be The Sets Of Indices Of Fixed And Switched Capacitor Banks Respectively .

For Example, If The i (th) Capacitor Bank Is A Switched One, It Will Be Represented As $i @ N$ Where $@$ Represent The Word Element Of And If The j (th) Capacitor Is A Fixed One, It Will Be Represented As $j @ M$ And,

LP_i : Power Loss Reduction Which Results From Capacitor i In Addition To That Of

Capacitor Banks Installation (Locations, Sizes, Switching Times And Switching Durations).

- V) The Use of Switching Capacitor Banks Requires Complicated Costly Control Systems.

Problem Formulation And Solution Algorithm According To The First Technique :

Assuming A Radial Feeder Having Uniformly Distributed Load With Reactive Current (I) Flowing From The Source And Considering The Total Length of The Feeder As 1 Per Unit . A General Equation For The Loss Reduction Due To The Allocation Of "n" Capacitor Banks Under A Certain Loading Condition May Be Expressed As :

$$LS = 3c \sum_{i=1}^n h_i [2 - h_i - (2i - 1)]$$

c]p.u(1)

Where,

LS = Loss Reduction For The Uniformly Loaded Feeder .. (p.u).....

C = Capacitor Compensation Ratio At Each Location.

(Capacitive KVA Installed At Each Location)/Total Reactive Load

h_i = i(th) Capacitor Locations (Distance From The Source In p.u).

n = Total number Of Capacitor Banks Locations On Feeder .-----

The Optimum Capacitor Banks Locations Can Be Found By Differentiating Equation (1) With Respect To h_i -----

Therefore, Optimum Capacitor Banks Locations " h_i " is Obtained As Follows :-----

$$h_i = 1 - \frac{(2i - 1)C}{2} \dots\dots(2)$$

The Optimum Loss Reduction For n Capacitor Banks Located at

The Optimum Locations May Be Found By Inserting Equation (2) into Equation (1) Therefore, The Optimum Loss Reduction May Be Expressed As :

$$LS = 3nc \left[1 - nc + \frac{c^2 (4n - 1)}{12} \right]$$

.....p.u

if nc = Total Reactive Compensation Level And $nc=A$ (CKVA Totally Installed On The Feeder) / total Reactive Load On the feeder Therefore,

$$LS = 3A \left[1 - A + \frac{A^2 (4n - 1)}{12n} \right] \text{ p.u}$$

....(3)

By Differentiating Equation (3) With Respect to A, Optimum Compensation Level May Be Found As :

$$A(\text{Optimum}) = \frac{2n}{2n + 1}$$

p.u(4)

Then The Optimum Capacitor Locations And The Optimum Loss Reductions Can Be Calculated By Inserting Equation (4), The Optimum Compensation Level, Into Equations (2) And (3) Respectively . Since It Is Not A Realistic Assumption To Move The Capacitor Banks From Their Locations To Conform With Load Changes Therefore It May Be Recommended From The Practical Point Of View To Find The Locations And Sizes Of The Capacitor Banks To Be Installed On The Radial Feeder To Minimize Its Losses For Its Whole Load Range. In The Case Where Capacitor Banks Locations Are The Optimum For A Certain Compensation

A New Technique For The Optimum Allocation Of Capacitor Banks On primary Distribution feeders .

* Moutaz Z. Ghoneim

** Mohamed M.El-Gazar

** El-Said A. othman

*** Sharaf El-din M. Ahmed .

Abstract :

=====

A new Technique For The Determination Of Locations And sizes Of capacitor Banks To be Installed Permanently On A Radial Primary distribution Feeder For Wide Range Of load Variations Is Presented In The Paper . This Technique may Be Recommended For The engineers Designing And Operating Primary Distribution Feeders .

Introduction :

=====

Y.G. Bae [1] And S.H lee et.al.[2] Provided two Techniques For Optimum Allocation Of Capacitor Banks On Primary Distribution Feeders Taking Into Consideration Load Variations On These Feeders It's Very Interesting to Compare These Techniques For The Sake Of Recommending One .

Of Them For The Engineers Designing And Operating Primary Distribution feeders.

The Technique Given By Y.G.Bae [1] Is characterized by The Following Features :

- I) The Capacitor Banks Are Located At Any Point On The feeder i.e.The technique does not locate the Capacitor Banks At Load Locations .
- II) The Effect Of The Cost Of The Required Capacitors On The optimum Solution Is Not Included In The Technique.On The Other Hand ,The Technique Given By S.H.lee et.al.[2] Is Characterized By The Following Features:
 - I) It Specifies The Optimum Locations And Sizes Of The Fixed And/Or Switched capacitor Banks On A Primary Distribution Feeder To Match A Certain Daily Load Curve .
 - II) The Capacitor Banks Are Located At Any Of The Load Points On The feeder .
 - III) The Effect Of the cost of the Required Capacitor Banks on the Optimum Solution is Included in the Technique
 - iv) Any change in the Load curve of the feeder Will Yield to New Optimum Conditions For

* Head of the Electrical Engineering Department .

Faculty of Engineering-Al-Azhar University.

** Ass.Prof. in The Elec. Engineering Department,

Faculty of Engineering-Al-Azhar University .

*** Senior Electrical Engineer - Arab Contractors.

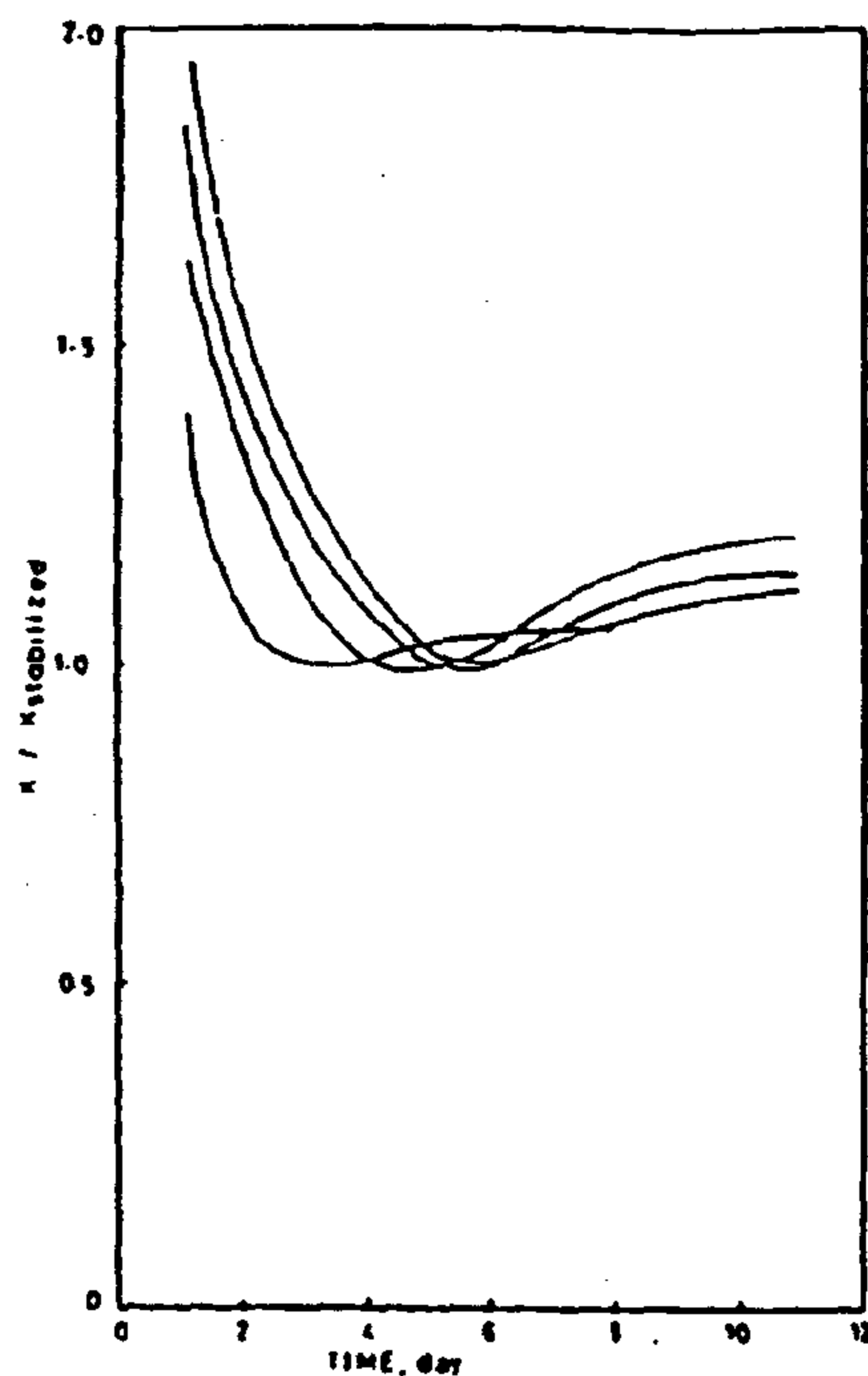


FIG. 5 : BEHAVIOUR OF $K/K_{stabilized}$ AT DIFFERENT CLAY CONTENT (SEA WATER).

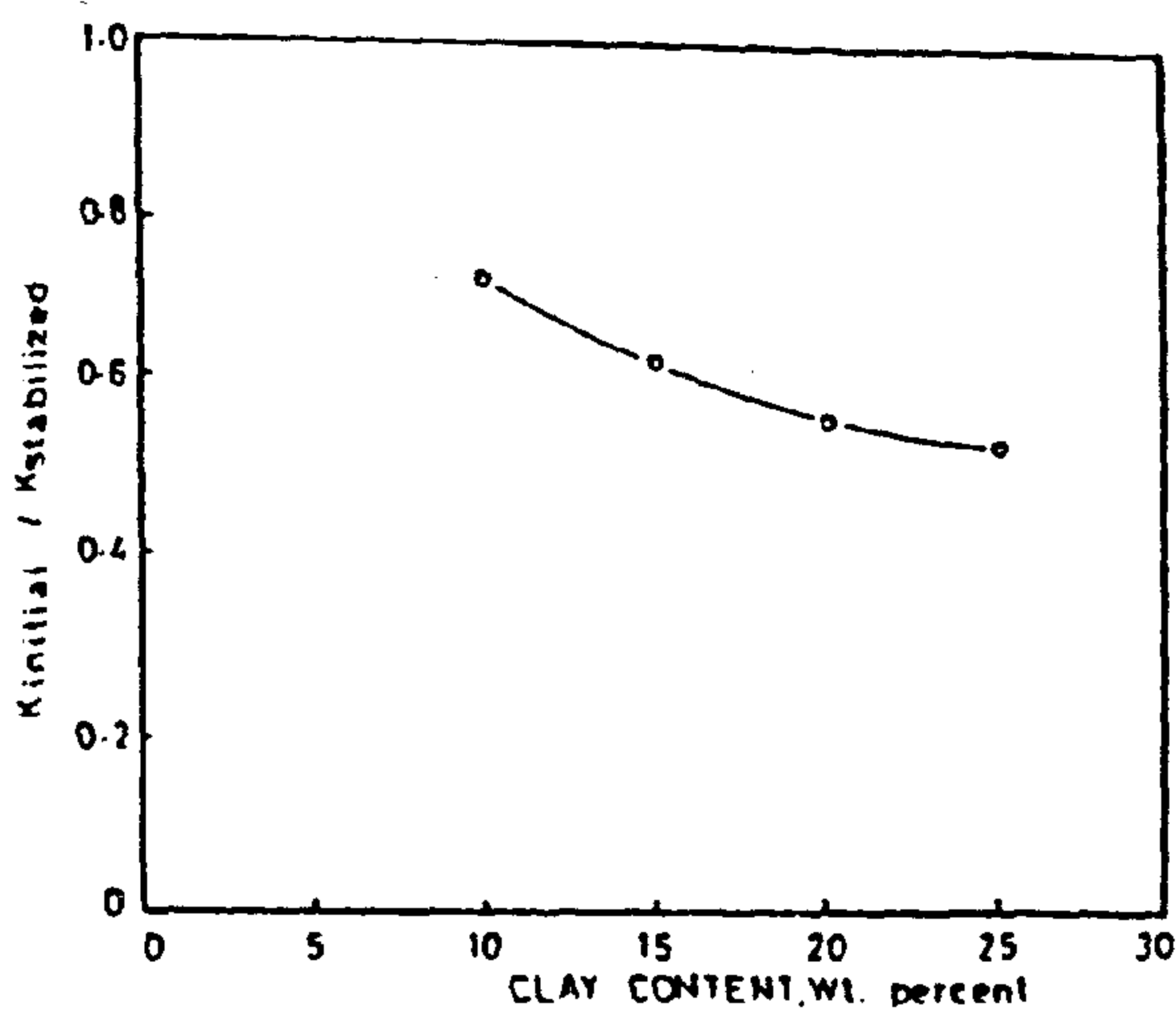


FIG. 6: $K_{initial} / K_{stabilized}$ AT DIFFERENT CLAY CONTENT

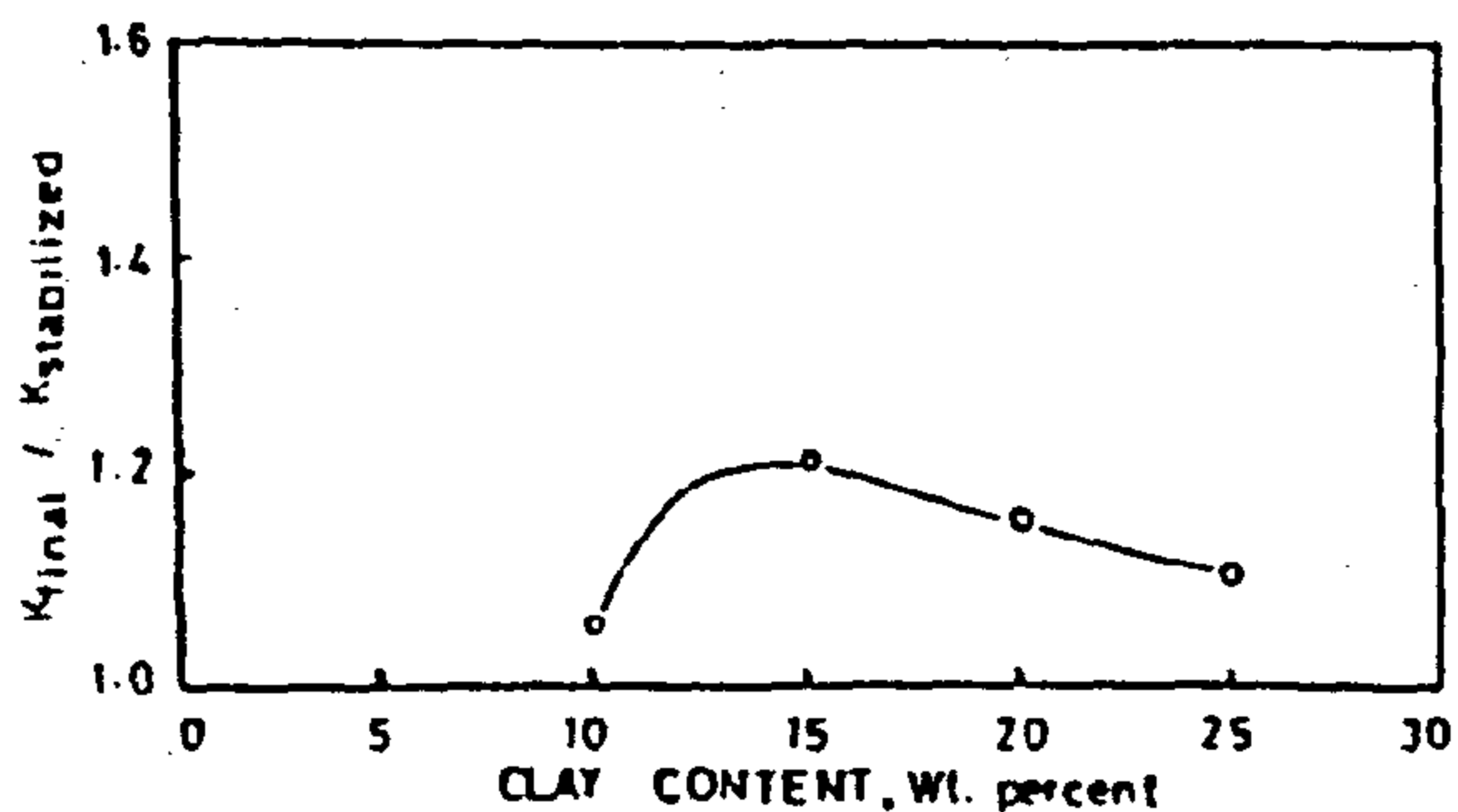


FIG. 7: $K_{final} / K_{stabilized}$ AT DIFFERENT CLAY CONTENT AFTER MAGNETIC EFFECT.

Table - 1 : Permeability ratio in case of fresh water injection

Time, days	Clay, wt%							
	10		15		20		25	
	K/Kin	K/Kst	K/Kin	K/Kst	K/Kin	K/Kst	K/Kin	K/Kst
1	1.00	1.49	1.00	1.80	1.00	2.27	1.00	2.92
2	0.68	1.02	0.76	1.38	0.71	1.61	0.72	2.10
3	0.66	1.00	0.64	1.15	0.58	1.32	0.53	1.56
4	0.66	1.00	0.55	1.00	0.49	1.11	0.43	1.27
5	0.65*	0.97*	0.55	1.00	0.44	1.00	0.37	1.10
6	0.63	0.94	0.51*	0.91*	0.44	1.00	0.34	1.00
7	0.68	1.01	0.48	0.78	0.41*	0.93*	0.34	1.00
8	0.75	1.12	0.47	0.85	0.38	0.87	0.32*	0.94
9	0.76	1.13	0.53	0.96	0.37	0.84	0.29	0.85
10			0.75	1.36	0.39	0.88	0.26	0.78
11			0.81	1.48	0.58	1.31	0.27	0.80
12			0.83	1.50	0.63	1.44	0.38	1.12
13					0.64	1.46	0.43	1.26
14							0.43	1.27

Table - 2 : Permeability ratio in case of sea water injection

Time, days	Clay, wt%							
	10		15		20		25	
	K/Kin	K/Kst	K/Kin	K/Kst	K/Kin	K/Kst	K/Kin	K/Kst
1	1.00	1.38	1.00	1.63	1.00	1.78	1.00	1.93
2	0.76	1.05	0.80	1.30	0.79	1.42	0.78	1.52
3	0.72	1.00	0.67	1.10	0.68	1.21	0.66	1.28
4	0.72	1.00	0.61	1.00	0.60	1.07	0.58	1.11
5	0.75*	1.03*	0.61	1.00	0.56	1.00	0.53	1.02
6	0.76	1.05	0.63*	1.03*	0.56	1.00	0.52	1.00
7	0.77	1.06	0.67	1.10	0.59*	1.05*	0.54	1.03
8	0.77	1.06	0.70	1.14	0.62	1.10	0.55*	1.07
9			0.73	1.19	0.64	1.14	0.57	1.10
10			0.74	1.21	0.65	1.16	0.58	1.11
11						1.16	0.58	1.11

* - start of magnetic effect.

water magnetism on the filtration properties. This figure indicates that the effect of water magnetism is very little at low shale content. As the shale content increases, the magnetization becomes more and more effective until maximum improvement is reached at 15% shale content. Above this value the positive effect of magnetization decreases.

This behaviour is not fully understood. It is only natural that little improvement is realized at low shale content simply because the effect of shale swelling is small. The decline of ($K_{final} / K_{stabilized}$) ratio as the shale content increases beyond certain critical value (15% in our case) requires further investigation which is beyond the scope of the present preliminary study of this brand new technique.

3 - Sea Water Runs :

Figures 5 through 7 represent the same relations as previously done for fresh water injection. All the calculated values of permeability in this case are presented in table - 2. The phenomena of a critical shale content at which maximum improvement of permeability occurs was also noticed at 15% shale content. Fig.6 shows that the damage caused by sea water injection is less than that in case of using fresh water. Fig.4 and fig.7 show that the maximum improvement in stabilized permeability for fresh and sea water is 50% and 21% respectively.

So the effect of salinity seems to reduce the advantage gained by the process of magnetization. In fact, sea water causes little damage to shale structure, hence the effect of magnetization is expected to be low.

CONCLUSIONS :

Based on the results of linear displacement runs by magnetized water through shaly porous media we conclude the following :

- 1 - Fresh water causes much failure in flow characters than sea water.
- 2 - The model does not immediately respond to the magnetic action but there is a time lag of about 2-4 days.
- 3 - The maximum improvement of permeability was obtained at 15% by weight shale content using fresh water ($K_{stabilized}$ was increased 50%).
- 4 - At shale content of more than 15%, the improvement in filtration characters decreases as the shale concentration increases.

- 5 - Displacement with water of higher salinity reduces the advantage gained by using magnetized water.

REFERENCES

- 1 - Paul Willhite G. "Waterflooding", SPE, Richardson TX, 1986.
- 2 - El-Batanoney M. and Fawzy M. "Improving Injectivity Characteristics of Shaly Formations", The transaction of Egypt. Society of Chem. Eng., Vol.11, No.1, Cairo, 1985.
- 3 - Mamed-Zade A. M., Salavatov T. S. and Edelman L. P. "The Regulation of Unstable Processes by Magnetic and Electrical Fields". J. "Oil & Gas", Baku, USSR, Dec.1984.
- 4 - Abbasov E. M. "The Study of Initial Pressure Gradient in Carbonate Rocks". J. "Oil & Gas", Baku, USSR, Oct.1987.
- 5 - Atabaev O. S. "The Effect of Magnetized Water and Surfactant Solutions on The Recovery Factor of Condensate". J. "Oil & Gas", Baku, USSR, Mar.1986.
- 6 - Salavatov T. S. and Edelman L. P. "Increasing of The Effectiveness of Some Technological Processes in Oil Production on The Bases of Physio-Chemical Methods Application". J. "Oil & Gas", Baku USSR, June 1986.

THE COMBINATION OF physico-chemical methods was studied by Salavatov et al [6]. The application of that technique to some injection wells increased the injectivity of surfactant solutions up to 32%.

In the previous work, only fresh water was used as the injection fluid. In addition the formation used contained very high percentage of shale ($> 30\%$). In Egypt, sea water is the one used for the majority of flooding process purposes. In addition, the vast majority of producing formations contain local shale of much less than 30%.

In order to test the applicability of magnetized water technique it was decided to study how the system of magnetized water and shaly formation behaves as a function of reservoir shale content and the salinity of the injected water.

EXPERIMENTAL APPARATUS :

In order to study the effect of magnetized water on the filtration characteristics through porous media an apparatus was constructed so as to satisfy the requirements of the experiments. Fig.1 shows the used apparatus, which consists of the following parts: 1-cylindrical model which has the dimensions of 3.4 cm in diameter and 110cm in length; 2- magnet; 3- transformer; 4- water container; 5-manometers; 6- manifold; 7-thermostat; 8 - manual pump.

EXPERIMENTAL WORK :

Two series of linear runs were conducted to study the effect of shale content and salinity on the filtration process. The first series was designed to study the effect of using fresh water as the injection fluid, while throughout the second series only sea water was injected. Each set consists of runs at different values of shale content. Shale content was simulated using a mixture of bentonite and kaolinite at a ratio of 2:1

PREPARATION OF DISPLACEMENT RUNS :

- For each run the following steps were followed :
- 1 - Packing the cylindrical model with sand and clay at a predetermined weight percent (shale contents used were 10, 15, 20 and 25% by weight);
 - 2 - Hammering the model until minimum air permeability is achieved (average permeability of all runs was found to be 0.4 darcy);
 - 3 - Applying vacuum on the sand model for three hours to avoid entrapment of air bubbles during the saturation process;
 - 4 - Saturating the model with water. Unmagnetized water was filtered into the pack until permeability reaches a constant value. After that the magnet was switched on.

EXPERIMENTAL PROCEDURE :

In all the filtration runs, performed in this work temperature was adjusted at 50°C. Cumulative water produced was measured as a function of time. Throughout each run the pressure difference was fixed by opening the exit to atmosphere and holding the inlet pressure to be constant. This made it possible to measure the model permeability as a function of time. Every 24 hours, the permeability of the porous media was calculated and the ratio of measured permeability K (at any time) to its initial value (just after saturation) $K_{initial}$ was plotted vs time as shown in fig. 2. Injected water was magnetized after stabilized conditions are reached.

The permeability was chosen as a measuring criteria due to its sensitivity to the swelling process.

RESULTS AND DISCUSSION :

a- Fresh Water Series :

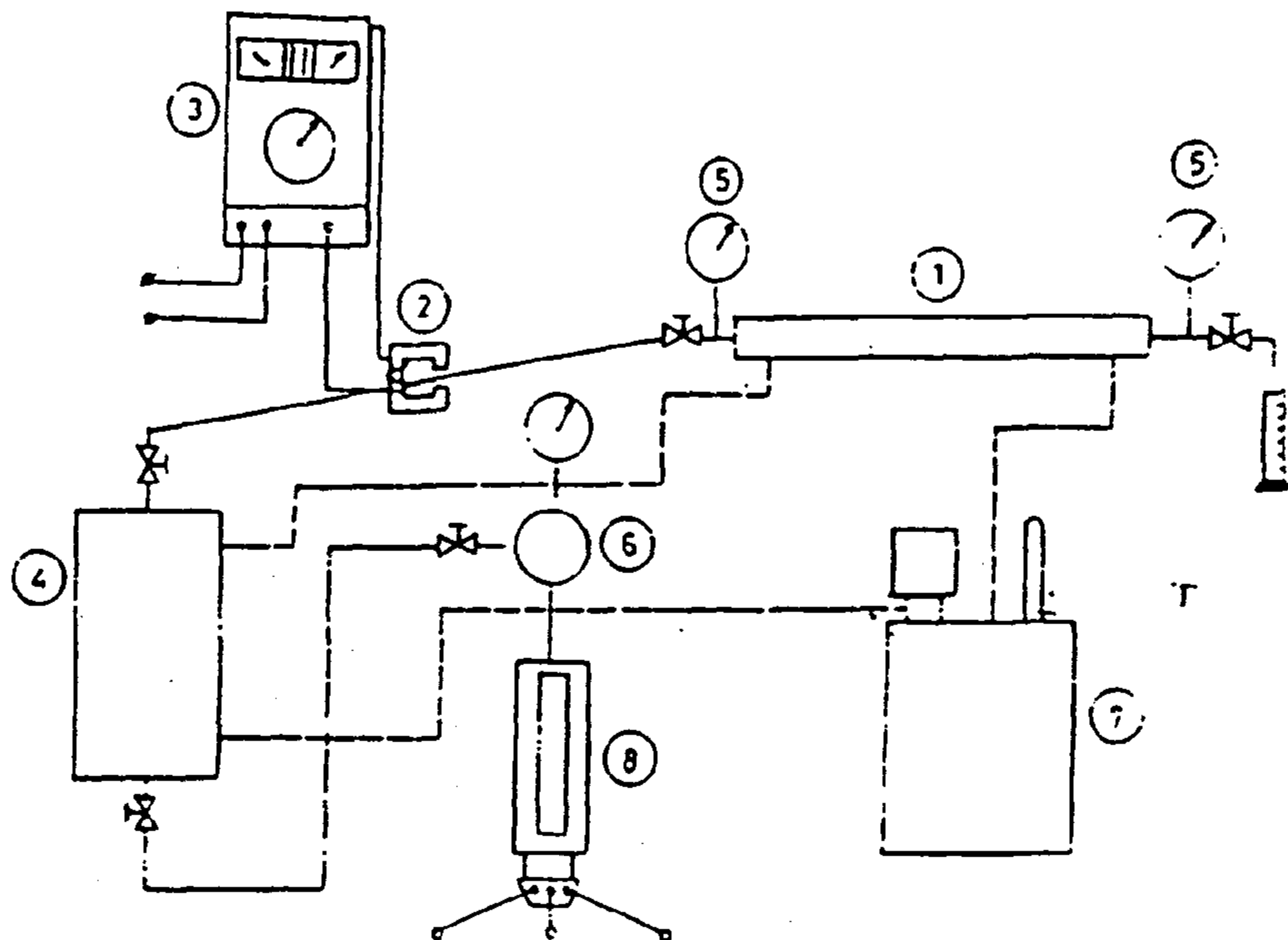
In this series filtration runs were conducted on shaly porous media having 10, 15, 20 and 25 wt% shale content using only fresh water. The results of this series are listed in table - 1 and plotted on fig.2.

The interpretation of fig.2 shows that the system does not respond immediately to magnetic effect. A time lag of 2-4 days is necessary before the effect of magnetization is felt and the permeability starts to improve. The higher the shale content, the longer the time lag period measured. Through the time lag period a continuous decrease of permeability is observed. This is attributed to the unsteady state of the system.

It is easy to show that the permeability of the porous media was reduced to about one half of its initial values as a result of shale swelling. After the time lag period the system behaves in a completely different manner and permeability increases above the stabilized value in all the runs.

Fig. 3 presents the relationship between $K_{(init.)}$ and $K_{(stab.)}$ at different shale content. $K_{(stabilized)}$ here represents that permeability at which swelling process is complete and the transmissibility reaches a minimum constant value. It is seen that, the more the shale content is, the worse the filtration characters at stabilized conditions are. This is only natural because high shale content means more swelling and more reduction in permeability.

Fig.4 plots $K_{(final)} / K_{(stabilized)}$ vs clay content for fresh water series. This ratio ($K_{final} / K_{stabilized}$) is in fact a measure of the effect of



1-CYLINDRICAL MODEL 2-MAGNET 3-TRANSFORMER 4-WATER CONTAINER
5-MANOMETERS 6-MANIFOLD 7-THERMOSTAT 8-MANUAL PUMP

FIG. 1 EXPERIMENTAL APPARATUS

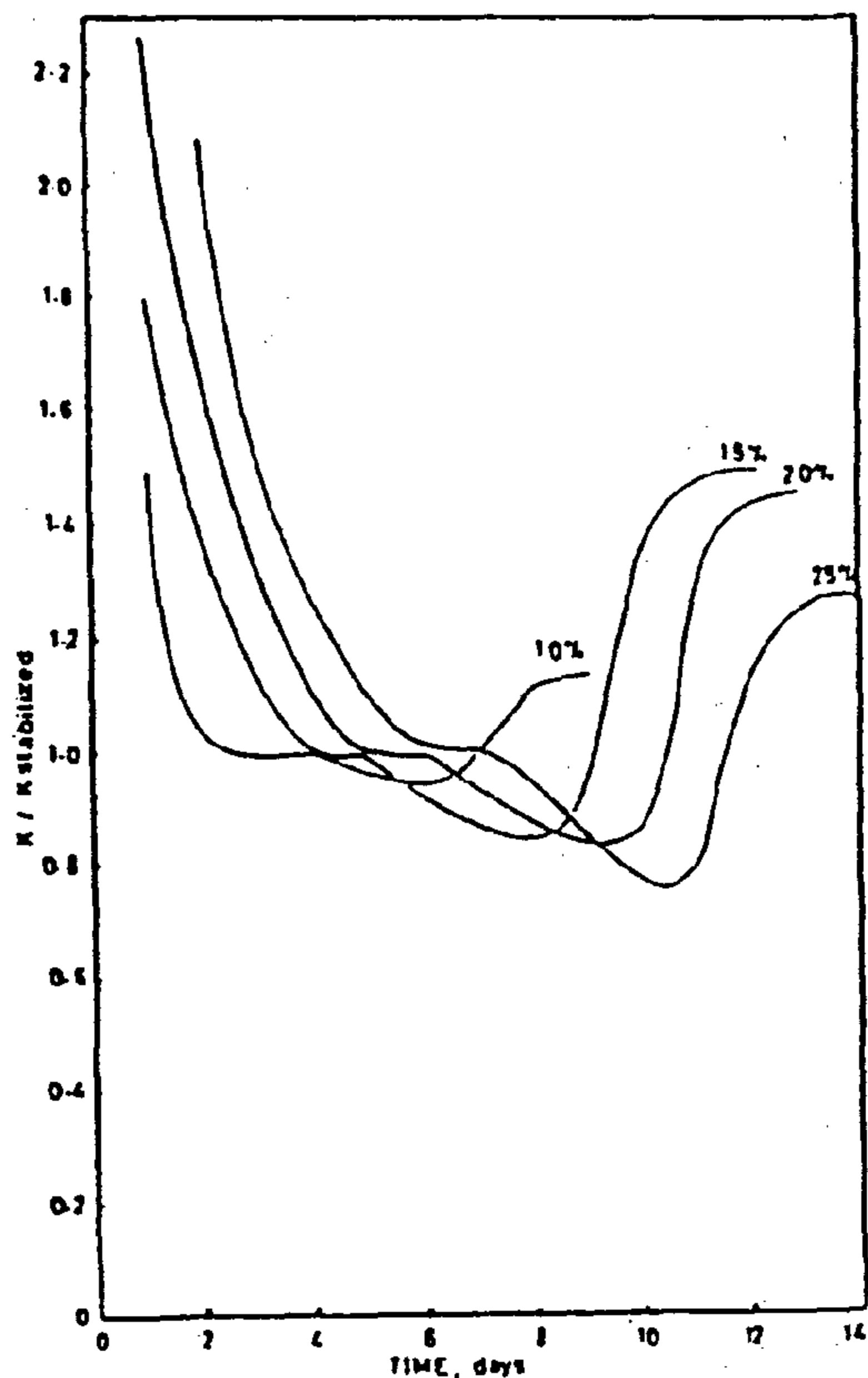


FIG. 2: BEHAVIOUR OF $K / K_{stabilized}$ AT DIFFERENT CLAY CONTENT (FRESH WATER).

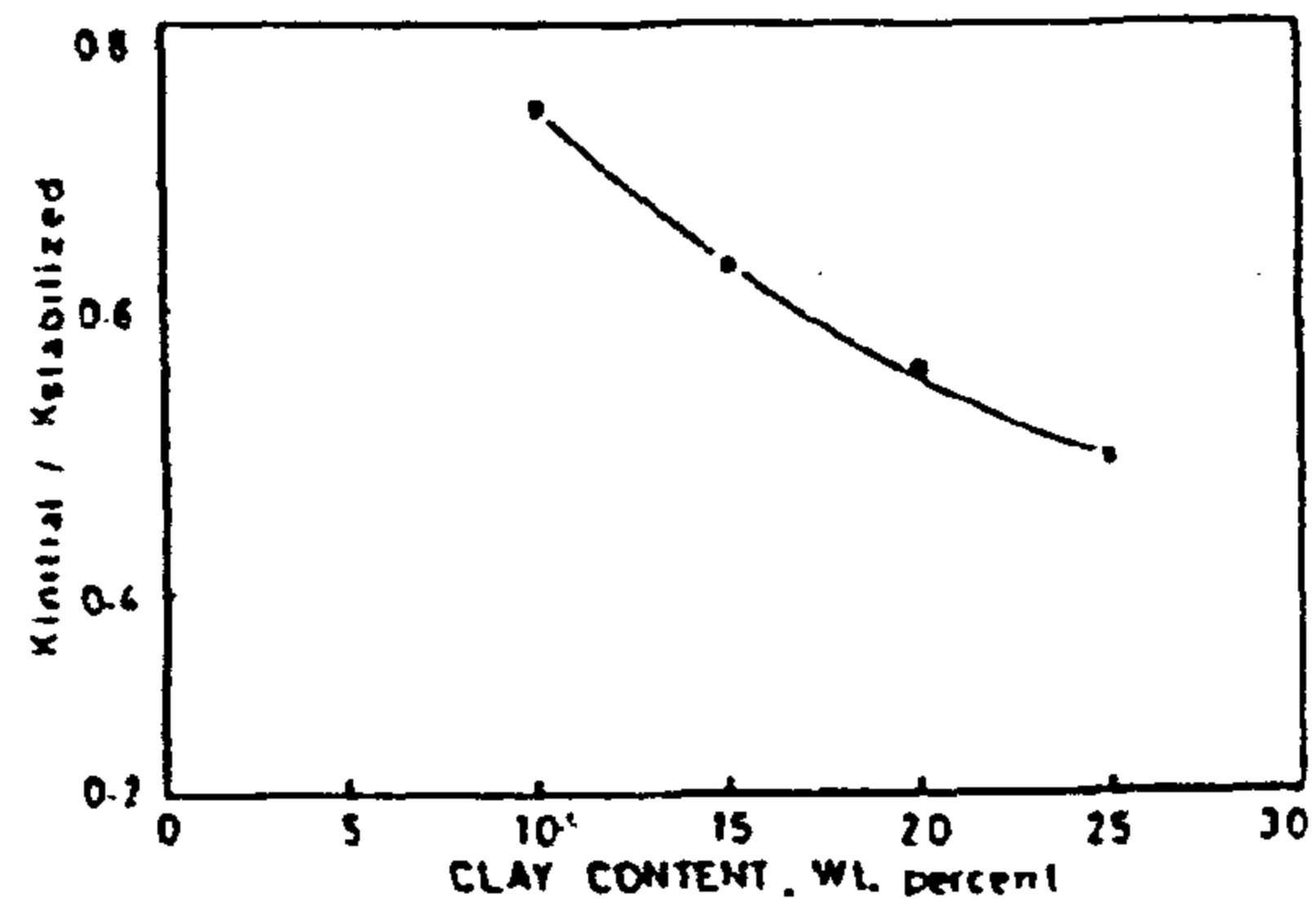


FIG. 3: RELATIONSHIP BETWEEN $K_{initial} / K_{stabilized}$

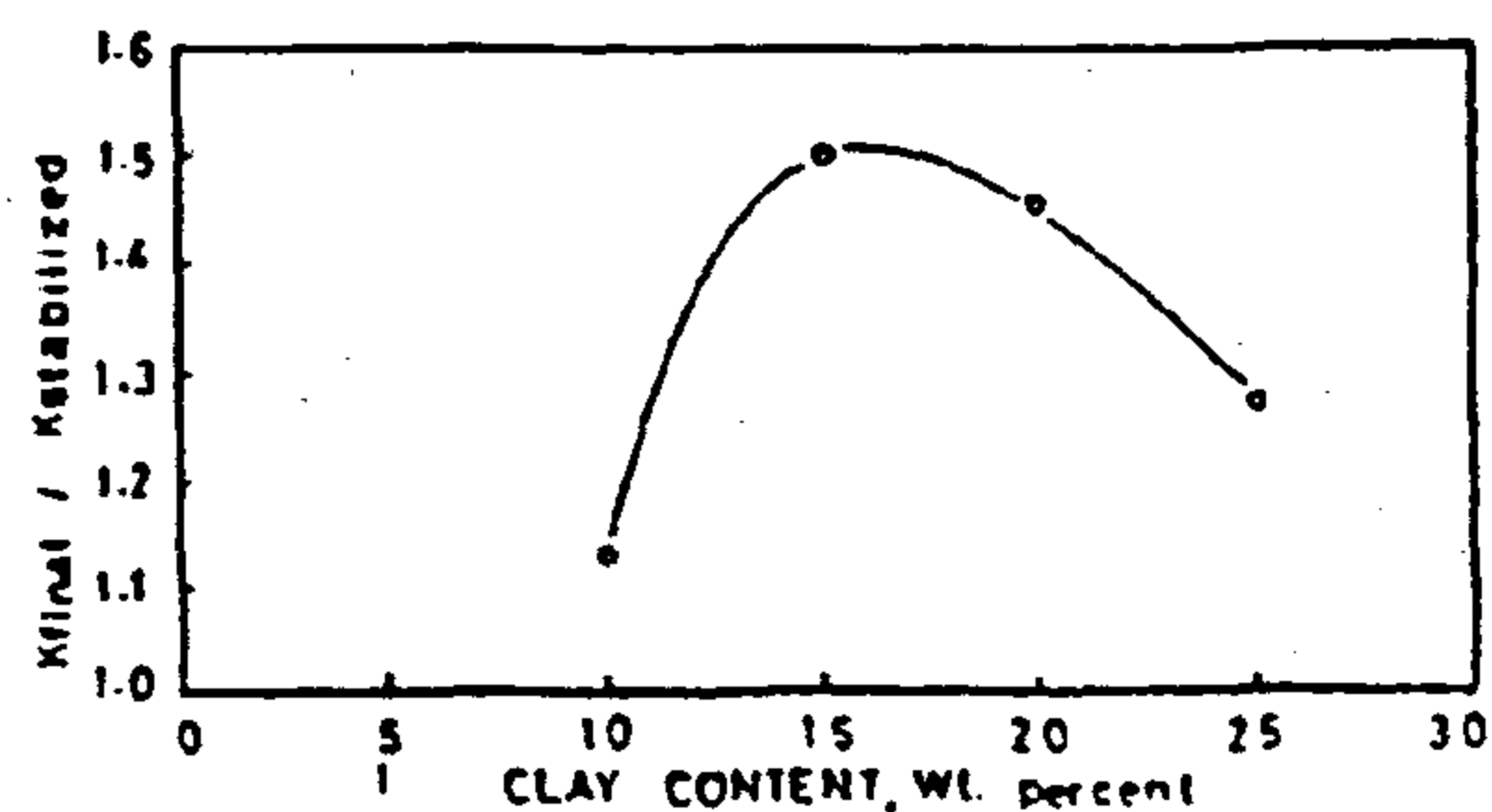


FIG. 4: $K_{initial} / K_{stabilized}$ AT DIFFERENT CLAY CONTENT

NEW TECHNIQUE IN IMPROVING INJECTIVITY CHARACTERISTICS OF SHALY FORMATIONS

M. H. EL-BATANONEY *, N. A. FAWZY **, S. M. MACARY *

ABSTRACT :

Among the different methods used in improving injectivity characteristics and oil recovery, unconventional physical methods are considered to be very promising. The theoretical essence and field applications of these methods received less attention in the literature than chemical and thermal ones.

Magnetic effect in improving water injectivity and oil recovery in porous media containing considerable amount of shale is one of the most promising techniques. Magnetized water regulates the swelling process of clay and minimizes its effect on the filtration characters.

In this work, the effect of magnetic field on the injected water through shaly sand packs was investigated. Other factors such as shale content and injected water salinity were also studied.

The results of the study indicated that the injection of magnetized water in shaly sand has a great effect in improving the flow characteristics. The degree of improvement is highly sensitive to the salinity of the injected water.

INTRODUCTION :

In oil industry, water flooding to maintain reservoir pressure to keep high production rates and improve recovery takes up the first place among secondary methods of production due to the abundance of water and its effectiveness in sweeping the oil. The regulation of water injection process and the control of its effectiveness are of great importance since it is directly translated into terms of recovery factor and profit.

The evolution of that process, water injection, is enriched by a great many supplementary techniques developed [1] to promote its efficiency, i.e. to increase the injectivity of the injection wells and to improve the displacement and sweep efficiencies.

Thermal method was investigated in an attempt [2] to improve the injectivity characters and, hence, the filtration process within the reservoir.

One of the most serious difficulties which can face any waterflooding project is the presence of high percentage of clay and shale horizons throughout the producing formations. The swelling of shale affects negatively the efficiency of the flooding process, harms the flow characters, causes unequal pressure gradient, which leads in turn to premature water breakthrough.

Problems are also encountered in case of penetrating shaly formations with water-base drilling fluids. The swelling of clay may result in the loss of drilling string.

To overcome most of these problems a new technique is investigated in this work, that is to magnetize water injected into the reservoir. This process was initiated in the Soviet Union to treat the undesirable effect of clay swelling in several technological operations.

Mamed-Zade et al [3] investigated the influence of water injection on oil displacement. The use of magnetized water through shaly sand pack of 30% shale content gave an increase to the recovery factor of about 24% over that produced by normal water injection. In this work, however, only fresh water was used.

Other studies [4 and 5] show that water injectivity can be increased up to 15% when injecting magnetized water in water saturated shaly formations. It was also concluded that the magnetization of water-base drilling fluids reduces the swelling of shale in shaly zones. This resulted in improving the penetration of these formations. Abbasov also showed in his work [4] that the uneven pressure gradient phenomena which is a result of swelling could be inhibited. The work of Otabaev [5] was devoted to the study of condensate production through shaly porous media (20% shale content). The recovery factor was increased by 22% when magnetized water was used.

* - EPRI - Egyptian Petroleum Research Institute

** - AL-AZHAR UNIV.

b- The optimum mix of local and imported coals for production of industrial coke must be determined together with the economics of doing so, compared to direct import of coal

2- On the energy consumption side:

a- A priority must be developed between energy utilized to sustain productive activity, directly in industry and agriculture and indirectly in the various forms of social consumption.

b- A priority is also needed based on sectoral use of energy in production.

c- Appropriate energy pricing, which is one of the most important measures in energy resource allocation and energy efficiency. Rational energy pricing is necessary, but not sufficient to insure energy conservation.

Thus, economic pricing generally needs to be

complemented with training, technical assistance, information dissemination and often some form of financial assistance, at least during the early stages of an energy efficiency program.

REFERENCES

1. E. El HENNAWI
Energy Seminar, TIMS, April, 1985.
2. Organization For Energy Planning (OEP) Egypt, 1990.
3. State Information Service, Egypt, 1987.
4. A. H. ABUBAKR
"Gas Industry In Egypt"
IGV Council Meeting, Frankfurt, May, 1990.
5. Annual Report of Electric Statistics, 1990
Ministry of Electricity and Energy, Egypt.
6. S. HOSAM EDDIN et al.
"Modeling and Optimization of coal blend indices" .
8th Conference on solid state science, Menia Univ., Feb. 1985 & Bull. TIMS, No 51, 1988.
7. A. MUBARAK
Renewable Energy Conference, Cairo, 1987.
8. RAGAA EZZ EDDIN
Al-Ahram El-Iktsady (2/10/1989).

the most competitive type of energy used for generating electricity. Egypt started, a nuclear program to build nuclear station to be ready for operation by 1991-1992 early in the 80's. However, due to the failure of some nuclear stations and for safety reasons and because lack of funds, the program was postponed.

DISCUSSIONS & CONCLUSIONS

Energy production and consumption has rises dramatically during the seventies and eighties. Crude oil production increased from 32.4 million tonnes in year 1981 to 50.86 million tonnes in year 1990, while gas production increased from 1.9 to 7.5 million tonnes in the same period.

Total oil consumption increased from 11.8 to 19.77 million tonnes, and gas from 1.8 to 6.5 million tonnes in the past decade.

According to our calculations, shown in table (2) by 2005 the estimated consumption of energy will be as follows.

Oil products	32.1	million tonnes
Gas	15.685	" "
Coal	2.1	" "
Hydro-Power	7126	million kwh

Therefore, if the energy consumption pattern continues, Egypt may face a serious crisis in ten years.

The above figures, are only rough estimate but are still of interest for the purpose of broad long term analysis. The real consumption figures turn out to be less than two thirds or more than one and half times of the suggested values.

To fill the gap between the actual consumption and the probable demand, measures should be implemented right away to reduce the impact of the probable crisis on the Egyptian economy. The following can be considered :

- 1- On the energy production side:
 - a- The technical feasibility of the existing oil fields must be determined with respect to secondary and tertiary recovery and where economic these techniques used.

is produced by this unit while 10 to 15 % can be replaced by use "Maghara" coal [6].

The historical production of coke in Egypt during the last ten years is shown in fig (11) (solid bars) together with the quantity of coal imported (dashed bars).

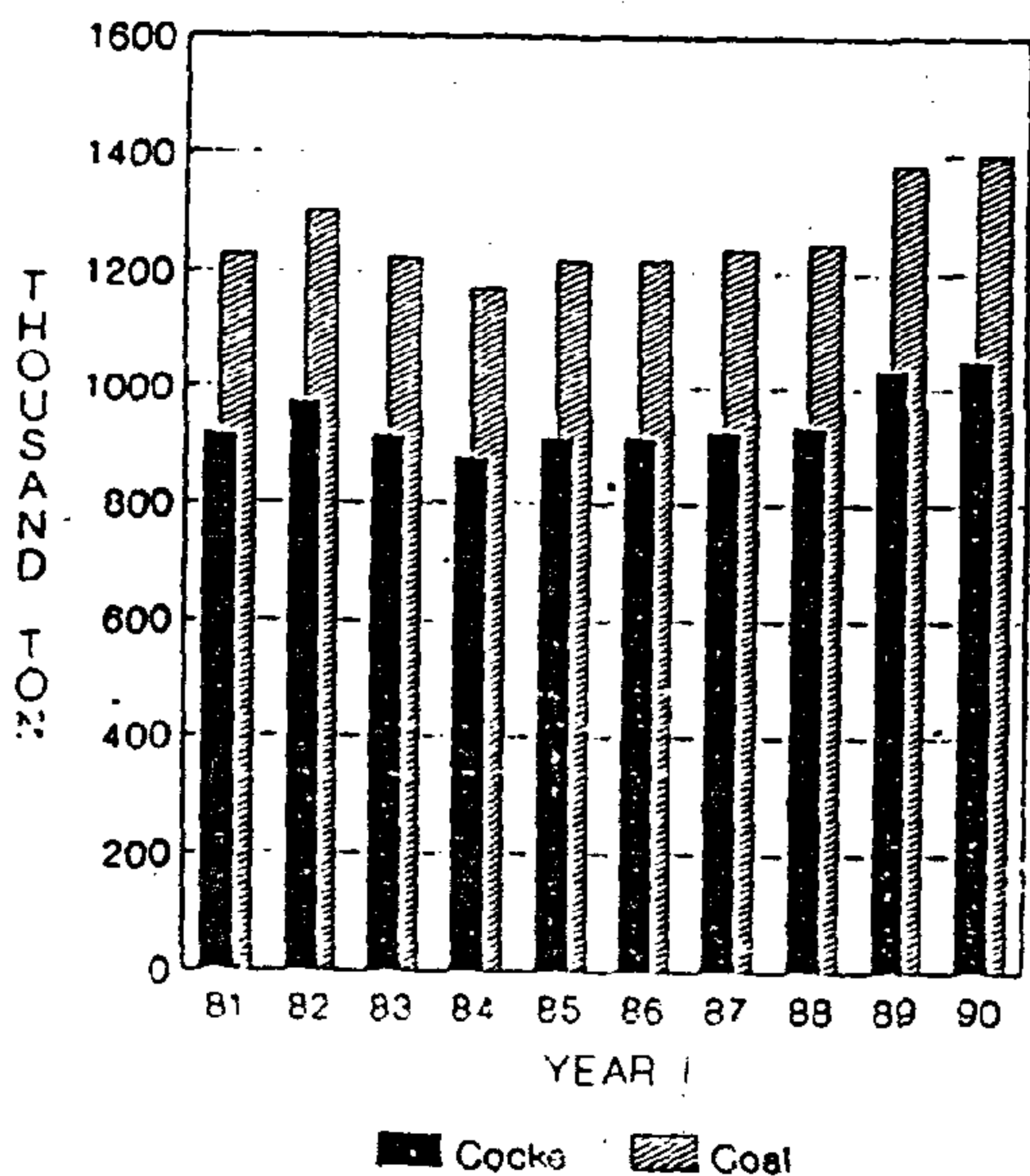


Fig.(11) Imported Coal And Coke Production

The predicted quantity of coke in 2005 is estimated to be 1.57 million tonnes, after introducing the fourth battery. The imported coal needed is estimated to be 2 million (2,101,146) tonnes based upon trend curves shown in fig. (12).

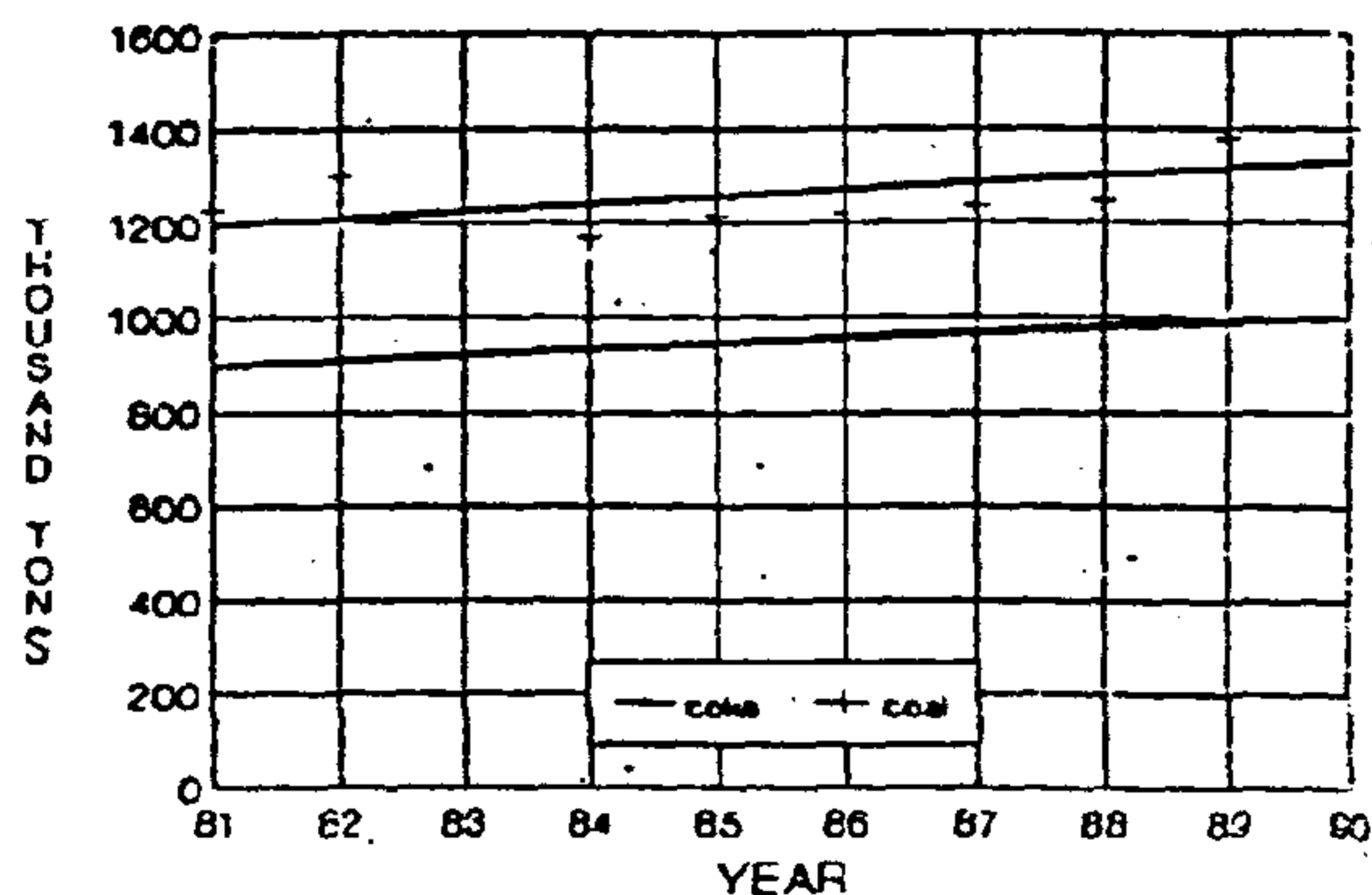


Fig.(12) The Trend Of Imported Coal And Coke Production.

5- NEW AND RENEWABLE ENERGY

Most technologies described below are operating in Egypt; either at nearly stages of commercialization or experimentation.

i) Solar Energy

Solar energy is the one from which all others branch out. Through the unequal heating of the earth and its atmosphere, the sun generates wind which is given characteristic flow patterns by the earth rotation. Hydro electric energy is also a by product of solar energy.

Every year the sun provides Egypt with six

The generation and consumptions of Hydro-Electric energy can not be investigated alone without the thermal generated one. So, we will leave it to separate paper investigating the electrical energy alone.

HIGH DAM LEVELS

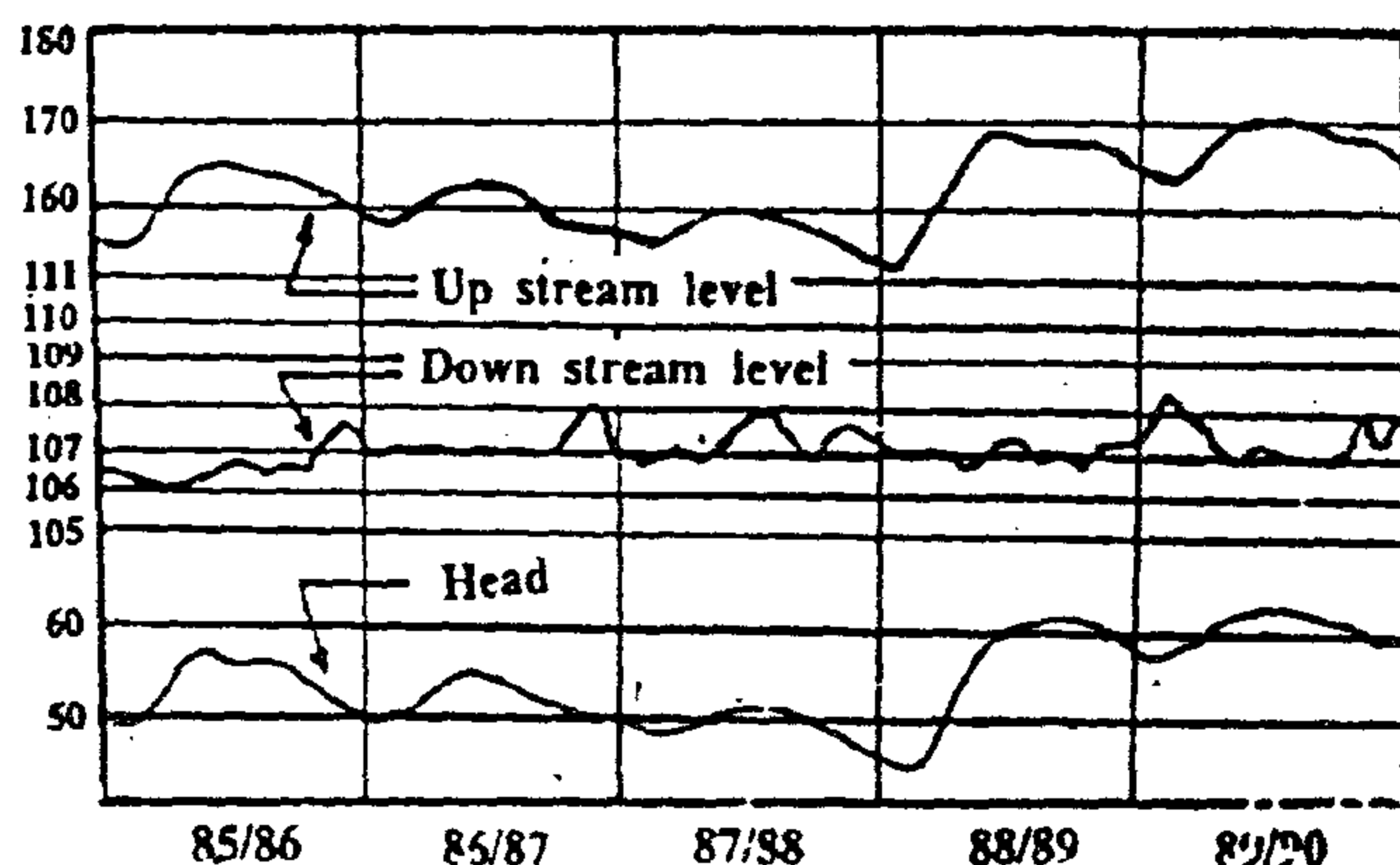


Fig. (10) Water Level At High Dam During Five Years (1985-1990).

4. COAL

Coal is used in the country to provide hard coke or metallurgical coke, which is mostly used as a fuel in blast furnaces. It is also used as anode material (coke or pitch tar) in the aluminum industry. Hence coal demand in Egypt is directly related to the planned production of iron and aluminum.

The production of coke in Egypt started in 1964 with a capacity of 225 thousand tonnes. The capacity in 1990 reached 1.2

million tonnes and it is planned to reach 1,5 million tonnes after the operation of the fourth battery (currently under commissioning).

Unfortunately, there is only limited reserves of low quality coal in "Maghara" region, at El-Safa valley in Sinai. The quantity of reserves were estimated to be 40 million tonnes of gas coal (in our opinion this figure is over estimated). The coal contains high percentage of sulphur and ash. So, for metallurgical coke only a ratio of 10 % of local coal can be mixed in a blend with other imported coals without affecting the quality of produced coke.

The current policy in Egypt is to diversify the sources of coal imported to guarantee the continuity of basic raw coals. In this field, Egypt imports coal from three main countries. USA, Soviet Union and Australia to insure the relative stability of the coal properties.

To decrease the quantity of imported coal, several trials are underway to exchange some of imported coal by a petroleum coal (produced by a mazout carbonization unit in Suez). About 5 % of total coal demand

It is expected that in the year 2005, gas consumption will increase to 15.44 million tonnes equivalent per year or 50.63% of the total oil consumption.

3- HYDRO-ELECTRIC POWER

The River Nile is the only source of the hydro-electric power. About 85 % of its ultimate hydro-electric power potential is already developed and utilized through the High Dam and the two power stations of Aswan Dam. At the end of the last decade (1990) the installed capacity for the three hydro power stations was distributed as follows:

Power station	No. of units	Installed capacity H.W
Aswan Dam 1	7*46+2*11.5	345
Aswan Dam 2	4*67.5	270
High Dam	12*175	2100

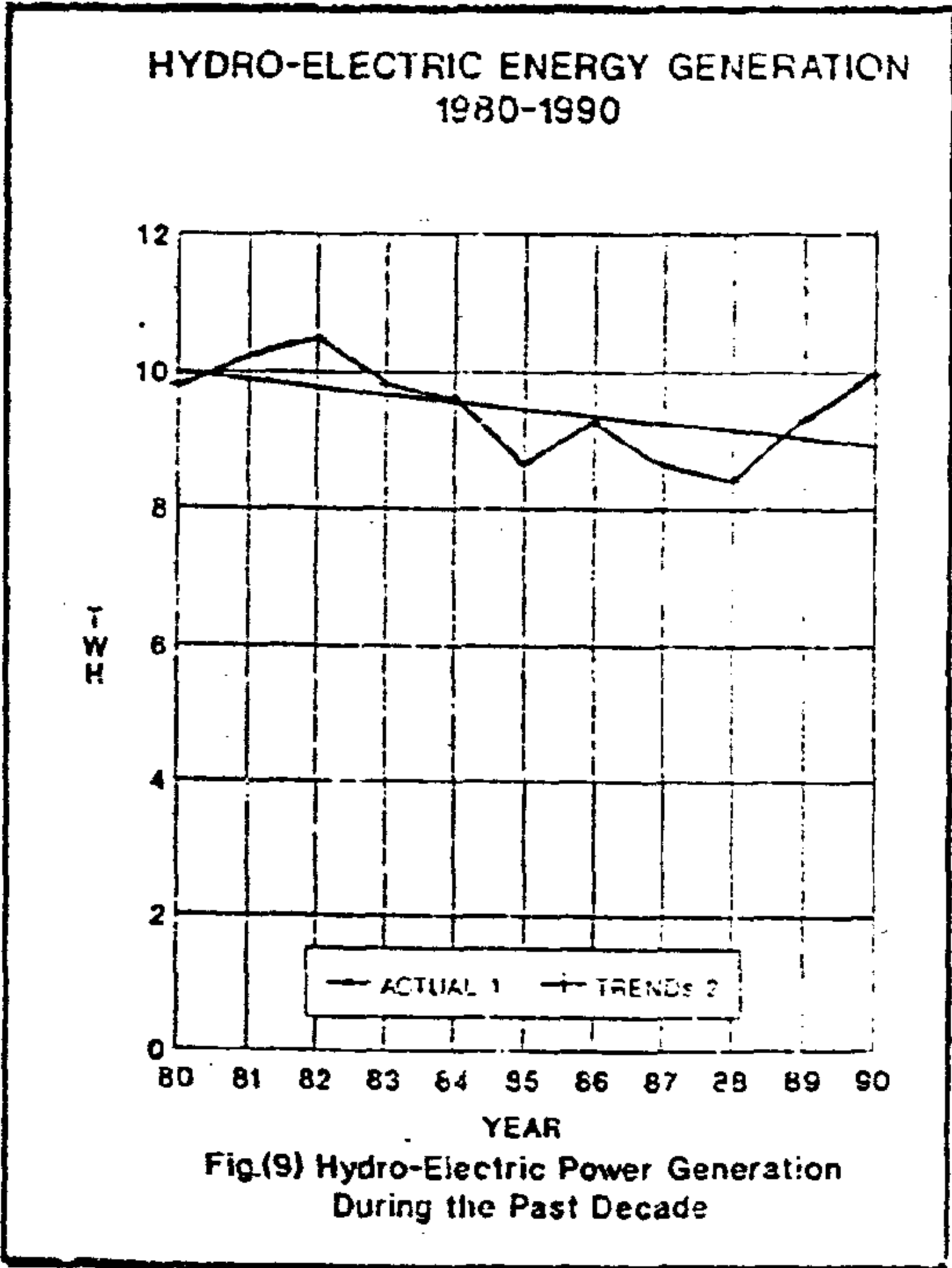
The electric power generation grew dramatically in the past three decades. In 1960 it was 0.25 million kwh from Aswan Dam. In 1990 a total of 9,974 million kwh was produced.

The development of hydro-electric energy during the last decade is shown in fig.(9).

Two factors control Hydro Power in Egypt. First a treaty between Egypt and Sudan gives

Egypt the right to a total of 55.5 billion m³/year of water. Second, the Hydro Power, being dependent upon the upstream water level of the High Dam, decreases during wintertime. Therefore thermal stations are used for base load and the hydro stations for maximum loads during that period. The levels of water at High Dam during the last five years are shown in fig. (10) from which it can be seen that the trend is up again after a decrease in years 1985 to 1988. But the overall trend is decreasing and

estimated value of energy generated by hydro stations is 7126 million kwh in the year 2005. The forecast based upon the trend curve shown in fig. (9).



Electric Power Stations	59.5 %
Chemical Industries	16.5 %
Domestic Sector	3.1 %
Other Industries	20.9 %
<hr/>	
Total	100.0 %

Fig (6) shows the gas consumption by different sectors in the 1990 relative to the year 1981,

Fig (7) shows the development of gas production and consumption in Egypt during the past ten years. The given figures indicate the growth of natural gas as an alternative fuel involves:

- * Substituting gas for fuel oil (steam plants).
- * Substituting gas for gas oil in turbine powered electricity generating

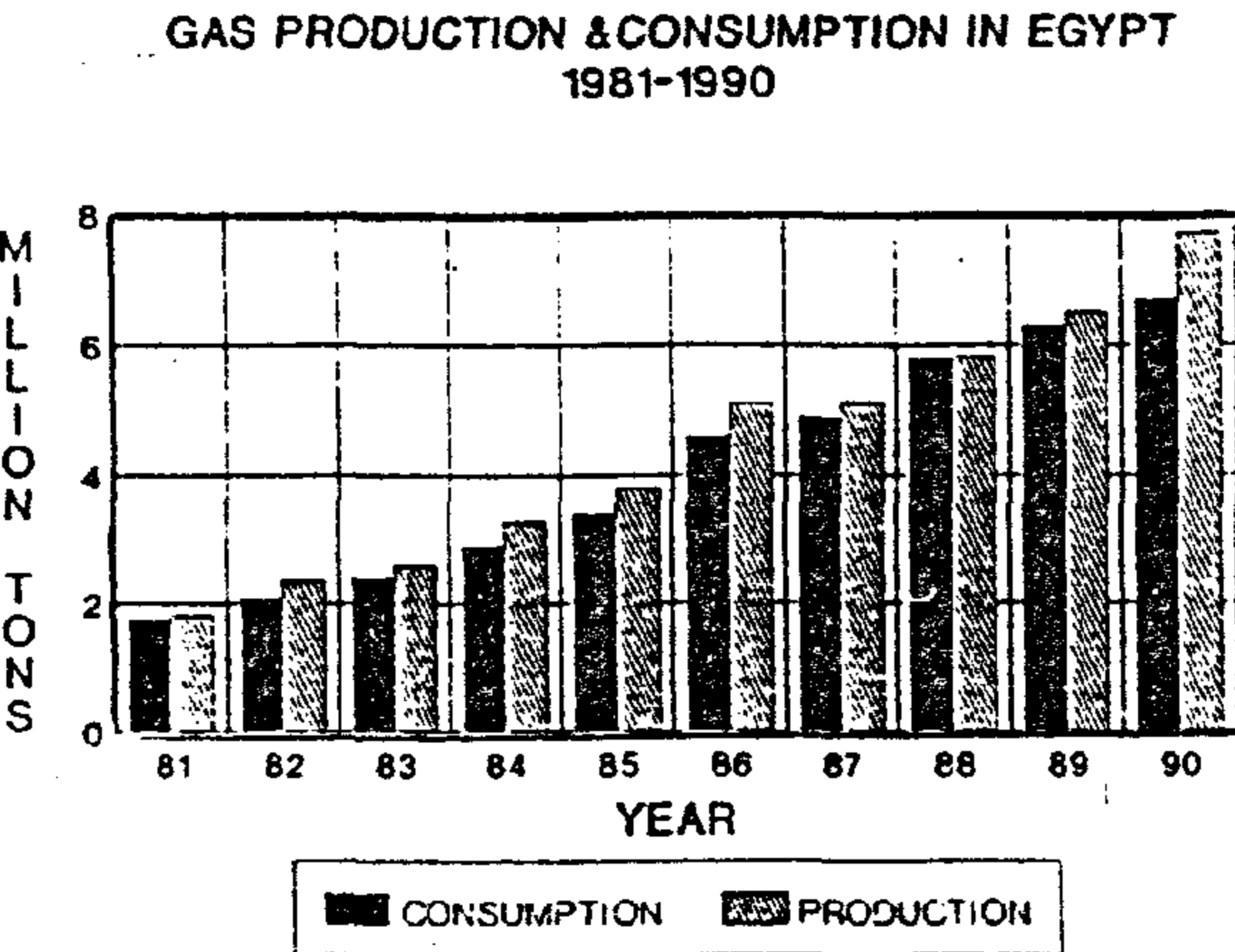


Fig.(7) Gas Production and Consumption During the Last Decade

stations, which is considered an upgrading to the value of natural gas, because gas oil is an expensive petroleum product partly imported by egypt.

The use of natural gas as a domestic fuel replacing an equivalent quantity of L.P.G for export or for other uses.

Using natural gas instead of fuel oil in power stations will make available more than 10 million tons equivalent of oil per year for export.

The current gas consumption nowadays is 6.7 million tonnes equivalent per year or about 36.2 % of the total oil consumption. Fig. (8) shows the trend of gas and oil consumption during the past decade.

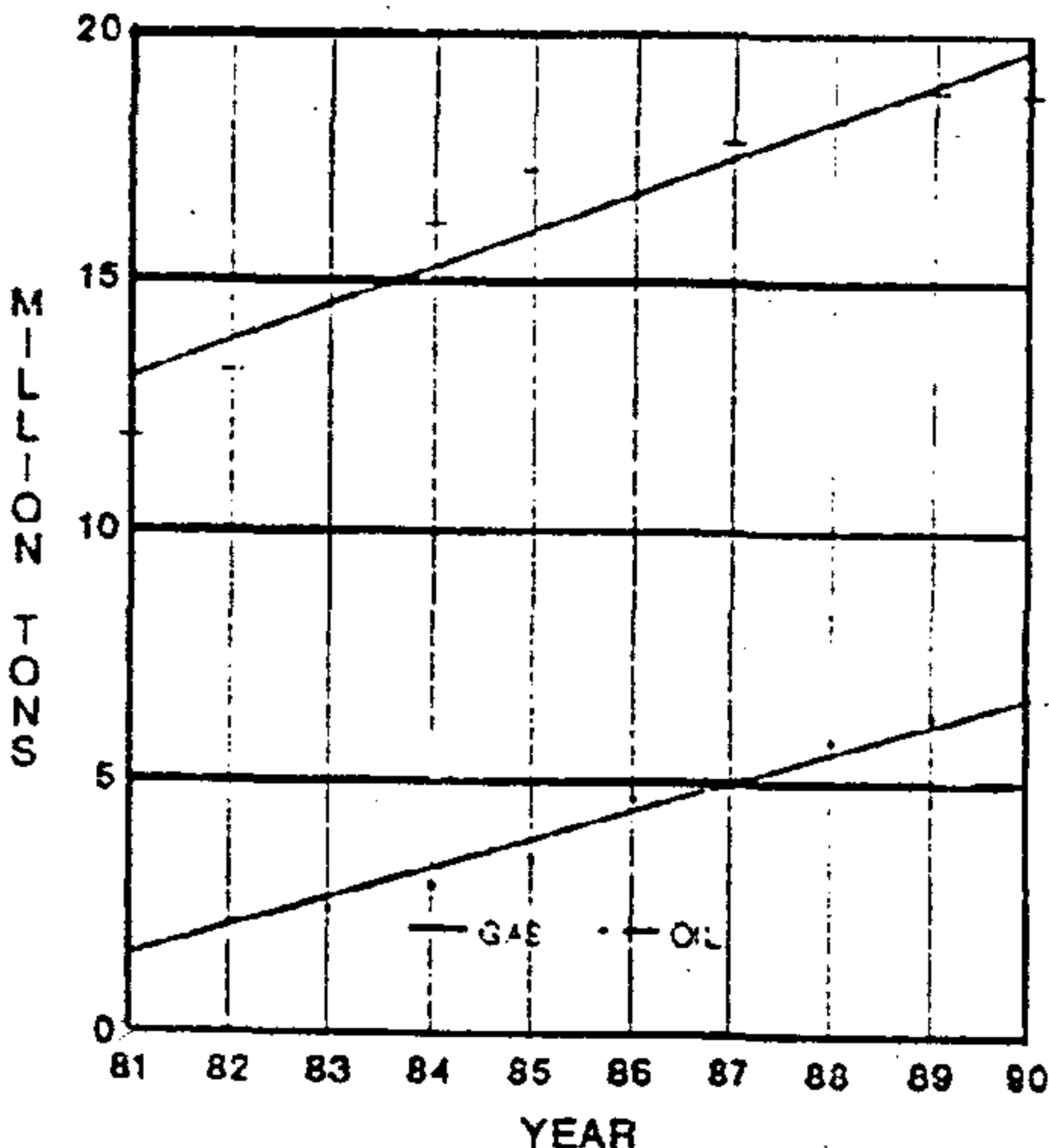


Fig.(8) Trend of Gas and Oil Consumption (1981-1990)

CONSUMPTION OF OIL PRODUCTS BY SECTORS

1987 / 1988

1990 / 1991

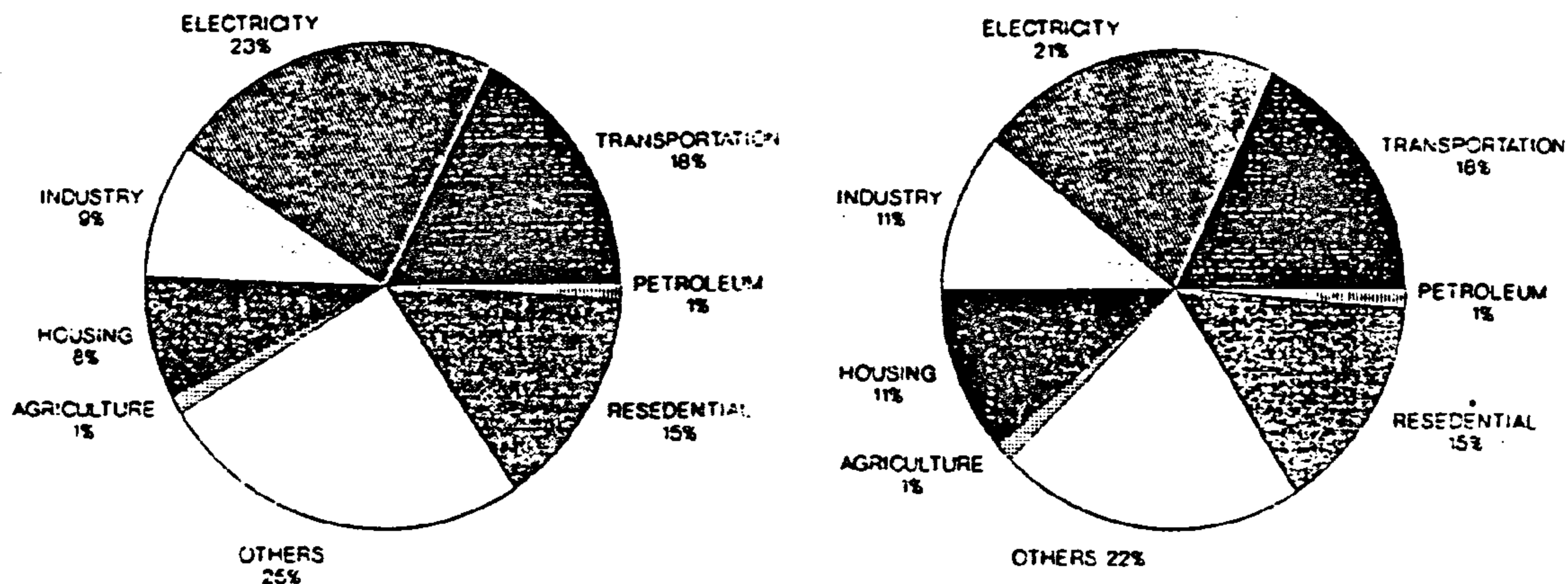


Fig.(4) Consumption Of Oil Products By Sectors Of Year 1990/1991 Relative To Year 1987/1988.

ENERGY CONSUMPTION NATURAL GAS

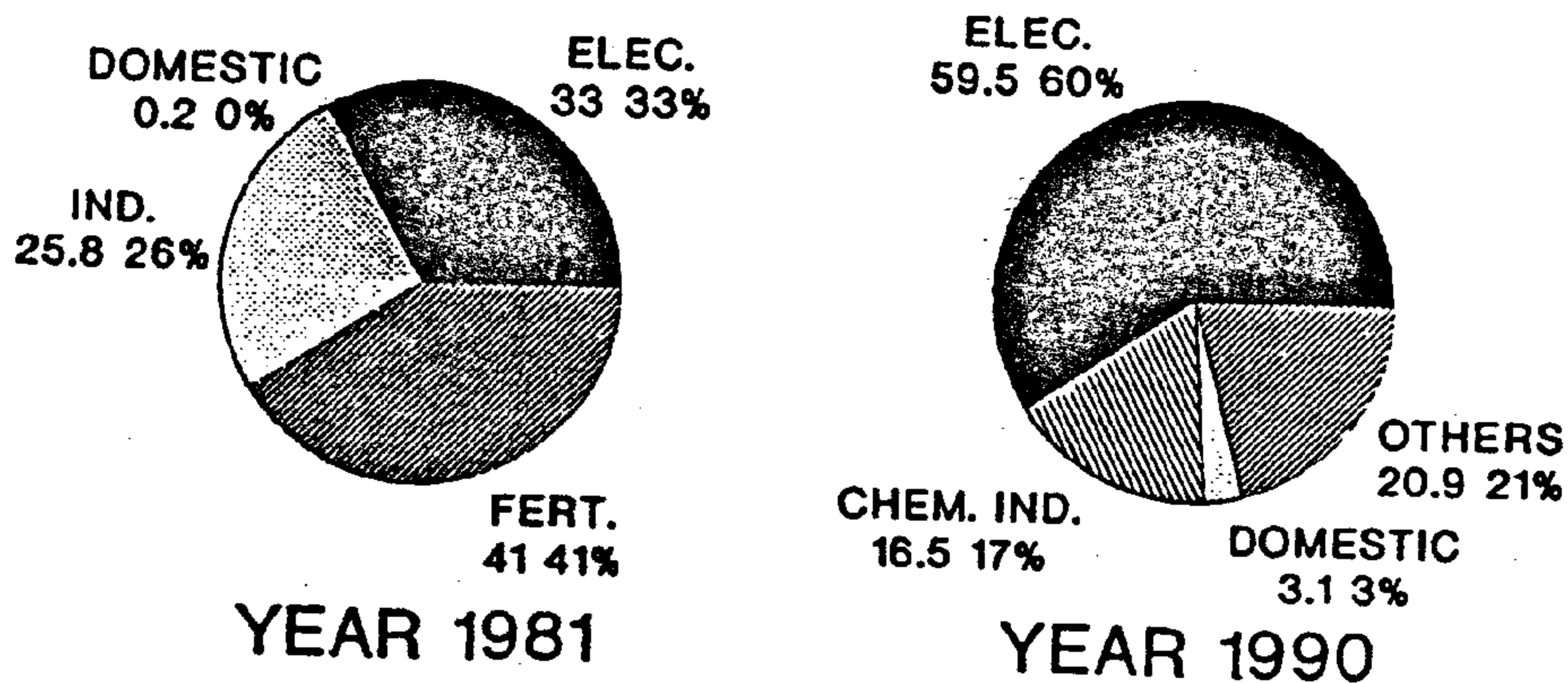


Fig.(6) Natural Gas Consumption By Sectors (1981 - 1990)

It is anticipated that if natural gas does not become the energy source to meet Egypt's growth in demand, there will be a short fall in oil and the situation of Egypt as an oil exporter will be reversed [4].

Natural gas is produced in Egypt directly from natural gas fields or as an associated gas from oil fields. The first discovery of natural gas was in 1967 in the Abu-Madi area. Following this, the Abu Qir offshore field and Abu-El Gharadiq onshore field and Suez gulf fields were discovered and developed subsequently.

The total estimated gas reserve in Egypt is 11.6 TCF (cubic feet * 10^{12}). This reserve consists of 3.1 TCF of associated gas and 8.5 TCF of non-associated gas. The above reserve is sufficient for gas use in Egypt for a further 25-50 years depending upon the development of gas resources and the rate of consumption.

The daily gas production of the gas fields by region is shown in fig.(5). It can be seen that the fields of the western desert and Sinai are still under development.

The annual gas consumption per capita in Egypt is now about

126 kg of oil equivalent and this is expected to reach 256 kg of oil equivalent in the year 2000.

DAILY GAS PRODUCTION MILLION STANDARD CUBIC MT.

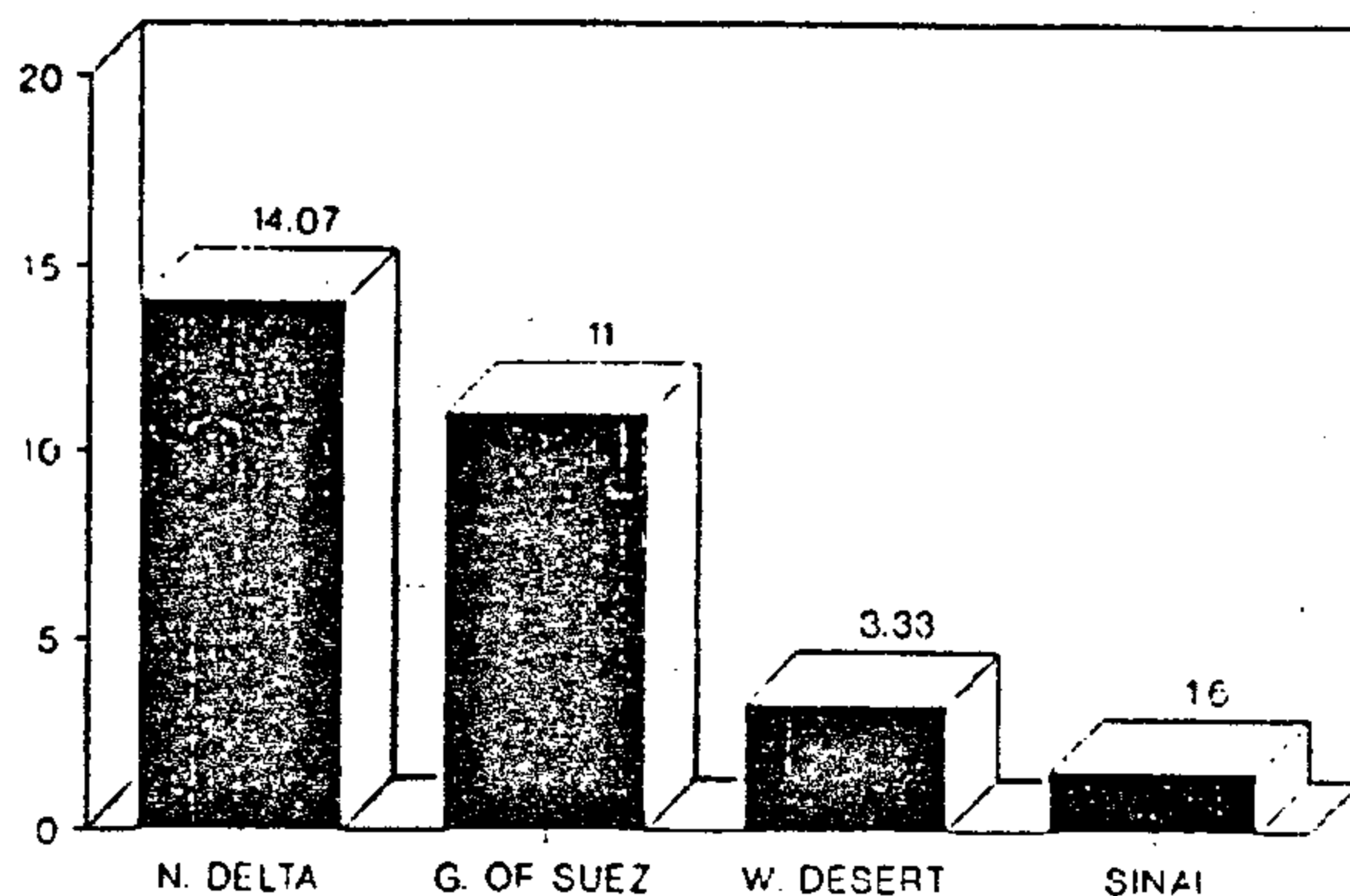
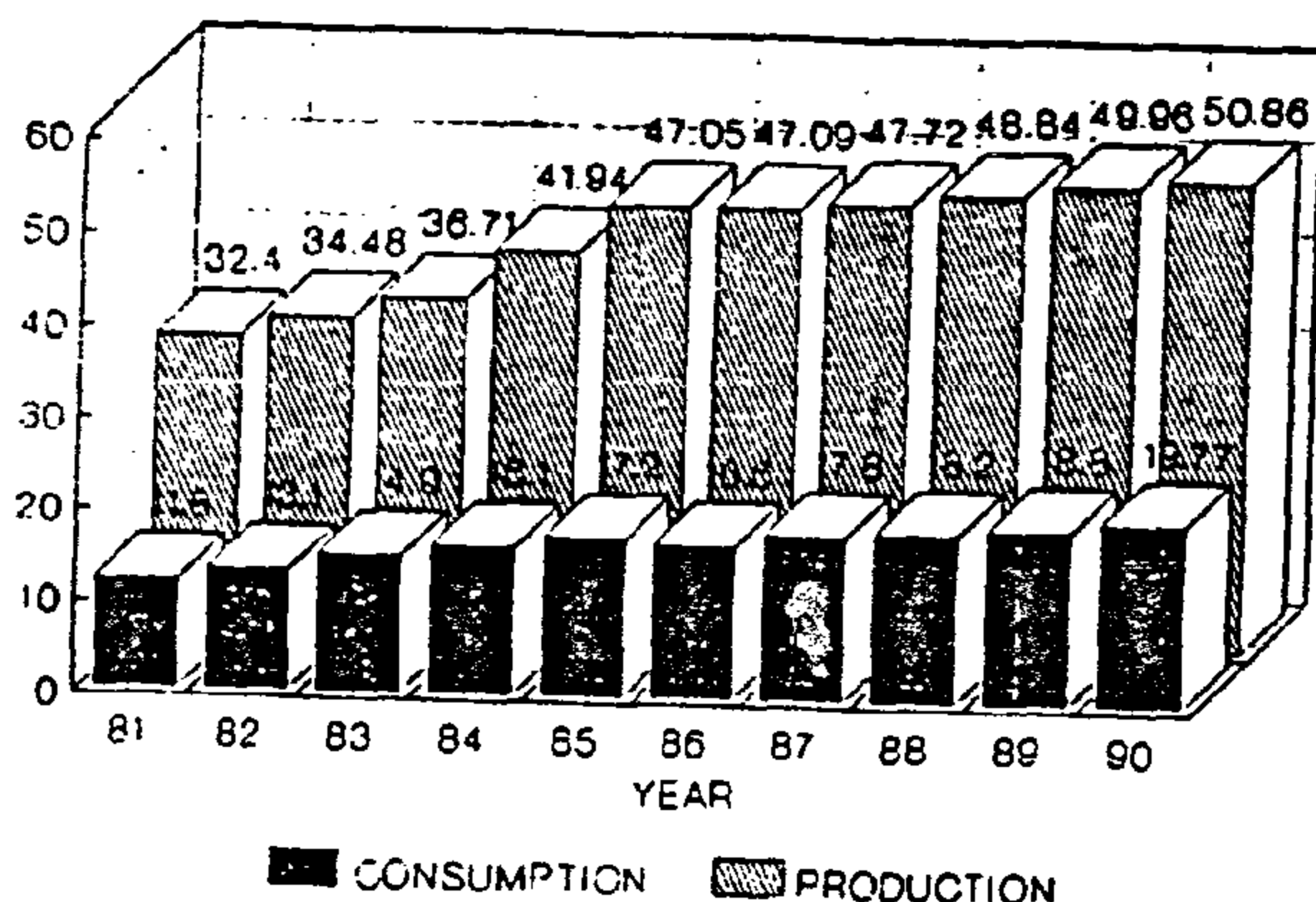


Fig.(5) Daily Gas Production Of The Gas Fields By Region

The technology of extraction of natural gas and the techniques of the separation of its components have improved so that it is now widely used as fuel and an essential raw material for the petro-chemical and fertilizer industries.

It is also used as fuel source in cement and steel industries and electric generation stations. It is widely used, now, as an alternative to bottled gas in Cairo.

The current consumption of natural gas in Egypt by sectors is distributed as follows:



Faced with the sharp decline in oil prices since January 1986, production stabled according to the market demand at the second half of the past decade.

To analyze the energy production/consumption pattern it is necessary to examine the production and consumption of the main oil subproducts.

Table (1) illustrates the historical production of oil subproducts in the past decade. The data in this table show that, the major petroleum products have been achieved very high development rate at the first three years of the last decade (it follows the same pattern as the main crude oil production), and then stabilized at natural rates, except ordinary gasoline which substituted by gasoline 80 and 90 on year 1984/85 and its

production has increased by high rates, butagas, kerosene and solar, which its production increased by a small rates due to its substitution by natural gas.

Fig (3) contains data of consumption of these products during the period 1984-1990. The consumption rates have been decreased by a rate of 3.4% and then gradually increased by moderate rates.

Fig (4) shows the consumption of oil products by different sectors in year 1990/1991 relative to year 1987/1988. The relative share of the total consumption for each sector can be seen. The consumption during this period has increased by 2 % for the industrial sector and 3 % for housing sectors. Consumption has been decreased by 2 % for electricity and 3% for others sector.

The total consumption of oil products at year 2005 is estimated to be 32.1 million tones.

2- NATURAL GAS

Natural gas and L.P.G are among the most important sources of energy in Egypt, especially natural gas because of its abundant availability.

Table (1) Production Development of Oil Products in Egypt
1981 - 1990

Item No.	Oil Products	81/82	82/83	83/84	84/85	85/86	86/87	87/88	88/89	89/90
1	Butagas	165.2	192	242	273	251	357	317	277	276
2	Gasoline, 80, 90	1060	1252	1661	1946	1993	2290	2233	2176	2236
3	Gasoline (ord.)	220	279	62	---	---	---	---	---	---
4	Kerosene	1571	1953	2029	2123	2257	2342	2412	2481	2424
5	Mazout	7724	8699	9057	9787	9512	9518	9968	10418	10420
6	Sollar / Diesel	2586	2792	2851	3364	3257	3488	4122	4756	3678
7	Oils	68.3	99	143	166	161	163	---	---	---
8	Bitumens	304	476	531	581	594	630	605	581	579

CONSUMPTION OF OIL PRODUCTS 1984-1990

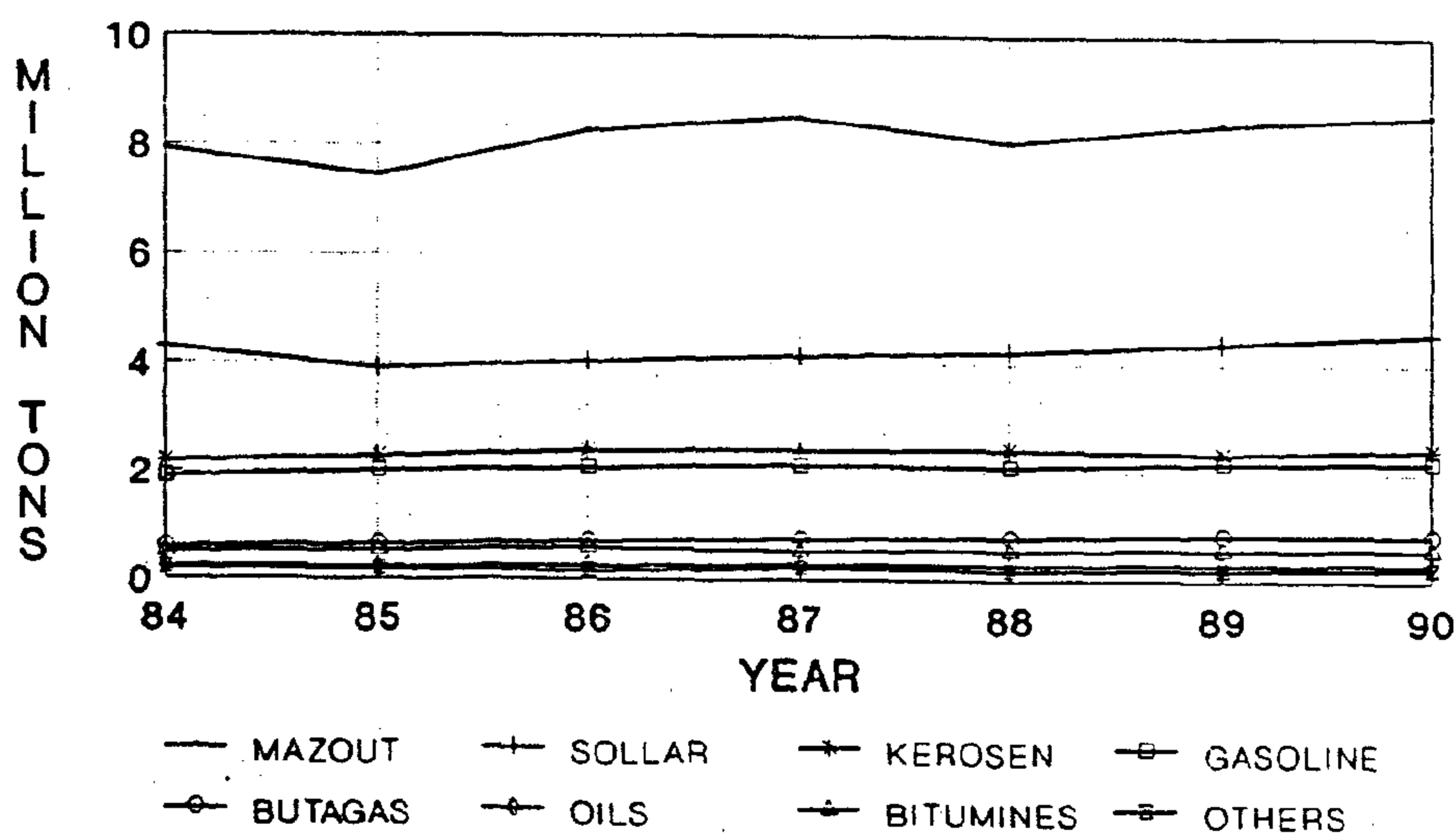


Fig.(3) Consumption of Oil Subproducts
During The Period 1984-1990

$$S_t = S_0 \exp(kt).$$

A generalized model for a group of related trend curves can be built. Throughout the work, the exponential model was compared with linear and non linear regression models and the best fit was chosen.

PRESENT SITUATION OF ENERGY PRODUCTION AND CONSUMPTION

Egypt meets its energy demand using a wide variety of sources, of which we consider five main sources: Oil, gas, coal, hydroelectric power, new and renewable sources. The general structure of energy system in Egypt is shown in fig.(1).

1- CRUDE OIL (PETROLEUM)

Petroleum is the major source

of energy in Egypt and the rest of the world. Existing oil fields are concentrated in the Red Sea region, off and on shore, Sinai and The North Western Coast. Petroleum reserves in Egypt are now estimated at 6 billion barrels.

Fig.(2) shows the historical production of crude oil and total consumption in Egypt taking year 1981 as a base year. It can be seen that; the production which was 32.4 tons in year 1981 increased in the first two years by annual rate of 6.42%, 6.47% respectively. A step increase of 14.25% in year 1984 occurred to reach 41.94 million tons. The rate decreased again to 12.18% in year 1985

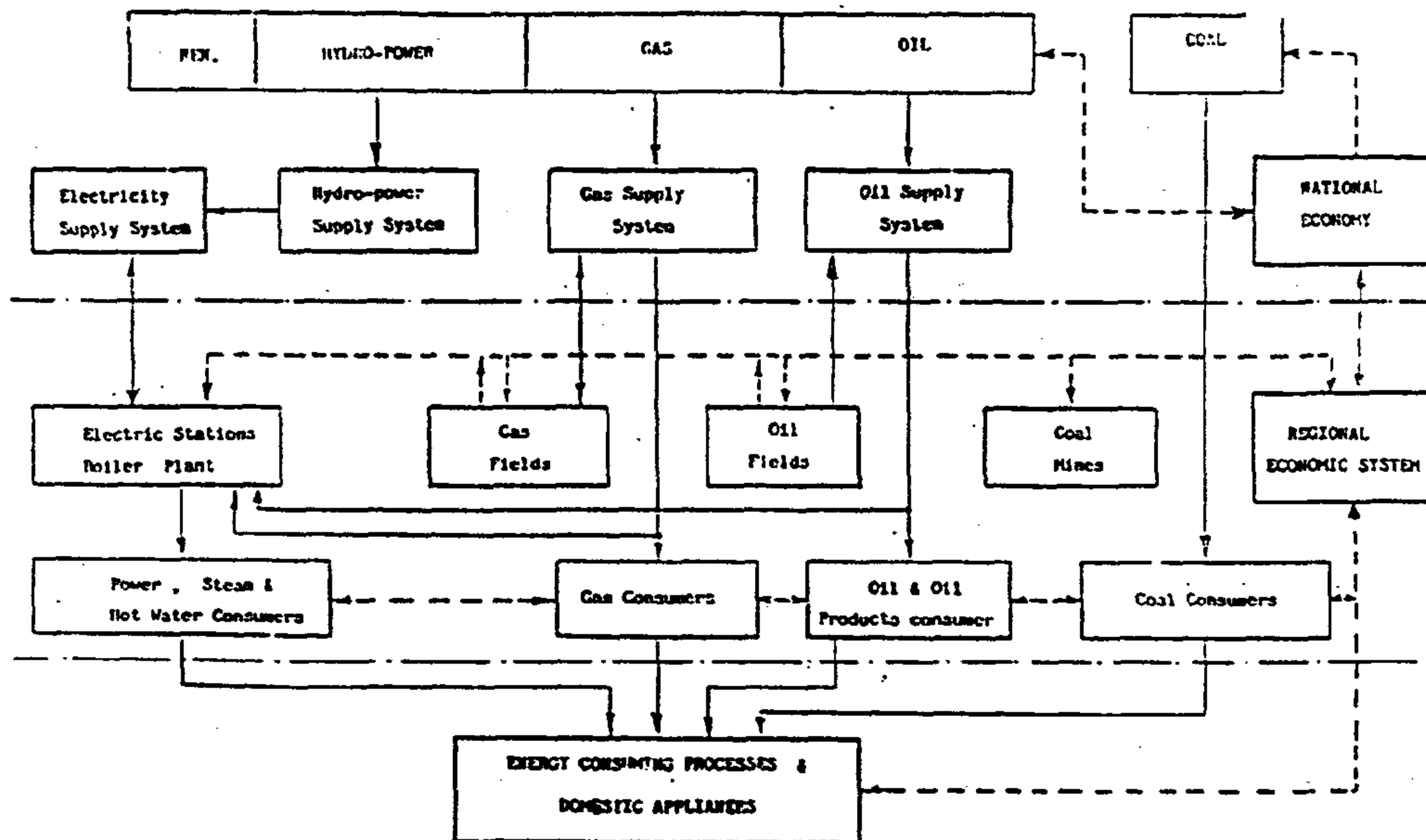


Fig. (1) Energy Structure in Egypt.

energy consumption is on average 60% higher than international standards. This high consumption rates reflect the necessity for a national energy conservation program.

If consumption of energy continues to rise at the present annual rate, and no longer petroleum finds are made, Egypt will be forced to import oil by early next century.

It is necessary therefore to pay attention to the energy supply and demand situation for the period 1992-2005, when oil reserves are generally assumed to be nearing depletion.

This paper provides an overview of the energy situation in Egypt, future needs, and technical and managerial issues facing the country .

METHODOLOGY

In characterizing the present and expected situation with respect to energy production and consumption in Egypt the following methodology has been used:

1-Review and analysis of the present situation and the potential for development of energy resources in Egypt.

2- Review and analysis of the present situation of electrical energy resources; hydro and thermal power.

3- Forecast of the energy demand in the year 2005 to determine the supply of energy required to establish and operate industries, transportation and other related activities, needed for acceleration of economic and social development.

Forecasting is a management tool which involves looking into the future.

Several forecasting techniques have been developed to date. In all of them, the pivotal point is the analysis of time series. The steps involved are:

- i) Detection of a trend in the parameters.
- ii) Evaluation of the functional relationships.
- iii) Estimation of system and structure parameters.

Much forecasting is done using trend curves. In the simple case, this is a linear or exponential curve defined as

$$S_t = S_0 + k.t \quad , \text{ or}$$

ENERGY PRODUCTION AND CONSUMPTION IN EGYPT CURRENT SITUATION AND FUTURE OUTLOOK

S. HOSAM EDDIN * S. ABD EL-WAHAB * A.S. ABD EL-KHALEK*

ABSTRACT

Energy consumption in Egypt has grown because of the industrial development and population growth. The uncertain availability of energy resources in Egypt and the need to match supply with demand makes the forecasting of energy consumption for the future period very vital.

In the present work, the current situation of energy supply and consumption is analyzed with emphasis on commercial oil products and electricity.

Government officials have frequently declared that oil resources have a limited life of about 10-12 years. A simple but effective forecasting technique has been used to predict energy consumption during this time period. This forecast will be very valuable to determine the extensive efforts and funds being invested to explore new sources of crude oil and other alternatives. It will be useful also to those involved in allocating resources for energy supply options, particularly oil exploration.

KEY WORDS

Energy, Energy Management, Energy Forecasting, Prediction Model, Energy Planning.

INTRODUCTION

It has generally been assumed that there is a consistent positive relationship between Gross National Product (GNP) and Energy Consumption [1]. However this relationship must be examined carefully, as the degree of dependance, economy versus energy, can be influenced by a variety of factors.

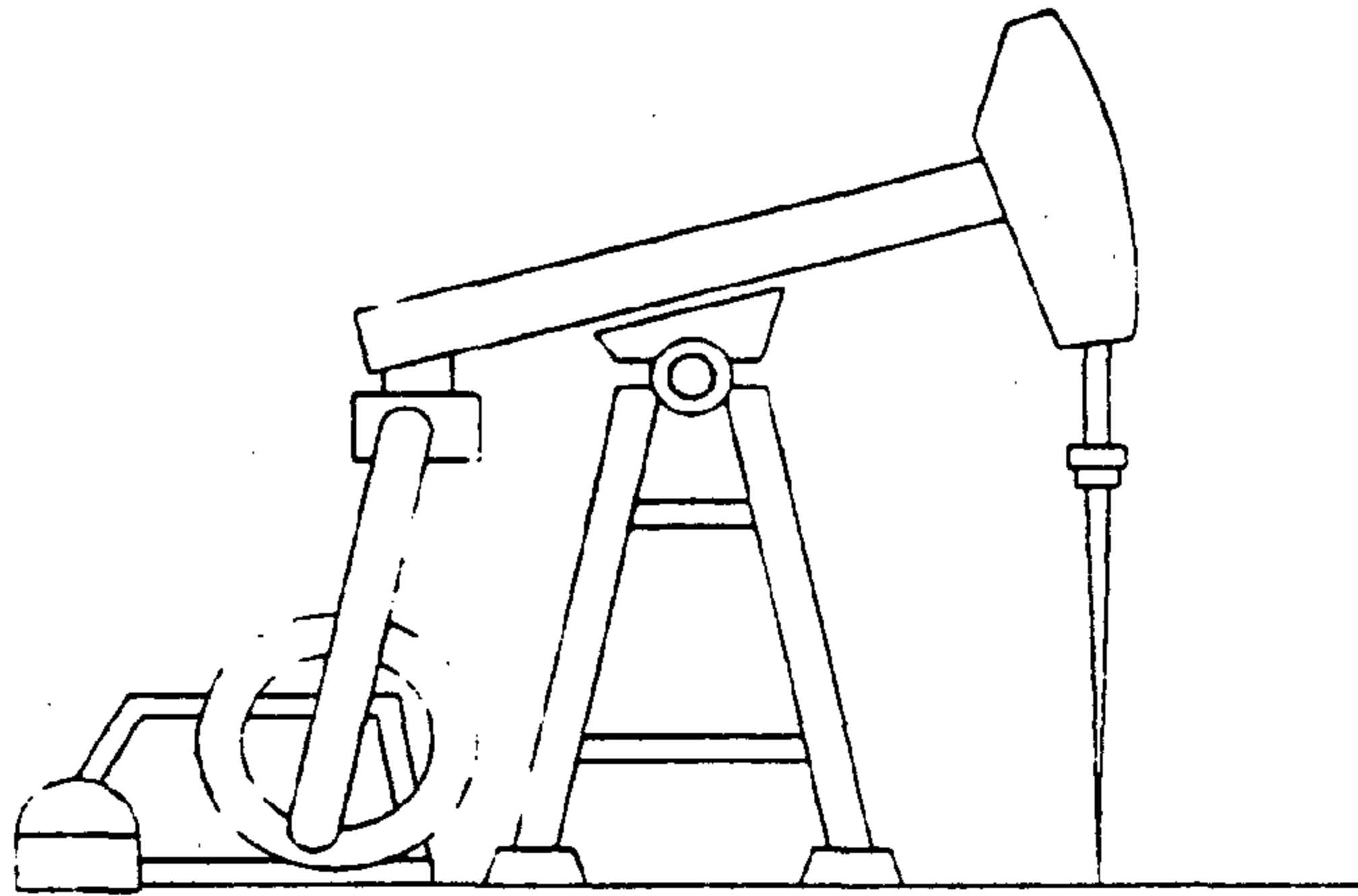
For less developed countries (LDC), additional growth in GNP

requires increase in energy consumption per unit of output usually larger than in developed countries because of the ongoing process of changing from traditional subsistence to modern commercial/industrial activities and life styles.

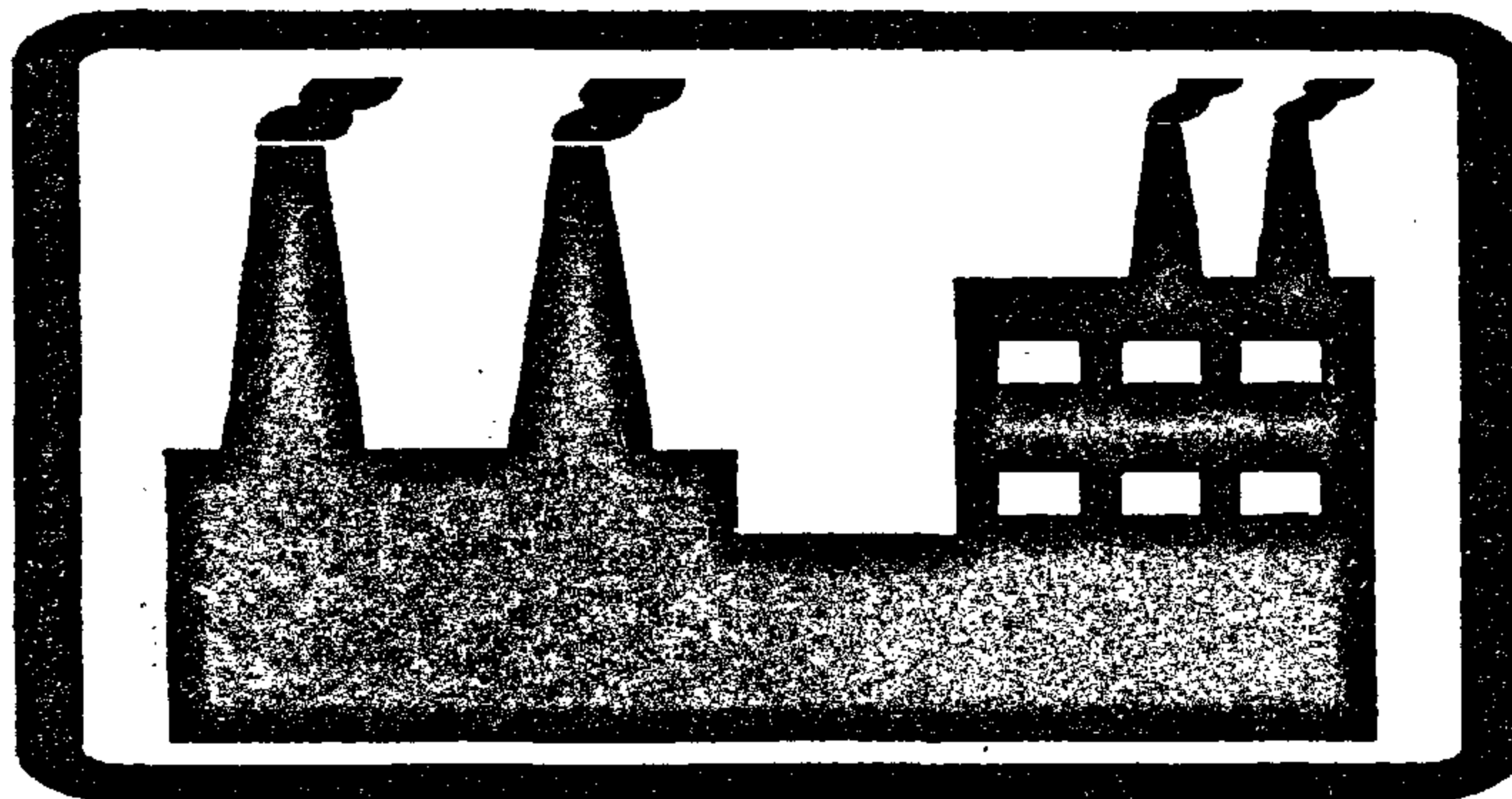
Egypt has a lower GNP per capita than the Philippines, but energy consumption in Egypt is higher. The per capita energy consumption in Egypt was 0.577 TOE/year in 1986, and it is below 0.5 TOE/year in 1990 [2]. It is about 64% higher than the average for countries at similar income level. Egyptian industry's specific

* Tabbin Institute for Metallurgical Studies And Energy Conservation & Efficiency Project

INST. OF MIN., PET. & MET. ENG



RAW MATERIALS & CHEMICAL
INDUSTRIES



INST. OF CHEMICAL ENGINEERS

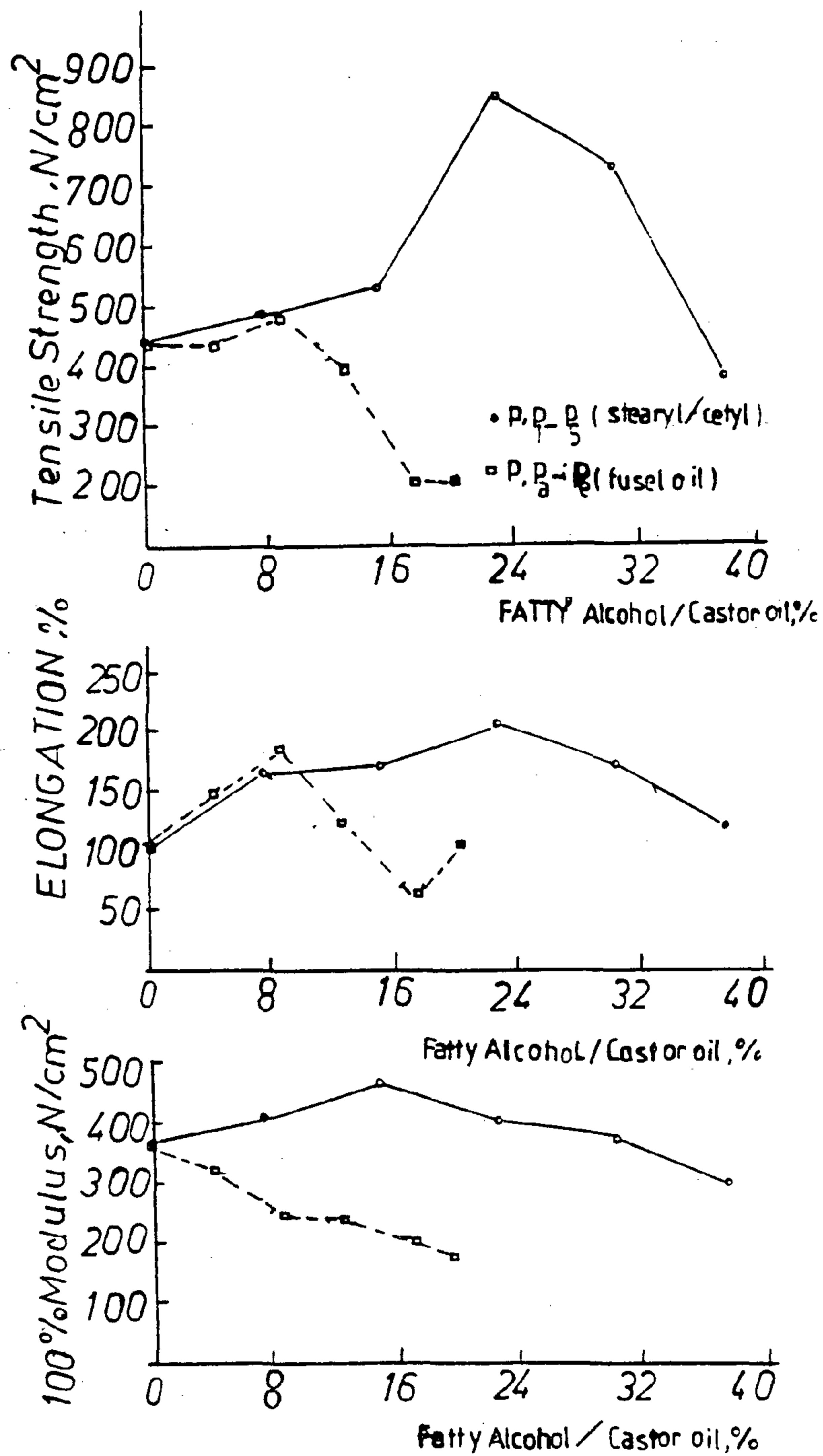


Fig.1. Variation Of Mechanical Properties
Of Samples With Fatty Alcohols/Castor
Oil, %.

- 3- The substitution of 22.9 % of the castor oil by higher fatty alcohols improved the tensile strength and elongation.
- 4- Lengthening the chains of fatty alcohols affect the mechanical properties of polyurethane coatings samples.
- 5- Solvents, catalysts, stabilizer, pigment and toluenediisocyanate were used in the same weights as the other samples.

The above experiments gave preliminary evidence that local fatty alcohols (products) could be used for the preparation and improvement of the mechanical properties (tensile strength and elongation %) for the protective coatings samples.

REFERENCES:

- 1- Wright, P. "Solid polyurethanes elastomers" Albert Yehaskel, No. 122, pp. 14, 38 (1979).
- 2- Saunders, J.H., "Polyurethanes, Chemistry and technology, Parts I and II", Interscience Publishers Inc., New York, 1962, 1964.
- 3- Pigott, K.A. J. Chem. Eng. Data, 1960, 5, (3), 391.
- 4- Smith, T.L., J. Polym. Sci., 1960, 42, (140), 391.
- 5- Cluff, E.F., J. Appl. Polym. Sci., 1961, 5, (13), 80.
- 6- Tanaka, T., Rubber Chem. Technol., 1962, 35, (4), 970.
- 7- Darr, W.C. Ind. Eng. Chem. Prod. Res. Dev., 1963, 2 (3), 194
- 8- Haag, E.C. Paper present to the American Chemical Society Division of rubber chemistry, Montreal, May 1967.
- 9- Cooper, W., Ind. Chem. 1960, 36, (421), 121.
- 10- Britain, K.A. Ind. Eng. Chem. Prod. Res. Dev., 1962, 1 (4), 261.
- 11- ASTM D 638-77 a (1980).

Table 1: Selected Samples Formulations of Polyurethane higher Fatty Alcohols(Stearyl/Cetyl) Coatings.

Components Used, gm	P	P ₁	P ₂	P ₃	P ₄	P ₅
Castor Oil	17	15.7	14.4	13.1	11.8	10.5
Fatty alcohols	-	1.3	2.6	3.9	5.2	6.5
Fatty alcohols/ Castor Oil, %	-	7.6	15	22.9	30.5	38
TDI	5.7	5.7	5.7	5.7	5.7	5.7
Cobalt-naphthenate	0.08	0.08	0.08	0.08	0.08	0.08
Dibutyltindilaurate	0.05	0.05	0.05	0.05	0.05	0.05
Pigment	0.02	0.02	0.02	0.02	0.02	0.02
Toluene	17	17	17	17	17	17
Butylacetate	17	17	17	17	17	17

Table 2 : Selected Samples Formulations of Polyurethane lower Fatty Alcohols(Fusel Oil) Coatings.

Components Used, gm	P _a	P _b	P _c	P _d	P _e
Castor Oil	16.24	15.5	14.48	14	13.2
Fatty alcohols	0.76	1.5	2.16	3	3.8
Fatty alcohols/ Castor Oil, %	4.4	8.8	12.7	17.6	22.3
TDI	5.7	5.7	5.7	5.7	5.7
Cobalt naphthenate	0.08	0.08	0.08	0.08	0.08
Dibutyltindilaurate	0.05	0.05	0.05	0.05	0.05
Pigment	0.02	0.02	0.02	0.02	0.02
Toluene	17	17	17	17	17
Butylacetate	17	17	17	17	17

Table 3 : Mechanical properties of the prepared Samples

Samples Test	Tensile Strength N/cm ²	Elongation, %	100% Modulus N/cm ²
P	440	100	360
P ₁	480	160	400
P ₂	520	164	460
P ₃	840	204	400
P ₄	720	172	380
P ₅	380	124	300
P _a	460	143	320
P _b	480	176	240
P _c	400	124	240
P _d	200	60	200
P _e	200	104	180

Appearance	Liquid
Colour	pale-red-brown
Density, d_4^{20}	0.811
Average molecular weight	($C_3 - C_6$) 76.2
Hydroxy number	736

4- Isocyanate: Toluene diisocyanate mainly "mixture of 80% 2,4 and 20% 2,6 toluene diisocyanate.

5- Pigment : Sandorin Red BRN, from Egyptian Plastic and Electrical Co. Alexandria.

Preparation of coating samples:

Through the present work, several formulations of coatings were tried. The best samples were obtained by mixing the components in the proportions, shown in tables (1,2).

The general procedure for formulation of coating samples prepared by dissolving castor oil in a mixture of organic solvents containing equal weights of toluene and butylacetate, followed by addition of higher fatty alcohols (stearyl / cetyl) or lower fatty alcohols (fusel oil) in different proportions with agitation at room temperature.

Toluene diisocyanate was charged to reaction flask followed by adding the prior solution with agitation. The whole solutions was mixed with co-naphthenate which acts as a catalyst dibutyltindilaurate as light stabilizer and sandorin red BRN as pigment with agitation at 60 C for 13 - 30 minutes, then cooled to room temperature, followed by pouring into petri dishes, to give the required samples of coatings.

The samples were dried at room temperature after variable times to form p, p₁, p₂, p₃, p₄, and p₅ respectively, see table (1) and form p, p_a, p_b, p_c, p_d and p_e respectively, see table (2).

Samples were characterized and tested according to the standard mechanical methods ASTM D 683-77 a (1980) (tensile strength, elongation, and 100% modulus), Instron testing machine (Model 1026) at 23 C with cross head speed 100 mm/min., chart and load range 0-500 Newton [11], see table (3).

DISCUSSION:

On studying the previously mentioned samples it is quite evident that tables (1-3) and figure (1) shows the mechanical properties (Tensile strength N/Cm², Elongation %, and 100 % Modulus N/cm²)

Versus fatty alcohols / castor oil ratio, % for the polyurethane coatings samples from p₁ to p₂ and from p_a to p_e respectively.

The results of tables (1-2) and figure (1) for sample p₃ shows that it has better (higher) Tensile strength and Elongation than other samples, this is may be attributed to the presence of identical fatty alcohols / castor oil ratio, % (22.9 %). This indicates that the tensile strength and elongation properties are improved by substitution of 22.9 % of the castor oil by fatty alcohols (based on stearyl / cetyl alcohols).

Also, the results of tables (1-3) and figure (1) for the sample p_b shows that it has better (higher) tensile strength and elongation % than other samples, this may be attributed to the presence of identical fatty alcohol / castor oil ratio, % (8.8 %). This indicates that the tensile strength and elongation properties are improved by substitution of 8.8 % of the castor oil by fatty alcohols (based on fusel oil).

It is evident from tables (1-3) and figure (1) that the mechanical properties (tensile strength, elongation %, and 100 % modulus) for samples p₁ to p₅ are better (higher) than that of samples p_a to p_e.

This indicates that the mechanical properties often improves (increases) with the increase in the content of the length of the chains present of the hydrocarbon alcohols p₁ to p₅ (C₁₆ - C₁₈) and p_a to p_e (C₃ - C₆) respectively. i.e. the increase in units of chain cause increase in mechanical properties.

On the other hand, figure (1) show that a increases in fatty alcohols/castor oil ratio, % decrease the 100 % Modulus for the polyurethane coatings.

The sample p₃ seems to be the best sample, we could formulate. The test on sample p₃ mechanical properties (tensile strength and elongation %) approves these characterization and conclusions:

- 1- The ratio by weights of higher fatty alcohols (stearyl / cetyl) content: castor oil is 1:3.35.
- 2- In a formulation with an optimum initial ratio of isocyanate and hydroxyl groups was 1.3 : 0.3 (based on -OH group in higher fatty alcohols).

EFFECT OF FATTY ALCOHOLS ON THE MECHANICAL PROPERTIES OF POLYURETHANE COATINGS

• A.M.HASSAN, • A.M. MOTAWIE AND •M.A.YOUSSIF

ABSTRACT

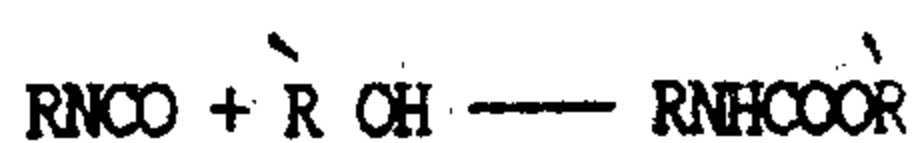
The samples of polyurethane coatings were prepared from Egyptian castor oil, Toluene diisocyanate, Catalyst, stabilizer, pigment, solvents and Fatty alcohols (stearyl / cetyl or fusel oil) in different proportions.

The effect of fatty alcohols on the mechanical properties of the prepared samples was studied.

The substitution of 22.9 % of the castor oil by higher fatty alcohols improved the mechanical properties (tensile strength and elongation) and better than the substitution of it by lower fatty alcohols.

INTRODUCTION

Alcohols react with isocyanates to give urethane:



In general the stability of the urethane is connected with the rate of formation, slow reaction rates producing more stable urethanes. The thermal stability of the urethane group is also dependent on the structure of the alcohol [1].

The properties of the polyurethane polymers are influenced by several features all of which are interdependent to some extent.

Three major factors that can be quoted are molecular weight [2-7], Crystallization tendency, and degree of cross linking [8].

The reaction rates of polyurethanes depends of the following factors: iso-cyanate structure [9], polyol structure, temperature and catalysts [8,10].

In recent years attempts have been made to correlate the properties of polyurethanes with their structure, and although the results so far are only semi-quantitative at the best, they are already of use to the polymer chemists for formulating compounds for specific uses [1].

EXPERIMENTAL AND RESULTS:

MATERIALS:

1- Coaster oil : obtained from the seeds of the plant "Ricinus communis" cultivated in Egypt and having the following specifications:

Appearance	viscous
Colour	pale yellow
Sp.Gravity	0.966
Acid number	1.9
Hydroxyl No.	165

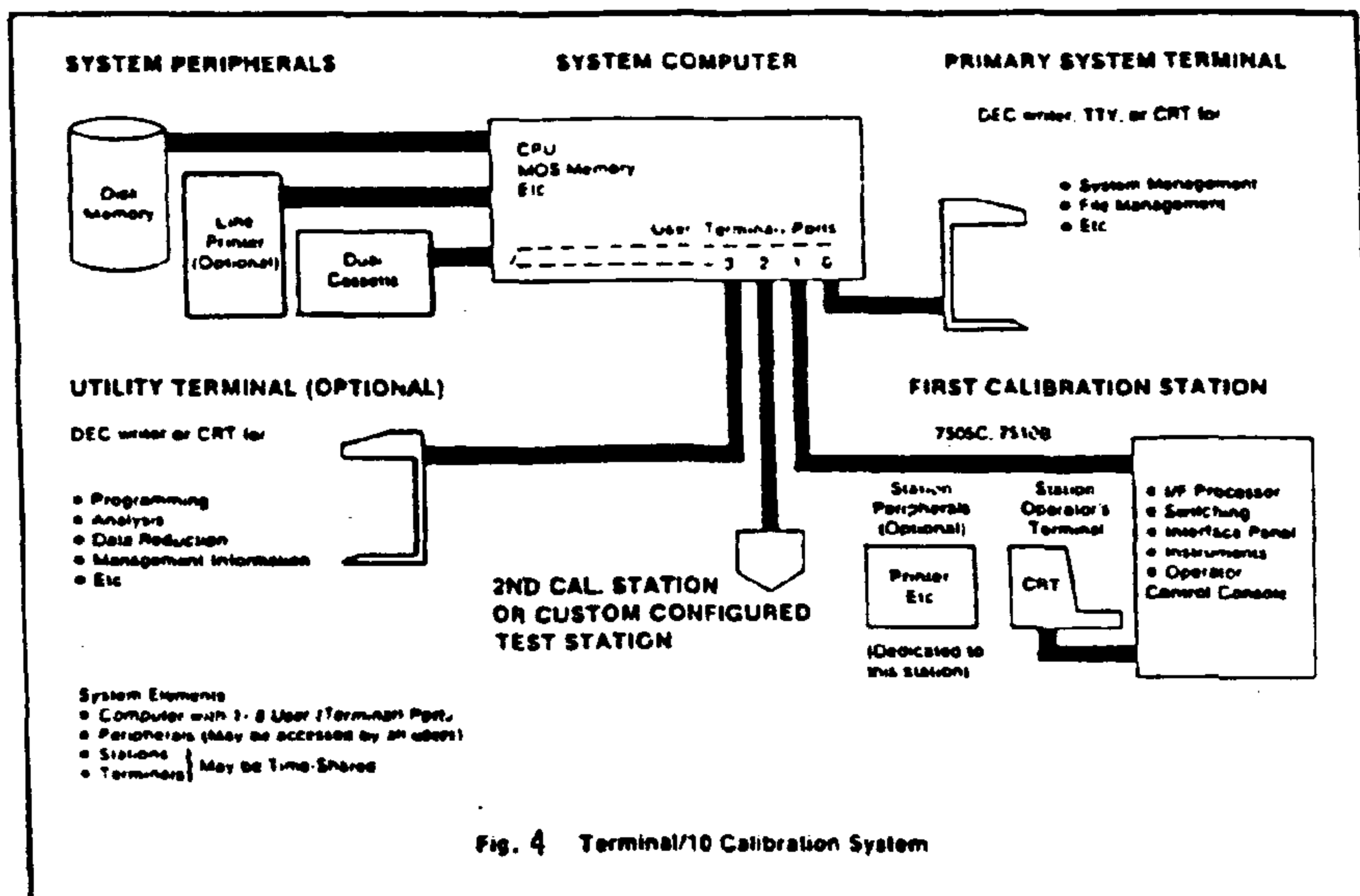
2- Fatty Alcohols:

(a) High molecular weight (stearyl / cetyl, obtained from starch yeast and Detergent company, Alexandria, having the following specifications:

Melting point, C	43
Average molecular weight	259
Hydroxyl number	216
Chemical structure	(C ₁₈ , 50% & C ₁₆ 40%)

(b) Low molecular weight (fusel oil) obtained from Egyptian sugar & Distillation company El-Hawamdia, having the following specifications:

* Petrochemical Department, Petroleum Research Institute, Nasr City, Cairo - Egypt.



processed. It virtually eliminate human errors and produces consistent results via a system controlled program. Traceability to the national institute of standard and technology (NIST) or the bureau international des poids et mesures (BIPM) is another reason for automating a test laboratory.

The international agreement. The national standards laboratories of most major industrialized countries will put into new representations of the volt and ohm practical units for the precise and highly reproducible measurement of voltages and resistance - effective January 1, 1990. the new conventional value of Josephson constant K_J - 90 = 483 597.9 GHz/V will result in an increase of some ppm in the value of the local volt representation, which will lead to a decrease of the same amount of the voltage standard calibrated with the Josephson apparatus. In general, if a measurement unit increases in magnitude by X ppm, then the value of a quantity measured in terms of it will decrease by X ppm compared with the measured in terms of the old unit.

Also by international agreement, as of Jan. 1, 1990, the international practical temperature scale of 1968 will be superseded by the international temperature scale of 1990. mainly affected will be voltage standard composed of saturated standard cells such as these that are maintained in a regulated oil or air bath. And consequently based on these new representations thousands of instruments worldwide will need adjustment. The levels of accuracy and resolution will determine which instruments that need such adjustment.

REFERENCES:

1. B.N. Taylor "new internationally adopted reference standard of voltage and resistance", journal of research of the national institute of standard and technology, VOL. 94 NO. 2, pp.95-103, MARCH/APRIL, 1989.
2. B.N. Taylor, "preparing for the new volt and ohm", IEEE spect. vol.26, no.7, 1989
3. K. Fitzgerald, "Test standard mile stone", IEEE spect. vol.27, NO.2, 1990.
4. W.B. BELECKI, R.F. DZIUBA, B.F. Field, and B.N. Taylor "Guidelines for implementing the new representations of the volt and ohm effective January 1, 1990", "NIST Technical notes 1263
5. Fluke manual, "1978-1979", instrument catalog, litho in U.S.A.
6. HP Manual, "Electronic instrument and system, measurement/computation", 1983.
7. P.P. Gelsinger, P.A. Gargini, G.H. Parker, A.Y. YU, "Workstation on a chip", IEEE spect. vol.26, no.10, 1989.

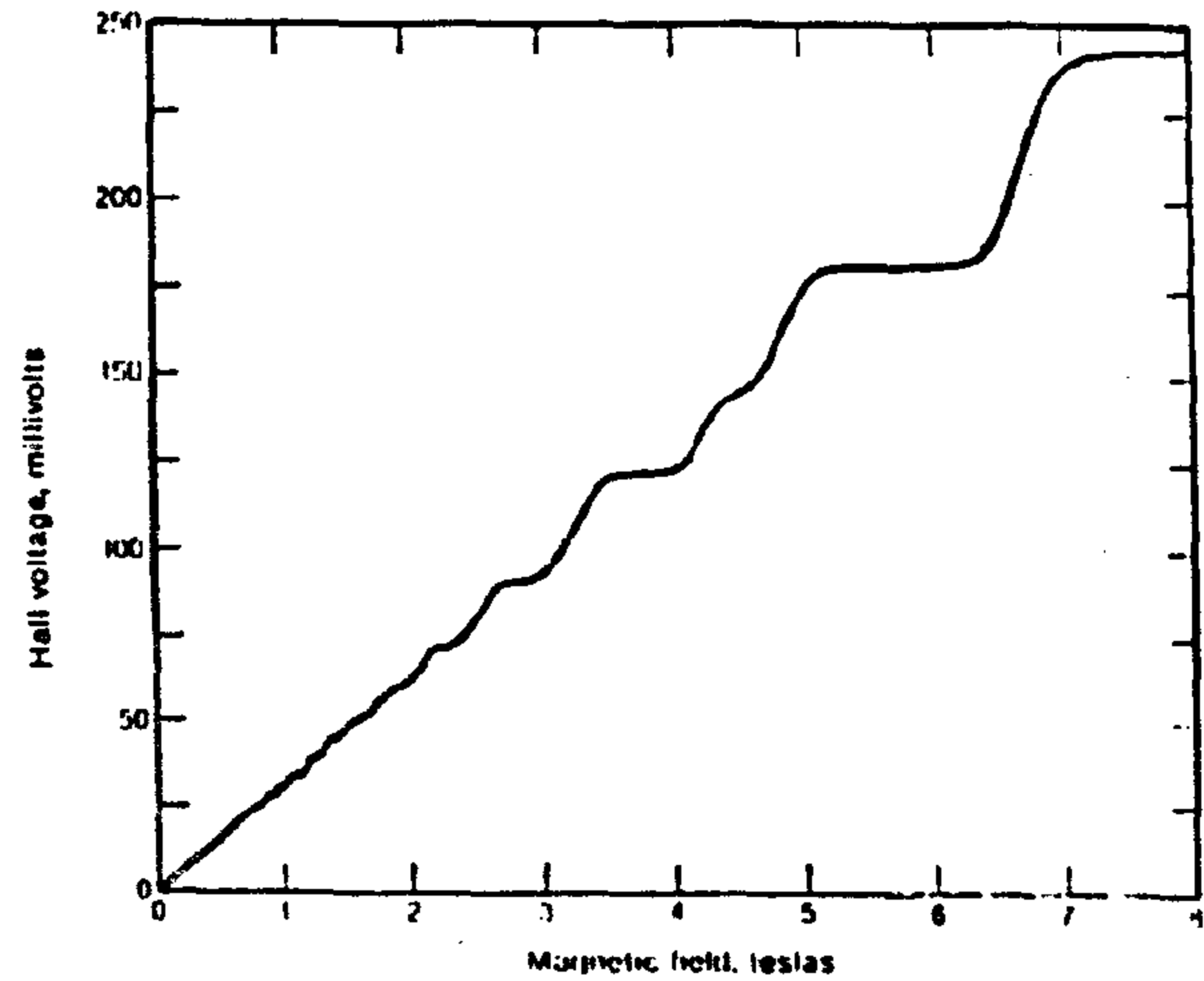


Fig. 2. Hall voltage as function of magnetic field. It shows the quantized Hall resistance plateaus from which a standard Ohm value can be derived.

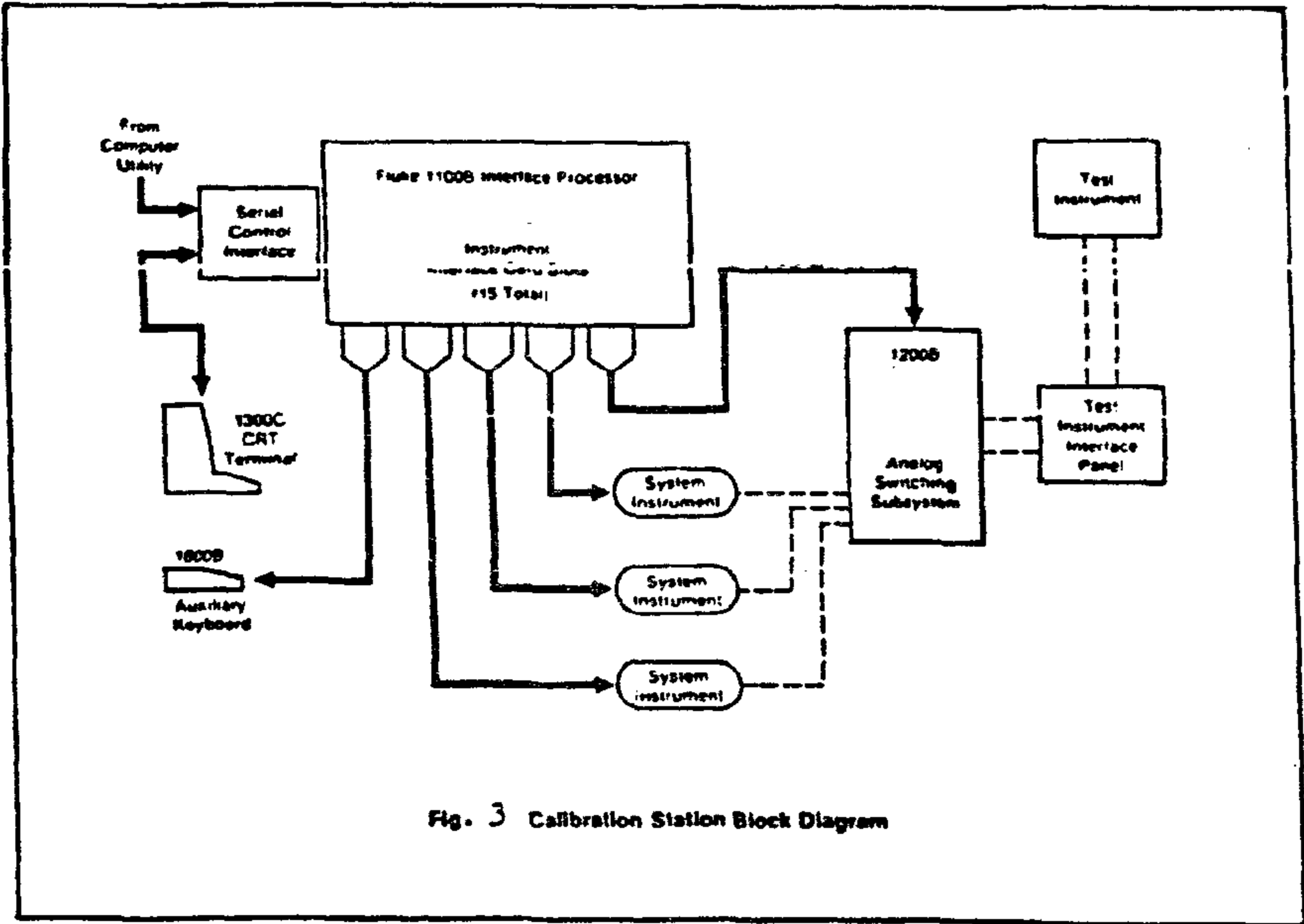


Fig. 3 Calibration Station Block Diagram

nominal temperature is of no concern, no action need be taken. But if the temperature of the bath is physically adjusted so that it once again becomes a 30.000 °C bath (for ITS-90) then a temperature correction based on the Wolff or international temperature formula must be applied to the EMFs of the cells. This correction is about - 0.4 microvolt for this example.

The situation with standard resistors is analogous except that the bath temperature is usually near 25 °C and thus the temperature decrease will be about 0.006 °C.

X. AUTOMATED MEASUREMENTS:

1. CONCEPTUAL FRAME WORK: For nearly all instrument types, automatic testing greatly reduces test times and costs while increasing the volume of instruments processed. Automatic testing reduces labor costs. One automated test station performs three to five times the work of a manual station, and a semi-skilled operator can replace a trained test technician. Automatic testing virtually eliminates human errors and produces consistent results via a system controlled program. The test station operator in effect only "observes". And accuracy enhancement programs often give better system specs than those for individual station instruments. Moreover, the precision of measurement that can be obtained with a digitized error detection scheme exceeds that obtainable by the use of analogue sensor.

Traceability to the NATIONAL INSTITUTE OF STANDARDS AND TECHNOLOGY (NIST) is another reason for automating a test laboratory. sophisticated programs guarantee the system is NIST traceable. perhaps the most attraction reason for automating is flexibility. the automated calibration system checks meters and oscilloscope concurrently and allows separation of work in the laboratory.

2. CALIBRATION STATION: A typical installation incorporates a 7505 C Meter calibration station with a 7510 B oscilloscope calibration station (5). both time-share simultaneously from a single computer. Fig.(3) shows a typical block diagram of of calibration station. Because each station is a computer peripheral, users can add stations as they need them without investing in separate computers for each station. And a separate terminal can be used for program development at the same time calibration are on-line. TERMINAL/10's modular architecture makes it more than a "universal test set" Fig.(4). each station provided a specific range of stimulus, measurement, and switching capability optimized to meet test requirements to achieve the goals defined by each application. With TERMINAL/10 the operator follows step-wise procedures displayed on a CRT blinking messages, LED prompts, and audio signals complement the basic instruction. Simple interface panel and instructions make test instrument hookup trouble free

3. DIGITAL VOLTMETER: Digital voltmeters (DVM'S) have historically been optimized for either a system's environment where speed is important or for bench applications where high accuracy high resolution and low noise are paramount. Hewlett Packard introduces two new types of digital multimeters (DDM'S). Both offer the classical trade off between speed and accuracy by using the same multislope integration. Both offer 3.5 to 5.5 digit resolution (6). Both are

full five function digital multimeters with dc volts, true r.m.s. ac volts, resistance, dc current, and true r.m.s. ac current. Both are completely programmable. both offer complete ,adjustment-free electronic calibration. And both are attractively low priced. The DDM is designed to give an operator the same kind of manual control over measurements as a modern programmable measurement system provides. In other words it is designed to provide a person having no programming skills all the residual power available in the DDM as a systems component.

4. INTERFACE: The early 1970s marked the beginning of a revolution in the world of electronics: The microprocessor revolution. since a microprocessor standing alone in useless, extensive interfacing is required to build a usable product. The mating of one component in a system to another to form totally operational unit is defined as interfacing. The science of using a microprocessor and efficiently integrating it into an overall system is called microprocessor interfacing. It is to be noted that careful considerations of a system's interface requirements during the design phase and adherence to defined design rules will result in a clean highly reliable design that make use of all the advanced features microprocessor have to offer. The support circuitry and all the devices surrounding a microprocessor cost more, take up more space, have more critical environmental constraints, and draw more power than the microprocessor in nearly every case and should be given very high priority in the design of a system.

A new low cost interface for peripheral and instrumentation is found in the HP DDM. Software can easily be developed to analyse and store data for a customer's specific application. powerful computers plus powerful software equal powerful results. nowhere is this "equation" more true than with the series 200 engineering work stations from Hewlett Packard. based on the MC 68000 microprocessor from Motorola, the series 200 computers convey all the power resourcefulness of 16-bit computing while keeping size to a minimum -in fact, the model 216 takes up more space than an in-basket.

5. MICROPROCESSORS: The microprocessor of the year 2000, with a projected 50 million transistors on a die measuring one inch square, could incorporate multiple processors with an aggregate performance of over 2000 million instructions per second (MIPS). this estimate extrapolated from trends of the last 250 megahertz and that each processor on it would perform at over 750 MIPS (7). several special-purpose processing units may also be include in micro 2000. A variant of micro 2000 could place an entire personal computer or work station except for the memory on one die. Already many minicomputers are simply repackaged microprocessors. ten years from now, the microprocessor should be out performing contemporary mainframe. And consequently, the microprocessor of the next century going to be faster and more powerful than a mainframe.

CONCLUSION:

automated calibration was found to be the ideal solution for increasing accuracy and precision requirements of the calibration laboratories of today. automating testing greatly reduces test times and costs while increasing the system of instruments

iii. classical potentiometers with uncertainties of 100 ppm or better and having an internal voltage reference.

3. similarly standard instruments and test equipment used for resistance measurements and calibrations at the for adjustment. these include.

i. standard resistors of manganin or even ohm in the range of 1 million to 1 megohm as calibrated by NIST.

ii. classical manual resistance bridges with internal reference resistors and capable of measurements with an uncertainty of 20 ppm or better.

iii. multimeters of 6-1/2- digit resolution or greater that can measure resistance with an accuracy commensurate with their resolution.

4. other standard and instruments possibly affected by the introduction of the new volt and ohm representations are those relating to electric power and energy at the 270 ppm level of uncertainty or better:

i. direct current at the 80-ppm uncertainty level or better.

ii. alternating voltage (100-ppm) and current (80-ppm).

VII. INSTRUMENTS THAT WILL NOT BE AFFECTED BY THE NEW CHANGES:

Instruments which will not need to be adjusted are: potentiometers and resistance bridges that use external reference standards, because the adjustment of the external voltage and resistance reference standards will be sufficient.

VIII. METHODS OF ADJUSTMENTS:

adjustments of reference standards and instruments are as follows:

1. Changing a local volt representation based on a group of standard cells requires that the values assigned each electromotive force (EMF) of the group be reassigned so as to be consistent with $k \cdot J-90$, it being impossible to adjust the necessarily fixed EMF of a cell. In the United States, the EMF value assigned each cell immediately prior to 1990 must be reduced by 9.264 ppm, that is, the new value is 0.999 990 736 times the old value. There are two options for changing a local volt representation based on solid-state references.

i. In the first, the procedure given for standard cells is followed, and 0.999 990 736 times the old value becomes the new value:

$EMF_{new} = 0.999\,990\,736 \cdot EMF_{old}$

Thus, if the old value is 10.000 000 00 V, the new value will be 9.999 907 36 V. However, unlike the EMF of a standard cell, the voltage of a solid-state reference can often be physically adjusted. Hence the other option is as given in ii. In the second, the procedure is to increase the actual output voltage of the reference so that the new value of output voltage is numerically the same as the old value. In the example considered here, this would require increasing the output voltage by 92.64 microvolts ($9.264 \text{ ppm} \times 10 \text{ V}$).

2. Changing a local representation of the ohm based on a group of standard resistors is similar to changing a local representation of the volt based on standard cells. The resistance value assigned each resistor

immediately before 1990 is simply reduced by 1.69 ppm that is, the new value is 0.999 998 31 times the old value. However, to obtain the old value may will require accounting for the drift rate of the resistor, as may also be the case for standard cells. Further from 1990 on, the drift in the current U.S. ohm representation will be eliminated, thereby changing the drift rate of client resistance standards since they are based on previous calibrations at NIST.

3. D.C. ampere adjustment: As previously indicated the new 1990 standard will lead to an increase in the ampere representation of 7.57 ppm known current for calibrating dc current sources, ameters, or the current function of digital multimeters are established with the aid of dc resistance and voltage standards. For given setting, A current generator should produce a current 7.57 ppm larger after it is adjusted than before, while an instrument that measures current should give a reading of an arbitrary constant current that is 7.57 ppm lower after adjustment than before.

4. A.C. voltage, resistance and current: with regard to these quantities the situation is analogous to that for the corresponding dc ones. But for fewer instruments will be affected because the uncertainty level for ac quantities is in most cases much worse than for the corresponding dc quantities. Moreover, ac measurements are generally made in terms of dc standard by the use of thermal or sampling techniques that are independent of the volt and ohm. Hence adjusting the dc references in instruments usually will suffice for the ac quantities. Manufacturers' instruments should be consulted in this regard.

Detailed instructions on how to bring standards of voltage and resistance and related instrumentation into conformity with the new representations, can be found in.

(4). the background and main results of the 18th meeting of the Comité Consultatif d'Electricité (CCE) held in September 1988 can also be found in (1). It was this meeting at which the new volt and ohm representations were formally established.

IX. OTHER REPRESENTATIONS :

1. FARAD: as of the start of 1990, the U.S. representations of the farad will be reduced by approximately 0.14 ppm to bring it into better agreement with the SI farad.

2. HENRY: the NIST representation of the henry is derived from the NIST farad and ohm representations using a MAXWELL-WIEB bridge, so that its value will increase by $2 \times 1.69 \text{ ppm} - 0.14 \text{ pp}$, or 3.24 ppm. because the lowest uncertainty provided by NIST for the calibration of standard inductors is 200 ppm, their assigned values will not require change.

3. TEMPERATURE: on Jan. 1, 1990, the international practical temperature scale of 1968, IPTS-68, will be superseded by the international temperature scale of 1990, ITS-90. the new scale will affect laboratories using saturated standard cells in an oil or air bath for which the temperature is read by means of a calibrated temperature sensor, such as a platinum resistance thermometer.

As an example, consider that implementing ITS-90 will reduce temperatures in the 30°C range by about 0.007°C . then an IPTS-68 30.000°C constant temperature bath will become a 29.993°C bath. If this "non-

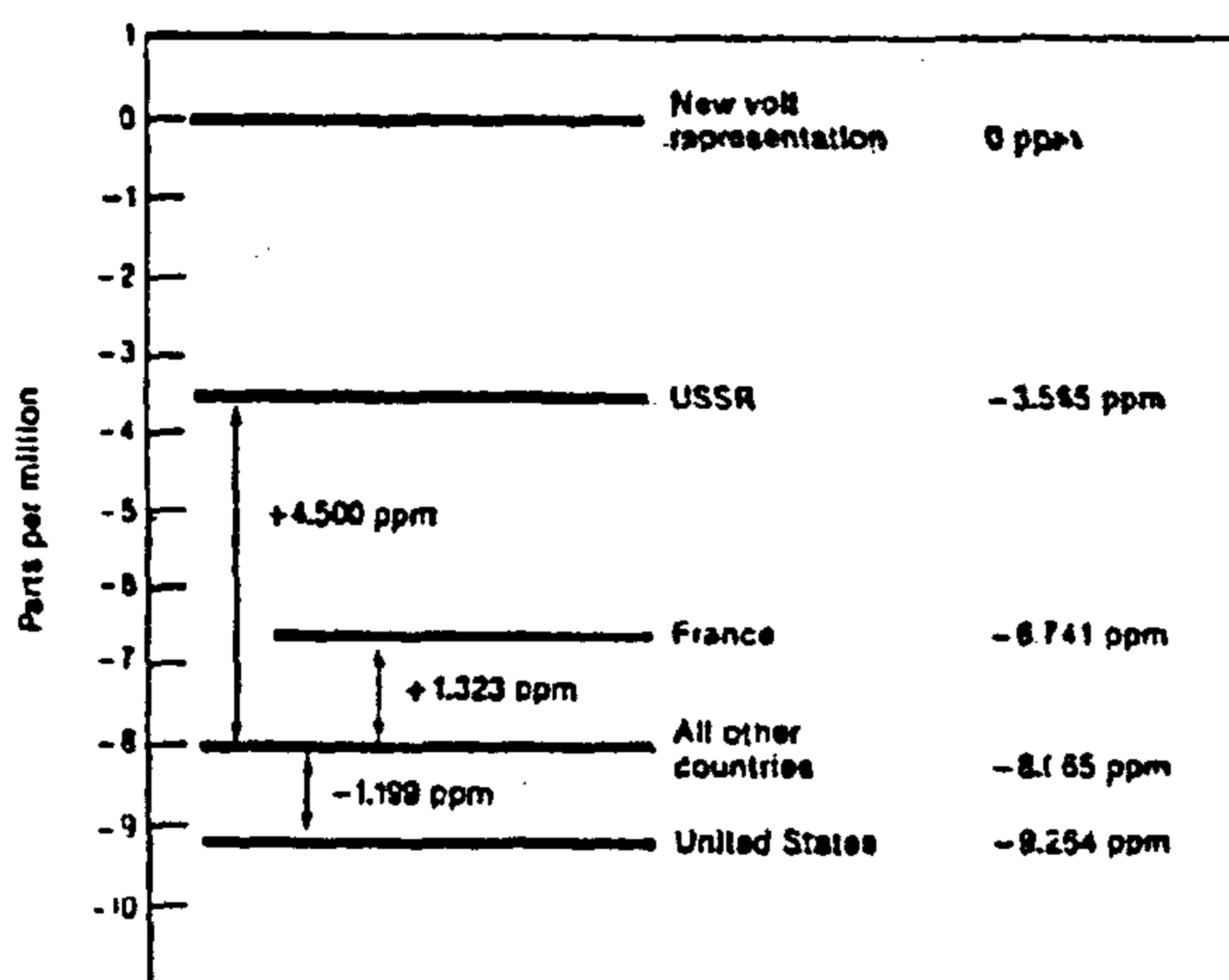


Fig. 1. Quantities in ppm required to be increased for the new volt representation all over the world

III- THE JOSEPHSON EFFECT

The Josephson effect is characteristic weakly coupled superconductors cooled below their transition temperatures. an examples is two thin films of superconducting niobium separated by a thermally grown oxide layer approximately 1 nanometer thick. when such a Josephson tunnel junction irradiated with microwave radiation of frequency f , its current versus voltage curve exhibits current steps at precise quantized Josephson voltages U_j , the voltage of the step, $U_j(n)$, is equal to nf divided by K_j , where n is an integer and K_j is the Josephson constant. it is equal to the frequency -to- voltage quotient of the $n=1$ current step. for all practical purpose of electrical metrology, K_j may be assumed to be equal to the invariant quotient of fundamental constants $2e/h$, where e is the elementary charge and h is the Planck constant. hence the Josephson effect provides an invariant "quantum standard of voltage" that can be used to establish highly reproducible and uniform representation of the volt worldwide through the international adoption of an agreed-upon or conventional value of $K_j-90 = 483\,597.9$ gigahertz per volt exactly (cf.(2)).

IV- THE QUANTUM HALL EFFECT:

The quantum Hall effect is characteristic of two-dimensional electron gas it may be realized in a high

mobility semiconductor device such as a silicon MOSFET (metal-oxide-semiconductor field-effect transistor) or GaAs-AlxGa1-x as heterojunction of standard Hall-bar geometry. the applied magnetic field B must be of the order of 10 teslas and the device must be cooled to about 1K. under these conditions the electron gas is completely quantized, and for a fixed current I (typically 10-30 microamperes) through the device there are regions in the curve of Hall voltage U_h vs. gate voltage for a MOSFET, or of U_h vs. B for a heterojunction, where U_h remains constant as either the gate voltage or B is varied, FIG(2). these regions of constant U_h are termed Hall plateaus. under the proper experimental conditions, the quantized resistance of the i th plateau $R_h(i)$, defined as the quotient of the Hall voltage of the i th plateau to the current I , is given by the equation:

$$R_h(i) = U_h(i)/I = R_K/i,$$

where i is an integer, and R_K , termed the von Klitzing constant (after the discover of the quantum Hall effect) and equal to the resistance of $i=1$ plateau, may be assumed to all practical purposes of electrical metrology to be equal to the invariant quotient of fundamental constant h/e^2 . thus the quantum Hall effect provides an invariant "quantum standard of resistance" that can be used to establish a highly reproducible and uniform representation of the ohms. the values of $R_K-90 = 25812.807$ ohms exactly (cf.(2)).

V- THE NEED FOR THE NEW REPRESENTATION:

1. They will eliminate the differences that currently exist among the ohm and volt representations of different countries.
2. The new quantum Hall effect standard will eliminate the time variation, or drift, of any national ohm representations that are based on wire wound resistors, which age.
3. the new representations will be highly consistent with the volt and ohm as defined in the international systems of units.

since I is equal to e/r and p is equal to E^2/R , the 9.264- and 1.69 -ppm increases in the U.S. representations of the volt and ohm will lead to an increase of about 7.57 and 16.84 ppm in the U.S. representations of the ampere and watt, respectively.

VI. TYPES OF INSTRUMENTS WHICH WILL BE AFFECTED BY THE NEW CHANGES:

1. STANDARDS AFFECTED WILL INCLUDE:

- i. saturated standard cells in temperature-regulated air enclosures or oil bath.
- ii. solid state voltage standards based on Zener diodes or other semiconductor reference devices package as voltage standards or high precision references.
- iii. unsaturated standard cells generally used at the 50-ppm level of uncertainty

2. INCLUDE IN THE AREA OF VOLTAGE INSTRUMENTATIONS ARE:

- i. digital voltmeter and multimeters (DVM'S & DMM'S) of 5-1/2- digit resolution or greater.
- ii. dc and ac voltage calibrator or programmable voltage sources capable of calibrating those instruments.

TOWARDS NEW REPRESENTATIONS FOR THE VOLT AND OHM STANDARDS, AND NEW TRENDS IN ELECTRICAL MEASUREMENTS SYSTEMS

A SURVEY

Dr. SHENDY M. EL-SHALL

ABSTRACT:

With the advent of Josephson and quantum hall effects the present-day volt and ohm representations will change and by derivation, those of ampere and watt. Significant difference that now exist among the values of some national representations of these units will no longer exist.

Moreover, with the emergence of microprocessors with their incredible speed in measurements, automated calibration was found to be the ideal solution for increasing accuracy, growing volume of measurements, and precision requirements of today's calibration laboratories. This paper discusses these new representations and the automated calibration systems.

1- INTRODUCTION:

Calibration laboratories of today must meet increasing accuracy and precision requirements. They must also cope with a growing volume of measurements in a cost-effective manner. Moreover, the new generation of electronic instruments creates new demands on calibration. Under these conditions, the automated calibration was proposed to be the best solution. The automated calibration systems satisfy these needs and provide the calibration laboratory manager a unique tool for managing his entire calibration operation. They introduce a time-sharing concept that permits a main computer to control a number of satellite meter and oscilloscope calibration stations plus other time-shared terminals.

The standard volt, along with the standard resistor, form the basis of all dc and ac measurements. From these two absolutes, voltages and resistances at many levels can be defined, and together they also define dc and ac current. The internationally agreed-upon accuracy of the standard volt is a function of inter-comparisons of saturated standard cells made by individual national Bureaus of standards, and the correlation of those measurements with other national Bureaus of standards. Based on the Josephson and quantum Hall effects, the values of present-day volt and Ohm representations and, by international agreement, effective January 1, 1990 (1). The changes are large enough to require adjustment of many thousands of electrical standards, measuring instruments, and electronic systems throughout the world in order to bring them into conformity with the new

representations (2).

New technologies for establishing the standard electrical values also motivated the change. These techniques are based on quantum effects and so make the standard dependent on fundamental physical constants rather than the hardware that produces them.

Consequently, drifts in the standard value over time cannot occur (3). The 1-volt standard was already converted in 1987 to an array of Josephson junctions, superconducting switches that produce quantized values of voltage when subjected to particular frequencies of microwave radiation. The new 1-ohm standard will be based on the quantum Hall effect, produced by the quantizing of electron gas when it is lowered to a temperature close to absolute zero. The old, artifact standard was based on a group of wire wound resistor, whose values could change as they aged. The adjustment in the standard values are minute and so affect only high-accuracy instruments. In the United States, 9.264 ppm will be added to the 1-v standard FIG.(1), and 1.69 ppm will be added to the 1-ohm standard.

II. DEFINITIONS:

The international system of units (SI) definitions as adopted by the Comité International des Poids et Mesures, are:

1- AMPERE: That constant current which if maintained in two straight parallel conductors of infinite length, of negligible circular cross section, and placed 1 meter apart in vacuum, would produce between these conductors a force of 2×10^{-7} newton per meter of length.

2- OHM: The electric resistance between two points of a conductor when a constant potential difference of 1 volt, applied to these points, produces in a conductor a current of 1 ampere, the conductor not being the seat of any electromotive force.

3- VOLT: The difference of two potentials between two points of a conducting wire carrying a constant current of 1 ampere when the power dissipated between these points is equal to 1 watt.

4- WATT: The power which in 1 second gives rise to energy of 1 joule.

CONCLUSIONS

For deep water pumping using direct coupling with a solar cell generator, a microprocessor-based Maximum Power Point Tracker has been introduced.

In addition to tracking the maximum power point, which assures optimum use of the solar generator, it was taken into consideration to match between the PV generator and the load. A DC-DC converter was presented. For future work a charging battery can be used.

The system as a whole is simple, reliable, not expensive one and needs minimal maintenance requirements.

REFERENCES

1. F.Aldana, F. Nunez, E. Olais and J.Uceda, "Maximum power control circuit for a solar converter" IFAC .Control in Power Electronics and Electrical Drives Conf. Rec., Lausanne, Switzerland, 12-14 september, 1983, p 669-675.
2. F.M. Khater and A.M. Zaki, "Maximum power photovoltaic system directly connected to network with PWM inverter", Proc. of the Cairo International Symposium on Renewable Energy Systems, Egypt 13-16 June, 1988, p 29-37.
3. H.Mtsue and F.Kurokawa, "New solar cell power supply system using a boost type bidirectional dc-dc converter" IEEE Trans., vol. IE-31, No.1, 1984, p 51-55.
4. J.Appelbaum and J.Bany, "Performance analysis of dc motor-photovoltaic converter system -1. Separately excited motor " Solar Energy, 22(5), 1979, p 439-445.
5. J.Appelbaum, "Performance analysis of dc motor photovoltaic converter system-2", Solar Energy, 27(5), 1981, p 421-431.
6. J. Appelbaum, "Starting and steady state characteristics of dc motor powered by solar cell generator", IEEE trans. on Energy Conversion, EC-1, 1986, p 17-25.
7. J. Appelbaum, "The quality of load matching in a direct coupling photovoltaic system", IEEE, EC-2, no.4, 1987, p 534-541.
8. R.Hanitsch and R.Hauk, "Micro-computer controlled dc chopper for optimal operation of solar generator-motor system", 6 th. E.C. on Photovoltaic Solar Energy, 1985, p 444-448.
9. Wagdy R.Anis, "Comparative performance of the photovoltaic pumping systems", Proc. of the Cairo International Symposium on Renewable Energy Systems, Egypt, 13-16 June, 1988, p 121-130.

DC-DC CONVERTER

The DC motor is supplied from the PV generator through a buck converter, figure 6. The static switch is derived by the variable duty cycle voltage V_d derived from the MPPT through an opto-isolator circuit (3,8).

The converter circuit is composed of the power MOSFET Q , the capacitor C to ensure current supply from PV generator, the free-wheeling diode D_1 and the smoothing reactor L . The converter is operated at a constant frequency, 1 KHZ. Based on the clock frequency supplied by the 1 MHZ crystal oscillator, the counts corresponding to the ON time are loaded to the load register of the counter and its complement loaded to the HOLD register.

The system is controlled to start operation when the power output of the PV generator reaches 10 % of its maximum daily value.

FUTURE EXTENSIONS

The maximum power point tracker allows the extraction of the maximum available power from the PV array and thus improves the system efficiency.

However the system have some unfavorable situations such as:

-The motor-pump system doesn't operate at its nominal operating point which reduces the efficiency of the system.

-There is surplus power around noon time, while there is insufficient power at early morning and late afternoon.

To overcome these drawbacks, storage batteries could be introduced so that the surplus power could be stored and used at the time of insufficient generated power.

The block diagram of the proposed system is shown in figure 7. A second DC-DC converter is introduced to control the charge and discharge of the batteries (3). The two converters process the PV power output in parallel which improves the overall system efficiency.

This system is more complex, costly and requires more maintenance. The comparison between the two systems will be based on the size and economics of the overall system.

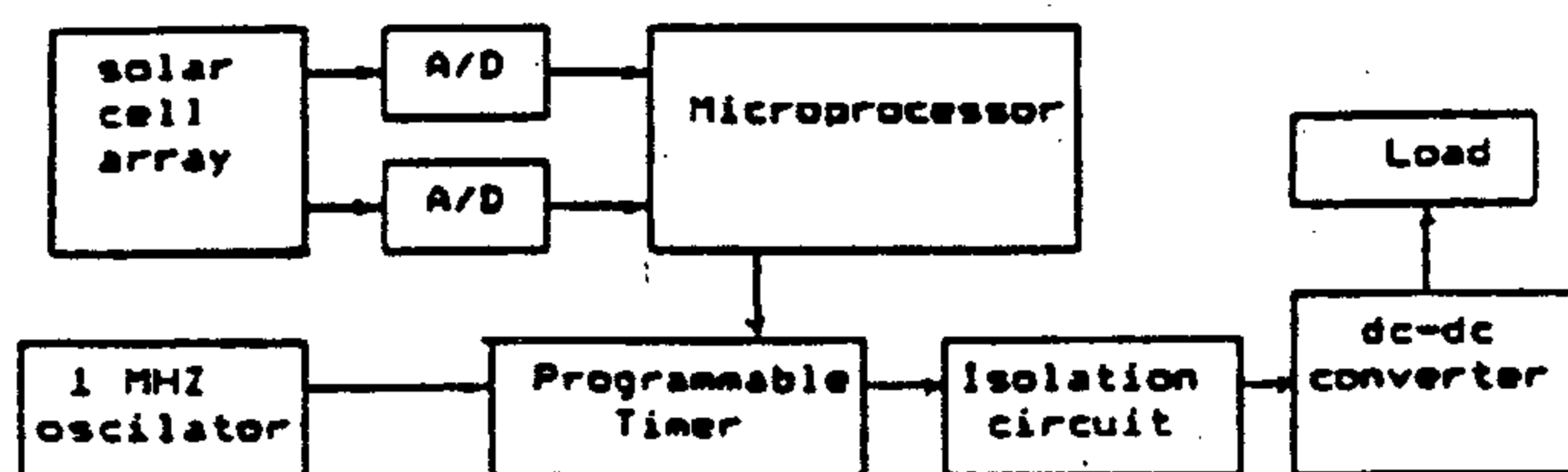


Fig.3.- Microprocessor-Based Control System.

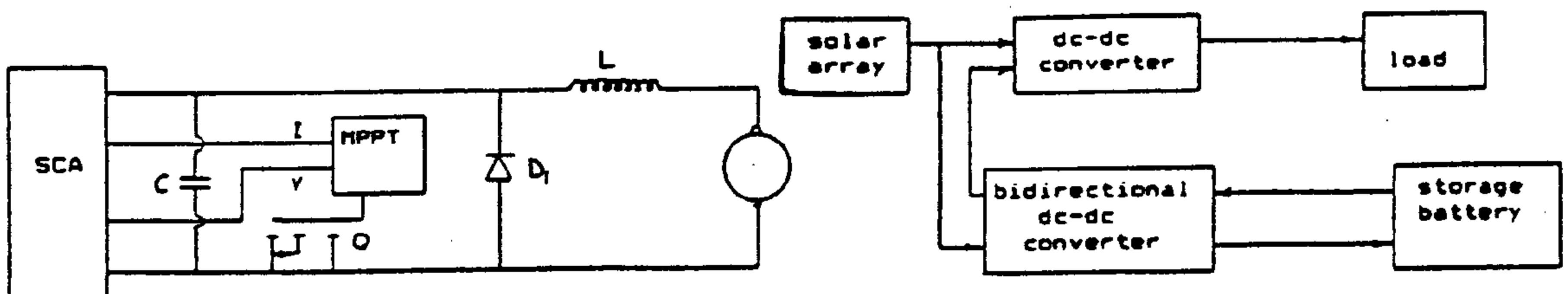


Fig.6.- Basic Circuit of the dc-dc Converter

Fig .7.- PV System with storage batteries.

MAXIMUM POWER POINT TRACKING (MPPT)

The PV characteristics of the photovoltaic array change with light intensity and temperature, figure (3). It is clearly advantageous to operate the array at it's maximum power point in order to achieve maximum energy transfer. The terminal voltage of the array must be controlled in order to operate close to the P_{max} point (1,2). An algorithm is developed for the microcomputer to continuously track the maximum power point. The terminal voltage and current are measured and supplied to the microcomputer through A/D converters and the array output power is calculated from these two values.

The control action is different depending on the regions where the operating point exists. Table (1) summarizes the cases encountered. Figure (4) represents the flow chart of the developed program for maximum power tracking.

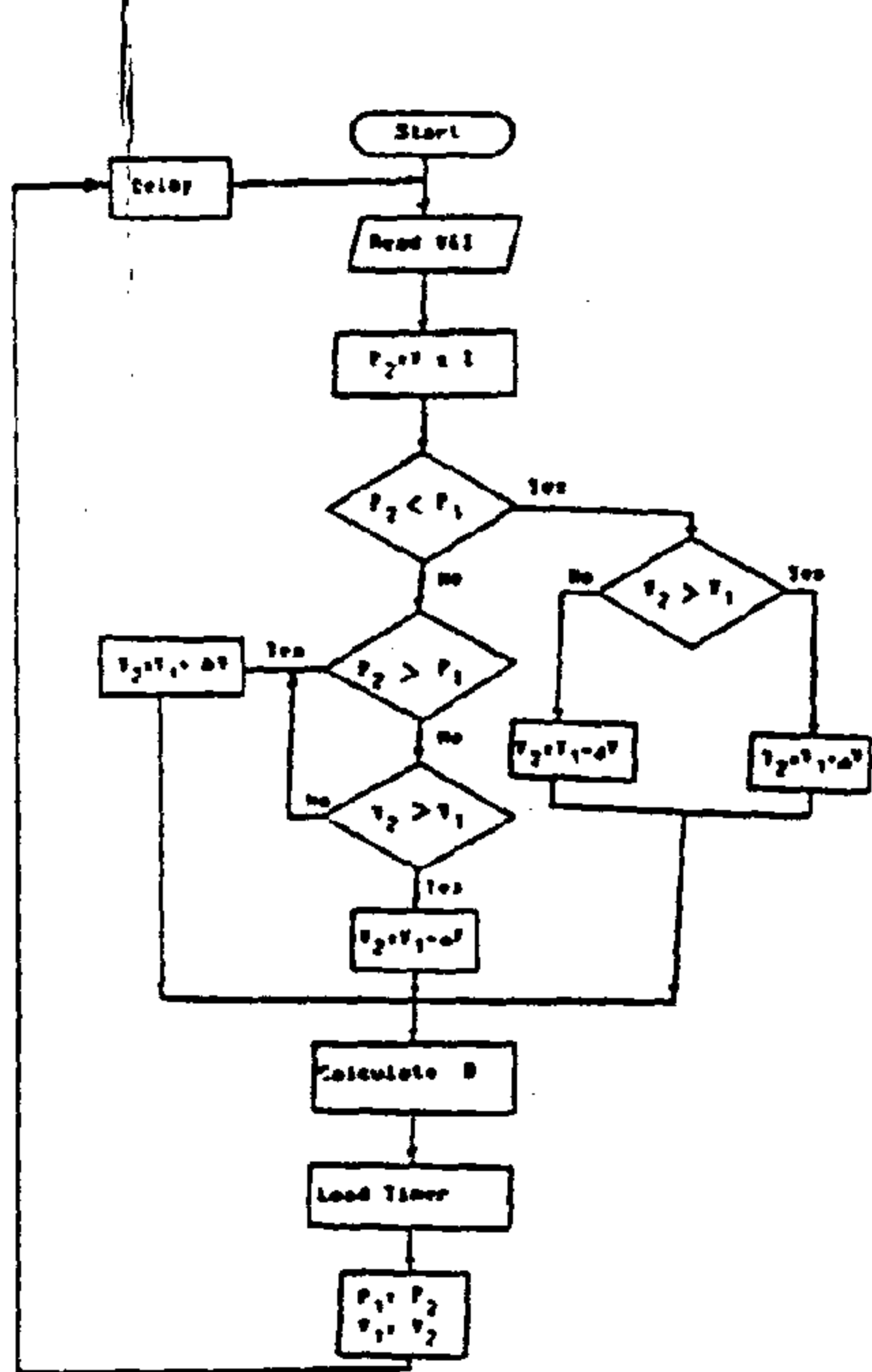


Fig.4.- Flow Chart of the Developed Program for Maximum Power Tracking

TABLE 1: COMPARISON OF CASES

CASE	CONDITIONS	CONTROL
1	$P_2 > P_1$	$V_2 = V_1 + \Delta V$
2	$P_2 < P_1, V_2 < V_1$	$V_2 = V_1 + \Delta V$
3	$P_2 < P_1, V_2 > V_1$	$V_2 = V_1 - \Delta V$
4	$P_2 = P_1, V_2 > V_1$	$V_2 = V_1 - \Delta V$
5	$P_2 = P_1, V_2 < V_1$	$V_2 = V_1 + \Delta V$

CIRCUIT DESCRIPTION

The block diagram of the microcomputer controlled system is illucidated in figure (4). The system is achieved by an Intel 8088 CPU. Two voltage signals representing the PV array terminal voltage and current are fed to the microprocessor through A/D converters. These two values are multiplied to get the instantaneous output power of the array, p_2 , which is compared with the output power at the previous sampling instant, p_1 . The voltage corresponding to the p_{max} point being determined, a duty factor D calculated based on the operation voltage of DC motor. A programmable timer controller is used to generate the variable duty cycle square wave, voltage V_d , to drive the dc-dc converter.

The AM9513 System Timing Controller is large scale integrated circuit with five general-purpose, 16-bit, counters.

Counter one is operated in variable duty cycle rate generator mode with no hardware gating, mode J.

In this mode, the Load and Hold registers of the counter are loaded with count values to control the output duty cycle, giving high resolution when the count values are relatively high.

This is due to its simplicity, less maintenance, lower cost and higher reliability.

Improvement of the performance of a directly coupled PV system can be achieved by matching the system components, namely, load, motor and solar cells.

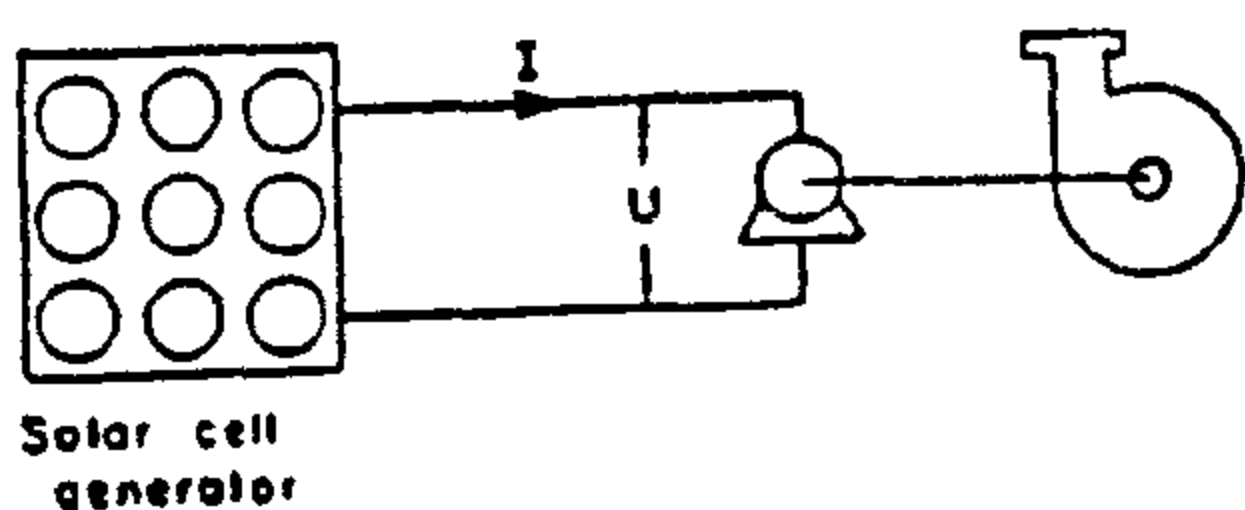
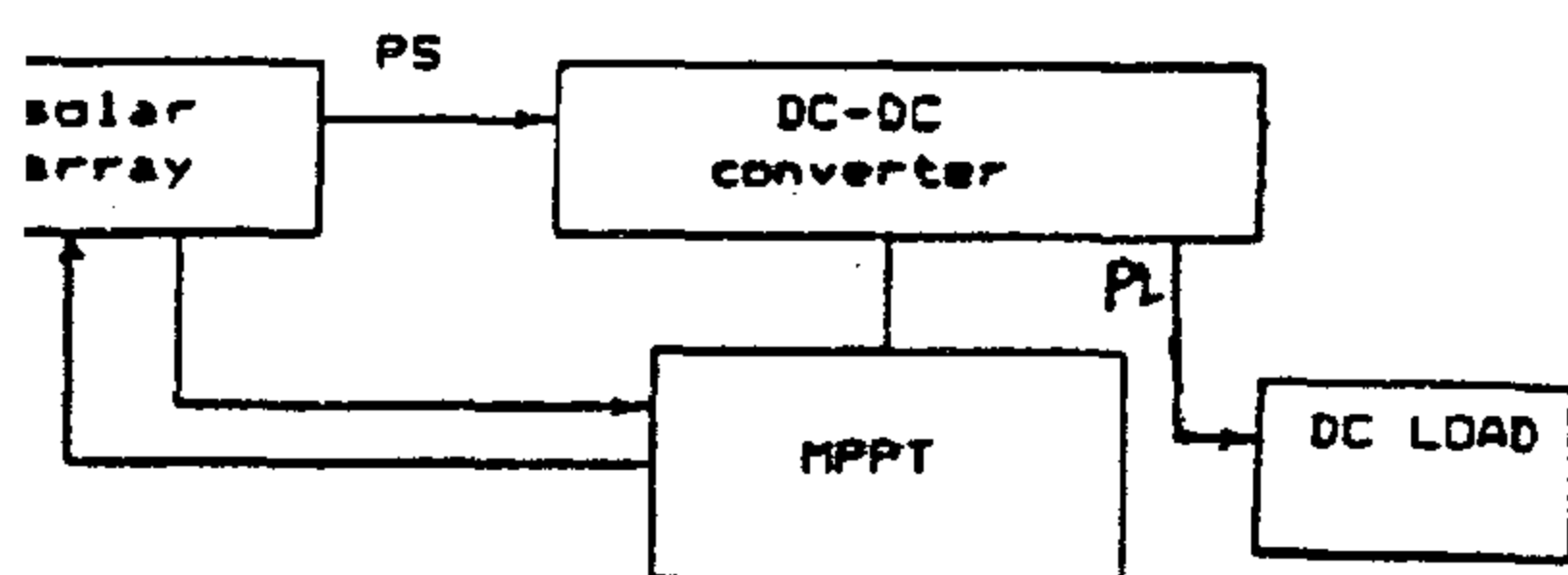


Fig. 1. - Directly Connected Pumping System.

SYSTEM DESCRIPTION

The proposed system is composed of a solar array with microprocessor-based maximum power tracker, DC motor, and a mechanical load (pump). Figure (2) represents the block diagram of the system.



PS: solar array power output,

PL: output power to the system

Fig. 2. - Block Diagram of the System.

The direct utilization of DC power requires the selection of the suitable type of motor and a suitable useful DC load. The analysis of the performance of a solar-electrical system composed of a solar array, DC motor and a mechanical load is provided in (4 & 5) from the mechanical and electrical points of view. Three motor types (separately, series and shunt excited motor) were considered with two mechanical loads (ventilator and almost constant load). these system configurations could be applied for water pumping systems.

The conclusion of this analysis reveals to use the series or separately excited motors and not the shunt motor in photovoltaic system for three reasons:

- The shunt motor starting torque is relatively low,
- The torque-speed characteristic contains an unstable region,
- Utilization of the solar cells during the day is poor.

The separately excited motor is considered in this system as it has the most suitable combination for the solar cell generator (6).

Considering the load type, it is recommended to use the centrifugal pump (ventilator load type) because of the good matching with the photovoltaic generator (7); but for more deep wells which are common in Egypt, it is preferable to use the volumetric pump (constant load type). In this case, an interface between the PV array and the motor can be introduced to improve the matching efficiency, a maximum power point tracker (MPPT) (7).

This electronic device shifts the operating points of the system so that it operates at the maximum available power of the solar generator, and thus improves the system's efficiency.

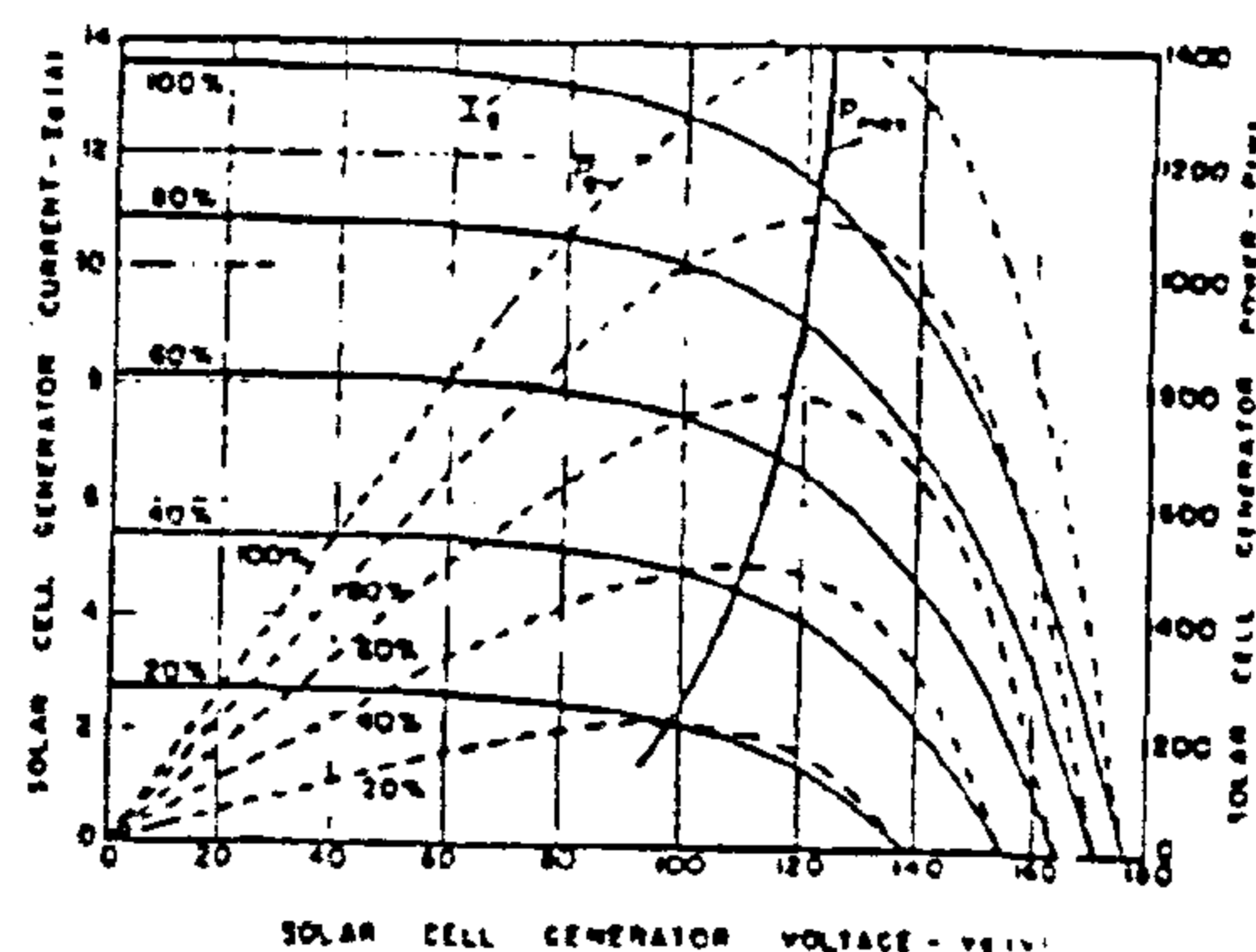


Fig. 3. - Power-Voltage Characteristics of the Solar Array

MICROPROCESSOR-CONTROLLED SYSTEM FOR STAND-ALONE WATER PUMPING FED BY A PHOTOVOLTAIC GENERATOR

* Maysa M. Elewa ** Aziza M. Zaki

ABSTRACT

For PV pumping stand-alone systems, an algorithm for maximum utilization of the generated power is presented.

A control algorithm is developed for the microcomputer to control the whole system. The system is implemented using microcomputer system based on Intel 8088 CPU and its peripherals. The instantaneous values of the voltage and current from the PV array are fed to the microcomputer through A/D converter and the values are used to track the maximum power point.

In this paper a directly coupled PV pumping system is presented.

INTRODUCTION

One of the main uses of solar energy is through photovoltaic (PV) power systems. Photovoltaic systems behave in an extraordinary and useful way by utilizing an old, well-known physical phenomenon, the photovoltaic effect, whereby some of the sun's light is transformed directly into electricity.

Many experts believe that this process will play a major role in meeting the future energy needs of the world and could be the most promising direction for Egypt as a developing country to follow in meeting our energy needs on the road to achieving economic prosperity.

Photovoltaic power systems have proven capable of operating efficiently in wide ranges of applications. Many different applications of PV systems are possible and vary from water pumps to total electrification of remote villages, serving multiple loads.

Many cultivation firms in Egypt are finding difficulties in securing a reliable source of electric power for driving pumps to raise the underground water.

The aim of this work is to provide direction towards the uses and development of solar powered pumping as an energy efficient alternative to conventional electric and fuel systems. The implementation of a microprocessor in the solar electrical systems as a maximum power point tracker is one of the achievements in this area.

The idea of using solar energy for the pumping of irrigation water is not a new one, and several authors have reviewed the basic principles of solar pumping. Since solar cells are inherently DC devices three alternatives are feasible to make use of it: direct utilization of the DC power, storage of DC electric energy, and direct connection to the power network.

A comparison between these three methods has been thoroughly studied in (9). For photovoltaic pumping systems to pump water from deep wells it is proved that the directly coupled system is the recommended one, figure (1).

* & ** Electronics Research Institute, Tahrir st., Cairo, Egypt.

Table (7) COMPARISON OF TOTAL COSTS OF ALTERNATIVE PLANS

Case of set up costs of each family	Cost	Plan 1	Plan 2	Plan3
a) Low setup Costs:				
P1F1,P1F2: 90,90	Total costs \$	122000	116963	130391
P2F1,P2F2,P2F3: 110,110,110	setup/total cost	4.3%	4.49%	3.97%
b) Medium Set Costs:				
P1F1,P1F2:300,90	Total costs \$	128960	124023	137531
P2F1,P2F2,P2F3: 300,100,400	setup/total cost	9.47%	9.92%	8.96%
c) High Setup Costs:				
P1F1,P1F2: 5000,50	Total costs \$	181400	176963	186411
S1) P2F1,P2F2,P2F3: 400,400,1000	setup/total cost	35.64%	36.87%	32.83%
S2) High Setup Costs:				
P1F1,P1F2:800,800	Total costs \$	229550	231713	251611
P2F1,P2F2,P2F3: 800,800,8000	setup/total cost	49.13%	51.78%	50.23%
S3) High Setup Costs:				
P1F1,P1F2:8500,8500	Total costs \$	306050	301013	298611
P2F1,P2F2,P2F3: 1100,1100,1100	setup/total cost	61.85%	62.89%	58.07%

Continue Run 7

Table (4) B- Deviations of Actual Attainments From Desired Attainments For Goals I,II and III

I - Sum of deviations of actual production levels for the two types P1,P2 from desired levels (i.e. the corresponding demands) in all periods.	60018
II - Sum of deviations of actual inventory levels for the two types P1,P2 from desired levels .	0
III - Sum of deviations of actual inventory levels for all families from desired overstock levels in all periods.	0
Total deviations of I , II and III	60018

Table (5) c- Number of Setups of Families in All Periods

Number of setups of families belonging to type P1		Number of setups of families belonging to type P2		Total
P1F1	9	P2F1	11	
P1F2	9	P2F2	11	
		P2F3	10	
Total	18		32	50

Table (6) D- Cumulative Inventories And Total Overtime

Cumulative inventory of type P1	0
Cumulative inventory of type P2	189047 units
Total Overtime	1481.7 hours

There is a saving of 7 setups in manufacturing families belonging to product type P2 during all periods,because scheduling each periods need 39 setups.

Case : Loose Capacity

Capacity: 2500 hrs/period regular time, 1550 hrs/period overtime forecast Errors: Zero
Goals : I : Production level for each type P1 , P2 in each period : corresponding demands for each type
II : Inventory levels for types P1,P2: in last period: 0,0
III : Overstock levels for families P1F1,P1F2,P2F1,P2F2,P2F3: Average of four period's demand for each family .

Aggregate Production Plan for Types				Detailed Production Plan Resulting from Disaggregation of Types P1,P2 into Families											
P1,P2				Families Belonging to Type P1						Families Belonging to Type P2					
Type 1				P1F1			P1F2			P2F1			P2F2		
Dem.	Prod.	Inv.	Dem.	Inv.	Prod.	Dem.	Inv.	Prod.	Dem.	Inv.	Prod.	Dem.	Inv.	Prod.	Dem.
12736	12736	0	6174	6174	8236	8236	0	4500	4500	2553	2553	0	2143	2143	1476
7813	7813	0	2855	8593 N	4711	4711	5738	3102	3102	5391	5391	4224	986	2500	702
0	0	0	4023	12500 N	0	0	14215	0	0	2177	2177	4751	1514	6755	359
0	0	0	4860	12500 N	0	0	21855	0	0	9113	9113	11918	1865	1193	1049
0	0	0	7131	12500 N	0	0	27224	0	0	6144	6144	15257	2666	6356	1660
0	0	0	9665	12500 N	0	0	30059	0	0	1900	1900	13103	3417	6461	2194
1545	1545	0	17603	17603 N	927	927	30059	618	618	9061	9061	15056	6356	2500	4139
7895	7895	0	14276	8552 N	4701	4701	24335	3194	3194	2322	2322	11309	4918	6230	6042
10982	10982	0	11706	7005 N	6670	6670	19638	4312	4312	5230	5230	11629	4043	1779	2679
15782	15782	0	15056	4609 N	9894	9894	9191	5888	5888	0	0	5230	5134	0	0
16870	16870	0	8232	4065 N	10001	10001	5024	6869	6869	0	0	1808	2875	3216	1086
15870	15870	0	7880	4565 N	9598	9598	1709	6272	6272	1321	1321	0	3009	0	0
9878	9878	0	10762	9053 N	5973	5973	0	3905	3905	4448	4448	0	3864	3657	1502
															0

N : Goal not achieved .
Table (3) A-Finalised Production Schedule For Types And Families.

Table (2) A Summary of Computational Results With Preposed of Approach To MRP

	Run 1 Normal Capacity No forecast Error Plan 1	Run 2 Normal Capacity No forecast error Plan 2	Run 3 Normal Capacity No forecast error Plan 3	Run 4 Normal Capacity 10% forecast error	Run 5 Normal Capacity 30% forecast error	Run 6 Tight Capacity No forecast error	Run 7 Loose Capacity No forecast error
(1) Total deviations of actual levels from desired levels of all goals in all periods	35118	35118	35119	35405	43247	124977	60118
(2) Total number of setups of all families in all periods	51	51	50	52	50	46	50
(3) Total cumulative inventories of both types P1 and P2	102310	89713	136579	91601	108535	213481	183047
(4) Total overtime hours used in all periods	7981.7	7981.7	7981.7	7921.3	9293	12438.4	1481.7
(5) Total unfilled demands of both types P1 and P2 in all periods	1				664	3757	

Philadelphia,(1967).

(14) Magee, J.F., and Boodman, D.M. "Production planning and inventory control ",McGraw Hill, New York, (1967).

(15) Manne, A.S. "programming of economic lot sizes ", management science VOL 4, NO .2 PP 115-135 (January 1958).

(16) Rasmy, H.H. et "Using multiple objective techniques to model Hierarchical production planning problems. (part I : Theoretical study)", Under publication, (1990).

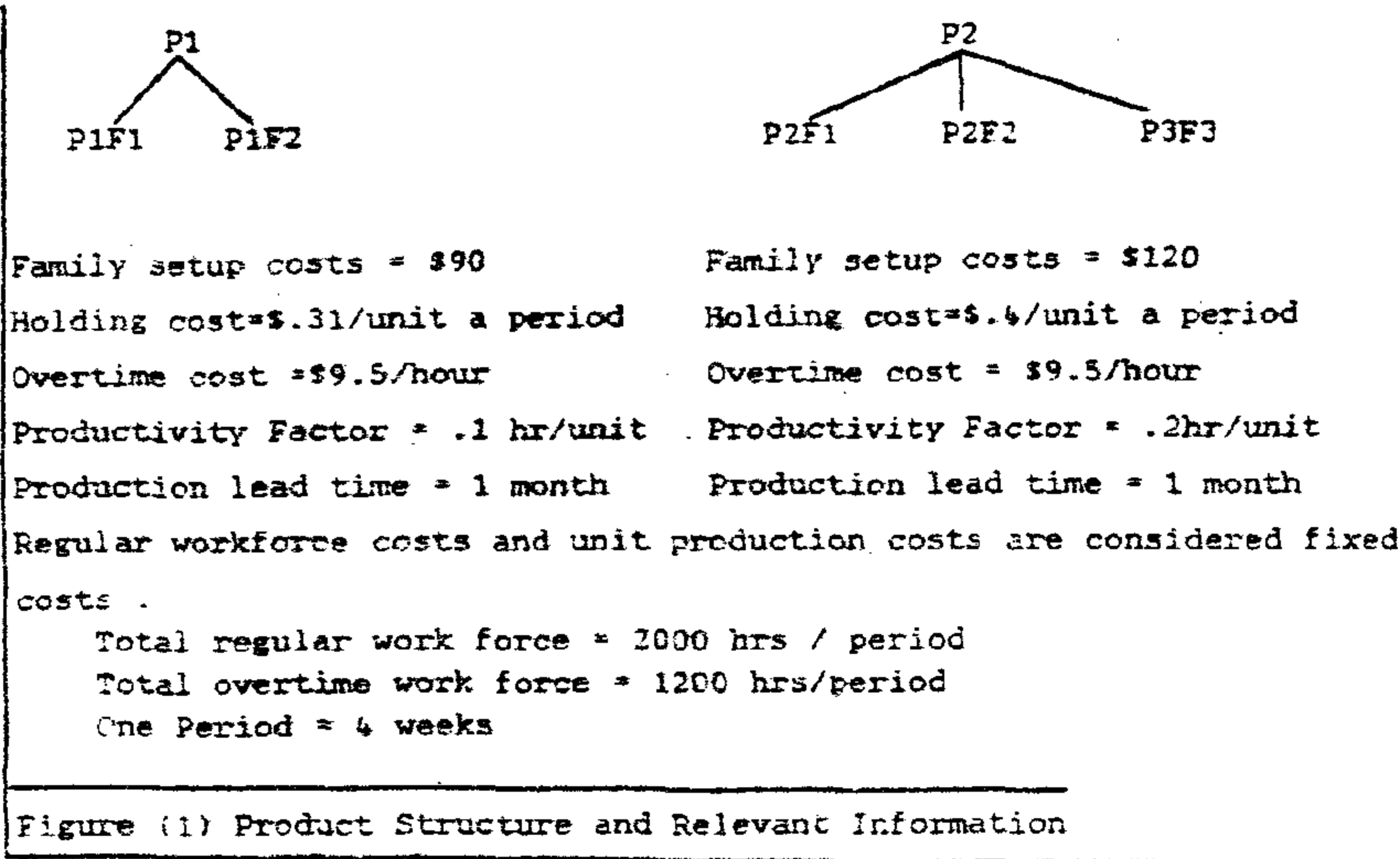


Table (1) Demand PATTERNS OF PRODUCT TYPES

Time Period t	Product Type 1 P1	Product Type 2 P2
1	12736	6174
2	7813	2855
3	0	4023
4	0	4860
5	0	7131
6	0	9665
7	1545	17603
8	7895	14276
9	10982	11706
10	15782	15056
11	16870	8232
12	15870	7880
13	9878	10762
TOTAL	99371	120223

uses only 1600 hours of regular capacity per period. Run 7 expands the regular capacity to 2500 hours. Run 6 is executed using an aspiration level for the inventory of the last period, equal to approximately two period's demand for each type, to force the aggregate planning model to use the available overtime hours in all periods, for the purpose of providing a reasonable service level under tight capacity. Run 7 is carried out considering some changes in the weight of the deviation variables of the aggregate planning model especially in the times 8 through to 13 of the application of hierarchical process. This is done to minimise the growth of inventories in succeeding periods. Results of run 6, 7 show that the proposed approach is sensitive to capacity changes. Under tight capacity, there is a significant increase in both total overtime used, and the amount of unfilled demand, the opposite is true under loose capacity. These results support the use of the GP approach in evaluating proposals for production capacity.

(D) Cost analysis

Although the minimization operational costs is not explicitly considered as a goal within the set of goals of the proposed approach, this approach can generate several alternative solutions with different levels of inventory holding costs, and overtime costs, and different numbers of setups.

Total operational costs can be considered as one of the significant indicator for measuring the effectiveness of the alternative plans. Table (7) presents a comparison of the total operational costs resulting from the three alternative plans (plan 1, plan 2 and). The comparison is made assuming different values of the setup costs.

In viewing the three plans with respect to the total costs of each, we observe that plan 2 is more efficient in case (S1). Plan 1 is more efficient in case of (S2) and plan three is more efficient in case of (S3).

The final management choice between these quite different can be made by its assessments of solution results from both the attainment levels of quantitative goals and upon other significant quantitative indicators not found in the two decision models of the systems, such as total operational costs. Thus this approach allows management a significant degree of flexibility to judge which plan of operation they will choose to implement from a group of logically and rationally chosen alternative plans.

SUMMARY

The GP approach is efficient for generation quite different alternative plans from which the final management choice can be made on the basis of evaluating the results of each plan, from both the attainment levels of quantitative goals and other quantitative criteria not found in the hierarchical decision model, such as the total production costs of each plan.

The GP approach performs well under forecast errors

of up to 30%.

The approach is sensitive to production capacity changes; therefore it can be used in evaluating different proposals for production capacity.

REFERENCES

- (1) Bitran, G.R., Haas, E.A. and Hax, A.C. "Hierarchical production planning: A single stage system", operations research, VOL.29 NO.4 PP 717 - 743 (July - August 1981).
- (2) Bitran, G.R. and Hax, A.C., "On the design of hierarchical production planning systems", Decision science 8, PP 28-55 (1975).
- (3) Dzielinski, B.P., and Gomory, R.E., "Optimal programming of lot sizes, inventory and labor allocations", Management science, VOL.11, NO. 9 PP 874 - 890 (July 1965).
- (4) Elsayed, A.E. et al. "Analysis and control of production systems" Prentice Hall Int., (1985).
- (5) Gonzales, J. J., and Reeves, G.R., "Master production scheduling a multiple objective linear programming approach", International Journal of production research, VOL.21, NO. 4, PP 553-562, (1983).
- (6) Graves, S.C., "Using lagrangean techniques to solve hierarchical production planning problems", Management Science, VOL.28, NO. 3, PP 260 - 275, (March 1982).
- (7) Hax, A.C., "Production and inventory management", Prentice-Hall Inc., Englewood Cliffs, New York, (1984).
- (8) Hax, A.C., and Meal, H.C., "Hierarchical integration of production planning and scheduling" in studies in management science, VOL.1, Logistics, M.A. Geisler (ed), North Holland-American Elsevier, New York, (1975).
- (9) Hwang, C.L., and Masud, A.S.M., "Multiple objective decision making: methods and applications - a state of the art survey", Springer-Verlag; New York, (1979).
- (10) Ismail, S.E., "Goal programming approach to Hierarchical production planning" Master thesis, ISSR, Cairo Univ., (1987).
- (11) Lasdon, L.S., and Terjung, R.C., "An efficient algorithm for multi item scheduling", operations Research, VOL.19, NO. 4 PP. 946-989 (July - August 1971).
- (12) Lawrence, K.D., and Burbidge, J.J., "A Multiple goal linear programming model for co-ordinated production and logistics planning", International journal of production research, VOL.14, PP 215 (1976).
- (13) Lee, S.M., "Goal programming for decision analysis", Auerbach Publishing co.,

- (1) Zero forecast error
- (2) 10%
- (3) 30%

Forecast errors are uniformly distributed in intervals of the type $[a-, a+]$ are introduced in both two levels and family level.

Weights of deviational variables of aggregate planning model for Types (3 cases)

- (1) Equal weights for all deviations variables.
- (2) Bigger weights only for positive deviation variables.
- (3) Bigger weights only for positive and negative deviational.

Variables associated with product type 2 (except in the third, fourth, fifth and sixth times of application of the hierarchical planning process. In each of these times, The first period demand for type 1 is zero and consequently there is no meaning of making a bias towards the production of type 1).

In all three cases of weights of deviational variables of aggregate planning models, the family of disaggregation model is solved using equal weights on all its deviational variables.

COMPUTATION ANALYSIS

The aggregate planning models for types is solved by a normal linear programming code. Due to the small size of the family disaggregation subproblem (12 zero-one variables for the model of product type 2) the family disaggregation is solved by considering the set of all possible effects combinations for the values of the 0 - 1 variables. A special computer code is designed for two purposes the solution method of the family disaggregation model, and the application of the decision rules. The seven test problems are solved on personal computer BBC / B (32.k bytes). The average running time for each simulation run is within 9 hours. These 9 hours represent the time for solving the MPP problem on a rolling horizon, i.e. solving the aggregate planning model for types 13 times the family disaggregation model for type 1 13 times, and the family disaggregation model for type 2 - 13 times. More than 90 % of the running time is consumed in solving the aggregate planning model.

The results of the runs are summarized in table 2. Table 3 to 6 show the computer output of run number 7 as an example for the different runs. For any additional details, you are advised to go ISMAIL [10].

In the tables of the finalised production schedule (*) of each run letter 'N' is only appeared beside the actual level of a goal in a period to show that this goal is not attained in that period.

The disappearance of letter 'N' means that the corresponding goal is attained. The desired and the actual level of goal 1 for

(*) Each run in a finalised production schedule represents the first period's decision each repetition time for the hierarchical planning process in each simulation run.

type 1 in each time period are arranged in columns 2 and 3 respectively. Similarly, the desired attainment, and the actual attainment levels of goal 1 for type 2 are provided in columns 6 and 7. The actual attainment of goal II, the inventory levels of both types in last period are found in the last element of columns 4 and 7. The desire ending inventory level in last period for each type is zero, except only in Run 6 'Tight Capacity', in which the desired levels for types 1 and 2 are 15288 and 18496 respectively. The actual levels of goal III, the ending inventory levels for families P1F1, P1F2, P2F2 and P2F3 in each time period are shown in columns 10,13,16,19, and 22 respectively. Goal III for a family in a period is attained whenever its inventory level in this period is below its overstock level. The overstock level for each family in each time period equals to approximately four period's demand of this family.

Sensitivity Cost Analysis

(A) Sensitivity to Relative Importance of Aggregate Planning Goals. Runs 1,2 and 3 show the effect of changing the weight of the deviational variables of the aggregate planning model, for solving the problem with normal capacity and zero forecast errors. In all three cases the family disaggregation model for each product type is solved using equal weights on all deviational variables. The developed alternative plans are plan 1, plan 2 and plan 3.

Total overtime used by all three plans is the same, and represents the minimum hours needed over the total regular production hours for satisfying all demands in all periods.

Although the sum of the deviations of actual levels from desired levels of all goals in all periods, is the same in all the three plans as shown in table (2), it can be noticed that the cumulative inventory levels are not the same in the three plans. Moreover, a minor change in the total number of steps is noticed in plan three. Carrying inventory in product type P2 in most periods, in each plan is inevitable because demand of this product type is highly fluctuating throughout the year. A cost analysis is presented in section D to show the difference between the three plans from the total operational costs point of view.

(B) Sensitivity to forecast errors

Runs 1,4 and 5 show the impact of forecast errors in production planning decisions. 1 unit of demand of type 2 is only unfilled in case of 10% forecast errors (RUN 4). 664 unit of demand of type 2 is unfilled in case of 30% forecast errors (RUN 5). These unfilled units represent a 99.47% service level. These results show that the GP approach performs well under forecast errors of up to 30%.

(C) Sensitivity to capacity availability

Runs 6 and 7 evaluate the performance of the GP approach under different capacity conditions. Run 6

production schedules to be considered for each family, is 271.

Thus, for a scheduling horizon of three periods length, as the case of the horizon of the family disaggregation model, the total number of dominant production schedules for each family equals 4. These schedules are determined for all families in a type outside the model and used as inputs. The decision variables included in this model and used as inputs. The decision variables included in this model are of the integer zero - one type. Each family has four of these binary variables, one for each production schedule. A specific decision variable is used to decide whether a specific production schedule is used for producing a specific family or not.

This specific variable would have the value one if its specific production zero if it is not used. The optimal production schedule for a family may be among the pure strategies, that is, only one of all the decision variables of the different production schedules of this family would have the value one.

The linear, zero - one goal programming model for the family disaggregation, can be solved using the linear, zero-one programming method, or by relaxing the integral restrictions of the zero-one variables and using continuous variables if the problem is of the large size, or by generating all the possible effective combinations for the solutions of the zero-one variables if the problem is of the small size.

The solution of the family disaggregation model may result in a production schedule for families that would not achieve the first goal which relates to the co-ordination of the production schedules of the families in a type, with the production schedule of that type. The achievement of this goal is necessary for assuring consistency between the aggregate plan for a type and production schedules of families in that type. The disagreement between the plan of a type and the schedules of families in that type, happens whenever the total amount allocated amongst all these families is either below or above the amount to be produced of this type, as was determined by the aggregate planning model at any time period.

Since the new approach would implement the output of the family disaggregation model only for the first period of the scheduling horizon, it is necessary to adjust only the decisions of this period so as to make the sum of the production quantities of all the families in a type, to equal the production of this type in the immediate period. The required adjustment is made according to three decision rules. This set of decision rules is considered as a basic element in the disaggregation process.

PROBLEM DEFINITION & DATA

The proposed models will be applied on seven test problems adapted from the rubber types factory reported by Bitran, Haas and Hax [1]. For the seek of this study, we consider the product structure contains five families aggregated into two types. The product

structure characteristics and other information are given in figure (1).

Product type P1 is composed by two families P1F1 and P1F2. The second product type is partitioned into three families P2F1, P2F2 and P2F3. Table (1) exhibits the demand pattern for both product types. Product type P1 has a terminal demand season (corresponding to the requirements of snow tyres). Demand for product type P2 is highly fluctuating throughout the year. Families are a group of items sharing the same moulds in the curing presses and, therefore, sharing a common setup cost. The items are, for instance, White wall and regular wall tyres of a given class. Families have the same cost characteristics and the same productivity rates as their corresponding types.

Each test problem consisted of applying the goal programming approach to a full year of simulated plan operations. First, aggregate plan for types is generated using a 6 period planning horizon. Second, for each type, the production quantities of a type are allocated among its families for the next three periods. The allocation of production quantities among families is carried out by the family disaggregation model using a 3 period scheduling horizon. The results of the disaggregation model, only for the first period, are implemented after making the necessary adjustments. Adjustments are made by means of a set of decision rules to realise the consistency between the aggregate production plan and the family disaggregation procedure in the first period. One period later, the hierarchical production planning problem is updated as new information becomes available, and the process is repeated. This means that in one simulation run this process is repeated thirteen times. At the end of each simulation run, the following information is obtained:

- (1) Finalised production schedules for types and families.
- (2) Deviations of actual attainment from desired attainment for the hierarchical production planning system's goals I, II and III.
- (3) Total number of setups for each family in a year.
- (4) Cumulative inventories for types (measured as the number of units times the number of periods a type stays in inventory).
- (5) Total overtime used in a year.

The seven runs are executed to examine thoroughly the effects of changing the weights of the deviational variables associated with each goal, the production capacity, and the forecast errors. The data used in the computational experiments for the purpose of making these sensitivity analysis is given below :

Capacity (3 Cases)

- (1) Normal Capacity : 2000 hours/ period regular time.
 - (2) Loose Capacity : 2500 hours/ period regular time.
 - (3) Tight Capacity : 1600 hours/ period regular time.
- overtime is 60% to the regular hours in all three cases.

Forecast errors

Past work on hierarchical systems has concentrated on building mathematical programming models for each hierarchical subproblem. All these models are of the classical form, that is they can treat explicitly only one objective. This objective is expressed as optimisation of a function that must be homogeneous, this means that all relevant decision variables have to be converted such as to become measurable by a common unit, (most often, the function that must be minimized is the cost function or any other function related to the control of cost at each hierarchical level). In other words past hierarchical systems have considered that the plan which has minimum costs is the best of all choice. However in many industrial systems it is clear that the minimisation of the total production costs in all level is not the sole objective of management.

In fact the real production planning problem involves multiple objectives, which can not be optimised simultaneously due to the inherent conflict between them. Multiple objective problems involving making trade-off decision to get the "best compromise" solution. Several approaches have been proposed in the literature for solving the multiple objective decision making problem. Hwang and Masud [9] have provided an excellent survey of these approaches.

One of the more attractive approaches for solving the multiple objective decision making problems is the goal programming approach.

Although several goal programming models have been reported in the literature for solving the production planning problem (e.g. Lee [13], Lawrence and Burbidge [12] and Gonzalez and Reeves [5]), they did not recognise the hierarchical framework as a system philosophy for designing and solving the multilevel decision problem.

In part I of this work by Rasmy et al [16], we proposed a new approach for solving the production planning and scheduling problem called "Goal programming approach to hierarchical production planning". This approach combines the attractive features of both goal programming as a powerful tool for a multi-objective analysis and the hierarchical system as an effective framework for decision making in a single stage batch processing environment.

For our proposed research we assume that there are two levels of the product aggregation in the product structure from the Hax and Meal framework [8]. Production items may be aggregated into families aggregated into types. Type is a collection of items that have the same demand pattern, the same unit costs, direct costs (excluding labour costs), holding costs per unit per period, and the production time required per unit. A family is a set of items within a type such that the items share a common setup. This form of aggregation may result in partitioning the production planning and scheduling problem into two subproblem in a hierarchy. The two subproblem are the aggregate production planning subproblem and the family disaggregation subproblem.

The aggregate production planning subproblem, the highest level of planning in the hierarchical system, is concerned with the effective allocation of the production resources amongst product types to satisfy demand over a specified planning horizon. Typical decision to be made at this level are the determination of production and inventory levels for each product type and regular and overtime workforce levels in each time period. The family disaggregated

subproblem, the second level of planning, is concerned with the disaggregation of aggregate production plan for each type into production schedules for families belonging to that type over a short scheduling horizon. Typical decision to be made at this level are the determination of production and inventory levels for each family within the a type in each time period in the scheduling horizon.

In "Goal programming approach to hierarchical production planning" both the aggregate planning subproblem for product types and the family disaggregation problem are modelled in a goal programming format. The aggregate planning problems for types in a simple planning model. It considers only one constrained production resource, that the regular production time available in each time period which must be used to the full extent. The model incorporates a single option for varying the resource level, that is the overtime available in each time period which must not exceed a certain maximum limits. The planning horizon of this model consists of six periods (i.e. 6 months). This model involves two goals. The first goal is to satisfy demand for all product types in each period by production in the same period of demand. This goal reflects the desire of the firm to co-ordinate the production schedule of types with their demand schedule so as to minimize the inventory holding costs, the material handling costs and the transportation costs. The second goal is to realise the desired ending inventory levels for each product type in the last period of the planning horizon. This goal reflects the management's view of controlling the inventory levels of all product types while providing a reasonable level of safety stock. The two goals are of the same priority, that is the model is a weighted linear programming model. This model can be solved using a normal linear programming method. The resulting production quantities of each type in only the next three periods are transmitted to the family disaggregation model of this type to determine the corresponding production quantities of families belonging to it. Thus, the planning system has a number of disaggregation model equal to the number of the types in the product structure. Each model is designed on the same basis.

The family disaggregation model involves two goals. The first goal is to co-ordinate production schedules of families belonging to a type with production schedule of that type. This goal is implemented by setting the amounts determined by the aggregate plan for a type in the next three periods as the aspired levels for sum of the production of the families in this type in these periods. The second goal is to control families inventory levels in each period in the triple period scheduling horizon to ensure that no overstocks will occur. This goal reflects the desire to produce families in the correct quantities such that the storage requirements for each family in each period not to be violated. The two goals are of the same priority.

The structure of the family disaggregation model is based upon using the dominant production schedules for each family as suggested by Manne [15]. That is the production of each family at any given period in the scheduling horizon is either zero or the sum of consecutive net demands for some periods into the future. We mean by net demand in a given period, the demand which cannot be satisfied from the initial inventory in this period. When dealing with a time horizon of T periods the total number of dominant

USING MULTIPLE OBJECTIVE TECHNIQUES TO MODEL HIERARCHICAL PRODUCTION PLANNING PROBLEMS (PART II : COMPUTATIONAL STUDY)

M.H. RASMY* AND S. ISMAIL**

ABSTRACT

This paper includes the application and computational study of the two models which had been proposed in part I of this work by Rasmy et al [16]. In such models the production planning and scheduling problem in a single stage system - is partitioned into a hierarchy of two sub-problems. the aggregate planning sub-problem (for product types) and the detailed scheduling sub problem (for families or group of items that are contained in a given product type). A multiple objective model was proposed for solving each sub-problem. The multiple objective programming models permit the decision makers to consider explicitly values of different objectives at each decision making level. Multiple objective methods can be used to generate more than one solution (alternative, non - dimensional or satisfactory solutions) and to provide information on the trade-offs among objectives.

The computational study consists of solving seven test problems. The data used for these test problems are adapted from the rubber types factory reported by Bitran, Haas and Hax [1]. The results show that the proposed models are very efficient in dealing with such problems.

INTRODUCTION

In the literature on production planning, significant attention has been given to single stage manufacturing systems, in which there are multi-products processed in batches through a single stage (or one machine). The importance of the single stage production system is two-fold. on the theoretical side, it is the elementary cell in investigating multi-stage situations. On the practical side, many complex situations such as the assembly lines can be viewed for planning and scheduling purposes as just one big machinery (or stage).

Two basic approaches to the single -stage production planning problem have been offered in the literature. The first approach is the monolithic approach which formulates the production planning and scheduling problem as a large mixed -integer linear programming model (e.g. Manne [15], Dzielinski and Gomory [3] and Lasdon and Terjung [11]). A rolling horizon procedure is commonly used for solving the monolithic programme. This procedure requires solving a finite horizon multi-period problem and implementing only the first period's decisions. One period later, the multi-period problem is updated as better forecasts become available, and the procedure is repeated.

The second approach is the hierarchical approach which is suggested to deal with the various levels of production decisions in a hierarchical framework. In

this approach, the production planning and scheduling problem is partitioned into a hierarchy of subproblems (e.g. Hax and Meal [8], Bitran and Hax [2], Bitran, Haas and Hax [1], and Graves [6]). Each hierarchical subproblem has its own characteristics including length of planning horizon, level of detail of the required information and forecasts. A separate mathematical programming model is used for each subproblem to make the decision at each hierarchical level. The solution of the higher level model creates some of the constraints for the model below it. Again the system is performed on a rolling horizon basis by solving each hierarchical subproblem each period and implementing the immediate period's decisions.

Three reasons have led operation researchers to favour the hierarchical approach more than the monolithic approach. The first reason is that, the hierarchical approach reduces the complexity of the solution process by breaking the overall production planning problem into a number of simpler subproblems, each of which is much easier to solve than the original problem. In contrast, the monolithic approach will result in a large detailed integrated model which is very hard to solve in a direct way.

The second reason is that, the hierarchical approach may cope with uncertainty, since it needs only aggregate product demand data over the planning horizon, with detailed product demand data over a much shorter scheduling horizon. This is important in light of the fact that much data at the detailed level is uncertain at the time aggregate decisions are made. If detailed and aggregate decisions were combined in a single large model as is proposed in the monolithic approach, the detailed decisions would be made earlier.

The third reason is that the hierarchical approach recognises the distinct characteristics of the type of management participation, the scope of the decision, the level of the aggregation of the required information and the time framework in which the decision is to be made. In Hax's opinion [7], it would be a serious mistake to attempt to deal with all these decisions simultaneously, via a monolithic system or model. Even if computer and methodological capabilities would permit the solution of a large detailed integrated model, which is clearly not the case today, this approach is inappropriate because it is not responsive to the management needs and would prevent the interaction between models managers at each organization echelon.

* VICE HEAD OF COMP. SC. FOR OPER. RES. ISSR, CAIRO, EGYPT

** RESEARCHER IN THE CENTRAL BANK, CAIRO

included is a spare parts requirement report showing the failure rate and the quantity required from each sub-kit for the specified period of time.

3- CONCLUSION

An interactive shell has been designed according to a modified maintenance work processing route for both planned and unplanned work procedures. Such program was data validated, tested and can be used on a network type of system on two level users, namely maintenance planner and specialist upon passing through a security code, as maintenance management, planning and evaluation system.

This program aims at controlling the maintenance activities as well as supporting the maintenance management engineers to analyze the performance of thier systems and study its sensitivity in different maintenance parameters and strategies. In addition, it helps in standarizing sevice activities period of time as well as the production operation time,, as it monitors time consumed in terms of work order processing, material processing, labor personal time and action time. The track program is also capable of tracing defective components and track down causes through recording components type, their recommnde life and sevice activities as it monitors thier conditions, failures failure frequency and general causes in addition to manufacturer name. Thus, it should increase the utility and efficiency of available maintenance management system.

ACKNOELEDGMENT

The author would like to thank both Mr. Magdy Maher and Ahmed Gainidy for their assistance with the computer programming.

REFERANCES

1. Finaley, Howard F., "Modern Maintenance Management System", Houston, Texas, The Howard Finley Corp., 1981.
2. Benjamin W. Niebel, "Engineering Maintenance Managemant". Marcel Dekker, Inc., New York 1985.
3. Carl G. Wyder, "Organization and Administration of the maintenance Function". John Wiley & Sons, New York, 1975.
4. Lee Hales H., "Computer Aided Facilities Planning" Marcel Dekker, Inc., 1985.
5. Mann, Lawrence Jr., "Maintenance Management", Lexington, Mass: D.C. Health and Company, 1976.
6. Joseph D. Patton, "Preventive Maintenance", Instrument Society of America, NC, 1983.
7. David J. Smith and Alex H. Babb, "Maintenanability Engineering", Pitman Publishing Co., New York, London, 1973.
8. Joseph, J., Getting the most from maintenance computers. Plant Engineering J., 38(27)(1984)83-85.
9. Steven, H., On-line computerized maintenance management. Conference, Infrastructures rehabilitation, San Francisco, Aug. 22-24, 1984.
- 10 Wells, A. L., Computer aided maintenance management. CME, 31(11)(1984).
11. Agresti, William W., "Managing program maintenance", J. of systems management, vol.33, no 2, pp. 34-37, Feb. 1982.

12. Sprague, R.& Carlson, E.D., Building effective Decision Support System. Grollier Inc., 1983.

13. Krause, B.D., A computer assisted maintenance management system. Maintenance Managment International, 4(3)(1984) 181-192.

14. Frank A. Tillman, Ching- Lai Huang, "Optimization of Systems Reliability". Marcel Dekker, Inc., 1986.

15. David J. Smith, "Reliability and maintenability in perspective: Prectical, Contractual commerical & Software Aspects". Macmillan Publishers Ltd, London, 1985.

16. Holand, P. & Rausand, M., Reliability of subsea BOP systems. Reliability Engineering, 19(1987)263-275.

17. Bedewy, M.K., Sherif, A.O. and Abdallah, A.Y., An interactive program for maintenance systems, Reliability Enginerring and System saftry, 25 (1989)349-364.

2.2 Data processor modules

Data processor modules are responsible for the computation of maintenance cost and performance. Such modules act as decision support subsystem and work through certain indicators divided on two parts, namely, cost accumulation and performance evaluation.

2.2.1 Cost accumulation

To arrive at true maintenance costs within a month and/ or a year, cost accumulation module is built in the program. The cost includes labor involved and any used spare parts, materials, supplies and other expense or overhead. This module has been used to warn the maintenance engineer if the expenditures spent to achieve high availability and reliability exceed a specific limit.

2.2.2 Performance Evaluation Module

Performance evaluation relies in its analysis on two sub-modules, namely, maintenance work effectiveness and reliability analysis with trend analysis using graphics representation capability. This module plays a vital role in helping the management make strategic decisions as to maintenance system problems solving or improvements in terms of work effectiveness, and equipment reliability and availability even through modifying the production protocol.

2.2.2.1 Work effectiveness indicators

Numerous indices have been used in this sub-module in an effect to measure maintenance work effectiveness in terms of cost, preventive maintenance, work order system, material control, backlog control, emergency work, forecasting effectiveness and productivity. These indicators are:

- Maintenance cost to the total sales ratio (%).
- Maintenance cost to that of equipment ratio (%).
- Maintenance cost to that of total output ratio (%).
- The cost of preventive maintenance to cost of repair ratio (%).
- The preventive maintenance man-hours to total maintenance man- hours (%).
- The ratio of the planned jobs completed by due dates to the total number of planned jobs (%).
- The number of planned jobs waiting for material to the total number of planned jobs (%).
- The number of planned man- hours to the number of backlog man-hours (%).
- The total man-hours spent on emergency jobs to the total maintenance man-hours (%).
- The total estimated maintenance hours to the total maintenance hours spent on maintenance (%).
- The ratio of the total cost of the maintenance materials to the total cost of the maintenance labor (%).

2.2.2.2 Reliability analysis

Reliability analysis relies on the knowledge of the system structural definition, equipment failure rates, and the time frame within which maintenance activities are monitored and reliability parameters to be sought. The current version of the program assumes only series systems and with negative exponential time to failure data distribution. System availability with the

estimated amount of spare parts is calculated. With the aid of failure reporting system along with reliability analysis, designed to be an integrated part of the decision making process.

This module estimate the period of time the analysis is to be done within upon inputting the working hours per shift, the number of shifts per day, the working days per week and shut down period of time. Then, the module computers certain maintenance parameters and displays them in a tabulated form. These parameters are as follows:

- Equipment registration (code).
- Equipment location.
- Number of preventive maintenance actions.
- Preventive maintenance rate (PM rate).
- Corrective maintenance rate (CM rate).
- Mean preventive maintenance time (MPMT).
- Mean corrective maintenance time (MCMT).
- Mean time between maintenance actions (MTBM).
- Mean time to repair (MTTR).
- Mean time between failures (MTBF).
- Mean time to failure (MTTF) for non-repairable components.
- Component reliability (r%).
- Equipment reliability (R%).
- Equipment operation availability (A%).
- Equipment average down time (ADT).

2.2.2.2.1 Trend analysis

Largely, due to the need to determine the failure pattern of components and the required amount of spare parts for certain period of time, trend analysis with graphics capabilities was provided as a sub-module of the reliability analysis.

In trend analysis failure time data for each part are used to determine its failure pattern using Weibull distribution. Parts having more than one failures are maintenance differently; time to failure data are averaged, and a probability density function of a negative exponential distribution having its parameter (failure rate) is assumed. The rounded figure of probability of failure multiplied by the total number of failures will give an indication to the amount of spare parts to be kept in the available resources for a certain period of time. Finally, parts are categorized into several types or sub-kits according to their failure rates.

Through the cost and performance processor modules, the maintenance engineer should be able to improve upon the maintenance plan by changing the evaluation factors iteratively and assess the results of each improvement. It may require a few iterations before the maintenance engineer is able to make the proper decision concerning the plan modification and before the plan be implemented. Plan improvement reports may be printed out through the output module.

2.3 The output module

The output module is specially designed to print out hard copies of reports containing on a monthly and annually basis, equipment failures report, work flow report and reliability and cost report. Also

Where

- Compnt: the component status
- PQL : the effect on the production quality
- PQH : the effect on the production quality
- LS : the labor safety hazard status.

To reach a priority code, equipment maintenance actions have been categorized and coded as (1) work on spare parts or not installed units; (2) adjustment or minor repair to installed units or (3) major repair to installed units. Furthermore, the labor safety hazard has been classified to three classes, no safety hazard, dangerous, or limb/life loss.

Assuming that 1) there is no safety hazard with category number (1), Furthermore, with category number (2), it can be only dangrous when adjusting or minor repairing installed units. Such repair or adjusting will bear an effect only on the productions, the priority code has been graded on scale of 1 to 9 with the indication that higher the PC, the higher the degree of seriousness of the maintenance work requested.

In work requisition the data is limited to the requester name, title, identification number, department and telephone number. In addition, request date, location, equipment code, and work description, as well as date and time of failyre, date the equipment is available for service and date the equipment is needed.

In work order, however, details have been asked for. The data is categorized into four parts, namely, assignment, equipment condition description, work flow and service description.

The assignment part helps identify needed craftsman, parts, materials, special tools, schematic, procedures and permits. While in equipment condition description, machine and component type and code, their condition and action taken in addition to actual life and recommended life hours. In work flow, the planner keeps track of work in process through different departments and personal through work order number, dates of processed work.

2.1.3 Resources module

This module is critical to the overall performance of the maintenance system. It designed to identify and assign maintenance personnel and material supplies to maintenance work ordered. In man power sub-module, the number of personnel and their craft, educational background and experience and working shifts with the number of working hours per week are the main input parameters.

In material supplies sub-module, maximum and minimum amounts of spare parts are maintained in stock based on past experience and history of equipment in terms of the expected number of failures during a time period. Spare parts transaction is to be monitored compared with the recorded stock received. As a result, the time wasted in waiting for a spare part needed in carrying out repairs can be eliminated.

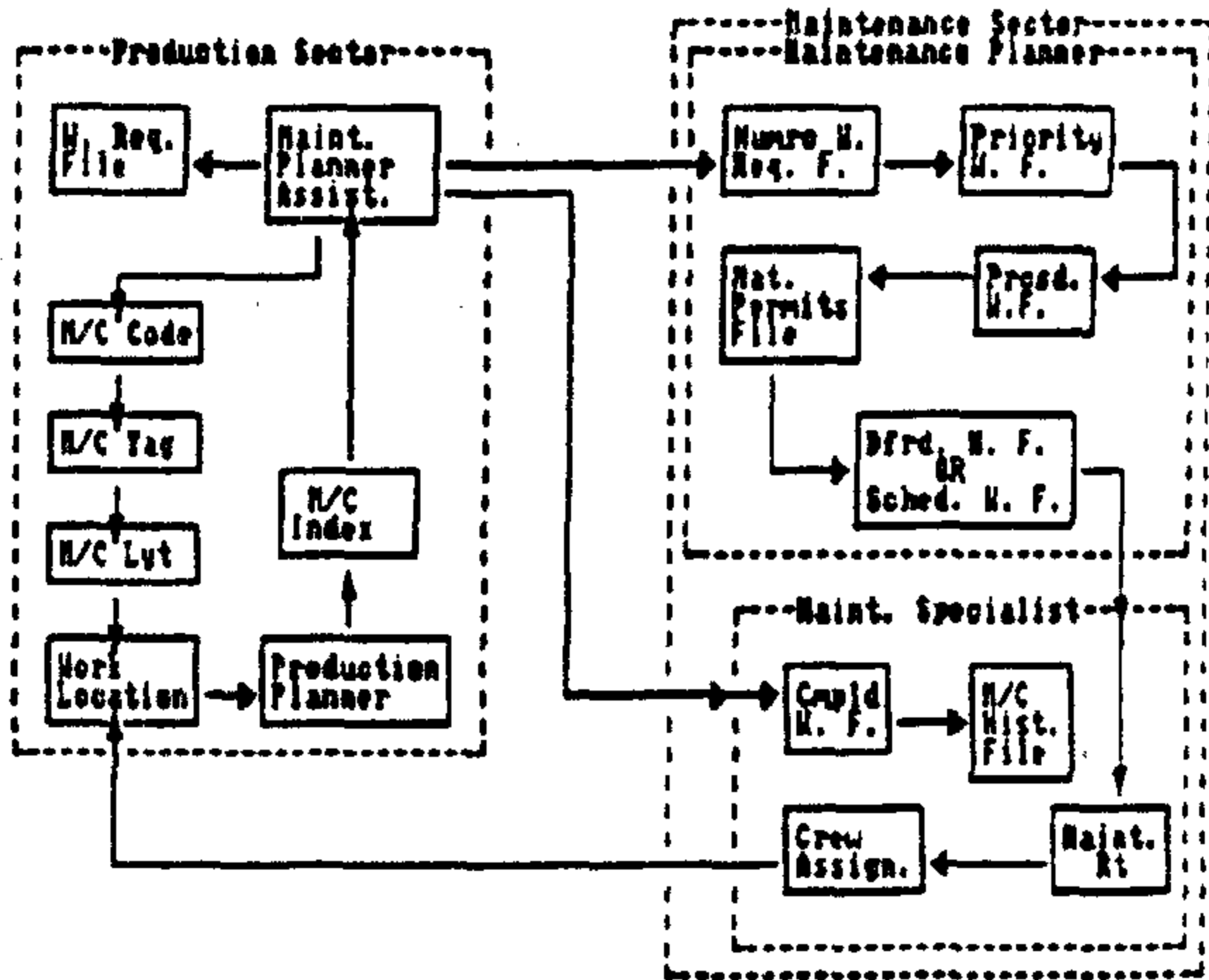


Figure 4 Maintenance work processing route in planned work procedures

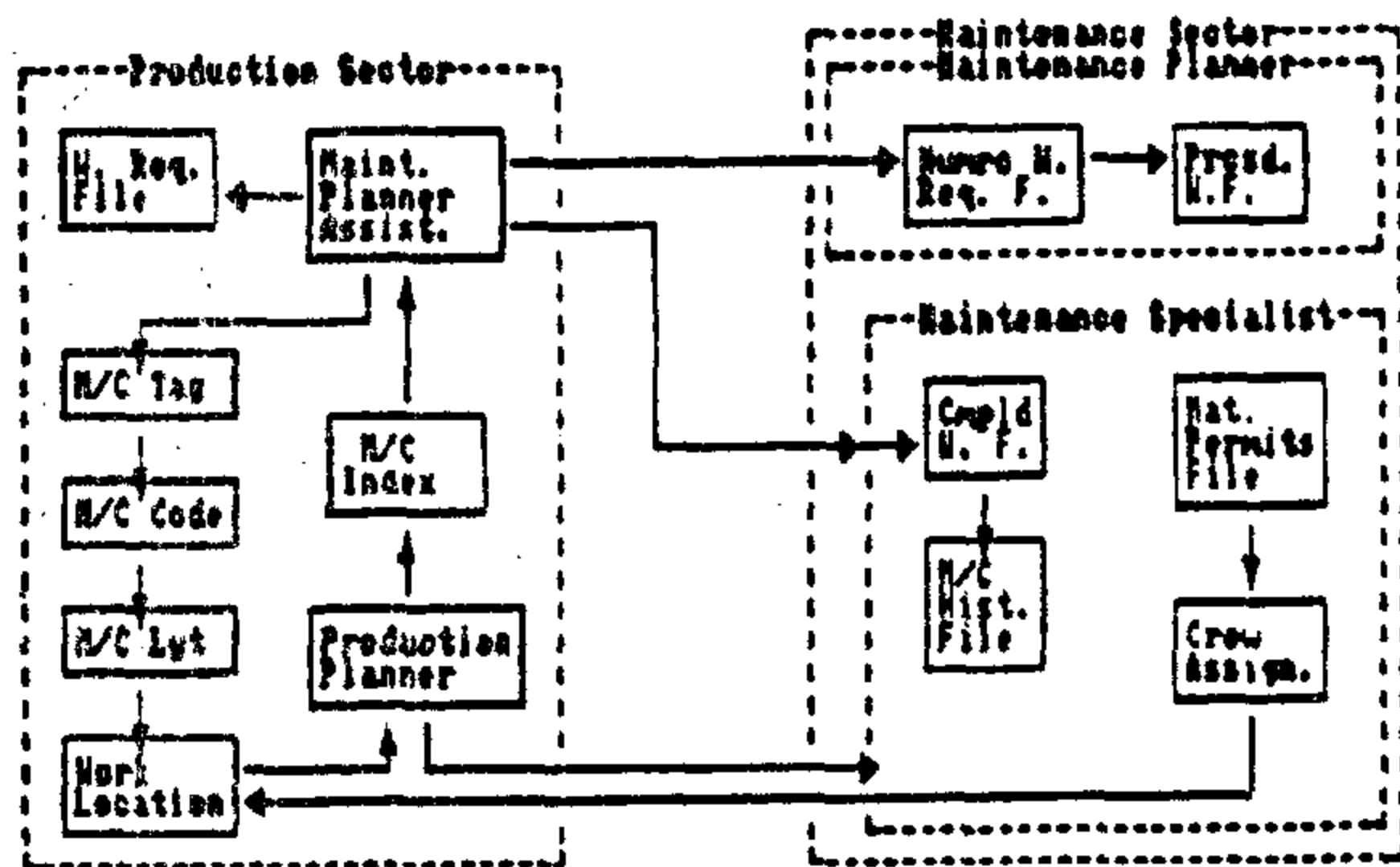


Figure 5 Maintenance work processing route in unplanned work procedures

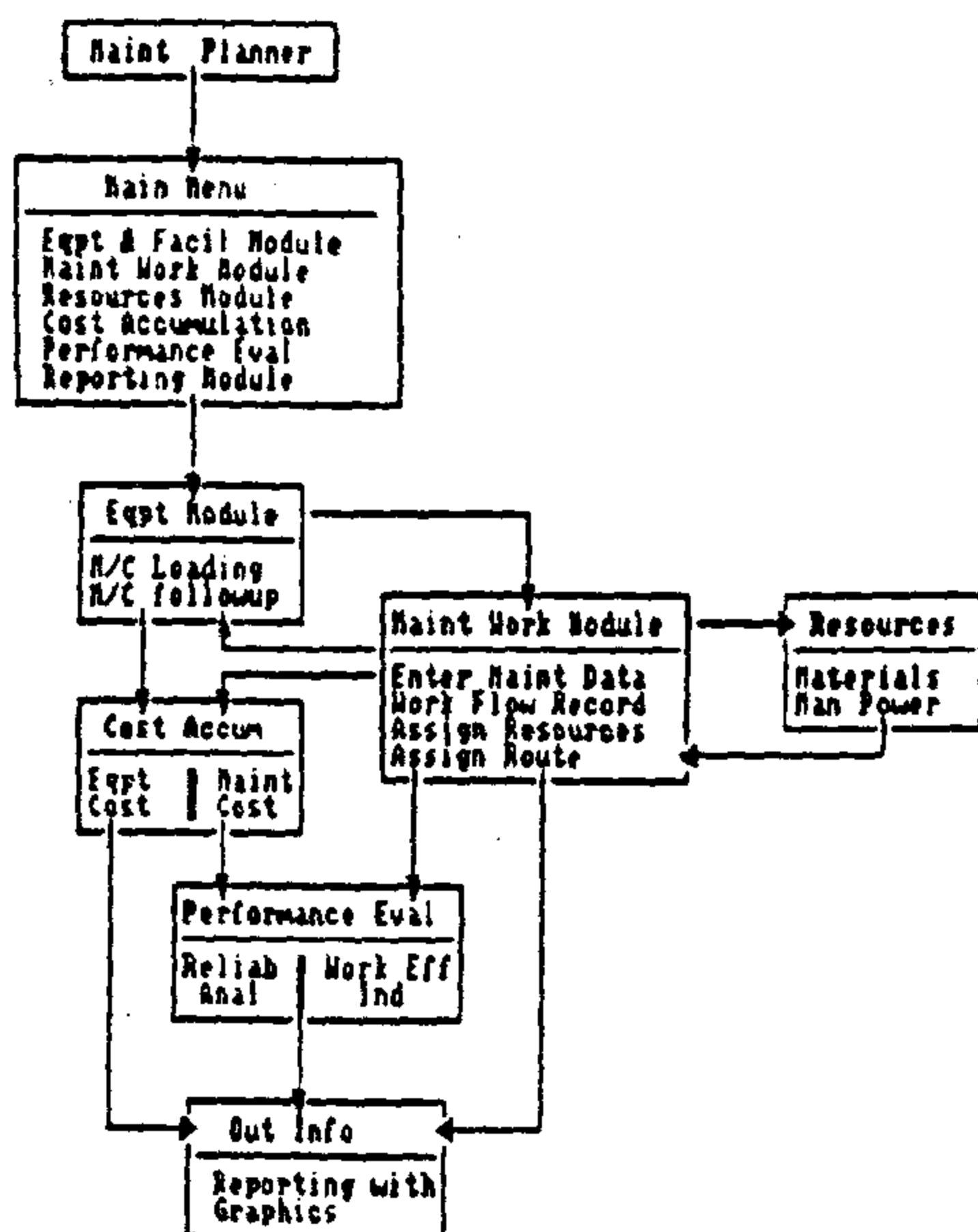


Figure 3 Data entry path through the system.

2.1.1 Equipment and facilities module

The equipment and facilities module consists of two sub-modules; machine identification loading and machine followup register. The former sub-module is equipped with a set of files, namely, machine tag, machine code, machine layout which are created once during the machine installation course and are loaded whenever maintenance is in order. Machine followup register, however, is provided with a preset disk data files, namely, machine maintenance route, machine index and machine history. These files are to be created for each machine wherever is operated on in order to follow up on the machine performance status. Thus, all data in the maintenance system concerning a piece of equipment is contained in five files constituting the equipment and facilities module. To facilitate adding, deleting, updating and printing a machine details, data management functions are provided.

Designed to document all equipment specifications, machine tag file is considered as a reference document for plant engineering management. Within the machine tag, the data is categorized into machine data and manufacturer data. The equipment data can be in terms of name, type, code, location, specification in addition to purchase price, purchase order number, account number as well as order, received, installation, and retirement dates. Also, included are the depreciation rate and value. The manufacturer data, on the other hand, contains serial model and catalogue number, warranty period, starting date, vendor name, address and telephone number.

The machine layout and code files enable the planner graphically input the machine layout and code into the system and thus help the craftsman learn about the assembly of the machine scheduled for maintenance and thus enable him to mark the problem encountered in its components using an on-line code-help file. Such help file makes it possible for maintenance clerk to encode and decode the machine components and conditions as well as maintenance work details.

To keep track of the machine operational life, the machine index and history files are developed. The former file is supplied with work load description, current data, number of operated hours, operator name and identification number, service periods, and craftsman name and identification number. The latter file, on the other hand, reflects the condition of the machine performance. It registers by the data the operated and maintenance hours, actual and recommended service type and frequency; component name, type, condition and action taken.

2.1.2 MAINTENANCE WORK MODULE

The work module has been designed to serve three functions: 1) to authorize and define work to be performed by the maintenance department, 2) to be used for planning, performing, and controlling the actual work done, and 3) to be used as a source document to estimate maintenance performance and costs. This module, mainly, consists of two sub-modules, namely, planned maintenance and unplanned maintenance work. Both sub-modules generate a set of disk data files to be created once for each work order number and equipped with data management functions to facilitate adding, deleting, updating and printing work order and requisitions. The data manager contains several data files which receive data through the input mode and stores them in their respective files for easy future retrievals.

In planning work, as shown in figure 4, such files are work order file, work in process, materials permits file, work deferred, work scheduled and completed work, while in unplanned work, the data files are simplified to work in process, materials permits file and completed work file. As can be seen in figure 5, the work processing route is shorter than that of the planned work to deal with emergencies as quick as possible.

Within either the planned or unplanned work sub-modules, data is fed into numerically ordered work requisition, however, a priority code (PC) was used only in planned work to deal with work orders according to the importance of the work requested. This priority code was estimated based on service description.

In service description, work priority of the failure in terms of its effect on both production quality and in addition to its effect on labor safety. Thus, it indicates the urgency of maintenance work.

PC = Cmpnt + [PQL + PQN].LS

maintenance management, planning, safety, and reliability analysis require the application of relatively sophisticated methods and highly qualified people. As a result, there has been an increasing need for computer tools that are easily useable in order to achieve these tasks at lower costs.

Quite simply a computerized maintenance system has become an indispensable part of a production system. Accepted as a specialized function of growing importance and size, computerized maintenance is primarily designed to eliminate the growing administrative burden that can not be effectively manually handled, to assist management in planning routines to minimize down-time and to extend the useful life cycle of equipment at minimum cost (6,7).

Recently, few research works have tackled the problem of maintenance administrative burden in terms of time, effort and cost. For instance, Joseph (8) found that computerized maintenance can save maintenance manager time by about 40%. While, Steven (9) found that an on-line computerized maintenance management can reduce maintenance cost by an average of 15% per year. Well (10) has also shown that introducing a computerized management system using microcomputers can add as low as 1% of the annual maintenance cost in a medium size firm. Other research work focused only on either an inventory control module or a material management subsystem. For instance, Agrasti (11) looked into the procedures of planning and scheduling of each maintenance.

Most of the work done have favored data input and data manager modules and not much attention has been given to the significance of implementing processor modules. The latter modules assist the management to plan maintenance work at maximum effectiveness, to analyze the outcome and study the effect of alternative decision strategies. Advanced modules serving this task may be called decision support modules (12-17). It is the purpose of this research work to formulate an effective computerized preventive and corrective maintenance activities planning and performance evaluating procedures based on modified route of maintenance work processing including a new work order priority code formula and newly implemented processor type of modules to help management and maintenance specialist make the right decision using computer system.

2- STRUCTURE OF THE PROGRAM

Termed Computer Aided Maintenance system (Super CAM), it mainly consists of six modules as shown in figure 1. Three of them are for data input and management. These modules deal with equipment & facilities, maintenance work and available resources. In addition, two data processors modules, namely, cost accumulation, maintenance performance evaluation are included. These modules provide machine and component reliability with the flexibility of redesigning workshop layout and maintenance routes, and with the advantage of evaluating both current and future maintenance work of machinery including emergency repairs, thus allowing engineers and manager to minimize down-time and extend the useful life cycle

of equipment at minimum cost. A reporting module was added to give, on a monthly and annually basis, equipment failures report, work flow report and reliability and cost report.

Super CAM system is a menu driven user friendly computer program written in Pascal and uses Pascal graphics and data base tool boxes. The element of each module and the interconnection between the various elements composing the whole system is shown in the detailed diagram labelled figure 2. As can be seen, it uses data files, for storing maintenance data, entered at each maintenance activity, arranged and organized, then processed to be analyzed by the maintenance engineer. Final decision will be made with the help of a kind of decision support subsystem provided in terms of cost and performance evaluation modules.

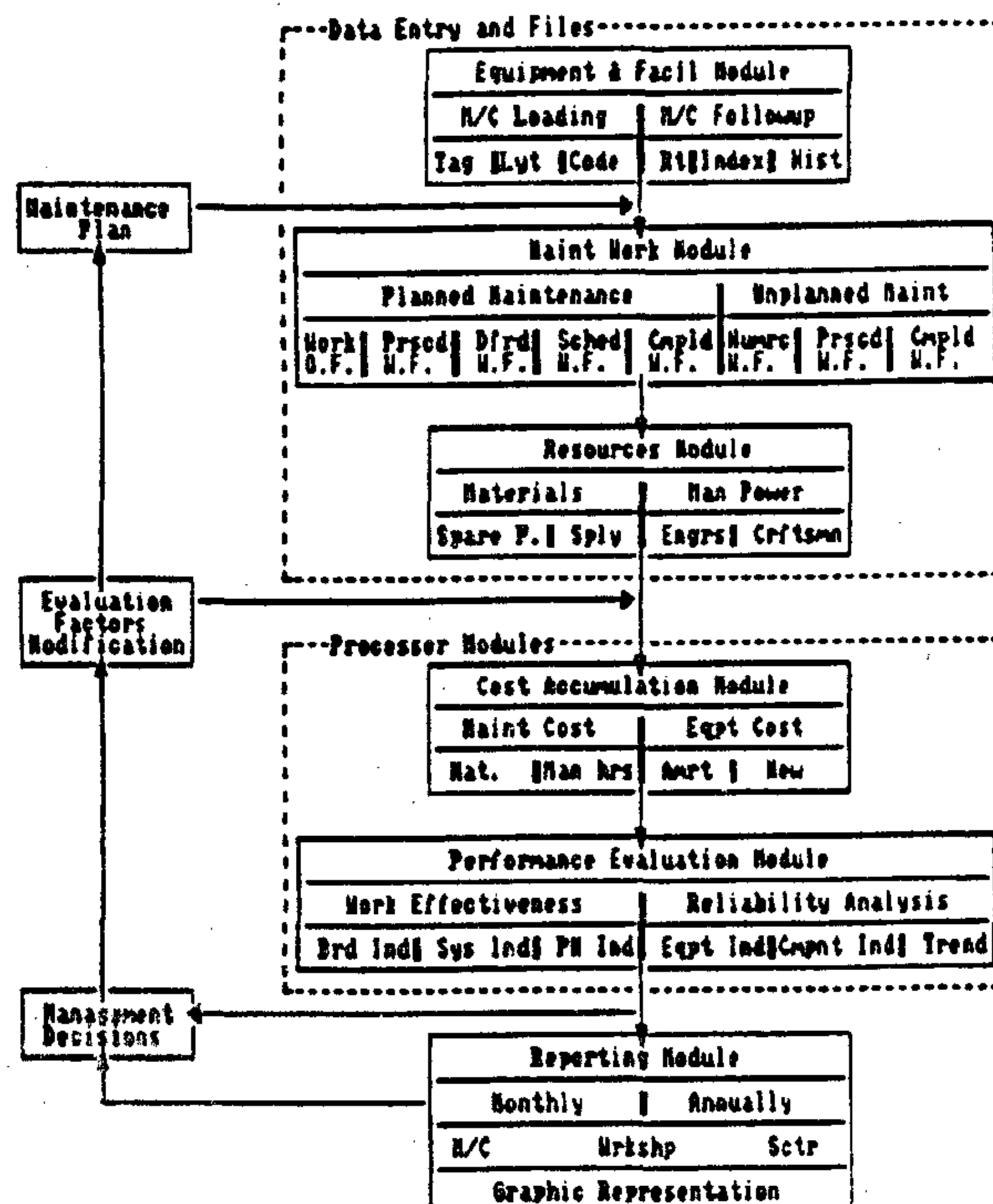


Figure 2 Detailed block diagram of the system structure.

2.1 Data input and management modules

The interaction between the maintenance planner and the system occurs in the input mode through the data entry and management modules. Such modules, namely, equipment and facilities, maintenance work and resources modules, are activated each time a maintenance action, corrective or preventive, is needed. Upon following data entry path shown in figure 3, the planner should input the data concerning equipment, maintenance, materials and human resources. Those data are stored in disk files in the computer through the data manager control of the system.

COMPUTER AIDED MAINTENANCE: MANAGEMENT PLANNING AND EVALUATION SYSTEM

MOHAMED E. NASR

ABSTRACT

This paper describes a framework of an interactive, user friendly shell designed according to a modified route of maintenance work processing including a new work order priority code estimation formula and built in order to aid maintenance department, in small/medium plants to run maintenance activities smoothly and to help maintenance management make strategic decisions through two newly implemented processor type of modules. The program, which was carried out at the American University in Cairo (AUC-CEP), has been structured to serve two levels of professional users, maintenance planner and maintenance specialist on a network system with a security code in terms of password and identification number.

It is composed of six modules. Three of them, namely, equipment & facilities, maintenance work, and resources module, are designated for input and management of data. Such modules are capable of documenting equipment specifications and layouts, recording operations, service activities, maintenance route and frequency as well as troubles encountered. Furthermore, the program maintains maintenance work flow by balancing work schedules, thus, keep the maintenance staff working at a productive rate, rather than on crisis-to-crisis basis.

To monitor the maintenance activities including the cost and work evaluation as well as the performance of equipment, two processor type of modules are designed to analyze and estimate certain related maintenance parameters. The processing essentially aims at maximizing the maintenance work effectiveness, the availability and reliability of the equipment being maintained. Furthermore, a reporting module was included to provide, through a print out or on-screen display on a monthly and annual basis, the managers and service engineers with reports on maintenance activities and equipment performance.

1- INTRODUCTION

Continual efforts are made to reduce and stabillize manufacturing costs in spite of rising materoal and labor costs, thus making increased equipment utilization an economic necessity. This dilemma although directly the concern of the production department, it reflects back decisively to the maintenance department (1-5).

With to-day's sophistication in technology,

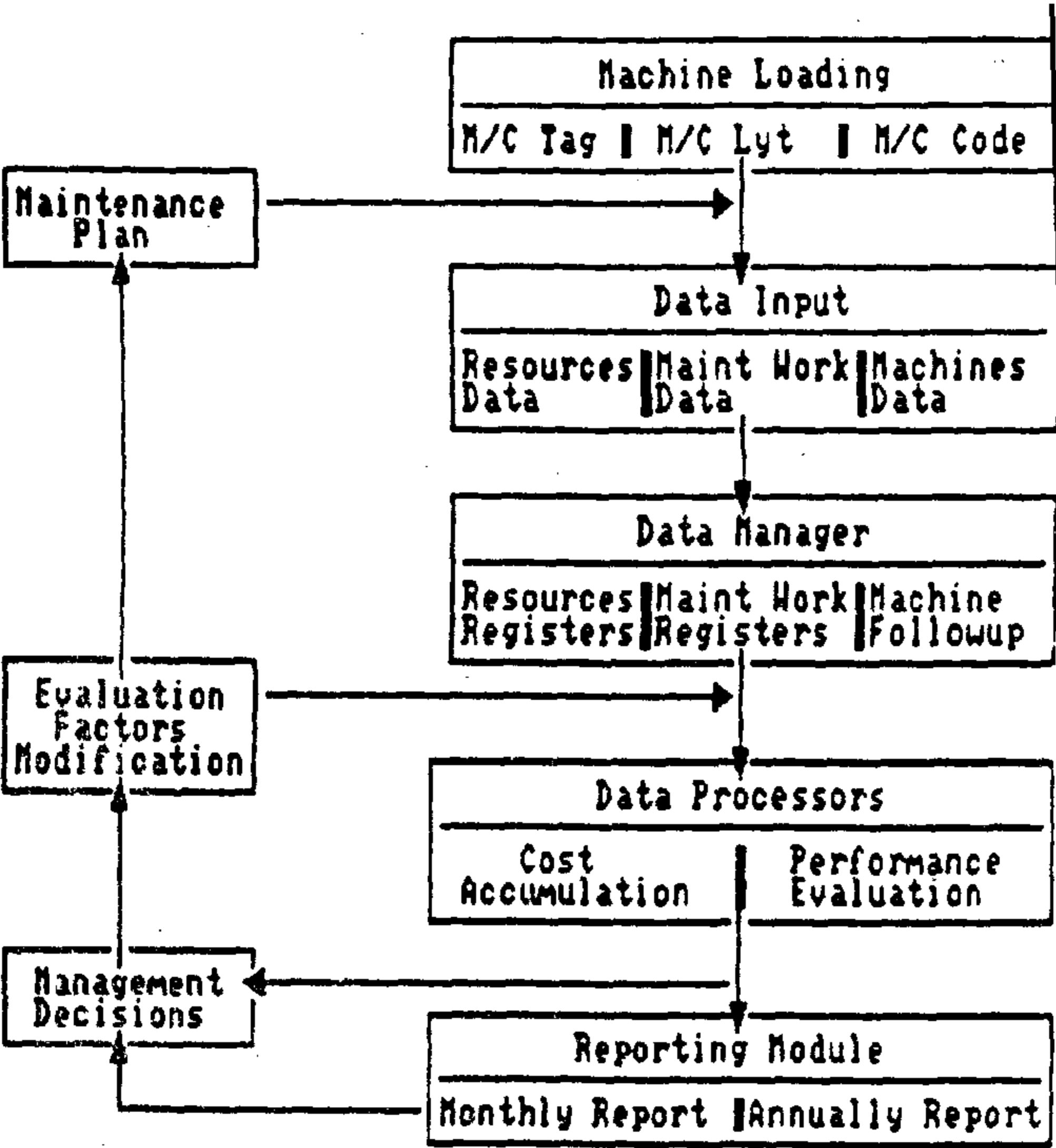
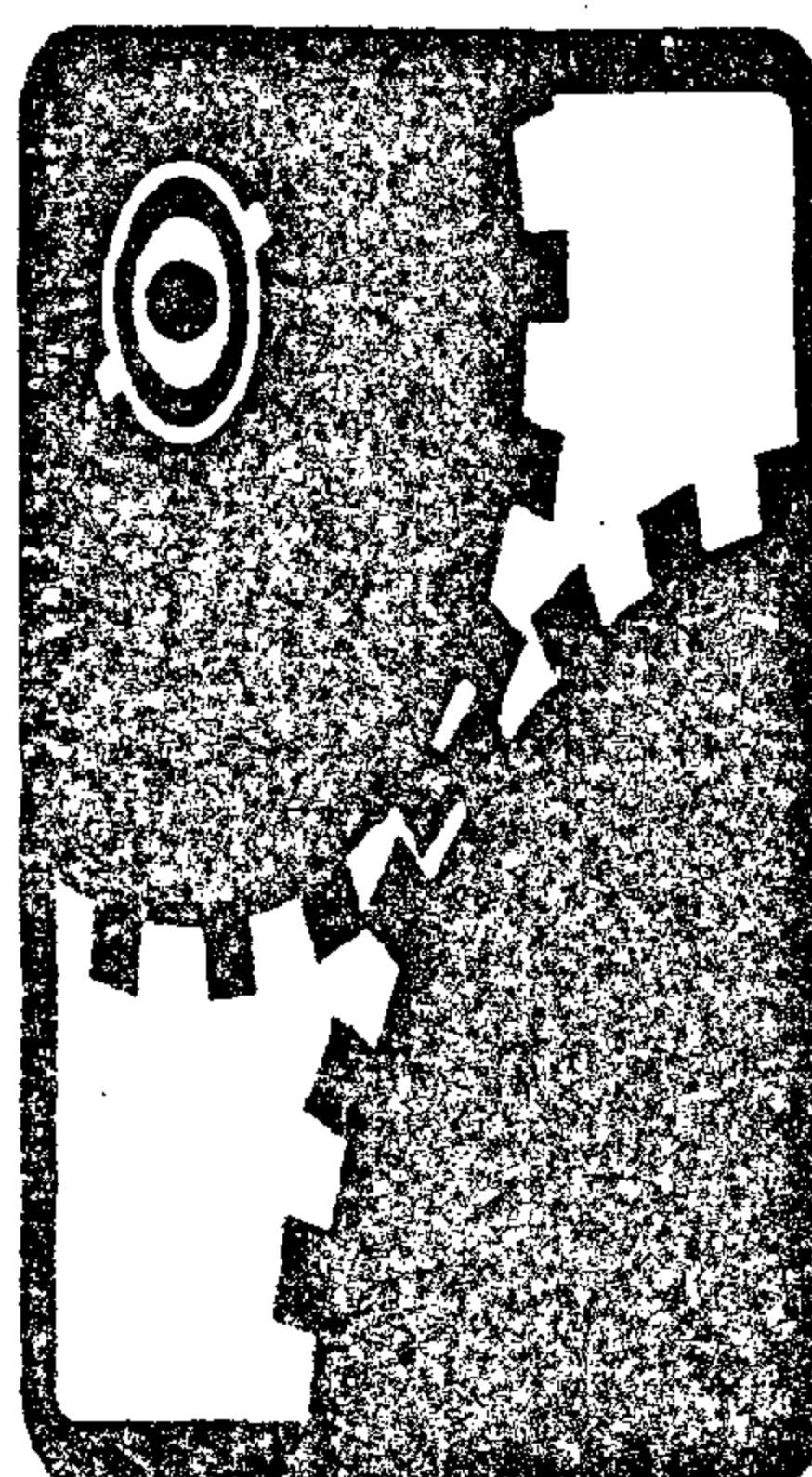
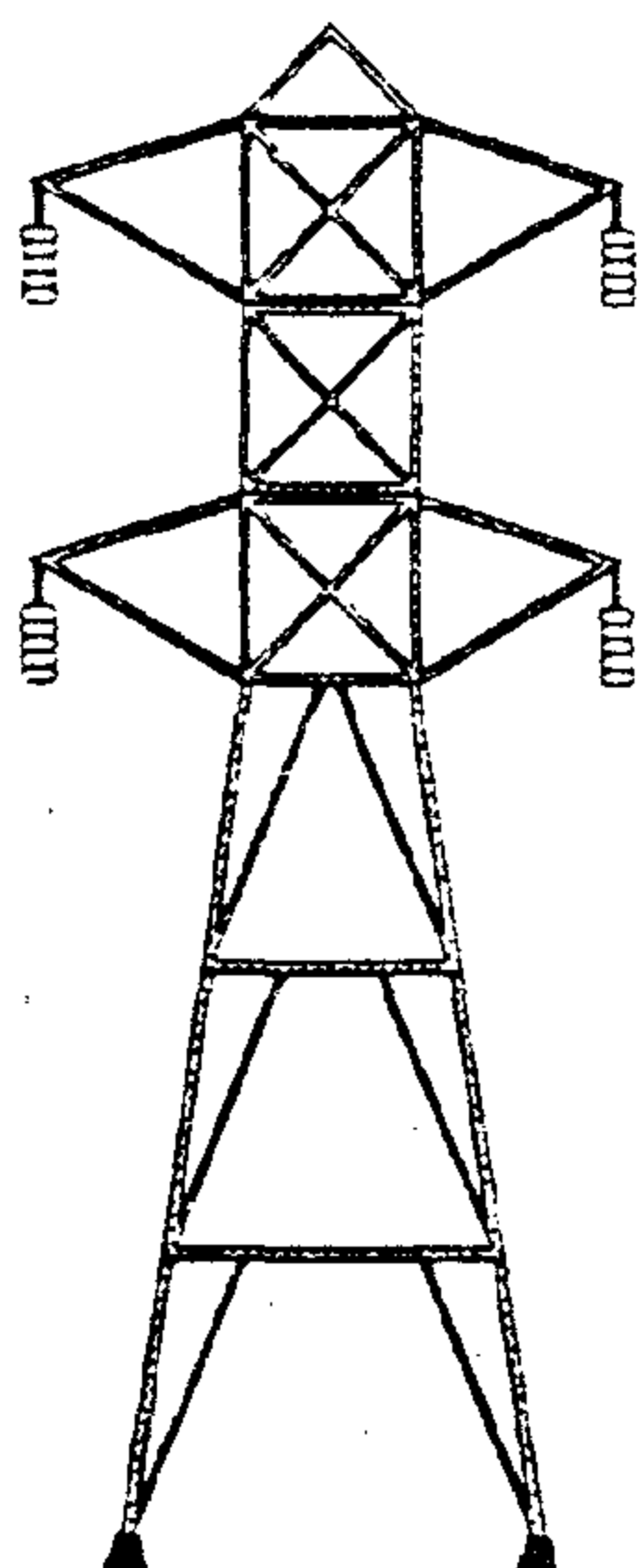


Figure 1 Simplified block diagram of the system.

INDUSTRY AND PRODUCTION



INST. OF MECHANICAL ENGINEERS
INST. OF ELECTRICAL ENGINEERS

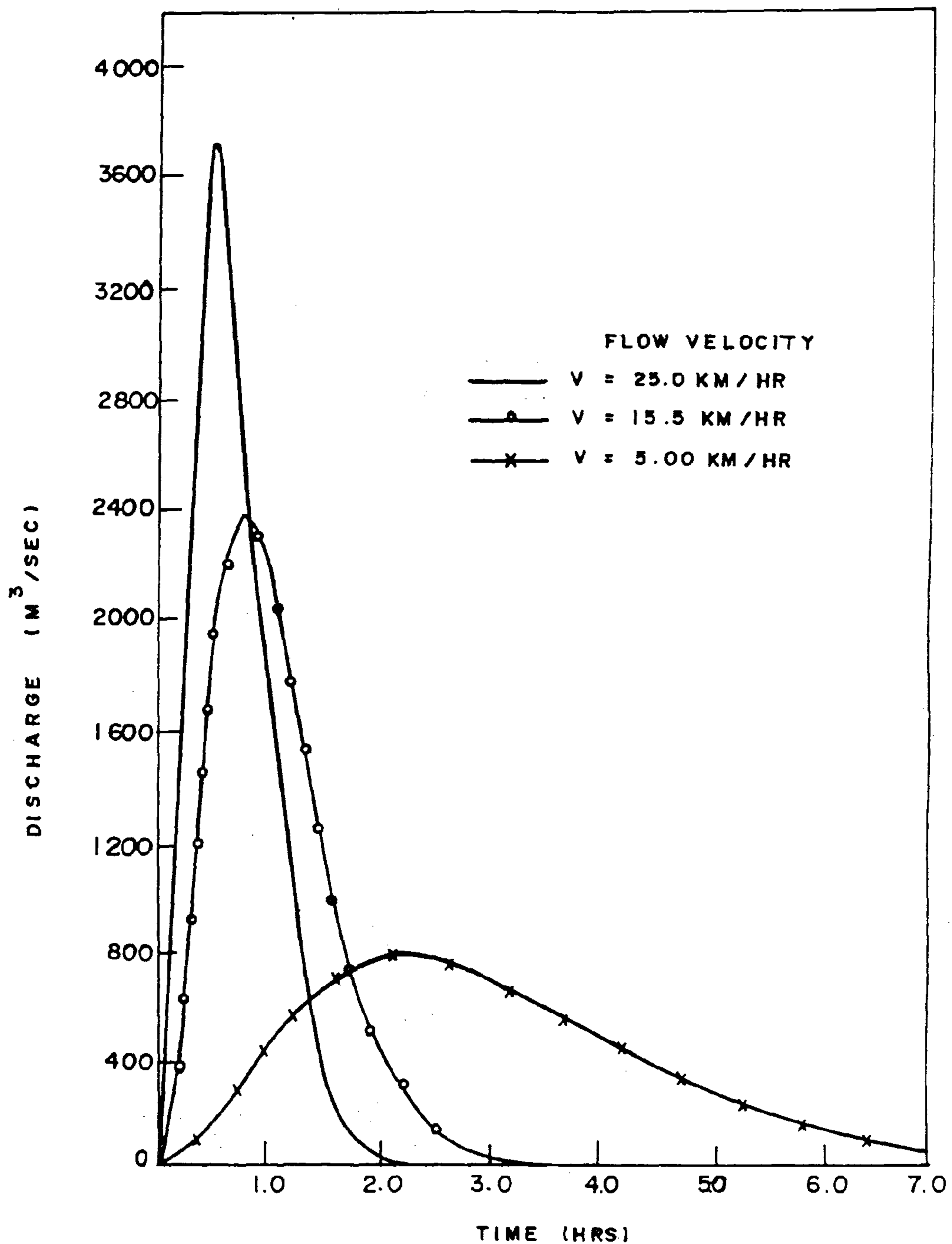


FIG. (13) EFFECT OF FLOW VELOCITY ON OUTLET
HYDROGRAPH OF WADI EL ANAB WATERSHED

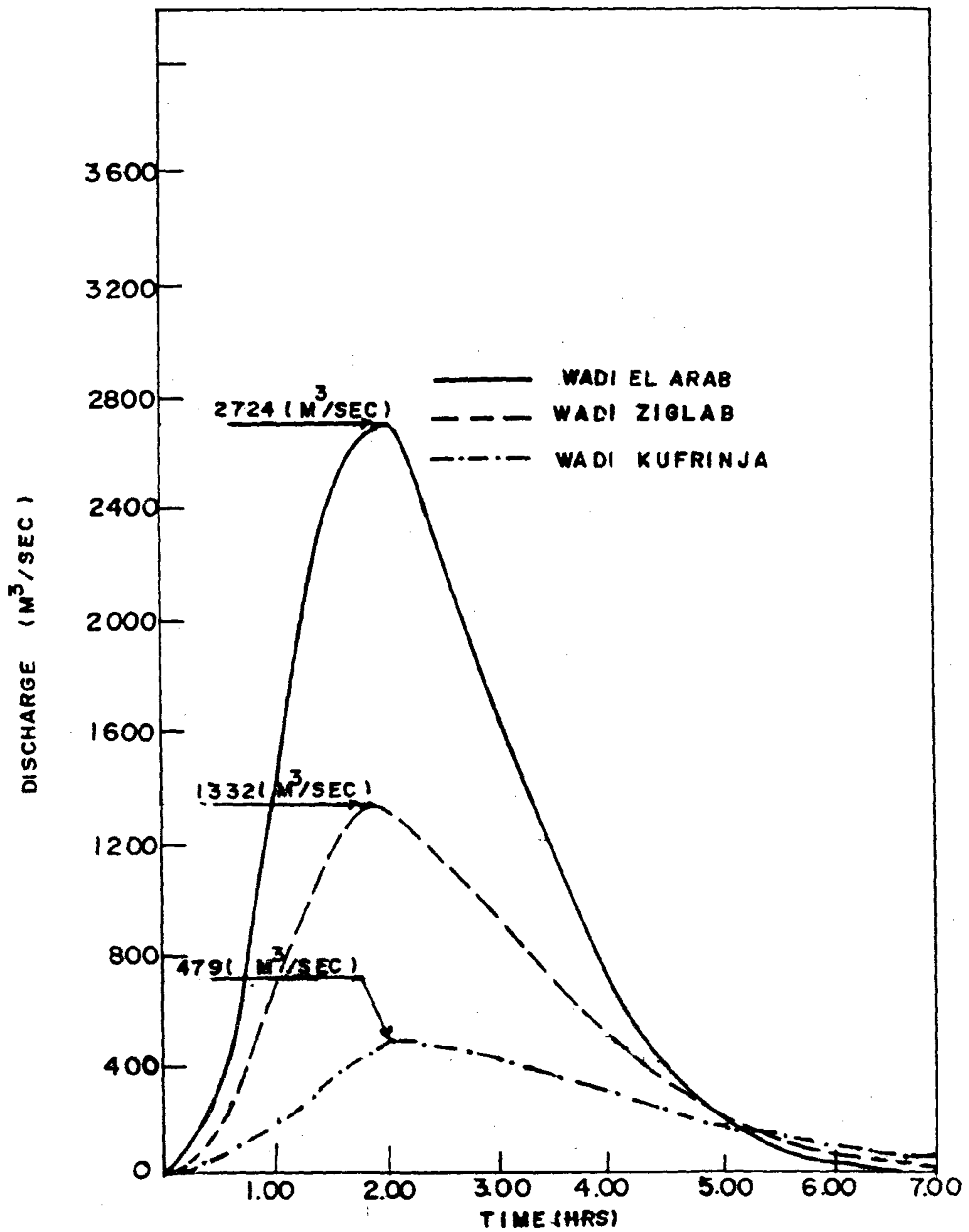


FIG. (2) DISCHARGE HYDROGRAPHS OF WADI EL ARAB, WADI ZIGLAB, AND WADI KUFRINJA WATERSHEDS DUE TO A STORM OF 10-HR DURATION AND 100-YR RETURN PERIOD.

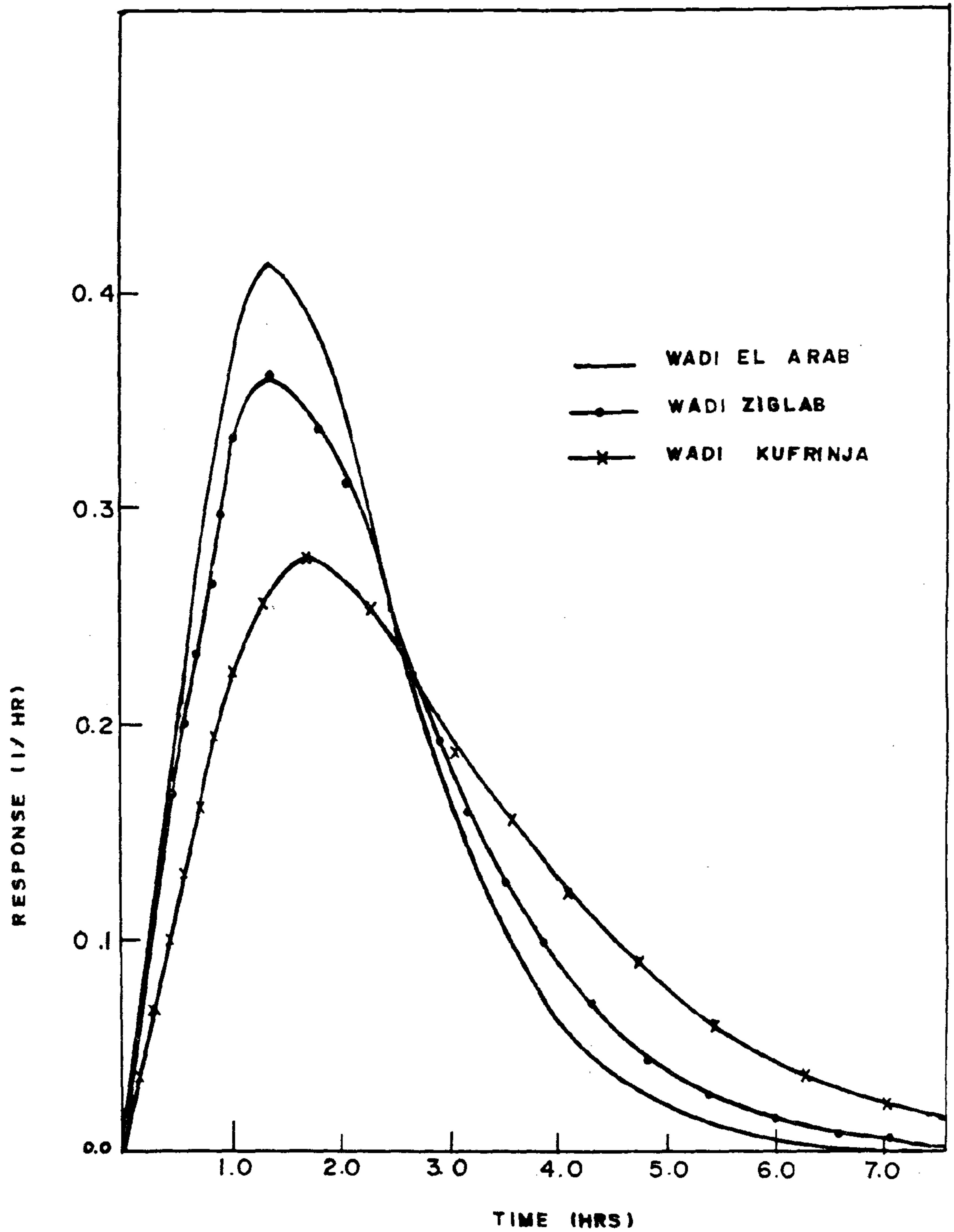


FIG. (1) INSTANTANEOUS UNIT HYDROGRAPHS FOR WADI EL ARAB, ZIGLAB, AND KUFRINJA WATERSHEDS.

Parameter	Wadi el Arab	W. Ziglab	W.Kufrinja
Order of Watershed	3	3	3
Total Number of Streams	12	53	43
Total Area of Watershed, A (sq.km)	267.00	102.75	111.12
Bifurcation Ratio, RB	2.83	6.75	6.13
Area Ratio, RA	3.44	9.71	9.20
Length Ratio, RL	1.55	4.11	5.73
Transition Probability, P(1,2)	0.884	0.676	0.693
Transition Probability, P(1,3)	0.115	0.323	0.306
Average Velocity, V (km/hr)	15.54	15.24	14.20
Intial probability, θ_1	0.68	0.48	0.44
Intial probability, θ_2	0.22	0.37	0.36
Intial probability, θ_3	0.10	0.15	0.20
Actual Rainfall Intensity (mm/hr) (100-yr. Return Period)	143.4	185.0	108.0
Effective Rainfall Intensity (mm/hr) (100-yr. Return Period)	93.0	134.6	57.6

Table (1): Geomorphological Characteristics of Wadi el Arab, Wadi Ziglab, and Wadi Kufrinja.

- 4- Bender, F., "Geology of Jordan", Contribution to the Regional Geology of the Earth, supplementary Ed. of Vol.7, Gebruder Borntraeger, 1974.
- 5- Bouwer, H., Groundwater Hydrology, McGraw-Hill, pp. 90-137, 1978.
- 6- Gupta, V.K., E.D. Waymire, and C.T. Wang, "A Representation of an Instantaneous Unit Hydrograph from Geomorphology" Water Resources Research, Vol.16(5), pp. 855-862, 1980.
- 7- Jordanian Water Authority, "Rainfall Data in Jordan", Tech. paper no. 50, Jordan, 1980.
- 8- Jordanian Water Authority, "Rainfall Data in Jordan," Tech. paper No.52, Jordan, 1986.
- 9- Pilgrim, D.H., "Isochrones of Travel Time and Distribution of flood storage from a Tracer Study on a Small Watershed, " Water Resources Research, Vol. 13(3), pp.587-595, 1977.
- 10-Rodriguez-Iturbe, I., and J.B. Valdes, "The Geomorphologic Structure of Hydrologic Response", Water Resources Research, Vol. 15(6), pp. 1409-1420, 1979.
- 11-Viessman, W., J.W. Knapp, G.L. Lewis, and T.E. Harbaugh, Introduction to Hydrology,

The effect of streamflow velocity on the hydrograph of Wadi el Arab is studied for a storm duration of 0.5hr while the other parameters are kept constant. As shown in Fig.(3), the outlet hydrograph is very sensitive to the streamflow velocity. Therefore, this streamflow velocity should be estimated accurately before applying the present model in order to obtain reliable watershed responses.

The total surface-runoff volume of each watershed is evaluated for 100-Yr return period and 1.0-hr storm duration. The values of total surface-runoff volumes are 24.8×10^6 , 13.8×10^6 , and $6.40 \times 10^6 \text{ m}^3$ for Wadi el Arab, Wadi Ziglab, and Wadi Kufrinja, respectively. Although the drainage area of Wadi Kufrinja is greater than that of Wadi Ziglab, the total surface-run off volume of Wadi Kufrinja is less than one half that of Wadi Ziglab. The reason behind this case is the difference in the effective rainfall intensity as indicated by Table(1).

SUMMARY AND CONCLUSIONS:

As a summary of this research, a geomorphological mathematical model for the Instantaneous Unit Hydrograph (IUH) of a third-order watershed has been outlined. This proposed model is interpreted as the probability density function of the travel time of a drop of water to reach the outlet. The proposed model is applied on three watersheds in Irbid region under different rainfall conditions. Furthermore, the soil is tested to evaluate the soil infiltration rate in order to calculate the effective rainfall intensity. The geomorphological input parameters of the model are estimated from the survey maps of the region. Furthermore, the streamflow velocity is considered constant for each watershed, which depends on the average slope and the cross-section dimensions of the stream. A sensitivity analysis of important model parameters is performed in order to evaluate the effect of these parameters on the outflow hydrography of a certain watershed. In addition, the total surface runoff volumes of the three

watersheds are obtained for 100-Yr return period and 1.0-hr storm duration.

The main conclusions of the present research are:

- 1) The three watershed, wadi el Arab, Ziglab, and Kufrinja, are of a third order.
- 2) For 100-yr return period and 1.0 hr storm duration, the highest value of rainfall intensity is 18.5 cm/hr. This value belongs to Wadi Ziglab in Irbid region.
- 3) The infiltration test indicates that the average infiltration rate of Irbid soil is about 5.04 cm/hr at 1.0hr of storm duration.
- 4) The peak discharges of 100-yr storm and 1.0-hr duration (i.e., design storm) are 2724, 1332, and $479 \text{ m}^3/\text{sec}$ for Wadi el Arab, Wadi Ziglab, and Wadi Kufrinja, respectively.
- 5) Sensitivity analysis indicated that the outflow hydrograph is significantly affected due to a considerable error of estimating the streamflow velocity.
- 6) The total volumes of surface-runoff for Wadi el Arab, Wadi Ziglab, and Wadi Kufrinja due to the design storm are 24.8×10^6 , 13.8×10^6 , and $6.4 \times 10^6 \text{ m}^3$. However, Wadi Ziglab has the smallest drainage area.

REFERENCES:

- 1- Abu Laban, A.M, and S. Tekeli, "Development of Design Rainfalls for Irbid Region," Tech. Report, Civil Eng. Dept., Jordan U. of Science and Technology, 1987.
- 2- Allam, M. N., "A Geomorphologic Rainfall-Run off Model," Proceedings of the Second Saudi Engineers Conference, Vol.3, pp.1419-1437, U. of Petroleum and Minerals, Dhahran, Saudi Arabia, 1985.
- 3- Al-Qawasmeh, A.A., "A watershed Response and Its Applications on Irbid Region, " Master Thesis, Dept. of Civil Eng., Jordan U. of Science and Technology, Irbid, Jordan, Sept. 1988.

silty clay (Bender, 1974). Generally, rainfalls over the study area are caused by frontal cyclones with a heavy intensity and a short duration (i.e., about one hour).

Irbid region contains many watersheds, but only three hazardous watersheds are studied. These watersheds are Wadi el Arab, Wadi Ziglab, and Wadi Kufrinja. Many factors are taken into consideration such as the size of drainage area, the variation of rainfall intensity, the average watershed slope, and data availability. The available survey maps for the selected watersheds with different scales were obtained from the Jordanian Water Authority (J.W.A). These maps are utilized to determine the geomorphological parameters such as the stream order, area ratio, bifurcation ratio, length ratio, and the average slope for each watershed. Table(1) shows the values of these geomorphological parameters. Furthermore, the average velocity of each watershed is calculated by Manning's formula with a Manning's coefficient of 0.025 for natural streams Al-Qawasmeh (1988). The average hydraulic radius of each watershed is obtained from available cross-sections of different streams at different locations.

RAINFALL STUDY OF IRBID REGION:

Estimation of the critical storm depth is necessary for watershed analysis and flood management. In this study the design storm depth is evaluated according to 100 Yr. return period and 1.0-hr storm duration. The daily records of rainfall data were collected by different meteorological stations in the region as indicated in J.W.A (1980) and J.W.A (1986). These records covered the period from 1976 to 1985.

Thiessen's method (Viessman et al., 1977) is used to compute the areal rainfall depth for each watershed when the watershed includes more than one meteorological station. This method is based on joining the stations by straight lines. The bisectors of these lines define the weight of each station to the areal rainfall depth.

Therefore, the value of rainfall intensity for each watershed is obtained by dividing the 100-year storm depth by the storm duration (i.e., 1.0 hr duration in the present study). Table(1) shows the actual rainfall intensities of the three watersheds.

The infiltration rate of the soil is evaluated in the present study using a flooding type infiltrometer. The device consists of two concentric metal rings of 11cm and 25cm diameters and 20cm length. The infiltration capacity curve of the soil is obtained at 10-min. intervals for the first 30 minutes and then at 30-min. intervals for 1.5 hrs (Bouwer, 1978). It is found that the average infiltration rate after one hour is about 5.04 cm/hr. This value is considered to calculate the effective rainfall intensity for each watershed. Table(1) presents the effective rainfall intensities of Wadi el Arab, Wadi Ziglab, and Wadi Kufrinja.

MODEL APPLICATION AND SENSITIVITY ANALYSIS:

The GIUH model, Eq.(7), is applied on the three watersheds in Irbid region using the geomorphological and rainfall parameters that are previously evaluated. As shown in Fig.(1), the GIUH of Wadi el Arab has the maximum peak response i.e., 0.425 hr^{-1} while the GIUH of Wadi Kufrinja has the minimum peak response (i.e., 0.275 hr^{-1}). This indicates that Wadi el Arab is the most hazardous one in the region. Furthermore, it is found that the area under curve for each GIUH of the three watersheds is equal to unity regardless the shapes of these hydrographs.

The discharge hydrographs of the studied watersheds are computed by Eq.(8) due to storms of one hour durations and different intensities. The peak discharges, as shown in Fig.(2), of Wadi el Arab, Wadi Ziglab, and Wadi Kufrinja are 2724, 1332, and $479 \text{ m}^3/\text{sec}$, respectively. The considerable variations of peak discharges of the three watersheds are due to the variations of their GIUH's and drainage areas.

Considering that the travel time of each element is independent random variable, the probability density function of $T_{r(i)}$ fits with an exponential distribution as:

$$fT_{i(t)} = \lambda_i \exp(-\lambda_i t) \quad i < N \quad (3)$$

and the highest order (outlet stream) has:

$$fT_N(t) = 4 \lambda_N^2 t \exp(-2\lambda_N t) \quad (4)$$

where

λ_i and λ_N are distribution parameters and can be obtained from the average velocity and the average stream length for each order. Therefore, the cumulative density function $P(T_s \leq t)$ in Eq.(1) is expressed by the convolution of the individual cumulative density function of each term in the right hand side of Eq.(2) as:

$$fT_s(t) = fT_i(t) * fT_j(t) * fT_k(t) * \dots * fT_N(t) \quad (5)$$

where

* indicates the convolution operator.

The probability of a given path $P(s)$ in Eq.(1) is expressed as:

$$P(s) = \theta_i P_{ij} \dots P_{kN} \quad (6)$$

where

θ_i is the probability that a drop of water falls in an area draining to a stream of order i which is called the initial probability and P_{ij} is the transition probability from order i to order j along the given path (s) .

Rodriguez-Iturbe and Valdes (1979) showed that θ_i and P_{ij} are functions of the geomorphological parameters, namely the bifurcation and area ratios of the watershed. Furthermore, P_{kN} in Eq.(6) is equal unity since each drop must pass through the outlet of the watershed.

The IUH presented by Eq.(1) is fully defined by Eqs.(5) and (6) in terms of geomorphological parameters. This IUH is called the Geomorphologic Instantaneous Unit Hydrograph. Using Eqs.(3) and (4), and the K-fold convolution integration of Eq.(5), the IUH(t) is expressed as:

$$IUH(t) = \sum_{s \in S} \sum_{j=1}^k C_{jk} \exp(-\lambda_j t) \cdot P(s) \quad (7)$$

where

$P(s)$ is obtained for each path s in the set of all possible paths S from Eq.(6). In addition, the stream velocity is taken constant throughout the whole drainage network (Pilgrim, 1977). This velocity is estimated in terms of the average slope and dimensions of the streams by Manning's equation.

The outflow discharge $Q(t)$ at the outlet of a watershed is given by:

$$Q(t) = \int_0^t I_e(t-f) \cdot IUH(f) df \quad (8)$$

where

$I_e(t)$ is the effective rainfall intensity and IUH(t) is obtained from Eq.(7).

The infiltration rate, which is a function of soil type can be represented in the present model by subtracting this rate from the gross rainfall intensity. The effective rainfall intensity vanishes when the gross intensity of rainfall is less than the infiltration rate.

GEOMORPHOLOGICAL ANALYSIS OF IRBID REGION:

The study area in Irbid region is located in the Northern part of Jordan and covers an area of about 2400 sq.km. It lies at about latitude 32 10 N and longitude 35 40 E. Altitudes vary from about 300m above M.S.L. in the Northwest to about 1000m above M.S.L. in the southwest (Abu Laban and Tekeli, 1987). In the study area there are many small valleys with ephemeral streams discharging into Yarmouk and Jordan Rivers.

The region is characterized by a moderate climate and the highest annual rainfall in Jordan. Furthermore, the soil of Irbid region is mainly

GEOMORPHOLOGICAL ANALYSIS AND WATERSHED RESPONSES OF IRBID REGION

ISMAIL I. EL-HEMRY* ADNAN A. AL-QWASMEH**

INTRODUCTION:

Rainfall is one of the most important source of water in Jordan. However, its random occurrence sometimes creates a lot of flooding problems. Recently, Irbid region in Jordan has been subjected to occasional flash floods that created extensive damages to agriculture fields and villages.

The flash floods are mainly created by the rain falling on areas that have many watersheds. At the outlet of a watershed, the flow of water is collected from a number of streams of different orders and causing flood damages to the nearby plain areas. The severity of a flood which is the hydrologic response of a watershed depends on the storm behaviour, the geomorphological characteristics of the watershed, and the infiltration capacity of soil inside the watershed.

The main goal of this study is to determine the quantities of water which result from three watersheds in Irbid region. These watersheds are Wadi El Arab, Ziglab, and Kufrinja. The estimation of flood rates from different watersheds in Irbid region is essential for the design of a flood protection plan. Additionally, most of the watersheds of Irbid region are ungauged, i.e, the outflow discharges of these watersheds are not recorded. Therefore, evaluation of these discharges can be achieved in terms of the geomorphological characteristics and climatic conditions of Irbid watersheds.

MODEL FORMULATION:

Synthetic methods of unit hydrographs are receiving considerable use and still employed to estimate peak discharge rates. Recently,

methodologies have been proposed to relate the watershed response to basin geomorphology (Rodriguez Iturbe and Valdes, 1979; Gupta et al., 1980; Allam 1985); and Al-Qawasmeh (1988). These methodologies were based on the Strahler's channel ordering scheme and Horton's numbers. The resulting model of these approaches is defined as the Geomorphological Instantaneous Unit Hydrograph (GIUH).

The Instantaneous Unit Hydrograph (IUH) in the proposed model is interpreted as a probability density function of the time that a drop of water will take to travel in the watershed to the outlet. Therefore, the probability density function of the travel time is given by Gupta et al. (1980) as:

$$fT_B(t) = \sum_{s \in S} fT_s(t) \cdot P(s) \quad (1)$$

Where

- T_B - is the travel time spent by a drop of water to reach the outlet of the watershed,
- T_s - is the travel time through a path s , and S is the set of all possible paths that a drop of water, falling randomly on the watershed, may follow to reach the outlet.

Furthermore, the travel time T_s of a particular path is equal to the sum of travel times of the path elements as:

$$T_s = T_{r(i)} + T_{r(j)} + T_{r(k)} + \dots + T_{r(\Omega)}$$

where

- i, j, k, \dots are the orders of the elements of the paths and Ω is the highest order in the path which is the outlet stream.

* ASSIS. PROF. FACULTY OF ENGINEERING. CAIRO UNIVERSITY
** CIVIL ENGINEER

Table-1. Correlation Matrix for Dependent and Independent Variables
Riyadh - Saudi Arabia, 1971-1987

	Accid- ents	Injur- ies	Deaths	Popula- tion	Vehicles	Age ≤30	Cost of accid- ents	Income of driver	Unedu- cated drivers	Speed (>120 Km/h)	Drug/ Alcohol	Un- married	KM-Driv- ing/year
Accidents	1.000	0.922	0.907	0.906	0.870	0.942	0.976	0.551	0.956	0.725	-0.038	0.113	0.823
Injuries		1.000	0.910	0.854	0.799	0.879	0.939	0.473	0.894	0.776	-0.229	0.306	0.708
Deaths			1.000	0.775	0.727	0.884	0.954	0.427	0.881	0.612	-0.277	0.266	0.638
Population				1.000	0.990	0.916	0.907	0.578	0.941	0.854	0.018	0.129	0.953
Vehicles					1.000	0.901	0.878	0.619	0.934	0.860	0.047	0.063	0.974
Age ≤ 30 in year						1.000	0.966	0.521	0.982	0.747	-0.047	0.053	0.864
Cost of Accidents							1.000	0.569	0.977	0.736	-0.156	0.139	0.822
Income of driver								1.000	0.623	0.430	-0.177	-0.174	0.677
Uneducated drivers									1.000	0.786	-0.079	0.066	0.895
Speed (>120 Km/h)										1.000	0.004	0.358	0.763
Drug/Alcohol involvement											1.000	-0.149	0.126
Unmarried drivers												1.000	-0.061
Km-Driving/year													1.000

Int.Assoc. for Accident
and Traffic Medicine,
Vol.11, pp. 65-69.

OFOSU, J.B., ABOUAMMOH, A.M.
and BENER, A. (1988). A
study of road traffic
accidents in Saudi Arabia.
Accident Analysis and
Prevention. Vol.20, No. 2,
pp.95-101.

STOPHER, P.R. and
MEYBURG, A.H. (1975). Urban
transportation modelling
and planning. Lexington
Books, Mass., P.44.

UNITED NATIONS (1981).
Population policy
Compendium: Saudi Arabia,
United Nations
Publications and Vital
statistics.

UNITED NATIONS (1985).
Population and Vital
Statistics: Latest
available data for western
Asia. United Nations
Publications, New York.

ZIATOPER, T.J. (1984).
Regression analysis of
time serial data on motor
vehicle death in the
United States. Journal of
Transport Economics and
policy 18: 263-274.

Wall Street Journal
(1982). Death on the road.
14 April, pp. 1-24; 20
April, pp. 1-18; 27 April,
pp. 1-20; 4 May, pp.1-20.

Table-4. Regression Estimates of Motor Vehicle Fatalities
in Riyadh, Saudi Arabia, for 1971-1987.

Independent Variables	Dependent Variable: Parameter Estimates	t-stat test	Deaths p-value
Intercept	-17.546	-0.862	0.4090
Uneducated Driver	0.3163	12.108	0.0001
High Speed (>120 Km/h)	0.0013	0.648	0.5318
Young Drivers (Age 18-30 years)	0.2091	0.856	0.4102
Vehicle-Kilometer of travel	0.0429	-4.168	0.0019
	R ² 0.979	F-value 116.102	Prob.>F 0.0001

Table-5. Socio-economic and Travel Characteristics of
Households in Riyadh and in the U.S.A.

Variables	Mean Value	
	Riyadh	United States
Family Size	5.7	3.3
Family Income	2866	-
Employment	1.7	1.2
Car Ownership	1.9	1.2
Total Person Trip Per Day	2.6	2.5
Work Trip Per Person Per Day	0.80	0.60
Total Family Vehicle Trip per Day	9.3	8.2
Car Occupancy	1.8	1.5
Vehicle-Trip Length (Km)	10.4	8.1
Vehicle-Km Per Day	83	66.0

REFERENCES

- AL-FRAYH, A.R. (1985) Survey of Auxological Variance and Growth Standards for the Saudi pre-school Children in Riyadh. SANCST Project, AR 170. King Abdulaziz City for Science and Technology-Riyadh-Saudi Arabia.
- BEALE, E.M.L. (1970). Note on procedures for variable selection in multiple regression. *Technometrics* 12:pp.909-914.
- BENER, A. and EL-SAYYAD, G.M. (1985). Epidemiology of motorvehicle accidents in Jeddah. *Journal of the Royal Society of Health* 105: pp., 200-201.
- BENER, A., ABOUAMMOH, A.M. and EL-KAHLOUT, G.R. (1988). The Epidemiology of road traffic accidents in Riyadh. *Journal of the Royal Society of Health* Vol. 108, No. 1, pp.34-37.
- DEMOGRAPHIC ESTIMATES FOR THE KINGDOM OF SAUDI ARABIA. An analysis of 1982 demographic survey. Central department of statistics, Ministry of finance and national economy, Kingdom of Saudi Arabia.
- DRAPER, N.R. and SMITH, H. (1981). *Applied regression analysis*. John Wiley & Sons, Inc., New York.
- ERGUN, G. and AL-KHALDI, H.T. (1984). Effects of driver characteristics on accident involvement: a study of Saudi Arabia. *The Arabian Journal for Science and Engineering* 9: pp.311 - 319.
- JADAAN, K.S. (1988). Traffic safety in Gulf countries with special reference to Kuwait, *Transport Reviews*; 8: No.3, 249-265.
- LEVINSON, H.S. (1978). Characteristics of Urban transportation demand: a new data bank. *TRB, Trnspr. Res. Rec*; 673:53-59.
- KHAWASHKI, I. (1980). Socio-Economical impact of road traffic accidents in Saudi Arabia. *Saudi Medical Journal*, Vol.1, No.5, P.246.
- KOUSHKI, P.A. and BALGHUNAIM, F.A. (1987). Determination and analysis of unreported road accidents in Riyadh. (Submitted to Transportation Research Board).
- Koushki, P.A. (1986). Mobility costs Household travel Expenditure in Riyadh, Saudi Arabia. *Transportation Quarterly Journal* Vol. 40, No.4, pp.571-578.
- MUFTI, M.H. (1983). Road traffic accidents as a public health problem in Riyadh, Saudi Arabia. *Int.Assoc. for Accident and Traffic Medicine*, Vol.11, pp. 65-69.
- OFOSU, J.B., ABOUAMMOH, A.M.

As can be seen from table 2, some of the independent factors do contribute to the road traffic accidents significantly except, young drivers and vehicle-kilometer of travel. Uneducated drivers and high travel speed positively affect the rate of road traffic accidents. The involvement of young drivers and vehicle-kilometer of travel were insignificant.

As can be seen from Table 3, uneducated drivers involvement and vehicle-kilometer of travel factors do contribute to the road traffic injuries significantly. High travel speed and young drivers involvement has an insignificant effect on the road injuries. The variable young drivers did not, however, seem to significantly contribute to the explanation of either road accidents or injuries.

This insignificance may be due to the high positive correlation existing between the accidents and young drivers ($r=0.972$), and between injuries and young drivers ($r=0.879$).

Table 4 shows regression estimates of motor vehicle fatalities in Riyadh. It can be seen from the results that uneducated drivers and young drivers are two variables contributing to the motor vehicle deaths significantly.

A comparative analysis was made between the socio-economic and travel characteristics of households in Riyadh, Saudi Arabia and the United States (Levinson, 1978). Results are shown in Table 5. There are some similarities between socio-economic characteristics of both countries. Some of the socio-economic variables such as family size, family income, employment, and car ownership are often utilized as the explanatory variable of travel characteristics. As can be seen from Table 5, the mean value of the variables for Riyadh city differ from those of U.S. values. Family size, for example is, on average 72.7% larger in Riyadh when compared to that of U.S. family. Employment in Riyadh also exceeds that of the U.S. by more than 41.7%, while family car ownership in Riyadh is 58% higher than that in the U.S. however, work trips, daily person trips, family vehicle-trips and car occupancy in Riyadh are not significantly different from the U.S. Finally the data indicates that, there is significant differences in daily vehicle-kilometer of travel.

CONCLUSION

Road traffic accidents remain a major public health problem, particularly as it affects mainly young citizens. This research was a retrospective study of 17 years road traffic accidents in Riyadh. The socio-economic aspect of the problem has not been adequately studied and the first results were not published until 1984. At present, only a few reports and papers are available, mostly based on studies carried out in hospitals and local communities.

Road traffic accidents injuries and fatalities, can cause a great strain on the economic resources of a victim, his family and the nation as a whole.

Patients often develop a variety of disorders including motor, sensory, vascular, sexual and psychological disfunction.

The rapid socio-economic development has made the purchase of a car possible for most of the population. It has become accepted for a teenager from a middle class family to obtain a personal car before completing high school. Many of the drivers as a result of that are non-holders of driving license. Almost any middle income expatriate can afford to buy a car with a few months of his saving by staying in the country.

Finally, over the last 17 years, there has been a most significant improvement in the traffic system factors as a whole.

Dramatic improvements have been made in the urban road network, driver education, traffic enforcement, vehicle conditions, improved emergency services, health facilities and to some extent safety belt usage.

Table-2. Regression Estimates of Motor Vehicle Accidents in Riyadh - Saudi Arabia for 1971-1987.

Independent Variables	Dependent Variable: Accidents		
	Parameter	t-stat	p-value
Intercept	1116.776	1.409	0.1891
Uneducated Driver	0.3169	15.628	0.0001
High Speed (>120 Km/h)	0.7555	4.476	0.0009
Young Drivers (Age 18-30 years)	0.1084	0.572	0.5789
Vehicle-Kilometer of travel	0.2284	0.569	0.0817
	R ²	F-value	Prob>F
	0.954	51.352	0.0001

Table-3. Regression Estimates of Motor Vehicle Injuries in Riyadh, Saudi Arabia, for 1971-1987.

Independent Variables	Dependent Variable: Injuries		
	Parameter Estimates	t-stat test	p-value
Intercept	474.579	1.338	0.2104
Uneducated Driver	0.2726	17.272	0.0001
High Speed (>120 Km/h)	0.0804	2.235	0.0417
Young Drivers (Age 18-30 years)	0.1005	0.681	0.5100
Vehicle-Kilometer of travel	0.3019	1.682	0.1234
	R ²	F-value	Prob.>F
	0.935	35.750	0.0001

X_3' = population of Riyadh;
 X_4' = vehicle - kilometer of travel;
 X_5' = number of registered vehicles in Riyadh.

Here, the e_{ij} are assumed to be independent and identically distributed zero-mean normal errors ($e_{ij} \sim N(0; \sigma^2)$)

It is expected that the cost of an accident will have an effect on the number of deaths, injuries and accidents, since the number and severity of accidents should be reduced by an increase in that cost. Matril status also would affect the accidents, the unmarried drivers being possibly more careless.

A rise in real income would increase the demand for safety. As a result, the probability of death from an accident would decline because of the increase in demand for safety.

Some factors, such as the quality of highways and driver education, are assumed to have contributed to an increase in safety. Therefore the trend effect is expected to lead to a decline in the number of deaths, injuries and accidents.

Alcohol and speed are often singled out as important contributory factors in fatal automobile accidents. For example, in a series on determinants of traffic deaths, the wall street journal (1982) identified these factors as being the two leading causes. Therefore, it is expected that alcohol and speed will have the effect of increasing the number of deaths. But in Saudi Arabia, under the Islamic teaching, the sale and consumption of drugs and alcohol is strictly prohibited and the number of motor vehicle accidents due to intoxication should be substantially reduced. The penalty for this offense is very severe and it is therefore that the drugs and alcohol have an insignificant effect on road accidents in Saudi Arabia (Bener et al. 1988).

Young drivers have the highest rate of motor vehicle deaths. studies on road traffic accidents in other parts of the world have shown that young and inexperienced drivers are mostly the culprits. Drivers aged below 18 years and between 18 - 30 years old category are the most frequently involved groups in accidents, when compared to the other age groups.

An increase in the population is expected to lead to more motor vehicle accidents. Therefore, population is assumed to contribute to an increase in the number of deaths. During the period 1974 to 1987 the population of Riyadh increased at the rate of 6.9% per year.

Riyadh is characterized by a doubling of vehicle ownership at short and regular intervals, as well as the ready availability of petrol at a remarkable low price. Hence it is to be expected that the number of road traffic accidents would rise dramatically. The number of registered vehicles in Riyadh during eleven years increased at the rate of 21.3 % per year, averaging 31.6% per year between 1974 and 1977, and 12.8 % per year between 1978 and 1985 (Ofosu et al. 1988).

4. RESULTS AND DISCUSSIONS

In this paper the dependencies of the number of road traffic accidents, injuries and fatalities (dependent variables), upon several explanatory factors (independent variable) are examined. The models are converted to linear regression equations by taking logs of all variables.

In order to avoid the problem of multi colinearity (stoper and Heyburg, 1975) caused by the incorporation of colinear independent variables in the models, a correlation analysis was performed on the Riyadh road traffic data. The resulting correlation matrix is shown in table 1.

Several important associations between the variables were revealed from the analysis of correlations (table 1). The number of road traffic accidents, injuries and fatalities demonstrated a high positive correlation with the following variables: population, number of registered vehicles, young drivers, high speed driving education level of drivers and the vehicle-kilometer of driving. Any increase in the quantity of these variables will cause an increase in the number of road accidents, injuries and fatalities. It should be noted that road accidents, injuries and deaths showed low correlation coefficient with driver's income, marital status, and drugs and alcohol.

The factors of population, number of registered vehicles and educational level of drivers showed very high correlations with all independent variables. Therefore, to avoid multi-colinearity, the population, the number of registered vehicles and education level of drivers were not included in the models.

Due to their insignificant explanatory powers, the present of unmarried drivers and the number of accidents caused by alcohol and drug consumption were also eliminated from the models.

The models given by equation (1) were then fitted to the data and parameters were estimated by the method of least squares. The statistical significance test of the parameters was carried out and the coefficient of determination (R^2), was calculated for each model. Mallow's Cp statistics was also used to determine the number of independent variables in each model. Results are shown in Tables 2, 3, and 4.

The summary statistics indicated that the models explained road accidents, injuries and deaths very well. The estimates explained 95.4, 93.5 and 97.9 percents of the variations in total accidents, injuries and fatalities, respectively. The problem of multi-colinearity among the independent variables in the models was also addressed. The best four independent variables were selected by using a stepwise regression approach in each model. This will simplify and facilitate the utilization of the models for prediction and use in the evaluation of safety impacts of alternative transportation policy measures.

AN APPLICATION OF MULTIPLE REGRESSION MODEL TO ROAD TRAFFIC ACCIDENTS DATA IN RIYADH, SAUDI ARABIA

* ABDULRAHMEN AL-ZAHRANI AND ABDULBARI BENER **

2. THE DATA

The material used in the present investigation consists of annual traffic accident data obtained from the General Directorate of Traffic, Ministry of Interior's Yearly Statistical Report, Riyadh, Saudi Arabia. This data contains detail of Traffic Statistics in Riyadh over 17 years, 1971 - 1987.

ABSTRACT

Multiple regression analysis is used to analyze time series data and to develop predictive models for road accidents, injuries and fatalities in the Riyadh region of Saudi Arabia. Correlation analysis is used to detect and eliminate multi-collinearity, and analysis is used to select the best models. High speed, traffic volume, uneducated drivers involvement in accidents, and young drivers (between 18-30 years in age) demonstrated a strong influence in explaining the variations in road accidents, injuries and fatalities in the Riyadh region, the models are adaptations of those by Zlatoper (1984) and are found to provide good fits. These models may effectively be utilized to evaluate the safety impacts of alternative transport related projects and policies.

1. INTRODUCTION

Road traffic accidents can be attributed to various human, vehicle, roadway and environmental factors. For developed countries the relationship between accident involvement and socioeconomic characteristics of the drivers has been investigated by several authors. However, there is very little literature on road accidents in developing countries.

In Saudi Arabia, with the rapid expansion of road mileage and the increase in the number of vehicles on roads, road traffic accidents have become one of the most serious public health problems. The magnitude of this problem was discussed by Ofosu et al. (1988) and Jadan (1988). Two other previous studies of road traffic accidents in Saudi Arabia are by Ergun and Al-Khalidi (1984) and Bener and Al-sayyad (1985). Of these, the first one involved a sample of roadside interviews carried out in the Dammam and Al-Khobar regions of Saudi Arabia and established that the attitudinal variables of the drivers did not contribute significantly to the explanation of accident involvement. The Second study found that the important characteristics of the drivers that might influence accident involvement are their age, medical fitness, drivers experience, use of alcohol and drugs, marital status, nationality, and educational level.

The aim of this paper was to study the relationship between numbers of accidents, injuries and deaths on several explanatory variables by using multiple regression model similar to that considered in Zlatoper (1984) and apply the model to data from Riyadh, Saudi Arabia

The traffic police records contain the following information about each accident: time of accident, day or night; day or week; month; type of vehicle; driver's age nationality of drivers; licensed or unlicensed driver; type of accident; condition of the vehicle. It is to be noted that data on the population of Saudi Arabia and Riyadh were obtained from the following sources, namely, Demographic Estimates for the Kingdom of Saudi Arabia (1982), Mufti (1983), Al-Frayh (1985), United Nations (1981), United Nations (1985), and Ofosu et al. (1988). Data on vehicle-kilometer of travel were obtained from Koushki (1986) and annual accident costs were obtained from Khawashki (1980).

3. THE MODEL

Regression models are most useful when studying the dependence of one or more variables upon some explanatory variables are all quantitative, the functional relationship can be expected to be smooth and it is usual to assume a polynomial model of low order say one or two. Even if all the explanatory variables are not quantitative, by introducing dummy values to represent various levels of qualitative factors, one can proceed as usual. When the polynomial is of order one, we have standard multiple regression model. In this paper we are concerned with this model given by

$$Y_{ij} = B_0 + \sum_{j=1}^n B_j X_{ij} + e_{ij} \quad (1)$$

Where, $(i = 1, 2, 3)$, and

Y_{ij} = the i^{th} dependent variable in the j^{th} year $(i = 1, 2, 3)$

X_{ij} = the i^{th} explanatory variable in j^{th} year $(j = 1, 17)$

B_0, B_j = Model parameters

Y_i = $\ln Y_i$

X_i = $\ln X_i$

Y_1 = number of motor vehicle accidents in Riyadh;

Y_2 = number of motor vehicle injuries in Riyadh;

Y_3 = number of motor vehicle fatalities in Riyadh;

X_1 = annual cost of road accidents (Saudi Riyals);

X_2 = percentage of unmarried drivers involved in road accidents;

X_3 = driver's monthly income (Saudi Riyals);

X_4 = number of uneducated drivers involved in road accidents;

X_5 = number of road accidents caused by alcohol/drugs;

X_6 = number of road accidents caused by high speed (>120 Km/h);

X_7 = number of drivers < 30 years in age involved in accidents;

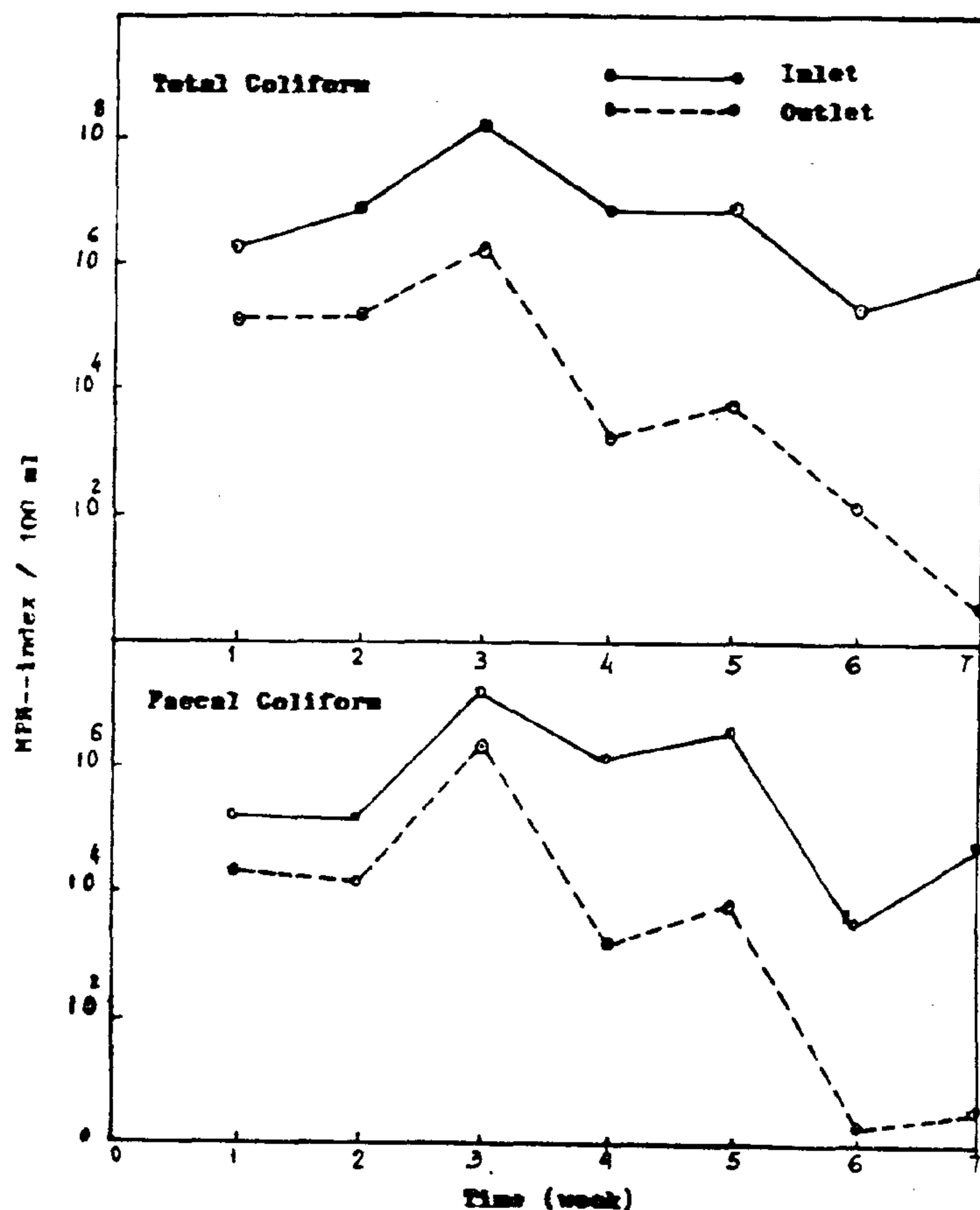


Figure 5. The density of bacterial indices of pollution
(Starting from sampling week No.5)

REFERENCES

- 1- American Public Health Association (1985), Standard Methods for the Examination of Water, Sewage and Industrial Wastewater, 16th ed., APHA, AWWA, WPCF, New York, Washington.
- 2- El-Abagy, M.M. and Abdel-Shafi E. (1985) "Experimental Study on Efficiency Of Double-Stage Anaerobic Continuous System," Bulletin of the Faculty of Engineering, Cairo University, Egypt, 2 : 81-94.
- 3- El-Zanfaly, H.T., and El-Abagy, M.M. (1987) "Removal of bacterial indices of pollution during sewage treatment via rotating biological contactor". Applied Microbiol. and Biotechnol., 25: 585-589.
- 4- Louwe Kooijmans, J., Letting, G., Rodriguez Parra, G. - The UASB-process for domestic wastewater treatment in developing countries. J. of the Institution of Water Engineers and Scientists, 39 (5), 437-452, 1985.
- 5- Rogers, I., Process Engineering, August, 1974, p.68., cited by Duncan Mara, "Sewage Treatment in Hot Climate", 1976.

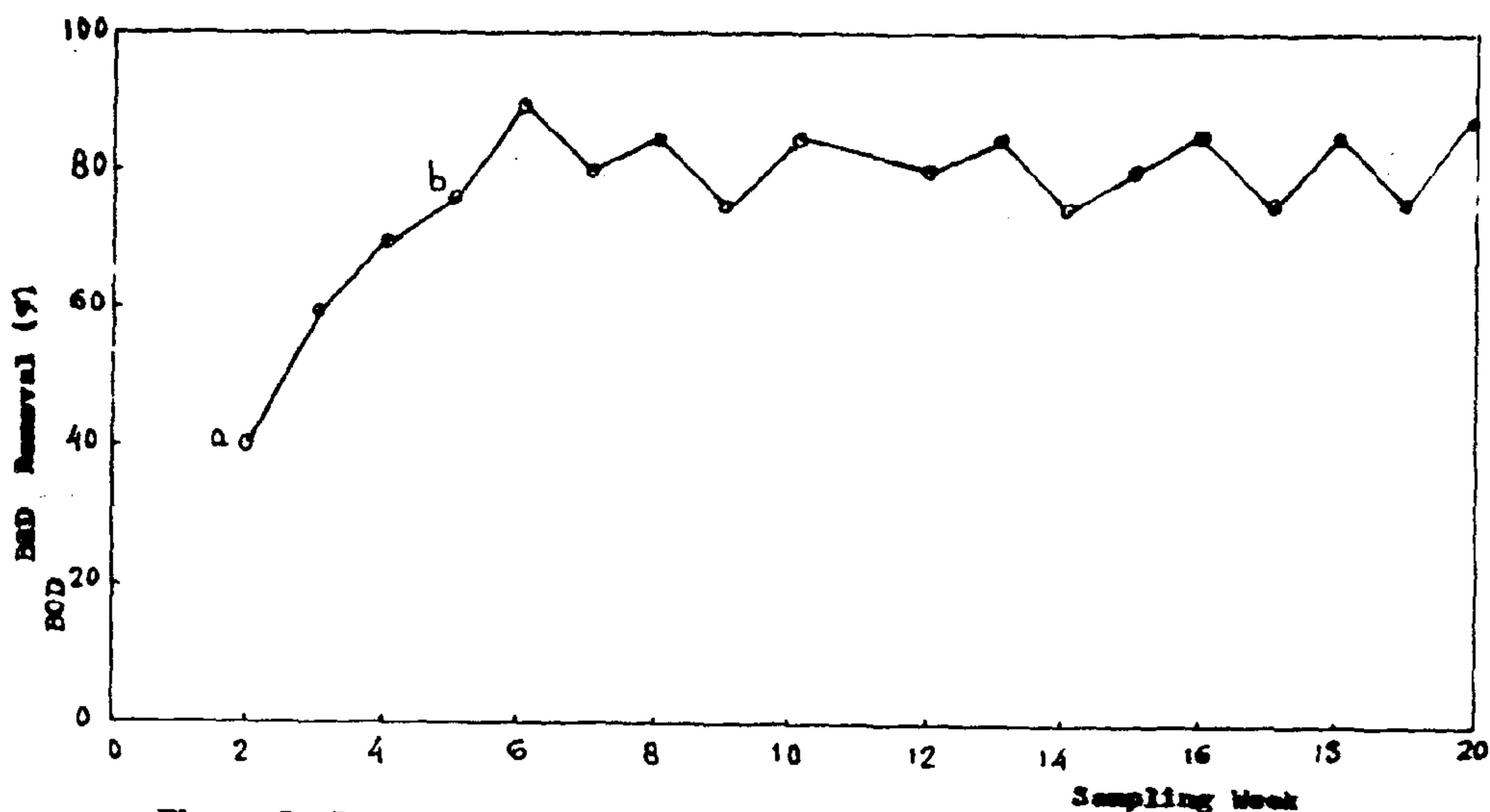


Figure 3. Treatment efficiencies achieved in the laboratory anaerobic plant

represented by BOD and COD in addition to the great removal of turbidity confirmed the efficiency of this system (Figures 3 & 4). In addition, bacteriological parameters including; total bacterial counts, total coliform and faecal coliform showed a high removal as presented in Table 1 and Figure 5.

The importance of anaerobic wastewater using the present system concept is found in the following:

- 1- This anaerobic system can be applied at small and large scale, which enables its implementation in a decentralized sewer-waste water treatment conception. Such on site sewer treatment system will lead to very significant savings due to avoiding the installation of central collectors.
- 2- The adoption of this system achieves a high degree of environmental protection due to its high efficiency in the removal of pollutants.
- 3- The investment costs of the anaerobic plants are low, they can be constructed completely from locally available materials.
- 4- Compared to facultative lagoons, the land requirements of the anaerobic system are considerably smaller (4).
- 5- Biogas is produced and for larger plants the biogas could be used.

A complementary study may be conducted by construction of a pilot anaerobic plant in one of the Egyptian villages to evaluate the obtained results in large scale. The present study represents the helpful base to perform this complementary study.

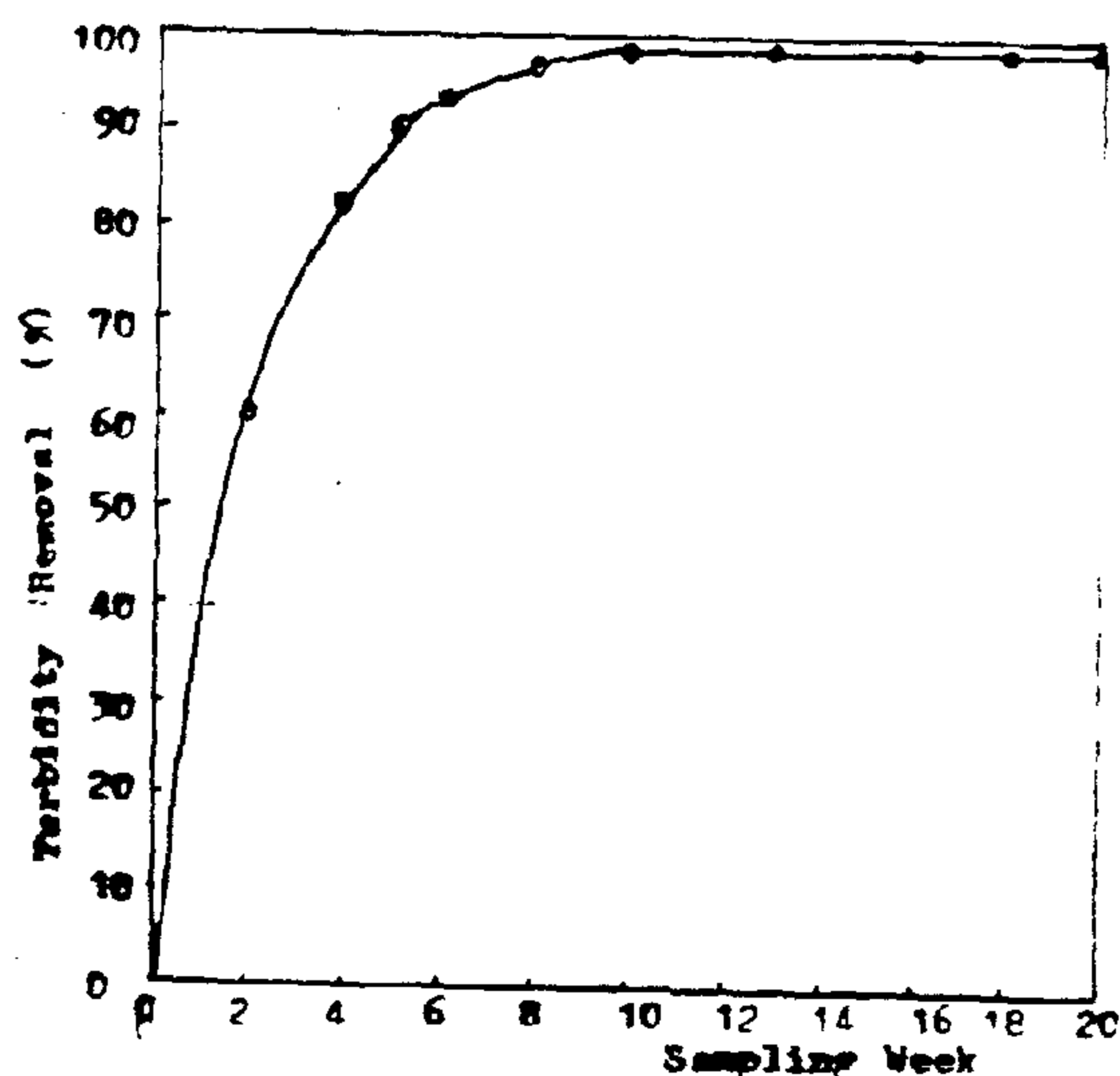


Figure 4. Turbidity Removal Efficiencies achieved by the Laboratory Anaerobic Plant

ACKNOWLEDGEMENT

The authors would like to express their thanks to Prof. Mohamed El-Abagy, Professor of water and sewage microbiology, Water Pollution Cont. Dept., National Research Center, Dokki, Cairo, Egypt for his valuable advice during the preparation of this work.

c) Collection of Samples

In treatment plant operation, the recommended sampling procedure was the weekly samples. Over twenty weeks operation, raw samples were taken from the feeding tank and treated sewage samples were collected from the outlet of the biofilter to carry out the physical, chemical and bacteriological examinations. All samples were analyzed immediately just after collection.

d) Physical and Chemical Examinations

These examinations including Biochemical Oxygen Demand (BOD), Chemical Oxygen Demand (COD), turbidity and PH were carried out as recommended by American Public Health Association (1).

e) Bacteriological Examinations

1. Total bacterial counts : Poured plate technique was employed according to APHA (1). Temperatures of incubation were 22 & 37 C.

2. Total coliform density : Most Probable Number (MPN) technique using Macconkey broth in presumptive and Levine EMB agar (Difco) as confirmative test was carried out.

3. Faecal coliform density : Positive tubes of the total coliform test were used for reinoculation into



Figure 2. PVC filter medium

Table 1
Removal of total bacterial counts (TC)

Time (Week)	TC/ml at 22°C		TC/ml at 37°C	
	Influent	Effluent	Influent	Effluent
1	2.2×10^7	1.2×10^7	2.8×10^7	2.6×10^7
2	1.83×10^6	1.43×10^6	1.73×10^7	1.33×10^6
3	3.1×10^7	2.4×10^6	1.2×10^7	9×10^6
4	8.5×10^7	1.2×10^6	1.8×10^7	3.4×10^6
5	8×10^6	5×10^4	9×10^6	1.2×10^5
6	1.8×10^5	7.1×10^3	2.8×10^5	9.4×10^3
7	2.1×10^6	3.2×10^4	3.3×10^6	5.1×10^4

Macconkey broth tubes, which were incubated at 44.5 C for 24 hours.

3- RESULTS AND DISCUSSION

The results of BOD experiments obtained over 20 weeks of operation from the laboratory anaerobic plant are shown in Figure 3. The first start-up (during the first five weeks) comprises the rapid development of a proper biological slime layer over the surface area of the plastic media of the filter. The organic material present in the synthetic sewage seeded by natural raw sewage is degraded by a population of microorganisms attached to the filter media. As microorganisms grow, the thickness of the slime layer increases. Thus anaerobic environment is established and the organic matters are digested anaerobically. Although this will result in an even poorer BOD reduction in the beginning, the performance of the filter will rapidly improve along with the build up of the slim layer as illustrated in the part a-b of the figure. The results in Figure 3 clearly show the maximum achievable BOD-removal during the period from week No. 5 to week No. 20. It ranges from 75 to 90 %. These relevant results are related to the considerable advantages of the used plastic media: the voidage is > 90 per cent and their surface area per unit volume is 3-6 times higher than the traditional stone or gravel media (5). This high percentage of BOD removal gives a marked efficiency to our system. The corresponding COD treatment efficiency range from 72-87 % and it is more greater than the COD percentage removal achieved in our former study (43-73 %) (2).

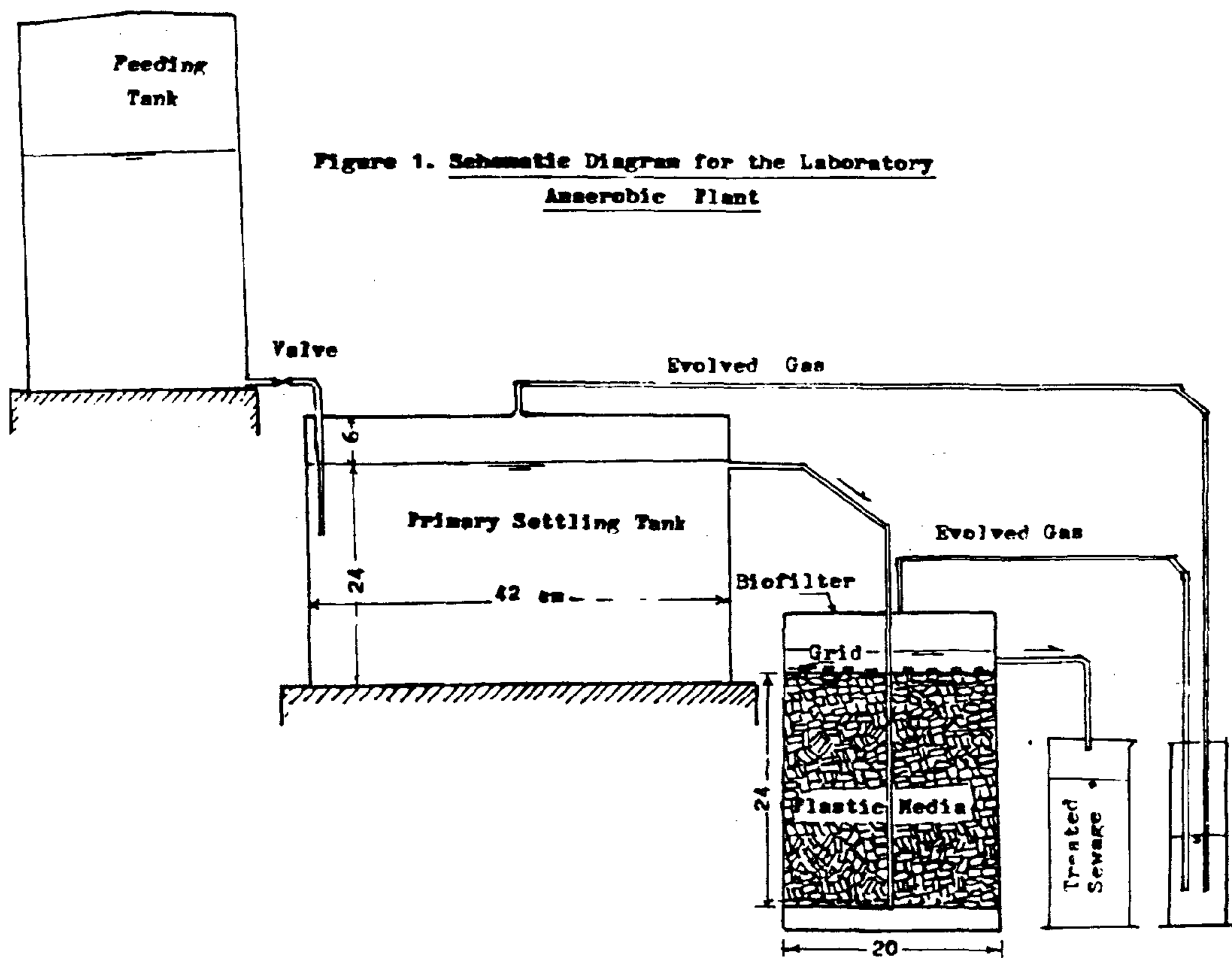
Turbidity analysis for both of the influent and the effluent indicated that there was a great reduction in the turbidity. The results obtained ranged between 80-90 % during the beginning period (the first 5 weeks), then they reached to 99 % over the last 15 weeks, (Figure 4). These results were in a good agreement with the high efficiency of the BOD removal results mentioned before.

The reduction in the total bacterial counts varied from 21.86 % to 99.38 % (78.86 % average) at 22 C and 7.14 % to 98.67 % (71.33 % average) at 37 C. The increase in reduction of total bacterial counts was recorded after one month (Table 1). There were no obvious differences between total viable counts at 22 C and at 37 C. The mean values were 2.1×10^7 and 2.4×10^7 and 1.2×10^6 and 5.7×10^6 at 37 C for influent samples respectively.

The greater efficiency of the investigated system in removing bacteria was confirmed by the removal data other bacterial indicators. Under experimental conditions, the removal efficiency reached 99.99% and 99.94% of the initial load of total coliform and faecal coliform. An effluent with bacterial density of about 50 MPN-index/100 ml could be obtained. This results merited these reported by using the MAC system (1). Moreover, the results indicated here (Figure 5), are more efficient than those reported when using biological contactor (RBC) system where high residual density of bacterial parameters was recorded(3).

CONCLUSION AND RECOMMENDATIONS

As conclusion, the high removal of organic load as



**Figure 1. Schematic Diagram for the Laboratory
Anaerobic Plant**

IMPROVEMENT OF EFFICIENCY FOR ANAEROBIC UPFLOW BIOFILTER BY USING PLASTIC MEDIA

EZZAT ABDEL SHAFI* and MOHAMED KAMEL**

ABSTRACT

The most recent development in the application of anaerobic treatment of wastewater is the upflow biofilter. The filter media is one of the major factors that should be considered in the design of filtration systems. The present experimental study deals with the effect of filter media on the efficiency of anaerobic filter. A laboratory pilot anaerobic plant composed of a primary settling tank followed by an upflow biofilter with plastic media was devoted to study its efficiency in treatment of sewage. The results obtained were compared with the results of our previous study in that respect to find the achievable development. The efficiency of the present system was confirmed by the high reduction in the organic load as well as bacteriological parameters.

1- INTRODUCTION

The most common anaerobic attached-growth treatment process is the anaerobic filter process used for the treatment of both domestic and industrial wastewater. The anaerobic filter is considered as a relatively recent development in the field of wastewater treatment. It is a column filled with various types of solid media such as rocks, gravel, slag or plastic material. The wastewater flows upward through the column, contacting the medium on which anaerobic bacteria grow and retained.

During recent years attention has been focused on developing technically reliable, simple and economically feasible processes for biological removal of pollutants from wastewater. El-Abagy and Abdel-Shafi (2) recommended a double-stage anaerobic continuous system for application in the field of sanitation for rural and urban fringe areas. The present investigation deals with the study of the effect of the kind of filter media on the efficiency of the system for anaerobic treatment of wastewater. A new laboratory anaerobic plant was established, using plastic media instead of the gravel one, to improve the efficiency of the biofilter and to decide the applicability of the modified system in the field of environmental protection.

* Associate professor of Sanitary Engineering, Public Works Dept., Cairo University.

2- EXPERIMENTAL WORK

a) Description of Laboratory Plant

The experimental work was performed by using an anaerobic laboratory plant. The plant was established in the Sanitary Engineering Laboratory, Faculty of Engineering, Cairo University which was provided with many new equipments. A schematic diagram of the plant is shown in Figure 1. The plant consists of a primary settling tank followed by a submerged upflow biofilter. The water dimensions of the setting tank were 42 x 18 x 24 cms i.e. the liquied capacity of the tank was 18 liters. The tank is a plastic watertight compartment connected to the feeding tank. The liquid retention time in the tank was taken 24 hours. The tank has a hole at its roof for evolved gas.

The biofilter was a plastic cylinder, sealed with a plastic disc at its top. The height and the inner diameter were 32 and 20 cms respectively. The plastic cover has two holes, one was for the influent tube and the other for evolved gas. The influent tube was extended inside the filter to a distance about 2 cms above the bottom of the filter to allow the upflow condition. The filter was filled with random plastic medium made of short corrugated PVC tubes 1.1 cm diameter and 1.25 cm length (Figure 2). The plastic media was retained by a metal grid at the top of the filter.

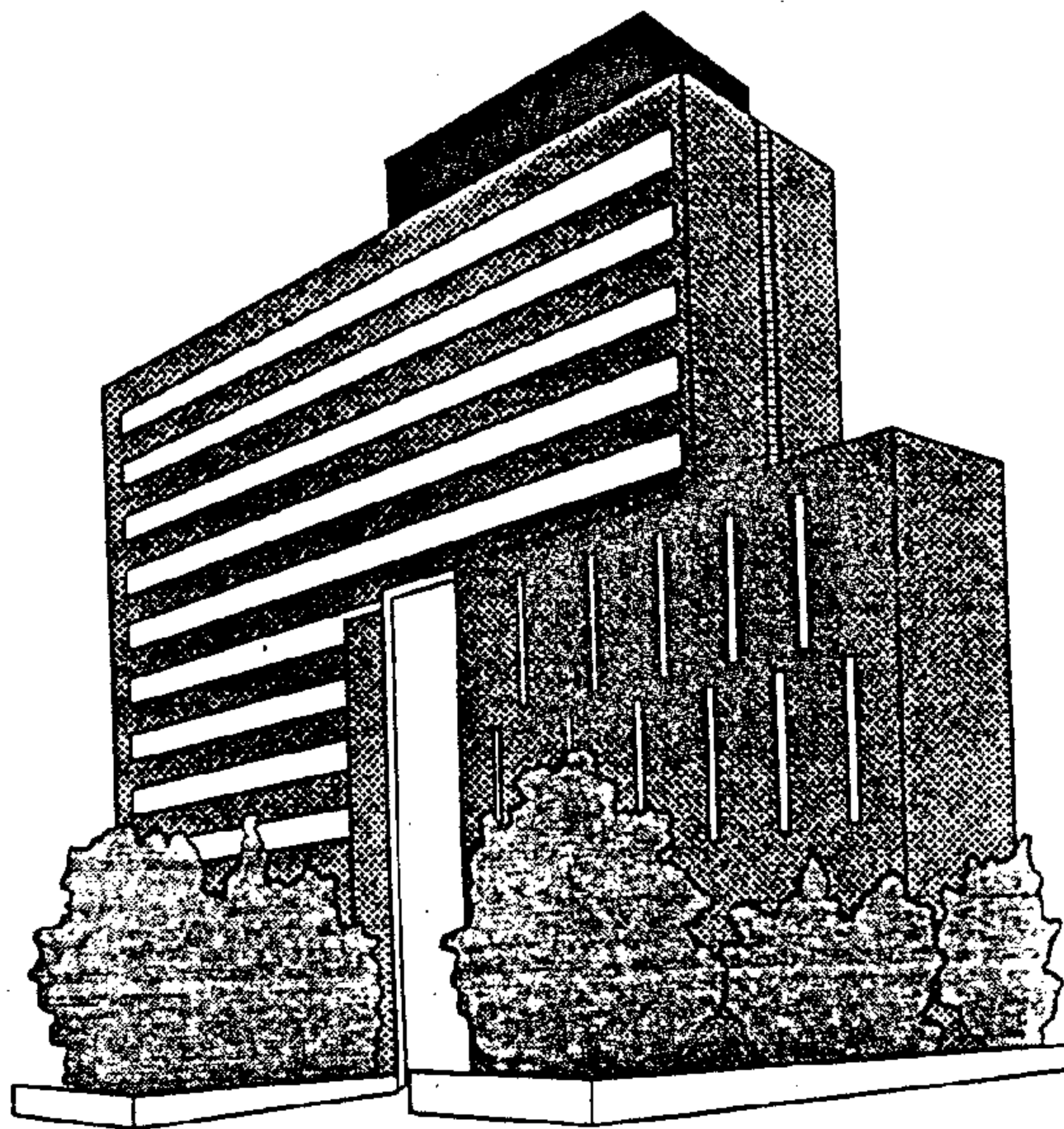
The system was fed from an elevated tank which was filled with feeding material to supply the system. All units of the biofilter were arranged and placed at certain difference in level to create the required differential head to keep the flow throughout the system at provided with a control valvae which was adjusted to keep the flow running through the plant at a constant rate.

b) Composition of Feeding Material

Synthetic swage seeded with raw sewage was prepared as a feeding material. It consisted of molases 97.3 g., meat extract 22.7 g, ammonium dihydrogen phosphate 2.32 g. and ammonium chloride 6 g. per liter. From this solution 4 ml were added to one liter of tap water. Every liter of the eynthetic sewage was seeded with 20 ml of the raw sewage.

* Associate prof. Cairo univ. Faculty of engineering
** Researcher, National Research Center, Cairo

BUILDING AND CONSTRUCTION



INST. OF CIVIL ENGINEERS
INST. OF ARCHITECTS
INST. OF IRRIGATION ENGINEERS

TABLE OF CONTENTS

subject	page
ARABIC SECTION	
- ARABIC TABLE OF CONTENTS	2
BUILDING AND CONSTRUCTION	3
- GREAT CAIRO	4
- GENERAL CLEANLINESS	10
- ANALYTICAL STUDY OF THE METEOROLOGICAL CONDITIONS IN RAS NOSRANI AREA (SHARM- EL-SHEIKA)	16
- THE NEW POPULATION COMMUNITIES AROUND GREAT CAIRO BETWEEN PLANNING AND FACTS	30
- THE PLANNING OF THE DESTROYED AREAS AND EMPTY LAND IN THE EGYPTIAN TOWNS IN THE GENERAL PLANNING OUTLINES	44
GENERAL	
- FACTS ABOUT THE RETIREMENT OF SOME FOREIGN PETROLEUM COMPANIES WORKING IN EGYPTS	61
ENGLISH SECTION	
- ENGLISH TABLE OF CONTENTS	63
BUILDING AND CONSTRUCTION	
- IMPROVEMENT OF EFFICIENCY FOR ANAEROBIC UPFLOW BIOFILTER BY USING PLASTIC MEDIA	64
- AN APPLICATION OF MULTIPLE REGRESSION MODEL TO ROAD TRAFFIC ACCIDENTS DATA IN RIYADH, SAUDI ARABIA	69
- GEOMORPHOLOGICAL ANALYSIS AND WATERSHED RESPONSES OF IRBID REGION	72
INDUSTRY AND PRODUCTION	81
- COMPUTER AIDED MAINTENANCE: MANAGEMENT PLANNING AND EVALUATION SYSTEM	82
- USING MULTIPLE OBJECTIVE TECHNIQUES TO MODEL HIERARCHICAL PRODUCTION PLANNING PROBLEMS (PART II : COMPUTATIONAL STUDY)	88
- MICROPROCESSOR - CONTROLLED SYSTEM FOR STAND-ALONE WATER PUMPING FED BY A PHOTOVOLTAIC GENERATOR	98
- TOWARDS NEW REPRESENTATIONS FOR THE VOLT AND OHM STANDARDS, AND NEW TRENDS IN ELECTRICAL MEASUREMENTS SYSTEMS (A SURVEY)	103
- EFFECT OF FATTY ALCOHOLS ON THE MECHANICAL PROPERTIES OF POLYURETHANE COATING	109
RAW MATERIALS AND CHEMICAL INDUSTRIES ..	111
- ENERGY PRODUCTION AND CONSUMPTION IN EGYPT CURRENT SITUATION AND FUTURE OUTLOOK	112
- NEW TECHNIQUE IN IMPROVING CHARACTER- ISTICS OF SHALY FORMATIONS	125

JOURNAL OF THE EGYPTIAN SOCIETY OF ENGINEERS

28 Ramsis St. Cairo ARE Tel: 5740488

VOL. 30 ISSUE No. 3 - 1991

ISSN 1110 - 1253

EDITING BOARD

Editor

Prof. Dr. M. EL-HEFNAWY

Deputy Chief Editor

Prof. Dr. M. F. SAKR

Treasurer and Gen Sec.

Prof. Dr. A. R. ABD-EL-HALIM

Members

Dr. A. KH. ALLAM

Dr. T. ABDEL-GAWAD

Dr. H. AMER

Dr. S. EL-SOBKY

Eng. A. M. EL-ASFOURY

Dr. A. M. KAMEL

Dr. M. EL-ADAWY NASSEF

Dr. M. ZAKI HAWAS

Dr. M. M. EL HASHIMY

Dr. M. ABU-ZEID

Dr. M. SILEEM

- Issued quarterly - Contributors are invited to submit material for editorial consideration addressed to the Editor. The Journal cannot accept responsibility for loss or damage of any material.

INSTRUCTIONS FOR AUTHORS OF ARTICLES

- The Journal publishes articles contributing to the advancement of engineering science and applications.
- Articles may be written in Arabic or English and presented in triplicate with an abstract in both languages.
- Author's names should be given in full, together with their academic titles and professional occupation.
- Articles may not exceed 8 pages. In this respect, mathematical derivations may be abbreviated and tables replaced by curves.
- The Journal does not hold itself responsible either for the opinions nor the content expressed by the authors.
- Curves to be drawn on tracing papers, and to occupy half a page at most. Exceptionally, full page curves or plates are admitted. Curves presented with be scaled down to these sizes. Figures and lettering on curves should not be less than 3 mm even after scaling down.
- References to be given at the end of each article and classified alphabetically according to author's name followed by the name followed by the name of the journal or book and the date of issue.
- Authors will be presented with two proofs, the first one accompanied by a correction convention chart to ease the work of typing correction.

Magazine Subscriptions

Inland Subscriptions:

Engineers	20 L. E
Non-engineers	50 L. E
Organisations	500 L. E

Outland Subscriptions

Foreign Personnel	75 US
Foreign Organisations	500 US

مجلة جمعية المهندسين المصرية

٢٨ شارع رمسيس - القاهرة ج . م . ع . مت : ٥٧٤٠٤٨٨

ردم ١١١٠ - ١٢٥٣

المجلد الثلاثون - العدد الرابع ١٩٩١

- تصدر المجلة ربع سنوية .
- ترسل النصوص المطلوب موافقة هيئة التحرير على نشرها باسم السيد/ رئيس التحرير . وهو غير مسئول عن فقد أو تلف أى نص .
- تنشر المجلة المقالات التى تسهم فى رفع مستوى العلوم الهندسية وطرق ممارستها .
- تقبل للنشر المقالات باحدى اللغتين العربية أو الإنجليزية على الآلة الكاتبة ومعها ملخص بكل من اللغتين .
- المجلة غير مسئولة عن الآراء والمحتويات التى تنشر وهى تعبر عن كاتبها فقط .
- تذكر أسماء أصحاب المقالة كاملة باللغتين ومعها ألقابهم العلمية ووظائفهم .
- يراعى ألا تتجاوز المقالة ٨ صفحات بالمجلة ، وفى سبيل ذلك يختصر الاشتقاق الرياضى ويستعاض عن الجداول بمنحنيات مرسومة بالحبر الشينى الأسود ، على أن يشغل المنحنى نصف صفحة على الأكثر ولا يشغل صفحة كاملة إلا فى حالات استثنائية وسيصغر أى منحنى إلى تلك المقاسات .
- يراعى ألا يقل ارتفاع الحروف أو الأرقام على المنحنيات المنشورة عن ٣ مم بعد التصغير .
- يعنى بذكر المراجع المستقى منها المقال وتصنف تبعاً لاسم المؤلف ثم العنوان ثم المجلة أو الكتاب وتاريخه .

اشتراكات المجلة :

* داخل القاهرة :

٢٠ جنيهاً	الاشتراك السنوى للمهندسين
٥٠ جنيهاً	الاشتراك السنوى لغير المهندسين
٥٠٠ جنيهاً	الاشتراك السنوى للهيئات

* وخارج القاهرة :

للأفراد ٧٥ دولار أمريكى سنوياً .
والهيئات ٥٠٠ دولار أمريكى سنوياً .
وذلك عن الأربع أعداد السنوية ويعامل العدد الواحد بواقع الربع من هذه القيمة .
وتعطى أولوية النشر بالمجلة للسادة الزملاء أعضاء جمعية المهندسين المصرية .

هيئة تحرير المجلة

رئيس التحرير

دكتور مهندس/ مصطفى الحفناوى

نائب رئيس التحرير

دكتور مهندس/ محمد فهم صقر

أمين الصندوق وسكرتير التحرير

دكتور مهندس/ عبدالرازق عبدالحليم

أعضاء

دكتور مهندس/ أحمد خالد علام
دكتور مهندس/ توفيق عبدالجواد
دكتور مهندس/ حامد حسنين عامر
دكتور مهندس/ صلاح السبكي
مهندس/ عبدالملك العصفورى
دكتور مهندس/ على محمد كامل
دكتور مهندس/ محمد العدوى ناصف
دكتور مهندس/ محمد زكى حواس
دكتور مهندس/ محمد محمد الهاشمى
دكتور مهندس/ محمود أبو زيد
دكتور مهندس/ محى الدين سليم

رقم الايداع بدار الكتب ٢٩٨ / ١٩٨٣

طبعت بمطابع دار الشعب

محتويات العدد

التشييد والبناء	التصنيع والإنتاج	الخامات الأولية والصناعات الكيميائية
<p>القسم العربى :</p> <ul style="list-style-type: none"> • أدوات التصميم العمرانى : منظور تاريخى ناقد . د. أحمد صلاح الدين عوف ٤ • دور المشاركة الشعبية فى تنمية المناطق العشوائية . د. شريف صبرى سعد الدين ٩ • فى عيد البترول السادس عشر صناعة البترول المصرية تواصل التحديات . د. م. حمدى النبى ١٥ • التنمية السياحية فى إطار تقسيم الدولة إلى أقاليم . د. مصطفى الدينارى د. أحمد العيسوى ١٧ • بلديات . أ. د. أحمد خالد علام .. ٢٦ • القطاعات المتجانسة بأقليم القاهرة الكبرى . جمعية التخطيط العمرانى ٢٧ <p>القسم الأفرنجى :</p> <ul style="list-style-type: none"> • تقدير البخر والتسرب من المياه المحتجزة على أسطح النباتات . د. إسماعيل إبراهيم الحمري م. عماد بشير ٤ • الدقة فى أعماق وانحدارات المصارف المغطاه د. صفوت عبدالدايم ... ٩ 	<p>القسم العربى :</p> <ul style="list-style-type: none"> • خواص العزل الكهربى لمطاط اليولى كلوروبيرين المملوء بأسود الكربون . د. نادية نصيف تادرس د. سمير نجيب لاوندى ١٦ • الاتجاهات الحديثة لتكنولوجيا المعلومات فى إدارة المشروع د. محمد حسن رسمى السيد/ حسن القاضى ٢١ <p>القسم الأفرنجى :</p> <ul style="list-style-type: none"> • تحسين الأداء الحرارى لوحدة الصهر بشركة النصر للزجاج والبللور أ. د. عادل عبدالكريم د. سمير حافظ حسام الدين د. سعيد عبدالوهاب ٣٤ • تطبيق تفاعل ديللز - اللدر التخليقى باستخدام هكساكلوروسيكوبنتادين مع الليل بارا - نيتروفينيل إثير . د. منى على يوسف ٣٩ • إنتزاع الهيدروجين من الهكسان الحلقى باستخدام البلاتين - موريدينيت زيوليت كعامل حفاز . د. سارة ميخائيل د. زيتا صبحى ٤٥ • مذييات ومواد ذات نشاط سطحي من أصل بترولى لتحضير تركيزات مستحلبات المبيدات - جزء ١ - دور المذيب والمذيب المساعد والمادة المستحلبة . د. ابتسام كمال هيكل أ. د. يوسف بركات يوسف أ. د. رمزى ميخائيل حبيب أ. د. زكريا مصطفى العتال ٥١ 	<p>القسم العربى :</p> <ul style="list-style-type: none"> • تحسين الأداء الحرارى لوحدة الصهر بشركة النصر للزجاج والبللور أ. د. عادل عبدالكريم د. سمير حافظ حسام الدين د. سعيد عبدالوهاب ٣٤ • تطبيق تفاعل ديللز - اللدر التخليقى باستخدام هكساكلوروسيكوبنتادين مع الليل بارا - نيتروفينيل إثير . د. منى على يوسف ٣٩ • إنتزاع الهيدروجين من الهكسان الحلقى باستخدام البلاتين - موريدينيت زيوليت كعامل حفاز . د. سارة ميخائيل د. زيتا صبحى ٤٥ • مذييات ومواد ذات نشاط سطحي من أصل بترولى لتحضير تركيزات مستحلبات المبيدات - جزء ١ - دور المذيب والمذيب المساعد والمادة المستحلبة . د. ابتسام كمال هيكل أ. د. يوسف بركات يوسف أ. د. رمزى ميخائيل حبيب أ. د. زكريا مصطفى العتال ٥١

التشييد والبناء

* جمعية المهندسين المدنيين

* جمعية المهندسين المعماريين

* جمعية مهندسي الري

ادوات التصميم العمراني : منظور تاريخي ناقد

د. أحمد محمد صلاح الدين عوف

١ - مقدمه : الفكر المثالي لشكل المدينة

Introduction: IDEAL CITY FORM

شكل المدينة هو ذلك الناتج النهائي لاكتمال عمرانها ومزاولة السكان لأنشطتهم الاجتماعية والدينية والاقتصادية والسياسية داخلها ، وتكون بصورة كتل مبنية وطرق ومناطق مفتوحة وغيرها من عناصر التشكيل المادي . وقد كان هذا الشكل النهائي في أبعاده المكانية الثلاثة مضافا إليها عنصر الزمن الذي يستغرقه المستعملين في مزاولة الأنشطة والتعرف على مكونات المدينة محل اهتمام المفكرين والفلاسفة منذ أقدم العصور نظرا لارتباطه بالتأثير الكلي الذي تحققه المدينة في نفسية المستعملين والصورة الذهنية التي تحقّقها لديهم وهي أحد أهم الوظائف الأولية لظهور المدن كمحلات مركزية لمزاولة الأنشطة . لذلك فإن التعبير عن المدينة في لغات الحضارات القديمة كان غالبا على هيئة رمز أو وصف « شكلي » كما في الحضارة الفرعونية حيث كان رمز المدينة دائرة داخلها طريقين متقاطعين .

كما ارتبطت شهرة المدن بأوصافها الشكلية مثل مدينة الأسوار البيضاء « من نفر » التي بناها « نعرمر » في بداية الأسرة الأولى وأصبح اسمها « منفر » فيما بعد . كذلك غلب الوصف الشكلي دون غيره على وصف المدن على حوائط المقابر بصورة رمزية كانت ترسم بشكل مستطيلات ومربعات ودوائر تمثل الأسوار المغلقة وداخلها أشكال حيوانية ونباتية رمزا للآلهة التي تحمي المدينة حتى من قبل ظهور عهود الأسرات .

عليه عمران المدينة في شكل كروكيات عن مسارات الحركة ونظام الصرف الصحي وشكل الكتل المبنية ... الخ .^(٥)

وقد عاد الفكر المثالي لما يجب أن يكون عمران المدينة عليه للإزدهار مرة أخرى مع التدهور العمراني الذي شهنته الثورة الصناعية وانتشار المداخن وسط الأحياء السكنية للفقراء وملاصحبها من أضرار صحية ورغبة حقيقية في التغيير . ولعل مدينة « سير تشارلز مور المثالية »^(٦) Sir Charles More, Amaurote, 1516 صورة جيدة عن التصور المثالي للمدينة في ذلك الوقت بعروض طرقها وكتل مبانيها ومسافات البنية وحدائقها بشكل غير قابل للتطبيق تحت الظروف الاقتصادية والاجتماعية والسياسية لذلك العصر^(٧) إلا أن بعض التصورات المثالية للمدينة وأجزائها في ذلك العصر أصبحت واقعية وقابلة للتطبيق في شكل مساكن للعمال وخدمات ربما لظهور الحركات الديمقراطية المطالبة بتحسين الظروف المعيشية لسكان المدينة وربما لتطور إمكانات التطبيق التي وفرتها التحولات التكنولوجية الكبيرة لذلك العصر . وحتى بدايات القرن الثامن عشر يمكننا القول بأن الاهتمام بالشكل المثالي للمدينة كان أكبر من الاهتمام بالظروف المعيشية للسكان فيما عرف باتجاه « المدينة الجميلة City Beautiful Movement » في القرن السابع عشر وحتى منتصف القرن الثامن عشر والذي ركز على البعد الجمالي للمدينة . بل إن آثاره امتدت إلى القرن التاسع عشر حيث كان يعهد بمخططات المدن الكبرى لمعماريين ذوي بصيرة Visionary Architects مثل مخطط مدينة واشنطن L'Enfant, Washington^(٨) .

وقد تحول هذا الوصف الشكلي للمدن إلى وصف فلسفي مع الحضارات التالية للحضارة الفرعونية حيث بدأ وصف المدينة يشتمل على الشكل العمراني بالإضافة إلى وصف حياة السكان الاجتماعية والاقتصادية والسياسية بصورة مثالية كما في وصف أفلاطون للمدينة الفاضلة « الجمهورية » The Republic وكذلك مناقشات أرسطو للحجم الأمثل للمدينة وأفضل تعداد لسكانها الأحرار الذين يمكنهم مزاولة أنشطتهم السياسية في ديمقراطية كاملة وإبداء رأيهم بشكل فعال في إدارة المدينة^(٩) . وقد سيطرت هذه المناقشات الفلسفية على فكر تخطيط المدينة لقرون طويلة بعد ذلك فازدهرت مع عصور النهضة الأوروبية وامتدت حتى بداية القرن الحالى في أوروبا والولايات المتحدة الأمريكية . فيمكننا أن نتتبع الفكر المثالي في وضع التصورات العمرانية على يد مايكل أنجلو لإعادة بناء أجزاء من مدينة روما وبصفة خاصة تصوره لميدان « كامبيدولو » المبنى على الأشكال المثالية للفراغ Michelangelo's Campidoglio في أحد أعظم الأعمال المعمارية لعصر النهضة^(١٠) . كذلك تصورات « ألبرتي وفيلاريت » & Alberti « Filarete » لمدن مثالية بأشكال هندسية قوية لتسهيل عمليات الدفاع مع المحافظة على مركز وحيد للمدينة تتركز فيه السلطة الدينية ممثلة في الكنيسة أو السلطة الدنيوية ممثلة في القصر وبحيث تشع منه كل شبكة الشوارع . حتى أن رساما ونحاتا شهيرا مثل « ألبرشت دورر Albrecht Durer » الألمانى وضع تصورا لمدينة مثالية مربعة الشكل على أساس الفكر الفلسفي لما يجب أن تكون عليه العلاقات بين أجزاء المدينة^(١١) دون أن تكون له خلفيه عن علوم العمران . كذلك نجد تصورات مثالية لفنان شهير مثل « ليوناردو دافنشى » Leonardo da Vinci عما يجب أن يكون

وحتى نهاية القرن التاسع عشر يمكن القول بأن الفكر المثالي للخبراء والمخططين تطابق مع تصور سكان المدينة لما يجب أن يكون عليه شكلها أو على الأرجح لم يكن انفصال تصور سكان المدينة عن الشكل المثالي الذي يضعه رجال الفكر أمرا مطروحا . وبالتالي لم يكن مطلوبا من المصمم العمراني استعمال أدوات خاصه غير فكره الفلسفى المجرى باعتبار مايجب أن يكون وليس الواقع التنفيذى للمدينة الذى كان يترك للبنايين والقائمين على إدارة المدينة . ولكن مع ظهور فكر الديمقراطية وحرية التعبير والحاجة الحقيقية إلى إصلاح أحوال العمران زاد الاهتمام بكيفية استقبال المستعملين لشكل المدينة وقدرتهم على المشاركة الفعالة فى مجهودات الإصلاح «User Participation» وانحسر الفكر الفلسفى كأداة هامة فى تشكيل المدينة .

٢ - المخطط العام والمخطط البصرى

Comprehensive and Visual Plan

ومع سيطرة الآلة والانتاج الصناعى على كل جوانب الحياة توارى تصميم شكل المدينة City form كأهم واجبات المخطط وإدارى المدينة ليحل محله الاهتمام بكفاءة أداء المدينة لوظيفتها وتوفير المساحات المطلوبه للأنشطة المختلفة فى علاقات متوافقة مع بعضها Functionalism . وربما أفضل التحليلات فى هذا المعنى ما قدمه « لويس ممفورد Lewis Mumford » فى رؤيته الفلسفيه لتاريخ المدينة حيث أوضح أن الرأسمالية بمفهومها الوظيفى البحث أصبحت أساسا لمدينة القرن العشرين^(٨) فالتخطيط الاقتصادى والوظيفى أصبح أساس الفكر الشامل للتخطيط «Comprehensive Planning» الذى ساد خلال الأربعينات وحتى الستينات من القرن العشرين والذى يعبر عن الشكل النهائى المتوقع للمدينة بصورة « مخطط عام Master plan ثنائى الأبعاد يوضح استعمالات الأرض وشبكات الطرق والمرافق ويصاحبه اشتراطات للمباني فى المناطق المختلفة . أما الشكل النهائى للمدينة فى أبعادها الثلاثة مضافا اليها الزمن فكان ينظر اليه على أنه نتاج طبيعى لوظيفتها نمشا مع الفكر الوظيفى الذى انتقل إلى العمارة والعمران من مجال التصميم الميكانيكى Form follows Function كرد فعل معاكس لاتجاه تجميل المدينة . فاتجاهات تجميل المدينة «City Beautiful Movement» فى القرون الماضية لم ينتج عنه فوائد وظيفية للمدينة ولم يترتب عليها تحسن يذكر فى مستويات معيشة السكان نظرا لاقتصادها على تجميل أحياء وسط المدينة والأحياء المتميزة للأغنياء حيث لا تمتد جهودها إلى أحياء الفقراء والطبقات المتوسطة الا بشكل إزالة وإعادة بناء شكلية بما لا يتناسب مع حاجات السكان^(٩) . الا أن الاتجاه الوظيفى بالغ فى اهماله للجوانب الشكلية للمدينة حتى أصبح سببا فى ملل السكان وعدم اشباعهم نفسيا وجماليا وبالتالي فشل فى تحقيق أحد أهم الوظائف الأساسية للمدينة مما استدعى إعادة النظر فى مبدء الوظيفية Functionalism كعنصر وحيد للتصميم العمرانى .

وقد ظهرت مع العشرينات والثلاثينات من هذا القرن ردود فعل متعددة للاتجاه الوظيفى حاولت اضافة أبعادا جمالية وانسانية للمخطط العام - دون اغفال دوره الوظيفى - الا أنها لم تخرج عن كونها رؤى : تميزه لمعماريين متفردين Visionary Architects غالبا

ماكانت غير قابله للتطبيق على الاطلاق أو قاصره على مجال عمرانى بعينه . أحد أهم هذه الاتجاهات ما وضعه لوكوربوزيه Le Corbusier فى تصوره للمدينة المعاصرة The City of Tomorrow والذى حاول فيه تحرير أرض المدينة من المباني وتركها للحدائق الخضراء وذلك بتركيز العمران فى شرائط مبنية بالغة الارتفاع وناطحات سحب غير قابله للتطبيق . وقد تم تنفيذ بعض المباني المنفردة من التصور الكلى لمدينة كوربوزيه المعاصرة وهى بالتحديد مجاورته السكنية الرأسية التى طبقها فى مدينتى مارسيليا والجزائر . تصور آخر مميز ذلك الذى وضعه فرانك لويد رايت Frank L. Wright للمدينة المخفية والممتدة التى يستمتع فيها السكان بقطع أراضي مستقلة مساحة كل منها هكتار لاقامة مساكنهم المنفصلة Broadacre City من خلال منظور الديمقراطية بمفهوم جفرسون «Jeffersonian Democracy» بما يؤكد استمرار سيطرة الفكر الفلسفى المجرى على التصورات الجميلة للمدينة المعاصرة . ومما يؤكد عدم واقعية تصور أفكار المدينة الممتدة وعدم قابليتها للتطبيق ماأضافه اليها « رايت » فيما بعد بصورة ناطحات سحب ارتفاعها ميل كامل One Mile Skyscraper للحفاظ على الرقعة الخضراء . وقد كانت هذه الرؤى المتميزة فى حد ذاتها فلسفات « فردية » عن كيفية تكون المدينة والصورة التى يجب أن تكون عليها علاقة الجزء بالكل وكذا كيفية ادخال الريف إلى بيئة المدينة . والحقيقة أن هذه الفلسفات مثلت رؤى متكاملة وخيالية وفردية وبالتالي لم تؤثر على الاتجاه الرئيسى السائد الذى كانت الوظيفة أهم روافده .

ولتصحيح قصور المخطط الوظيفى الشامل ثنائى الأبعاد عن وضع تصور لشكل المدينة الكلى بحيث يحقق لها الجمال والاشباع النفسى للمستعملين فقد ظهرت مع بداية الستينات فكرة المخطط البصرى على يد كيفن لنش Visual Plan, Kiven Lynch . فالمخطط البصرى هو محاولة لوضع تصور للشكل النهائى للمدينة فى أبعادها الثلاثة مضافا اليها الزمن فى صورة مخطط ثنائى الأبعاد عن طريق تبسيط المكونات البصرية للمدينة فى صورة رموز مرسومة . وقد حاول المخطط البصرى أيضا الربط بين الشكل المادى المتوقع وبين قدرة المشاهدين على استقباله وظروفهم الاجتماعية والنفسية المحددة لتكوين انطباع ذهنى واضح وقوى عن المدينة وبذلك يجمع بين الجوانب الوظيفية والجمالية والانسانية فى مخطط واحد يكمل المخطط العام للمدينة .

يعتمد تكوين المخطط البصرى على تبسيط مكونات المدينة إلى نقاط (علامات مميزة ونقاط تجمع Nodes & Land Marks) وخطوط (مسارات حركة وعوائق Paths & Edges) ثم مساحات (أحياء Districts) وهى العناصر الأساسية الثلاثة للرسم كلفه تعبيري Basics of Graphic presentation . وقد حدد « لنش » لكل مكونات من هذه المكونات الخصائص المميزة لها والمؤثرة على ظهورها فى الانطباع ذهنى للمستعملين بشكل مفصل وبصورة تجعله سهل الاستعمال للمصمم العمرانى^(١٠) . وقد حدد لنش أيضا خصائص أربعة رئيسية تقوى الانطباع ذهنى عن طريق تقوية مكوناته ، ويمكن اعتبارها أهداف لوضع المخطط البصرى ككل :

١ - تميزه واختلافه عن غيره من المكونات Differentiation

٣ - المدخل السلوكي المنظومي

Behavioral Systemic Approach

أهم تطورات علم التصميم العمراني خلال العقود الماضية هو تخليه عن النظرة الشاملة لعمران المدينة Macro Vision وتركيزه على المكونات الأساسية وتركيب العلاقات بينها بشكل منظومي Systemic Structure. أهم مميزات هذا المدخل السلوكي المنظومي ونو النظرة المحلية هو تغيير الغرض الأساسي من الاهتمام بتصميم العمران من كونه وسيلة «للتشكيل البصري» إلى وسيلة «لتحقيق» بيئة عمرانية توفر أفضل الظروف الوظيفية الممكنة للمستخدمين كأفراد وتطلق إمكاناتهم في مزاولة الأنشطة المختلفة Affordances بكفاءة وبون فقدان الصلة بالبيئة المحيطة والاستمتاع بها. فالمدخل السلوكي يفسر المكونات الأساسية لعمران المدينة على أنها وحدات عمرانية ذات محتوى سلوكي يعبر عن التفاعلات اليومية للسكان مع بعضهم ومع بيئتهم - الوحدة السلوكية Behavioral Setting^(١٢) وربما أهم المحاولات المتكاملة هي لغة الأنساق Pattern Language التي اقترحها «كريستوفر الكسندر Christopher Alexander» للمجتمع الأمريكي لتكوين لغة مشتركة تعبر عن مواقف الحياة اليومية وأنشطتها في صورة ثوابت عمرانية أو أنساق يمكن للمصمم العمراني أن يجمعها معا بعمليات الإضافة العانية لتكوين بيئة عمرانية حقيقية^(١٣). وكما عبر هو عن الغرض من عملية التصميم العمراني «هو خلق بيئة «حقيقية» و«كاملة» في جزئياتها ومجموعها «Real and Whole» وبحيث تنتج البيئة المبنية من تجمع الوحدات الحقيقية التي يحمل كل منها جذور لغة فردية مشتركة وبالتالي يحمل التصميم الكلي نفس القدر من المشاركة بين المصمم والمستخدم في لغة التفاهم ويكون نمو البيئة طبيعي بعد ذلك» فإذا أردت أن نصمم زهرة جديدة، صمم بذرتها واطرقها تنمو^(١٤)، حيث أن هذه «اللغة» من الثوابت السلوكية تختلف من بيئة اجتماعية لأخرى ومن حضارة لأخرى وبالتالي فالأهمية الحقيقية لهذا المدخل هو تأكيد التركيز على دور الفرد، وسلوك المجموعات الصغيرة في تشكيل المدينة والتقليل من أهمية الشكل الذي ينتج من تجميعات خلايا المدينة.

الشكل النهائي للمدينة من خلال المدخل السلوكي المنظومي هو عملية متنامية وحيوية Dynamic Evolutionary Process وهو يحدد فارقا أساسيا بين فكر الخمسينات والستينات الذي قام على المخطط العام والمخطط البصري الشامل الذي يضعه الخبير المصمم بعد استشارة المستخدمين وفكر السبعينات والثمانينات الذي ارتكز على «تعليم» المصمم من المستخدمين والحيوية العمرانية الناتجة عن سلوك الأفراد والجماعات والتي يحاول المصمم أن ينميتها ولايصممها. كما تميز المدخل السلوكي أيضا بنظرته إلى المدينة بصورتها المركبة Synthesis وعدم تبسيطها إلى جزئيات منفصلة Analysis نفقدها الكثير من قيمتها الحقيقية التي يجب على المصمم أن يحافظ عليها. هذه النظرة الجديدة للمدينة تظهر بوضوح قصور مجهود المصمم الفرد عن تحقيق القدر المطلوب من التعقيد بصورة حقيقية وطبيعية وتتطلب زيادة مشاركة المستخدمين في تشكيل بيئتهم المادية للحفاظ للمدينة على واحدة من أهم وظائفها كمكان مركزي لمزاولة الأنشطة الانسانية يكتسب سحره الخاص من تعقيد واستمرار توافقه مع حاجات المستخدمين بالرغم من تطورهما الدائم

٢ - التعريض وامكان رؤيته لفئات كبيرة من المستخدمين في أوقات متعددة Exposure

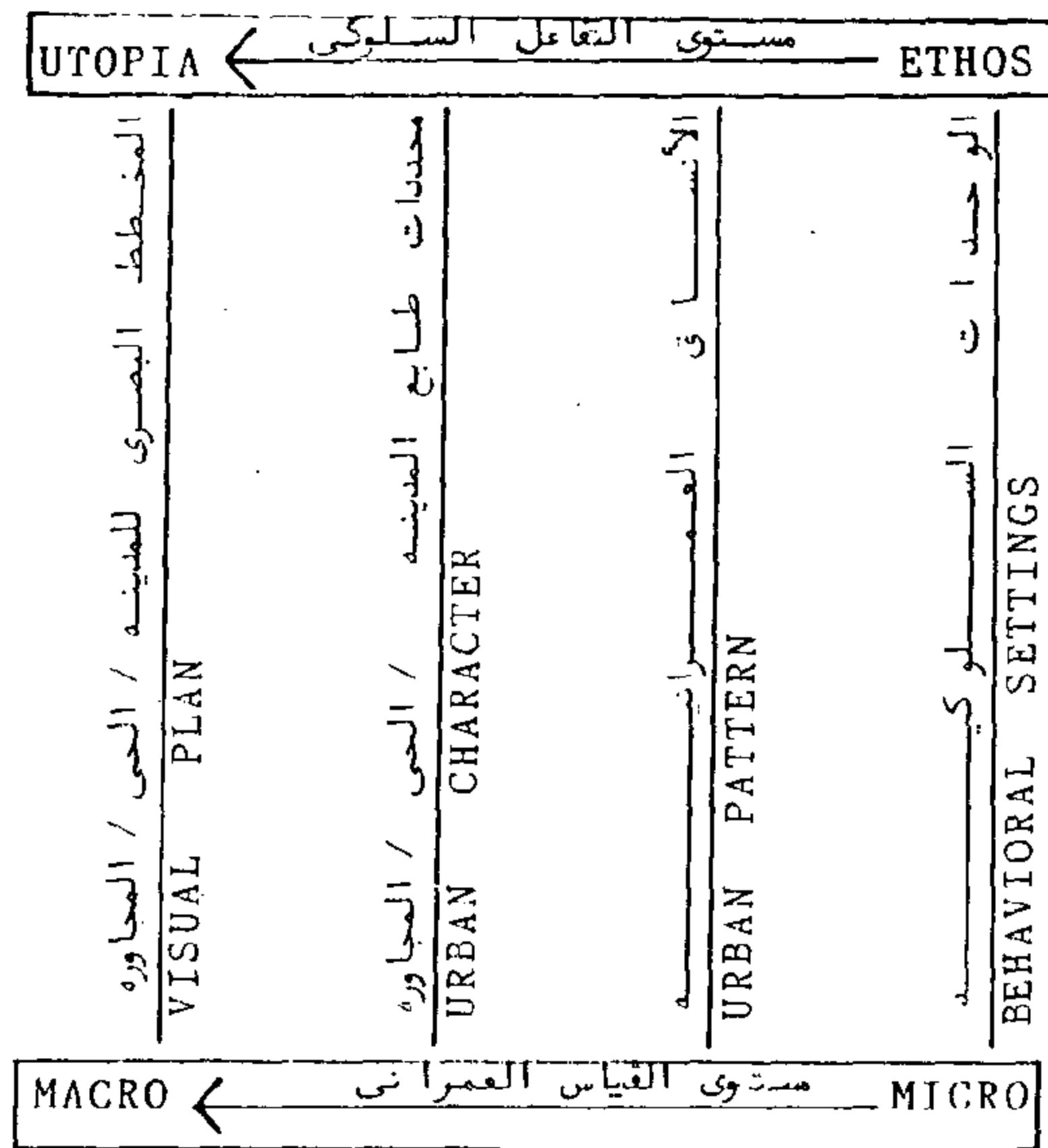
٣ - ارتباطه بغيره من العناصر في تكوينات قوية واضحة Structure

٤ - المعنى الخاص الذي يرتبط به في أذهان المستخدمين Meaning والحقيقة أن هذا التبسيط والوضوح في تصور «لنش» للمخطط البصري وأهميته كأداة سهلة الإستعمال للمخطط العمراني كان أهم أسباب انتشاره كأداة هامة للتصميم العمراني.

والحقيقة أن المخطط البصري اعتبر أداة مناسبة للتصميم العمراني نظرا لأنه توافق مع خلفيات المخططين الذين غلب عليهم كونهم معماريين مقتنعين «بحتمية التصميم Design Determinism» نظرا لأنه لا يخرج عن كونه رؤية معمارية متكاملة لعمران المدينة ومايجب أن تكون عليه مكوناتها من وجهة نظر المصمم. وبالرغم من هذا التفرد لكل مخطط بصري لاي منطقة عمرانية الا أن خطوات تنفيذه في كل مرة واحدة من خلال عملية سهلة الاستعمال ومتكررة من خلال «المفهوم الثنائي «Dyadic Image» للعلاقة بين المصمم كخبير والمستخدم كعميل Expert/Client. وحتى في حالة قيام المصمم بمقابلات مع المستخدمين أو استطلاع لرأيهم في المخطط المبصرى الا أنه يوضع في النهاية بنفس منطق وضع المخطط العام Master Plan على يد المتخصصين دون مشاركة حقيقية من المستخدمين. وقد راعى «كيفن كنش K. Lynch» أهمية اعتبار الاختلاف في ثقافات المستخدمين عند تكوين انطباعاتهم الذهنية عن المناطق العمرانية، كذلك راعى أن الانطباعات الذهنية المتكون لدى المستخدمين لايتطابق مع التصور الذي يضعه المصمم كخبير Expert Vision. وربما يكون هذا الاعتبار الأخير أحد أهم التطورات الفكرية التي أحدثتها رؤية «لنش Lynch» لعمران المدينة حيث أنه قلل من أهمية التصورات المثالية «شكل» العمران وأكد على أهمية التصورات الحقيقية التي يكونها المستخدمين.

المخطط البصري بالرغم من خروجه من عباءة المخطط العام ثنائي الأبعاد الا أنه مثل بداية انحسار فكرة الشكل المثالي للمدينة Ideal City Form وبدء اتجاهات ديمقراطية للتصميم العمراني ترفض سيطرة المصمم ذو البصيرة Visionary Designer وتدعو للمزيد من مشاركة المستخدمين. وقد تزامن هذا الاتجاه مع تحول مفاهيم الجمال من كونه مطلق في نسب الجسم وصفاته الخاصة «Absolute» إلى كونه جمال نسبي «Relative» يعتمد على التفاعل بين العمل الفني والمشاهد دون أن يتمتع في حد ذاته بنسب ذهبيه أو صفات خاصة أخرى^(١١) وبالتالي قلت أهمية وضع تصور مثالي لعمران المدينة كأحد مقومات التكوين التي يهتم بها المصمم باعتبار أن جمال المدينة في سهولة تفاعل المستخدمين معها وتقبلهم لها وليس في نسب مبانيها وطرفاتها المطلقة. ومع تغلب هذا المفهوم الجديد أصبحت اتجاهات تجميل المدينة غير مقبولة كفكر يسمح بتنمية المدينة وتحسين رؤية المستخدمين لها. وقد مثل المخطط البصري بمكوناته وسيلة جيدة للتعبير تجمع مفردات واضحة للتعبير العمراني Graphic Vocabulary يمكن استعمالها تحت مفاهيم متعددة للتصميم العمراني.

مجال الطابع العمراني هي أكثرها استعمالا نظرا لتناسبها مع مقياس المجاوره السكنية والمجموعة السكنية والقدرة على وضع التفاصيل العمرانية والاجتماعية والاقتصادية التي يتطلبها المصمم والمستعملين في الشكل العمراني الناتج . ويمثل شكل (١) هذا التقسيم المبسط لأدوات التصميم العمراني .



شكل (١) تقسيم أولى لأدوات التصميم العمراني اعتمادا على المقياس

Fig.(1) An elementary classification of urban design tools based on the scale of implementation .

والطابع العمراني كوسيلة من وسائل التصميم العمراني يتميز بسهولة تطبيقه على مستوى الحي والمدينة وكذلك تجزئته إلى مجموعات سكنية ومجاورات نظرا لعدم اقتضائه على المحتوى السلوكي للأفراد وامتداده ليغطي الجوانب المادية والاقتصادية والاجتماعية . فالطابع العمراني في حقيقته « وصف تراكمي » للبيئة المبنية بجوانبها المختلفة بخلاف « لغة الأنساق » التي تقتصر على وصف أنشطة عمرانية منفصلة كأدوات جزئية بدون الاهتمام بالتشكيل الكلي الناتج عن تراكمها . كذلك فإن الطابع يحوي بداخله مستوى متوسط للتفاعل الاجتماعي المثالي يمكن تصنيفه بين السلوك الشخصي المثالي Ethos الذي يمكن توقعه داخل الوحدة السلوكية الأساسية وبين السلوك المثالي على مستوى المدينة Utopia .

وللحصول على تقسيم أفضل لأدوات التصميم العمراني يسهل على المصمم اختيار الأداة المناسبة لكل بيئة يجب اعتبار المحتوى المادي والسلوكي لها عن طريق تمثيلها على سطح ثنائي الأبعاد محوره الأول المقياس كما في شكل (١) ومحوره الثاني البعد السلوكي / المادي . ويوضح محتوى كل أداة من الاعتبارات السلوكية أو المادية وكذلك مستوى المقياس الملائم لها في التطبيق موقعها على سطح التمثيل كما في شكل (٢) .

المدينة الجيدة هي التي تحافظ على استمرار توافقها البيئي المعقد مع السماح بالتغيير والتطوير^(١٥) . فالمدينة هي نظام كلي مفتوح يتكون من مجموعة معقدة من النظم الأقل في الحجم والمتداخلة بعلاقات متغيرة ومرنة .

ولقد شهد العقدين الاخيرين تطورا ملحوظا وانتشارا للدراسات السلوكية التي من شأنها التأثير على العمران بدون النظر إلى الشكل المنظومي النهائي المتكون للمدينة من تراكيبها مما مثل تحررا كاملا من فكرة « سيطرة المصمم Design Determinism » التي سيطرت على المهتمين بشئون العمران منذ فجر التاريخ وحتى الستينات من هذا القرن . وقد أنتجت هذه الدراسات قواعد جديدة للمعلومات أكدت أهمية « التصميم كعملية تعليمية Designing as Learning » تزيد من معرفة المصمم والمستعملين عن بيئتهم المبنية . وقد صاحب ازدهار هذه النوعية من الدراسات إعادة الاهتمام بفكرة « الطابع العمراني ومكوناته Components of Urban Character » والتي مثلت وسيلة مناسبة في يد المصمم العمراني لاضافة البعد المادي إلى المنظومات السلوكية المكونة للمدينة دون الحاجة إلى سيطرته وتحكمه في عملية البناء . فالطابع العمراني يمثل وصفا جيدا للعمران بكل جوانبه الاجتماعية والاقتصادية والسلوكية والمادية لا يقتصر على النشاط الوظيفي السلوكي فقط للوحدة السلوكية على المستوى المحلي Local Behavioral Setting كذلك لا يمتد لمستوى مدينة كاملة بما يسمح بوضع التفاصيل ويمكن تجميعه كاشتراطات لمناطق متجاورة حتى ينتج تصورا ماديا للمدينة بأسرها . فهو تصور واقعي مرن يمكن الخروج منه باشتراطات محددة للبناء وتقسيم الأراضي واستعمالاتها وبالتالي تتحول مسئولية تشكيل المدينة إلى المستعملين الحقيقيين لها بما يضمن خروجه معبرا عن حاجاتهم ورغباتهم . وإذا سلمنا بأن وضع تصور نهائي لشكل المدينة كما كان متبعاً حتى الستينات أمر غير حقيقي وغير مطلوب نظرا لسيطرة الأبعاد الاقتصادية والاجتماعية على هذا المقياس^(١٦) فإن وضع هذه التصورات الجزئية والمرنة للعمران على مستوى المجموعة السكنية أو الحي وترك تطبيقها لسكان المدينة وإدارتها المحلية يجب أن يكون أقصى ما يتوافر للمصمم العمراني من أدوات يمكن من خلالها التأثير على الشكل العمراني للمدينة .

٤ - خلاصة ونظرة جامعته

Summary and Synthesis

من العرض السابق نستخلص أن علم ومهنة التصميم العمراني تتراوح أدواته المتاحة للمصمم بين المخطط البصري Visual Plan الذي يوضع على مستوى عام وشامل Macro ، ويفترض قدر كبير من تحكم الإداري والمصمم في تشكيل المدينة وبين وحدات التحليل السلوكية وأنساقها Behavioral Patterns & Settings على المستوى المحلي الضيق Micro والتي يقتصر دور الإداري والمصمم فيها على توفير « إمكانات » مزاولة الأنشطة المختلفة بكفاءة وراحة . وبين هاتين النهايتين يمكن استعمال الطابع العمراني واشتراطات المباني وما يماثلها من عوامل محددة لشكل العمران كأداة ذات مقياس وسيط يتم بناؤها اعتمادا على فهم الوحدات السلوكية الأساسية والأنساق المكونة لعمران المدينة دون أن يفقد المصمم صلته بالشكل العام النهائي للمدينة . وربما تكون الأدوات الجزئية الواقعة داخل

- 15- Lynch, 1981, P. 116.
16- Lynch, 1981, P.103.

REFERENCES:

Alexander, Christopher, «An Early Summary of the Timeless Way of Building» in Lang et. al., **Designing for human Behavior**, Philadelphia: Dowden, Hutchinson & Ross Inc., 1974.

---,---, **Notes on the Synthesis of Form**, Cambridge Mass.: Harvard University Press, 1964.

---,--- **A Pattern Language**, N.Y.: Oxford Unuversuty press, 1977.

Bacon, Edmund, **The Design of Cities**, N.Y.: Viking Publishers (Revised edition), 1974.

Hammad Mohammad, **Town Planning and its History** (Arabic), Cairo: Ma'rifa publishers, 1965.

Lang, Jon, **Creating Architectural Theory**, N.Y.: Van Nostrad Reinhold Company, 1987.

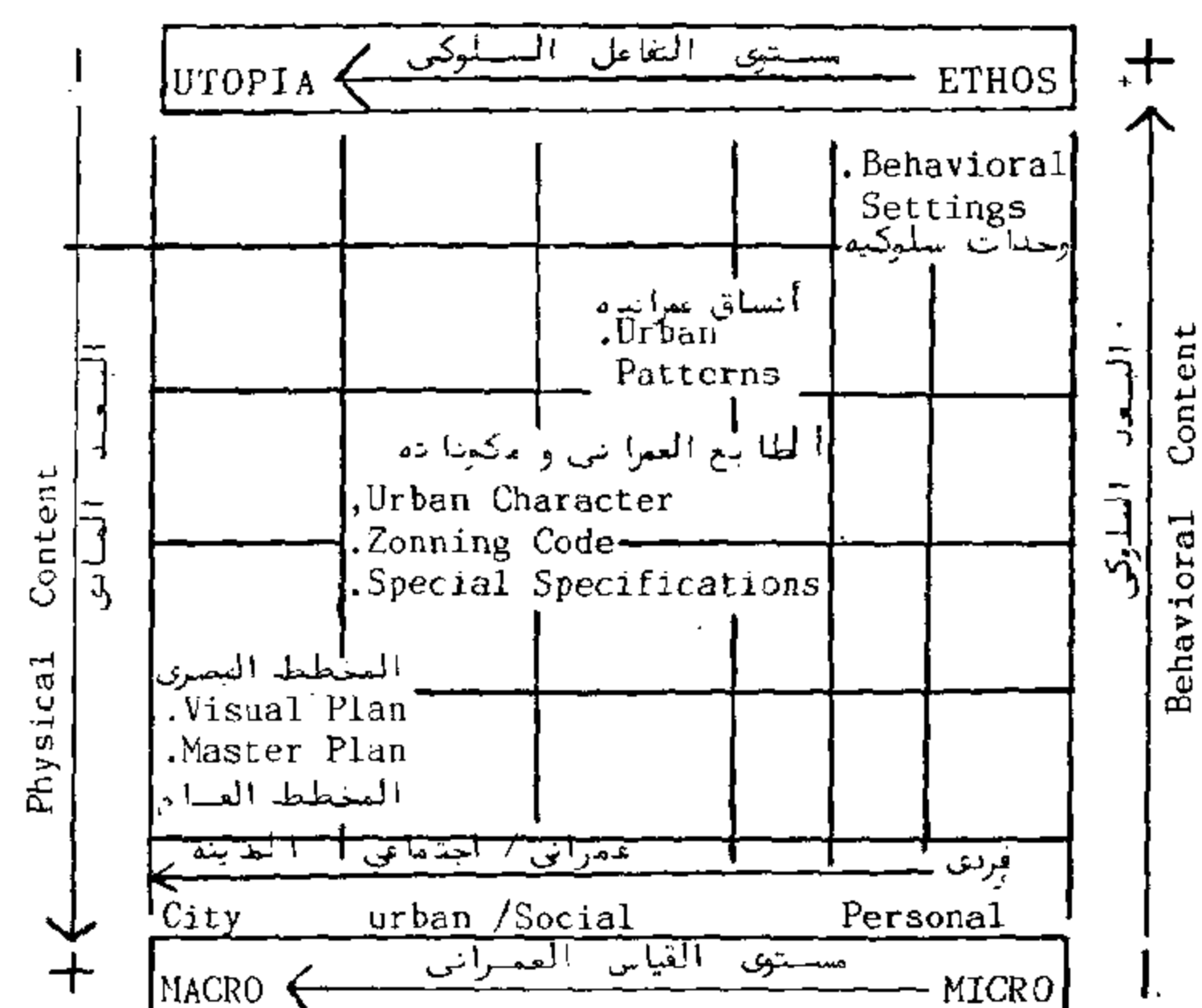
Lynch, Kiven, **The Image of the City**, Cambridge mass.: MIT press,

---,---, **Good City Form**, Cambridge mass.: MIT press, 1981.

Mumford, Lewis, **The City in History**, N.Y.: Harcourt Brace Jovanovich Publishers, 1961.

Spreiregen, Paul, **Urban Design: The Architecture of Towns and Cities**, Written for the American Institute of Architects, N.Y.: Mcgraw-Hill Book Company, 1965.

Zeisel John, **Inquiry By Design**, Cambridge: Cambridge University Press, 1981.



شكل (2) تقسيم متعدد الأبعاد لأدوات التصميم العمراني
Fig (2) Multi-dimensional classification of urban design tools .

NOTES:

- 1 - Hammad, 1965, PP.47-54.
- 2 - Mumford, 1961, PP. 171-190
- 3 - Bacon, 1974, PP.114-119
- 4 - Mumford, 1961. PP. 158-165.
- 5 - Spreiregen, 1965, P.17.
- 6 - Mumford, 1961, PP. 325-328.
- 7 - Hammad, 1965, PP. 173-176.
- 8 - Mumford, 1961, PP. 410-419.
- 9 - إعادة تخطيط منطقة وسط مدينة القاهرة في عهد الخديوي اسماعيل مثال جيد لجهود تجميل المدينة حيث تم شق شارع محمد علي بالكامل في قلب منطقة سكنية مزدحمة بالسكان .
- 10- LYNCH, 1960.
- 11- Lang, 1987, PP. 181-216.
- 12- Lang, 1987, PP. 113-125.
- 13- Alexander, 1977.
- 14- Alexander, P. 59, in Lang et.al., 1974.

دور المشاركة الشعبية فى تنمية المناطق العشوائية

دكتور/ شريف صبرى سعد الدين (*)

مقدمة :

لابد من الاعتراف بأن الاسكان العشوائى ظاهرة هامة تمكن من خلالها جزءا كبيرا من سكان المدن المصرية من توفير مسكن لهم يتفق وامكانياتهم المادية فى الوقت الحالى .

ولقد كان لتفاقم أزمة الاسكان وتعدد قوانينه بالاضافة الى البيروقراطية فى الاجراءات الحكومية وعدم ايجاد الخطط السليمة لامتصاص الزيادة السكانية فى المدن المصرية سببا مباشرا لاستفحال اسلوب الاسكان العشوائى الغير مرخص حتى اصبحت اقامة المساكن بهذا الاسلوب هى القاعدة واصبح السكن المرخص هو الاستثناء .

ومن الملاحظ ان احوال الاسكان والبيئة السكنية فى احياء الاسكان العشوائى هى احوال سيئة للغاية وذلك كنتيجة حتمية لعدم التخطيط المسبق بالاضافة الى عدم مدها بالمرافق واهمالها باعتبارها توسعات غير قانونية .

ويجب ان نواجه الحقيقة بأن وجود هذه المناطق وخدمتها لعدد كبير من السكان واستمرار هذا النمط يؤكد ان الاسلوب نفسه يجب الاستفادة منه مع ايجاد البديل لامكانيات التوسعات العمرانية فى مناطق سابقة التخطيط واحكام الرقابة لوقف النمو العشوائى حتى لا توضع امكانيات الدولة دائما تحت الاتجاه بالأخذ بمبدأ سياسة الامر الواقع .

ويهدف هذا البحث الى ايجاد الوسيلة التى يمكن بها تنمية هذه المجتمعات ورفع مستواها من خلال مشاركة ساكنيها وما هو الاسلوب المقترح لذلك وماهى التنظيمات التى يتم من خلالها تنسيق هذه المشاركة أخنين فى الاعتبار :

أن الله سبحانه وتعالى لن يغير ما بنا ما لم نقوم نحن بتغييره للاحسن تاركين ظاهرة الاعتماد الكلى على الدولة ومجهوداتها .

١ - مناطق الاسكان العشوائى :

١ - ٤ التساهل من قبل السلطات المشرفة نظرا لعجزها عن تقديم البدائل الواقعية .

تكونت مناطق الاسكان العشوائى نتيجة لتفاقم أزمة الاسكان وللهجرة المستمرة من الريف الى الحضر سعيا وراء فرص العمل بمناطق الجذب بمحافظتى القاهرة والجيزة ، ويمكن تلخيص اسباب تكون المناطق العشوائية فى الآتى :

١ - ١ محاولة الاهالى توفير المسكن اعتمادا على انفسهم وبشكل فردى خاصة مع تزايد حدة الأزمة وقلة عدد الوحدات المعروضة حيث يلجأون الى البناء فى اى مكان وبأى شكل دون توجيه أو اشراف .

١ - ٢ ارتفاع تكلفة البناء فى المناطق المخططة وتعقد الاشتراطات البنائية بها مما جعل البناء بهذه المناطق مستحيلا بالنسبة لمحدودى الدخل .

١ - ٣ اعتبار التجمعات العشوائية التى بنيت قبل عام ١٩٦٦ تجمعات قانونية مما شجع وساعد على نمو تجمعات اخرى .

(*) كلية الهندسة جامعة الأزهر قسم التخطيط

٢ - الخصائص العامة للمناطق العشوائية :

تتصف المناطق العشوائية بمجموعة من الخصائص العمرانية والبيئية وكذا الاقتصادية والاجتماعية ويمكن ايضاح هذه الخصائص فى الآتى :

٢ - ١ الخصائص العمرانية والبيئية :

- * المستوى المتردى لغالبية مساكن المنطقة العشوائية .
- * ضيق الشوارع وتعرجها نتيجة للتقسيم العشوائى الذى يستهدف تحقيق اكبر ربح عن طريق بيع اكبر مساحة ممكنة دون

مراعاة لنسب الشوارع والخدمات مما يصعب معه وجود وسائل عامة للمواصلات الداخلية بالإضافة الى عدم سيولة المرور الى نظرا لاختلاف مناسيب الشوارع في بعض الاحيان .
* افتقار المساكن للمرافق والخدمات الأساسية كالمياه والمجارى والكهرباء والتعليم الخ .

* تداخل الأنشطة التجارية والاقتصادية والصناعية مع المناطق السكنية مثل المحلات التجارية والورش الحرفية والصناعات اليدوية كما تنتشر الاسواق بهذه المناطق حيث يعتمد معظمها على الشارع كوسيلة عرض ومكان للبيع ومزاولة المهن المختلفة .

* افتقار هذه المناطق الى المساحات الخضراء والمفتوحة وامكان الترفيه واللعب وعدم وجود اى متنفس للسكان وسط هذا التكدس من المباني حيث يعتبر الشارع المكان الرئيسى للترويح لاهالى المنطقة ويستخدمه الاطفال والشباب كمكان للهو واللعب .
* عدم توافر الوسائل اللازمة لتأمين هذه المناطق ضد الاخطار المختلفة كالحريق أو انتشار الامراض والابوة ... الخ .

٢ - ٢ الخصائص الاقتصادية والاجتماعية :

* وجود نسبة كبيرة من السكان من ذوى الدخل المنخفض .
* ارتفاع الكثافة السكانية لتصل فى بعض الاحيان الى ١٠٠٠ شخص/الفدان .

* تكدس اكثر من اسرة فى مسكن واحد حيث اوضحت الدراسات الاجتماعية ان هذه الظاهرة تكثر فى الاحياء الشعبية المختلفة والعشوائية فى صورة استجار اكثر من اسرة لشقة واحدة كل يستأجر جزء منها وينتفع الجميع بمرافقها معا بالتناوب .

* ارتفاع معدل التزاحم فى الغرفة الواحدة حيث يصل فى بعض الاحيان الى ما يقرب من ٥ افراد/ الغرفة .

* سوء الحالة الصحية والتعليمية بهذه المناطق حيث تشير الدراسات التى أجريت على بعض المناطق المتخلفة فى منشية ناصر والزبالين وامبابية ... الخ الى النقص الشديد فى الخدمات الصحية الاساسية والذى ادى بالتالى الى ارتفاع نسبة الوفيات بين الاطفال حتى بلغ ٨٥ طفل/ الف وهو معدل مرتفع جدا ، كما وجد ان نسبة السكان الاميين اعلى من مثيلاتها بالنسبة للمعدل العام نتيجة للنقص فى الخدمات التعليمية وعدم اكتراث السكان بتعليم ابنائهم .

* ارتفاع نسبة المشاكل الاجتماعية بهذه المناطق كالاقدام والتشرد والمخدرات والطلاق والمشاجرات العائلية .

٣ - اهداف تنمية المناطق العشوائية :

تتفاوت عمليات التحسين من مجتمع لآخر فمنها ما يتم من خلال عمليات اعادة التخطيط الشامل أو من خلال عمليات التطور ورفع المستوى حيث يستعمل هذا الأسلوب فى تلك المجتمعات التى يصعب أو يستحيل اعادة تخطيطها والتى يطلق عليها غالبا بالمناطق المتخلفة سواء كان هذا التخلف نتيجة لعدم تزويدها بالمرافق الضرورية أو عدم تزويدها بالخدمات اللازمة لسكانها وما يحتاجون اليه فى حياتهم اليومية أو عدم ملائمة شبكة الطرق بها للقيام بوظيفتها المرورية وعلى الاقل بالنسبة للمرور الحتمى أو

الضرورى المتمثل فى سيارات الاسعاف أو الحريق أو النجدة .

ولا يمكن للدولة أن تترك تلك التجمعات العمرانية بوضعها السوء الحالى اذ مع مرور الوقت يزداد الامر سوءا ويصبح اشد خطورة وتعدا لذلك تلجأ الدولة الى عملية تحسين البيئة ورفع مستواها من خلال عملية UP GRADING حيث يصعب فى هذه الحالة هدم أو ازالة مباني سكنية فتتجهز العملية فى تحسين الطرق ورصفها وامدادها بالمرافق كلما كان ذلك ممكنا بالإضافة الى تزويدها بالخدمات التعليمية والصحية وخلافه .

وتعتبر الوسيلة الفعالة لتنمية هذه المناطق وحفاظا على الاموال التى تقدمها الدولة لتنميتها ان يشارك ساكنيها فى هذه التنمية وأن يتحملوا جزءا منها من خلال هيكل تنظيمى ينمى الشعور بالانتماء والمشاركة الشعبية فى تنمية المجتمع العشوائى .

٤ - المؤشرات العامة للمشاركة الشعبية :

من خلال دراسة وتحليل الدراسات التى أجريت على بعض المناطق العشوائية ثبت وجود بعض الملامح العامة لسكان هذه المناطق فلقد بلغت نسبة الامية على سبيل المثال حوالى ٥٠٪ ونسبة البطالة فى حدود ٥٠٪ هذا بالإضافة الى انخفاض معدلات الدخل وبالتالي انخفاض الانفاق فى صيانة المرافق العامة فى هذه المناطق وفى ضوء التحليلات المختلفة امكن التوصل للنتائج الاتية :

* ادخال المرافق العامة بهذه المناطق يساهم فى انخفاض مستوى التلوث ويعمل على رفع مستوى المعيشة والصحة العامة للسكان .

* سيتحمل الافراد فى هذه المناطق عبئا فى نفقات الامداد بالمرافق العامة فى حين أن هذا العبء سيكون أقل فى حالة تواجد نظام للامداد بالمياه ونظام اخر للصرف الصحى والكهرباء مما يتطلب ضرورة وجود مساهمة واضحة من الدولة فى هذه الخدمات .

* اوضحت الدراسات والتحليلات ان الحدود القصوى لما يمكن تحصيله من الاهالى كمساهمة فى برنامج التنمية المتوقعة يجب الا يتعدى حدود الانفاق على هذه المرافق من الاسرة والتى تبلغ حوالى ٢٥ جنيه شهريا لعام ١٩٩١ ثم ٤٤ جنيه شهريا لعام ١٩٩٥ كحد اقصى للمساهمة فى هذه المرافق .

* يقترح اعداد هيكل تنظيمى لوحدة ادارية تقوم بالاشراف على اكثر من منطقة عشوائية بحيث تضم هذه الوحدة مندوب عن كل منطقة بالإضافة الى بعض المسئولين من جهات الحكم المحلى والمحافظة .

وسيتم فى الجزء التالى ايضاح تفصيلى لم هو مقترح ومتوقع .

٤ - ١ الاطار العام للموقف الاقتصادى والاجتماعى والاجراءات التى يمكن اتخاذها كأساس لتحديد التكلفة الخاصة بأعمال الصيانة :

من خلال الدراسات الميدانية لعينة مأخوذة من كل من مجتمع المنيرة الغربية والعمرانية الغربية (محافظة الجيزة) وتحليل هذه

العينة اتضح وجود بعض الظواهر الاقتصادية والاجتماعية العامة والتي تؤثر بشكل أو بآخر على إمكانيات التحسين لتحقيق التنمية في هذه المناطق . وفيما يلي تحليل عام لأهم هذه النتائج .

٤ - ١ - ١ المرافق العامة :

المرافق العامة	منطقة العمرانية الغربية	منطقة المنيرة الغربية
المياه :		
وحدات بها حنفيات للمياه	٨٣,-- %	٣٨,-- %
وحدات بها حنفيات مجمعه للمياه	٢,-- %	٢١,-- %
وحدات ليس بها حنفيات مياه	١٥,-- %	٤٠,-- %

المجارى :

وحداته بها مجارى عامة	٩٣,-- %	صفر
وحدات ليس بها مجارى عامة (خزانات)	٧,-- %	١٠٠ %

الكهرباء :

وحدات بها كهرباء	٩٧,-- %	١٠٠ %
وحدات ليس بها كهرباء	٤,-- %	١,-- %

القمامة :

وحدات تتخلص من القمامة بالشارع	١٣,-- %	١١,-- %
وحدات تتخلص من القمامة بمقلب القمامة (أو عن طريق الزبال)	٨٧,-- %	٨٩,-- %

ويتضح من هذا الجدول أن موقف الامداد بالكهرباء والتخلص من القمامة في كلا المنطقتين يكاد أن يكون متقارباً بعض الشيء في حين أن هناك تفاوت واضح في كل من بندى الامداد بالمياه وشبكات المجارى فمن الواضح أن موقف مياه الشرب في منطقة العمرانية أفضل بعض الشيء عنه في منطقة المنيرة الغربية فهناك ٨٣,-- % من الوحدات السكنية بالعمرانية الغربية مزودة بحنفية خاصة للمياه في حين أن هذه النسبة انخفضت في المنيرة الغربية لتصل إلى حوالى ٣٨,-- % . أما بالنسبة للصرف الصحى فإن جميع الوحدات في منطقة المنيرة الغربية غير مزودة بخدمة الصرف الصحى وعلى العكس في العمرانية الغربية حيث تصل نسبة الوحدات المزودة بهذه الخدمة إلى حوالى ٩٣,-- % بينما تتقارب معدلات التزود بالكهرباء والحاجة إلى التخلص من القمامة في كلا المنطقتين .

ويوجه الجدول السابق إلى ضرورة تخصيص الجزء الأكبر من الاستثمارات لتزويد المنطقتين بالمياه الصالحة للشرب وكذا شبكات الصرف الصحى .

٤ - ١ - ٢ الجوانب الاجتماعية :

أظهرت دراسة العينة لمنطقتى العمرانية الغربية والمنيرة

الغربية أن هناك تقارب واضح فيما يتعلق بالسكان الذين في سن العمل بالإضافة إلى التقارب في نسبة الأمية والبطالة وذلك كالاتى :

بيان السكان	منطقة العمرانية الغربية	منطقة المنيرة الغربية
سكان فى سن العمل (٢٠ - ٦٠)	٤٧,-- %	٤٧,-- %
نسبة الأمية	٤٣,-- %	٤٢,-- %

ومن الواضح من الجدول السابق أن نسبة البطالة وارتفاعها سوف تؤثر بلا أدنى شك في متوسط الدخل المتاح سواء على مستوى الأسرة أو الفرد ومن ثم فسوف يؤثر ذلك على قدرة الفرد في المساهمة في التحسينات الخاصة بكل منطقة يضاف إلى ذلك ارتفاع نسبة الأمية والتي تصل إلى حوالى ٤٣ % وبالتالي تعطى مبرراً كافياً لاحتمال وجود صعوبة في خلق قنوات سريعة مع الأفراد بهذه التجمعات ويوجه ذلك إلى ضرورة اقتراح أساليب متميزة للتفاهم والتعامل مع هذه النوعية من المجتمعات .

٤ - ١ - ٣ أوجه الاتفاق :

أوضحت دراسة العينة لمنطقتى المنيرة والعمرانية فيما يتعلق بأوجه الاتفاق الشهري للأسر مجموعة الحقائق الآتية :

البيان	العمرانية الغربية	المنيرة الغربية
الاتفاق النسبة	الاتفاق النسبة	الاتفاق النسبة
بالجنيه %	بالجنيه %	بالجنيه %
القيمة الإيجارية	١٣,٥٠ %	٨,٩ %
مرافق عامة	١٠,٢٠ %	٦,٧ %
المواصلات	٢٤,٨٠ %	١٦,٣ %
باقى المتطلبات (الطعام .. الخ)	١٠٣,٧٠ %	٦٨,١ %
المجموع	١٥٢,٢٠ %	١٠٤,١٠ %
	١٠٠ %	١٠٠ %

ويتضح من الجدول السابق أن نسبة ما يتفق على المرافق العامة في منطقة المنيرة يكاد أن يكون ضعف النسبة التى تتفق على نفس البند في منطقة العمرانية والتي تميزت بمرافق عامة أفضل من المنيرة ويعتبر هذا التحليل عامل مشجع يسهم في إيجاد مناخ لاقناع الأفراد بأن التحسينات التى سوف تتم على المرافق العامة بمنطقتهم سوف تؤدى على المدى الطويل إلى خفض عبء التكلفة ، هذا إذا ما افترضنا أن هذه الفئات سوف تساهم بشكل جدى في البرنامج الخاص بهذه التحسينات مع توقع أن مساهمتهم سوف تكون في حدود من ٧ - ١٥ % على الأكثر من إجمالى الدخل الذى يتحصلون عليه . ذلك مع الأخذ في الاعتبار عامل التضخم وارتفاع الأسعار بالشكل الذى يتفق والظروف الحالية بالدولة .

الخاصة بهم ، ذلك مع مراعاة الحدود الخاصة بالاتفاق على مثل هذا البند في ميزانية الاسرة .

* طبقا للتحليل السابق فإن الحدود القصوى والتي يمكن للأفراد (الاسر) المساهمة بها في عمليات البرنامج الخاص بالتنمية لهذه المناطق يجب ألا تتعدى حدود ٢٥,٠ جنيه حتى نهاية عام ١٩٩٢ ثم تزداد لتصل الى ٤٤,٠ جنيه عام ١٩٩٥ كحد أقصى .

هذه التكاليف التي يستحملها الافراد يجب تحليلها بالشكل الذي يسهم في توزيعها على بنود الاتفاق على المرافق العامة من كهرباء ومياه وصرف صحي وجمع قمامة مع الأخذ في الاعتبار أن بندى الكهرباء والمياه سوف يزداد عبء تحملها على الاسر بدرجة أكبر من تحمل الدولة لهذا العبء . في حين أن الفجوة تصبح واضحة في سد العجز في المبالغ اللازمة لتحسين مرافق الصرف الصحي والمياه مما يسمح بضرورة ايجاد مساهمة جديده من الدولة لتغطية مثل هذا العبء .

٦ - العلاقة بين التكلفة المنتظرة والعائد الاجتماعي :

العلاقة بين تكلفة الصيانة والتحسينات والعائد المنتظر أو المتوقع تحقيقه في هذه التكلفة يتمثل في مدى امكانية توفير الامكانيات المادية المناسبة لتحقيق مثل هذه الصيانة الدورية . ومن المتعارف عليه ان هذه الصيانة تصل تكلفتها في حدود من ١٠ - ١٥٪ من التكلفة الاستثمارية والتي تصل لعدة ملايين لم تحدد بشكل قاطع بعد ويمكن استعراض اهم بنود العائد الاجتماعي في مثل هذا المشروع كالآتي :

٦ - ١ تحسين المرافق العامة سوف يساهم بصورة مباشرة في تحسين الحالة الصحية لعدد كبير من افراد المجتمع مما يمثل عائدا اجتماعيا على المستوى القومي حيث ان الرعاية الصحية من اهم الأهداف التي تسعى لتحقيقها الحكومة المصرية .

٦ - ٢ ارتفاع معدلات الانتاجية بتوفير مناخ صحي ونفسى جيد من خلال اعداد هذه التحسينات .

٦ - ٣ انخفاض معدلات التلوث بالبيئة والتي تسعى اجهزة الحكومة جاهدة الى هذه المعدلات خاصة في المناطق المزدحمة بالسكان والتي يسكنها فئات محدودة او متوسطة الدخل .

٦ - ٤ تحسين الوضع الاجتماعي والبيئي للأفراد بهذه التجمعات مما يخلق مناخ افضل للتعامل ورفع مستويات المعيشة .

وفي ضوء هذه المتطلبات للمنافع والعوائد الاجتماعية لهذا المشروع فإن الوضع الحالي قبل هذه التحسينات يمثل موقفا غير جيد ممثل في تحمل الحكومة والدولة كمجتمع عام لتكاليف اجتماعية ممثلة في تدهور النواحي الصحية وانخفاض مستوى المعيشة .. الخ والتي تمثل عبء اجتماعي كبير على الحكومة .

وفي ضوء التحليل الأولى للتكلفة المالية والتي سوف تتحملها الاسر (في حدود من ٢٥ - ٤٤ جنيه حتى عام ١٩٩٥) ومقارنتها مع العائد الخاص لكل فرد من حيث توفير خدمات افضل وبمستوى اعلى يتطلب قدرة اجهزة الحكم المحلي والاعلام في اقناع ساكني هذه المناطق بالمساهمة والمشاركة بالعمل والمال في الحفاظ

* ولقد تبين من تحليل نتائج الاستقصاء ان نسبة الاسر التي لديها الاستعداد للمساهمة في التحسينات بمنطقة المنيرة الغربية لن تتعدى ٨٥٪ أما في منطقة العمرانية الغربية فقد وصلت هذه النسبة الى حوالي ٤٧٪ وفي كل الاحوال فيمكن التوقع بان النسبة العامة للمساهمة في التحسينات ورفع المستوى سوف تصل الى حوالي ٦٥٪ ويمكن لهذه النسبة ان تزيد امكن تنمية الوعي بضرورة المشاركة الجهود التي تقوم بها الدولة هذا بالإضافة الى انماء الشعور بالانتماء وان الملكية العامة يجب الحفاظ عليها لأنها تخدم الجميع وأن الحفاظ عليها وتنميتها هو للمصلحة الخاصة والعامة .

وسوف يلقي الجزء التالي الضوء على امكانيات المساهمة والقدر المطلوب تحصيله في الحدود التي تتماشى وطبيعة المجتمع وبخله .

٥ - تحديد الرسوم المقترح تحصيلها للمساهمة في البرنامج الخاص بتحسينات المرافق العامة :

يتم تحديد هذه الرسوم من خلال مرحلتين اساسيتين الأولى منها يتم فيها تحديد اجمالي ما يجب ان تتحمله الاسرة بصفة عامة في المرافق ككل ثم يتم بعد ذلك في المرحلة الثانية تحليل هذا الاجمالي الى مكوناته الفرعية حيث نوعية كل خدمة على حدة .

وفي ضوء التحليل والبحث الميداني لهذه التجمعات تبين ان النسبة المخصصة للاتفاق على المرافق لن تتعدى حدود ٧ - ١٥٪ من اجمالي الدخل .

مع مراعاة ان هذه النسبة سوف تزداد كقيمة وليست كنسبة مع مرور الوقت بسبب عامل التضخم وتغيرات الاسعار . وفي ضوء البيانات التحليلية للمسح الميداني بكل منطقة يمكن اعداد التصور الأولى للعبء الذي يمكن ان يساهم به الافراد في كل تجمع من خلال تحديد التكلفة الخاصة بالمرافق العامة والتي سوف يجرى عليها التحسينات المتوقعة :

٥ - ١ أن يتحمل الافراد التكلفة الكاملة لخدمة التخلص من القمامة على اساس اعداد شكل تنظيمي متاح يسهل عملية الجمع بأشتراك شهري محدد وفي هذه الحالة فإن أكثر من ٨٥٪ من السكان سيتحمل مثل هذه التكاليف . والتحسينات التي سوف تطرأ على هذا البند تتمثل في توريد سيارات أو الاستعانة ببعض الشركات برسوم تحدد في ضوء التكلفة الفعلية .

٥ - ٢ بالنسبة للوحدات التي لم تزود بالكهرباء بعد فيقترح أن يتحمل هؤلاء الافراد التكلفة الاساسية لادخالها من أقرب مصادر مناحة لهم على أن تقسط هذه التكلفة على فترات شهرية ولفترة لا تقل عن سنتين حتى لا يمثل هذا عبئا على الاسرة وبخلها المحدود .

٥ - ٣ أن يتحمل الافراد رسم رمزي يمثل ١٠ - ١٥٪ من تكلفة التحسينات لادخال المياه لوحداتهم السكنية علما بأن هذه النسبة تمثل التكلفة الاساسية لعملية الصيانة الفنية لاي أجهزة (من المتعارف عليه أن الصيانة الدورية تتطلب تكاليف في حدود من ١٠ - ١٥٪ من قيمة الأصل أو الاتفاق الاستثماري) ويتحمل الافراد هذا النصيب بشكل شهري كأقساط تسدد مع فاتورة المياه

والصيانة والتنمية وهذا يتطلب اعداد برنامج للتوعية بالصورة المناسبة وبالشكل والمضمون الذى يتفق مع نمط الحياة فى هذه المجتمعات .

ويقترح ان يتم مثل هذا التنسيق من خلال اعداد وحدة ادارية عامة لديها القدرة على التعامل واقتناع الرأى العام بهذه المناطق بضرورة المساهمة والمشاركة وهذا ما سيتعرض له الجزء التالى من البحث .

٧ - الهيكل التنظيمى المقترح للوحدة الادارية والتي سيعهد اليها بمهام الاشراف والمتابعة على اعمال الصيانة وتحصيل رسوم التنمية :

الاطار العام لمثل هذا الهيكل يجب ان يتضمن مجموعات عمل تكون مهمتها الاساسية التنسيق والربط بين عمليات الصيانة الدورية وعمليات تحصيل الرسوم الرمزية بين الافراد بشكل دورى .

ومن المقترح ان يكون شكل الهيكل التنظيمى من القاعدة الى القمة كالاتى :

- مسئول الحى .
- المسئول العام للمنطقة (اولى - ثانية .. الخ) .
- المشرف العام .
- عضو الحكم المحلى .
- عضو المحافظة .
- العضو الفنى المتخصص .
- رئيس الوحدة الادارية .

وستكون المهام المحددة لكل عضو فى هذا الهيكل المقترح كما هو وارد فيما يلى :

٧ - ١ مسئول الحى :

يتم تقسيم كل منطقة عشوائية الى مجموعة احياء طبقا لمساحتها وحجمها ويتم تعيين مسئول يطلق عليه اسم مسئول الحى تكون مهمته الاساسية الاشراف والمتابعة للعمل وتهيئة المناخ المناسب لتحقيق مستوى افضل لاعمال التنمية والصيانة بالاضافة الى الاقتناع المستمر للأسر والأفراد بالمساهمة الجادة والفعالة للحفاظ على اشكال التنمية وأعمال التحسين التى مستم . وسوف تتبع هذه الاحياء لجهة تنظيمية اكبر بالمنطقة يكون مسئول عنها مسئول المنطقة تتحدد مهامه فى الجزء التالى .

٧ - ٢ المسئول العام لكل منطقة :

يتم تحديد المهام الاساسية للمسئول العام للمنطقة فى الآتى :

- * تنسيق العمل بين مسئولى الاحياء لعدم تعارض المهام المحددة لكل منهم .
- * التأكد من خلال المتابعة الدورية لاستجابة الأفراد للتعاون وعدم وجود اى اعتراضات أو مشاكل تعوق النظام العام لعملية التنمية والتحسين .
- * الاشراف العام على تطبيق اللائحة المقترحة والتعليمات

المحددة من قبل الوحدة الادارية التنظيمية .

- * الاتصال الدورى والمستمر مع المشرف العام لحل اية مشاكل قد تظهر فى الافق وادخال ما يمكن تعديله ليتلائم ويتناسب مع ظروف البيئة فى كل حى .

٧ - ٣ المشرف العام :

والمقصود به المشرف العام على المناطق (أكثر من منطقة عشوائية) وتختصر مهامه الرئيسية فى :

- * تنسيق العمل بين المناطق المختلفة بالشكل الذى يحقق التوازن فى الاداء ويخلق مناخ مناسب للحفاظ على هذه النوعية من الخدمات .

- * التعرف على المشاكل الحقيقية التى تواجه كل منطقة وتحديد درجة أهمية هذه المشاكل من خلال الزيارات الميدانية اليومية .
- * الاجتماع الدورى بالمسؤولين عن المناطق ومناقشتهم فيما يمكن اقتراحه لتحسين نظام تحصيل الرسوم أو الحفاظ على الخدمات والمرافق العامة وتحسينها .

ويتم بعد اعداد هذا الهيكل التنظيمى للوحدات ادخال كل من المسئول العام لكل منطقة وكذا المشرف العام داخل وحدة ادارية تنظيمية تضم احد المسئولين بالحكم المحلى واخر من المحافظة ممن لديهم الخبرة فى مجال المرافق العامة والاتصال بال جماهير بالاضافة الى احد الفنيين المتخصصين فى مجال الخدمات .

وسوف يرأس هذه الوحدة شخصية عامة لها القدرة على الاقتناع والاتصال بال جماهير بصورة مباشرة وسوف تكون مهمه كل فرد فى هذه الوحدة الادارية كما سيرد فيما بعد .

٧ - ٤ عضو فى الحكم المحلى :

تكون المهمة الرئيسية لهذا العضو هو تنسيق العمل لتحقيق الاهداف الخاصة بالحكم المحلى على المستوى الاقليمى والاهداف الخاصة بالتنمية والتحسينات فى هذه المناطق المتخلفة وذلك من خلال عرض الرأى الخاص للسياسة العامة للدولة فى هذا الشأن .

٧ - ٥ عضو من المحافظة :-

تختصر المهمة الرئيسية لهذا العضو فى التنسيق بين الخطة المالية للمحافظة ومتطلبات التحسين بهذه المناطق وما يمكن أن تقدمه اجهزة المحافظة من خدمات لهذه المناطق للمساعدة فى حل مشاكل ساكنيها .

٧ - ٦ العضو الفنى المختص :

والمقصود به احد المتخصصين فى مجال الخدمات والمرافق العامة الذى يتولى تقييم واقتراح الحلول اللازمة للمشاكل الفنية التى تعترض اعمال التنمية بالمناطق العشوائية والمتخلفة .

٧ - ٧ المشرف العام :

ستكون المهمة الرئيسية للمشرف العام التنسيق المناسب والكامل

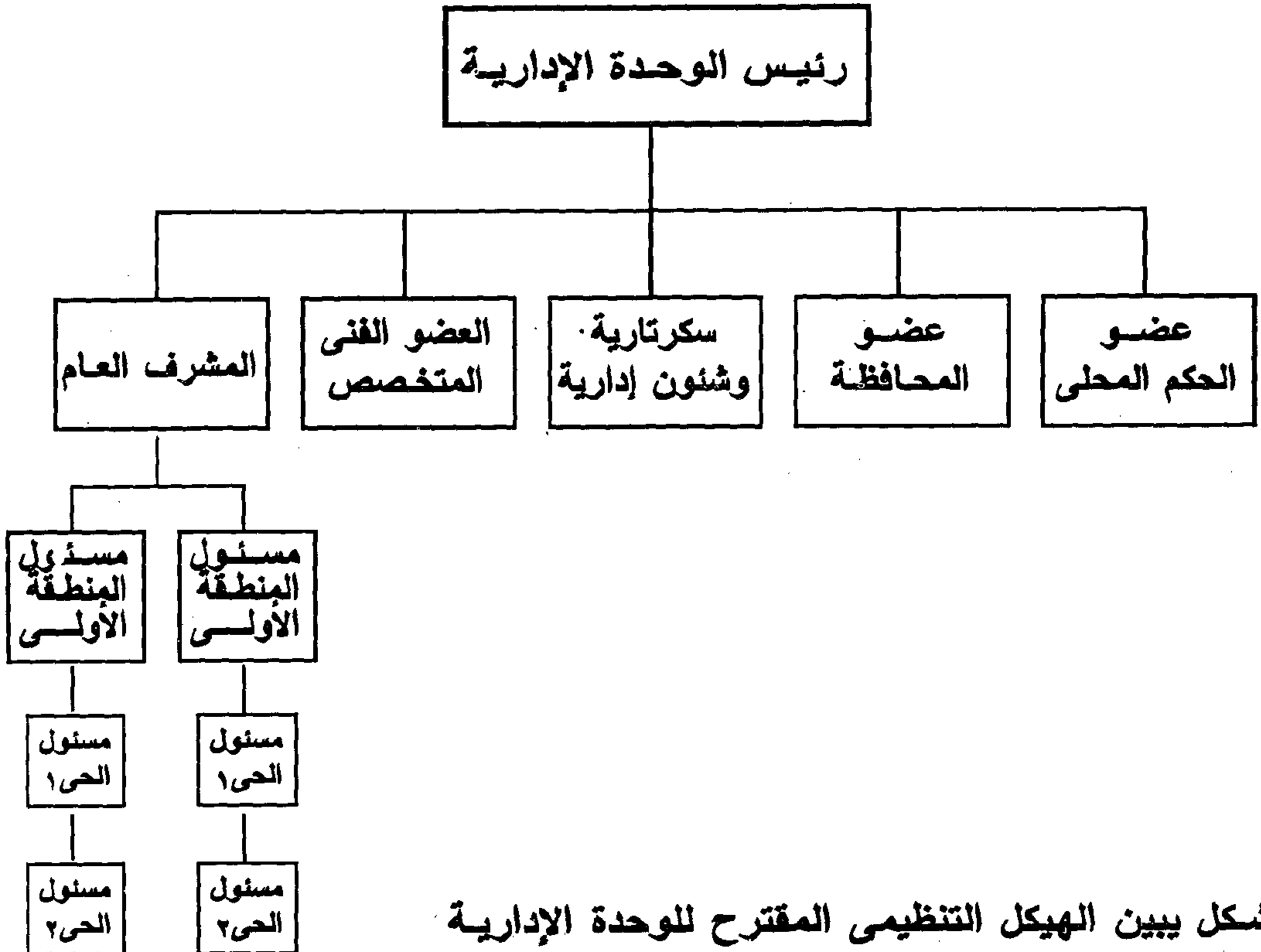
داخل الوحدة وخلق المناخ المناسب للعلاقات بين المحليات والأهداف الإقليمية للتنمية على مستوى المحافظة بالإضافة إلى المتابعة الميدانية المستمرة وعقد الندوات واللقاءات مع ساكنى هذه المناطق لتنمية الشعور بالانتماء والعطاء .

بين المناطق المختلفة ومتابعة عملية تحصيل المبالغ والرسوم الرمزية والتي يتعين ايداعها باحد البنوك لصالح صيانة المرافق وتنمية المناطق المختلفة .

٧ - ٨ رئيس الوحدة الإدارية :

والشكل المرفق يوضح نموذج للهيكل التنظيمى المقترح .

يتولى رئيس الوحدة الإدارية مهمة تنسيق العمل بين الأفراد



شكل يبين الهيكل التنظيمى المقترح للوحدة الإدارية

*** الخلاصة :

بصورة مباشرة فى انخفاض مستوى التلوث ويعمل على رفع مستوى المعيشة والصحة العامة للسكان .

خامساً : سيتحمل سكان المناطق العشوائية جنبا الى جنب مع الدولة نفقات الامداد بالمرافق العامة وذلك فى حدود ٢٥ جنيه / شهرياً لكل أسرة فى عام ١٩٩١ م . ثم ٤٤ جنيه / شهرياً لعام ١٩٩٥ م . أو فى حدود ١٠ - ١٥ % من تكلفة التحسينات وذلك من خلال هيكل تنظيمى لوحدة إدارية تقوم بالاشراف على أكثر من منطقة عشوائية .

سادساً : يجب العمل على الحد من انتشار مناطق الاسكان العشوائى من خلال الحد من الهجرة وتوجيهها الاتجاه السليم والذي يتفق وسياسة قومية محددة .

أولاً : الاسكان العشوائى اصبح حقيقة واقعة لابد من الاستفادة منها والاعتراف بها كنتيجة حتمية لمشكلة اسكان الطبقات محدودة الدخل .

ثانياً - تعتبر الاحوال السكنية والبيئية فى احياء الاسكان العشوائى أحوال سيئة للغاية وهذا يتطلب ايجاد الوسيلة التى يمكن بها تنمية هذه المجتمعات ورفع مستواها .

ثالثاً - يجب الاستفادة والأخذ بمبدأ المشاركة الشعبية لسكان مناطق الاسكان العشوائى من خلال مشاركتهم الفعالة فى تنمية مجتمعهم ورفع مستواه بطريقة منظمة ومخططة بكل دقة .

رابعاً - مد مناطق الاسكان العشوائى بالمرافق العامة سيساهم

صناعة البترول المصرية تواصل مواجهة التحديات

بقلم د. م. حمدي البنبى
وزير البترول والثروة المعدنية

لا شك أن صناعة البترول بوجه عام تواجه تحديات ضخمة ، منها ما هو مرتبط بطبيعة الصناعة نفسها ، ومنها ما هو مرتبط بالأوضاع المحلية للصناعة ذاتها ، كالاقتصادات البترولية ، والأوضاع الاقتصادية والسياسية والاجتماعية ، والظروف البيئية والجوية ، ومنها ما هو مرتبط بالأوضاع العالمية السياسية والاقتصادية ، وصناعة البترول العالمية .

وكبدية نذكر أن تحديد اليوم السابع عشر من شهر نوفمبر من كل عام يوماً قومياً للبترول كنتيجة من نتائج هذه التحديات ومواجهتها . ففى خلال الفترة من يونيو ١٩٦٧ إلى نوفمبر ١٩٧٥ حرمت مصر من إنتاج حقول بترول سيناء ، والذى كانت تمثل نحو ٨٠٪ من إجمالى إنتاج مصر من الزيت الخام ، كما حرمت من طاقات تكرير البترول فى مدينة السويس التى كانت هى أيضاً تمثل نحو ٨٠٪ من طاقات التكرير المصرية ، طوال هذه الفترة ، كنتيجة لاحتلال إسرائيل لشبه جزيرة سيناء خلال هذه الفترة ، كنتيجة لقذفها معامل تكرير السويس .

إنشاء شركات وطنية متعددة فى مجالات جديدة وخطيرة وهى شركات التصميم والشتون الهندسية ، والإنشاء ، والحفر والخدمات البترولية ، والطيران الخ .

كانت مصر قبل أحداث يونيو ١٩٦٧ قد حققت الاكتفاء الذاتى من المنتجات البترولية لإشباع الطلب المحلى ، وأصبحت على أعتاب أن تكون دولة مصدرة للبترول .

والثانى : التصنيع المحلى للأجهزة والمعدات وقد مكنها ذلك من الاعتماد على الذات فى مجال خطير وحيوى بالنسبة لصناعة البترول الوطنية . وتطور هذا الانجاز بحيث أصبح اليوم بضاهى مثيله فى الدول الصناعية المتقدمة ، بل أمكن أن يحقق وضعاً تصبح فيه مصر قادرة على مد يد المعاونة لشقيقاتها من دول البترول العربية والنامية فى مجال هى ومصر فى أشد الحاجة إليه .

خلق هذا الوضع تحديات ضخمة أمام صناعة البترول المصرية ، فكان عليها أن تعيد حساباتها وأن تعيد تشكيل سياساتها وأنشطتها بالنسبة لمختلف المراحل البترولية من بحث إلى استكشاف إلى إنتاج إلى تكرير وتصنيع إلى توزيع .

وتمكنت فى خلال تلك الفترة أن تتغلب على الخسائر الكبيرة فى إنتاج الزيت الخام والمنتجات البترولية ، بل تمكنت من تحقيق إنجازات ، وكان السبب الرئيسى لهذا النجاح هو مواجهة هذه التحديات والتغلب عليها .

والثالث : وهو أن مصر قد استطاعت ، بفضل سياستها البترولية ، وبفضل توفر جانب الأمن والأمان والاستقرار السياسى واحترامها لتعهداتها واتفاقياتها والتزاماتها ، أن تصبح محطة لجذب وتشجيع شركات البترول الدولية للعمل فيها ، فتوالى عقد عشرات الاتفاقيات البترولية مع الشركات الدولية من مختلف الجنسيات . وعلى سبيل المقارنة يكفى أن نقول أن عقد الستينات لم يشهد سوى توقيع أربع اتفاقيات بترولية مع ثلاث شركات أجنبية فحسب ، ولكن عقد السبعينات والثمانينات شهدا عقد اتفاقيات تزيد على المائة اتفاقية ، ومازالت الشركات تقدم وتسعى للعمل فى مصر .

لقد تمكنت مصر فى هذه الفترة من تحقيق سياسة الإنتشار الجغرافى لمعامل تكريرها وبناء طاقات تكريرية جديدة ، كما تمكنت من تحقيق سياسة الإنتشار الجغرافى بالنسبة لعمليات البحث والتنقيب فشملت مناطق عديدة برية وبحرية فى مصر ، وتمكنت من تحقيق إكتشافات بترولية هامة ، وإضافة الكثير إلى احتياطي مصر من الزيت الخام ، كما نجحت فى مضاعفة أهمية ووزن الغاز الطبيعى فى مجالات التجميع والتنمية والاستغلال .

وترجع أهمية ذلك انها السبيل الفعال لتحقيق المزيد من الاكتشافات البترولية ، وإضافة الملايين من براميل البترول لاحتياطي مصر البترولى بصفة مستمرة ومتجدة . وقد تحققت فعلاً النتائج المرجوة ، وخاصة فى مجال تحقيق كشوف عديدة وطبية فى الغاز الطبيعى الذى أصبحت مصر الآن تعتمد عليه اعتماداً كبيراً

وتجدر هنا الإشارة إلى أن مصر فى خلال تلك الفترة تمكنت من تحقيق ثلاثة إنجازات .

الأول : تحقيق التكامل الأفقى فى صناعة البترول بعد أن كان قد سبق لها أن حققت التكامل الرأسى . ففى مجال التكال الأفقى تم

ومنذ ١٧ نوفمبر ١٩٧٥ وحتى اليوم أصبحت مصر دولة مصدرة صافية للبترول ، وأصبح البترول - بفضل هذا الوضع الجديد - ركيزة أساسية للإقتصاد المصرى بالنسبة لثلاثة مجالات :

الأول : اشباع الطلب المحلى على الطاقة فى الحاضر والمستقبل بتكلفة اقتصادية . وبالنسبة لهذا المجال يكفى أن نعلم أن قيمة الاستهلاك المحلى لمصر من البترول بالأسعار الدولية يصل إلى نحو ٤ - ٦ مليار دولار . ولولا ما تم تحقيقه فى هذا المجال لكانت مصر مضطرة اليوم ، بالرغم من ظروفها الاقتصادية الصعبة ، لتحمل هذا العبء الضخم .

الثانى : أن يكون البترول مصدراً أساسياً للعملة الأجنبية وتمويل التنمية الاقتصادية . وفى هذا المجال حقق البترول الكثير ويكفى أن نذكر أرقام تطوّر عائدات البترول وما يؤديه لخزينة الدولة .

الثالث : وهو مجال الأمن القومى ، ويبدو واضحاً مدى ارتباط هذا المجال بالمجالين السابقين ، فبدونهما لا يمكن بلوغ المجال الثالث .

ومنذ عيد البترول فى ١٧ نوفمبر ١٩٧٥ ، وهو تاريخ استرداد مصر لحقوقها البترولية فى سيناء ، وعودة معامل تكرير البترول فى السويس للعمل بعد اصلاحها بأيدى مصرية صميمة ، بالإضافة إلى عودة الملاحة فى قناة السويس ، وما يدره ذلك من دخل كبير لمصر كرسوم عبور للقناة ، وكعائدات لتموين السفن المارة ، فضلاً على إنشاء خط أنابيب سوميد الذى غطى تكاليف إنشاؤه عدة مرات ، وأصبح مصدراً صافياً للدخل لمصر . وهذا المشروع ، كما هو معروف ، يعد النموذج المثالى والرائد للتعاون المشترك . ومنذ ذلك العيد واصلت مصر احتفالها بتلك المناسبة ، ولكن احتفالاتها لم تأخذ أسلوب الشعارات أو الاحتفالات المظهرية ، ولكن قطاع البترول استن لنفسه سنة عملية ، وهو أن يتم فى هذا اليوم قياس العمل البترولى المصرى بما استطاعه هذا العمل من تطوير لدور البترول ، ومن تحقيق هدف محدد وضعه قادة هذا القطاع نصب أعينهم ، مع وضع أسلوب لمواجهة التحديات فى الحاضر والمستقبل .

كان الدور المأمول للبترول والهدف المنشود تحقيقه فى فترة من الفترات هو تحقيق المزيد من الاكتشافات البترولية وإضافة المزيد من الاحتياطى البترولى . وكان الدور والهدف المنشود فى فترة أخرى هو زيادة عائدات مصر من البترول . وكان الدور والهدف

فى فترة ثالثة هو تحقيق ترشيد الاستهلاك والحفاظ على الطاقة ، وكان فى فترة رابعة هو زيادة الاحتياطى والانتاج من الغاز الطبيعى ، وزيادة الاعتماد عليه باحلاله محل منتجات الوقود البترولى .

وهكذا كانت صناعة البترول المصرية فى كل عام تحتفل ببلوغ هدف وتحقيق إنجاز ، وبذلك كانت فى كل مرة تواجه تحدياً كبيراً ، وتستطيع - بفضل الله ، وبإيمان العاملين فيها وجهدهم - بلوغ الهدف المنشود .

وبذلك كان لكل احتفال مطابع خاص ومذاق محدد ، ويأتى الاحتفال هذا العام وقد حققت مصر إنجازات ضخمة فى كافة المجالات :

- عقد المزيد من الاتفاقيات البترولية .
- توسيع رقعة ومساحات عمليات البحث والتنقيب وتشغيل المزيد من الحفارات ، وإنفاق المزيد من الاستثمارات .
- إضافة قدر كبير من الزيت الخام والغازات الطبيعية إلى احتياطى مصر الثابت منهما .
- زيادة طاقات التكرير والموازنة بينها وبين احتياجات الاستهلاك المحلى مع وجود فائض استراتيجى .
- الوفاء بالاحتياجات المحلية للاستهلاك من مواد الوقود البترولى والغاز الطبيعى .
- تحقيق فائض للتصدير من الخام والمنتجات وبالتالي قدر طيب من فائض ميزان المدفوعات يسهم فى تمويل التنمية الاقتصادية ، وفى الوفاء باحتياجات الاقتصاد المصرى .
- نجاح مستمر ودائم فى كل اتجاه .

ولكن مع هذه النجاحات يأتى العيد هذا العام وهو يواجه - كالعادة - تحديات كبيرة ، ولكن أوجه الخلاف أن تحديات هذا العام هى تحديات ضخمة بكل المقاييس بالمقارنة بالتحديات السابقة .

وإيجازاً نذكر ثلاثة تحديات على وجه التحديد :

- التحدى الأول :** البترول والسياحة والتلوث .
- التحدى الثانى :** خط أنابيب سوميد وقناة السويس .
- التحدى الثالث :** حقيقة انسحاب بعض شركات البترول الأجنبية العاملة فى مصر .

وقد استطاع قطاع البترول ، وسوف يستطيع ، بإذن الله وفضله وجهود العاملين فيه ، مواصلة تخطى هذه التحديات والتغلب عليها .

التنمية السياحية في اطار تقسيم الدولة إلى اقاليم

د . مصطفى الدينارى *
د . احمد العيسوى *

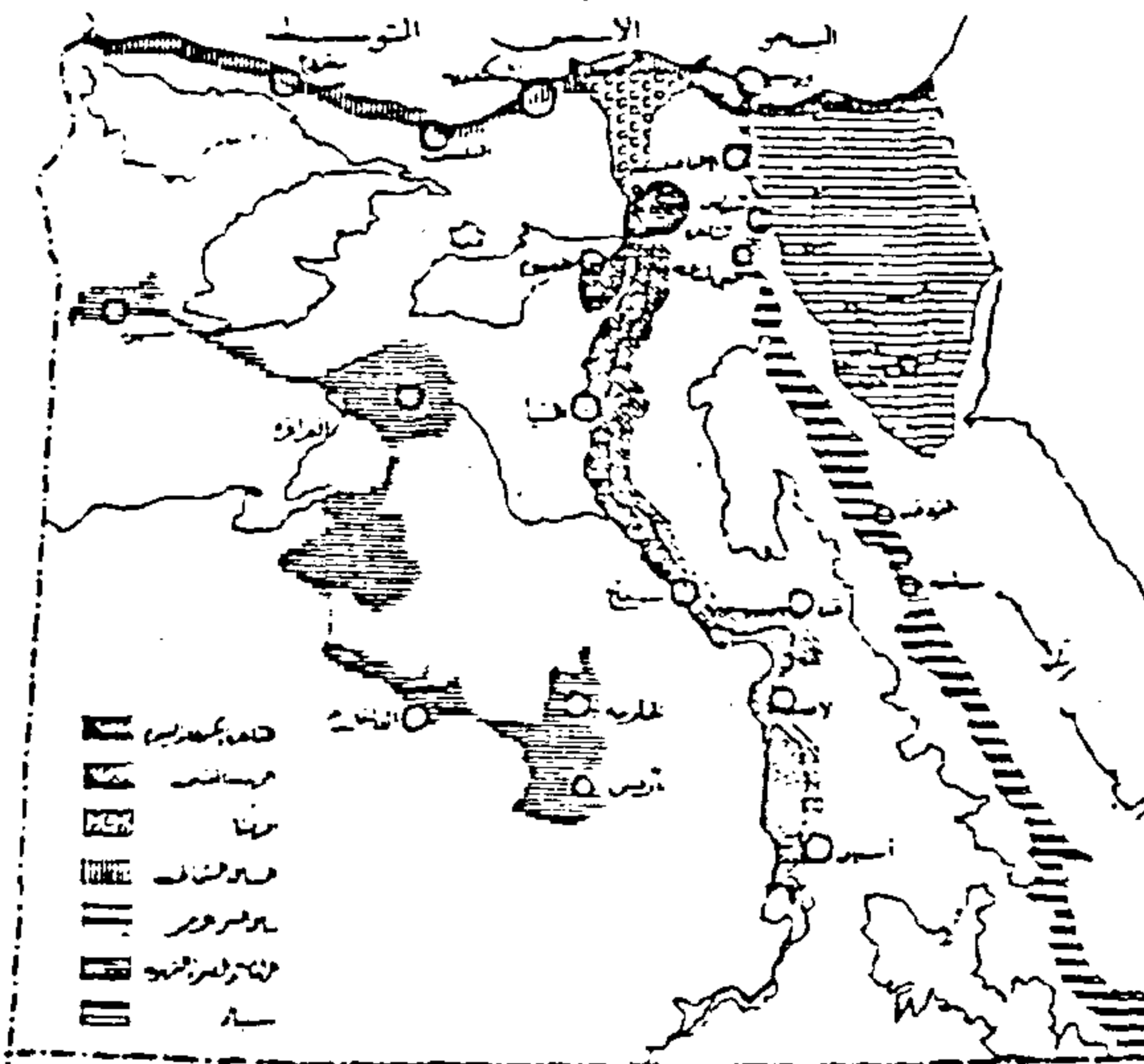
تمهيد :

أصبحت السياحة عنصرا هاما في التقدم الاقتصادي لكثير من الدول وخاصة الدول النامية التي تعتبر مصادرها السياحية ثمينة ومتنوعة . ومصر تتمتع بتوافر المقومات السياحية التي تتمثل في ثروتها الاثرية والتاريخية والحضارية بخلاف مقوماتها الطبيعية المتمثلة في بيئتها المناخية والبحرية والصحراوية ، ورغم هذه المقومات المتاحة الا أن صناعة السياحة في مصر لا تتناسب مع التطور في الحركة السياحية العالمية .

ويعنى هذا الحاجة إلى الأخذ بأسباب تطور وتنمية السياحة في مصر فالسياحة أصبحت صناعة لها مقوماتها وأسسها والتي أن أحسن استخدامها لأصبحت عامل من العوامل الفعالة للتنمية الاقتصادية ، إلى جانب الدور الايجابي الذي تلعبه اجتماعيا في خلق روح التعاون العلمي والثقافي مع أهميتها كعنصر من عناصر تنمية وتطوير البيئة .

الرغم من الأهمية السياحية لهذه الموارد الا أن التنمية السياحية قاصرة على مناطق معينة وبشكل محدود .

وتتملك مصر ثروة أثرية من مجموعات حضارية متميزة هي الحضارة الفرعونية القديمة والأغريقية والرومانية والبطنية والحضارة الاسلامية والعصر الحديث بما يمثل حوالى ثلث آثار العالم ، وتتركز آثارها المعمارية والحضارية من معابد ومنشآت حول مجرى النيل وعلى امتداده من اسوان حتى القاهرة وحول فروعها بخلاف بعض الآثار المتناثرة ، وبالرغم مما أفرزته هذه الحضارات من آثار خلفتها ، الا أن هذه الثروة لم تأخذ العناية الكافية لآظهارها والحفاظ عليها مما أدى إلى تهالك البعض منها ، ولذلك وجب الحفاظ على المتبقى منها بمعالجتها بالاساليب العلمية الحديثة والتي تتناسب والنوعيات المختلفة منها ووضع التشريعات والضوابط للمحافظة عليها .



1. ILACO, (1976): Op.cit.

شكل رقم ١ الاقسام الرئيسية للمناطق السياحية في ج . م . ع .

الحركة السياحية وتوقعاتها :

حققت حركة السياحة في مصر خلال عام ١٩٨٨ تقدما ملحوظا ، إذ ارتفع عدد السياح الدوليين إلى ٢,٥ مليون سائح ، وسجلت الليالي السياحية حوالى ٢١ مليون ليلة في نفس العام بزيادة بلغت ١٣١٪ عنها في عام ١٩٨٦ وفي السياحة الداخلية يقدر اعداد السائحين المحليين بحوالى ٦ مليون سائح قضوا حوالى ١٨ مليون ليلة ، ونجد أن أهم المناطق المولدة لها القاهرة والاسكندرية ومدن القناة .

وينتظر في ضوء الواقع العملي لحركة السياحة أن يبلغ الطلب المتوقع للسياحة إلى مصر حوالى ٥,٧ مليون سائح عام ٢٠١٠ ، كما تقدر وزارة السياحة حجم الطلب السياحي الداخلى بحوالى ٨,١ مليون سائح على أساس أن المصدر الاساسى للسياحة الداخلية هو نسبة من سكان الحضر (٨٪) وأن معدل النمو السنوى للطلب السياحي الداخلى من ٤ - ٦٪ سنويا .

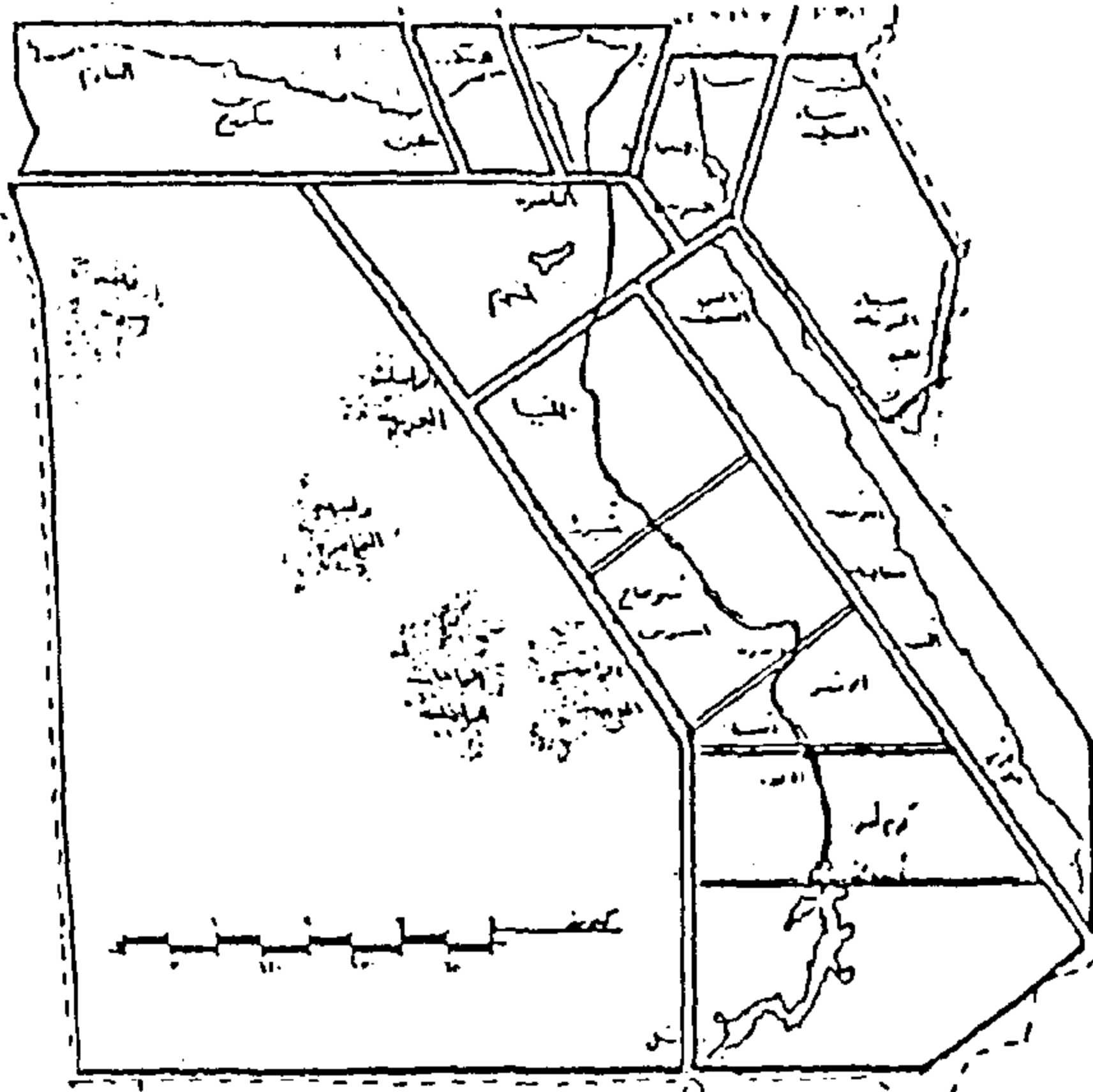
المقومات السياحية وامكانيات التنمية :

تتوافر في مصر موارد سياحية طبيعية ، حيث تتمتع بصفة التجانس الطبيعي في صحاريها وواحاتها بالصحراء الغربية وجبالها في الصحراء الشرقية وسيناء ، وتتمتع بمناخ معتدل صيفا ودافئ شتاء يسمح باستخدام شبه كامل على مدار العام ، كما تملك ثروة مائية هائلة ممثلة في شواطئها الممتدة بطول حدودها الشمالية والغربية بما يساوى حوالى ٢٤٠٠ كيلو متر ، بالإضافة إلى البحيرات البالغ مسطحها حوالى ٢ مليون فدان ونهر النيل البالغ طوله حوالى ١٠٠٠ كيلو متر بخلاف العيون والابار المعدنية الموجودة ، إلى جانب الحياة البرية والحيوانية المنتشرة في مناطق الساحل الشمالى وسيناء والواحات وفي البحيرات ونهر النيل والبحر الأحمر ، بالإضافة الى مناطق السياحة العلاجية والاستشفاء بالمياه المعدنية والكبريتية والرمل والظمى والشمس ومياه البحار ، وعلى

* قسم التخطيط - كلية الهندسة - جامعة الأزهر

ما حققته من المستهدف في عدد السياح ٣٠٪ فقط وفي عدد الليالي ١٨,٦٪ وفي الإيرادات السياحية ٢٨٩,٢ مليون جنيه بنسبة ١١٥,٢٪ من المستهدف ، ولتحقيق التجانس النمطي للسياحة في الاقاليم السياحية المختلفة قسمت الخريطة السياحية لمصر إلى خمسة اقاليم هي اقليم الساحل الشمالى ، و اقليم القاهرة الكبرى ، و اقليم ساحل البحر الاحمر و اقليم الصحارى و اقليم سيناء .

وطبقا لمشروع الخطة القومية للتنمية للسياحة للدولة قامت وزارة السياحة مع بيوت الخبرة بمجهودات لدراسة وتنمية الاقاليم السياحية وانتهت بتقسيم مصر إلى تسعة اقاليم سياحية^(١) هي اقليم القاهرة و اقليم الاسكندرية ، و اقليم الدلتا ، اقليم الصعيد ، اقليم قناة السويس و اقليم الساحل الشمالى الغربى ، و اقليم الواحات و اقليم سيناء ، و اقليم البحر الاحمر ، وفي اطار الخطة قامت الوزارة ببعض المشروعات الاقليمية منها التنمية السياحية للساحل الشمالى الغربى الى جانب التنمية السياحية لساحل البحر الاحمر من السويس حتى حلایب وبعض المشروعات بشبه جزيرة سيناء والبحر الاحمر .



شكل رقم ٢ توزيع الاقاليم السياحية

ويعنى هذا أن هناك فكر موحد في تقسيمات الوزارة لمصر إلى اقاليم سياحية حيث روى أن تكون الأقاليم متجانسة سياحيا . الا أن التقسيم الأول أغفل الاستغلال السياحي لقناة السويس رغم أهميتها سياحيا وكمدخل بحرى هام . كما أهمل مناطق واسعة من الجمهورية رغم تمتعها بإمكانات سياحية تساعد على استحداث انماط جديدة ، كما أن التقسيم الثانى للوزارة اغفل التكامل النوعى للسياحة فى الاقليم الواحد والتي يمكن ان تشكل فيما بينها انماط متكاملة من الرحلات السياحية ، وفي مشروعات المناطق تفيد دراسة الواقع انه ليس هناك ضوابط وحدود لاختصاص كل جهة من الجهات الرسمية المتصلة بالتنمية السياحية .

١ - جمعية التخطيط - تقسيم مصر الى مناطق سياحية - مجلة جمعية المهندسين المصرية - العدد الثانى ١٩٨٨ م .

وهناك مقومات البيئة الحضرية من المناطق السياحية والمنتشرة على وادى النيل وخاصة بالقاهرة والجيزة والفيوم والمنيا وأسيوط وقنا والأقصر وأسوان والتي يقل تركيزها على سواحل البحر الأحمر والمتوسط . وتحتاج هذه المناطق إلى تنمية السياحة بها ومدها بالخدمات والمرافق التي تتطلبها حركة التنمية السياحية ، حيث تكمن امكانيات كبيرة ومتنوعة يمكن ان ينتج عنها عدة انماط سياحة مثل السياحة الثقافية التاريخية والسياحة الدينية والسياحة الترفيهية والرياضية وسياحة الشواطىء وسياحة الصحارى والواحات والسياحة العلاجية والسياحة العلمية (الفلورا والفونا) .

العوامل الدولية والمحلية المؤثرة فى التنمية السياحية :

بالرغم من التحسن الذى طرأ على عدد السياح القادمين إلى مصر ، الا ان نصيب مصر يمثل نسبة ضعيفة من السياحة العالمية (٤٥٪ عام ١٩٨٥) اذا قيس بنصيب كل من الدول المنافسة ، ويرجع هذا إلى تأثيرات عدد من العوامل الدولية والمحلية وانعكاساتها على التنمية السياحية فى مصر .

وتتمثل على المستوى الدولى فى أحداث الحروب والانقلابات والتوتر العسكرى والسياسى بمنطقة الشرق الأوسط ، وحالة الانكماش الاقتصادى وزيادة أزمات البطالة فى دول أوروبا الغربية والولايات المتحدة والتي تمثل المركز الأول بالنسبة للدول المصدرة للسائحين إلى مصر ، إلى جانب سياسة ضغط الميزانية التي اتبعتها الدول النفطية فى أعقاب تدهور الاسعار وآثارها فى انخفاض نصيب السياحة العربية من حركة السياحة إلى مصر . وقد أدى تحسين العلاقات السياحية والاقتصادية بين مصر وهذه الدول إلى تحسين ملموس فى الحركة السياحية إلى مصر من هذه الدول .

ثم تأتى العوامل المحلية وفي مقدمتها تركيز النشاط السياحي على مناطق تقليدية ذات كثافات عمرانية كبيرة مثل القاهرة والاسكندرية والأقصر وأسوان وعدم خلق مناطق جذب وانماط سياحية جديدة ، ونقص المرافق والخدمات الاساسية وخاصة فى مناطق التنمية السياحية الجديدة ، إلى جانب تعدد الجهات والهيئات التي يتصل عملها بالنشاط السياحي وعدم التنسيق بينها ، بالإضافة إلى القرارات والقيود المؤثرة على السياحة وخاصة الجوانب الاقتصادية والنقدية الغير مستقرة .

أما السياحة الداخلية فترجع اسباب تدهورها فى مصر إلى عدم كفاية الوعى السياحي ، وعدم العناية بالاماكن المحلية التي يسعى اليها السائح الداخلى ، وضعف الدخول إلى جانب ارتفاع الاسعار .

مجهودات الدولة فى التنمية السياحية :

قامت وزارة السياحة مع بعض بيوت الخبرة الاجنبية بعمل الدراسات التخطيطية للتنمية السياحية فى مصر ، وتمثلت مجهوداتها فى الخطة العشرية (٧٢ - ١٩٨٢) التي هدفت بصفة عامة الى اقامة تصنيع متكامل للقطاع السياحي للمساهمة فى التنمية الاقتصادية بوجه عام الا أن الخطة لم تحقق اهدافها ، وكانت معدلات انجاز الخطة فى اهدافها وحتى عام ١٩٨٢ ان بلغت نسبة

استراتيجية التنمية السياحية :

تكشف دراسة وتحليل الوضع السياحي الحالي سواء على مستوى الواقع أو من واقع الخطط القطاعية للسياحة أن مناطق التنمية السياحية الجديدة والمواقع السياحية المطروحة للاستثمار لم يواكبها وضع خطة شاملة للتنمية السياحية ، وهناك العديد من التناقضات وتداخل الاختصاصات بين الجهات والسلطات المتداخلة في عملية التنمية السياحية والتي تتمثل في الحكم المحلي ووزارة التعمير وهيئاتها وهيئة العامة للاستثمار والمناطق الحرة إلى جانب وزارة السياحة مما يؤثر على تنمية المناطق السياحية . والافتقار إلى سياسة ثابتة لاستغلال والتصرف في الأراضي ملكية الدولة والخاضعة لوزارة السياحة والمراد إقامة مشروعات سياحية عليها مما يؤدي إلى استغلال بعض المناطق بما يتعارض مع متطلبات التنمية السياحية المستقبلية ، أما تصور تقسيم الجمهورية إلى تسعة أقاليم سياحية ، فلم يراعى فيه تجانس الوحدات المساحية للأقاليم السياحية بما يؤدي إلى صعوبة تنميتها وإدارتها سياحيا ، إلى جانب عدم مراعاة تكامل الأنشطة الاقتصادية والاجتماعية والعمرانية وتوازنها في إطار الأقاليم السياحي الواحد ، كما يمكن القول أن تقسيم مصر إلى أقاليم سياحية طويلة يؤدي إلى عدم تنمية المناطق الصحراوية الغير مأهولة والتي تحتاج إلى تقسيم عرض للجمهورية حتى يمكن تنميتها .

ومن هنا كان من الضروري إعادة النظر في التصور الشامل لأقاليم التنمية السياحية بقصد الاستغلال السياحي للأماكن الكامنة للبيئة الطبيعية المتوافرة بالأقاليم التي تمتاز بالتنوع ولانماط السياحة المناسبة في نسق متكامل بهدف إقامة تصنيع متكامل للقطاع السياحي لكي يصبح أحد الموارد الرئيسية للنقد الاجنبي .

وفي ضوء ذلك روعى في التصور المقترح لتقسيم الخريطة السياحية لمصر إلى أقاليم تحقق الاسس التالية :

- الخطط القطاعية للسياحة والخطط الإقليمية المعتمدة لبعض الأقاليم مثل إقليم الساحل الشمالى وإقليم ساحل البحر الأحمر وإقليم سيناء وإقليم القناة وبحيرة السد .

- الوحدة الجغرافية والطبيعية للأقاليم إلى جانب التكامل الاقتصادي والتجانس الاجتماعى فى إطار الأقاليم الواحد ، مع مراعاة المداخل البحرية والبرية للأقاليم حتى يمكنها استقبال حركة السياحة الخارجية .

- الامكانيات الكامنة لهياكل البنية الأساسية الحالية والمخططة إلى عام ٢٠١٠ كالمرافق والخدمات الأساسية والموانىء والمطارات .

- مراعاة توزيع الخدمات الادارية وتطبيقها مع التقسيمات الادارية ومتطلبات خطط التنمية الشاملة مع العوامل المختلفة المؤثرة لمناطق الأقاليم المختلفة .

- مراعاة وقوع الأقاليم السياحية على محاور المواصلات الإقليمية مما يسهل عمليات التنمية .

- وجود مراكز عمرانية سياحية تمثل أقطاب تنمية سياحية رئيسية إلى جانب بعض المراكز التي يمكن اعتبارها أقطاب تنمية فرعية بما تملك من بعض المقومات والامكانيات والتسهيلات السياحية .

- مراعاة ايجاد علاقة تكاملية لمناطق التنمية السياحية الجديدة والمواقع المطروحة للاستثمار السياحي سواء على مناطق ساحل البحر الأحمر وفى الساحل الشمالى أو فى سيناء مع النمط الحالى التقليدى .

- التنمية المستقلة للأقاليم ككل باعتباره اقليم مستقل يشكل انماط متكاملة من الرحلات السياحية الثقافية والترفيهية والشاطئية وغيرها ويعتمد على نفسه مستقبلا لخلق قاعدة اقتصادية اجتماعية تدفع بعمليات التنمية فى الأقاليم بشكل متكامل .

وتقسم الخريطة السياحية المقترحة مصر إلى سبعة أقاليم سياحية رئيسية متجانسة مساحيا تشمل كل منها مناطق فرعية تضم من المقومات والامكانيات السياحية ما ينتج عنه عدة انماط سياحية متكاملة وفقا للعوامل المختلفة المؤثرة على التنمية السياحية بكل منطقة .

إقليم القاهرة

ويضم محافظات القاهرة والجيزة وجزء من محافظة القليوبية ، ومحافظات السويس والاسماعيلية وبورسعيد ، ومحافظات الفيوم وبنى سويف .

ويمتاز الإقليم بوجود القاهرة أهم مركز حضري بالجمهورية ، إلى جانب الطابع البحرى الساحلى فى السويس والاسماعيلية وبورسعيد .

أما باقى التجمعات فذات طابع ريفى ويمتاز الإقليم بتنوع هيكله الاقتصادى من صناعات تحويلية وتعدى وبتنوع و زراعة وأنشطة بحرية وتجارية وخدمية ، كما يضم شبكة موانىء تمثل نوافذ على العالم الخارجى .

وتتمثل الامكانيات السياحية فى المناطق الاثرية الفرعونية والمزارات القبطية والاسلامية على وادى النيل بمنطقة القاهرة والجيزة والفيوم ، إلى جانب الشواطىء الممتدة على خليج السويس والبحر المتوسط .

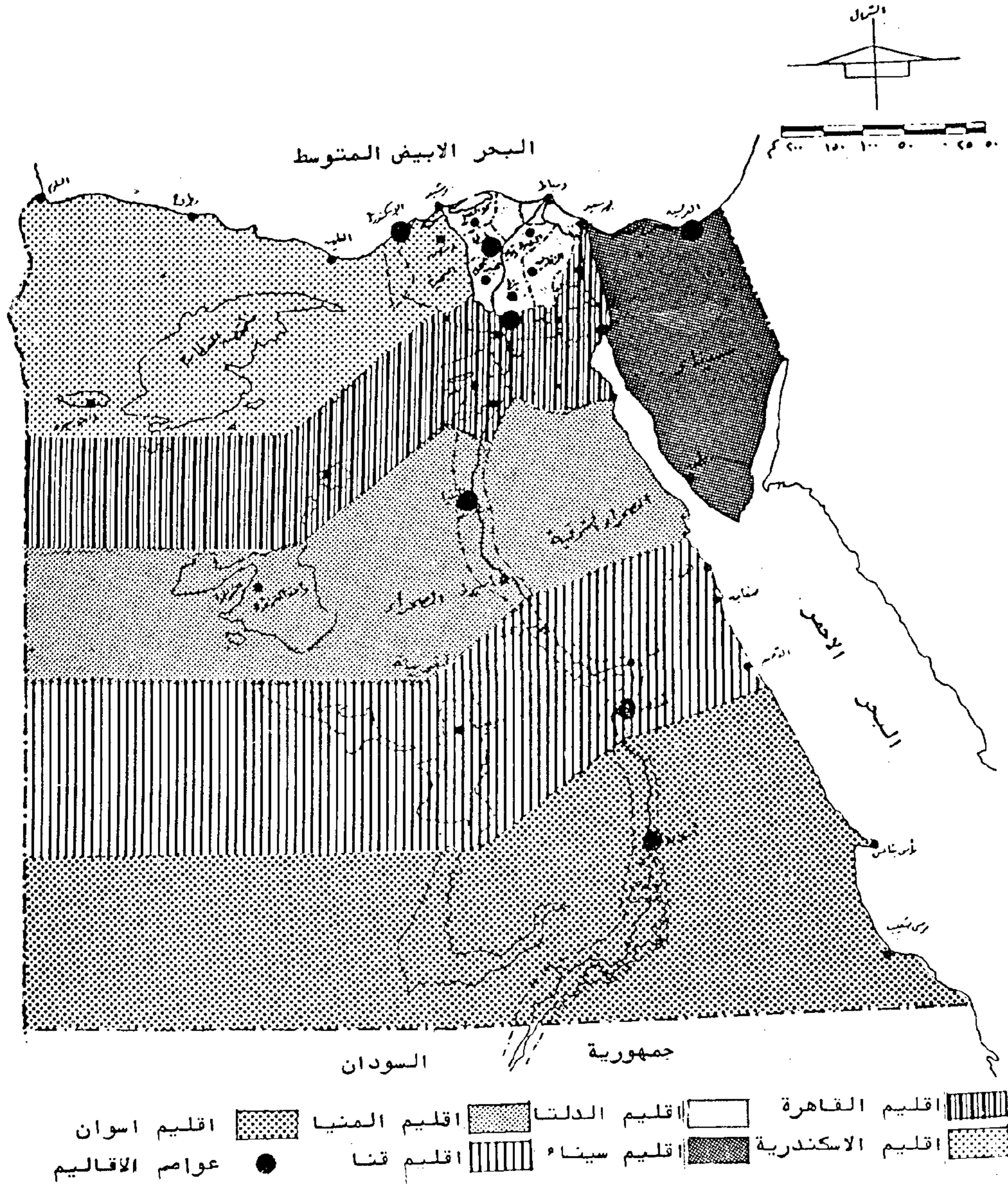
والإقليم عاصمته القاهرة وينقسم إلى ثلاثة مناطق فرعية :

منطقة القاهرة الكبرى :

شاملة القاهرة عاصمة الإقليم والجيزة وجزء من محافظة القليوبية ، ويتمثل نشاطها الاساسى فى السياحة الثقافية والتاريخية والدينية والسياحة الترفيهية وسياحة المؤتمرات والسياحة العلاجية .

منطقة قناة السويس :

شاملة السويس والاسماعيلية وبورسعيد ، ونشاطها الاساسى



الابيض فالساحل يمتد في انسياب طبيعي وتكامل بين اجزائه من الاسكندرية حتى الحدود الليبية .

وبينة الاقليم بيئة حضارية وزراعية وصحراوية ، ويتكامل هيكلها الاقتصادي ويتنوع حيث النشاط الصناعي والبحري والتجاري والسياحي بالاسكندرية ، والزراعي والصناعي بالبحيرة .

والمقومات السياحية تتمثل في مناطق الاثار الفرعونية واليونانية والرومانية والقبطية والاسلامية والمعاصرة التي تتركز في الاسكندرية والمناطق السياحية الشاطئية على البحر الابيض في رشيد والاسكندرية والساحل الشمالى الغربى حتى السلوم ، إلى جانب الطابع البدوى في واحة سيوه .

يتمثل في السياحة الشاطئية والترفيهية والرياضية والسياحة الثقافية إلى جانب استغلال المناطق الغنية بوجود المياه المعدنية والدافئة في السياحة العلاجية .

منطقة الفيوم :

تضم بنى سويف والفيوم شاملة بحيرة قارون التي يمكن استغلالها للسياحة الشاطئية الداخلية والسياحة الترفيهية إلى جانب بعض المزارات للسياحة الثقافية والسياحة العلاجية .

اقليم الاسكندرية :

ويضم محافظات الاسكندرية والبحيرة ومطروح ، ويعتبر اقليم مطروح الامتداد الطبيعي لاقليم الاسكندرية غربا على ساحل البحر

والاقليم عاصمته الاسكندرية وينقسم إلى ثلاث مناطق سياحية
رعية :

منطقة الاسكندرية ورشيد :

يتمثل نشاطها فى سياحة اثرية وتاريخية وثقافية إلى جانب
لأنشطة الأخرى كسياحة المناسبات والمؤتمرات والسياحة
لشاطئية .

منطقة الساحل الشمالى الغربى :

يتمثل نشاطها فى المزارات الشاطئية والترفيهية والرياضية
والعلاجية طبقا لمقومات مناطق المختلفة فى المراكز المنتشرة به .

منطقة سيوه :

ويشمل نشاطها مزارات للسياحة العلمية (الفلورا والفونا)
والسياحة الواحية كسياحة المغامرات والانتجاع والسياحة العلاجية
والاستشفاء .

أقليم الدلتا :

ويضم محافظات الدلتا كفر الشيخ ودمياط والدقهلية والشرقية
والغربية والمنوفية والقليوبية فى الجنوب شمال أقليم القاهرة .

ويتميز الاقليم بأراضى سهلية زراعية ، وموقعه المناخى الشبيه
بالبحر الابيض المتوسط ، ويتميز بالبيئة الزراعية والتصنيع
الزراعى ويعتبر من أقل الاقليم جذبا لحركة السياحة الدولية
والاقليمية .

وتتمثل الامكانات السياحية الثقافية فى بعض الآثار المتناثرة
الفرعونية والقبطية والاسلامية بكفر الشيخ ودمياط والدقهلية
والغربية ، وتتركز المناطق السياحية فى المدن التى تضم المزارات
الدينية فى طنطا ودسوق والمصايف البحرية على ساحل البحر
الابيض فى رأس البر وبلطيم وسواحل بحيرة البرلس والمنزلة .

والاقليم عاصمته طنطا ويضم ثلاث مناطق فرعية سياحية :

منطقة الساحل شمال الدلتا :

وتضم دمياط وكفر الشيخ ، ويشمل نشاطها السياحة الشاطئية فى
جمصة ورأس البر وبلطيم وسواحل بحيرة البرلس والمنزلة ، إلى
جانب المزارات الثقافية والتاريخية والدينية .

المنطقة الوسطى :

وتضم الغربية والدقهلية والشرقية ويتركز نشاطها فى سياحة
الآثار والسياحة الثقافية والدينية .

المنطقة الجنوبية :

وتضم المنوفية والقليوبية ، ويشمل نشاطها السياحة الثقافية
والأنشطة السياحية الأخرى كسياحة المهرجانات والمعارض
والسياحة الدينية والرياضية .

أقليم سيناء :

ويضم محافظات سيناء الشمالية والجنوبية ويمثل حوالى ٦٪ من
مساحة مصر ويستأثر بنحو ٣٠٪ من سواحلها .

وتتمثل المقومات السياحية فى الاقليم فى المناطق الاثرية التى
تمثل جميع العصور فرعونى ويونانى ورومانى وقبطى واسلامى
وحديث ، إلى جانب تنوع مظاهر السطح وامتداد وتنوع سواحلها
الثلاثة بالاضافة إلى بحيرات الشمال والشمال الغربى مما يعطى
فرصة لتعدد انماط الاستغلال السياحى .

والاقليم عاصمته العريش وينقسم إلى ثلاثة مناطق سياحية
فرعية :

منطقة الساحل الشمالى :

ويتنوع نشاطها بين سياحة ترفيهية وترويحية وسياحة استجمام
وسياحة اصطياف وسياحة علاجية .

منطقة ساحل خليج العقبة :

تسمح بانماط متعددة للسياح تتمثل فى السياحة الترفيهية (سياحة
الاجازات) ، والسياحة الرياضية بما يتيح الرياضيات المائية مع
اختلاف انواعها والسياحة العلمية وسياحة المغامرات لما تتيحه
تضاريس المنطقة من طبيعة خلابة تمتاز بالتباين هذا إلى جانب
السياحة الثقافية والتاريخية .

منطقة ساحل خليج السويس :

ويتمثل نشاطها فى السياحة الترفيهية والرياضية وسياحة
الشواطىء والسياحة الواحية إلى جانب السياحة الدينية والثقافية
والتاريخية والسياحة العلاجية .

أقليم المنيا :

يضم محافظات المنيا واسيوط والجزء الشمالى من الصحراء
الشرقية حتى ساحل البحر الأحمر - الجزء الشمالى من الوادى
الجديد ، كما يضم الواحات البحرية والفرافرة .

ويعتبر الأقليم ثالث منطقة أثرية بعد منطقة الأقصر والجيزة
ويشمل مجموعة متكاملة من المزارات السياحية فى المنيا وأسيوط
من آثار فرعونية واغريقية ورومانية ، بالاضافة إلى مجموعة من
الاديرة الاثرية الدينية والمزارات الاسلامية والابار والعيون العادية
والمعدنية فى الفرافرة والنى يمكن استغلالها فى الأغراض السياحية
المختلفة .

والاقليم عاصمته المنيا وينقسم الى اربعة مناطق فرعية .

منطقة المنيا

وتضم مدينة المنيا عاصمة الأقليم والمراكز السياحية تل العمارنه
وبنى حسن والاشمونيين ، ويتمثل نشاطها الاساسى فى مزارات
السياحة الثقافية والآثار .

منطقة أسبوط

وتتضمن المراكز السياحية أسبوط، والبدارى ومنفلوط ويشمل نشاطها مزارات للسياحة الثقافية والآثار .

منطقة الفرافرة

وتشمل مزارات للسياحة العلاجية ومراكز لسياحة المغامرات والاستشفاء بخلاف العادات والتقاليد ، ويمكن تنمية مناطقه السياحية لانماط سياحية جديدة على مناطق الآبار والعيون المعدنية .

منطقة ساحل البحر الاحمر

وتتضمن المراكز الرئيسية الزعفرانه ورأس غارب ويشمل مناطق لسياحة الشواطىء وتعتمد على التخصص سياحيا حسب امكانيات وطابع المنطقة .

اقليم قنا

يتكون من محافظتى سوهاج وقنا والمنطقة الوسطى من الصحراء الشرقية حتى ساحل البحر الاحمر ، ومن الوادى الجديد يضم مدينة الخارجة والواحات الداخلة .

وتتركز فيه المناطق الاثرية الفرعونية على شكل مجموعات حول وادى النيل فى منطقة الأقصر وابيدوس بمحافظة قنا ، إلى جانب بعض الآثار بالواحات الداخلة والمزارات الدينية القبطية والاسلامية فى سوهاج والأقصر والواحات ، كما يتميز بواجهة عريضة على ساحل البحر الأحمر ذات طابع متميز فى الغردقة . بالإضافة الى العيون والآبار المنتشرة بالصحراء الشرقية .

وعاصمة الأقليم الأقصر وينقسم إلى أربعة مناطق سياحية فرعية هى :

منطقة ساحل البحر الأحمر

وتتضمن المراكز السياحية الغردقة وسفاجا وتعتبر سواحل ذات طابع متميز يمكن انتشار السياحة الدولية والمحلية عليها ، وتتميز بتعدد امكانياتها فى السياحة الشاطئية والعلاجية والصيد والغوص .

منطقة الأقصر

وتتضمن العاصمة السياحية الأقصر والمراكز السياحية مندرة وابيدوس واسنا ، وتشمل مزارات للسياحة الثقافية والآثار وسياحة المؤتمرات .

منطقة سوهاج

وتتضمن المراكز السياحية سوهاج واخميم وتتركز بها مزارات للسياحة الثقافية والسياحة العلاجية على آبار المياه المعدنية .

منطقة الخارجة

وتشمل المراكز السياحية الخارجة والداخلة وتعتبر مزارات للسياحة الثقافية والعلاجية باستغلالها المناخ فترة الشتاء .

اقليم اسوان

ويشمل محافظة اسوان حتى الحدود الجنوبية المتاخمة للسودان وجنوب الصحراء الشرقية حتى ساحل البحر الاحمر ، ويعتبر الاقليم من اجمل المشاتى المصرية ، كما يتميز بالعديد من المناطق السياحية المتمثلة فى مناطق الآثار الفرعونية والقبطية والاسلامية والمعاصرة الى جانب الواجهة العريضة على ساحل البحر الاحمر بالإضافة إلى سواحل بحيرة ناصر والمناظر الطبيعية الجميلة المتمثلة فى المسطح المائى الضخم والتباين الطبوغرافى .

ويقسم الاقليم إلى ثلاثة مناطق فرعية :

منطقة ساحل البحر الاحمر

وتتضمن المراكز السياحية رأس بيناس ومرسى شيب ، ويتمثل نشاطها فى سياحة الغوص والصيد والرياضيات المائية بخلاف التصوير تحت الماء ، ودراسة الحيوانات والنباتات البحرية المتوفرة بالمنطقة إلى جانب استغلالها مناخيا فى السياحة العلاجية .

منطقة أسوان

وتتضمن العاصمة السياحية مدينة اسوان ، وتتميز بالعديد من عوامل الجذب من مناطق أثرية ومعاصرة شهيرة ويتمثل نشاطها فى السياحة الثقافية ويمكن استغلالها مناخيا فترة الشتاء فى تنمية السياحة العلاجية .

منطقة بحيرة ناصر

وتشمل مزارات للسياحة الثقافية والآثار ، كما يمكن استغلالها مناخيا فترة الشتاء وفى تنمية السياحة العلاجية .

السياسة المقترحة لتنمية المناطق والمواقع السياحية الجديدة بالاقليم

توفر بعض السواحل المصرية العديد من المواقع الصالحة للاستغلال السياحى ، فهناك العديد من المناطق تتوفر فيها المقومات والامكانيات السياحية التى يمكن على اساسها استحداث انماط سياحية جديدة ، وتتمثل فى سواحل البحر الأحمر وخليج السويس وخليج العقبة والعريش تصلح للتنمية كمراكز سياحية ذات نوعية مرتفعة عالميا فى اطار التصور الشامل لاقليم التنمية السياحية واستراتيجية تنميتها وطبقا للخطة القومية .

وتأتى التنمية السياحية باستغلال الظروف الطبيعية وطبيعة المواقع المتميزة والصالحة للاستغلال فى العمليات السياحية لتقديم منتج سياحى مصرى ومرغبات سياحية جديدة لاستقطاب جزء كبيراً من السياحة الترفيهية الدولية والمحلية وذلك من خلال :

- ربط المنطقة بمناطق السياحة الثقافية والتاريخية ومزجها بالسياحة الترفيهية ، والاستفادة من المحددات والامكانيات الطبيعية المتاحة للمنطقة والتكامل معها .

- استغلال الشاطىء وتوفير عناصر الراحة والاستجمام وامكان الإقامة المناسبة لنوعية السائحين .

- المحافظة على نوعية البيئة التي تشكل المصدر الرئيسى لهذه المناطق .

- توفير وإتاحة التعرف على البيئة المصرية وإمكانياتها وتاريخها خلال نماذج بيئية من فولكلور شعبى وصناعات حرفية قائمة على استغلال ماهو متاح فى البيئة المصرية .

ومن خلال تنمية ثقافية وسياحية واقتصادية بهذه المنطقة وتطوير وتنمية البيئة العامة وخلق انوية جذب ومحاور أنشطة متعددة تقوى القاعدة الاقتصادية بما يحقق استقرار اقتصادى بها يساهم فى استمرار وتقوية نمو المنطقة الى جانب تهيئة المناخ المناسب لجذب وتشجيع الاستثمارات المحلية والاجنبية لتحقيق التنمية السياحية والاقتصادية المتكاملة ، وتوجيه الاستثمارات لاستغلال الامكانيات الطبيعية المتاحة للمنطقة .

وتتمثل عملية التنمية المقترحة فى هذه المناطق على المستوى الاقليمى والقومى من خلال انشاء وتنمية مراكز سياحية بهذه المناطق بما يناسب ظروفها المحلية والاقليمية فى محاور خارج الوادى والدلتا تهدف استغلال كافة الامكانيات والمقومات السياحية ، بالإضافة إلى أهمية ذلك على المستوى الاقليمى من تعدد المراكز السياحية وتنوع الاختيارات بين انماط السياحة وتكاملها معا مما يحقق جذب سياحى مناسب .

والتنمية المقترحة لهذه المنطقة المقصود بها الوصول إلى أقصى استغلال ممكن لامكانيات البحر وامكانيات الموقع وامكانيات البيئة الصحراوية والجبلى المحيطة بالإضافة إلى المزارات المتعددة المحيطة بالموقع ، والوصول بهذه الامكانيات إلى الاستغلال الأمثل والذي تكون فيه جميع مكونات المنطقة وحدة واحدة متكاملة وبدون أن يؤثر ذلك على البيئة ، بمعنى آخر فان القيمة الشاملة المقترحة لمثل هذه المواقع تركز على التنمية السياحية الشاملة والتي نصل فيها إلى أقصى اشغال ممكن ليوم السائح وامكانية الاحتفاظ بالسائح لمدة إقامة أطول .

فهناك بعض المناطق والتي تتمتع بمميزات متعددة كالمناطق الوسطى لساحل البحر الاحمر شمال وجنوب الغردقة والتي تعتبر ركيزة هامة واساسية للسياحة الترفيهية فى مصر سواء فى ذلك للسياحة الدولية أو المحلية ، حيث تمتاز بامكانيات بحرية هائلة تتمثل فى شواطئها والشعب المرجانية النادرة بما يتيح فرصا هائلة للسياحة الترويحية بصفة عامة والرياضة المائية على اختلافها ورياضة الغوص بصفة خاصة ، كما تمتاز بالحياة البرية والبحرية التى تتيح السياحة العلمية ، إلى جانب تمتعها بخصائص مناخية متميزة من حيث الحرارة والرطوبة وسقوط الامطار والتي يمكن استغلالها فى السياحة العلاجية والاستشفاء .

وفى ضوء التنمية الشاملة يمكن تصنيف العناصر المقترح توظيفها بالمنطقة إلى :

القرى الشاطئية

وتقع على الشاطئ مباشرة فى النطاق الأول للرؤية ويتوافر فيها انواع الاسكان السياحى والفندقى وتشمل اسكان فندقى وشاليهات وكباين للرواد السائحى الاجانب .

وتعتبر السياحة النشاط القائد بهذه المنطقة وذلك لسرعة نموه بشكل متميز عن باقى الأنشطة بالإضافة إلى اسهامه فى خلق أنشطة مكملية والتي تحقق هدف رئيسى لتنمية هذه المناطق ، مما يجعلنا نفكر فى اسلوب جديد للتنمية يعتمد على الموارد الطبيعية والبشرية المتاحة بجانب التنمية السياحية المقترحة لتوظيف هذه المناطق ، فاللتنمية السياحية تعتمد فى النشاط الأول على الشاطئ وما يتيح من امكانيات متعددة لاستغلال وجذب السائحى إليه .

مراكز شاطئية متخصصة

لاعطاء المنطقة طابع متميز من خلال وجود منطقة على امتداد الساحل تتميز بتوافر أنشطة متغيرة ومتعددة لتلبية احتياجات الزوار من ترفيه وثقافة وعلاج ورياضة بشكل متميز ، وامكانية خلق وتنمية الساحل بشكل سريع وذلك بوجود هذا النشاط المتميز مثل مراكز أنشطة علاجية واستشفاء ، أنشطة ثقافية وترفيهية ، خدمات فندقية لتوفير الإقامة الفندقية ، ومركز للأنشطة البحرية لمزاولة الغوص والصيد والسباقات والرحلات البحرية ، ومركز للأنظمة الرياضية يشمل ملاعب تنس وجولف وركوب الخيل .

وطبقا لامكانيات الشاطئ والمعدلات المستخدمة فى المراكز العمرانية السياحية سوف يستوعب النشاط الرئيسى قدر محدود من الناس لايتناسب مع امكانيات الأرض المتاحة .

القرى السياحية الاستثمارية

وهى قرى تقسيم أراضى بهدف إتاحة قطعة مناسبة من الأراضى لتلائم ظروف السياحة الداخلية بتوفير مناطق سكنية سياحية علتها .

ويساعد خلق أنشطة اقتصادية متعددة مساعدة له على خلق فرص عمل اضافية بالإضافة إلى توفير جزء من الاحتياجات ، وتعتبر الزراعة أحد الأنشطة المساعدة الرئيسية وذلك باستغلال مساحات الأراضى التى لايمكن استغلالها وتتمثل فى مخزات السيول ، لتوفير جزء من احتياجات المنطقة إلى جانب تحسين الظروف المناخية وتوفير فرص عمالة زراعية ، هذا بالإضافة إلى اختيار بعض الصناعات الخفيفة القائمة على المنتجات الزراعية والمنتجات البحرية لسهولة تمويلها واعتمادها على تكنولوجيا غير متقدمة وعليه يمكن إقامة الصناعات الحرفية والبيئية بالمنطقة بما يتناسب مع

مخيمات ومعسكرات ومناطق كرفانات

وهى مساحات من الأرض المخصصة لاسكان المخيمات تزود بكافة الخدمات والمرافق .

قرى الأنشطة البيئية

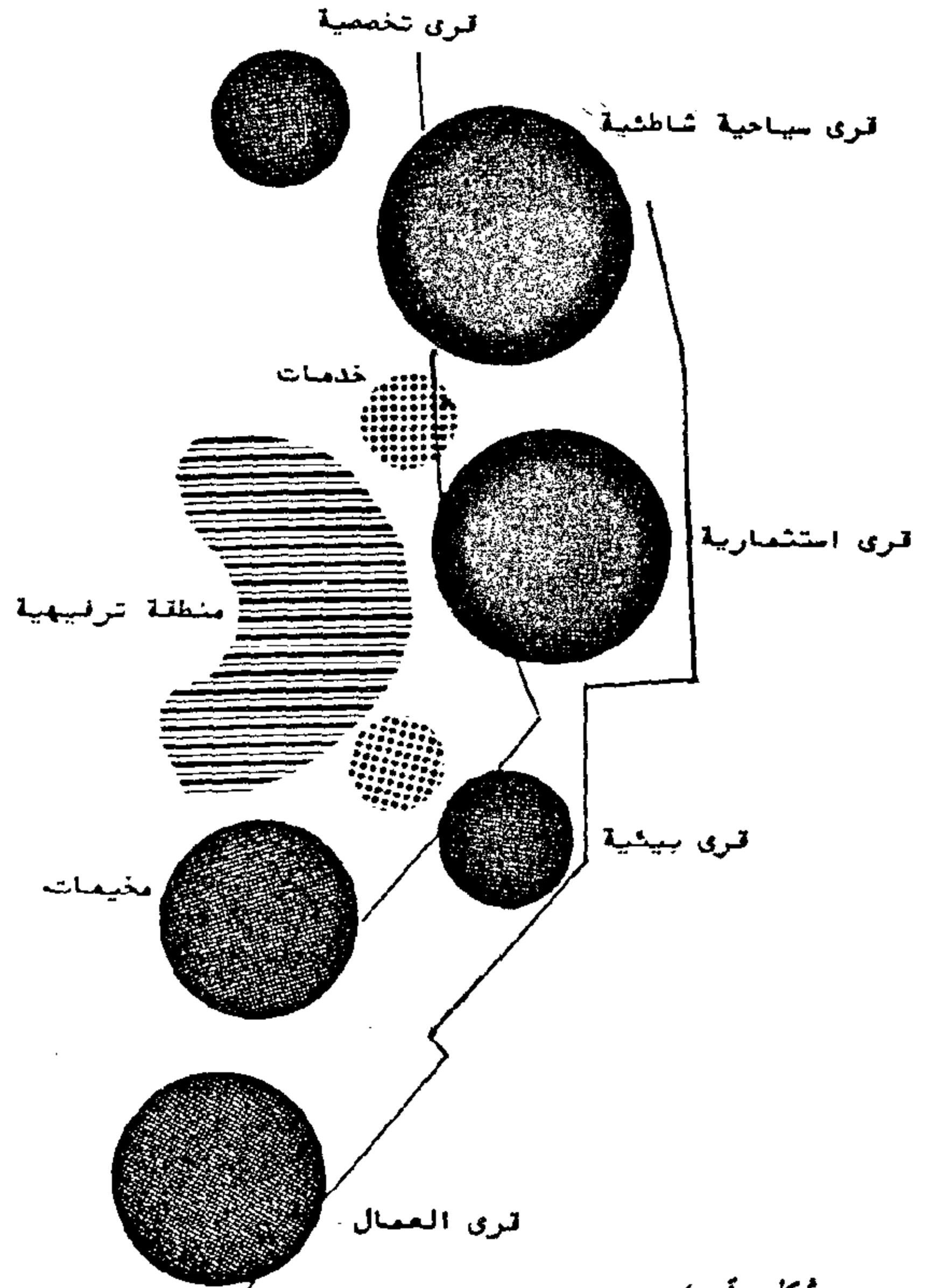
وهي قرى لاقامة العاملين في مجال الأنشطة البيئية والحرفية ، وتعتبر اضافة الأنشطة البيئية احد العناصر الرئيسية التي تستقطب حركة السائحين ، وذلك بهدف التعرف على الحياة والثقافات والعادات والتقاليد المتعددة للشعوب المختلفة ، إلى جانب بعض الصناعات الحرفية والبيئية .

قرى العمال

وهي قرى لاقامة العاملين في مجال الخدمات السياحية التي تستوعب العاملين في المجال الزراعي أو الحرف أو الصناعات الخفيفة والخدمات المركزية .

الأنشطة الترفيهية والرياضية

ويراعى فيها أن تحقق رغبات السائحين بالقدر الكافي ، بما يعطى فرص لاقامة الأنشطة الرياضية التي تحتاج لمساحات كبيرة تناسب رغبات السائحين كركوب الخيل والجولف بحيث تعطى هذه المساحة التنوع الكافي لمثل تلك الأنشطة .



شكل رقم ٤

العناصر المقترحة لتوزيعها بمحاور الحركة الرئيسية على الشاطئ

ويتم توزيع هذه العناصر على محاور الحركة الرئيسية المتعامدة على الشاطئ بحيث يتم وضع كل العناصر التخطيطية اللازمة لتكامل الحياة داخل هذه المنطقة على هذا المحور حيث يعتبر كل محور مشروع قائم بذاته ويضم السياحة الشاطئية والاستثمارية

والبيئية والعمالية بالإضافة إلى مساحات من الأرض الزراعية والاحتياجات من المرافق والخدمات . مع الفصل بين العناصر المكونة لكل محور من قرى سياحية واستثمارية وبيئية وعمالية وذلك من خلال خلق أنشطة وخدمات مركزية موزعة على طول المحور ، والتي تحقق توفير الخدمة بالإضافة إلى تأكيد الاستقلالية لكل منطقة على امتداد المحور .

وتحقق فكرة المحور توفير الخصوصية وسهولة الوصول للشاطئ وسهولة الوصول لمركز الخدمات وقوة التكامل الداخلي والتي تحقق مجتمعة زيادة مدة الاقامة للسائح ، ذلك إلى جانب الاقتصاد في تزويد الخدمات والمرافق وما تتيحه من استغلال لعمق الشاطئ وسهولة التحكم في تنميته .

الخلاصة والتوصيات

اظهرت الدراسة ان مصر تتمتع بتوافر مقومات السياحة المتمثلة في ثروتها التاريخية والحضارية بخلاف مقوماتها الطبيعية ، ورغم هذه المقومات الا ان النشاط السياحي في مصر لا يتناسب مع تطور حركة السياحة العالمية نتيجة لظروف متعددة داخليا وخارجيا ، ويتطلب الامر استغلال المقومات السياحية المتاحة من خلال تقسيم مصر إلى اقاليم متكاملة نوعيا ومتزنا حجما ، والتي تنقسم بدورها إلى اقاليم فرعية اصغر حتى مناطق التنمية وفق الخطة القومية للتنمية بما يؤدي إلى احكام خطة التنمية السياحية ، بحيث يحقق كل اقليم منها المستهدف من خطة التنمية السياحية وتحقيق الاستغلال الامثل للامكانيات والموارد السياحية والتي لم يتح لها التشغيل الاقتصادي ، وتحديد وتوجيه خطط وبرامج التنمية للمناطق التي توفر انماط سياحية جديدة وتنوعية والتي تنفرد كل منها بمقومات وامكانيات وخصائص سياحية خاصة تحدد اسلوب تنميتها .

ولتحقيق ماسبق من أهداف نجد أنه من الضروري - تعديل اختصاصات المجلس الأعلى للسياحة وتقوية صلاحياته بما يمكنه من القيام بدوره في وضع السياسة القومية للتنمية السياحية بمصر طبقا لخطة التنمية الاقتصادية والاجتماعية في نطاق الخطة القومية الشاملة للدولة وعلى اساس التقسيم لاقاليم سياحية .

- تقسيم الجمهورية لاقاليم سياحية متجانسة ، على أن تتكامل وتتتنوع الانماط السياحية في اطار الاقليم الواحد ، كما تتكامل وتتوازن الأنشطة الاقتصادية والاجتماعية والعمرانية في داخلها .

- على المستوى الاقليمي تشكيل هيئة تنمية سياحية لكل اقليم تتولى وضع وتنفيذ خطة التنمية الاقليمية للسياحة ومتابعتها وفق الظروف المتاحة في اطار خطة التنمية السياحية القومية .

- في الاقاليم الفرعية السياحية ينشأ بكل منها أجهزة محلية للتنمية السياحية لوضع وتنفيذ خطة التنمية طبقا لسياسة التنمية السياحية الاقليمية .

توفير اطار تشريعي متكامل وملائم لتنفيذ سياسة التنمية السياحية ، يشمل كافة الضوابط والحدود والاختصاصات لكل الهيئات والاجهزة

المتصلة بالتنمية السياحية في الاقاليم ، و اعلان سياسة ثابتة للاستغلال والتصرف في الاراضى ملكية الدولة والخاضعة لولاية وزارة السياحة قانونا ويراد اقامة مشروعا سياحية عليها .

- ضرورة البدء فى تطوير وتنمية المناطق السياحية الحالية والمراكز الرئيسية للجذب السياحى الجديدة بالاقاليم التخطيطية السياحية واستغلالها لتقديم منتج سياحى جديد فى اطار تنمية الاقليم السياحى .

- استكمال وتوفير البنية الاساسية والخدمات السياحية للتجمعات السياحية الجديدة والارتقاء بها فى المراكز السياحية التقليدية وطبقا لخطط التنمية النوعية المختلفة بالاقاليم .

- الاهتمام والتركيز على الخطط الدعائية والتسويقية للمنتج السياحى بالاقاليم التخطيطية طبقا للمقومات السياحية المستحدثة على المستوى الدولى والاقليمى .

المراجع

- د . صلاح الدين عبد الوهاب : التخطيط السياحى - الهيئة المصرية العامة للكتاب (١٩٧٩) .

- « ساتيك » التخطيط الاقليمى لمحافظة البحر الاحمر ، التقرير النهائى ، الجزء السادس (١٩٨٦) .

- محافظة الاسكندرية : التخطيط الشامل للاسكندرية ٢٠٠٥ - التقرير العام - يناير (١٩٨٤) .

- محمود كامل : السياحة الحديثة (علما وتطبيقا) - الهيئة المصرية العامة للكتاب (١٩٧٥) .

- مصطفى زيتون : دراسات فى الاحصاء السياحى - القاهرة - الدار القومية للطباعة والنشر (١٩٦٥) .

- جيمس بيكى : الآثار المصرية فى وادى النيل / دار الكرنك / الجزء - الأول والثانى .

- وزارة السياحة : تطور الحركة السياحية - ادارة الاحصاء / الدراسات الاحصائية (١٩٨٨) .

- وزارة السياحة : نشرات البحوث السياحية .

- وزارة السياحة : خطة التنمية السياحية العشرية (١٩٧٢) - (١٩٨٢) .

- ا . د . عبد الله عبد العزيز - تجربة التجمعات السياحية فى مصر - المؤتمر الرابع للمعماريين فى مصر ١٩٨٨ م .

قانون التخطيط العمرانى

أ. د. أحمد خالد علام

صدر قانون التخطيط العمرانى رقم ٣ عام ١٩٨٢ ثم صدرت لائحته التنفيذية - والآن بعد عشر سنوات من صدور هذا القانون تشكلت لجنة بوزارة الاسكان لتطوير وتعديل القانون ولائحته التنفيذية - والباحث عضو فى هذه اللجنة .

هذا القانون لم ينفذ حتى وقتنا هذا ، بمعنى آخر لا يوجد مخطط عام رسمى نشر بالوقائع الرسمية حسب مانص عليه هذا القانون لأى مدينة أو قرية مصرية ، وكل الجهود التى بذلت فى هذا المجال عبارة عن مخططات عامة جهزت لكثير من المدن المصرية توضح امتدادات المدينة ومخططات تفصيلية لهذه الامتدادات ، ولكن لم تسير أى مدينة فى القنوات الشرعية القانونية لاعتماد المخطط العام الخاص بها ونشره بالوقائع المصرية .

مرات آخرها قانون رقم ٤٣ عام ١٩٧٩ الذى عدلت بعض موادہ بعد ذلك بموجب قوانين منها على سبيل المثال القانون الصادر رقم ٥٠ لسنة ١٩٨١ الخاص بتعديل بعض المواد الخاصة بدور التنظيمات الحزبية .

وعقدت جلسة استماع بمجلس الشعب (لجنة الادارة المحلية) فى ديسمبر ١٩٩١ لاستطلاع الآراء والاقتراحات حول تعديل قانون نظام الادارة المحلية ودعى الباحث اليها .

وبالنسبة لتعديل القانون فى مجال العمران :

* ضرورة عودة نظام البلديات الذى كان سائدا قبل عام ١٩٦٠ وأن يكون هناك مديرا للبلدية يكون مسئولا أمام المحافظ ، عن شئون العمران من مياه وصرف صحى ونظافة وحدائق وتنظيم وتخطيط وتراخيص وكهرباء ورصف واعلانات ...

والآن على سبيل المثال فى محافظة القاهرة كل نشاط من هذه الأنشطة له هيئة عامة أو إدارة مسئولة أمام المحافظ .. ونتج عن هذا أن المحافظ أصبح مسئولا عن التنسيق بين أنشطة العمران المختلفة ...

* ضرورة أن تكون هناك شرطة مرافق تكون مسئولة أمام المحافظ تتلقى أوامرها منه حتى يمكن أن يصدر لها أوامر بايقاف المخالفات فوراً وعلى رأسها مخالفات تنظيم المباني .

* يجب أن تكون مسئولية هيئات التخطيط الاقليمى فى المحافظات عمليات التنمية الاقتصادية والعمرانية أيضاً وأن تتبع وزارة الحكم المحلى وليست وزارة التخطيط ، على أن تنسق وزارة الحكم المحلى بين عمليات التنمية الاقليمية الاقتصادية الواردة من وزارة التخطيط وعمليات التنمية العمرانية الواردة من وزارة الاسكان .

* انشاء مجلس أعلى للقاهرة الكبرى له شخصية اعتبارية ومستوى إدارى أعلى من مستوى المحافظة ويشرف على الكتلة العمرانية لمحافظة القاهرة ومدينتى شبرا الخيمة والجيزة .

ومن هذا يتضح أنه لا يمكن معرفة إيجابيات وسلبيات هذا القانون وأوجه القصور به والتى تظهر فقط فى حالة التطبيق .

سبق أن أرسلت الوزارة للمحليات (المحافظات) لابداء رأيها فى شأن تعديل القانون ، وكانت ردود جميع المحافظات بلا استثناء بعيدة عن مجال تحضير المخطط العام أو التخطيط التفصيلي ، وكانت معظم الملاحظات عن تقسيم الأراضى التى كان لها قانون خاص منذ عام ١٩٤٠ .

عند تحضير مشروع التخطيط العمرانى عام ١٩٨٠ وضع شيوخ المخططين فى ذلك الوقت مادة تنص على أنه بمجرد صدور قانون التخطيط العمرانى تقوم لجان التخطيط بالمدن والقرى فى ظرف ثلاث سنوات من التاريخ المذكور بتحضير المخططات العامة لهذه المدن والقرى .

ولكن اللجنة المشكلة لمراجعة مواد القانون رفضت هذه المادة ... وهذه المادة موجودة فى مشروع قانون تخطيط المدن والقرى الذى نشر بمجلة جمعية المهندسين المصرية العدد الثانى ١٩٧٨ .

حبذا لو أخذت وزارة الاسكان بهذه المادة وحددت فترة زمنية يتم خلالها عمل مخططات لجميع التجمعات العمرانية فى مصر ، يوجد بالمحليات خبرات لا حصر لها ظهرت عند عمل المسح الشامل لمحافظة مصر عام ١٩٧١ وما بعدها - كما ظهرت فى تجهيز مخططات عامة مبدئية لجميع القرى الأم (مقر الوحدات المحلية) فى السبعينات وكان رئيس هيئة التخطيط العمرانى فى ذلك الوقت مستشارا لجهاز بناء وتنمية القرية التى قامت بهذا العمل .

تعديل قانون الادارة المحلية

صدر أول قانون للادارة المحلية فى مصر عام ١٩٦٠ تحت رقم ١٢٤ ثم عدل عام ١٩٧١ باسم قانون الحكم المحلى ثم عدل عدة

القطاعات المتجانسة بإقليم القاهرة الكبرى

جمعية التخطيط العمراني*

تعد فكرة القطاعات المتجانسة من أهم دعائم خطة تنمية إقليم القاهرة الكبرى على المدى البعيد ، ويمكن تعريف القطاع المتجانس بأنه مساحة عمرانية متكاملة ومستقلة تنظيمياً وعمرانياً ، حيث تشمل على مقومات تنمية وخدمات لحوالي مليون نسمة في المتوسط ، مع توفير فرص عمل لما يقرب من ٨٠٪ من القوة العاملة داخل حدود كل قطاع تحقيقاً للا مركزية كما سيلي تفصيلاً .

ومنهج القطاعات المتجانسة يعتبر بذلك أداة للارتقاء بالنسيج العمراني الحالي من خلال تقسيم الكتلة العمرانية للقاهرة الكبرى إلى عدد من المساحات المتكاملة التي يتم ربط كل منها وتكاملها مع أحد أو بعض التجمعات الجديدة حول الطريق الدائري .

وفي إطار الاستراتيجية التي بنى على أساسها المخطط الهيكلي لإقليم القاهرة الكبرى ، تم تقسيم الكتلة العمرانية والمواقع الصحراوية والزراعية المتاخمة لها بالإقليم إلى ستة عشر قطاعاً متجانساً ، حيث أمكن من خلال ذلك تحديد المشاكل والتعرف على مقومات التنمية الكامنة بكل قطاع ووضع خطة عامة للتنمية به ، تحقيقاً لخلخلته ولخفض الكثافات السكانية ولتحسين الخدمات والظروف البيئية والمعيشية للسكان .

القطاع يعتبر مركز إشعاع حضارى يمثل كافة مراحل التطور التاريخي لأكبر تجمع حضري بإفريقيا والشرق الأوسط ويشتمل على مناطق القاهرة التاريخية بدءاً بالفسطاط وإنهاءً بجاردن سيتي ، ويضم المركز التجارى الرئيسى مثلث التحرير - رمسيس - العتبة ، إضافة إلى جاردن سيتي منطقة الوظائف المركزية على المستوى القومى ، والقاهرة الإسلامية التي تمتد من سفوح شرق المركز التجارى وبها منطقة التجارة التقليدية والحرف اليدوية وأيضاً جامعة الأزهر والقلعة والمباني الإسلامية والقاهرة القديمة فى اتجاه الجنوب مع بقايا العصر المسيحى ، وهى منطقة إسكان وصناعات حرفية لمحدودى الدخل إضافة إلى الإمتداد العمرانى فى الشمال الشرقى فى اتجاه العباسية وهى حديثة المنشأ ، ومنطقة الزمالك حيث مساكن ذوى الدخل المرتفعة والخدمات المتميزة (سفارات - أندية) .

- والمشاكل الرئيسية المطلوب مواجهتها بالقطاع تتمثل فى الآتى :
- ارتفاع الكثافات السكانية رغم الفقد السكانى فى الفترة الأخيرة إلا أن الكثافة مازالت عالية .
- ظهور مناطق عشوائية بالأراضى الزراعية بأطراف القطاع نتيجة للفقد السكانى داخله والهجرة إلى خارج القطاع .
- تدهور مستوى المرافق والخدمات نتيجة زيادة الكثافات .
- تعارض وتزاحم الأنشطة وأثرها على حركة المرور .
- صعوبة السيطرة على المواقع على طول شرايين الحركة الرئيسية كالكورنيش والأوتوستراد وكذلك الأراضى الفضاء داخل الكتلة العمرانية .
- عدم كفاءة شبكة الطرق الثانوية وخاصة الطرق المؤدية إلى وسط المدينة .

وهذه القطاعات هى :

- القطاع رقم (١) وسط القاهرة (عمرانى) .
- القطاع رقم (٢) الجيزة (عمرانى) .
- القطاع رقم (٣) شبرا (عمرانى) .
- القطاع رقم (٤) شبرا الخيمة (عمرانى) .
- القطاع رقم (٥) المطرية (عمرانى) .
- القطاع رقم (٦) مصر الجديدة ومدينة نصر (عمرانى) .
- القطاع رقم (٧) المعادى - القطامية (عمرانى) .
- القطاع رقم (٨) حلوان (عمرانى) .
- القطاع رقم (٩) السلام - العبور - الهايكستب (صحراوى) .
- القطاع رقم (١٠) أجزاء (أطراف) من مدينة نصر ومصر الجديدة (صحراوى) .
- القطاع رقم (١١) طريق الفيوم (صحراوى) .
- القطاع رقم (١٢) مدينة ٦ أكتوبر (صحراوى) .
- القطاع رقم (١٣) منطقة الأهرام الأثرية (أثرى) .
- القطاع رقم (١٤) سهل شمال الجيزة الزراعى (زراعى) .
- القطاع رقم (١٥) سهل شمال القليوبية الزراعى (زراعى) .
- القطاع رقم (١٦) سهل جنوب الجيزة الزراعى (زراعى) .

* القطاع المتجانس رقم (١) وسط القاهرة :

القطاع رقم (١) ويضم أقسام الوايلى - منشية ناصر - الظاهر - باب الشعرية - الجمالية - درب الأحمر - الأزبكية - الموسكى - بولاق - عابدين - الزمالك - قصر النيل - السيدة زينب - الخليفة - الروضة - مصر القديمة . ومساحته الإجمالية ٥٤٦٠ هكتار ويعد سكانى ١,٥ مليون نسمة عام ١٩٨٦ ومن المتوقع ألا يزيد عن ذلك عام ٢٠٠٠ وكثافته بين ٦٠٠ - ١٠٠٠ نسمة / هك عام ١٩٨٦ .

* قام باعداد الدراسة بتكليف من جمعية التخطيط العمرانى المهندس عبدالغنى شعبان تحت إشراف أ. د. أحمد خالد علام .

وتهدف تنمية القطاع إلى :

• الحفاظ على المناطق ذات القيمة التاريخية .
• تكامل مشروعات التنمية المتناثرة لزيادة كفاءتها .
• السعى للتكامل مع تنمية المناطق الصحراوية بإيجاد مناطق بديلة للإسكان خارج المركز كما حدث في مدينة السلام وينفس الأسلوب يكون ربط أحد التجمعات الجديدة بمشاريع التجديد في الأحياء التاريخية .

* القطاع المتجانس رقم (٢) الجزيرة :

ويشمل القطاع رقم (٢) على أقسام إمبابة - العجوزة - الدقى - الجزيرة - بولاق الدكرور والأهرام مع استبعاد المناطق الريفية منها - مركز إمبابة وجزء من وراق الحضرة ووراق العرب وبعض أجزاء الصحراء الغربية ، ويحد القطاع شمالاً الطريق الدائرى وغرباً تلال الصحراء الغربية وجنوباً الطريق الدائرى وطريق ٦ أكتوبر وشرقاً نهر النيل ، وتبلغ مساحته ١١٠٠٠ هكتار وعدد سكانه عام ١٩٨٦ م ٢,١ مليون نسمة وكثافته بين ٢٥٠ - ١٠٠٠ نسمة / هكتار ومن المتوقع أن يصل حجم سكانه عام ٢٠٠٠ إلى ٣ مليون نسمة .

القطاع يشمل مدينة الجزيرة أساساً ويتكون من اتجاهات غير متناسقة : شريط شمالى جنوبى من الجزيرة حتى إمبابة وشريط من الشرق إلى الغرب على طول طريق الهرم ، ويفصلهما حديقة الحيوان وجامعة القاهرة ، والقطاع إمتداد حديث للقاهرة على الأراضى الزراعية حول قرى الجزيرة والدقى وإمبابة ، بدأ بتنمية حضرية مخططة ، استمرت عشوائية بعد ذلك فى بولاق الدكرور وإمبابة والأهرام ، واشتملت على بعض الصناعات الحرفية ، والقطاع به مشاكل فى النقل والمياه والصرف الصحى ، حيث أن الأرض سهلة تحتاج إلى محطات رفع مما يسبب ضعف نظام الصرف وارتفاع منسوب المياه الجوفية ، والمناطق العشوائية تفتقر إلى الخدمات والمرافق التى لا يمكن إضافتها حالياً على الجيوب الزراعية التى منع البناء عليها قانوناً ، والحل أمام الجزيرة هو القفز إلى الصحراء لمسافة من ٥ - ١٥ كم من الأهرام أى على بعد من ١٠ : ١٥ كم من مركز الجزيرة .

وتهدف تنمية القطاع إلى :

- منع البناء على الأراضى الزراعية والاتجاه إلى الأراضى الصحراوية .
- تطوير مناطق الإسكان العشوائى .
- تنمية قطع الأراضى الخالية .
- نقل الصناعات المنتشرة داخل المناطق العشوائية إلى التجمعات الجديدة .
- إقامة مراكز الخدمات المقترحة فى المخطط العام للقاهرة .

* القطاع المتجانس رقم (٣) شبرا :

يضم القطاع رقم (٣) أقسام شبرا - الزاوية الحمراء - الشرايية - الساحل - روض الفرج ، ويحد القطاع شمالاً ترعة الإسماعيلية وشرقاً شارع الخليج المصرى وجنوباً شارع رمسيس

القطاع يقع بأكمله على السهول المجاورة للنيل والتي كانت أراضى زراعية ومازالت يزرع أجزاء منها ، وينقسم القطاع إلى أربعة أجزاء فرعية : الأول منها حى شبرا الذى يحتوى على العديد من الأنشطة والصناعات الصغيرة مختلطة بالإسكان ، ويفتقر إلى الطرق الرئيسية ، ويفصله عن المركز التجارى محطة رمسيس وخطوط السكك الحديدية - هذا وسيتم نقل سوق الجملة بروض الفرج والاستعمالات الأخرى كالتخزين والجراجات والأنشطة الأخرى خارج المنطقة ، مما يعطى الفرص لاستيعاب الخدمات والمرافق المطلوبة ، أما الثانى والثالث يتمثل فى قسم الشرايية المحاصر بالكامل بخطوط السكك الحديدية ، والمنطقة مخصصة للإسكان الشعبى مع بعض المناطق العشوائية كما تحتوى على بعض الأنشطة التقليدية مثل التخزين والصناعات الصغيرة ، وتشغل ٢٥٪ من مساحة القسم ، القطاع الجزئى الرابع يتمثل فى قسم الزاوية الحمراء وهو سكنى يضم الإسكان الشعبى بالإضافة إلى الإسكان العشوائى كما يضم بعض الأنشطة وهى عبارة عن شركات صناعية كبيرة وبعض الصناعات الصغيرة والقسم به مرافق عامة كبيرة مثل محطات الكهرباء وجراجات النقل العام ومحطات الضخ .

والمشاكل الرئيسية بالقطاع تتمثل فى الآتى :

- افتقاد التدرج الهرمى لشبكة الطرق .
- نقص الترابط بين الشرق والغرب .
- تشبع الطرق الشريانية بين الشمال والجنوب .
- وجود مناطق مغلقة كالشرايية .
- توزيع غير منتظم للمرافق العامة .

وتهدف تنمية القطاع إلى :

- تأسيس مركز خدمات رئيسى فى الساحل .
- إعادة تطوير كورنيش النيل .
- تصحيح عدم التوازن فى توزيع خدمات الحى .
- التطوير العام للمناطق القديمة فى روض الفرج والشرايية وشبرا .
- تطوير طرق الوصول ومنها إمتداد كوبرى روض الفرج والقوس الشمالى بتقاطع خط السكك الحديدية .

* القطاع المتجانس رقم (٤) شبرا الخيمة :

يشتمل القطاع رقم (٤) أقسام من محافظة القليوبية - شبرا الخيمة ١ ، ٢ وجزء من مركز الخانكة وجزء من مركز قليوب وجزء من مركز القناطر الخيرية ، ويحد القطاع شمالاً الطريق الدائرى وشرقاً ترعة الإسماعيلية وحدود محافظة القاهرة وجنوباً ترعة الإسماعيلية وغرباً نهر النيل حتى الطريق الدائرى ، وتبلغ مساحة القطاع ٥٠٠٠ هكتار ويبلغ عدد سكانه $\frac{3}{4}$ مليون نسمة هذا وتبلغ كثافة القطاع عام ١٩٨٦ بين ٥٠٠ - ٦٠٠ نسمة / هكتار .

والقطاع يقع بالكامل على أراضى زراعية وبعضها مازال زروعاً قد حتى الآن هكذا ، وقد تم إعداد مخطط عام للتوسع في هذه المنطقة مع تأسيس قاعدة صناعية قوية في الستينات ، وينقسم لقطاع إلى ثلاثة قطاعات جزئية .

● **القطاع الجزئى الأول :** شريط ضيق بين النيل وسكة حديد وطريق الإسكندرية ، وهو خليط من الاسكان المخطط والعشوائى ومناطق صناعية وبه بعض المرافق العامة مثل كلية زراعة عين شمس - مستشفيات - أندية - محطة توليد كبيرة - محطة معالجة مياه شرب - والأنشطة تشمل شركات النسيج الكبيرة ومرافق للتخزين وصوامع لتخزين الغلال .

● **القطاع الجزئى الثانى :** شرق سكة حديد الاسكندرية ، عبارة عن مساحات واسعة محصورة بين خط السكة الحديد فى الغرب وترعة الإسماعيلية فى الجنوب والشرق وتحتوى على مناطق للاسكان العشوائى مع بعض المنشآت الصناعية العامة الكبيرة والصغيرة مع النقص فى الخدمات العامة .

● **القطاع الجزئى الثالث :** ترعة الاسماعيلية شرق مسطرد عبارة عن منطقة صناعية للمعادن والكيماويات والبتروكيمياويات على جانبى ترعة الإسماعيلية مع وجود فرص كبيرة لاستخدامات الأراضى فى الشرق فى شكل أراضى زراعية تمثل احتياطي للتوسعات الصناعية ومن المعلوم أن هذا القطاع ريفى أساساً وبدأت عمليات التحضر به بعد إنشاء المنطقة الصناعية .

ومشاكل القطاع تتمثل فى الآتى :

- نقص التدرج الهرمى لشبكة الطرق .
- المساحات المتعلقة بمحطات نمو غرب شبرا الخيمة .
- عدم الالتزام بالمخطط العام فى شبرا الخيمة بما يهدد الطريق الدائرى وتقاطعاته .
- المرافق العامة منخفضة التجهيز عموماً .

وتهدف تنمية القطاع إلى :

- تطوير المناطق الحضرية والمحافظة على الأراضى الزراعية .
- نقل الصناعات المسببة للتلوث تدريجياً إلى منطقة القناة واستبدالها بأنشطة نظيفة تحتاج لعمالة مكثفة .
- تنمية مركز خدمات رئيسى بغرض تحسين الوصول وتوفير فرص العمل .
- تنفيذ شبكة الطرق المقترحة فى المخطط العام ومنها الطريق الدائرى .

* **القطاع المتجانس رقم (٥) المطرية :**

يضم القطاع رقم (٥) أقسام محافظة القاهرة المطرية - عين شمس - الزيتون - حدائق القبة ، ويحد القطاع شمالاً حدود قسم المطرية وشرقاً حدود قسم عين شمس وفى الجنوب الشرقى شارع رمسيس وجسر السويس وطريق الاسماعيلية الصحراوى وغرباً شارع الخليج المصرى وترعة الاسماعيلية ، وتبلغ مساحته ٦٢٠٠

هكتار وعدد سكان عام ١٩٨٦ م ١,٥ مليون نسمة ومن المتوقع أن يصل حجم سكانه عام ٢٠٠٠ إلى ٢ مليون نسمة وكثافة عام ١٩٨٦ تتراوح بين ٤٠٠ - ١٠٠٠ نسمة / هكتار .

القطاع سكنى به حدائق بها فيلات وقصور ومناطق للإسكان المخطط ، وانتشر به أخيراً الإسكان العشوائى الذى يفقر إلى الخدمات والمرافق العامة ، وبه منطقة خاصة بالصناعات الدوائية بالأميرية ويحد القطاع طريقان رئيسيان : طريق الإسماعيلية الصحراوى وشارع الخليج المصرى الذى سيتصل بالطريق الدائرى .

والمشاكل الرئيسية بالقطاع تتمثل فى :

- انتشار المناطق العشوائية خلال فترة النمو الأخيرة .
- نقص الخدمات والمرافق وخاصة بالمناطق العشوائية .
- افتقار القطاع لأوجه الأنشطة المختلفة .
- عدم وضوح التدرج الهرمى لشبكة الطرق .

وتهدف تنمية القطاع إلى :

- أن يظل القطاع سكنى بدرجة كبيرة مع الاحتفاظ بالمنطقة الصناعية بالأميرية .
- ضبط وتنظيم التنمية الحضرية على الأراضى الصالحة للزراعة .
- إعداد مركز خدمى رئيسى يخدم ٢ مليون نسمة مع تطوير مراكز الخدمات المحلية .

* **القطاع المتجانس رقم (٦) مصر الجديدة ومدينة نصر :**

يحتوى القطاع رقم (٦) على أقسام مصر الجديدة - جزء من قسم النزهة - مدينة نصر ويحد القطاع شمالاً طريق الاسماعيلية الصحراوى وشرقاً الطريق الدائرى وجنوباً الهضبة العليا للمقطم وغرباً العباسية ومساحته تبلغ ١٤٧٠٠ هكتار وعدد سكانه عام ١٩٨٦ م حوالى ٤٥٠ ألف نسمة ومن المتوقع أن يصل حجم السكان إلى مليون نسمة عام ٢٠٠٠ وكثافته عام ١٩٨٦ تتراوح بين ١٠٠ - ٢٥٠ نسمة / هكتار .

القطاع مقام على أراضى صحراوية ، بدأ جنوب سكة حديد السويس حيث مصر الجديدة وبها مركز تجارى رئيسى ، ويضم فى الغرب مركز تجارى به جامعة عين شمس وبعض المناطق العسكرية ، وفى اتجاه الشرق مطار القاهرة الدولى ، وحوله بعض الأنشطة الصناعية على طريقى السويس والاسماعيلية ومدينة نصر فى اتجاه الجنوب ، حيث مناطق للاسكان متوسط ومرتفع الدخل وبعض الخدمات مثل جامعة الأزهر والمنطقة الرياضية وبعض الأنشطة الحكومية ، مع بعض المساحات الشاسعة التى مازالت خالية كما توجد بعض الاشغالات العسكرية فى اتجاه الشرق كمطار المعازة وبعض المعسكرات .

وتهدف تنمية القطاع إلى :

- تأسيس مركز خدمات إقليمى لتحقيق اللامركزية فى الخدمات .

• تنمية الأراضي الصحراوية الخالية وتحويل بعض الأراضي الحكومية للاستخدامات المدنية .

• تسيير مسار للنقل العام عبر مدينة نصر يربط بين الشرق والغرب .

• إضافة مشروع الحزام الأخضر حول الطريق الدائري والتجمعات الجديدة .

• تنمية الصناعة وخاصة على محور الاسماعيلية وربطها بالصناعات بمدينة ١٠ رمضان مع التوسع فى الصناعات على طريق السويس أيضا .

* القطاع المتجانس رقم (٧) المعادى القطامية :

يشمل القطاع رقم (٧) أقسام المعادى وجزء من الخليفة ، ويحد القطاع شمالا الفسطاط وطريق الأوتوستراد مع اشتماله هضبتى المقطم العليا والوسطى وشرقا وادى دجلة عند اتصال طريق القطامية مع المحور الشمالى الجنوبى وجنوبا جبل طره وحدود قسم المعادى وغربا نهر النيل ومساحته الاجمالية ١٠,٠٠٠ هكتار منها ٦٠٠٠ هكتار يمكن تنميتها وسكانه عام ١٩٨٦ حوالى ٤٥٠ ألف نسمة ومن المتوقع أن يصل حجم سكانه عام ٢٠٠٠م إلى ١,٥ مليون نسمة وكثافته عام ١٩٨٦ تتراوح بين ٢٠٠ - ٣٠٠ نسمة / هكتار .

القطاع عبارة عن وحدة منفصلة عن القاهرة بواسطة المقطم والفسطاط وعن حلوان بواسطة مضائق طره ويتكون من سهول فيضية تتصل بالصحراء نحو الشرق والتي تتحدر انحدار بسيطاً مع اتجاه مسار وادى دجلة . وقد تم إلحاق هضبة المقطم العليا بهذا القطاع ويربطها به طريقان جيدان ، والعمران بالقطاع بدأ بالمعادى غير أنه ظهر بعد ذلك تجمعات عشوائية على الأراضي الزراعية فى كل من دار السلام والبساتين رغم أن الفرص متاحة للامتداد على الأراضي الصحراوية الممتدة شرقاً هذا مع وجود شركة المعادى لتنمية الأراضي وتخصيصها لمشاريع محددة مثل زهراء المعادى وصقر قریش وغيرها من مشروعات الاسكان .

أما الصناعة فى القطاع فتتمثل فى تنمية محور طريق القطامية على مساحة تقرب من ١٥٠ هكتار لإقامة صناعات خفيفة خاصة بمواد البناء والتشييد ، يدعم ذلك وجود مصنعين كبيرين للأسمنت فى طره وعلى طريق القطامية مع نمو أنشطة مرتبطة بأعمال البترول فى منطقة المعادى .

والقطاع مربوط بمحاور ربط جيدة منها مترو الأنفاق وطريق الأوتوستراد مع أن الطريق الدائرى سيحقق اتصالات جيدة مع القاهرة والجيزة وفى المقابل هناك نقص فى الطرق المحلية .

وتهدف تنمية القطاع إلى :

- إنشاء شبكة طرق رئيسية تقوم بإعادة توجيه التضرر فى اتجاه شرق غرب وتحسين وصلات محور شمال جنوب .
- إقامة المناطق السكنية لمتوسطى الدخل فى المستقبل على مساحة ٢٠٠٠ هكتار فى أراضى التقسيمات المخططة وإيقاف النمو العمرانى جنوب طره .
- إقامة مركز خدمات ثانوى .

• استمرار التوسع فى صناعة مواد البناء على محور طريق العين السخنة .

* القطاع المتجانس رقم (٨) حلوان :

يشمل القطاع رقم (٨) أقسام : حلوان - التبين - ١٥ مايو ، ويحد القطاع شمالاً حدود قسم المعادى فى طره وغرباً نهر النيل وجنوباً حدود قسم التبين ومحافظة القاهرة وشرقاً جبل طره وجبل حوف ، ومساحة القطاع ١٢٠٠٠ هكتار وسكانه ٤٠٠ ألف نسمة عام ١٩٨٦ وتنحصر الكثافة بين ٢٥٠ : ٤٠٠ نسمة / هكتار . ومن المتوقع أن يصل حجم السكان إلى مليون نسمة عام ٢٠٠٠ .

القطاع منفصل عن قطاع المعادى عن طريق ممر ضيق بين جبل طره والنيل وهو قطاع صحراوى باستثناء شريط زراعى على طول نهر النيل ويتميز القطاع بمناخه المعتدل والذي أدى إلى تأسيس مدينة حلوان باعتبارها منتج صحرى والقطاع به أربعة قطاعات فرعية هى حلوان التى بدأت كمنتج صحرى غير أنها جذبت إليها الصناعة فى الستينات فى وادى حوف ومن أهمها صناعة السيارات وعربات السكك الحديدية مما أدى إلى تزايد السكان وانتشار المناطق العشوائية . أما التبين فهى مركز للصناعات الثقيلة التى تأسست فى أواخر الخمسينات ومن أهمها مصانع الصلب والدرفلة ومصنع الأسمنت وقد تم إلحاق مساكن للعاملين بهذه المنطقة مع نمو عشوائى بشكل كبير على طول نهر النيل أما القطاع الجزئى الثالث فيتمثل فى المنطقة الانتقالية من طره إلى حلوان هى ضيقة فى الشمال وتوسع فى الجنوب وينتشر بها النمو العشوائى بين المؤسسات الحكومية العامة التى حصلت على أراضى لها على طول خط مترو وأخيراً القطاع الجزئى الرابع ويتمثل فى مدينة ١٥ مايو التى أقيمت لتلبية احتياجات العمال من إسكان وخدمات .

وتهدف تنمية القطاع إلى :

- تحديد مناطق الصناعات الثقيلة فى التبين والصناعات المتوسطة فى وادى حوف على أن يكون طريق الأوتوستراد محور جذب جيد للتنمية الصناعية .
- إقامة التجمعات الجديدة شرق الأوتوستراد عند حدود حلوان بعد أن تصل مدينة ١٥ مايو إلى مستوى النضوج .
- ربط الأوتوستراد بالكورنيش .
- إقامة مركز خدمات إقليمى ومراكز خدمات ثانوية لتقليل الحاجة إلى النقل .
- المحافظة على الأراضي الزراعية على طريق الكورنيش والاتجاه إلى المسطحات الصحراوية .

* القطاع المتجانس رقم (٩) السلام - العبور - الهايكستيب :

يضم القطاع رقم (٩) الأقسام : السلام وجزء من النزهة وجزء من مركز الخانكة والأراضي الصحراوية فى محافظة القاهرة ، ويحد القطاع شمالاً وشرقاً حد اقليم القاهرة الكبرى وجنوباً الطريق الدائرى وغرباً حدود الدلتا وعدد سكانه عام ١٩٨٦ م ١٥ ألف نسمة ومن المتوقع أن يصل حجم سكانه عام ٢٠٠٠ إلى ٣ مليون نسمة .

حسب الاحتياج وشرقاً طريق الفيوم داخل محافظة الجيزة ويشمل جزء من الحد الإداري لمدينة ٦ أكتوبر .

والموقع عبارة عن منطقة صحراوية واسعة ، تغطي أراضي ذات انحدار طفيف وتنمية مدينة ٦ أكتوبر تعمل على توفير بعض المرافق العامة مثل محطة معالجة ، جبانة وخدمات أخرى لا يمكن توفير أراضي لها وعليه فإن أى مشروعات يجب تقييمها مع مدينة ٦ أكتوبر والتي ستمثل مركز استقطاب للتنمية بالقطاع وفي الصحراء الغربية .

* القطاع المتجانس رقم (١٢) مدينة ٦ أكتوبر :

يشمل القطاع رقم (١٢) مدينة ٦ أكتوبر وبعض الأجزاء المحيطة بها من محافظة الجيزة ، يحد القطاع شمالاً حدود إقليم القاهرة وغرباً الصحراء الغربية وجنوباً طريق الواحات وشرقاً حدود حدائق الأهرام وخط التلال والمساحة المتاحة للتنمية ٢٠٠٠ هكتار والسكان الحاليين لا يتجاوز عدة آلاف ومن المتوقع أن يستوعب القطاع عام ٢٠٠٠ م $\frac{3}{4}$ مليون نسمة .

وتهدف تنمية القطاع إلى :

توسيع نطاق التنمية الحضرية في الصحراء الغربية بمدينة ٦ أكتوبر وإضافة تجمعين جديدين وبذلك ستكون مدينة ٦ أكتوبر مركز رئيسي للتنمية والخدمات .

* القطاع المتجانس رقم (١٣) منطقة الأهرام الأثرية :

يحدده شمالاً الطريق الدائري وغرباً طريق الفيوم وشرقاً حدود الصحراء والحد الجنوبي مفتوح نحو الصحراء ، وتنمية هذا القطاع تكون من خلال منظور أنه منطقة أثرية ، تحتاج تنمية خاصة عن طريق تسهيل عملية الوصول إليها ومنع التنمية الحضرية بالقطاع .

* القطاع المتجانس رقم (١٤) سهل شمال الجيزة الزراعي :

يشتمل القطاع رقم (١٤) على الأقسام والمراكز الآتية أوسيم - مركز إمبابة وأطرافه - بولاق النكرور - الأهرام - إمبابة ، ويحد القطاع شمالاً حدود إقليم القاهرة وغرباً حدود الصحراء الغربية وجنوباً الكتلة العمرانية للجيزة وشرقاً الطريق الدائري ، وعدد سكان الإقليم عام ١٩٨٦ م ٣٠٠ ألف نسمة وهو قطاع قطاع ريفي يقوم على أراضي زراعية تمتد على سهول فيضية تعد من أخصب الأراضي الزراعية بمصر ألا أنها تستنزف بالامتدادات العشوائية للقرى .

وتهدف تنمية القطاع إلى :

- الاستفادة من القطاع كإقليم زراعي يمد القاهرة بخاجاتها من الخضروات والفواكه الطازجة .
- منع أى تنمية عمرانية على الأراضي الزراعية .

* القطاع المتجانس رقم (١٥) سهل القليوبية الزراعي :

يشمل القطاع رقم (١٥) أقسام ومراكز من القليوبية : جزء من الخانكة ومن مركز الخانكة وجزء من شبين القناطر وجزء من قليوب

يتكون القطاع من ثلاثة مناطق رئيسية :

- توسعات القاهرة مع مدينة السلام وتم تخصيصها للسكان منخفض التكاليف والمدينة العسكرية بالهايكستيب .
- منطقة مدينة العبور والمناطق الصناعية في أبو زعبل والأراضي المستصلحة باتجاه العاشر من رمضان .
- الأراضي الزراعية والمستصلحة على طول سكة حديد المرج بلبس مع وجود بعض الخدمات والمرافق العامة مثل محطة المعالجة في الجبل الأصفر وبعض المصانع المتواجدة على هضبة أنشاص وتوجد مساحات صحراوية واسعة بين هذه المصانع يمكن الاستفادة منها .

وتهدف تنمية القطاع إلى :

- التمسك بإقامة مدينة العبور .
- العمل على تكامل الصناعات بهضبة أنشاص وخاصة في الصناعات ذات التكنولوجيا العالية .
- الحفاظ على الأراضي المستصلحة وإضافة أراضي مستصلحة جديدة مما يعمل على توفر فرص عمل جديدة .

* القطاع المتجانس رقم (١٠) أجزاء من مدينة مصر الجديدة (النزهة) ومدينة نصر :

يشمل القطاع رقم (١٠) على الأراضي الصحراوية وبعض أجزاء من أقسام النزهة بمصر الجديدة ومدينة نصر ، ويحد القطاع شمالاً طريق القاهرة السويس وشرقاً حد إقليم القاهرة الكبرى وجنوباً حدود قسم المعادي وغرباً الطريق الدائري وهو خالي من السكان حالياً ومن المتوقع أن يصل حجم سكانه عام ٢٠٠٠ إلى مليون نسمة تقريباً ومساحته غير محددة .

القطاع عبارة عن أراضي تابعة لامتياز شركتي مصر الجديدة ومدينة نصر إضافة إلى الأراضي الصحراوية الخالية خارج هذا الامتياز ، وقد تم تخطيط خمس تجمعات عمرانية جديدة في هذه الأراضي مع حزام أخضر في هذا القطاع لعدد سكان يقرب من مليون نسمة وهذه التجمعات تستوعب الفائض السكاني للقطاعات الأخرى وتقدم بديلاً للتعديلات العشوائية على الأراضي المحيطة بالعمران .

وتهدف تنمية القطاع إلى :

- إقامة التجمعات العمرانية عن طريق شركة مدينة نصر ووزارة التعمير وتمثل المراحل الأساسية لتنمية المناطق الصحراوية الجديدة .
- تنفيذ مشروع الحزام الأخضر اعتماداً على مياه صرف هذه التجمعات .
- إنشاء مركز خدمي رئيسي يكون مركز القطاع رقم (١٠) .
- إنشاء خط نقل عام يربط هذه التجمعات بالكتلة العمرانية للقاهرة .

* القطاع المتجانس رقم (١١) طريق الفيوم :

يحد القطاع شمالاً طريق ٦ أكتوبر وغرباً طريق الواحات وجنوباً

ومن مركز قليوب والقناطر الخيرية ومركز القناطر الخيرية وقرى هذه المراكز ، ويحد القطاع شمالاً حدود إقليم القاهرة الكبرى وشرقاً حدود الدلتا وغرباً نهر النيل وجنوباً الطريق الدائري ، وعدد سكانه عام ١٩٨٦ م حوالي ٢٠ ألف نسمة ومن المتوقع أن يصل حجم سكانه عام ٢٠٠٠ م إلى $\frac{3}{4}$ مليون نسمة مناطق ريفيه وحضرية .

القطاع عبارة عن أراضي زراعية ممتدة على سهول فيضان النيل في محافظة القليوبية وبها أغنى الأراضي الزراعية بمصر ، والقطاع ريفي باستثناء ثلاثة مدن هي قليوب والقناطر الخيرية والخانكة ، والإقليم به نشاط صناعي وتخزين على طول طريق الاسكندرية الزراعي وبعض المصانع حول الخانكة وأبو زعبل .

وتهدف تنمية القطاع إلى :

- الحفاظ على الأراضي الزراعية مع عدم إنشاء أى أنشطة لا تخدم سكان المنطقة .
- البنية الأساسية يجب أن تكون مخصصة لتنمية الإنتاجية الزراعية .
- إيقاف تنمية مناطق الأنشطة على طول طريق الإسكندرية

الزراعي مع توفير المواقع البديلة في المحاور الصحراوية (طريق السويس ، طريق الاسكندرية الصحراوى) .

* القطاع المتجانس رقم (١٦) سهل جنوب الجيزة الزراعي : يشتمل القطاع رقم (١٦) على الأقسام والمراكز التالية : جزء من بولاق الدكرور وجزء من الأهرام ومركز الجيزة والحوامدية وقرى الحوامدية والبدرشين وقرى البدرشين ، ويحد القطاع شمالاً الطريق الدائري وغرباً حدود الصحراء الغربية وجنوباً حدود إقليم القاهرة الكبرى وشرقاً نهر النيل ، ويبلغ عدد سكانه عام ١٩٨٦ م نصف مليون نسمة ، ومن المتوقع أن يصل حجمه السكاني عام ٢٠٠٠ م إلى ٦٥٠ ألف نسمة والقطاع عبارة عن أراضي سهول فيضية .

وتهدف تنمية القطاع إلى :

- الاستفادة من القطاع كإقليم زراعي يمد القاهرة باحتياجاتها من الخضروات والفاكهة .
- منع التوسع الصناعي في القطاع باستثناء الصناعات الزراعية القائمة (مصانع السكر ومطاحن الغلال) .

6. Barakat, Y., Fortney, L.N., La Lanne-Cassou, C., Schechter, R.S., Wade, W.H., Weerasooriy, U. and Yiv, S.H. (1983). The Phase Behaviour of Simple Salt Tolerant Sulphonates-Soc. Pet. Eng. J., 35, 913.
7. El Hady, O.A., Barakat, Y., and Hanna, A.H. (1987). Emulsification of bitumen for Sandy Soil Conditioning Using Alpha-Olefin Sulphonates-Egypt. J. Soil Sci. 27, No. 4, p. 489.
8. Barakat, Y., Hanna, H.A., Abou-Zeid, S. and Helmy, E.E.M. (1986). «Bituminous Anionic Emulsions for Sandy Soil Stabilization». 6th IRF African High Way Conference, Road Planning & Construction, Cairo 21-26/9/1986, p. 173.
9. Longman, G.F. (1977). «The Analysis of Detergents and Detergent Products», John Wiley & Sons, London.
10. Van Nes, K, and Van Westen, H.A. (1951). «Aspects of the Constitution of Mineral Oil». Elsevier Publ. Co., p. 455.
11. El-Mergawy, S.A. (1988). «Laboratory Evaluation of Some Alkylbenzene Sulphonates For Enhanced Oil Recovery». Ph.D. Thesis, Ain shams University, Cairo, Egypt., p. 116.
12. Barakat, Y., Hanna, A.H., Abou-Zeid, S. and Helmy, E.E.M. (1986). «Ethoxylates of Higher Alkylphenols as Emulsifiers for Soil Stabilized by Bitumen». 6th IRF African Highway Conference, Cairo 21-26/9/1986, p. 165.
13. Herman, D.K. and Fred, M.M. (1954). U.S. Patent 2. 671, 117, March 2.
14. Miller, S.A., Bann, B. and Thrasher, R.D. (1950). «The Reaction Between Phenol and Ethylene Oxide». J. Chem. Soc., 3623.
15. Flanagan, P.W., Greff, R.A. and Smith, H.F. (1963). «Quantitative Applications of High Resolution NMR. I- The Identification of Nonionic Surfactants» J. Am. Oil Chem. Soc., 40, 118.
16. Griffin, W.C. (1949). J. Soc. Cosmetic Chemists, 1, 311: 5, 294.
17. Schechter, R.S. and Wade, W.H. (1980). Annual Report-Research on Tertiary Oil Recovery, The University of Texas at Austin, Austin, Texas, p. 19.
18. Schonfeldt, N, (1969). «Surface Active Ethylene Oxide Adducts», Pergamon Press, London, First English Edition, Chapter 4, p. 591.
19. Pitchford, A.C. (1969). U.S. Patent 3, 432, 326; Conn, M.E. and Popkin, A.H. (1970), U.S. Patent 3, 511.676.
20. Stedman, D.H. (1981). «Analysis by Chemiluminescence», Application News, Vol. 1, No. 1, March, 1-7.

good workability in spraying applications. It has been reported (18,19) that the viscosity of anionic emulsions can be controlled by the addition of nonionic emulsifiers (ethoxylates). Those having an HLB up to 8 have been reported to increase the viscosity while those of higher HLB have been found to reduce the viscosity of O/W emulsions (18). This may explain the reason for the slight decrease observed in the viscosity of dimethoate emulsions shown in Table 9.

Table (9) : Effect of Emulsifier Composition on the Specifications of Emulsion Stabilities.

Ingredients	Different Formulations, wt %				
	I	J	K	L	M
Oil Phase (EC)	3	3	3	3	3
- Dimethoate	1.26	1.26	1.26	1.26	1.26
- Solvent (II)	1.56	1.56	1.56	1.56	1.56
- Emulsifier Blends Used					
100% ABS + 0% NPE/7.5	0.09	-	-	-	-
90% ABS + 10% NPE/7.5	-	0.09	-	-	-
80% ABS + 20% NPE/7.5	-	-	0.09	-	-
70% ABS + 30% NPE/7.5	-	-	-	0.09	-
50% ABS + 50% NPE/7.5	-	-	-	-	0.09
- Coemulsifier (isobutanol)	0.09	0.09	0.09	0.09	0.09
Water Phase	97	97	97	97	97
Specifications of Emulsions :					
- Colour			milky	white	
- pH	6.7	6.5	6.5	6.4	6.2
- Viscosity, Saybolt at 30°C, sec.	35	33	30	29	27
Stability of Emulsions :					
- Bloom, %	10	20	30	50	60
- Oil separation after 1 hr, ml	Nil	Nil	Nil	Nil	Nil
- Creamy separation after 1 hr, ml	0.4	0.2	Nil	Nil	Nil
- Water settlement after 1 hr, ml	0.5	0.4	0.2	Nil	Nil

Concerning the stability of the obtained emulsified dimethoate, negligible creamy separation and/or water settlement were observed in formulations employing anionic emulsifier alone or anionic/nonionic blend containing 10% ethoxylated nonylphenol. Emulsifier blends containing from 30-50% nonionic portion seem to produce more stable emulsions. Blends containing more than 50% nonionic were not attempted for economic considerations. Bloom%, which reflects the tendency for the ease of emulsifiability, increases by increasing the nonionic content in the blend.

CONCLUSIONS:

The following conclusions have been reached:

1. Aromatic-enriched petroleum fractions seem to be successful solvents for dimethoate when small amounts of co-solvents are added.
2. The solubility of dimethoate in these petroleum solvents depends on the type of co-solvent used. The highest solubility has been achieved when n-or isobutanol is added as co-solvent.
3. All the employed solvents give compatible dimethoate oil phase in the presence of 3% anionic/nonionic emulsifier pair and an equal amount of the co-solvent.
4. Emulsifier blend compositions in the range of 70:30 to 50:50 (anionic/nonionic) give indications of good emulsion stability. The best stability has been obtained with 50:50 composition. However, the 70:30 ratio is preferable for economic considerations.

REFERENCES:

1. El-Attal, Z.M., Said, A.A.A. and S.M. Michael (1974). Evaluation of Certain Egyptian Emulsifying Agents for Preparing Some Insecticide Emulsifiable Concentrates- *Agric. Res. Rev.* 52, 89.
2. Zaazou, M.H., El Nahal, A.K.M., Maher, A.A. and Z.M., El Attal (1973). Local Petroleum and Coal-tar Derivatives as Solvents for Insecticides. *Bull. Ent. Soc. Egypt, Econ. Ser.* VII p. 43.
3. Bishara, R.H., Hussein, M., Hafez, O.A. and Habib, R.M. (1977). Paraffin Contents and their Effect on Efficiency of Local Spray Oils, *Agric. Res. Rev.*, 55, 67-71.
4. Lissant, K.J. (1974). Emulsion and Emulsion Technology-Part I, Surfactant Science Series, Chapter, Marcel Dekker, Inc. New York, p. 187.
5. Barakat, Y., Fortney, L.N., Schechter, R.S., Wade W.H., and Yiv, S.H. (1982). Alpha-Olefin Sulphonates for Enhanced Oil Recovery-ARTEP, 2nd European Symposium on Enhanced Oil Recovery, Nov., p. 11.

Emulsified dimethoate can be classified as low oil-content emulsion (3). Low viscosity is one of the striking features of such an emulsion. Small variations in the viscosity of the obtained emulsion is attributed to the changes in the composition of the emulsified oil phase, i.e. in the type of solvent and co-emulsifier employed.

None of the investigated formulations (Table 7) gave any sign of oil phase separation. However, the best stability was achieved when solvent (III) and isopentanol were employed.

Table (7) : Formulation and Evaluation of 40 % Dimethoate Emulsions Using Different Petroleum, Solvents and Co-solvents,

Ingredients	Different Formulations, wt %					
	A	B	C	D	E	F
Oil Phase (EC)	3	3	3	3	3	3
Dimethoate	1.26	1.26	1.26	1.26	1.26	1.26
Solvent (I)	1.56					
Solvent (II)		1.56				
Solvent (III)			1.56	1.56	1.56	1.56
Emulsifier (50 % ABS + 50 % NPE/7.5)	0.09	0.09	0.09	0.09	0.09	0.09
Co-emulsifier (isopropanol)	0.09	0.09	0.09			
(isobutanol)				0.09		
(n-butanol)					0.09	
(iso-pentanol)						0.09
Water Phase	97	97	97	97	97	97

Specifications of Emulsions :

Colour	milky		white		milky		white	
pH	4.0	4.2	4.5	6.0	5.8	6.4		
Viscosity, Saybolt at 30°C, sec	30	31	31	33	33	32		

Emulsion Stability :

Bloom, %	20	20	40	40	40	50
Oil separation after 1 hr, ml	Nil	Nil	Nil	Nil	Nil	Nil
Creamy separation after 1 hr, ml	"	"	"	"	"	"
Water settlement after 1 hr, ml	"	"	"	"	"	"

Effect of Emulsifier Composition:

The beneficial effect of mixing nonionic surfactant with anionics is well known (17). Lower interfacial tensions have been achieved between an oil and the aqueous phase by using an anionic/nonionic emulsifier blend than that yielded by either surfactant alone. This means better emulsifiability of the concentrate.

It is obvious from data in Table 8 that emulsifier blends, having less than 20% by wt

nonionic, appeared to produce turbid oil phase and on cooling to 0°C crystals were formed. Compatible oil phase was observed, in other formulations, when nonionic portion reached 20% by wt. Insignificant changes in flash point and pH of dimethoate oil phase were noticed by changing the composition of emulsifier pair.

Table (8) : Effect of Emulsifier Composition on the Properties of Dimethoate Oil Phase

Basic Active Ingredients	Different Formulations, wt %				
	I	J	K	L	M
Dimethoate (Technical 95 %)	42	42	42	42	42
Solvent (II) :	52	52	52	52	52
Emulsifier Blends					
100% ABS + 0 % NPE/7.5	3	-	-	-	-
90 % ABS + 10% NPE/7.5	-	3	-	-	-
80 % ABS + 20% NPE/7.5	-	-	3	-	-
70 % ABS + 30% NPE/7.5	-	-	-	3	-
50 % ABS + 50% NPE/7.5	-	-	-	-	3
Co-emulsifier (isobutanol)	3	3	3	3	3
Total	100	100	100	100	100
Properties of Oil Phase :					
Cold test (0°C)	(-ve)	(-ve)	pass	pass	pass
pH	3.0	3.0	2.9	2.7	2.8
Appearance	turbid	turbid	clear	clear	clear

(-ve) = negative test means crystal formation took place.

Data in Table 9 show the specifications and the stability of the produced dimethoate emulsions. A slight but steady decrease in the viscosity of these emulsions has been observed as the content of nonionic portion increases. Other specifications have not shown any significant change by changing the emulsifier pair composition.

It is of prime importance to control the viscosity of any given insecticide emulsion to meet certain agricultural applications. The obtained dimethoate emulsions presented in columns I-M of Table 9 are of the low-viscosity type because they contain a low content of oil phase (3). Emulsions of reduced viscosities have

Formulations presented in Table 6 (columns A, B and C) show the effect of different petroleum solvents on the properties of the obtained pesticide oil phase. Other variables, such as emulsifier, co-solvent type and concentration, were kept unchanged. The clear appearance of the obtained dimethoate oil phase, at 0°C, gives an indication that the investigated petroleum solvents are compatible with other ingredients. No crystal formation or even turbidity has been observed in the cold test (at 0°C). In these formulations (columns A-C), flash point of the obtained oil phase was higher than any of the incorporated solvents. The pH of dimethoate oil phase was found to be in the range 2.1-2.5 as a result of the acidic nature of this pesticide.

Table (6) : Ingredients of Dimethoate Oil Phase (Pesticide Oil Phase).

Ingredients	Different Formulations, wt %							
	A	B	C	D	E	F	G	H
Dimethoate (Techn. 95 %)	42	42	42	42	42	42	42	42
Solvent :								
Solvent (I)	52	-	-	-	-	-	-	-
Solvent (II)	-	52	-	-	-	-	-	-
Solvent (III)	-	-	52	52	52	52	52	52
Emulsifier Blend :								
50 % ABS + 50 % NPE/7.5	3	3	3	3	3	3	3	6
Co-emulsifier :								
isopropanol	3	3	3	-	-	-	-	-
isobutanol	-	-	-	3	-	-	-	-
n-butanol	-	-	-	-	3	-	-	-
isopentanol	-	-	-	-	-	3	-	-
methyl ethyl ketone	-	-	-	-	-	-	3	-
Total	100	100	100	100	100	100	100	100
Properties of EC :								
Cold test (0°C)	pass	pass	pass	pass	pass	pass	pass	(-ve)
Flash point, °C	36	38	40	52	50	56	28	32
pH	2.1	2.3	2.5	2.8	2.9	3.5	2.3	2.2
Appearance	clear	clear	clear	clear	clear	clear	clear	Turbid

(-ve) = negative test means crystal formation took place.

For economic considerations, saving of an employed emulsifier or at least increasing its efficiency, is of practical importance. This can be achieved by the addition of an emulsifier aid or co-emulsifier. It has been reported (17) that C₃-C₅ alcohols improve the emulsifiability of anionic and/or nonionic surfactants for obtaining more stable O/W emulsions. In other words, these alcohols may act as co-emulsifiers in addition to their role as co-solvents.

Alcohols of increasing molecular weight and methyl ethyl ketone were used as co-emulsifiers. Dimethoate oil phase formulated without co-emulsifier gave negative cold test and had a turbid appearance (Table 6). All other formulations with co-emulsifiers showed positive cold test and the produced dimethoate oil phase had a clear appearance as an indication of good compatibility between different ingredients.

Data in Table 6 showed also a gradual increase in the flash point by increasing alcohol molecular weight. When methyl ethyl ketone was added as a co-emulsifier, an insignificant decrease in flash point was observed. Flash point represents one of the safety measures when dealing with such oil mixtures in storage and application. It is obvious from data in Table 5 that dimethoate oil phase has a pH range of 2.1-3.5 indicating an acidic nature.

Specifications of Emulsified Dimethoate:

Evaluation of the different dimethoate emulsion formulations is shown in Table 7. In each formulation, 3 ml of dimethoate oil phase was added to 97 ml of tap water in 100 ml stoppered cylinder. Bloom (%) was measured and emulsion ingredients were then shaken for one minute. The resulting emulsion was examined for colour pH, and viscosity. Stability tests included oil separation, creaming and water settlement after 15, 30 and 60 minutes.

Data in Table 7 show that the emulsions have a milky white colour and an acidic nature. Insignificant variations in the pH values are due to variations in oil phase composition.

RESULTS and DISCUSSION:

High aromatic content petroleum fractions have been examined as solvents for dimethoate insecticide. The analytical data in Table 1 show that the aromatic contents of these fractions are higher than 90%. These fractions are almost sulphur free and containing negligible amounts of nitrogen compounds. Furthermore, the flash points of these fractions are above 30°C. The above-mentioned characteristics recommend such petroleum products to be utilized as solvents in pesticide formulations. The other specifications of fractions I-III are presented in Table 1.

Since incomplete solubility of the dimethoate in any of the petroleum solvents has been achieved, different types of co-solvents were added in minor concentrations to improve the solubility. Co-solvents included isopropyl-, isobutyl-, n-butyl- and isoamyl alcohols. The experimental data reveal that n-butyl alcohol is the most efficient co-solvent followed by isobutyl alcohol then isopropyl and isoamyl alcohols. The solubility of dimethoate expressed as g/100 ml of the solvent/co-solvent mixtures is shown in Table 5.

Compatibility of Dimethoate Oil Phase:

The ingredients of dimethoate oil phase have been studied using an anionic-nonionic emulsifier pair. The anionic component of this emulsifier blend is the sodium salt of alkylbenzene sulphonate (ABS) obtained by the sulphonation of a heavy alkylate and the physico-chemical properties of the sodium ABS are given in Tables 2 and 3, respectively. The nonionic counterpart of the employed emulsifier blend is the nonylphenol ethoxylate (NPE) having a branched C₉ alkyl chain (propylene trimer) and 7.5 average number (n) of ethylene oxide (EO). Physico-chemical properties of this non-ionic surfactant are given in Table 4.

A suitable number of EO is adducted to the prepared hydrophobe (nonyl phenol) in order to achieve water solubility and a reasonable value of HLB for making an oil/water (O/W) emulsion (1,3). The aforementioned emulsifier blend is designated: 50% ABS + 50% NPE/7.5. In the present study, all pesticide oil phase formulations consist of the following ingredients as parts by wt: 42% technical dimethoate (95%), 52% solvent, 3% emulsifier blend and 3% co-solvent.

Table (5) : Solubility of Dimethoate in Different Petroleum Solvents.

Solvent	Solvent (I)				Solvent (II)				Solvent (III)			
Co-solvent	iso-propyl alcohol	iso-butyl alcohol	normal butyl alcohol	iso-amyl alcohol	iso-propyl alcohol	iso-butyl alcohol	normal butyl alcohol	iso-amyl alcohol	iso-propyl alcohol	iso-butyl alcohol	normal butyl alcohol	iso-amyl alcohol
Dimethoate, g.	1	1	1	1	1	1	1	1	1	1	1	1
Solvent used, c.c.	5.5	4.6	3.8	5.5	5.3	4.1	3.6	5.3	5.0	3.8	3.5	4.5
Co-solvent used, c.c.	0.2	0.2	0.2	0.2	0.2	0.2	0.2	0.2	0.2	0.2	0.2	0.2
Total amount of solvent/ co-solvent mixture, c.c.	5.7	4.8	4.0	5.7	5.5	4.3	3.7	5.5	5.2	4.0	3.7	4.7
Solubility as g/100 ml solvent mixture.	17.5	20.8	25.0	17.5	18.2	23.3	27.0	18.2	19.2	25.0	27.0	21.3

The purified sulphonate was tested for the determination of active material, moisture content, unsulphonated oil, and inorganic sulphate content. Analyses were carried out using conventional procedures and techniques (9). Molecular weight determination of the obtained sulphonate and the starting heavy alkylate was carried out according to a standard method (10).

Kraft point of sulphonate was obtained by observing the temperature at which solid precipitate disappears. The clear point was also determined by measuring the temperature at which the sulphonate solution turns from turbid to being clear (11). Critical micelle concentration (CMC) was determined from surface tension-log concentration isotherms (11). Physico-chemical properties of sodium alkylbenzene sulphonate are presented in Table 3.

Table (3) : Physico-Chemical Properties of Sodium Alkylbenzene Sulphonate

Appearance*	Brown viscous liquid
Active Material, wt %	95
Moisture, wt %	2.5
Unsulphonated Oil, wt %	0.5
Inorganic Sulphate, wt %	0.15
Mean Molecular Weight	458
Krafft Point, °C	27-28
Clear Point, °C	100
Critical Micelle Concentration, g/l.	0.31 (at 28°C)
Surface Tension at CMC, dyne/cm	32.5
pH of 0.1 wt % aqueous solution	6.7
Salt Tolerance**	
In absence of added co-surfactant	0.5 wt % NaCl
In absence of added co-surfactant	0.3 wt % CaCl ₂
In presence of 1 wt % isopropanol	0.8 wt % NaCl
In presence of 1 wt % isobutanol	1.5 wt % NaCl
In presence of 1 wt % isopentanol	1.5 wt % NaCl

* Completely dry sample is a pale yellow powder.

** The highest electrolyte concentration above which sulphonate precipitates from 1 wt % aqueous solution in presence or absence of co-surfactant (e-g. alcohol) at 20°C.

2. Preparation of Ethoxylated Nonylphenol (Non-ionic Emulsifier):

The preparation of ethoxylated nonylphenol was carried out in three-step sequence. The first step involved the preparation of alkylating catalyst from anhydrous aluminium chloride and 98% H₂SO₄ (11,12). The second step involved the alkylation of phenol with nonene (a branched propylene trimer) in presence of the prepared catalyst (12). Nonylphenol was then obtained by fractional distillation under reduced pressure as pale yellow clear liquid, b.p. 138-163°C/10 mm Hg, specific gravity, 25/25, 0.9408 and refractive index $n_D^{25} = 1.5119$. Mas and IR spectra were measured to confirm the structure of the obtained hydrophobe.

The third step involved the reaction between the prepared nonylphenol and ethylene oxide. This was carried out in an apparatus similar to that used by Miller (14). The average number (n) of ethylene oxide moles (EO) condensed per mole of nonylphenol was determined by NMR analysis (15). The obtained ethoxylated nonylphenol had general formula:

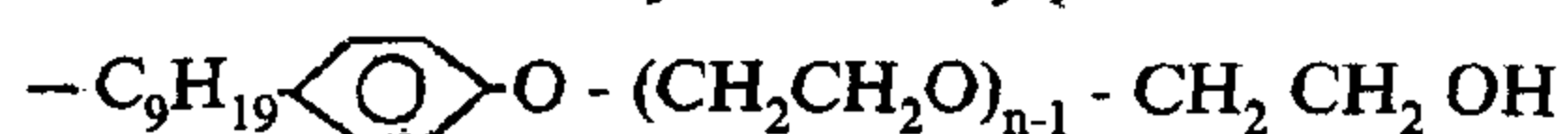


Where $n = 7.5$ and was designated NPE/7.5. The Hydrophile-Lipophile Balance (HLB) was determined using Griffin's equation (15).

$$HLB = \frac{Wt \% EO}{5}$$

Physico-chemical properties of the prepared ethoxylated nonylphenol are presented in Table 4.

Table (4) : Physico-Chemical Properties of Ethoxylated Nonylphenol



Physical form	liquid
Active matter, %	100
Specific gravity, 20/20°C	1.0538
Refractive index n_D^{20}	1.4916
Freezing point, °C	-5
Cloud point, 1 wt % aq. solution, °C	30
Number of ethylene oxide moles (n)	7.5
Average molecular weight	533
hydrophile-Lipophile-Balance (HLB)	12
Critical Micelle Concentration (CMC)	0.218 g/l at 25°C
Surface Tension at CMC, dyne/cm	33.9 at 25°C
pH of 0.1 wt % aqueous solution	7.1
Abbreviation	NPE/7.5

fractions: I- b.r. 150-210°C, II- b.r. 150-160°C and III- b.r. 160-170°C. Fractions I, II and III constituted 35.0, 35.0 and 30.0% by volume of the aromatic naphtha feed, respectively. Fraction I was a blend of the light (20.0%) and heavy (15.0%) ends of the naphtha feed. The specifications of the three fractions are presented in Table I.

Table (1) : Specifications of Candidate Solvents

Specifications	Fractions			Test Method
	(I)	(II)	(III)	
Specific gravity, 15/15°C	0.8332	0.8268	0.8373	ASTM, D-1298
API gravity at 60°F				
Refractive index, n_D^{20}	1.4879	1.4838	1.4922	ASTM, D-1218
Flash point, P.M.	90 (32°C)	90 (32°C)	91 (33°C)	
Closed cup, °F				
Water content, wt%	Free	Free	Free	ASTM, D-95
Sulphur content, wt%	Nil	Nil	Nil	IP 107/65
Nitrogen content, ppm.	413	422	434	Ref. No. 20
Hydrocarbon-type analysis				IP 156/65 T
(FIA Method), Vol. %				
Saturates	9.1	9.7	6.0	
Olefins	Trace	Trace	Trace	
Aromatics	90.9	90.3	94.0	
Distillation test, °C				ASTM, D-86
I.B.P.	150	150	160	
50 % point	169	154	165	
F.B.P.	210	160	170	

II. Emulsifiers:

1. Preparation of Alkylbenzene Sulphonate (Anionic Emulsifier):

A heavy alkylate by-product sample was kindly supplied by Amerya Oil Refining Company, Alexandria, Egypt. Detailed specifications of the material used are shown in Table 2.

Table (2) : Specifications of the Heavy Alkylate

Specifications	Test Method	
Specific gravity, 60/60°C	0.8847	ASTM D-1298
Colour, Saybolt	+ 7	ASTM D-156
Refractive Index, n_D^{20}	1.4882	ASTM D-1218
Pour Point, °C	0	ASTM D-98
Flash Point, Cleveland O.C., °F	355	IP - 36
Water, wt %	Free	ASTM D-95
Doctor Test	- ve	ASTM D-484
Bromine Number	0.1	ASTM D-1159
Kinematic Viscosity at 37.8°C, Cs	41.38	IP 71
Kinematic Viscosity at 100°C, Cs	5.47	IP 71
Viscosity Index	—	IP 73
Average Molecular Weight	385	Ref. No. (9)
Average Carbon Number in Alkyl Chain	13	Ref. No. (14)
Distillation Test, °C		ASTM D-86
I.B.P.	309	
50 %	338	

Sulphonation of this alkylate by-product was carried out using fuming H_2SO_4 (15% SO_3) and 10% aqueous NaOH was used for the neutralization of the obtained sulphonic acid. Purification of the produced sodium alkylbenzene sulphonate was carried out in three steps: de-oiling, de-salting and colour improvement. Details concerning sulphonation, neutralization and purification procedures, have been reported in previous work (8).

PETROLEUM DERIVED SOLVENTS AND SURFACTANTS FOR THE PREPARATION OF PESTICIDE EMULSIFIABLE CONCENTRATES

Part I : The Role of Solvent, Co-solvent and Emulsifier.

**Y. Barakat*, E.K. Heikal*, R.M. Habib*
Z.M. EL-Attal****

ABSTRACT:

Aromatic-enriched petroleum solvents and a prepared anionic/nonionic emulsifier pair were evaluated to get compatible dimethoate oil phase and stable emulsions. The effects of solvent, co-solvent and emulsifier composition were investigated. The results revealed that all the employed solvents gave a compatible dimethoate oil phase in presence of 3% alkylbenzene sulphonate-nonylphenol ethoxylate and an equal amount of co-solvent. Emulsifier blend composition and the type of co-solvent added showed remarkable effects on the specifications and stability of the produced dimethoate emulsion.

INTRODUCTION:

Biologically-active ingredients employed in agricultural formulations are designed for dilution to the field strength applications with water. They have to be dissolved first in an appropriate solvent in presence of a suitable emulsifier to promote spontaneous emulsifiability with water.

Solvents and surfactants used for such formulations have to be economic, commercially available and safe enough to be used without any phytotoxic effect to plants at the field application rate. Many of the petroleum-derived solvents and aromatics have been found to fulfil these requirements (1-3).

Petroleum-derived surfactants which include sulphonates, naphthenates, cresylates and wax acid soaps have been employed to give emulsions of fairly good stability (4). Alkylbenzene

sulphonates (ABS), petroleum sulphonates (PS) and recently alpha-olefin sulphonates (AOS) have been reported to be effective for such applications (5-7).

The aim of the present work is to evaluate some aromatic-enriched petroleum fractions as solvents for dimethoate pesticide. The effect of different types of co-solvents has been also investigated. On the other hand, an anionic/nonionic emulsifier pair has been prepared and evaluated in different formulations to get the most successful emulsifiable concentrate.

EXPERIMENTAL

I. Solvents:

A catalytic reforming heavy naphtha product enriched in aromatics was used as a feed stock in the present investigation. This highly aromatic solvent was further distilled into the following

* Egyptian Petroleum Research Institute, Nasr City, Cairo.

** Central Agricultural Pesticides Laboratory, Ministry of Agriculture, Egypt.

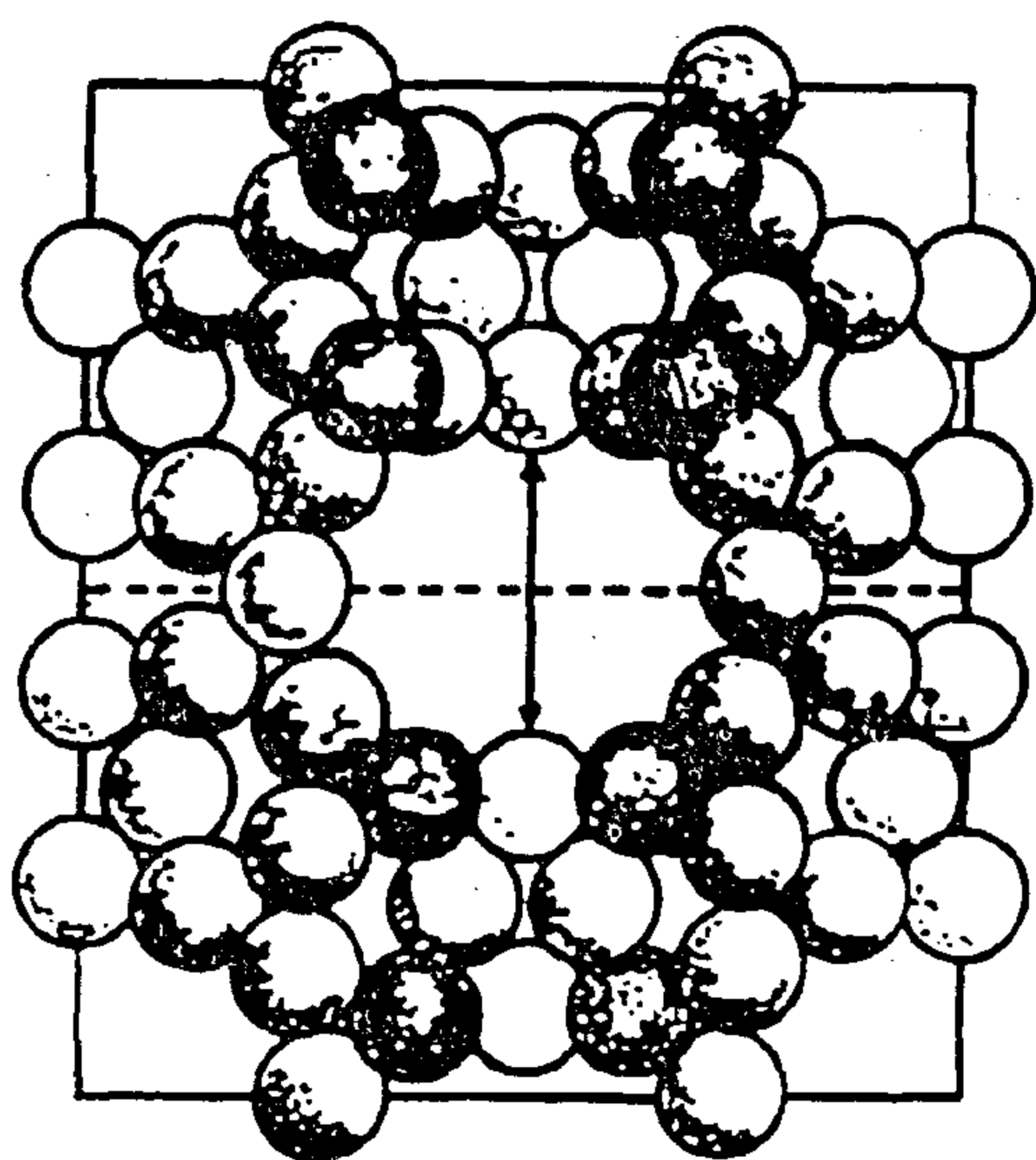
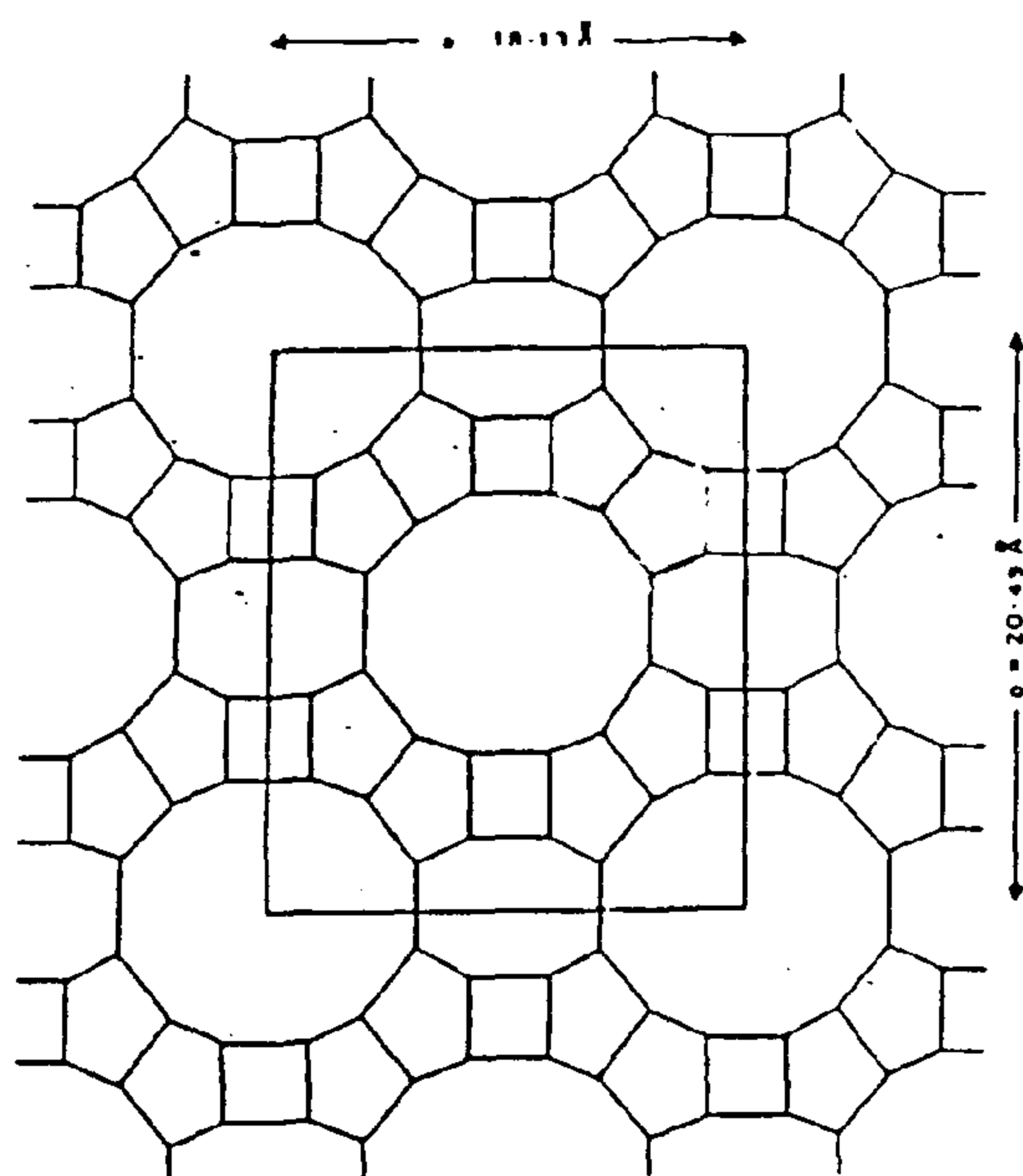


Fig 6: Mordenite Zeolite.

of mordenite i. e. the low charge density of the framework provides the unusual thermal stability of this solid material (Fig. 2).

– The low activation energy of the reaction obtained, on using the Pt/mordenite catalyst, as compared with the higher published data over several catalysts, may be related to that the relative energies of silicate rings are lowest for 5 – rings (mordenite)⁽¹¹⁾.

REFERENCES:

1. Kagan M. Ya and Cheglova N. A. Zh. Fiz. khemi, J. phys. Chem. 23,1033 (1949) (in Russian).
2. Balandin A. A., Dokl. Am SSSR, Proc. Acad., ScUSSR, 93, 475 (1953) (in Russian).
3. Filinovsku V. Ya, Gariev G. A. and Yanovsku M. I., Dokl, An SSSR., 167, 143 (1966) (in Russian).
4. Osman M. M. khalil F. H. and Tannous M. Kh, Bulletin of the Faculty of Engineering (1976 – 1977).
5. Hassan Sh. M. El – Faioumy G. F. Mahmoud B. H. and Roushdy M. I., 7th. Arab Sc. Congr., Cairo, 111, 409 – 422 (1973).
6. Toshihiko k., Hiromichi A., Hirco T., and Taiseiki k., Bull. Chem. Soc. Jap. 45, 613 – 616 (1972).
7. Abou El – Nour F., Abdel – Badei M. M., Mikhail S., and Belacy N., The First International Conference of Applied Science, Zagazig University Vol. Iv. p. 711 (1985).
8. Mikhail S., Barakat Y., and El – Naggat A. First Regional Symposium on Materials Science Vol. V, 123 – 139 (1987).
9. A rora B. R., Chem. Age of India, Vol. 25, No.6, 375, (1974).
10. Minachev kh. M., Garanin V. J. and Isakov Ya. I., Russian Chem. Rev., Vol. 35, No.12, 903 (1966).
11. Brech D. W. «Zeolite Molecular Sieves» Wiley Interscience New York (1974).
12. Davis B. H. «Molecular sieves principles of synthesis and identification» copyright by Van Nostrand Reinhold. New York, (1989).
13. Venuto P. B. and Landis P. S. Advances in catalysis and related subjects 18, Academic press, New York (1968).
14. Bassett D. W., and Habgood H. W. J. Phys. Chem 64, 769 (1960).

The kinetic behaviour of this reaction in the gas phase was studied using the following Bassett equation⁽¹⁴⁾.

$$kk = \frac{F_0}{273 RW} \ln \frac{1}{1 - Q} \text{ mole, atm.}^{-1} \text{ gm}^{-1} \text{ sec.}^{-1} (1)$$

K is the first order rate constant is sec^{-1} .

K is the adsorption equilibrium constant in $\text{mole atm}^{-1} \text{ gm}^{-1}$

F_0 is the gas flow rate corrected to the standard temperature in ml sec^{-1} .

R is the universal gas constant of $82.06 \text{ ml atm } ^\circ\text{K}^{-1} \text{ mole}^{-1}$.

W is the amount of catalyst used in gm.

Q is the fractional conversion in mole.

Accordingly, by plotting $\ln \frac{1}{1 - X}$ versus $\frac{1}{F_0}$, a linear relation is obtained Fig. (4), indicating that the cyclohexane dehydrogenation reaction over such catalyst is a simple first order one, which is in agreement with the behaviour over nickel catalysts promoted with chromia, thoria and chromia – thoria mixture⁽⁷⁾ and also over the kiln dust⁽⁸⁾.

The values of the overall reaction rate constant kk were calculated from the slopes of the corresponding straight lines in Fig. (4). Plotting of $\log kk$ against $\frac{1}{T}$, a straight line was obtained: verifying Arrhenius relation and the energy of activation was determined from the slope of such straight line, Fig. (5). The resulting value is given in Table (4) together with the corresponding data of activity, the overall reaction rate constant (kk) and the temperature coefficient of the reaction rate constant (γ).

kk	mole	atm^{-1}	gm.^{-1}	sec.^{-1}	E	γ
573	598	623	648		k.cal/mol.	
6.66	13.33	18.66	26.66	10.55		1.12

Table 4: Kinetic Data of Cyclohexane Dehydrogenation.

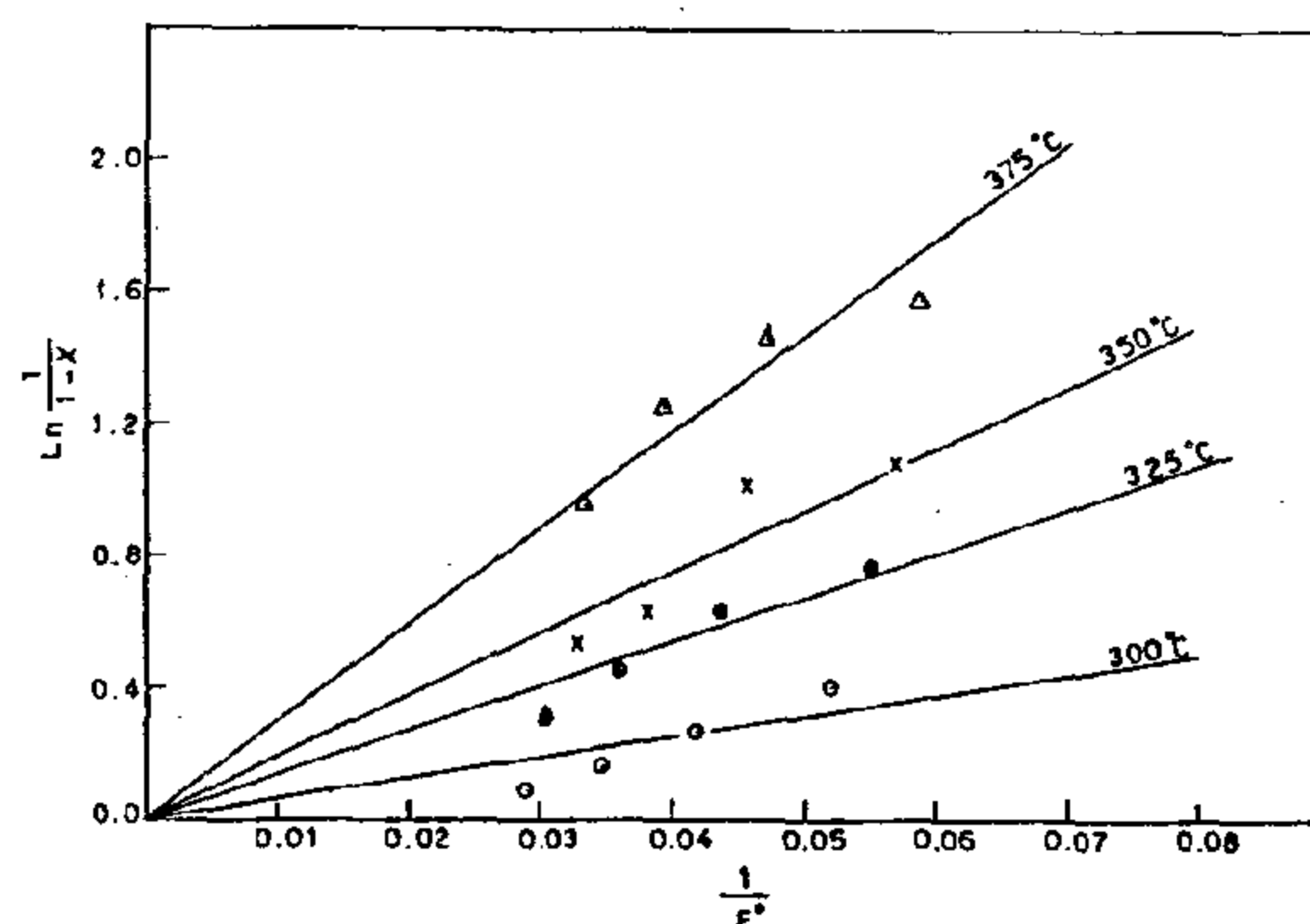


Fig. 4: Effect of contact time on cyclohexane dehydrogenation.

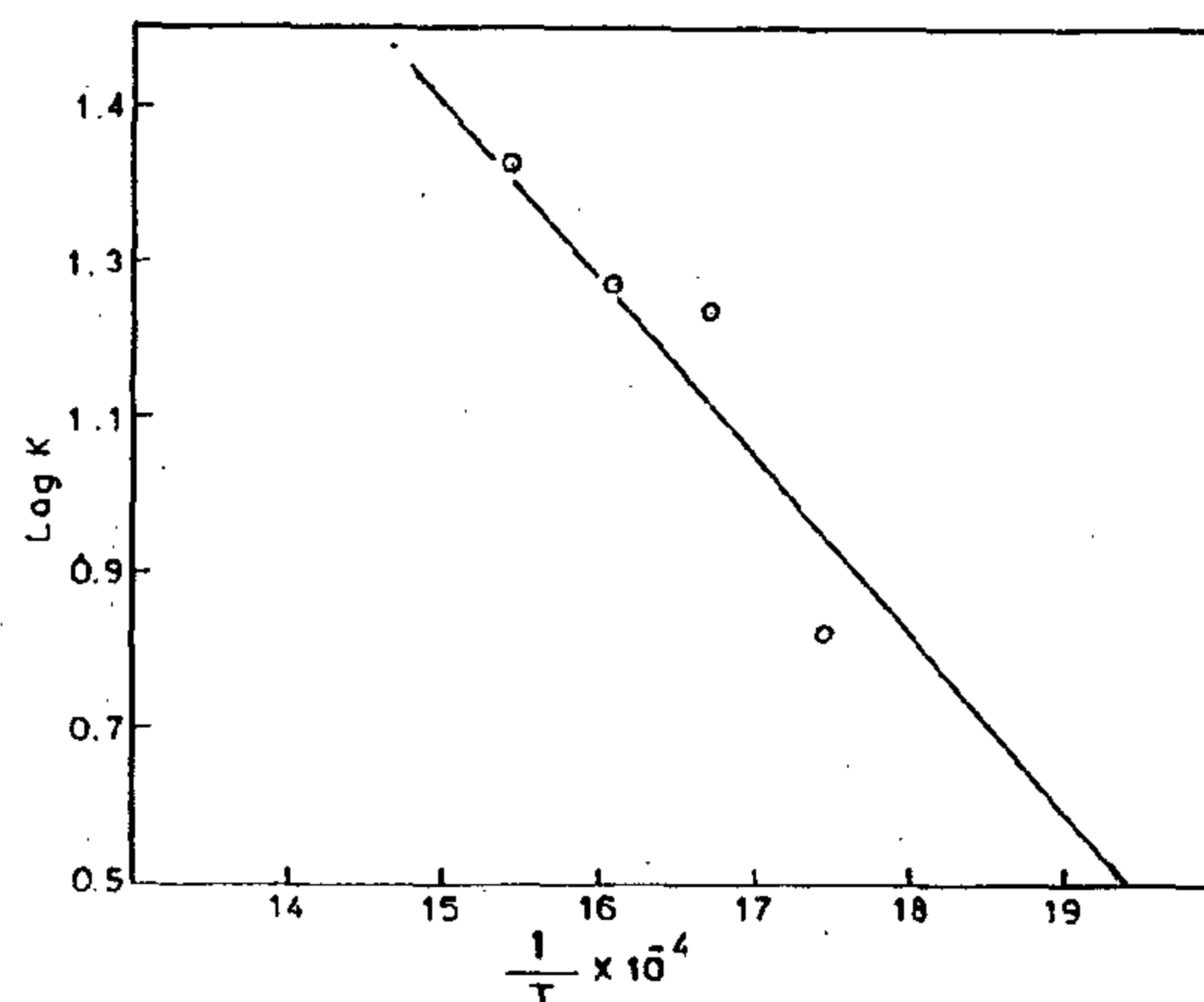


Fig. 5: Arrhenius plot.

CONCLUSION:

Finally, it may be concluded that structure of the support mordenite zeolite plays an important role in the dehydrogenation reaction of cyclohexane owing to that mordenite⁽¹³⁾ has only a two – dimensional tubular pore system Fig. (6). The crystal structure consists of chains of 4 and 5 rings of Si and Al tetrahedra linked laterally so that a system of large elliptical, parallel channels interconnected by small cross channels are created. The large channels are perpendicularly intersected by smaller side pockets with a minimum free diameter of about 3.9°A . Consequently, the Pt/mordenite catalyst can replace partially or totally some other catalysts used in the dehydrogenation of cyclohexane according to the following:

– The high silica/alumina molar ratio (10.54)

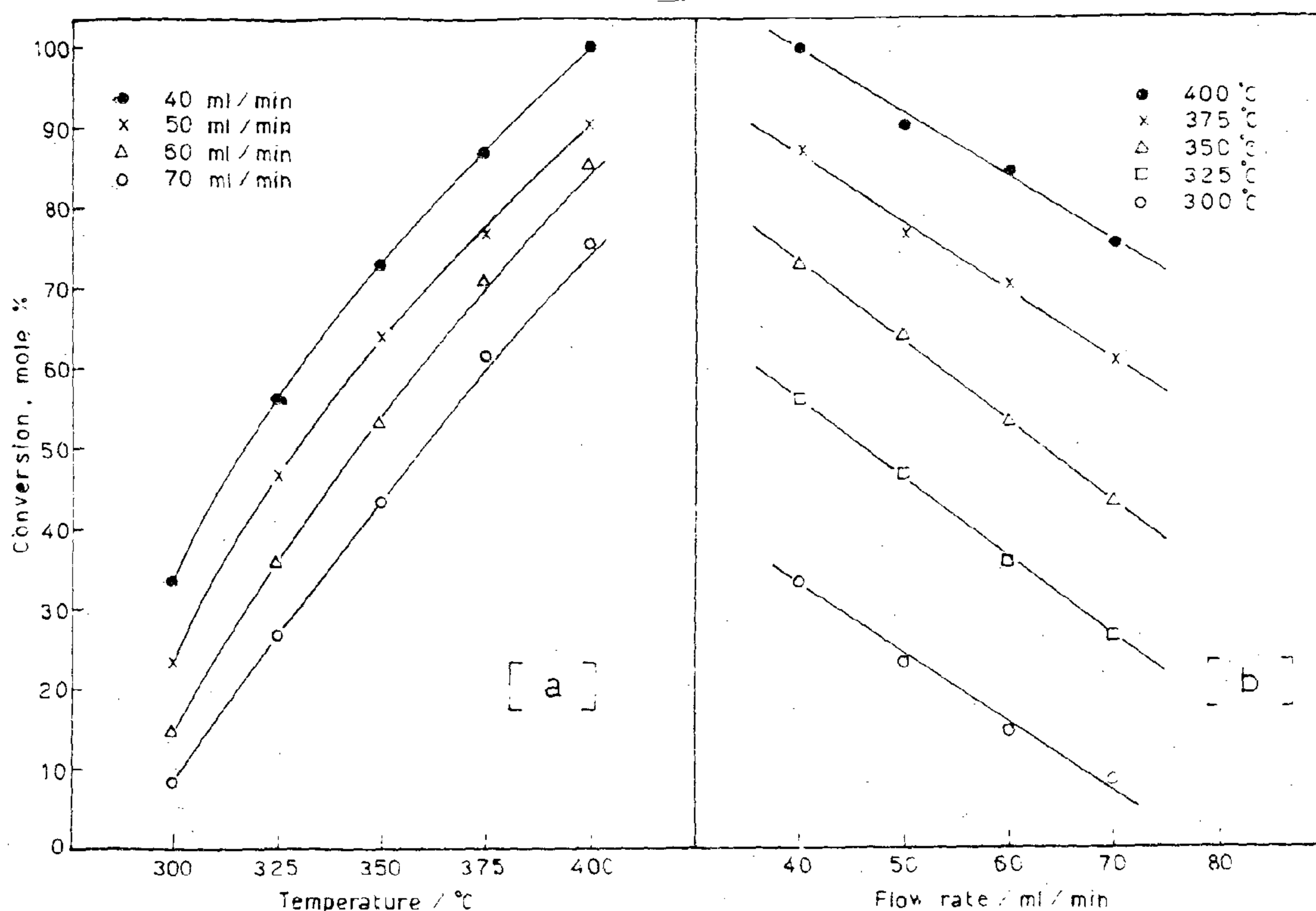


Fig. 3: Effect of Reaction Temperature [a] and Flow Rate [b] on the Conversion of Cyclohexane.

Temp., °C	573				598				623				648				673			
Flow rate, ml/min.	40	50	60	70	40	50	60	70	40	50	60	70	40	50	60	70	40	50	60	70
Conversion, mol. %	33.50	23.00	14.20	8.15	26.50	47.20	35.50	26.50	72.50	64.20	53.30	43.50	86.50	76.50	71.20	61.30	99.84	89.44	86.20	75.20
Benzene, mol. %	33.50	23.00	14.20	8.15	26.50	47.20	35.50	26.50	72.50	64.20	53.30	43.50	86.50	76.50	71.20	61.30	99.84	89.44	86.20	75.20
Cyclohexane, mol. % (unreacted)	66.50	77.00	85.80	91.85	73.50	52.80	64.50	73.50	27.50	35.80	46.70	56.50	13.50	23.50	28.80	38.70	00.16	10.56	13.80	24.80
$\frac{1}{F_0}$ ml. sec.	0.052	0.042	0.035	0.029	0.055	0.043	0.036	0.031	0.057	0.046	0.038	0.033	0.059	0.047	0.039	0.034	0.062	0.049	0.041	0.035

Table 3: Kinetic Parameters of Cyclohexane Dehydrogenation on Na/mordenite Catalyst.

of the carrier hydrogen gas. This means that the selectivity to produce benzene is 100% at all reaction temperatures and at all flow rates.

In general, these experimental facts suggest that the variation in both reaction temperatures and carrier flow rates play an important role in the formation of benzene. This fact is in agreement with the published data (7,8).

Kinetic measurements:

The study of the kinetic behaviour of mordenite catalyst used for the dehydrogenation of cyclohexane in the vapour phase reaction must be important to show the effect of the ways of the arrangement of the silica and alumina tetrahedrals in mordenite (tubular pore system) catalyst which has high activity towards this reaction.

The effect of both the carrier gas flow rate and the reaction temperature on cyclohexane dehydrogenation is given in Tables (3 & 4).

Differential Thermal Analysis (DTA):

Differential thermal profiles of Na – mordenite exhibit an endothermic peak at about 150°C which represents the escape of the sorbed water in the sample but has no effect – on the crystal lattice structure of zeolite. This is also observed as a clear step in the TGA curve Fig. (2).

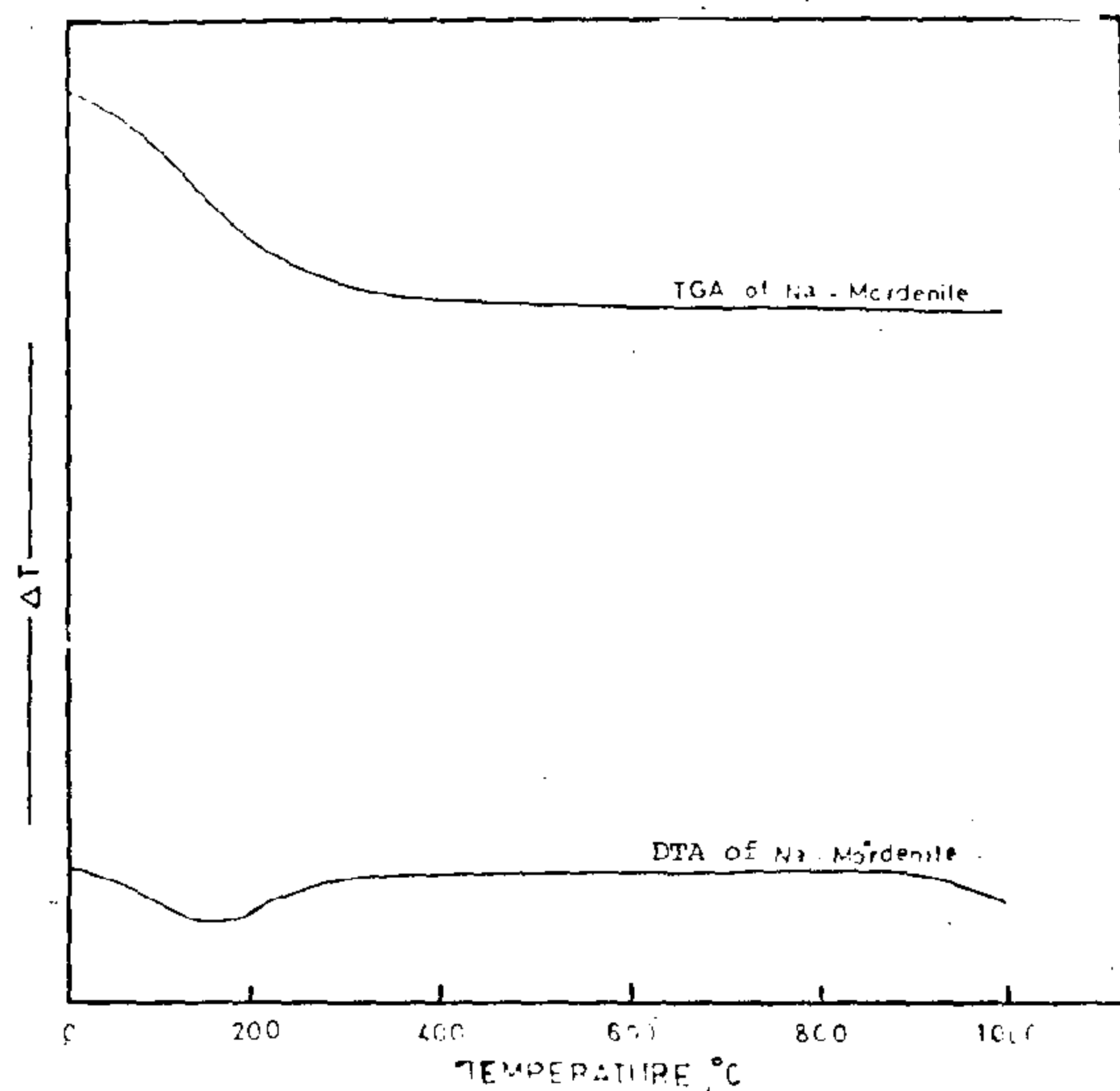


Fig. (2): Differential Thermal Analysis Curves of Mordenite Zeolite.

Table 2: X – ray analysis data for Na mordenite zeolite.

d	I/I ₀	d	I/I ₀	d	I/I ₀
12.80	13.00	4.66	55.68	3.29	79.70
9.06	83.64	3.89	17.57	3.02	57.80
6.69	53.38	3.85	18.84	2.05	29.19
5.70	20.91	3.46	100.00	2.00	13.40

The depicted differential thermal analysis as well as thermogravimetric analysis reveal the thermal stability characterizing the Na – mordenite on raising the temperature up to 1000°C. The TGA curve shows a continuous loss in weight up to 300°C and above this temperature no change in weight is observed Fig. (2). The stability of mordenite may also be attributed to the prevalence of 5 – rings⁽¹³⁾ in its framework structure. The low charge density of the mordenite framework (due to the high Si/Al ratio) and the presence of pockets in the walls of

the channels, which, upon dehydration provide the necessary sites for the cations seems to contribute to some extent to the unusual stability of mordenite.

Catalytic Measurements:

The conversion of cyclohexane to benzene remained nearly constant for the first ten injections of cyclohexane at 10 min intervals. Therefore, the average of conversions in the first ten injections was regarded as indicating the catalyst activity.

The effect of a temperature variation from 300 to 400°C and the effect of a hydrogen flow rate (from 40 to 70 ml/ min.) as a carrier on the conversion of cyclohexane over Pt/mordenite catalyst has been studied. From the chromatographic analysis data, it can be seen that the only converted product is benzene.

The experimental results obtained, representing the examined catalytic system are given in Figs. (3 – 5) and Tables (3 – 4).

It is clear from Fig. (3a) that the total conversion increases with the increase of reaction temperature from 300 to 400°C at any value of the flow rate of hydrogen carrier gas. The conversion reaches 100% at the lowest flow rate (40 ml/min) and at reaction temperature 400°C. Accordingly, data indicate that the rate of conversion increases with the decrease in the flow rate of hydrogen from 70 to 40 ml/min (Fig. 3b) i. e. with the increase in the contact time on the catalyst.

It is clear from data in Table 3 that, benzene is the only converted product. The amount of benzene increases with the increase in the investigated reaction temperatures from 300°C and reaches 100% at 400°C and at a flow rate of 40 ml/ min, consequently the amount of cyclohexane shows the reverse i. e. decreases sharply with the increase in the reaction temperature up to 375°C until reaches zero at 400°C (Table 3). At the same time, the amount of cyclohexane decreases by decreasing the flow rate

differential thermal analysis and thermogravimetric analysis to trace the structural changes accompanying the thermal treatment. In addition X-ray analyses (diffraction, fluorescence) were also carried out to study the crystalline structure and chemical composition.

2. Catalyst activity testing:

The dehydrogenation of cyclohexane, was carried out at different temperatures in the range of 300 – 400°C using the pulse technique. In the micro-catalytic reactor 0.5 gram of the dried catalyst was placed between two thin quartz layers. Before carrying out, any reaction the catalyst was activated at 450°C for two hours in a stream of hydrogen carrier gas and then lowered to the required temperature. A 2 ul dose of cyclohexane was injected into the hydrogen stream continuously flowing down the catalyst bed at a rate varying from 40 to 70 ml/min.

Products stream was immediately analyzed, when passing through the gas chromatographic column directly attached to the micro-reactor. The column was packed with cromosorb w 60 – 80 mesh size loaded with 20% by weight silicon oil 550 and maintained at a temperature 100°C.

RESULTS AND DISCUSSION

Structural Changes:

Chemical analysis:

Chemical analysis of mordenite zeolite was carried out. Data are given in Table 1.

Table 1: Chemical analysis of Na – mordenite zeolite.

Component	Wt %
SiO ₂	69.82
Al ₂ O ₃	11.23
Na ₂ O	6.36
MgO	0.44
CaO	0.24
K ₂ O	0.19
Fe ₂ O ₃	---
FeO	---
MnO	---
Ignition loss	11
SiO ₂ /Al ₂ O ₃ Molar ratio	10.59

Data indicate that the percentage of ignition loss is considerably high, and is most probably due to the fact that the zeolite contains a large amount of water which is expelled on heating the material to 300° C. This is further confirmed by differential thermal analysis (DTA) and thermal gravimetric analysis TGA Fig. (2).

The silica/alumina molar ratio is found to be 10.54 and is in conformity with the published values⁽¹¹⁾.

X – Ray Analysis:

Results are given in Table (2) and Fig. (1). The characteristics d – spacing (Å°) and the relative intensities 1/1₀ for this material are in line with the published data for the crystal structure of Na – mordenite zeolite⁽¹²⁾.

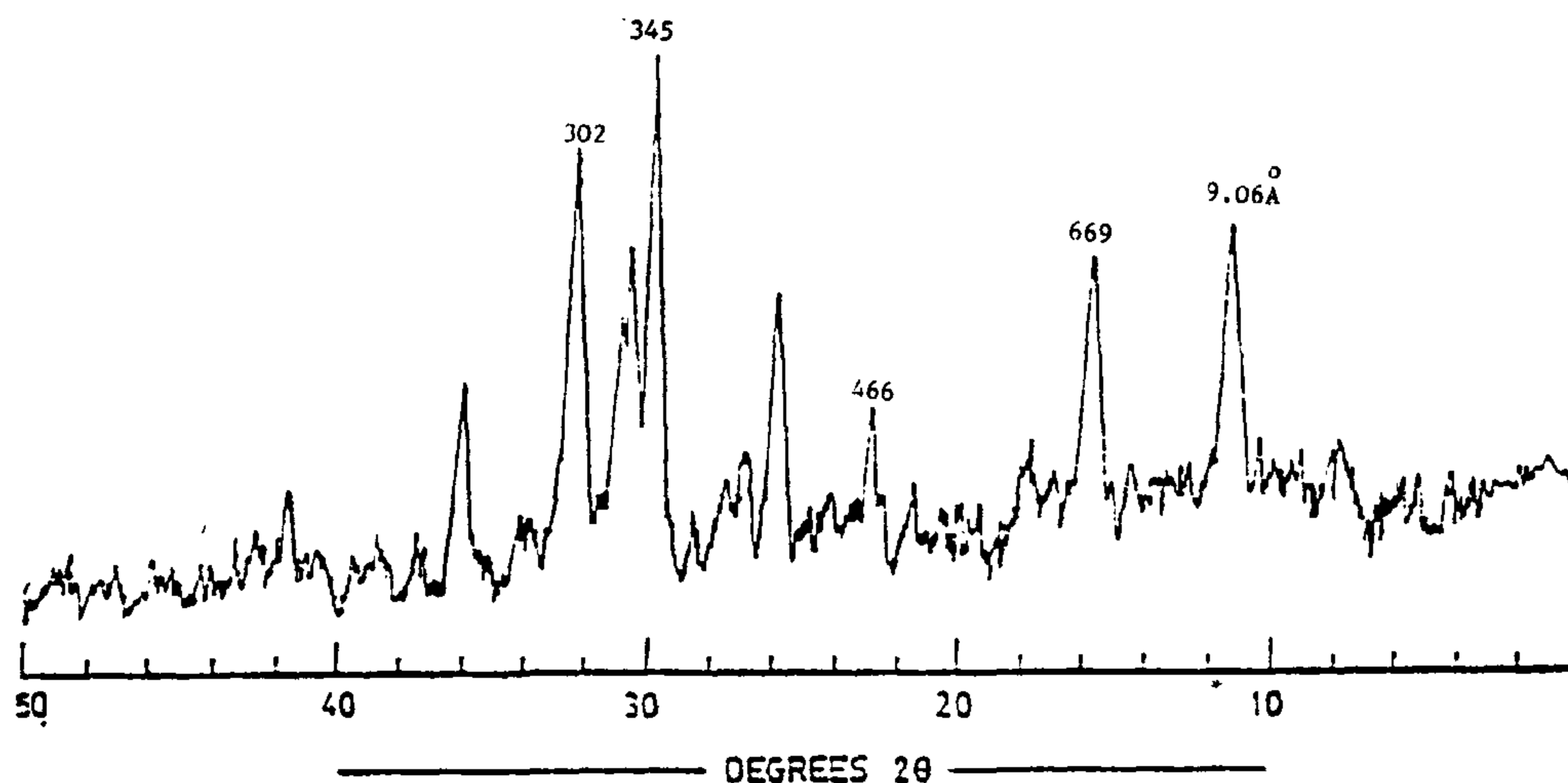


Fig. (1): Diffractograph for Na – mordenite Zeolite.

DEHYDROGENATION OF CYCLOHEXANE OVER pt/ MORDENITE ZEOLITE CATALYST

S. MIKHAIL*

Z. SOBHI*

ABSTRACT:

The dehydrogenation of cyclohexane was selected as a model reaction for measuring the catalytic activity of pt/ mordenite catalyst.

The mordenite support which has only a two – dimensional tubular pore system was firstly calcined at 500°C and then impregnated with 0.5 wt% pt.

The catalytic activity of this catalyst was investigated under atmospheric pressure in a pulse microcatalytic reactor operating between 300 – 400°C and a hydrogen carrier gas flow rate between 40 – 70 ml/min.

Results obtained, revealed that pt/ mordenite catalyst has a pronounced effect on the dehydrogenation of cyclohexane to benzene and was found to be an active and selective catalyst in this conversion reaction. The only product obtained was benzene. Thus, the selectivity of the catalyst towards benzene formation is 100% at all reaction temperatures and at all flow rates.

Dehydrogenation of cyclohexane over this catalyst was found to proceed according to simple first order rate law.

INTRODUCTION

The dehydrogenation of cyclohexane to benzene is the main reaction occurring in the catalytic reforming of naphtha to improve the gasoline antiknock quality. Many catalysts were employed for such purposes^(1 – 7). Recently, the waste material cement kiln dust which is by-product generated in the production of Portland cement clinker was used for the dehydrogenation of cyclohexane under atmospheric pressure in a pulse microcatalytic reactor. Such material was found to be an active and selective catalyst for production of benzene via dehydrogenation reaction of cyclohexane as reported by Mikhail et al.,⁽⁸⁾.

It is well known that the characteristics of the

carriers have a profound effect on the activity and selectivity of the catalysts towards this dehydrogenation reaction^(9 – 10).

The present investigation was undertaken to study the catalytic activity of the Pt/mordenite catalyst towards the dehydrogenation reaction of crystalline under atmospheric pressure in a pulse microcatalytic reactor and to present the kinetic discussion of this reaction on the two – dimensional tubular pore system (mordenite).

EXPERIMENTAL

1. Structure and phase change:

The behaviour of the Pt/mordenite catalyst has been studied by different techniques,

* Engyptian petroleum Research Institute, Nars City, Cairo Egypt

(3, 14) nitro group in the olefin molecule decreases the electron density on the terminal alkenyl double bond, and thus increases the reactivity of the dienophilic olefin.

It is known that the cyclo addition reaction is influenced by the energy gap. Thus when this is small as with a dienophile with an electron withdrawing nitro group the reaction is more reactive. If the energy gap is large, as with an electron donating methyl group, the reaction is less favoured. Therefore the condensation reaction of H. Cl. C. P. D. with an allylic dienophile and an electron donating group is less favoured and of lower yield, reference 13, than with an electron withdrawing group.

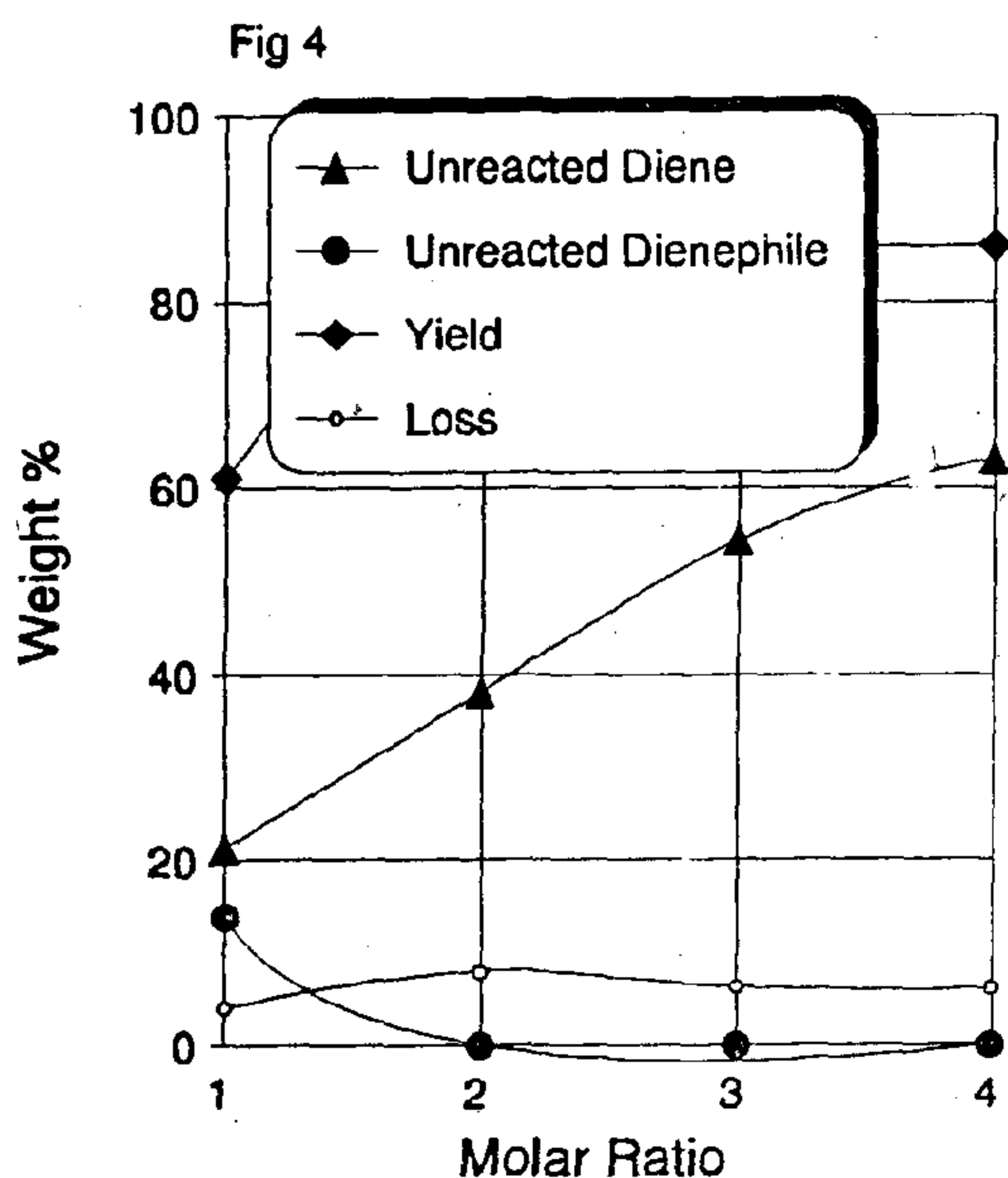
CONCLUSIONS:

1. Allyl p-nitrophenyl ether as a new allylic dienophile was prepared and its structure confirmed.
2. The Diels - Alder 1, 4 - addition reaction studied using a diene, H. Cl. C. P. D., and dienophile, allyl p-nitrophenyl ether.
3. The condensation reaction takes place under pressure without catalyst or solvent.
4. Reaction conditions were studied; Temperature 60 - 150°C. reactant molar ratio 1:1 to 4 : 1, and reaction time 1 to 7 hours.
5. The structure of the new adduct was confirmed by; molecular weight, NMR, IR, and R_f value.
6. The addition takes place in the cis form with respect to the dienophile.
7. The optimum conditions for maximum product yield were found to be; temperature 100°C, reactant molar ratio 2 : 1 with a reaction time of five hours.
8. Maximum adduct yield was 86.5%.
9. It was determined that the reactivity of allyl p-nitrophenyl ether is higher than allyl p-tolyl phenyle ether in the condensation reaction with H. Cl. C. P. D.
10. Investigations continue into the uses of the two new adducts.

REFERENCES:

1. Cave M. P., Mitchell M. J., J. Am. Chem. Soc. 81, 5409 (1959).
2. Wassemann A., Diels - Alder Reaction, Elsevier Publishing Co., London, 1965, 1

- 4 - cyclo - addition the Diels - Alder Reaction, Harmer J. (ed), Academic Press, New York, 1957.
3. March J., Arognic Chem. Reaction, Mech., Structure. 2nd. edition. (5.51, The Diels - Alder Reaction).
4. Finar I. L., The Fundamental Principles of Org. Chem., Vol. 1, 6th Edition p. 916.
5. Hoch P. E., Clegg J. A., A Study of the Diels - Alder Addition, J. A. Soc. 81, 20 p. 5413 - 17, 1959.
6. Konovalov A. N., The Chem, The Activity of Dienophiles in Diene Synth.. Vol. 162, No. 2, p. 343 - 346, 1973, DAN USSR.
7. Moganulunsku F. F., Omadov T. A., Amar H. A., Condensation of Hexachlorocyclopentadiene with orthochlorophanyl allyl ether. J. AZR. Chem. No. 4, p 51 - 54, 1980, Baku USSR.
8. Ammar H. A., Omadov T., Condensation of Hexachlorocyclopentadiene with p-chlorophenyl allyl ether, III Conf. Baku Ins. of Oil & Chem. p. 301 - 302, 1981, USSR.
9. Moganulunska F. F., Omadov T. A., Youssif M. A., Study of the kinetics of the Confensation Reaction of 5,5 Dimethoxy Tetrachlorocyclopentadiene with O-, and p-chlorophenyl allyl ether. Conf. Problems of Today in Petrochemicals, p. 3 - 4 OFA, 1982, USSR.
10. Eields E. K., Reactions of Mono Olefins and Hexachlorocyclopentadienes. J. A. Soc. 76, 10 p. 209 - 210, 1954
11. Beeves W. A., Guthrie J. D., Intermediate Flame Resistant Polymers. Ind. Eng. Chem., 1956, Vol. 48, N. L., p. 64 - 67.
12. Mattier J., Alle A., Principles of Org. Synth.: p. 546 - 547, Paris, 1957. Trans. Russian 1962.
13. Youssif M. A., Condensation of Hexachlorocyclopentadiene with allyl p-tolyl ether. Sub. Hungarian J. of Ind. Chem. (VVE) P. O. B. 158.
14. Carey F. A., Sunberg R. J., Adv. Org. Chem.. p 404 ref. 66 (Sauer J, Weist H., Mierlert A.).
15. Carey F. A., Sunberg R. J., Adu. Org. Chem.. p 404 ref. 67 (Sauer J.).



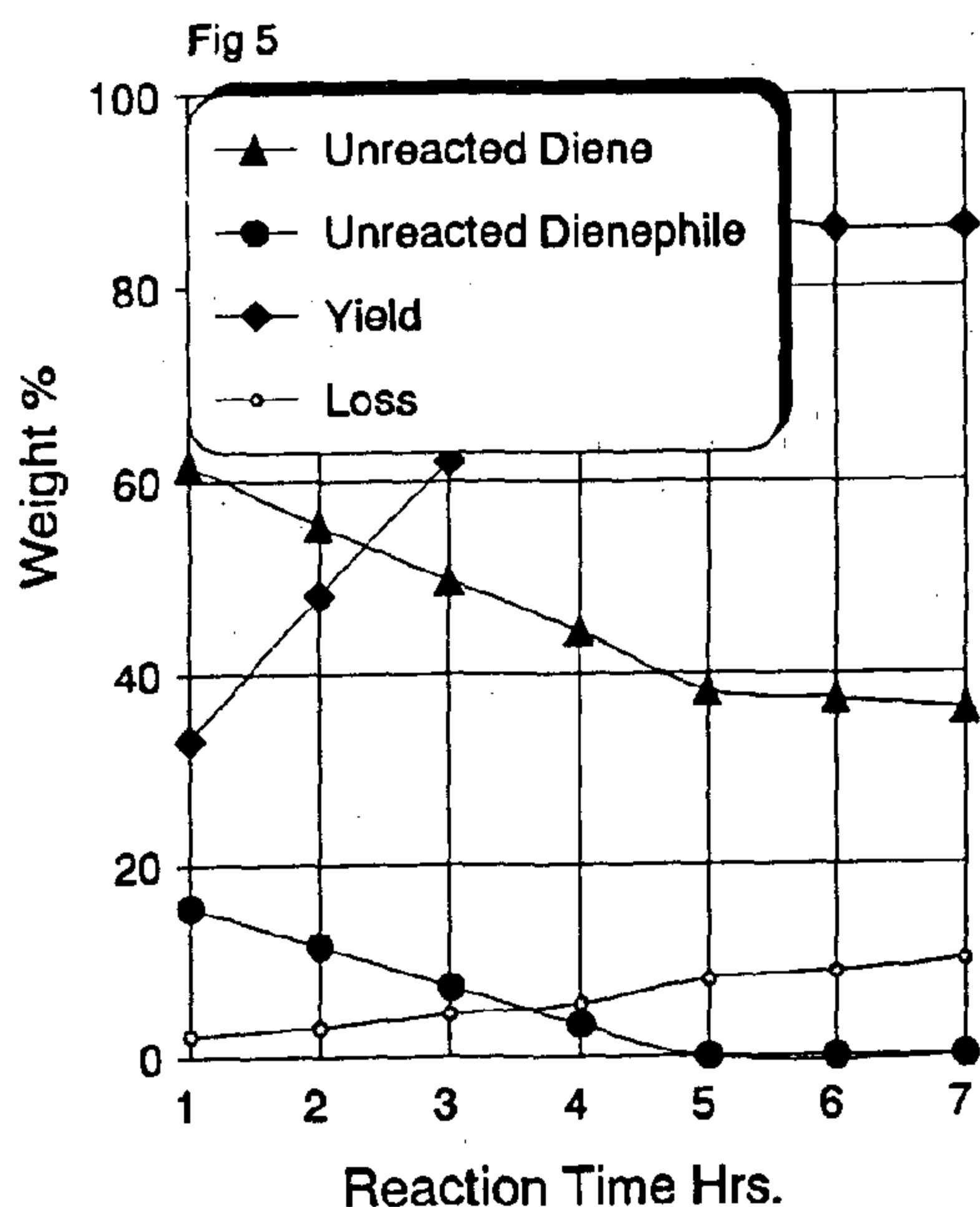
Effect of molar ratio, diene:dienophile, on the condensation reaction of H.Cl.C.P.D. with allyl p-nitrophenyl ether.

The effect of reaction time on product yield was studied over the range one to seven hours with a fixed reactant ratio of 2 : 1 and a fixed temperature of 100°C. Figure 5 shows the effect of reaction time on product yield with a maximum yield at five hours. Further increase in reaction time has no effect on product yield (7 - 9).

Table 3: Effect of varying the reaction time on the condensation reaction of H. Cl. C. P. D. with allyl p - nitrophenyl ether.

Reaction Time Hrs.	1.0	2.0	3.0	4.0	4.0	6.0	7.0
Matreial Balance Weight %							
Unreacted Diene	61.66	55.47	49.73	44.48	38.12	37.29	36.19
Unreacted Diennophile	15.52	11.55	7.18	3.31	0.00	0.00	0.00
Cinden. Product	20.61	39.94	38.63	46.80	53.98	53.98	53.98
Loss	2.21	3.04	4.36	5.41	7.90	8.73	9.83
Total	100.	100.	100.	100.	100.	100.	100.
Yield Wt. % Dienophile	33.00	48.00	62.00	75.00	86.50	86.00	86.00

Fixed Criteria: Temperature 100°C, weight of diene; 13.6 gm, weight of dienophile; 4.5 gm.



Effect of varying the reaction time on the condensation reaction of H.Cl.C.P.D. with allyl p-nitrophenyl ether.

The condensation reaction is exothermic and takes place under pressure in the absence of solvents or catalysts. The allyl p - nitrophenyl - ether (dienophile) was prepared and character - ized by its average molecular weight and infrared spectra.

The new adduct was confirmed by: -

- Average Molecular Weight 542.3
- R_f 0.79

From the infrared spectra, see figure 1, there is evidence that the addition takes place in the cis form and that the reaction is stereospecific (3, 4). The NMR evidence, figure 2, confirms the proposed proton positions.

The optimum conditions for maximum product yield were found to be five hours reaction time at 100°C with a reactant mole ratio diene: dien - ophile of 2 : 1. This represents 86.5% of the possible stoichometric yield.

The product yield is higher than that obtained in reference 13 although the two dienophiles are of the same allylic structure. This implies that the substituents on the olefin (dienophile) mol - ecule have a major effect on the electron density of the terminal double bond (alpha position) of the side chain and consequently on the product yield. The presence of an electron withdrawing

RESULTS AND DISCUSSION

In order to compare the reactivities of allylic dienophiles a study of the reaction of H. Cl. P. D. with allyl p – nitrophenylether was carried out and the results compared with those from reference 13.

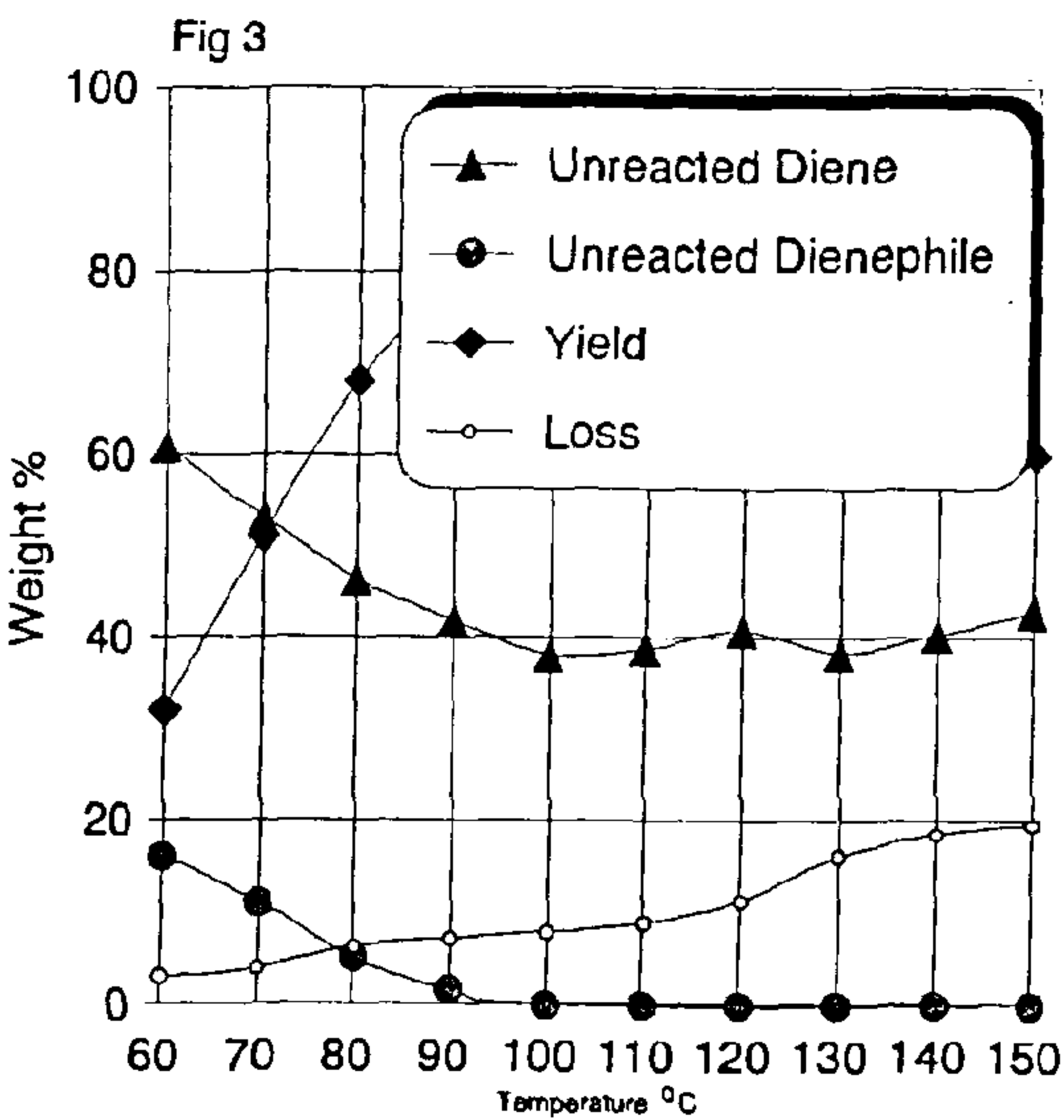
Determination of the optimum reaction conditions.

The effect of temperature, reaction time, and reactant ratios on product yield were studied. The results are given in tables 1 – 3. The study of temperature effect on product yield was carried out over the range 60 – 150°C, a fixed reaction time of five hours, and a fixed reactant ratio of 2 : 1 diene to dienophile. Figure 3 shows that the product yield increases with increasing temperature upto a maximum at 100° C. The decrease in yield above 100°C was attributed to the formation of undesirable byproducts.

Table 1: Effect of temperature on the condensation reaction of H. Cl. C. P. D. with allyl p – nitrophenyl ether.

Temp. °C	60	70	80	90	100	110	120	130	140	160
Material Balance Weight %										
Unreacted Diene	60.88	53.09	46.29	41.82	38.12	38.62	40.66	38.29	40.28	42.93
Unreacted Dienophile	16.08	11.10	5.09	1.66	0.00	00.0	00.0	00.0	00.0	00.0
Conden. Product	20.00	31.83	42.43	48.34	53.98	52.53	48.07	45.52	41.22	37.46
Loss	3.04	3.98	6.19	7.18	7.90	8.95	11.27	16.19	18.50	19.61
Total	100	100	100	100	100	100	100	100	100	100
Yield Wt. % Dienophile	32.00	51.00	68.00	79.00	86.50	84.50	77.00	73.00	66.00	60.00

Fixed Criteria: Weight of diene; 13.6 gm, weight of dienophile; 4.5 gm, reaction time five hours.



Effect of temperature on the condensation reaction of H.Cl.C.P.D. with allyl p-nitrophenyl ether.

The effect of reactant ratio (diene: dienophile) on product yield was studied over the range 1 : 1 to 4 : 1 with a fixed reaction time of five hours and a fixed temperature of 100°C. Figure 4 shows the effect of reactant ratio on product yield with a maximum yield of 86.5% being achieved at a 2 : 1 ratio of diene: dienophile. It was concluded that excess diene in the reaction medium increases the rate and yield of the reaction. Once the optimum mole ratio has been achieved further excess of diene has no effect on the rate or yield of the reaction (7 - 9).

Table 2: Effect of molar ratio, diene: dienophile, on the condensation reaction of H. Cl. C. P. D. with allyl p – nitrophenyl ether.

Molar Ratio Diene: Dienophile	1:1	2:1	3:1	4:1
Total Weight of Reactants gm	11.30	18.10	24.90	31.10
Material Balance Weight %				
Unreacted Diene	21.24	38.12	54.42	63.09
Unreacted Dienophile	13.81	0.00	0.00	0.00
Condensation Product	60.97	53.98	39.24	30.82
Loss	3.98	7.90	6.34	6.09
Total	100	100	100	100
Yield Wt. % To Dienophile	61.00	86.50	86.00	86.00

Fixed Criteria: Temperature 100°C, reaction time five hours.

(4.5 gm) of allyl p-nitrophenylether. The flask was stoppered and placed in an oil bath. At each temperature (60 – 150° C) the reactants were kept for a constant time, 5 hours. The condensation reaction was carried out without solvents or catalysts, and the new adduct separated by distillation. Weights of the adduct, unreacted dienophile were determined. The recrystallization of the new adduct, using a 1 : 1 mixture of acetone and n-hexane, was carried out within two days.

The new adduct displayed the following properties: –

- Melting Point 134 – 135°C.
- Molecular Weight 452.3
- R_f 0.79
- Solubility – soluble in chloroform, benzene, and DMF
- Infraed Spectra – confirmed the proposed structure (Fig 1).
- NMR – see Fig. 2

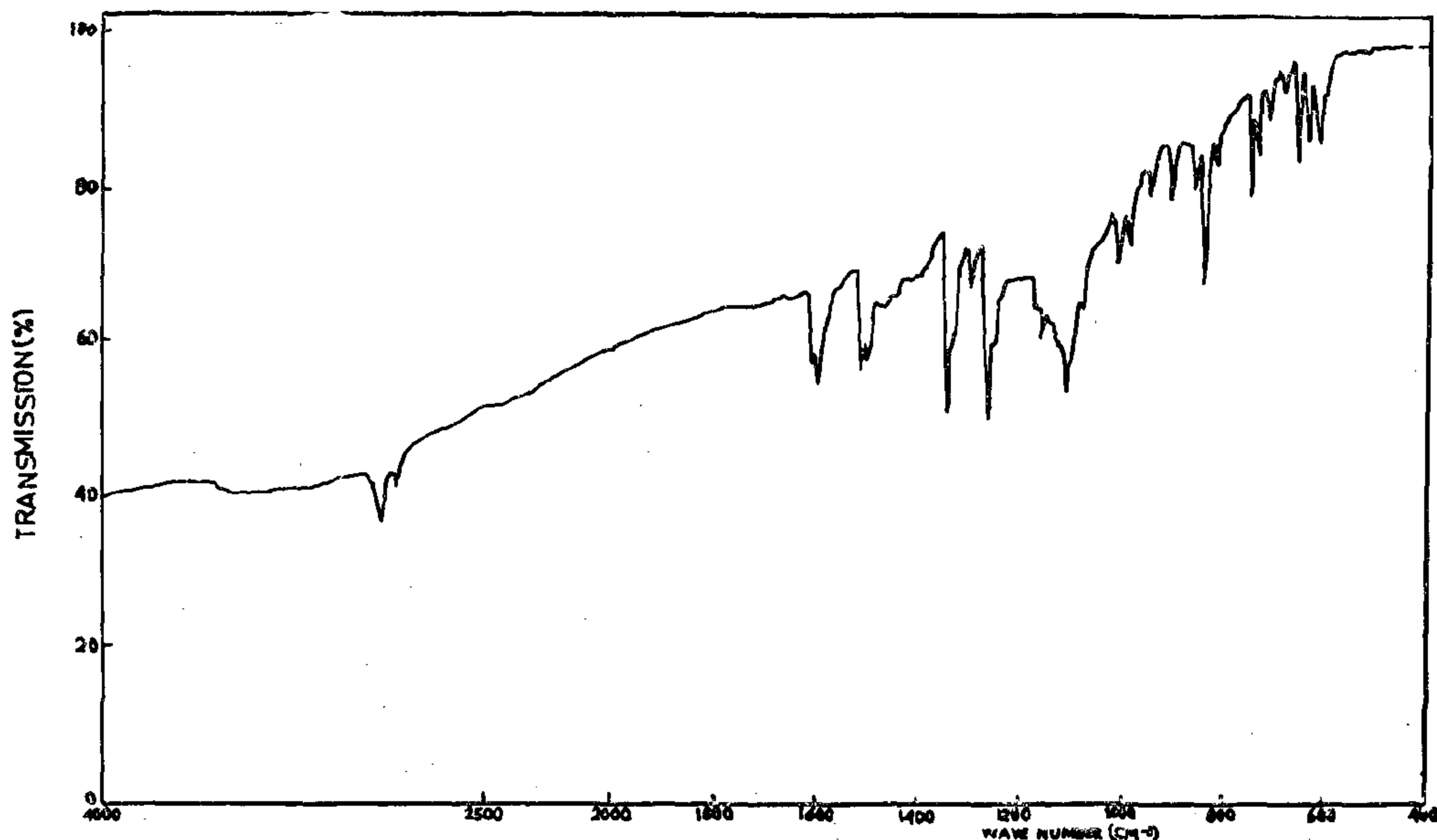


FIG.1 IR OF (1,2,3,4,7,7) HEXACHLOR 5(PARA-NITROPHENOMETHYL) BICYCLO(2,2,1) HEPTANE 2.

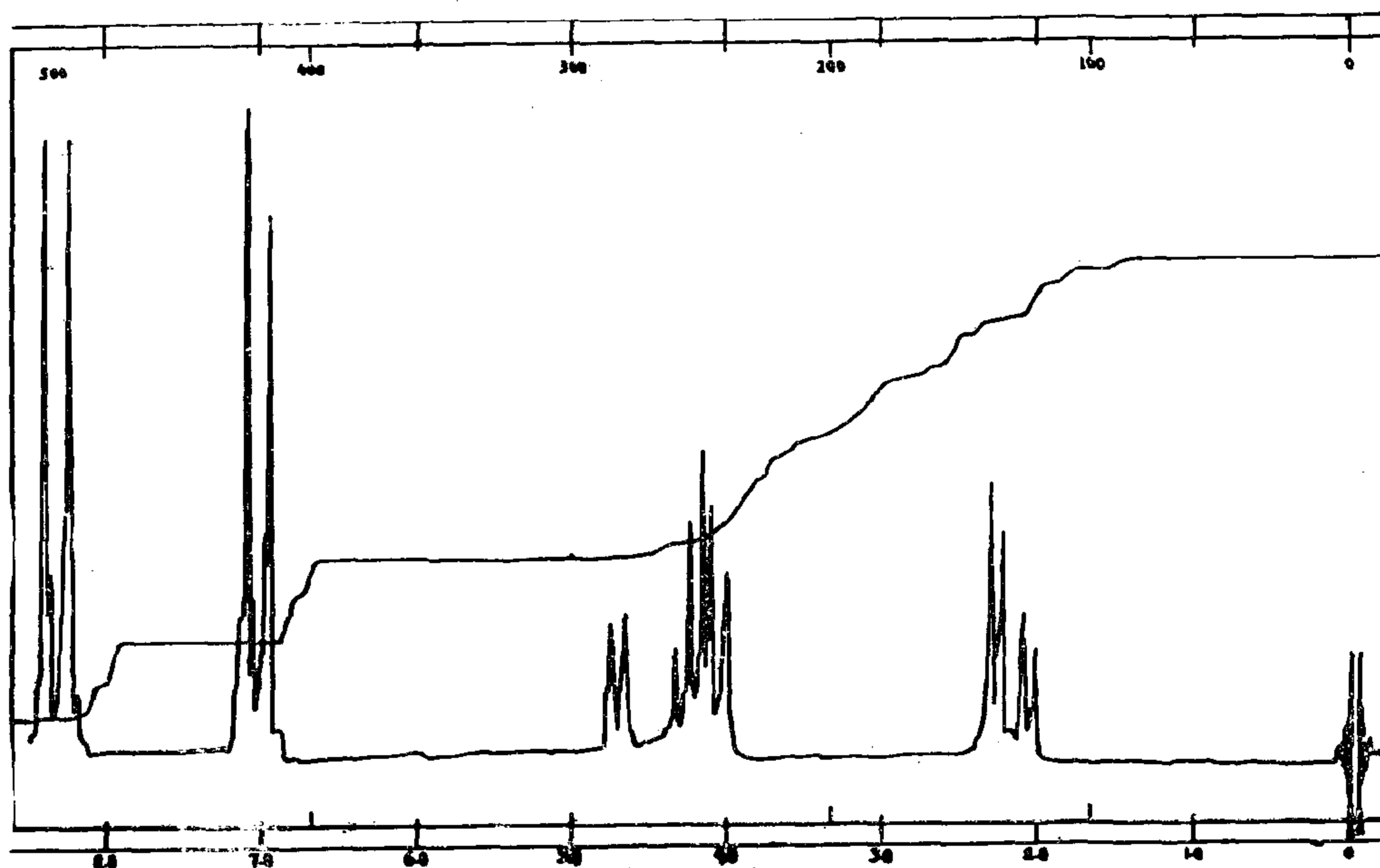


FIG.2 NMR OF (1,2,3,4,7,7)HEXACHLOR 5(PARA-NITROPHENOMETHYL) BICYCLO(2,2,1) HEPTANE-2.

dienophile. Kinetic (10) studies show that the condensation reaction of H. Cl. C. P. D. and its derivatives with halogenation dienophiles of allylic types are carried out only at high temperature and in the liquid phase.

The bicyclic products obtained from the diene synthesis using H. Cl. C. P. D. have many industrial applications: – Synthesis (11) of polyther resins with high thermal and fire retardant properties.

EXPERIMENT:

METHODS

a. Infrared Spectroscopy (IR)*

The IR analysis was carried out using a Backman TM infrared spectrometer at wavelengths from 600 – 4000 cm⁻¹ and absorbance from 0 – 2.0.

B. Nuclear Magnetic Resonance (NMR)**

The NMR analysis was carried out using a VarianTM T60 – A with a sweep width of 500 Hz and CDCl₃ solvent at room temperature.

C. Thin Layer Chromatography Preparation (T. L. C.)

A 0.25 mm. layer of silica gel (30 gm with 60 ml H₂O) was spread over a glass plate, 20 cm x 20 cm, and 100 ml of acetone/n – hexane (1:1) solvent used in a ShardonTM chromatography tank. The dimensionless R_f value is calculated using experimental data from the ratio: –

$$R_f = \frac{\text{distance of a compound from origin to the center of the spot}}{\text{distance from origin line to front origin.}}$$

Preparation of Allyl P – Nitrophenylether:

A mixture of one mole of p – nitrophenol, 140 gm, with one mole of allyl bromide, 121 gm, with a weak base, about one mole of anhydrous K₂CO₃ and a polar solvent, 150 gm of acetone, was refluxed (8, 12) for 10 to 12 hours over a water bath. After reflux the reaction mixture was

cooled and then poured into iced water and the product extracted with diethyl ether.

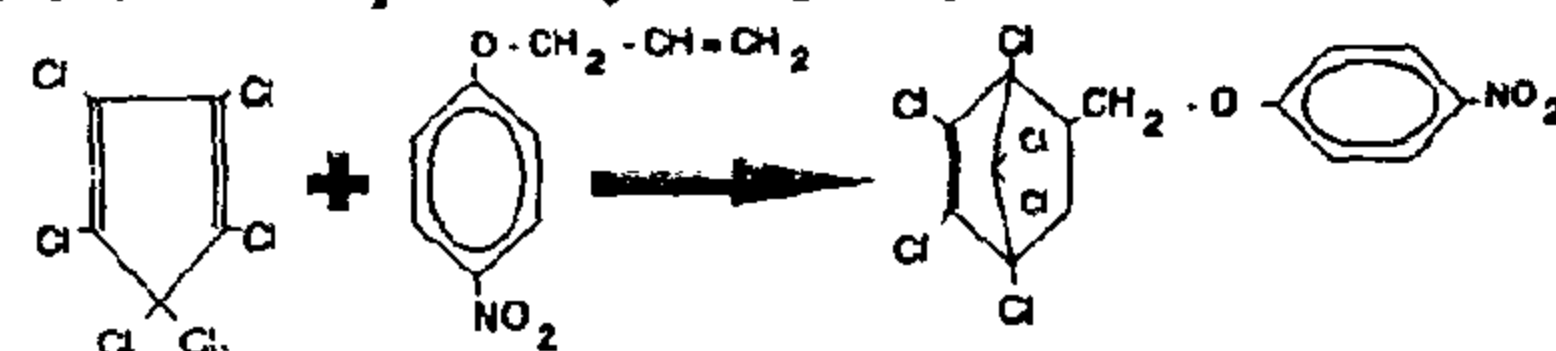
The etheric solution was shaken with 10% sodium hydroxide solution, washed with cold water, and dried. The reaction product was then distilled and the allyl p – nitrophenylether fraction collected at 160° C/12mm. Hg with a 92% yield by weight. A pale yellow crystalline product was obtained after recrystallization using ethanol and fresh dienophile with the following properties: –

- Melting Point 34°C.
- Molecular Weight 179.2.
- Solubility – Good in ether and acetone; good in hot ethanol, weak in cold.
- Infrared Spectra – The following data confirmed the proposed structure of allyl p – nitrophenyl ether: –

Assignment	Peak cm ⁻¹
Aromatic C – H	3030
CH ₂	2900
Conjugate C = C	1580 – 1640
Aromatic Substitute	1490, 1580 – 1640
CH = CH ₂ (Terminal)	
CH – Stretching	3030
CH in plane bending	1320
CH out of plane bending	680, 850 – 995
Allylic ether structure	1220 – 1110
1, 4 aromatic structure	800 – 870, 1090, 1280
NO ₂	800 – 840
C – NO ₂ (aromatic nitro compound)	1360 – 1520
O – N = O	1610 – 1640

Synthesis of 1, 2, 3, 4, 7, 7, Hexachloro 5

Para – nitrophenoxymethylbicyclo 2, 2, 1 heptene 2



In a round bottomed 50 ml flask 0.050 mole (13.6 gm) of H. Cl. C. P. D. was mixed with 0.025 mole

* Infrared Spectrometry carried out at The Egyptian Petroleum Research Institute.

**Nuclear Magnetic Resonance Analysis Carried out by The National Center for Radiation Research and Technology (Egypt).

DIELS – ALDER SYNTHESIS USING HEXACHLOROCYCLO – PENTADIENE WITH ALLYL P – NITROPHENYLETHER

M.A YOUSSEF*

ABSTRACT:

Synthesis of bicyclic systems containing chlorine atoms and or other groups in aromatic rings can be considered as a new method for the production of new adducts. One of the most important types in the cycloaddition reaction, Diels – Alder (1 , 4) addition.

This reaction takes place without the use of catalysts or the elimination of any compound. Dienophiles of allylic types and or their ether or ester derivatives are established as new sources for the condensation reaction. Allyl p – nitrophenylether was one of the new dienophiles synthesized and its structure confirmed.

– The condensation reaction of hexachlorocyclopentadiene (H. Cl. C. P. D.) with allyl p – nitrophenyl ether was studied to determine the optimum condensation reaction conditions. Temperature (60 – 150°C), reaction time (1 – 7 hours), and molar ratio diene: dienophile (from 1 : 1 to 4 : 1) were all monitored to determine conditions for maximum product yield. The addition takes place in the stereo specific cis form, and the effects of substituents in the dienophile molecule either as electron acceptors or as electron donors in the condensation reaction with H. Cl. C. P. D. as a Diels – Alder (1, 4) addition was studied.

INTRODUCTION:

In the Diels – (1 , 4) addition reaction (1 , 2), the exact mechanism is still uncertain. It has been suggested that two new sigma bonds are formed at the expense of two pi bonds of the diene and dienophile (3 , 4). The formation of the adduct is usually favoured energetically, but most Diels – Alder reactions are reversible.

The addition reaction is always stereospecific in the cis form (3, 4). To carry the Diels – Alder (1 , 4) addition reaction the electronic character of the diene and dienophile ought to differ (3 , 4). The electron donating group in the diene accelerating the reaction and the withdrawing group retarding it, the reverse being true for the dienophile.

The reactivity of the dienophiles in the diene synthesis depend on the inductivity effect of the polar substituent which transforms the reaction direction toward the conjugated double bond of the diene system (5 , 6).

Hexachlorocyclopentadiene (H. Cl. C. P. D.) and its derivatives were found to be the most suitable dienes for use in the diene synthesis (7, 9). Several studies were carried out to compare the reactivity of dienophiles the allylic type during the diene synthesis reaction using H. Cl. C. P. D.. It was found that the dienophiles reactivity depends on type, and the position of the substituted atom or groups attached to the dienophile molecule. The optimum conditions and the maximum yields depend on the reactivity of the

* Egyptian Petroleum Research Institute; Petrochemical Department, Nasr City, Cairo, Egypt.

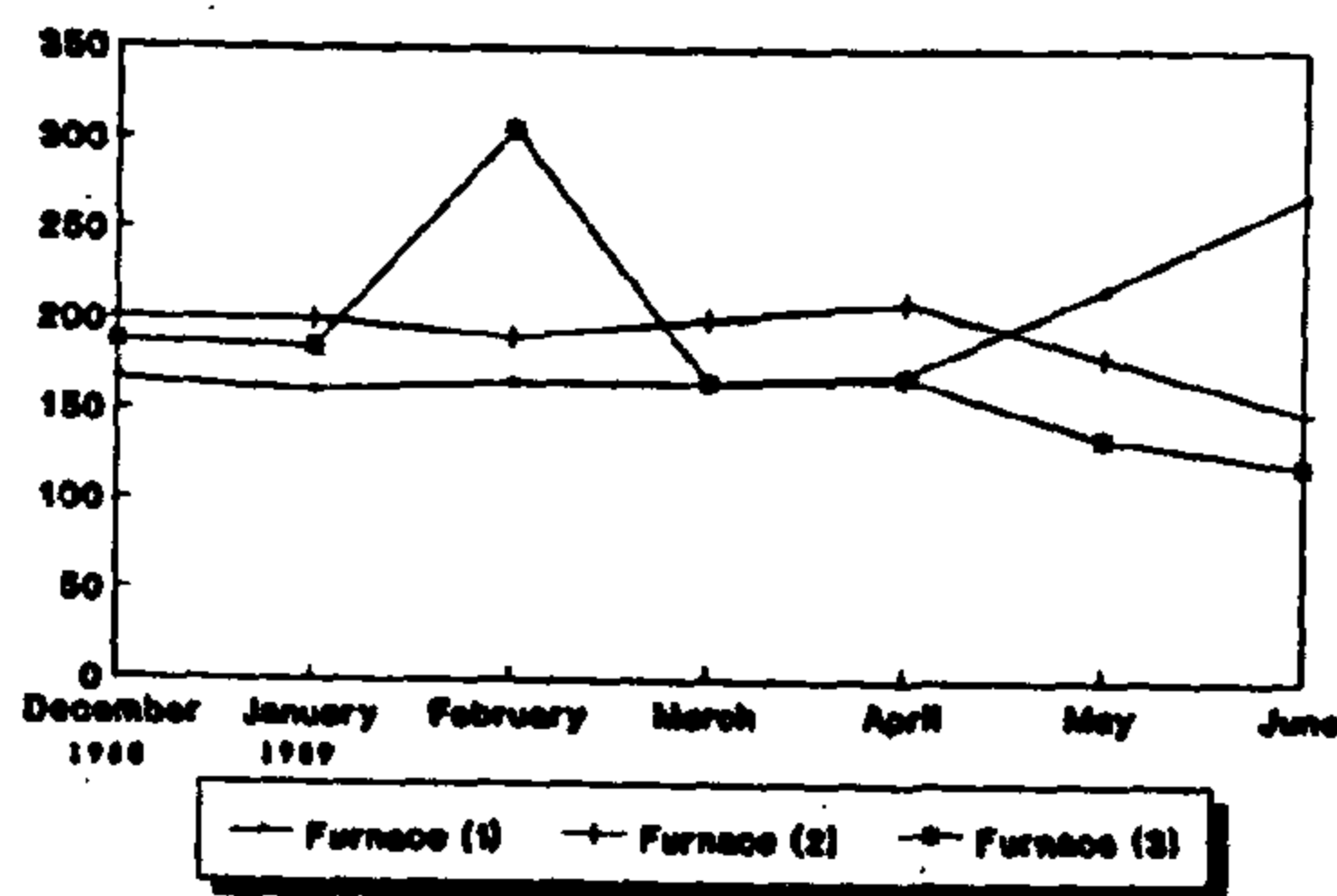


Fig. (4): SEC for the three melting tanks during the period Dec. 1988 – June 1989 (directly after the project implementation).

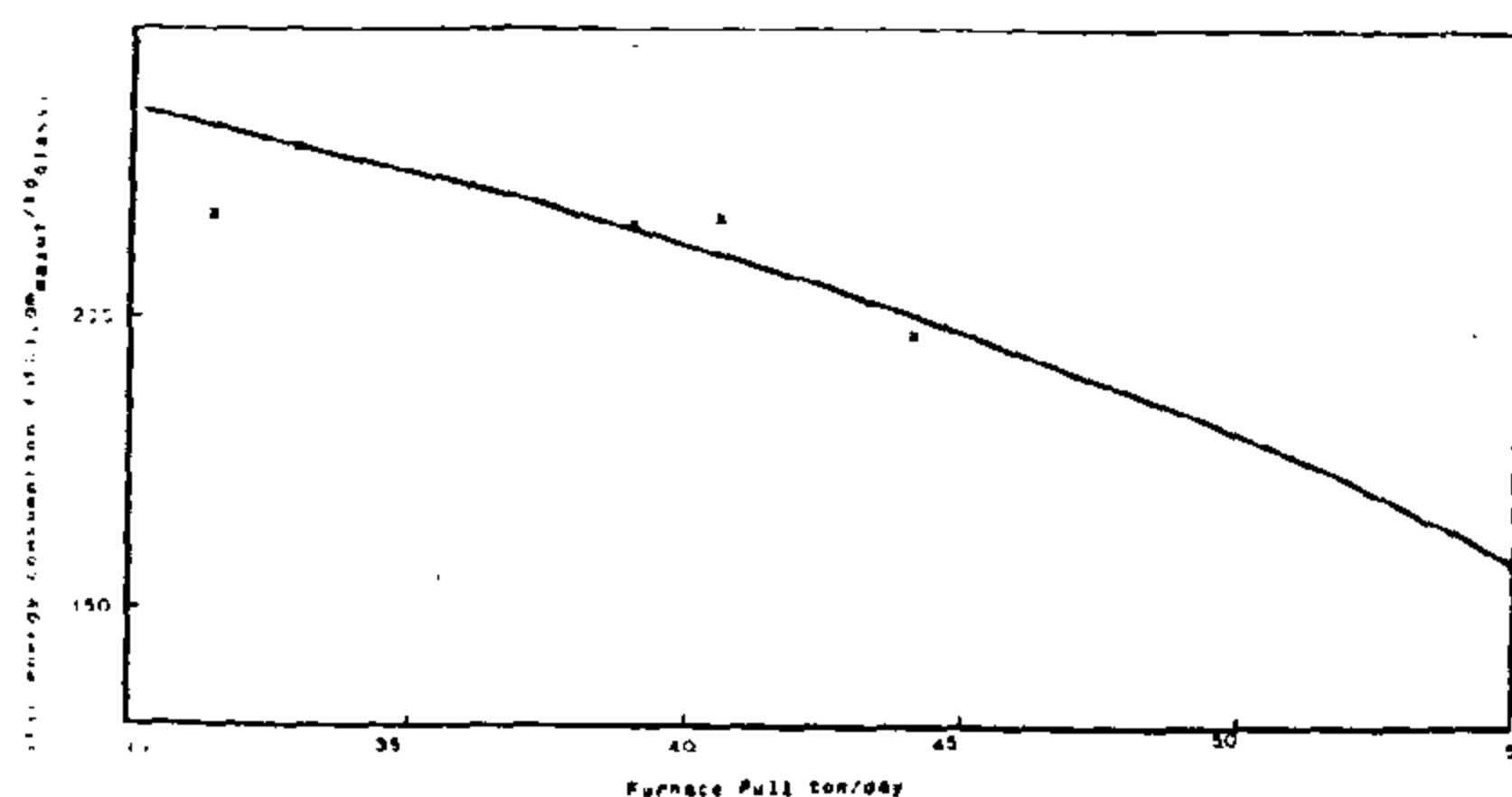


Fig. (5): SEC for the furnace No. 2. VS the furnace pull during the period Dec. 1988 – June 1989.

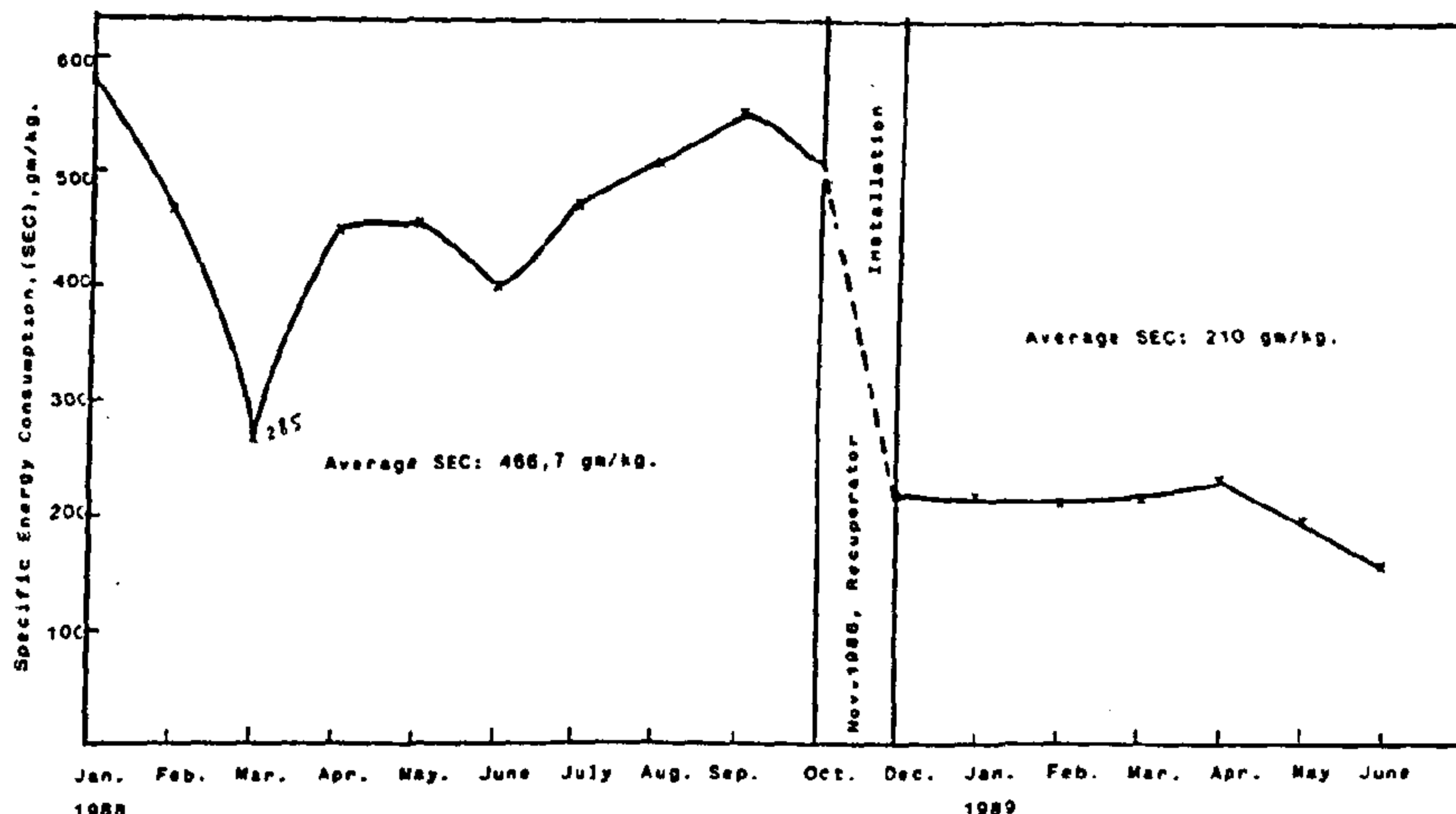


Fig. (6): SEC for the furnace No. 2 before and after the project implementation.

3. During the seven months following the project implementation, the furnace No. 2 began to have specific energy consumption SEC within the limit of the other two furnaces (fig. 4). In this period the furnace has an average SEC of 206 gm/kg. It is worth-mentioning that the electric energy boosting system was used in Feb. and June-1989 months, in which the furnace pull exceeded 45 ton/day (47, 12 and 54,33 ton/day respectively). The electric energy consumption was 115200 kwhr and 334800 kwhr in the two months. This consumption represents 7,5 and 17 gm/kg of SEC respectively. This will result in increase of the average SEC to 210 gm/kg.
4. During the period following the project implementation the furnace pull increased up to 55-60 ton/day. In all cases, SEC didn't exceed 230 gm/kg. (fig. 5).
5. It is quite evident that the furnace had a

considerable low level of energy consumption during the period following the project implementation compared with the former period (Fig. 6).

Form this analysis we can come to the following conclusions:

1. A reduction of the specific energy consumption (SEC) of the furnace amounting to $[100 (466,7-210)/466,7] = 55\%$ was achieved.
2. knowing the total fuel consumption during the period Dec. 1988-June 1989 which was 1774,53 tons, the actual quantity of fuel saving, could be evaluated and was found to be 2168,87 tons/year.
3. The expected earning due to the fuel savings was found to be app. 384000 us \$ annually.
4. The furnace productivity increased 25%.
5. New experience in the implementation of such types of energy conservation projects was gained by the local staff.

- Furnace pressure indicator.
 - Temperature control system in the middle and the end of the melting tank, in the flue gases outlet zone and in the recuperator inlet.
 - Air & fuel pressure indicators for each burner.
 - Automatic recuperator safety device including air suction flap with magnetic opening mechanism.
5. Cold and hot air ducts, with insulation for the hot air duct for app. 85 m².
 6. Thermal insulation for the side walls of the furnace.
 7. All the necessary tubes flanges fittings, and other minor parts.

The furnace lining works and in turn, the steel works were reconstructed to increase the glass depth.

UNIDO purchasing department made all the necessary procedure to procure the required equipment. The plant received the equipment during the years 1987 and 1988. The furnace was shut down for revamping at the end of October 1988. The furnace's modification took 30 days and the work done included the following:

1. Relining of glass tank and increasing the depth of working zone, giving an increase of production 10 tons/day.
2. Fixing the metallic recuperator, its attachments and control system.
3. Steel structure and system of fuel circuit of the glass tank.
4. Electric booster attached to the glass tank.
5. Contral room giving total complete automatic control of the glass tank.

Project Results & Evaluation:

The furnace energy and production data were recorded and collected before and after the project implementation.

The evaluation of the furnace thermal performance was made for seven months (From

Dec. 1988 to June 1989) in comparison with the former ten months to the (from Jan, 88 to Oct 88) project implementation in Nov. 1988.

All these data were plotted in the figures (2-6), and the following analysis can be made:

1. The furnace No 2 has the highest energy consumption compared with the other two furnaces due to the absence of waste heat recovery system (fig. 2). During the ten months period former to the project implementation, the average specific energy consumption was found to be 466,7 gm/kg.

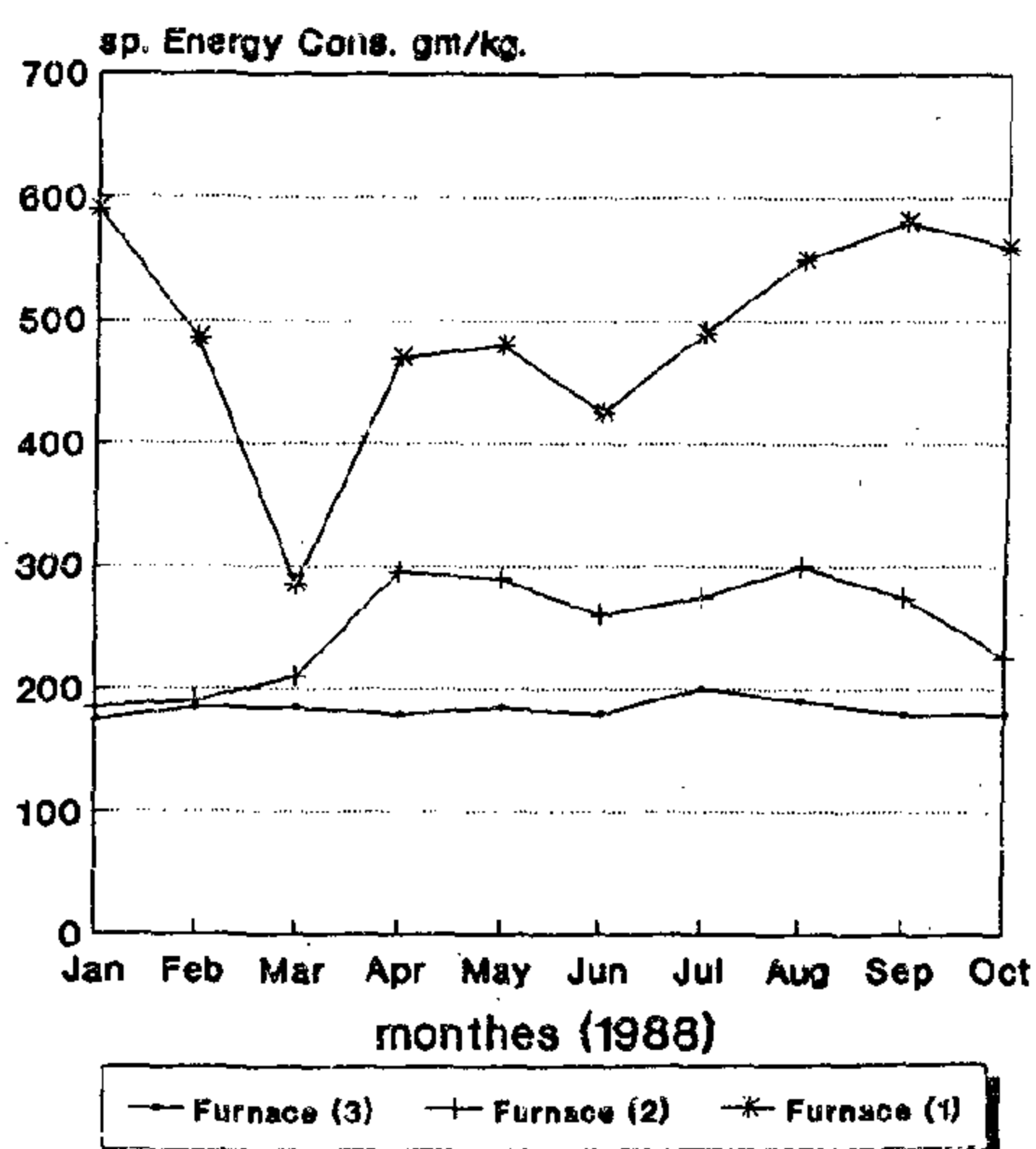


Fig. (2): SEC for the three melting tanks during the period Jan. – Oct 1988 (directly before the project implementation).

2. The furnace specific energy consumption (SEC) decreases considerably with the pull increasing Fig. 3). In the same period, and inspite of this decrease, the furnace had SEC always over 400 gm/kg.

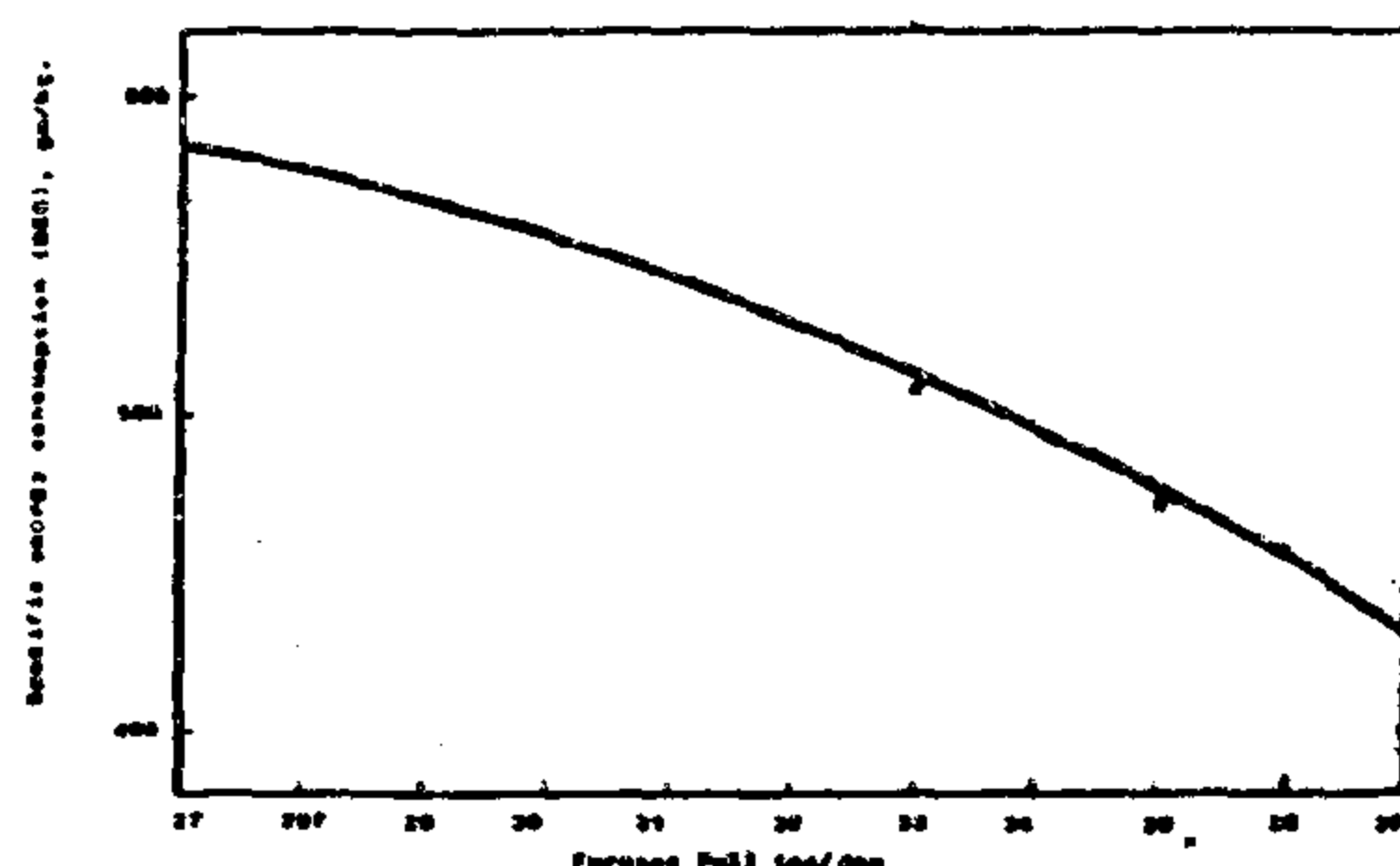


Fig. (3): SEC for the furnace No. 2 VS the furnace pull during the period Jan – Oct 1988.

It is easy to see that the largest part (about 50%) of the energy output is lost with the combustion products to the atmosphere. This can be re-used to increase the furnace thermal efficiency as well as to decrease the specific energy consumption.

The Objects Attack :

It was necessary to attack the problem from all sides that can save energy. The required saving was expected to be achieved by the implementation of the following measures :

1. To change the firing system with more efficient one to improve the combustion efficiency.
2. To install a complete automatic control system to measure and control the following parameters.

★ The furnace temperature in the different zones to have a good idea about the furnace thermal conditions in these zones.

★ The furnace pressure to prevent air infiltration.

★ Fuel and air consumption to have an accurate data for the energy consumption.

★ Fuel/air ratio to adjust the process.

3. To install metallic recuperator (two-stage heat exchanger) to pre-heat air UP 700°C , to minimize the heat losses with the combustion products. (Fig. 1).

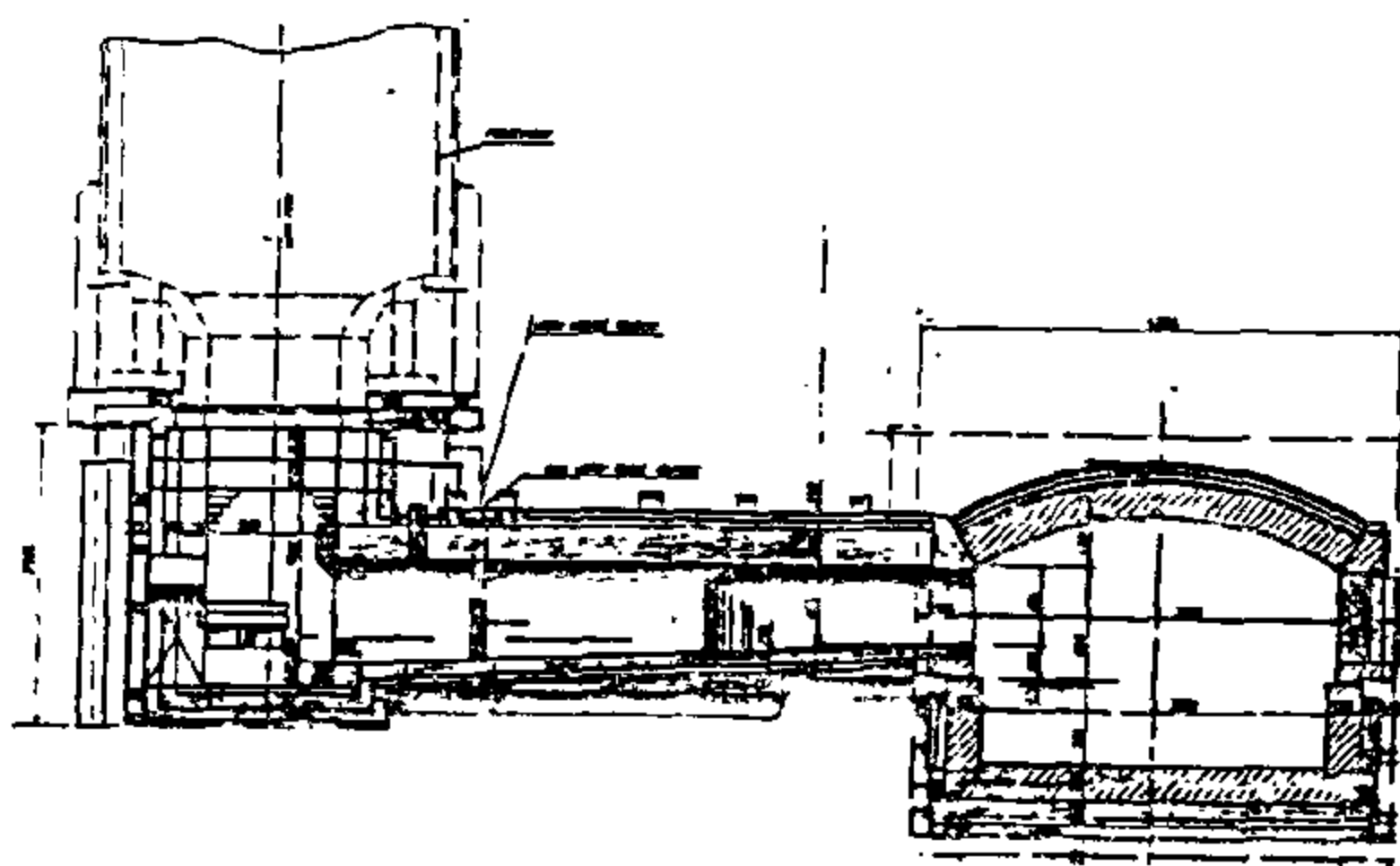


Fig. (1): Melting tank No. 2
equipped with the metallic recuperator.

4. To improve the quality of the furnace insulation in order to decrease the amount of heat losses from the furnace surfaces. Also to insulate the preheated air and mazout lines.
5. To increase the furnace pull by increasing the glass depth from 0,63 m to 0,73 m.

From five tenders for the equipment supply the tender of the West Germany Co. "HORN" was accepted.

The air and fuel pipelines, fuel pumping station, electric wiring civil engineering lining works and steel works were implemented locally.

The total project budget was 550000 US \$.

Furnace Modification :

The furnace was subjected to an intensive changes in order to realize the main target of fuel saving. The following main equipment items were introduced to the existing construction:

1. Two-stage radiative metallic recuperator for preheating the combustion air up to 700°C . The recuperator is made of special high thermal resistance steel and equipped with the necessary auxiliaries.
2. Twenty compressed air-oil atomizers for heavy oil burning of total capacity 550 kg/hr with supplementary noise and temperature insulation.
3. Two combustion air fans. One of them is electric powered having $6000\text{ m}^3/\text{hr}$ air consumption, while the other is emergency diesel powered, with $2000\text{ m}^3/\text{hr}$ air consumption.
4. Automatic control system with the measuring instruments:
 - Temperature and air/fuel ratio recorders.
 - Mazout and air flow rate recorders.
 - Pressure and temperature indicators on mazout line.

BACKGROUND:

El – Nasr Glass & Crystal Co. (NGCC) is the biggest Egyptian company producing glass. The company is a public sector Co. belonging to the Mining & Refractories Industries Corporation (MARIC).

The annual production is about 85000 tons of different glass assortment.

The company is composed of three plants shoubra, Mostorod and El – Hadra.

Shoubra plant is the oldest one, founded in 1932. At present this plant produces table ware, hand made and pressed, ornamental glass, reinforced ornamented glass flint and amber and sheet glass produced in five fourcault machines. There are eleven glass tanks at Shoubra plant.

Mostorod plant started its operation in 1968. The annual production amounts to 45000 tons of returnable bottles, of thick wall, ranging in weight from 100 to 750 gm of flint, amber and green glass. Also wide mouth jars are produced by press blow.

EL – Hardra plant is the third plant. at Alexandria. It produces safety glass and

polystrene products reinforced with fibre glass.

The Mostorad Plant of El – Nasr Glass and Crystal Company (NGCC) has three melting furnaces. The average productivity of the plant is 8,5 ton/hr.

Each of the 3 – melting furnaces has its own characteristics and specific energy consumption as shown in the following –

Paremeter	Furnace 1	Furnnce 2	Furnace 3
Type	regenerative U – Flame Sorg Co., W. Germany	Cross – flame Without rege – nerators, Ambarl Sweden & USA	Regenerative Cross – flame, Sorg Co. W. Germany
Melting area, m²	24	37	54
Productivity, ton/day	50	50	100
Average specific energy consumption KWH/kg (total) gm/kg fuel	2,91 170	6,44 400	4,04 200
Type of energy	heavy oil	heavy oil & electric boost – ing system	heavy oil & electric boosting system

Table (1) Furnaces characteristics

From the above data, it is evident that furnace No 2 has the highest energy consumption due to the absence of waste heat recovery system. Moreover a complete thermal balance for this furnace was carried out, table (2).

Table (2) The Furnace thermal balance before the project implementation.

Energy Input	Kcal/hr	%	Energy Output	Kcal/hr	%
1. Fuel combustion (Qf)	5658952	90,26	1. Useful Energy Qu	972477,75	15,51
2. Electrical energy, (Qe)	610600	9,74	2. Energy with waste gases (Qw.g)	3081600,70	49,15
3. Total Energy input (Qimp)	6269552,00	100,0	3. Energy lost by conduction (Qc)	737926,27	11,77
<div>– Coefficient of fuel utilization: 45.54%. – Thermal Efficiency 15,51% – Specific Energy Consumption. 18,176 GJ/ton.</div>			4. Energy lost by radiation through openings. Qrad.	727268,03	11,50
			5. Energy lost with unb – urnt gases (Qund)	597089,01	9,52
			6. Unaccounted Energy losses (Qun)	153190,24	2,45
			Total Energy Output	6269552,00	100,00

THERMAL OPERATION IMPROVEMENT FOR THE UNIT MELTER IN EL – NASR GLASS & CRYSTAL CO.

Eng. M.A. ABD EL – KERIM★

Dr. SAID ABD EL – WAHAB★★

Dr. S.H. HOSAM EDDIN★★

In Glass industry, energy represents more than 30% from the total cost. This percentage increases dramatically when we use unit melter. Unit melter is long, narrow direct – fired continuous glass melting furnace. Compared with the larger regenerative furnaces the fuel consumption of the unit is rather excessive.

In El – Nasr Glass & Crystal Co., an application of tested waste heat recovery technology was introduced to decrease the unit melter energy consumption by 50%. This decrease was accompanied with an increase in pull productivity of 25%

INTRODUCTION:

Industry in Egypt is known to be one of the big energy consumer sectors. It accounts for more than half of the total energy use. In most of the industrial enterprises, energy is utilized inefficiently. Records demonstrate that a large amount of the energy supply in the industrial sector is wasted. In some cases this amount reaches 30% of the energy input. In other cases energy consumption is 3 – 4 times more than the international standards.

The high increase in energy consumption and the inefficient use of energy lead to a considerable growth in the energy demands in industry.

The question now is «is it profitable to achieve increase in energy productivity to compensate the growth in the energy demands?». The answer could be taken from the World Bank estimate. It states that the cost of saving one kilowatt of electric energy by improving the distribution system may be only a third as much as the cost of producing an additional kilowatt from new generation.

Application of tested energy conservation technologies, using of specific examples of

equipment modifications and rearrangements and introducing of the energy management systems procedures seem to be the main tools which must be used to compensate the growth of energy demand.

To implement such energy conservation measures a UNDP/UNIDO'S supported project entitled «Energy Conservation in Metallurgical, Glass and other Industries» was approved in 1985.

One of the project objectives was to save 2500 t oil annually from the glass melter No 2 in El – Nasr Glass and Crystal Company NGCC.

The company was chosen on the basis of the preliminary energy audit carried out by the staff of the energy conservation centre ECC within the Tabbin Institute for Metallurgical Studies TIMS. The centre was established to provide both the private and public industries with the technical and scientific assistance in the field of energy audit, monitoring and conservation.

In this paper a brief description for this objective and its technoeconomical indices is given.

★ El – Nasr Glass & Crystal Co. Chairman

★★ Tabbin Institute for Metallurgical Studies (TIMS) Energy conservation & Efficiency Project (ECEP)

RAW MATERIALS AND CHEMICAL INDUSTRIES

*** INST. OF MIN. PET. AND MET. ENG.**

*** INST. OF CHEMICAL ENGINEERS.**

status summaries, computer assisted report generation, sophisticated data evaluation, resource lists and histograms, schedule lists, activity details, updating of report periods, resource details, resource assignments and current Gant & PERT diagrams.

5. Decision Making: This area includes a number of capabilities, some involving external software packages. Generally, what-if analysis, ES, multiproject tracking with cross analysis and other such types of capabilities are useful.

5. SUMMARY:

Information technology has several significant impacts on different aspects of PM. It has become obviously noticed that high degree of efficiency and effectiveness has been realized in Planning – Monitoring – Controlling cycle of PM system level. Needless to talk about the high level in integration and the powerful techniques which have become easy to apply when conducting various activities of PM.

We have relied on system approach to define the principal concepts that must be considered when practicing PM functions. Thereon, a framework for the design of PMIS is proposed, and then upgraded by means of modern trends of information systems, namely DSS. We have also proposed a framework for the design of PMDSS.

The attained results of this research imply that the following subjects are worthy of more in – depth investigation in future research works:

- The detailed design and application of PMDSS.
- Assessment and selection of PC based PM software with particular attention to requirements and conditions of the Egyptian market.
- Introducing the concepts of Expert System in managing the Model Base of PMDSS in order to make it more friendly and easy to use.

REFERENCES:

- 1) Abdel Gawad, E. F. and Rasmy, E. M., «Overview of design and implementation issues of ECG project management information system and software PERT package». Code* F1, P. 393 – 417.
- 2) Agarwal, P., «DSS for project management», Code F2, P. 418 – 435.
- 3) Cohen, Y. S., «Organization strategies for decision support system and expert system» Journal of Information Science, 15, 1989, P. 27 – 34.
- 4) Davies, E. W., Martin, R. D. «Project management software for the personal computer» Journal of Information Science, 15, 1989, P. 27 – 34.
- 5) El Bakry, A. A., «An expert system for project planning and control», Code* F3, P. 436 – 455.
- 6) Farahat, H. M. and Dawoud, A. R. «Expert systems in project management», Code* / F4, P. 456 – 469.
- 7) Hassab El Naby, A., «Microcomputer applications in project controls», Code* / 12, P. 602 – 626.
- 8) Kerzner, H., Project Management «A system Approach to Planning, Scheduling and Controlling», Code* F4, P. 456 – 469.
- 9) Lewis, L. F. and Keleman, K. S. «Issues in Group Decision Support System (GDSS) design, «Journal of information science, 14, 1988. P. 347 – 354.
- 10) Meredith, J. R. and Mantel, S. J., «Project Management, a management approach», 2nd E., John Willey & Sons, 1989.
- 11) Moder, J. J., Phillips, C. R. and Davis, E. W., «Project management with CPM, PERT and precedence diagramming», Van Nostrand Reinhold Co. (VNR), New York, London, 3rd F., 1983.
- 12) Rasmy, M. H. and Hosney, M., «In – search for a project management software», Seminar of information system and computer software for project management, Apr. 1991, Cairo Management Engineering Society.
- 13) Sprague, R. H., Jr., «A framework for the development of decision support system», MIS quarterly, V. 4, No. 4, June 1980, P. 7 – 32.

* Third International Symposium, Cairo Feb. 18 – 21, 1990, Management Engineering Society (MES).

wider set of data sources. This provides high flexibility and rapid interactions in response to unexpected user requests.

Second: The model subsystem: which includes various types of models related to PM aspects such as: networking and diagramming, scheduling, limited and unlimited resource analysis, and time – cost trade – off. Moreover, other analytical techniques and models are included to assist in forecasting, statistical analysis, performance evaluation, ...etc. Of course each of these aspects is dealt with by means of a separate model. All different models are interrelated, communicated and thereof integrated through imbedding them in an information system with the database concept. The model creation process is supported by flexible, strong modeling language and a set of building blocks and subroutines which can be assembled to assist the modeling process.

4. TRENDS OF PMIS SOFTWARE:

Real – life projects are often extremely large, with hundreds or perhaps thousands of activities and tens or hundreds of resources. Modeling, (diagramming), scheduling, and tracking all these activities is clearly a huge effort which necessitates the use of computer. Thereon, computerized PMIS were one of the earliest business applications for computers. Initially, the focus was on simple scheduling packages, but this quickly extended to include costs, earned values, variances, reports, etc....

Earlier software were typically written in FORTRAN for large, expensive mainframe computers. This, in fact, limited the use of them to only the larger firms. Limitations were also imposed on success of use and application because of the inability of project managers to update plans in real time, since mainframes are typically run in a batch rather than on line mode. With the development and proliferation of microcomputers, and the corresponding availability of wide variety of PM software,

project managers are showing a renewed interest in PMIS.

The new PC -- Based PMIS are considerably more sophisticated than the earlier systems and use all the PC's features (graphics, etc.) more extensively. The current trend in PMIS is integration of software including capabilities to interface with other softwares of different functions.

There are now over 700 such packages in the market [11], and the number continues to grow.

There are five areas of PMIS internal capabilities separate from ability to communicate externally with other types of software. These are project planning, resource management, tracking, monitoring, report generation and decision making.

1. **Project Planning:** In this area, consideration should be given to the number of activities per project, the available type of calendars and time units, time estimates, graphics generation, Gantt & PERT charts, early and late start and finish, handling subnetworks, data recording and organization and of particular interest is the ability to reschedule/ update automatically
2. **Resource Management:** This area is concerned with the number of resource types, the number of resources per activity, sharing of resources, resource leveling, scheduling by resource load, resource updating, resource usage conflicts, multiproject resource analysis, resource planning and analysis, cost estimating and financial modeling and analysis.
3. **Tracking/ monitoring:** This area includes CPA, subnetwork analysis, early warning system, updating and display of baseline & actual schedule, resources and similar items.
4. **Report Generation:** This area covers project

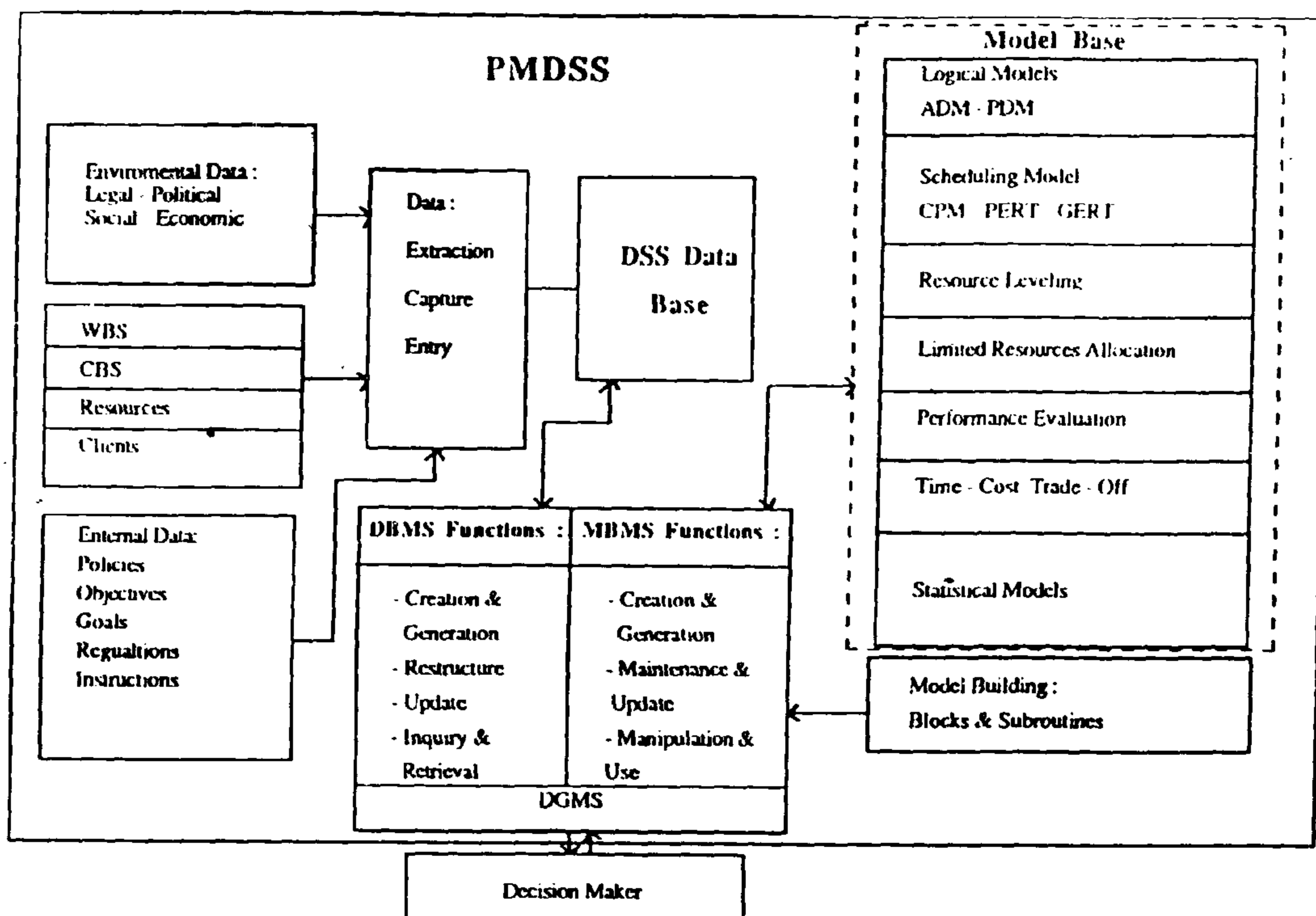


Figure (6): Components of PMDSS

Software system is composed of three main parts: Data Base Management System (DBMS), Model – Base Management System (MBMS) and Dialogue Generation Management System (DGMS) which manages the interface between the user and the system. These three major subsystems provide convenient scheme for identifying the technical capabilities which a DSS must have.

3 – 3 PMDSS:

PM environment has many decision variables and actions in various aspects and levels. It includes systematic planning, effective organization, continuous coordination, skillful operations, periodic monitoring and effective control. All these diverse functions are interconnected and form a continuous decision making process. Therefore, DSS has become vital essential tool which is expected to improve the effectiveness of PM significantly.

Applying the definition and basic concepts of DSS in the PM environment, we have obtained

a framework for the conceptual design of PMDSS. Figure (6) shows the components of PMDSS and the interrelationships between them. The system comprises three principal subsystems namely, data subsystem, model subsystem and user – system interface. The third one is usually standard in its features and capabilities over different environments. Therefore, we briefly discuss the basic characteristic of the first two subsystems.

First: The Data Subsystem: is a well – defined and understood set of capabilities which aim at exhaustive coverage of data sources related to PM environment, and apply data base approach and the powerful function of DBMS. Significant differences must be noticed between the DB/DC approach for traditional systems, and those for PMDSS. Among such differences in the inclusion of different sources of data (PM direct data, external sources and internal sources) to satisfy need of all levels of PM decision makers. An other difference is the importance of data capture and extraction processes from this

Phases of decision making process are characterized as follows:

- **Intelligence:** Searching the environment for conditions calling for decisions. Raw data is obtained, processed and examined for symptoms and indicators that may identify problems.
- **Design:** Inventing, developing and analyzing possible courses of action. This involves process to understand the problem, generate solutions and test them for feasibility.
- **Choice:** Selecting a particular course of action from those available.
- **Choice:** Selecting a particular course of action previously selected.
- **Implementation:** Undertaking a feasible course of action previously selected.

The DSS analyst is in charge of design tools and techniques to provide the support required by the manager. Tools can be used directly, of course, but it is more efficient and effective to use a DSS Generator for this task. The Generator must have a set of capabilities which facilitate the quick and easy configuration of a specific DSS and modification in response to changes in: the manager's requirements, environment, tasks and thinking approaches. A conceptual model can be used to organize these capabilities and the technology needed to provide them.

It is important to recall that the overall system is the decision making system, which consists of a user who interacts with DSS to confront a task in an organizational environment. Thus, the basic components of DSS are a database, a modelbase and a complex software system for linking the user to each of them. Figure (5) illustrates these components and links between them.

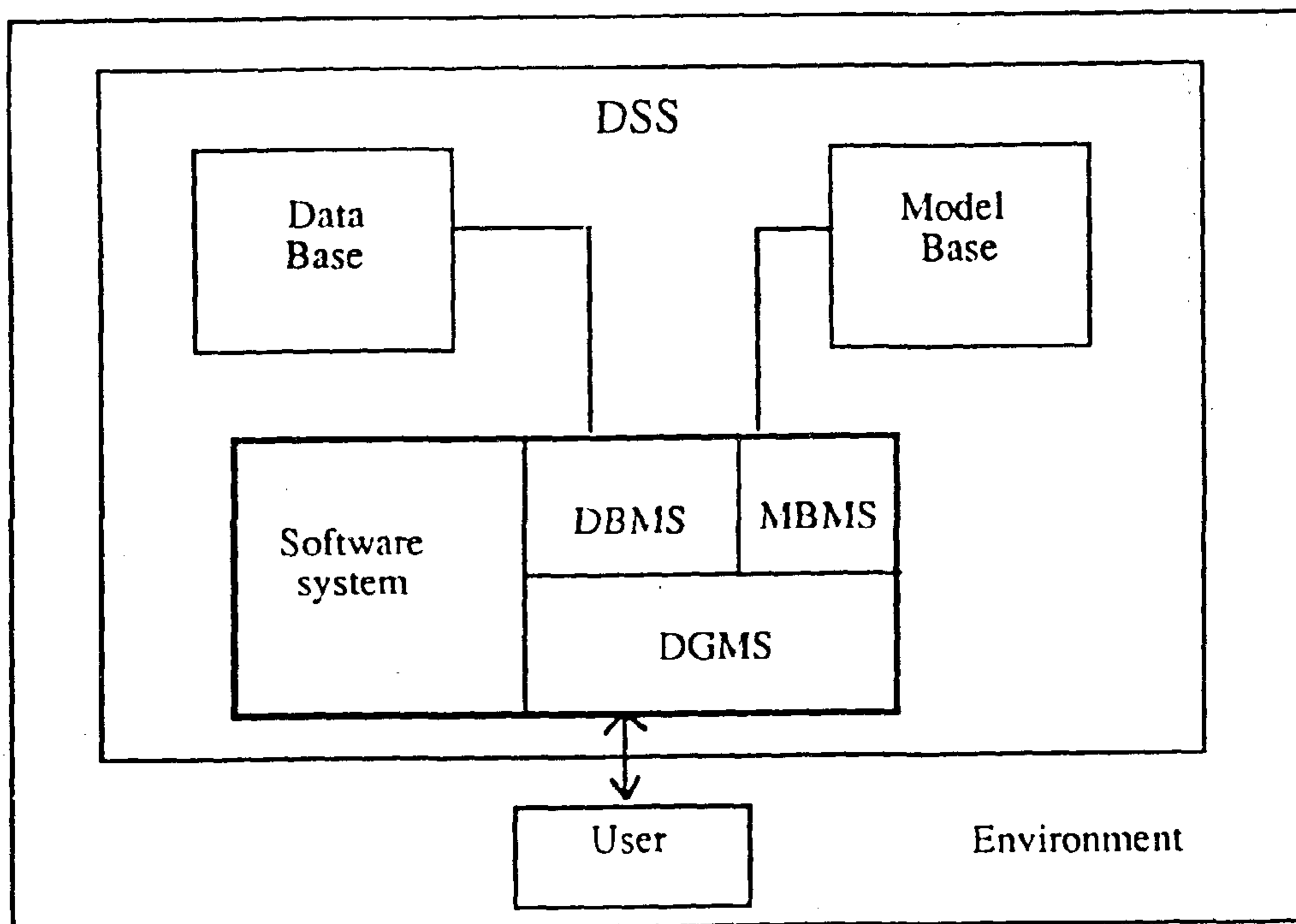


Figure (5): Components of DSS

the project activities, as well as in taking actions necessary to control the project track. With this in mind, let us first recognize the concepts of DSS, and how, then, can be applied in PM.

3 – 1 Definition of DSS:

DSS is an interactive computer – based system which helps the decision maker to utilize the available data and models to solve unstructured, semistructured and structured problems. The conventional DSS concepts described in the literature can be classified into three categories [9] as follows:

1. Where – to – support concepts which discuss the nature of decision making and the need for a DSS.
2. What – to support concepts, which examine the components, tools and technology needed to provide DSS services.
3. How – to – support concepts, which discuss the process of DSS design, implementation and use.

DSS are characterized by the following four features:

1. They attempt to combine the use of models or analytical technique with traditional data access and retrieval functions.
2. They emphasize flexibility and adaptability to accommodate changes in the environment and the decision making approach of the user.
3. They tend to be aimed at the less well structured, underspecified problems that usually face decision makers.
4. They specifically focus on features which make them easy to use by noncomputer people in an interactive mode.

3 – 2 Components of DSS:

Of course, DSS should support all phases of the decision making process which is presented in figure (4). It provides the decision maker with a set of capabilities to apply in a sequence and form that fits each individual cognitive style.

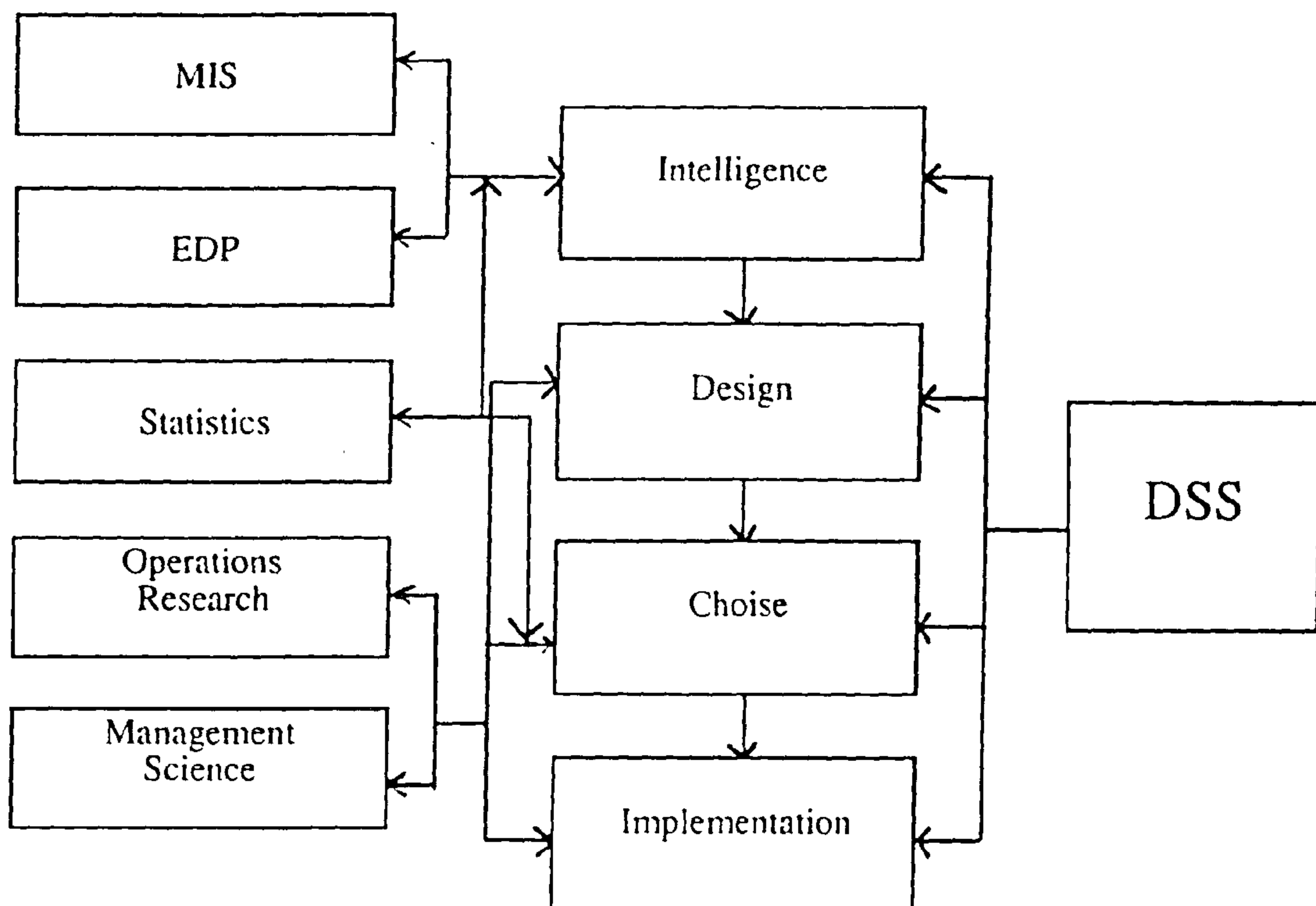


Figure (4): Phases of decision making and types of support required.

Needless to mention Operations Research (OR) techniques for planning and scheduling projects and conducting cost and resource analysis. For example, as cited below, such techniques represent the heart of any PMIS.

- Scheduling methods ..
(CPM/PERT/PDM...).
- Resources allocation and leveling methods.
- Cost management and control methods.
- Graph methods.

2-3 Reporting System:

PM reporting system ought to be constructed so that it addresses all management levels. Reports addressed, however, need not to be of the same depth, same details level or the same frequency for each level. The higher the management level, the more aggregated and less frequency the addressed report. In all cases, report structure should reflect the NBS which is the key factor to the determination of both report content and frequency. Report contents must be relevant to the control of tasks that are being carried out according to specific schedule. Reporting frequency should be enough to allow control to be active during or before the period in which the task is scheduled for completion. In general the timing of reports must correspond to the timing of project milestones. This means that project reports must correspond to the timing of project milestones. This means that project reports may not be issued periodically excepting progress reports for senior management.

PMIS reports must be consistent with the logic of the planning, scheduling and budgeting systems. The primary purpose is, of course, to ensure achievement of the project plan through control. From the project action plan, columns of scheduling and resource usage will serve as the key to the design of project reports.

The above discussion implies that PMIS reports can be categorized into the following three distinct types of reports:

1. Routine Reports: these reports are issued

regularly but not periodically. In more precise words, regularity does not necessarily refer to the calendar. Routine reports addressed to senior management will usually be periodic. On the other hand side, milestones may be used to trigger routine reports addressed to project manager and lower level project personnel. It may be useful to issue reports on usage of some types (critical) of resources periodically, on weekly or even daily basis.

2. Exception Reports: These are useful in two cases: First, they are directly oriented to PM decision making and should be distributed to the team members who will have prime responsibility for decisions or who have a clear need to know. Second, they may be issued when a decision is made on an exception basis and it is desirable to inform other managers as well as to document the decision.

3. Special Analysis Reports: The third type of reports is used to declare the results of special studies conducted as part of the project or as a response to special problems that arise during the project. Usually they cover matters that may be of interest to other project managers, or make use of analytical methods that might be helpful on other projects. Subjects covered by these reports include: studies on the use of substitute materials, evaluation of alternative manufacturing processes, availability of external consultants, capabilities of new software, descriptions of new governmental regulationsetc. Distribution of these reports is usually made to anyone who might be interested.

3. PM DECISION SUPPORT SYSTEM (PMDSS)

There is doubt that PM environment, is very rich of decision points and variables either in planning phase or in the controlling phase. Thus PMDSS will significantly prove usefulness and effectiveness not only in monitoring the project performance, but also in planning and scheduling

information at exactly the same point in process?

- Are special forms needed for data collection?
- Should a special procedure be established to ensure the integrity of data transference from its source to the PMIS?

Such questions (and more others) merely indicate the broad range of complex issues that must be handled.

Most of the data collected may take one of the following forms, each of which is suitable for some types of analysis and measures.

1. **Frequency:** a simple number of the occurrence of an event during a time unit; for example, complaints, number of times a project report is late, ...etc. Such data are usually easy to be collected and are often reported as events per unit time or percentage of a standard number.
2. **Raw number:** dates, costs, hours, resource amounts, are often reported in direct comparisons with their expected or standard values. Also, variances are usually reported as ratios of actual to standard / planned. Comparisons or ratios can be formulated as a time series model to show changes in system performance.
3. **Subjective numeric ratings:** include ordinal ranking of performance, quality measure, These numbers are subjective estimates made by expert / knowledgeable individuals or groups, and can not be manipulated in the same ways as quantitative measures.
4. **Indicators:** are the last resort when some aspect of system performance can not directly be measured. Of course, PM must ascertain that the linkage between the indicator and the desired performance measure is as direct as possible. For example, response to changes indicates the quality of communications, processing speed of change orders and incorporating changes into the project indicate the team efficiency.

5. **Verbal measures:** measure quality of team member cooperation, moral of team member and quality of interaction with the client, These data serve their purposes reasonably well as long as the set of characteristics is limited and the meanings of individual terms are consistently understood by all.

2 – 2 Types of Data Manipulation:

Invoking that monitoring is the link between planning and controlling and that the purpose of monitoring system is to gather and report data while the purpose of the control system is to act on the data. Then to help the project controller, it is highly appreciated for monitoring system to carry out some data analysis. Significant differences from plan should be highlighted so that they can be overlooked by the controller. Statistical methods are very useful in evaluating what size variances are significant and sometimes help in determining the probable causes of variances.

Until now, the monitor provides PM by reporting system based on management by exception approach, which has its weakness as well as its strength. But PM must be more interested in preventing problems than treating them. Therefore, the monitoring system should develop data streams that indicate variances yet to come. Obviously, such indicators are statistically based.

According to the previous discussion, PMIS should rely on several analytical techniques to conclude the target figures and indicators which realize its objectives. Many powerful methods are available in this regard, among them for example, are:

- Curve fitting techniques.
- Time series analysis.
- Analysis of variance and multi – variate analysis.
- Total quality measurements.
- Tabulation, crosstabulation and descriptive stat.
- Regression analysis.

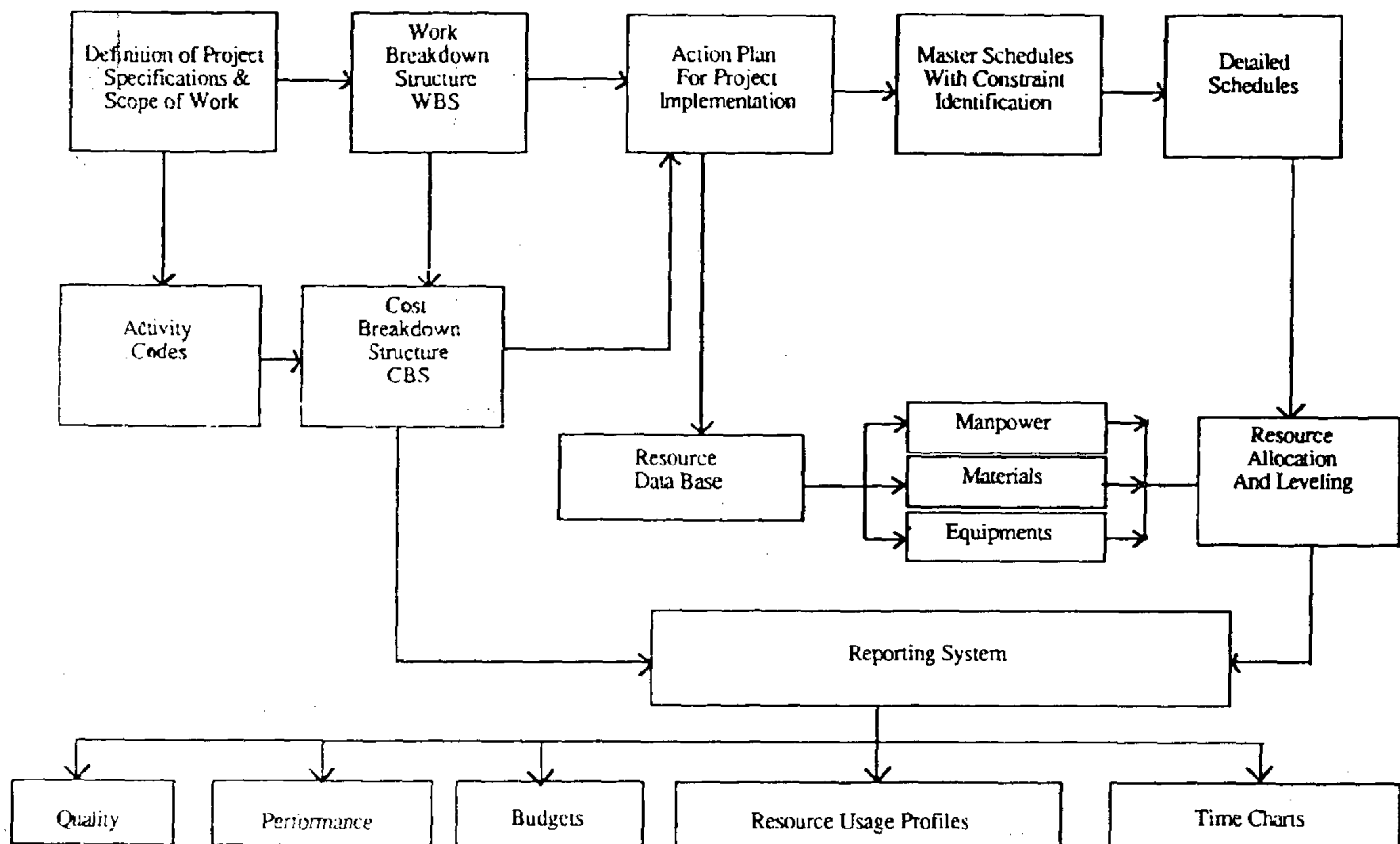


Figure (3): A Framework of PMIS

initial data which is needed only once at the project. Initial data is generated only one time as an output of the action plan, while other input data may be regenerated over the project time span and in different formats. Initial data may be identified to include at least the following data items:

1. **Project definition data:** name and description, client, start and target finish dates, no. of activities, ...etc.
2. **Activities definition data:** codes, names, description, durations, resource requirements, start and end nodes, possibility of splitting ...etc.
3. **Precedencerelationshops:** type of model (CPM, PERT, PDM, GERT,), start and sink nodes, predecessor and successor activities, ...etc.
4. **Time:** time unit, type of estimates (probabilistic) calendar, off dates (holidays and non – working days), ...etc.
5. **Resources:** types and specifications,

availability, size, unit price, operating cost, depreciations rate, ...etc.

6. **Costs:** direct and indirect costs, overheads. Processing these data items by means of convenient analytical and computational techniques will yield different types and formats of data and information needed before the start of actual work in the project. These output data are very important to mobilize resources and make the required decisions for the start up.

During the project implementation PM needs other types of data items with different characteristic since we now in a different phase of the project life cycle. Designer of PMIS must consider the effect of this matter on data and information requirements of PM. It is necessary to define precisely what pieces of information should be gathered and when. Of course, in most case, PM has options. For example, the following questions may arise:

- Should cost data be collected before and/ or after some specific event?
- It is always mandatory to collect time and cost

1. What are the work elements required to achieve the objectives, and how are these elements inter – related?
2. What are, and how much amount of, different types of resources needed to accomplish the objectives? are these resources sufficiently available?
3. What are the information flow requirements for the project?
4. At what degree does top management become involved?

The project organizational structure must be designed to fit the project. Work plans and schedules must be designed to maximize resources allocation. Resource costing and accounting systems must be developed, and a management information and reporting system must be established.

Effective PM cannot be accomplished unless all of the necessary information become available at project initiation. These information requirements are:

1. The Scope Of Work (SOW) in the project
2. The Project Specifications (PS).
3. The Work Breakdown Structure (WBS).
4. The Master Schedule (MS).

2. A FRAMEWORK OF PMIS DESIGN:

The first step in setting up any information system is to identify the key factors to be controlled. It is the task we have just finished in the previous section, where PM system has been highlighted. According to this analysis the following facts must be considered when start the design phase to establish the PMIS.

1. PMIS is the direct connection between planning and control functions in the PM process.
2. Time, cost and Performance are the key factors in PM process over the project life.
3. The project action plan is the best source of

items that must be measured and reported. It is also the best source of specific characteristics of the key factors and other items.

4. Both environment and organization system levels must be considered as sources of other types of data items such as: client's satisfaction and attitudes, market status, laws and regulations and changes in technology etc.
5. The nature of the target data is dictated by the project plans, goals of the organization, the needs of the clients and the desire to improve PM process.
6. Performance criteria, standards and data collection procedures must be predetermined for each of the key factors and items to be measured. The criteria and procedures are usually set up for project life, and standards, however, may change in response to changes in supersystems (organization and environment).
7. «Collect everything» is an inappropriate monitoring policy therefore, PMIS must focus on important (rather than easy to collect) data items which are significantly changing from one collection period to the next.

Figure (3) presents a framework for the design of PMIS. This framework demonstrates the following aspects.

- Data collection and analysis.
- Reporting system.
- Links and interrelationships between data sources and data utilization.
- Types of Manipulation Applied.

Facts cited above represent the principle determinants or guidelines for the target PMIS framework.

2 – 1 Data Collection and Analysis:

In PMIS, we have to identify a special case of input data namely, the first input data or the

system rather than an application program.

To highlight the modern trends of information technology in PM, we shall discuss the following aspects in the next sections:

1. Analysis of PM system.
2. A framework for the design of Project Management Information System (PMIS).
3. Decision Support System and PM.
4. Trends of PMIS Software.

Before going on the discussion, let us recognize the inter – relationship between diagram shown in figure (1).

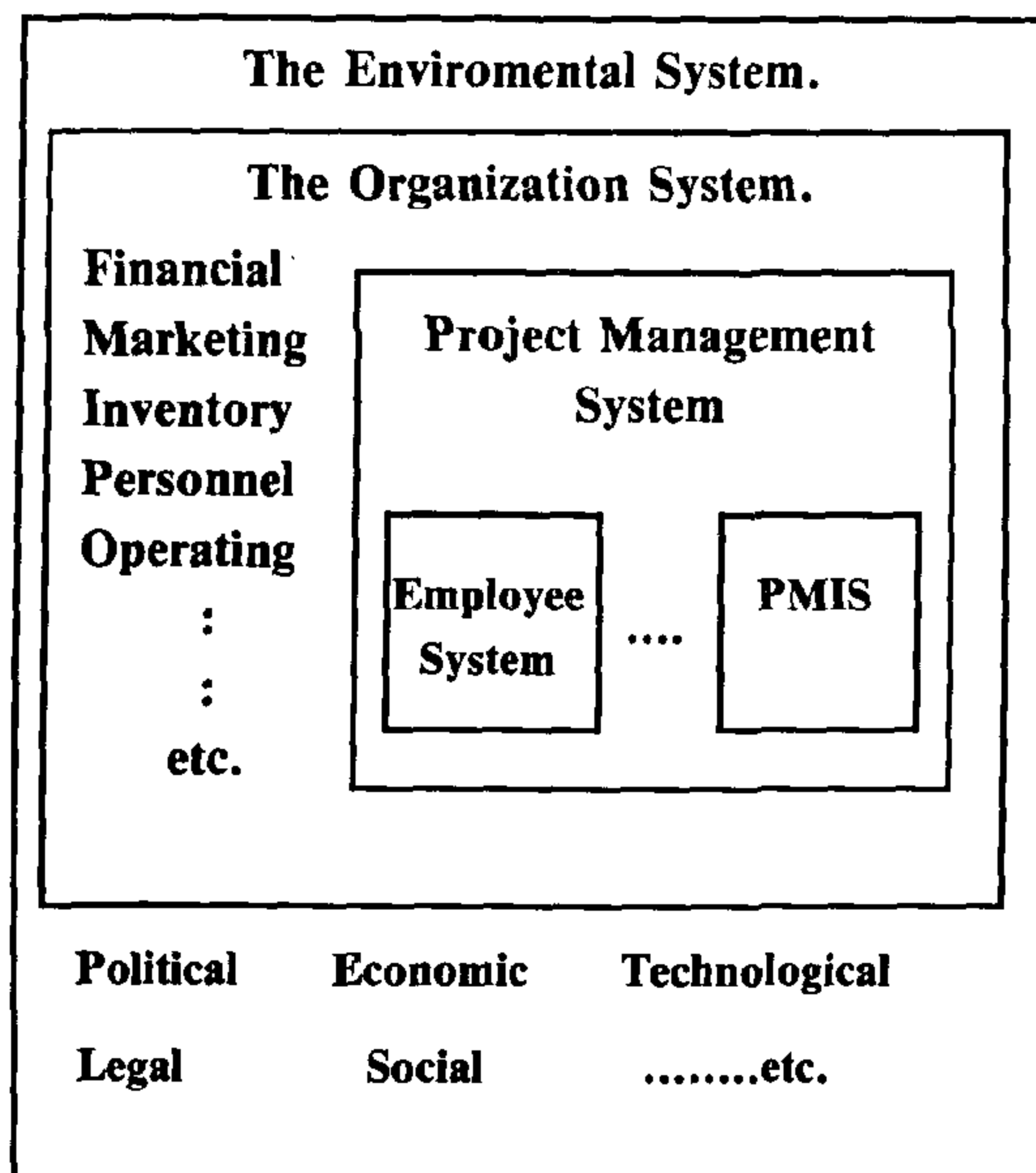


Figure (1): System Levels

1. PM SYSTEM ANALYSIS:

PM is the art of directing and coordinating the available resources, using proper analytical techniques to achieve a set of prespecified objectives. The link between various PM functions is the monitoring process. Monitoring collecting, recording and reporting information concerning any or all aspects of project performance that the project manager or others in the organization need.

Success of any plan necessitates a powerful effective system for monitoring and controlling functions. Controlling is a three steps function of measuring progress toward the objectives, evaluating what

remains to be done and taking necessary corrective actions to achieve or exceed the objectives. The three steps are defined below.

1. **Measuring:** to determine the degree to which progress toward objectives is being made.
2. **Evaluating:** to justify (find causes of) the significant deviations from planned performance; and to define the possible ways to act upon these deviations.
3. **Correcting:** acting to cirrect unfavorable trends or to take advantages of unusually favorable trends.

It is noteworthy that the first two steps are greatly depending on the monitoring function since the first one, at least, can't be done at all without the data and information provided by such function.

The previous discussion implied that the planning – monitoring – controlling cycle is the best normal way of life in different system levels, partuculary organization system level and PM system level. Past experience tells us that what is good for the project is equally for its parent firm [10], and in any case, unless the project manager has a smoothly operating monitoring – control system, it will be difficult to manage the project effectively. Figutr (2) illustrates the model of such system which it will be very useful if constructed as an internal unit of the project organizational structure, not something external to and imposed on it or conflict with it.

The first and the most important step in practicing PM activities is understanding the project objectives and their relationships to overall company objectives. The objectives are generally all inter – related both implicitly and explicitly, and usually can't be satisfied simultaneously. Hence, a priority structure must be specified by management to decide which objectives are strategic and which are not.

The second step, which is depending on the objectives priority structure, is to answer the following questions.

MODERN TRENDS OF INFORMATION TECHNOLOGY IN PROJECT MANAGEMENT

MOHAMED HASSAN RASMY*

HASSAN ALY EL KADY**

ABSTRACT:

In this paper, we have analyzed the Project Management (PM) process by means of system approach, which represents one of the modern trends to investigate this area. It permits comprehensive understanding and exhaustive coverage of different PM aspects. According to this approach, PM is viewed as a system having its own inputs, outputs, variables, parameters and objectives. This implies that we have to consider various types of interaction which may exist between different system levels. By system levels, we mean the system under study, on one hand side, and its supersystem (outer environment) and subsystems (organizational units involved) on the other hand side. Such interactions are significantly influencing all phases of analysis and design which must be undertaken to establish a Project Management Information System (PMIS). The main objective of the above mentioned analysis is to define the principal concepts, resulted from those interactions, that must be considered when practicing PM functions. Thereon, a framework for the design of PMIS is proposed, and then upgraded by means of modern trends of information systems such as Decision Support System (DSS) and Expert System (ES) which are recently developed and proved high degree of effectiveness. Thus, we can now speak about Project Management Decision Support System (PMDSS) and Project Management Expert System (PMES) as new terminologies recently introduced to the literature. Important features of PC – based software packages have been investigated and their development trends are defined.

INTRODUCTION:

Project Management (PM) is the advanced comprehensive approach to handle the project planning, scheduling and control. According to this approach, many significant enhancements have been introduced to all phases of project life. These enhancements were concerned with substantial aspects such as: cost control, limited resources, the overall project performance evaluation... etc.

Of course, these new enhancements necessitate advanced modeling and computational techniques to manipulate a very large number of

decision variables, influential variables and internal and external factors. This means very huge amount of data and information which must be manipulated in PM process.

Over the past ten years, information technology has discovered in PM the very rich environment in which its newly developed techniques are practically applied. This is clearly indicated by the large number of PM software packages (35) released during the last two years [4]. Most of these packages are designed on the basis of system approach to exhaustively cover all aspects of PM. Each of them represents an integrated

* Head of Operations Research Program, ISSR, Cairo University.

** Senior Researcher, Management & Economic Consultancy, Middle East Advisory Group.

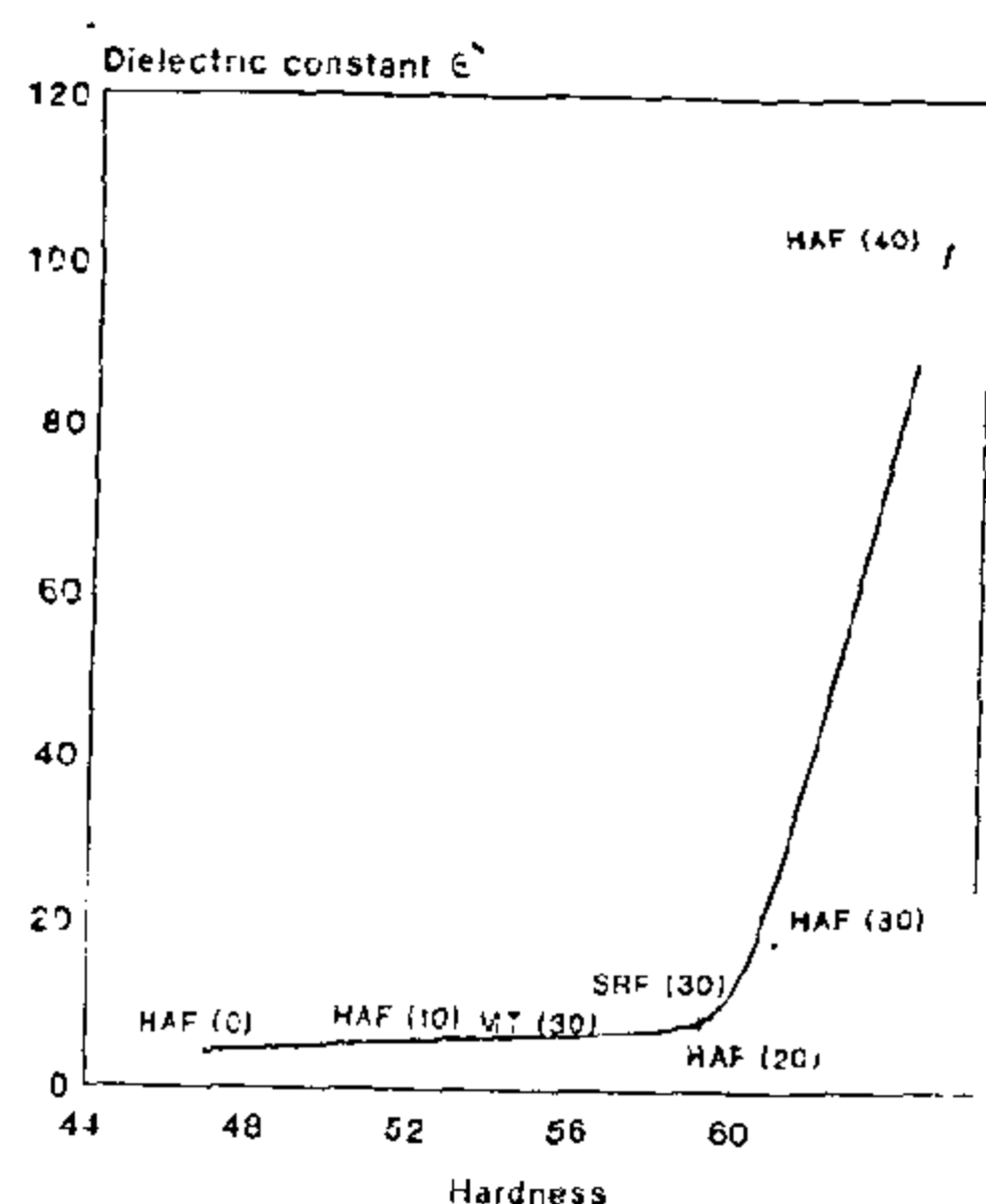


Fig. (4): Relation between hardness and $\bar{\epsilon}$ for various mixes at 1 KHz

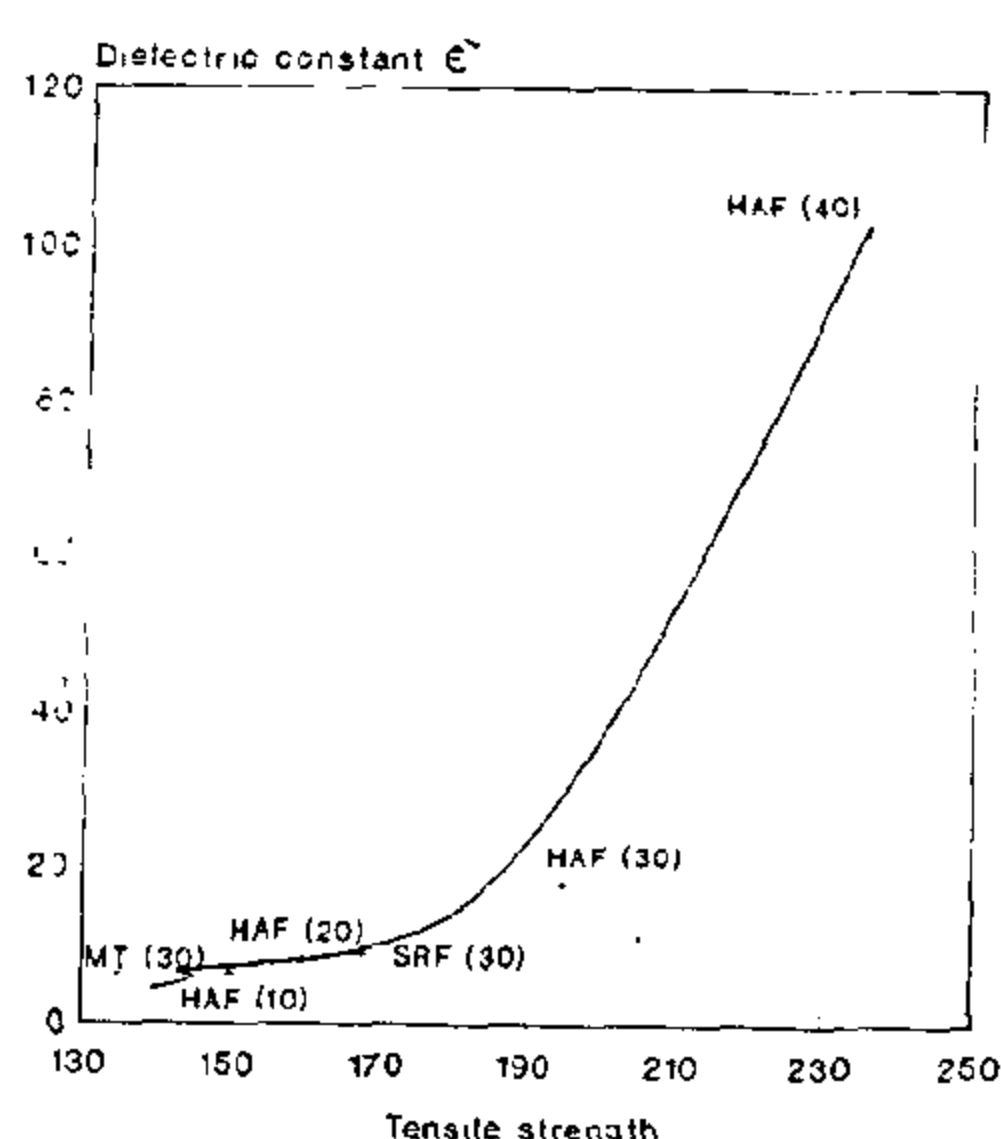


Fig. (5): Relation between tensile strength and $\bar{\epsilon}$ for various mixes at 1 KHz

importance. The need of certain degree of hardness and tensile strength is a demand for engineering application. For this reason the hardness and tensile strength for the different rubber mixes used were measured and plotted against $\bar{\epsilon}$. This can be shown in Figure (4) and (5). From these figures it can be noticed that, as the carbon black concentration in the mixes increases, the dielectric constant increase. At low concentration of carbon Black (up to 30 phr HAF) $\bar{\epsilon}$ shows a gradual increase. This increase becomes extremely high at a certain concentration of carbon black (40 hpr HAF), which could be attributed to the interfacial polarization between carbon black and polychloroprene rubber. From this result it could be concluded that polychloroprene rubber mixes which are characterized by good dielectric and at the same time by good mechanical properties are those which are loaded with not more than 30 hpr HAF.

Conclusion:

A precise system and accurate method was used to investigate the dielectric properties of different polychloroprene rubber mixes. The dielectric constant $\bar{\epsilon}$ is found to decrease with the increase of the volume resistivity ρ_v of the mixes. On the other hand the mechanical properties for such mixes were also measured and comparable with their dielectric properties. It is very interesting to find that the mixes containing 30 phr HAF or less, are those which offer good mechanical as well as electrical properties. This is an important result in engineering applications as polychloroprene rubber is used for inner coating of electrical cables.

ACKNOWLEDGEMENTS

We should like to thank Prof. Dr. Ibrahim M.H. Saad, Head of Electrical Measurements Division, National Institute for Standards, Dokki, Cairo, Egypt; for his kind advice in this work.

REFERENCES

1. F.F. Hanna and A.M. Ghoneim, Z. Phys. Chem., 245,236, (1970).
2. F.F. Hanna and A.M. Ghoneim, Z. Phys. Chem., 245, 308, (1970).
3. K.N. Abd-El-Nour, A.S.J. Al-Ani and H.Z. Aly, Egypt. J. Phys., 12,117, (1981).
4. F.F. Hanna, and Abou-Bakr, Z. Phys. Chem. Leipz., 252,386, (1973).
5. S.N. Lawandy and K.N. Abd-El-Nour, European Rubber. J. 164,2,53, (1982).
6. S.N. Lawandy and K.N. Abd-El-Nour, J. App. Poly. Sci. 31,841, (1986).
7. L. Hartshorn and H. Ward, Proceedings, I.E.E. London, Vol. 79, 597.
8. ASTM Standard D 150-54 T.
9. M. Porter Kustschuk Gummi Kunststoffe, 22,8,419, (1969).
10. P. Hedvig and A. Hilger, Dielectric Spectroscopy of Polymers Akademical Kiado, Budapest, 1977, P. 332.
11. B.B. Boonstra and M.H. Polley, Rubber Chem. Tech. 30,170, (1957).

From that figure, it can be noticed that at low carbon black volume concentration the frequency used has a limit effect on the dielectric property, but as the carbon black concentration increases, the $\bar{\epsilon}$ values vary with the variation of the frequency applied: However, at 0.2 carbon black volume concentration, $\bar{\epsilon}$ reaches extremely high values. These values are due to the increase in the carbon-polymer intermolecular physical changes. The intermolecular causes interfacial polarization. These intermolecular physical changes affect directly the activation energy of the polymer and the rubber compound becomes more conductive. Similar results were reported by others [6-10].

At the same time with the increase of frequency the dielectric absorption caused by the interfacial polarization in the dielectric decreases, causing a decrease in $\bar{\epsilon}$ values.

The volume resistivity ρ_v , was also related to the carbon black volume concentration measured at 1 KHz, and plotted together with $\bar{\epsilon}$. This can be shown in Figure (2). The curve is useful to predict $\bar{\epsilon}$ and ρ_v for various carbon black concentrations other than that used experimentally. The selection of certain carbon black concentration is important for the engineering application when certain degree of electric insulation is needed.

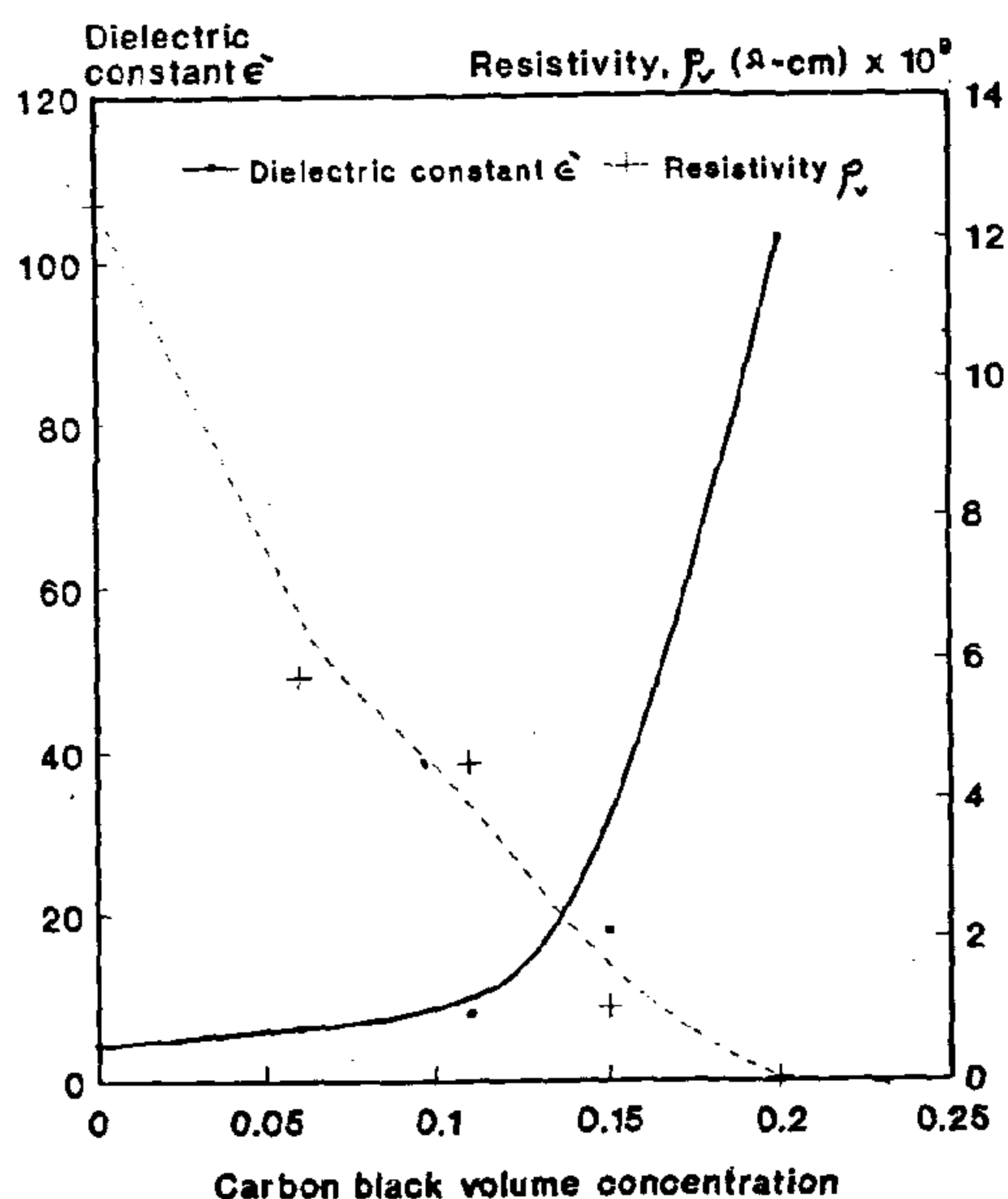


Fig. (2): Relation between carbon black volume concentration and both $\bar{\epsilon}$, ρ_v at 1 KHz

Effect of Particle Size of Carbon Black on the Dielectric Properties:

Since the particle size of the carbon black is directly related to the reciprocal of its surface area, then the small particle size has a great effect to the interface between the polymer chains. However, the electrical resistivity of carbon black loaded rubber depends upon the degree of conducting paths provided by the black particles, the resistance of the carbon black in the path and its degree of aggregation. Thus the electrical resistivity of a rubber compound is a function of the particle size, structure and carbon black aggregation, this can be shown in Figure (3). Thermal black (MT) provides highly insulating compounds due to its low structure and large particle size which does not provide a sufficient number of conducting paths. Oil and gas furnaces black (HAF and SRF) are of higher structure and smaller size provide higher degree of conductivity because of their major significant paths. Review of the effect of carbon black loading on the dielectric properties of polymers have been given by Boonstra and Polley [11].

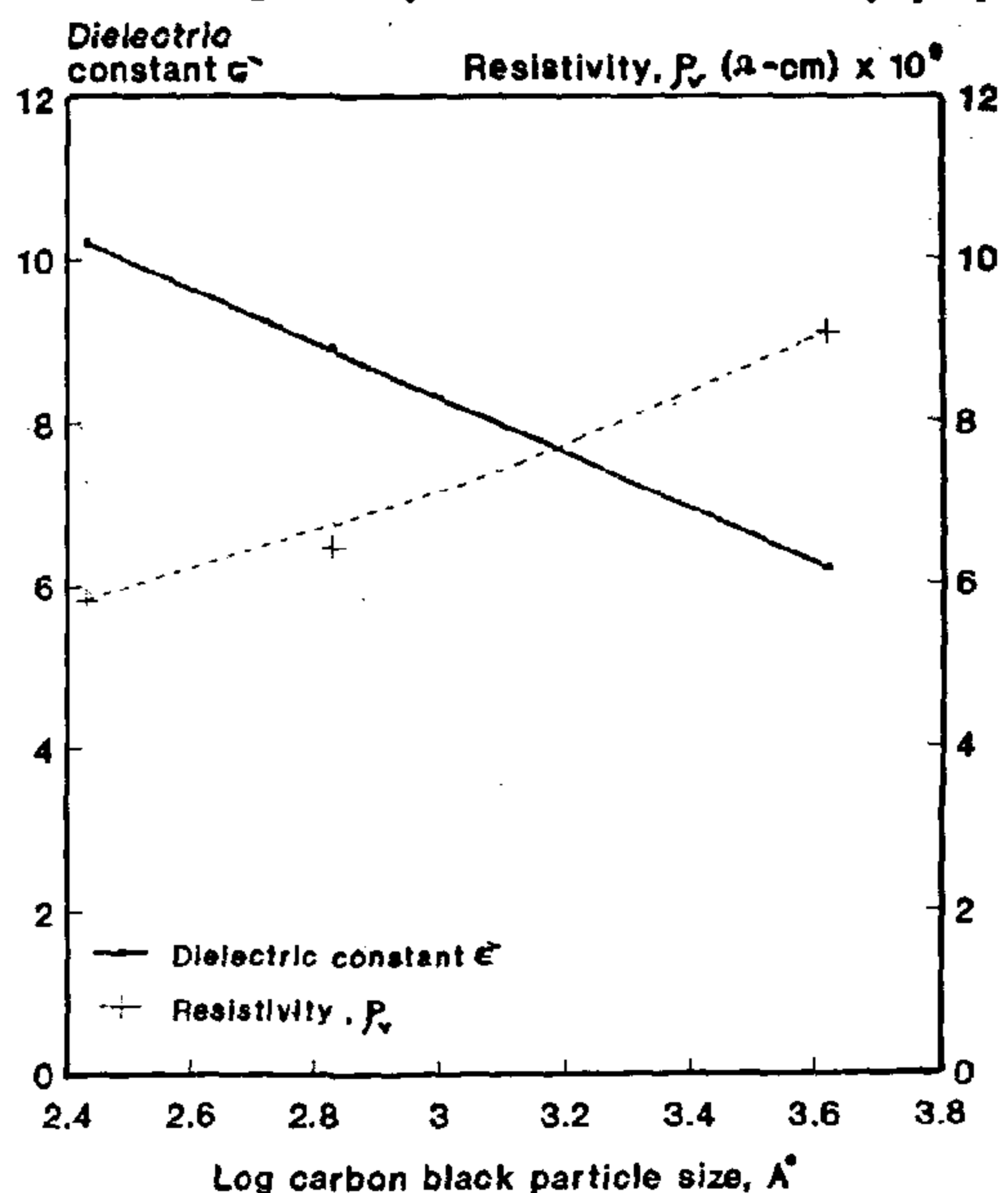


Fig. (3): Relation between log carbon black particle size and both $\bar{\epsilon}$, ρ_v at frequency 1 KHz

Relation Between Dielectric Properties and Mechanical Properties of the Mixes:

When considering rubber as an insulating material, its mechanical properties is of great

the error from fringing field and stray capacitance. Special leads are used to connect the holder to the measuring device. These special connectors eliminate the effect of lead inductance and resistance that affect the measurements.

The capacitance and dissipation factor of the various samples were measured using the General Radio Capacitance measuring System, type 1615-A. This bridge is a transformer ratio arms designed to measure the capacitance and dissipation factor with high accuracy up to 0.01%. It has the advantage of obtaining capacitance and dissipation factor balance at the same time. The bridge was used to measure the capacitance, C_i and C_o and the dissipation factor, D_i and D_o , for each specimen when it is in and out of the sample holder respectively. The spacing between the electrodes, t , for each sample is kept constant for the in and out cases.

The equivalent parallel capacitance of the specimen, C_x , was calculated as:

$$C_x = C_i - C_o + C_A \quad (1)$$

where $C_A = C_x A_x/A_E$, C_A is the geometric air capacitance of the electrodes at spacing t , A_x is the cross section area of the specimen and A_E is the cross section area of the electrodes.

The dissipation factor D_x was calculated using the relation:

$$D_x = (D_i - D_o) C_i/C_x \quad (2)$$

from the values C_x and D_x the dielectric constant $\bar{\epsilon}$, and the volume resistivity ρ_v can be calculated as:

$$i) \bar{\epsilon} = C_x/C_A$$

$$ii) \rho_v = A_x/\omega t C_x D_x$$

where

$$\omega = 2 \pi f, f \text{ is the frequency.}$$

Results and Discussion

Effect of Vulcanizing Agent Concentration on the Dielectric Properties:

The effect of vulcanizing agent concentration (NPV/C) on the dielectric properties $\bar{\epsilon}$ and ρ_v were studied using the different concentrations, Table I.a. The results are given in Table III. It

is noticed that when a frequency of 1 KHz was used both $\bar{\epsilon}$ and ρ_v were slightly affected by the vulcanizing agent concentration. Although this concentration varies the crosslink density of the polymer can cause different forms of crosslinks. These links can be classified as monosulphide, disulphide, polysulphide pendant and cyclic sulphide. These later cross links are affected when the sulphur concentration in the mix exceeds certain limits [9]. These types increase the concentration of chain ends with no significant increase in the average number crosslinks.

Table (III) : Dielectric properties for mixes containing different vulcanizing agent concentrations and measured at 1 KHZ

NPV/C Conc.	0.6	0.7	0.8	0.9	1.0
$\bar{\epsilon}$	18.056	18.281	16.920	16.956	16.217
$\rho_v \times 10^{-9} \text{ . cm}$	0.688	0.916	0.886	0.771	0.816

Effect of Carbon Black Concentration on the Dielectric Properties:

The capacitance and dissipation factor for the samples containing different concentrations of HAF carbon black, were measured at room temperature using a range of frequencies from 100 Hz to 10.000 Hz. The dielectric constants are given in Figure (1).

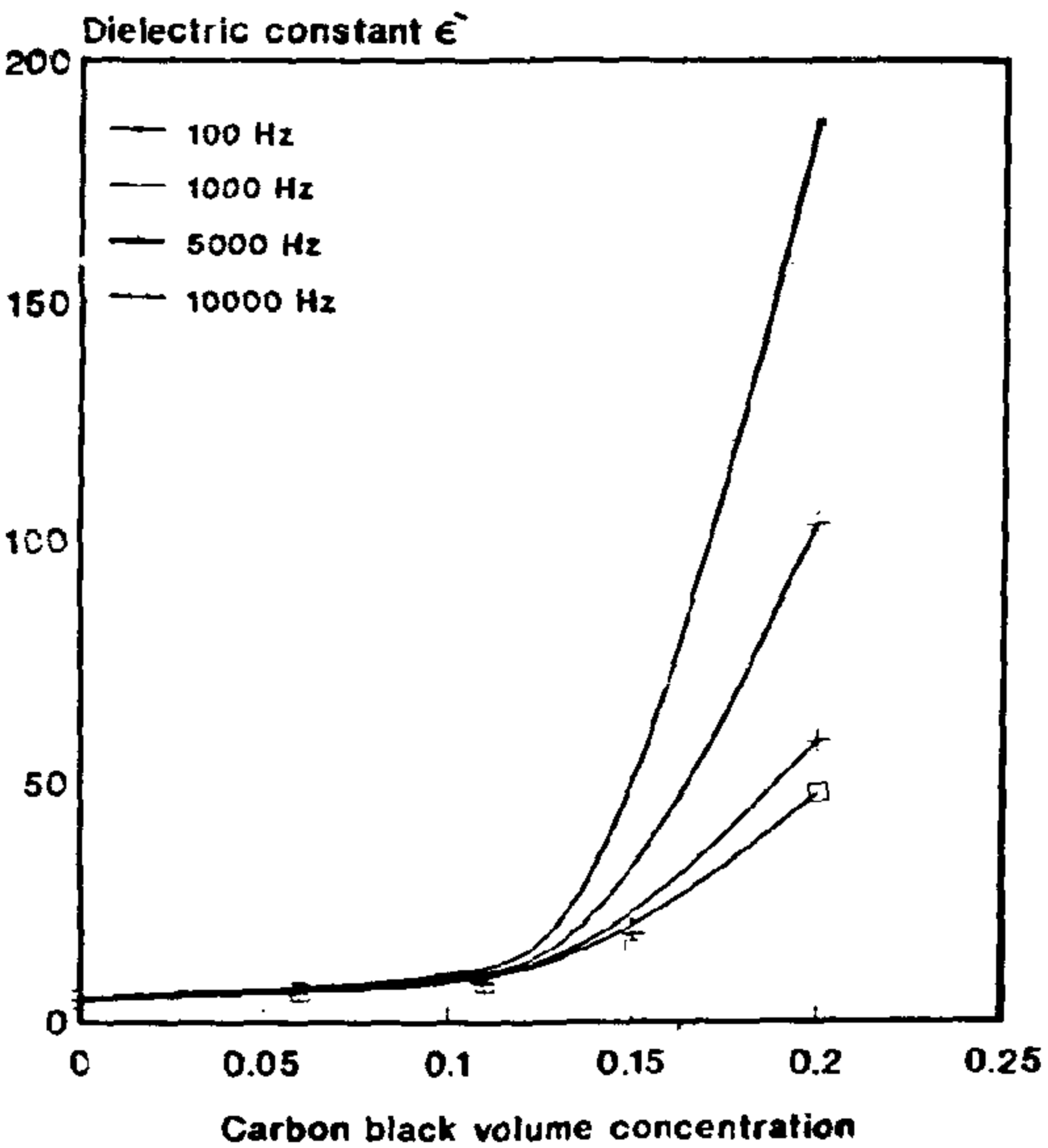


Fig. (1): Relation between carbon black volume concentration and dielectric constant, ϵ' , at different frequencies

Table (I.b.) : Mix formulation containing different concentrations of HAF Carbon black

	B1	B2	B3	B4	B5
Polychloroprene (Shyprene Y-31)	100	100	100	100	100
Dibutyl phthalate	3	3	3	3	3
Zinc oxide	5	5	5	5	5
MgO (Light)	5	5	5	5	5
Stearic acid	2	2	2	2	2
Phenyl-Beta-naphthylamine (P.B.N.)	1	1	1	1	1
Nonox. ZA	1.5	1.5	1.5	1.5	1.5
NPV/C	0.8	0.8	0.8	0.8	0.8
HAF Carbon black	0	10	20	30	40
Tensile strength (Kg/cm ²)	140	149.8	160	193	237
Elongation at break, %	646	480	362	306	284
Modulus at 100%	6.9	12.1	22.9	23.8	46.5
Elongation (Kg/cm ²)					
Cure time, in minute	16	15.5	16.2	15.6	15.2
Hardness, Chore A	48	52	58	62	66

Table (I.c.) : Mix formulation containing different types of carbon black

	C1	C2	C3
Polychloroprene (Shyprene Y-31)	100	100	100
Dibutyl phthalate	3	3	3
Zinc oxide	5	5	5
MgO (Light)	5	5	5
Stearic acid	2	2	2
Phenyl-Beta-naphthylamine (P.B.N.)	1	1	1
Nonox. ZA	1.5	1.5	1.5
NPV/C	0.8	0.8	0.8
The thermal black (MT)	30	—	—
Semi-Reinforcing black (SRF)	—	30	—
High abrasion furnace black (HAF)	—	—	—
Tensile strength (Kg/cm ²)	136	167.9	175
Elongation at break, %	462	412	338
Modulus at 100%	15	24	26.4
Elongation (Kg/cm ²)			
Cure time, in minute	16	16.8	16
Hardness, Chore A	53	59	61

Table (II) : General proerties of carbon black used

Process and Type	Symbol	Particle Size, A°	Structure	General Properties
Oil Furnace Black	HAF	270	105-110	Fully Reinforce
High Abrasion Furnace				
Gas Furnace Black	SRF	800	65-70	Medium Reinforce
Semi Reinforcing Furnace				
Thermal black	MT	4700	33	Low Reinforce
Medium Thermal				

Mastication and mixing were carried out on two roll mill, with water cooling. Master batch was used to ensure fair comparison data. Rheometer (Mansanto type 100 A) test at 151°C indicated that 90% cure crosslinking occurs at a cure time 16 min. The mechanical properties of each mix was measured and reported at the end of each table.

2. Test Piece Preparation

The mixes were vulcanized at the same condition of pressure, temperature and time as estimated by the Monsanto Rheometer. Circular discs of diameter 4.5 cm and approximately 0.1 cm thick were cut from the vulcanized cheets. These circular discs are used to measure the dielectric properties, from the same sheets dumbell samples were cut, these samples were used to measure the mechanical properties.

3. Dielectric Measurements

A dielectric sample holder supplied by the General Radio Company, Hartshorn type 1690-A [7,8], was used to accomodate the rubber specimen, diameter 4.5 cm and of about 0.1 cm. thickness. This holder is a micrometer driven electrode which can measure the thickness accurately up to 0.00254 cm cm (0.001 inch). The electrodes surfaces are ground optically plane to within few wave lengths which ensure fair flatness of these electrodes and allow intimate contact between the specimen and electrodes. The continuous calibration of this holder eliminates

DIELECTRIC PROPERTIES OF CARBON BLACK FILLED POLYCHLOROPRENE RUBBER

N.N. TADROS *

S.N. LAWANDY*

SYNOPSIS:

The dielectric constant, ϵ , and the volume resistivity, ρ_v , have been investigated for polychloroprene rubber mixed with different vulcanizing concentration, different concentrations of HAF carbon black and different types of carbon black. These results are related to the mechanical properties of the mixes.

INTRODUCTION:

The dielectric properties of certain rubber mix depend on the degree of crosslinking, chain entanglement, chain ends, the carbon black particle size and structure and the carbon black concentration in the mix.

Several techniques have been used to assess the dielectric properties changes for natural and synthetic rubber compounds filled with various types of carbon black [1-6].

In this article a precise method and accurate system was used to assess the dielectric properties. A special capacitance bridge supported with a transformer ratio arms was used to measure the capacitance and the losses of a wide range including small and moderate size capacitors with high stability. The transformer ratio arms type capacitance bridge used in this article is considered to be self calibrated, the reason is that the ratio between the standard capacitance value to that of the sample capacitance is directly proportional to the ratio between the number of turns of the two transformer secondary windings of the bridge. This value is dimensionless and unchanged by aging and temperature changes. The accuracy of this bridge is up to 0.01% and the bridge cover a wide range of frequency from 20 Hz up to 100 KHz.

Materials and Experimental

Procedure:

1. Rubber Mix Formulation

The mixes examined were based on polychloroprene polymer, Skyprene Y31 produced by Japan and manufactured by Toyo Soda MFG Co. The mix formulations are given in Tables I.a, I.b and I.c. The vulcanizing agent used in this mix is Ethylene Thiourea 2-Mercaptoimidazoline (NPV/C). The carbon blacks used in this study are High Abrasion Furnace Black, HAF. Semi Reinforcing Furnace, SRF, and medium Thermal Black, MT. The general properties of these blacks are given in Table II. The HAF black was used to study the effect of carbon black concentration on ϵ and ρ_v .

Table (I.a.) : Mix formulation containing different concentrations of the vulcanizing agent

	A1	A2	A3	A4	A5
Polychloroprene (Shyprene Y-31)	100	100	100	100	100
Dibutyl phthalate	3	3	3	3	3
Zinc oxide	5	5	5	5	5
MgO (Light)	5	5	5	5	5
Stearic acid	2	2	2	2	2
Phenyl-Beta-naphthylamine (P.B.N.)	1	1	1	1	1
Nonox. ZA	1.5	1.5	1.5	1.5	1.5
NPV/C	0.6	0.7	0.8	0.9	1
HAF Carbon black	30	30	30	30	30
Tensile strength (Kg/cm ²)	185	183.5	183	187.4	187
Elongation at break, %	322	322	328	312	154
Modulus at 100%	25.5	25.2	24.9	25.6	25.7
Elongation (Kg/cm ²)					
Cure time, in minute	16	17	16	16	16
Hardness, Shore A	65	66	66	67	67

* National Institute for Standards, Dokki, Cairo, Egypt.

INDUSTRY AND PRODUCTION

*** INST. OF MECHANICAL ENGINEERS**

*** INST. OF ELECTRICAL ENGINEERS**

Technical Specifications and Quality Checking

★ Technical specifications and conditions in the current contract documents should be updated and well defined considering realistic tolerance limits. Conditions similar to those used internationally may be considered.

★ Quality checking procedures should be also specified stating the minimum number of drains to be checked in a unit area. The checking should be on a random basis with increasing intensity and the contractor should pay the cost of checking the additional drains plus the cost of repair of defected drains. The results of checking should be recorded and documented.

★ Incentives should be considered for good quality work. Both supervising staff and contractor should enjoy this privilege. On the contrary, those who are repeatedly not meeting the specifications should be disqualified for future work.

CONCLUSION

Defects in implementing the drain depth would hamper the performance of the drainage system. A combination of well defined technical specifications, strict quality control and checking procedures and applying penalties and sanctions will help in improving the quality of construction. A review of the current specifications for inclusion of necessary changes which ensure improvement of the implementation quality should be considered.

REFERENCES

1. Abdel-Dayem, S., 1985, "Investigation of Pipe Clogging and Need for Envelope Materials in Subsurface Drainage".

Technical report no. 28, PADTP, Drainage Research Institute, Giza.

2. Abdel-Dayem, S. and Ritzema, H.P., 1990, "Verification of Drainage Design Criteria in the Nile Delta, Egypt". Irrigation and Drainage Systems 4:117-131, The Netherlands.
3. Abdel-Dayem, S. and El-Atfy, H., 1992, "Quality Checking of Subsurface Drains Using Rodding Techniques". Paper accepted for presentation at the 5th International Drainage Workshop, Lahore, Pakistan.
4. Cavelaars, J.C., 1980, "Subsurface Field Drainage Systems". Drainage Principles and Applications, Publication 16, Vol. IV, ILRI, The Netherlands.
5. De Boer, K.S., 1987, "Grading Precision of Subsurface Drains". Report 158-a, Government Service for Land and Water Use. The Netherlands.
6. FAO, 1980, "Drainage Design Factors". Expert Consultation, FAO Irrigation and Drainage Paper No. 38, Rome.
7. Skaggs, R.W. and Tabrizi, A.N., 1983, "Optimum Drainage for Corn Production". Technical Bulletin 274, North Carolina Agricultural Research Service, NCSU, Raleigh.
8. Van Zeijts, T.E.J. and Zijlstra, 1990, "Rodding, A Simple Method for Checking Mistakes in Drain Installation". Proceedings, Symposium on Land Drainage for Salinity Control in Arid and Semi Arid Regions, Vol. 3, Cairo.

the machine digging depth and kept moving without any grade or depth control. This can explain why the drain profile follows the land surface. This case may occur under lack of supervision and strict quality control and absence of penalties and sanction measures.

DEPTH AND GRADE IN THE CURRENT STANDARDS

The technical conditions adopted by the Egyptian Public Authority for Drainage Projects (EPADP) in its current tender documents specify the following requirements about the depth and grade of the drains :

“The pipes shall be laid with a minimum slope of 15 cm per 100 meter in a trench of at least 20 cm width when laid mechanically and a trench of width of 50 cm minimum at bottom when laid manually in orchard area. The contractor shall be responsible for the correct alignment of the laterals according to the design drawings, where depth of laterals, spacing between them is designated”.

In a subsequent statement the following condition is given :

“The trench shall be cut to the designed depth shown in the drawings and as assigned by the engineer starting from the collector’s connection point and rising with a slope of 0.15% to the higher end. The invert bed of the field drain pipe at the collector connection should be at an average depth of 1.6 m from ground level. Maximum alignment tolerance is 2 cm at any point provided that negative slope is not created”.

It is clear that these technical specifications are too strict about the tolerance allowed for deviation from alignment. The Dutch Technical Specifications states that “the deviation of the pipe in relation to the prescribed line may not be more than half of the internal diameters”. Thus, with an internal pipe diameter of 72 mm, the tolerance will be 36 mm. However, they add that

“water should not remain stationary above the axis of the pipe due to any deviation”.

Any way, standards and specifications remain mere statements unless they are strictly observed and enforced during the implementation. The means and method of quality checking should be specified. Sanctions to be applied in the case of defection should be also clearly stated.

In the Dutch practices, rodding is used to check the drain grade quality (Van Zeijts and Zijlstra 1990). The checking is carried out by way of random test. The size of the test is about 10 percent of the total number of drains in a given sector of the project area with a minimum of 10 drains. If no disturbances in the drains are found, the whole sector is approved. When disturbances are found, the contractor must repair them at his expense, while at the same time the random test is intensified according to certain rules.

PROSPECTS FOR IMPROVEMENTS

Implementation Practices

★ Use of T-connection pieces with variable riser heights to compensate for the difference between laterals and collector levels could eliminate the steep slopes used at the outlet reaches.

★ The machine should start the digging for laying the lateral drain from a hole previously excavated down to the drain level. The machine should not be allowed to start digging from the surface. This will eliminate the risk of unlevelled outlet reach.

★ Machine operators should be licensed after enough training and passing necessary tests. Frequent evaluation of their performance to determine whether they continue or not may help to improve the quality of installation.

★ The use of laser equipment should be encouraged with appropriate training of the field staff. This will reduce the interference of the machine operator in changing the depth or the grade.

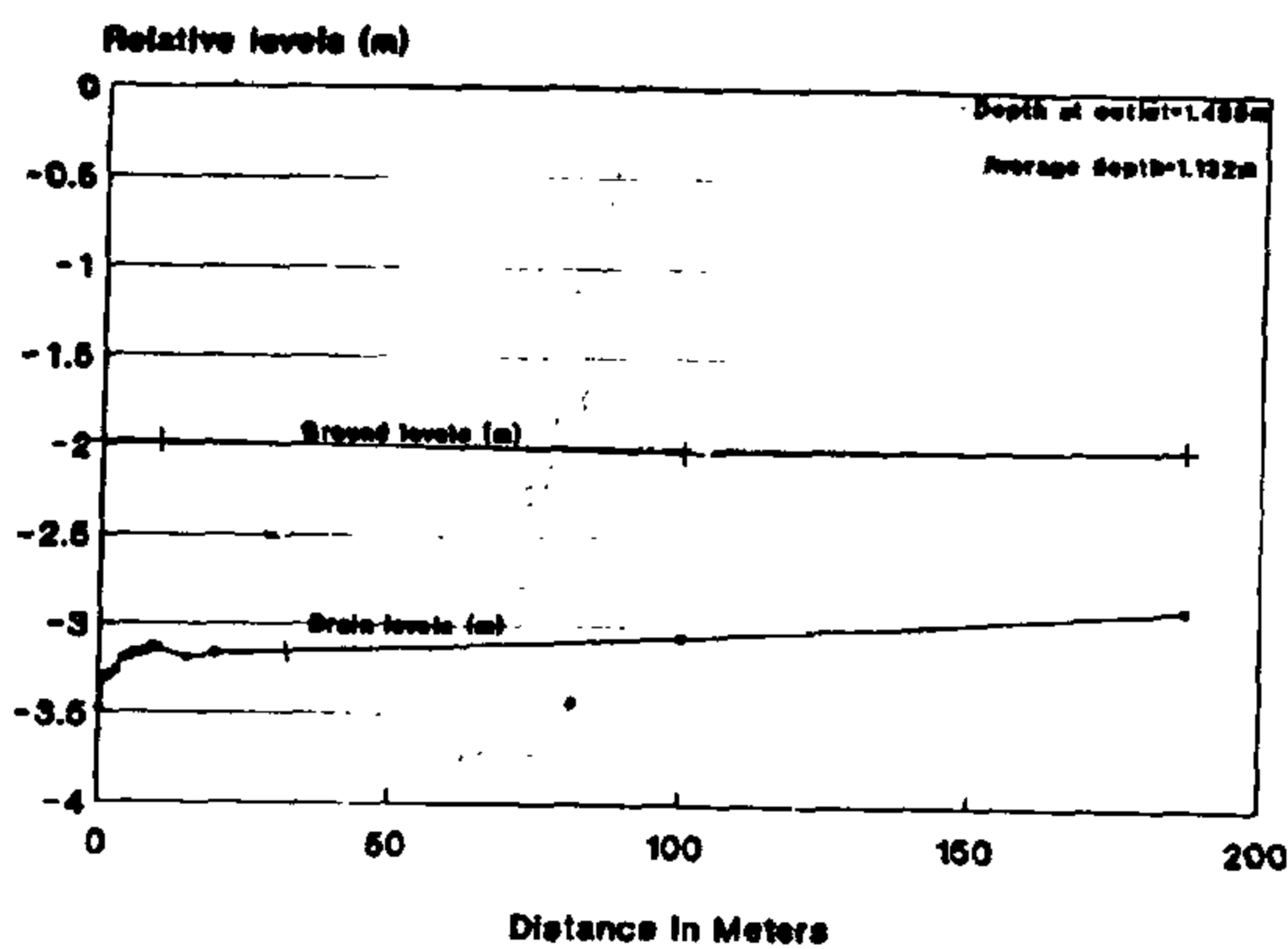


Fig. (6) Irregular Deviation from the Right Depth Near Outlet

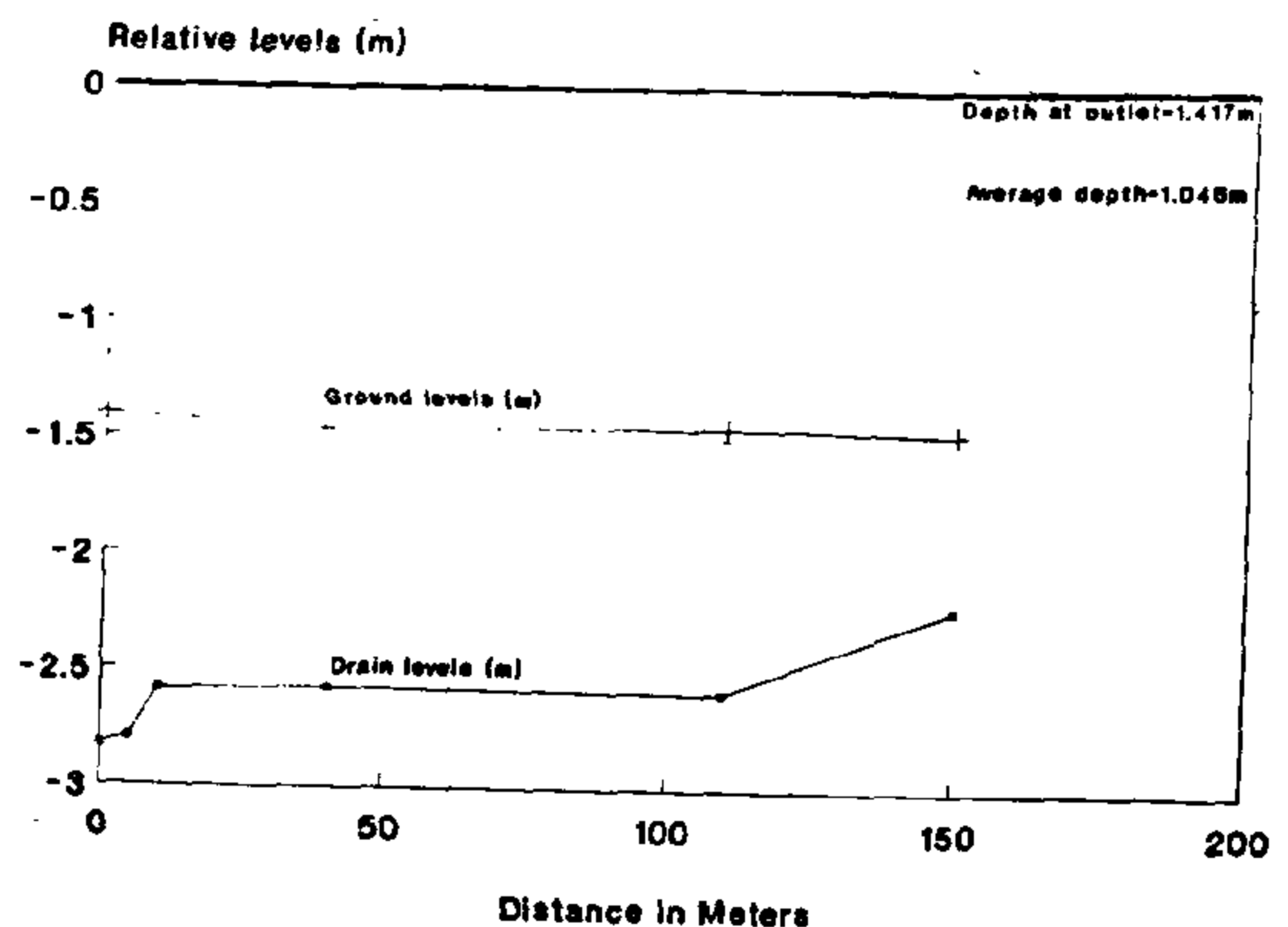


Fig. (8) Steep Slope at the Drain Upstream Section

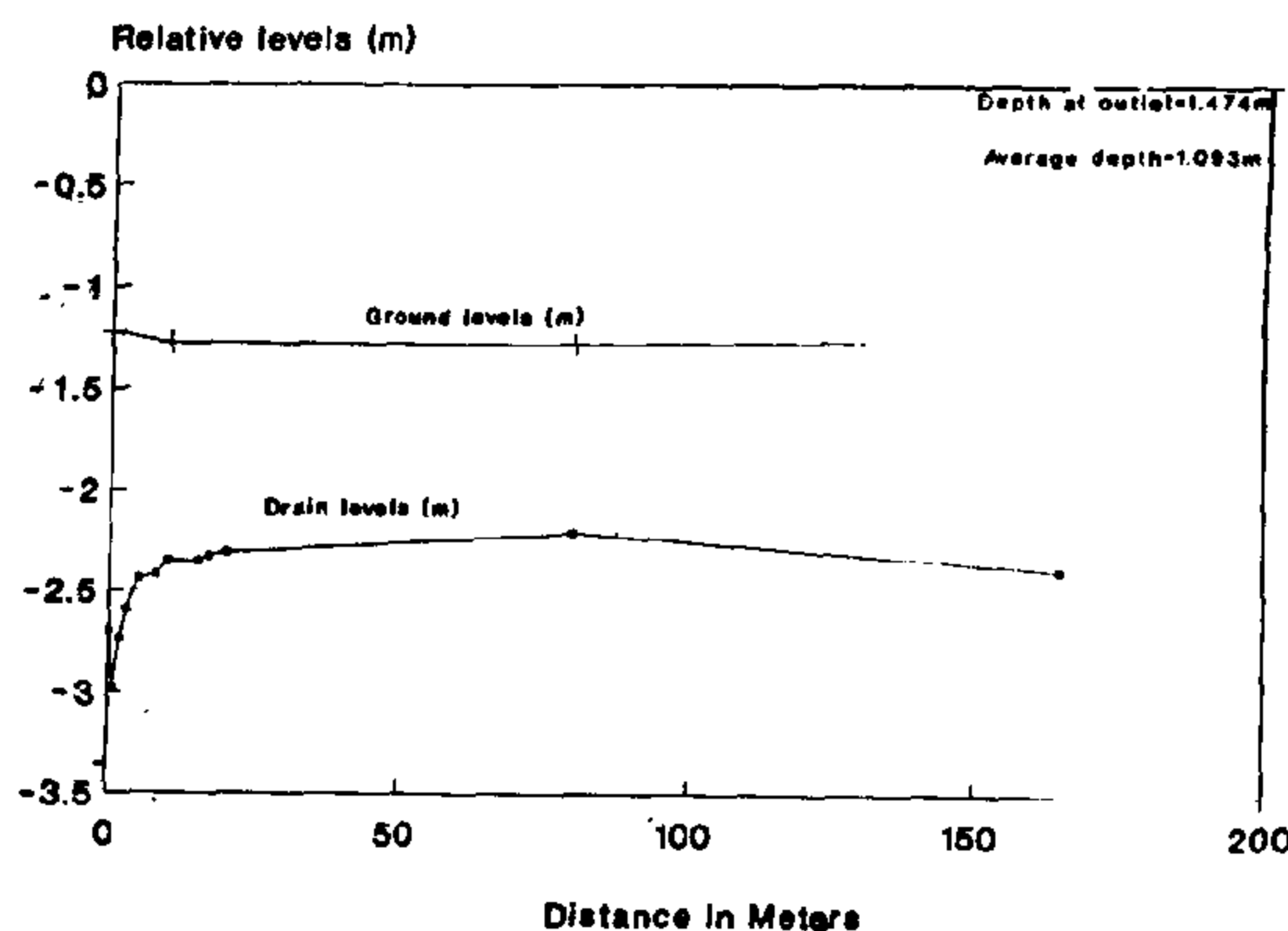


Fig. (7) Reversed Drain Slope at the Upstream Section

followed for digging and connecting the lateral drain to the collector. The connection is manually made by a spade after the lateral is installed mechanically. The machine usually starts the digging from the soil surface. Therefore, it requires a distance which could be more than 5 m to reach the proper depth. When the adjustment of this reach is made manually, the reach of the worker's hand and spade in the narrow trench width (not more than 0.2 m). Hence, a part of the lateral drain near the outlet remains at a higher level which is sufficient to form an air lock. Meanwhile, it creates a permanent over-pressure which may drastically impede the capability of the drain to lower the water table. Moreover, this part makes the maintenance of the drain quite difficult as a cleaning rod or a flushing machine hose can hardly pass this portion of the drain.

Third Category : It is represented by the case in (Fig. 7), in which the drain grade was reversed

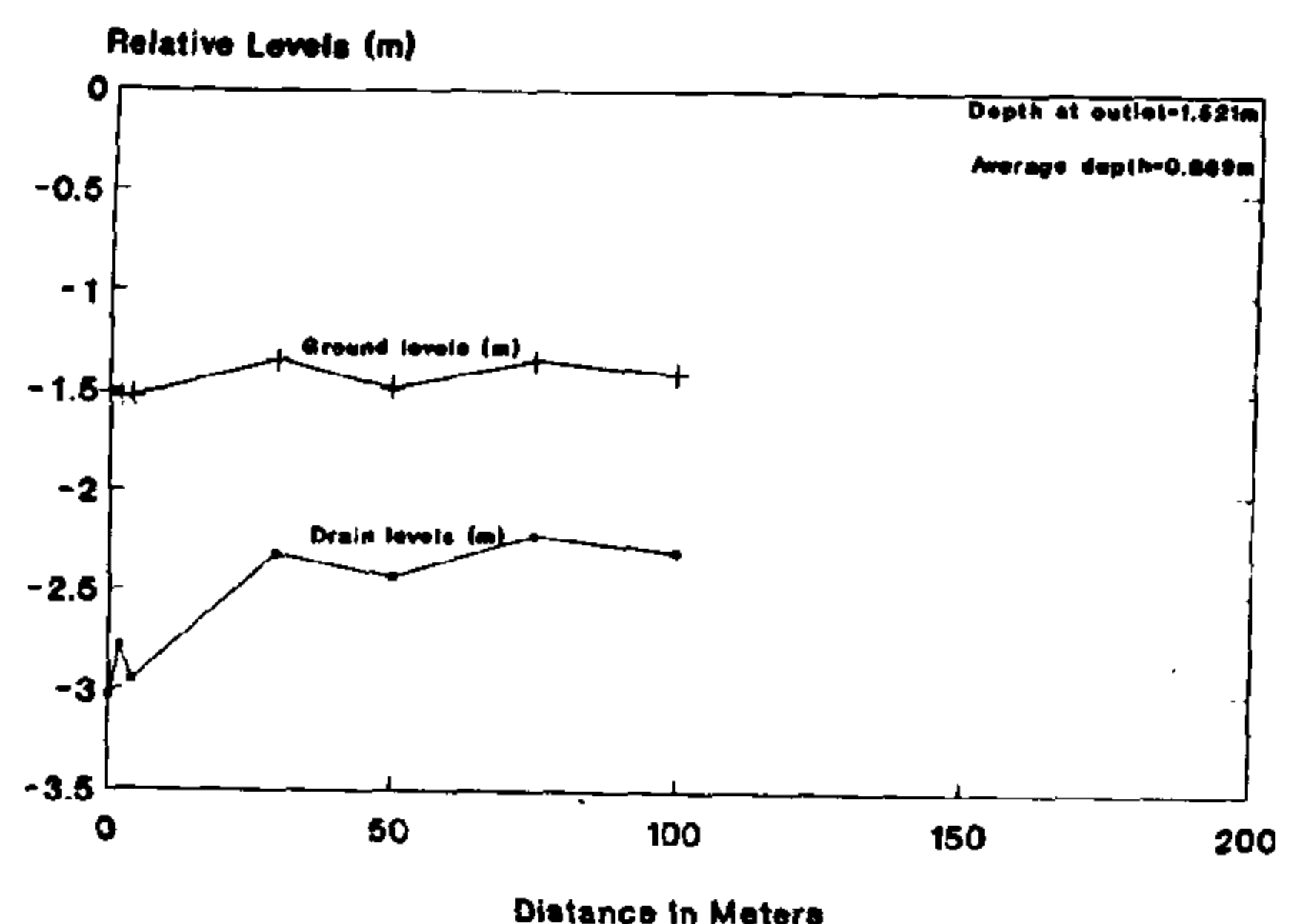


Fig. (9) Completely Irregular Drain Depth and Grade

backward in the upstream part. Such case may occur when the control aids (leveling targets or laser beam) are not followed properly. This occurs either due to a careless machine operator or lack of training. An over-pressure will develop in the upstream part to recover the gradient required to cause the flow. In addition, air locks and cleaning difficulties may develop.

Fourth Category : In this case a steeper slope at the upstream end occur as shown in Fig. 8. This situation takes place when a machine operator starts to take off from digging the trench too early. The drain depth decreases drastically in this portion of the drain causing the upstream part of the field to be poorly drained.

Fifth Category : The drains in this category are extremely irregular (Fig. 9). A drain of this type clearly indicate that the machine operator fixed

Second Category : In this category irregular deviations from the right depth and grade occur at the drain outlet (Fig. 6) due to the procedure

partly filled drain section at the high parts and the fully filled drain section at the lower part (Fig. 2). In the lower parts, because of a large wetted area a relatively low rate of flow will occur and the silt and sand carried along by the water will be deposited. These depositions will result in a narrowing of the flow passage.

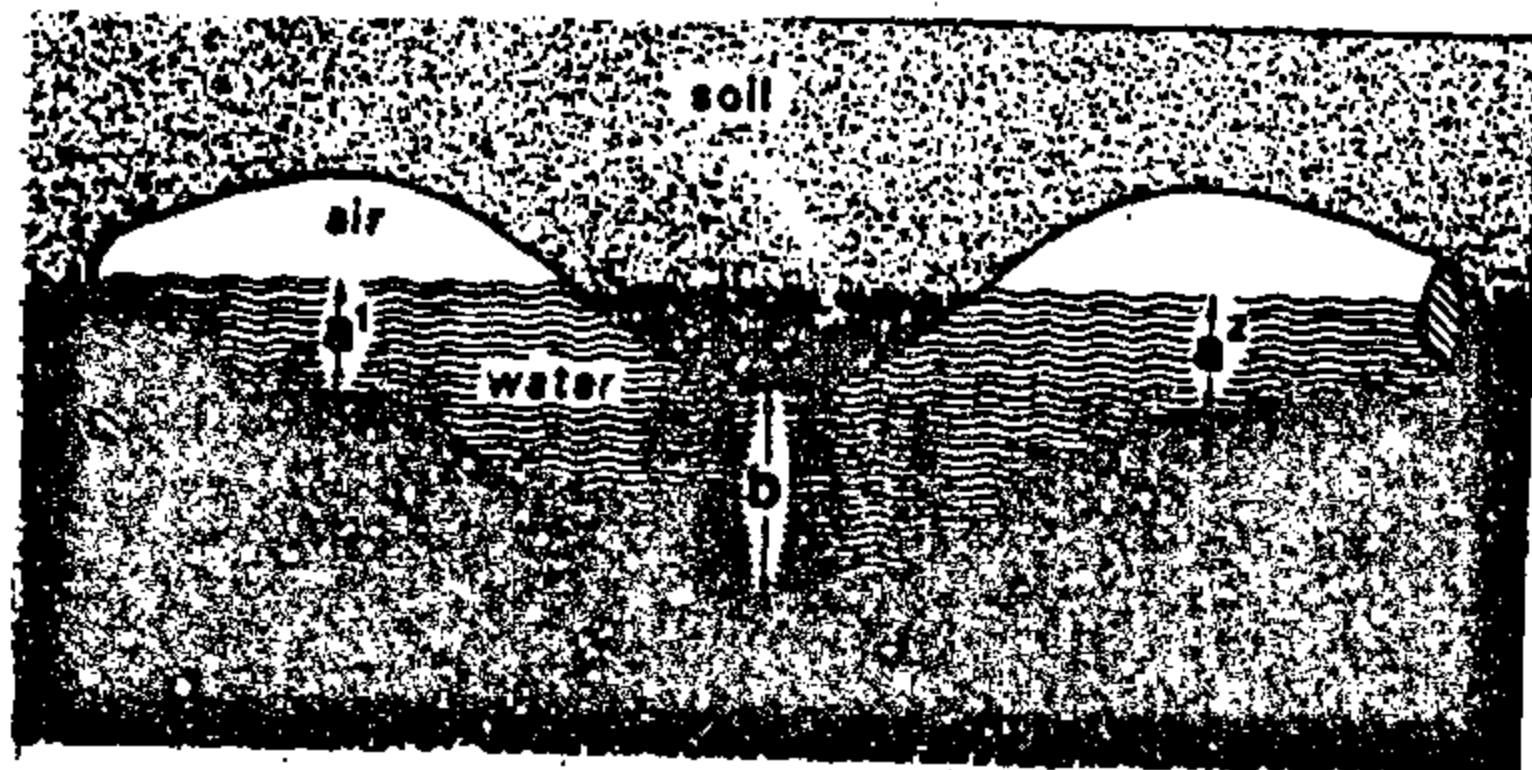


Fig. (2) Changes of Wetted Cross Sectional Area due to Depth Variations

The presence of air locks and silt depositions in a drain increases flow resistance in the drain line. The repetition of individual deviations may cumulate flow resistance to the extent that the total flow resistance in the drain will require a large head of groundwater to make the drain work (Fig. 3). The water table level will, therefore, rise above the drain level and in extreme cases, the groundwater may reach the soil surface.

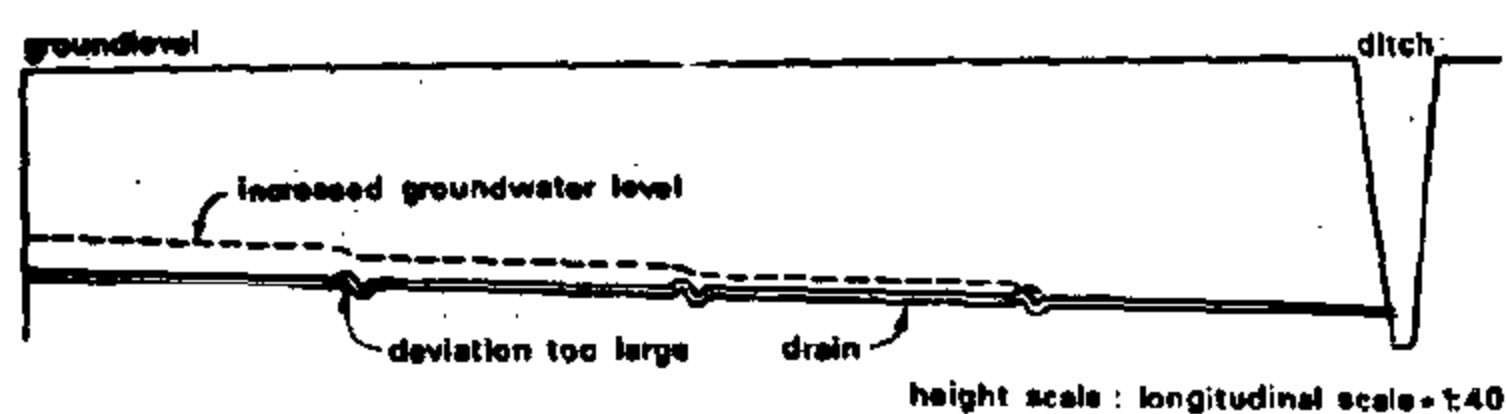


Fig. (3) Increased Flow Resistance due to Irregularities

TYPICAL DEFECTS IN IMPLEMENTATION

Drain Depth Accuracy

In a wide scale survey of the exact drain depth of implemented field drains (Abdel-Dayem 1985) it was realized that there is a general tendency among contractors to install drains shallower than required. The frequency distribution of drain depth in a sample of about 100 laterals (Fig. 4) showed high variability with an average drain depth of 1.15 m below soil surface. This average value is about 0.20 m less than the design

drainage depth. However, it has been proven that a drain depth between 1.2 and 1.4 in the Nile Delta soils produces optimum drainage conditions (Abdel-Dayem and Ritzema 1990). No difference in crop yield was observed at this range of drain depth.

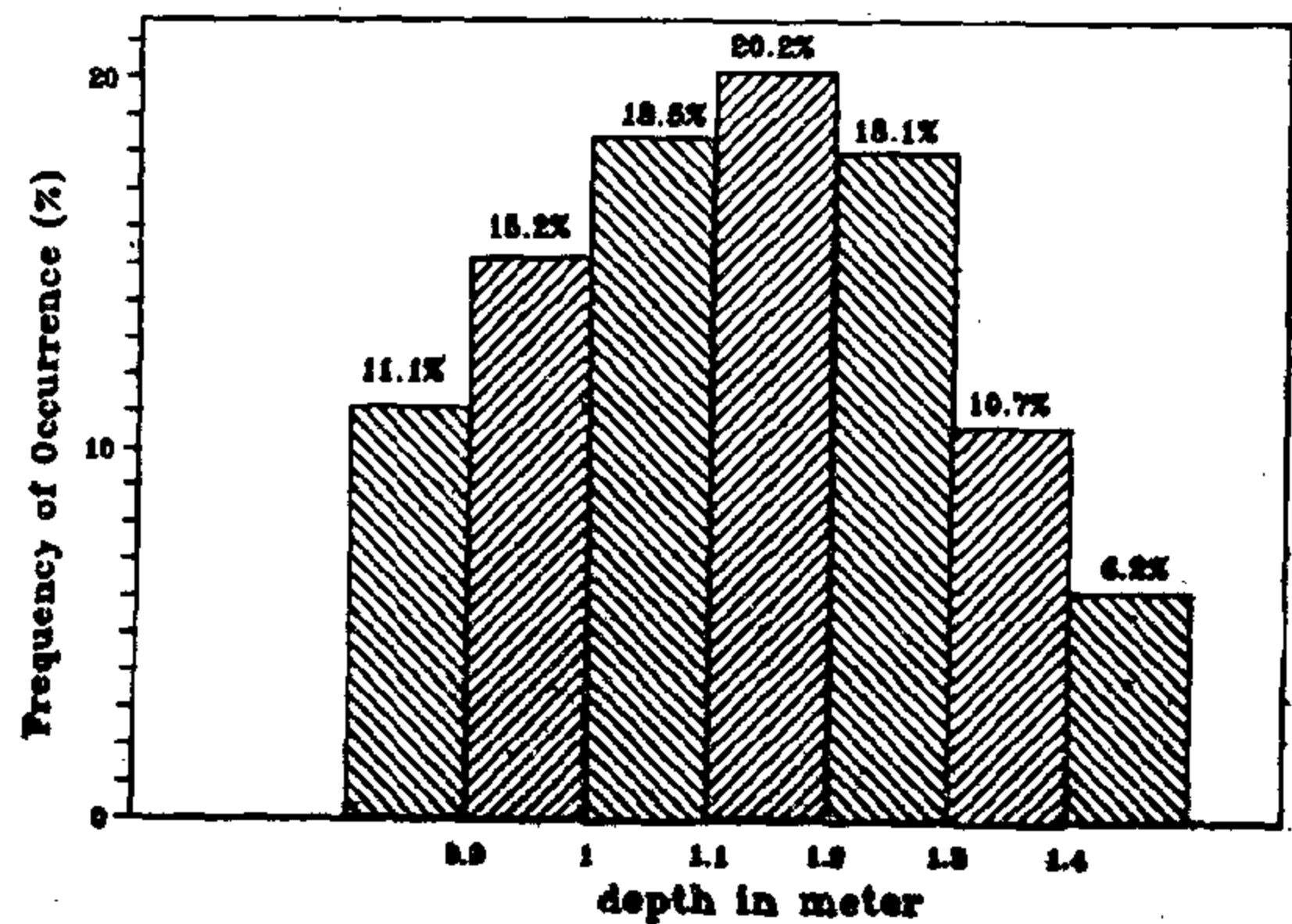


Fig. (4) Statistical Distribution of Drains Depth

Drain Grade Accuracy

During the quality checking of drains shortly after their installation (Abdel-Dayem and El-Atfy 1991), the defects discovered in drain depth and grades could be classified into five categories. They can be described as follows :

First Category : An example is shown in Fig. 5 where the drain slope is generally uniform but the outlet reach has an excessive steep slope. This case occur frequently due to the difference between the lateral drain level at the outlet and the collector drain level. Such steep slope at the outlet causes difficulties during the cleaning of the drain whether by rodding or by a flushing machine.

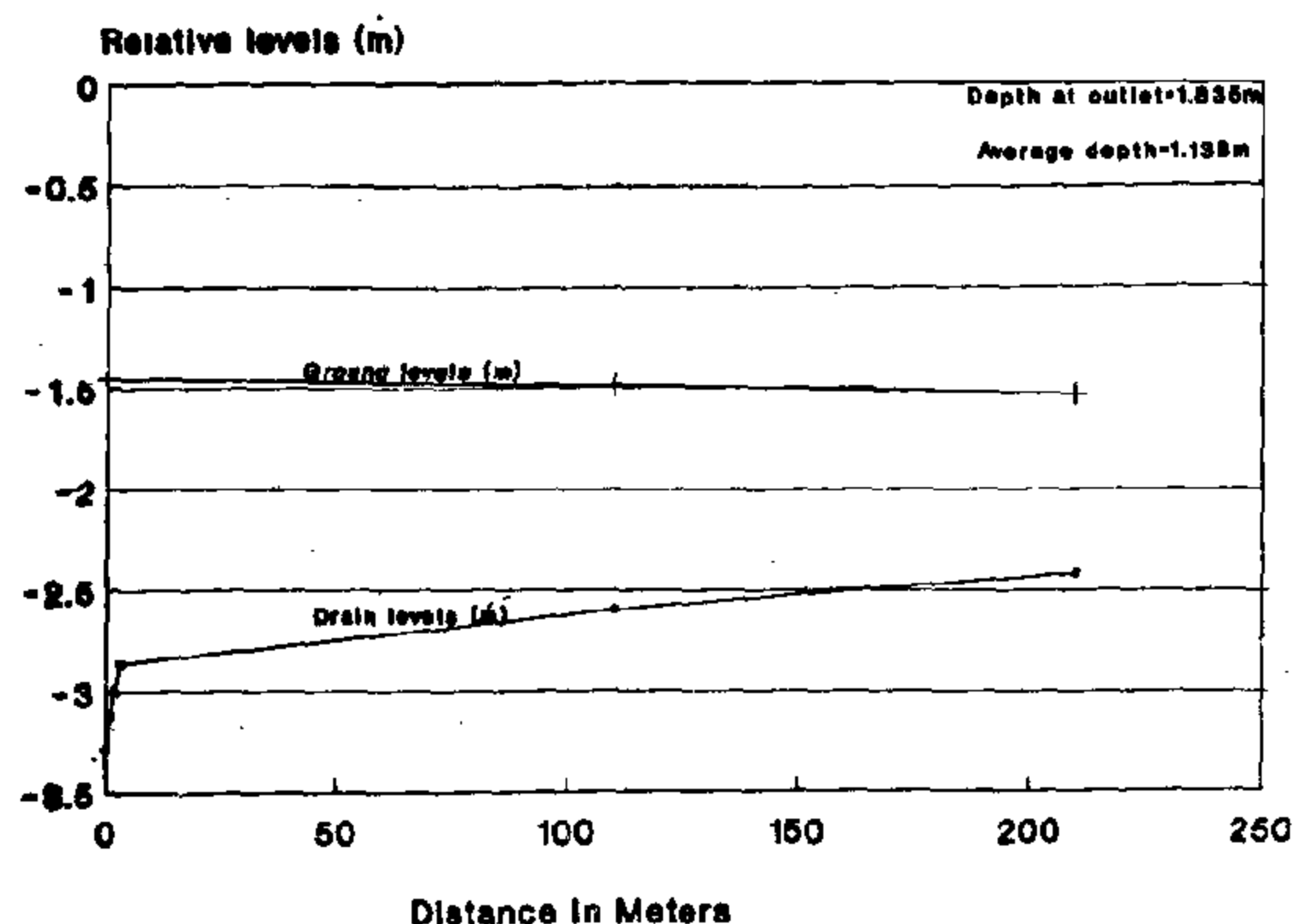


Fig. (5) Drain with Too Steep Outlet

This paper will discuss the quality requirements in the depth and grade of the drain lines. The problems associated with mistaken and faulty drains and their consequences will be reviewed. It will provide some typical examples of the most common defects and their causes. Finally, recommendations will be given to improve the current practices.

DRAIN DEPTH AND GRADE NEEDS

A subsurface drain is usually installed at a depth sufficient to control the water table above drain level throughout the crop season at the depth which produces maximum crop yield. The drain depth depends on the spacing (the hydraulic relationship for groundwater flow) and the capacity of the available means for digging and placing the drains. (FAO 1980).

The flow in a drain pipe is driven by a potential gradient which manifest itself in a potentiometric curve. This remain the same for a horizontal or sloping drain line, as long as the slope is not steeper than the average gradient (cavelaars 1980). The limit is a pipe line just running full with no over pressure at the upstream end, although some over-pressure will remain between the upstream and downstream ends. Such a slope is usually selected as the most appropriate for subsurface drains. It ensures full utilization of the drain pipe cross section at minimum excavation work.

CONSEQUENCES OF FAULTY DEPTH AND GRADES

The Drain Depth : A deviation of the drain depth from the proper position up or down affects the water table depth. A drain installed at a higher position than is needed will result in drainage conditions less than adequate and consequently excess wet conditions in the root zone. Drains installed at deeper depth than necessary will cause a faster draw-down of the water-table and result in over-drying the root zone to an extent which may develop drought stresses on the plant between the successive

irrigation applications. Both wet and dry stresses may result into a reduction of crop yield. The loss in yield can be serious at extreme cases (Skaggs and Tabrizi 1983).

The Drain Grade : The most serious problem in subsurface drainage implementation is the deviation from proper straight grades. The deviation can be either by increasing or decreasing the actual slope than it was designed, or in the form of irregular deviations along the drain line. In the former case, the drain depth will generally change either by increase or decrease resulting into an inadequate water table depth.

When irregular deviations from straight line grade occur, air locks and silt deposits will develop in the drain. Air gathers in the higher parts forming air pockets which can seriously hinder the discharge of the upstream part of the drain (Fig. 1). Water from the upstream part can not flow freely through the air without carrying the entire air pocket along with the water. This requires an increase of groundwater levels around the drain to generate a pressure head equivalent to the distance from the highest point to the following lower point (de Boer 1987). The disappearance of the air from the pipe via the drain perforations, the envelop material and the soil during a drainage process is not likely due to the near saturation soil around the drain.

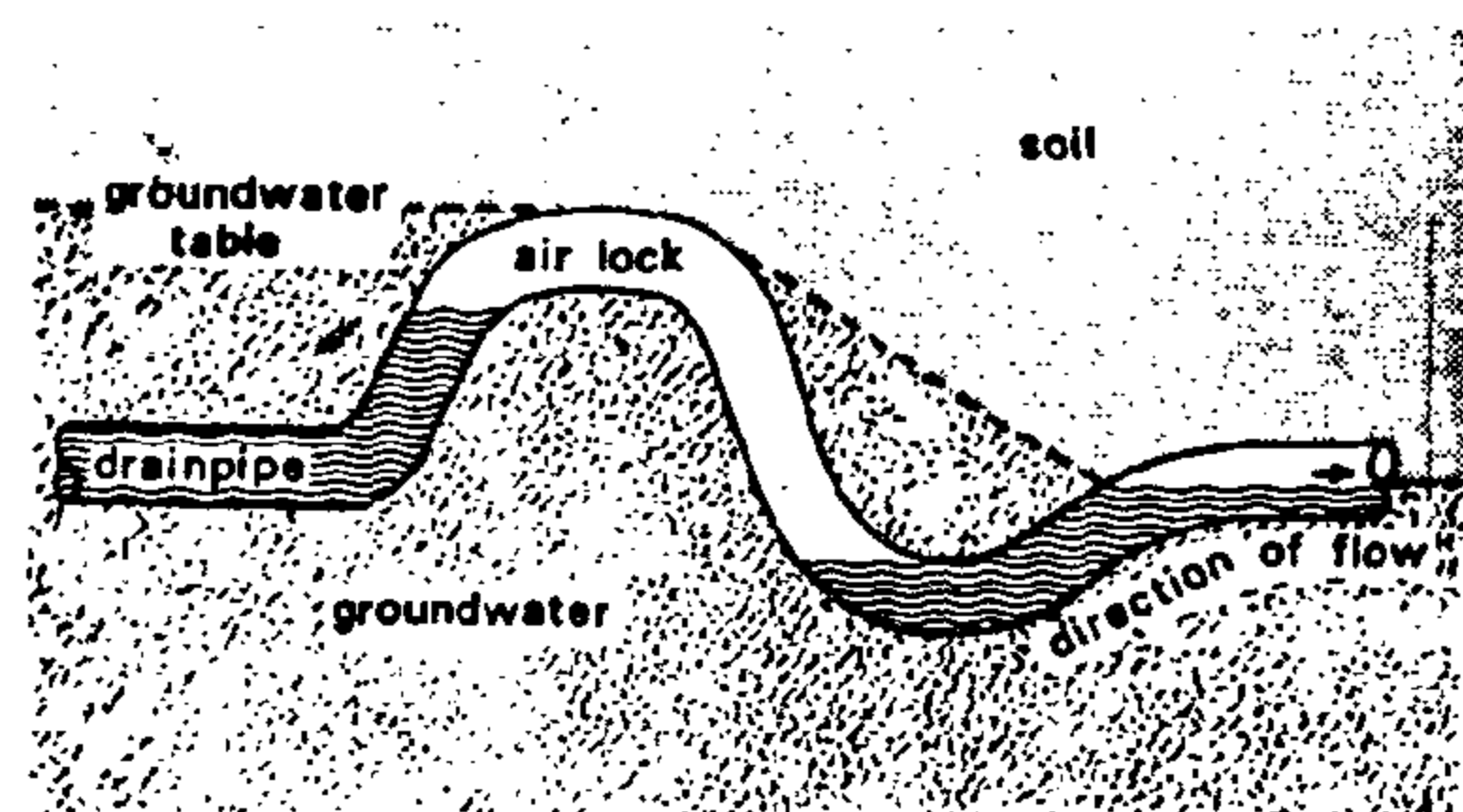


Fig. (1) Air Lock Resulting in a Rise of the Groundwater Table

The deposition of silt and fine sand in the lower parts is encouraged by the difference in flow rate in the drain. This is due to the difference between the cross sectional areas of the

DEPTH AND GRADE PRECISION IN SUBSURFACE DRAINAGE

SAFWAT ABDEL-DAYEM⁽¹⁾

ABSTRACT

The performance of a subsurface drainage system depends to a great extent on the quality of the construction work. The quality of the drainage materials can be checked at the production plants or at the site before the construction starts. On the other hand, there is a very limited chance to check the depth and grade of drains before they are buried. However, deviation from the proper depth and grades can have serious consequences. Insufficient water table depth or over drainage may result due to drains shallower or deeper than necessary. The deviation from straight grade line is the most serious problem that may result in mal-functioning drains. Air locks in the upper parts and silt depositions in the lower parts will stop the drainage water flow through the drain pipes.

In the current practices there is a general tendency among the contractors to install the drains at a shallower depth than designed. Problems of depth and grades are often found near the outlet of the drains. This implies that a whole drain may fail to function due to a single problem of this type. Although very strict technical conditions are specified in the current contract documents, they will not help in improving the quality till they are carefully implemented. Regular checking of grade and depth following a well defined procedure should be a part of an obligatory checking process.

INTRODUCTION

The efficiency of a subsurface drainage system to perform its function depends on the accuracy of its design and implementation. However, even with the most appropriate design based on well defined criteria which meet the specific requirements of the area, a drain may fail due to a simple mistake during the implementation phase. The quality of each element in the system which include the drain pipe, the envelope, the connection pieces and manholes as well as the precision of the depth and grade is an important factor in determining the overall quality of the system. Failure in meeting the quality requirements for any of these elements is enough

reason to impede the performance of a drain or even a sizable part of the drainage system.

Sticking to the standards and technical specifications is essential to ensure good quality of the final product. However, these standards and specifications should be well defined, practical and sufficient otherwise there will be always a gap through which faulty drains will find their way in practices. Meanwhile, regular checking of quality and imposing appropriate sanctions on unacceptable defects will help in improving the quality. It is necessary to use suitable and reliable means for controlling and checking the quality.

(1) Secretary General, Water Research Center, 22 El-Galaa Street, Bulak, Cairo, Egypt.

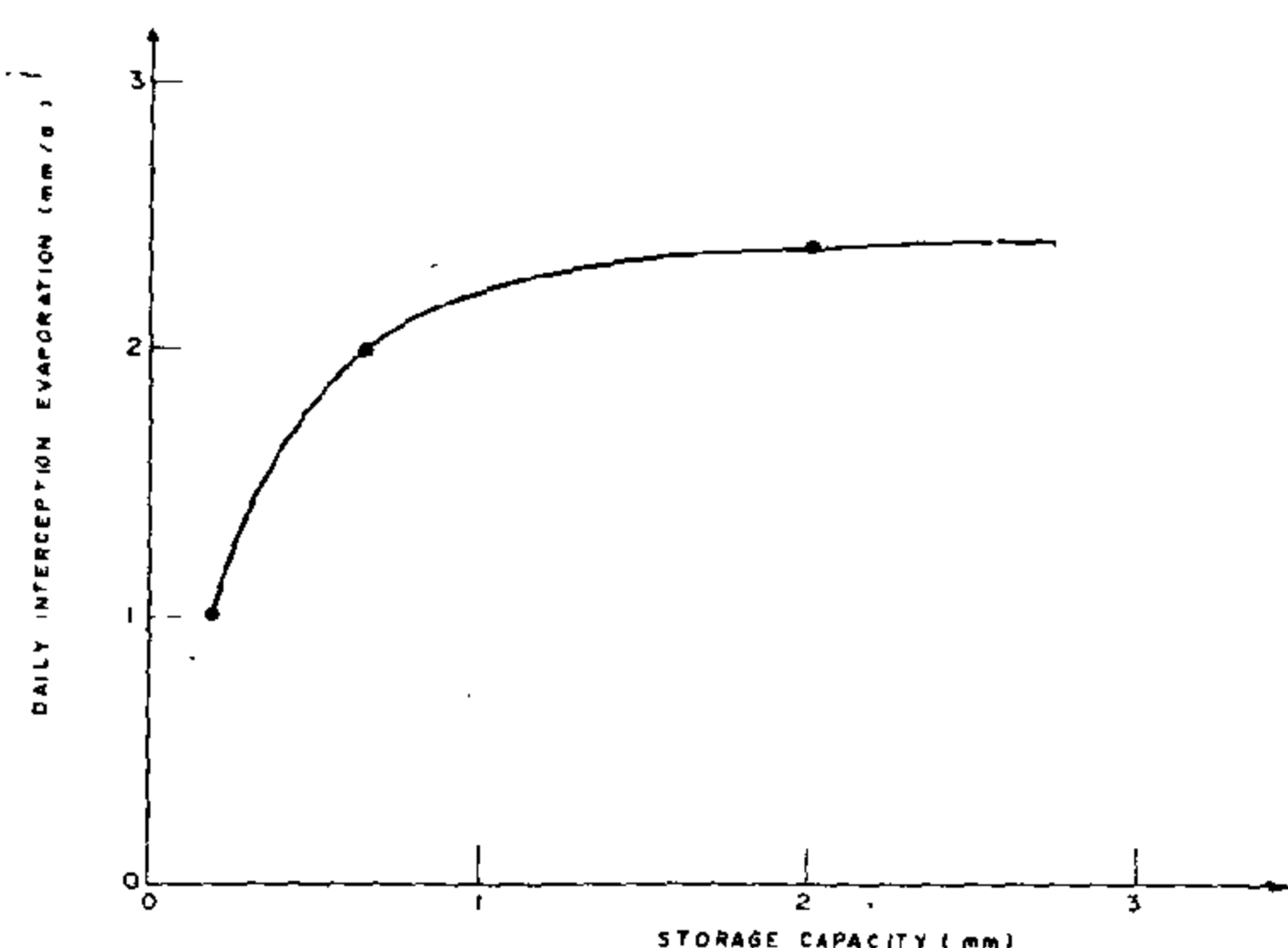


Fig. (3) Variations of Interception Evaporation With the Storage Capacity for Oak Canopy.

SUMMARY AND CONCLUSIONS

The water balance of a forested area requires and accurate estimation of interception evaporation and canopy drainage. Following Mulder (1985), a physically based model is formulated in the present work to determine the accumulated amount of water stored in a canopy during the wetting-up, saturation, and drying phases. From this model, the daily interception evaporation and canopy drainage of a forested area can be estimated. The proposed model is applied on the oak trees in Ajlun area which is located in Jordan.

The weather data were obtained from the nearest meteorological station for 17 days in December, 1987. Furthermore, the storage capacity of oak canopy was evaluated in the Hydraulics Laboratory of the Jordan University of Science and Technology.

The main conclusions of the present work are:

1. The storage capacity of oak trees is about 0.31 mm.
2. The total interception evaporation during December, 1987 is about 19.25 mm which represents about 8.7% of the total rainfall depth that falls on oak trees.
3. The largest proportion of the total interception evaporation occurs during the drying phase. During this phase the interception evaporation is about 69% of the total interception evaporation in December, 1987.
4. The total canopy drainage for the oak trees in December, 1987 is about 179.6 mm which is 81.3% of the total rainfall depth during this month in Ajlun area.
5. Sensitivity analysis indicated that the

interception evaporation is less sensitive to the large values of canopy storage capacity (i.e., more than 0.38 mm).

REFERENCES:

1. Bashir, E.A., «Evaporation Modeling and Assessment for watersheds in Irbid Region,» Mester Thesis, Jordan University of science and Technology, Jordan, 1988.
2. Dolman, A. J., «Summer and Winter Rainfall Interception in an oak Forest: Predictions with an Analytical and a Numerical Simulation Model,» J. of Hydrology, Vol. 90, pp. 1 – 9, 1987.
3. Gash, J. H. C and A. J. Morton, «An Application of the Rutter Model to the Estimation of Interception Loss from Thetford Forest,» J. of Hydrology, Vol. 38, pp. 49 – 58, 1978.
4. Gash, J. H. C., «An Analytical Model of Rainfall Interception by Forests,» Q. J. R. Meteorol. Soc., Vol. 105, pp. 34 – 55, 1979.
5. Gupta, S. K., K. K. Janji, D. R. Nielsen, J. W. Bigger, C. S. Simmons, and J. L. Mae Intyre, «Field Simulation of Soil – Water Movement with Crop Water Extraction,» Water Science and Engineering, Paper No. 4013, U. of California, 1978.
6. McCuen, R. H., «A Sensitivity and Error Analysis of procedures Used for Estimating Evaporation, W. R. R., Vol. 10, No.3, pp. 486 – 497, 1974.
7. Monteith, J. L., editor, Vegetation and the Atmosphere, Vol. 1, Acad. Press, 1975.
8. Mulder, J. P. M., «Simulating Interception Loss Using Standard Meteorological Data,» The Forest – Atmosphere Interception, Part 1, Edited by Hutchison, B. A. and B. B. Hicks, D. Reidel pub. Comp., Dordrecht, 1985.
9. Rutter, A. J. K. A. Kershaw, P. C. Robbines, and A. J. Morton, «A predictive Model of Rainfall Interception in Forests: I. Derivation of the model from, Observations in a plantation of Corsican Pine,» Agr. Meteor., Vol. 9, pp. 367 – 384, 1971.
10. Stewart, J. B., «Evaporation from the Wet Canopy of a pine Forest,» W. R. R., Vol. 13, No. 6, 1977.

Day	E_w	E_p	E_d	E_{tot}	CD	E_{tot}/P_{a24}	CD/P_{a24}
4	0.014	0.284	1.02	1.32	14.9	7.24	81.8
5	0.012	0.423	1.00	1.44	32.0	3.20	85.9
6	0.004	0.079	0.80	0.88	6.66	10.9	81.8
8	0.010	0.000	0.33	0.34	0.00	101.0	0.00
12	0.087	1.450	1.23	2.76	9.90	19.6	70.3
13	0.027	0.269	0.55	0.85	3.06	19.3	69.5
18	0.006	0.000	0.35	0.36	0.00	108.0	0.00
19	0.014	0.051	1.01	1.07	2.20	27.8	59.3
20	0.033	0.205	0.95	1.19	4.18	19.7	69.1
21	0.002	0.072	0.81	0.88	10.4	7.17	84.4
22	0.016	0.007	0.31	0.34	0.06	76.0	14.1
23	0.014	0.564	1.05	1.63	32.1	4.32	85.2
24	0.028	1.170	0.77	1.96	29.2	5.66	84.1
25	0.016	0.534	0.76	1.31	19.3	5.71	84.4
26	0.011	0.049	0.75	0.81	1.95	27.1	65.8
27	0.005	0.104	0.64	0.75	6.06	9.96	81.0
29	0.034	0.362	0.73	1.12	7.51	11.5	76.7
Sum	0.331	5.622	19.30	19.25	179.6	--	--

E_w = Evaporation during wetting - up time

E_p = Evaporation during saturation time

E_d = Evaporation during drying time

E_{tot} = Total evaporation

CD = Canopy drainage

P_{a24} = Total daily rainfall depth

Table (1): The Calculated Value of the Different Interception Evaporation Elements for Oak Fortate in Ajlun Area During the Rainy Days of Dec., 87.

The results of model applications are shown in Table (1). The total interception evaporation during the 17 rainy days was 19.25 mm (i.e, 8.7% of total rainfall depth). Furthermore, the mean value of interception evaporation during the wetting-up phases was found to represent only 2.0% of the total interception from oak canopies. This low percentage is due to the short time required to saturate the canopy. On the other hand, the interception evaporation from oak canopies in December during the saturation phase is about 29% of the total interception. This percentage value is relatively high because of the long storm durations during the rainy days. The largest proportion of the total interception from oak trees was found to occur during the drying phases. The total interception evaporation during the drying phases was found to represent about 69% of the total interception evaporation.

The total depth of canopy drainage during those 17 rainy days is about 179.6 mm. This value is about 81.3% of the total rainfall depth. The canopy drainage is relatively high because the canopy storage capacity is small (0.31 mm) for the oak trees. However, the canopy drainage reaches to zero on 8th and 18th of December as shown in Table (1). This is because the rainfall

depth of each one of these two days is equal to 0.3 mm which is less than the canopy storage capacity. Furthermore, the free throughfall represents 10% as previously assumed. The corresponding depth of free throughfall during 17 days is about 22.1 mm which is more than the total depth of interception evaporation.

Sensitivity analysis of the storage capacity is performed in order to evaluate the relative importance of this parameter in the interception evaporation model. The average values of model inputs in 17 days are used in order to calculate the total daily interception evaporation for different values of storage capacity, S , of oak trees. This choice was supported by McCuen (1974). As shown in Fig. (3), the relationship between the interception evaporation and storage capacity is found nonlinearly increasing type. Furthermore, the highest relative sensitivity (about 103%) is observed for oak trees which have a canopy storage capacity below 0.38 mm. Additionally, the relative sensitivity for a canopy storage capacity above 0.38 is low. Therefore, it might be concluded that the interception evaporation, in general, is less sensitive for canopies of larger trees heights and smaller ground projection area.

Laboratory. As there were no possibility to test the whole tree or oak, several small branches were tested. These branches were placed in a water container immediately after cutting to avoid any expected stress.

The instruments used in the experiment of storage capacity were a rainfall simulator and a balance which had the ability to measure weights with an accuracy of 0.10 gm. The oak branches of different sizes were showered for few minutes to insure that the saturation condition had been reached. The weight of water retained on each branch was related to its total area surface of both sides of leaves. From his experimental study, Bashir (1988) found that the storage capacity of oak, S (mm), is related to the effective height of oak canopy, H_e and the projected area of oak canopy, A_p (m^2), as:

$$S = 0.310 [H_e (1 - P)]^{0.653} / A_p^{0.347} \quad (11)$$

where P is the free throughfall coefficient.

from the field measurements of oak canopy in Ajlun area in Jordan, the average storage capacity is calculated by Eq. (11) to be about 0.31 mm. Furthermore, the values of C_o and D_w are 0.26 mm and Zero, respectively.

The average potential evaporation rates of the three phases are evaluated by Penman-Monteith formula (Monteith, 1975) which is expressed as:

$$EP_w = \left[\frac{\Delta R_n + \rho C_p SD / r_a}{\Delta + \rho} \right]_x \quad (12)$$

where EP is the average potential evaporation rate, Δ is the slope of saturated vapor pressure versus temperature, R_n is the net radiation (see Gupta et al., 1978), ρ and C_p are the density and specific heat of air, respectively, SD is the vapor pressure deficit of air, r_a is the aerodynamic resistance, and ϵ is the psychrometric constant. The subscript x in Eq. (12) refers to the conditions; w during wetting-up phase; s during the saturation phase. or d during the drying phase. This means that the variables of the right hand side of Eq. (12) should be evaluated during the three phases of wetting-up, saturation, and drying. In the present work, the average potential rate during the wetting-up phase is assumed to be equal to that of saturation phase (i.e., $EP_w \approx EP_s$) because the available

data for Eq. (12) cover only the raining periods, R , and the drying periods, D . The results of Eq. (12) in these two conditions during 17 rainy days in December, 1987 are shown in Fig. (2). These results were taken from Bashir (1988).

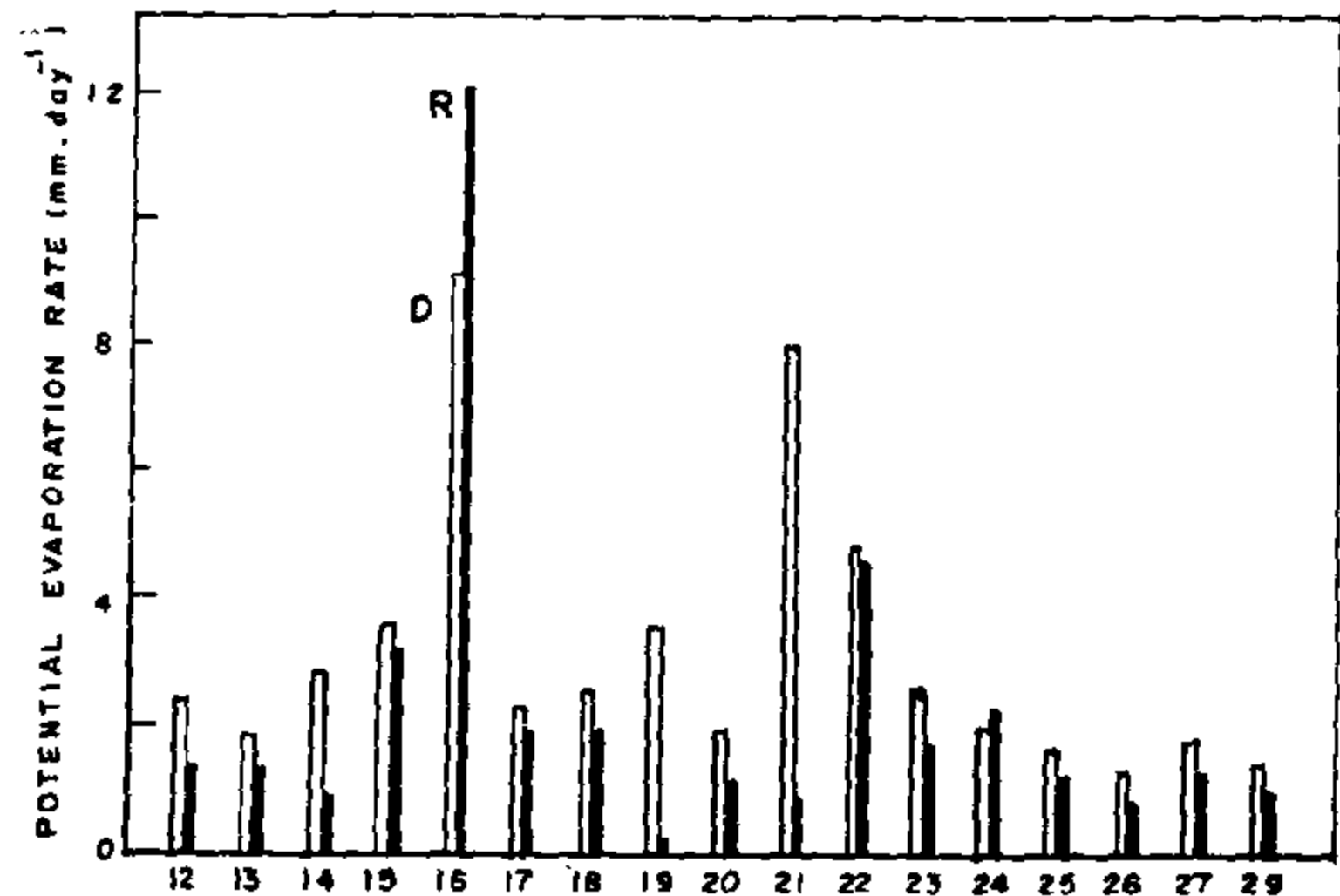


Fig. (2) THE VARIATION OF THE POTENTIAL EVAPORATION RATE DURING DRY (D) AND RAINY (R) PERIODS IN THE 17 RAINY DAYS IN DECEMBER, 87, IN AJLUN AREA.

Finally, the value of P_v is evaluated by the expression:

$$P_{v_y} = 1.1 (1 - P) P_a \quad (13)$$

where P is the free throughfall coefficient which is equal to 0.1 for oak canopy and P_a is the average rainfall intensity. Due to evaporation losses from the rainfall gauges, the rainfall rate was modified by increasing it by 10 percent.

There were five days during December where the automatic rain gauge of Ras Munief station was not able to work efficiently due to syphoning problems. Those days were 5, 12, 13, 23, and 24 th of December, 1987. Therefore, it was assumed that the rainfall distribution in Ajlun area was similar to that of Irbid. Thus, the rainfall data of those five days, such as number of showers and times of occurrence, were taken from Irbid station. Meanwhile, the gross rainfall during those five days were taken from the calibrated rain gauge records of Ras Munief station (see Bashir, 1988).

APPLICATIONS OF PROPOSED MODEL

The proposed models were used to calculate the accumulated daily interception evaporation and canopy drainage for the three phases of wetting-up, saturation, and drying of oak canopies in Ajlun area. The models were applied to 17 rainy day during December, 1987.

where EP_w is the average potential evaporation rate during the wetting-up phase. The change of stored water in the canopy during the wetting-up phase is then expressed as:

$$\frac{dc(t)}{dt} = P_v - \frac{c(t)}{S} EP_w - D_w \quad (3)$$

where D_w is the average canopy drainage rate during the wetting-up phase. The solution of Eq. (3) is given by:

$$C(t) = SX - (SX - C_0) \exp(-EP_w \cdot t/S), t \leq t_w \quad (4)$$

in which:

$$X = (P_v - D_w) / EP_w, P_v > D_w \quad (5)$$

Where c_0 is the initial value of $c(t)$ and t_w is total wetting-up time that is passed to reach the saturation phase. This time can be evaluated from Eq. (4) when $c(t)$ is equal to S . In this model, Eq. (4), it is assumed that the rainfall is heavy enough for the canopy to reach the storage capacity. Equation (4) is presented in Fig. (1) with typical values of model parameters.

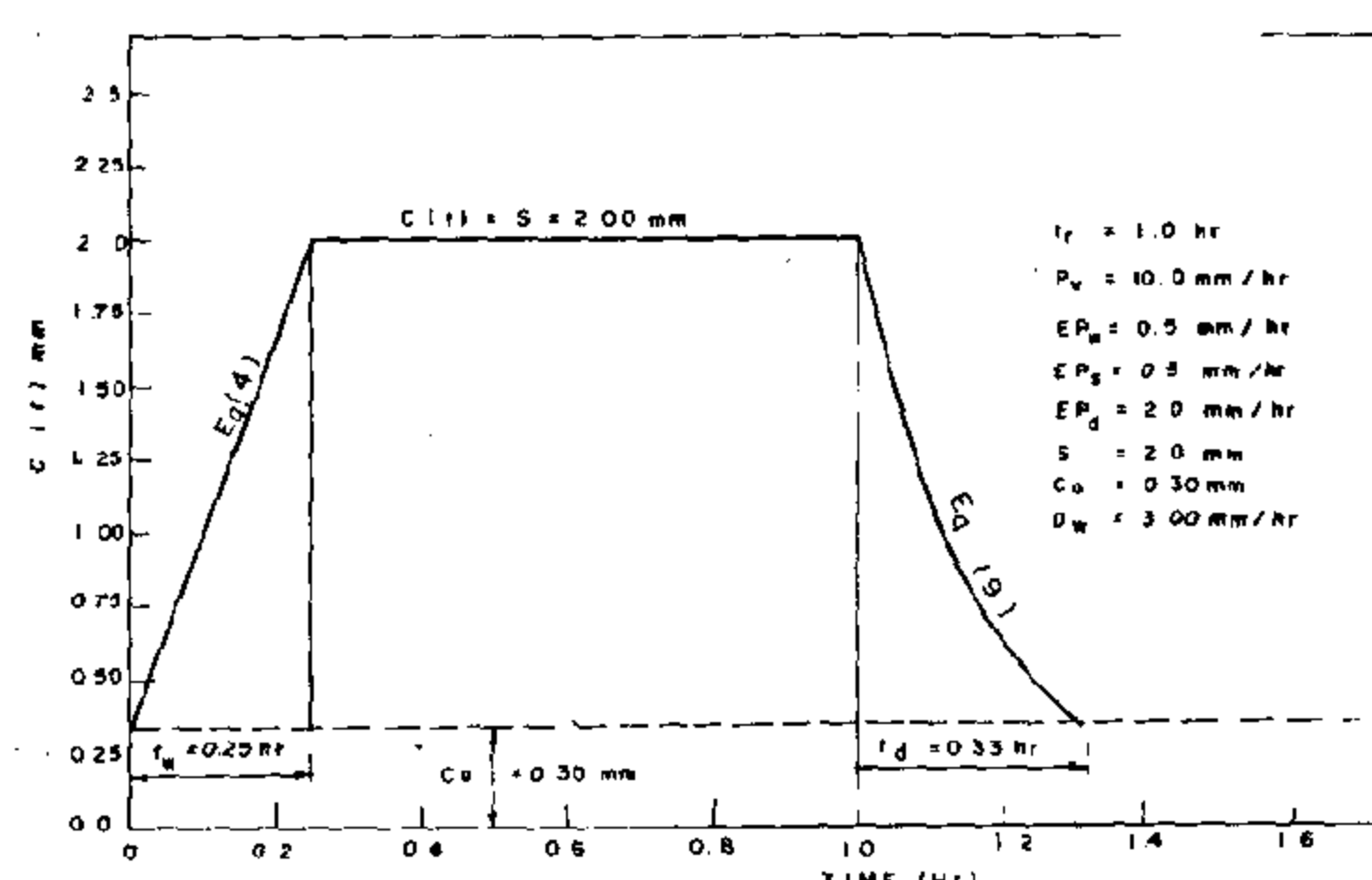


Fig. (1) Stored Water in the Canopy With Typical Values of the Model Parameters.

The average potential rate during the wetting-up phase is relatively small compared with that of drying phase because the atmospheric vapor pressure is near saturation condition and the solar radiation is small. Therefore, in the case of neglecting the value of EP_w , the solution of Eq. (3) is expressed as:

$$c(t) = S - (S - C_0) \exp(-tP_v/S) \quad (6)$$

Therefore, using Eq. (4) or (6), the interception evaporation and the canopy drainage rates expressed in Eqs. (1) and (2), respectively, can be evaluated at any time during the wetting-up phase of the canopy.

Since the storage capacity of canopy is reached the saturation phase starts. During this phase the

rate of interception evaporation equals to the average potential rate of evaporation during the saturation phase, EP_s . Moreover, the drainage rate under saturation condition of canopy, d_s , is given by:

$$d_s = P_v - EP_s, EP_s \leq EP_w \quad (7)$$

where EP_s is the average potential rate of evaporation under saturation condition of canopy. This rate is equal or less than the average potential evaporation rate EP_w . The time interval of applying Eq. (7) is t_s , which can be obtained by subtracting t_w from the rainfall duration, t_r .

The drying phase starts when the rainfall ceases. In this phase the canopy is partially wet and the intercepted water is continuously decreasing because of interception evaporation and canopy drainage processes. The governing equation in such a case is given as:

$$\frac{dc(t)}{dt} = -\frac{c(t)}{S} EP_d - \frac{c(t)}{S} D_d \quad (8)$$

where EP_d is the average potential rate of evaporation in the drying phase and D_d is the maximum drainage rate that occurs under saturation condition. The initial condition of Eq. (8) is that $c(t)$ equals to S when t is equal to t_r . The solution of Eq. (8) is given by:

$$c(t) = S \exp[-(EP_d + D_d)(t - t_r)/S], t \geq t_r \quad (9)$$

Using Eq. (9), the interception evaporation and canopy drainage rates in the drying phase can be obtained which are the first and second terms at the right hand side of Eq. (8), respectively. Furthermore, the time interval for drying phase t_d , is given by:

$$t_d = \frac{S}{(EP_d + D_d)} \ln \frac{S}{C_0} \quad (10)$$

Hence, the total time for wetting-up, saturation, and drying cycle is the summation of t_r and t_d .

ESTIMATION OF MODEL PARAMETERS

The three phases of the proposed model are applied on the oak canopy of Ajlun region in Jordan. The storage capacity of oak canopy is necessary to evaluate the interception evaporation and canopy drainage as indicated in Eqs. (4) and (9). Therefore, this parameter of oak canopy was tested by Bashir (1988) in the Jordan University of Science and Technology Hydraulics

ESTIMATION OF INTERCEPTION EVAPORATION AND DRAINAGE FROM CANOPIES

DR. ISMAIL EL-HEMRY*

ENG. EMAD A. BASHIR**

INTRODUCTION

The observed difference in water yield of forested catchments is mainly caused by the interception of rainfall in the canopies of trees. The holding-water parts of trees, which are the leaves and branches, act as exposed surfaces for tree evaporation from the intercepted water. However, trees might gain water in the form of intercepted mist or fog under certain weather conditions.

Considerable areas of the southern part of Irbid region in Jordan are covered by different types of forests. The water balances of these areas require accurate estimations of interception evaporation in order to determine the water yield of these areas. Therefore, the main objectives of the present work are to formulate a physically based model for the interception evaporation with considering the canopy drainage and to apply this proposed model on a forested area such as Ajlun area in Irbid region. This research concentrates on a certain type of forests in Ajlun area which is the oak canopy where the meteorological and forest data are available.

early investigators neglected the effect of interception evaporation on the water balance of a catchment. However, Stewart (1977) found that the ratio of latent heat flux between a wet and a dry canopy was about three times. Furthermore, Rutter et al. (1971) formulated a simple model for interception which was used by Gash and Morton (1978). Additionally, Gash (1979) described a generalized analytical model that approximate the real rainfall pattern by a series of discrete storms.

INTERCEPTION EVAPORATION AND CANOPY DRAINAGE MODEL

Considering the interception process, the canopy is subjected to wetting due to rainfall and then drying as the rainfall ceases. Mulder (1985) developed a physically based model to calculate the evaporation from intercepted rainfall. In this model, a simulated rainfall pattern is used. Furthermore, the wetting-drying cycle is defined as a sequence of one shower and its subsequent of dry interval. Mulder's model was evaluated and efficiently used by Dolman (1987).

Considerin the drainage of water from canopy, Mulder's model can be modified to give an

accurate estimate of the stored water in the canopy. In the proposed model, it is assumed the drainage rate from canopy in the wetting-up phase is given by:

$$d_w(t) = \frac{c(t)}{S} P_v \quad (1)$$

Where $d_w(t)$ is the rate of drainage from canopy, $c(t)$ is the stored depth of water in the canopy, S is the storage capacity of the canopy, P_v is the average rainfall rate that strikes the canopy leaves, and t is the time. Following Mulder's model the interception evaporation in the wetting-up phase, $E_w(t)$, is expressed as:

$$E_w(t) = \frac{c(t)}{S} EP_w \quad (2)$$

* Assistant professor, Irrigation and Hydraulics Dept., Faculty of Engineering, Cairo University
(Presently at Civil. Eng. Dept., Garyounis U., Benghazi, Libya).

** Civil Engineer, Master Degree from Jordan University of Science and Technol, Jordan.

BUILDING AND CONSTRUCTION

*** INST. OF CIVIL ENGINEERS**

*** INST. OF ARCHITECTS**

*** INST. OF IRRIGATION ENGINEERS**

CONTENTS

GENERAL SECTION:

BUILDING AND CONSTRUCTION	INDUSTRY AND PRODUCTION	RAW MATERIAL AND CHEMICAL INDUSTRIES
<p>(ARABIC)</p> <ul style="list-style-type: none"> ● Urban Design Tools: A Critical Historic Perspective. Dr. Ahmed M. Salah Ouf 4 ● Public Participation and Development The Slums Area. Dr. Sherif S. Saad El-Din 9 ● In The Sixtennth Anniversary of Petroleum «The Egyptian Petroleum Industry Keeps Facing The Challenges. Dr. Hamdi El-Banby 15 ● Touristic Development with Deviding Egypt Into Regions. Dr. Mostafa Eldinary Dr. Ahmed Ellasswy 17 ● Municipalities. Prof. Dr. Ahmed Kh. Allam . 26 ● Sectors of Greater Cairo Planning Society 27 <p>(ENGLISH)</p> <ul style="list-style-type: none"> ● Estimation of Interception and Drainage From Canopies Dr. Ismail Ibrahim El-Hamry Eng. Emad A. Bashir 4 ● Depth And Grade Precision In Subsurface Drainage Dr. Safwat Abd El-Dayem 9 	<p>(ARABIC)</p> <p>(ENGLISH)</p> <ul style="list-style-type: none"> ● Dielectric Properties of Carbon Black Filled Polychloroprene Rubber Dr. Nadia N. Tadros Dr. Samir N. Lawandy ... 16 ● Modern Trends of Information Technology In Project Management Dr. Mohamed H. Rasmy Hassan ELKady.. 21 	<p>(ARABIC)</p> <p>(ENGLISH)</p> <ul style="list-style-type: none"> ● Thermal Operation Improve – ment For The Unit Melter In El – Nasr Glass and Crystal Co. Eng. M. A. Abd El – Kerim Dr. S. H. Hosameldin Dr. Said Abd El – Wahab 34 ● Diels – Alder Synthesis Using Hexachlorocyclopentadiene With Allyl P – Nitrophe – nylether Dr. Mona A. Youssif 39 ● Dehydrogenation of Cyclo – hexane Over Pt/Mordenite Zeolite Catalyst Dr. S. Mikhail Dr. Z. Sobhi 45 ● Petroleum Derived Solvents And Surfactants For The Preparation of Pesticide Emulsifiable Concentrates Part 1: The Role of Solvent, Co – Solvent and Emulsifier Dr. E. K. Heikal Dr. Y. Barakat Dr. R. M. Habib Dr. S. M. El – Attal 51

JOURNAL OF THE EGYPTIAN SOCIETY OF ENGINEERS

28 Ramsis St. Cairo ARE Tel: 5740488

VOL. 30 ISSUE No. 4 – 1991

ISSN 1110 – 1253

EDITING BOARD

Editor

Prof. Dr. M. EL – HEFNAWY

Deputy Chief Editor

Prof. Dr. M. F. SAKR

Treasurer and Gen Sec.

Prof. Dr. A. R. ABD – EL – HALIM

Members

Dr. A. KH. ALLAM

Dr. T. ABDEL – GAWAD

Dr. H. AMER

Dr. S. EL – SOBKY

Eng. A. M. EL – ASFOURY

Dr. A. M. KAMEL

Dr. M. EL – ADAWY NASSEF

Dr. M. ZAKI HAWAS

Dr. M. M. EL HASHIMY

Dr. M. ABU – ZEID

Dr. M. SILEEM

- Issued quarterly – Contributors are invited to submit material for editorial consideration addressed to the Editor. The Journal cannot accept responsibility for loss or damage of any material.

INSTRUCTIONS FOR AUTHORS OF ARTICLES

- The Journal publishes articles contributing to the advancement of engineering science and applications.
- Articles may be written in Arabic or English and presented in triplicate with an abstract in both languages.
- Author's names should be given in full, together with their academic titles and professional occupation.
- Articles may not exceed 8 pages. In this respect, mathematical derivations may be abbreviated and tables replaced by curves.
- The Journal does not hold itself responsible either for the opinions nor the content expressed by the authors.
- Curves to be drawn on tracing papers, and to occupy half a page at most. Exceptionally, full page curves or plates are admitted. Curves presented with be scaled down to these sizes. Figures and lettering on curves should not be less than 3 mm even after scaling down.
- References to be given at the end of each article and classified alphabetically according to author's name followed by the name followed by the name of the journal or book and the date of issue.
- Authors will be presented with two proofs, the first one accompanied by a correction convention chart to ease the work of typing correction.

Magazine Subscriptions

Inland Subscriptions:

Engineers	20 L. E
Non – engineers	50 L. E
Organisations	500 L. E

Outland Subscriptions

Foreign Personnel	75 US
Foreign Organisations	500 US

